Switzerland. Schweizerische met. Central-Anstalt.

Annalen. 1911

33884 C/di AO

DATE	ISSUED TO
7/26/43	Mr. Kasius NCAR Boulder

33884

D48

3093
agr

LIBRARY
WEATHER BUREAU
No. 33884

123

ANNALEN

der

SCHWEIZERISCHEN METEOROLOGISCHEN ZENTRAL-ANSTALT

1911.

„Der Schweizerischen meteorologischen Beobachtungen“

QC
989
.S28
A5
1911

LIBRARY
N.O.A.A.
U.S. Dept. of Commerce

Achtundvierzigster Jahrgang.

LIBRARY
MAY 15 1913
Weather Bureau

ZÜRICH
Druck von Zürcher & Furrer.
Kommission von Beer & Cie.

Inhalt.

Einleitung . . . . . Pag. IV

Verzeichnis der im Jahre 1911 erschienenen oder auf das Jahr 1911 bezüglichen Schweizerischen meteorologischen Literatur . . . . . „ V

Verzeichnis der Institute und Gesellschaften des Auslandes, mit denen die Schweizerische meteorologische Zentralanstalt im Schriften-Tauschverkehr steht . . . . . „ VI

Tägliche Beobachtungen

der Stationen: Bern, Neuenburg, Altdorf, Genf, Zürich, Rigi-Kulm, Bevers, Sitten, Lugano, Basel, Säntis u. St. Gotthard nebst ergänzenden Witterungsnotizen. Pag. 1–78

Monats- und Jahres-Uebersichten der meteorologischen Beobachtungen sämtlicher Stationen. 80–125

	Pag.		Pag.		Pag.
Aarau	98 & 99	Genf	84 & 85	Rigi-Kulm	80 & 81
Airolo	124	Gersau	119	Rivera-Bironico	125
Albishorn	120	Glarus	92 & 93	Romont	122
Altdorf	80 & 81	Göschenen	94 & 95	Rorschach (Mariaberg)	118
Altstätten	82 & 83	Grächen	123	Saas-Fee	123
Andermatt	120	Grono	106 & 107	Säntis	82 & 83
Arosa	112 & 113	Gurtnellen	119	Sargans	88 & 89
Auen (Linthal)	118	Guttannen	102 & 103	Sarnen	96 & 97
Bachtel	92 & 93	Haidenhaus	90 & 91	Savatan	123
Baden	120	Heiden	88 & 89	Schaffhausen	116
Basel	82 & 83	Heiligenschwendi (Thun)	122	Schatzalp (ob Davos)	112 & 113
Beatenberg, St.	100 & 101	Interlaken	102 & 103	Schiers	114 & 115
Bellinzona	108 & 109	Kreuzlingen	88 & 89	Schwäbrig (bei Gais)	118
Bern	84 & 85	Langenbruck	98 & 99	Seewis	114 & 115
Bernhardin	108 & 109	Langnau i/E.	100 & 101	Siders	106 & 107
Bevers	86 & 87	Lausanne (Champ de l'air)	104 & 105	Sils-Maria	125
Böttstein	98 & 99	Leukerbad	124	Sitten	86 & 87
Braggio	125	Liestal	121	Solothurn	100 & 101
Brévine, la	104 & 105	Locarno (Muralto)	108 & 109	Splügen (Dorf)	110 & 111
Buus	98 & 99	Lohn	90 & 91	St. Bernhard	84 & 85
Castasegna	125	Lugano	86 & 87	St. Gallen	88 & 89
Cernier	116	Lungern	121	St. Gotthard	86 & 87
Château d'Oex	104 & 105	Luzern	96 & 97	Sta. Maria	110 & 111
Chaumont	84 & 85	Marsens	122	St. Moritz	110 & 111
Chaux-de-Fonds, la	102 & 103	Meiringen	102 & 103	Thun	121
Chur	114 & 115	Mont Soleil (ob St. Imier)	122	Tschiertschen	117
Clarens (Montreux)	104 & 105	Muri	120	Unter-Hallau	92 & 93
Comprovasco	106 & 107	Neuenburg	82 & 83	Vättis	117
Dailly	123	Oberiberg	94 & 95	Vitznau	119
Davos-Platz	112 & 113	Olten	121	Walchwil	96 & 97
Ebnat	118	Pilatus-Kulm	80 & 81	Wald (Hittenberg)	92 & 93
Einsiedeln	96 & 97	Platta (Medels)	112 & 113	Weggis	119
Elm	94 & 95	Pontresina (als Nachtrag: vide Errata)		Weissenstein	100 & 101
Engelberg	94 & 95	Ragaz	117	Wildhaus	116
Faido	124	Reckingen	106 & 107	Winterthur	90 & 91
Frauenfeld	90 & 91	Reichenau	117	Zermatt	124
Freiburg	114 & 115	Remüs	110 & 111	Zürich	80 & 81
Generoso, Monte	108 & 109	Rheinfelden	116		

Fünftägige Temperatur-Mittel von 15 Normal-Stationen . . . . . 126 & 127

Temperaturextreme „ 9 „ „ 128–133

Pentaden- und Monatsmittel der Bodentemperaturen von Buus im Jahre 1911 134

Anhang: Ergänzende Beobachtungen und Abhandlungen.

No. 1. Uebersicht über den Witterungsverlauf in der Schweiz im Jahre 1911 . . . . . 6 pp

No. 2. Aufzeichnungen der autographischen Apparate für Luftdruck, Temperatur, Richtung und Geschwindigkeit des Windes auf den Stationen: Zürich, Säntis u. Bern 1911 (mit Nachtrag: Buus) . . . . . 59 „

No. 3. Ergebnisse der Niederschlagsmessungen im Jahre 1911; Das Jahr 1911 ein Trockenjahr; Die Trockenperiode im Sommer 1911; Einzelne bemerkenswerte Niederschläge . . . . . 14 „

No. 4. Gewitterbeobachtungen im Jahre 1911 . . . . . 40 „

No. 5. Ergebnisse der Registrierungen der Sonnenscheinautographen im Jahre 1911 . . . . . 12 „

No. 6. Ergebnisse der im Jahre 1911 von der Schweiz. meteorolog. Zentralanstalt ausgeführten aerologischen Arbeiten . 6 „

No. 7. Die Erdbeben der Schweiz im Jahre 1911 . . . . . 8 „

Einleitung.

Noch einen wertvollen Zuwachs hat unser Netz der meteorologischen Stationen im Berichtsjahre erfahren durch Angliederung der schon seit einigen Jahren in Solothurn etablierten Privat-Station des Herrn Kreisförster Glutz-Graff, womit dem Beobachtungsposten auf dem Weissenstein nunmehr auch eine gute Vergleichsbasis in der diesseitigen Niederung des Jura gegeben ist. Das Netz der ombrometrischen Stationen hat ebenfalls weitere Ergänzungen erhalten durch Etablierung neuer Stationen in Val Sinestra (Unter-Engadin), Göschenenalp, Lungenstutz am Hüfigletscher und Färnigen am Sustenpass (Uri), Moutier, Gadmen und Chaluet (Bern), Praz de Fort (Wallis), Cavaglia am Berninagletscher (Graubünden) und Thalwil (Zürich). Eingegangen sind St. Margrethen (St. Gallen), Löhningen (Schaffhausen), Regensberg (Zürich), Altendorf (Schwyz) und Brugg (Aargau). Noch gegen Schluss des Jahres trat im obern Bergell (in Vicosoprano) ebenfalls ein neuer Posten für die Beobachtung der Temperatur und des Niederschlagselementes ins Leben und ferner in Rickenbach (Kantonal. Lehrerseminar) bei Schwyz eine weitere Regenmesstation. Auf Ende 1911 ist an insgesamt 112 meteorologischen und 268 Regenmesstationen regelmässig beobachtet worden.

Auf besondern Wunsch des Eidgen. Gesundheitsamtes beteiligte sich die Anstalt an der Internationalen Hygienischen Ausstellung in Dresden. Das ziemlich umfangreiche graphische Tabellen-Material (ca. 20 m² beschlagend) führte die in klimatisch-therapeutischer Hinsicht wichtigsten Elemente einzelner besonders bevorzugter Regionen unseres Landes vor, so die interessanten klimatischen Oasen am Nordfuss unserer Alpen, dann das Höhenklima und illustrierte auch die bedeutenden klimatischen Vorzüge des Alpensüdfusses.

Ein langjähriger Wunsch der Anstaltsleitung ist im laufenden Jahre in Erfüllung gegangen: nach vielfältigen Unterhandlungen mit den zuständigen Verwaltungen in Bern und Madrid, dem Ministerium der Post und Telegraphen (sowie dem Bureau Météorologique Central) in Paris ist es gelungen, täglich taxfreie Witterungstelegramme von der Iberischen Halbinsel und den Azoren zu erhalten, welche für unsern Wetterdienst, besonders in der Sommersaison, von grosser Bedeutung sind.

Zu der Internationalen Vereinigung für wissenschaftliche Luftschiffahrt ist die Zentralanstalt noch im gleichen Verhältnis wie bisher geblieben. Sie beschränkte im Berichtsjahre ihre Beteiligung an den gewohnten monatlichen Terminaufstiegen, um die verfügbaren Mittel namentlich auf grössere Serienaufstiege (mit Registrier- und Pilotballon) zusammenzuhalten. Ausserdem sind seit Frühjahr besondere Vorbereitungen getroffen worden, um unter Leitung der Herren Dr. A. de Quervain und Dr. R. Billwiller eine Reihe von Föhnaufstiegen zu bewirken und damit für das Föhnproblem neue wertvolle Daten aus der freien Atmosphäre zu gewinnen. Die gewonnenen Resultate sind den im Anhang publizierten ergänzenden Beobachtungen beigefügt.

Die Niederschlagsmessungen sämtlicher Stationen werden in der bisherigen separaten Publikation „Ergebnisse der täglichen Niederschlagsmessungen auf den meteorologischen und Regenmess-Stationen“ regelmässig weiter geführt; die Registratur, Sichtung und Prüfung des eingegangenen Beobachtungsmaterials, sowie dessen Bearbeitung für die Drucklegung der letztgenannten Publikation, besorgte, wie in den frühern Jahren, Herr Georg Weber, Bibliothekar der Z. A.

An dieser Stelle ist endlich noch zu erwähnen, dass im Juni des Berichtsjahres die Schweiz. Erdbebenwarte bezüglich ihrer innern Ausrüstung und Aufstellung der seismographischen Instrumente — letztere erfolgte durch Herrn Adjunkt Dr. A. de Quervain — fertiggestellt war. Die Meteorologische Zentralanstalt hat einstweilen freiwillig und auf Wunsch der Erdbebenkommission den Betrieb dieser Station durch ihre wissenschaftlichen Beamten übernommen. Für weiteres verweisen wir auf den Bericht „über die 30jährige Tätigkeit der schweiz. Erdbebenkommission inkl. Erdbebenwarte“, erstattet von Herrn Professor J. Früh in den Verhandlungen der Schweiz. Naturf. Gesellschaft in Solothurn 1911.

Nach einem Beschluss der meteorolog. Kommission ist im vorliegenden Jahrgang 1911 der Uebergang auf „M. E. Z.“ für alle Zeitangaben (mit Ausnahme derjenigen im Anhang Nr. 5) vollzogen worden.

Die Direktion der Schweizerischen Meteorologischen Zentralanstalt:

Dr. **J. Maurer.**

EIDGENÖSS. METEOROLOGISCHE KOMMISSION

1911.

Präsident:	Herr Prof.	H. F. Weber in Zürich.
Vizepräsident:	» »	R. Gautier in Genf.
Mitglieder:	» »	A. Forster in Bern.
	» »	A. Wolfer in Zürich.
	» »	G. Ferri in Lugano.
	» »	A. Riggenbach in Basel.
	» Dr.	R. Huber in Bern.

Verzeichnis der im Jahre 1911 erschienenen oder auf das Jahr 1911 bezüglichen Schweizerischen meteorologischen Literatur.

Annalen der Schweizer. meteorologischen Zentralanstalt. 48. Jahrgang 1911.

Täglicher Wetterbericht der Schweizerischen meteorologischen Zentralanstalt. 31. Jahrgang 1911.

Ergebnisse der täglichen Niederschlagsmessungen auf den meteorologischen und Regenmess-Stationen in der Schweiz. Jahrgang 1911.

Die Witterung des Jahres 1911 in der Schweiz. Mitteilungen von R. Billwiller in: „Schweizer. Zeitschr. f. Forstwesen" 1912, 14 pp.

Die Witterung im Jahre 1911. Mitteilungen der Schweiz. Meteorol. Zentralanstalt in: „Statistisches Jahrbuch der Schweiz" für 1911.

Monatliche Uebersichten der Witterung, Januar—Dezember 1911, publiziert von der Schweiz. meteorologischen Zentralanstalt in: „Schweizerische Blätter für Gesundheitspflege". Jahrgang 1911.

Résumé météorologique de l'année 1911 pour Genève et le Grand St-Bernard, par R. Gautier. Archives des sciences physiques et naturelles; juillet et août 1912.

Observations météorologiques faites aux fortifications de St-Maurice pendant l'année 1911 (janvier—décembre). Archives des sciences physiques et naturelles, t. XXXIII et XXXIV.

Maurer, J.: Anomale Wanderungen der temporären Schneegrenze im Schweizer Alpengebiet. Meteor. Zeitschrift 1911, pag. 76.

— Aus 25jährigen Aufzeichnungen der Sonnenscheindauer in der Schweiz. Meteor. Zeitschrift 1911, pag. 193—200.

Maurer, J.: Neue Versuche zur Registrierung der Sonnenscheindauer. Meteor. Zeitschrift 1911, pag. 518—520.

— Die Verdunstung auf den Seen am Nordfuss der Alpen während der grossen Hitze- und Dürrezeit 1911. Meteor. Zeitschrift, pag. 545—555.

de Quervain, A.: Ueber die Bestimmung der Einstellungsträgheit von Thermometern. Meteor. Zeitschrift 1911, pag. 88—90.

R. Billwiller und A. de Quervain: Registrierballonaufstiege in einem Föhntale. Meteor. Zeitschrift 1912, pag. 249—251.

R. Gautier et H. Duaime: Les retour de froid en Juin à Genève et au Grand St-Bernard. Archives des sciences phys. et nat., tome XXXI, pag. 497—508.

— Hivers chaud, années très humides et très sèches à Genève; „le Globe", octobre 1911.

C. Bührer: Notice sur le climat du Grand St-Bernard au „Bulletin de la Murithienne". Fasc. XXXVI (19 pag. et 8 tableaux).

H. Mauer: Ueber den klimatischen Charakter der Davoser Märzmonate. Zeitschrift für Balneologie, III. Jahrgang, No. 24.

F. A. Forel, E. Muret et P. L. Mercanton: Les variations périodiques des glaciers des Alpes suisses. XXXII^{me} rapport 1911. (Jahrb. des S. A. C., XLVII. Jahrgang.)

Verzeichnis der Institute und Gesellschaften des Auslands,

mit denen die Schweiz. Meteorolog. Zentralanstalt im Schriften-Tauschverkehr steht.

Europa.

Belgien.

Brüssel. Observatoire Royal Uccle.

Bosnien und Herzegowina.

Serajewo. Baudepartement der Landesregierung.

Bulgarien.

Sofia. Station Centrale Météorologique.

Dänemark.

Kopenhagen. Dänisches Meteorologisches Institut.

Deutschland.

Aachen. Meteorologisches Observatorium.
Berlin. Kgl. Preuss. Meteorologisches Institut.
K. Aeronautisches Observatorium Lindenberg b. Beeskow.
Kgl. Akademie der Wissenschaften.
Preuss. Landesanstalt für Gewässerkunde.
Darmstadt. Gr. Hess. Hydrogr. Bureau.
Bremen. Meteorologisches Observatorium.
Dresden. Kgl. Sächs. Meteorologisches Institut.
Eberswalde. Kgl. Forstakademie.
Emden. Naturforschende Gesellschaft.
Friedrichshafen. Verein für Geschichte des Bodensees und seiner Umgebung.
Halle a. S. K. Leopold.-Carolinische Deutsche Akademie der Naturforscher.
Hamburg. Deutsche Seewarte.
Hanau. Wetterauische Gesellschaft für die gesamte Naturkunde.
Karlsruhe. Grossh. Bad. Central-Bureau für Meteorologie und Hydrographie.
Kiel. Kgl. Universitätsbibliothek.
Leipzig. Verein für Erdkunde.
Magdeburg. Wetterwarte der Magdeburgischen Zeitung.
Mannheim. Verein für Naturkunde.
München. Kgl. Akademie der Wissenschaften.
Kgl. Bayer. Meteorologische Central-Station.
Kgl. Bayr. Hydrotechn. Bureau.
Kgl. Sternwarte in Bogenhausen.
Potsdam. Kgl. Meteorolog. und Magnet. Observatorium.
Strassburg i. E. Meteorolog. Landesdienst von Elsass-Lothringen.
Stuttgart. Kgl. Württemb. Meteorolog. Central-Station.
Wilhelmshaven. Kaiserl. Observatorium.

Frankreich.

Annecy. Commission de Météorol. de la Haute-Savoie.
Besançon. Observatoire.
Bordeaux. Société d'Océanographie du Golfe de Gascogne.
Clermont. Observatoire Météorologique du Puy de Dôme.
Marseille. Commission de Météorologie du Département des Bouches du Rhône.
Nizza. Observatoire météor. du Mont Blanc.
Paris. Bureau Central Météorologique de France.
Académie des sciences.
Société météor. de France.
Perpignan. Commission météorologique des Pyrénées Orientales.

Griechenland.

Athen. Observatoire National.

Grossbritannien und Irland.

Edinburgh. Royal Society.
Scottish Meteorological Society.
Greenwich. Royal Observatory.
Jersey. Observatoire St. Louis.
London. Royal Society.
Royal Meteorological Society.
Royal Astronomical Society.
Meteorological Office.
Manchester. Litterary and Philosophical Society.
Oxford. Radcliffe-Observatory.

Italien.

Catania. R. Osservatorio.
Moncalièri. R. Osservatorio di Carlo Alberto.
Mailand. R. Osservatorio Astronomico di Brera.
Rom. Ufficio centrale di Meteorologia e di Geodinamica.

Niederlande.

Utrecht. Kgl. Niederländ. Meteorologisches Institut de Bilt.

Norwegen.

Christiania. Meteorologisches Institut.
Astronom. Observatorium.

Oesterreich-Ungarn.

Budapest. Kgl. Ungar. Reichs-Anstalt für Meteorologie und Erdmagnetismus.
Innsbruck. Meteorol. Observatorium der Universität.
Krasno. Agrar.-Meteorolog. Observatorium.
Kremsmünster. Sternwarte.
O-Gyalla. Kgl. Ungar. Meteor. Observatorium.
Pola. K. k. Hydrographisches Amt.
Prag. K. k. Sternwarte.
Triest. K. k. Astronom.-Meteorolog. Observatorium, Bosco Pontini.
Wien. K. k. Central-Anstalt für Meteorologie und Erdmagnetismus.
K. k. Universitäts-Sternwarte.
Kaiserl. Akademie der Wissenschaften.
Geograph. Institut der k. k. Universität.
K. k. Hydrograph. Central-Bureau.

Portugal.

Coimbra. Observatorio magnetico-meteorologica da Universidade
Lissabon. Observatorio do Infante D. Luiz.

Rumänien.

Bukarest. Institut Météorologique de Roumanie.

Russland.

Helsingfors (Finland). Institut météorol. central.
Jurjew (Dorpat). Meteorolog. Observatorium der Kaiserl. Universität.
Katharinenburg. Société Ouralienne d'Amateurs des Sciences Naturelles.
Moskau. Kaiserl. Gesellschaft der Naturforscher.
St. Petersburg. Physikalisches Central-Observatorium.
Pulkowa. Sternwarte.
Tiflis. Physikalisches Observatorium.

Schweden.

Stockholm. Meteorolog. Central-Anstalt.
Kgl. Schwed. Akademie der Wissenschaften.
Upsala. Observatoire Météorolog. de l'Université.

Serbien.

Belgrad. Observatoire Central Météorologique.

Spanien.

Madrid. Instituto Central Meteorológico.
San Fernando. Instituto y Observatorio de Marina.

Türkei.

Constantinopel. Observatoire Impérial Météorologique.

Asien.

Alipore-Calcutta (Bengal). Meteorological Office of India.
Batavia. Dep. de l'agriculture aux Indes Neerlandaises.
Magnetical and Meteorological Observatory.
Bombay (Colába). Government Observatory.
Manila. Philippine Weather Bureau.
Tokio. Central Meteorological Observatory of Japan.

Afrika.

Cape Town. Observatory.
Meteorological Commission.
Mauritius. Royal Alfred Observatory.
Transvaal. Meteorol. Departement Pretoria.

Nord-Amerika.

Albany. Dudley Observatory.
Hyde Park, Mass. Blue Hill. Meteorological Observatory.
Cambridge, Mass. Harvard College Observatory.
Washington D. C. Smithsonian Institution.
The Weather Bureau.
Chief Signal Office.
Naval Observatory.
Geological Survey.

Mittel- und Süd-Amerika.

Canada. Dep. of marine and fisheries.
Cordóba. Academia Nacional de Ciencias.
Observatorio Nacional Argentino.
Oficina Meteorológica Argentina.
Mexico. Observatorio Meteorológico Central.
Sociedad Cientifica „Antonio Alzate".
Montevideo. Observatorio Meteorol. del Colegio Pio de Villa Colon.
San José de Costa Rica. Instituto Fisico-Geografico Nacional.
San Salvador. Observatorio Astronomico y Meteorologico.
Santiago de Chile. Oficina Central Meteorologica.

Australien.

Adelaide. Observatory.
Melbourne. Meteorol. Bureau, Centr. Office.

Tägliche Beobachtungen

der Stationen:

Bern, Neuenburg, Altdorf, Genf, Zürich, Rigi-Kulm, Bevers, Sitten, Lugano, Basel, Säntis und St. Gotthard

im Jahre 1911.

Für die Bezeichnung der Hydrometeore und anderer Phänomene werden nach dem Vorschlag des internationalen Meteorologen-Kongresses (Wien 1873) folgende Symbole angewandt:

● = Regen.	⌓ = Tau.	⊼ = Gewitter.	◐ = Sonnenhof.
✳ = Schnee.	⊔ = Reif.	∠ = Blitz, Wetterleuchten.	⊕ = Sonnenring.
△ = Graupeln, Riesel.	⋁ = Duft.	⩙ = Nordlicht.	☋ = Mondhof.
▲ = Hagel.	∽ = Glatteis.	⸙ = starker Wind, ⸙ = Sturm.	☊ = Mondring.
← = Eisnadeln.	≡ = Nebel.	⸸ = Schneegestöber.	◠ = Regenbogen.

Das Zeichen ⊠ bedeutet, dass mehr als die Hälfte der Bodenfläche in der Umgebung der Station an dem betreffenden Tag mit Schnee bedeckt war.

Die Intensität der einzelnen Erscheinungen wird durch eine dem Symbol als Exponent beigefügte ° als schwach, durch ² als stark bezeichnet.

a bedeutet: Vormittags (ante meridiem), p: Nachmittags (post m.), n: Nachts.

Die römischen Ziffern geben an, dass das betreffende Phänomen um die Zeit des ersten, resp. zweiten, resp. dritten Beobachtungstermins stattgefunden hat, die arabischen bedeuten die bürgerlichen Zeitstunden, das Zeichen * interpolierte Daten.

λ bezeichnet die geographische Länge in Graden von Greenwich, β die geographische Breite, H_b die Höhe des Stationsbarometers über dem Meer in Metern, H die Höhe der Station (des Regenmessers) über der Meeresfläche, G ist die Korrektion, welche an den Luftdruckdaten für deren Reduktion auf die Normalschwere (45° Breite und das Meeresniveau) noch anzubringen ist. h_r die Höhe des oberen Randes des Regenmessers über dem Erdboden. Die Stationen, bei denen die Höhe (der Barometercüvette) bis auf den Dezimeter angegeben ist, sind an das schweizerische Präzisionsnivellement angeschlossen. Alle Höhen sind auf Pierre du Niton 373.6^m bezogen.

NB. Alle Zeitangaben mit Ausnahme derjenigen in Anhang Nr. 5 beziehen sich auf **mitteleuropäische Zeit.**

$\lambda = 7^\circ 26'$, $\beta = 46^\circ 57'$,
$Hb = 572.2^m$, $G = 0.05\,^m/_m$.

Bern.

Januar 1911.
Tellur. Observatorium.

Tag	Lufttemperatur					Luftdruck			Relative Feuchtigkeit			Windrichtung und Stärke						Bewölkung			Niederschlag	Witterung
	7^{30}	1^{30}	9^{30}	Mittel	Abweich. vom Normalst.	7^{30}	1^{30}	9^{30}	7^{30}	1^{30}	9^{30}	7^{30}		1^{30}		9^{30}		7^{30}	1^{30}	9^{30}		
1	-10.1	-2.8	-5.7	-6.2	-4.2	718.1	715.7	713.2	95	91	95	SE	0	N	0	S	1	1	9	7	3.4	a ⌴, n ✳
2	-3.1	-1.3	-5.6	-3.3	-1.3	706.6	705.5	705.4	95	70	94	S	0	NW	0	SE	0	10	3	10	2.4	✳ $7^1/_4$–$10^1/_2{}^a$, ☔ 5–6p
3	-6.1	-3.9	-3.6	-4.5	-2.5	703.9	702.9	702.8	96	84	82	NE	2	NE	1	E	2	10	10	10	.	⸙ I, III
4	-3.0	-2.3	-3.0	-2.8	-0.8	702.7	703.8	705.1	83	81	95	E	1	NE	1	N	0	10	10	10	0.5	a ☔ ✳°
5	-2.8	-1.6	-2.5	-2.3	-0.3	707.4	708.2	710.9	72	63	77	SE	0	SE	0	E	0	10	10	10	.	
6	-3.3	-0.8	-7.9	-4.0	-2.0	713.2	713.8	715.5	85	54	92	SE	0	E	0	SE	0	10	1	1	.	
7	-10.5	-2.1	-8.0	-6.9	-4.9	717.4	718.3	720.8	95	65	94	SE	0	SE	0	SE	0	3	7	2	.	a ⌴
8	-10.6	-2.6	-8.4	-7.2	-5.1	723.8	724.4	725.5	95	72	100	S	0	S	0	ENE	0	1	2	3≡	.	a ⌴, ≡ III–n
9	**-12.2**	-1.7	-2.0	-5.3	-3.2	725.0	723.1	720.9	95	68	84	SE	0	S	0	S	0	1≡	9	9	**7.3**	a ⌴ ≡
10	-3.7	0.9	-2.8	-0.9	1.2	717.5	719.8	721.4	100	85	95	SE	0	NE	1	E	0	10*	9	1	1.3	✳ n–$9^1/_2{}^a$
11	-8.5	-2.9	-9.6	-7.0	-4.9	717.0	714.7	709.9	97	72	95	E	0	SW	0	SE	0	2	7	6	.	☋ III
12	-7.9	-0.2	-5.0	-4.4	-2.4	702.5	**700.4**	700.8	95	72	94	SE	0	SE	0	SE	0	10	9≡	7	.	a ⌴, ≡ II, ☋ III
13	-3.5	**2.6**	-2.6	-1.2	0.8	703.7	706.2	709.3	83	70	92	SE	0	NE	0	NE	0	7	9	10*	0.9	☔ ✳° $6^1/_2$–$10^1/_2{}^p$
14	-3.2	-3.6	-4.8	-3.9	-1.9	710.4	712.1	714.7	83	84	92	NE	2	NE	2	NE	2	10	10	10	.	⸙
15	-7.4	-7.3	-7.2	-7.3	-5.3	715.5	715.8	717.9	95	92	92	NE	1	NE	1	NE	0	10	10	10	.	
16	-8.0	-5.7	-8.7	-7.5	-5.5	720.3	722.2	724.0	95	83	89	NE	0	NE	0	NE	0	10	10	7≡	.	≡ III–n
17	-11.4	-5.1	-9.4	-8.3	-6.4	726.2	726.1	**727.4**	95	100	100	NE	0	E	0	SE	0	10≡	2≡	3	.	a ≡² ⌴, ≡ II
18	-8.8	-4.8	-6.7	-6.8	-4.9	727.0	726.2	725.9	97	100	99	SE	0	NE	0	SE	0	9≡	1	3	.	≡ ⌴ I
19	-11.6	-3.1	-5.0	-6.6	-4.7	724.1	723.0	722.4	94	76	95	E	0	E	0	SE	0	3≡	8	2≡	.	a ≡ ⌴, ≡ III–n
20	-7.2	1.1	-2.4	-2.8	-1.0	721.8	721.3	720.7	98	72	94	SE	0	SE	0	E	0	5≡	6	10	.	≡ I
21	-4.5	-4.0	-5.4	-4.6	-2.8	719.5	718.0	717.5	100	100	100	SE	0	SE	0	SE	0	10	10≡	10≡	.	p ≡, ≡² III–n
22	-7.0	-4.4	-4.6	-5.3	-3.5	717.7	717.9	719.1	96	98	99	SE	0	SE	0	N	0	10≡	2	10≡	.	a ⌴, ≡² a, 5^p–n
23	-6.1	-4.8	-5.3	-5.4	-3.7	720.2	720.6	721.2	97	98	98	E	0	NE	0	E	0	10≡	10≡	10≡	.	⌴ a, III, ≡
24	-5.6	-5.1	-5.2	-5.3	-3.6	720.9	721.2	722.3	98	97	87	NE	0	N	1	NNE	0	10≡	10≡	10	.	≡ n–p
25	-5.8	-3.1	-5.3	-4.7	-3.1	722.8	722.7	723.4	81	69	90	NE	1	N	0	SE	0	10	8	3	.	
26	-4.2	2.5	-2.9	-1.5	0.0	723.3	723.5	724.8	91	58	95	SE	0	SE	0	E	0	9	6	1	.	
27	-8.2	0.8	-5.9	-4.4	-2.9	723.8	723.0	723.1	97	71	100	SE	0	SE	0	SW	0	10≡	2	4≡	.	≡² ⌴ I, III–n
28	-6.4	-2.4	-3.2	-5.0	-3.6	721.9	722.0	721.1	95	100	100	SW	0	N	2	NE	1	6≡	3	10≡	.	a ≡ ⌴, ⸙ II, ≡ III–n
29	-7.5	-3.0	-4.7	-5.1	-3.7	719.2	718.6	716.6	95	100	99	SE	0	NW	0	E	0	10≡	2≡	3≡	.	a ≡² ⌴, p ≡
30	-6.0	-3.4	-6.7	-6.4	-5.1	714.7	715.6	717.8	91	67	72	SE	0	NE	2	NE	1	7	1	1	.	⸙ II
31	-6.4	-5.3	-8.8	-7.8	-6.6	718.6	719.6	722.2	75	**46**	65	NE	1	NE	2	NE	1	3	1	1	.	⸙ II
																					Summe	
Mittel	-6.0	-2.6	-5.5	-5.0	—	717.0	717.0	717.5	92	79	92							7.6	6.4	6.3	15.8	

$\lambda = 6^\circ 57'$, $\beta = 47^\circ 0'$,
$Hb = 487.3^m$, $G = 0.06\,^m/_m$.

Neuenburg.

Januar 1911.
Observatorium.

1	-3.2	-0.6	-1.6	-1.8	-2.0	725.9	723.7	721.0	96	85	84	NE	1	NE	1	N	2	10	3	10	2.8	n ($^1/_2$) ✳
2	-1.0	0.6	-3.3	-1.2	-1.3	713.9	713.1	712.9	89	66	94	NW	2	SE	1	SE	1	10*	7	7	.	✳ n–$8^1/_2{}^a$
3	-2.8	-2.4	-2.8	-2.7	-2.8	711.5	710.4	710.4	87	77	88	NE	2	NE	2	NE	3	10	10	10*	0.5	✳°, ⸙ III, n ✳°
4	-1.8	-1.8	-1.7	-1.8	-1.9	710.1	711.6	713.6	90	94	98	NE	2	NE	1	N	1	10	10	10	.	≡° II, ●° III
5	-1.6	-1.4	-1.8	-1.6	-1.7	714.8	715.8	718.4	94	92	92	NE	0	NE	1	N	0	10	10	10	.	
6	-2.3	1.2	-5.0	-2.0	-2.0	720.8	721.5	723.2	94	73	86	NE	1	SE	1	N	1	10	3	0	.	
7	-6.5	-1.5	-4.4	-4.1	-4.1	725.1	726.0	728.5	98	86	95	SE	1	SE	1	N	0	10	7	0	.	
8	-6.4	-3.9	-5.2	-5.2	-5.2	731.9	732.5	733.4	100	100	100	N	1	NE	0	NE	0	10≡	10≡	0	.	⋁ ≡
9	-6.5	-3.0	-1.5	-3.7	-3.7	733.0	731.3	728.5	100	100	100	NE	0	NE	1	NE	1	10≡	10≡	10	2.8	⋁ ≡², ●° $6^1/_2$–8p, n ● ✳
10	0.5	2.4	-1.4	0.5	0.5	725.1	727.4	729.2	96	76	88	NW	1	NE	1	NE	1	10*●	8	0	.	✳° ●° n–8^a
11	-2.2	-2.0	-3.7	-2.6	-2.6	724.7	722.5	717.1	92	86	93	NE	1	NE	1	NE	1	9	10	10	.	
12	-4.5	-0.2	-1.4	-2.0	-2.0	710.0	**707.8**	708.1	95	82	85	NE	1	NE	1	N	1	10	10	9	.	
13	-1.4	1.0	-1.4	-0.6	-0.6	711.1	713.7	716.9	96	82	94	NE	1	NE	1	NE	1	10	10	10*	1.2	✳ $6^1/_2$–10p
14	-2.4	-3.0	-2.8	-2.7	-2.7	718.0	720.1	722.9	83	79	89	E	3	NE	2	NE	3	10	10	10	.	⸙ I, III–n
15	-5.6	-4.6	-6.4	-5.5	-5.5	723.3	723.6	725.8	88	82	79	NE	3	NE	2	NE	2	10	8	9	.	⸙ I
16	-6.9	-4.2	-4.2	-5.3	-5.3	728.1	730.1	732.1	89	73	70	NE	1	NE	2	NE	2	10	3	0	.	
17	-6.2	-0.7	-2.6	-3.2	-3.2	734.5	734.2	735.1	80	78	71	NE	1	NE	2	NE	2	0	0	0	.	
18	-7.6	-2.0	0.8	-2.3	-2.4	**735.3**	734.3	733.5	100	76	82	NE	1	NE	1	NE	2	10≡	3	0	.	⋁ ≡ I
19	-0.8	2.5	0.6	0.8	0.7	732.2	730.7	729.9	92	81	88	NE	1	NE	1	NE	2	10	7	5	.	p ≡°
20	1.2	1.6	1.1	1.3	1.2	729.6	729.3	728.4	98	100	96	NE	1	NE	2	NE	1	10	10	10	.	●°
21	-1.4	-1.3	-2.4	-1.7	-1.8	727.2	725.7	725.2	98	98	96	NE	1	NE	1	NE	1	10	10	10	.	≡° II
22	-2.6	-0.8	-2.7	-2.0	-2.2	725.2	725.4	727.0	96	89	100	NW	1	NW	1	NW	1	10	10	10	.	≡° I
23	-3.7	-3.4	-3.8	-3.6	-3.8	728.2	728.6	728.9	100	95	95	NE	1	NE	1	NE	1	10	10	10	.	
24	-4.4	-3.6	-3.8	-3.9	-4.1	728.7	729.0	730.2	95	80	82	NE	1	N	1	N	1	10	10	10	.	
25	-4.2	-2.4	-3.4	-3.3	-3.6	730.7	730.6	731.2	82	79	94	NE	1	NE	1	NE	1	10	10	10	.	
26	-3.9	2.8	0.2	-0.3	-0.6	731.2	731.4	732.5	98	68	89	NE	1	NE	1	NE	1	8	3	10	.	
27	-3.8	-1.0	-0.9	-1.9	-2.3	731.8	731.1	731.0	100	100	100	NE	1	NE	1	N	1	10≡	10≡	10≡	.	≡² I, ⋁ II, ≡
28	-2.6	-2.2	-0.1	-1.6	-2.0	729.4	730.0	728.7	100	100	87	NW	1	NE	1	NE	1	10	10	0	.	≡ $8^3/_4$–$9^1/_4{}^a$
29	-0.9	2.4	1.2	0.8	0.3	726.8	726.4	724.2	91	73	82	NE	2	NE	2	NE	3	10	0	8	.	⸙ III–n
30	-2.0	-1.3	-5.0	-2.8	-3.3	722.4	723.3	725.6	80	73	54	NE	3	NE	3	NE	3	7	0	0	.	≡° I, ⸙
31	**-7.8**	-3.0	-6.6	-5.8	-6.4	726.1	727.1	730.0	67	**46**	59	NE	3	NE	3	NE	3	2	0	0	.	⸙
																					Summe	
Mittel	-3.4	-1.1	-2.5	-2.3	—	724.7	724.8	725.3	93	83	87							9.2	7.2	6.4	7.3	

Keine Angaben über Schneebedeckung.

Januar 1911.
Beobachter: Frl. *H. Nager.*

Altdorf.

$\lambda = 8^\circ 39', \beta = 46^\circ 53'$, $H_b = 456.3^m$, $G = 0.05\,^m/_m$.

Tag	Lufttemperatur 7^{30}	1^{30}	9^{30}	Mittel	Abweich. vom Normalst.	Luftdruck 7^{30}	1^{30}	9^{30}	Relative Feuchtigkeit 7^{30}	1^{30}	9^{30}	Windrichtung und Stärke 7^{30}	1^{30}	9^{30}	Bewölkung 7^{30}	1^{30}	9^{30}	Niederschlag	Witterung
1	-9.1	-2.0	-4.8	-5.3	-5.4	729.6	726.9	724.3	77	55	72	SE 0	E 0	SE 0	0	1	8	2.7	⧆
2	-2.5	-0.3	-2.2	-1.7	-1.7	717.1	714.9	715.8	100	87	82	SE 0	NW 0-1	SE 0	10✱	10✱	10	7.7	✱ n–p ⧆
3	-3.6	-0.6	-3.2	-2.5	-2.5	714.6	713.6	714.2	89	64	84	SE 0	SE 0	SE 0	10	10	10	.	⧆
4	-3.3	0.2	-2.3	-1.8	-1.8	713.5	714.1	715.9	87	**52**	71	SE 0	SE 0	SE 0	10	10	10	.	⧆
5	-4.3	-1.2	-2.4	-2.6	-2.6	718.5	718.9	721.3	70	57	79	SE 0	SE 0	SE 0	10	10	10	.	⧆
6	-6.8	-1.6	-7.9	-5.4	-5.4	724.4	724.7	725.9	76	60	85	SE 0	SE 0	SE 0	2	1	1	.	⧆
7	-4.1	-0.5	-7.3	-4.0	-4.0	728.2	729.0	731.5	95	74	92	SE 0	SE 0	SE 0	10	1	0	.	⧆
8	**-9.4**	-1.2	-8.7	-6.4	-6.4	734.9	735.5	736.5	89	70	73	SE 0	SE 0	SE 0	0	0	0	.	⧆
9	-8.3	-1.2	-1.5	-3.7	-3.7	736.2	733.8	731.5	100	76	84	SE 0	SE 0	SE 0-1	0	0	10	4.2	⧆
10	-0.7	2.4	-1.4	0.1	0.1	727.8	729.5	732.5	100	95✱	62	SE 0	NW 1-2	SE 0	10✱	10	5	4.7	✱ n–10½a, ● –4p ⧆
11	-7.6	-0.9	-8.2	-5.6	-5.6	728.1	724.6	720.5	84	64	86	SE 0	SE 0	SE 0	2	1	0	.	⧆
12	-6.3	1.1	-3.6	-2.9	-2.9	712.8	**710.7**	711.2	97	65	80	SE 0	SE 0	SE 0	7	9	4	.	≡° II ⧆
13	-3.3	1.9	-0.4	-0.6	-0.6	714.8	716.5	719.7	77	58	95	SE 0	SE 0	SE 0	5	3	10	.	≡° I, ✱° 6½p–n ⧆
14	-1.4	0.0	-1.2	-0.9	-1.0	721.5	723.2	725.6	91	70	84	NW 0	N 1	NW 0	10	10	10	.	⧆
15	-2.6	-3.4	-3.9	-3.3	-3.4	726.6	726.6	728.7	87	86	81	NW 0	NW 0	SE 0	10	10	10	.	⧆
16	-5.0	-5.2	-3.9	-4.7	-4.8	732.6	733.8	736.1	81	72	81	SE 0	SE 1	SE 0	10	10	10	.	≡° III ⧆
17	-4.5	-1.7	-3.7	-3.3	-3.4	738.1	737.9	**739.2**	86	78	94	SE 0	SE 0	SE 0	10	10	10	.	≡° I ⧆
18	-5.5	-1.4	-3.3	-3.4	-3.5	738.7	737.7	737.7	100	95	100	SE 0	SW 0	SE 0	10≡	10≡	10≡	.	≡². ≡ III ⧆
19	-3.7	0.0	-2.3	-2.0	-2.2	735.9	735.7	734.2	100	80	100	SE 0	SE 0	SE 0	10≡	10	10	.	≡² I ⧆
20	-2.3	0.4	-1.9	-1.3	-1.5	733.6	733.3	732.0	100	85	100	SE 0	SE 0	SE 0-1	10	10	10	.	≡° n–p ⧆
21	-2.8	-1.0	-3.2	-2.3	-2.5	730.5	729.2	728.4	100	85	100	SE 0-1	SE 0	SE 0	10	10	10	.	⧆
22	-5.0	-0.6	-2.9	-2.8	-3.1	729.1	729.3	730.4	100	86	100	SE 0	SE 0	SE 0	10≡	10≡	10≡	.	≡², ≡ III–n ⧆
23	-2.5	-1.2	-1.9	-1.9	-2.2	731.1	731.5	731.7	100	86	89	SE 0-1	SE 0	SE 0	10≡	10	10	.	≡² I ⧆
24	-2.5	-2.6	-2.8	-2.6	-3.0	731.8	732.4	733.1	75	79	83	SE 0-1	NE 0-1	N 0	10≡	10	10	.	≡² I ⧆
25	-3.1	-0.4	-3.3	-2.3	-2.7	733.9	734.3	734.2	70	59	84	SE 0-1	E 0	SE 0	10	10	7	.	⧆
26	-0.8	**3.4**	-2.3	0.1	-0.4	734.1	734.9	735.7	86	55	83	SE 0	E 0	E 0	10	5	0	.	⧆
27	-5.3	1.6	-3.9	-2.5	-3.0	734.2	734.4	733.9	94	80	100	SE 0	SE 0	SE 0	0	0	0	.	⧆
28	-3.0	-0.4	-3.2	-2.2	-2.8	732.8	734.3	732.9	100	100✱	95	SE 0	NW 1	NW 0	10≡	10≡	0	.	≡ n–p● ⧆
29	-2.7	0.2	-3.6	-2.0	-2.6	730.6	730.2	728.6	95	73	95	SE 0	SE 0	NW 0-1	10≡	10	10	.	≡² I ⧆
30	-3.5	-0.4	-2.2	-2.0	-2.7	727.0	727.4	728.9	85	70	60	SE 0-1	E 0	NW 1	10	10	10	.	⧆
31	-5.7	-3.2	-9.1	-6.0	-6.7	730.3	731.9	733.7	60	60	75	SE 0	N 1	N 0	10	6	0	.	⧆
Mittel	-4.2	-0.6	-3.6	-2.8	—	728.2	728.1	728.6	89	73	86			.	7.9	7.3	6.9	Summe 19.3	

Januar 1911.
Observatorium.

Genf.

$\lambda = 6^\circ 9', \beta \equiv 46^\circ 12'$, $H_b = 405.0^m$, $G = 0.02\,^m/_m$.

Tag	Lufttemperatur 7^{30}	1^{30}	9^{30}	Mittel	Abweich. vom Normalst.	Luftdruck 7^{30}	1^{30}	9^{30}	Relative Feuchtigkeit 7^{30}	1^{30}	9^{30}	Windrichtung und Stärke 7^{30}	1^{30}	9^{30}	Bewölkung 7^{30}	1^{30}	9^{30}	Niederschlag	Witterung
1	-2.2	0.4	-2.6	-0.9	-0.7	732.8	731.3	729.5	87	85	83	NE 1	NNE 1	NNE 1	1	1	10	1.5	n (½) ✱
2	-1.8	0.9	-1.8	-1.2	-1.0	722.5	720.4	720.5	92	74	80	NNW 0	NNE 1	N 1	10✱	9	8	.	✱° 7–7½a ⧆
3	-1.7	-1.1	-1.2	-2.3	-2.0	718.2	717.1	716.8	79	80	80	NNE 2	NNE 2	NNE 3	9	10	10	.	↙
4	-2.0	-1.2	-1.1	-1.1	-0.8	717.4	718.9	721.0	79	75	77	E 1	E 1	ESE 1	10	10	10	.	
5	-2.2	0.0	-0.9	-1.2	-0.9	722.8	723.4	725.9	87	81	88	ESE 1	ESE 0	NNE 0	10	10	10	.	
6	-3.2	0.3	-4.8	-2.1	-1.8	728.7	729.4	730.9	91	71	86	ENE 0	NNE 0	ENE 0	1	0	0	.	
7	-7.1	1.2	-1.8	-3.1	-2.8	733.1	733.8	736.0	89	76	83	ENE 0	NE 0	ENE 0	2	7	3	.	⦶ 8a, a ⌴
8	-5.2	-0.6	-4.5	-2.9	-2.6	739.5	740.2	741.1	90	88	94	NE 1	E 0	S 1	9	5	5	.	
9	-4.1	-1.5	-1.0	-2.6	-2.3	740.8	739.1	737.3	90	84	80	S 1	SSE 0	S 0	10	10	10	0.4	a ⌴, n ●°
10	-0.2	2.3	1.7	1.0	1.3	733.6	734.3	735.4	98	89	65	S 0	NNE 1	NNE 3	10	10	1	.	a ∽ △°, p n ↙
11	-1.0	-0.5	-4.3	-1.4	-1.1	731.9	730.1	725.1	84	77	90	NNE 2	N 1	NE 0	9	1	3	.	↙ I, ⏀ Ψ 9–10p
12	-3.5	**4.7**	0.8	-0.3	0.0	717.6	**715.3**	715.6	82	**42**	62	NE 0	NW 1	W 1	10	9	8	.	a ⌴
13	-1.1	4.0	2.0	1.2	1.5	718.5	720.8	723.4	92	60	72	W 0	N 1	NNE 2	5	8	10	.	↙ III–n
14	-0.8	-0.7	-1.2	-0.8	-0.5	724.7	726.6	729.4	81	88	80	NNE 3	NNE 3	NNE 2	10	10	10	.	↙²
15	-2.5	-2.9	-3.7	-3.1	-2.8	730.4	730.9	733.4	87	82	81	NNE 2	NE 1	NE 1	10	10	10	.	↙ I
16	-4.0	-3.6	-4.0	-3.8	3.6	735.6	737.2	739.2	81	86	78	ENE 1	NE 1	ENE 1	10	10	6	.	
17	-6.7	-0.5	-3.5	-3.9	-3.7	741.8	741.4	**742.6**	80	67	87	ESE 0	NNE 1	SW 1	2	1	0	.	a ⌴
18	**-7.6**	-0.1	-2.3	-3.6	-3.4	**742.6**	741.7	741.0	89	73	83	E 0	NNE 1	NW 0	1	1	0	.	a ⌴
19	0.0	0.5	-0.7	-0.9	-0.7	739.2	738.0	737.4	89	79	88	NE 1	ENE 0	NNE 0	10	10	9	.	
20	-1.2	1.3	1.4	0.5	0.6	737.2	737.0	736.1	92	78	88	NNE 0	NNE 0	NNE 0	10	10	10	.	
21	-0.5	0.5	-0.9	-0.2	-0.1	734.7	733.5	732.9	96	88	95	ESE 1	E 0	ESE 1	10	10	10	.	
22	-4.3	-1.9	-2.6	-2.7	-2.6	733.1	733.2	734.5	96	97	97	ESE 1	ESE 1	WNW 1	10	10	10≡	.	≡ III–n
23	-2.3	-2.1	-1.4	-2.2	-2.2	735.7	736.0	736.5	100	96	88	W 0	NNE 0	WNW 0	10≡	10	10	.	a ≡ ∽
24	-3.0	-2.9	-1.9	-2.7	-2.7	736.3	736.8	737.3	92	82	79	W 1	WSW 1	NE 1	10	10	10	.	
25	-2.8	-1.8	-2.4	-2.4	-2.5	737.9	738.0	738.6	90	83	84	NE 2	NNE 1	ENE 0	10	10	10	.	↙ I
26	-3.5	1.8	-2.8	-1.9	-2.0	739.1	739.5	739.8	94	70	95	ENE 0	SE 0	ESE 0	10	9	5	.	
27	-6.5	0.1	-1.1	-2.6	-2.8	739.3	739.0	738.8	94	89	98	ESE 1	E 0	SSW 0	2	8	10	.	a ⌴, ≡ 7p–n
28	-3.1	-2.1	0.7	-1.6	-1.8	737.3	737.4	736.1	100	98	86	S 1	SW 1	NE 1	10≡△	10	10	.	△° ∽ 7a, a ≡
29	-0.2	0.6	-0.4	0.1	-0.2	734.3	734.0	731.9	89	78	92	NE 1	NNE 1	SE 0	10	10	10	.	
30	0.0	-0.5	-2.5	-0.8	-1.1	729.5	730.7	732.8	89	89	70	NNE 1	NNE 1	NNE 3	10	9	8	.	p n ↙
31	-5.9	-3.7	-5.0	-4.7	-5.1	732.8	734.0	737.2	79	73	67	NNE 3	NNE 2	NNE 2	9	7	0	.	↙
Mittel	-2.9	-0.3	-1.7	-1.7	—	732.2	732.2	732.7	89	80	83				8.1	7.9	7.3	Summe 1.9	

Die Temperatur-Tagesmittel von Genf resultieren aus 8 Beobacht. in dreistünd. Zeitintervallen. — Die Beobachtungstermine sind 7^{35a}, 1^{35} u. 9^{35p}.

$\lambda = 8^\circ 33'$, $\beta = 47^\circ 23'$,
$Hb = 493.2^m$, $G = 0.08\,{}^m/_m$.

Zürich.

Januar 1911.
Meteorol. Centralanstalt.

Tag	Lufttemperatur					Luftdruck			Relative Feuchtigkeit			Windrichtung und Stärke			Bewölkung			Niederschlag	Witterung
	7^{00}	1^{30}	9^{30}	Mittel	Abweich. vom Normalst.	7^{30}	1^{30}	9^{30}	7^{30}	1^{30}	9^{30}	7^{30}	1^{30}	9^{30}	7^{30}	1^{30}	9^{30}		
1	-3.4	-0.8	-2.5	-2.2	-0.9	725.9	723.2	719.9	100	71	77	NE 0	NW 0	NW 1	2	6	10	6.1	a ≡
2	-2.0	0.6	-5.0	-2.1	-0.7	713.7	712.7	712.9	95	74	91	SW 1	NW 0	W 0	10*	10	8	5.3	✳ n-11 1/4a
3	-4.0	-3.3	-2.9	-3.4	-2.0	712.1	711.5	711.4	86	81	77	N 0	NE 1	NE 1	10	10	10	.	✳° n-10a
4	-2.3	-1.4	-1.6	-1.8	-0.4	710.6	711.4	713.2	81	78	95	E 1	E 0	W 0	10	10	10●	1.0	✳° 2p-p, ● ∽ 7p-n
5	-2.3	-1.0	-2.1	-1.8	-0.4	714.8	715.6	718.1	83	76	86	S 0	SE 0	N 0	10	10	10	.	a ∽
6	-3.0	2.5	-4.5	-1.7	-0.3	720.5	721.3	722.8	84	54	81	SE 0	S 1	E 1	4	1	0	.	
7	-8.7	-2.6	-8.0	-6.4	-5.0	724.7	725.9	728.3	100	75	90	E 0	E 0	E 0	10≡	7	2	.	a ≡2 ⋁, p ≡°
8	-8.4	-4.6	-6.5	-6.5	-5.0	731.6	732.4	733.2	100	100	100	NW 0	NW 0	E 0	10≡	3	10≡	.	≡ ⋁, ≡° II
9	-8.4	-3.3	-2.2	-4.6	-3.1	732.6	730.9	727.8	100	100	92	W 0	S 0	NE 0	10≡	9	10●	5.9	a ≡, ⋁, ≡° II, ●△ 8p-n
10	0.4	0.8	-2.0	-0.3	1.2	724.3	727.3	729.4	100	95	92	N 1	N 0	NE 0	10*	10	9	5.4	✳ n-11a, ✳° 11 3/4a-2p
11	-6.8	-1.1	-6.5	-4.8	-3.3	725.2	721.5	717.1	95	71	88	E 0	E 0	SW 0	3	7	4	.	
12	-5.8	1.4	-3.8	-2.7	-1.2	709.7	**707.6**	707.9	95	65	86	S 0	SW 0	E 0	10	8	2	0.1	a ⋁°, p ⊕
13	-2.2	-0.1	-2.4	-1.6	-0.1	711.0	713.8	717.3	92	85	88	E 0	N 1	NE 1	10	10*	10*	3.8	✳° I, 10 3/4a-III, ✳-n
14	-3.6	-3.2	-4.0	-3.6	-2.1	719.1	720.7	723.1	75	80	80	NE 1	E 1	NE 1	10	10	10	.	
15	-9.0	-5.8	-7.2	-7.3	-5.8	723.9	724.1	725.6	81	70	81	NE 2	NE 0	NE 1	10	10	10	.	
16	-8.2	-4.8	-9.8	-7.6	-6.2	728.2	730.5	733.1	89	73	86	E 1	NE 0	E 0	10	10	2	.	
17	**-10.2**	-1.4	-8.4	-6.7	-5.3	735.0	734.6	**735.8**	88	58	88	E 1	E 1	E 0	1	1	2	.	a ≡°
18	-10.0	-4.3	-5.2	-6.5	-5.1	735.4	734.8	734.2	100	80	100	NE 0	NW 0	SE 0	10≡	4	10≡	.	a ≡2 ⋁, ≡° II, ≡ 7p-n
19	-5.6	-2.4	-1.8	-3.3	-1.9	732.5	731.5	731.0	100	100	96	E 0	SE 0	SE 0	10≡	10	10	.	≡ I, ≡° ⋁-II, ≡° III-n
20	-1.8	1.4	0.6	0.1	1.5	729.8	729.6	728.2	100	90	100	SE 0	SE 0	E 1	10≡	10	10	0.2	≡ I, a ≡° ⋁, ●° 8p
21	-1.4	-1.7	-3.4	-2.2	-0.9	727.0	725.6	724.7	94	86	94	NE 1	NE 0	E 0	10	10	10	.	
22	-4.2	0.6	-3.2	-2.3	-1.0	724.5	725.1	727.0	99	65	93	NW 0	NW 0	E 0	10	2	10	.	≡° I
23	-4.7	-4.4	-5.4	-4.8	-3.5	728.0	728.3	728.7	91	90	90	NE 0	NE 0	NE 0	10	10	10	.	✳° 5 3/4p
24	-5.4	-4.6	-4.4	-4.8	-3.6	728.5	728.9	730.0	85	84	80	W 0	W 0	SW 0	10	10	10	.	p ✳°
25	-4.6	-1.2	-3.6	-3.1	-1.9	730.6	730.3	730.7	75	60	80	NE 0	SW 1	E 0	10	7	1	.	
26	-1.4	**2.8**	0.0	0.5	1.6	730.3	731.3	732.1	85	65	90	E 0	E 0	E 0	10	9	0	.	
27	-4.7	**2.8**	-3.4	-1.8	-0.7	731.1	730.7	730.5	100	68	93	E 0	W 0	W 0	10≡	2	3	.	≡2 n-10 1/2a, ≡ 10p-n
28	-6.0	-2.0	-2.3	-3.4	-2.4	729.4	730.8	729.5	98	100	100	N 0	S 1	SE 0	10	10	10≡	.	≡° I, p, ≡ a, 8p-n, ⋁
29	-2.6	1.5	-2.5	-1.2	-0.2	727.2	727.0	725.2	98	74	100	NE 1	E 1	SW 0	10	2	10≡	.	≡ 8 1/2p-n
30	-4.0	-1.0	-6.0	-3.7	-2.8	724.0	724.7	727.2	81	47	56	NE 1	NE 2	NE 1	9	1	0	.	p ⸗
31	-9.0	-3.4	-8.6	-7.0	-6.1	728.1	728.9	730.8	75	**45**	67	NE 1	NE 2	NE 1	4	0	0	.	p ⸗
																		Summe	
Mittel	-5.0	-1.4	-4.1	-3.5	—	724.8	724.9	725.4	91	76	88				8.8	7.1	6.9	27.8	

$\lambda = 8^\circ 30'$, $\beta = 47^\circ 3'$,
$Hb = 1787.3^m$, $G = -0.11\,{}^m/_m$.

Rigi-Kulm.

Januar 1911.
Beobachter: *J. Aschwanden.*

1	-11.8	-9.2	-10.6	-10.5	-6.0	615.2	613.5	610.8	—	—	—	SE 0	SE 0	W 2-3	0	3	3	2.6	⸗ III-n, n ✳
2	-8.6	-10.0	-11.8	-10.1	-5.6	605.0	603.9	603.9	—	—	—	NW 4	NW 0	NW 0	10≡	10*	10≡	9.6	⸗2 I, ≡ ✳
3	-12.4	-10.4	-12.5	-11.7	-7.2	602.4	601.8	601.8	—	—	—	NW 0-1	NE 0	W 0	10≡	10≡	10≡	2.2	≡ ✳
4	-12.8	-10.0	-10.8	-11.2	-6.7	**601.3**	602.3	604.2	—	—	—	E 0	NW 0	NW 0-1	10≡	7≡	10≡	0.8	≡ ✳°
5	-10.8	-9.6	-10.6	-10.3	-5.8	605.6	606.3	608.6	—	—	—	SE 0	SE 0	W 0	3	10≡	10≡	0.2	p ≡ ✳°
6	-11.6	-9.2	-9.2	-10.0	-5.5	610.7	611.8	613.6	—	—	—	SE 0	SE 0	SE 1-2	3	1	0	.	
7	-9.2	-7.0	-8.2	-8.1	-3.5	615.0	616.6	618.2	—	—	—	E 0	S 0	SW 0	3	3	0	.	
8	-8.6	-7.4	-8.6	-8.2	-3.6	620.6	621.3	622.4	—	—	—	NE 1	NE 3	NE 0	0	0	0	.	⸗ II
9	-8.0	-4.8	-5.0	-5.9	-1.3	622.2	621.5	619.8	—	—	—	NE 0	W 0	W 2-3	1	7	10	1.9	⸗ III-n, n ✳
10	-3.4	-6.4	-9.2	-6.3	-1.7	615.9	617.3	618.7	—	—	—	NW 4	NW 3	W 0	10	10*	10*	**16.6**	⸗2 n-II, ✳
11	-11.8	-8.4	-8.2	-9.5	-4.9	614.9	612.2	609.3	—	—	—	E 3	NE 0	W 4	0	0	1	.	⸗ I, ⸗2 III
12	-6.8	-3.4	-7.0	-5.7	-1.1	603.4	601.9	602.0	—	—	—	SE 0	S 1	SE 2-3	10	7	3	.	⸗ III
13	-7.0	-3.2	-7.4	-5.9	-1.3	604.4	606.2	607.7	—	—	—	SW 0	E 0	W 0	10	3	10*	1.1	≡° II, ✳ III
14	-10.4	-7.0	-7.2	-8.2	-3.6	608.5	610.0	612.5	—	—	—	E 3	SE 2	SE 3	7≡	1	0	.	≡ ⸗ I, ≡°-p, ⸗ III-n
15	-8.0	-5.4	-6.2	-6.5	-1.9	612.6	603.2	615.8	—	—	—	NE 4	SE 1	SE 0	1	0	0	.	⸗2 I
16	-6.4	-6.8	-6.6	-6.6	-2.0	617.2	618.9	621.4	—	—	—	NE 0	NE 3	NE 4	1	0	1	.	p n ⸗2
17	-1.6	0.8	-1.8	-0.9	3.7	624.0	624.4	625.5	54	25	21	NE 4	NE 3	S 3	1	1	1	.	⸗2 I, ⸗
18	-1.2	2.2	-0.6	0.1	4.7	**625.7**	625.5	625.0	54	16	72	E 0	E 0	E 0	3	3	0	.	
19	0.2	4.2	1.4	1.9	6.5	623.1	622.7	622.2	25	21	68	E 0	NE 2	NE 3	3	9	0	.	⸗ III-n
20	4.2	4.0	3.6	3.9	8.5	621.7	621.7	620.7	62	55	27	E 4	SE 2	W 2	0	0	0	.	⸗2 I
21	4.0	4.4	2.2	3.5	8.1	619.1	618.2	617.6	**15**	17	31	E 0	W 0	W 1	0	1	0	.	
22	2.0	1.8	0.4	1.4	6.0	617.3	617.7	618.4	25	29	48	NW 1	NW 4	W 0	1	1	1	.	⸗2 II
23	-0.6	0.6	-2.0	-0.7	3.9	618.2	618.0	617.8	46	41	46	E 0	SE 1	W 1	0	0	0	.	
24	-4.0	-4.0	-7.4	-5.1	-0.5	617.1	617.0	617.3	49	45	65	W 2	NW 1	W 0	1	1	0	.	
25	-7.0	-0.8	-3.0	-3.6	1.0	618.4	619.7	620.4	18	22	27	E 0	SE 0	NW 2	1	5	10	.	
26	-1.4	1.0	-0.4	-0.3	4.2	621.1	622.1	623.0	76	33	67	NW 2	NW 2	NW 3	10	7	1	.	⸗ III
27	3.4	**6.2**	3.2	4.3	8.8	523.1	623.1	622.9	32	19	40	NW 0-1	NW 0	NW 0	0	1	0	.	
28	1.2	-0.2	-1.2	-0.1	4.4	621.3	621.3	620.3	38	35	35	NW 2	NW 1	NW 0	1	3	0	.	
29	-1.6	-1.2	-2.6	-1.8	2.7	618.3	618.0	616.6	31	39	38	E 2	E 2	W 3	0	0	0	.	⸗ III-n
30	-5.6	-6.4	-11.0	-7.7	-3.2	614.0	614.8	614.1	29	38	22	NE 4	NE 4	NE 3	0	0	0	.	⸗2, ⸗ III-n
31	**-13.6**	-12.8	-9.0	-11.8	-7.3	614.1	615.5	617.5	40	50	19	NE 4	NE 4	NE 3	0	0	0	.	⸗2, ⸗ III-n
																		Summe	
Mittel	-5.5	-3.8	-5.4	-4.9	—	615.2	615.4	615.8	—	—	—				3.2	3.4	2.9	35.0	

Januar 1911.
Beobachter: *J. Camenisch.*

Bevers.

$\lambda = 9° 53'$, $\beta = 46° 33'$,
$H_b = 1712.6^m$, $G = -0.12\,^m/_m$.

Tag	Lufttemperatur 7³⁰	1³⁰	9³⁰	Mittel	Abweich. vom Normalst.	Luftdruck 7³⁰	1³⁰	9³⁰	Relative Feuchtigkeit 7³⁰	1³⁰	9³⁰	Windrichtung und Stärke 7³⁰	1³⁰	9³⁰	Bewölkung 7³⁰	1³⁰	9³⁰	Niederschlag	Witterung
1	-23.2	-14.6	-17.8	-18.5	-8.4	621.2	618.6	616.4	79	70	79	NE 1	— 0	N 1	0	0	0	.	
2	-12.2	-7.3	-10.4	-10.0	0.1	610.3	608.5	608.8	90	83	87	— 0	— 0	NE 2	10	10*	10*	3.5	p ✳
3	-12.0	-11.0	-12.4	-11.8	-1.6	607.8	**607.5**	**607.5**	82	80	88	N 4	N 4	NW 4	10	8	2	.	↙ p²
4	-13.6	-9.9	-15.6	-13.0	-2.8	608.0	609.4	610.3	90	71	85	N 1	S 1	N 1	5	7	0	0.3	n (4/5) ✳°
5	-17.6	-10.2	-15.7	-14.5	-4.3	612.3	612.2	614.9	86	68	88	NE 1	S 1	N 1	9	9	0	0.3	n (7/8) ✳°
6	-15.1	-7.0	-12.0	-11.4	-1.1	618.3	619.5	621.1	90	76	93	NE 1	N 1	NE 1	10	10	3	.	
7	-10.6	-10.2	-17.4	-15.5	-5.2	622.6	622.3	625.0	86	73	80	W 1	— 0	N 1	5	0	0	.	
8	-21.2	-14.6	-18.4	-18.1	-7.8	627.5	627.2	628.9	81	64	76	— 0	— 0	N 1	0	0	0	.	
9	-20.4	-9.8	-16.6	-15.4	-5.1	628.4	626.6	626.0	81	66	79	NE 1	— 0	N 1	0	0	0	0.3	n (9/10) ✳°
10	-10.6	-1.6	-9.2	-6.9	3.4	626.8	626.7	623.6	90	64	58	— 0	N 2	N 3	10	10	2	0.8	✳° ∴
11	-22.2	-11.2	-18.8	-17.4	-7.1	622.2	619.6	616.6	81	59	66	N 1	— 0	N 1	0	0	0	.	
12	-19.8	-7.6	-13.2	-13.5	-3.0	611.6	608.8	608.8	75	53	64	N 1	— 0	W 1	8	7	10	0.4	n (12/13) ✳°
13	-14.4	-7.2	-13.0	-11.5	-1.2	610.1	611.7	613.8	71	59	72	— 0	— 0	W 1	10	2	5	.	
14	-9.6	-6.2	-14.0	-9.7	0.6	615.8	617.9	620.8	90	71	86	NE 2	— 0	N 1	10	7	1	.	
15	-19.2	-9.8	-17.4	-15.5	-5.3	621.4	621.2	623.1	86	70	73	N 1	— 0	N 1	1	0	0	.	
16	-19.0	-10.0	-14.9	-14.6	-4.4	624.2	624.9	628.9	76	59	73	W 1	— 0	N 1	0	0	0	.	
17	-16.2	-6.5	-14.2	-12.3	-2.2	630.5	630.5	**631.8**	85	67	71	— 0	— 0	W 1	0	0	0	.	
18	-14.1	-6.0	-12.0	-10.7	-0.7	631.6	630.6	630.2	80	61	72	W 1	— 0	— 0	8	0	0	.	
19	-15.0	-2.0	-6.4	-7.8	2.2	628.8	627.6	628.9	80	53	84	W 1	— 0	— 0	3	9	0	.	
20	-12.0	-3.4	-10.7	-8.7	1.2	628.5	628.1	628.1	96	76	74	— 0	— 0	— 0	2	0	0	.	
21	-15.4	-4.8	-11.4	-10.5	-0.7	626.5	624.6	624.8	78	57	64	W 1	— 0	N 1	8	0	0	.	
22	-13.6	-2.0	-12.2	-9.5	0.2	623.9	623.1	624.2	74	54	67	NE 1	— 0	W 1	0	5	0	.	
23	-17.2	-7.3	-13.7	-12.7	-3.1	625.3	625.0	625.3	76	60	65	— 0	— 0	W 1	0	0	0	.	
24	-17.0	-6.1	-15.9	-13.0	-3.5	623.4	622.3	622.9	71	58	69	SE 1	— 0	NE 1	0	0	0	.	
25	-20.6	-9.0	-9.5	-13.0	-3.5	624.4	624.8	625.9	80	59	65	NE 1	— 0	— 0	0	2	7	.	
26	-6.4	**2.5**	-6.7	-3.5	5.9	625.7	626.5	628.4	81	61	74	NE 1	— 0	— 0	10	4	0	.	
27	-12.2	-0.0	-10.2	-7.5	1.8	629.3	628.6	628.9	86	59	68	— 0	— 0	NE 1	2	0	0	.	
28	-13.6	-3.0	-7.4	-8.0	1.2	627.2	625.3	625.4	74	53	**47**	NE 1	— 0	W 1	8	2	0	.	
29	-16.8	-5.5	-14.2	-12.2	-3.1	624.7	623.3	622.5	83	64	70	— 0	— 0	N 1	0	0	0	.	
30	-19.6	-10.4	-18.6	-16.2	-7.2	620.0	619.9	620.9	81	75	84	N 1	— 0	W 1	0	7	0	.	
31	**-23.6**	-13.2	-22.8	-19.9	-11.0	622.0	622.8	625.7	82	70	71	N 1	N 1	N 1	4	0	0	.	
																		Summe	
Mittel	-16.2	-7.2	-13.6	-12.3	—	621.7	621.3	622.2	82	65	74				4.3	3.2	1.3	5.6	

Januar 1911.
Beobachter: P. *F. Landolt.*

Sitten.

$\lambda = 7° 21'$, $\beta = 46° 14'$,
$H_b = 540^m$, $G = 0.00\,^m/_m$.

Tag	Lufttemperatur 7³⁰	1³⁰	9³⁰	Mittel	Abweich. vom Normalst.	Luftdruck 7³⁰	1³⁰	9³⁰	Relative Feuchtigkeit 7³⁰	1³⁰	9³⁰	Windrichtung und Stärke 7³⁰	1³⁰	9³⁰	Bewölkung 7³⁰	1³⁰	9³⁰	Niederschlag	Witterung
1	-2.1	-3.1	-5.8	-3.7	-2.5	721.0	718.7	717.1	82	54	75	E 0	E 0	E 0	0	0	3	0.3	
2	-4.4	-2.9	-3.2	-3.5	-2.3	710.3	707.0	707.4	98	89	70	S 0	SW 1	NE 0	10*	10*	9	0.4	✳° n-1 1/2p
3	-5.8	-3.9	-4.7	-4.8	-3.6	706.3	705.2	704.7	68	89	100	E 0	NE 0	E 0	10	10*	10*	**2.3**	✳ 10 1/2a-10p
4	-6.4	-4.6	-5.8	-5.6	-4.4	704.8	706.4	709.4	100	85	90	E 0	E 0	E 0	3≡	4≡	0≡	.	V l, ≡
5	-9.2	-4.9	-6.2	-6.8	-5.6	710.9	711.1	714.0	100	75	85	E 0	SW 0-1	E 0	0	2	0	.	
6	-7.3	-3.4	-5.6	-5.4	-4.1	716.7	717.2	718.5	84	72	85	E 0	SE 0	E 1	6	1	0	.	
7	-8.8	-1.6	-5.8	-5.4	-4.1	720.5	721.1	723.8	82	63	85	W 0	SW 0	NE 0	4	7	0	.	
8	-7.8	-3.0	-6.0	-5.6	-4.3	727.3	727.7	728.8	81	58	77	E 0	SW 0	NE 0	0	0	0	.	
9	-8.0	-1.7	-2.3	-4.0	-2.8	728.4	726.7	724.6	80	55	72	W 0	S 0	NE 0	1	8	10	0.5	n (9/10) ✳°
10	-2.3	1.1	-1.8	-1.0	0.2	720.9	720.7	722.5	95	82	81	SW 0	SW 0	NE 0	10	10	0	2.0	a ✳
11	-7.8	-4.0	-7.4	-6.4	-5.2	720.7	717.9	713.8	77	58	74	W 0	SW 0	E 0	1	0	0	.	
12	-7.1	-0.3	-3.8	-3.7	-2.5	706.5	**703.4**	704.2	72	54	62	E 0	SW 0	E 0-1	8	7	5	.	
13	-5.1	0.1	-1.6	-2.2	-1.0	706.9	708.7	710.5	73	51	66	E 0	SW 0	E 0	3	2	10	.	
14	-3.2	1.7	-3.4	-1.6	-0.4	711.6	713.7	716.9	87	58	90	SE 0	SW 0	NE 1	6	3	0	.	
15	-6.4	-2.4	-5.6	-4.8	-3.7	717.6	717.5	720.4	100	80	93	SE 0	SW 0	E 0	0	0	0	.	V l
16	-8.8	-4.1	-6.8	-6.6	-5.5	723.0	723.7	726.3	100	84	92	S 0	SW 0-1	SW 0	0	0	0	.	V l
17	**-11.2**	-4.4	-6.2	-7.3	-6.3	728.8	728.6	**730.4**	94	76	95	SW 0	SW 0	E 0	0	0	0	.	\ l
18	-7.2	-0.9	-3.1	-3.7	-2.8	729.8	728.9	728.3	91	66	77	E 0	SW 0	E 0	0	0	0	.	
19	-6.0	1.2	-2.4	-2.4	-1.5	727.0	725.2	725.0	85	60	95	E 0	SW 0	E 0	1	8	3	.	
20	-6.0	-1.1	-2.8	-3.3	-2.5	724.7	724.2	724.0	100	75	96	NE 0	SW 0	E 0	0	0	0	.	
21	-3.7	1.0	-3.3	-2.0	-1.3	722.3	720.7	720.5	85	62	92	E 0-1	S 0	E 0	0	0	0	.	
22	-2.0	2.4	-1.8	-0.8	-0.1	720.8	720.5	721.6	68	**47**	76	E 0	E 0	E 0	0	0	0	.	
23	-8.4	-5.2	-5.2	-6.3	-5.7	723.2	722.8	723.8	100	100	100	S 0	SW 0	E 1	10≡	10	10≡	.	≡² l, ≡
24	-4.3	-4.1	-3.6	-4.0	-3.4	723.5	723.8	724.4	93	82	85	SE 0	E 0	E 0	10≡	10	10≡	.	≡
25	-3.7	-1.2	-4.1	-3.0	-2.5	725.4	725.4	725.9	67	55	75	E 0	E 0-1	E 0-1	10≡	8	0	.	≡ l
26	-4.1	1.1	-2.7	-1.9	-1.5	726.3	726.6	728.0	85	52	77	SE 0	S 0	NE 0-1	6	8	0	.	
27	-2.4	**3.1**	-1.2	-0.2	0.1	727.2	726.2	726.3	77	52	80	E 0	E 0	E 0	0	0	0	.	
28	-1.1	1.8	-1.2	-0.2	0.1	724.9	724.2	723.6	66	58	100	NE 0	S 0	S 0	1	0	10	.	≡ III-n
29	-5.8	-2.2	-3.6	-3.9	-3.7	721.8	721.2	719.7	100	94	100	SW 0	SW 0-1	E 0	10≡	10≡	10≡	.	≡² l, V ≡
30	-5.8	-4.6	-2.3	-5.2	-5.1	717.1	717.4	719.2	100	100	89	SW 0	E 0	E 0	10≡	10≡	10≡	.	≡² l, \ ≡
31	-4.2	-3.0	-7.0	-3.9	-3.9	719.9	720.5	724.0	82	**47**	85	E 0	E 0	NE 0	8	0	0	.	
																		Summe	
Mittel	-5.8	-1.6	-4.1	-3.8	—	719.9	719.4	720.3	86	62	85				4.1	4.1	3.2	5.5	

$\lambda = 8° 57'$, $\beta = 46° 0'$,
$H_b = 276.2^m$, $G = 0.03^{m}/_{m}$.

Lugano.

Januar 1911.
Beobachter: *G. Belletti.*

Tag	Lufttemperatur 7³⁰	1³⁰	9³⁰	Mittel	Abweich. vom Normalst.	Luftdruck 7³⁰	1³⁰	9³⁰	Relative Feuchtigkeit 7³⁰	1³⁰	9³⁰	Windrichtung und Stärke 7³⁰	1³⁰	9³⁰	Bewölkung 7³⁰	1³⁰	9³⁰	Niederschlag	Witterung	
1	−0.8	5.6	0.1	1.6	0.3	740.2	738.8	736.6	55	34	83	N 0	SW 0	NW 0	0	0	6	.		
2	−2.2	1.8	−1.0	−0.5	−1.8	732.4	729.5	729.7	68	77	94	NW 0	NW 0	NW 0	3	10	10	1.3	✳ 3½–4½, 8½p–n	[✳]
3	1.0	4.0	1.8	2.3	1.0	725.9	724.9	**724.8**	81	56	88	SE 0	S 0	N 0	10	10	10	0.2	n ([illegible]) ✳° ●°	[illegible]
4	0.6	3.0	1.4	1.7	0.4	728.5	730.1	731.8	89	90	88	NW 0	NW 0	NW 0	10	10	7	2.2	a ● ✳	
5	0.4	2.2	1.0	1.2	0.0	732.3	733.4	736.5	80	91	96	W 0	SE 0	NE 0	10	10	10	2.6	● ✳, n ✳°	
6	1.0	1.4	1.4	1.3	0.1	740.9	742.4	744.2	85	96	96	N 0	N 0	N 0	10	10✳●	10	3.5	● ✳	
7	−0.8	4.9	0.0	1.4	0.2	745.6	745.5	747.3	97	79	79	NW 0	NW 0	NW 0	3	8	0	.		
8	−2.2	5.4	−0.8	0.8	−0.4	749.1	749.0	749.9	71	64	72	N 0	NW 0	N 0	0	0	0	.	⌴ I	
9	−2.8	5.2	0.0	0.8	−0.4	749.9	748.1	747.0	73	54	67	N 0	NW 0	N 0	0	0	6	.		
10	0.2	5.4	6.2	3.9	2.7	741.9	739.6	741.7	77	60	**19**	N 0	N 0	N 2	10	10	1	.	↗ 3½p–3½a	
11	−0.8	5.6	−1.2	1.2	0.0	743.3	741.3	738.6	52	47	61	N 0	SW 0	NW 0	0	0	0	.		
12	−3.8	2.6	−2.2	−1.1	−2.3	732.8	730.5	730.2	61	54	72	N 0	SW 0	NW 0	0	0	6	.		
13	−3.0	3.1	−0.6	−0.2	−1.4	731.7	732.7	734.5	76	53	82	NW 0	N 0	NW 0	3	6	9	1.7	n (13/14) ✳	
14	−1.0	1.2	0.6	0.3	−0.9	738.3	740.8	742.1	80	93	89	NW 0	N 0	N 0	10✳	10✳●	10	**4.6**	● ✳ n–2½p	[✳]
15	0.4	3.6	−2.2	0.6	−0.7	743.5	744.4	746.3	91	64	81	N 0	S 0	N 0	10	10	0	.		[✳]
16	**−4.2**	3.6	−1.8	−0.8	−2.1	747.5	747.7	750.0	77	66	84	N 0	N 0	N 0	0	0	3	.		[✳]
17	−2.8	6.2	−1.0	0.8	−0.5	750.9	750.9	**752.5**	82	57	79	N 0	SW 0	N 0	0	0	0	.		[✳]
18	−2.2	5.6	0.2	1.2	−0.1	749.8	748.4	746.9	76	67	80	N 0	NE 0	N 0	0	3	0	.		[✳]
19	6.6	**12.8**	6.2	8.5	7.1	743.4	741.7	743.9	48	45	66	SW 1	SW 0	NW 0	0	6	0	.		[✳]
20	1.0	9.4	2.6	4.3	2.9	745.3	744.6	745.2	89	62	82	N 0	SE 0	N 0	0	0	0	.		
21	0.4	8.2	2.0	3.5	2.1	744.7	743.5	744.6	80	63	75	N 0	SW 0	NW 0	0	0	0	.		
22	−1.4	6.4	0.4	1.8	0.3	743.9	742.5	743.0	83	65	75	N 0	SW 0	NW 0	0	0	0	.		
23	−2.2	5.2	0.2	1.1	−0.4	745.1	745.2	746.1	81	70	80	N 0	NE 0	NE 0	0	0	0	.		
24	−2.0	1.8	1.2	0.3	−1.3	745.7	745.2	744.3	86	76	79	N 0	N 0	N 0	10	10	10	.		
25	−3.0	5.1	0.2	0.8	−0.8	745.6	746.3	745.7	82	61	77	N 0	NE 0	N 0	0	0	0	.		
26	−1.4	4.2	1.2	1.3	−0.4	745.0	745.2	745.9	83	68	82	N 0	NW 0	N 0	0	9	3	.		
27	0.0	8.8	2.8	3.9	2.2	746.8	746.3	745.2	72	70	68	N 0	NE 0	N 0	0	0	0	.		
28	−1.0	8.0	3.8	3.6	1.8	744.5	742.6	741.8	75	70	85	N 0	N 0	N 0	0	0	0	.		
29	−0.4	7.8	0.8	2.7	0.9	743.5	741.2	739.4	76	65	72	N 0	NW 0	N 0	0	0	0	.		
30	1.4	1.2	−0.8	0.6	−1.3	743.1	745.3	745.4	80	57	84	SW 0	SW 1	SW 0	10	10	10	.		
31	−1.0	1.5	−2.0	−0.5	−2.5	747.2	748.5	750.4	82	72	77	SW 0	SE 0	N 0	10	6	10	.		
Mittel	−0.8	4.9	0.7	1.6	—	742.2	741.8	742.3	77	66	78				3.5	4.5	3.9	Summe 16.1		

$\lambda = 7° 35'$, $\beta = 47° 33'$,
$H_b = 277.2^m$, $G = 0.13^{m}/_{m}$.

Basel.

Januar 1911.
Bernoullianum.

Tag	Lufttemperatur 7³⁰	1³⁰	9³⁰	Mittel	Abweich. vom Normalst.	Luftdruck 7³⁰	1³⁰	9³⁰	Relative Feuchtigkeit 7³⁰	1³⁰	9³⁰	Windrichtung und Stärke 7³⁰	1³⁰	9³⁰	Bewölkung 7³⁰	1³⁰	9³⁰	Niederschlag	Witterung	
1	−1.8	−1.2	−1.2	−1.4	−1.1	745.9	743.2	738.9	94	91	88	E 0	E 0	E 0	10	7	10	9.5	✳ 10¾p–n	[✳]
2	−0.4	0.3	−1.3	−0.5	−0.2	733.1	731.8	732.0	96	91	90	W 0	W 0	W 0	10✳	2	10	.	✳ n–7½a, n ✳°	[✳]
3	−6.4	−3.2	−1.3	−3.6	−3.3	732.1	731.0	731.1	92	88	90	SE 0	W 0	NE 0	10✳	10	10	0.5	a ✳°	[✳]
4	−1.0	−0.2	0.0	−0.4	−0.1	730.1	730.7	732.7	90	90	93	NE 0	NW 0	NW 0	10	10	10	0.1		[✳]
5	−0.6	0.2	0.1	−0.1	0.2	734.1	734.9	737.6	97	98	97	W 0	W 0	W 0	10	10	10	.		[✳]
6	−0.6	1.8	−1.4	−0.1	0.2	739.8	740.3	742.1	95	96	87	E 0	E 0	E 0	10	3	0	.		[✳]
7	−4.6	−0.7	−4.0	−3.1	−2.7	743.4	744.6	747.4	85	70	84	NE 0	E 1	E 1	5	7	0	.		[✳]
8	−7.6	−3.2	−5.8	−5.5	−5.1	751.2	751.9	753.5	88	75	90	SE 1	E 1	NE 1	[illegible]	[illegible]	[illegible]	.	⌴ I [11p. ✳ 10p–n	[illegible]
9	−8.4	−3.0	−1.0	−4.1	−3.7	752.3	749.9	747.0	98	78	91	NE 1	SE 1	SE 1	9	10	10	**16.0**	⌴ I. ●° 3¾, 4¼p, ∽ ●	[✳]
10	0.2	2.6	−0.2	0.9	1.3	744.2	747.3	749.0	100	83	94	SE 0	W 0	S 1	10✳●	5	0	0.6	●° ✳° ≡ n–8¾a	[✳]
11	−5.6	−0.7	−3.6	−3.3	−2.9	744.7	740.7	735.2	95	72	82	SE 0	E 0	SE 1	0≡	1	3	.	≡ I	[✳]
12	−3.1	0.8	−0.8	−1.0	−0.6	727.8	**725.6**	726.7	83	66	80	SE 1	E 0	SE 0	10	10	10	0.3		[✳]
13	−0.4	−0.7	−1.4	−0.8	−0.5	730.2	733.9	737.2	91	94	100	SE 0	NW 0	N 0	10✳	10	10✳	3.7	✳° 7¼–7¾a, ✳ 6¼p–	[✳]
14	−5.0	−3.6	−7.4	−5.3	−5.0	739.4	740.9	743.2	95	80	95	W 0	W 0	NE 0	10	7	10	.	[0¾a	[✳]
15	−10.0	−7.8	−9.8	−9.2	−8.9	744.3	744.0	745.8	97	93	87	NE 0	N 0	SE 0	10≡	0	0	.	≡ ⌴ I	[✳]
16	−10.0	−4.0	−6.2	−6.7	−6.4	748.5	750.2	753.0	89	61	81	SE 0	SE 0	E 0	8	1	0	.		[✳]
17	**−10.4**	−2.0	−4.8	−5.7	−5.4	754.5	754.1	755.2	88	69	88	S 1	S 0	SE 0	0	1	0	.		[✳]
18	−8.8	−4.6	−5.8	−6.4	−6.2	**755.7**	754.8	753.8	93	73	90	SE 0	N 0	SE 0	10	3	0	.		[✳]
19	−2.2	1.0	−1.0	−0.7	−0.5	752.0	751.3	750.8	90	76	97	E 0	E 0	SW 0	10≡	10	10−	.	≡ I, III–n, ≡°	[✳]
20	−0.6	1.0	0.8	0.4	0.6	749.4	748.9	747.7	97	96	96	W 0	W 0	N 0	10≡	10	10	.	≡ I, ≡°–II	[✳]
21	1.0	1.4	−1.0	0.5	0.7	745.8	744.3	743.2	89	82	90	W 1	NE 1	SE 0	10	10	0	.		.
22	−3.0	−2.4	−1.6	−2.3	−2.2	744.2	745.2	747.1	95	92	94	SW 0	SE 0	W 0	10	10	10	.		.
23	−3.0	2.6	−3.0	−2.6	−2.8	748.0	748.6	748.9	[illegible]	85	84	E 0	SE [illegible]	E [illegible]	10	10	10		∽ [illegible] ● [illegible]	.
24	−3.0	−2.2	−2.4	−2.5	−2.4	748.4	748.6	749.9	88	80	86	S 1	W 0	S 0	10	10	10	0.1	a ∽, ✳° 11a, p	[✳]
25	−2.2	−0.2	−1.0	−1.1	−1.1	750.0	749.8	749.9	73	62	74	SE 1	E 0	E 0	10	10	10			.
26	−0.2	**4.4**	2.3	2.2	2.2	749.8	750.5	751.6	80	77	88	SE 0	E 0	S 0	10	8	10			.
27	−1.8	1.0	−1.6	−0.8	−0.9	750.7	749.7	750.0	87	85	93	SE 0	SE 1	SE 0	10≡	2	10≡	.	≡ ⌴ I, ≡ III	
28	−2.0	0.4	−0.6	−0.7	−0.8	749.4	749.9	749.1	92	89	91	S 1	S 1	E 1	10	6	0	.	⌴ III	[illegible]
29	−3.8	−0.2	−3.0	−2.3	−2.5	747.0	746.3	744.4	93	98	100	NW 0	N 0	NW 0	10≡	10≡	10≡	.	⌴ I, III, ≡	✳
30	−4.8	−0.4	−3.4	−2.9	−3.2	743.4	744.3	746.3	100	43	**39**	N 0	SE 1	E 2	10≡	0	0	.	≡ ⌴ I	✳
31	−5.6	−1.6	−5.2	−4.1	−4.5	748.1	748.6	750.5	**39**	43	52	E 1	E 1	E 1	0	0	0			
Mittel	−3.7	−1.0	−2.5	−2.4	—	744.4	744.4	744.9	89	80	87				8.5	6.2	5.9	Summe 30.8		

Januar 1911.
Observatorium.

Säntis.

$\lambda = 9° 20'$, $\beta = 47° 15'$,
$Hb = 2500.1^m$, $G = -0.16\,^m/_m$

Tag	Lufttemperatur 7h	1h	9h	Mittel	Abweich. vom Normalst.	Luftdruck 7h	1h	9h	Relative Feuchtigkeit 7h	1h	9h	Windrichtung und Stärke 7h	1h	9h	Bewölkung 7h	1h	9h	Niederschlag	Witterung
1	-15.9	-11.5	-13.9	-13.8	-5.0	560.5	559.4	556.6	96	39	80	ENE 1	NE 3	SW 4	1	2	7	2.6	☔ 🌂 $7^1/_2$-$9^1/_2$p
2	-13.8	-14.0	-17.1	-15.2	-6.4	551.4	549.9	549.8	100	98	100	WSW 3	WNW 1	NNW 1	10≡*	9	10≡*	4.2	⋁ ≡ ✳ ☔ n-$9^1/_2$p, *)
3	-15.8	-12.2	-12.4	-13.5	-4.7	**548.7**	549.1	549.1	97	90	87	NNE 1	NE 3	NNE 4	9	8	4	.	☔°, 🌂 III
4	-11.6	-9.2	-11.8	-10.5	-1.7	549.3	550.2	551.4	91	87	98	ENE 3	NE 1	SSE 2	8	6	7	.	
5	-11.9	-10.2	-11.9	-11.3	-2.4	552.8	553.0	554.8	86	70	90	NNE 3	NE 1	E 1	2	7	3	.	
6	-13.7	-11.3	-12.1	-12.4	-3.5	557.2	558.3	560.2	92	90	89	SSE 3	SSW 3	SSW 3	4	2	1	.	🌂 $10^1/_2$a, ☔ 8^1 2^a-n
7	-12.4	-10.3	-12.6	-11.8	-2.9	561.4	562.6	564.3	91	88	98	SSW 2	WSW 2	ESE 2	2	2	1	.	
8	-13.1	-9.1	-9.1	-10.4	-1.5	566.5	567.6	568.5	93	54	48	NE 2	NE 1	NE 1	1	1	0	.	
9	-7.7	-6.1	-5.5	-6.4	2.6	568.3	567.9	566.0	43	79	99	NW 2	N 1	NNE 3	1	3	10≡*	**23.0**	≡ ✳ 9^1 4^p-n
10	-8.4	-12.0	-14.7	-11.7	-2.7	561.9	562.8	563.8	100	100	100	W 3	NNE 1	NNE 1	10≡*	10≡*	10≡*	15.2	≡² ✳ ☔ ⋁
11	-13.8	-9.2	-8.8	-10.6	-1.6	561.0	559.6	556.8	60	60	62	ENE 2	SE 2	ESE 1	0	1	3	.	a ☔
12	-8.1	-5.5	-10.2	-7.9	1.1	551.6	550.3	549.9	54	67	80	SW 3	SW 2	SW 2	8	9	9	1.2	⋓ $9^1/_2$p, ☔° 9^p-n
13	-10.3	-9.1	-11.5	-10.3	-1.3	551.7	553.2	554.6	100	97	98	WSW 2	W 2	W 0	10≡*	6	9≡	1.4	☔° ✳ n-10^a, ≡ n-$11^1/_4{}^a$,
14	-12.4	-8.3	-9.2	-10.0	-1.0	555.7	557.8	560.0	98	97	90	ENE 3	SSE 2	ENE 2	8	4	0	.	$\{3^1/_4$-$6^1/_2$, $9^1/_4$p-n
15	-8.2	-5.9	-4.8	-6.3	2.7	560.9	561.3	562.9	42	41	32	ENE 3	NE 3	NE 3	1	1	0	.	☔ n-11^a
16	-3.3	-4.0	-4.6	-4.0	5.0	565.1	566.6	569.4	48	62	81	NNE 3	NNE 4	NNE 4	1	1	1	.	🌂
17	-5.5	-3.7	-4.6	-4.6	4.4	571.2	571.7	**572.6**	51	48	46	NE 3	ENE 2	NE 3	1	3	3	.	
18	-4.6	-3.9	-3.9	-4.1	4.9	572.3	572.1	571.5	39	83	58	NE 3	N 3	NNE 2	5	3	1	.	
19	-2.9	-0.8	-2.2	-1.9	7.1	570.0	570.1	570.2	48	100	97	NNE 3	NNE 4	NE 3	9	10≡	2	.	🌂 II, ≡ $11^1/_2{}^a$-$4^1/_2$p
20	-1.8	-0.5	-0.2	-0.8	8.3	570.2	570.0	569.0	76	46	26	NE 3	NNE 3	NE 3	1	0	0	.	
21	0.4	**1.6**	-0.3	0.6	9.7	567.4	566.4	565.8	27	32	30	NE 3	E 1	ESE 1	0	1	1	.	
22	-2.9	-3.6	-4.9	-3.8	5.3	564.9	565.0	565.7	38	47	80	WSW 4	WSW 5	WSW 3	1	5	2	.	a 🌂, p 🌂²
23	-4.2	-3.2	-5.0	-4.1	5.0	565.7	565.7	565.4	40	48	45	ENE 2	ENE 2	SE 1	1	1	1	.	
24	-7.5	-7.5	-10.7	-8.6	0.5	563.8	563.3	563.5	57	84	87	WSW 4	WSW 4	WSW 2	1	1	3	.	🌂 n-$4^1/_2$p
25	-10.5	-8.7	-9.1	-9.4	-0.3	564.6	565.7	566.6	64	93	77	NNE 2	N 1	WSW 3	5	9	3	1.3	n ($^{25}/_{26}$) ✳
26	-6.9	-5.8	-4.1	-5.6	3.5	567.7	568.5	570.1	100	90	53	WSW 3	WSW 4	WNW 3	10≡	7	1	0.3	✳° $8^1/_4$-$8^3/_4{}^a$, ≡ n-$8^3/_4{}^a$,
27	-3.7	-0.3	-2.4	-2.1	7.0	570.6	570.8	570.2	68	38	35	WSW 2	WNW 2	WNW 2	1	1	1	.	$\{$☔ n-$7^1/_2$p, p 🌂
28	-4.8	-5.7	-6.3	-5.6	3.5	568.0	567.3	566.9	79	70	45	WSW 4	WSW 4	N 2	2	2	0	.	🌂 n-II
29	-5.2	-5.5	-7.4	-6.0	3.1	565.6	565.1	563.7	43	28	17	N 2	NE 3	ENE 3	0	0	0	.	
30	-8.5	-9.7	-15.4	-11.2	-2.1	561.2	560.7	560.0	**16**	24	26	NNE 3	ENE 3	NE 3	1	0	0	.	
31	**-18.1**	-16.4	-13.3	-15.9	-6.8	560.1	561.7	563.9	48	71	59	ENE 3	NE 3	NE 3	1	1	0	.	
Mittel	-8.6	-7.2	-8.4	-8.0	—	562.2	562.4	562.7	67	68	68				3.7	3.7	3.0	Summe 49.2	*) **2.** ≡ $6^1/_2$p-n, ✳ $8^1/_2$p-n

Januar 1911.
Beobachter: *D. Dittli.*

St. Gotthard (Hospiz).

$\lambda = 8° 34'$, $\beta = 46° 33'$,
$Hb = 2102.9^m$, $G = -0.14\,^m/_m$.

1	-15.2	-10.6	-9.4	-11.7	-3.9	589.4	588.0	586.1	85	80	35	N 4	N 3	N 3	1	1	1	0.6	🌂² I, 🌂. n ✳°
2	-9.1	-12.0	-14.0	-11.7	-3.9	581.0	578.5	578.4	79	87	87	NW 1	N 3	N 4	10≡	10*	10*	5.8	≡ I, p ☔ ✳ 🌂, 🌂² III-n
3	-14.0	-13.3	-14.7	-14.3	-6.5	577.6	**576.9**	577.2	85	85	86	N 3	N 3	N 4	10*	10	10	2.3	≡² I, 🌂, 🌂² III, n ✳
4	-11.4	-8.4	-10.0	-9.9	-2.0	578.0	579.2	581.1	82	87	88	NNW 0	NW 0	NNW 1	7	6	10-	0.2	≡ III. n ✳°
5	-11.6	-6.9	-10.2	-9.7	-1.8	581.3	581.9	584.5	70	75	94	N 2	NNW 1	NNW 1	9	7	9*	0.5	✳° $8^1/_2$p-n
6	-10.4	-8.6	-9.3	-9.4	-1.5	587.6	588.7	590.8	92	92	95	SE 1	SE 2	SE 2	10	10≡*	10*	1.8	✳ 8^a-n, ≡ II
7	-10.2	-7.0	-11.9	-9.7	-1.8	591.7	592.6	594.2	95	71	76	SE 1	SE 1	SE 1	5	5	0	.	
8	-12.4	-7.2	-8.0	-9.2	-1.3	595.7	596.7	597.0	60	35	33	N 3	N 3	N 3	0	0	0	.	
9	-3.1	-0.2	-4.2	-6.5	1.4	597.6	596.9	595.7	34	32	35	N 3	N 2	N 2	0	1	7	0.9	🌂 n-I, n ✳°
10	-5.6	-8.2	-12.3	-8.5	-0.6	591.2	590.7	592.9	97	94	89	N 3	N 4	N 5	10*	10*	9	**7.9**	🌂 I, ☔ ✳ n-$6^1/_2{}^p$, 🌂²
11	-12.3	-7.8	-11.4	-10.5	-2.6	590.9	589.0	586.1	60	51	50	N 2	SW 1	SW 1	0	0	2	.	
12	-11.8	-8.2	-10.4	-10.1	-2.2	580.8	579.3	579.2	45	38	38	SSW 1	SSW 1	SSW 1	9	9	7	.	
13	-8.8	-7.8	-10.3	-9.0	-1.1	580.6	582.2	583.5	44	45	80	N 1	N 2	N 3	7	7	10	0.3	🌂 III
14	-10.1	-7.0	-9.1	-8.7	-0.7	585.3	587.9	589.7	91	70	77	NNW 1	SE 2	SE 2	10*	5	4	.	✳° n-$11^1/_2{}^a$
15	-11.9	-9.0	-7.8	-8.3	-0.3	590.3	590.9	592.3	94	61	45	SE 1	SE 2	SE 2	10	0	0	.	
16	-8.0	-3.1	-1.8	-4.5	3.5	593.7	595.0	598.0	29	22	29	SE 0	NW 1	NNW 1	0	0	1	.	
17	-2.0	-0.6	-1.8	-1.5	6.4	600.1	600.6	**601.8**	34	28	27	N 2	NNW 1	NNW 1	0	1	1	.	
18	-4.1	-0.4	-4.0	-2.8	5.1	601.4	601.0	600.4	32	27	37	NNW 2	N 3	N 3	1	1	1	.	
19	-3.2	1.8	0.9	-0.5	7.4	598.3	598.7	598.8	34	36	65	N 2	NNW 1	NNW 1	0	7	1	.	p 🌂
20	1.7	1.7	-0.0	0.9	8.8	598.7	598.5	597.6	49	45	24	NNW 1	N 2	N 1	0	0	0	.	
21	-0.8	**3.0**	-1.2	0.3	8.2	595.7	595.2	594.9	18	23	26	NNW 1	NW 0	NW 1	0	0	0	.	
22	-3.0	0.2	-3.7	-2.2	5.7	593.9	594.0	594.5	23	24	39	SE 0	N 2	N 2	0	1	0	.	
23	-4.0	0.8	-2.6	-1.9	6.0	594.3	594.8	594.7	46	34	38	N 2	E 1	SE 1	1	1	0	.	
24	-7.2	-5.4	-13.0	-8.5	-0.6	593.4	592.6	592.8	43	39	68	SE 1	NNW 2	N 3	0	0	0	.	🌂 III-n
25	-11.1	-7.4	-8.6	-9.0	-1.1	593.7	594.6	595.4	62	43	55	N 4	N 3	N 5	0	6	1	.	🌂², 🌂 II
26	-4.0	-2.2	-3.2	-3.3	4.9	599.4	597.0	598.8	95	82	55	N 3	N 3	N 4	9	4	1	.	🌂, 🌂² III
27	-3.0	2.7	-1.2	-0.5	7.3	599.6	599.4	598.9	34	21	21	N 2	N 2	N 2	0	0	0	.	
28	-1.0	-2.6	-6.8	-3.5	4.3	597.2	596.4	595.5	23	42	65	N 3	N 3	N 4	2	1	1	.	🌂, 🌂² III
29	-4.6	-3.0	-6.2	-4.6	3.2	594.1	593.6	592.3	27	33	36	N 2	N 2	N 3	0	0	0	.	🌂 III
30	-2.8	0.2	-10.9	-4.5	-0.7	591.0	589.8	589.2	**15**	05	89	NNW 1	NNW 0	N 3	0	10-	9	0.2	p ≡², 🌂 = III
31	**-17.3**	-12.1	-11.2	-13.5	-5.7	590.1	591.6	593.7	86	30	19	NW 0	NW 1	NW 2	0	0	0	.	
Mittel	-7.7	-5.1	-7.6	-6.8	—	591.3	591.4	591.8	57	51	55				3.6	3.6	3.4	Summe 20.5	

$\lambda = 7^\circ 26'$, $\beta = 46^\circ 57'$,
$Hb = 572.2^m$, $G = 0.05\,{}^m/_m$.

Bern.

Februar 1911.
Tellur. Observatorium.

Tag	Lufttemperatur					Luftdruck			Relative Feuchtigkeit			Windrichtung und Stärke			Bewölkung			Niederschlag	Witterung
	7^{30}	1^{30}	9^{30}	Mittel	Abweich. vom Normalst.	7^{30}	1^{30}	9^{30}	7^{30}	1^{30}	9^{30}	7^{30}	1^{30}	9^{30}	7^{30}	1^{30}	9^{30}		
1	**-15.2**	-7.2	-8.8	-10.4	-9.3	724.0	723.8	724.0	93	65	89	S o	NE o	E o	2≡	1	1	.	a· ≡ ⌙
2	-13.0	-2.0	-4.3	-6.4	-5.4	723.2	721.7	721.0	92	63	74	E o	NE 1	SE o	3	0	9	1.5	n (2/3) ✳
3	-3.8	0.6	-0.4	-1.2	-0.3	718.0	716.6	718.7	98	81	78	S o	SE o	NE 1	10	8	6	.	☂ ✳° $9^1/_2$–$10^1/_2{}^a$, $0^1/_2$–
4	-2.6	-0.7	-6.3	-3.2	-2.3	718.2	718.1	718.6	85	68	92	E o	E o	E o	9	1	2≡	.	≡ III–n [$1^1/_2{}^p$
5	-10.5	-4.7	-4.5	-6.6	-5.8	718.2	718.3	719.3	96	100	87	SE o	NE o	E o	10≡	10≡	10	.	a ≡^{2} ⌙, ≡ II
6	-3.6	0.2	-2.4	-1.9	-1.2	718.7	719.1	721.4	83	65	74	E o	NE 2	SE o	9	4	1	.	🌧 II
7	-11.0	-1.2	-3.0	-5.1	-4.5	722.3	721.8	722.5	98	61	85	SE o	NE o	E o	3≡	5	8	0.2	a ≡ ⌙, ☋ III
8	-3.0	1.4	-3.4	-1.7	-1.2	721.7	721.2	722.4	94	74	85	SE o	E o	N o	10*	9*	1	0.3	✳° n–II
9	-9.2	-3.5	-7.8	-6.8	-6.4	721.2	720.0	718.7	97	65	94	N 1	NE o	N o	2	1	2≡	.	≡ III–n
10	-12.8	-1.7	-4.4	-6.3	-6.0	716.8	716.4	716.0	97	64	78	SE o	SE o	S o	3≡	1	2	.	a ≡ ⌙, ☋ III
11	-6.2	4.1	0.8	-0.4	-0.2	716.4	716.0	716.1	89	47	71	SE o	SE o	SE o	7	7	6	.	☋ III
12	-0.8	3.2	0.2	0.9	1.0	716.4	716.9	718.0	82	83	100	SE o	WSW o	N o	10	10●	10*	8.7	● $0^3/_4$–$5^1/_2{}^p$, ✳–n
13	-1.7	0.6	0.3	-0.3	-0.4	718.0	718.1	719.2	98	91	96	NE o	NNE 1	NE o	10	10	10	0.2	✳$^\smile$ $7^1/_2$–$10^1/_2{}^a$
14	-0.5	0.4	-1.2	-0.4	-0.6	720.9	722.1	723.4	86	86	89	E o	NE o	NE o	10	10	10	.	
15	-2.5	0.8	-2.5	-1.4	-1.7	724.8	724.9	725.9	86	67	95	S o	W o	SW o	10	7	4	.	
16	-6.6	2.8	0.8	-1.0	-1.4	**726.2**	724.9	724.6	100	49	80	SE o	SW o	SE o	7	4	5	.	●° $8^1/_2$–9^p
17	-0.8	7.3	3.9	3.5	3.0	721.8	720.5	720.6	88	**30**	45	S o	W 1	SW o	9	10	4	.	
18	1.5	8.3	6.0	5.3	4.6	718.2	714.9	713.4	81	53	81	SE o	S o	SW o	10	4	10	.	
19	1.6	7.0	2.9	3.8	3.0	707.9	**707.2**	708.4	91	44	95	SW o	SW 1	W 1	6	10	10	8.0	● $2^1/_2$-$5^1/_2$, $8^1/_2$-$9^1/_2$, $10^1/_2{}^p$-
20	1.8	5.6	2.0	3.1	2.2	711.4	711.8	715.5	89	48	74	SW o	WSW o	SW o	9	6	3	.	[n
21	1.1	6.0	1.4	2.8	1.8	717.6	717.2	717.1	74	48	75	SW o	SW o	SW o	4	3	8	.	
22	-0.2	8.1	5.2	4.4	3.3	715.1	715.1	717.8	79	33	89	S o	W 1	SW o	7	10	3	1.2	● 1–2, $6^1/_2$–7, 8–9^p
23	2.3	**10.4**	8.7	7.1	5.9	715.5	712.0	707.7	95	57	59	S o	SW o	SW 1	8	1	10	1.8	● III–n
24	5.6	6.7	2.1	4.8	3.4	709.2	709.4	712.9	61	65	93	SW 1	SW 1	N o	8	10	10●	6.0	a ●°, ● $6^1/_2{}^p$–n
25	2.4	2.9	7.3	4.2	2.7	712.9	710.9	708.8	94	95	87	SW 1	W o	SW 2	10●	10●	10●	**16.8**	●, 🌧 III, n ●
26	5.8	6.4	3.6	5.3	3.7	710.3	709.7	714.8	77	85	48	SW o	SW 2	NW 1	8	10	10	2.8	●, 🌧 II
27	0.1	5.3	2.5	2.6	0.9	716.8	715.5	714.6	81	34	62	SW o	NW o	SE o	7	5	9	.	
28	-0.6	8.4	3.0	3.6	1.7	713.1	711.3	710.6	87	37	83	S o	SW o	SW o	7	9	2	2.6	n ($^{28}/_1$) ●
Mittel	-2.9	2.7	0.1	-0.1	—	717.7	717.0	717.6	88	63	81				7.4	6.3	6.3	Summe 50.1	

$\lambda = 6^\circ 57'$, $\beta = 47^\circ 0'$,
$Hb = 487.3^m$, $G = 0.06\,{}^m/_m$.

Neuenburg.

Februar 1911.
Observatorium.

1	**-10.8**	-2.4	-4.8	-6.0	-6.6	732.0	731.8	731.8	80	64	58	NE 1	NE 1	NE 2	2	0	0	.	
2	-4.8	0.6	-1.9	-2.0	-2.7	731.0	729.7	728.8	86	62	78	NE 2	NE 3	N 1	0	0	10	1.7	🌧 II, n ✳
3	-0.8	3.1	0.3	0.9	0.1	725.5	724.1	726.0	91	81	80	NW 1	SE 1	NE 2	10*	7	10	.	✳° n–8^a
4	-2.6	1.8	-3.3	-1.4	-2.3	726.3	726.0	726.3	90	68	85	NE 2	NE 2	NE 1	5	1	0	.	
5	-7.4	-3.0	-1.6	-4.0	-4.9	725.9	726.0	727.1	100	87	78	NE 1	NE 1	NE 1	3	10	10	.	a ⋁, ≡ $8^1/_2$-$10^1/_2{}^a$, ≡° II
6	-1.6	2.0	0.4	0.3	-0.7	726.4	726.9	728.8	88	65	68	NE 1	NE 2	NE 2	10	5	0	.	🌧 II
7	-3.8	1.7	-0.8	-1.0	-2.1	730.0	729.8	730.2	78	70	66	NE 1	SE 1	N 1	0	2	7	.	≡° III
8	-1.4	1.1	-1.2	-0.5	-1.7	729.4	729.1	730.0	90	78	69	N 1	NE 1	NE 1	10*	10	0	.	✳° n–10^a
9	-6.0	0.2	-4.6	-3.5	-4.7	728.9	727.9	726.6	70	64	68	NE 2	SE 1	NE 1	0	0	0	.	
10	-8.8	-0.6	-2.6	-4.0	-5.3	724.7	724.3	723.3	100	81	87	NE 1	SE 1	SE o	3	3	0	.	⋁ I, a ≡
11	-4.2	4.1	1.4	0.4	-1.0	724.0	723.6	723.6	100	70	79	E o	E 1	W o	3	6	7	.	p ≡°
12	-0.4	1.6	0.3	0.5	-1.0	724.3	724.7	725.9	96	100	98	NE 1	SW 1	NW 1	9	10●	8	4.6	✳ $9^1/_2$–$11^1/_2{}^a$, ●–$5^1/_2{}^p$,
13	-1.3	0.6	1.7	0.3	-1.3	725.8	725.8	726.9	98	86	84	NE 1	NE 2	NE 2	10	10	10	.	n a ✳° [≡ $11^1/_2{}^a$–6^p
14	0.7	0.9	-0.6	0.3	-1.4	728.6	730.0	731.5	90	83	87	NE 2	NE 2	NE 2	10	10	10	.	
15	-1.4	1.8	-1.6	-0.4	-2.2	732.6	732.6	733.5	88	75	92	NW 1	SW 1	NW 1	10	7	7	.	p ≡°
16	-3.2	3.0	2.0	0.6	-1.3	**733.9**	732.7	732.3	100	76	85	NW 1	SW 1	SW 1	10	6	8	.	⋁ I, ≡° II, ●° 7^p
17	2.6	7.8	6.7	5.7	3.7	729.7	728.7	728.0	82	**43**	71	SW 1	W 3	W 2	10	10	5	.	🌧 II
18	4.4	8.4	7.4	6.7	4.5	725.9	722.7	720.4	84	69	62	SW 1	SW 1	NW 2	10	8	0	.	p 🌧
19	6.4	6.5	3.8	5.6	3.3	715.3	**714.5**	716.0	59	62	92	W 3	W 3	W 3	9	10●	10●	4.5	🌧, ● $1^1/_4{}^p$–n
20	1.6	0.5	3.5	3.9	1.5	718.0	719.5	722.9	93	54	68	W 1	W 2	NW 1	5	7	9	.	≡° I
21	2.6	8.0	2.9	4.5	2.0	724.7	724.8	724.5	66	52	62	NW 2	SW 2	NW 1	6	3	9	.	
22	2.9	9.6	5.7	6.1	3.5	722.5	722.5	725.1	75	61	85	SW 1	W 2	NW 1	9	9	3	.	●° $0^1/_2$–4^p
23	2.4	**10.7**	9.4	7.5	4.8	722.7	719.4	715.1	91	64	77	NW o	SW 2	SW 3	7	0	10●	9.0	🌧 3^p–n, ● $8^1/_2{}^p$–n
24	5.8	5.6	3.8	5.1	2.2	717.5	717.0	720.3	64	80	79	SW 3	SW 3	SW 2	10	9●	8●	9.2	🌧 ●
25	2.3	2.4	6.5	3.7	0.7	720.4	718.8	716.3	96	95	97	SW 3	SW 3	SW 3	10●	10●	10●	**25.5**	n a ●, 🌧, p ●^{z}
26	7.4	6.2	4.5	6.0	2.9	717.7	717.6	722.9	72	84	52	SW 1	SW 3	W 2	9	9	8	3.5	● n, 11^a–$3^1/_2{}^p$, 🌧 II
27	1.4	7.6	4.0	4.3	1.1	724.1	723.2	721.9	70	48	59	NW 1	SW 1	W 1	4	3	9	.	
28	-0.6	6.4	3.3	3.0	-0.4	720.7	718.8	718.0	78	58	79	E 1	SE 1	NW o	6	7	0	.	
Mittel	-0.6	3.6	1.6	1.5	—	725.3	724.7	725.1	85	71	77				6.8	6.1	6.0	Summe 58.0	

Keine Angaben über Schneebedeckung.

Februar 1911.
Beobachter: Frl. *H. Nager.*

Altdorf.

$\lambda = 8^\circ 39'$, $\beta = 46^\circ 53'$,
$H_b = 456.3^m$, $G = 0.05\, ^m/_m$.

Tag	Lufttemperatur 7^{30}	Lufttemperatur 1^{30}	Lufttemperatur 9^{30}	Lufttemperatur Mittel	Lufttemperatur Abweich. vom Normalst.	Luftdruck 7^{30}	Luftdruck 1^{30}	Luftdruck 9^{30}	Relative Feuchtigkeit 7^{30}	Relative Feuchtigkeit 1^{30}	Relative Feuchtigkeit 9^{30}	Windrichtung und Stärke 7^{30}	Windrichtung und Stärke 1^{30}	Windrichtung und Stärke 9^{30}	Bewölkung 7^{30}	Bewölkung 1^{30}	Bewölkung 9^{30}	Niederschlag	Witterung
1	-8.8	-4.0	-6.8	-6.5	-7.3	734.9	734.9	735.6	72	72	80	SE 0	N 1	NW 0-1	2	3	0	.	⊠
2	-10.6	-2.6	-8.9	-7.4	-8.3	734.9	734.1	732.1	84	66	73	SE 0	SE 0	SE 0	0	0	10	6.4	n ($^2/_3$) ✱ ⊠
3	-2.7	1.4	0.2	-0.4	-1.4	727.4	727.2	729.6	100	79	86	SE 0	NW 2	NW 1	10✱	10✱	10	1.2	✱ n–8^p ⊠
4	-9.2	-0.1	-3.3	-4.2	-5.2	729.8	729.4	729.4	92	60	79	SE 0	SE 0	SE 0	0	0	3	.	⊠
5	-7.4	0.0	-1.7	-3.0	-4.1	729.1	729.4	730.6	89	70	75	SE 0	SW 0	SE 0	1	10	10	.	⊠
6	-3.8	0.8	-4.9	-2.6	-3.8	730.1	731.2	732.8	70	55	70	SE 0	E 0	SE 0	10	1	0	.	⊠
7	-9.2	-0.3	-2.4	-4.0	-5.2	733.2	732.4	733.7	77	57	78	SE 0	SE 0	SE 0	0	5	10	2.5	n ($^7/_8$) ✱ ⊠
8	-1.0	1.6	-3.7	-1.0	-2.3	731.2	731.6	733.8	97	57	67	SE 0	NW 1-2	SE 0	10✱	10	0	1.1	✱ n–$10^1/_2{}^a$ ⊠
9	**-10.7**	-1.9	-6.3	-6.3	-7.7	732.7	730.3	729.5	79	65	87	SE 0	SW 0	SE 0	0	0	0	.	⊠
10	-6.1	-1.1	-5.5	-4.2	-5.7	727.7	727.3	726.4	100	75	74	SE 0	SE 0	SE 0	10	0	0	.	≡° I ⊠
11	-4.4	4.6	-0.7	-0.2	-1.8	727.0	727.0	726.9	66	50	70	SE 0	SE 0	SE 0	0	7	8	.	⊠
12	-0.5	6.0	2.1	2.5	0.9	727.4	726.9	728.3	71	53	95	SE 0	SE 0	NE 0	2	8	10●	1.5	● 9^p–n ⊠
13	0.4	3.0	1.2	1.5	-0.2	728.8	728.4	730.3	100	68	93	SE 0	NW 0	NW 0	10✱	9	10	0.4	✱° n–10^a ⊠
14	0.9	2.8	1.1	1.6	-0.2	733.2	733.1	734.1	82	62	74	SE 0	SE 0	SE 0-1	10	10	10	.	⊠
15	-2.6	2.7	-0.8	-0.2	-2.1	735.5	735.1	736.6	76	54	89	SE 0	SE 0	SE 0	2	1	1	.	⊠
16	-3.7	3.5	1.4	0.4	-1.6	**737.0**	735.5	735.4	81	54	76	SE 0	NE 0	SE 0	3	1	10	.	⊠
17	1.1	5.1	3.0	3.1	1.0	731.4	730.7	730.7	80	57	70	SE 0	NE 0	SE 0	10	10	9	.	
18	1.6	7.0	2.3	3.6	1.5	728.5	725.6	723.8	80	52	90	SE 0	E 0	SE 0	7	5	4	.	
19	0.2	7.3	4.5	4.0	1.8	717.6	716.2	716.7	98	52	75	SE 0	SE 0	SE 0	2	10	10	5.7	●° 3^p. n ● ↙
20	2.3	5.5	2.9	3.6	1.3	721.3	721.5	723.4	82	58	70	SE 0	NW 1-2	NW 0	6	4	10	.	
21	5.2	7.0	2.1	4.8	2.4	726.9	727.7	728.2	38	41	61	NW 1-2	NW 0	SE 0	3	4	0	.	
22	1.5	7.7	5.0	4.7	2.2	725.2	724.5	728.3	71	52	99	SE 0	SE 0	SE 0	5	8	10●	2.2	● III–n
23	1.8	9.5	5.9	5.7	3.1	725.8	721.6	716.8	100	60	65	SE 0	NW 0	NW 0	1	0	4	3.5	n ($^{23}/_{24}$) ● ↙
24	8.9	10.0	4.4	7.8	5.1	717.2	717.1	722.4	50	**34**	62	NW 1-2	NW 2	NW 2-3	10	10	10●	4.3	↙ III. ●–n
25	2.6	4.6	2.9	3.4	0.5	723.7	722.1	718.7	97	89	100	SE 0	SE 0	SE 0	10●	10●	10●	**26.4**	a ●, p n ●²
26	7.7	11.6	5.7	8.3	5.3	719.4	**715.3**	723.8	65	37	41	SE 0-1	NW 3-4	NW 3	10	10	10	0.5	p ●° ↙²
27	3.8	6.4	1.3	3.8	0.7	726.8	725.8	725.6	44	**34**	52	NW 0-1	NW 0	NW 0	10	3	0	.	↙² n–I
28	1.4	**12.8**	3.3	5.8	2.6	724.6	721.5	721.0	70	48	74	SE 0	NW 0-1	SE 0	8	3	0	.	
Mittel	-1.5	4.0	0.1	0.9	—	728.1	727.3	728.0	79	57	76				5.4	5.4	6.0	Summe 55.7	

Februar 1911.
Observatorium.

Genf.

$\lambda = 6^\circ 9'$, $\beta = 46^\circ 12'$,
$H_b = 405.0^m$, $G = 0.02\, ^m/_m$.

Tag	Lufttemperatur 7^{30}	Lufttemperatur 1^{30}	Lufttemperatur 9^{30}	Lufttemperatur Mittel	Lufttemperatur Abweich. vom Normalst.	Luftdruck 7^{30}	Luftdruck 1^{30}	Luftdruck 9^{30}	Relative Feuchtigkeit 7^{30}	Relative Feuchtigkeit 1^{30}	Relative Feuchtigkeit 9^{30}	Windrichtung und Stärke 7^{30}	Windrichtung und Stärke 1^{30}	Windrichtung und Stärke 9^{30}	Bewölkung 7^{30}	Bewölkung 1^{30}	Bewölkung 9^{30}	Niederschlag	Witterung
1	-6.3	-4.0	-3.6	-4.9	-5.4	739.5	739.3	738.6	84	77	80	NNE 2	NNE 1	ENE 1	10	1	0	.	↙ I
2	-5.5	0.0	-4.5	-3.2	-3.7	737.7	736.9	736.5	84	76	81	ENE 0	NNE 1	ENE 0	6	0	0	.	n ($^2/_3$) △'
3	-4.8	2.5	1.6	-1.4	-2.0	733.0	731.1	731.9	84	61	73	E 0	SSW 1	NNE 2	10	8	9	0.6	✱° $7^1/_4$–$8^3/_4{}^a$, ↙ 4^p–n
4	-1.0	0.7	-2.6	-0.3	-1.0	733.2	733.6	733.8	84	86	86	ENE 1	NNE 1	NNE 0	10	2	0	.	↙ 10^a
5	-4.8	-0.3	-1.0	-2.5	-3.2	733.8	733.3	734.3	90	71	80	E 1	NNE 1	NNE 2	10	2	10	.	a ⊔, ↙ III
6	-1.9	2.5	1.3	0.7	-0.1	733.5	733.4	735.6	87	70	78	NE 0	NNE 2	NNE 3	9	8	2	.	p ↙
7	-3.4	1.2	-2.2	-0.7	-1.6	737.5	737.7	737.5	83	70	83	ENE 0	NNE 1	NW 1	10	1	1	.	Ѡ Ѡ 7–9^p
8	-5.7	4.1	0.5	-0.9	-1.9	737.0	735.8	736.6	95	47	74	ENE 0	NNE 2	NNE 3	5	8	2	.	a ⊔, p ↙
9	-2.8	-0.7	-3.0	-1.7	-2.7	736.2	735.8	734.0	78	80	75	NNE 2	NNE 1	NNE 0	8	0	0	.	↙ n–10^a
10	**-8.0**	2.2	0.0	-2.1	-3.2	732.5	731.8	731.3	88	64	76	NNE 0	N 0	NNE 1	0	5	8	.	a ⊔
11	0.0	10.4	4.5	4.0	2.8	731.6	731.4	731.1	93	34	70	NW 0	SSW 1	SW 0	4	5	4	.	a ⊔°, Ѡ 9^p
12	1.2	4.3	1.2	2.5	1.2	731.7	732.4	733.1	87	93	96	W 0	W 0	SSW 1	10	10●	10●	7.0	● 8^a–$9^1/_2{}^p$, n
13	-1.1	1.3	[illegible]	0.9	[illegible]	733.2	733.1	734.1	90	89	82	WSW 1	NNE 1	NNE 1	10	9	10	0.1	✱' 11^a–1^p, n ●'
14	1.1	2.5	1.4	1.7	0.2	736.9	737.3	738.7	86	72	76	NNE 0	NNE 1	NNE 2	10	10	10	.	↙ III
15	0.3	1.8	0.9	1.1	-0.5	739.0	740.3	741.3	82	69	84	N 1	NNE 0	ENE 0	10	5	9	.	
16	-2.2	3.0	2.4	0.9	-0.7	**741.6**	741.0	740.6	92	63	88	WNW 0	NNE 1	NNE 1	9	4	2	0.1	a ⊔, ●° $6^1/_2$–$7^1/_2{}^p$
17	-1.0	12.1	4.3	4.2	2.5	738.7	737.1	736.0	95	**20**	53	WNW 0	SW 1	WSW 0	9	9	1	.	a ⊔
18	[illegible]	**14.6**	[illegible]	7.2	5.4	734.4	730.6	728.9	[illegible]	45	72	W 0	W 1	SSW 1	9	3	1	.	
19	5.1	9.4	6.9	6.4	4.5	724.4	**724.1**	724.7	71	40	66	SSW 1	SSW 1	SW 1	8	10	10	2.7	a ⊔°, ● $1^1/_2$–4^p u. 7–10^p
20	2.7	7.8	4.0	5.1	3.1	726.6	727.2	731.6	70	59	68	SW 1	W 0	NE 0	5	8	4	.	
21	-0.7	5.9	3.6	3.2	1.1	733.1	732.5	732.4	89	46	63	WSW 0	N 1	N 1	2	1	0	.	a ⊔
22	-1.0	9.3	5.9	4.3	2.1	731.2	731.9	733.2	87	39	78	W 0	SSW 1	SSE 1	4	10	4	.	a ⊔. ● $1^1/_4{}^p$
23	[illegible]	13.1	[illegible]	7.0	5.0	[illegible]	728.3	725.1	93	44	77	WNW 0	SW 2	SSW 2	6	1	10●	0.2	≡ 8^a, p ↙, ● $7^1/_4$–10^p
24	[illegible]	[illegible]	6.1	8.5	6.1	725.6	727.0	729.4	51	67	73	WSW 1	W 1	SW 1	9	10●	9	7.1	● 1–$1^1/_2$, $7^1/_2$–$8^3/_4{}^p$
25	[illegible]	[illegible]	8.7	5.1	2.6	729.5	728.1	726.9	83	96	99	SSW 1	SW 1	SSW 2	10●	10●	10●	**14.5**	●, ↙ III, n ●
26	8.5	10.4	6.4	9.0	6.4	726.8	727.7	731.2	79	62	42	SW 1	SW 1	N 1	9	9	9	.	⌒ $9^3/_4{}^a$, $0^3/_4$, $2^1/_2{}^p$, ●° 11^a
27	-0.2	6.6	4.7	4.3	1.5	732.5	730.8	729.8	78	34	62	E 1	NNE 1	NNE 1	2	4	10	.	a ⊔
28	[illegible]	11.1	8.5	5.8	2.9	728.3	726.6	725.7	85	40	52	NNW 0	NW 0	S 0	6	6	2	0.5	a ⊔, n ●°
Mittel	-0.6	5.1	2.7	2.3	—	733.2	732.7	733.0	84	61	74				7.5	5.7	5.2	Summe 38.8	

Die Temperatur-Tagesmittel von Genf resultieren aus 8 Beobacht. in dreistünd. Zeitintervallen. — Die Beobachtungstermine sind 7^{35a}, 1^{35} u. 9^{35p}.

$\lambda = 8^{\circ}\,33'$, $\beta = 47^{\circ}\,23'$, $H_b = 493.2^{m}$, $G = 0.08\,{}^{m}/_{m}$.

Zürich.

Februar 1911.
Meteorol. Centralanstalt.

Tag	Lufttemperatur 7h30	1h30	9h30	Mittel	Abweich. vom Normalst.	Luftdruck 7h30	1h30	9h30	Relative Feuchtigkeit 7h30	1h30	9h30	Windrichtung und Stärke 7h30	1h30	9h30	Bewölkung 7h30	1h30	9h30	Niederschlag	Witterung
1	−11.8	−4.2	−7.6	−7.9	−7.1	731.8	732.0	732.6	86	53	68	S 0	E 1	E 0	1	0	0	.	
2	−9.0	−0.2	−2.2	−3.8	−3.1	731.5	730.1	728.3	81	53	70	E 0	NE 1	SW 1	0	0	8	3.7	
3	−1.7	0.0	−0.6	−0.8	−0.2	724.4	724.0	727.0	90	84	87	W 1	NE 0	NE 1	10	10	10	1.3	● 6–6 1/2 a, ⚹ 2 1/2–9 1/2,
4	−3.6	0.2	−4.8	−2.7	−2.2	726.6	726.1	726.2	86	65	88	NE 1	NE 1	NE 0	4	4	0	.	[11 a–5 p
5	−5.8	−2.4	−2.5	−3.6	−3.1	725.8	725.8	726.8	93	83	86	NE 0	SW 1	S 0	10	10	10	.	
6	−2.6	2.4	−1.4	−0.5	−0.1	726.8	727.5	729.5	84	65	82	S 0	NE 1	NE 1	10	2	4	.	p ↙
7	−5.0	−1.0	−2.6	−2.9	−2.6	729.8	729.7	730.0	98	75	85	NE 0	W 0	SW 0	10	7	9	1.5	a ⌣°
8	−2.0	1.6	−5.8	−2.1	−1.9	728.6	729.2	730.7	95	72	93	NW 1	W 0	E 0	10*	9	1	1.4	⚹ n–0 p, ⚹° 2 3/4–4 1/4 p
9	−0.5	−2.9	−7.7	−6.7	−6.6	729.9	727.9	726.4	93	64	85	NE 1	E 1	NE 0	4	2	2	.	
10	−9.2	−0.2	−3.2	−4.2	−4.2	724.3	723.9	723.0	97	67	84	E 0	W 0	NE 1	10≡	4	2	.	a ≡ ⋁
11	−3.0	7.2	1.3	1.8	1.7	723.3	723.1	723.2	86	49	74	E 0	W 1	S 1	8	0	6	.	a ⌣
12	1.0	6.1	0.4	2.5	2.3	723.8	723.8	725.5	72	52	94	SE 0	S 0	NW 1	10	10	10*	10.4	●° 2–5 1/4 p, ⚹–n
13	−1.2	1.0	1.4	0.4	0.1	725.8	725.8	727.0	97	92	87	N 1	NW 0	NE 0	10	10	10	0.6	⚹° n–9 3/4 a
14	0.4	0.6	−0.8	0.1	−0.3	728.7	730.0	730.9	84	76	78	NE 0	NE 1	NE 1	10	10	10	.	
15	−1.6	4.4	0.6	1.1	0.6	731.8	731.7	732.9	82	52	80	NW 1	SW 1	NE 0	10	3	10	.	
16	−3.2	5.1	3.4	1.8	1.2	**733.7**	731.7	731.1	93	53	60	E 0	N 0	SW 1	4	4	10	.	n (16/17) ↙
17	5.6	8.6	4.3	6.2	5.5	727.7	727.0	727.2	43	**28**	82	W 2	SW 2	NW 1	9	9	7	.	↙
18	5.8	11.3	6.2	7.8	6.9	724.8	721.8	719.9	67	55	79	SW 1	SW 1	W 1	10	0	3	.	
19	5.8	8.6	2.0	5.5	4.5	713.3	**712.9**	714.3	75	46	93	W 2	SW 2	W 2	4	10	10●	4.5	↙, ●° 2 1/2, 5-8 3/4 p, ● ⚹°-n
20	2.0	5.3	3.4	3.6	2.5	717.9	718.8	721.3	82	56	60	W 1	NW 1	SW 2	3	6	2	.	↙ III
21	2.3	8.4	3.1	4.6	3.4	724.2	724.6	724.2	75	41	76	NW 1	W 1	SW 0	3	4	9	.	⚹° ⌣ n–I
22	1.5	9.8	8.6	6.6	5.2	721.6	720.9	724.0	79	**28**	71	S 1	SW 2	NW 2	4	10	8	.	p ↙, ●° 1 1/4–3 1/2, 6 p
23	3.6	**14.0**	10.8	9.5	8.0	722.4	718.5	713.4	92	48	45	NW 0	W 1	W 3	3	2	10	3.8	p n ↙, ● 9 3/4 p–n
24	7.1	2.2	3.8	4.4	2.7	714.1	715.4	719.0	61	96	77	SW 3	NW 3	SW 2	10●	9	9	4.9	↙, ●° 11 a, ↙² II. ● ⚹ *)
25	3.8	4.3	7.6	5.2	3.4	719.4	717.5	714.0	81	90	88	W 3	SW 1	SW 3	10●	10●	10●	**22.2**	●² ↙ n–11 p
26	7.4	4.6	1.2	4.4	2.5	716.4	713.6	721.0	62	82	85	W 3	NW 4	NW 2	8	9●△	6	2.7	● 1 1/2–2 a, ↙, ● △ ↙² II, p
27	1.6	6.7	1.4	3.2	1.1	723.1	722.9	722.1	68	47	67	W 1	W 1	NE 0	9	6	0	.	⚹° n, 8, 8 3/4–9 a [●°
28	−0.3	9.2	4.7	4.5	2.3	720.4	718.7	717.4	73	43	63	E 1	SW 1	NE 0	3	6	1	1.7	⌣ I
Mittel	−0.8	4.0	0.9	1.4	—	724.7	724.1	724.6	81	61	78				6.9	6.4	6.3	Summe 58.7	*) **24.** △ 1–1 3/4 p, ●° 3 1/4, [4 1/2 p

$\lambda = 8^{\circ}\,30'$, $\beta = 47^{\circ}\,3'$, $H_b = 1787.3^{m}$, $G = -0.11\,{}^{m}/_{m}$.

Rigi-Kulm.

Februar 1911.
Beobachter: *J. Aschwanden.*

1	−7.4	−6.4	−8.8	−7.5	−3.0	618.9	619.8	620.1	19	**9**	**9**	NE 4	NE 2	W 2	0	0	0	.	↙² I
2	−7.8	−4.4	−4.0	−5.4	−0.9	619.7	619.4	618.4	34	31	15	NE 1	NE 1	NW 1	1	1	1	4.9	n (2/3) ⚹
3	−9.2	−8.6	−9.4	−9.1	−4.6	614.3	614.1	615.9	98	96	97	NW 4	NW 3	NW 1	10	10*	10*	3.9	↙² I, ↙–II, p ⚹
4	−10.2	−6.6	−3.6	−6.8	−2.4	615.7	616.0	616.1	96	44	20	E 4	E 4	W 4	0	0	0	.	↙²
5	−3.2	−0.4	−10.8	−4.8	−0.4	616.0	615.8	616.0	17	10	100	NE 0	W 0	W 1–2	3	3	10≡	0.3	≡ III, n ⚹°
6	−10.4	−9.0	−10.8	−10.1	−5.7	615.7	616.4	618.2	98	99	98	NE 3-4	NE 2	NE 1	10	10≡	0	.	↙² I, ≡ II
7	−6.8	−5.0	−10.6	−7.5	−3.1	618.1	618.9	619.0	23	**9**	97	S 0	NW 1	NW 1-2	1	7	10	3.1	≡° III, n ⚹
8	−9.6	−9.4	**−11.8**	−10.3	−5.9	617.7	618.0	619.0	96*	96	95	NE 4	N 0–1	W 0	10	10*	1	1.0	↙² I, ⚹ II
9	−9.0	−3.4	−4.6	−5.7	−1.3	617.9	617.6	616.8	20	13	49	E 3	NE 3	NW 2	0	0	0	.	↙ n–II
10	−5.4	−3.4	−4.4	−4.4	−0.1	615.1	615.3	615.3	48	39	70	W 0	W 0–1	NW 3	0	1	1	.	↙ III
11	−4.4	−2.2	−4.2	−3.6	0.7	615.5	615.5	615.8	60	50	72	NW 1	NW 2	NW 2	5	7	3	.	n (11/12) ⚹°
12	−4.6	−1.0	−6.4	−4.0	0.3	616.1	616.0	616.0	87	76	100	W 1	SW 0	S 0	10	10	10*	5.9	≡° II, ⚹ 2 p–n
13	−7.4	−3.0	−3.0	−4.5	−0.3	615.8	615.9	617.2	100	52	51	NE 3	SE 4	SE 4	10*	5	5	.	⚹ ↙ n–I, ↙²
14	−3.4	−3.0	−3.8	−3.4	0.8	618.7	619.7	620.7	49	45	48	NE 3	NE 3	NE 1	0	0	0	.	↙ n–II
15	−4.2	−2.6	−5.2	−4.0	0.2	621.6	622.3	623.3	27	25	35	W 1	W 2	NW 3	3	3	1	.	↙ III
16	−5.0	−0.4	−3.4	−2.9	1.2	**623.5**	622.8	622.5	65	18	60	W 0	NW 2	NW 4	5	7	10*	0.1	⚹° III, ↙²–n
17	0.0	−0.8	−2.8	−1.2	2.9	620.4	619.9	619.8	24	35	60	NW 4	NW 4	NW 4	10	10	10	.	↙²
18	−0.6	−1.1	−1.0	−0.9	3.2	618.2	615.9	614.2	62	96	100	NW 4	W 3–4	W 2	10	7	0	.	↙² n–II
19	3.6	−1.4	−2.8	−0.2	3.8	609.0	608.3	607.8	29	46	46	NW 4	NW 4	NW 4	5	10	10	3.3	↙², n ⚹ [III–n
20	−7.0	−5.3	−7.2	−6.5	−2.5	610.1	610.9	613.0	97	100	97	NW 3	NW 0-1	NW 4	10≡	10≡	10	0.2	↙ n–I, ≡–p, ⋁ II, ↙²
21	−7.0	−5.2	−3.4	−5.2	−1.2	615.2	616.5	616.3	97	97	48	NW 3	SW 0–1	NW 3	10≡	7	1	.	≡ ↙ n–I, ↙ III–n
22	2.6	2.0	−1.2	1.1	5.0	615.8	615.4	617.4	28	27	100	SW 3	W 4	NW 4	5	10	10≡	2.7	↙ I, ↙², ≡ III, n ⚹
23	−2.6	1.2	**5.0**	1.2	5.1	615.8	613.5	610.0	100	44	20	W 1	SW 3	SW 4	5	3	7	.	p ↙, ↙² III–n
24	−3.2	−3.8	−5.8	−4.3	−0.4	608.1	608.5	611.3	100	80	100	NW 4	NW 4	NW 3-4	7	10	10*	**7.6**	↙², ⚹ 2 1/2 p–n
25	−6.2	−3.4	−0.4	−3.3	0.5	611.9	610.5	608.5	100	100	100	NW 4	W 4	NW 5	10	10≡	10≡	4.3	≡° I, ≡ ⚹ ↙², ⋁ III
26	−2.8	−2.6	−8.0	−4.5	−0.7	610.4	**607.1**	611.7	100	100	100	NW 4	NW 5	NE 4	10≡	10≡	10≡	3.5	≡ ↙² ⚹
27	−9.0	−8.0	−7.6	−8.2	−4.5	614.0	614.4	614.2	100	100	100	NW 3	NW 1	W 1	10*	5	0	0.4	⚹ ↙ I
28	−5.0	−1.6	−2.2	−2.9	0.8	613.6	612.8	612.1	100	100	100	W 2	W 1	SW 3	7	7	1	0.2	↙ III, n ⚹°
Mittel	−5.2	−3.5	−5.1	−4.6	—	615.8	615.6	616.0	67	41	71				6.0	6.2	5.0	Summe 41.4	

Februar 1911.
Beobachter: *J. Camenisch.*

Bevers.

$\lambda = 9° 53'$, $\beta = 46° 33'$,
$Hb = 1712.6^m$, $G = -0.12^{m}/_{m}$.

Tag	Lufttemperatur					Luftdruck			Relative Feuchtigkeit			Windrichtung und Stärke			Bewölkung			Niederschlag	Witterung
	7^{00}	1^{30}	9^{30}	Mittel	Abweich. vom Normalst.	7^{00}	1^{30}	9^{30}	7^{30}	1^{30}	9^{30}	7^{30}	1^{30}	9^{30}	7^{30}	1^{30}	9^{30}		
1	**-24.2**	-11.4	-10.0	-15.2	-6.4	626.0	624.8	625.4	76	64	64	— 0	NE 1	NE 3	0	0	0	.	⛆ III
2	-20.8	-7.7	-5.0	-11.2	-2.5	625.5	624.8	622.9	77	63	63	N 1	— 0	NE 3	0	0	2	1.5	⛆ III
3	-5.8	-5.9	-10.8	-7.5	1.1	617.1	617.6	621.4	76	64	70	S 1	NW 2	— 0	10*	10*	2	1.2	✳ n–II
4	-21.0	-8.6	-16.2	-15.3	-6.8	623.1	623.2	623.6	86	63	70	N 1	— 0	— 0	0	0	0	.	
5	-15.8	-1.0	-11.0	-9.3	-0.9	622.0	620.7	621.4	82	64	60	N 1	SW 1	W 1	3	1	0	.	
6	-15.2	-6.6	-15.2	-12.3	-4.0	621.6	621.4	623.5	87	63	65	NW 1	N 3	NE 1	8	0	0	.	⛆ II
7	-22.4	-3.2	-7.0	-10.9	-2.7	624.2	623.0	623.4	82	36	36	N 1	— 0	NE 2	0	0	2	.	
8	-7.5	-6.8	-13.4	-9.2	-1.1	621.1	621.2	624.3	66	57	56	NE 1	NE 4	N 1	10*	10	0	.	✳° I, ⛆² ⛆ II
9	-23.8	-9.0	-16.6	-16.5	-8.5	624.7	623.6	623.2	73	56	65	N 1	— 0	NE 1	0	0	0	.	
10	-17.8	-6.2	-16.2	-13.4	-5.5	622.0	622.0	622.3	79	69	80	NE 1	S 1	W 1	0	0	0	.	
11	-17.6	-3.4	-14.8	-11.9	-4.1	621.8	621.5	622.3	81	58	81	NE 1	SE 1	W 1	8	7	9	.	
12	-14.8	-3.0	-6.4	-8.1	-0.4	622.7	622.4	622.5	84	59	96	N 1	S 1	SW 1	7	4	10	2.5	✳ 6p–n
13	-5.6	-1.2	-10.0	-5.6	2.0	622.4	622.9	625.2	99	64	80	N 2	— 0	W 1	10	3	0	.	
14	-16.2	-4.9	-13.1	-11.4	-3.9	625.5	625.5	627.0	90	63	70	NW 1	— 0	NE 1	0	0	0	.	
15	-18.6	0.2	-9.0	-9.1	-1.7	627.6	627.7	628.2	76	**28**	57	N 1	— 0	W 1	0	9	0	.	
16	-8.6	0.0	-7.6	-5.4	1.9	**629.6**	628.3	628.3	58	41	61	N 1	— 0	N 1	1	7	3	.	
17	-9.4	4.6	4.0	-0.3	6.8	625.7	624.8	623.6	82	46	48	NE 1	— 0	S 3	4	5	2	.	⛆ III
18	-2.5	**6.2**	-4.6	-0.3	6.7	623.1	621.3	619.5	64	51	81	— 0	— 0	NE 1	2	4	0	.	
19	-9.0	5.0	1.2	-0.9	6.0	616.2	**612.2**	**612.2**	86	51	44	W 1	S 3	S 4	10	1	0	.	p ⛆²
20	-4.4	-3.0	-11.2	-6.2	0.6	614.2	615.9	618.8	56	46	61	N 1	SW 1	NE 1	5	3	2	.	n (20/21) ✳°
21	-5.1	-2.2	-9.2	-5.5	1.2	619.0	622.0	622.8	63	47	61	S 2	N 1	N 2	7	0	0	.	
22	-5.8	5.1	-2.4	-1.0	5.6	622.6	622.0	621.6	70	56	74	— 0	— 0	N 1	8	3	0	.	
23	-7.8	3.0	-2.4	-2.4	4.0	621.8	619.9	618.1	90	60	82	W 2	S 1	N 1	9	2	1	.	
24	-1.0	1.5	-5.1	-1.5	4.8	613.4	613.3	616.0	91	43	97	SW 2	— 0	N 2	10*	3	10	4.3	✳ $7^1/_2$–$9^1/_4{}^a$, $7^1/_2$p
25	-4.2	-0.6	-3.4	-2.7	3.5	617.8	617.1	618.2	59	59	100	N 1	N 1	N 1	10	10	10*	**14.0**	✳ III–n
26	-1.2	1.6	-5.8	-1.8	4.3	615.5	612.4	614.8	80	50	95	— 0	S 3	NE 4	10	10*	10	**14.0**	p ⛆², ✳ ⛆ $1^1/_2$p–n
27	-8.2	-2.8	-14.4	-8 5	-2.5	617.3	618.4	620.0	89	51	67	N 1	SW 1	SW 2	10*	10	3	0.4	✳° I
28	-19.0	0.4	-5.2	-7.9	-2.0	619.7	619.4	619.0	80	52	70	N 1	N 1	NW 1	3	3	0	.	n (28/1) ⛆
Mittel	-11.9	-2.1	-8.6	-7.5	—	621.5	621.0	621.8	78	54	70				5.2	3.7	2.4	Summe 37.9	

Februar 1911.
Beobachter: P. *F. Landolt.*

Sitten.

$\lambda = 7° 21'$, $\beta = 46° 14'$,
$Hb = 540^m$, $G = 0.00^{m}/_{m}$.

1	**-10.5**	-4.2	-7.2	-7.3	-7.4	726.4	725.6	726.2	95	63	87	NE 0	SW 1–2	NE 0	0	0	0	.	
2	-9.6	-3.0	-5.8	-6.1	-6.3	724.7	724.2	723.6	85	61	72	E 0	SW 0–1	E 0	0	0	0	0.4	
3	-5.8	1.1	-1.5	-2.1	-2.4	720.0	717.8	719.2	95	73	76	SW 0	S 0	NE 0	10*	3	1	1.0	✳ 7–$9^1/_2{}^a$
4	-7.0	-0.8	-3.9	-3.9	-4.3	720.9	720.3	721.6	96	55	80	E 0	SW 1	NE 0–1	0	0	0	.	
5	-8.2	-2.0	-4.2	-4.8	-5.3	720.8	720.4	721.6	90	61	84	E 0	S 0	E 0	0	3	0	.	
6	-5.8	-2.8	-5.3	-4.6	-5.2	721.2	721.0	723.6	92	76	79	E 0	S 0–1	NE 0–1	10	7	0	.	
7	-7.8	-1.2	-1.8	-3.6	-4.3	724.9	724.6	723.6	87	59	62	E 0	S 1	NE 0–1	0	1	5	.	
8	-4.7	2.5	-1.0	-1.1	-1.9	723.7	722.1	723.3	75	61	65	NE 0	W 3	NE 0–1	7	2	0	.	⛆ II
9	-6.0	0.7	-4.3	-3.2	-4.1	723.8	722.6	721.8	91	56	87	E 0	SW 1	E 0	0	0	0	.	
10	-7.5	0.9	-1.3	-2.6	-3.6	719.9	719.4	719.6	92	56	61	E 0	SW 0–1	E 0	0	0	0	.	
11	-4.0	3.8	0.0	-0.1	-1.2	719.9	719.2	719.6	71	39	61	NE 0	SE 0	NE 0–1	4	4	8	.	
12	-1.6	2.9	0.5	0.6	-0.7	719.8	720.2	720.5	76	60	100	E 0	SW 1	SW 0	4	10	10*	7.2	● $4^1/_2$–6p, ✳–n
13	0.0	3.7	-0.8	1.0	-0.4	720.1	720.4	721.4	100	65	95	SW 0	SW 1	E 0	10*	7	5	0.8	✳° n–10^a
14	-3.2	2.3	-1.6	-0.5	-2.0	723.6	723.9	725.9	96	72	83	SW 0	W 0–1	NE 0	0	0	10	.	V l
15	-2.2	1.6	-0.4	-0.3	-1.9	727.9	727.2	728.6	90	67	77	NE 0	SW 0	E 0	10	5	0	.	
16	-4.0	3.2	1.3	0.2	-1.5	**728.9**	728.2	728.7	90*	56*	85*	E 0	SW 0–1	SW 0	5	2	10	.	
17	-1.4	6.6	3.6	2.9	1.0	726.4	724.3	723.4	90	53	58	E 0	S 1	NE 0	10	9	0	.	
18	1.2	7.4	5.0	4.5	2.5	722.3	718.5	716.7	70	50	78	E 0	S 0	E 0	10	0	0	.	
19	0.8	6.4	3.5	3.6	1.5	712.6	**708.8**	711.9	90	63	90	E 0	S 0	SW 0	1	10	8	.	
20	2.2	7.9	3.3	4.5	2.2	714.0	713.7	718.0	70	45	62	E 0	W 0–1	NE 0	6	3	0	.	
21	0.6	7.8	3.0	3.8	1.4	720.9	719.4	720.0	65	41	55	NE 0	S 1	NE 0	2	1	0	.	
22	1.0	6.8	5.5	4 4	1.8	720.1	719.0	720.3	60	50	80	NE 0	NW 1	SE 0	5	9	0	.	
23	2.2	**10.1**	7.0	6.4	3.7	719.6	715.3	712.5	96	55	65	E 0	SE 0	NE 0–1	7	0	10	7.8	n (23/24) ●
24	5.1	8.8	5.0	6.3	3.4	710.8	712.3	715.5	100	48	65	SW 0	W 4	NE 1	8	9	10	2.6	
25	2.6	3.4	2.4	2.8	-0.2	717.5	715.6	712.9	100	100	100	SW 0	NW 0–1	SW 1	10●	10●	10●	**35.7**	n a ●, p n ●²
26	5.8	9.9	3.4	6.4	3.3	713.2	711.7	716.3	75	53	80	N 0	W 3	SW 1–2	10	10	10●	1.1	●, ⛆ II, n ●°
27	1.3	7.0	4.0	4.1	0.8	719.7	718.1	717.6	67	37	67	SW 0	SW 0–1	SW 0	5	1	10	.	
28	0.1	9.7	4.9	4.9	1.5	716.8	714.6	713.8	76	**34**	72	NE 0	E 0	NE 0–1	5	6	0	.	
Mittel	-2.4	3.6	0.5	0.6	—	720.7	719.6	720.3	85	57	69				5.0	4.0	3.8	Summe 56.6	

$\lambda = 8^\circ 57'$, $\varphi = 46^\circ 0'$,
$H_b = 276.2^m$, $G = 0.03 \, ^m/_m$.

Lugano.

Februar 1911.
Beobachter: *G. Belletti*

Tag	Lufttemperatur 7³⁰	1³⁰	9³⁰	Mittel	Abweich. vom Normalst.	Luftdruck 7³⁰	1³⁰	9³⁰	Relative Feuchtigkeit 7³⁰	1³⁰	9³⁰	Windrichtung und Stärke 7³⁰	1³⁰	9³⁰	Bewölkung 7³⁰	1³⁰	9³⁰	Niederschlag	Witterung
1	-5.0	1.8	-2.6	-1.9	-3.9	749.7	747.8	746.8	73	72	79	NW 0	SW 0	NW 0	0	0	0	.	
2	-5.0	4.8	-1.3	-0.5	-2.6	746.3	746.5	741.9	79	52	81	N 0	SW 0	N 0	0	0	0	.	
3	9.6	9.9	6.8	8.8	6.7	734.4	737.3	740.4	26	15	13	N 3	N 3	N 3	0	3	0	.	↙ $3^1/_2{}^a$–n
4	-0.3	6.8	-0.4	2.0	-0.2	746.2	745.9	745.1	37	51	71	N 0	SE 0	N 0	3	0	0	.	↙ n–$5^1/_2{}^a$
5	-3.4	6.4	-0.4	0.9	-1.4	742.1	739.8	738.7	63	54	70	N 0	SW 0	NW 0	0	3	0	.	
6	-3.0	6.0	-0.6	0.8	-1.6	742.4	743.0	744.0	67	59	77	N 0	SW 0	N 0	0	0	0	.	
7	-3.4	2.6	-1.8	-0.9	-3.4	746.7	746.2	744.1	65	67	84	N 0	N 0	N 0	0	7	0	.	
8	6.4	9.1	6.5	7.3	4.7	741.6	741.3	742.8	17	13	11	N 2	N 3	N 2	0	0	0	.	↙ $4^1/_2{}^a$–n
9	-2.6	2.8	-1.8	0.5	-2.2	747.5	747.8	747.2	71	54	71	N 0	SW 0	N 0	0	10	2	.	↙ n–$4^1/_2{}^a$
10	-2.6	2.0	-2.4	-1.0	-3.8	747.7	747.1	747.0	67	67	59	N 0	S 0	N 0	10	10	6	.	
11	-1.0	4.0	-0.4	0.9	-2.0	745.8	745.0	745.3	78	52	84	NW 0	SW 0	NW 0	10	10	7	.	
12	-2.4	4.2	0.8	0.9	-2.1	746.2	745.8	745.8	63	85	83	N 0	S 0	N 0	10	10	10●✱	4.4	✱° ●° $8^1/_2$–$9^1/_2{}^p$, ✱–n [✱]
13	0.2	2.2	1.2	1.2	-1.9	745.6	746.7	748.0	91	94	97	SE 0	SE 0	NE 0	10✱	10●	10	9.6	✱ ● n–$4^1/_2{}^p$ [✱]
14	-1.8	8.0	2.0	2.7	-0.5	746.9	747.3	749.9	78	74	81	N 0	S 0	N 0	0	0	10	.	
15	-0.4	7.8	1.2	2.9	-0.4	749.4	748.9	749.8	79	66	97	N 0	S 0	N 0	3	8	10	.	
16	-1.0	4.1	0.8	1.3	-2.1	749.6	**751.8**	751.0	87	72	83	SW 0	N 0	N 0	3	3	10	.	
17	-2.0	5.4	2.0	1.8	-1.7	747.7	744.8	741.8	91	81	82	N 0	NW 0	N 0	10	0	0	.	
18	-0.6	9.2	1.8	3.5	-0.1	740.3	738.6	736.4	94	62	89	N 0	S 0	N 0	0	5	1	.	
19	0.2	4.0	2.6	2.3	-1.4	736.2	733.6	732.1	93	90	91	NE 0	NW 0	N 0	10	10	10	.	
20	0.0	12.0	7.2	6.4	2.5	733.8	734.1	738.1	91	**11**	15	N 0	N 2	NE 1	0	0	0	.	↙ $9^1/_2{}^a$–III
21	7.2	14.4	4.0	8.5	4.5	739.8	739.5	741.5	25	**11**	52	NW 1	NE 1	N 0	0	0	0	.	
22	0.7	10.8	5.0	5.5	1.4	743.6	742.3	742.1	62	51	78	N 0	S 0	N 0	0	8	7	.	
23	1.2	9.0	5.3	5.2	1.0	742.4	741.5	739.5	86	69	92	N 0	S 0	N 0	3	10	10	.	
24	5.0	12.4	7.8	8.4	4.1	733.4	731.2	735.5	89	56	36	N 0	SW 0	N 1	10	3	0	.	↙ $3^1/_2{}^p$–III
25	6.4	12.2	5.3	8.0	3.5	737.0	736.1	735.4	40	34	89	NW 0	SW 1	NW 0	3	10	10●	2.6	● $6^1/_2$–$10^1/_2{}^p$
26	1.8	**15.8**	6.6	8.1	3.5	733.9	**729.3**	735.0	92	48	35	N 0	SW 0	NE 2	0	5	7	.	↙ $3^1/_2{}^p$–n
27	4.4	10.2	8.3	7.6	2.9	738.8	737.7	737.2	30	12	12	NE 1	NE 3	NE 1	0	0	0	.	↙
28	-0.4	10.9	4.7	5.1	0.3	740.1	739.8	739.4	60	38	51	NE 0	SE 0	NW 0	0	0	9	.	
Mittel	0.3	7.5	2.4	3.4	—	742.7	742.0	742.2	68	54	66				3.0	4.5	4.2	Summe 16.6	

$\lambda = 7^\circ 35'$, $\beta = 47^\circ 33'$,
$H_b = 277.2^m$, $G = 0.13 \, ^m/_m$.

Basel.

Februar 1911.
Bernoullianum.

Tag	Lufttemperatur 7³⁰	1³⁰	9³⁰	Mittel	Abweich. vom Normalst.	Luftdruck 7³⁰	1³⁰	9³⁰	Relative Feuchtigkeit 7³⁰	1³⁰	9³⁰	Windrichtung und Stärke 7³⁰	1³⁰	9³⁰	Bewölkung 7³⁰	1³⁰	9³⁰	Niederschlag	Witterung
1	**-10.0**	-3.8	-5.4	-6.4	-6.9	752.1	752.1	752.7	81	53	78	W 0	W 1	SE 1	0	0	5	.	⊔ I, III [✱]
2	-5.0	0.0	-0.4	-1.8	-2.4	751.4	750.1	742.0	82	72	74	W 0	NW 0	S 0	5≡	1	10	1.5	≡ ⊔ I
3	-0.2	0.8	-2.0	-0.5	-1.2	744.3	743.8	747.1	95	95	98	SW 0	SW 0	SW 0	10✱●	10≡✱	10	1.0	✱ 4–$7^1/_2$, 10–$10^1/_4{}^a$, *) [✱]
4	-4.0	-2.0	-3.4	-3.1	-3.9	746.8	745.9	746.0	99	97	94	SW 0	S 0	SW 0	10≡	2	1	.	≡ I, ≡°–II [✱]
5	-2.8	0.0	-0.4	-1.1	-2.0	745.4	745.4	746.4	93	75	91	SE 0	SE 0	SE 0	10	10	10	.	
6	-0.6	3.1	-0.8	0.6	-0.3	746.2	747.2	749.3	90	91	76	E 0	E 0	W 0	10	2	2	.	
7	-3.4	-1.4	-1.0	-1.9	-2.9	750.0	749.8	749.8	77	90	76	SE 0	W 0	S 0	10	7	10	1.8	[✱]
8	-0.4	1.6	-0.6	0.2	-0.9	748.7	749.0	750.8	95	87	94	S 0	W 1	S 0	10✱	5	7	0.2	✱ $5^1/_4$–$9^1/_2{}^a$
9	-5.8	-1.2	-3.2	-3.4	-4.6	749.8	747.3	745.5	85	59	69	SE 0	E 1	E 1	1	0	0	.	⊔ I [✱]
10	-6.0	1.2	-0.4	-1.7	-3.0	743.4	741.9	741.7	70	60	68	SE 1	SE 1	E 1	1	0	1	.	⊕ 10^p [✱]
11	-1.4	6.0	2.8	2.5	1.1	741.9	741.4	742.0	74	62	74	E 1	SE 1	E 1	9	8	8	0.3	n ($^{11}/_{12}$) ●° [✱]
12	1.4	1.4	0.1	1.0	-0.5	742.7	744.0	745.7	84	84	85	SE 1	W 1	W 1	10	10✱	10	3.2	∽ 9^a, ●–$10^1/_2{}^a$, ✱° II [✱]
13	-0.6	0.4	1.2	0.3	-1.4	746.0	745.9	747.1	85	84	94	N 0	NW 1	W 0	10✱	10≡	10	0.0	✱ 4–9a, ≡ II [✱]
14	-1.8	0.8	1.3	0.1	-1.7	748.8	749.6	750.7	96	96	74	N 0	N 0	E 0	10≡	7	7	.	≡ ⊔ I
15	-3.2	3.3	1.8	0.6	-1.3	751.7	751.2	752.7	76	56	85	S 0	SE 0	SE 0	5≡	10	10	.	≡ ⊔ I
16	0.0	5.4	3.2	2.9	0.9	**753.4**	751.0	749.9	88	63	66	SE 0	SE 0	SE 0	10	3	0	0.5	⊔ I, ●° $6^3/_4$–7^p
17	6.9	8.8	7.0	7.6	5.5	746.2	746.2	746.6	44	**32**	70	S 1	W 1	S 1	8	8	10	0.1	
18	5.8	8.9	6.8	7.2	5.0	743.4	740.7	738.8	75	80	83	SW 1	W 0	W 0	10	10	10	0.4	p ●°
19	2.0	5.8	5.4	4.4	2.1	732.9	732.5	732.5	84	63	69	S 0	W 1	W 3	5	10●	0	3.2	● $0^1/_4$–$2^1/_4{}^p$, ⌒² 3^p, ↙ III
20	4.0	6.0	4.6	4.9	2.5	737.4	738.2	741.0	69	60	58	W 1	W 1	SW 1	7	6	10	.	
21	2.0	7.2	2.9	4.0	1.4	743.7	744.0	743.1	61	53	81	S 0	W 1	SE 0	5	4	0	.	
22	2.8	11.8	9.2	7.9	5.2	740.0	739.5	743.2	75	50	75	SE 1	SW 1	SW 1	5	10	7	.	●° 0, $1^1/_2$, $9^1/_4{}^p$
23	3.8	**12.6**	12.0	9.5	6.7	741.4	737.1	**731.3**	93	40	66	E 1	W 1	W 1	5	5	10●	[illegible]	● $8^1/_4$–$9^1/_4$, $10^3/_4$–11^p
24	7.2	7.0	5.6	6.6	3.7	733.5	734.0	738.3	73	76	80	SW 3	SW 3	W 0	9	5	10●	5.3	● $2^1/_2$–$7^1/_4$, $11^1/_2{}^a$–3, $9^1/_2$– *)
25	4.8	6.6	10.9	7.4	4.4	738.2	735.2	732.4	87	83	81	SW 0	S 0	W 3	10●	10	10	7.7	● $1^3/_4$–$10^1/_2{}^a$, $0^1/_4$–$9^1/_4{}^p$, *)
26	8.4	7.8	2.6	6.3	3.2	735.4	733.9	741.1	78	68	85	SW 1	W 3	S 1	8	4	10	2.7	● $0^3/_4$–$2^1/_2{}^p$, △ $0^3/_4{}^p$, ↙ II
27	1.9	6.3	2.6	3.6	0.4	742.8	742.1	740.9	82	66	78	SW 1	E 1	SE 1	10	7	0	.	
28	2.4	10.2	6.6	6.4	3.0	738.9	736.5	735.8	71	43	71	E 0	E 1	SE 0	6	8	6	[illegible]	
Mittel	0.3	4.1	2.5	2.3	—	744.2	743.4	743.9	81	67	78				7.5	6.1	6.6	Summe 36.2	

*) **3.** 0–$1^3/_4{}^p$, ● ⊔ I, ≡ n–II
*) **24.** $9^3/_4{}^p$, ↙ n–II
*) **25.** ↙ III

Februar 1911.
Observatorium.

Säntis.

$\lambda = 9° 20'$, $\beta = 47° 15'$,
$Hb = 2500.1^m$, $G = -0.16\,^{m}/_{m}$.

Tag	Lufttemperatur					Luftdruck			Relative Feuchtigkeit			Windrichtung und Stärke			Bewölkung			Niederschlag	Witterung
	7^{30}	1^{30}	9^{30}	Mittel	Abweich. vom Normalst.	7^{30}	1^{30}	9^{30}	7^{30}	1^{30}	9^{30}	7^{30}	1^{30}	9^{30}	7^{30}	1^{30}	9^{30}		
1	-12.0	-10.8	-13.1	-12.0	-2.9	565.9	565.7	566.1	30	58	98	NE 3	NE 1	NNE 2	1	1	1	.	.
2	-12.0	-8.6	-10.6	-10.4	-1.3	565.6	565.7	563.6	70	**29**	54	ENE 3	NNE 2	WSW 3	1	1	9	5.0	n (2/3) ✳
3	-13.8	-13.8	-14.7	-14.1	-5.1	559.2	559.2	561.8	100	100	100	W 3	NE 1	ENE 1	10≡*	10≡*	10≡*	9.2	≡² ✳ ☩² V
4	-11.6	-7.0	-5.7	-8.1	0.9	562.7	563.5	564.3	60	57	77	NE 3	NE 3	NE 3	1	1	0	.	.
5	-5.3	-6.1	-8.0	-6.5	2.5	563.4	562.8	562.2	75	82	38	WNW 2	WSW 2	WNW 1	7	6	0	.	.
6	-11.1	-15.0	-13.4	-13.2	-4.2	561.6	562.4	563.7	55	97	35	NNE 3	ENE 2	NNE 3	3	1	0	.	≡ $5^1/_2$-$6^3/_4$p [$8^3/_4$p
7	-11.3	-11.7	-14.0	-12.3	-3.3	564.3	564.1	563.7	60	42	98	NNE 3	W 3	WNW 3	6	9	9	4.6	☩°, ⸗ $4^1/_2$p, ≡ ✳ $7^1/_2$-
8	-14.9	-15.6	**-16.8**	-15.8	-6.8	562.1	562.6	563.7	100	100	97	W 1	NW 1	WNW 2	10≡*	10≡*	0	4.1	≡ ✳ ☩ n-$6^1/_2$p, V°
9	-13.2	-9.7	-9.7	-10.9	-1.9	563.8	563.9	563.1	40	48	53	NE 4	NNE 3	W 2	1	1	0	.	⸗ l, a ☩
10	-8.9	-7.4	-8.8	-8.4	0.6	561.6	561.9	562.1	60	62	81	WSW 2	WSW 3	WSW 4	1	2	2	.	p ⸗, ☩ o$^1/_2$-$8^1/_2$p
11	-9.5	-8.7	-9.6	-9.3	-0.4	561.7	561.8	562.2	100	98	98	WSW 3	WSW 4	WSW 3	10≡	9	9≡	.	a V, ≡ n-$10^1/_2$a, $4^1/_4$p-*)
12	-9.6	-7.2	-9.8	-8.9	0.0	562.5	562.7	562.5	97	97	98	WSW 2	SW 1	SW 1	9≡	8	9≡*	0.7	≡ l, ✳° ≡ 8p-n, Ψ $9^1/_2$p
13	-10.4	-6.7	-6.1	-7.7	1.2	562.2	563.5	565.2	100	82	74	ENE 3	ENE 2	NNE 2	10≡	7	1	.	≡ n-$8^1/_2$a
14	-7.4	-7.9	-8.1	-7.8	1.1	566.1	566.6	567.2	55	61	34	NNE 3	ENE 1	NE 2	1	0	0	.	[n ✳°
15	-7.9	-7.9	-11.4	-9.1	-0.2	567.6	568.2	568.5	32	60	77	WNW 3	WSW 2	WSW 4	3	5	8	0.9	≡ $6^1/_4$-7p, ☩-n, ⸗ III,
16	-13.6	-7.1	-8.6	-9.8	-0.9	**569.1**	568.9	568.1	98	53	100	WSW 1	WSW 3	WSW 5	7	8	10≡*	0.8	p n ⸗², ☩ $6^1/_2$p-n, ≡ *)
17	-7.6	-7.8	-7.2	-7.5	1.4	565.5	565.1	565.4	67	87	100	WSW 6	WSW 6	WSW 5	9	10	10≡*	1.3	⸗² ☩², ≡ $4^3/_4$p-n, ✳ *)
18	-6.6	**-2.5**	-6.1	-5.1	3.7	564.4	562.4	560.6	91	100	97	WSW 5	WSW 4	WSW 3	10	10≡	2	1.2	⸗² n-l. ⸗-p, ☩ V, *)
19	**-2.5**	-8.2	-8.8	-6.5	2.3	556.5	554.2	553.9	70	91	100	WSW 4	WSW 4	WSW 3	4	10	10≡*	21.4	⸗ V°, ☩ n-$7^1/_2$p, ☩²- *)
20	-11.2	-11.1	-12.2	-11.5	-2.7	555.5	556.8	557.7	100	100	100	WSW 3	WSW 2	WSW 3	10≡*	10≡	10≡*	27.9	✳² n-o$^1/_2$, $2^1/_2$p-n, ≡ *)
21	-12.3	-12.0	-8.6	-11.0	-2.2	559.9	562.2	562.9	100	80	80	WSW 2	WSW 2	WSW 5	10≡*	4	9	1.2	✳ V ☩² n-$11^1/_2$a, ≡ *)
22	-3.1	-2.9	-5.6	-3.9	4.8	563.2	562.1	564.1	95	75	100	WSW 4	WSW 5	WSW 5	9	10	10≡*	18.9	a ☩, ⸗², p ☩² V, ≡ *)
23	-7.0	-5.0	-2.6	-4.9	3.8	562.8	560.6	557.3	97	70	86	WSW 4	WSW 5	SW 6	4	1	9*	30.3	V l, a ⸗, ☩, p n ⸗², *)
24	-6.8	-8.6	-10.3	-8.6	0.1	554.3	553.8	556.8	100	100	100	W 4	WSW 4	WNW 5	10≡*∠	10≡*	10≡*∠	28.9	△² ✳² n-10, $11^1/_2$a-n, *)
25	-10.3	-8.0	-5.3	-7.9	0.7	557.9	556.6	555.3	100	100	100	WSW 4	WSW 4	SW 4	10≡*	10≡*	10≡*	**58.6**	⸗ ≡² ✳² ☩² V²
26	-7.0	-7.1	-12.8	-9.2	-0.6	556.5	**551.9**	557.3	100	100	100	WSW 5	WSW 4	ESE 1	10≡*	10≡*	10≡*	17.6	⸗² n-l, ⸗-II, ≡² ✳ *)
27	-13.2	-12.7	-12.7	-12.9	-4.3	558.8	559.3	560.0	100	100	100	WSW 2	WSW 2	W 2	10≡*	10≡*	3	4.3	☩² ≡ ✳ n-9p, V²
28	-9.1	-5.0	-6.0	-6.7	1.8	560.3	560.3	558.5	95	97	97	WSW 2	WSW 3	WSW 5	9	9	3	2.0	≡ $9^3/_4$-10a, p ☩°, ≡ ✳ [$8^1/_2$-$9^1/_4$p, ⸗²-n
Mittel	-9.6	-8.7	-9.5	-9.3	—	562.0	561.7	562.1	80	79	85				6.6	6.5	5.9	Summe 238.9	*) **11.** n, p ⸗ *) **16.** ✳° $8^1/_2$p-n *) **17.** $6^1/_2$p-n *) **18.** ≡ $8^1/_2$a-$7^1/_2$p, n ✳ *) **19.** n, ≡ $1^3/_4$p-n, ✳ $2^1/_2$p-n *) **20.** ☩² V² *) **21.** n-o$^1/_4$, $8^3/_4$-$9^1/_4$p, p ⸗² ☩° *) **22.** ✳ $2^1/_2$p-n *) **23.** ✳² $9^1/_4$p-n *) **24.** ≡ ⸗ ☩² V², K 2p, ⸗² III-n *) **26.** V², p ∠°, ☩² n-$8^1/_2$p, ☩-n

Februar 1911.
Beobachter: *D. Dittli.*

St. Gotthard (Hospiz).

$\lambda = 8° 34'$, $\beta = 46° 33'$,
$Hb = 2102.9^m$, $G = -0.14\,^{m}/_{m}$.

1	-9.3	-8.2	-11.3	-9.6	-1.9	594.6	594.6	595.0	17	**16**	36	NNW 1	N 3	N 3	0	0	0	.	p ⸗
2	-8.8	-0.4	-0.4	-7.2	0.5	594.8	594.9	592.9	34	32	35	N 2	N 2	N 3	1	0	2	2.4	⸗ III-n, n ✳
3	-10.4	-9.9	-11.0	-10.4	-2.7	587.6	588.3	591.3	97	97	97	N 5	N 5	N 3	10*	9*	10≡*	7.4	✳ ☩ ⸗², ≡ ⸗ III
4	-8.6	-6.0	-6.3	-7.0	0.6	592.0	592.9	593.1	55	58	30	N 2	N 0	N 1	0	0	0	.	.
5	-5.4	-4.0	-10.7	-6.7	0.9	591.8	591.4	591.4	38	44	55	N 2	N 3	N 4	1	1	0	.	p ⸗, ⸗² III-n
6	-13.2	-11.6	-13.5	-12.8	-5.2	590.6	591.4	593.2	89	89	97	N 3	NNW 3	N 3	1	1	1	.	⸗, ≡ $3^3/_4$-9p
7	-9.8	-9.8	-13.4	-11.0	-3.4	593.6	593.4	593.0	35	39	96	N 3	N 4	N 5	1	1	10≡	2.1	⸗ l, ⸗², ≡² III, n ✳
8	-11.6	-11.4	**-13.8**	-12.3	-4.8	590.8	591.7	592.9	97	97	98	N 6	N 5	N 5	10*	10*	6≡	6.4	⸗² ☩ ✳, ≡ III
9	-12.5	-7.2	-7.0	-8.9	-1.4	593.0	592.8	592.4	80	30	33	N 3	NW 2	NNW 2	1	0	0	.	⸗ n-l
10	-11.8	-7.2	-7.4	-8.8	-1.3	591.5	591.6	591.6	79	56	37	NNW 1	SW 0	NW 1	1	0	1	.	.
11	-9.2	-5.0	-7.8	-7.3	0.1	591.3	591.5	592.0	43	49	59	NNW 2	N 0	N 1	1	8	5	.	.
12	-8.4	-6.6	-8.7	-7.9	-0.5	591.9	592.7	592.3	60	70	81	NNW 1	S 1	S 1	5	6	10*	1.4	✳ III-n
13	-7.8	-6.2	-6.0	-6.7	0.7	591.4	592.7	594.9	98	90	80	S 1	S 1	S 1	10*	10≡*	10	0.8	✳° n-4p, ≡ II
14	-4.0	-4.6	-8.1	-5.6	1.8	594.5	595.5	596.6	43	49	49	N 2	NW 2	N 1	1	0	0	.	.
15	-7.2	-5.4	-7.0	-6.5	0.8	596.7	597.1	598.0	30	32	65	N 4	N 4	N 4	1	7	1	.	⸗²
16	-8.6	-2.0	-5.3	-5.3	2.0	**598.6**	**598.6**	**598.6**	61	23	67	N 4	NNW 1	N 2	1	4	10	.	⸗² n-l
17	-2.9	-0.2	2.6	-0.2	7.0	595.7	595.9	594.2	30	44	40	N 5	N 5	N 6	4	10	2	0.8	⸗², p ● ✳°
18	-3.0	0.0	-0.2	-1.1	6.1	593.7	592.2	590.4	53	75	45	N 2	NNW 2	NNW 2	2	2	1	.	.
19	0.3	**3.5**	-4.4	-0.2	6.9	587.1	584.5	584.2	38	38	64	SW 0	SW 1	N 3	2	10	10*	9.2	✳ 3^p-n, ⸗ III-n
20	-8.5	-6.9	-9.6	-8.3	-1.2	584.9	586.3	588.5	70	59	89	N 4	N 4	N 4	10*	4	9*	0.2	☩° ✳° n-8a, 7^p-n, ⸗²
21	-8.4	-7.3	-6.0	-7.2	-0.1	589.5	591.1	592.6	45	62	39	N 5	N 5	N 3	3	2	0	.	⸗², ⸗ III
22	-2.2	2.0	-3.4	-1.2	5.8	593.0	593.1	594.0	60	43	99	S 1	S 1	N 3	3	9	6≡	.	⸗ ≡ III
23	-6.0	0.2	-4.2	-3.3	3.7	592.2	591.2	588.9	97	52	99	NW 1	S 1	S 2	1	1	10≡	4.9	≡² III-n
24	-2.3	-3.7	-8.1	-4.7	2.2	584.7	584.5	586.8	100	46	96	N 1	N 4	N 4	8*	10	10*	11.6	✳ n-l, p ⸗², ☩ ✳ 2p-n
25	-8.0	-4.6	-5.4	-6.0	0.9	588.2	587.4	585.9	95	80	97	N 2	SE 1	SE 2	10*	10*	10*	**25.5**	✳²
26	-3.5	-2.0	-10.4	-5.3	1.5	586.5	**583.7**	584.2	65	58	80	N 4	N 5	N 6	10*	10	10*	1.9	☩ ✳ l, III, ⸗²
27	-11.0	-9.6	-9.3	-10.0	-3.2	588.0	588.9	589.5	87	74	57	N 6	N 5	N 4	10	0	0	.	⸗²
28	-6.0	-0.4	-5.2	-3.9	2.8	589.3	589.9	589.5	60	44	70	N 3	S 1	S 1	1	4	1	.	⸗ n-l
Mittel	-7.4	-5.0	-7.4	-6.6	—	591.3	591.4	591.7	63	55	67				3.9	4.6	4.8	Summe 74.6	

$\lambda = 7^\circ 26'$, $\beta = 46^\circ 57'$,
$Hb = 572.2^m$, $G = 0.05^{m}/_{m}$.

Bern.

März 1911.
Tellur. Observatorium.

Tag	Lufttemperatur 7h30	1h30	9h30	Mittel	Abweich. vom Normalst.	Luftdruck 7h30	1h30	9h30	Relative Feuchtigkeit 7h30	1h30	9h30	Windrichtung und Stärke 7h30	1h30	9h30	Bewölkung 7h30	1h30	9h30	Niederschlag	Witterung
1	5.8	8.8	3.4	6.0	4.0	711.5	714.4	720.9	94	53	69	SW 0	SW 1	N 0	10●	9	10	4.8	●l, 3 3½p
2	−1.4	5.0	1.1	1.6	−0.5	**723.8**	723.7	722.3	100	50	98	SW 0	SW 0	W 0	2	10	10●*	8.0	a ⌴, ● ✳ 7½p–n
3	3.6	1.8	1.4	2.3	0.0	719.6	719.8	720.2	96	95	99	NE 0	SE 0	SE 0	10●*	10●*	10●*	20.8	● ✳
4	2.2	8.8	5.8	5.6	3.2	717.7	715.8	713.4	98	80	95	SE 0	SE 0	NE 0	10	10	10	.	
5	3.6	6.2	2.9	4.2	1.7	712.3	712.4	712.4	79	51	85	SW 0	SW 0	ESE 0	10	9	9	.	●° 3½–4p
6	1.1	5.6	1.6	2.8	0.2	709.7	708.0	707.5	72	47	67	NE 0	NE 1	NE 0	1	3	1	.	a ⌴, Ψ III
7	−2.1	6.2	2.5	2.2	−0.6	708.8	709.5	710.2	96	56	80	NE 0	NE 0	N 0	3	7	8	.	⌴ l
8	0.7	6.3	3.4	3.5	0.6	710.8	711.3	712.3	96	57	62	NW 0	SW 1	N 0	9	10	9	.	
9	−1.4	7.1	2.0	2.6	−0.4	711.4	711.2	712.2	99	52	84	N 0	S 0	SW 0	2	4	3	0.2	
10	1.2	4.5	1.5	2.4	−0.7	714.2	714.8	714.6	94	72	95	SW 0	S 0	N 0	10●	9	7	0.6	●° ✳° n–0p
11	−1.2	6.8	1.2	2.3	−1.0	712.5	711.4	711.3	100	56	93	E 0	NE 0	SE 0	8	6	6	.	a ☰ ⌴
12	0.6	9.3	5.5	5.1	1.7	710.7	709.4	706.6	93	44	58	SE 0	W 1	S 0	8	5	5	.	[3½p, ✳ 7½–9p
13	1.7	2.4	−0.2	1.3	−2.3	698.5	698.5	703.1	76	90	91	S 0	SW 3	SW 1	9	10●*	9	3.2	⸝² II, ● o¼–1p, ●✳ 1½–
14	−1.0	1.5	−1.6	−0.4	−4.1	702.2	701.8	701.8	72	82	92	S 0	SW 0	SW 0	10*	7	3	0.2	✣ ✳° n–l, p, ✳° 9½– ⊠
15	−1.8	0.0	−0.9	−0.9	−4.7	700.6	701.2	701.2	82	93	68	SW 0	SW 2	S 0	4	10*	3	1.3	✣ ⸝ II, ✳ o¼–3½p [10a
16	−2.1	4.0	1.3	1.1	−2.8	702.5	703.8	706.2	85	43	72	S 0	SW 1	SW 0	7	7	7	0.3	
17	−0.5	5.7	1.8	2.3	−1.8	707.2	707.9	708.1	100	48	81	SW 0	SW 1	NNE 0	8	6	3	.	✳° 7–7½a
18	0.7	4.2	2.1	2.3	−1.9	708.5	709.6	709.4	95	76	97	SW 0	SW 1	SE 0	10	9	2	0.1	✳° 9–10a
19	−0.7	12.0	7.1	6.1	1.7	709.2	707.2	705.7	100	51	57	SW 0	N 2	NE 0	4	3	2	.	⌴ l, ⸝ II
20	3.5	12.5	7.2	7.7	3.2	705.0	703.8	706.4	87	48	84	NE 1	N 1	SW 1	8	8	3	.	
21	1.9	14.8	6.6	7.8	3.2	708.8	708.7	709.3	97	**26**	72	SE 0	NE 0	SE 0	3	4	2	.	⌴ l
22	1.5	**14.9**	6.4	7.6	2.8	709.7	709.3	709.8	87	28	79	SE 0	NE 0	S 0	6	4	3	.	⌴ l
23	2.6	13.9	7.2	7.9	3.0	710.8	709.7	708.7	88	44	82	SE 0	NE 1	NW 0	5	4	2	.	⌴ l
24	2.3	11.9	5.6	6.6	1.6	707.8	705.4	705.7	95	55	95	SE 0	SW 1	SE 0	8	8	10●	5.3	● 2¼–3½, 5½p–n
25	4.2	1.2	−0.5	1.6	−3.6	700.9	699.8	699.3	96	96	99	SW 0	N 0	N 0	9	10*	10*	**23.3**	● 9½–10a, ✳–n
26	−1.4	1.7	−2.5	−0.7	−6.0	**698.2**	701.3	705.6	100	65	85	SW 0	SW 1	SW 0	10*	7	3	0.3	✳° n–10½a ⊠
27	**−6.4**	2.6	1.0	−0.9	−6.3	708.3	707.8	708.0	97	66	91	SE 0	NE 1	SW 0	9	8	10	.	⊠
28	0.3	8.2	4.2	4.2	−1.4	707.6	706.5	706.6	96	55	91	SW 0	WSW 0	S 1	8	9	10	.	⊠
29	3.4	10.9	6.0	6.8	1.1	705.3	704.6	703.2	90	58	92	NE 0	SW 0	SW 0	9≡	10	7≡	.	≡ a, III
30	3.7	14.6	8.3	8.9	3.0	704.6	706.2	709.2	91	43	69	SE 0	S 0	SE 0	3	9	3	.	◺ 7–7½p
31	5.7	14.4	8.9	9.7	3.7	711.2	711.0	711.2	81	41	78	SE 0	SW 0	S 0	6	6	3	.	
Mittel	1.0	7.4	3.2	3.9	—	708.7	708.6	709.1	91	59	83				7.1	7.5	5.9	Summe 68.4	

$\lambda = 6^\circ 57'$, $\beta = 47^\circ 0'$,
$Hb = 487.3^m$, $G = 0.06^{m}/_{m}$.

Neuenburg.

März 1911.
Observatorium.

1	6.3	8.3	4.8	6.5	3.0	719.1	722.0	728.1	87	73	55	W 2	W 2	NW 3	10●	10●	7	2.5	●° 7-8½a, 0p, ● 1¼–4½p,
2	−1.0	5.5	2.5	2.3	−1.3	**731.4**	**731.4**	730.3	84	65	96	NE 1	SW 2	NW 2	3	9	10●	15.8	● 5½p–n [⸝ III
3	4.0	3.7	3.3	3.7	−0.1	727.0	726.9	727.6	97	98	100	W 1	W 1	W 1	10●	10●	10●	**27.7**	≡° l, ●², ✳° 3–3½p, n ●
4	2.8	7.1	7.2	5.7	1.8	725.2	723.5	720.7	100	87	70	NE 0	NE 1	NW 1	10≡	10	10	.	≡ n–11½a
5	4.3	6.7	3.4	4.8	0.8	719.3	719.9	720.0	65	66	81	N 3	SW 1	NE 0	10	9	6	.	⸝ l, ●° 5½p
6	1.9	7.4	3.8	4.4	0.2	717.1	715.7	714.9	65	54	59	NE 2	NE 2	NE 2	1	1	8	.	≡° III
7	−0.4	6.9	4.8	3.8	−0.5	716.4	717.0	717.6	81	65	69	NE 1	SE 1	NE 1	7	5	10	.	≡° n–II
8	1.6	6.3	4.2	4.0	−0.4	718.2	718.6	719.7	96	70	59	NE 0	SE 1	NE 1	9	9	4	.	
9	−0.2	7.4	5.5	4.2	−0.4	718.7	718.6	719.6	82	67	60	NE 1	S 1	N 1	3	3	7	.	⌴ l, n ●°
10	2.6	4.7	2.4	3.2	−1.5	721.7	722.4	722.1	86	80	89	E 1	E 1	SE 0	10	10●	10	0.2	●° 10½a–2p
11	1.5	7.1	2.2	3.6	−1.2	720.0	719.1	718.6	95	63	83	SE 1	SW 1	NW 0	10	6	7	.	≡°
12	1.0	9.8	4.7	5.2	0.2	718.5	716.8	713.8	96	63	83	NE 1	SW 1	NW 1	9	3	0	.	p ⸝ [✳°-2½p, ✳°5p-n
13	6.6	2.3	1.4	3.4	−1.7	705.7	**705.4**	710.6	56	84	74	SW 3	SW 3	NW 1	10	10●	9	5.2	⸝ n–II, ● 8¼a–1p, ●°
14	−0.3	1.7	−0.2	0.4	−4.9	709.4	709.2	709.2	97	87	72	NW 1	SW 1	NW 1	9	6	10	4.9	✳ n–4p
15	−0.7	0.0	−0.4	−0.4	−5.8	708.0	708.6	708.6	87	89	85	W 1	SW 1	NW 2	3	10*	10*	3.1	✳ 10¼a–n
16	−0.8	3.9	1.8	1.6	−3.9	709.7	711.4	713.5	74	62	82	W 2	SW 2	W 2	6	7	10	0.6	≡° n–II
17	1.0	6.5	2.8	3.4	−2.3	714.5	715.4	715.4	93	65	73	SW 1	SW 1	NW 1	10*	3	7	.	✳° n–7½a, ≡° I, III
18	1.4	3.4	2.0	2.3	−3.5	716.3	716.9	716.8	89	93	96	NW 1	SW 1	N 1	10	10	0	1.7	✳ 7¾–10½a, ●–0p
19	0.8	11.6	10.2	7.5	1.6	716.4	714.7	712.9	100	57	47	NE 1	SE 1	NE 2	10≡	3	8	.	≡ n–10½a
20	5.1	11.0	6.3	7.5	1.4	712.6	711.4	713.6	74	56	81	NE 1	NE 2	NW 1	10	8	2	.	
21	3.1	13.5	6.5	7.7	1.5	716.2	716.2	716.3	92	58	68	NE 1	SW 1	N 1	5	3	0	.	≡° I
22	2.7	11.9	8.0	7.5	1.2	716.9	716.6	716.7	92	**49**	65	NW 1	SW 1	NW 0	8	7	0	.	≡° n–II
23	4.6	14.7	7.7	9.0	2.5	718.1	717.0	715.7	90	56	83	N 1	E 1	NW 1	8	6	3	0.8	≡° l, ●° 3¾–5p
24	3.4	10.3	6.2	6.6	0.0	715.0	712.8	712.8	98	74	94	NE 1	SE 1	N 1	6	8	10	3.4	≡° l, ●° 11½–11¾a, *)
25	6.0	3.2	0.1	3.1	−3.7	707.9	706.9	706.5	82	72	100	SW 1	NW 2	N 1	10	10*	10*	8.5	●° n–10½a, ✳ 1¼p–n
26	−1.0	−0.4	−0.6	−0.7	−7.6	705.8	708.7	712.8	100	93	74	W 1	SW 2	N 1	10*	10*	2	0.9	✳° n–4p
27	**−4.5**	2.4	2.2	0.0	−7.0	716.0	715.5	715.4	97	76	88	NE 1	SE 1	NW 1	8	9	10	.	≡° I
28	1.4	9.5	5.8	5.6	−1.6	715.4	713.8	714.0	96	72	88	NE 1	SW 1	N 1	7	9	10	.	≡° n–II
29	3.2	9.4	6.4	6.3	−1.0	712.7	712.1	710.2	100	79	87	NE 1	E 1	N 1	8	10	8	.	
30	5.0	14.8	12.5	10.8	3.4	711.9	713.1	716.2	94	55	58	NE 1	SW 1	NW 1	2	9	8	1.0	≡° II, ⸜ ●° 6–7p, ◺ III, n
31	6.4	**15.6**	9.6	10.5	2.9	718.6	718.1	718.3	91	58	72	NW 1	SW 1	N 1	6	4	2	1.0	≡° l, n ● [●
Mittel	2.2	7.3	4.4	4.6	—	716.1	716.0	716.4	88	71	77				7.7	7.3	6.7	Summe 77.3	

Keine Angaben über Schneebedeckung.

*) **24.** ▲° 11½a, ⸝ 4½–[5½p, ● 4½p–n

März 1911.
Beobachter: Frl. *H. Nager.*

Altdorf.

$\lambda = 8° 39'$, $\beta = 46° 53'$,
$H_b = 456.3^m$, $G = 0.05^{m/m}$.

Tag	Lufttemperatur 7h30	1h30	9h30	Mittel	Abweich. vom Normalst.	Luftdruck 7h30	1h30	9h30	Relative Feuchtigkeit 7h30	1h30	9h30	Windrichtung und Stärke 7h30	1h30	9h30	Bewölkung 7h30	1h30	9h30	Niederschlag	Witterung
1	3.8	8.4	3.9	5.4	2.1	721.8	724.5	731.0	81	74	77	SE 0	SE 0	NW 2	10	10	10	8.6	● $7^3/_4$–$11^1/_2{}^a$, ● 4p–n
2	0.0	6.4	1.1	2.5	−0.9	**734.6**	733.3	731.3	96	46	100	E 0	NW 0	NW 0	2	10	10	12.4	● 5p–n
3	5.7	2.3	1.1	3.0	−0.5	727.7	729.8	731.0	80	100	100	NW 2	NW 0	NW 0	10	10	10	22.1	a ● , p ● ✳°
4	3.5	6.4	4.5	4.8	1.1	728.3	726.6	724.2	100	85	100	SE 0	SE 0	SE 0	10	10	10	1.0	● n–10a
5	3.5	5.2	2.9	3.9	0.1	722.6	723.0	722.8	100	77	100	SE 0	SE 0	SE 0	10	10	10	1.2	● lll
6	1.0	5.7	1.1	2.6	−1.3	720.5	718.6	718.3	97	50	74	SE 0	SE 0	SE 0–1	5	1	0	.	
7	−1.8	5.2	1.3	1.6	−2.4	719.5	720.2	721.1	90	40	90	S 0	N 2	SE 0	0	0	6	.	
8	−0.2	8.0	3.9	3.9	−0.3	721.1	722.2	723.1	89	70	100	SE 0	NW 0	SE 0	5	10	10	0.7	●° $0^1/_2$p–p
9	−1.0	5.0	2.5	2.2	−2.1	722.0	721.3	722.8	99	57	75	S 0	W 0–1	SW 0	0	0	2	.	
10	2.0	5.0	3.3	3.4	−1.0	724.6	725.1	725.1	84	70	94	SE 0	NW 0	SE 0	10	10	10	0.4	●° 9p–n
11	0.5	7.2	4.5	4.1	−0.5	723.0	721.5	721.8	87	50	55	SE 0	NWo-1	SE 0	10	2	8	.	
12	3.9	9.4	4.9	6.1	1.4	721.2	720.0	717.7	66	41	59	S 0	NW 1	SE 0–1	10	5	5	.	
13	8.8	12.3	2.9	8.0	3.2	709.2	**706.7**	712.6	35	29	75	SE 3	SE 2–3	SW 0	6	9	10	0.9	, ●° ✳° 3–6p
14	0.1	5.4	−0.4	1.7	−3.3	712.8	711.0	712.0	68	37	100	SWo–1	NW 2	NW 0	7	6	6	3.3	✳ , 5–$6^1/_2{}^p$
15	0.8	3.9	−0.8	1.3	−3.8	710.7	710.8	712.3	56	42	100	NW 1-2	NW 0	NW 0	10	4	10	0.8	✳° $4^1/_2$–6p
16	−3.4	5.3	1.6	1.2	−4.0	713.0	713.7	716.8	78	38	85	SE 0	NWo-1	NW 0	0	4	10	.	
17	−1.0	7.3	0.8	2.4	−3.0	718.0	717.7	718.7	81	41	62	S 0	NWo-1	NW 0	8	3	0	.	
18	5.6	10.7	1.8	6.0	0.5	718.9	718.8	720.3	36	30	80	SE 0–1	SE 0	SW 0	9	10	0	.	
19	1.1	13.2	11.6	8.6	3.0	719.3	717.5	716.5	81	31	34	SE 0	SW 2	SE 2–3	5	1	4	.	0p–n
20	11.9	14.4	11.9	12.7	6.9	715.4	715.6	716.7	32	31	31	SE 2–3	SE 3	SE 3	7	8	0	.	
21	11.3	15.6	12.5	13.1	7.2	718.7	719.3	720.4	32	28	30	SE 2	SE 2–3	S 3	0	5	0	.	
22	7.4	17.1	11.2	11.9	5.9	719.3	719.3	720.0	60	32	39	W 0–1	SE 1–2	S 0–1	2	3	0	.	p
23	4.7	12.8	8.3	8.6	2.4	721.3	720.0	719.1	85	57	64	SE 0	SE 0	SE 0	0	10	0	.	
24	4.9	12.2	7.1	8.1	1.8	718.0	715.4	715.6	94	49	100	SE 0	W 0	NW 0	9	10	10	10.4	● 5p–n
25	5.7	5.3	2.4	4.5	−1.9	711.3	708.8	709.6	96	70	99	E 0	NW 2	NW 0	10	10	10	**22.2**	● 4–7p, ✳ 8p–n
26	0.8	3.2	0.7	1.6	−5.0	708.0	713.9	716.1	100	77	100	SW 0	SE 0	SE 0	10	10	10	9.5	✳
27	−2.2	4.1	9.6	3.8	−2.9	719.0	718.4	717.0	91	54	44	SE 0	NWo-1	SE 2–3	10	9	8	.	9p–0^a
28	3.8	17.3	16.4	12.5	5.7	717.0	717.3	717.3	86	29	30	NWo-1	SE 3	S 2	10	8	10	.	$8^1/_2{}^a$–n
29	16.8	**21.6**	16.6	18.3	11.3	716.1	716.5	714.3	27	**25**	27	SE 2–3	SE 3–4	S 2	5	5	8	.	
30	14.3	17.8	12.5	14.9	7.8	715.2	716.7	719.3	33	28	31	SE 1–2	S 1–2	SE 1	0	10	1	.	
31	6.6	17.8	10.7	11.7	4.5	717.1	720.6	721.9	73	31	54	SE 0	SE 0–1	SE 0	3	3	0	.	
																		Summe	
Mittel	3.8	9.4	5.6	6.3	—	718.9	718.8	719.6	75	49	71				6.2	6.6	6.1	93.5	

März 1911.
Observatorium.

Genf.

$\lambda = 6° 9'$, $\beta = 46° 12'$,
$H_b = 405.0^m$, $G = 0.02^{m/m}$.

1	7.9	10.5	4.9	8.0	5.0	727.7	730.6	735.9	76	57	69	SW 1	SW 1	ENE 1	10●	9●	2	1.0	● l, 1–3p
2	−0.1	7.0	0.1	5.0	1.9	739.7	**739.8**	739.1	89	47	43	E 1	NW 1	WSW 1	0	10	10●	4.0	a ⌴, ● 8p–n
3	3.5	6.1	4.4	4.4	1.2	735.6	734.9	735.3	97	94	100	NE 1	ENE 0	NE 1	10	10●	10●	7.2	● 10^a–$9^1/_2{}^p$
4	3.5	10.2	7.3	6.7	3.4	732.9	731.3	728.5	98	68	85	NW 0	ENE 1	N 1	2	4	10	.	
5	5.9	6.6	5.2	6.0	2.6	727.0	727.6	726.6	68	61	71	WNW 1	NNE 1	NNE 1	10	10	0	.	☋ 7p
6	2.1	6.2	4.0	4.1	0.6	724.6	723.3	722.1	76	53	71	NE 1	N 1	N 1	2	3	4	.	a ⌴, ☋ ☋ 7–9p
7	0.2	5.7	4.0	3.2	−0.5	723.7	724.4	725.0	89	58	80	WNW 1	NNE 1	N 1	7	8	2	.	a ⌴
8	1.1	11.4	5.9	4.8	1.0	726.0	726.0	726.8	88	40	56	NW 1	SW 1	NNE 1	9	3	9	.	a ⌴
9	−0.8	6.5	5.9	3.9	0.0	726.5	726.6	727.3	91	58	71	NW 0	NNE 1	NNE 1	1	4	10	1.0	a ⌴, n ●
10	2.6	4.5	2.6	3.9	−0.1	729.6	730.1	730.1	89	74	88	WSW 1	NNE 1	NNE 1	10●	10	5	0.9	● 7–$9^1/_2{}^a$
11	0.7	5.6	3.9	3.1	−1.0	727.6	726.8	726.4	89	61	83	ENE 0	NNE 1	NNE 1	9	1	2	.	a ⌴
12	0.5	12.7	6.0	5.7	1.4	726.0	724.6	721.8	92	36	65	NNW 1	SW 1	SW 0	7	6	2	.	a ⌴
13	5.8	5.9	2.4	5.0	0.6	715.5	715.6	719.1	62	92	73	SSW 3	SSW 2	SSW 1	10●	10*	9	6.1	● $6^1/_2$–10^a, △ ✳ $0^1/_2$– *)
14	−0.1	5.7	0.4	1.6	−2.9	717.5	716.9	717.2	85	46	81	S 1	WSW 2	SSE 1	9	8	7	1.3	a ⌴, ✳ 11^a–0, $9^1/_2$–10p, *)
15	−1.5	2.1	2.0	0.7	−3.9	716.2	717.1	716.4	96	61	63	SW 1	SSW 1	SSW 1	5	10	10	0.2	n ($^{15}/_{16}$) ✳°
16	0.8	6.2	2.8	2.5	−2.3	718.4	719.7	721.7	87	39	70	SSW 1	SSW 2	WSW 1	7	9	10	0.3	ll, ✳° 3–$3^3/_4{}^p$
17	1.6	8.0	4.6	4.2	−0.7	722.5	722.7	722.9	88	46	70	SW 1	NNE 1	NNE 1	10*	5	5	1.5	✳° 7–$7^1/_2{}^a$, ☋ 10p
18	1.0	5.7	4.1	3.1	−1.9	724.5	724.7	724.2	96	85	90	W 0	SW 1	ENE 1	10*	8	8	4.0	✳ 7–$7^1/_2{}^a$, ● $9^3/_4$–$10^1/_4{}^a$
19	1.5	9.6	8.6	6.0	0.9	723.7	722.0	720.6	95	58	78	E 0	NNE 1	N 1	5	8	10●	1.3	a ⌴°, ● 9p–n
20	6.3	10.5	5.8	7.6	2.3	719.6	718.6	720.2	94	57	88	SSW 1	NNE 0	SW 1	10	9	2	.	
21	1.0	12.2	6.9	6.3	0.9	723.8	723.6	723.7	95	40	76	SW 1	NW 1	W 1	3	5	5	.	a ⌴
22	3.7	12.1	7.7	7.3	1.8	724.3	724.2	724.4	85	35	71	W 0	NW 1	NW 0	9	7	4	.	
23	5.5	12.4	10.9	9.3	3.7	725.8	724.4	723.3	87	54	74	SSW 0	NNE 1	NNE 0	9	5	1	.	(l) 6p
24	5.1	12.7	7.4	8.3	2.5	722.5	720.8	720.8	87	58	89	WNW 1	NW 1	E 1	8	9	9●	2.0	● $2^3/_4$, $4^1/_2$–6, 7–$9^1/_2{}^p$
25	6.5	6.1	0.0	4.0	−1.0	716.4	**714.3**	**714.3**	84	72	100	W 1	SW 1	ENE 1	10●	10	10*	**13.8**	● 7–$9^3/_4{}^a$, ✳ 2p–n
26	−1.6	1.2	−0.5	−0.1	−6.1	714.7	717.7	720.9	95	88	96	SSW 2	SSW 2	WSW 0	10*	9	1	0.8	✳° 7–9^a, n–ll
27	−2.1	1.7	0.3	−0.8	−7.0	723.1	723.3	723.5	87	71	100	SW 1	NNE 1	NW 1	10	10	10*	2.3	a ⌴, ✳ 8^a–$0^3/_4$, $2^1/_2$–$9^1/_2{}^p$
28	0.4	8.5	8.0	5.4	−0.9	721.9	720.8	720.8	96	65	81	WNW 0	N 1	N 1	7	8	10	.	
29	3.2	11.5	9.5	8.0	1.6	719.5	718.8	717.6	93	71	76	W 0	W 1	WNW 0	10	10	10	.	
30	6.8	**17.5**	11.1	11.3	4.7	719.3	720.6	724.2	82	**34**	72	NE 1	SSW 2	SSW 1	7	5	9	0.4	ll, n ●°
31	7.0	10.7	12.0	11.5	4.8	726.1	725.0	725.9	91	41	72	SW 1	WSW 1	SW 1	2	4	9	2.3	n ($^{31}/_{11}$) ●
																		Summe	
Mittel	2.5	8.3	5.3	5.2	—	723.9	723.8	724.1	88	59	77				7.4	7.3	6.6	50.4	

*) **13.** $1^1/_2$p, ☇° $1^1/_2$p, , [✳ 5–$5^1/_4{}^p$ *) **14.** n, , 1, 4p

Die Temperatur-Tagesmittel von Genf resultieren aus 8 Beobacht. in dreistünd. Zeitintervallen. — Die Beobachtungstermine sind $7^{35}{}^a$, 1^{35} u. 9^{35}p.

$\lambda = 8° 33'$, $\beta = 47° 23'$,
$Hb = 493.2^m$, $G = 0.08\,{}^m/_m$.

Zürich.

März 1911.
Meteorol. Centralanstalt.

Tag	Lufttemperatur 7h	1h	9h	Mittel	Abweich. vom Normalst.	Luftdruck 7h	1h	9h	Relative Feuchtigkeit 7h	1h	9h	Windrichtung und Stärke 7h	1h	9h	Bewölkung 7h	1h	9h	Niederschlag	Witterung
1	6.4	11.8	3.4	7.2	4.8	717.7	720.7	727.7	85	50	75	SW 1	SW 2	NW 0	10●	7	10	3.5	● $5^1/_4$–$9^1/_2{}^a$, $2^1/_2$–5^p, 🌂
2	0.0	5.2	3.2	2.8	0.3	**730.7**	729.9	727.6	92	52	85	E 0	SW 2	SW 2	2	10	10●	10.5	⌴ l, 🌂 10^a–n, ●° 2p, ● *)
3	2.0	2.0	1.1	1.9	−0.7	726.4	726.6	727.2	100	95	100	E 0	SW 1	S 1	10●	10*	10	10.3	● n–8, $9^1/_2{}^a$–1p, ✳–$8^1/_4{}^p$
4	2.1	4.5	4.6	3.7	1.0	724.8	723.5	721.0	100	99	99	S 0	S 0	S 0	10≡●	10≡	10≡	1.4	● n–$11^1/_2{}^a$, ≡
5	3.4	5.6	2.3	3.8	0.9	719.4	719.4	719.9	79	73	93	W 1	SW 1	E 0	10	10●	5	1.6	● 1p–p, ✳° $9^1/_4{}^p$
6	−1.2	8.0	2.0	2.9	−0.1	718.0	715.9	715.4	100	46	61	NE 0	E 1	SW 1	2	4	0	.	⌴ l
7	−2.1	5.0	1.1	1.5	−1.6	716.5	717.3	717.7	90	57	85	NE 0	NE 1	NE 0	3	1	1	.	⌴ l, ⊕^{2} 8^a
8	−0.3	3.7	3.2	2.2	−1.1	717.9	718.7	719.7	95	84	82	NE 0	SW 0	SE 0	8	10	10	.	⌴ l, a ≡°, ✳° 8-$8^3/_4$, $9^3/_4$-
9	−1.2	8.0	2.0	2.9	−0.5	719.0	718.2	719.2	90	47	75	NW 0	E 1	NE 0	0	2	2	.	⌴ l [$10^1/_4{}^a$, ●° 1p
10	2.9	5.0	2.2	3.3	−0.3	721.3	722.2	721.7	84	69	81	SE 0	SW 0	SE 0	10	10	9	0.3	✳° $7^3/_4$–10^a, ●°–$10^1/_4{}^a$
11	0.8	10.2	2.8	4.6	0.9	719.7	718.6	718.3	95	47	75	SE 0	N 0	NW 0	7	3	2	.	⌴ l
12	0.1	9.0	5.8	5.2	1.4	717.8	716.7	714.2	94	52	70	E 0	W 1	S 0	6	6	8	.	[5^p–n
13	2.8	7.2	−0.4	3.2	−0.8	705.8	**703.5**	709.5	69	70	85	E 1	W 1	W 2	7	9	9	2.4	🌂 11^a–n, ●° $1^3/_4{}^p$–p, ✳
14	−0.6	4.1	−0.4	1.0	−3.1	709.3	708.9	708.9	77	70	83	W 1	NW 1	NW 0	5	4	8	.	✳° $9^3/_4{}^a$, 1p, 🌂
15	−0.4	2.4	−0.3	0.6	−3.7	707.7	707.8	708.6	83	60	85	W 1	W 2	SW 1	10	9	8	0.5	✳° a–$8^1/_2{}^a$, 1–$2^1/_2$, *) ✳
16	−0.8	5.0	2.4	2.2	−2.2	709.4	710.7	713.3	76	42	62	SW 1	W 2	SW 2	5	4	9	.	🌂 $11^1/_2{}^a$–n ✳
17	0.4	6.8	1.5	2.9	−1.6	714.4	715.4	715.8	91	47	75	E 1	W 1	NE 0	4	6	1	.	✳° $6^3/_4$–$7^1/_4$, 9–$9^1/_2{}^a$
18	0.4	5.3	4.0	3.2	−1.5	715.8	716.1	716.6	80	56	61	NE 0	N 0	SW 1	6	10	3	.	
19	0.2	12.7	8.3	7.1	2.3	716.3	715.2	713.2	91	37	52	SE 0	NE 1	NE 2	8	1	8	.	p 🌂
20	2.0	10.3	7.8	6.7	1.7	713.1	712.1	713.0	85	56	75	NW 0	NE 1	NE 0	4	6	5	.	
21	2.0	16.4	9.6	9.3	4.2	716.1	715.7	716.2	96	**27**	35	E 0	E 1	SE 1	0	6	0	.	⌴^{2} l
22	1.9	17.8	8.8	9.5	4.3	716.6	716.1	716.6	89	33	65	E 0	NW 1	E 0	2	4	1	.	⌴ l
23	3.6	14.3	7.9	8.6	3.2	717.8	717.2	715.9	90	50	79	E 0	W 0	E 0	3	6	1	.	⌴° l
24	3.3	15.2	6.7	8.4	2.9	714.8	712.5	711.9	95	52	84	NE 0	NW 1	SW 1	6	4	7	2.4	⌴ l, ◺ $4^3/_4{}^p$, ● 🌂 6–$7^1/_2{}^p$
25	6.2	1.0	0.2	2.5	−3.1	707.8	706.9	706.6	82	100	100	SW 1	NW 0	W 1	5	10*	10*	**20.8**	● $0^3/_4$–$1^1/_2$, $9^1/_2$–$9^3/_4$, *) ↘
26	0.0	2.4	−0.2	0.7	−5.1	704.6	707.6	712.7	98	73	70	W 1	SW 2	SW 1	9*	9	0	0.7	a ✳° ↘
27	**−2.6**	5.6	2.0	1.7	−4.2	716.1	715.8	714.8	90	58	90	E 0	N 1	NW 1	4	8	10	.	↘
28	1.0	9.8	14.4	8.4	2.4	715.2	714.2	713.8	96	68	35	NE 1	S 1	S 1	8	10	10	.	≡° ⌴° l
29	11.0	**21.6**	11.8	14.8	8.6	712.7	711.9	710.4	52	29	49	E 0	SW 0	SE 1	6	7	9	.	
30	11.0	18.2	10.6	13.3	7.0	711.2	712.6	716.0	57	38	65	N 1	W 1	NW 1	2	8	2	.	🌂 II, ◺ 8–$9^1/_2{}^p$
31	5.8	16.2	10.2	10.7	4.3	718.4	717.7	718.2	86	38	68	W 0	W 0	SW 0	2	4	0	.	◠° 6p
																		Summe	
Mittel	1.9	8.8	4.5	5.1	—	715.9	715.7	716.2	87	57	74				5.6	6.7	5.7	54.4	*) 2. $4^1/_2{}^p$–n *) 15. $3^1/_2$, [$6^1/_2$–7^p, p 🌂 *) 25. II–$11^1/_4{}^a$, ✳–n

$\lambda = 8° 30'$, $\beta = 47° 3'$,
$Hb = 1787.3^m$, $G = -0.11\,{}^m/_m$.

Rigi-Kulm.

März 1911.
Beobachter: *F. Aschwanden.*

1	−1.6	−3.2	−5.6	−3.5	0.1	612.1	614.3	618.2	100	100	100	NW 3-4	W 4	W 4	10*	10	10*	18.8	🌂 n–p, ✳, ≡ II
2	−7.4	−7.3	−4.2	−6.3	−2.7	620.7	**621.2**	618.9	100	100	100	NW 1	W 3	NW 4	10≡	10*	10≡*	6.0	≡ l, III, p ✣ ✳ 🌂^{2}
3	−4.0	−5.2	−3.6	−4.3	−0.8	617.7	617.8	618.7	100	100	100	NW 2	SW 0	W 1	10*	10*	10*	**22.4**	✳
4	−1.4	−0.4	−1.6	−1.1	2.4	617.4	616.6	614.4	100	100	100	SW 0	W 1	W 1	10-	10-	10-	1.2	● $9^1/_2{}^a$, ≡
5	−3.8	−4.6	−5.0	−4.5	−1.1	612.0	612.1	612.2	100	100	100	NW 0	NW 1-2	W 0	10-	10*	10=	3.5	⌴, ✳ II
6	−8.2	−6.0	−6.4	−6.9	−3.5	609.6	608.7	608.2	100	100	82	SE 1	SE 0	SE 0	7	3	3	.	≡° l
7	−3.4	−1.4	−3.4	−2.7	0.6	608.8	610.0	610.9	62	56	68	NW 2	NW 1	NW 2	5	3	3	.	
8	−4.6	−4.0	−6.0	−4.9	−1.7	610.9	611.1	612.0	95	97	70	W 2	W 1	NW 1-2	7	10*	10*	3.8	✳ $7^1/_2{}^a$–n
9	−0.4	−2.8	−4.6	−4.0	−1.4	610.8	610.9	612.2	60	66	98	E 0	E 1	W 0-1	0	1	1	.	
10	−5.2	−2.2	−6.2	−4.5	−1.4	613.2	613.7	613.9	97	88	95	E 0	S 1	W 0	10	10	10	0.2	✳° $5^1/_4{}^p$
11	−5.4	−1.4	−4.2	−3.7	−0.7	611.8	611.9	612.0	59	40	72	S 1	W 1	W 1	3	3	5	.	
12	−4.6	−0.4	−2.4	−2.5	0.5	611.1	610.6	608.8	92	66	75	NW 1	NW 1	NW 2	10	10*	10	0.3	✳° $7^1/_4{}^a$–II
13	−2.6	−0.8	−7.4	−3.6	−0.7	601.3	599.8	602.0	44	39	96	S 3	W 1	NW 4	10	10	10*	4.0	🌂 n–l, ✳ 🌂^{2} $2^3/_4{}^p$–n
14	−10.0	−6.6	−9.0	−8.5	−5.7	601.9	601.8	601.5	94	95	95	W 3	W 0	W 1	7	10*	10≡	3.2	🌂 l, ✳ 1p–p, ≡ III–n
15	−10.0	−8.8	−10.2	−9.7	−6.9	600.1	600.6	601.2	94	95	100	NW 2	SW 0	W 0	10≡	10*	10*	2.4	≡ l, ✳ $11^1/_2{}^a$–n
16	−10.2	−5.0	−8.4	−7.9	−5.2	601.9	603.8	605.8	100	87	95	W 0	W 1	NW 1	3	7	10	2.0	✳ 2p
17	−7.6	−2.6	−6.4	−5.5	−2.9	606.8	608.2	608.7	59	45	56	W 1	SE 1	E 2	7	5	0	.	✳° $8^3/_4{}^a$
18	−3.2	−0.8	−2.2	−2.1	0.5	609.1	609.8	610.9	30	62	53	W 0	NW 2	NE 1	10	10	0	.	✳° $10^1/_2{}^a$
19	−0.8	1.4	1.2	0.6	3.1	610.0	610.3	608.8	36	39	33	SE 2	SE 2	S 3-4	5	3	10	.	🌂^{2} III–n
20	−0.6	3.0	0.4	1.3	3.7	607.8	607.8	608.9	40	35	39	SE 3	S 3-4	SE 1	5	5	1	.	🌂 n–II
21	0.0	3.8	0.2	1.3	3.6	610.8	611.6	612.2	39	33	37	S 2	S 3	SE 1	1	5	3	.	🌂 II
22	1.2	4.4	1.6	2.4	4.7	611.7	612.2	612.7	41	37	40	SE 4	SE 2	SE 1-2	3	5	1	.	🌂^{2} l
23	0.8	5.4	−0.2	2.0	4.2	612.4	612.4	611.7	44	38	98	NW 1	SE 0	NE 0	3	10	1	.	
24	−0.2	4.0	−1.0	0.9	3.0	610.0	608.7	607.3	64	58	98	NW 0	W 0	W 1	5	10	10*	16.8	△ $2^3/_4$–4^p, ✳–n
25	−3.8	−4.8	−7.4	−5.3	−3.3	603.0	600.8	600.0	97	98	97	W 4	NW 1	NW 0	7*	10*	10*	16.3	✣ 🌂^{2} l, ✳
26	−9.0	−8.4	**−10.4**	−9.3	−7.4	**597.7**	600.4	604.3	96	96	96	W 3	W 3	W 4	10*	10*	0	0.6	✳° n–II, 🌂, 🌂^{2} III–n
27	−8.4	−3.0	−0.2	−3.9	−2.1	607.1	608.3	608.8	96	96	62	SE 3	S 4	SE 4	7	7	5	.	🌂 l, 🌂^{2}
28	2.2	5.0	5.0	4.3	6.1	610.3	610.0	611.2	44	27	31	SE 4	SE 5	SE 2	10	7	10	.	🌂^{2} n–p
29	5.8	7.8	5.8	6.5	8.2	610.1	610.1	608.4	27	**24**	28	SE 4	SW 3	SE 3	5	7	10	.	🌂^{2} n–l, 🌂
30	3.8	**8.3**	1.8	4.6	6.2	608.2	609.9	611.9	32	32	33	S 3	SE 1	SE 0-1	3	10	3	.	🌂 n–l
31	−1.2	4.2	1.8	1.9	3.4	613.2	613.5	614.0	71	40	65	S 2	N 0	W 0	3	5	0	.	
																		Summe	
Mittel	−3.5	−1.0	−3.2	−2.6	—	609.3	609.6	610.0	71	67	75				6.6	7.6	6.3	101.5	

März 1911.
Beobachter: *J. Camenisch.*

Bevers.

$\lambda = 9° 53'$, $\beta = 46° 33'$,
$Hb = 1712.6^m$, $G = -0.12\,{}^{m}/_{m}$.

Tag	Lufttemperatur 7h	1h	9h	Mittel	Abweich. vom Normalst.	Luftdruck 7h	1h	9h	Relative Feuchtigkeit 7h	1h	9h	Windrichtung und Stärke 7h	1h	9h	Bewölkung 7h	1h	9h	Niederschlag	Witterung
1	-8.8	4.4	-3.9	-2.5	3.2	618.1	618.6	622.7	90	50	69	— o	S 3	S 3	5	9	10	.	p ⛈
2	-11.9	0.8	-4.8	-5.2	0.4	**626.0**	625.9	623.1	71	**35**	97	N 1	S 2	— 0	1	10	10*	**23.1**	✳ $5^{1}/_{2}$p–n
3	-3.2	-2.8	-6.6	-4.2	1.3	620.9	621.9	623.1	100	80	69	S 1	— 0	— 0	10*	10*	10	7.0	✳ n–$3^{1}/_{2}$p
4	-3.6	2.8	-8.0	-2.9	2.5	621.1	621.1	619.8	64	54	76	NE 2	S 1	— 0	9	9	0	.	
5	-10.4	1.0	-2.3	-3.9	1.3	617.0	615.9	616.6	84	45	60	o	W 4	S 3	10	5	10	0.2	p ⛈², ✳° 4–5p
6	-15.4	-0.9	-11.8	-9.4	-4.3	616.2	615.3	614.7	77	45	59	— o	— o	NE 1	1	0	1	.	
7	-16.6	0.7	-9.9	-8.6	-3.6	616.0	615.7	616.7	71	54	71	S 1	— o	W 1	7	1	2	.	
8	-15.8	-0.1	-4.0	-6.6	-1.7	616.8	615.9	616.9	76	50	68	N 1	SW 3	— o	0	1	7	.	⛈ II
9	-15.0	1.4	-8.8	-7.5	-2.7	617.7	617.5	618.8	81	46	78	— o	— o	E 1	0	0	4	.	
10	-6.7	1.2	-9.1	-4.9	-0.3	619.4	619.3	619.9	90	42	72	— o	— o	W 1	10*	1	8	.	✳° 7–$7^{1}/_{2}$a
11	-9.0	0.2	-9.4	-6.3	-1.8	618.5	617.7	617.9	81	52	71	— o	S 2	— o	5	4	3	.	
12	-8.2	1.9	-6.8	-4.4	0.0	617.3	616.1	615.1	75	44	72	— o	SW 1	— o	8	8	10	.	
13	-5.7	0.2	-4.8	-2.8	1.4	611.1	608.1	607.2	73	61	95	W 3	S 1	NW 1	10	10	10*	5.8	⛈ I, ✳ 6p–n
14	-12.8	-3.2	-8.2	-8.1	-4.0	608.1	607.5	606.6	85	38	90	SE 2	N 1	NW 1	6	7	10*	2.7	✳ III
15	-8.2	-3.2	-15.4	-8.9	-4.9	605.2	605.5	607.8	70	46	65	N 1	SW 1	NE 1	10	9	0	0.7	
16	-13.4	-2.2	-12.4	-9.3	-5.5	609.3	609.9	612.8	80	44	68	— o	SE 1	N 1	10*	8	3	.	✳° n–9^{a}
17	-17.0	-3.0	-12.0	-11.1	-7.4	614.1	613.8	616.1	80	50	59	— o	— o	N 1	4	7	0	.	
18	-13.0	-1.6	-10.0	-8.4	-4.8	616.9	617.3	618.3	75	52	64	W 1	— o	N 1	7	4	0	.	
19	-10.2	2.0	-2.4	-3.5	-0.1	618.0	617.4	617.4	77	54	84	— o	S 2	S 2	10	1	10	.	
20	-4.8	3.2	-1.4	-1.0	2.3	616.6	616.3	617.5	95	57	86	— o	S 1	N 1	10≡	9	0	.	≡ I
21	-7.0	5.2	-0.4	-0.9	2.2	619.1	619.4	620.0	95	46	86	— o	— o	N 1	3	3	0	0.1	n ($^{21}/_{22}$) ✳°
22	-2.6	5.8	-2.0	0.4	3.4	619.3	619.4	619.4	100	57	81	— o	— o	— o	9-	9	1	.	≡ I
23	-3.0	5.6	-0.6	0.7	3.5	619.1	617.6	617.2	88	45	84	— o	S 1	W 1	10	10	5	.	
24	-3.6	7.1	0.4	1.3	4.0	615.5	613.7	611.9	86	41	81	SW 1	W 1	W 1	6	10	9	.	
25	-4.0	5.1	-1.4	-0.1	2.5	608.7	606.3	605.2	89	46	94	SW 1	S 1	N 1	8	6	10*	4.0	✳ III–n
26	-2.0	-1.2	-9.0	-4.1	-1.7	**605.0**	605.8	611.3	92	89	75	W 2	N 3	N 1	10*	10*	0	12.4	✳ n–p, ⛈ II
27	-11.4	0.8	-0.6	-3.7	-1.4	616.6	617.2	618.6	75	58	100	- o	SE 1	NE 1	10	10*	10	12.4	✳
28	-1.8	7.6	4.2	3.3	5.4	619.7	619.6	619.5	97	36	51	— o	S 2	S 2	5	5	0	.	
29	-1.6	**9.2**	2.8	3.5	5.5	619.5	617.9	616.2	81	38	63	S 1	SE 1	SW 3	3	6	8	1.4	⛈ III, n ✳
30	1.5	3.4	-3.3	0.5	2.3	615.8	617.8	619.3	96	61	71	N 1	SW 1	NE 1	10*	10*	0	.	✳° n–II
31	-6.6	5.6	0.8	-0.1	1.6	620.3	619.7	620.5	89	49	79	— o	S 1	NE 1	1	4	9	.	
Mittel	-8.1	1.8	-5.2	-3.8	—	616.2	615.8	616.4	83	51	75				6.7	6.3	5.2	Summe 69.8	

März 1911.
Beobachter: P. *F. Landolt.*

Sitten.

$\lambda = 7° 21'$, $\beta = 46° 14'$,
$Hb = 540^m$, $G = 0.00\,{}^{m}/_{m}$.

1	1.5	9.9	5.0	5.5	2.0	715.6	717.0	721.6	98	60	73	SW 0	SW 1	SW 1–2	10	4	8	0.9	a ●°
2	0.8	8.4	2.4	3.9	0.2	**726.9**	726.5	725.9	77	45	100	NE 0	SW 1	SW 0–1	1	8	10●	11.7	⌊ I, ● $8^{1}/_{2}$p–n
3	3.0	4.0	4.8	3.9	0.1	721.4	721.6	722.6	100	100	100	SW 1	SW 1	SW 0	10●	10●	10●	**20.6**	●², n ●°
4	2.8	10.2	7.0	6.7	2.7	719.7	718.7	716.3	100	64	80	W 0	SE 0–1	E 0	5	7	10	.	
5	4.3	7.7	3.5	5.2	1.1	713.3	714.5	713.9	85	62	75	SW 0	SW 1–2	SE 0–1	10	10	0	.	
6	0.8	7.5	3.3	3.9	-0.3	712.4	710.1	710.0	79	42	76	E 0	SE 0	E 0	7	1	4	.	
7	-1.0	9.1	4.4	4.2	-0.2	711.8	711.6	712.7	96	42	76	E 0	SW 0–1	E 0	7	5	8	.	⌊ I
8	1.8	10.2	5.0	5.7	1.2	714.0	713.0	713.5	78	42	70	E 0	W 0	NE 0	5	4	4	.	⌊ I
9	-0.1	8.7	4.4	4.3	-0.4	713.9	713.3	714.8	78	50	71	E 0–1	SW 1	E 0	2	1	8	.	
10	2.4	6.5	3.0	4.0	-0.8	710.3	716.4	717.3	89	67	91	SE 0	SW 2	W 0	9	4	7	.	
11	1.0	8.9	4.0	4.6	-0.3	715.6	713.9	714.2	95	34	74	E 0	S 1	E 0	4	3	2	.	
12	1.7	11.6	5.2	6.2	1.1	714.0	712.2	710.5	79	38	55	E 0	S 0–1	S 0	8	3	0	.	
13	2.6	7.4	2.0	4.0	-1.2	705.0	702.4	705.6	73	58	88	E 0	SE 0	SW 1	10	10	6	0.4	p ●°, ⛈² 3–5p
14	-1.3	6.8	0.6	2.0	-3.4	705.5	703.6	703.9	76	38	87	N 0	SW 1–2	SW 1	6	5	3	.	
15	-0.9	5.7	-0.1	1.6	-3.9	703.4	703.3	704.3	90	40	84	W 0	SW 1	E 0	8	8	5	.	
16	-0.6	5.9	2.2	2.5	-3.2	706.3	706.7	709.2	77	44	70	NE 0	SW 0	S 0	10	6	10	.	✳° $9^{1}/_{2}$a
17	-0.2	7.4	3.3	3.5	-2.3	710.6	710.4	712.0	70	33	67	E 0	E 0	NE 1	5	3	6	.	
18	3.0	5.6	4.6	4.4	-1.6	712.8	713.8	712.8	54	65	64	E 0	SE 0	SE 0–1	10	6	0	1.2	✳ $9^{1}/_{2}$–$10^{1}/_{2}$a
19	1.7	12.9	9.2	7.9	1.8	712.6	710.3	710.1	74	**30**	38	NE 0	E 0	E 0	4	4	10	.	
20	7.1	14.6	8.1	9.9	3.6	709.2	707.8	711.0	58	32	49	SW 0	NE 1–2	E 0	8	6	0	.	
21	5.8	15.0	9.7	10.2	3.8	713.0	712.1	713.5	59	33	43	NE 0	NE 2–3	NE 0–1	4	4	0	.	⛈ II
22	9.3	16.3	10.4	11.0	4.4	713.2	711.7	713.1	50	36	46	E 0	S 0	NE 0	8	7	0	.	
23	9.3	15.8	11.0	11.0	4.3	713.5	711.8	711.0	74	42	60	S 0	SW 0	SW 0	8	3	5	0.4	n ($^{23}/_{24}$) ●°
24	6.8	15.8	7.0	9.9	3.0	710.5	707.6	708.2	85	50	100	E 0	S 0	S 1	9	4	10●	4.6	● 8p–n
25	5.2	7.5	3.0	5.2	-1.8	704.6	701.3	**700.6**	100	85	80	SW 1	SW 1	SW 1	10	10●	10	2.9	●° II, n ✳
26	0.1	3.4	0.4	1.3	-5.9	**700.6**	703.8	708.4	98	60	71	NW 0–1	SW 1	E 0	10	6	0	.	
27	**-1.4**	9.3	6.0	4.8	-2.5	711.6	711.5	712.0	80	37	59	E 0	S 0–1	SE 0–1	10	8	10	.	
28	6.1	17.0	15.1	12.7	5.2	711.2	710.2	710.9	78	35	48	N 0	NE 5	NE 3–4	10	10	4	.	⛈² 10^{a}–n
29	10.4	**19.0**	16.0	15.1	7.5	709.8	708.0	709.5	55	**30**	31	S 0	N 5	NE 4	10	5	10	.	⛈² 10^{a}–n
30	9.5	16.8	10.8	12.4	4.6	709.4	709.0	712.4	74	33	46	E 0	NE 2	SE 0–1	5	5	0	.	
31	7.6	16.3	10.8	11.6	3.7	713.7	713.7	714.2	67	37	56	SW 0	SW 0–1	E 0–1	4	4	0	.	
Mittel	3.0	10.4	5.9	6.4	—	712.0	711.2	712.0	79	47	69				7.3	5.6	5.2	Summe 42.7	

$\lambda = 8^\circ 57'$, $\beta = 46^\circ 0'$,
$Hb = 276.2^m$, $G = 0.03\,{}^m/_{mm}$.

Lugano.

März 1911.
Beobachter: *G. Belletti.*

Tag	Lufttemperatur 7h	1h30	9h30	Mittel	Abweich. vom Normalst.	Luftdruck 7h30	1h30	9h30	Relative Feuchtigkeit 7h30	1h30	9h30	Windrichtung und Stärke 7h30	1h30	9h30	Bewölkung 7h30	1h30	9h30	Niederschlag	Witterung
1	0.0	12.4	11.9	8.1	3.1	738.9	737.4	739.8	67	44	19	NW o	S o	N 1	o	o	o	.	
2	7.4	13.2	6.4	9.0	3.9	**746.1**	745.5	742.9	19	28	54	N 1	SW o	NW o	o	3	10	0.3	
3	6.0	8.6	10.5	8.4	3.2	741.2	742.5	739.9	94	56	37	NW o	N 1	N 2	10	10	o	0.6	●° $6^1/_{2^a}$–a, p ⸙
4	3.4	12.9	5.6	7.1	1.7	740.3	739.5	738.7	76	45	64	NE o	SE o	N o	o	o	o	.	⸙ n–$5^1/_{2^a}$
5	2.6	8.6	10.0	7.1	1.6	737.4	734.9	733.7	70	59	26	N o	NW o	N 1	3	10	o	.	
6	3.3	14.4	4.8	7.5	1.9	734.3	733.0	734.2	40	30	64	N o	SE o	N o	o	o	o	.	
7	5.2	9.6	4.0	6.3	0.5	736.4	736.4	736.6	74	57	67	NW o	S o	N o	10	4	1	.	
8	3.0	11.2	4.2	6.1	0.2	737.8	736.5	736.4	83	52	69	N o	SE o	N o	10	3	o	.	
9	**0.0**	9.4	5.0	4.8	**−1.2**	738.4	739.0	740.0	84	54	69	N o	SW o	N o	o	10	10	.	
10	4.4	7.0	6.4	6.1	0.0	741.1	741.2	740.9	84	70	70	NW o	NE o	N o	10	8	10	.	● 8–$8^1/_{2^a}$
11	3.3	8.8	3.6	5.2	−1.1	739.6	738.5	738.2	83	60	71	N o	SE o	N o	10	10	o	.	
12	1.2	11.9	6.8	6.6	0.2	737.6	735.9	734.6	75	54	62	N o	SW o	NW o	3	3	9	0.8	
13	4.0	6.1	3.7	4.6	−2.0	731.5	728.1	725.4	90	80	93	N o	NW o	N o	10●	10	7	6.8	● $6^1/_{2^a}$–III
14	5.0	12.2	5.7	7.6	0.9	726.0	725.0	723.4	21	**14**	36	NW 1	N 1	N o	6	6	10	.	⸙ $10^1/_{2^p}$–n
15	6.0	8.2	2.2	5.5	−1.3	**721.8**	724.0	726.9	16	16	70	N 2	N 2	N o	10	10	7	.	⸙ n–$6^1/_{2^p}$, n ✳°
16	2.2	6.4	1.8	3.5	**−3.5**	730.2	731.1	733.7	66	65	92	NW o	SW o	SW o	8	10	10	1.7	●° 1p, n, ● $7^1/_2$–8p
17	1.8	9.4	3.6	4.9	−2.2	734.8	734.6	736.6	92	54	61	N o	SE o	N o	10	6	o	.	
18	1.4	11.7	4.4	5.8	−1.4	738.4	738.0	738.6	76	54	62	NW o	SE o	N o	3	6	o	.	
19	4.1	11.4	6.0	7.2	−0.2	738.8	737.9	738.3	75	50	79	N o	S o	N o	10	10	10●	9.2	● 9p–n
20	3.0	5.6	4.6	4.4	−3.1	738.1	738.0	738.8	90	89	87	N o	NW o	NW o	10●	10●	10●	13.7	●, n ●
21	4.8	9.2	7.7	7.2	−0.4	739.7	740.1	739.9	95	80	94	N o	S o	N o	10	10	10●	5.6	● $7^1/_{2^p}$–n
22	6.8	9.0	8.3	8.2	0.4	739.8	739.3	739.0	93	82	95	NW o	S o	NW o	10●	10●	10	2.7	●
23	7.0	12.6	10.4	10.0	2.1	737.6	736.6	735.7	94	62	81	SW o	NE o	N o	10	8	10	.	
24	7.4	**14.8**	8.2	10.1	2.0	733.4	731.0	729.4	94	57	87	N o	S o	NW o	10	8	3	12.6	●° 4p, ● $11^1/_{2^p}$–$0^1/_{2^a}$
25	6.8	12.0	5.4	8.1	−0.1	725.8	722.8	722.0	89	71	89	N o	S o	NE o	10	10	10●	**17.7**	●° 11a, ⛥° $2^1/_4$–$4^1/_4$p, p n ●
26	6.4	6.8	4.0	5.7	−2.6	722.4	725.1	732.3	76	71	70	SE 1	SE 2	NE o	10●	10	7	6.5	n ●, ⸙ I–$6^1/_{2^p}$
27	3.2	6.8	1.0	3.7	−4.8	738.5	739.3	740.9	74	65	96	N o	SW o	N o	10	10	10●	12.0	● 2p–n
28	4.0	11.2	8.2	7.8	−0.8	740.6	739.4	738.5	93	69	96	N o	NW o	NW o	10	10	10	.	
29	7.0	13.8	9.7	10.2	1.5	737.5	736.1	735.2	88	65	92	N o	S o	N o	10	10	10●	11.5	● $8^1/_{2^p}$–n
30	8.6	12.0	8.8	9.8	0.9	735.4	735.8	738.7	92	81	91	N o	S o	N o	10●	10	10●	4.8	● n–$10^1/_{2^p}$
31	8.0	12.0	9.0	9.7	0.7	739.7	739.1	739.3	94	69	71	N o	SE o	N o	5	10	o	.	
																		Summe	
Mittel	4.4	10.3	6.2	7.0	—	736.1	735.5	735.8	76	58	71				7.4	7.6	5.9	106.5	

$\lambda = 7^\circ 35'$, $\beta = 47^\circ 33'$,
$Hb = 277.2^m$, $G = 0.13\,{}^m/_m$.

Basel.

März 1911.
Bernoullianum.

1	8.9	7.2	5.4	7.2	3.7	736.8	740.5	747.2	83	83	64	SW 3	W 2	W 1	9●	9●	3	1.3	●° $4^3/_4$–$5^1/_{4^a}$, ⸙ I, ● $7^1/_2$–
2	0.6	7.6	5.9	4.7	1.1	**750.3**	748.9	746.3	88	54	80	E o	NW 1	SW 3	3	10	10	1.3	⸙ III [$7^3/_4$, $11^1/_{2^a}$–$1^3/_4$p
3	7.2	4.8	4.6	5.5	1.8	745.7	745.9	746.3	89	93	93	W o	S o	SE o	10●	10●	10●	13.4	● $1^1/_4$–$1^3/_4$, $3^1/_2$–4, $7^1/_{4^a}$–n
4	4.0	7.8	6.4	6.1	2.2	743.8	742.5	740.2	97	83	85	SE o	SW 1	W o	10≡	10	10	0.6	● n–$2^1/_{4^a}$, ≡ I, ●° $7^1/_{2^a}$–
5	5.0	6.5	4.2	5.2	1.2	738.5	738.7	739.4	75	86	90	W 1	W o	NW o	10	10●	8	0.2	●° $1^1/_2$, $5^1/_{2^p}$ [$0^1/_{4^p}$
6	0.4	5.0	2.4	2.6	**−1.5**	737.1	735.1	734.3	100	67	86	S o	NE o	NE o	10≡	3	o	.	≡ I, ⏛ III
7	−1.0	6.8	2.4	2.7	−1.5	735.7	736.0	736.5	92	58	89	W o	E 1	E o	4	1	o	.	⏑ I, ⊕ 11^a
8	0.9	9.4	2.4	3.2	−1.2	737.2	737.7	738.9	83	68	83	SE o	SE o	SE o	8≡	5	o	.	≡ ⏑ I
9	**-1.2**	6.8	5.0	3.5	−1.0	738.3	737.6	738.8	95	55	77	S o	N 1	N o	1≡	2	5	.	≡ ⏑ I
10	3.8	8.2	5.0	5.7	1.1	740.6	740.7	740.8	87	47	73	S o	W 1	SW o	10	8	9	.	
11	0.8	9.0	4.4	4.7	0.0	738.9	737.4	737.3	91	49	84	E 1	E 1	E o	2≡	2	2	.	≡ ⏑ I, ⏛ III
12	1.6	10.0	5.4	5.7	0.8	736.9	735.0	732.2	89	44	73	E o	W 1	W o	10	2	6	.	⊕ 11^a [● $7^1/_2$–$9^1/_{4^p}$
13	9.6	5.0	1.9	5.5	0.5	**722.7**	723.1	728.6	39	78	80	SW 2	W 3	W 1	10	10	8	1.8	△ $0^3/_{4^p}$, ● ✳–$1^1/_{4^p}$, ⸙ II,
14	2.0	4.2	0.8	2.3	−2.8	728.0	727.7	727.7	72	56	78	SW 1	W 1	S o	7	8	10	0.3	✳° $8^1/_2$–$9^3/_{4^a}$, o, $2^3/_4$–$3^1/_{4^p}$
15	0.2	3.6	1.4	1.7	−3.6	726.6	726.8	726.9	85	67	82	S o	W 1	W o	5	10	7	0.5	⏑ I, ✳° 10^a–3^p
16	1.8	6.9	3.2	4.0	−1.4	727.9	729.3	731.8	75	38	72	W o	S 2	SE 1	6	6	10	0.3	[✳–2p
17	1.6	4.0	2.9	2.8	−2.7	733.2	734.4	734.5	96	90	80	SE o	N o	E 1	10≡●	8	o	1.2	●° ≡ $7^1/_2$–$8^1/_{4^p}$, △ $0^3/_{4^p}$,
18	2.2	8.0	6.4	5.5	−0.2	734.2	734.4	734.8	75	40	71	E o	E 1	E 1	8	7	o	.	✳° $9^1/_{2^a}$
19	3.0	12.0	10.3	8.7	2.9	734.9	733.4	731.9	83	**37**	49	E o	E 1	SE 1	6	3	o	.	
20	5.2	8.9	8.1	7.4	1.5	731.6	730.7	732.0	70	63	77	E o	N 1	W o	6	8	10	.	●° $9^1/_{4^p}$
21	3.4	14.6	8.2	8.7	2.6	735.0	734.2	734.6	93	50	78	E 1	N 1	S o	1	2	o	.	
22	3.3	14.0	8.4	8.6	2.4	735.8	734.9	735.5	82	48	76	SE o	N o	S o	2	5	1	.	
23	4.0	13.6	9.0	9.1	2.8	736.5	735.5	734.5	84	57	81	SE 1	E o	S o	7	6	1	.	
24	3.6	13.6	7.8	8.3	1.8	733.5	731.0	730.2	93	61	91	E 1	W o	SE o	2≡	2	10	6.0	≡ I, ⛥● $7^1/_4$–$7^3/_{4^p}$
25	2.0	2.4	0.8	1.9	−4.7	726.8	726.5	726.1	96	89	96	W o	W o	W o	10	10	10*	**13.5**	● $7^1/_4$–$8^1/_4$, $11^1/_{4^a}$–$6^1/_4$, *)
26	3.0	3.0	0.7	1.2	−5.5	724.1	726.9	731.5	93	70	94	W o	W 1	SW o	10*	10	1	0.1	✳° n–8^a ⛝
27	−1.0	5.4	5.0	3.1	−3.7	734.9	734.4	734.1	84	58	72	SE 1	E 1	E o	1	8	10	.	
28	2.4	10.4	8.0	6.9	−0.1	734.0	732.4	732.0	86	63	86	SE o	N o	N o	6	8	10	.	
29	3.8	13.8	10.6	9.4	2.3	731.0	730.0	728.1	84	63	87	S o	NW o	S o	7	8	10	.	
30	6.4	**18.9**	12.0	12.4	5.2	728.9	730.2	734.3	75	40	81	E o	N o	SE 1	4	5	8	0.8	●° 9p
31	7.0	15.4	10.9	11.1	3.8	736.7	736.3	736.6	91	52	81	SE 1	NW 1	N o	8	9	8	.	●° $6^1/_4$–$6^3/_{4^a}$
																		Summe	
Mittel	3.0	8.5	5.5	5.7	—	734.7	734.4	735.0	85	61	80				6.5	6.6	5.7	41.3	*) **25.** 9–11p, ✳ $11^1/_{4^p}$–n

März 1911.
Observatorium.

Säntis.

$\lambda = 9^{\circ} 20'$, $\beta = 47^{\circ} 15'$,
$H_b = 2500.1^{m}$, $G = -0.16\ ^{m}/_{m}$.

Tag	Lufttemperatur 7^{30}	Lufttemperatur 1^{30}	Lufttemperatur 9^{30}	Lufttemperatur Mittel	Abweich. vom Normalst.	Luftdruck 7^{30}	Luftdruck 1^{30}	Luftdruck 9^{30}	Relative Feuchtigkeit 7^{30}	Relative Feuchtigkeit 1^{30}	Relative Feuchtigkeit 9^{30}	Windrichtung und Stärke 7^{30}	Windrichtung und Stärke 1^{30}	Windrichtung und Stärke 9^{30}	Bewölkung 7^{30}	Bewölkung 1^{30}	Bewölkung 9^{30}	Niederschlag	Witterung
1	-5.3	-7.4	-11.6	-8.1	0.4	558.8	560.4	564.2	100	100	100	WSW 4	WSW 3	WNW 1	10≡✱	10≡✱	10≡✱△	**20.2**	↙ I, ≡ ✱ ✛^{2} ∨, △ 4p–n ⧆
2	-12.1	-12.0	-9.2	-11.1	-2.6	**565.8**	565.4	562.7	98	98	100	WSW 2	WSW 5	WSW 4	7	10 ✱	10≡✱	15.1	✛ n–9 1/2a, ✛^{2} ↙^{2}–n, *) ⧆
3	-9.3	-9.8	-9.7	-9.6	-1.2	563.4	563.3	564.5	100	100	100	ENE 2	W 1	WSW 1	10≡✱	10≡✱	10≡	7.8	✱ n–6p, ✛ n–7 1/2p, *) ⧆
4	-5.7	-5.1	-6.4	-5.7	2.7	564.0	563.2	561.0	100	100	100	WNW 1	WSW 1	SW 2	10≡✱	10≡	10≡	1.7	✱ n–8 1/4a, ≡ ∨, ✛° *) ⧆
5	-9.0	-8.5	-10.2	-9.2	-0.9	558.1	558.2	558.4	97	100	100	WSW 3	SW 2	WSW 1	6	10≡✱	10≡✱	8.5	≡ 8 1/2a–n, ✛° ∨°, *) ⧆
6	-12.8	-8.5	-7.3	-9.5	-1.2	556.1	556.0	556.1	96	57	63	WNW 1	NW 1	NE 2	1	2	2	.	⧆
7	-6.1	-6.2	-10.0	-7.4	0.8	556.6	557.5	557.8	**48**	68	98	NE 1	E 1	SSW 3	4	3	2	0.2	⧆
8	-9.2	-8.8	-10.8	-9.6	-1.4	557.6	557.5	558.3	100	100	100	WSW 2	WNW 1	W 1	10≡✱	10≡✱	10≡✱	5.1	✱ 7 1/2a–n, ≡ ✛ ∨ ⧆
9	-11.6	-6.6	-9.5	-9.2	-1.1	557.8	558.2	559.0	95	85	98	SW 1	SSE 1	SW 2	1	1	10≡	0.1	≡ 9 1/4p–n ⧆
10	-9.6	-7.6	-10.2	-9.1	-1.0	559.8	560.2	560.3	95	97	90	WSW 1	SW 1	SW 1	9	9	10	.	✱° 7 1/2a, ≡ 0 1/4–0 1/2, [4 1/4–4 3/4p, ≡° III ⧆
11	-10.3	-8.3	-10.4	-9.7	-1.7	558.6	558.7	558.7	80	86	91	WSW 3	WSW 3	WNW 3	1	3	7	0.2	⧆
12	-9.4	-8.0	-8.5	-8.6	-0.7	557.8	557.2	555.8	98	98	98	WNW 2	WSW 3	WSW 2	10≡✱	10≡✱	10≡✱	1.8	✱° n–2 3/4p, ≡, ✱ 7 1/4p–n ⧆
13	-9.2	-7.1	-12.1	-9.5	-1.6	549.6	547.5	548.0	85	81	100	SW 3	WSW 4	WSW 4	7	9	10≡✱	8.4	a ✛, ↙^{2}, ≡ ✱ ✛^{2} 3p–n ⧆
14	**-15.5**	-12.4	-14.2	-14.0	-6.2	547.8	548.5	548.0	90	88	100	WSW 3	WSW 1	WNW 2	2	7	10≡✱	8.9	✱ 2 3/4p–n, ≡ 3 3/4p–n ⧆
15	-15.1	-12.7	-15.2	-14.3	-6.5	546.3	546.8	547.8	100	98	100	NW 1	WSW 3	WSW 2	10≡✱	10≡✱	10≡✱	4.4	≡ ✱ ✛ ⧆
16	-14.9	-12.4	-12.9	-13.4	-5.9	548.7	550.7	552.6	90	78	100	WSW 2	WSW 2	WSW 2	4	2	10≡✱	5.9	≡ ✱ 6 1/4p–n ⧆
17	-13.1	-10.7	-12.0	-11.9	-4.3	553.6	555.0	556.0	95	96	88	WSW 3	WSW 1	SW 3	7	4	1	.	⧆
18	-9.8	-7.4	-7.1	-8.1	-0.6	556.6	557.2	558.5	80	97	98	W 3	WSW 3	WSW 2	8	10	7	2.6	≡ 1 1/2–7p, ✱ ✛ ↙ 2 1/2–[5 3/4p ⧆
19	-6.3	-5.0	-5.2	-5.5	2.0	558.4	558.5	557.7	75	78	72	NE 1	ENE 1	NW 2	8	3	8	.	⧆
20	-4.5	-2.6	-5.0	-4.0	3.4	556.7	556.6	557.5	80	79	78	SSW 2	SSW 2	SSW 4	4	9	4	.	↙ III ⧆
21	-5.2	-3.2	-4.6	-4.3	3.0	559.0	560.0	560.3	74	75	70	SSW 2	SSW 2	SSW 3	1	6	2	.	⧆
22	-3.3	-1.9	-4.0	-3.1	4.1	560.2	560.7	560.9	76	79	77	SSW 2	SSW 1	SSE 2	3	5	1	.	⧆
23	-3.8	-2.0	-4.6	-3.5	3.6	560.5	560.5	559.4	73	79	85	SW 1	S 0	SW 1	6	8	3	.	⧆
24	-5.4	-2.6	-6.0	-4.7	2.3	557.6	556.6	554.6	86	85	100	NW 2	WSW 1	W 1	9	9	10≡✱	15.4	△° 3 1/4p, ✱ ≡ 4 3/4p–n ⧆
25	-8.1	-5.3	-10.5	-8.0	-1.0	550.0	548.7	547.4	100	98	100	WSW 3	SW 1	NNW 1	10≡✱	10≡✱	10≡✱	7.7	✱ ✛ n–10 1/4a, 1p–n, ≡ ∨ ⧆
26	-8.0	-8.1	-12.4	-9.5	-2.6	**546.2**	547.5	551.4	98	98	95	E 1	SSW 3	SW 2	10≡✱	10≡✱	5✱	1.0	≡ n–9 1/4p, ✱ ✛ ⧆
27	-11.7	-4.9	-4.2	-6.9	-0.1	554.7	557.1	557.9	95	93	97	SSW 4	SSW 5	WSW 4	7	9	9	.	✛ n–2 1/2, 6 1/2p–n, ↙, *) ⧆
28	-2.0	-0.8	-0.8	-1.2	5.5	559.8	560.5	561.1	81	68	72	SSE 4	SW 3	NW 4	9	9	9	.	↙ a, III–n, ✛° ⧆
29	-0.3	**1.4**	-0.6	0.2	6.8	559.7	559.8	558.1	69	65	67	S 4	SSW 2	WNW 4	9	7	9	.	↙ a, III ⧆
30	-2.1	-1.1	-3.8	-2.3	4.2	557.6	558.7	560.2	79	78	68	SSE 3	SSW 3	SE 1	4	9	1	.	⩤° 9 1/2p ⧆
31	-4.3	-2.8	-3.8	-3.6	2.7	560.9	561.4	562.1	87	88	89	E 2	WSW 3	WSW 2	1	2	1	0.1	✱° 3 3/4–6p ⧆
Mittel	-8.2	-6.4	-8.1	-7.6	—	556.7	557.0	557.3	88	87	90				6.4	7.3	7.1	Summe 115.1	

[*) **2.** ✱ 0 3/4p–n, ≡^{2} ∨ 1 3/4p–n *) **3.** ≡^{2} ∨ *) **4.** 4 1/2p–n *) **5.** ✱ 1p–n *) **27.** ↙^{2} II, ≡ 8 1/4–8 3/4p

März 1911.
Beobachter: *D. Dittli.*

St. Gotthard (Hospiz).

$\lambda = 8^{\circ} 34'$, $\beta = 46^{\circ} 33'$,
$H_b = 2102.9^{m}$, $G = -0.14\ ^{m}/_{m}$.

Tag	Lufttemperatur 7^{30}	Lufttemperatur 1^{30}	Lufttemperatur 9^{30}	Lufttemperatur Mittel	Abweich. vom Normalst.	Luftdruck 7^{30}	Luftdruck 1^{30}	Luftdruck 9^{30}	Relative Feuchtigkeit 7^{30}	Relative Feuchtigkeit 1^{30}	Relative Feuchtigkeit 9^{30}	Windrichtung und Stärke 7^{30}	Windrichtung und Stärke 1^{30}	Windrichtung und Stärke 9^{30}	Bewölkung 7^{30}	Bewölkung 1^{30}	Bewölkung 9^{30}	Niederschlag	Witterung
1	-1.0	-3.4	-7.6	-4.2	2.4	588.5	589.5	592.5	59	99	94	N 2	N 5	N 5	7	10≡	10≡✱	7.4	p n ↙^{2} ≡, ✛^{2} ✱ 1 1/2p–n ⧆
2	-10.1	-5.5	-5.4	-7.0	-0.4	595.6	**595.9**	593.9	92	49	81	N 5	N 4	N 5	4	7	10✱	7.5	↙^{2}, ✛ ✱ 2p–n ⧆
3	-5.0	-6.6	-6.0	-5.9	0.6	590.7	592.0	593.3	83	79	80	N 6	N 5	N 5	10✱	10✱	10✱	20.5	↙^{2} ✛^{2} ✱ ⧆
4	-3.8	-2.2	-4.8	-3.6	2.8	591.9	591.9	590.2	90	94	90	NNW 3	N 4	N 3	10≡	10≡	1	.	≡^{2} n–II, ↙, ↙^{2} II ⧆
5	-7.5	-4.7	-7.5	-6.6	-0.2	587.4	587.1	586.4	75	94	95	N 3	N 4	N 5	9≡	10≡	4	0.5	a ≡ ↙ ✱°, ≡^{2} II, ↙^{2} ⧆
6	-12.0	-1.0	-7.7	-6.9	-0.6	585.1	584.9	585.0	90	**35**	46	N 2	NNW 0	SE 1	1	0	0	.	⧆
7	-8.1	1.1	-7.8	-4.9	1.3	585.6	586.4	586.9	75	43	70	SE 1	SE 1	N 2	3	2	1	.	⧆
8	-9.0	-4.8	-7.0	-6.9	-0.8	586.7	586.8	587.4	72	66	86	N 2	N 2	N 3	1	1	10✱	6.9	✱ 3p–n, ✛ ↙ III–n ⧆
9	-10.2	-0.7	-6.2	-5.7	0.4	587.1	587.9	588.8	80	56	82	N 0	SE 2	SE 1	0	9	10≡	0.6	≡^{2} 4p–n ⧆
10	-6.6	0.2	-6.2	-4.2	1.8	589.3	589.7	589.9	80	53	82	SE 1	S 1	S 1	10≡✱	10	10≡	0.6	≡^{2} ✱° n–I, p ✱°, ≡ III ⧆
11	-8.2	1.0	-8.1	-5.1	0.8	588.4	588.2	588.1	76	38	65	S 0	S 1	S 1	8	4	5	0.8	n (11/12) ✱° ⧆
12	-7.5	0.8	-5.4	-4.0	1.9	587.2	586.9	585.4	75	**35**	78	S 0	S 1	S 1	5	3	10	0.9	n (12/13) ✱° ⧆
13	-6.8	-5.0	-9.8	-7.2	-1.4	580.5	577.7	578.1	94	96	82	S 3	S 4	N 2	10✱	10✱	3	6.3	✱ ↙ n–7 1/4p, ↙^{2} II ⧆
14	-12.6	-9.4	-11.0	-11.0	-5.3	578.0	577.3	576.4	90	51	88	N 1	NW 1	N 3	6	3	9≡	4.3	≡ ↙ III–n, n ✱ ⧆
15	-12.6	-10.0	-12.9	-11.8	-6.2	574.4	576.3	577.6	87	74	79	N 5	N 2	N 1	10✱	8	6	0.3	✛ ↙^{2} ✱° n–9 1/2a ⧆
16	**-13.1**	-3.4	-10.1	-8.9	-3.4	578.6	580.4	582.5	70	50	94	SE 0	SE 1	SSE 1	3	3	10≡✱	1.5	p ✱ ≡ ⧆
17	-12.0	-5.5	-9.0	-8.8	-3.3	583.0	584.3	585.8	91	41	80	SE 0	SSE 0	SSE 1	5	1	9	.	⧆
18	-8.1	-0.6	-8.7	-5.8	-0.4	586.7	587.2	588.2	70	41	82	S 1	S 2	S 1	7	4	1	.	⧆
19	-7.4	-1.2	-6.0	-4.9	0.4	587.6	587.9	587.7	82	57	100	SSE 2	S 1	S 1	9	10	10≡	1.0	≡^{2} 9p–n, n ✱ ⧆
20	-5.6	-2.0	-5.2	-4.3	0.9	586.9	586.9	588.0	97	93	98	S 1	S 2	S 2	10≡	10≡	10≡✱	1.5	a ≡, p ≡^{2}, ✱ 6p–n ⧆
21	-4.1	0.2	-3.2	-2.4	2.7	588.9	589.8	590.5	99	80	99	S 1	SSE 2	S 1	10≡	10≡✱	10≡✱	3.3	a ≡, p ✱ ≡^{2} ⧆
22	-3.0	1.0	-2.5	-1.5	3.5	589.6	590.1	590.4	99	69	97	S 1	S 1	S 1	10≡	10≡✱	9	0.5	≡ n–p, ✱° II ⧆
23	-1.6	**5.4**	-0.8	1.0	5.9	589.2	589.1	588.1	73	37	95	S 0	S 0	SE 1	9	9	10≡	.	≡ III ⧆
24	-2.8	0.5	-3.2	-1.8	3.0	586.0	584.9	583.2	85	60	97	NNW 1	NNW 1	N 1	10	9	10	1.6	✱ 8 1/2p [↙ III–n ⧆
25	-4.2	0.4	-9.0	-4.3	0.4	579.2	576.9	575.5	97	59	82	N 2	S 1	NNW 3	9≡	10≡	10✱	**40.0**	≡ n–II, ✱^{2} 1 1/2p–n, ✛ ⧆
26	-9.4	-9.1	-9.0	-9.2	-4.6	**573.9**	576.1	580.5	84	86	87	W 1	N 3	SSE 2	10✱	10✱	10✱	8.8	✱, ↙ II, p ✛ [✱ 2p–n ⧆
27	-8.8	-4.8	-5.0	-6.2	-1.7	586.0	587.6	588.0	87	90	90	SSE 3	S 2	S 2	10	10	10✱	7.8	↙ I, ✱ 8a–0 1/2p, ≡^{2} II, ✛ ⧆
28	-1.2	0.2	0.1	-0.3	4.1	590.0	590.5	590.6	94	85	70	SSE 3	SSE 3	S 3	10≡	10	10	0.5	≡ I, ↙ ✱° ✛ ●° ⧆
29	0.8	5.0	-0.2	1.9	6.2	589.7	589.2	587.6	65	45	97	SE 2	SE 2	SE 1	9	9	10≡	4.1	≡^{2} 4 1/4p–n ⧆
30	-2.6	1.7	-1.6	-0.8	3.4	586.9	588.1	589.8	98	62	75	S 2	SE 2	SE 2	10✱	10≡	10	2.7	✱ n–9a, ≡ II ⧆
31	-3.0	3.5	-2.5	-0.7	3.4	590.3	590.7	591.2	73	49	73	S 1	S 1	SSE 1	3	9	1	.	⧆
Mittel	-6.7	-1.8	-6.1	-4.9	—	586.1	586.4	586.7	83	63	84				7.4	7.5	7.7	Summe 129.9	

λ = 7° 26′, β = 46° 57′,
Hb = 572.2m, *G* = 0.05 m/m.

Bern.

April 1911.
Tellur. Observatorium.

Tag	Lufttemperatur					Luftdruck			Relative Feuchtigkeit			Windrichtung und Stärke			Bewölkung			Niederschlag	Witterung
	7³⁰	1³⁰	9³⁰	Mittel	Abweich. vom Normalst.	7³⁰	1³⁰	9³⁰	7³⁰	1³⁰	9³⁰	7³⁰	1³⁰	9³⁰	7³⁰	1³⁰	9³⁰		
1	6.7	13.6	8.2	9.5	3.3	712.4	711.8	711.6	88	60	94	SE 0	SW 0	SE 0	8	8	8	1.2	⌓ I, ● 4½–5½p
2	6.4	14.6	7.7	9.6	3.3	710.4	708.4	707.9	96	55	97	SW 0	W 0	SW 0	4	7	10	4.0	⌓ I, ☈● 3–5p
3	7.0	7.4	2.2	5.5	−1.0	705.8	705.1	704.9	100	71	95	SW 0	SW 1	NE 1	10	10	10●	1.7	● 8½p–n, n ∗
4	−2.5	−0.6	−2.4	−1.8	−8.4	704.5	704.7	703.6	88	73	78	NE 1	E 3	NNW 2	10∗	9∗	9∗	0.1	⊹ ∗°, p n ↗²
5	**−4.8**	−3.0	−2.1	−3.3	−10.0	**700.6**	701.1	701.4	77	78	87	NE 2	N 1	NE 2	10∗	10∗	10∗	0.1	↗ I, III, ⊹° ∗°
6	−2.0	0.8	−1.6	−0.9	−7.8	704.1	706.2	709.2	83	73	95	NE 1	NE 2	NE 1	10	10	3	.	↗ II
7	−2.0	3.6	0.3	0.6	−6.4	708.8	707.5	707.2	88	63	68	NE 0	N 2	N 1	10	3	2	.	↗ II
8	−0.6	2.4	0.2	0.7	−6.4	707.6	708.4	710.6	83	75	81	NE 0	NE 1	ENE 2	10∗	10	9	0.1	n ∗°, ↗ III
9	−1.5	2.0	−0.5	0.0	−7.3	711.6	711.4	709.4	83	58	72	NE 1	SE 1	E 0	6	10	2	.	⌴ I, ⊹° ∗° 3½–4½p
10	−1.0	4.9	1.5	1.8	−5.6	706.5	705.2	706.0	71	43	67	N 0	N 0	NE 0	7	8	3	.	
11	−0.2	9.9	5.1	4.9	−2.7	710.0	710.9	712.0	86	40	49	NE 0	NE 1	NE 0	1	1	0	.	
12	1.6	12.4	6.8	6.9	−0.8	713.8	712.9	713.1	82	35	62	S 0	E 0	SW 1	1	1	4	.	⌴ I
13	4.2	7.7	3.6	5.2	−2.7	713.1	714.0	715.7	96	42	68	NE 1	NE 1	E 1	8	6	9	.	●° 6½–6¾a
14	1.2	8.1	2.9	4.1	−3.9	716.6	716.5	717.4	91	38	56	E 2	NE 2	NNE 1	8	3	0	.	↗ n–II
15	1.3	14.9	6.2	7.5	−0.6	716.9	717.0	716.6	79	**14**	54	ESE 0	NE 1	S 0	0	0	1	.	⌴ I
16	5.0	19.0	12.3	12.1	3.8	716.1	713.6	712.6	67	29	41	S 0	SW 1	W 1	0	0	0	.	
17	6.8	17.6	10.8	11.7	3.3	712.9	712.2	713.2	78	**14**	42	S 0	SW 1	SW 0	3	1	2	.	
18	6.5	18.5	10.4	11.8	3.3	713.5	710.6	709.4	78	33	71	S 0	N 0	SE 0	0	1	2	.	
19	7.6	15.9	9.9	11.1	2.4	709.8	708.1	709.5	78	46	79	SE 0	SW 1	SW 1	3	10	10	4.0	n (19/20) ●
20	5.5	7.4	6.8	6.6	−2.2	713.1	715.9	720.6	96	90	99	W 1	SW 0	SE 0	10●	10●	10	0.3	●° n–II
21	8.8	13.3	9.3	10.5	1.5	723.2	724.0	**724.4**	89	57	84	NE 0	NE 2	E 0	3	9	2	.	↗ II
22	7.6	18.6	11.7	12.6	3.5	723.7	721.2	719.6	83	47	77	SE 1	NE 1	SE 1	1	2	2	.	⌓ I
23	9.6	**21.5**	13.1	14.7	5.5	718.8	716.2	715.0	78	26	76	S 0	SW 1	SW 0	1	6	2	.	
24	11.5	19.8	13.0	14.8	5.4	713.7	713.0	713.3	80	34	64	S 0	N 0	N 0	9	9	9	.	
25	9.2	19.1	12.6	13.6	4.1	712.4	711.1	709.9	86	38	71	SW 0	NE 1	SW 0	1	2	2	.	
26	11.1	11.6	10.3	11.0	1.4	710.3	711.8	713.3	87	79	74	SE 0	W 1	W 1	10	10●	10	2.4	● 8½–11½a, II
27	9.2	12.6	8.9	10.2	0.4	711.6	709.6	707.8	91	60	83	SW 0	SW 2	W 1	10	10	9	1.3	●° 11½a–0¼p, ↗ II, n ●
28	6.8	10.6	9.3	8.9	−1.0	708.4	709.4	708.8	90	60	59	SW 2	SW 2	SW 0	9	9	5	6.3	↗ n–II, ●, ▲ 0¾–1p
29	12.0	8.6	5.6	8.7	−1.3	704.0	705.3	705.3	61	90	96	SW 2	SW 1	SE 0	10	10	10	**14.5**	↗ I, ● 11a–n
30	7.5	11.7	4.7	8.0	−2.2	703.9	703.1	706.6	83	46	96	S 0	SW 2	SW 0	1	8	5	3.7	↗ II, ● 8½–9p
Mittel	4.6	10.8	6.2	7.2	—	711.3	710.9	711.2	84	52	75				5.8	6.4	5.3	Summe 39.7	

λ = 6° 57′, β = 47° 0′,
Hb = 487.3m, *G* = 0.06 m/m.

Neuenburg.

April 1911.
Observatorium.

Tag	Lufttemperatur					Luftdruck			Relative Feuchtigkeit			Windrichtung und Stärke			Bewölkung			Niederschlag	Witterung
	7³⁰	1³⁰	9³⁰	Mittel	Abweich. vom Normalst.	7³⁰	1³⁰	9³⁰	7³⁰	1³⁰	9³⁰	7³⁰	1³⁰	9³⁰	7³⁰	1³⁰	9³⁰		
1	6.8	14.0	8.7	9.5	1.8	719.5	719.2	718.6	97	68	81	NE 1	SW 1	NW 1	9	7	0	.	
2	7.5	15.3	8.7	10.5	2.7	717.6	715.8	715.1	93	60	93	W 1	W 1	W 1	8	6	10●	2.4	● 6¼p–n
3	7.6	7.4	3.8	6.3	−1.7	713.1	712.9	711.7	78	70	71	SW 1	NW 2	N 3	10	7	10●	0.3	↗ 9½a–n, ●° 6, 9½p
4	−1.2	0.9	−0.8	−0.4	−8.5	711.9	711.9	711.0	84	61	67	NE 2	NE 3	NE 3	9	10	9	.	∗° n–7a, 6p, p ↗
5	**−3.2**	−1.6	−2.2	−2.3	−10.5	**708.2**	708.4	708.9	63	62	96	NE 2	NE 3	NE 2	10	10	10∗	1.0	∗°, ↗ II, ∗ 6–10p
6	−1.4	2.5	−0.5	0.2	−8.2	711.6	713.6	716.8	81	66	76	NE 1	NE 2	NE 2	10	10	3	.	
7	−0.5	5.4	2.3	2.4	−6.1	716.3	715.0	714.7	93	62	64	NE 2	NE 2	NE 2	9	3	0	.	
8	0.8	2.2	1.2	1.4	−7.3	715.2	715.8	718.3	89	62	79	NE 1	N 2	NE 2	10	10∗	0	.	∗° 1¼–1¾, 5p
9	0.3	3.0	1.8	1.7	−7.1	719.2	718.9	716.7	73	56	58	NE 3	NE 2	NE 2	6	10	3	.	↗ I
10	0.0	7.4	3.4	3.6	−5.3	714.1	712.5	713.4	72	47	54	NE 1	SE 1	NE 1	3	8	0	.	
11	2.0	11.4	7.1	6.8	−2.3	717.2	718.2	719.3	65	39	42	NE 1	NE 2	NE 3	0	0	0	.	↗ III
12	2.2	13.0	11.2	8.8	−0.4	721.3	720.5	720.3	76	46	37	NE 1	SE 1	NW 2	0	0	6	.	≡° III
13	7.2	9.8	4.6	7.2	−2.1	719.9	721.0	722.9	59	42	63	N 2	E 2	N 2	4	5	8	.	●° n–I, ↗ 10½a–n
14	3.4	8.8	5.4	5.9	−3.6	724.2	724.2	724.7	74	42	47	NE 2	NE 3	NE 1	5	1	2	.	↗ II
15	1.7	14.2	7.3	7.7	−1.9	725.5	724.4	723.8	79	34	47	E 1	SW 1	NW 1	0	0	1	.	
16	4.8	18.8	12.2	11.9	2.2	723.2	720.9	719.8	72	34	59	NE 1	SW 1	NW 1	1	0	0	.	
17	7.7	17.4	8.9	11.3	1.4	720.2	719.4	720.3	56	**22**	53	SW 1	SW 1	NW 1	6	0	0	.	≡° I
18	6.2	17.2	10.8	11.4	1.4	720.8	718.3	716.3	78	41	60	SE 1	SW 1	N 1	0	1	0	.	
19	8.4	13.9	10.8	11.0	0.9	717.0	715.4	716.6	79	55	68	SE 1	NW 1	NW 1	7	10	10	0.7	≡° I, ↗ 5½p–III, ●° 7½p
20	6.4	9.0	7.4	7.6	−2.7	720.3	723.1	728.0	85	69	89	SE 1	E 1	N 1	10	10	10	0.6	● n–11½a
21	9.0	15.0	13.3	12.4	2.0	730.5	731.2	**731.5**	77	57	64	E 1	NE 2	NE 1	2	8	0	.	
22	7.8	20.3	14.2	14.1	3.6	731.1	728.6	726.4	89	42	62	E 1	NE 2	N 1	3	0	0	.	
23	8.8	20.0	17.2	15.3	4.6	726.0	723.4	722.1	86	47	42	NE 1	SW 1	N 1	1	8	3	.	
24	10.4	18.0	13.6	14.0	3.2	720.6	720.1	720.4	85	49	55	NE 1	N 2	N 3	8	6	3	.	↗ 1½p–n
25	10.0	**20.7**	13.2	14.6	3.6	719.7	718.3	716.9	77	45	65	NE 1	S 1	N 1	0	1	4	.	
26	13.7	13.6	10.8	12.7	1.6	717.2	718.7	720.6	58	51	74	SW 1	W 2	NW 1	9	9	10	0.2	●° 8½–9¼p
27	8.9	9.8	8.2	9.0	−2.2	718.8	717.1	715.0	85	71	89	SW 1	SW 2	SW 2	10	10	10	1.8	●° 11½a–p, ● 6½p–n
28	7.9	9.6	8.8	8.8	−2.5	715.8	716.8	715.7	76	79	70	SW 2	SW 2	NW 1	9	8	5	1.4	● n–3½p
29	10.1	9.4	6.2	8.6	−2.9	711.8	712.4	712.6	74	81	94	SW 2	SW 1	SW 2	9	10	10●	**8.8**	● 8½a–n
30	7.2	10.3	5.6	7.7	−3.9	711.3	710.3	713.7	84	57	97	E 1	W 2	NW 1	3	9	9●	8.3	p ●°, ● 6½p–n
Mittel	5.4	11.2	7.4	8.0	-	718.6	718.2	718.4	78	54	67				5.7	5.9	4.9	Summe 25.5	

April 1911. Beobachter: Frl. *H. Nager.*

Altdorf.

$\lambda = 8° 39'$, $\beta = 46° 53'$, $Hb = 456.3^m$, $G = 0.05\ ^m/_m$.

Tag	Lufttemperatur 7a	1p	9p	Mittel	Abweich. vom Normalst.	Luftdruck 7h	1h	9h	Relative Feuchtigkeit 7h	1h	9h	Windrichtung und Stärke 7h	1h	9h	Bewölkung 7h	1h	9h	Niederschlag	Witterung
1	6.0	14.8	10.1	10.3	2.9	722.7	722.0	722.0	84	50	70	SE o	W o–1	SWo–1	2	2	2	.	
2	7.9	14.5	9.1	10.5	3.0	720.4	718.3	718.0	94	56	100	SE o	NWo–1	NW o	4	5	10	7.2	● 7p–n
3	8.3	9.2	4.5	7.3	−0.3	715.6	714.7	714.5	98	74	90	NWo–1	NW o	NW o	10	10	10	4.5	●, n ✳
4	−0.5	2.7	0.0	0.7	−7.1	714.5	714.5	714.0	76	55	60	NWo–1	NW2–3	SW o	10	10	5	0.3	✳° 🌧
5	−1.3	−0.1	−0.8	−0.7	−8.6	711.2	711.3	712.0	63	59	99	NW 1	NWo–1	SW o	10	10	10	2.2	✳
6	0.2	2.3	1.3	1.3	−6.7	714.5	716.5	720.3	88	70	82	SW o	NW1–2	NW o	9	10	10	.	≡° I
7	−1.0	4.8	0.9	1.6	−6.6	719.4	717.9	717.5	80	54	88	SE o	NW1–2	NW o	0	1	8	.	
8	1.2	3.0	1.9	2.0	−6.3	717.7	718.5	721.5	82	69	70	NW o	NW2–3	NW o	10	10	10	0.7	✳° 6–9¼a, 🌧 II
9	1.1	2.8	2.1	2.0	−6.4	722.5	722.1	720.1	74	62	73	SE o	NWo–1	NW o	10	10	10	.	
10	1.6	4.2	3.3	3.0	−5.5	716.9	715.8	717.1	74	50	74	NW o	NWo–1	NW o	10	10	10	.	
11	0.7	9.0	3.7	4.5	−4.2	720.7	721.4	722.6	92	51	72	SW o	NWo–1	SW o	0	4	2	.	
12	1.6	10.4	5.5	5.8	−3.0	724.2	723.0	722.9	89	41	75	S o	NWo–1	SE o	0	1	3	5.8	n (12/13) ●
13	6.3	7.4	3.7	5.8	−3.2	722.0	724.2	726.4	71	50	85	NW2–3	NW 2	N 1–2	9	10	10	1.3	●° 🌧 I, ● III
14	1.8	8.2	2.6	4.2	−4.9	727.5	727.2	727.9	85	40	75	NE o	NW 2	NW o	2	5	0	.	
15	2.5	11.5	8.8	7.6	−1.6	728.7	727.8	727.3	71	39	40	S o	W o	SE o–1	0	0	0	.	
16	4.9	15.5	12.2	10.9	1.5	726.0	723.5	722.6	64	35	40	SE o	SW o	SE o–1	0	0	0	.	
17	8.2	17.4	11.5	12.4	2.9	723.1	721.5	723.2	75	35	50	SW o	NWo–1	SE o–1	0	4	0	.	
18	8.2	19.2	15.7	14.4	4.8	723.7	720.8	720.4	82	30	35	SE o	SE 3	S 3	0	0	0	.	🌧 0p–n
19	15.0	17.2	14.9	15.7	6.0	719.6	718.4	718.9	33	31	35	SE 3	SE 3	SE 3	2	8	8	.	🌧
20	10.0	9.6	8.0	9.2	−0.7	723.6	726.6	731.2	82	85	100	NW o	NW 1	NWo–1	10	10	10	3.9	● 8p–n
21	7.2	15.2	9.8	10.7	0.7	733.8	734.5	735.2	100	62	75	SE o	SE o	SE o	1	0	0	.	≡° I
22	8.2	20.0	13.0	13.7	3.6	729.7	731.5	730.0	85	51	60	SE o	W 1	SE o–1	0	0	0	.	
23	11.3	20.7	14.0	15.3	5.0	728.4	725.5	725.1	74	45	60	SE o	SE o–1	NW o	1	2	0	.	
24	11.2	16.0	12.5	13.2	2.8	723.4	723.5	723.4	79	50	80	SE o	NW 1	NW o	9	8	9	.	
25	9.8	17.2	12.7	13.2	2.7	722.5	720.8	720.5	87	59	70	SE o	NWo–1	SE o–1	3	1	0	.	
26	10.8	11.0	9.8	10.5	−0.1	721.4	723.0	723.2	88	100	100	SE o	W o	NW o	10	10	9	13.1	● 8¼a–n
27	10.3	12.2	8.8	10.4	−0.4	722.3	720.8	717.5	97	69	85	NW o	SE 1	NW o	10	10	10	2.5	p ●
28	8.2	10.0	7.6	8.6	−2.3	717.8	720.2	719.2	96	65	85	SE o	W 1	NWo–1	10	10	0	0.9	≡ I, ●° II
29	13.2	12.0	7.8	11.0	0.0	714.1	714.8	716.0	50	70	97	SE 1	NW 1	NW o	10	10	10	14.6	● 3¼p–n
30	8.2	13.8	7.4	9.8	−1.3	714.4	712.6	716.7	87	38	100	SE o	NW 1	NWo–1	6	4	10	4.6	● 6¼p–n
																		Summe	
Mittel	6.0	11.1	7.4	8.2	—	721.4	721.1	721.6	80	55	74				5.3	5.8	5.5	61.6	

April 1911. *Observatorium.*

Genf.

$\lambda = 6° 9'$, $\beta = 46° 12'$, $Hb = 405.0^m$, $G = 0.02\ ^m/_m$.

1	8.4	−4.8	10.2	10.7	3.9	727.1	726.7	726.1	98	51	79	NW o	SW 1	NNW 1	10●	5	5	3.6	● n–9a, n
2	8.4	−4.9	9.4	10.8	3.8	725.5	723.6	723.0	97	61	89	W o	W 1	ENE 1	10	8	10●	0.7	●° 3, 9–9¼p
3	8.4	9.6	5.9	8.1	1.0	721.1	720.6	719.2	82	54	73	N 1	NNW 1	ENE 1	10	9	10	0.1	●° 7½–8¼2p, n ✳°
4	5.1	1.6	0.5	0.8	−6.4	717.9	717.3	716.9	78	70	74	NNE 4	NNE 4	NNE 4	8	9	10	.	🌧2 [7½2p–n
5	−1.9	−0.1	−1.2	−0.9	−8.3	714.5	715.2	716.7	75	74	96	NNE 4	NNE 3	NNE 1	10	10	10*	3.3	🌧2 n–7p, ✳ 9½a, 6¼, ✕
6	−2.7	4.1	1.5	0.4	−7.1	719.6	721.5	724.0	87	49	75	WSW 1	SW 1	NNE 1	9	7	1	.	✕
7	−0.3	5.4	3.5	2.5	−5.2	723.2	721.5	721.7	89	51	76	NNE 2	NNE 2	NNE 2	2	2	2	.	a ⌴, 🌧, n ✳°
8	1.9	4.7	2.3	2.6	−5.2	722.8	722.9	725.2	69	54	64	NNE 1	NNE 2	NNE 2	10*	9	10	.	✳° 6¾–7¼a, 🌧
9	0.7	3.9	2.3	2.1	−5.8	726.6	726.0	723.9	69	53	63	NNE 2	NNE 2	NNE 2	9	10	8	.	🌧
10	−1.3	5.3	5.1	2.7	−5.4	721.8	720.1	720.4	84	60	63	SSW 1	NNE 1	NNE 1	1	8	8	.	a ⌴
11	0.1	9.7	7.6	5.2	−3.0	724.8	725.6	726.4	85	41	51	WNW 1	N 1	NNE 1	0	1	0	.	a ⌴
12	2.4	10.3	9.6	7.1	−1.3	728.9	728.2	728.2	78	40	47	WNWo	N 1	NNWo	0	1	1	.	a ⌴
13	6.1	11.7	5.4	7.1	−1.4	727.1	727.0	729.2	70	17	57	W o	NNE 2	NNE 2	1	1	1	.	🌧
14	3.8	8.6	6.4	5.9	−2.7	730.0	730.5	731.5	67	42	49	NNE 3	NNE 3	NNE 2	1	1	0	.	🌧2
15	2.8	11.9	8.9	8.2	−0.6	733.1	732.1	731.6	69	42	42	NE o	NNE 1	N o	0	1	0	.	
16	6.6	20.7	12.6	11.5	2.6	731.2	728.6	727.9	61	19	41	WNW o	WSW 1	SW 1	0	0	2	.	
17	9.0	17.8	12.2	12.6	3.5	728.2	727.6	727.8	51	16	50	N 1	SW 1	W 1	1	0	0	.	
18	7.2	15.3	12.2	11.0	1.8	728.3	725.7	724.1	73	40	61	NW o	NNW 1	W 1	0	2	1	.	
19	8.8	13.0	9.1	11.1	1.8	724.4	722.9	725.0	73	60	81	N 1	NW o	SSW 1	10	10	10●	6.8	● 8p–n
20	6.7	9.0	8.5	8.1	−1.4	728.1	730.9	735.3	94	74	78	SW o	NW o	NNE 1	10●	10	10	1.3	● n–11a
21	8.9	12.7	11.2	10.4	0.8	737.3	738.3	738.9	74	61	73	NNE 2	NNE 2	NNE o	1	3	0	.	🌧 n–11
22	8.0	16.5	13.5	12.3	2.5	738.4	736.3	734.2	83	48	62	WSWo	N 1	N o	1	1	0	.	a ⌓
23	8.7	13.7	15.4	12.8	2.9	733.8	731.2	729.7	81	61	56	NW o	NNE 1	NNE o	0	7	3	.	a ⌓
24	11.6	17.5	13.5	14.4	4.4	728.3	727.4	727.6	72	40	64	W o	N 1	NNE 1	8	4	7	.	
25	9.9	17.2	15.7	13.6	3.4	727.1	725.9	724.6	76	47	57	NNW o	N 1	S 1	0	1	2	.	a ⌓
26	13.9	16.3	11.2	13.7	3.4	725.1	727.1	729.1	56	43	80	SSW 1	WSW 1	SSW 1	10	7	10●	1.7	●° 7½a, ● 8½p–n
27	10.5	12.3	11.5	10.9	0.4	727.0	726.0	724.1	84	60	69	W 1	SSW 2	SW 1	10	10	10●	2.5	🌧 II, ● 6p–n
28	10.3	14.3	11.4	11.6	1.0	725.3	726.0	724.3	67	39	52	WSW 2	SW 2	SW 1	9	7	2	0.3	🌧 n–II, ●° 7¼, 10a
29	13.1	12.2	7.1	10.5	−0.3	720.2	720.4	720.8	52	74	88	SSW 1	SSW 1	N 1	10	10	9	20.4	● 9¼a–0, 3–8¼ 2p, n
30	8.7	13.6	7.4	8.8	−2.1	718.9	718.1	721.6	65	42	83	SSW 1	SSW 2	SSW 1	3	7	10●	5.8	🌧 II, ● 2¼–3¼, 9p–n
																		Summe	
Mittel	6.0	11.3	8.3	8.2	—	726.2	725.7	726.0	75	49	65				5.1	5.4	5.1	46.5	

Die Temperatur-Tagesmittel von Genf resultieren aus 8 Beobacht. in dreistund. Zeitintervallen. — Die Beobachtungstermine sind $7^{35}a$, 1^{35} u. $9^{35}p$.

$\lambda = 8°\,33'$, $\beta = 47°\,23'$,
$H_b = 493.2^m$. $G = 0.98\,{}^m/_m$.

Zürich.

April 1911.
Meteorol. Centralanstalt.

Tag	Lufttemperatur					Luftdruck			Relative Feuchtigkeit			Windrichtung und Stärke						Bewölkung			Niederschlag	Witterung
	7^{30}	1^{30}	9^{30}	Mittel	Abweich. vom Normalst.	7^{30}	1^{30}	9^{30}	7^{30}	1^{30}	9^{30}	7^{30}		1^{30}		9^{30}		7^{30}	1^{30}	9^{30}		
1	6.5	18.4	9.9	11.6	5.0	719.4	718.7	718.6	85	45	85	S	o	SW	1	E	1	3	4	9	4.3	☂● 6–8¼p
2	8.2	16.7	9.2	11.4	4.7	717.0	715.5	714.7	91	45	90	SE	o	NW	o	SW	1	7	6	10●	11.9	☂°● 3¾–5½p
3	6.9	5.6	2.4	5.0	−1.9	712.6	712.3	712.3	99	84	91	S	o	NW	2	NE	2	10●	10●	10●	4.6	≡ °, ● 0–11ª, 1¼–3, 7p–
4	−2.0	1.3	−1.5	−0.7	−7.7	712.9	713.0	712.4	86	60	74	NE	2	NE	1	NE	1	10'	8	10	0.1	✳ ⸗ [III, ✳–n, p ⸗ ≡
5	**−4.3**	−1.7	−0.2	−2.1	−9.2	709.6	709.0	**708.9**	72	73	63	NE	1	NE	1	N	1	10✳	10	10	0.2	✳° n–3, 5½p, ⸗
6	−1.8	0.2	−0.8	−0.8	−8.1	711.9	714.0	717.4	82	72	84	NE	1	NW	1	NE	2	10✳	10	10	0.1	✳° n–10ª, 5½p–n
7	−0.9	5.2	1.6	2.0	−5.4	716.8	715.6	715.1	83	58	71	E	1	N	2	NE	2	10	6	4	.	⸗
8	0.4	1.0	0.6	0.7	−6.8	715.4	716.2	718.6	76	85	77	NE	o	NE	2	NE	1	10✳	10✳	10	0.9	⸗, ✳° 7¼ª–3½p
9	−1.4	3.1	1.4	1.0	−6.7	719.7	719.2	717.2	77	57	66	NE	o	NE	1	NE	1	6	10	9	.	✳° a–3½p
10	−1.0	5.4	1.0	1.8	−6.0	713.9	712.7	714.0	66	41	58	N	o	SW	1	NE	o	7	8	o	.	
11	−1.2	12.2	5.2	5.4	−2.5	717.5	718.6	720.0	79	34	48	NW	o	NE	1	NE	1	o	1	o	.	⌴² I
12	0.8	14.3	8.4	7.8	−0.3	721.1	720.1	719.2	87	32	47	E	o	SW	1	SW	o	o	1	6	0.5	⌴ I
13	4.1	7.1	2.8	4.7	−3.5	720.0	721.3	723.4	73	37	86	NE	1	NW	1	NE	o	3	o	10	0.5	●° 5ª, 2¾, 6¼, 8–9p, ⸗,
14	1.4	8.4	4.5	4.8	−3.6	724.7	724.7	724.9	89	42	48	NE	1	NE	1	NE	o	7✳	5	o	.	✳° I [✳° 1¾, 2¼p, n
15	−0.2	14.6	7.4	7.3	−1.2	725.4	724.5	723.4	88	**16**	43	E	o	W	1	E	1	o	1	o	.	⌴² I
16	4.2	20.6	13.0	12.6	4.0	722.6	720.4	719.0	63	27	31	SE	o	S	1	SE	1	o	o	o	.	
17	9.2	20.0	12.4	13.9	5.1	719.7	718.8	719.8	57	19	37	SE	1	SW	1	SW	o	2	1	o	.	
18	7.2	21.2	13.4	13.9	5.0	720.5	717.9	716.3	72	33	37	SE	o	E	1	SE	1	o	1	o	.	
19	7.7	21.7	9.7	13.0	4.0	716.7	714.7	716.3	77	30	70	SE	o	W	o	NW	1	3	4	10	.	[4¾p, III
20	7.0	7.4	7.7	7.4	−1.8	719.9	722.5	727.6	91	98	95	NW	1	W	1	SW	o	10	10●	10●	3.5	●° 6, 9–9½ª, ● 10¾ª–
21	8.0	16.8	11.6	12.1	2.8	730.6	731.2	**731.8**	92	53	73	S	o	NE	1	NE	o	8	4	o	.	
22	7.6	20.6	12.0	13.4	3.9	730.9	728.7	726.5	93	37	78	SE	o	NE	1	E	o	1	1	o	.	△² ⌴° I
23	9.5	**23.2**	14.0	15.6	6.0	725.4	723.1	721.6	84	35	52	E	o	W	1	N	o	1	4	3	.	
24	13.6	21.3	13.9	16.3	6.6	720.4	720.0	720.4	72	35	64	E	o	NW	1	N	o	9	5	9	.	
25	9.9	19.9	12.8	14.2	4.3	719.7	718.3	716.9	76	41	62	NE	1	N	1	NE	o	1	1	1	0.1	
26	11.0	11.7	11.2	11.3	1.3	717.4	718.3	719.5	89	83	70	NE	o	W	1	SW	1	10●	10●	7	3.5	●°n–l, ●–4p, p ⸗, ●° 10½p
27	8.2	14.0	10.0	10.7	0.6	718.8	716.4	714.0	91	65	67	W	o	SW	2	NW	2	10●	7	9	2.3	● 7–7¾ª, ●° 11¼ª, *)
28	8.4	12.5	9.2	10.0	−0.3	714.0	715.4	715.7	73	55	67	W	3	W	2	W	1	8	9	6	3.2	●°n–10¼ª, ⸗, ●1¾–5¼p
29	10.2	9.4	7.0	8.9	−1.5	711.5	712.0	712.0	66	87	85	W	1	W	2	SW	1	8	10	10●	5.9	● 2¾–3½, 10¼ª–2½, *)
30	6.9	14.2	6.4	9.2	−1.3	711.3	710.0	713.6	80	45	96	S	o	SW	o	SW	1	2	7	8	2.7	●° 1¾–3ª, ● 1¼–3¾, 7– [7½p
																					Summe	*) **27.** o½–1, 3p, p n ⸗
Mittel	4.8	12.2	7.2	8.1		718.6	718.1	718.4	80	51	67							5.5	5.7	5.7	44.3	*) **29.** o–6½, 9½, 10¾p, ⸗

$\lambda = 8°\,30'$, $\beta = 47°\,3'$,
$H_b = 1787.3^m$, $G = -0.11\,{}^m/_m$.

Rigi-Kulm.

April 1911.
Beobachter: *M. Bissig. F. Aschwanden.*

1	0.8	4.6	1.0	2.1	3.5	614.1	614.4	614.2	73	58	86	NE	o	S	1	E	o	5	5	3	.	
2	2.0	2.8	1.2	2.0	3.3	612.5	611.6	610.3	90	70	94	NE	o–1	N	o	W	o	5	5	10✳	11.4	≡ 1p, ✳ 6¼p–n
3	−1.0	−1.2	−4.2	−2.1	−0.9	607.8	606.6	604.4	97	98	97	NW	1	NW	2	NW	o	10✳	10●	10✳	23.5	✳ a, III–n, ● 10½ª–p
4	−12.0	−10.4	−11.6	−11.3	−10.2	603.4	603.5	602.9	97	96	96	E	3	NW	3	NW	1	10✳	10≡	10≡	1.8	✳ l, ⸗ n–II, p ≡
5	−12.6	−10.6	−10.9	−11.2	−10.2	599.7	**599.5**	600.5	96	92	90	N	o	NW	1	NW	2	10	10	10'	0.8	≡ n–p, ✳° III
6	−9.0	−3.1	−11.4	−7.8	−6.9	602.8	605.0	608.0	91	94	94	S	o	S	o	NW	o	10	10≡	10≡	.	p ≡
7	−9.4	−5.4	**−13.6**	−9.5	−8.7	607.7	607.7	607.3	59	49	96	S	3	SE	2	W	1	o	o	10≡	0.6	⸗ 7–10ª, ≡ III, n ✳°
8	−8.2	−7.4	−6.8	−7.5	−6.8	606.5	607.0	609.1	95	94	95	NW	1	NW	1	N	2	10✳	10✳	10✳	2.3	✳
9	−11.4	−8.4	9.9	−9.8	−9.3	609.7	609.8	608.6	94	93	96	E	o	NE	o	NE	1	10'	10	10	0.4	≡ ✳°
10	−9.6	−3.7	−6.6	−6.6	−6.2	605.6	605.4	605.7	90	97	90	SW	o	SW	o	S	o	10≡	10≡	8	.	≡ n–p
11	−4.8	−3.4	−4.8	−4.3	−4.0	609.4	611.9	612.0	58	49	65	SE	o	NE	o	SE	o	1	1	1	.	
12	−3.4	0.4	0.4	−0.9	−0.7	613.4	614.3	614.4	51	53	45	NW	o	S	1	SW	3	o	3	2	3.2	⸗ III, n ✳
13	−4.2	−4.4	−6.4	−5.0	−4.9	612.2	613.2	614.4	97	98	96	SW	1	W	o	NW	3	10	5	10	0.8	≡ ✳°, ⸗° II. ⸗ III
14	−6.6	−4.2	−5.6	−5.5	−5.5	614.9	616.4	616.8	94	95	72	E	1	NE	o	E	o	10	3	3	.	
15	−1.4	2.6	2.2	1.1	1.0	617.6	618.6	618.6	**15**	22	25	E	o	W	o	SW	3	1	1	1	.	⸗ III–n
16	2.4	6.4	−5.8	1.0	0.8	617.5	617.2	615.9	25	20	22	W	3	NW	1	SE	3	o	o	o	.	⸗ I, III
17	2.4	5.6	3.6	3.9	3.6	615.2	615.4	615.9	37	40	60	NW	1	SWo–1		SWo–1		3	3	1	.	
18	2.6	6.5	4.0	4.4	4.0	615.9	614.7	613.6	45	39	35	SE	o	S	2	S	2	1	o	1	.	
19	3.6	6.6	4.6	4.9	4.4	612.8	612.3	611.8	36	36	42	S	3	S	1	SW	3	5	7	9	.	⸗ I, III
20	−0.2	0.3	−0.1	0.0	−0.7	613.7	615.8	620.1	100	90	100	W	o	W	o	W	o	10≡	10✳	10✳	8.2	≡ I, p ✳
21	−0.4	4.2	1.8	1.9	1.1	622.6	624.5	623.5	98	52	58	E	2	NE	o	NE	o	10	3	o	.	≡ I, ≡°–II
22	3.7	**9.2**	5.2	6.0	5.1	624.5	**625.1**	623.1	43	20	85	E	o–1	SE	o	E	o	1	o	o	.	
23	5.8	8.5	6.6	7.0	5.9	621.1	620.3	619.1	57	54	57	NW	1	NW	o	NW	o	3	2	o	.	
24	6.0	8.0	3.0	5.7	4.5	616.7	616.6	616.5	45	47	92	W	o	W	o	W	o–1	10	5	3	.	
25	3.0	7.6	6.6	5.7	4.4	614.8	615.1	614.6	71	49	56	SE	o	SE	1	SW	o	3	1	o	.	≡° I
26	3.2	2.0	0.8	2.0	0.6	613.5	614.5	614.8	100	100	100	N	o	W	o	W	3	10≡	10●✳	10≡	12.3	≡ I, ● 9½ª, ● ✳–p, ≡
27	0.4	1.2	0.8	0.8	−0.7	613.4	611.7	609.8	100	75	100	NW	1	W	3	SW	3	10≡	10≡✳	7✳	0.8	≡ n–II, p ⸗ ✳° [⸗ III
28	−1.8	−1.4	−3.4	−1.2	−2.9	609.2	610.4	610.8	100	97	57	W	4	W	4	SW	3	10≡	10≡✳	5	0.3	⸗² ≡ n–p, ✳° II, ⸗ III
29	3.0	0.4	−1.8	0.7	−1.1	608.0	607.8	607.1	100	100	100	NW	1	NW	4	NW	4	10	10≡✳	10≡✳	**25.6**	p ⸗² ≡ ✳²
30	−3.0	−0.1	−1.9	−1.0	−3.5	606.1	606.0	607.9	100	100	100	W	o	NWo–1		W	3–4	5	5	10≡✳	14.5	✳ ≡ ⸗² III–n
																					Summe	
Mittel	−2.0	0.4	−2.0	−1.2	—	612.1	612.4	612.4	75	69	77							6.4	5.6	5.8	106.5	

April 1911.
Beobachter: *J. Camenisch.*

Bevers.

$\lambda = 9° 53'$, $\beta = 46° 33'$,
$H_b = 1712.6^m$, $G = -0.12\,^m/_m$.

Tag	Lufttemperatur 7h30	1h30	9h30	Mittel	Abweich. vom Normalst.	Luftdruck 7h30	1h30	9h30	Relative Feuchtigkeit 7h30	1h30	9h30	Windrichtung und Stärke 7h30	1h30	9h30	Bewölkung 7h30	1h30	9h30	Niederschlag	Witterung
1	-5.4	7.8	-2.0	0.1	1.6	620.6	620.1	620.1	85	39	80	— 0	S 1	W 1	4	1	0	.	
2	0.2	7.6	1.0	2.9	4.3	618.7	616.8	615.6	82	43	90	— 0	— 0	NE 1	9	10	8	3.5	p●
3	-0.5	6.0	-0.2	1.8	3.0	612.8	610.7	609.3	94	52	64	SE 1	— 0	S 1	10≡	8	10	.	≡l, n 🌧
4	-5.5	-2.8	-7.8	-5.4	-4.3	607.3	607.4	607.4	64	48	69	W 3	W 3	N 2	10	9	7	.	🌧 n-p
5	-9.9	-3.0	-5.4	-6.1	-5.2	607.0	**606.1**	606.6	85	84	98	N 1	NE 3	N 1	10*	10	10*	9.7	✳, p 🌧²
6	-5.5	-3.1	-7.4	-5.3	-4.5	609.4	611.0	613.7	84	61	77	W 1	SE 1	N 1	10*	6	6	.	✳° $7^1/_4$-$9^1/_2$a
7	-15.3	0.0	-9.0	-8.1	-7.5	615.0	614.1	613.2	82	39	68	NE 1	SW 1	N 1	1	2	0	.	
8	**-15.7**	-0.4	-7.2	-7.8	-7.3	611.6	611.0	614.6	82	45	64	— 0	NW 2	N 1	2	10*	5	.	✳° II
9	-14.0	-1.4	-7.2	-7.5	-7.2	615.5	613.9	614.1	81	52	69	— 0	SW 4	NE 1	3	1	0	.	🌧² II
10	-13.2	1.8	-5.4	-5.6	-5.4	612.0	610.2	612.5	85	52	69	— 0	S 1	NE 1	0	3	0	.	
11	-10.4	3.5	-4.0	-3.6	-3.6	616.0	616.2	619.5	86	38	57	S 1	N 1	NE 1	0	2	0	.	
12	-11.4	5.4	-2.0	-2.7	-2.9	619.5	618.8	618.6	84	35	54	— 0	SW 2	NE 1	0	0	2	2.2	
13	-1.3	-2.0	-5.8	-3.0	-3.4	615.6	617.0	619.4	51	50	53	W 3	N 4	NE 1	10*	8	3	.	✳ n-l, 🌧² n-p
14	-10.2	0.2	-4.2	-4.7	-5.2	620.3	620.5	621.8	73	38	53	W 2	NE 2	NE 2	1	0	0	.	
15	-9.8	5.0	-4.0	-2.9	-3.6	623.1	623.1	624.7	76	**24**	58	W 1	W 2	— 0	0	4	0	.	
16	-6.5	8.7	0.8	1.0	0.2	624.2	623.2	622.9	70	33	66	— 0	SW 2	NE 1	0	0	0	.	
17	-3.2	6.2	0.2	1.1	0.1	621.6	621.2	622.2	88	57	77	— 0	S 2	— 0	5	5	0	.	
18	-3.4	7.8	0.8	1.7	0.5	622.6	621.2	621.0	87	47	75	S 1	SE 1	NE 1	0	2	0	.	
19	2.2	5.2	1.8	3.1	1.7	620.5	619.9	619.3	81	59	85	SW 1	SE 2	— 0	3	8	10	.	
20	1.5	7.6	2.0	3.7	2.2	619.5	620.1	624.6	87	46	95	— 0	— 0	W 1	8	9	10*	2.6	✳ III, n● ✳
21	1.2	7.3	2.8	3.8	2.1	628.7	629.7	631.1	86	56	73	N 2	N 1	SW 2	2	2	0	.	
22	-1.6	11.4	3.0	4.3	2.5	**631.3**	629.4	628.9	88	29	64	SE 1	SE 1	SW 1	0	0	0	.	
23	-0.5	**12.0**	3.4	5.0	3.0	627.3	624.0	623.8	85	35	70	— 0	SW 2	W 1	1	0	4	.	
24	1.1	10.4	5.6	5.7	3.5	622.1	620.7	621.1	88	46	69	W 1	SE 1	— 0	4	6	10	.	
25	-0.2	11.8	2.6	4.7	2.4	620.8	620.1	620.3	94	44	72	— 0	SE 1	NE 1	0	1	0	.	
26	2.2	5.8	3.2	3.7	1.2	619.8	619.1	620.0	86	91	94	— 0	— 0	E 1	2	10●	9●	3.9	● 0P-III
27	0.3	7.8	2.2	3.4	0.8	619.3	616.6	615.6	91	44	74	W 1	SW 3	W 1	10	10	4	.	🌧 II
28	0.8	6.8	1.0	2.9	0.1	614.5	615.4	616.8	82	41	61	E 1	SW 3	— 0	8	7	0	.	🌧 II
29	1.8	7.4	1.4	3.5	0.6	615.6	614.1	612.4	70	50	95	— 0	S 3	— 0	6	10	10●	**12.8**	🌧 II, ● III, n ✳
30	-0.4	5.2	-0.3	1.5	-1.6	611.1	611.6	614.1	91	50	92	N 1	N 1	N 1	10*	7	10*	10.0	✳ I, III-n
																		Summe	
Mittel	-4.4	4.9	-1.3	-0.3	—	618.1	617.4	618.2	82	48	73				4.3	5.0	3.9	44.7	

April 1911.
Beobachter: P. *F. Landolt.*

Sitten.

$\lambda = 7° 21'$, $\beta = 46° 14'$,
$H_b = 540^m$, $G = 0.00\,^m/_m$.

1	7.6	17.1	11.3	12.0	3.9	715.3	713.6	714.0	76	47	76	E 0	SW 1	E 0	5	4	6	.	
2	8.2	17.5	11.1	12.3	4.1	713.4	710.6	709.6	87	49	73	SW 0	SW 1-2	SW 0-1	4	4	5	0.5	
3	7.8	11.2	7.6	8.0	0.5	708.1	706.0	705.5	100	60	70	SW 0	SW 2	SW 2-3	10●	9	7	.	●° n-l, 🌧 III
4	2.2	6.6	1.1	3.3	-5.2	703.2	703.0	703.9	71	50	65	NW 1	SW 3	SW 0-1	10	7	10	.	🌧 II
5	0.8	5.0	**-0.7**	1.7	-7.0	701.1	**700.8**	703.3	67	54	98	SW 0-1	SW 2	SW 0	6	10	10*	2.3	✳ 8P-n
6	-0.4	7.1	0.9	2.5	-6.3	707.0	707.0	711.6	95	55	71	SE 0	SW 1	W 0	9*	3	3	.	✳° n-$8^1/_2$a
7	**-0.7**	9.4	3.4	4.0	-5.0	711.7	708.5	709.0	78	**23**	62	E 0	SE 0	E 0	0	0	0	.	
8	0.4	8.3	2.5	3.7	-5.4	709.4	708.4	711.9	84	45	73	E 0	SW 2	N 2-3	10	8	4	.	🌧 III
9	1.2	8.4	2.8	4.1	-5.1	714.2	711.1	711.4	86	48	68	N 0	SW 3	W 0	7	2	5	.	🌧 II
10	-0.4	8.8	4.7	4.4	-5.0	709.6	706.0	707.7	94	53	57	NE 0	SW 3	SW 0-1	1	3	0	.	🌧 II
11	2.1	12.5	7.5	7.4	-2.1	712.5	712.2	713.7	78	42	48	SW 0	SW 1	SE 1	0	2	0	.	
12	4.0	14.4	7.1	8.5	-1.2	716.6	714.8	715.3	68	43	53	E 0	SW 1	W 1	0	0	0	.	
13	8.8	12.8	7.6	9.7	-0.1	713.9	713.4	715.8	56	31	38	NW 1-2	W 1-2	E 1	3	3	3	.	
14	2.8	11.8	6.6	7.1	-2.9	718.1	716.6	718.3	60	36	58	E 0	SW 0-1	SW 0-1	0	0	0	.	
15	5.3	15.1	10.1	10.2	0.1	720.8	719.0	719.8	79	40	41	SE 0-1	SW 0	E 0	0	0	0	.	
16	6.8	18.2	12.9	12.6	2.4	719.9	716.6	715.7	56	28	39	E 0	SE 0	NE 0-1	0	0	0	.	
17	7.9	18.3	11.7	12.6	2.2	716.0	714.5	716.1	65	42	51	E 0	S 0	NE 0-1	0	4	4	.	
18	7.9	18.9	14.2	13.7	3.2	716.8	713.5	713.3	51	33	40	E 0-1	SE 0	E 0-1	0	1	0	.	
19	12.6	16.1	13.0	13.9	3.2	713.5	711.3	711.5	49	40	46	S 0	NE 3-4	S 0	6	10	10	.	🌧² II
20	8.4	13.6	8.5	10.2	-0.6	714.9	716.3	722.0	95	56	82	SW 1	W 2-3	SW 0-1	10	4	8	.	🌧 II
21	10.1	17.9	12.2	13.4	2.5	725.3	724.6	**726.5**	81	46	64	SW 0	SW 0-1	NE 0-1	3	1	0	.	
22	9.4	20.5	14.6	14.8	3.7	**726.5**	723.1	722.9	75	38	49	E 0-1	SW 1	NE 0	0	0	0	.	
23	10.9	21.5	15.3	15.9	4.7	722.6	718.7	717.4	64	40	50	E 0	S 1-2	NE 0	0	4	6	.	
24	11.5	**21.6**	14.5	15.9	4.5	716.6	714.4	715.0	74	48	67	E 0	SW 1-2	SW 0	9	9	3	.	
25	11.6	20.9	14.5	15.7	4.2	715.3	712.8	713.0	82	45	58	SE 0	SW 0-1	NE 1	2	1	0	.	
26	11.0	12.1	11.3	11.8	0.2	712.9	714.3	710.6	88	88	72	SE 0	SW 2	SW 0-1	9	10	3	1.7	● 7^1 4^a-p
27	9.0	12.8	10.2	10.7	-1.1	714.7	713.4	711.9	90	70	70	E 0	SW 0	SW 0	10	10	6	0.9	
28	8.2	13.8	9.5	10.5	-1.4	711.6	712.9	712.8	91	50	50	SW 1	SW 1-2	NE 1	10●	6	0	0.6	●? 4^3, 4^a-a
29	7.6	11.6	6.2	8.5	-3.5	710.3	708.4	708.6	86	84	100	E 0-1	S 0-1	SW 0	10	10●	10●	**9.8**	p●
30	6.7	13.8	8.9	9.8	-2.4	707.0	705.2	708.3	93	37	60	S 0	SW 1	NE 0-1	5	6	2	.	
																		Summe	
Mittel	6.3	13.9	8.7	9.7	—	714.0	712.4	713.4	77	47	62				4.6	4.4	3.5	15.8	

$\lambda = 8° 57'$, $\beta = 46° 0'$,
$Hb = 276.2^m$, $G = 0.03\,^m/_m$.

Lugano.

April 1911.
Beobachter: *G. Belletti.*

Tag	Lufttemperatur 7h	1h	9h	Mittel	Abweich. vom Normalst.	Luftdruck 7h	1h	9h	Relative Feuchtigkeit 7h	1h	9h	Windrichtung und Stärke 7h	1h	9h	Bewölkung 7h	1h	9h	Niederschlag	Witterung
1	7.0	13.8	10.7	10.7	1.6	739.3	738.6	738.1	82	61	78	N o	SW o	N o	10	10	4	.	
2	9.0	9.7	9.2	9.3	0.0	737.0	736.1	733.8	92	92	97	S o	S o	SW o	10	10●	10●	3.6	● 1–4½, 9–10½p
3	7.9	15.0	11.4	11.4	2.0	729.7	726.2	723.6	90	61	45	N o	S o	N o	6	3	0	0.1	●° 3½p, ⸝ 10½p–n
4	8.6	11.8	3.0	7.8	–1.7	**721.8**	722.8	727.4	21	17	97	N 2	N 1	N o	8	10	10●	13.9	⸝ n–l, ● 4½–11½p, ✳–n
5	0.4	2.2	0.6	1.1	–8.6	726.6	726.4	727.7	96	98	93	W o	W o	NW o	10*	10*	10*	**29.9**	✳²
6	1.2	5.7	1.7	2.9	–6.9	731.5	733.4	735.2	97	79	87	NW o	S o	N o	10*	10	7	21.4	✳ n–l, ●² ✳–o½p
7	0.4	11.0	3.8	5.1	–4.8	736.8	735.5	733.2	71	48	67	N o	SE o	N o	10	3	10	.	
8	**0.0**	10.4	3.4	4.6	–5.5	729.6	728.9	733.5	72	54	86	N o	SW 1	N o	o	o	o	.	
9	1.8	11.8	4.8	6.1	–4.1	734.6	732.4	732.7	66	54	70	NE o	S o	N o	o	o	o	.	
10	3.4	10.2	6.6	6.7	–3.6	731.0	729.7	731.8	70	66	69	N o	SE o	N o	6	6	8	.	
11	0.6	12.4	7.7	8.9	–1.6	736.5	736.6	738.0	85	58	75	N o	S o	N o	10	6	8	.	
12	0.2	15.2	8.8	10.1	–0.5	739.2	737.5	735.8	80	46	70	N o	SE o	N o	o	o	3	.	
13	13.0	14.0	9.0	12.0	1.3	732.6	733.8	737.9	24	12	20	N 1	NE 3	NE 2	o	o	o	.	⸝
14	9.6	14.6	12.8	12.3	1.4	739.0	738.2	738.9	19	**11**	13	NE o	N 3	N 2	o	o	o	.	⸝ n–III
15	5.4	16.4	9.0	10.3	–0.7	742.5	740.9	741.6	46	34	57	N o	SE o	N o	o	o	o	.	
16	7.0	17.4	11.5	12.2	1.1	742.8	741.6	741.6	78	50	74	NE o	SE o	N o	o	o	o	.	
17	9.0	18.6	9.2	12.5	1.2	741.3	740.8	741.0	80	34	68	N o	SE o	N o	10	6	o	.	
18	7.4	17.4	11.3	12.0	0.6	740.9	739.2	739.1	77	44	64	N o	SE o	N o	o	o	o	.	
19	10.0	15.2	11.2	12.1	0.6	739.9	738.5	737.7	77	61	87	NE o	SW o	N o	6	10	10	0.6	●° 7p
20	10.8	16.4	10.5	12.6	1.0	738.4	738.2	742.7	77	51	87	NW o	SW o	NW o	10	6	5	0.9	●° 1a, 5¼–5½p
21	12.1	23.9	13.7	16.6	4.8	745.7	746.5	747.0	67	36	57	W o	SE o	N o	o	o	o	.	
22	11.4	22.9	15.0	16.4	4.5	**749.0**	746.8	747.1	61	41	58	N o	SE o	NW o	o	o	o	.	
23	13.2	21.8	15.4	16.8	4.7	744.9	741.8	740.1	78	47	63	NW o	SE o	NW o	o	o	o	.	
24	13.2	22.8	13.4	16.5	4.3	737.9	735.7	736.2	73	44	77	N o	SE o	N o	3	6	3	.	
25	12.0	**25.2**	15.0	17.4	5.1	736.5	735.1	735.2	67	34	68	N o	SE o	N o	o	o	o	.	
26	14.2	15.5	12.7	14.1	1.6	735.7	735.4	735.8	80	60	74	NE o	N o	NW o	6	10	2	1.2	● 11a–p
27	11.0	19.2	12.4	14.2	1.6	735.4	733.4	731.8	92	54	69	NW o	SW o	NW o	5	10	o	.	
28	10.8	20.2	11.6	14.2	1.5	729.8	731.2	732.7	69	20	39	N o	N 2	N o	o	o	o	.	⸝ 8a–7½p
29	11.6	16.1	10.7	12.8	–0.1	733.2	731.5	729.3	61	61	95	N o	S o	NW o	6	10	10	8.8	● 5½–8½p, n
30	11.1	14.6	10.2	12.0	–1.0	727.4	727.3	731.5	81	61	81	S o	SE o	N o	o	10	10●	8.6	⸜● ▲ 2–7p, ●° 9–10p
																		Summe	
Mittel	8.2	15.4	9.6	11.1	—	736.2	735.3	735.9	71	49	70				4.2	4.5	3.7	89.0	

$\lambda = 7° 35'$, $\beta = 47° 33'$,
$Hb = 277.2^m$, $G = 0.13\,^m/_m$.

Basel.

April 1911.
Bernoullianum.

1	8.6	16.0	10.9	11.8	4.3	737.9	737.2	736.9	84	57	94	SE o	W 1	SE o	7	8	6	2.1	● 5–6¼p
2	7.0	16.2	9.9	11.0	3.4	735.7	733.9	733.6	91	58	94	E o	W 1	W o	5	4	10●	**10.3**	⸜● △ 3¼–3¾p, ● 4– *)
3	7.7	8.1	1.6	5.8	–1.9	731.5	731.3	732.5	88	66	85	W 1	W 2	W 2	10	10	10	3.5	● ✳ 6–9¼p
4	–1.8	2.4	0.6	0.4	–7.5	732.9	732.3	732.0	86	43	96	N 1	N 1	E 1	8	8	1	.	
5	–2.0	–1.0	–0.8	–1.3	–9.3	729.0	**728.6**	729.0	56	63	92	NE 1	NE 1	NE 1	10	10	10*	2.4	✳ 9¼–11¼p
6	**–2.6**	0.3	0.2	–0.7	–8.8	732.0	733.9	737.0	94	79	83	NE o	NW o	NW o	10*	10	10	1.1	✳ o–1¼, 7½–10a
7	–1.6	3.8	2.0	1.4	–6.9	736.2	735.2	734.8	98	65	78	W o	N o	W o	10	6	8	.	
8	0.1	1.3	2.2	1.2	–7.2	735.3	735.8	737.9	84	87	82	W 1	S o	S o	10*	10*	10	1.0	✳ l, 1¼–2¼p
9	–1.8	3.4	1.2	0.9	–7.6	739.8	738.8	736.6	90	61	78	NW o	NW 1	S o	10≡	10	8	.	≡ ⌴ l
10	–1.1	6.0	4.4	3.1	–5.6	733.7	731.6	732.8	79	48	66	SE o	S 1	E 1	4≡	5	4	.	≡ ⌴ l
11	–0.6	10.5	5.2	5.0	–3.8	737.0	737.5	739.2	93	42	58	W o	NE 1	NE o	1≡	1	2	.	≡ ⌴ l
12	2.1	12.6	9.0	7.9	–1.0	740.6	739.0	738.4	94	41	62	NE o	NE 1	W o	2≡	2	8	0.5	≡ l
13	5.4	8.0	5.8	6.4	–2.7	739.9	741.0	742.7	65	42	67	E 1	N 1	NE 1	6	4	8	.	●° 2½–3a
14	0.4	9.4	6.0	5.3	–3.9	744.6	743.8	743.8	92	40	63	N 1	N 1	N o	6	7	1	.	
15	2.2	14.6	9.5	8.8	–0.5	744.4	743.2	742.3	68	26	58	N 1	W o	N o	1	1	o	.	
16	4.8	19.2	12.2	12.1	2.6	741.8	738.4	737.2	61	31	50	NE 1	NW o	NW o	2	o	o	.	
17	6.8	19.2	11.4	12.5	2.9	738.3	737.0	738.3	66	**18**	45	SE 1	NW 1	W o	1	1	o	.	
18	7.6	19.7	13.4	13.6	3.9	738.6	735.7	734.1	63	30	53	E 1	SE 1	SE o	1	1	o	.	⊕ 11½a
19	9.0	17.6	10.6	12.4	2.6	734.8	733.7	735.7	64	36	75	E 1	W 1	W 1	5	8	10	3.0	
20	7.6	9.0	9.2	8.6	–1.4	739.5	742.2	746.4	94	89	89	W 1	W o	W o	10●	10●	10	2.5	● 5–10⅜a, 1¼–2p
21	8.1	16.0	12.0	12.0	1.9	750.3	750.3	**750.6**	88	55	86	W o	N 1	E o	8	7	o	.	
22	8.6	10.6	14.2	14.1	3.9	749.9	747.0	744.8	89	48	80	E o	N o	N o	2	2	o	.	
23	11.0	**22.8**	14.4	16.1	5.7	743.6	741.3	739.7	80	35	65	N 1	NW 1	SE 1	1	5	o	.	
24	10.8	17.3	13.0	13.7	3.2	739.2	739.0	739.2	75	55	67	E 1	W 1	W 1	6	7	3	.	
25	9.2	18.0	13.6	13.6	3.0	738.8	737.0	735.2	81	47	71	W 1	NW 1	S 1	1	1	o	.	
26	10.3	14.6	13.2	12.7	2.0	735.8	736.8	737.9	78	56	62	W o	W 1	W 1	8	9	10	0.7	●° 11¼–11½p
27	8.6	11.2	12.2	10.7	–0.2	737.2	735.1	731.8	86	69	72	W 1	W 1	W 1	10	10	10	2.0	●° 10¼, 11a, 1-2, 9p [4¼p
28	8.4	12.5	9.0	10.0	–1.0	733.1	734.3	733.4	83	55	59	W 2	W 3	W 1	8	7	7	0.5	● o–1, 5–8⅜a, ⸝ ll, ●° 2⅜–
29	13.4	14.6	10.4	12.8	1.7	**728.6**	729.5	729.5	66	50	70	W 1	W 2	SW 1	9	9	8	1.0	● 8¾–11a, 1¼–4¼p
30	7.9	8.6	8.4	8.3	–2.9	729.4	729.0	731.9	83	88	83	E 1	SW o	SE o	3	9	7	2.5	● 11¼–5¼p
																		Summe	
Mittel	5.1	11.7	8.2	8.3	—	737.6	737.0	737.2	81	53	73				5.8	6.1	5.4	33.1	*) 2. 4½p, △ ● 7⅜p–o¼a

April 1911.
Observatorium.

Säntis.

$\lambda = 9^\circ 20'$, $\beta = 47^\circ 15'$,
$Hb = 2500.1^m$, $G = -0.16\,^m/_m$.

Tag	Lufttemperatur 7h	1h	9h	Mittel	Abweich. vom Normalst.	Luftdruck 7h	1h	9h	Relative Feuchtigkeit 7h	1h	9h	Windrichtung und Stärke 7h	1h	9h	Bewölkung 7h	1h	9h	Niederschlag	Witterung
1	-3.1	-1.9	-2.6	-2.5	3.7	562.2	562.5	562.3	88	88	96	WSW 1	ESE 1	SW 1	2	2	9	.	[$5^1/_{2}$p-n
2	-2.6	-1.3	-3.6	-2.5	3.6	560.6	559.6	557.9	88	91	99	WSW 0	S 0	NE 0	8	9	10	6.6	△ $11^3/_4$a, $6^1/_4$-$6^1/_2$p, ≡
3	-4.5	-4.4	-5.4	-6.1	-5.1	555.4	553.9	552.2	100	100	100	WNW 1	W 2	WNW 1	10≡*	10≡*	10≡*	22.9	* ≡, △ 10a, ☔ ⋁ 2p-n
4	-17.1	-16.4	**-17.7**	-17.1	-11.2	549.5	549.6	549.1	100	100	100	NE 2	NNE 1	NNE 1	10≡*	10≡*	10≡*	1.6	≡² * ☔ ⋁
5	-11.6	-10.4	-11.4	-11.1	-5.3	**546.9**	547.4	547.9	95	98	98	SW 1	E 3	SE 1	7	9	9	.	a ☔, ≡ 8-$9^1/_4$p
6	-10.9	-8.8	-13.2	-11.0	-5.3	550.3	552.2	554.6	93	87	100	SE 1	SW 1	SW 1	7	2	9≡	.	≡ $7^1/_4$p-n, Ψ $9^1/_2$p
7	-10.9	-9.1	-11.0	-10.3	-4.7	554.8	554.8	554.4	68	84	98	E 1	SSE 2	SE 1	1	1	8≡	0.3	≡ $4^1/_4$p-n, Ψ $9^1/_2$p
8	-12.7	-11.9	-13.8	-12.8	-7.3	552.8	553.4	555.9	98	100	100	E 1	NNE 1	NW 1	10≡*	10≡*	10≡	1.2	* n-$5^1/_4$p, ≡ [$6^3/_4$-$7^3/_4$p
9	-11.1	-11.8	-12.5	-11.8	-6.4	556.2	556.0	555.0	81	100	100	NE 1	NE 0	ENE 1	0	10≡	0	0.4	*° $1^3/_4$-$4^1/_4$p, ≡ 0-$4^3/_4$,
10	-8.8	-9.6	-10.8	-9.7	-4.4	552.3	552.0	553.8	79	78	87	SSE 2	WSW 3	WSW 2	1	1	0	.	☔° $8^1/_2$-$11^1/_2$a, ☄ $4^1/_2$p
11	-7.9	-5.9	-9.1	-7.6	-2.4	556.9	558.9	559.9	82	90	91	SSW 1	NW 1	NW 2	1	7	1	.	
12	-4.9	-4.8	-6.9	-5.5	-0.5	560.8	561.6	560.4	48	68	98	NNE 2	SW 1	WSW 4	1	2	7	7.7	☔ ☄ 8p-n, n * △
13	-10.9	-9.9	-12.0	-10.9	-6.0	558.1	559.1	560.5	100	100	100	W 1	WNW 1	NNE 2	10≡*△	10≡*	10≡*	4.2	* △ n-$11^1/_4$a, a ☔, *)
14	-12.2	-10.8	-9.6	-10.9	-6.1	561.0	562.2	563.3	100	98	56	NE 1	ENE 2	NE 3	10≡	10≡	1	.	≡ n-7^p
15	-6.6	-5.2	-4.7	-5.5	-0.8	564.3	565.6	566.0	**30**	62	57	NW 2	WSW 2	W 2	2	4	1	.	
16	-2.9	-0.5	-1.1	-1.5	3.1	565.1	565.3	564.5	50	57	58	WSW 4	SW 4	SW 4	1	1	1	.	☄
17	-2.9	-0.7	-2.3	-2.0	2.5	562.8	563.3	564.0	85	78	86	WSW 4	SSW 1	WSW 3	4	6	4	.	☄ n-l
18	-2.3	-0.3	-2.7	-1.8	2.6	563.8	563.2	562.5	88	85	75	NE 1	SSE 2	SSE 2	1	1	1	.	
19	-1.4	-0.4	-2.3	-1.4	2.9	561.5	560.7	560.7	77	78	81	SSE 2	SE 4	SSW 3	4	8	7	.	☄ II [△ ☔ $4^3/_4$p-n
20	-3.4	-1.9	-4.4	-3.2	1.0	561.6	563.5	567.2	90	100	100	ENE 1	NNE 0	NNE 2	8	10≡	10≡*△	7.4	*° 8a, ≡ ⋁ $0^1/_4$p-n, *
21	-4.1	-2.4	-2.5	-3.0	1.0	570.0	572.1	**573.1**	98	94	97	ENE 2	NE 3	NNE 1	10≡	2	1	.	≡ $7^1/_4$-$7^3/_4$a, $2^1/_4$-$8^1/_2$p,
22	1.7	**2.8**	0.7	1.7	5.6	572.6	572.3	571.0	52	53	80	NE 2	SE 1	SE 1	1	1	1	.	[☔ 10-$11^1/_2$a
23	0.7	2.6	0.9	1.4	5.2	569.0	568.5	567.2	91	88	98	SW 3	W 1	WNW 2	5	6	3	.	
24	-0.8	1.7	-0.6	0.1	3.8	564.7	564.5	564.3	98	84	100	WNW 1	WSW 0	WSW 1	9	10	10≡△	8.0	≡ $3^3/_4$p-n, △ 4, $6^1/_4$-7,
25	0.1	1.4	0.5	0.7	4.3	562.9	563.5	563.0	83	89	95	WSW 2	SW 1	WSW 3	2	3	2	.	[9p-n
26	0.3	-0.8	-3.2	-1.2	2.3	562.4	561.4	562.1	100	100	100	WSW 1	WSW 2	WSW 3	10-	10-*	10-*	39.7	≡, *² $8^1/_4$a-n, ☔ *)
27	-3.6	-5.4	-3.5	-4.2	-0.9	560.8	558.5	557.3	100	100	100	SW 3	WSW 3	WSW 3	10-	10 *	10 *	**40.6**	≡² ☄, ☔² *² $10^1/_2$a-n
28	-6.1	-5.4	-5.7	-5.7	-2.5	555.5	556.7	557.7	100	100	100	WSW 4	WSW 3	WSW 3	10≡*△	10≡*△	10≡*△	29.9	a ☄, ≡² *² △² ☔² ⋁²
29	-2.6	-2.8	-5.8	-3.7	-0.6	559.0	555.8	554.4	90	100	100	WSW 3	WNW 3	W 3	9	10≡-	10≡*	18.6	☔ n-8^1 2^a, ≡² $0^1/_4$p-n, *)
30	-7.6	-4.8	-6.6	-6.3	-3.3	553.2	554.3	555.7	100	90	100	WSW 2	WSW 1	WNW 2	10≡*	4	10≡*	15.5	* n-$8^3/_4$a, 5-$5^1/_4$, $7^1/_2$p-n, ≡ n-10^a, $4^1/_2$p-n, △ $4^1/_2$-
Mittel	-5.7	-4.6	-6.2	-5.5	—	559.5	559.8	559.9	85	88	92				5.8	6.3	6.2	Summe 204.6	[$7^3/_4$p, ⋉° 5p, ☔² $8^1/_2$p-n

[*) **13.** ≡, * $11^1/_2$a-n, p ☔² *) **26.** $9^1/_2$-$11^1/_2$a, ☔² $2^1/_2$p-n, ⋁ $6^1/_2$p-n *) **29.** △ $1^1/_2$-$2^1/_2$p, * ☔² ⋁ $2^1/_2$p-n, ☄ $4^1/_2$p

April 1911.
Beobachter: *D. Dittli.*

St. Gotthard (Hospiz).

$\lambda = 8^\circ 34'$, $\beta = 46^\circ 33'$,
$Hb = 2102.9^m$, $G = -0.14\,^m/_m$.

1	-0.6	5.1	-0.2	1.4	5.4	590.9	591.1	591.0	70	37	85	SE 0	S 1	S 1	4	2	9	.	
2	0.0	4.3	-1.0	1.1	5.0	589.1	588.3	586.4	83	55	95	S 0	S 0	SE 1	9	10≡	10≡	1.5	≡ 1p-n, n * [2p-n
3	-2.4	-1.8	-6.4	-3.5	0.3	583.5	582.2	580.0	98	97	95	N 3	N 4	N 4	10≡	10≡	10*	3.5	a ≡ ☄, ≡² II, ☔ * ☄²
4	-12.8	-10.8	**-13.4**	-12.3	-8.7	577.4	578.0	578.0	95	95	89	N 4	N 4	N 2	10≡	9≡	9*	4.5	≡² I, ≡ ☄²-II, ☔ * *)
5	-8.8	-4.6	-9.3	-7.6	-4.1	**576.0**	576.1	577.0	92	97	94	S 1	S 1	S 2	10*	10≡	10*	6.0	* n-$1^1/_4$p, ≡ II, ☔° *
6	-9.8	-6.5	-12.9	-9.7	-6.3	579.5	581.7	584.2	92	74	76	S 2	S 2	S 1	10-	10≡	9≡	.	[6p-n ≡², ≡ III
7	-12.0	-4.5	-10.2	-8.9	-5.6	584.0	584.5	583.6	63	50	55	S 0	SSE 1	S 1	0	4	1	1.7	n (7/8) *
8	-11.2	-8.3	-11.0	-10.2	-7.0	581.3	581.9	584.8	88	90	88	N 3	N 4	N 4	9≡	9≡	9≡	1.8	☄ I, ≡ ☄² *
9	-13.1	-10.0	-11.8	-11.6	-8.5	585.0	584.8	584.0	86	90	88	N 2	N 4	N 3	0	9≡	0	.	≡ ☄² II, p ☄
10	-8.0	-0.5	-7.6	-5.4	-2.4	581.6	581.2	583.0	72	40	93	SE 1	S 0	N 2	0	4	10	0.8	*° $7^1/_4$-$8^1/_4$p
11	-5.0	-4.5	-6.6	-5.4	-2.6	586.0	587.6	589.0	95	70	90	S 1	N 2	N 2	5	1	3	.	
12	-6.8	-1.4	-3.4	-3.9	-1.2	589.3	590.3	589.9	43	42	79	NNW 2	N 2	N 3	0	0	2	8.0	☄ III-n, n *
13	-6.4	-7.0	-9.4	-7.6	-5.0	586.6	588.1	589.5	90	88	92	N 5	N 3	N 4	10*	10≡	9	3.0	* ☔ I, ☄², ≡ II
14	-10.8	-6.6	-8.7	-8.7	-6.2	590.1	591.1	592.3	90	92	97	N 3	N 4	N 4	1	1	3	.	☄ I, ☄²
15	-7.2	-0.6	-0.8	-2.9	-0.6	593.0	594.3	595.3	32	27	33	N 3	N 3	N 2	0	0	0	.	☄ n-II
16	0.7	6.8	-0.4	2.4	4.6	594.2	594.5	594.2	25	**24**	92	NNW 0	E 1	SE 1	0	0	2	.	
17	-0.6	2.8	-0.8	0.5	2.6	592.1	592.4	592.3	90	65	76	SSE 1	S 1	S 1	9	10≡	1	.	≡ II
18	-0.5	4.5	0.6	1.5	3.5	592.4	592.4	592.1	50	40	69	S 0	S 1	SSE 2	0	6	8	.	
19	-0.8	0.1	-1.6	-0.8	1.1	590.8	590.3	589.9	88	89	100	SSE 4	SSE 2	SSE 2	9≡	10≡	10*	7.3	☄² I, ≡ n-II, * △ 2p-n
20	-0.4	0.7	-2.6	-0.8	1.0	590.3	591.9	595.6	80	80	100	SE 1	NNE 2	N 5	9	7	10≡	6.9	* 2p-p, ≡ ☄² III
21	-3.0	1.6	0.4	-0.3	1.3	599.0	600.8	**601.8**	90	56	100	N 2	NW 1	NW 1	0	0	9≡	.	≡ III
22	3.3	**10.8**	3.8	6.0	7.5	601.1	600.1	600.0	29	25	44	NW 0	NW 0	NW 0	0	1	0	.	
23	6.6	5.8	3.2	5.2	6.6	597.6	596.7	595.5	79	40	73	S 0	N 1	N 2	1	1	3	.	
24	1.7	3.3	0.9	2.0	3.3	592.9	592.8	592.8	84	85	100	N 1	N 2	N 2	5	10●	10≡	.	●° $1^1/_2$-$1^3/_4$p, ≡ III
25	0.8	7.6	3.6	4.0	5.2	591.4	591.9	591.6	56	28	63	N 1	NNW 1	NNW 1	0	1	5	1.9	
26	2.2	4.2	-0.2	2.1	3.1	590.4	590.1	590.3	81	82	100	S 0	SE 0	N 2	10●	10≡	10≡	**11.9**	● n-10^a, ≡² II, * 2-
27	-0.8	5.1	0.5	1.6	2.5	590.0	588.6	587.0	66	50	60	N 1	SE 1	NE 1	9	10*	2	1.5	* $10^1/_2$-2p [$4^1/_4$p, p ≡
28	-2.1	-0.2	-2.0	-1.4	-0.6	585.6	586.8	587.5	79	61	60	N 1	NNW 1	N 3	10	10*	0	1.5	* 8^a-$2^1/_2$p, ☄ III
29	0.0	2.2	-3.2	-0.3	0.4	586.6	585.4	583.5	56	64	100	SE 2	SE 2	SE 3	10	10*	10*	10.6	☔ * $0^1/_2$p-n, ☄ III
30	-3.9	1.3	-2.7	-1.8	-1.2	582.2	582.5	584.6	98	43	98	N 2	N 1	N 2	9-	1	10	0.5	≡ I, ≡² $5^1/_2$p-n, n *°
Mittel	-3.7	0.0	-3.8	-2.5	—	588.3	588.6	588.9	75	62	83				5.3	5.9	6.1	Summe 72.9	

*) **4.** $1^3/_4$p-n

$\lambda = 7° 26'$, $\beta = 46° 57'$,
$Hb = 572.2^m$, $G = 0.05\,^m/_m$.

Bern.

Mai 1911.
Tellur. Observatorium.

Tag	Lufttemperatur					Luftdruck			Relative Feuchtigkeit			Windrichtung und Stärke			Bewölkung			Niederschlag	Witterung
	7^{30}	1^{30}	9^{30}	Mittel	Abweich. vom Normalst.	7^{30}	1^{30}	9^{30}	7^{30}	1^{30}	9^{30}	7^{30}	1^{30}	9^{30}	7^{30}	1^{30}	9^{30}		
1	6.1	8.4	5.3	6.6	−3.7	711.0	713.6	**715.7**	86	70	94	SW 0	SW 0	SE 0	8	9●	9	0.9	●° $9^3/_4$–10^a, $1-1^1/_2$, $4^3/_4$–
2	5.9	13.4	8.2	9.2	−1.3	715.1	713.7	712.9	87	43	66	NE 0	NE 2	NE 0	1	3	2	.	⛈ II [$6^1/_2$P
3	8.6	17.4	10.0	12.0	1.4	713.8	712.8	712.8	70	**34**	71	SE 0	N 0	SW 0	3	5	3	.	⌓ I
4	8.8	17.7	9.9	12.1	1.4	712.3	709.8	710.5	68	44	81	SE 0	SW 0	SW 0	1	8	10●	5.1	● 8P–n
5	7.8	11.4	8.8	9.3	−1.5	711.4	712.6	714.4	96	68	96	NNE 0	E 0	E 0	10	10●	10	1.6	●
6	8.9	12.1	8.7	9.9	−1.1	714.6	714.8	715.3	83	63	80	NE 0	NE 0	SE 0	9	10	7	.	
7	**5.2**	10.3	6.8	7.4	−3.7	714.0	713.4	712.6	99	58	94	NE 0	E 1	NE 1	8≡	7	10●	0.1	≡^{2} ⌓ I, p ●°
8	6.0	8.9	9.2	8.0	−3.2	710.8	710.3	710.0	89	71	82	NE 1	NE 2	N 0	10	9	10	.	⛈ II
9	8.6	18.0	9.5	12.0	0.7	708.9	707.7	708.6	81	40	97	SE 0	SW 0	SE 0	8	3	9	**31.9**	K▲ ●^{2} $4^1/_4$-$6^1/_4$P, ▲° 5-$5^1/_4$P
10	9.8	17.1	12.1	13.0	1.5	709.2	708.4	709.4	95	45	81	SE 0	W 0	S 0	9	7	9	2.1	●° $6^1/_2$P, n ●
11	10.8	18.2	12.5	13.8	2.2	709.4	708.4	708.9	86	48	90	SE 0	SE 0	SE 0	7	8	10	4.1	●° $1^3/_4$P, K▲ ● $2^1/_2$–3P
12	12.8	19.7	12.5	15.0	3.3	708.9	708.3	709.0	91	54	95	E 0	N 0	S 0	7	6	7	3.8	K▲ $2^1/_2$–4P, ● $3^1/_2$–5, $8^1/_2$P–
13	11.4	17.8	13.5	14.2	2.3	707.0	705.4	705.9	83	57	90	SE 0	NE 0	SW 0	4	10	5	.	●° $1^3/_4$P [III
14	10.1	16.0	12.2	12.8	0.8	706.9	706.7	707.5	92	68	96	SE 0	WSW 0	S 0	10	10	10	0.9	●° $2^1/_2$–9P
15	10.8	19.4	13.0	14.4	2.3	707.0	705.2	705.2	98	54	89	SE 0	N 0	SE 0	9≡	7	10	1.5	≡^{2} ⌓ I, ● 5–$6^1/_2$P, ◁▲ III
16	13.7	17.4	14.6	15.2	3.0	706.7	706.9	707.3	80	65	84	NW 0	S 0	SW 0	8	9	9	24.5	● $1^3/_4$–$2^1/_2$P, ●^{2} 11P–n
17	13.0	18.1	13.4	14.8	2.4	707.6	706.3	706.8	91	56	94	SE 0	NW 0	ESE 0	9	8	10	8.7	K▲ $2^1/_2$–$3^1/_4$P, n ●
18	11.3	14.2	11.6	12.4	−0.1	705.9	**705.1**	705.5	97	87	97	SE 0	NE 0	NE 0	10●	10	10●	21.8	● n–o, $4^1/_2$P–n
19	11.7	12.6	7.8	10.7	−1.9	707.6	707.4	708.0	75	58	94	NE 2	NE 1	NNE 0	9	10	9	1.0	⛈ I, ● 6–$6^1/_2$P
20	8.0	13.9	8.5	10.1	−2.6	707.5	707.2	708.8	82	44	82	NE 1	NE 1	N 0	9	7	3	.	
21	8.4	13.0	11.6	11.0	−1.9	709.6	709.8	710.3	80	55	59	NE 1	NE 1	N 0	9	8	8	.	
22	8.8	16.9	12.5	12.7	−0.3	710.9	710.4	711.0	77	41	39	NE 0	NE 0	NE 0	9	4	4	.	
23	10.4	17.1	12.1	13.2	0.1	711.7	711.9	713.7	69	35	68	ESE 0	W 1	N 0	4	10	7	.	
24	10.2	18.9	14.3	14.5	1.3	715.5	715.0	715.4	83	37	71	SE 0	W 1	NE 0	10	4	7	.	
25	13.3	21.0	15.5	16.6	3.3	713.8	711.9	710.5	68	48	73	E 0	NE 1	NE 1	0	2	1	.	
26	13.6	18.5	13.5	15.2	1.7	709.4	708.1	709.1	83	64	83	N 0	NE 1	NE 0	8	7	6	0.1	●° $3^1/_2$P, ◁▲ III
27	14.2	22.1	14.8	17.0	3.4	711.7	711.1	713.1	85	50	81	SE 0	NE 0	SE 0	8	7	4	0.5	K▲ ●° $5^3/_4$–$6^1/_4$P, ◁▲ III
28	13.5	20.5	16.4	16.8	3.1	713.3	712.7	711.8	78	41	62	NE 0	NE 1	ENE 0	3	6	4	.	
29	15.4	**22.7**	15.0	17.7	3.9	711.1	709.3	709.8	78	48	95	NE 0	NE 0	SE 0	7	5	9●	1.3	● $3^1/_2$, 9P–n
30	14.2	21.6	14.5	16.8	2.8	709.6	708.5	709.8	89	55	95	SE 0	NW 0	SE 0	9	8	10●	11.7	p K▲ ● $5^3/_4$P–n
31	13.0	21.3	14.7	16.3	2.2	709.6	708.2	709.3	96	61	93	NE 1	N 1	SW 0	10●	7	7	2.7	● n–10^a, K▲ 9–$9^1/_2{}^a$, K▲ ● [$6^1/_2$–$6^3/_4$P
																		Summe	
Mittel	10.5	16.6	11.7	12.9	—	710.4	709.7	710.3	84	54	83				7.3	7.2	7.4	124.3	

$\lambda = 6° 57'$, $\beta = 47° 0'$,
$Hb = 487.3^m$, $G = 0.06\,^m/_m$.

Neuenburg.

Mai 1911.
Observatorium.

1	6.8	13.4	7.4	9.2	−2.6	718.4	720.6	**722.9**	94	47	81	SW 1	N 2	N 1	7	6	5	.	
2	7.0	15.9	11.0	11.3	−0.6	722.5	721.0	720.0	79	**42**	46	NE 1	NE 1	NE 1	0	3	1	.	
3	**6.7**	18.6	12.7	12.7	0.7	721.0	720.2	719.7	84	43	64	NE 1	SE 1	NE 1	7	4	2	.	≡° I
4	9.4	17.0	10.4	12.3	0.1	719.4	717.0	718.3	79	56	71	SE 1	SW 1	N 1	2	7	10	1.4	⛈ $4^1/_2$P–III, ●° 8P–n, n ●
5	8.8	11.8	9.6	10.1	−2.2	718.5	719.5	721.6	93	65	89	NE 1	N 2	NW 1	9●	10	10	.	●° n–$9^1/_2{}^a$
6	10.6	13.1	9.6	11.1	−1.3	721.8	721.9	722.4	78	61	73	NE 1	NE 1	N 1	5	10	3	.	≡° I
7	6.8	11.2	7.9	8.6	−4.0	721.3	720.5	719.7	91	58	81	NE 1	NE 1	NE 1	8	9	10	.	●° $9^1/_2{}^a$–p
8	7.5	10.8	9.8	9.4	−3.3	717.8	717.5	717.1	75	66	80	NE 2	NE 2	N 1	10	10	10	.	
9	7.9	18.6	9.8	12.1	−0.7	716.0	715.0	715.9	89	51	93	SW 1	SW 1	N 1	8	3	10	10.9	●° 5–6P, ●–9P
10	9.7	16.6	11.2	12.5	−0.5	716.4	715.6	716.3	94	67	87	NE 0	SW 1	NW 1	9	7	10●	7.6	● n–$11^1/_2{}^a$, $3^3/_4$P–n
11	10.8	18.8	14.0	14.5	1.4	716.4	715.4	715.8	94	60	86	NW 0	SW 1	N 0	8	7	10	0.9	●° 9P–n
12	12.6	20.6	14.0	15.7	2.4	715.8	715.5	715.8	90	62	73	NE 1	SE 1	N 1	9	5	8	0.7	●° $3^1/_2$–4, $6^1/_4$–$6^3/_4$P, n
13	12.4	17.2	13.1	14.2	0.8	713.8	712.6	712.6	86	68	89	E 1	SW 1	NW 1	7	10	3	.	≡° I, p ●°
14	10.5	14.6	12.8	12.6	−0.9	714.0	714.1	714.4	96	81	90	SW 1	SW 1	NW 1	10	10	9	0.7	●° $7^1/_2{}^a$–n
15	12.6	20.6	15.4	16.2	2.5	714.0	712.3	**712.1**	90	54	78	W 1	SW 1	NW 1	4	6	10	5.1	◁▲ III, ●◡ $9^1/_2$P, n ● [n
16	12.7	16.2	14.6	14.5	0.7	713.8	714.0	714.5	94	75	80	SW 1	SW 1	NW 1	10	9●	9●	3.9	●° $1^1/_2$-4P, ◁▲ $9^1/_2$P, ● $9^3/_4$P-
17	12.2	18.3	13.5	14.7	0.8	714.6	713.8	713.8	98	60	90	NW 0	SW 1	NW 0	10●	6	10	1.6	≡° I, ●° n–8^a, $5^1/_4$P, n ●
18	12.0	13.8	11.9	12.6	−1.4	713.1	712.3	712.9	98	93	99	NE 1	NE 1	N 1	10●	10●	10●	**26.6**	●^{2}, n ●°
19	12.6	15.1	9.8	12.5	−1.7	714.3	714.3	714.8	64	53	71	NE 2	NE 2	NE 1	10	9	10	.	
20	9.0	14.9	10.2	11.4	−2.9	714.7	714.3	715.4	75	53	68	NE 2	NE 3	NE 2	7	7	0	.	⛈ II
21	9.8	15.8	13.0	12.9	−1.5	716.6	716.7	717.2	73	51	51	E 3	NE 3	NE 2	8	6	8	.	⛈ n–p
22	10.0	19.2	12.8	14.0	−0.6	718.2	717.5	718.0	72	47	56	SE 1	S 1	NE 1	7	3	2	.	
23	9.6	18.2	13.9	13.9	−0.8	718.9	719.0	719.6	79	50	59	NE 1	SE 1	N 3	5	10	7	.	≡° I, III, ⛈ $6^1/_2$P–n
24	11.0	20.2	15.8	15.7	0.9	722.5	722.3	722.2	85	51	63	SW 1	SE 2	N 1	8	7	7	.	≡° III
25	15.6	22.8	16.2	18.2	3.2	720.8	718.7	717.3	65	58	70	E 2	SE 1	N 2	0	7	4	.	
26	13.5	20.2	16.4	16.7	1.6	716.5	715.2	715.9	84	65	77	E 1	NE 1	N 1	9	8	3	9.0	● $1^3/_4$–5P, ◁▲ 9P–n
27	13.7	23.2	15.3	17.4	2.2	718.6	718.1	720.0	93	59	84	NE 1	E 1	N 1	7	6	6	.	◁▲ 9P–n
28	15.7	22.6	18.2	18.8	3.5	720.2	719.6	718.6	67	55	54	NE 2	S 0	NW 1	7	7	7	.	≡° I, III
29	14.4	**24.0**	15.2	17.9	2.4	718.2	716.3	716.7	80	52	89	NE 1	S 1	N 0	7	3	10	0.2	p ⛈, n ●° [⛈ $5^3/_4$P–III
30	14.5	21.1	15.4	17.0	1.4	716.6	715.7	716.8	94	62	89	SE 1	SW 1	NW 1	10	8	10●	1.0	≡° I, ●° $7^1/_2{}^a$, 7, $8^1/_2$–10P,
31	14.4	21.0	16.1	17.2	1.5	716.5	715.4	716.3	95	68	87	NE 1	SW 1	NW 1	9	5	10	2.2	●° $6^1/_2{}^a$, ≡° I, ● $9^1/_4$–$9^3/_4{}^a$, [⛈ $2^3/_4$–$6^1/_2$P
																		Summe	
Mittel	11.0	17.6	12.8	13.8	—	717.5	716.8	717.3	85	59	76				7.3	7.0	7.2	71.8	

Mai 1911.
Beobachter: Frl. *H. Nager.*

Altdorf.

$\lambda = 8° 39'$, $\beta = 46° 53'$,
$Hb = 456.3^m$, $G = 0.05^{m}/_{m}$.

Tag	Lufttemperatur					Luftdruck			Relative Feuchtigkeit			Windrichtung und Stärke			Bewölkung			Niederschlag	Witterung
	7^{30}	1^{30}	9^{30}	Mittel	Abweich. vom Normalst.	7^{30}	1^{30}	9^{30}	7^{30}	1^{30}	9^{30}	7^{30}	1^{30}	9^{30}	7^{30}	1^{30}	9^{30}		
1	7.4	10.4	7.0	8.3	−2.9	720.8	723.9	**726.3**	85	50	98	NW 1-2	N 1	NW 0	10	10	2	1.2	● ⌒ I
2	7.8	14.4	8.3	10.2	−1.2	725.3	724.3	723.7	80	40	70	SW 0	NW 1-2	NW 0-1	2	3	0	.	
3	**6.7**	16.4	10.5	11.2	−0.3	724.0	722.8	723.6	70	40	70	E 0	NW 2	SE 0-1	0	1	0	.	
4	8.9	17.6	13.0	13.2	1.6	722.3	719.3	719.5	80	49	65	SE 0	W 1	SW 2	0	2	10	0.3	⌒ $9^1/_4$P-n
5	9.5	11.2	9.4	10.0	−1.7	721.4	723.4	725.1	95	80	100	N 0	W 0	NW 0	10	10	10	1.3	● n-II
6	8.9	13.2	8.9	10.3	−1.6	725.2	725.1	725.7	96	62	100	NW 0	NW 1-2	NW 0	10	10	10	2.2	≡ I, ● III
7	8.7	10.4	8.3	9.1	−2.9	724.3	724.5	723.0	90	60	99	NW 0-1	NW 1	NW 0	9	8	10	0.4	●° III
8	9.0	11.8	8.9	9.9	−2.2	720.8	720.8	719.9	86	60	92	SE 0	NW 1-2	NW 0	10	10	1	.	
9	7.8	15.8	8.8	10.8	−1.4	719.1	718.4	718.5	99	50	78	SW 0	NW 1	S 0	0	5	1	.	
10	10.0	15.6	11.9	12.5	0.2	719.5	718.8	721.1	83	53	83	SW 0	NW 1	NW 0	10	5	9	.	●° $5^1/_2$P, ⌒ 6P
11	11.4	18.6	11.7	13.9	1.4	719.3	718.3	719.1	85	45	76	SE 0	W 1	SE 0	10	4	3	.	
12	13.5	**22.0**	12.2	15.9	3.3	719.4	718.5	718.9	76	**31**	78	SW 0	S 1-2	SE 0	10	4	2	.	
13	10.8	18.8	18.0	15.9	3.2	717.1	716.5	715.6	92	34	35	NW 0	S 3	S 2-3	0	9	2	.	⌒ 10a-n
14	12.9	17.2	13.4	14.5	1.7	716.3	716.1	717.9	75	63	94	SE 0	NW 0	NW 0-1	10	10	10	4.1	● $6^3/_4$P-n
15	12.9	18.4	14.8	15.4	2.5	716.4	715.5	**714.3**	90	59	85	NW 0	NW 1	SE 0	10	5	3	.	◺ $9-9^1/_2$P
16	15.0	19.4	13.8	16.1	3.1	716.8	716.7	717.4	87	50	80	N 0	N 1	NW 0-1	10	4	1	.	
17	12.3	18.8	16.2	15.8	2.6	717.8	716.3	716.7	86	55	87	SE 0	NW 1	NW 1-2	5	5	10	5.9	⌒ III, n ●
18	12.9	13.8	12.2	13.0	−0.3	715.9	715.5	715.2	90	85	100	NW 0	NW 1	NW 0-1	10	10	10	**36.2**	p n ●2
19	12.5	13.0	11.0	12.2	−1.2	716.5	716.5	717.3	68	50	64	NW 2-3	NW 2	NW 0	10	10	4	0.1	●° I, ⌒
20	9.8	14.2	10.0	11.3	−2.2	717.6	717.7	718.5	75	49	78	NW 0	NW 0-1	NW 0	10	10	7	0.5	●° II
21	10.8	14.4	12.2	12.5	−1.1	719.8	719.9	720.3	76	50	86	SE 0	N 1	NW 0	8	9	9	.	
22	10.7	16.8	11.5	13.0	−0.7	721.3	719.7	720.7	82	45	80	NW 0	NW 2	NW 0	10	3	3	.	
23	9.8	16.4	15.0	13.7	−0.1	721.6	722.1	724.3	87	41	45	NW 0	N 1-2	NW 0-1	1	10	9	.	
24	12.2	18.0	14.3	14.8	0.9	725.1	725.6	725.9	78	41	61	SE 0	NW 1-2	NW 0-1	10	8	10	0.5	●° $7^1/_2$a-a
25	12.5	20.8	16.6	16.6	2.6	723.9	721.6	720.4	86	50	70	NW 0-1	NW 2	NW 0	2	4	9	.	⌒ II
26	14.5	17.0	12.7	14.7	0.5	719.2	718.9	720.1	85	71	95	NW 0-1	N 1	NW 1	7	10	9	17.2	◺ ⌒2 ● 6-8P
27	12.8	18.8	14.8	15.5	1.2	722.2	721.7	723.6	99	55	100	S 0-1	W 1	NW 0-1	10	5	10	4.1	◺ $9-9^1/_4$P, ● $8^1/_4$P-n
28	13.8	19.6	16.3	16.6	2.2	723.2	723.6	722.1	95	56	91	NW 0	W 1	SE 0	4	4	7	0.1	
29	15.2	21.0	18.0	18.1	3.6	721.0	719.6	719.0	85	55	50	SE 0	NW 1	SE 0-1	10	4	3	.	
30	16.7	21.4	15.8	18.0	3.4	719.1	718.4	719.7	77	60	96	SE 0	NW 1	SE 0	7	5	10	2.3	● $7^1/_2$P-III
31	15.7	20.0	16.0	17.2	2.5	719.7	719.1	719.5	90	60	99	SE 0	SW 1	SE 0	10	9	9	1.2	● III
																		Summe	
Mittel	11.4	16.6	12.6	13.5	—	720.4	720.0	720.4	85	53	81				7.3	6.6	6.2	76.7	

Mai 1911.
Observatorium.

Genf.

$\lambda = 6° 9'$, $\beta \equiv 46° 12'$,
$Hb = 405.0^m$, $G = 0.02^{m}/_{m}$.

1	**6.3**	10.2	8.9	8.8	−2.3	726.3	728.3	730.2	88	59	65	NNE 1	NNW 2	NNE 1	9	9●	4	0.1	⌒ ●° I-$1^1/_2$P
2	6.7	13.5	10.1	9.4	−1.8	729.6	728.3	727.5	78	40	69	NNE 1	N 1	N 0	0	1	0	.	a ⌓, ⋓ ⋓ 9P
3	7.8	15.0	13.2	11.3	−0.1	728.6	727.7	727.5	80	41	62	NNE 0	NNE 1	NNE 0	3	2	0	.	a ⌓
4	9.4	18.8	12.1	12.8	1.3	727.1	724.6	725.0	73	43	59	NNE 0	WSW 1	SSW 1	2	6	10	0.5	a ⌓°, n ●°
5	9.3	11.8	10.6	10.5	−1.1	726.3	727.1	728.8	85	67	76	N 1	N 1	NE 1	9	10	10	.	
6	10.0	14.6	10.4	11.5	−0.3	729.0	728.9	729.6	76	52	72	NNE 1	NNE 2	NNE 1	8	6	0	.	⌒ II
7	9.3	12.7	8.5	9.5	−2.4	728.8	727.1	726.1	77	49	71	NW 0	NNE 2	NNE 3	3	5	2	.	a ⌓, p n ⌒
8	8.5	10.7	9.6	9.5	−2.6	724.9	724.4	724.8	70	66	74	NNE 2	NNE 2	NNE 1	10	10	2	.	⌒ n-p
9	7.6	15.3	12.2	10.9	−1.3	723.7	722.4	723.9	80	55	74	W 0	N 1	N 1	0	3	8	.	a ⌓, ◺ $2^3/_4$-$3^1/_2$P
10	10.7	21.0	14.0	13.8	1.4	724.0	722.8	723.9	78	**33**	68	W 2	SW 1	WSW 1	4	4	4	.	⌒ I, a ⌓
11	11.2	20.3	14.5	14.3	1.8	723.9	723.2	723.0	84	37	66	NW 0	SW 1	SW 0	9	8	9	0.3	a ⌓, ●° 7P, n [●° $8^1/_4$-$8^3/_4$P
12	12.9	19.0	13.6	14.7	2.1	723.4	722.9	722.9	82	49	84	S 0	NNW 1	NNE 1	7	4	3	0.7	◺ $3^3/_4$, $4^1/_2$, $4^3/_4$P, ⌒ $5^3/_4$P,
13	12.8	16.9	14.5	14.2	1.4	721.0	720.6	720.6	84	64	78	WSW 0	SSW 0	WSW 0	6	10	7	1.3	● 11-$11^3/_4$a, ⋓ 9P
14	11.5	17.5	13.0	13.1	0.2	721.7	721.4	722.2	96	66	85	W 0	ENE 1	N 1	10●	10	9	0.4	●° 7-$10^1/_2$a, $1^1/_2$p, n
15	12.0	18.8	14.1	14.3	1.2	721.5	720.0	720.4	94	43	85	N 1	NNE 1	SSW 1	8	4	10●	6.6	≡° I, ◺ 5P, ● $5^1/_4$-10P
16	12.9	19.7	12.6	14.6	1.4	721.5	721.3	722.5	93	56	87	WSW 0	SW 1	NNE 1	9	8	10●	7.6	● $7^1/_4$-$8^1/_2$a, $2^1/_4$-$3^1/_2$, *)
17	13.1	18.2	14.6	15.0	1.7	722.4	721.5	721.1	93	57	84	SE 0	SSW 1	NNE 0	10	6	10	**11.1**	◺ $5^1/_2$P, ● $5^3/_4$-$6^1/_2$, 10P- *)
18	12.2	17.2	11.9	13.0	−0.5	720.4	**719.7**	720.1	94	74	98	NNW 1	W 0	N 1	10●	8	10●	9.0	● 7^a-0, $1^1/_4$-10P
19	12.5	14.9	11.9	13.3	−0.3	720.6	720.6	721.0	75	52	66	NNE 3	NNE 3	NNE 3	8	3	2	.	⌒2
20	9.6	13.1	11.5	11.4	−2.4	721.4	721.2	721.9	67	54	65	NNE 2	NNE 3	NNE 3	3	8	3	.	⌒2
21	10.0	14.3	13.2	11.9	−2.0	723.5	723.8	724.8	73	56	61	NNE 2	NNE 2	NNE 1	10	3	10	.	⌒ n-p
22	11.1	16.0	13.7	12.7	−1.3	725.9	725.2	725.2	71	44	65	ESE 0	N 1	NNE 1	1	1	1	.	⌓ a, III
23	10.8	17.2	14.2	13.1	−1.1	726.4	726.4	728.5	70	36	60	NW 0	NNE 1	NNE 1	1	8	2	.	a ⌓, ◐ 11a-$0^1/_2$P
24	9.5	17.0	13.8	13.1	−1.2	**730.6**	730.0	729.6	84	57	86	N 0	N 1	NNE 1	10	4	2	.	
25	14.3	20.1	16.0	15.9	1.5	728.4	726.1	724.4	67	46	83	W 0	N 1	SW 0	1	3	2	0.6	a ⌓, ●° 4-$4^1/_4$P
26	15.2	19.5	17.5	16.9	2.3	724.0	722.5	723.4	78	61	80	WSW 0	N 1	N 1	0	2	5	.	
27	16.5	**23.0**	16.9	18.8	3.3	726.0	725.1	727.7	72	47	70	NW 1	NNW 1	SE 1	8	7	9	.	◺ 4, $4^1/_2$, $6^3/_4$P, ◺ 10P
28	14.5	20.2	18.0	17.2	2.4	728.2	726.9	725.9	84	55	70	WSW 1	N 1	N 1	7	3	8	0.2	n (28/29) ●°
29	16.1	21.8	16.1	17.8	2.8	725.5	723.7	724.6	75	50	83	NNE 1	N 1	S 1	9	6	10●	1.4	◺ $6^1/_2$P, ● $7^3/_4$-10P
30	16.3	20.0	17.7	18.2	3.1	724.1	723.4	723.5	87	62	78	NNW 1	N 1	ENE 1	9	8	9	0.3	◺ $7^1/_4$P, ●° $7^3/_4$P, n
31	15.9	21.7	16.6	17.6	2.4	723.9	722.8	723.9	82	52	82	E 0	NNE 1	NNE 1	2	7	9	.	⌒ $5^3/_4$P
																		Summe	[*) **17.** n, ⌒ 7P
Mittel	11.5	17.1	13.4	13.5	—	724.9	724.2	724.7	83	52	74				6.0	5.7	5.8	40.1	*) **16.** $4^1/_4$-$9^1/_2$P, n, ◺ 3P

Die Temperatur-Tagesmittel von Genf resultieren aus 8 Beobacht. in dreistünd. Zeitintervallen. — Die Beobachtungstermine sind 7^{35}a, 1^{35} u. 9^{35}p.

$\lambda = 8^\circ 33'$, $\beta = 47^\circ 23'$,
$Hb = 493.2^m$, $G = 0.08\,{}^m/_m$.

Zürich.

Mai 1911.
Meteorol. Centralanstalt.

Tag	Lufttemperatur 7³⁰	1³⁰	9³⁰	Mittel	Abweich. vom Normalst.	Luftdruck 7³⁰	1³⁰	9³⁰	Relative Feuchtigkeit 7³⁰	1³⁰	9³⁰	Windrichtung und Stärke 7³⁰	1³⁰	9³⁰	Bewölkung 7³⁰	1³⁰	9³⁰	Niederschlag	Witterung
1	0.8	10.0	6.0	7.6	−3.1	717.8	720.1	722.7	90	69	80	W 0	S 1	SE 1	9	7	0	2.7	●° 2–4, 10¹/₂–10³/₄ᵃ, ● *)
2	4.3	15.0	9.4	9.6	−1.2	722.8	721.5	720.2	99	37	55	E 0	NE 1	NE 0	2	2	0	.	n ≡, ≡° ⌣° 1
3	5.5	19.4	9.0	11.5	0.6	720.7	719.9	719.7	87	32	59	E 0	SW 1	W 0	1	4	0	.	
4	9.0	19.0	10.5	12.8	1.7	719.3	717.0	717.3	80	45	75	E 0	NW 1	W 1	0	4	10●	2.3	● 9¹/₄ᵖ–n
5	7.9	10.3	9.2	9.1	−2.1	718.5	719.7	721.7	91	91	96	NW 1	W 0	W 0	10	10●	10	4.0	a ●°, ●–7ᵖ [7¹/₄ᵖ
6	9.1	11.0	7.4	9.2	−2.1	721.8	722.2	722.8	94	77	91	NE 1	NE 1	NE 1	10	10	10	1.2	●° 3⁸/₄–4¹/₂, 10³/₄ᵃ, II, ● 6–
7	7.8	12.3	7.4	9.2	−2.3	721.6	720.7	720.1	86	58	91	NE 0	NE 1	NW 1	6	9	10	2.1	●° 9¹/₄ᵃ, ●° △° 1ᵖ, ●–6³/₄ᵖ
8	6.8	11.4	10.7	9.6	−2.0	718.5	717.5	716.9	84	63	88	NE 1	NE 1	N 0	10	9	9	.	
9	9.3	16.9	11.3	12.5	0.7	715.8	715.3	715.4	91	58	77	SE 0	NW 1	NW 1	10	4	5	.	[5–5¹/₄ᵖ, ⌒–III
10	11.3	19.0	11.5	14.1	2.2	716.2	715.5	715.7	81	48	80	SE 0	W 1	SW 1	9	6	4	2.5	●° 11ᵃ, 2¹/₂–2³/₄ᵖ, ◺ ▲° ●
11	12.8	21.9	13.0	15.9	3.9	716.3	715.2	715.6	80	42	80	SE 0	SW 1	E 0	6	4	9	2.6	◺● ⌒ 3⁸/₄–4¹/₂ᵖ
12	12.0	22.0	13.2	15.9	3.7	716.2	715.6	715.7	90	50	91	W 0	NE 1	SW 1	10	3	6	1.4	●° 5¹/₂–10ᵃ, ◺ 6¹/₄ᵖ, ●
13	13.9	21.3	14.5	15.6	3.3	714.5	712.1	712.2	94	51	65	E 0	NE 1	NW 1	0	10	3	0.2	n (¹³/₁₄) ●° [7³/₄–9ᵖ
14	12.9	19.0	12.6	14.8	2.3	713.7	713.4	714.6	85	62	95	E 0	NW 1	N 1	8	9	10●	2.7	● 5¹/₄ᵖ–n
15	13.1	20.1	16.2	16.5	3.9	713.9	712.7	711.6	92	57	76	SE 0	NE 1	NE 1	8	4	6	.	◺ III
16	14.3	21.9	14.8	17.0	4.3	713.7	713.7	714.3	81	51	73	W 0	W 1	NW 0	8	4	7	0.1	●° 11³/₄ᵃ–0¹/₄ᵖ
17	14.2	21.4	12.4	16.0	3.1	714.5	713.2	713.9	81	50	94	SE 0	NE 1	SW 1	6	5	10●	13.0	●° 6–6¹/₄ᵖ, ◺● 7¹/₄ᵖ–1³/₄ᵃ
18	12.6	14.9	12.4	13.3	0.3	713.1	712.1	712.4	91	91	99	NW 0	NW 1	NW 1	10●	10	10●	22.4	● 4³/₄ᵃ–n
19	11.8	12.0	8.3	10.7	−2.5	714.6	714.6	715.5	80	81	80	N 0	NE 0	NE 1	8	9●	9	2.6	● n–2¹/₄ᵃ, 5¹/₂–6¹/₂ᵖ, ●°
20	8.8	12.6	9.6	10.3	−3.0	715.0	715.2	716.2	83	70	78	NE 1	NE 1	NE 1	2	7	7	0.7	●° 10³/₄ᵃ–2¹/₄ᵖ [11ᵃ–1³/₄ᵖ
21	8.8	15.6	11.2	11.9	−1.6	717.2	717.2	717.6	80	51	62	NE 1	NE 1	NE 1	4	7	3	.	
22	8.6	17.0	11.7	12.6	−1.0	718.3	717.8	717.9	69	40	54	NW 0	NW 1	NE 0	7	1	1	.	
23	9.4	17.8	12.7	13.3	−0.4	718.7	718.7	720.2	82	47	69	NE 0	NW 1	NW 1	4	9	10	0.2	
24	12.4	19.9	13.6	15.0	1.1	721.8	722.4	722.6	74	48	64	W 0	SW 1	N 0	10	8	10	.	●° 6ᵃ
25	13.0	19.4	14.8	15.7	1.7	721.2	719.0	718.1	83	51	75	NW 0	E 1	NE 1	9	3	4	.	
26	12.6	19.5	16.2	16.1	2.0	716.6	715.8	716.4	84	60	64	NE 1	NE 1	E 1	9	2	2	.	
27	14.0	22.4	16.2	17.5	3.2	718.8	718.4	720.0	82	54	65	S 0	SW 1	NE 1	5	4	4	.	◺ n, III, ●° 3¹/₂ᵖ
28	13.0	23.0	16.7	17.6	3.2	720.6	719.8	719.2	84	38	65	N 0	NW 0	NE 1	1	2	2	.	◺ III
29	13.6	**23.2**	15.6	17.5	3.0	718.1	716.7	716.1	84	50	91	NW 1	N 0	NE 1	7	4	6	2.1	◺° ● 6¹/₂–7³/₄ᵖ, ◺ III
30	10.8	22.4	15.8	18.3	3.7	716.5	715.5	716.1	85	55	94	N 0	NE 0	E 0	8	6	9	5.3	◺● 5¹/₂–6¹/₂, 8¹/₄–9, 11¹/₂ᵖ–
31	15.9	20.6	16.2	17.6	2.9	716.2	715.6	716.3	96	63	81	N 0	N 1	NE 1	9	7	10	0.1	● 5¹/₄–6ᵃ, n ●° [0³/₄ᵃ
																		Summe	
Mittel	11.0	17.8	12.3	13.7		717.5	716.9	717.3	85	56	78				6.6	5.9	6.3	68.2	*) 1. 0–3¹/₂, 10³/₄–11³/₄ᵖ

$\lambda = 8^\circ 30'$, $\beta = 47^\circ 3'$,
$Hb = 1787.3^m$, $G = -0.11\,{}^m/_m$.

Rigi-Kulm.

Mai 1911.
Beobachter: Frl. *R. Gygax.*

Tag																			
1	−2.1	0.0	−2.5	−1.5	−3.5	611.2	613.9	616.0	100	100	99	N 0	NW 0	NW 0–1	10*	10≡	3	8.4	a ✳, ≡ II
2	−1.0	3.8	0.0	0.9	−1.3	615.8	615.6	615.5	100	98	100	E 0	E 0	SE 0	3≡	5	1	.	≡ I
3	1.5	5.5	3.7	3.6	1.3	615.0	615.6	615.7	71	57	70	W 0–1	NW 0	W 0–1	3	5	1	.	
4	3.1	6.7	1.7	3.8	1.4	614.4	613.7	612.8	74	68	100	SE 1	W 0	W 0–1	1	7≡	10≡●	8.0	p ≡, ● 8¹/₄ᵖ–n
5	1.2	2.8	0.6	1.5	−1.0	612.7	613.8	615.8	100	99	100	SE 0	W 0	W 0	10⁻	10≡*	10≡	6.4	≡, ✳ 10¹/₄ᵃ–p
6	1.1	2.3	−0.7	0.9	−1.8	615.5	616.1	616.2	100	100	100	NE 2–3	W 0	E 1	10⁻	10≡	10	4.7	⌒ I, ≡, ▲ 1³/₄ᵖ, ≡° III
7	0.1	−0.8	−0.4	−0.4	−3.2	615.0	614.6	613.5	96	100	100	NE 0	NE 0	NE 1–2	10	10≡*	10≡	15.9	≡° I, ▲ 9ᵃ, ✳–p, ≡ ✳
8	−0.4	4.7	2.3	2.2	−0.7	611.9	611.9	612.3	100	67	98	E 0–1	E 0	E 0–1	10≡	10≡	3≡	.	≡ ✳
9	4.8	7.9	3.1	5.3	2.3	611.2	611.7	611.5	38	60	75	SE 1–2	S 1	SW 1	3	5≡	5	3.0	≡ II, ▲ 2³/₄ᵖ
10	2.1	6.1	4.8	4.3	1.2	611.9	612.2	612.5	98	60	56	W 1–2	W 0	W 2	9⁻	7	9	1.6	≡ I, ● 1³/₄ᵖ
11	5.4	8.3	5.3	6.3	3.0	612.6	612.5	612.7	60	53	53	NW 1	N 0	W 0	7	5	7	.	
12	7.3	10.2	5.2	7.6	4.2	612.7	613.2	612.8	47	38	74	SE 0	E 0	E 2	10	5	3	.	●° 8¹/₄ᵃ
13	7.1	9.9	6.3	7.5	4.0	611.6	610.8	610.6	40	**31**	30	SE 2–3	S 1–2	SE 0	3	10	3	.	⌒ I
14	7.2	9.9	4.6	7.2	3.6	610.7	610.7	611.3	56	47	99	SE 0	SE 2	E 0	9⁻	7	10≡●	4.5	≡ I, ● ≡ III
15	6.8	10.7	7.2	8.2	4.5	610.8	610.5	609.9	50	50	100	E 0	NE 0	E 0	7	5	10≡	2.0	p ≡°, ≡ III, n ●
16	4.1	8.1	5.6	5.9	2.0	610.5	611.1	611.6	99	68	95	W 1–2	NW 0	E 0	9	7≡	5≡	.	p ≡
17	6.0	11.3	4.1	7.1	3.1	611.4	611.2	611.2	65	46	99	S 0	SE 0	SW 0	3	7	10●	20.6	≡° II, ◺° 5⁸/₄ᵖ, ●–n
18	5.0	4.7	4.2	4.6	0.5	609.5	609.2	**608.6**	79	93	100	E 0	NW 1	E 4	10⁻	10●	10≡●	**39.2**	●², p ≡°, ⌒² ≡ III–n
19	1.2	1.9	−0.1	1.0	−3.2	609.8	610.1	610.0	100	97	100	N 3–4	NE 0–1	E 0–1	10⁻	10	10≡	5.7	⌒² I, ≡ ●, ≡° II
20	−0.5	1.3	0.5	0.4	−3.9	609.3	610.1	611.1	100	97	97	NE 2	NE 1	NE 0–1	10	10≡	10≡	.	a ≡°, p ≡, ▲° 3³/₄ᵖ
21	−0.4	2.4	1.7	1.2	−3.3	611.2	612.3	612.9	100	96	95	E 0–1	NE 0	NE 0–1	10⁻	10≡	5	.	≡ n–II
22	3.2	4.5	3.0	3.6	−1.0	613.0	613.6	614.0	79	64	60	E 0	N 0	E 0	9≡	5	3	.	≡ I
23	3.4	5.9	2.5	3.9	−0.8	614.0	614.6	615.9	53	54	98	N 0	NE 0–1	E 0–1	5	10	10	.	
24	2.4	6.7	4.5	4.5	−0.3	616.9	618.1	**618.5**	99	53	50	W 3–4	W 0–1	SE 0	10⁻	9	10	.	≡ I
25	0.4	8.9	7.0	7.4	2.5	617.2	616.3	615.2	68	71	97	E 0	NE 0–1	S 0	3	5	9	.	
26	8.4	10.3	7.4	8.7	3.6	613.3	613.3	613.7	75	63	73	W 0–1	NW 0–1	W 0	7	7	3	6.3	n (²⁶/₂₇) ●
27	6.6	10.6	8.1	8.4	3.2	615.2	615.8	617.1	100	59	99	NE 0–1	W 0	E 0	10⁻	9≡	10≡	.	≡
28	7.7	9.8	7.6	8.4	3.1	616.7	617.2	616.8	65	62	70	NE 0	NE 0–1	NE 1–2	3	7	5	.	≡ I
29	12.0	13.2	9.3	10.8	5.4	615.1	615.1	614.6	47	46	45	S 0	E 0	SE 2–3	9	5	7	.	⌒ III
30	9.7	**13.3**	9.0	10.7	5.2	614.1	614.1	614.1	57	55	55	S 0–1	NE 0–1	E 0	7	7≡	9	0.5	≡ II, ●° 3ᵖ
31	9.2	9.9	8.0	8.7	3.0	613.9	613.7	613.9	82	90	88	NE 0	NE 1	E 0	10	9	7	0.5	≡° ●° n–p
																		Summe	
Mittel	4.1	6.7	4.9	4.9	—	613.0	613.3	613.5	77	69	83				7.4	7.7	7.0	127.3	

Mai 1911.
Beobachter: *J. Camenisch.*

Bevers.

$\lambda = 9° 53'$, $\beta = 46° 33'$.
$Hb = 1712.6^m$, $G = -0.12\,^m/_m$.

Tag	Lufttemperatur 7³⁰	1³⁰	9³⁰	Mittel	Abweich. vom Normalst.	Luftdruck 7³⁰	1³⁰	9³⁰	Relative Feuchtigkeit 7³⁰	1³⁰	9³⁰	Windrichtung und Stärke 7³⁰	1³⁰	9³⁰	Bewölkung 7³⁰	1³⁰	9³⁰	Niederschlag	Witterung
1	−1.2	4.2	0.0	1.0	−2.3	616.5	618.4	621.2	76	61	59	— 0	W 2	— 0	6	6	1	.	☒
2	−0.1	7.2	0.6	2.6	−0.8	621.4	620.2	620.7	68	38	56	NE 1	W 2	NE 1	3	0	0	.	
3	**−1.8**	9.8	6.4	4.8	1.2	620.9	620.3	621.0	79	**26**	41	— 0	W 2	W 2	2	7	8	.	p ↙
4	1.8	12.6	6.6	7.0	3.2	620.1	617.7	617.4	80	39	70	E 1	W 2	— 0	1	6	8	4.0	n (4/5) ●
5	3.7	7.1	4.6	5.1	1.2	617.4	618.0	620.3	91	61	64	— 0	W 2	W 2	10	8	8	.	
6	4.5	8.4	3.2	5.4	1.3	620.3	620.3	621.1	80	46	74	N 1	W 3	W 1	9	7	9	.	↙ II
7	2.6	4.0	1.2	2.6	−1.7	621.9	619.1	618.4	55	59	94	W 3	N 2	N 1	2	10*	10*	0.7	↙ n–II, p ✳°
8	1.6	8.6	4.4	4.9	0.5	617.9	617.9	618.4	90	50	65	NE 3	N 2	N 2	8	9	8	.	↙ I
9	3.2	6.0	3.0	4.1	−0.5	617.6	618.1	618.2	84	66	86	SE 1	W 2	W 2	8	10	4	.	●° II
10	3.8	8.0	4.5	5.4	0.6	617.8	617.4	617.8	84	54	86	SE 1	SE 2	W 1	5	10	9	.	
11	4.4	12.0	5.8	7.4	2.4	619.2	618.4	619.5	85	47	79	— 0	S 2	W 1	10	6	8	.	↙ II
12	6.4	12.4	6.4	8.4	3.3	619.6	619.6	619.8	84	52	81	— 0	S 2	W 1	9	9	10	.	
13	5.6	10.6	5.9	7.4	2.1	618.8	618.0	618.0	86	49	74	— 0	SW 3	— 0	5	10	10	.	↙ II
14	7.9	12.2	7.2	9.1	3.7	617.4	617.0	618.3	80	54	85	S 2	SE 1	— 0	6	10	10●	2.5	● $6^1/_2$P–n
15	6.8	11.2	7.0	8.3	2.7	617.7	616.4	616.4	91	59	90	— 0	SW 2	— 0	10●	10	10	2.0	a ●
16	7.4	12.2	6.4	8.7	2.9	616.7	616.8	618.0	83	53	78	— 0	W 2	W 1	9	10	0	0.2	●° 9ª
17	6.8	9.6	5.6	7.3	1.4	617.6	617.0	616.6	85	66	90	— 0	S 1	— 0	9	10●	10	2.3	● 1P–p
18	6.6	9.6	6.1	7.4	1.3	614.4	**612.7**	612.8	87	63	90	N 1	SW 3	W 1	10	10●	10●	**10.7**	●, ↙ II, n ●
19	4.8	7.1	4.0	5.3	−1.0	613.1	613.7	614.4	90	53	55	N 1	W 2	NE 3	10	10	4	.	p ↙
20	3.2	8.2	4.6	5.3	−1.1	614.5	614.4	615.9	70	49	60	NE 1	W 3	NE 1	9	8	10	.	↙ II
21	3.8	8.2	4.0	5.3	−1.3	616.9	616.8	618.0	76	51	77	NE 3	SE 1	— 0	4	6	5	0.1	↙ I, ●° $0^3/_4$–$1^1/_2$P
22	4.1	11.6	4.6	6.8	0.1	618.4	618.2	619.1	84	38	47	W 1	SW 3	NE 1	3	4	2	.	↙ II
23	2.3	10.8	4.2	5.8	−1.1	619.0	618.8	621.5	74	41	75	SE 1	W 1	W 1	2	8	8	1.2	⌴ I, ● III
24	4.2	5.4	6.4	5.3	−1.7	621.1	622.4	623.2	79	71	59	— 0	NE 2	N 3	10●△	10●	10	.	●° △° I, ●° II, p ↙
25	7.8	12.5	6.1	8.8	1.6	622.2	620.7	620.0	71	50	96	E 1	W 1	— 0	7	9	10●	6.2	p n ●
26	6.4	8.0	4.4	6.3	−1.0	619.1	619.1	621.4	90	78	90	— 0	SE 1	NE 1	9	10	8	8.8	● oP–p
27	5.8	13.8	7.6	9.1	1.6	621.3	621.0	622.4	89	46	81	E 1	W 2	NE 1	9	8	6	0.1	↙ II
28	7.5	15.2	7.8	10.2	2.6	622.5	622.2	**624.2**	88	48	82	SE 1	S 2	— 0	5	7	10	4.0	n (28/29) ●
29	5.8	13.0	7.6	8.8	1.1	622.4	621.0	620.9	88	55	86	S 1	SW 1	E 1	10	10	10	.	
30	7.8	13.4	10.6	10.6	2.8	620.0	619.3	619.1	85	52	72	— 0	SE 2	W 1	6	10●	10	0.1	●° II, III
31	9.2	**15.5**	10.0	11.6	3.6	618.9	617.5	619.1	89	42	71	N 1	SW 1	NE 1	8	9●	9	0.1	●° II, ↙² ●° 2–$2^1/_2$P
																		Summe	
Mittel	4.6	9.9	5.4	6.6	—	618.8	618.3	619.1	82	52	75				6.9	8.3	7.6	43.0	

Mai 1911.
Beobachter: P. *F. Landolt.*

Sitten.

$\lambda = 7° 21'$, $\beta = 46° 14'$,
$Hb = 540^m$, $G = 0.00\,^m/_m$.

1	7.3	14.9	9.4	10.5	−1.8	713.3	714.4	717.7	85	47	58	SE 0	SW 2	SWo–1	10	6	2	.	
2	**6.5**	16.4	10.3	11.1	−1.4	717.9	715.4	715.5	74	40	57	E 0–1	SW 1	S 0	0	0	0	.	
3	8.6	17.9	12.6	13.0	0.4	716.8	715.1	715.2	68	43	48	E 1	SWo–1	E 0	5	8	0	.	
4	9.3	19.7	13.1	14.0	1.3	715.6	711.6	711.1	70	47	65	E 0	SW 1	SW 2–3	0	5	9	**5.1**	↙ III, n ●
5	9.0	14.6	10.3	11.3	−1.6	713.4	713.8	715.8	93	60	77	SW 1	SW 1–2	SWo–1	10	10	10	.	
6	10.4	17.6	12.0	13.3	0.3	716.6	716.1	716.4	86	46	60	SWo–1	SWo–1	W 0	10	9	3	.	
7	7.7	15.9	8.8	10.8	−2.3	715.8	713.5	713.7	80	**34**	60	E 0	NW 1	SW 0	3	5	3	.	
8	8.3	17.4	9.1	11.6	−1.7	712.5	710.8	712.8	81	42	87	SWo–1	NW 0	W 0	1	7	1	.	
9	8.5	19.3	12.6	13.5	0.1	711.4	709.8	712.0	93	46	73	S 0	SW 1–2	SW 1–2	2	7	9	1.0	n (9/10) ●
10	10.2	19.4	13.9	14.5	1.0	712.5	711.0	711.9	95	44	55	E 0	S 1	E 0–1	10	5	4	.	
11	12.5	20.5	15.0	16.0	2.4	712.4	710.4	711.5	69	46	75	E 0	SW 1–2	W 0	8	8	10	1.7	n (11/12) ●
12	11.9	21.7	15.7	16.4	2.6	712.5	710.8	711.4	100	43	50	E 0	SW 0	SW 0	10	6	9	.	
13	14.1	19.1	14.3	15.8	1.9	709.8	708.8	709.4	62	38	49	E 0	NE 2-3	E 0	6	10	4	.	↙ II
14	12.2	16.5	12.5	13.7	−0.3	709.7	709.3	711.4	70	70	86	SW 0	W 2	E 0	10	10	10	4.0	p ●
15	13.6	20.9	15.1	16.5	2.4	709.8	707.1	707.9	75	46	93	E 0	SW 1–2	SW 0	6	8	10	.	
16	13.6	19.3	15.6	16.2	1.9	719.8	709.3	710.3	93	57	63	SE 0	SW 1–2	S 0	10	7	10	1.5	● 10–11ª
17	13.3	17.8	15.1	15.4	1.0	710.2	708.5	709.0	89	60	66	SW 0	W 0–1	W 0	8	6	10	4.1	● $9^1/_2$P–n
18	12.8	17.3	12.6	14.2	−0.3	707.9	**706.7**	706.9	95	63	90	W 0–1	SWo–1	W 0	10●	10	10	0.7	●° I, $3^1/_2$–$4^1/_2$P
19	13.7	20.1	13.2	15.7	1.1	707.6	706.8	707.6	76	37	55	S 0	SW 0	SW 0	9	8	6	.	
20	9.8	16.1	12.8	12.9	−1.9	708.9	707.5	708.8	80	51	51	N 0	SW 1–2	S 0	10	7	10	.	
21	11.2	19.5	12.3	14.3	−0.6	710.9	710.7	712.4	75	46	76	SW 0	SW 1–2	SW 0	6	4	4	.	
22	12.6	20.4	14.4	15.8	0.8	713.5	711.6	712.2	86	46	50	SWo–1	SW 1–2	SW 0	5	2	2	.	
23	11.9	19.9	14.5	15.4	0.3	714.0	713.0	715.5	74	43	52	SW 0	SW 1	SW 0	2	10	10	.	
24	13.0	17.8	15.3	15.4	0.1	717.8	**718.0**	717.6	76	59	60	SW 0	SWo–1	SE 0	10	10	4	.	
25	12.4	23.0	16.0	17.1	1.7	716.6	713.0	712.5	73	42	72	E 0–1	SWo–1	E 0	1	5	1	.	
26	14.7	**24.1**	15.4	18.1	2.6	712.1	709.7	712.9	76	49	60	E 0–1	SW 1–2	NE 0-1	5	4	5	.	
27	13.0	23.8	18.6	18.5	2.9	714.8	713.0	715.1	83	53	56	SE 0	SWo–1	NE 0–1	6	7	8	.	
28	16.1	22.8	16.6	18.5	2.8	715.5	714.1	715.1	71	58	67	E 0–1	SW 1–2	E 0	6	6	8	.	
29	16.0	23.4	18.0	19.1	3.3	714.3	712.1	712.4	76	50	65	E 0	SW 1	SW 0	2	6	8	.	
30	15.2	23.7	18.0	19.0	3.0	712.4	710.5	711.4	80	49	64	E 0	SW 0	SW 0	8	8	4	.	
31	16.4	23.7	16.3	18.8	2.7	712.3	709.8	711.8	76	53	84	S 0	S 1–2	SW 1	7	5	9	.	
																		Summe	
Mittel	11.8	19.5	13.8	15.0	—	712.9	711.4	712.4	80	49	65				6.3	6.7	6.2	18.1	

$\lambda = 8^\circ 57'$, $\beta = 46^\circ 0'$,
$Hb = 276.2^m$, $G = 0.03\,{}^m/_m$.

Lugano.

Mai 1911.
Beobachter: *G. Bellett.*

Tag	Lufttemperatur 7h30	1h30	9h30	Mittel	Abweich. vom Normalst.	Luftdruck 7h30	1h30	9h30	Relative Feuchtigkeit 7h30	1h30	9h30	Windrichtung und Stärke 7h30	1h30	9h30	Bewölkung 7h30	1h30	9h30	Niederschlag	Witterung
1	**9.3**	19.0	14.4	14.2	1.1	734.1	734.3	737.9	71	27	29	N 0	N 1	N 1	6	3	0	.	
2	10.6	19.8	11.6	14.0	0.7	738.8	737.0	736.8	59	43	54	NE 0	SE 0	NE 0	0	0	0	.	
3	9.8	20.8	13.7	14.8	1.4	738.3	735.8	736.7	71	44	66	N 0	SE 0	NW 0	0	0	0	.	
4	11.8	21.0	15.3	16.0	2.5	736.2	734.0	734.3	76	49	82	N 0	SE 0	NW 0	0	0	10	0.6	
5	12.6	20.7	18.4	17.2	3.5	734.2	733.1	734.2	81	53	30	NW 0	SE 0	N 2	10	10	4	.	●° 1a, ⸝ 4½p–n
6	12.6	24.0	18.0	18.2	4.4	736.2	735.4	735.8	62	35	**25**	N 0	SE 0	N 1	0	0	3	.	⸝ n–4a
7	13.6	16.1	12.0	13.9	0.0	737.2	735.8	736.4	76	61	76	N 0	SW 0	SW 0	0	6	10	8.0	●° 6p, n ●
8	9.8	11.5	9.8	10.4	−3.7	735.5	736.5	737.5	94	91	94	NW 0	S 0	NW 0	10●	10●	10●	9.5	●, n ●°
9	10.4	13.3	11.0	11.6	−2.6	736.5	737.2	737.0	90	85	91	N 0	N 0	N 0	10●	10	10●	2.4	● 7a–a, ●° 8½–10½p
10	10.6	16.5	12.6	13.2	−1.6	736.2	735.6	736.3	87	66	84	N 0	S 0	N 0	0	8	10	1.0	●° 5–6p, n ●
11	13.8	17.9	12.8	14.5	0.0	736.9	736.2	736.8	84	70	94	SW 0	SW 0	SW 0	10	8	10	2.3	p ●°, n ●
12	12.8	14.0	13.5	13.4	−1.2	737.2	737.5	736.3	92	85	89	NW 0	SW 0	NW 0	10●	10●	7	4.8	● a–2p, n
13	13.4	17.7	12.7	14.6	−0.1	735.6	734.8	735.3	87	72	94	N 0	NE 0	N 0	10	10	10●	12.4	● o½p–n
14	12.6	15.6	12.0	13.4	−1.5	734.0	733.7	734.7	93	72	95	W 0	W 0	NW 0	10	10	10●	**12.6**	● 3½p–n
15	12.8	16.8	13.7	14.4	−0.6	732.9	732.6	732.6	92	75	96	NW 0	NW 0	NW 0	10	10	10●	5.4	a ●°, p n ●
16	14.2	15.6	12.4	14.1	−1.0	733.2	734.1	735.0	97	89	93	NW 0	SW 0	N 0	10	10●	7	7.4	●, n ●
17	12.8	16.5	13.3	14.2	−1.1	734.3	733.7	732.9	97	85	98	NW 0	N 0	N 0	10●	10	10●	10.7	●, n ●
18	13.4	15.6	13.2	14.1	−1.3	730.0	728.9	728.1	95	89	99	NW 0	SE 0	NW 0	10	10●	10●	6.3	● o½p–n
19	13.3	19.3	16.7	16.4	0.9	727.6	**726.6**	728.0	99	26	27	N 0	NE 2	NE 2	10	10	3	.	⸝ 10½–2a–n
20	11.5	18.9	13.4	14.6	−1.1	729.7	729.6	731.7	69	58	76	NE 0	S 0	N 0	0	5	10	.	
21	13.3	17.4	14.0	14.9	−0.9	734.2	734.6	735.8	81	63	76	NE 0	SE 0	NE 0	10	5	9	0.2	●° 10–11p
22	13.6	20.0	14.2	15.9	0.0	735.8	734.7	734.6	84	55	81	N 0	SE 0	NE 0	10	3	0	.	
23	13.0	20.4	15.8	16.4	0.3	734.7	734.0	735.0	75	61	52	N 0	SE 0	N 0	0	10	5	.	
24	15.4	22.5	20.0	19.3	3.1	736.5	736.4	738.3	70	29	37	W 0	NE 1	N 1	3	8	7	.	
25	14.8	21.5	16.2	17.5	1.2	**739.9**	737.2	736.7	78	49	70	N 0	S 0	N 0	0	0	9	.	
26	13.6	15.9	12.4	14.0	−2.5	738.2	738.6	739.3	74	66	98	NE 0	NE 0	N 0	10	10	10●	1.1	● 6½–10p
27	15.0	22.7	16.4	18.0	1.4	738.9	737.4	738.7	71	53	77	N 0	SE 0	N 0	6	3	3	.	
28	15.8	**24.7**	18.1	19.5	2.8	739.1	738.2	738.7	84	54	72	N 0	S 0	N 0	5	5	8	8.2	n (28/29) ●
29	15.8	15.8	14.6	15.4	−1.5	738.5	738.3	737.5	64	88	94	SE 1	SE 0	NE 0	10	10	10●	5.7	● a, 2½–10p
30	15.7	19.8	17.2	17.6	0.6	735.4	735.2	733.9	85	72	76	NE 0	SE 0	N 0	8	10	6	.	
31	15.4	23.2	16.7	18.4	1.3	733.6	732.5	734.6	83	62	75	N 0	SE 0	SE 0	10	6	10	4.6	K△° ● 6–7p, n ●
Mittel	13.0	18.5	14.4	15.3	—	735.5	734.8	735.4	81	62	74				6.4	6.8	7.1	Summe 103.2	

$\lambda = 7^\circ 35'$, $\beta = 47^\circ 33'$,
$Hb = 277.2^m$, $G = 0.13\,{}^m/_m$.

Basel.

Mai 1911.
Bernoullianum.

1	8.2	9.8	9.2	9.1	−2.3	737.1	739.6	**741.8**	81	60	76	SW 1	NW 1	W 1	5	7	10	1.0	● △ 0¾–1p, ● ⸝ 5¾p, [●° 7½p
2	**5.8**	15.0	10.4	10.4	−1.1	741.5	740.0	738.9	85	40	61	SE 1	E 1	E 1	1	4	2	.	
3	8.3	17.6	12.6	12.8	1.2	739.5	738.5	738.1	67	**34**	73	E 1	E 0	E 0	5	5	0	.	⊕° 11a, 1¾p
4	10.0	15.8	10.4	12.1	0.3	738.0	735.9	736.5	77	56	82	E 1	W 1	SW 1	4	6	10	2.1	● 11¾p–2¾a
5	9.0	11.4	10.2	10.2	−1.7	737.5	738.4	740.5	92	88	90	SW 1	W 1	S 1	10●	10●	10	1.4	● 3¾–10a, o½–1½, 4¾– [5¾p
6	8.6	15.0	11.5	11.7	−0.3	741.2	740.9	741.1	91	51	76	SE 0	NW 1	NW 1	10	7	7	0.1	
7	**5.8**	9.6	8.0	7.8	−4.3	741.3	740.2	739.5	88	81	94	E 1	N 1	E 1	10	6	8	4.2	● 1–7¾p
8	7.6	12.6	12.0	10.7	−1.6	737.5	736.6	735.7	94	65	83	W 1	E 1	E 1	10	8	10	0.2	
9	10.1	17.8	13.0	13.6	1.2	734.3	733.3	733.2	94	58	90	W 1	N 1	SW 1	10	5	9	1.0	K△● 7¾–9½p [11p–o¼a
10	10.6	18.2	13.6	14.1	1.6	734.2	733.4	734.1	85	53	84	SE 1	N 1	E 1	8	6	9	2.1	●° 8¼p, ◁ III, K△ 10¼p, ●
11	12.0	18.0	14.4	14.8	2.1	734.5	733.5	733.8	90	57	80	SE 1	W 1	E 1	7	10	10	2.0	● 1¼–1½p, K△● 1–2¼p
12	12.6	20.4	13.2	15.4	2.6	734.0	733.3	734.0	92	56	91	E 1	E 1	E 1	10●	5	5	2.5	● 1½–8a, 1¼–6p, K△ 3½p
13	13.3	20.6	14.5	16.1	3.2	732.3	730.0	730.9	86	65	79	E 1	N 1	NE 1	5	9	8	0.1	⊕° 10¼a
14	12.0	18.4	14.6	15.0	2.0	732.2	731.6	732.5	87	64	95	NE 1	E 1	SE 1	9	10	10	0.5	●° 1¼, 7¾–8¾p
15	13.0	21.0	15.8	16.6	3.5	732.2	730.5	**729.9**	95	51	81	E 1	NE 1	NE 0	2	8	10	1.7	◁ 9½p, ● 11½–12p
16	15.4	19.4	14.0	16.3	3.0	731.9	731.9	732.7	85	62	93	E 1	NW 0	SE 1	5	8	9	4.3	● o¼–6½a, 3¼–5p, p *)
17	14.0	19.2	15.4	16.2	2.8	732.9	731.7	731.7	93	64	81	W 0	W 1	W 1	9	4	10	1.0	● o½–7¼a, 2½–2¾, 4¼p
18	13.4	15.0	13.6	14.0	0.4	731.3	730.6	731.5	93	90	98	E 1	N 1	N 1	10●	10●	10	12.5	● o¼, 2¾–8¾a, 1½–8½,
19	11.4	14.4	9.3	11.7	−2.0	733.8	733.5	734.5	87	68	84	W 1	N 2	NW 1	10	7	10	0.1	[11¾p–o½
20	9.6	11.1	9.3	10.0	−3.8	734.1	734.1	735.4	86	94	96	NW 1	SW 1	NW 1	3	10	8	8.7	● 1–3¾, 6–6½p
21	9.0	14.6	11.4	11.7	−2.2	736.5	735.9	736.7	92	61	67	NW 1	NW 0	NW 1	9	8	8	.	
22	8.8	17.0	12.2	12.7	−1.4	737.4	736.6	736.7	76	42	70	SE 0	N 1	N 1	0	1	1	.	
23	8.6	17.0	14.0	13.2	−1.0	737.6	737.6	738.9	78	45	70	N 1	W 1	W 1	7	10	10	.	
24	12.5	19.0	16.0	15.8	1.5	740.5	741.1	741.2	87	43	63	W 0	N 1	W 1	9	7	10	.	
25	16.2	21.0	15.6	17.6	3.1	739.5	737.4	736.2	73	55	75	E 1	NW 1	SW 1	6	6	5	.	
26	14.2	20.6	17.8	17.5	2.9	734.8	733.4	734.4	79	49	63	E 1	E 1	E 1	8	5	1	.	
27	14.4	21.6	16.8	17.6	2.9	737.3	736.7	738.8	73	50	72	W 0	NW 1	E 1	5	4	2	.	
28	13.0	21.2	17.4	17.2	2.3	739.6	738.4	737.3	82	50	76	E 1	N 1	S 1	1	4	2	.	
29	12.2	21.4	18.0	17.2	2.2	737.0	735.0	734.4	93	58	73	W 0	N 1	SE 1	10	7	3	.	●° 7p
30	15.5	**22.8**	17.3	18.6	3.5	734.4	733.6	734.5	89	62	93	E 0	N 1	S 1	10	6	10	0.3	K△● 5¼–6½p, K△ 9, 11p
31	16.6	18.6	17.0	17.4	2.1	734.4	733.6	734.6	94	92	83	E 0	NE 1	NE 1	7	9●	10●	2.0	● 11a–2¾, 5p, III
Mittel	11.3	17.3	13.5	14.0	—	736.1	735.4	735.8	86	60	80				6.9	6.8	7.3	Summe 47.5	

*) 16. K△ ⸝ 4¾p

Mai 1911.
Observatorium.

Säntis.

$\lambda = 9^\circ 20'$, $\beta = 47^\circ 15'$,
$Hb = 2500.1^m$, $G = -0.16\,m/m$.

Tag	Lufttemperatur					Luftdruck			Relative Feuchtigkeit			Windrichtung und Stärke			Bewölkung			Niederschlag	Witterung
	7^{30}	1^{30}	9^{30}	Mittel	Abweich. vom Normalst.	7^{30}	1^{30}	9^{30}	7^{30}	1^{30}	9^{30}	7^{30}	1^{30}	9^{30}	7^{30}	1^{30}	9^{30}		
1	-5.8	-5.4	-6.9	-6.0	-3.1	558.5	560.9	563.1	100	100	100	WSW 1	WNW 2	W 1	10≡*	10≡◦	9≡	14.0	a ⋁ ⊹, ✳ n-$o^1/_2$, 5- *)
2	**-7.1**	-3.0	-6.8	-5.6	-2.9	562.7	563.0	562.9	88	97	74	WSW 1	ESE 1	SE 0	1	10≡	1	.	≡ $11^1/_4{}^a$-$2^1/_2{}^p$
3	-4.9	-0.8	-2.6	-2.8	-0.2	562.5	563.7	564.2	**48**	51	57	WNW 3	WNW 1	NW 1	1	4	1	.	≡ $4^1/_2$-7^p
4	-1.1	1.0	-0.5	-0.2	2.3	562.6	561.9	561.3	76	97	100	WNW 0	SW 1	N 0	1	10≡	10≡	1.2	≡ $1^1/_4$-$2^1/_2$, $7^1/_2{}^p$-n, n ✳
5	-2.8	-1.3	-3.1	-2.4	-0.1	560.6	561.7	563.3	100	100	98	NE 1	NE 0	W 1	10=*	10-*	10=*	1.9	✳ ≡
6	-3.8	-1.6	-5.2	-3.5	-1.3	563.5	563.8	563.5	98	100	100	NE 1	NE 0	W 1	10≡	10=	10≡	2.4	⋁ l, ≡, ✳ ⋁ $2^3/_4{}^p$-n, *)
7	-6.1	-5.1	-5.4	-5.5	-3.4	562.0	561.8	561.0	96	100	100	W 0	NNE 1	NE 2	4	10≡*	10≡*	2.6	≡ ✳ $8^3/_4{}^a$-n, ⋁, ⊹ *)
8	-3.0	-0.9	-1.1	-1.7	0.3	560.4	561.0	561.5	95	85	90	NE 1	NE 2	NNW 1	3	6	2	.	≡ $6^1/_2$-$6^3/_4$, $8^3/_4$-$9^1/_4{}^p$
9	-0.1	1.6	-2.0	-0.2	1.6	560.0	560.4	560.4	76	84	84	SSE 1	S 1	WSW 1	3	9	4	0.9	△° $2^1/_4$-3^p, K $2^1/_2$-3^p, *)
10	-1.2	1.2	-1.1	-0.4	1.3	560.3	560.7	561.1	95	86	100	SW 2	WSW 2	WSW 3	10≡	10≡	10≡	4.4	≡, △ $10^1/_2$-$10^3/_4{}^a$, 3-*)
11	-1.1	1.9	0.2	0.3	1.9	561.1	561.5	561.7	98	90	95	WNW 2	WSW 2	SSW 2	10≡*	6	9	0.8	✳° ≡ ⋁ n-$10^1/_4{}^a$, K *)
12	0.6	3.5	1.0	1.7	3.1	561.8	562.6	562.2	87	86	85	SW 1	SSW 1	SSW 2	9	9	4	0.2	△° $7^1/_4$-8^p
13	2.2	3.8	1.4	2.5	3.8	560.9	560.4	559.9	78	76	78	SSW 2	SSE 2	SSW 4	4	9	7	.	⊕ $10^1/_2{}^a$, ↙ III
14	2.1	3.9	2.4	2.8	4.0	559.9	560.4	560.5	82	78	82	SSE 2	SSE 2	SE 1	8	9	8	6.0	
15	1.4	5.0	2.4	2.9	4.0	559.8	559.9	559.4	95	90	94	SW 1	SSW 1	SSE 2	7	6	4	.	✳ n-$7^1/_4{}^a$, ≡ 4-$7^1/_4{}^p$
16	3.1	5.2	1.4	3.2	4.1	559.7	560.3	560.9	90	87	86	SSW 2	SSW 1	SW 2	4	10-	5	0.2	≡ $8^1/_2{}^a$-$4^1/_4$, $8^1/_4$- *)
17	1.6	4.4	0.9	2.3	3.1	560.4	560.4	559.8	81	86	100	SE 2	SE 1	ESE 1	9	10	10≡△	2.3	● ≡ $4^3/_4$-5^p, p K, ≡ *)
18	0.4	1.1	0.3	0.6	1.3	558.3	557.7	557.5	100	100	100	NE 2	NNE 2	NE 3	10-	10=	10≡△●	7.9	● $8^1/_2{}^a$-$2^3/_4{}^p$, △ ✳ *)
19	-3.4	-3.7	-5.6	-4.2	-3.6	557.9	558.1	558.0	100	100	97	NE 2	NE 1	NNE 0	10≡	10≡	1	1.4	≡ n-$9^1/_4{}^p$, △ $3^3/_4$-$6^1/_2{}^p$
20	-5.4	-3.7	-4.6	-4.6	-4.2	**557.3**	558.3	559.0	100	100	100	ENE 1	ENE 1	NE 1	10-	10=	7	0.4	△° $11^1/_4{}^a$-$1^1/_4$. $3^3/_4{}^p$, ≡ *)
21	-3.8	-1.6	-3.4	-2.9	-2.6	559.5	560.7	561.1	95	98	97	NE 1	NE 1	W 1	1	10≡	1	.	≡ $10^3/_4{}^a$-8^p
22	-2.4	-0.4	-3.2	-2.0	-1.9	561.0	561.8	562.2	96	95	92	WSW 2	WSW 2	W 2	8	9	1	.	≡ $10^1/_4{}^a$-$6^1/_2{}^p$
23	-2.6	-0.7	-1.7	-1.7	-1.7	561.7	562.4	563.6	98	98	100	WSW 1	WSW 2	WSW 2	10≡	10≡	10≡	9.9	⋁ l, III, ≡, n ⊹ ✳ ⋁
24	-2.0	-1.6	-1.9	-1.8	-1.9	564.4	565.7	**566.2**	100	98	98	WSW 2	WSW 1	WSW 3	10≡△	10-	10≡	3.4	a ⊹ △, ≡, ✳ $5^1/_2$- *)
25	0.4	2.7	1.6	1.6	1.4	565.4	564.7	563.8	97	97	100	NNW 2	NW 1	NNW 2	10≡	10≡	10≡	.	≡ n-$10^1/_2{}^a$, $0^1/_4{}^p$-n
26	1.2	3.4	2.1	2.2	1.9	561.9	562.3	563.0	96	98	100	WNW 2	W 2	WNW 2	9	10≡	10≡	3.6	≡ $9^1/_2{}^a$-n, ▲ 2^p, n △ ●
27	1.8	3.8	1.4	2.3	1.8	563.8	564.5	565.7	100	98	94	W 3	WSW 3	WNW 2	10≡	10=	3	1.2	≡ n-5, 8-$8^3/_4{}^p$, p K, *)
28	2.5	5.7	2.8	3.7	3.1	565.3	566.0	**566.2**	95	87	92	WSW 2	SW 1	SW 0	5	10≡	9	0.8	≡ $5^3/_4$-7, 9-$9^1/_4{}^p$, n ●°
29	3.7	**7.0**	3.8	4.8	4.1	564.3	564.5	564.0	83	81	85	SSE 1	SSW 1	SSE 1	8	7	5	0.2	
30	5.3	6.7	4.7	5.6	4.8	563.2	563.5	563.7	80	82	98	ESE 0	SE 0	SE 0	6	9	9	**19.9**	△ $8^1/_2{}^p$-n
31	3.1	3.8	2.0	3.0	2.1	562.9	562.8	563.1	98	92	100	NE 2	NNE 1	ENE 1	9	7	10≡	9.8	≡ 8-$10^1/_2{}^a$, $4^1/_4{}^p$-n, ●
																		Summe	$9^1/_4$-$11^3/_4{}^a$, $4^1/_4$-$4^3/_4{}^p$, K
Mittel	-0.9	1.2	-0.9	-0.2	—	561.4	561.8	562.1	91	91	93				7.1	9.0	6.8	95.4	$10^1/_2{}^a$, p, △ $4^1/_4$-$5^1/_2{}^p$

*) **1.** 9^p, ✳ △ $1^1/_4$-$3^1/_4{}^p$, ≡ n-$3^1/_4$, 5^p-n *) **6.** ⊹ $8^1/_2{}^p$-n *) **7.** 9-11^a, $3^1/_4{}^p$-n *) **9.** ✳ ≡ 3-$5^3/_4{}^p$ *) **10.** $3^3/_4{}^p$, p K, ✳ $6^1/_2$-$8^1/_4{}^p$, ⋁ III *) **11.** ✳° $3^3/_4$-5^p *) **16.** $8^3/_4{}^p$, K △° 1-$2^1/_2{}^p$, ∠° III *) **17.** $7^3/_4{}^p$-n, △ 9^p-n *) **18.** $9^3/_4$-$11^1/_4{}^a$, △ $2^3/_4$-5^p, ✳ $3^3/_4$-$4^1/_4{}^p$, ≡, △ ✳ ● ⊹ 5^p-n *) **20.** n-$9^1/_2{}^p$, ⋁ *) **24.** $8^3/_4{}^p$, ⋁ III *) **27.** △ 4-$5^1/_4{}^p$, ⌒° $5^1/_2$, $6^1/_2{}^p$

Mai 1911.
Beobachter: *D. Dittli.*

St. Gotthard (Hospiz).

$\lambda = 8^\circ 34'$, $\beta = 46^\circ 33'$,
$Hb = 2102.9^m$, $G = -0.14\,m/m$.

1	-3.8	-3.1	-4.2	-3.7	-3.2	587.1	589.3	591.7	97	91	98	N 2	N 4	N 3	9≡	10≡	10≡	1.3	≡ ✳, ↙^{2} II, p ↙, ≡^{2} III
2	**-4.4**	0.4	-2.6	-2.2	-1.9	591.6	591.5	591.6	96	50	67	N 2	N 2	N 2	2	0	0	.	
3	-0.8	3.0	0.0	0.7	0.9	591.4	591.9	592.3	**26**	30	86	N 3	NNW 2	N 2	0	1	2	.	↙ I
4	0.0	5.3	1.8	2.4	2.5	590.9	590.2	589.1	62	37	92	N 2	N 1	N 1	0	2	10≡	1.5	≡^{2} III-n, n ✳
5	-1.1	-0.5	-1.2	-0.9	-0.9	588.8	589.9	591.3	100	99	100	N 2	N 3	N 4	10≡	10≡	10≡	3.6	≡^{2} ✳, p ↙, ↙^{2} III
6	-1.0	0.2	-2.1	-1.0	-1.1	591.8	592.1	591.9	98	92	97	N 2	N 3	N 3	10≡	10≡	10≡	7.0	≡^{2} ✳, p ↙
7	-3.0	-1.9	-3.1	-2.7	-2.9	590.5	590.1	589.4	96	76	97	N 2	N 3	N 4	5	7≡	10✳	3.0	≡ n-p, ⊹ ✳, p ↙, ↙^{2} III
8	-2.0	3.3	0.7	0.7	0.3	588.4	589.1	589.9	98	53	81	N 1	N 1	S 1	8	10	10≡	.	≡ III
9	0.9	5.0	0.2	2.0	1.5	588.3	589.3	589.2	65	57	97	SSW 0	S 1	S 1	1	10≡	10≡	2.6	p ≡, n ✳
10	1.4	6.9	1.7	3.2	2.6	588.8	589.2	590.0	60	49	100	S 0	S 1	S 1	2	8	10≡	0.5	●° $6^1/_2$-$7^1/_4{}^p$, ≡^{2}-n
11	2.0	7.6	2.4	4.0	3.3	590.0	590.2	590.6	87	46	89	S 1	S 1	SSE 2	9≡	9	10≡	3.8	≡ l, III, ● $3^1/_4$-4, $6^3/_4$-7^p
12	1.6	4.0	3.2	2.9	2.0	590.4	591.2	591.0	100	78	70	S 1	S 1	SSE 1	10≡●	10≡	8	0.7	●° n-11^a, ≡^{2} n-II
13	2.9	3.1	3.3	3.1	2.1	589.6	589.6	589.2	80	74	87	SSE 1	S 1	S 1	10	10●	10	7.1	● o^p-p
14	2.5	5.1	0.5	2.7	1.6	588.4	588.5	589.1	97	71	100	SSE 1	SE 2	S 1	10-	10=	10*	19.1	≡^{2} n-II, ● $2^1/_2$-7^p, ✳-n
15	2.9	6.8	3.2	4.3	3.1	587.7	588.0	587.6	86	61	81	SE 0	S 1	S 2	10	10●	10●	7.2	● 1^p-n
16	2.3	6.3	2.2	3.6	2.3	587.9	588.8	589.5	75	61	94	SSE 0	SSE 1	SSE 1	10*	10●	10●	8.4	✳ 7-$8^1/_4{}^a$, ● [$7^1/_4{}^p$
17	3.2	4.8	3.0	3.7	2.3	588.5	588.6	587.9	86	74	95	SSE 1	S 1	SSE 1	10-	10=	10=	3.8	≡ l, ≡^{2}, ● $8^1/_4{}^a$-$0^1/_4{}^p$, ●°
18	1.4	2.4	0.9	1.6	0.1	585.8	585.1	**584.9**	100	100	100	N 1	N 4	N 3	10≡	10≡	10●*	**20.4**	≡^{2}, p n ↙^{2}, ● ✳ 7^p-n
19	0.0	-0.4	-1.2	-0.5	-2.2	585.0	585.6	585.8	100	90	99	N 4	N 5	N 5	10●*	10	10-	0.4	●° ✳° ⊹ l, ↙^{2}, ≡^{2} III-n
20	-2.9	-0.4	-1.3	-1.5	-3.3	585.1	586.2	587.5	97	97	99	N 3	N 2	N 3	10≡	4	10≡	0.4	≡ ↙ l, III, ⊹° ✳° 9-10^p
21	-1.2	4.0	0.4	1.1	-0.8	587.8	588.7	589.7	75	62	97	N 2	S 1	S 1	3	6	10≡	.	≡ III
22	-0.2	4.0	0.8	1.5	-0.5	589.5	590.0	590.4	90	58	80	N 2	N 2	N 3	5	3	10	.	↙ III-n
23	0.4	4.3	0.7	1.8	-0.3	589.9	590.5	591.4	81	43	100	N 3	N 3	N 3	6	10	10≡	.	↙, ≡^{2} III
24	2.1	3.0	1.6	2.2	0.0	592.3	593.3	**594.4**	56	65	99	N 6	N 4	N 3	10	10	10≡	0.9	↙^{2}, ≡^{2} ↙ III, n ●°
25	3.8	7.6	4.6	5.3	2.9	593.8	592.6	591.8	74	57	90	N 1	N 2	NNW 1	0	3	10	0.2	
26	3.4	2.4	0.0	1.9	-0.6	590.6	591.3	592.2	98	96	99	SSE 2	S 2	S 1	10≡	10≡	10	8.2	≡^{2} n-p, ● ✳ $3^3/_4$-$4^3/_4{}^p$,
27	4.4	8.8	4.4	5.9	3.3	592.5	593.1	594.1	60	47	84	S 0	NNW 0	NNW 1	10●	5	5	4.1	● $7^1/_4$-$9^1/_4{}^a$ [✳-$8^1/_2{}^p$
28	6.4	9.4	4.9	6.9	4.2	593.7	594.2	594.2	60	67	89	NNW 0	S 1	S 1	4	9	7	6.5	● 5-$6^1/_2{}^p$
29	4.6	5.8	3.9	4.8	2.0	592.9	593.0	592.5	90	80	82	SSE 1	S 1	S 0	10●	10≡	8	0.4	●° $7^1/_4$-$7^1/_2{}^a$, ≡ II
30	5.9	9.2	5.0	6.7	3.8	591.3	591.7	591.3	70	61	97	S 0	S 1	N 2	10	10	7	.	
31	5.1	**11.0**	5.3	7.1	4.0	590.5	590.2	591.0	90	50	90	N 2	N 1	N 1	9	5	10	0.1	
																		Summe	
Mittel	1.2	4.1	1.3	2.2	—	589.7	590.1	590.4	82	67	92				7.2	7.8	8.9	111.2	

$\lambda = 7^\circ 26'$, $\beta = 46^\circ 57'$,
$Hb = 572.2^m$, $G = 0.05\,{}^m/_m$.

Bern.

Juni 1911.
Tellur. Observatorium.

Tag	Lufttemperatur 7h30	1h30	9h30	Mittel	Abweich. vom Normalst.	Luftdruck 7h30	1h30	9h30	Relative Feuchtigkeit 7h30	1h30	9h30	Windrichtung und Stärke 7h30	1h30	9h30	Bewölkung 7h30	1h30	9h30	Niederschlag	Witterung
1	14.0	19.3	15.6	16.3	2.1	711.2	711.9	713.5	86	61	87	N 0	NE 1	N 0	10	4	7	10.0	☴ III
2	13.9	18.4	13.4	15.2	0.9	715.5	715.2	715.4	95	70	95	E 0	SW 0	SW 0	9	9	10●	4.8	⊼● 3–3½ª, ● 11¼ª–0½,
3	15.4	20.9	13.9	16.7	2.3	714.9	713.0	714.2	85	58	85	SW 0	NE 0	SW 1	7	9	10●	1.7	● 2–4ᵖ, III–n [9ᵖ–n
4	14.2	20.4	15.5	16.7	2.1	715.1	715.5	716.5	89	56	86	SE 0	E 0	E 0	5	9	2	.	
5	16.2	24.1	17.2	19.2	4.5	718.1	717.0	717.8	67	34	76	S 0	NE 0	E 0	1	4	6	.	
6	16.5	22.7	18.6	19.3	4.5	717.8	717.4	717.7	74	35	49	NE 1	E 3	SE 0	1	1	0	.	⊿ I, ↙ II
7	17.7	24.6	18.1	20.1	5.2	719.1	718.3	718.0	63	38	59	E 0	NE 0	NE 0	1	1	1	.	⊿ I
8	17.3	**25.6**	19.4	20.8	5.8	717.6	715.3	713.3	68	33	60	SE 0	W 0	N 0	1	1	3	.	⊿ I
9	16.6	25.4	13.9	18.6	3.5	710.4	707.0	708.0	76	**30**	94	S 0	W 1	S 0	3	3	10●	13.5	⊼° 6³/₄ᵖ, ●–n
10	13.0	16.2	9.8	13.0	−2.2	706.0	705.6	707.8	95	81	94	SE 0	N 1	N 0	10●	10	10	5.3	● n–11½ª
11	10.9	17.7	12.2	13.6	−1.7	710.0	709.7	710.2	72	41	70	NNE 1	NE 0	NE 0	3	4	3	.	
12	12.1	18.1	14.0	14.7	−0.8	709.7	708.8	708.4	75	36	67	S 0	SW 0	E 0	5	6	3	.	⊿ I
13	12.8	15.9	11.5	13.4	−2.2	706.4	704.6	**703.9**	81	68	96	SSE 0	N 0	N 0	10	10●	10●	**18.0**	● 1ᵖ–n
14	10.3	9.8	**8.8**	9.6	−6.1	708.0	709.6	713.8	93	92	71	S 0	SW 1	SW 0	10	10●	6	3.4	● 10–11, 11½ª–4¹ ½ᵖ
15	10.3	14.8	9.7	11.6	−4.2	715.2	715.5	717.5	65	32	70	W 0	SW 2	SW 0	5	4	2	.	↙ II
16	10.0	17.9	14.0	14.0	−1.9	716.9	716.1	715.5	65	43	69	E 0	NW 0	SW 0	5	9	8	.	
17	13.8	22.2	19.2	18.4	2.4	713.6	711.9	710.8	75	51	79	SE 0	SE 0	SW 0	9	4	8	0.3	●° 1ᵖ, ⊀ III–n
18	18.4	24.2	13.8	18.8	2.7	710.4	709.3	713.1	73	42	95	S 0	SW 1	SE 0	8	6	10●	12.0	●° 8³/₄ª, ● 5³/₄ᵖ–n
19	15.6	17.5	13.1	15.4	−0.8	708.9	708.9	711.7	88	75	92	E 1	NE 0	SW 0	9	10●	7	16.6	● ≈, 1¼–6ᵖ
20	13.7	15.7	11.4	13.6	−2.7	712.1	712.9	716.1	70	62	82	W 0	SW 1	S 0	4	7	4	2.9	● 5ᵖ–III
21	13.0	17.4	14.0	14.8	−1.6	717.9	717.5	717.7	77	47	73	SE 0	NE 0	E 0	3	7	4	.	
22	13.6	20.8	16.9	17.1	0.6	717.3	715.8	715.2	71	41	76	SE 0	SW 0	SW 0	1	2	3	.	⊿ I
23	15.8	23.1	15.1	18.0	1.5	713.7	710.9	710.2	76	42	95	SE 0	NE 0	SE 0	7	4	9●	3.7	● 6½ᵖ–n
24	13.7	13.6	12.3	13.2	−3.4	708.2	711.2	712.4	97	87	96	N 0	W 0	SE 0	10	10●	10●	13.4	●
25	12.5	14.0	11.8	12.8	−3.9	712.0	712.2	713.2	97	82	97	SE 0	SW 0	SW 0	10	10	10●	5.3	● 1³/₄ᵖ–n
26	12.5	17.0	13.4	14.3	−2.5	714.4	714.0	715.4	75	49	65	SW 0	SW 0	SW 0	8	8	7	.	
27	11.2	13.8	9.7	11.6	−5.3	716.5	717.9	721.1	71	52	88	SW 0	WSW 0	NE 0	10	8	7	.	●° 7½–9ª
28	12.7	18.2	13.8	14.9	−2.1	**722.7**	721.9	721.6	74	40	75	SE 0	E 0	NW 0	2	1	1	.	⊿ I
29	13.6	23.2	17.1	18.0	1.0	721.0	719.5	718.6	71	37	67	SE 0	W 0	N 0	1	1	0	.	⊿ I
30	16.2	24.6	16.6	19.1	2.0	715.3	712.5	711.5	64	40	84	SE 0	WSW 2	ENE 0	2	8	10●	6.1	↙ II, ● 8½ᵖ–n
																		Summe	
Mittel	13.9	19.2	14.1	15.8	—	713.9	713.2	714.0	78	52	80				5.7	6.0	6.0	117.0	

$\lambda = 6^\circ 57'$, $\beta = 47^\circ 0'$,
$Hb = 487.3^m$, $G = 0.06\,{}^m/_m$.

Neuenburg.

Juni 1911.
Observatorium.

1	15.2	23.2	16.4	18.3	2.4	718.1	718.9	720.5	84	63	78	NE 1	E 1	NW 1	9	5	7	13.0	☰° III [2½, 7³/₄ᵖ–n, ⊀ III–n
2	15.3	16.2	13.8	15.1	−0.9	722.6	722.2	722.6	97	93	98	N 1	NW 1	NW 1	10●	9●	10●	14.3	☰° I, ⊼ n–I, 7½–8ᵖ, ● n–
3	14.4	21.4	14.8	16.9	0.8	722.2	720.2	721.3	91	70	92	N 0	S 1	SW 1	10	6	10	0.6	●° III, n
4	16.1	21.3	18.2	18.5	2.3	722.2	722.6	723.1	86	66	63	SE 0	SE 1	NW 1	8	8	7	.	
5	19.1	24.4	17.5	19.3	3.0	725.1	724.0	724.6	83	61	85	NE 1	SE 1	N 1	0	7	8	.	
6	17.7	24.1	19.1	20.3	3.8	724.8	724.4	724.5	68	41	56	E 2	NE 3	NE 1	5	1	0	.	↙ II
7	16.2	26.3	21.6	21.4	4.8	726.3	725.7	724.9	74	45	40	SE 1	SE 1	NE 1	3	0	0	.	
8	16.4	**27.8**	20.4	21.5	4.8	724.7	722.4	720.2	85	48	62	NE 1	SE 1	N 1	0	1	3	.	
9	17.2	26.2	13.8	19.1	2.3	717.5	713.9	714.6	79	56	95	SW 1	SW 1	NW 1	6	6	10●	**38.3**	⊼ ▲° 2ᵖ, ●² ↙ 2¹ ¼ᵖ–n
10	14.0	17.4	11.2	14.2	−2.7	712.7	712.5	715.0	95	90	87	NW 0	NE 1	NE 1	10	9	10	4.4	☰° I, ● n–1ᵖ
11	13.8	19.2	14.2	15.7	−1.3	716.9	716.9	717.1	76	55	58	E 1	SE 1	NE 1	4	4	0	.	
12	13.0	20.3	13.8	15.7	−1.5	716.9	715.9	715.3	77	50	71	NE 1	S 1	N 1	2	4	7	.	☰° III
13	12.4	15.9	11.6	13.3	−4.0	713.6	711.8	**710.7**	87	75	96	NE 1	NE 1	N 1	10	10●	10●	18.3	a ●°, p n ●
14	11.5	12.0	**8.8**	10.8	−6.6	715.1	716.8	720.8	90	68	69	SW 1	SW 2	NW 1	10	10	0	1.0	● n–4ᵖ
15	9.8	14.0	9.8	11.2	−6.3	722.4	723.0	724.5	67	45	70	NW 1	NW 2	N 1	8	5	2	.	
16	11.5	18.1	13.4	14.3	−3.3	724.1	723.6	722.8	74	56	76	E 1	SE 1	N 0	7	9	10	.	
17	12.0	21.1	19.2	17.6	−0.1	720.7	719.1	717.5	89	63	77	SW 0	SW 1	N 0	10	6	10	.	[9–10½ᵖ
18	17.5	24.2	14.2	18.6	0.8	717.3	716.0	720.2	86	51	99	W 1	SW 2	N 1	9	7	9●	8.9	↙² 2½–6¹ ½ᵖ, ● 5ᵖ–n, ⊼
19	14.2	15.3	12.8	14.1	−3.8	716.3	716.2	718.6	98	92	92	NE 1	SW 1	NW 1	10	10	8	13.6	⊼● 8½–10ª, 0½–5½ᵖ
20	14.1	17.1	11.8	14.3	−3.7	718.9	720.0	723.0	62	64	85	NW 2	SW 2	NW 1	3	6	3	1.4	● 11ª–6½ᵖ, n
21	13.8	19.1	15.0	16.0	−2.1	725.0	724.7	724.6	82	59	60	W 1	SW 1	N 2	3	7	0	.	↙ 7ᵖ–n
22	14.0	22.1	16.3	17.5	−0.7	724.5	723.1	722.0	83	50	76	E 1	SW 1	NW 0	0	1	0	.	
23	15.0	24.4	16.9	18.8	0.5	720.6	718.1	717.1	89	60	73	NW 0	S 1	NW 0	7	7	10	1.5	☰° I, n ●
24	14.2	13.6	12.7	13.5	−4.9	715.1	717.9	719.5	95	77	98	SW 0	W 2	N 0	10	10●	10	26.2	●
25	12.3	13.3	12.1	12.6	−5.9	719.1	719.2	720.4	99	96	99	SE 0	S 1	NW 1	10●	10●	10	17.0	●ˣ n–7ᵖ
26	13.2	17.8	13.2	14.7	−3.9	721.3	721.1	722.2	86	59	75	N 1	SW 2	NW 1	8	7	3	.	
27	12.1	14.3	10.0	12.1	−6.6	723.3	725.0	728.3	69	58	80	SW 2	NW 3	NW 1	10	7	10	.	↙ II
28	13.4	19.8	16.4	16.5	−2.3	**730.0**	729.2	728.6	74	53	60	E 1	S 1	N 1	1	1	0	.	
29	14.2	22.8	17.3	18.1	−0.8	728.5	726.7	724.6	80	52	**39**	E 1	S 1	N 1	0	0	0	.	
30	15.0	23.0	19.6	19.4	0.5	722.2	719.7	718.1	83	59	59	N 1	SW 3	NW 3	3	9	10	2.7	p ↙, ●° 7³/₄ᵖ, n●
																		Summe	
Mittel	14.2	19.9	14.9	16.3	—	720.9	720.4	720.9	83	62	76				6.2	6.1	5.9	161.2	

Juni 1911.
Beobachter: Frl. *H. Nager.*

Altdorf.

$\lambda = 8° 39'$, $\beta = 46° 53'$,
$Hb = 456.3^m$, $G = 0.05^{m}/_{m}$.

Tag	Lufttemperatur					Luftdruck			Relative Feuchtigkeit			Windrichtung und Stärke			Bewölkung			Niederschlag	Witterung
	7^{30}	1^{30}	9^{30}	Mittel	Abweich. vom Normalst.	7^{30}	1^{30}	9^{30}	7^{30}	1^{30}	9^{30}	7^{30}	1^{30}	9^{30}	7^{30}	1^{30}	9^{30}		
1	16.5	18.6	16.5	17.2	2.4	720.8	722.1	723.8	76	70	95	NE 0	NW 1	NW 0	6	4	10	.	
2	15.7	21.4	15.0	17.4	2.5	725.3	724.8	724.9	85	50	90	SE 0–1	NW 0	NW 0	10	10	8	0.3	n ($^2/_8$) ●°
3	16.2	22.0	16.8	18.3	3.3	724.9	722.6	723.7	80	50	67	SE 0	NW 0	NW 0	10	5	5	2.5	
4	14.8	23.3	14.8	17.6	2.5	726.0	725.0	726.8	98	74	90	NW 0	NW 0	NW 0	10	7	8	0.4	● n–l, ●°
5	15.8	22.6	15.0	17.8	2.6	727.9	727.0	728.5	65	50	100	SE 0	W 0	NWo–1	0	5	10	4.9	⛆ ● 9–10ᵖ
6	14.8	23.0	15.7	17.8	2.5	728.1	727.9	727.9	83	49	75	SE 0	N 1	SE 0	0	5	0	.	
7	14.8	22.8	17.3	18.3	2.9	729.1	728.3	728.2	74	50	70	SE 0	NW 1	NW 0	0	1	0	.	
8	16.5	23.4	18.8	19.6	4.1	727.5	725.5	723.2	72	50	56	SE 0	N 1	SE 0	0	4	0	.	
9	17.4	23.0	14.7	18.4	2.8	720.2	717.6	718.1	75	54	100	S 0	N 1	SE 0–1	2	5	10	31.4	⛆² $4^3/_4$–$6^3/_4$ᵖ, ▲ $5^1/_2$–$6^1/_4$ᵖ,
10	14.8	16.4	13.0	14.7	−1.0	716.0	716.5	717.6	99	80	85	NW 0	NW 1	NWo–1	10	10	10	4.6	● [●² 5^p–n
11	12.8	18.4	14.8	15.3	−0.5	719.7	719.1	720.3	78	45	70	NW 0	NW 1	NW 0	10	5	9	.	
12	16.8	18.9	13.0	16.2	0.3	720.4	720.2	718.7	50	85	90	NW 1	NWo–1	SE 0	9	10	10	1.2	● $2^3/_4$ᵖ
13	13.5	18.4	14.8	15.6	−0.4	716.2	714.3	**713.0**	75	55	82	SE 0	N 0	NWo–1	10	10	10	9.8	n ($^{13}/_{14}$) ●
14	11.0	11.8	**7.3**	10.0	−6.1	717.9	719.5	724.2	96	80	94	SE 0	N 0	NWo–1	10	10	10	9.3	p ●, ⛆ $8^1/_2$–$8^3/_4$ᵖ
15	10.1	13.0	10.8	11.3	−4.9	724.6	726.2	727.3	85	49	82	SE 1	W 0	NW 0	10	10	10	0.1	
16	11.3	16.8	15.0	15.0	−1.3	726.8	726.5	725.3	62	49	88	SW 0	N 0	NWo–1	8	5	10	0.1	
17	14.7	21.0	21.2	19.0	2.6	723.2	722.4	720.2	85	60	47	NW 0	E 0	NWo–1	8	8	3	.	
18	18.8	23.0	14.7	18.8	2.4	719.5	719.6	724.8	62	52	100	NWo–1	W 0	SE 1	5	5	10	25.7	●² $3^3/_4$ᵖ–n
19	15.0	19.4	14.4	16.3	−0.2	720.3	719.0	721.6	94	65	100	SW 0	N 2	NW 0	6	5	10	15.1	● III–n
20	13.4	17.0	12.2	14.2	−2.4	721.1	722.3	726.2	85	70	100	NE 0–1	E 0	SE 0–1	10	6	10	12.7	●
21	12.7	17.2	14.1	14.7	−2.0	728.4	728.3	728.0	84	45	67	SE 0	N 0	SE 0–1	10	6	3	0.6	●° I
22	12.0	20.4	16.8	16.4	−0.4	727.2	726.9	725.2	83	55	77	SE 0	N 1	SE 0	0	4	5	.	
23	17.3	**25.6**	20.5	20.4	3.6	722.9	720.4	719.8	65	**32**	39	SE 0	SE 2	SE 1–2	3	7	10	.	
24	22.2	22.2	15.2	19.9	3.0	716.9	719.7	722.8	40	40	85	SE 2–3	NW 1	NWo–1	10	5	10	0.1	⛈ I, ●° III
25	15.2	18.0	13.8	15.7	−1.3	722.1	722.8	724.0	85	70	100	SE 0	S 0	NW 0	10	10	10	**47.6**	p n ●²
26	11.5	15.2	12.3	13.0	−4.0	724.7	725.4	726.1	75	75	100	E 0	S 0	NW 0	9	10	10	11.7	p n ●
27	12.8	13.5	10.3	12.2	−4.9	726.0	728.5	732.2	93	70	100	S 0	N 1	NWo–1	10	10	10	6.9	☰° n–ll. ●
28	10.8	17.6	13.2	13.9	−3.3	**732.9**	732.5	732.2	86	49	88	SE 0	W 1	SE 0	4	3	0	.	
29	11.5	22.3	17.0	16.9	−0.3	732.4	731.1	728.1	100	72	77	SE 0	SE 0	SE 0	0	0	0	.	
30	15.8	23.8	21.3	20.3	3.0	724.7	722.2	721.6	75	45	93	SE 0	NW 1	NW 0	2	3	10	1.1	n ($^{30}/_1$) ●
																		Summe	
Mittel	14.5	19.7	15.0	16.4	—	723.8	723.5	724.1	79	58	84				6.4	6.3	7.4	186.1	

Juni 1911.
Observatorium.

Genf.

$\lambda = 6° 9'$, $\beta \equiv 46° 12'$,
$Hb = 405.0^m$, $G = 0.02^{m}/_{m}$.

1	15.7	21.6	18.3	17.5	2.2	725.6	725.8	728.3	89	51	80	N 1	N 1	WNW 1	9	5	10●	0.6	⛆ $7^3/_4$ᵖ, ● $8^1/_2$ᵖ–n
2	16.9	17.0	14.8	16.3	0.8	729.7	729.5	729.9	81	93	84	NW 1	N 1	N 1	10	8	8	4.8	●°, ⛆ $o^1/_4$, $4^3/_4$ᵖ, ● 7–8ᵖ
3	12.8	20.1	13.1	14.9	−0.7	729.7	727.5	728.5	94	54	97	W 0	N 1	NE 1	10≡	3	6	5.5	a ≡, ⛆ $3^1/_2$, $4^1/_2$ᵖ, ● 3–$8^1/_2$ᵖ
4	14.9	20.1	18.2	16.9	1.2	729.9	730.9	730.7	88	60	80	WNW 0	N 1	N 1	2	7	1	.	
5	15.9	22.8	18.9	18.6	2.8	732.6	731.5	731.4	79	53	76	N 1	N 1	NNW 1	1	7	4	.	a ⌓
6	17.4	23.0	19.3	19.3	3.4	731.8	730.5	730.9	70	48	60	NNE 1	NNE 2	NNE 1	3	1	0	.	a ⌓, ⛈ II
7	17.1	22.3	20.5	19.4	3.3	733.7	732.9	732.3	68	45	65	NNW 1	N 1	N 0	1	1	0	.	a ⌓
8	17.5	23.9	20.4	19.8	3.6	731.9	729.8	727.4	70	46	71	NNW 1	N 1	SE 1	0	1	4	.	⍊ $8^1/_2$–10ᵖ
9	18.7	22.9	15.9	18.2	1.9	724.8	721.6	721.8	73	50	86	E 0	N 1	NNE 1	0	7	10	2.1	a ⌓, p ⛆, ● $5^1/_2$, 8–$8^1/_2$ᵖ, n
10	14.9	14.7	13.0	14.6	−1.8	720.0	720.0	721.7	93	99	90	N 1	N 1	NNE 2	10	10●	10	7.6	● $7^1/_4$, 10^a–4, $7^1/_2$–$8^1/_2$ᵖ, ⛈ [III
11	13.5	16.8	15.6	15.0	−1.5	724.3	724.1	724.4	66	54	56	N 1	NNE 1	NNE 1	3	2	3	.	
12	12.9	19.4	16.5	15.5	−1.1	724.2	723.4	722.4	70	37	69	W 0	N 1	N 1	3	4	9	.	a ⌓
13	14.7	13.9	13.3	13.7	−3.0	720.8	719.2	**718.2**	77	85	93	NNW 0	NNW 1	NNW 1	10	10●	9	18.6	● $9^1/_2$ᵃ–$6^1/_2$ᵖ
14	11.7	13.5	13.0	12.5	−4.3	723.3	725.5	729.3	90	58	45	W 1	WSW 1	NW 1	4	9	8	2.2	● 9–$10^1/_4$ᵃ
15	11.9	18.9	13.1	13.1	−3.8	730.4	730.3	731.6	71	**29**	55	W 0	SW 1	NNE 1	2	5	1	.	a ⌓
16	**10.4**	15.3	14.0	12.6	−4.4	731.7	731.6	730.5	72	48	79	NE 1	N 1	NW 0	7	10	7	.	a ⌓
17	14.1	22.7	20.2	18.3	1.2	728.3	726.8	725.4	79	48	61	NW 1	SSW 1	SSW 1	10	8	3	.	a ⌓
18	19.3	24.7	15.7	19.6	2.4	725.1	724.3	727.4	58	34	89	SSW 1	SSW 2	NNW 1	6	8	10	2.7	⛈ II, ● $5^3/_4$–$6^3/_4$ᵖ, n
19	15.1	18.3	13.9	15.5	−1.8	723.1	724.0	726.8	92	70	88	N 1	WSW 1	WNW 1	9	10	4	4.9	⛆ II, ● $o^3/_4$. 4–$5^1/_2$ᵖ
20	15.1	18.3	12.4	14.9	−2.5	727.2	728.6	731.3	56	51	86	SSW 1	W 1	ESE 1	2	8	7	0.6	●° $3^1/_2$–$4^1/_4$, $7^3/_4$–8^p
21	14.0	17.2	15.2	14.8	−2.7	732.6	732.4	732.1	73	45	74	ESE 0	NNE 1	NNE 1	2	3	1	.	
22	14.6	19.6	18.2	16.8	−0.8	732.1	730.7	729.8	73	48	65	W 0	N 1	SW 1	1	1	2	.	a ⌓, ◐ o^p
23	16.6	24.8	18.5	18.4	0.8	728.0	725.5	724.2	74	44	64	SW 1	W 1	W 1	5	8	10	2.8	a ⌓, ◐ o^p, n ●
24	15.0	16.3	13.7	15.3	−2.4	723.1	726.3	727.0	87	60	88	SSW 1	SSW 1	SSW 1	10	10	10	11.3	● 10^a, $6^1/_2$–7, $9^1/_4$–$10^3/_4$ᵖ
25	12.2	13.0	12.4	12.5	−5.3	726.7	727.1	728.3	99	95	97	NW 0	W 1	WSW 0	10●	10●	9	**19.2**	● n–5^p
26	13.3	19.8	14.2	15.4	−2.5	729.3	729.0	730.3	85	41	63	SSW 0	WSW 1	SSW 1	4	6	2	.	
27	14.3	18.3	13.0	14.7	−3.3	731.7	732.9	735.7	53	43	65	SSW 1	WSW 1	NE 1	8	7	5	.	
28	11.9	18.3	10.4	14.8	−3.2	**737.4**	736.5	736.1	70	41	69	NNW 1	N 2	N 0	1	1	0	.	⌓ a, III. ⛈ II
29	15.0	20.6	19.5	16.9	−1.2	736.1	734.2	731.9	70	51	61	NNE 0	N 1	N 0	0	1	0	.	⌓ a, III
30	17.2	**26.5**	21.8	20.7	2.5	729.9	727.9	726.9	75	35	53	NW 0	SSW 2	W 1	5	7	10	.	a ⌓, ⛈ II
																		Summe	
Mittel	14.8	19.5	16.1	16.2	—	728.5	728.0	728.4	76	54	74				4.9	5.9	5.4	82.9	

Die Temperatur-Tagesmittel von Genf resultieren aus 8 Beobacht. in dreistünd. Zeitintervallen. — Die Beobachtungstermine sind 7^{35a}, 1^{35} u. 9^{25p}.

$\lambda = 8^{\circ}\,33'$, $\beta = 47^{\circ}\,23'$,
$Hb = 493.2^{m}$, $G = 0.08\,{}^{m}/_{m}$.

Zürich.

Juni 1911.
Meteorol. Centralanstalt.

Tag	Lufttemperatur					Luftdruck			Relative Feuchtigkeit			Windrichtung und Stärke			Bewölkung			Niederschlag	Witterung
	7^{30}	1^{30}	9^{30}	Mittel	Abweich. vom Normalst.	7^{30}	1^{30}	9^{30}	7^{30}	1^{30}	9^{30}	7^{30}	1^{30}	9^{30}	7^{30}	1^{30}	9^{30}		
1	13.7	19.0	15.0	15.9	1.0	718.2	719.3	720.5	91	68	90	NE 1	E 1	E 0	10	9	2	.	
2	13.4	21.3	14.8	16.5	1.5	722.6	721.9	721.4	96	60	96	NW 0	E 1	S 0	10●	4	7	0.7	●° $7^{1}/_{4}$–$10^{3}/_{4}{}^{a}$, $3^{1}/_{4}{}^{p}$
3	15.6	25.2	15.8	18.9	3.8	721.9	720.0	720.9	85	43	90	SE 0	NE 0	NW 0	4	4	10●	13.2	●° 4^{p}, ⛆● $6^{3}/_{4}{}^{p}$–n
4	15.0	22.2	14.4	17.2	2.0	722.2	722.2	723.4	91	61	89	S 1	SW 1	E 0	9●	6	1	1.5	●° l, ● ⌒² 7–$7^{3}/_{4}{}^{p}$
5	14.0	24.2	15.6	17.9	2.6	724.9	724.2	725.1	96	51	80	N 1	NE 1	SE 1	0	6	7	0.1	
6	13.7	25.4	16.4	18.5	3.0	725.4	725.3	725.3	89	42	67	NE 0	NE 1	NE 1	1	2	0	.	
7	16.0	26.6	19.1	20.6	5.0	726.0	725.6	724.9	69	**27**	47	E 0	E 1	NE 1	1	0	0	.	
8	15.8	**26.7**	18.4	20.3	4.6	724.7	722.3	720.4	77	38	54	E 0	NE 1	NE 1	0	1	2	.	
9	15.6	25.0	14.6	18.4	2.6	717.2	713.8	714.1	84	46	90	W 0	SW 1	SE 1	1	8	10●	3.3	⛈ 6^{p}–III, ⛆● $6^{3}/_{4}{}^{p}$–n
10	14.6	11.9	10.7	12.4	−3.5	712.9	713.7	715.1	94	95	85	S 0	NE 1	NE 1	10●	10	10	11.3	● l–$1^{1}/_{4}{}^{p}$, p ⛈
11	10.1	18.0	11.7	13.3	−2.7	717.1	716.9	717.1	77	38	75	NE 0	NW 1	NE 0	1	5	1	.	
12	10.4	18.5	13.2	14.0	−2.1	716.9	715.8	715.6	72	37	77	N 0	NE 0	E 1	4	5	1	0.1	n ($^{12}/_{13}$) ●°
13	12.8	18.8	11.8	14.5	−1.7	713.6	711.8	**710.6**	81	48	100	E 0	NE 1	W 1	8	8	10●	20.6	●° 8^{a}, $1^{3}/_{4}$–7^{p}, ●^{2}–n
14	10.1	12.2	**8.4**	10.2	−6.1	714.4	715.5	720.2	100	72	70	W 1	W 2	SW 1	10●	10●	2	5.8	● n–$8^{3}/_{4}{}^{a}$, o–$3^{1}/_{2}{}^{p}$, ⛆● *)
15	9.1	15.4	12.2	12.2	−4.2	721.5	722.0	723.9	67	39	51	W 1	W 2	W 1	4	5	10	.	⛈
16	10.9	19.3	15.4	15.2	−1.3	724.3	723.1	722.2	74	38	60	E 0	E 1	W 1	6	7	9	0.2	●° $9^{1}/_{2}{}^{p}$, n [⛆●–$0^{3}/_{4}{}^{a}$
17	16.6	21.6	19.2	19.1	2.5	720.2	718.9	717.4	67	49	76	SE 0	SW 1	SE 1	5	9	7	2.9	◺ $8^{3}/_{4}{}^{p}$–n, ●° $9^{1}/_{2}$–$11^{3}/_{4}{}^{p}$,
18	17.2	25.0	14.4	18.9	2.2	717.3	716.8	720.1	85	50	92	E 0	W 1	S 1	8	7	9	6.9	●° $3^{1}/_{2}$–$10^{1}/_{2}{}^{a}$, ● $3^{1}/_{2}{}^{p}$–n
19	14.8	17.6	15.2	15.9	−0.9	717.4	716.6	718.1	94	74	72	SE 0	E 1	W 1	9	10	6	14.5	● n–8^{a}, $4^{1}/_{2}$–7^{p}, ⛆●^{2} ▲ *)
20	13.6	15.8	12.2	13.9	−3.0	718.4	719.3	722.4	88	69	84	NW 1	NW 2	E 1	9	9	7	3.0	⛈ II, ● $1^{1}/_{4}$–$3^{1}/_{2}$, 5–$6^{1}/_{4}$, 11^{p}
21	13.0	18.2	14.6	15.3	−1.7	724.9	724.7	724.9	71	45	67	SW 1	SW 0	NW 1	8	7	7	0.1	
22	12.5	22.2	16.2	17.0	−0.1	724.4	722.9	721.9	82	39	77	E 0	N 1	SW 0	1	1	2	.	
23	15.8	25.0	16.0	18.9	1.7	720.5	718.0	717.1	82	39	86	SE 1	E 0	E 1	3	6	9	2.2	●° $5^{1}/_{4}$–6^{p}, ● 8–10^{p}
24	15.0	16.3	13.2	14.8	−2.4	714.5	717.7	719.5	93	75	90	NW 1	W 1	E 1	9	9	9	0.3	● 7–$8^{1}/_{4}{}^{a}$, ●° $10^{3}/_{4}{}^{a}$, 0^{p}
25	12.6	17.4	12.4	14.1	−3.2	719.3	719.1	719.9	95	67	98	NW 0	NW 0	S 1	10	9	10●	**20.7**	●° 1^{p}, ● $4^{1}/_{2}{}^{p}$–$4^{3}/_{4}{}^{a}$
26	11.4	17.5	12.4	13.8	−3.6	721.5	721.0	722.6	78	60	95	S 1	SW 1	SW 1	8	9	9●	5.2	●° 7^{a}, ● $3^{3}/_{4}$–$6^{1}/_{2}$, $9^{1}/_{4}$–$9^{3}/_{4}{}^{p}$
27	11.7	13.8	10.7	12.1	−5.4	723.1	724.7	727.8	91	67	77	NW 1	NW 2	SW 2	10	9	9	0.1	● ° $8^{3}/_{4}$–$9^{1}/_{4}{}^{a}$, $0^{3}/_{4}$, $6^{1}/_{4}$–
28	11.1	18.6	12.6	14.1	−3.5	**729.7**	729.1	728.9	76	43	80	SW 0	SW 1	N 0	3	3	0	.	[$6^{1}/_{2}{}^{p}$, p ⛈
29	12.2	23.8	15.9	17.3	−0.3	728.2	726.5	724.8	87	45	65	E 0	W 1	NW 0	0	0	0	.	
30	14.6	25.2	20.0	19.9	2.2	721.6	719.0	718.2	76	42	55	NE 1	W 1	SW 2	4	6	10	2.9	p ⛈, ● 7–$10^{1}/_{4}{}^{p}$, ⛈^{2} $7^{1}/_{2}{}^{p}$
Mittel	13.4	20.3	14.4	16.0	—	720.8	720.3	720.8	84	52	78				5.5	6.1	5.9	Summe 115.6	*) **14.** $10^{3}/_{4}$–11^{a}, p ⛈, ●° [$5^{1}/_{2}$–$6^{1}/_{2}{}^{p}$

[*) **19.** ⛈ 11–$11^{1}/_{4}{}^{a}$, p ⛈, ⛆● 2–4^{p}

$\lambda = 8^{\circ}\,30'$, $\beta = 47^{\circ}\,3'$,
$Hb = 1787.3^{m}$, $G = -0.11\,{}^{m}/_{m}$.

Rigi-Kulm.

Juni 1911.
Beobachter: Frl. *R. Gygax.*

1	8.8	13.4	10.1	10.8	5.0	614.5	616.1	617.9	53	50	55	E 1–2	SW 0	E 0	5	7	7	5.0	≡° II, n ●
2	7.0	11.2	9.7	9.3	3.4	618.7	619.0	619.0	98	49	51	W 1–2	NW 0	E 0	10●≡	5	7	11.6	a ●, ≡, ≡° II
3	10.9	13.2	7.3	10.5	4.5	618.7	618.1	617.4	45	55	100	NW 0	SE 0	NE 1	7	7	10≡	2.0	p ●, ≡ III
4	6.7	11.1	8.7	8.8	2.7	618.4	619.3	620.4	100	96	97	SW 1	E 0	NW 0	10	10	5	.	≡° n–II
5	10.4	13.2	7.6	10.4	4.1	621.2	621.6	621.6	65	44	70	E 0	W 0	W 2–3	3	5	7	1.2	⛈ III, n ●
6	8.9	11.3	8.9	9.7	3.3	621.3	621.8	622.2	45	54	50	E 2	NE 1	E 0–1	3	5	3	.	
7	11.0	14.1	11.6	12.2	5.7	622.3	623.1	623.0	38	40	44	E 1–2	SW 0	E 0	3	3	0	.	
8	12.4	13.7	11.2	12.4	5.8	621.9	621.1	619.2	33	51	57	E 1–2	NW 0–1	SE 0–1	3	5	5	.	
9	12.0	14.9	6.9	11.3	4.6	615.6	613.8	612.0	57	52	94	W 1	NW 0–1	W 2	7	7	10●	20.3	p n ●
10	6.2	8.5	4.5	6.4	−0.5	610.2	610.2	610.8	90	63	100	SW 0–1	W 1	W 0–1	10●	10●	10≡	6.5	● n–II, ≡ III
11	2.0	6.2	4.1	4.1	−2.9	612.3	613.0	613.6	98	96	96	NE 1–2	NW 0	E 0	10	9	7	.	
12	5.0	6.8	5.3	5.7	−1.4	612.8	612.8	612.9	95	70	80	W 0	W 0	W 0	5	7	3	0.8	p ●°
13	8.7	10.3	5.7	8.2	1.0	610.9	609.7	**607.7**	38	50	100	W 0	E 0	E 0	9	10●	10≡●	29.2	p n ●^{2}, ≡ III
14	0.6	1.3	**−1.3**	0.2	−7.1	609.9	611.0	614.4	100	100	100	W 1–2	SW 1–2	N 2–3	10*	10	9≡●	18.4	✳, ⛆° ▲ $11^{1}/_{2}{}^{a}$, ⛈ ● ≡ III
15	−1.0	2.0	1.3	0.8	−6.6	615.3	616.8	618.5	100	75	67	W 2	W 1–2	W 2–3	10≡	7	9	.	≡ l, ⛈ III
16	5.4	11.0	9.0	8.5	0.9	618.6	618.9	619.4	32	32	36	E 0–1	S 0	W 0–1	7	7	10	.	
17	13.1	13.5	13.5	13.4	5.7	618.2	617.7	617.0	35	35	45	S 0	S 1	W 1	9	9	5	.	●° 1^{p}
18	13.3	15.2	6.8	11.8	4.0	615.6	615.8	617.1	40	52	100	S 1	SW 0	W 2–3	5	7	10●	33.6	●° $9^{1}/_{4}{}^{a}$, p n ●^{2}, ⛈ III
19	9.7	12.1	6.2	9.3	1.4	614.7	614.0	615.1	54	70	71	W 1–2	W 1	W 3–4	7	9	9	39.0	≡° II, p ●^{2}, ▲ $3^{1}/_{4}{}^{p}$, ⛈^{2} III
20	4.5	6.0	3.0	4.5	−3.5	614.4	615.3	617.4	97	59	100	W 1–2	E 1	W 2–3	10≡	9	10≡	25.9	≡ I, p ●^{2}, ≡ ⛈ III
21	1.9	7.0	5.1	4.7	−3.4	619.4	620.1	620.6	100	96	86	W 1	NE 0	NE 0–1	10≡	5	7	.	≡ I
22	7.5	11.1	10.0	9.5	1.3	619.9	620.0	619.8	47	64	67	NE 0–1	W 0	SE 0	3	5	7	.	
23	11.0	13.3	9.6	11.3	3.0	618.1	616.8	615.2	49	39	49	N 0–1	SE 1–2	S 2–3	5	7	9	.	⛈ III–n
24	11.0	6.5	5.1	7.4	−1.0	612.7	614.5	615.8	45	94	100	S 2–3	W 1–2	NW 0	9	10≡	10	.	⛈ l, ●° $7^{3}/_{4}{}^{a}$, p ≡, ≡° III
25	5.0	6.5	4.9	5.5	−3.0	615.4	615.5	615.8	100	94	73	N 0–1	NE 1–2	W 2	10≡	10≡	10●	**53.0**	≡ n–II, p n ●^{2}
26	4.5	7.3	4.5	5.4	−3.1	616.5	617.3	617.8	75	70	97	W 0–1	S 0	W 2	9	10	9	8.9	≡° II, ●
27	3.1	2.9	1.1	2.4	−6.2	617.6	619.0	621.3	100	98	100	W 1–2	NW 1	W 0–1	10	10●	10	14.9	●
28	1.4	9.1	6.3	5.6	−3.1	622.8	623.8	**624.3**	100	57	84	W 0–1	W 0–1	W 0–1	3≡	7≡	0	.	≡ n–II
29	9.1	13.3	10.1	10.8	2.0	623.7	623.7	622.8	38	30	70	W 0–1	W 0	W 0–1	0	3	0	.	
30	12.2	**15.3**	10.7	12.7	3.8	619.6	618.5	616.9	**26**	39	39	W 2	W 0–1	W 4	5	7	10●	0.5	●° III, ⛈^{2}–n
Mittel	7.4	10.0	6.9	8.1	—	617.0	617.3	617.6	66	63	76				6.9	7.4	7.3	Summe 270.5	

Juni 1911.
Beobachter: *J. Camenisch.*

Bevers.

$\lambda = 9° 53'$, $\beta = 46° 33'$,
$Hb = 1712.6^m$, $G = -0.12\,{}^m/_m$.

Tag	Lufttemperatur					Luftdruck			Relative Feuchtigkeit			Windrichtung und Stärke			Bewölkung			Niederschlag	Witterung
	7^{30}	1^{30}	9^{30}	Mittel	Abweich. vom Normalst.	7^{30}	1^{30}	9^{30}	7^{30}	1^{30}	9^{30}	7^{30}	1^{30}	9^{30}	7^{30}	1^{30}	9^{30}		
1	8.7	13.4	8.6	10.2	2.1	620.3	621.8	623.8	87	56	89	N 1	W 2	— 0	10	9	8	0.6	a ●°
2	10.4	15.6	10.0	12.0	3.8	624.7	624.3	625.0	80	56	81	S 1	S 3	NE 1	9	6	10	1.0	↙ II, ● III
3	8.1	12.4	7.6	9.4	1.1	625.5	624.1	623.4	72	57	79	SW 2	— 0	S 2	10	10	8	2.2	● 8^a, III
4	8.4	13.8	9.4	10.5	2.1	623.7	623.8	625.6	74	48	69	— 0	W 1	— 0	10	10	7	.	●° II, p ↙
5	8.2	14.8	7.4	10.1	1.5	626.7	626.4	627.1	88	47	99	— 0	W 2	— 0	4	9	7	3.8	● $5-7^1/_2{}^p$
6	6.2	15.4	8.4	10.0	1.3	626.7	626.6	627.8	99	44	68	NE 1	NE 3	W 1	10	4	2	.	↙ II
7	6.1	18.8	10.5	11.8	3.0	628.6	627.6	628.0	85	34	56	S 1	NE 1	W 1	2	0	0	.	
8	9.0	19.8	11.8	13.5	4.6	627.5	625.1	623.8	79	38	54	S 1	NE 1	W 1	0	2	1	.	
9	11.0	12.8	6.8	10.2	1.2	621.1	619.0	618.6	75	63	95	— 0	SW 1	N 1	3	7	10	10.3	K● $11^3/_4{}^a$–$0^1/_4{}^p$, III
10	7.4	10.1	7.1	8.2	−0.9	616.1	615.0	615.9	95	80	87	— 0	W 1	NE 1	10	10●	10	7.0	● n–p
11	6.9	12.2	5.0	8.0	−1.3	616.6	617.1	618.6	87	45	64	NE 1	W 3	— 0	4	3	0	.	↙ II
12	3.2	13.0	5.1	7.1	−2.3	618.1	617.0	618.7	85	38	86	S 1	E 1	N 1	8	8	10	1.4	●° 0^p, ● $7^1/_2$–8^p
13	5.4	8.5	5.2	6.4	−3.1	617.3	616.3	614.4	91	70	81	NE 1	W 1	W 1	7	10●	10	0.8	●° 9^a–III [✳–III
14	8.0	9.6	1.0	6.2	−3.4	613.5	615.5	618.8	78	53	84	S 1	SW 3	N 1	9	6	10	8.4	a ●, ↙ II, ● ↙^{2} 5–6^p, ✳
15	2.8	6.4	4.8	4.7	−5.0	620.0	621.1	622.7	57	41	51	— 0	SW 3	NW 4	5	8	10	.	p ↙^{2} ✳
16	2.2	13.2	7.5	7.6	−2.2	624.9	624.9	625.2	94	31	74	NE 2	S 4	— 0	5	3	3	.	↙^{2} II
17	9.4	16.5	9.9	11.9	2.0	624.7	623.4	624.0	75	49	76	S 1	S 3	W 2	10	9	8	.	↙ II
18	9.8	16.9	10.8	12.5	2.5	623.4	622.9	622.5	84	52	79	W 1	S 3	W 2	8	5	8	.	↙ II
19	10.2	12.6	9.4	10.7	0.6	622.3	621.3	620.6	90	81	94	— 0	— 0	— 0	10	10	10●	46.5	●° II, ●^{2} III–n
20	5.6	3.5	1.1	3.4	−6.8	619.7	619.9	623.0	94	95	95	NE 2	NE 2	NE 1	10●≡	10●	10	34.0	≡ I, ●^{2}, K ✳ $2^1/_2$–$7^1/_2{}^p$ ✳
21	4.0	12.6	4.0	6.9	−3.4	624.7	625.2	626.0	92	44	75	SE 1	NE 1	— 0	9	6	0	.	✳
22	5.1	15.6	7.8	9.5	−0.8	626.5	625.5	625.3	85	46	76	— 0	S 3	— 0	1	3	3	.	↙ II
23	8.0	16.2	9.9	11.4	1.0	624.9	623.2	622.7	90	43	76	SE 1	SW 3	NE 1	1	6	8	.	↙ II
24	12.0	13.0	9.8	11.5	1.0	621.3	621.9	622.7	64	56	60	S 1	SW 2	W 1	6	9	8	.	
25	12.6	12.8	10.6	12.0	1.4	622.5	621.9	621.5	59	64	82	S 1	SW 3	NW 2	7	10●	10●	27.7	↙ II, K● $1^1/_4$–$4, 9^1/_2$–10^p
26	3.4	11.8	6.7	7.3	−3.4	622.4	622.2	623.5	91	72	85	NE 1	S 1	SW 3	10	6	10●	4.3	● ↙ 5–6^a, III
27	5.8	10.5	5.4	7.2	−3.6	622.7	622.9	625.4	94	51	75	N 2	SW 3	W 2	10	7	8	.	↙ II
28	5.8	12.4	5.0	7.7	−3.1	627.7	628.0	629.7	57	42	59	W 3	W 3	— 0	3	0	0	.	↙ n–p
29	6.3	18.6	6.4	10.4	−0.5	629.2	628.1	628.0	77	28	62	— 0	NE 2	— 0	0	0	0	.	⌴ I
30	6.4	20.8	11.8	13.0	2.0	626.0	623.5	622.6	80	35	66	E 1	S 2	W 1	2	4	8	.	⌴ I
Mittel	7.2	13.5	7.5	9.4	—	623.0	622.5	623.2	82	52	76				6.4	6.3	6.6	Summe 148.0	

Juni 1911.
Beobachter: P. *F. Landolt.*

Sitten.

$\lambda = 7° 21'$, $\beta = 46° 14'$,
$Hb = 540^m$, $G = 0.00\,{}^m/_m$.

1	15.9	21.4	16.7	18.0	1.8	713.2	713.0	716.5	94	58	95	SW 0–1	SW 0	E 0	10	9	9	1.3	● $4-5^p$
2	15.6	22.7	14.6	17.6	1.3	717.9	717.0	718.7	100	63	80	E 0	SW 1–2	E 0	10	7	10	6.0	● $6-7^a$, K● $5^1/_2$–$6^1/_2{}^p$
3	13.9	21.5	16.5	17.3	0.9	717.9	715.7	714.9	92	62	76	E 0	SW 0	NW 1–2	6	10	10	0.1	
4	15.6	23.8	17.4	18.9	2.4	717.8	716.8	718.2	82	52	67	SW 0	SW 1–2	W 0	4	6	2	.	
5	17.0	24.9	19.3	20.4	3.8	720.8	719.7	718.7	69	50	52	SW 0	SW 1	E 1	2	3	4	.	
6	16.8	24.1	19.5	20.1	3.4	719.7	718.1	718.7	77	44	45	SW 0	SW 1	E 0–1	6	2	0	.	
7	17.2	24.6	19.9	20.6	3.8	721.9	720.0	720.0	51	43	54	E 0–1	S 0–1	NE 0	2	1	0	.	
8	18.0	27.0	20.1	21.7	4.8	720.5	716.7	714.8	61	45	52	E 0–1	SW 1–2	E 1	0	1	6	.	
9	18.9	27.3	14.0	20.1	3.1	713.5	709.3	711.7	64	46	100	E 0–1	SW 1	E 0	1	3	10●	11.5	K● 6p–n
10	14.7	18.1	13.9	15.6	−1.5	708.8	707.5	709.0	85	77	98	SW 0–1	W 1	SW 0	10●	10●	8	1.4	● n–II
11	13.7	20.1	14.0	15.9	−1.3	711.3	710.3	711.5	83	51	60	W 0	W 2–3	W 0	9	3	3	.	↙ II
12	13.2	22.0	14.3	16.5	−0.8	712.3	710.2	710.6	77	41	51	S 0	SW 1–2	E 0	9	5	3	.	
13	13.6	18.9	13.2	15.2	−2.2	709.2	706.8	706.1	73	56	95	E 0	SW 1	W 0	9	10	10	1.3	n ($^{13}/_{14}$) ●
14	11.5	15.3	9.4	12.1	−5.4	710.3	713.5	716.9	79	50	77	NW 1–2	SW 2–3	W 0	10●	10	10	0.5	●° n–p, ↙ II
15	9.9	19.3	11.8	13.7	−3.9	717.8	717.4	719.3	74	48	50	SW 0	SW 0–1	SW 0–1	6	5	2	.	
16	10.9	19.1	15.1	15.0	−2.7	719.9	719.3	718.6	66	45	77	SE 0	SW 0	SW 0	9	10	9	.	
17	13.8	26.2	20.3	20.1	2.3	717.4	714.3	713.7	74	42	64	E 0–1	SW 1	E 0–1	10	7	5	.	
18	17.1	24.3	15.3	18.9	1.0	713.7	712.0	716.1	75	52	95	E 0	SE 0–1	SW 0–1	10●	8	10	5.0	●° I, K● $4^1/_4$–$8^3/_4{}^p$
19	17.4	20.6	14.0	17.3	−0.7	712.6	711.2	714.8	75	73	100	SE 0–1	SW 1	NW 0	8	9	8	8.8	K●
20	13.8	18.2	12.3	14.8	−3.3	713.8	715.2	718.7	92	46	100	SW 0–1	SW 1–2	W 0	10	9	8	2.2	p ●
21	14.4	20.8	15.6	16.9	−1.3	720.3	719.2	719.0	66	37	56	SW 0	SW 0–1	SW 1	2	2	1	.	
22	14.2	22.8	17.5	18.2	−0.1	720.2	717.3	717.4	68	51	66	SE 0–1	SW 1	S 0	0	1	5	.	
23	16.4	24.2	18.3	19.6	1.3	716.7	713.3	713.3	76	36	73	SE 0–1	E 1–2	SE 0	10	5	7	0.1	●° $4^3/_4$–5^p
24	17.5	17.8	13.0	16.1	−2.3	710.9	712.7	715.0	72	80	100	E 1	NW 1	W 0	10	10	10	2.7	p ●
25	14.5	19.3	12.6	15.5	−3.0	714.7	713.8	716.2	83	58	100	SW 0	SW 0–1	SW 0	10	9	10●	7.5	● 7^p–n
26	12.4	20.6	15.0	16.0	−2.6	717.0	715.6	717.2	72	50	57	E 1	SW 1	E 0	10	5	4	.	
27	14.6	18.9	11.9	15.1	−3.5	718.2	718.3	722.1	60	43	73	SW 0	SW 5	SW 2–3	5	3	6	.	p ↙^{2}
28	13.0	20.0	15.4	16.1	−2.6	724.8	723.2	723.8	60	46	56	S 0–1	SW 1	SW 0–1	0	0	0	.	
29	14.5	23.6	18.6	18.9	0.1	724.1	721.3	720.3	68	50	50	E 0	SW 0–1	NE 0	0	0	0	.	
30	16.6	24.7	23.7	21.7	2.9	718.7	715.3	716.3	62	47	53	E 0–1	S 0–1	SW 2–3	6	5	10	.	↙ III
Mittel	14.9	21.7	15.8	17.5	—	716.5	715.1	716.3	74	51	72				6.1	5.6	6.0	Summe 48.4	

$\lambda = 8° 57'$, $\beta = 46° 0'$, $H_b = 276.2^m$, $G = 0.03$ m/m.

Lugano.

Juni 1911.
Beobachter: *G. Belletti.*

Tag	Lufttemperatur 7 30	1 30	9 30	Mittel	Abweich. vom Normalst.	Luftdruck 7 30	1 30	9 30	Relative Feuchtigkeit 7 30	1 30	9 30	Windrichtung und Stärke 7 30	1 30	9 30	Bewölkung 7 30	1 30	9 30	Niederschlag	Witterung
1	17.2	20.2	15.9	17.8	0.5	737.3	738.5	739.9	90	78	83	NE 0	SE 0	NE 0	10	10	1	0.3	
2	16.4	19.2	16.6	17.4	0.0	741.6	742.0	742.0	91	86	83	N 0	SE 0	N 0	10●	10	10	31.5	● 7a–p, K ●² 10–11p, n ●°
3	14.2	16.7	15.0	15.3	−2.2	742.8	742.3	740.8	97	87	93	NW 0	SW 0	N 0	10●	10●	10	9.4	●, n ●
4	16.2	22.7	17.4	18.8	1.2	740.0	740.1	741.1	95	63	84	NE 0	SE 0	N 0	1	4	1	.	
5	17.4	22.8	19.6	19.9	2.1	743.4	742.1	741.0	85	69	80	N 0	S 0	N 0	0	6	8	.	
6	17.4	23.2	18.2	19.6	1.7	743.1	742.3	742.9	77	62	79	N 0	SE 0	N 0	6	6	0	.	
7	18.1	25.6	18.6	20.8	2.8	745.3	744.1	743.5	85	58	73	N 0	SE 0	N 0	0	0	0	.	
8	18.4	**27.1**	20.4	22.0	3.9	742.2	739.6	738.0	83	62	79	N 0	SE 0	N 0	0	0	6	20.0	n (8/9) K ●² [n ●°
9	18.5	23.1	16.2	19.3	1.0	736.1	734.4	733.0	91	65	89	N 0	SE 0	NE 0	6	10	10●	9.5	K ● 5½–6½p, ● 8½–9½p,
10	16.3	19.7	14.8	16.9	−1.5	731.0	**729.8**	730.3	90	74	91	NW 0	S 0	N 0	10	10	10	20.7	●° 1p, K ●² 4½–5½p, ●–
11	15.4	22.8	18.1	18.8	0.3	731.8	731.5	733.5	79	63	75	NE 0	SE 1	NE 0	0	4	10	5.3	● 10–12p [8½p
12	15.2	17.2	15.8	16.1	−2.5	735.2	734.7	735.2	87	75	84	NW 0	SW 0	NW 0	6	10	10	5.9	n (12/13) ●
13	13.6	14.4	12.8	13.6	−5.2	734.7	733.5	730.6	92	89	92	NW 0	SE 0	NE 0	10●	10●	10●	49.5	a ●, p n ●²
14	**12.2**	21.8	15.4	16.5	−2.4	730.2	730.4	734.7	96	66	**21**	NW 0	SE 0	N 2	10●	1	0	3.9	● n–9½a, ●° 4½–5p, ⸙
15	15.0	20.6	14.0	16.5	−2.5	737.7	737.7	739.4	36	26	47	NE 0	N 1	NE 0	0	0	0	.	[5½p–n
16	14.2	20.8	14.6	16.5	−2.6	742.3	743.7	743.3	58	47	75	NW 0	SE 0	N 0	8	8	2	.	
17	15.4	21.1	16.0	17.5	−1.7	742.5	741.2	740.8	76	59	81	NE 0	SE 0	N 0	6	10	0	.	
18	16.7	21.2	18.2	18.7	−0.6	740.5	740.0	738.9	83	71	88	N 0	SE 0	N 0	8	10	10	0.7	n (18/19) ●°
19	16.6	17.0	16.0	16.5	−2.9	738.7	738.2	736.2	94	96	98	SW 0	NE 0	NE 0	10●	10●	10●	43.4	● 7a–n, ●² 8–9p
20	17.1	13.5	15.8	15.5	−4.1	734.8	733.6	738.0	97	92	52	N 0	NW 1	N 0	10●	10●	0	29.4	a ●, K ●² 0½–2½p
21	18.8	24.9	15.7	19.8	0.1	740.0	740.8	742.2	38	62	67	N 1	SE 0	N 0	0	1	0	.	
22	15.2	24.6	15.6	18.5	−1.3	743.7	742.7	742.2	75	49	78	N 0	SE 0	N 0	1	3	0	.	
23	16.6	23.8	18.8	19.7	−0.2	741.5	740.0	738.3	69	63	74	N 0	SW 0	N 0	3	10	10	1.4	
24	17.0	20.0	18.0	18.3	−1.7	737.9	738.5	738.5	87	79	81	NW 0	SW 0	N 0	10	10	10	.	● 0–0½a [1.
25	17.8	16.8	14.0	16.2	−3.9	739.2	740.1	738.6	79	97	98	N 0	N 0	N 0	10	10●	10	**87.3**	K 0½–2½p, ●² 10½a–9p,
26	14.4	19.2	16.2	16.6	−3.6	738.2	738.4	739.1	93	83	78	W 0	SE 0	W 0	10	10●	4	0.6	●° a–2½p
27	15.6	14.6	17.8	16.0	−4.3	739.2	738.7	740.5	83	57	42	N 0	SE 0	N 1	10	3	0	4.1	● 4–4½p
28	18.1	24.4	16.6	19.7	−0.7	744.1	743.9	745.1	35	41	61	N 1	S 0	N 0	0	0	0	.	
29	16.8	25.5	18.4	20.2	−0.2	**746.3**	744.1	742.7	75	66	82	N 0	SE 0	N 0	0	0	0	.	
30	18.4	24.6	19.4	20.8	0.3	741.8	739.7	737.2	66	68	83	N 0	S 0	N 0	10	10	10	.	
Mittel	16.3	20.9	16.7	18.0	—	739.5	738.9	738.9	79	68	76				5.8	6.5	5.1	Summe 322.9	

$\lambda = 7° 35'$, $\beta = 47° 33'$, $H_b = 277.2^m$, $G = 0.13$ m/m.

Basel.

Juni 1911.
Bernoullianum.

Tag	Lufttemperatur 7 30	1 30	9 30	Mittel	Abweich. vom Normalst.	Luftdruck 7 30	1 30	9 30	Relative Feuchtigkeit 7 30	1 30	9 30	Windrichtung und Stärke 7 30	1 30	9 30	Bewölkung 7 30	1 30	9 30	Niederschlag	Witterung
1	13.4	19.0	17.0	16.5	1.1	737.1	737.8	739.0	91	77	90	W 1	N 1	NW 1	9	7	1	5.5	● 7½–9, 11¾a
2	14.0	21.0	17.0	17.3	1.8	740.6	740.0	739.7	98	70	98	SE 1	N 1	S 1	10●	10	8	14.2	● 6–8¼a, 2¾–6, 10¼– *)
3	15.3	22.8	15.8	18.0	2.4	739.9	738.2	738.7	90	53	87	SE 1	E 1	E 1	6	5	7	2.5	< III, ● 11½p–2¾a
4	14.8	22.0	18.4	18.4	2.7	740.3	740.4	741.6	91	54	86	E 1	N 1	NW 1	10	2	8	.	●° 9¼p
5	16.0	22.4	18.2	18.9	3.0	743.2	742.4	743.4	79	59	66	E 1	N 1	E 1	0	6	6	.	●° 5¾p
6	16.0	23.0	19.2	19.4	3.4	744.2	743.3	743.7	79	56	68	E 0	N 0	E 0	0	5	1	.	●° 1½p
7	17.2	25.6	20.2	21.0	4.9	744.5	743.7	743.2	71	46	70	SW 0	N 1	N 1	0	1	1	.	
8	16.4	25.0	19.6	20.3	4.1	743.3	740.8	738.7	89	50	67	E 1	N 1	W 1	1	1	3	.	
9	16.6	**26.6**	17.2	20.1	3.8	735.0	731.4	732.0	80	41	76	E 1	SW 1	SE 1	0	3	8	0.1	●° 5¼p
10	13.[illegible]	12.0	12.3	12.4	−4.0	731.7	732.5	733.5	82	87	92	NW 1	NW 1	NW 1	10	10●	8	0.3	● ‖
11	11.2	18.9	14.6	14.9	−1.6	736.2	735.5	735.6	69	41	66	W 1	W 1	NW 1	2	5	4	.	
12	11.4	19.6	15.2	15.4	−1.3	735.7	734.2	733.6	76	**39**	71	E 0	NW 1	S 0	5	4	1	.	
13	12.6	15.9	12.0	13.5	−3.3	731.9	730.3	**729.6**	75	75	98	SE 0	NW 1	W 1	7	10	10●	**20.7**	● 8–11¼a, 2¼p–n
14	12.0	12.4	**9.6**	11.3	−5.6	732.7	734.7	738.8	98	77	79	SW 0	NW 1	SW 1	7	10	8	1.2	● n–6¼a, 3–5p
15	11.0	16.0	13.4	13.5	−3.5	740.7	741.2	742.8	67	42	67	W 1	W 1	W 1	1	5	6	.	
16	9.8	18.9	17.2	15.3	−1.8	743.2	741.5	740.1	71	49	56	SW 0	N 1	E 1	5	7	10	.	[8½p–0¼a
17	1[illegible].3	21.2	19.4	19.0	1.8	737.8	736.0	735.7	68	67	93	E 1	S 1	E 1	8	7	10	7.5	⛈ 2¾a, ●° 11½a, 6¾p, ●
18	16.8	17.2	14.8	16.3	−1.0	735.4	736.2	738.0	93	72	98	E 1	E 1	E 1	8●	8	5	10.5	● 2¼–5¾, 7¼a–0¾. *)
19	15.4	14.8	13.8	14.7	−2.7	734.5	734.8	736.7	91	98	98	E 1	SE 0	S 1	10	10●	8	15.0	● 6¼–7¾, 9¾a–6¼. *)
20	15.3	14.4	14.3	14.7	−2.8	737.3	738.0	741.0	72	86	77	S 1	SW 2	SW 1	5	8●	8	1.5	● 0¾–1¼a, 1¼–4¾p
21	14.4	18.6	14.7	15.9	−1.6	743.5	743.2	743.6	78	52	81	E 1	S 1	W 0	3	5	1	.	
22	14.4	21.4	18.0	17.9	0.3	743.0	741.2	740.4	78	50	80	W 0	W 1	S 0	1	4	4	.	
23	1[illegible].4	24.3	16.4	19.0	1.3	738.4	735.4	734.6	77	55	95	E 1	S 1	SW 0	8	4	8	3.4	● 0½, 0¼–0¾ a
24	15.4	14.6	13.4	14.5	−3.3	733.4	736.6	737.5	98	84	93	SE 0	W 1	E 1	10●	10●	10●	17.1	● 4¼a–6¼, 8¾p–n, ⌒ 8p
25	13.2	12.8	12.4	12.8	−5.1	737.4	737.7	738.1	98	95	98	E 0	NW 0	SE 1	10●	10●	10	8.4	● n–7¼p
26	12.8	18.1	14.8	15.2	−2.8	739.7	739.6	740.0	86	58	75	E 1	N 1	W 1	7	5	5	.	●°
27	13.2	12.0	11.6	12.3	−5.8	742.1	744.2	747.0	73	70	80	W 1	W 2	SW 1	8	10	8	.	●°
28	12.1	19.6	15.8	15.8	−2.3	**748.7**	748.0	747.3	81	42	77	E 1	NW 1	SW 0	0	5	1	.	
29	14.0	22.7	18.2	18.3	0.1	746.7	744.9	742.8	78	56	78	E 1	W 1	E 0	0	1	1	.	
30	16.2	23.8	20.0	20.0	1.7	739.5	737.0	736.7	73	61	68	E 1	W 1	SW 1	2	9	10	0.4	●° 5¾–6¼, 10p [10½p
Mittel	14.2	19.2	15.8	16.4	—	739.3	738.7	739.1	81	62	81				5.1	6.2	6.0	Summe 108.3	

*) **2.** 11¾p, < 9¼p, K [10½p
*) **18.** 4½–8¾p, K 10½–10¾a
*) **19.** 8¾–9p, a K

Juni 1911.
Observatorium.

Säntis.

$\lambda = 9^\circ 20'$, $\beta = 47^\circ 15'$,
$H_b = 2500.1^m$, $G = -0.16\,{}^m/_m$

Tag	Lufttemperatur 7³⁰	1³⁰	9³⁰	Mittel	Abweich. vom Normalst	Luftdruck 7³⁰	1³⁰	9³⁰	Relative Feuchtigkeit 7³⁰	1³⁰	9³⁰	Windrichtung und Stärke 7³⁰	1³⁰	9³⁰	Bewölkung 7³⁰	1³⁰	9³⁰	Niederschlag	Witterung
1	3.1	6.4	3.8	4.4	3.4	563.8	565.5	567.0	84	85	84	ENE 1	SE 0	SE 1	6	9●	3	0.2	●° $1^1/_4$–$1^3/_4$p
2	4.6	8.2	3.2	5.3	4.2	567.6	568.1	567.8	89	85	92	W 1	SSW 1	SSW 1	9	10≡	3	14.4	≡ 9–11ª, ll, △ $3^1/_2$, *)
3	5.2	7.5	3.3	5.3	4.0	567.5	567.1	566.4	88	89	95	SW 0	SSE 0	SE 1	4	8	4	1.8	● $11^1/_4$–$11^1/_2$ª, $6^1/_4$– *)
4	2.5	3.9	3.1	3.2	1.8	566.7	567.9	569.0	100	91	95	WNW 2	NW 1	W 2	10≡	9	7	17.1	≡ n-$4^1/_2$, 8-$8^1/_4$p, △● *)
5	3.7	5.2	1.4	3.4	1.9	569.7	570.2	570.3	98	96	98	WSW 2	WSW 3	NNE 2	7	8	10≡●	13.7	≡ $6^1/_2$–$6^3/_4$, 11ª–5, 8– *)
6	2.6	3.8	2.7	3.0	1.4	570.0	571.0	571.1	87	100	79	NE 2	NE 2	NNE 3	3	10≡	1	.	≡ 11ª–$2^3/_4$, $5^3/_4$–6p
7	4.6	7.0	5.7	5.8	4.1	571.5	572.3	572.0	60	83	80	NNE 2	SSE 1	W 1	3	2	1	.	
8	6.2	8.2	5.2	6.5	4.7	570.7	570.1	568.2	78	90	71	NE 1	S 0	NNE 0	1	4	3	.	
9	6.0	7.0	2.3	5.1	3.2	564.7	563.0	560.5	92	86	100	WSW 2	WSW 3	WSW 4	7	7	10≡●	17.4	≡ 8ª–$0^1/_4$, $3^3/_4$p–n, ● *)
10	1.9	3.6	1.1	2.2	0.2	559.3	559.2	559.6	100	100	100	WSW 2	WSW 2	WNW 2	10≡●*	10≡●	10≡	7.2	● ✶ n-$8^1/_2$ª, ≡, ● o– *)
11	–1.1	1.3	–1.0	–0.3	–2.4	560.5	561.3	562.0	100	92	87	W 1	WSW 3	WSW 2	10≡	10≡	8	.	⋁ l, ≡ n–$1^3/_4$, $4^1/_4$–$7^1/_2$p
12	0.1	2.2	–0.8	0.5	–1.7	560.9	561.4	561.3	94	90	91	SW 1	W 1	NW 1	9	10	2	2.4	≡ $10^1/_2$–11ª, $3^1/_4$–$8^1/_4$p. *)
13	2.0	4.8	0.9	2.6	0.3	559.8	559.0	**556.7**	84	85	98	WSW 2	SSW 1	SSW 3	8	10	10≡	15.0	✶ $9^1/_4$–$10^1/_4$ª, $7^1/_2$– *)
14	–2.8	–2.6	**–6.1**	–3.8	–6.2	557.8	558.6	561.1	100	100	100	WSW 2	WSW 3	W 2	10≡*	10≡*	10≡*	33.2	✶ ✢ n–11$^1/_4$ª, ⋁ ≡, *)
15	–5.8	–4.4	–4.0	–4.7	–7.2	561.3	563.0	564.5	100	100	100	WSW 3	WSW 3	WSW 3	10≡*	10≡*	10≡*	12.0	≡ ✶ ✢² ⋁²
16	–1.6	2.1	1.6	0.7	–1.8	566.7	567.8	568.0	80	67	71	NNE 2	SW 2	WSW 4	7	7	8	1.7	⌿ lll–n, n ● [$3^3/_4$p
17	4.8	7.2	7.2	6.4	3.8	567.2	567.2	566.9	86	74	81	WSW 4	WSW 2	SW 4	7	9●	7	.	⌿ l, p, ●° $1^1/_2$–$1^3/_4$, 3–
18	6.9	**10.1**	1.9	6.3	3.6	565.4	565.4	565.5	72	87	100	SSW 3	SSW 2	SW 5	5	10≡	10≡●	41.6	≡ $1^3/_4$p–n, △ $3^3/_4$, *)
19	3.9	8.4	1.7	4.7	1.9	564.7	563.8	562.9	96	95	100	SW 3	SSW 2	WSW 5	9●	9	10≡	29.2	●l, ⌿ $10^1/_2$ª, ≡ $0^3/_4$p–*
20	0.5	–0.9	–1.3	–0.6	–3.5	562.7	562.8	565.2	98	98	100	W 2	WSW 4	WSW 2	10≡●	10≡	10≡*	30.5	●² n–$8^1/_2$ª, ✶ $8^1/_2$– *)
21	–1.4	0.5	–0.1	–0.3	–3.3	567.1	568.2	569.0	100	97	96	WSW 1	WSW 1	SW 1	10≡	7	3	.	≡ n–11$^1/_4$ª, 8–$8^3/_4$p
22	2.3	6.8	4.2	4.4	1.3	568.4	568.9	568.6	87	86	82	SW 2	SW 1	SW 1	1	6	2	.	
23	5.2	7.9	4.7	5.9	2.7	567.3	566.5	565.1	88	79	87	SW 2	S 1	SW 2	6	9	4	.	
24	5.6	7.8	3.2	5.5	2.2	562.9	564.2	564.9	81	78	87	SSW 3	SSW 3	WSW 3	9	9	6	.	[$4^1/_2$–$7^1/_4$p, ✶²–n
25	4.9	7.8	–0.1	4.2	0.8	564.4	564.9	564.4	85	88	100	SW 3	SW 2	WSW 3	9	10≡	10≡*	**46.1**	⌿ $10^1/_2$ª, ≡ $0^1/_2$p–n, ●
26	–0.6	3.2	–0.2	0.8	–2.7	564.9	565.4	566.1	98	98	100	WSW 1	SSW 1	WNW 2	8	10≡	9≡	14.7	≡, ✢ ✶ $4^1/_4$–9p
27	–1.5	–0.9	–2.8	–1.7	–5.3	565.3	566.4	568.4	100	100	100	W 2	WSW 3	W 2	10≡	10≡	10≡*△	31.3	✢ ✶ $9^1/_4$–11$^3/_4$ª, ≡ *)
28	–2.8	–0.6	1.6	–0.6	–4.3	569.9	571.4	**572.4**	98	97	86	W 1	SW 3	WSW 3	10≡	2	1	.	✶² n–$7^1/_4$ª, ≡ n–$10^1/_2$ª
29	2.8	5.1	4.2	4.0	0.3	571.8	572.2	571.3	68	**57**	64	WSW 3	WSW 3	WSW 3	1	1	1	.	⌿ $10^1/_2$ª
30	5.3	8.1	3.4	5.6	1.8	568.4	567.7	565.0	74	65	85	WSW 4	WSW 3	WSW 5	4	8	9	1.1	⌿ l, ≡ $4^1/_2$–$5^1/_2$, 8-$8^1/_2$p, [⌿²–n, n ●
Mittel	2.2	4.5	1.7	2.8	—	565.6	566.0	566.0	89	88	90				7.1	8.1	6.4	Summe 330.6	*) **2.** $4^1/_4$-$4^1/_2$p, ● $3^1/_2$-$4^1/_4$p, ●△ $4^1/_2$-$7^1/_4$p, ⌿ $4^1/_4$-$7^1/_4$p

*) **3.** $6^1/_2$p, ≡ 3–$4^1/_2$, $7^1/_4$–$7^1/_2$p, ◠ $5^3/_4$–6p, △ 6–$6^1/_4$, 7p *) **4.** $3^3/_4$–$4^1/_2$p *) **5.** $8^1/_4$p, ● $0^1/_4$–$3^3/_4$, $8^1/_4$p–n, ⌿ $11^3/_4$ª–$8^1/_4$p, △ 8–$8^1/_4$p *) **9.** 4–$4^1/_4$, $6^3/_4$p–n. ⌿ $3^1/_2$–7p, △ 7p, ⌿ lll *) **10.** $1^3/_4$p, ✶ $0^3/_4$–1p *) **12.** △ $10^1/_2$ª–1, $3^1/_4$–4p, ✶ $5^1/_4$–$6^1/_4$p *) **13.** $7^3/_4$p, ● $1^3/_4$–$4^1/_4$p, ≡ $9^1/_2$p–n *) **14.** ✶² ✢² $0^1/_4$p–n, ⌿ $4^1/_2$p, ⌿ △ 9–$9^1/_4$p *) **18.** $4^1/_4$p, ⌿ $3^3/_4$–$5^1/_2$p, ●² $3^3/_4$p–n, ⌿² lll *) **19.** n, ⌿ 4–$4^3/_4$p, ●² $4^1/_4$–9p, ⌿² lll *) **20.** $10^1/_2$ª, ⋁–n, ≡, ⌿ ll, △ $2^1/_4$–$2^1/_2$, $4^1/_2$p, ✶ 3–$3^1/_4$p, ✶² ✢ 4p–n *) **27.** ⋁, △² ✶² $4^1/_4$p–n

Juni 1911.
Beobachter: *D. Dittli.*

St. Gotthard (Hospiz).

$\lambda = 8^\circ 34'$, $\beta = 46^\circ 33'$,
$H_b = 2102.9^m$, $G = -0.14\,{}^m/_m$.

1	5.3	12.6	6.2	8.0	4.8	592.1	593.7	595.3	94	46	85	S 1	S 1	S 1	10≡	9≡	4	.	≡ n–ll
2	8.0	8.2	5.9	7.4	4.1	596.0	596.6	596.5	70	74	86	S 1	S 1	S 2	9	10●	10●	21.8	● $11^1/_2$ª–n
3	3.5	9.2	3.8	5.5	2.1	596.1	595.7	594.7	97	57	97	S 2	S 1	S 1	10≡	8	10●	2.9	≡ l, ● 8ª–$0^1/_4$p, lll
4	3.0	7.4	5.3	5.2	1.7	595.1	596.1	597.4	95	59	94	N 2	N 2	N 2	8	4	3	.	≡ l
5	6.3	11.2	5.2	7.6	3.9	598.2	598.3	598.3	60	45	94	N 1	N 1	N 1	1	7	10	3.2	● $6^1/_2$–7p
6	5.6	9.4	6.4	7.1	3.3	598.0	598.5	599.2	75	45	73	N 1	N 2	NNW 0	5	6	4	.	
7	8.0	12.2	7.6	9.3	5.4	599.7	600.1	599.9	46	33	70	NNW 0	N 1	N 2	0	0	0	.	
8	7.9	12.3	7.5	9.2	5.2	598.6	597.7	596.2	65	46	85	N 2	N 2	N 2	1	1	4	.	
9	8.6	11.6	5.4	8.5	4.4	592.8	591.1	589.6	60	75	100	N 0	S 2	SSW 1	1	10≡	10≡●	3.6	≡ $1^1/_4$p–n, ● $4^1/_4$p–n
10	5.1	4.4	3.0	4.2	0.0	587.4	587.1	587.5	93	96	100	W 0	N 1	N 2	10≡	10≡●	10≡●	6.4	≡, ● $1^1/_4$–4, $5^1/_4$p–n
11	1.2	3.3	1.6	2.0	–2.4	588.2	589.2	590.1	100	65	99	N 3	N 3	N 3	10≡	4	10≡	0.1	≡ l, lll.
12	2.4	7.0	3.4	4.3	–0.2	589.3	589.3	589.6	69	63	90	N 1	SW 1	S 1	8	7	9	5.2	n (12/13) ● ≡
13	2.4	3.3	1.4	2.4	–2.2	588.3	587.2	**585.4**	98	95	99	SSE 1	SSE 2	SSE 2	10●	10≡●	10≡●	22.5	●, p n ≡, n ✶
14	–0.5	1.8	**–4.0**	–0.9	–5.6	585.7	587.8	589.7	99	90	95	N 3	N 3	N 4	10≡	10≡	10✶	14.2	≡ n-ll, ⌿, ✢ ✶ $2^1/_4$p-n,
15	–2.9	–0.5	–1.4	–1.6	–0.4	591.1	592.9	594.4	90	70	85	N 2	N 2	N 2	10✶	7	3	.	✢ ✶° l [⌿² lll
16	–0.4	9.0	3.4	4.0	–0.9	595.3	596.7	597.1	38	33	89	NNW 1	S 1	S 1	5	3	9	1.7	n (16/17) ●
17	7.0	10.2	6.2	7.8	2.8	596.1	595.8	595.7	69	60	99	S 1	S 1	S 2	5	9	10≡	0.5	●° $4^1/_4$p, ≡–n
18	5.2	6.7	5.2	5.7	0.6	594.0	594.6	595.6	98	87	92	S 2	SSE 2	SSE 2	10≡	10	10●	12.0	≡ l, ⌿ ● $8^1/_2$p–n
19	6.4	7.2	4.6	6.1	0.9	593.0	592.5	592.3	95	98	94	SSE 2	S 1	N 2	10●	10●	9●	27.2	●², ✢ ✶ 11$^1/_4$p–$0^1/_2$ª
20	3.9	2.5	0.7	2.4	–2.9	590.8	590.7	593.5	100	74	99	N 2	N 3	N 4	10≡	7	10≡	7.6	≡² l, ✢ ✶ ≡, p ⌿, ⌿² [lll
21	0.0	5.4	3.0	2.8	–2.6	595.6	596.7	597.4	99	44	77	N 2	N 1	N 2	10≡	4	1	.	≡ l
22	4.6	8.9	5.4	6.1	0.6	597.2	597.4	597.1	73	55	94	N 0	S 1	S 1	9	4	2	.	
23	6.0	7.0	5.8	6.3	0.6	595.8	595.1	594.2	86	61	90	S 2	SSE 3	S 1	9	10	10	12.6	⌿ ll, n ●
24	5.0	5.1	5.8	5.3	–0.5	592.1	593.0	593.7	99	77	85	S 1	S 2	SSE 2	10≡	10	10●	22.1	≡² l, ● $7^1/_2$–10^3, 7p–n
25	5.2	5.0	4.0	4.7	–1.3	593.1	593.6	592.8	95	90	92	SSE 2	SSE 2	SSE 2	10≡	10●	10●	**90.4**	≡ l, ●². n ✶²
26	0.0	1.6	1.3	1.0	–5.1	593.3	593.6	594.6	100	96	90	N 1	N 1	N 2	9	10	5	18.7	● ✶ 10^3–$1^1/_4$p
27	1.6	2.0	–0.6	1.0	–5.2	594.1	595.2	596.4	79	97	99	N 3	N 2	N 3	3	10≡	10✶≡	3.1	⌿ l, p ≡, ✢ ✶ ≡² lll, ⌿–n
28	–1.4	5.1	3.5	2.4	–3.9	598.2	599.8	**600.7**	98	51	89	N 3	N 4	N 2	7	1	1	.	n ⌿, ⌿² ll
29	6.6	12.2	7.7	8.9	2.5	600.3	600.3	599.6	31	**30**	80	N 1	N 1	N 1	0	0	1	.	
30	9.4	**12.7**	8.7	10.3	3.8	597.0	595.9	594.5	47	69	45	NW 0	S 1	S 1	4	5	4	1.1	n (30/1) ●
Mittel	4.1	7.1	4.1	5.1	—	594.1	594.4	594.6	81	66	89				7.1	6.9	7.0	Summe 276.9	

$\lambda = 7° 26'$, $\beta = 46° 57'$.
$Hb = 572.2^m$, $G = 0.05\,^m/_m$.

Bern.

Juli 1911.
Tellur. Observatorium.

Tag	Lufttemperatur					Luftdruck			Relative Feuchtigkeit			Windrichtung und Stärke			Bewölkung			Niederschlag	Witterung
	7^{30}	1^{30}	9^{30}	Mittel	Abweich. vom Normalst.	7^{30}	1^{30}	9^{30}	7^{30}	1^{30}	9^{30}	7^{30}	1^{30}	9^{30}	7^{30}	1^{30}	9^{30}		
1	16.3	24.7	18.5	19.8	2.6	709.7	**708.9**	709.5	87	39	86	SE 0	SW 1	SE 0	10	8	8	.	
2	19.6	24.0	18.1	20.6	3.3	710.1	710.0	713.7	73	48	65	SE 0	NW 1	W 0	6	8	9	.	K$_\lambda$ $2^3/_4$–3^p
3	14.9	20.2	15.1	16.7	−0.6	716.6	717.2	**720.5**	73	42	58	N 0	NW 0	NE 0	9	5	8	.	
4	**11.2**	16.4	14.8	14.1	−3.3	720.3	719.8	720.3	78	64	63	NE 1	ENE 1	N 0	8	6	3	.	
5	13.2	20.4	16.6	16.7	−0.8	720.4	719.4	719.0	74	51	51	NE 0	E 2	NE 0	1	1	1	.	⊿ I, ⌐ II
6	14.9	22.6	19.2	18.9	1.4	718.4	716.8	716.6	71	51	59	NE 0	E 1	NE 0	1	0	0	.	
7	16.9	24.4	19.3	20.2	2.6	717.8	717.4	718.4	75	49	49	NW 0	NE 0	N 0	0	2	0	.	⊿ I
8	17.7	27.4	19.3	21.5	3.8	719.9	719.1	719.0	68	28	64	SE 0	NE 0	ENE 0	1	1	1	.	⊿ I
9	19.3	27.6	19.6	22.2	4.5	719.4	718.1	717.9	64	38	76	SE 0	NE 0	NE 0	3	4	3	.	
10	15.6	20.8	15.9	17.4	−0.4	717.3	717.0	717.5	73	44	52	N 0	E 1	NE 1	8	3	2	.	
11	13.9	21.9	16.6	17.5	−0.3	718.4	718.2	718.0	69	41	57	NE 1	NE 1	E 0	0	1	1	.	⊿ I
12	16.3	24.0	19.1	19.8	1.9	717.6	716.4	716.3	69	37	62	E 0	E 2	NE 0	1	1	2	.	⊿ I, ⌐ II
13	16.0	26.0	18.0	20.0	2.1	716.8	715.5	715.7	77	39	71	SE 0	S 0	NE 1	6	4	6	.	⊿ I
14	18.0	24.7	18.0	20.2	2.3	716.1	715.2	715.7	71	45	75	E 0	NE 1	E 0	1	5	3	.	⊿ I
15	17.2	26.9	19.2	21.1	3.2	715.0	713.9	713.8	70	29	58	SE 0	NE 1	SE 0	0	6	6	.	⊿ I
16	17.5	25.1	17.0	19.9	1.9	713.1	711.4	712.0	68	37	66	SE 0	W 0	NE 0	3	5	4	.	
17	16.0	24.6	17.8	19.5	1.5	711.6	710.4	710.4	72	26	62	SE 0	W 0	SW 0	1	2	1	.	
18	17.6	26.4	20.2	21.4	3.4	711.3	710.9	712.3	65	27	53	SE 0	NW 1	SW 0	1	3	2	.	
19	18.8	27.7	19.2	21.9	3.9	714.6	714.5	716.7	62	**15**	65	SE 0	SW 1	NE 0	1	2	7	.	
20	18.9	26.4	20.1	21.8	3.8	717.8	717.3	718.8	65	38	60	SE 0	NE 1	NE 0	0	1	2	.	
21	18.6	26.7	22.6	22.6	4.6	719.8	719.0	719.4	68	37	43	NE 0	NE 1	NE 0	2	1	1	.	
22	18.9	29.2	22.5	23.5	5.5	719.7	718.8	718.2	70	40	64	NE 0	NE 0	SW 0	1	1	1	.	
23	20.8	32.5	22.3	25.2	7.2	718.3	716.6	716.3	65	20	64	S 0	SW 1	SE 0	0	2	3	.	K$_\lambda$ $11^1/_2{}^p$
24	22.0	31.7	20.2	24.6	6.6	715.7	713.9	714.6	66	30	81	S 0	SW 0	SW 0	3	5	8	1.2	K$_\lambda$● 3–$3^1/_4{}^p$
25	20.2	29.0	22.6	23.9	5.9	714.7	713.2	712.7	70	38	60	SE 0	SW 0	SE 0	1	3	4	.	
26	20.9	29.4	21.6	24.0	6.0	713.7	713.0	713.7	67	34	50	S 0	NW 0	SW 0	3	2	3	.	
27	21.5	30.7	22.8	25.0	7.0	715.2	714.2	714.7	65	32	66	SE 0	N 0	SE 0	0	2	2	.	
28	20.8	28.9	20.3	23.3	5.4	716.0	715.5	717.1	67	37	60	SE 0	SW 0	S 0	3	3	9	.	K$_\lambda$ $8^1/_2$–9^p
29	19.1	30.6	23.7	24.5	6.6	715.9	714.3	714.9	70	34	56	S 0	NE 0	SE 0	1	1	7	.	
30	22.3	**33.2**	22.0	25.8	7.9	714.3	712.4	711.5	64	24	68	SE 0	N 0	SE 0	2	7	7	.	K$_\lambda$ III
31	20.7	30.3	21.6	24.2	6.4	712.4	711.5	712.4	73	33	65	E 0	SE 0	ESE 0	8	4	6	.	K$_\lambda$ III
																		Summe	
Mittel	17.9	26.3	19.5	21.2	—	716.1	715.1	715.7	70	37	62				2.7	3.2	3.9	1.2	

$\lambda = 6° 57'$, $\beta = 47° 0'$,
$Hb = 487.3^m$, $G = 0.06\,^m/_m$.

Neuenburg.

Juli 1911.
Observatorium.

1	16.0	24.4	21.8	20.7	1.7	716.5	**715.8**	**715.8**	97	56	46	NE 0	SW 2	NW 3	9	9	8	.	●° $7^1/_2{}^p$, ⌐ III
2	20.0	24.6	17.5	20.7	1.6	716.9	717.0	720.4	71	52	68	E 1	NW 3	N 3	7	5	7	.	p ⌐
3	16.8	22.0	15.2	18.0	−1.2	724.1	724.8	727.6	68	54	54	E 1	S 1	N 2	2	1	8	.	
4	**13.0**	18.8	16.5	16.1	−3.1	727.8	727.3	727.6	68	53	57	NE 2	NE 2	NE 1	9	6	0	.	
5	14.6	22.5	18.5	18.5	−0.8	**727.9**	726.7	726.2	62	48	49	NE 1	NE 2	NE 1	0	0	0	.	
6	17.0	24.9	20.5	20.8	1.4	726.1	724.5	723.9	62	43	52	NE 1	NE 1	NE 1	0	0	0	.	
7	18.0	26.5	22.5	22.3	2.9	725.0	724.8	725.2	63	47	41	NE 1	NE 1	NE 2	0	1	0	.	
8	18.0	27.2	25.1	23.4	3.9	727.2	726.5	725.9	68	49	41	NE 1	SW 1	N 1	0	1	0	.	
9	18.9	28.7	22.5	23.4	3.9	726.8	725.5	724.5	73	48	48*	NE 1	S 1	N 2	0	1	1	.	⌐ III
10	17.3	23.0	17.6	19.3	−0.3	724.9	724.5	724.6	61	42	44	NE 1	NE 2	NE 2	6	0	0	.	p ⌐
11	16.4	23.5	18.9	19.6	0.0	725.7	725.5	725.4	51	38	50	NE 2	NE 2	NE 1	0	0	0	.	
12	18.5	25.9	22.6	22.3	2.7	725.0	723.5	723.4	54	37	43	NE 1	NE 2	NE 1	0	0	0	.	
13	18.5	26.7	20.3	21.8	2.1	724.2	723.0	722.9	73	41	63	NE 1	NE 1	NE 0	3	5	5	.	●° $8^1/_2{}^p$
14	17.3	27.1	19.5	21.3	1.6	723.5	722.6	722.9	96	44	61	NE 1	NE 1	E 1	1	4	2	.	
15	17.3	24.5	16.8	19.5	−0.3	722.5	721.6	721.0	79	50	78	E 1	N 1	N 0	0	6	3	1.0	p K$_\lambda$●
16	16.4	25.7	18.2	20.1	0.3	720.5	718.9	719.4	82	47	67	NE 1	SW 1	N 1	1	7	2	.	
17	16.4	25.4	21.2	21.0	1.2	718.9	717.8	717.1	75	35	38	NE 1	SW 1	N 1	1	2	0	.	
18	16.6	27.9	21.4	22.0	2.2	718.6	718.2	719.3	74	43	51	NE 1	SW 1	NW 1	0	3	1	.	
19	18.6	29.0	22.2	23.3	3.5	721.8	721.9	723.6	67	**30**	64	NE 1	SW 1	N 1	0	3	8	.	
20	19.5	31.5	23.7	24.9	5.1	725.1	724.7	725.5	73	36	43	NE 1	E 1	N 1	0	2	0	.	
21	20.3	29.6	24.2	24.7	4.8	727.0	726.3	726.6	53	32	38	E 2	E 2	E 2	1	1	0	.	
22	19.6	29.8	23.0	24.1	4.2	727.0	726.2	725.4	64	44	55	NE 1	SE 1	N 1	0	1	0	.	
23	20.2	**32.4**	24.9	25.8	5.9	725.6	723.8	723.1	81	38	49	E 1	SW 1	NW 1	0	2	4	.	●° $4^1/_2$–5^p
24	21.0	29.4	23.9	24.5	4.7	723.0	721.3	722.4	84	46	66	N 1	SW 1	W 1	3	7	10	10.0	●° 5–$5^1/_2{}^p$, K$_\lambda{}^2$ III, K$_\lambda$●
25	19.0	29.1	22.8	23.6	3.8	721.9	720.7	719.6	88	53	63	N 0	S 1	NW 1	2	2	2	.	[$9^1/_2$–$11^1/_2{}^p$
26	20.6	30.4	26.2	25.7	5.9	721.0	720.4	720.4	86	44	39	E 1	SW 1	N 1	7	2	0	.	
27	21.4	31.0	22.5	25.0	5.2	722.5	721.7	721.8	74	36	45	N 1	SW 1	NW 1	0	2	2	.	
28	21.2	31.2	18.6	23.7	3.9	723.3	722.7	724.8	70	37	79	W 1	SW 1	W 1	4	4	10●	2.7	⌐^{2} 8–$8^1/_2{}^p$, ● 8, 9–$10^1/_4{}^p$, n
29	19.0	29.7	23.4	24.0	4.2	723.4	721.9	721.0	83	42	51	E 1	S 1	NW 1	2	1	7	0.8	n ($^{29}/_{30}$) ●°
30	22.8	30.2	27.2	26.7	7.0	721.6	720.0	718.6	68	40	42	NE 1	E 1	N 2	1	8	5	.	≡° III
31	21.8	32.1	22.8	25.6	5.9	719.5	718.8	719.3	74	36	62	SW 1	S 1	N 1	7	5	9	.	●° $7^1/_4{}^p$
																		Summe	
Mittel	18.4	27.3	21.3	22.3	—	723.4	722.5	722.8	72	43	53				2.1	2.9	3.0	14.5	

Juli 1911. Beobachter: Frl. *H. Nager.*

Altdorf.

$\lambda = 8° 39'$, $\beta = 46° 53'$, $Hb = 456.3^m$, $G = 0.05\,^m/_m$.

Tag	Lufttemperatur 7h30	1h30	9h30	Mittel	Abweich. vom Normalst.	Luftdruck 7h30	1h30	9h30	Relative Feuchtigkeit 7h30	1h30	9h30	Windrichtung und Stärke 7h30	1h30	9h30	Bewölkung 7h30	1h30	9h30	Niederschlag	Witterung
1	16.7	21.4	17.9	18.7	1.3	**719.5**	719.7	719.6	85	58	100	S 0	N 1	SE 1–2	10	9	10	5.0	Ks ● 8½–9¾p
2	17.2	24.0	17.8	19.7	2.3	720.5	721.7	723.1	94	58	100	SE 0	S 0	S 0	9	8	10	13.9	Ks ● 11¾a–p
3	15.2	19.0	16.8	17.0	−0.5	726.7	727.5	730.5	84	55	53	SE 0	N 1–2	SW 0	10	9	10	1.8	≡° ● l
4	14.3	19.0	16.3	16.5	−1.0	730.6	**730.9**	730.7	74	60	95	NE 0	N 1	NW 0	10	9	10	.	
5	**14.0**	20.4	18.0	17.5	−0.1	730.6	730.3	729.2	85	59	85	N 1	N 1	SE 0	8	3	8	.	
6	14.5	21.4	17.0	17.6	−0.1	728.4	727.1	726.6	90	54	90	SE 0	N 0	SE 0	0	2	0	.	
7	15.4	23.2	18.7	19.1	1.4	727.6	727.8	728.2	95	60	70	SE 0	W 1	SE 0	0	4	0	.	
8	16.7	24.4	18.4	19.8	2.0	729.2	729.4	729.2	73	50	75	SE 0	N 1	SE 0	0	2	0	.	
9	18.6	25.8	18.6	21.0	3.2	729.2	728.3	727.2	73	**40**	71	NW 0	NW 2	NW 0	5	4	9	.	⌿ II
10	17.3	21.6	15.8	18.2	0.3	727.5	727.2	727.9	73	50	61	NE 0	N 2	NW 0	10	5	10	.	
11	14.2	20.6	16.5	17.0	−0.9	729.0	728.4	728.0	82	50	57	SW 0	N 2	NW 0	0	5	0	.	
12	**14.0**	23.2	19.3	18.8	0.9	727.8	726.6	726.5	84	50	65	SE 0	N 1	SE 0	0	3	4	.	
13	17.5	20.6	16.7	18.3	0.3	726.7	726.5	726.9	79	51	98	SE 0	E 2	SE 0–1	5	10	10	5.6	Ks ● 6–6½p, III–n
14	16.4	19.0	16.3	17.2	−0.8	726.4	726.4	725.8	85	75	98	E 0	N 0	SE 0	2	9	6	5.2	Ks ● 0¼–0½, 5½–6p
15	14.8	21.4	16.3	17.5	−0.5	725.0	724.1	725.8	95	72	80	SW 0	E 1	SE 0	0	3	4	0.5	Ks ●° 0¾–1¼, 3½–3¾p
16	15.8	23.0	14.9	17.9	−0.2	722.9	721.0	721.8	90	54	99	SW 0	E 0	SE 0	7	4	10	7.9	p Ks, ● 3½–4½p, n
17	15.9	23.4	17.0	18.8	0.7	721.6	720.4	720.5	98	50	80	NW 0	N 1	SE 0	9	4	0	.	
18	16.0	24.6	17.6	19.4	1.3	720.8	720.5	722.3	87	**40**	78	SE 0	N 1	SE 0–1	0	3	3	.	
19	18.3	26.0	18.4	20.9	2.8	724.5	724.8	727.6	75	**40**	78	SE 0	N 2	SE 0	0	3	3	.	
20	17.0	22.0	17.8	18.9	0.8	727.8	727.8	728.9	85	71	88	E 0	NE 0	SE 0	1	10	0	.	
21	16.3	24.8	19.5	20.2	2.0	729.8	729.4	729.6	86	50	82	SE 0	N 0	SE 0	0	2	4	.	
22	18.3	25.2	21.2	21.6	3.4	729.4	729.2	729.1	85	59	75	SE 0	N 1	SE 0	0	2	0	.	
23	19.5	27.0	22.5	23.0	4.8	728.1	727.3	726.0	74	57	74	S 0	S 0	SE 0	0	0	8	1.4	n (23/24) ●
24	21.5	25.4	19.5	22.1	3.9	725.4	724.4	724.3	72	65	75	S 0	N 1	SE 0	1	9	3	**17.0**	Ks² ● 3–5¼p, ≺ 8¾p
25	20.2	26.2	20.8	22.4	4.2	724.2	722.9	723.0	70	52	83	SE 0	N 0	SE 0	1	5	0	.	
26	19.0	28.0	23.7	23.6	5.4	722.9	721.4	723.4	74	45	65	SE 0	N 2	SW 0–1	0	1	0	.	
27	19.8	28.4	24.3	24.2	6.0	725.2	724.6	724.6	80	42	64	S 0	N 1	S 0	0	2	0	.	
28	20.7	29.2	20.7	23.5	5.3	725.6	724.4	724.9	65	45	72	S 0	W 2	SE 0–1	3	2	0	.	
29	19.4	28.4	22.2	23.7	5.6	726.0	724.4	723.4	77	50	62	S 0	N 2	SE 0	0	2	0	.	
30	21.9	**29.8**	22.2	24.6	6.5	724.7	723.0	721.5	61	45	59	SE 0	NW 0–1	SE 0	3	5	0	.	≺ III
31	22.5	25.8	20.2	22.8	4.7	721.8	722.0	722.6	65	51	82	SW 0	N 0	NW 1	10	9	8	1.0	Ks ● 8¼–9¼p
																		Summe	
Mittel	17.4	23.9	18.8	20.0	-	726.0	725.5	725.8	81	53	78				3.4	4.8	4.2	59.3	

Juli 1911. *Observatorium.*

Genf.

$\lambda = 6° 9'$, $\beta = 46° 12'$, $Hb = 405.0^m$, $G = 0.02\,^m/_m$.

1	23.0	29.0	24.0	25.1	6.9	724.4	723.7	**723.1**	56	30	67	SW 1	SSW 1	WSW 1	8	2	3	.	p ⌿
2	21.8	26.5	20.9	22.9	4.6	724.4	725.1	727.6	62	50	59	SW 1	W 1	SSW 1	1	8	9	.	●° 9½a
3	16.0	21.4	17.0	18.5	0.2	730.9	731.7	734.0	71	46	53	N 1	N 1	NNE 2	6	2	1	.	⌿ 7p–n
4	**13.2**	16.9	16.7	15.4	−3.0	**735.0**	734.5	734.3	65	60	67	NNE 1	N 1	NNE 1	9	8	0	.	
5	14.5	20.4	18.3	16.5	−2.0	734.9	733.6	733.0	66	59	50	NNE 1	N 1	NNE 1	1	0	0	.	⌓ l
6	16.3	21.5	20.3	18.1	−0.4	733.0	731.5	730.5	64	51	68	N 1	N 1	N 0	0	0	0	.	⌓ l
7	18.4	22.0	20.4	19.7	1.2	732.4	731.8	731.9	72	56	70	N 0	N 1	WNW 0	0	1	0	.	⌓ l
8	18.7	24.3	22.1	20.9	2.3	734.2	733.5	732.8	65	49	75	W 0	N 1	N 0	0	1	0	.	⌓ l
9	19.9	27.2	21.4	21.7	3.1	733.6	732.1	731.7	71	42	58	NW 0	N 1	NNE 1	0	1	0	.	⌓ l
10	17.7	21.5	18.9	18.8	0.1	731.5	730.2	730.3	65	47	50	NNE 1	NNE 2	NNE 3	4	1	0	.	⌿
11	15.2	20.6	19.7	18.0	−0.7	732.9	732.3	730.8	57	50	50	NNE 1	NNE 2	NNE 2	1	0	0	.	⌿
12	16.8	23.3	20.5	19.7	1.0	731.7	730.7	730.1	61	44	50	N 1	N 2	NW 1	0	0	0	.	⌿ II
13	19.0	24.0	20.3	19.9	1.1	731.2	730.0	729.7	69	49	62	W 0	NNE 1	NNE 1	2	3	4	.	≡° l
14	17.5	22.8	20.0	19.7	0.9	730.3	728.9	729.3	77	62	62	NNE 0	N 2	NNE 1	0	7	0	.	⌓ ≡° l, ⌿ II
15	17.4	26.3	18.7	19.3	0.5	729.3	727.6	728.2	74	38	78	NE 1	NNE 2	WNW 0	0	3	0	0.5	⌓ l, ⌿ II, Ks ● 4¾–5¾p
16	10.3	26.7	20.5	20.5	1.7	727.7	726.0	726.0	75	38	60	WNW 1	N 1	ESE 1	0	4	0	.	⌓ ≡° l
17	16.2	25.5	20.5	20.0	1.2	725.7	724.5	724.5	73	37	55	SE 0	N 1	NW 0	0	0	0	.	⌓ ≡° l
18	17.6	28.5	21.4	21.5	2.6	725.9	725.4	726.3	60	**21**	55	WNW 0	SW 1	WSW 0	0	1	0	.	⌓ ≡° l
19	19.2	28.0	21.8	21.7	2.8	728.8	729.4	730.5	64	31	58	SW 0	WSW 1	N 0	2	9	6	.	≡° l
20	18.0	28.1	22.8	21.7	2.8	731.8	731.2	732.1	70	23	54	W 0	NNE 2	NNE 2	0	1	0	.	≡° l, p ⌿
21	19.5	30.3	23.3	21.9	3.0	733.9	733.2	733.2	60	43	55	NW 1	N 1	NNE 1	0	0	0	.	≡° l
22	20.2	30.0	23.1	22.1	3.2	734.1	733.3	732.2	71	47	67	WSW 0	N 1	NW 1	0	0	0	.	≡° l
23	20.4	27.0	25.3	23.4	4.5	732.6	730.8	730.8	71	58	57	WNW 0	N 1	SSE 1	0	2	3	.	Ks 7½, 8p
24	22.3	**33.6**	23.5	24.7	5.8	730.2	728.0	729.7	61	27	59	SSW 0	SSW 1	SE 2	0	3	10	.	≡° l, p Ks, ⌿ ●° 9½p
25	21.1	30.7	24.4	24.2	5.3	729.0	727.3	726.5	73	62	69	ENE 1	N 1	W 1	0	1	2	.	
26	23.4	31.7	25.3	26.4	7.5	728.2	727.0	727.7	62	24	40	NW 1	SSW 1	SW 1	1	1	8	.	Ks III
27	21.9	28.7	26.3	25.3	6.4	729.4	728.7	729.1	57	33	50	SW 1	N 1	W 1	1	1	8	.	≡° l, ⌒ 7p, ≺ ●° 9p
28	21.9	27.1	21.4	23.7	4.9	731.4	729.6	731.2	62	41	67	SSW 1	WNW 1	NNE 2	9	3	7	.	●° 7½a, Ks 7¼–8p, ⌿ III
29	20.2	25.1	24.0	22.3	3.5	730.3	728.7	727.7	68	57	54	SE 0	N 1	ESE 1	0	1	2	.	
30	22.4	28.2	25.0	24.5	5.7	728.2	726.7	725.6	64	40	56	SW 1	NNW 1	NW 0	1	2	10	**4.3**	≺ 1a, 9p, ●° 10p, n Ks ●
31	20.9	27.8	23.4	23.5	4.7	726.7	725.8	726.1	79	41	62	N 1	N 1	WNW 1	2	5	6	.	Ks 6½–8p, ≺ 10p
																		Summe	
Mittel	18.9	25.6	21.7	21.3	—	730.4	729.5	729.6	67	44	59				1.5	2.3	2.5	4.8	

Die Temperatur-Tagesmittel von Genf resultieren aus 8 Beobacht. in dreistünd. Zeitintervallen. — Die Beobachtungstermine sind $7^{35}a$, 1^{35} u. $9^{35}p$.

$\lambda = 8° 33'$, $\beta = 47° 23'$,
$Hb = 493.2^m$, $G = 0.08\,{}^m/_m$.

Zürich.

Juli 1911.
Meteorol. Centralanstalt.

Tag	Lufttemperatur					Luftdruck			Relative Feuchtigkeit			Windrichtung und Stärke			Bewölkung			Niederschlag	Witterung
	7^{30}	1^{30}	9^{30}	Mittel	Abweich. vom Normalst.	7^{30}	1^{30}	9^{30}	7^{30}	1^{30}	9^{30}	7^{30}	1^{30}	9^{30}	7^{30}	1^{30}	9^{30}		
1	16.1	19.7	16.4	17.4	−0.4	716.4	**716.2**	716.7	91	76	95	E 1	SE 1	SE 0	9	8	7	0.9	● $1^1/_4$–$3^3/_4$, $9^3/_4$–11^a, ●°
2	17.0	24.0	18.1	19.7	1.8	717.3	716.7	720.4	92	64	75	SW 1	NW 1	NW 1	6	7	9	1.5	● $11^1/_4{}^p$–$1^1/_4{}^a$ [$3^3/_4$–6^p
3	14.1	18.4	14.8	15.8	−2.1	723.7	724.3	727.8	79	53	62	NE 0	N 1	N 1	10	7	9	0.1	● $2^1/_4$–3^a
4	**11.1**	19.5	14.8	15.1	−2.9	**728.1**	727.7	728.0	80	51	62	N 1	NE 2	E 1	6	5	2	.	↙ II
5	12.4	21.5	15.0	16.3	−1.7	**728.1**	727.3	726.6	71	40	63	NE 2	NE 2	NE 1	2	1	0	.	↙
6	13.7	24.5	18.4	18.9	0.8	726.0	724.3	724.2	75	40	60	NW 1	E 1	N 1	1	0	0	.	
7	15.0	26.1	19.3	20.1	2.0	724.8	725.0	725.3	73	38	58	NW 1	NE 1	E 0	0	1	0	.	
8	16.7	29.3	21.0	22.3	4.1	726.4	726.1	725.5	76	**27**	65	E 1	SW 1	SW 0	1	1	1	.	
9	18.1	28.6	19.0	21.9	3.7	726.1	724.9	725.1	79	28	64	N 0	NW 1	N 1	2	2	2	.	
10	14.6	22.0	15.2	17.3	−0.9	725.4	725.2	725.6	67	40	57	NE 1	E 2	NE 1	2	1	0	.	↙ II
11	13.2	23.0	15.6	17.3	−1.0	726.1	726.0	725.7	74	37	70	NW 1	N 1	NE 1	0	0	0	.	
12	15.4	26.4	19.8	20.5	2.2	724.7	723.6	723.6	65	36	61	E 0	E 2	NE 1	0	1	1	.	↙ II [K_Δ° $8^1/_2{}^p$
13	17.6	28.0	17.6	21.1	2.8	723.8	722.5	722.8	75	39	85	NE 0	N 1	SE 1	4	2	4	1.6	●° $3^3/_4{}^p$, K_Δ°● $3^3/_4$–$4^3/_4{}^p$,
14	16.5	26.4	16.5	19.8	1.4	723.3	722.7	722.5	88	38	92	N 0	E 1	SE 0	1	4	2	2.6	p ↙, K_Δ●° $2^1/_2{}^p$, ● $2^3/_4$- *)
15	15.6	27.2	18.6	20.5	2.1	722.0	720.7	720.2	91	38	72	E 0	NW 1	E 1	0	5	4	0.7	●° $10^1/_2{}^a$, 1–$2^1/_2{}^p$
16	15.2	23.4	17.3	18.6	0.2	720.1	718.4	718.7	86	51	75	NW 1	NW 1	NW 1	0	6	3	.	
17	15.2	26.0	18.0	19.7	1.3	718.2	717.4	717.2	76	30	60	W 1	NW 1	NW 0	1	1	1	.	
18	16.8	28.2	19.1	21.4	3.0	717.6	717.6	718.4	79	28	67	SE 1	W 1	N 0	0	2	1	.	p ↙
19	17.9	28.8	20.2	22.3	3.9	721.2	721.6	723.6	79	30	64	S 0	N 1	SE 1	0	2	8	.	●° 9–$9^1/_2{}^p$
20	16.9	28.6	21.2	22.2	3.8	724.7	724.4	725.9	84	32	55	S 0	NE 1	NE 1	2	1	1	.	
21	17.3	27.9	20.2	21.8	3.4	727.1	726.6	726.8	66	39	53	NE 1	E 2	NE 1	1	2	1	.	p ↙
22	17.4	29.4	23.0	23.3	4.9	726.6	725.9	725.0	73	34	48	NE 0	NE 1	NE 0	0	1	0	.	
23	18.6	33.2	23.8	25.2	6.8	724.8	723.4	722.3	77	29	50	E 0	SW 1	SE 0	0	0	2	.	$\lessdot_\Delta$ $9^1/_2{}^p$–n
24	22.0	**34.6**	19.2	25.3	6.9	722.1	720.6	720.9	81	29	76	S 0	W 1	E 1	2	5	3	**32.1**	K_Δ●^{2} ▲ ↙ 4–$4^1/_2{}^p$, K_Δ● 5–
25	19.1	31.4	22.3	24.3	6.0	721.3	720.1	719.9	86	35	78	E 0	SW 0	E 1	1	1	1	0.1	[$5^3/_4{}^p$
26	19.4	30.4	24.2	24.7	6.4	720.0	719.9	719.9	88	38	64	NE 0	W 1	SE 1	0	**2**	7	.	$\lessdot_\Delta$ III
27	20.6	31.6	23.6	25.3	7.0	722.0	721.1	721.1	81	36	71	N 1	W 0	S 0	1	0	1	.	
28	21.6	31.8	22.2	25.2	6.9	722.4	721.8	722.2	79	33	67	NE 1	W 1	SE 1	2	1	3	.	p $\lessdot_\Delta$, K_Δ●° 6^p, ↙ 7, 10^p
29	19.9	31.0	22.0	24.3	6.1	722.6	721.4	720.5	83	29	63	E 0	S 0	S 0	1	1	2	.	
30	20.4	33.0	24.1	25.8	7.6	721.1	719.7	718.7	80	**27**	60	SE 1	NE 1	NE 1	2	3	1	.	●° 4^p, $\lessdot_\Delta$ 12^p
31	20.4	31.6	22.6	24.9	6.7	719.1	718.3	719.0	88	33	66	NW 0	SW 0	NE 1	4	4	8	.	●° 8^p, $\lessdot_\Delta$ III
Mittel	17.0	27.3	19.4	21.2	—	723.0	722.3	722.6	79	38	66				2.0	2.5	2.7	Summe 39.6	*) **14.** $3^1/_2{}^p$, $\lessdot_\Delta$ III

$\lambda = 8° 30'$, $\beta = 47° 3'$,
$Hb = 1787.3^m$, $G = -0.11\,{}^m/_m$.

Rigi-Kulm.

Juli 1911.
Beobachter: Frl. *A. Gygax.*

1	10.7	13.7	12.1	12.2	3.2	**614.7**	614.8	615.7	71	64	75	W 4	W 4	W 1–2	10	9	9	4.3	↙^{2} n–II, ● III
2	11.2	13.3	9.1	11.2	2.1	615.5	615.7	617.8	74	83	100	W 0–1	W 0	W 0–1	7	9	10≡●	10.9	p ●, ≡ III
3	7.1	7.7	**4.8**	6.5	−2.6	619.0	619.4	622.8	100	100	100	SW 0	W 0	N 0	10≡	10≡	10≡	.	≡
4	6.9	9.4	6.8	7.7	−1.5	622.1	622.7	623.3	56	63	95	E 0–1	NE 0	E 0	9	10≡	10	.	≡ II
5	7.2	10.5	8.8	8.8	−0.5	622.7	623.4	623.1	75	69	60	E 1–2	NE 1	SE 1–2	3≡	5≡	3	.	≡ n–II
6	10.4	11.0	10.3	10.6	1.2	621.7	621.8	621.6	45	84	74	NE 2	NE 0–1	E 0	3	3	0	.	
7	12.1	12.4	11.2	11.9	2.5	621.4	622.5	623.4	58	70	46	NE 1	NE 1	E 0	0	5	0	.	
8	14.2	15.9	14.2	14.8	5.3	623.7	624.5	624.4	**24**	33	40	NE 0	NE 0	E 0	3	5	0	.	
9	13.5	15.9	11.0	13.5	3.9	624.1	623.9	622.6	68	53	92	NW 0	NE 0	NW 0–1	5	7	10	.	
10	9.3	9.6	6.4	8.4	−1.2	620.9	621.1	621.2	59	59	62	NE 0–1	NE 1	E 2–3	9	7	3	.	↙ III
11	7.9	9.9	7.7	8.5	−1.2	621.0	621.9	621.9	54	55	56	E 1	NE 1	NE 1–2	0	5	3	.	
12	9.0	12.0	11.2	10.7	1.0	620.5	621.1	621.3	40	54	47	E 2–3	NE 1	E 1–2	3	3	5	.	↙ I
13	12.7	13.0	10.9	12.2	2.4	621.2	621.1	620.7	45	55	70	NE 0–1	NE 0	NE 0	5	5	10●	3.9	● III
14	11.0	9.7	9.8	10.2	0.4	620.1	620.4	620.2	70	95	60	NE 1	E 2	E 2	3	7	7	2.5	≡° ● II
15	10.7	12.7	10.6	11.3	1.5	619.3	619.3	619.0	64	50	70	NE 1–2	NW 1	W 0	1	5	5	.	
16	10.3	12.7	8.4	10.5	0.6	617.7	617.2	616.5	63	73	97	NW 1–2	W 1	NW 0	5	7≡	7	**12.9**	≡ II, K_Δ● 3^p
17	7.6	11.7	9.9	9.7	−0.2	615.5	615.6	615.8	96	62	64	W 0–1	W 0	S 0	10≡	3	3	.	≡ I
18	9.9	14.1	13.3	12.4	2.5	615.9	616.6	617.7	48	40	35	W 1	W 0–1	W 1–2	1	3	5	.	
19	11.7	14.5	11.1	12.4	2.4	619.5	620.6	621.6	34	37	62	W 0–1	NW 0	W 0–1	1	5	7	1.2	● 8^p
20	13.3	13.8	13.0	13.4	3.4	622.1	622.7	623.7	46	64	46	E 0	NW 0–1	E 0–1	3	5	1	.	
21	13.1	14.3	13.1	13.5	3.5	623.7	624.4	**624.9**	49	62	56	E 2–3	NE 0	E 0–1	3	5	1	.	↙ I
22	16.3	17.9	16.5	16.9	6.9	624.5	**624.9**	**624.9**	40	37	41	SW 0	W 0–1	SW 0	0	3	0	.	
23	16.5	**19.9**	17.3	17.9	7.9	624.0	624.0	623.5	44	39	41	W 1–2	NW 0	W 0	0	3	3	.	
24	17.5	19.2	16.2	17.6	7.6	622.2	621.6	621.0	39	49	35	W 0	NE 0	SW 0–1	5	7	7	2.9	K_Δ● 3^p
25	16.5	18.3	16.8	17.2	7.2	620.6	620.5	620.2	26	33	40	NW 0	W 0	NE 0–1	3	5	3	1.4	K_Δ● 3^p
26	15.3	17.5	15.7	16.2	6.1	619.5	620.1	620.3	45	45	50	NW 0	E 0	E 0	0	5	5	.	
27	16.7	19.0	17.2	17.6	7.5	620.9	621.0	621.6	53	51	55	E 0	SW 0	E 1–2	3	3	3	.	
28	17.8	17.6	16.3	17.2	7.1	621.7	622.0	622.2	34	48	35	S 1–2	W 0	W 0	5	3	5	7.7	● 4–$5^1/_2{}^p$
29	16.2	19.1	17.7	17.7	7.7	621.7	621.6	621.3	39	34	29	E 1	S 0	W 0	1	3	5	.	
30	16.8	19.4	16.9	17.7	7.7	621.0	620.7	619.6	34	33	35	N 0	NE 0	E 0	5	5	5	.	
31	15.1	19.7	15.8	16.9	6.9	618.4	618.6	618.9	43	33	45	W 1–2	NW 0	W 0	7	7	5	.	
Mittel	12.4	14.4	12.3	13.0	—	620.5	620.8	621.1	53	56	58				4.0	5.4	4.8	Summe 47.7	

Juli 1911.
Beobachter: *J. Camenisch.*

Bevers.

$\lambda = 9° 53'$, $\beta = 46° 33'$,
$H_b = 1712.6^m$, $G = -0.12\,mm$.

Tag	Lufttemperatur					Luftdruck			Relative Feuchtigkeit			Windrichtung und Stärke			Bewölkung			Niederschlag	Witterung
	7^{30}	1^{30}	9^{30}	Mittel	Abweich. vom Normalst.	7^{30}	1^{30}	9^{30}	7^{30}	1^{30}	9^{30}	7^{30}	1^{30}	9^{30}	7^{30}	1^{30}	9^{30}		
1	10.7	19.4	12.2	14.1	3.0	621.3	620.7	621.4	85	36	75	S 1	SW 3	W 1	9	9	8	.	⸗ II
2	13.0	18.0	9.8	13.6	2.4	621.5	621.3	623.9	87	48	91	SW 1	SW 3	W 1	8	10	10●	3.4	⸗ II, ⊼● $1^3/_4$p, ⊼ 5p, ●–
3	8.6	20.1	10.2	13.0	1.8	624.2	623.9	626.8	95	36	74	— 0	SW 2	W 1	10≡	3	5	.	≡ I [III, ≺ 11p
4	7.2	17.4	9.6	11.4	0.1	628.2	627.1	628.1	86	40	78	N 1	W 3	— 0	10	9	1	.	⸗ II
5	8.4	18.0	10.5	12.3	0.9	628.6	627.5	628.1	90	31	66	NE 1	W 1	— 0	10	0	1	.	
6	7.6	20.4	11.2	13.1	1.6	627.9	625.8	626.9	92	45	86	— 0	S 1	— 0	10≡	2	5	.	≡ I
7	11.4	18.8	10.8	13.7	2.2	627.0	626.3	628.3	83	35	80	NE 2	NE 2	W 1	4	4	0	.	
8	8.4	19.4	13.4	13.7	2.1	629.4	628.6	629.6	94	39	48	— 0	NE 3	NE 1	0	6	5	.	⸗ II
9	10.8	18.4	11.4	13.5	1.8	628.7	627.4	627.6	81	44	54	— 0	N 1	— 0	5	7	4	0.7	n ($^8/_{10}$) ●°
10	8.8	15.0	8.0	10.6	−1.1	625.8	625.2	626.4	91	43	57	— 0	N 2	— 0	10●	4	1	2.4	a ⊼●
11	4.8	15.9	9.2	10.0	−1.8	626.8	625.4	626.6	85	41	54	E 1	NE 4	— 0	1	6	1	.	⸗² II
12	7.0	19.0	11.8	12.6	0.8	626.7	625.7	626.7	80	36	73	— 0	NE 1	— 0	0	2	4	.	
13	12.1	15.7	9.1	12.3	0.4	626.8	625.6	625.9	81	50	94	— 0	S 1	— 0	8	10●	10	13.7	⊼● $0^3/_4$p–p
14	10.0	11.6	8.8	10.1	−1.8	625.3	625.3	625.3	94	81	90	N 1	NE 2	NE 1	9	10	7	1.8	● 7p
15	8.1	18.6	8.9	11.9	−0.1	624.7	623.1	623.9	94	41	82	— 0	NE 1	W 1	10	6	5	0.6	⊼●° 5p–p
16	8.4	14.5	8.8	10.6	−1.3	622.9	622.0	621.5	90	61	78	E 1	NE 1	N 1	7	6	7	0.3	⊼●° 0–1p
17	7.6	17.4	9.3	11.4	−0.6	620.9	**620.4**	620.9	80	36	69	— 0	W 1	— 0	1	2	6	.	
18	10.1	18.8	11.6	13.5	1.4	621.3	621.1	623.5	88	43	74	— 0	W 3	W 1	5	7	7	0.4	⸗ II, ⊼●° 2p–p
19	9.4	17.1	11.3	12.6	0.5	625.6	625.5	627.0	90	46	76	S 1	S 2	W 1	3	9	8	0.3	⊼●° 3–5p, ◠ 5p
20	9.2	18.7	12.7	13.5	1.4	627.5	626.8	628.8	90	42	64	S 1	W 3	NE 1	4	8	6	.	●° ⸗ II
21	9.6	22.6	13.6	15.3	3.2	629.7	629.0	630.3	90	46	76	SE 1	S 2	W 1	0	3	0	.	
22	11.1	22.8	13.2	15.7	3.6	**630.5**	629.1	630.2	91	45	75	— 0	S 3	W 1	1	5	0	.	⸗ II
23	12.6	23.2	14.4	16.7	4.6	**630.5**	628.4	628.6	84	44	82	— 0	SE 4	W 1	3	3	8	0.2	⸗² II, ⊼●° $3^3/_4$–5p, ≺ III
24	11.6	18.4	9.9	13.3	1.2	627.2	627.0	628.3	91	54	96	— 0	SW 1	NE 1	3	10	6	**29.6**	p ⊼², ●² $2^1/_4$–4p, ▲ $2^1/_2$–
25	10.0	22.0	13.0	15.0	2.9	627.0	625.5	625.9	96	39	70	— 0	SW 3	— 0	0	2	0	.	⸗ II [$2^3/_4$p
26	10.8	23.3	14.0	16.0	3.9	626.2	624.9	625.7	88	31	75	— 0	SW 2	S 1	1	1	0	.	
27	10.7	**24.0**	16.0	16.9	4.9	627.2	626.1	627.5	90	**24**	66	SE 1	S 2	NE 1	0	1	7	.	
28	11.2	23.2	16.0	16.8	4.8	628.1	627.3	627.8	89	28	60	— 0	SE 1	S 1	1	1	0	.	
29	11.2	21.5	13.6	15.4	3.4	627.4	626.5	626.7	85	39	79	— 0	W 3	— 0	1	6	4	.	⸗ II, ⊼ 9p
30	11.5	22.4	11.6	15.2	3.3	626.4	625.1	625.7	84	40	75	— 0	SW 3	— 0	5	5	0	0.1	⸗ II, ⊼●° 4p
31	10.6	15.4	11.8	12.6	0.7	624.2	623.6	624.3	86	74	83	— 0	S 2	— 0	1	9●	7	3.4	⊼² ⸗ ● $0^1/_4$–$0^3/_4$p, ●° II,
																		Summe	[● $5^1/_2$–7p
Mittel	9.8	19.1	11.5	13.4	—	626.3	625.4	626.4	88	43	74				4.5	5.4	4.3	56.9	

Juli 1911.
Beobachter: P. *F. Landolt.*

Sitten.

$\lambda = 7° 21'$, $\beta = 46° 14'$,
$H_b = 540^m$, $G = 0.00\,mm$.

1	18.0	24.5	22.1	21.5	2.6	713.3	711.9	**711.5**	68	56	53	SE 0	SW 0	E 0	10	9	3	.	
2	17.5	25.1	20.3	21.0	2.0	713.0	712.6	714.7	77	72	71	E 0–1	SW0–1	SW 1	7	8	10	2.7	⊼● 11–11 $1^1/_4$a, $2^1/_2$–$2^3/_4$p
3	17.9	22.9	18.2	19.7	0.7	718.6	717.9	720.3	67	54	59	SW0–1	SW 1	SW2–3	4	2	1	.	⸗ III
4	**14.7**	20.5	16.5	17.2	−1.9	722.2	721.4	721.8	81	66	78	S 0	SW 1	SW 0	10	9	0	.	
5	16.0	22.8	19.3	19.7	0.6	**722.6**	720.1	720.1	80	58	65	S 0	SW 2	S 0	0	1	0	.	
6	17.0	24.1	21.0	20.7	1.6	720.8	718.2	718.0	87	57	67	SW 0	SW1–2	SW *1	0	1	0	.	
7	19.2	25.6	21.4	22.1	2.9	719.8	718.2	719.9	87	55	63	SW0–1	SW1–2	E 1	1	2	0	.	
8	18.6	27.1	21.7	22.5	3.3	722.5	720.6	721.0	72	56	53	E 0–1	SW0–1	N 1	0	2	0	.	
9	19.6	29.1	23.6	24.1	4.8	722.0	719.2	719.3	58	44	45	E 0	SW0–1	W 2	0	3	1	.	
10	19.5	25.3	19.4	21.4	2.1	718.8	716.4	717.9	76	57	59	SW0–1	SW1–2	W 1–2	5	7	0	.	
11	16.7	23.6	19.4	19.9	0.5	720.0	718.1	718.6	77	55	55	SW0–1	SW 1	SW 1	0	2	0	.	
12	16.2	24.6	20.8	20.5	1.1	719.4	717.0	718.1	67	46	58	SE 0	SW1–2	SW *1	0	0	3	.	
13	19.2	24.1	19.1	20.8	1.4	719.0	717.9	718.3	58	51	66	SE 0	SW0–1	NE0–1	0	9	10	.	●° $7^1/_2$p
14	18.2	26.1	18.0	20.8	1.3	718.2	715.7	717.1	74	49	67	SW0–1	SW0–1	NE0–1	0	3	1	.	
15	16.9	26.3	18.4	20.5	1.0	717.5	714.9	716.8	70	46	75	SE 0–1	SW0–1	NE 1	0	3	6	1.3	⊼°● $5^1/_2$p
16	16.4	26.5	20.9	21.3	1.8	716.0	713.3	714.0	76	47	51	E 0–1	SW1–2	W 0–1	0	4	1	.	
17	17.6	25.7	21.6	21.6	2.0	713.9	711.6	712.4	67	49	42	E 0	SW 1	NW0–1	0	2	3	.	
18	17.7	26.7	20.9	21.8	2.2	714.5	712.7	715.1	61	40	47	E 0–1	W 0–1	W 0–1	0	0	10	.	
19	18.2	27.5	20.6	22.1	2.5	717.9	716.2	719.6	57	45	59	SE 0–1	SW0–1	NE 1	0	7	9	.	
20	18.2	28.2	22.2	22.9	3.3	720.3	718.1	719.9	77	47	53	E 0–1	SW0–1	E 0	0	3	0	.	
21	20.0	28.0	23.4	23.8	4.1	722.0	720.1	720.8	60	47	57	E 0–1	SW 1	NW0–1	0	1	0	.	
22	20.7	29.3	24.0	24.7	5.0	722.4	720.5	720.7	66	53	56	E 0–1	SW0–1	E 0–1	0	4	0	.	
23	20.8	30.8	24.7	25.4	5.7	721.5	718.7	719.0	67	50	50	E 0	SW 1	NE0–1	0	3	9	0.1	●° III
24	21.2	**31.2**	22.9	25.1	5.4	719.2	716.1	718.2	75	45	70	E 0–1	SW0–1	NW1–2	5	7	8	.	
25	19.5	28.0	24.6	24.0	4.3	718.1	715.5	715.0	75	47	47	E 0–1	SW 1	N 1	0	3	4	.	
26	21.2	29.6	24.3	25.0	5.3	716.5	714.4	715.5	57	44	50	E 0–1	SW1–2	E 0–1	0	0	6	.	
27	20.2	29.4	24.0	24.5	4.9	718.0	716.5	717.1	57	43	45	E 0–1	SW 1	E 1	0	1	0	.	
28	18.8	28.8	18.4	22.0	2.4	719.3	717.9	721.2	51	45	90	E 0–1	SW0–1	NW0–1	4	5	3	1.0	⊼● $6^1/_4$–7p
29	18.9	28.7	23.6	23.7	4.1	719.8	716.9	716.9	74	44	47	E 0–1	SW0–1	NE 0	0	2	0	.	
30	20.4	30.1	24.7	25.1	5.6	717.5	714.7	714.5	70	**39**	55	E 0	SW0–1	E 0	0	3	2	**2.7**	n ($^{30\ 31}$) ⊼●
31	17.8	26.2	22.5	22.2	2.7	717.4	714.3	715.5	100	48	64	SE 0	E 0	NE 1	10	3	2	2.1	● n–$8^1/_2$a
																		Summe	
Mittel	18.5	26.7	21.4	22.2	—	718.8	716.7	717.7	71	50	59				1.8	3.5	3.0	9.9	

$\lambda = 8° 57'$, $\beta = 46° 0'$, $H_b = 276.2^m$, $G = 0.03^{m}/_{m}$.

Lugano.

Juli 1911.
Beobachter: *G. Belletti.*

Tag	Lufttemperatur 7³⁰	1³⁰	9³⁰	Mittel	Abweich. vom Normalst.	Luftdruck 7³⁰	1³⁰	9³⁰	Relative Feuchtigkeit 7³⁰	1³⁰	9³⁰	Windrichtung und Stärke 7³⁰	1³⁰	9³⁰	Bewölkung 7³⁰	1³⁰	9³⁰	Niederschlag	Witterung
1	19.6	27.9	19.8	22.4	1.8	735.8	735.0	735.3	83	68	90	NE 0	SE 0	N 0	10	6	0	.	
2	21.4	24.5	21.8	22.6	1.9	736.1	736.1	736.6	84	79	74	SE 0	SW 0	N 0	3	10	10	**21.3**	≺² III, K ●² 9 3/4–10 1/2 p
3	19.7	27.8	21.0	22.8	2.0	738.7	738.9	740.3	81	69	84	N 0	SE 0	N 0	3	4	3	.	
4	19.2	21.0	18.8	19.7	−1.2	743.6	744.3	745.3	77	83	80	N 0	SW 0	NW 0	8	10	10	0.8	●° 0 1/4–0 1/2 p
5	18.7	25.2	19.8	21.2	0.3	**746.0**	744.1	744.3	76	69	79	NW 0	SE 0	N 0	10	3	10	.	
6	20.0	24.2	19.8	21.3	0.3	744.3	742.9	743.6	78	63	77	NW 0	SE 0	N 0	8	8	10	.	
7	18.8	25.0	20.0	21.3	0.2	744.2	743.4	744.1	76	58	78	N 0	SE 0	N 0	10	0	8	.	
8	19.2	27.7	21.2	22.7	1.6	745.1	743.5	742.8	83	59	81	N 0	SE 0	N 0	0	0	0	.	
9	21.0	30.3	27.4	26.2	5.0	742.4	740.0	739.2	67	47	**21**	N 0	SE 0	N 2	0	0	0	.	↙ 6 p–n
10	21.0	20.9	**14.2**	18.7	−2.6	740.7	741.1	744.9	68	70	90	SE 0	NW 0	W 0	10	10	10	9.1	↙ n–4 1/2 a, ● 1 1/2–4 1/4 p
11	15.9	23.4	15.0	18.1	−3.2	744.1	743.6	743.6	81	52	83	N 0	SE 0	N 0	0	0	0	.	
12	16.4	26.6	19.0	20.7	−0.7	743.7	742.3	742.4	82	55	73	N 0	SW 0	N 0	0	0	3	.	
13	18.5	27.1	17.3	21.0	−0.4	742.5	740.7	740.9	79	52	92	N 0	SE 0	N 0	8	8	10	2.4	K° ● 7–9 p
14	17.8	27.8	17.8	21.1	−0.3	740.3	738.9	739.4	83	53	94	N 0	SE 0	N 0	8	3	7	3.2	● 5–6 p
15	18.8	27.8	18.1	21.6	0.1	738.9	737.0	737.2	83	59	78	N 0	S 0	NW 0	0	0	3	.	↙ 5–6 p
16	18.2	28.8	19.8	22.3	0.8	736.5	734.6	**733.6**	74	56	69	N 0	SE 0	N 0	0	0	0	.	
17	18.8	26.1	20.4	21.8	0.3	734.4	734.5	734.4	74	66	75	SE 0	SE 0	N 0	6	6	0	.	
18	20.4	26.2	20.6	22.4	0.9	736.0	736.0	737.6	81	65	86	NW 0	SE 0	N 0	8	8	5	.	
19	20.8	26.0	22.0	22.9	1.4	740.5	740.3	741.3	77	73	81	SE 0	SE 0	N 0	8	8	9	.	n (19/20) ≺²
20	20.0	25.6	21.0	22.2	0.7	742.5	742.0	742.8	83	61	82	NW 0	NW 0	N 0	8	6	1	.	
21	20.4	30.4	22.0	24.3	2.8	743.8	743.8	744.7	79	56	72	N 0	SE 0	N 0	0	0	0	.	
22	20.4	28.8	22.4	23.9	2.4	745.6	745.6	744.7	83	58	79	NE 0	SE 0	N 0	0	0	0	.	
23	22.4	30.0	22.7	25.0	3.5	744.9	743.4	742.9	85	61	74	NE 0	SE 0	N 0	0	2	1	.	
24	21.8	31.2	22.8	25.3	3.8	741.9	740.2	740.6	82	56	77	N 0	SE 0	N 0	0	3	0	.	
25	22.0	31.0	22.8	25.3	3.8	740.4	739.2	739.1	81	60	72	N 0	SE 0	N 0	0	2	1	.	
26	21.2	31.3	22.2	24.9	3.4	739.9	739.5	738.9	79	54	74	N 0	S 0	N 0	0	0	0	.	
27	20.6	32.2	20.6	24.5	3.1	740.3	739.7	740.6	73	45	71	N 0	S 0	N 0	0	0	0	.	
28	20.4	**32.8**	23.0	25.4	4.0	742.1	741.2	741.6	71	44	67	N 0	SE 0	N 0	3	3	3	.	
29	21.6	32.6	23.0	25.7	4.3	740.7	739.4	738.7	71	53	65	N 0	SE 0	N 0	0	0	0	.	
30	21.4	31.3	26.7	26.5	5.1	738.5	736.9	737.1	73	55	43	N 0	SE 0	N 1	0	3	3	.	●° 3 p, n ≺²
31	21.8	30.6	22.0	24.8	3.5	737.1	735.8	736.9	77	57	77	NW 0	W 0	NW 0	10	5	10	0.3	●° 8–9, 10 1/2–11 p, ≺ III–n
Mittel	19.9	27.8	20.8	22.8	—	741.0	740.1	740.5	78	60	75				3.9	3.5	3.8	Summe 37.1	

$\lambda = 7° 35'$, $\beta = 47° 33'$, $H_b = 277.2^m$, $G = 0.13^{m}/_{m}$.

Basel.

Juli 1911.
Bernoullianum.

Tag	Lufttemperatur 7³⁰	1³⁰	9³⁰	Mittel	Abweich. vom Normalst.	Luftdruck 7³⁰	1³⁰	9³⁰	Relative Feuchtigkeit 7³⁰	1³⁰	9³⁰	Windrichtung und Stärke 7³⁰	1³⁰	9³⁰	Bewölkung 7³⁰	1³⁰	9³⁰	Niederschlag	Witterung
1	15.4	21.0	16.3	17.6	−0.7	734.4	**733.8**	734.9	87	68	93	SE 1	N 1	NW 0	10	9	9	3.1	● 1 3/4–2 3/4 a, 2 1/2–5 3/4 p
2	16.6	23.4	17.6	19.2	0.8	735.2	735.2	739.7	94	67	72	E 1	NW 1	NW 1	5	5	9	.	● 4 1/4–5 a
3	14.4	20.4	14.2	16.3	−2.2	742.8	743.2	746.4	78	48	55	NW 0	W 1	W 1	2	5	8	.	
4	**10.4**	18.4	15.6	14.8	−3.7	**747.7**	746.5	746.7	84	59	73	NW 0	NW 1	NW 0	9	7	1	.	
5	12.0	22.0	18.4	17.5	−1.1	747.1	745.6	745.0	80	46	56	W 1	E 1	E 0	1	2	1	.	
6	14.4	24.0	21.4	19.9	1.3	744.6	742.5	742.4	78	49	55	W 0	N 1	E 0	0	2	1	.	
7	17.2	25.7	21.2	21.4	2.7	743.3	742.9	743.4	72	49	61	N 1	N 1	SE 0	0	2	0	.	
8	18.2	28.0	22.8	23.0	4.3	744.5	743.8	743.4	73	36	76	SE 1	E 1	S 0	0	1	1	.	
9	19.0	27.2	18.4	21.5	2.7	744.6	743.3	743.8	79	39	64	E 0	NW 1	W 1	4	2	5	.	
10	14.1	22.8	18.6	18.5	−0.3	744.3	743.3	744.1	78	34	45	W 0	NE 1	N 1	0	2	0	.	
11	14.1	23.8	20.0	19.3	0.5	745.0	744.1	743.8	71	32	54	W 0	NE 1	NE 0	0	3	1	.	
12	15.4	26.0	21.8	21.1	2.2	743.3	741.6	741.9	71	39	61	NW 0	E 1	E 0	0	5	1	.	
13	16.0	24.0	18.4	19.7	0.8	742.4	740.9	741.0	85	60	94	N 0	E 0	N 0	5	8●	8	8.8	K ● 11 1/2 a, 1 1/2–3, 7 3/4–[8 1/2, 11 1/4–12 p
14	16.2	22.2	18.5	19.0	0.1	742.0	741.1	740.9	89	72	85	W 1	N 1	N 1	3	7	5	0.1	● 6–6 1/4 a, K ●° 3 1/4 p
15	16.4	25.6	18.2	20.1	1.1	740.2	738.7	738.7	87	50	88	E 0	N 1	W 0	2	4	8	1.1	K 3 1/2 p, ● 3 3/4–4, 7 1/4–7 3/4 p
16	15.2	20.8	18.0	18.0	−1.0	738.8	737.2	737.3	89	70	72	W 1	W 1	SW 1	10	5	1	.	
17	15.0	24.0	19.4	19.5	0.5	736.7	735.6	735.0	80	47	68	E 1	NW 1	SE 1	0	3	0	.	
18	16.8	27.4	21.6	21.9	2.9	735.8	735.0	736.0	74	39	69	E 1	W 1	S 1	0	3	1	.	
19	18.0	27.4	21.6	22.3	3.3	739.6	739.9	741.2	71	40	69	E 1	W 1	S 1	3	4	5	.	
20	17.0	26.8	21.6	21.8	2.7	743.3	742.9	743.8	76	40	61	E 0	N 1	N 0	0	1	0	.	
21	17.0	28.0	23.2	22.7	3.6	745.8	744.5	744.9	70	43	54	NE 0	N 1	E 0	3	4	1	.	
22	18.5	30.8	24.4	24.6	5.5	744.9	743.5	742.8	67	30	59	E 0	E 1	E 0	0	0	0	.	
23	21.2	**33.0**	26.0	26.7	7.6	742.4	740.8	739.7	60	32	60	SE 1	W 1	SE 1	0	0	4	.	
24	22.4	31.4	24.0	25.9	6.8	739.7	738.3	738.0	68	40	62	E 1	NE 0	E 1	5	4	5	.	≺ III
25	22.2	30.4	21.8	24.8	5.8	738.6	737.2	737.6	66	42	72	E 2	NW 1	E 1	0	7	1	.	K ●° 1 1/2–1 3/4 p
26	21.2	29.6	24.2	25.0	6.0	738.6	737.6	737.8	75	40	63	E 0	NE 0	S 0	7	4	1	.	
27	22.0	30.5	25.4	26.0	7.0	739.8	738.7	739.0	66	42	69	E 1	NE 1	E 0	0	4	0	.	
28	22.5	31.0	24.6	26.0	7.0	740.3	740.1	740.3	72	32	65	E 1	SW 1	S 0	3	3	7	.	
29	23.3	32.6	27.4	27.8	8.8	740.1	738.1	737.4	57	**28**	47	E 1	E 1	SE 0	1	1	3	.	
30	22.4	32.4	25.0	26.6	7.6	738.5	737.0	736.4	71	31	67	SE 0	N 1	E 0	5	2	2	0.2	
31	21.2	31.6	22.1	24.8	5.9	736.9	735.9	737.0	75	63	72	E 1	W 1	E 1	8	7	8	.	●° 4 1/2–4 3/4 a, K 5 1/2–8 1/2 p
Mittel	17.9	26.5	21.0	21.7	—	741.3	740.3	740.7	76	45	66				2.8	3.8	3.1	Summe 13.3	

Juli 1911.
Observatorium.

Säntis.

$\lambda = 9° 20'$, $\beta = 47° 15'$,
$H_b = 2500.1^m$, $G = -0.16\,m/m$.

Tag	Lufttemperatur					Luftdruck			Relative Feuchtigkeit			Windrichtung und Stärke			Bewölkung			Niederschlag	Witterung
	7^{30}	1^{30}	9^{30}	Mittel	Abweich. vom Normalst.	7^{30}	1^{30}	9^{30}	7^{30}	1^{30}	9^{30}	7^{30}	1^{30}	9^{30}	7^{30}	1^{30}	9^{30}		
1	4.0	7.5	6.1	6.2	2.3	564.1	564.6	565.2	94	72	90	WSW 5	WSW 5	SW 4	10≡	9	7	4.1	↙² n–II, ↙–n, ● $7^3/_4$–*) ✳
2	5.8	8.4	5.0	6.4	2.4	565.2	565.7	566.8	97	89	100	SW 4	SW 4	WNW 3	9	7	10≡	**13.9**	↙ n–II, ● $5^1/_4$–$6^1/_2{}^a$, *) ✳
3	4.2	4.8	**1.0**	3.3	−0.8	567.6	568.7	570.8	98	98	100	WSW 3	WSW 3	WNW 1	10≡	10≡	10≡	0.4	≡ $7^1/_4{}^a$–n, ↙ $10^1/_2{}^a$, $4^1/_2{}^p$ ✳
4	1.9	7.4	2.5	3.9	−0.2	570.6	571.3	571.6	75	75	74	SW 1	SSW 1	SSW 0	9	8	1	.	≡ $8^3/_4$–$9^1/_4{}^p$ ✳
5	5.6	7.6	6.0	6.4	2.2	571.6	572.1	572.0	45	76	52	NE 1	ENE 0	SSE 0	5	7	2	.	✳
6	8.5	9.1	7.2	8.3	4.0	571.3	571.2	570.9	55	84	74	NE 1	NE 0	ENE 1	2	4	0	.	✳
7	6.8	7.5	7.1	7.1	2.7	570.8	571.7	572.5	80	94	53	NE 2	NE 1	NE 1	1	9	1	.	✳
8	8.3	10.1	8.4	8.9	4.4	572.9	573.9	573.7	61	83	87	NE 2	SW 1	WNW 2	2	6	8	.	✳
9	7.4	8.6	5.8	7.3	2.8	572.6	572.2	571.0	100	97	98	WNW 2	WNW 2	WNW 2	10≡	10≡	10≡	.	≡ ✳
10	3.1	3.7	1.8	2.9	−1.7	569.2	569.9	569.8	81	85	83	NW 2	ENE 1	E 2	7	9	1	.	≡ ✳
11	3.7	3.8	1.3	2.9	−1.8	569.7	570.6	570.5	**34**	89	98	ENE 2	NNE 1	NE 2	1	10≡	6	.	≡ $0^1/_2$–$9^1/_2{}^p$ ✳
12	3.7	6.1	6.9	5.6	0.8	569.8	570.7	570.8	76	85	71	NE 3	NE 1	NNE 2	1	6	1	.	✳
13	7.2	7.8	5.2	6.7	1.9	570.2	570.1	569.5	77	93	100	NE 1	NE 1	NNE 3	3	10≡	10≡	12.7	≡ $0^3/_4{}^p$–n, △ $2^1/_4$–5, *) ✳
14	4.9	4.8	4.0	4.6	−0.3	569.2	569.5	569.0	95	100	90	NNE 2	ENE 1	ENE 2	10≡	10≡●	6	0.7	≡ $7^1/_2{}^a$–7^p, ⊼ $10^3/_4{}^a$, *) ✳
15	4.3	0.8	5.2	5.4	0.5	568.2	568.5	567.8	95	87	83	ENE 2	NE 1	NNW 1	3	9	9	5.8	⊼ △ ● 2–3^1, 2^p, ≡ *) ✳
16	4.9	5.9	3.2	4.7	−0.3	566.2	565.7	565.0	100	93	98	WSW 2	WSW 4	WSW 3	10≡	10≡	10≡	0.2	≡ n–$5^1/_4$, 7^p–n, ↙ II ✳
17	2.4	5.6	4.4	4.1	−1.0	**563.8**	565.0	564.9	98	86	90	WSW 4	SW 3	WSW 3	9≡	2	1	.	≡ ↙ n–$1\,1^3/_4{}^a$
18	4.4	7.9	6.4	6.2	1.1	564.7	566.1	567.2	93	81	86	WSW 5	WSW 3	WSW 3	2	3	1	.	↙² I, ⊀° III
19	6.5	10.5	7.0	8.0	2.8	568.6	570.2	571.3	85	71	77	WSW 4	WSW 2	NW 0	3	4	4	.	↙ I
20	7.9	8.9	6.0	7.6	2.4	571.5	572.2	573.1	80	94	98	NNE 1	ENE 1	ENE 2	3	7	9	.	≡ $0^1/_2$–$1^3/_4{}^p$
21	7.4	9.6	10.2	9.1	3.8	573.5	574.4	574.6	70	82	42	ENE 2	SW 1	NE 0	2	7	3	.	≡ $2^1/_4$–$3^1/_4{}^p$
22	11.5	12.8	11.8	12.0	6.7	574.2	**574.9**	574.6	43	87	50	ENE 1	ENE 0	SE 1	1	7	0	.	
23	11.4	15.1	11.9	12.8	7.5	573.8	573.9	573.3	80	70	76	W 2	SW 2	WSW 2	1	2	3	.	⊀° $9^1/_4$–$9^1/_2{}^p$
24	11.5	14.2	10.2	12.0	6.6	572.0	571.9	571.0	86	82	79	SW 2	WSW 0	SSW 2	4	9	6	0.4	⊼ I, ● $2^1/_4$, $5^1/_4$–$7^1/_2{}^p$
25	9.9	13.5	10.8	11.4	6.0	570.4	571.0	570.6	72	75	86	WSW 3	SSW 1	NNW 1	2	7	3	.	
26	12.4	14.2	10.7	12.4	7.0	569.6	570.0	570.7	41	97	91	SW 1	SSE 1	NNW 1	1	10≡	2	.	≡ $1^1/_2$–$2^1/_2{}^p$, ⊀ III
27	10.4	**15.4**	12.6	12.8	7.4	571.0	571.4	572.2	95	96	61	ENE 1	SE 1	NNE 2	1	10≡	3	2.1	≡ $1^1/_4$–$3^1/_4{}^p$, ● $4^3/_4$– *)
28	13.6	**15.4**	11.4	13.5	8.1	572.0	572.2	572.1	72	75	74	ESE 1	S 1	W 1	2	8	3	0.9	⊼ 6–$7^1/_4{}^p$, △° ◠ 7^p
29	11.2	13.4	11.2	11.9	6.4	571.4	571.6	571.4	92	94	76	ENE 1	SSE 1	WSW 1	1	4	3	0.4	△° ●° 0–$0^1{}^4{}^p$, ⊀ III
30	10.6	13.2	11.2	11.7	6.2	570.5	570.8	569.7	89	79	72	WNW 2	SW 0	ESE 1	3	8	2	0.4	●° $2^3/_4$–$3^3/_4{}^p$, △° 3^p
31	10.4	11.8	9.3	10.5	5.0	568.3	568.9	568.7	88	81	36	SW 2	W 1	NNE 1	6	7	2	0.3	≡ 6–$7^1/_4{}^p$, △°●° $6^1/_4$–$6^1/_2{}^p$
																		Summe	
Mittel	7.3	9.4	7.2	8.0	—	569.8	570.4	570.4	79	85	79				4.3	7.4	4.4	42.3	

*) **1.** 9, $10^1/_4{}^a$–$0^3/_4{}^p$, ≡ $7^1/_2$–$9^1\,2^a$, $3^3/_4$–$4^3/_4{}^p$, ⊼° 9^p–n *) **2.** $0^1/_2$–9^p, ⊼ $6^1/_2$–$6^3/_4{}^a$, $2^1/_4$–$5^3/_4{}^p$, ≡ n–$6^3/_4{}^a$, $2^3/_4{}^p$–n, ▲ $2^1/_2{}^p$, △ $4^1/_2{}^p$ *) **13.** $7^3/_4$–8^p, ● $2^1/_4$–5, $7^3/_4$–$9^1/_2{}^p$, ⊼ $4^1/_4{}^p$–n *) **14.** △° 11^a, ●° $1^1/_4$–2, $5^1/_2$–6^p *) **15.** $2^1/_4$–$4^1/_2{}^p$, n ● △ *) **27.** $7^1/_2{}^p$, △ ◠ 6–$6^1/_4{}^p$

Juli 1911.
Beobachter: *D. Dittli.*

St. Gotthard (Hospiz).

$\lambda = 8° 34'$, $\beta = 46° 33'$,
$H_b = 2102.9^m$, $G = -0.14\,m/m$.

1	10.1	15.8	10.4	12.1	5.5	593.0	593.3	593.7	63	50	96	S 1	S 1	S 1	9	8	5	.	
2	9.4	13.4	8.8	10.5	3.8	593.7	593.9	594.9	79	79	81	S 1	S 1	S 1	10	9	9	**4.6**	● $0^1/_4$–$0^3/_4$, $2^3/_4$–6^p, ≡ III
3	6.1	11.0	4.4	7.2	0.4	595.9	596.8	599.0	99	64	99	N 1	N 2	N 3	1	1	10≡	.	≡² ↙ III
4	**3.8**	13.0	6.0	7.6	0.8	598.9	599.4	599.8	84	46	99	N 1	S 1	N 2	10	10	10≡	.	≡ 6–n
5	7.0	11.8	7.9	8.9	2.0	599.8	600.0	600.1	91	31	92	NW 0	N 2	N 1	8	0	1	.	
6	9.4	14.2	8.9	10.8	3.8	599.1	598.5	598.8	71	32	94	S 1	N 2	N 2	1	0	3	.	
7	9.2	12.4	9.6	10.4	3.3	598.5	599.2	600.5	72	56	76	S 0	N 2	N 1	1	5	0	.	
8	10.2	14.4	11.2	11.9	4.7	600.8	601.5	601.6	39	39	55	N 1	N 2	N 2	0	1	0	.	
9	10.2	13.5	9.7	11.1	3.8	600.3	599.8	598.9	60	51	58	N 3	N 3	N 3	1	5	3	.	↙
10	5.9	7.8	4.7	6.1	−1.3	597.3	597.2	598.0	98	75	89	N 2	N 2	N 1	10≡	3	3	.	≡² I
11	5.7	8.9	5.6	6.7	−0.8	597.7	598.3	598.7	60	51	89	E 0	N 2	N 2	0	5	3	.	
12	7.4	14.2	8.8	10.1	2.5	597.8	598.1	598.9	65	38	75	N 0	S 1	N 1	0	1	5	.	
13	9.9	10.5	7.3	9.2	1.6	598.4	597.7	597.5	61	68	93	N 0	N 2	N 2	9	9	6	1.6	● $7^1/_4$–$8^1/_2{}^p$
14	7.9	10.2	7.0	8.4	0.7	597.0	597.1	597.3	74	66	92	N 2	N 2	N 3	3	3	9	.	↙ III
15	7.4	11.8	7.9	9.0	1.2	596.2	595.9	595.7	73	45	85	N 1	N 3	N 2	1	2	5	1.8	↙ II, n ●
16	8.0	10.6	6.6	8.4	0.5	594.3	594.0	593.1	76	58	97	N 2	N 2	N 2	4	8	5	0.8	●° $5^3/_4$–$6^1/_2{}^p$
17	6.2	12.0	8.6	8.9	0.9	**592.7**	**592.7**	593.3	80	39	72	N 1	N 2	N 1	2	1	5	.	
18	9.2	14.2	9.2	10.9	2.9	593.3	593.9	595.7	59	30	93	N 0	NW 1	N 1	0	3	4	.	
19	10.2	14.2	8.6	11.0	2.9	597.1	597.7	599.0	49	50	69	N 0	S 2	N 1	0	6	7	0.6	●° $2^1/_2$–$4^1/_4{}^p$
20	9.0	12.1	9.8	10.3	2.2	599.2	599.8	601.0	68	60	75	N 2	N 3	N 2	1	4	2	.	↙ II
21	10.6	18.2	11.8	13.5	5.4	601.2	601.7	**602.4**	59	38	75	N 2	S 1	N 1	1	1	2	.	
22	12.6	17.8	12.6	14.3	6.1	602.2	602.2	**602.4**	76	36	76	N 0	N 2	N 1	2	2	1	.	
23	13.7	19.0	14.2	15.6	7.4	601.8	601.3	601.4	74	45	65	N 0	S 1	S 1	2	7	8	.	
24	14.4	17.0	13.2	14.9	6.7	599.8	599.1	599.2	70	57	58	S 1	S 1	SSE 1	2	5	4	0.1	
25	13.8	17.4	14.2	15.1	6.8	598.4	598.1	598.1	75	50	70	S 1	S 1	S 1	4	3	2	.	
26	13.2	18.6	13.8	15.2	6.9	597.8	597.4	598.3	54	38	50	S 1	S 1	S 1	0	0	1	.	
27	12.9	**19.2**	13.2	15.1	6.8	598.5	598.9	599.8	48	**28**	40	S 0	SE 2	S 1	0	1	0	.	
28	15.1	18.5	14.0	15.9	7.6	599.9	599.9	600.2	44	33	42	S 2	S 1	N 1	3	1	1	.	⊀² III
29	13.4	18.8	14.2	15.5	7.2	599.3	598.9	598.8	50	36	64	N 0	S 1	N 2	0	3	2	.	
30	14.1	18.2	14.1	15.5	7.2	598.1	597.8	597.5	52	34	75	N 1	N 1	N 1	1	3	3	.	
31	14.0	15.8	12.0	13.9	5.6	596.2	596.1	596.4	55	43	70	S 0	N 2	N 1	10	8	4	0.6	●° $7^1/_2$–$7^3/_4{}^a$, $5^1/_4$–$5^1/_2{}^p$
																		Summe	
Mittel	10.0	14.3	10.0	11.4	—	597.9	597.9	598.4	67	47	76				3.1	3.8	4.0	10.1	

$\lambda = 7^\circ 26'$, $\beta = 46^\circ 57'$.
$Hb = 572.2^m$, $G = 0.05\,^m/_m$.

Bern.

August 1911.
Tellur. Observatorium.

Tag	Lufttemperatur					Luftdruck			Relative Feuchtigkeit			Windrichtung und Stärke						Bewölkung			Niederschlag	Witterung
	7^{30}	1^{30}	9^{30}	Mittel	Abweich. vom Normalst.	7^{30}	1^{30}	9^{30}	7^{30}	1^{30}	9^{30}	7^{30}		1^{30}		9^{30}		7^{30}	1^{30}	9^{30}		
1	19.7	29.9	21.7	23.8	6.0	712.7	712.5	714.1	76	19	46	SE	o	NE	1	SE	o	1	1	4	.	
2	20.5	28.6	19.0	22.7	4.9	716.1	716.0	716.8	58	34	75	E	o	NE	o	SE	o	7	2	5	.	●° $3^1/_4$–$4^1/_2$p
3	18.7	29.3	22.4	23.5	5.8	716.7	715.0	716.1	69	28	68	SE	o	SE	o	N	o	0	2	5	.	
4	19.6	27.3	21.1	22.7	5.0	714.9	713.7	714.1	79	33	69	SE	o	W	o	SE	o	7	5	7	.	
5	19.5	27.5	20.6	22.5	4.9	713.9	712.4	711.4	79	36	63	SE	o	NW	o	SW	o	5	1	5	.	
6	18.8	29.3	17.8	22.0	4.4	714.3	714.1	716.2	73	35	95	S	o	NW	o	E	o	6	2	8	1.0	● $4^1/_2$–$5^1/_2$p
7	19.1	27.7	21.4	22.7	5.2	717.2	716.4	716.8	72	41	58	SE	o	NE	1	NE	o	0	2	2	.	
8	19.4	30.0	23.4	24.3	6.8	717.3	716.2	716.4	71	33	46	SE	o	NE	o	NE	o	0	1	3	.	
9	20.5	**30.6**	22.8	24.6	7.2	716.6	715.1	714.5	67	31	36	E	o	W	o	NE	o	0	1	2	.	
10	19.3	30.5	21.6	23.8	6.5	714.5	713.4	712.9	64	**16**	37	E	o	E	o	S	o	0	1	1	.	
11	18.2	28.6	23.0	23.3	6.0	712.5	711.8	712.3	62	24	38	E	o	E	1	E	o	0	1	2	.	
12	17.2	28.6	22.0	22.6	5.4	712.9	712.1	712.1	63	28	39	S	o	NE	1	E	o	0	1	3	.	
13	17.4	28.6	20.8	22.3	5.2	714.4	713.6	714.1	67	28	57	SE	o	N	o	E	o	4	5	4	.	◺ III
14	18.3	29.1	18.5	22.0	4.9	714.5	713.1	713.1	70	27	63	SE	o	NE	o	NE	o	1	3	2	.	
15	16.5	28.6	20.0	21.7	4.7	712.1	710.5	710.8	68	23	48	S	o	NW	o	NW	o	1	8	2	.	
16	16.2	24.2	17.3	19.2	2.3	712.3	712.0	714.3	73	34	53	N	o	W	o	N	o	0	2	3	.	
17	14.2	24.1	17.5	18.6	1.8	715.5	714.9	715.1	79	31	56	NE	o	NE	o	NE	o	0	0	3	.	
18	13.9	25.1	18.4	19.1	2.4	714.6	713.1	712.1	71	37	50	SE	o	SW	o	SW	o	1	2	1	.	
19	15.6	28.0	19.6	21.1	4.5	711.8	709.9	709.3	65	17	49	SE	o	W	o	W	o	0	0	3	.	[III, n ●
20	17.3	29 9	18.4	21.9	5.4	709.4	708.0	707.5	63	27	82	SW	o	SW	o	E	o	6	5	7	2.9	●° n–l, K▲● $2^1/_2$–$4^1/_2$p, ◺
21	17.8	26.0	15.9	19.9	3.4	705.9	**705.7**	708.0	78	42	94	N	o	NE	o	SW	o	10	6	7	**14.4**	●° $11^1/_2{}^a$, K▲● 2–$8^1/_2$p, ◺
22	15.8	23.7	18.4	19.3	2.9	706.9	706.2	707.3	93	52	83	W	o	SW	o	S	o	8	9	6	1.0	K▲● $3^1/_2{}^a$, $7^1/_2$–8p [III
23	15.8	17.9	16.8	16.8	0.5	709.7	709.1	709.8	89	79	91	S	o	SW	o	S	o	9	10	10	3.3	●▲ $11^1/_2$–$11^3/_4{}^a$, K▲● $1^3/_4$–
24	14.6	23.3	17.1	18.3	2.1	711.2	710.7	711.9	90	40	77	S	o	NW	o	SE	o	7	4	8	.	[$3^1/_2$p, ● $9^3/_4$p–n
25	16.9	24.3	18.8	20.0	3.9	712.9	712.3	713.7	71	42	68	S	o	N	o	SE	o	7	3	7	8.6	◺ 8p–n
26	14.5	21.8	15.8	17.4	1.4	716.4	716.6	717.6	94	47	83	S	o	S	o	E	o	9	8	4	.	K▲● $3^3/_4$–$4^1/_4{}^a$
27	16.0	23.7	17.3	19.0	3.1	**718.1**	717.4	715.9	71	45	74	SE	o	NE	o	N	o	0	1	1	.	
28	16.3	26.4	18.8	20.5	4.7	716.4	715.1	715.2	75	38	75	SE	o	SW	o	SW	o	0	1	1	.	△ I
29	17.4	28.7	20.5	22.2	6.5	716.5	715.2	716.0	76	28	81	S	o	NW	o	E	o	0	2	3	.	
30	18.0	27.1	19.8	21.6	6.1	715.9	715.3	715.0	83	42	78	E	o	SW	o	ENE	o	6≡	2	5	14.1	≡ I, ● $8^1/_2$–$8^3/_4$p
31	**13.1**	19.8	14.3	15.7	0.3	717.8	717.5	717.2	94	54	70	NE	o	NE	1	NE	o	3	3	1	.	K▲● o^a
																					Summe	
Mittel	17.3	26.7	19 4	21.1	—	713.8	713.1	713.5	74	35	65							3.2	3.0	4.1	45.3	

$\lambda = 6^\circ 57'$, $\beta = 47^\circ 0'$,
$Hb = 487.3^m$, $G = 0.06\,^m/_m$.

Neuenburg.

August 1911.
Observatorium.

1	19.9	31.6	24.5	25.3	5.6	720.2	719.7	721.0	81	30	35	NE	1	E	2	N	1	1	0	4	.	n ($^1/_2$) ●°
2	19.6	28.6	19.1	22.4	2.8	723.5	723.6	724.1	76	44	86	N	1	SE	1	N	1	9	6	6	4.2	K▲● $2^1/_4$–3p, ●° 7p
3	18.4	29.4	25.0	24.3	4.7	724.1	722.5	722.2	87	47	41	SE	1	S	1	N	2	0	3	8	.	⌐ III, ◺ $8^3/_4$p–n
4	20.8	30.3	22.6	24.6	5.0	722.3	721.2	721.0	72	38	52	NE	1	SW	1	N	2	6	6	8	.	⌐ III
5	20.8	28.8	21.8	23.8	4.3	721.3	719.9	718.5	70	37	56	E	1	SE	1	N	1	0	2	1	.	
6	23.6	31.4	17.7	24.2	4.7	721.5	721.4	723.5	53	39	91	SW	1	SE	1	NW	1	5	6	9●	18.8	● $1^3/_4$, $7^1/_2$p–III, K▲●^{2} ▲°
7	18.4	28.2	24.6	23.7	4.3	724.8	723.8	724.0	91	47	49	NE	1	E	2	NE	2	3	3	2	.	[$2^1/_2$–$5^1/_2$p
8	20.4	30.6	26.6	25.9	6.5	724.8	723.8	723.1	67	35	37	E	1	NE	1	N	2	0	0	0	.	
9	19.6	30.7	26.2	25.5	6.2	724.1	722.6	721.6	78	47	33	NE	1	E	1	NE	2	0	1	0	.	
10	18.8	**32.0**	25.4	25.4	6.2	721.9	720.6	719.8	73	36	40	NE	1	NE	1	NE	1	0	0	0	.	
11	18.8	30.6	24.6	24.7	5.5	720.0	719.0	719.3	76	26	35	E	1	E	2	NE	2	0	0	0	.	
12	19.8	30.5	24.4	24.9	5.8	720.2	719.7	720.3	64	29	34	NE	1	NE	2	NE	2	0	0	0	.	
13	20.1	30.7	24.2	25.0	6.0	721.9	721.1	720.9	59	48	38	NE	1	SE	1	N	1	3	4	3	.	◺ 9p
14	17.7	31.3	20.5	23.2	4.2	722.2	720.7	720.3	70	34	50	NE	1	SE	1	N	1	2	4	0	.	⌐ $5^1/_4$–7p
15	16.3	28.6	22.8	22.6	3.7	719.6	718.2	718.1	79	**23**	44	NE	1	NW	2	NE	1	4	7	2	.	
16	17.4	25.0	18.4	20.3	1.5	719.8	719.6	721.2	62	36	46	E	1	NE	1	N	3	0	4	0	.	⌐ $5^1/_2$p–n
17	15.8	26.8	20.4	21.0	2.2	723.3	722.5	722.5	62	39	32	NE	1	E	1	N	2	1	0	0	.	⌐ $6^1/_2$p–n
18	14.5	25 4	20.4	20.1	1.4	722.3	720.6	719.4	78	45	52	NE	1	SE	1	N	1	0	2	0	.	
19	14.9	29.2	22.1	22.1	3.5	719.6	717.4	716.4	78	33	38	E	1	S	1	N	1	0	0	0	.	[$2^1/_2$–$5^1/_2$p, ▲° 4p, n ●
20	17.6	27.8	17.0	20.8	2.3	716.6	715.4	714.8	65	37	96	NE	o	E	1	N	1	7	7	10	**30.1**	●° 8^a, o$^1/_4$p, ⌐ 2–3p, K▲●^{2}
21	18.2	25.9	16.0	20.0	1.6	713.9	**713.0**	715.1	79	61	96	W	1	SW	1	NW	1	9	4	10●	19.9	K▲● $11^1/_2{}^a$, $2^1/_2$p–n, p ⌐
22	16.0	22.4	18.7	19.0	0.7	714.6	713.6	714.5	98	68	81	NE	1	NW	1	SW	2	9	9	6	1.5	K▲● 7p–III
23	16.6	19.1	18.0	17.9	−0.3	714.0	716.0	716.8	96	68	81	N	1	SW	2	NW	1	10	10●	9	3.3	●° $11^1/_2{}^a$–$1^1/_2$p, n ●
24	18.3	21.4	14.2	17.3	−0.8	718.5	718.2	719.4	84	60	98	SW	1	SW	1	N	1	7	9	1	0.3	● $3^3/_4$–$7^1/_4$p, n ●°
25	15.7	23.9	18.6	19.4	1.4	720.4	719.7	721.1	98	66	70	N	1	SW	1	NW	1	5	6	2	3.5	●° $3^3/_4$p, ◺ $9^1/_2$p, n K▲●
26	15.0	20.7	15.5	17.1	−0.9	723.6	723.9	724.8	85	63	78	NW	1	SW	1	NE	o	9	9	2	0.2	●° $5^1/_2$p
27	15.3	25.0	18.2	19.5	1.6	**725.4**	724.7	723.1	87	53	59	E	1	SE	1	N	o	0	1	0	.	
28	15.2	26.3	18.4	20.0	2.2	723.6	722.6	722.5	90	54	78	N	1	SW	1	NW	o	0	1	2	.	
29	16.5	27.4	20.2	21.4	3.7	723.8	722.8	723.0	88	51	77	W	o	SW	1	NW	1	0	3	2	3.0	● $4^1/_4$–5p
30	19.1	27.2	21.2	22.2	4.7	723.1	722.7	722.3	91	57	71	NW	1	SE	1	NW	1	3	4	3	100.0	⌐ $6^1/_2$–$8^1/_2$p, ◺ III, K▲●^{2}
31	**13.5**	21.1	17.6	17.4	0.0	**725.4**	725.0	724.2	89	64	56	NE	1	NE	2	NE	3	6	4	2	.	⌐ III [⌐ $11^1/_2$p–o$^1/_2{}^a$
																					Summe	
Mittel	17.7	27.4	20.8	22.0	—	721.3	720.5	720.6	78	46	59							3.2	3.7	3.0	100.8	

August 1911.
Beobachter: Frl. *H. Nager.*

Altdorf.

$\lambda = 8° 39'$, $\beta = 46° 53'$,
$Hb = 456.3^m$, $G = 0.05\,m/m$.

Tag	Lufttemperatur					Luftdruck			Relative Feuchtigkeit			Windrichtung und Stärke			Bewölkung			Niederschlag	Witterung
	7^{30}	1^{30}	9^{30}	Mittel	Abweich. vom Normalst.	7^{30}	1^{30}	9^{30}	7^{30}	1^{30}	9^{30}	7^{30}	1^{30}	9^{30}	7^{30}	1^{30}	9^{30}		
1	19.9	25.0	19.2	21.4	3.3	722.6	722.5	723.9	81	35	60	S o	N 2	SE o	o	1	1	.	
2	18.5	23.8	19.8	20.7	2.6	725.9	726.7	726.4	77	55	75	SE o	N o	NE o	8	6	6	.	◺ $9^3/_4{}^p$
3	17.8	**27.8**	23.8	23.1	5.1	726.5	725.4	724.4	78	40	55	SE o	N 2	NW o	o	5	o	**22.3**	K● $11^1/_4{}^p$–n
4	18.6	24.0	18.9	20.5	2.5	725.1	724.2	724.8	96	45	100	SE o	S o	S o–1	9	6	10	12.3	n ($^4/_5$) ●
5	17.8	25.8	21.0	21.5	3.5	724.2	722.6	721.5	97	50	67	S o	N 1	SE o–1	10	4	o	.	
6	19.8	26.2	19.1	21.7	3.8	723.8	724.8	726.5	69	55	100	SE o	W o	NW o	7	9	10	3.2	● III
7	18.0	25.4	19.4	20.9	3.0	727.3	726.6	727.1	82	58	94	SE o–1	NW 1	NW o	3	5	3	12.9	n ($^7/_8$) ●
8	17.9	25.4	21.3	21.5	3.6	727.3	726.6	726.1	90	50	83	SE o	N o	SW o	o	3	o	.	
9	18.7	26.4	20.2	21.7	3.9	726.6	725.6	724.6	90	50	70	SE o	N 1	SE o	o	3	o	.	
10	17.7	**27.8**	20.0	21.8	4.0	724.2	723.4	722.6	84	**30**	55	SE o	N 1	SE o	o	2	1	.	
11	16.8	26.8	20.0	21.2	3.5	722.7	721.6	722.9	86	35	54	SE o	N 2	S o	1	3	o	.	
12	16.8	25.0	23.8	21.9	4.3	722.7	721.8	723.7	80	49	65	E o	N 1	SE o	o	3	3	.	
13	16.3	25.4	18.8	20.2	2.6	724.6	724.1	723.8	86	50	65	SE o	NW 2	SE o	o	3	o	.	
14	18.4	26.6	17.4	20.8	3.3	724.5	722.6	723.2	62	40	72	E o	N 2	S o	o	4	o	.	
15	15.5	26.6	24.6	22.2	4.8	722.1	720.4	719.5	82	35	36	SE o	N 1	NW 1–2	1	9	9	.	
16	17.8	23.1	20.8	20.6	3.2	721.8	721.2	723.3	70	50	58	SE 2	NW 2	NW 1–2	7	6	8	.	⌿ n–p
17	15.8	21.9	15.0	17.6	0.3	725.6	724.7	725.4	83	50	69	S o	NW 2	SE o	1	o	o	.	
18	**13.7**	24.3	16.7	18.2	1.0	724.3	722.4	722.3	92	50	74	SE o	NW o–1	SE o	o	o	o	.	
19	15.7	26.2	18.8	20.2	3.0	721.5	719.9	719.2	80	40	50	SE o	N 2	SE o	o	o	o	.	
20	17.2	26.6	19.3	21.0	3.9	719.7	718.8	718.1	76	40	67	SE o	E 1	SE 1–2	8	4	1	8.4	●° 7^a, K● $4^3/_4$–$5^1/_2{}^p$
21	18.3	26.2	17.0	20.5	3.5	718.5	**715.3**	719.0	100	53	100	SE 1–2	NW 1	NW o–1	10	10	10	8.4	K● $6^3/_4$–8^a, ● III
22	18.9	23.5	19.4	20.6	3.7	716.3	**715.3**	717.5	80	55	87	SE o	NW o	NW o	10	10	6	0.5	●° III
23	18.2	23.2	18.5	20.0	3.2	716.2	718.4	719.8	84	60	100	SE o	E o	NW o	5	10	10	14.9	p n ●
24	16.4	21.2	16.3	18.0	1.2	721.4	721.9	722.7	94	64	65	S o	N o	S o	6	10	2	5.2	●
25	16.8	23.0	18.4	19.4	2.7	722.8	721.8	724.3	82	54	100	S o	NW o–1	NW o	1	5	10	7.5	● III
26	14.8	19.4	14.3	16.2	−0.4	726.8	726.5	727.8	100	61	98	SE o	SE o–1	NW o	10	7	o	0.3	●° I
27	14.3	22.9	17.5	18.2	1.7	**728.2**	727.0	726.0	85	50	75	SE o	NW o–1	SE o	o	1	o	.	
28	15.3	24.1	19.0	19.5	3.1	726.0	724.7	725.3	83	46	85	SE o	NW o–1	SE o–1	o	o	o	.	
29	18.7	26.2	20.6	21.8	5.5	726.3	725.4	726.1	85	50	70	SE o	N o	SE o–1	o	4	o	.	
30	17.9	25.4	19.8	21.0	4.8	725.8	725.6	725.0	90	55	100	SE o	N 1	SE o	2	4	o	7.8	
31	15.0	20.4	16.0	17.1	1.0	728.1	728.0	727.8	93	60	80	E o	W o	NW o	10	5	o	.	K^2 ⌿ ● $2^1/_2$–3^a
																		Summe	
Mittel	17.2	24.7	19.2	20.4	—	723.8	723.1	723.6	84	49	75				3.5	4.6	2.9	103.7	

August 1911.
Observatorium.

Genf.

$\lambda = 6° 9'$, $\beta = 46° 12'$.
$Hb = 405.0^m$, $G = 0.02\,m/m$.

1	20.5	27.6	22.5	22.9	4.1	727.1	726.5	728.0	73	42	72	NW o	N 2	SSW o	o	3	o	0.7	K 1p, ⌿ II
2	17.7	26.2	22.3	22.1	3.4	731.2	730.5	731.1	90	49	67	SSW 1	N 1	ENE 1	9	3	6	.	K 6^a, ●°–7^a, ⌿ 7^p
3	19.7	26.6	24.5	22.8	4.1	731.1	729.7	729.7	77	42	56	NW o	N 1	N o	o	3	8	.	
4	20.7	27.5	22.9	23.5	4.8	729.3	728.1	728.3	69	36	53	NW o	N 1	NNW 1	o	3	6	.	
5	19.1	26.8	22.8	22.0	3.4	728.3	726.7	725.5	64	39	66	SW 1	N 1	N o	o	1	2	.	
6	23.8	28.9	21.2	22.6	4.0	728.7	728.1	730.2	55	38	74	NNW 1	N 1	N 1	8	8	4	13.6	K● $1^3/_4$–$2^1/_4{}^p$, Ψ 9^p, ◺
7	19.1	25.8	22.5	22.2	3.7	731.6	730.7	730.8	89	52	71	WNW o	N 2	N o	9	2	1	.	⌿ II [10^p, n ●
8	20.1	27.0	24.0	23.0	4.5	731.8	730.8	730.2	78	43	61	WNW o	N 1	WNW o	o	1	1	.	a ◬^{2}
9	21.2	29.0	24.2	24.1	5.7	731.1	729.2	728.4	71	38	62	NW o	N 1	NW o	o	1	o	.	a ◬^{2}
10	19.0	28.1	23.9	23.3	4.9	728.9	727.3	726.5	69	**30**	57	SW o	NNW 1	N o	o	1	o	.	a ◬^{2}
11	19.3	28.3	22.5	22.4	4.1	726.8	725.5	725.8	62	34	48	WNW 1	NNW 1	SW 1	o	1	o	.	a ◬^{2}
12	19.6	25.5	23.1	22.0	3.7	727.1	726.4	727.1	61	44	56	NW o	N 1	ENE 1	o	o	2	.	a ◬^{2}, ◠ 7^p, K $7^1/_4{}^p$
13	19.9	25.7	21.7	22.1	3.9	728.8	727.9	728.0	73	47	61	ESE o	NNE 1	SE o	2	4	2	.	a ◬, K $3^1/_2{}^p$
14	18.3	27.1	22.5	22.1	3.9	728.8	727.4	726.9	67	37	52	SSW 1	N 1	NE 1	3	2	2	.	a ◬
15	18.0	26.6	22.5	22.0	3.9	726.5	725.1	725.3	70	35	44	W o	N 1	NNE 1	o	3	o	.	a ◬
16	17.3	24.7	20.4	20.4	2.4	726.5	726.2	728.0	67	34	47	WSW 1	N 1	NNE 1	o	1	o	.	a ◬
17	15.4	23.0	19.8	19.8	1.8	729.9	729.4	729.2	67	38	54	SW 1	N 1	N 1	o	o	o	.	
18	15.1	25.6	20.7	20.1	2.2	729.3	727.4	726.1	69	32	57	W o	N 1	N o	o	2	o	.	a ◬
19	**14.6**	26.1	21.3	21.0	3.2	726.5	724.1	723.3	63	43	55	W o	N 1	W o	o	o	o	1.0	a ◬
20	16.4	**31.9**	21.2	22.5	4.8	723.5	722.3	721.1	76	**30**	70	SW 1	SSW 1	N 2	8	4	4	5.3	K● $5^1/_2$–6^a, ⌿ III
21	18.5	23.1	17.3	19.5	1.8	721.0	**719.9**	722.6	84	67	93	SSW 1	ENE 1	NE 1	3	10	10	**25.2**	K● $1^1/_2{}^a$, K●^{2} $9^3/_4$–10^a, *)
22	17.3	22.5	19.5	18.6	1.0	720.7	720.5	722.2	92	71	97	N 1	N 1	WNW 1	10	10	10	13.8	K● $4^1/_2$–$7^1/_4{}^p$, K 9^p
23	16.6	20.2	16.9	17.6	0.1	721.0	723.3	724.8	95	74	96	W o	S o	SSW 1	10	10	10	7.3	K● $11^1/_2{}^a$, ◠ 6^a ^{p}, ● 7, 9^p
24	17.1	20.0	19.6	19.7	2.3	725.6	725.0	726.3	89	45	74	WNW 1	W 1	NW 1	4	4	2	.	
25	17.2	27.2	20.5	21.0	3.7	727.4	726.6	728.2	83	44	62	NW o	WSW 1	S 1	o	2	3	5.4	a ◬, n K●
26	17.3	21.5	18.0	18.8	1.6	730.9	730.9	731.9	85	62	75	ESE 1	N 1	N o	5	6	2	.	◬ III
27	15.1	22.2	17.0	18.3	1.2	**732.3**	731.8	730.5	86	54	73	NW o	N 1	WNW o	o	o	o	.	◬^{2} a, III
28	15.5	28.7	20.3	20.7	3.7	730.8	729.6	729.6	81	32	63	WNW o	SW 1	SW o	o	o	o	.	◬^{2} a, III
29	16.8	24.9	21.8	20.7	3.8	730.8	730.0	729.9	74	55	75	SW o	NNW 1	WNW o	o	1	o	.	◬^{2} a, III
30	19.2	26.7	22.5	23.1	6.3	730.3	729.5	729.5	82	59	81	W o	N 1	NNW o	o	1	2	0.2	◬ a, ◺ III
31	16.7	20.3	18.0	18.9	2.2	732.2	731.5	731.1	75	62	50	NNE 1	N 2	NNE 1	5	1	o	.	K^2 ● $2^1/_2{}^a$
																		Summe	
Mittel	18.1	25.9	21.1	21.3	—	728.3	727.4	727.6	75	45	65				2.5	2.8	2.5	78.5	*) **21.** 1. $3^3/_4$–$6^1/_2{}^p$, III–$2^1/_2{}^a$

Die Temperatur-Tagesmittel von Genf resultieren aus 8 Beobacht. in dreistünd. Zeitintervallen. — Die Beobachtungstermine sind 7^{30a}, 1^{30} u. 9^{30p}.

$\lambda = 8° 33'$, $\beta = 47° 23'$,
$H_b = 493.2^m$, $G = 0.08\,{}^m/_m$.

Zürich.

August 1911.
Meteorol. Centralanstalt.

Tag	Lufttemperatur					Luftdruck			Relative Feuchtigkeit			Windrichtung und Stärke			Bewölkung			Niederschlag	Witterung
	7^{30}	1^{30}	9^{30}	Mittel	Abweich. vom Normalst.	7^{30}	1^{30}	9^{30}	7^{30}	1^{30}	9^{30}	7^{30}	1^{30}	9^{30}	7^{30}	1^{30}	9^{30}		
1	18.8	30.5	20.4	23.2	5.1	719.7	719.7	721.0	83	18	36	N 0	NE 1	NE 1	0	0	6	.	
2	18.3	28.2	19.8	22.1	4.0	722.7	723.2	723.1	92	36	69	NE 0	SW 1	N 0	4	4	3	.	●° $9^1/_4$–$9^1/_2{}^a$
3	17.5	30.6	22.6	23.6	5.5	723.5	722.0	721.6	84	26	59	N 0	NW 1	NE 1	1	3	5	.	
4	19.9	27.4	21.5	22.9	4.9	721.9	720.7	721.0	84	40	59	S 1	SW 1	NE 1	6	5	9	2.3	◺ 2^a, ●° $11^3/_4{}^p$
5	18.4	28.6	21.4	22.8	4.8	721.0	719.6	718.5	95	39	64	SE 0	SW 1	SE 1	9	3	4	.	● $2^3/_4$–3, 4–5^a
6	20.6	26.4	18.6	21.9	3.9	720.3	721.4	722.6	67	44	93	SW 1	NW 1	E 0	5	7	9	6.4	K● ⌿ 7–9^p
7	17.1	26.6	21.2	21.6	3.7	724.4	723.9	724.1	96	49	66	NW 0	NE 1	NE 1	2	3	1	.	
8	18.4	31.6	23.9	24.6	6.7	724.4	723.4	723.4	78	33	43	NE 0	NE 1	NE 1	0	1	0	.	
9	18.2	29.5	23.3	23.7	5.9	723.7	722.5	721.9	71	35	38	N 1	E 0	E 1	0	1	0	.	
10	16.2	30.8	23.4	23.5	5.7	721.4	720.6	719.6	78	27	43	N 0	E 0	NE 1	0	1	1	.	
11	19.0	30.9	20.6	23.5	5.8	719.8	719.1	719.4	63	24	53	NE 1	NE 1	NE 1	0	1	0	.	
12	17.0	29.2	21.6	22.8	5.2	719.9	719.6	720.1	72	31	45	NE 1	E 1	E 1	0	1	1	.	◺ $8^1/_2{}^p$
13	16.4	28.6	21.9	22.3	4.7	721.8	721.1	721.1	78	34	52	NE 1	SE 1	E 1	1	1	1	.	
14	16.8	29.8	17.2	21.3	3.8	721.9	720.3	720.4	87	27	70	NE 0	NE 1	E 1	0	1	1	1.7	K°● ⌿ $3^3/_4$–$5^1/_4{}^p$
15	15.1	28.0	20.8	21.3	3.9	718.9	717.1	717.6	85	23	42	E 0	W 1	NE 1	2	7	10	.	
16	15.2	24.4	17.5	19.0	1.6	719.2	719.1	721.1	73	35	49	N 0	W 1	NE 1	2	4	4	.	
17	12.6	24.6	17.0	18.1	0.8	722.8	722.4	722.4	74	32	53	NW 0	NW 1	NE 1	0	1	0	.	
18	**12.2**	27.0	19.8	19.7	2.5	721.6	720.1	719.1	81	25	38	NE 0	W 1	NE 0	1	2	0	.	
19	12.9	29.5	20.4	20.9	3.8	718.9	717.0	716.0	83	**14**	35	NE 0	W 1	N 0	0	0	3	.	≡ 6^a [◺ III
20	16.2	**32.4**	18.2	22.3	5.2	716.3	715.1	715.0	74	32	87	NW 1	SW 1	SW 0	4	2	2	2.4	●° $6^1/_2$, $10^1/_2{}^a$, ● $4^1/_4$–6^p,
21	17.0	29.4	18.5	21.6	4.6	714.9	**712.6**	714.5	100	39	78	SE 1	SW 1	SW 1	10	4	10	4.4	● $6^1/_4$–7^a, ●° $2^1/_2{}^p$, K● *)
22	17.6	26.4	20.6	21.5	4.6	713.8	712.8	714.7	91	51	84	SE 0	NW 1	N 1	9	7	10	0.2	● $2^3/_4$–5^a, K●° $7^1/_4{}^p$, ◺ III
23	17.0	19.6	16.9	17.8	1.0	713.7	715.8	716.2	91	91	95	W 0	NW 2	W 1	9	10	4	7.7	●° $8^1/_2$, 10–$10^1/_4{}^a$, K● ⌿
24	16.3	23.4	18.1	19.3	2.5	717.8	717.7	718.7	93	46	84	SW 1	S 1	E 0	2	5	4	0.1	[$0^1/_2$–2^p, ● 3–$3^3/_4$, $11^1/_4{}^p$–2^a
25	17.3	26.6	20.0	21.3	4.6	719.6	719.1	719.9	89	41	72	SE 0	SW 1	NW 1	5	3	6	7.6	◺ III, ● 10–$11^1/_4{}^p$
26	15.0	22.6	15.6	17.7	1.1	723.1	723.3	724.4	97	55	85	SW 1	SW 1	SE 0	10●	7	1	1.6	● $5^3/_4$–9^a, $4^1/_4$–$4^1/_2{}^p$
27	12.8	25.2	17.6	18.5	2.0	725.1	724.5	722.8	100	37	72	SE 0	NE 1	E 1	0	1	0	.	
28	13.8	28.2	20.3	20.8	4.4	723.0	722.0	721.7	96	35	76	E 0	W 1	SW 0	0	0	0	.	
29	17.6	31.2	20.8	23.2	6.9	722.8	722.2	723.0	92	30	70	E 1	SW 1	E 1	1	1	1	.	
30	18.0	26.1	20.7	21.6	5.4	722.8	722.6	722.1	89	52	93	N 1	W 0	NE 1	3	5	9	**22.9**	K●² ▲° ⌿ $10^1/_2{}^p$–$1^3/_4{}^a$
31	12.8	20.5	14.2	15.8	−0.3	**725.4**	725.3	724.0	95	36	74	N 0	E 1	E 0	10	4	1	.	● $2^1/_4$–$4^3/_4{}^a$
																		Summe	
Mittel	16.5	27.5	19.8	21.3	—	720.8	720.2	720.4	84	37	63				3.1	3.1	3.4	57.3	*) **21.** 3–$5^3/_4$, $7^1/_4$–9^p, ⌿ III

$\lambda = 8° 30'$, $\beta = 47° 3'$,
$H_b = 1787.3^m$, $G = -0.11\,{}^m/_m$.

Rigi-Kulm.

August 1911.
Beobachter: Frl. *A. Gygax.*

1	14.8	17.3	14.8	15.6	5.6	618.6	619.1	619.8	30	29	25	E 2–3	NE 0	W 0	1	1	5	.	⌿ I
2	14.7	17.1	13.1	15.0	5.0	621.0	622.0	622.2	**23**	35	53	W 1	NW 0	W 0	0	5	7	.	●° 9^a
3	13.2	15.5	13.8	14.2	4.2	621.7	621.6	621.3	48	42	63	NE 0	NE 0	E 0–1	3	5	9	0.3	n ($^3/_4$) ●°
4	12.1	15.5	11.0	12.9	2.9	620.2	620.0	619.5	48	50	97	W 0	W 0	W 0	9	5	9●	21.2	p n ●
5	11.5	15.6	15.7	14.3	4.4	618.9	618.9	618.8	75	58	30	W 0	SW 0	W 1	10	5	3	.	
6	14.7	18.1	12.9	15.2	5.3	619.5	620.5	621.4	35	41	43	W 3–4	E 0	W 0	7	9	7	8.7	⌿² I, p ●
7	12.4	14.2	13.7	13.4	3.5	621.9	622.3	622.7	64	80	57	NE 1–2	NE 1	SE 1	3	5	3	.	
8	15.7	16.8	15.0	15.8	5.9	622.5	**623.0**	622.9	38	53	40	SE 1	NE 1	SE 0–1	0	3	1	.	
9	15.6	17.0	14.5	15.7	5.9	622.3	622.2	621.7	45	43	36	NE 0	NE 0	E 0	0	3	3	.	
10	14.0	16.6	15.5	15.4	5.6	620.2	620.3	619.7	35	26	28	W 0–1	W 0	NE 0	3	3	3	.	
11	14.0	15.8	13.3	14.4	4.7	618.4	618.6	618.6	29	35	35	E 1	NE 0	SE 1–2	1	3	1	.	
12	14.8	13.8	12.7	13.8	4.1	618.1	618.8	619.0	37	48	40	NE 0	NE 0–1	E 0–1	1	5	1	.	
13	12.6	15.0	12.2	13.3	3.7	619.2	619.9	620.1	30	33	47	NE 0	W 0	E 0	1	3	3	.	
14	12.3	14.4	11.7	12.8	3.2	619.8	619.8	619.0	51	40	40	NE 0	NE 0–1	E 0–1	1	3	1	.	
15	12.3	16.5	11.8	13.5	4.0	617.7	617.1	616.7	33	31	45	W 0	E 0	E 0	5	10	10	.	
16	13.2	11.2	8.5	11.0	1.5	616.1	616.6	618.0	67	60	74	W 1	E 0	E 0	7	5	10	.	
17	7.3	10.3	9.0	8.9	−0.5	618.1	619.6	619.8	76	50	50	SW 0	W 0	W 0	0	3	3	.	
18	9.8	14.0	11.7	11.8	2.4	618.5	618.6	618.3	39	39	36	W 1–2	NW 0	W 0	3	3	1	.	
19	11.5	15.3	15.1	14.0	4.7	617.0	616.8	616.3	34	29	24	W 1–2	W 0	W 0–1	1	0	5	.	
20	15.0	**18.7**	14.5	16.1	6.9	615.9	616.2	615.4	26	25	40	W 0	NE 0	W 0–1	7	5	5	8.6	●° 7^a, p ●
21	11.6	18.1	10.1	13.3	4.1	613.9	613.4	614.2	52	30	65	SW 3–4	SE 1	W 4	10	5	10	10.2	⌿² I, III, p ●
22	13.3	17.1	13.1	14.5	5.4	**612.7**	612.9	614.2	41	32	51	SE 1–2	NW 0	W 2–3	10	7	7	.	●° $9^1/_2{}^a$, ⌿ III
23	13.3	14.3	11.3	13.0	4.0	613.0	614.4	614.9	49	77	59	NE 1–2	NW 0	W 0	10	10=	9	25.4	≡ II, p ●²
24	9.5	11.6	10.1	10.4	1.5	615.6	615.8	616.9	51	51	73	N 0	W 1	W 0	5	7	10	1.0	p ●
25	9.8	12.1	10.1	10.7	1.8	617.4	617.7	618.6	79	80	95	W 0	NW 0–1	W 0	3	5	10=	**45.0**	p n ●², ≡ III
26	**6.8**	10.1	8.0	8.3	−0.5	619.2	620.1	621.1	97	50	85	SW 2	W 0	W 0	10●	9	3	8.0	a ● ≡
27	10.2	12.6	10.9	11.2	2.5	621.4	621.8	621.2	50	40	63	SE 0	E 0	SE 0	0	3	0	.	
28	13.4	14.6	14.3	14.1	5.5	621.0	621.3	621.3	33	47	50	W 0–1	W 0	W 0–1	0	3	3	.	
29	14.1	17.3	14.8	15.4	6.9	621.5	622.0	622.3	40	30	58	NW 0	W 0	E 0	1	3	5	.	
30	16.7	14.3	12.2	14.4	5.9	621.1	621.3	621.0	50	90	96	W 0	W 1	W 0–1	5	7	5	12.5	≡ II, n ●
31	8.1	10.4	7.6	8.7	0.3	620.4	621.3	621.2	89	76	94	W 0	E 0–1	W 1	0	10	3	.	≡° n–II
																		Summe	
Mittel	12.5	14.9	12.4	13.3	—	618.8	619.2	619.3	48	47	55				4.2	4.9	5.0	140.9	

August 1911.
Beobachter: *J. Camenisch.*

Bevers.

$\lambda = 9° 53'$, $\beta = 46° 33'$,
$Hb = 1712.6^m$, $G = -0.12\,^m/_m$.

Tag	Lufttemperatur					Luftdruck			Relative Feuchtigkeit			Windrichtung und Stärke			Bewölkung			Niederschlag	Witterung
	7^{30}	1^{30}	9^{30}	Mittel	Abweich. vom Normalst.	7^{30}	1^{30}	9^{30}	7^{30}	1^{30}	9^{30}	7^{30}	1^{30}	9^{30}	7^{30}	1^{30}	9^{30}		
1	8.4	20.8	10.4	13.2	1.3	623.8	623.2	625.5	96	32	53	— 0	SE 3	E 2	1	1	1	.	↙ II
2	8.4	20.2	15.4	14.7	2.9	626.4	626.4	626.9	88	44	53	NW 1	— 0	— 0	6	6	8	3.5	● ↙ 10–11P, n ●
3	9.7	19.2	10.8	13.2	1.5	626.7	625.7	626.7	95	44	61	— 0	SW 3	— 0	3	5	6	0.3	↙ II, n ●°
4	10.8	14.6	15.6	13.7	2.0	625.3	624.8	624.7	84	65	85	— 0	SE 2	N 2	8	10	6	0.7	●° $0^1/_4$–$0^3/_4$P
5	10.8	20.2	11.6	14.2	2.6	624.3	623.3	624.5	92	45	58	— 0	SW 2	— 0	4	5	0	.	
6	8.4	20.6	12.5	13.8	2.3	625.4	625.1	627.7	85	37	84	S 1	S 2	NE 1	3	10	6	0.6	●° ↙ 7–8P
7	11.1	21.2	14.3	15.5	4.0	627.5	626.9	628.6	95	44	71	— 0	NE 1	W 1	9	5●	8	0.1	●° II, 6P
8	9.6	20.8	13.8	14.9	3.5	**629.0**	628.0	628.2	94	43	77	S 1	SW 3	W 1	1	3	2	.	↙ II
9	9.6	**22.8**	16.4	16.3	5.0	627.8	625.9	626.3	94	35	51	— 0	SW 3	W 1	1	1	2	.	↙ II
10	8.0	21.4	17.0	15.5	4.2	625.4	624.2	624.3	84	34	45	— 0	NE 3	W 2	0	2	2	.	↙ II
11	10.8	19.3	13.0	14.4	3.2	623.8	622.7	623.9	76	38	73	S 1	— 0	— 0	2	4	3	.	
12	9.0	19.3	10.5	12.9	1.8	623.9	623.0	624.6	87	44	77	— 0	S 2	W 1	7	6	0	.	
13	8.6	20.2	12.4	13.7	2.7	624.8	624.0	624.3	92	32	60	— 0	SW 2	W 2	1	2	6	.	
14	8.4	18.4	11.0	12.6	1.7	625.1	623.6	623.9	90	42	69	— 0	SW 4	N 1	3	6	8	0.3	↙2 II, ●° $4^3/_4$–5P, ↙ 7–8P
15	7.6	17.8	9.6	11.7	0.8	622.6	621.1	620.5	95	41	85	— 0	W 3	N 1	4	9	10	3.6	↙ II, n ●
16	11.0	17.1	11.7	13.3	2.5	620.4	620.6	622.4	68	37	48	— 0	SW 4	NE 1	8	2	10	.	↙2 II
17	6.6	16.8	9.0	10.8	0.1	623.5	623.5	624.8	74	35	56	— 0	SW 3	— 0	1	0	0	.	↙ II
18	**3.0**	20.8	10.4	11.4	0.8	624.6	622.7	623.4	81	**16**	74	E 1	SW 2	— 0	3	2	1	.	⌊ I
19	6.2	21.2	12.5	13.3	2.8	622.7	621.2	621.8	94	21	86	— 0	W 2	SW 1	2	0	0	.	⌊ I [$7^1/_2$P–n, ↙ III
20	10.0	17.2	10.0	12.9	2.5	622.0	622.4	622.8	90	66	99	— 0	S 2	W 3	10	6	10●	18.5	K▲ ↙° ● $10^1/_4$–$11^3/_4$a, K▲●
21	10.2	12.9	10.4	11.2	0.9	621.9	621.4	621.0	99	85	97	— 0	— 0	N 2	10●	10●	10●	**49.7**	K▲ n–10a, $1^1/_2$P–n, ●v
22	10.4	14.9	11.2	12.2	2.0	**619.7**	619.8	621.2	97	79	93	N 1	SW 1	W 1	9	10	10●	11.4	◠ $7^1/_4$a, K▲●
23	9.8	13.6	10.4	11.3	1.2	620.3	621.0	622.1	96	78	92	— 0	— 0	— 0	6	10	10●	24.8	K▲●2 a, 5P–n
24	9.0	17.8	9.8	12.2	2.2	621.4	620.9	622.3	94	43	82	E 1	SE 2	NE 1	9≡	4	10	0.5	≡ I, ●° 2P
25	8.8	16.8	10.4	12.0	2.1	622.8	622.7	623.8	91	44	79	— 0	NE 1	NE 1	4	6	0	4.5	≡° I
26	10.0	11.0	9.0	10.0	0.2	624.8	624.7	626.3	85	72	68	— 0	NE 2	— 0	10●	10	2	6.2	K▲● n–9a, p ●
27	3.8	17.4	9.1	10.1	0.4	627.5	626.4	626.9	95	43	82	— 0	SE 1	— 0	1	1	0	.	⌊ I
28	4.9	19.6	11.8	12.1	2.5	627.6	625.7	627.1	93	49	90	NE 1	SW 1	W 1	0≡	0	0	.	≡ ⌊ I
29	9.2	20.7	11.4	13.8	4.3	627.4	626.6	627.6	91	37	69	— 0	W 3	— 0	10≡	1	0	.	≡ I, ↙ II
30	6.6	21.0	11.6	13.1	3.7	627.3	625.7	626.1	89	39	83	— 0	SW 3	— 0	1	5	0	1.7	↙ II, ● 7P, n
31	10.4	15.4	8.8	11.5	2.2	625.2	625.7	627.3	94	41	65	— 0	SW 3	NE 2	10	3	0	.	≡° I, ↙ II
																		Summe	
Mittel	8.7	18.4	11.7	12.9	—	624.5	623.8	624.8	90	45	73				4.7	4.7	4.2	126.4	

August 1911.
Beobachter: P. *F. Landolt.*

Sitten.

$\lambda = 7° 21'$, $\beta = 46° 14'$,
$Hb = 540^m$, $G = 0.00\,^m/_m$.

1	19.0	28.5	22.9	23.5	4.1	715.5	713.8	716.1	71	50	60	E 0–1	SW 1	NE 0–1	0	3	1	.	
2	19.7	26.7	19.0	21.8	2.4	719.0	717.9	719.6	77	53	77	SE 0	SW 0	SW 0	7	3	3	.	
3	17.7	26.8	**22.7**	22.4	3.1	719.7	716.8	717.3	77	56	60	E 0	SW 0–1	NE 0–1	0	1	2	.	
4	19.7	26.0	21.0	22.2	2.9	717.5	715.0	716.2	78	53	57	SW 0	W 0–1	NE 1	4	6	2	.	
5	19.0	27.3	22.5	22.9	3.7	716.9	714.4	714.8	74	50	50	E 0–1	SW 1	E 1	0	1	2	0.1	
6	18.2	28.6	18.7	21.8	2.7	717.1	716.1	719.1	80	47	100	NE 0–1	S 1	— 0	10	6	10●	1.9	K▲● 9P–n
7	16.7	25.3	22.0	21.3	2.3	720.2	717.3	719.2	94	56	67	E 0	SW 0–1	NE 0–1	8	5	10	.	
8	18.5	29.0	23.5	23.7	4.7	720.6	718.7	718.7	72	38	50	E 0	SW 0	E 0	0	2	0	.	
9	20.0	29.5	24.3	24.6	5.7	719.8	716.9	716.6	67	47	47	E 0	SW 0–1	NE 0	0	1	0	.	
10	20.5	**30.1**	24.1	24.9	6.1	717.1	715.1	714.6	67	42	41	E 0	SW 0–1	NE 0	0	3	0	.	
11	18.3	28.8	23.0	23.4	4.7	715.2	713.0	713.4	57	45	45	E 0	SW 1	E 0	0	2	0	.	
12	19.0	28.0	22.2	23.1	4.5	715.2	713.6	714.7	62	44	46	NE 0–1	SW 1–2	NE 0–1	0	1	3	.	
13	19.0	28.5	22.8	23.4	4.8	717.2	715.0	716.3	66	50	45	SE 0	SW 1	NE 1	2	3	1	.	
14	17.8	29.1	22.5	23.1	4.6	717.4	714.7	714.8	66	44	48	E 0–1	SW 0–1	NE 0	1	4	4	.	
15	17.7	28.6	20.8	22.4	4.0	715.4	712.8	712.9	67	42	50	NE 0	SW 1–2	NW 0–1	0	5	1	.	
16	19.2	26.0	20.3	21.8	3.5	713.5	712.2	715.0	59	44	51	SW 0–1	W 2–3	SW 1–2	4	2	0	.	↙ II
17	16.2	24.5	19.5	20.1	1.9	717.6	716.4	717.0	67	47	47	E 0–1	SW 0–1	NE 0–1	0	0	0	.	
18	14.7	25.5	20.1	20.1	2.0	717.6	714.7	714.5	67	48	45	E 0–1	S 0–1	NE 1–2	0	5	0	.	
19	14.9	26.2	22.1	21.1	3.1	714.9	712.1	712.1	64	43	57	E 0–1	SW 0	NE 0	0	0	1	0.6	
20	16.3	25.8	21.5	21.2	3.3	714.7	712.1	710.6	74	47	60	E 1	SE 0	E 0–1	6	2	0	2.1	●° 6–7a
21	17.3	23.5	19.2	20.0	2.2	711.6	709.4	711.0	100	66	67	E 0–1	S 0	SW 0	10	10	9	3.5	K▲● 5–7a, n ●
22	15.6	24.5	19.6	19.9	2.2	710.9	**708.5**	709.8	100	63	77	SE 0–1	SW 0–1	W 0	10●	8	0	0.6	●° $7^1/_2$a–a
23	16.8	20.6	*18.5	18.6	1.0	709.4	711.2	*712.0	92	88	90*	E 0	SW 0	SW 0	10	9	10*	5.7	● 1P, n
24	14.9	23.1	18.4	18.8	1.3	714.2	712.6	714.4	88	53	65	SW 0–1	S 1	SE 1	3	6	6	.	
25	15.2	24.5	20.6	20.1	2.7	716.0	714.5	715.3	83	27	60	E 0	SW 0–1	SW 1–2	0	2	2	2.8	
26	14.1	29.7	16.3	20.0	2.7	719.4	718.9	719.6	100	68	70	S 0–1	W 1	NE 0–1	10●	7	1	.	● $5^3/_4$–$7^1/_2$a
27	**14.0**	23.1	18.5	18.5	1.3	**721.1**	719.3	719.1	82	50	68	SE 0–1	SW 0–1	NE 1–2	0	1	0	.	
28	16.0	24.9	20.8	20.6	3.5	719.7	717.3	717.8	76	50	**25**	SE 0	SW 1	E 0–1	0	0	0	.	
29	17.1	26.4	22.2	21.9	4.9	720.4	717.8	718.1	82	53	54	SE 0	S 0–1	NE 1	0	1	0	.	
30	17.8	28.0	21.5	22.4	5.5	718.9	718.3	717.1	71	50	56	SE 0–1	SW 2–3	E 0	0	2	0	**6.2**	↙ II
31	17.2	21.8	17.5	18.8	2.1	718.7	717.5	719.5	82	62	78	W 1	NW 1	E 1	7	1	0	.	K▲● $2^1/_2$–4a
																		Summe	
Mittel	17.4	26.4	20.9	21.6	—	716.8	715.0	715.7	76	51	58				3.0	3.3	2.2	23.5	

$\lambda = 8° 57'$, $\beta = 46° 0'$,
$Hb = 276.2^m$, $G = 0.03\,{}^{m}/_{m}$.

Lugano.

August 1911.
Beobachter: *G. Belletti.*

Tag	Lufttemperatur 7³⁰	1³⁰	9³⁰	Mittel	Abweich. vom Normalst.	Luftdruck 7³⁰	1³⁰	9³⁰	Relative Feuchtigkeit 7³⁰	1³⁰	9³⁰	Windrichtung und Stärke 7³⁰	1³⁰	9³⁰	Bewölkung 7³⁰	1³⁰	9³⁰	Niederschlag	Witterung
1	20.2	27.8	22.3	23.4	2.1	737.9	737.4	739.5	81	58	79	N o	S o	N o	o	3	9	.	
2	21.4	29.6	21.8	24.3	3.0	740.5	739.4	739.9	81	62	93	NE o	SE o	NW o	2	1	3	1.5	● 8p
3	20.0	29.4	22.5	24.0	2.8	740.3	738.3	738.8	81	59	84	N o	SE o	N o	o	o	o	.	
4	21.2	29.2	21.0	23.8	2.6	737.7	736.2	736.9	81	57	91	N o	SE o	N o	6	8	4	1.3	● 8p
5	19.2	29.8	22.4	23.8	2.7	737.4	736.5	737.9	80	63	81	N o	SE o	N o	3	4	2	.	
6	21.6	30.9	23.0	25.2	4.1	738.8	738.0	739.0	81	62	78	N o	SE o	N o	2	2	2	4.7	
7	20.2	29.8	19.6	23.2	2.2	742.0	739.9	**743.5**	77	58	88	N o	SE o	N o	o	3	10	3.0	K_A c● 1–1 1/2a, K_A● 6–8 1/2p,
8	20.4	30.4	22.3	24.3	3.3	**743.5**	742.7	742.0	81	51	71	N o	SE o	N o	2	2	o	.	[●° III
9	20.8	29.4	22.6	24.3	3.4	741.3	739.5	739.6	82	59	77	N o	SE o	N o	o	2	o	.	
10	21.4	30.6	22.0	24.7	3.8	738.5	736.2	737.0	81	58	79	N o	SE o	N o	4	o	o	.	
11	21.2	28.4	22.4	24.0	3.2	738.5	736.8	737.9	79	52	64	N o	SE o	N o	4	o	2	.	
12	20.2	26.6	20.3	22.4	1.6	739.3	738.2	739.3	78	52	84	N o	SE o	N o	3	2	9	0.8	K_A●° 9–9 1/4p
13	19.2	28.0	21.6	22.9	2.2	739.7	738.7	739.6	83	60	84	N o	SE o	N o	o	o	10	.	●° 9p
14	19.8	28.6	20.7	23.0	2.4	739.7	737.6	737.0	83	54	86	N o	SE o	N o	o	4	2	.	
15	17.8	30.0	19.4	22.4	1.8	735.6	733.4	732.7	68	55	54	N o	SE o	N o	o	3	o	.	
16	20.4	**32.1**	24.8	25.8	5.3	732.8	**732.5**	734.9	59	33	29	N o	SE o	N o	o	o	o	.	
17	18.4	29.4	20.1	22.6	2.2	737.0	736.8	738.5	59	46	75	N o	SE o	N o	o	o	o	.	
18	18.4	28.4	20.4	22.4	2.0	739.8	737.5	737.0	79	59	78	N o	SE o	N o	4	3	2	.	
19	18.8	28.4	21.6	22.9	2.6	736.4	734.7	735.1	83	57	74	N o	SE o	N o	o	2	o	.	[n K_A●²
20	21.0	27.3	19.5	22.6	2.4	735.9	735.3	736.5	81	58	92	N o	NE 1	N o	7	7	10	79.7	●° 11a, K_A●4–5, 7 3/4–8 1/2p,
21	18.0	21.4	18.0	19.1	−1.0	735.7	735.8	733.0	98	80	98	NE o	SE o	N 1	10	10	10●	262.8	n●, p n●², ▲ III. K_A 8 1/2p–
22	18.2	21.0	20.0	19.7	−0.3	732.8	733.6	733.9	92	92	98	SE 1	NW o	N o	8	10●	10●	25.9	●² a–10p [5a
23	20.8	25.0	19.2	21.7	1.7	733.7	734.9	734.6	87	72	95	NE o	SE o	N o	4	6	2	17.8	p●, n K_A●
24	17.8	26.6	18.6	21.0	1.2	736.0	735.3	737.5	94	64	90	NE o	SE o	N o	8	4	10●	1.6	● 9 1/2–10p
25	15.8	26.8	19.6	20.1	0.3	737.7	737.3	738.4	86	66	81	N o	SE o	N o	o	o	o	.	
26	18.0	19.8	17.0	18.3	−1.4	738.8	739.0	739.8	92	87	78	N o	W o	N o	8	10	o	5.6	●° n–l, ● 8 1/2–11 1/2a
27	**15.0**	26.4	17.8	19.7	0.1	742.3	742.3	742.2	72	57	83	N o	SE o	N o	o	o	o	.	
28	16.4	27.0	19.4	20.3	0.8	742.9	741.4	741.7	85	67	84	N o	SE o	N o	o	o	o	.	
29	17.6	28.4	21.0	22.3	2.9	741.4	740.3	740.9	89	71	87	N o	SE o	N o	o	o	o	.	
30	18.6	29.6	20.6	22.9	3.6	740.7	739.4	738.8	81	63	78	N o	E o	N o	o	o	o	.	
31	20.8	29.8	17.6	22.7	3.5	737.4	737.4	740.8	74	**27**	51	E o	N o	N o	o	o	o	0.2	
																		Summe	
Mittel	19.3	27.9	20.6	22.6	—	738.5	737.5	738.2	81	60	80				2.4	2.8	3.1	404.9	

$\lambda = 7° 35'$, $\beta = 47° 33'$,
$Hb = 277.2^m$, $G = 0.13\,{}^{m}/_{m}$.

Basel.

August 1911.
Bernoullianum.

1	18.2	30.4	25.0	24.5	5.6	737.7	737.3	738.6	84	**27**	45	SE 1	E 1	E o	8	4	9	.	K_A III
2	20.2	29.1	21.9	23.7	4.8	741.0	740.6	741.5	56	43	68	S 1	SW 1	SW o	7	3	8	.	K_A 3 1/4p, ●° 4 1/2–5p
3	18.5	28.4	24.2	23.7	4.9	741.6	740.1	739.7	76	43	57	E 1	NW 1	SW o	1	4	5	.	
4	19.8	27.6	24.4	22.9	4.1	740.0	738.9	739.0	75	39	68	E 1	SW 1	W 1	4	4	2	.	
5	19.7	27.4	23.8	23.6	4.9	739.1	737.1	735.7	75	43	60	W o	N o	E o	o	1	3	.	
6	20.2	28.0	20.0	22.7	4.0	738.4	739.4	741.2	70	47	81	SE o	NW 1	E 1	3	4	10	0.1	K_A●° 6 3/4–7 1/4p
7	19.0	27.4	24.2	23.5	4.9	742.8	741.9	742.3	87	47	51	E o	N 1	NW 1	1	5	4	.	
8	19.0	30.2	25.7	25.0	6.4	743.1	741.2	741.3	61	37	50	S o	N 1	S o	2	o	o	.	
9	20.0	31.0	26.0	25.7	7.2	742.0	740.1	739.5	68	30	43	E 1	SE o	E o	o	o	o	.	
10	19.3	30.3	25.0	24.9	6.4	739.5	738.1	737.2	62	31	41	SE 1	E 1	E 1	o	1	2	.	
11	20.2	29.6	23.6	24.5	6.1	738.3	736.6	737.2	62	33	49	E o	NE 1	E o	1	3	o	.	
12	18.6	29.3	24.8	24.2	5.9	738.4	737.2	738.1	63	30	43	SW o	E 1	E o	o	4	1	.	
13	18.1	28.6	23.6	23.4	5.1	739.9	738.7	738.8	66	39	60	E o	E 1	SE o	o	3	4	.	
14	18.8	29.4	20.2	22.8	4.6	739.7	737.9	738.2	68	34	62	E o	NW 1	E 1	o	4	o	8.0	● 5–5 1/2p
15	16.4	28.0	21.0	21.8	3.7	736.5	734.9	736.5	75	36	50	E 1	NW 1	W 1	4	8	10	.	
16	15.4	22.1	18.4	18.6	0.5	737.9	737.8	740.0	75	45	54	W 1	N 1	NW o	1	4	o	.	
17	**12.9**	21.8	17.8	17.5	−0.5	741.7	741.1	740.9	74	42	60	E 1	E 1	W 1	2	o	o	.	
18	13.0	23.5	18.2	18.2	0.3	740.2	738.6	737.1	79	37	63	E 1	N 1	SE 1	2	2	o	.	
19	14.4	28.2	20.6	21.1	3.3	736.8	734.2	733.3	66	28	59	E 1	W o	E 1	o	o	3	.	
20	18.[illegible]	**31.2**	21.2	23.5	5.8	733.3	732.[illegible]	731.7	58	48	69	E 1	W 1	E 1	6	3	8	6.7	●° 8–8 1/4a, K_A● 2 3/4–4 1/4p
21	20.4	26.8	18.4	21.9	4.3	730.9	**730.0**	731.7	75	54	86	NE o	E o	E 1	8	8	10	**16.6**	● 3–6 1/4a, 2 1/2–7 1/4p
22	18.2	26.0	19.2	21.1	3.6	730.8	730.2	731.9	84	51	90	E 1	E 1	SE 1	8	7	10	2.6	K_A●° 7 1/2p, ● 8–9 1/4p
23	17.8	18.3	18.6	18.2	0.8	731.2	733.6	734.0	88	90	86	E 1	SE 1	E 1	10	10	10	6.9	K_A op, ●–2 1/4p
24	17.9	23.4	18.4	19.6	2.2	735.9	735.7	736.7	94	66	81	W o	NW 1	E 1	5	6	10	0.1	● 3–4 1/4a
25	17.0	24.6	17.6	19.7	2.4	737.7	737.1	738.5	86	60	94	E o	W 1	S 1	2	5	1	2.0	● 7 1/4–8 1/2p, < 9 1/2p
26	17.3	22.6	18.6	19.5	2.3	741.5	741.5	742.4	83	51	77	SW o	W 1	E 1	8	7	o	.	
27	15.4	24.6	19.6	19.9	2.8	743.3	742.5	740.8	83	44	68	E 1	SW o	E 1	o	1	o	.	
28	16.4	27.4	21.7	21.8	4.8	740.7	739.6	739.5	72	45	78	E 1	SW 1	E 1	o	o	1	.	
29	17.8	29.3	22.0	23.1	6.2	740.5	739.9	741.0	77	40	67	E 1	NW 1	W 1	o	1	4	0.1	●° 8 3/4p
30	17.6	25.2	20.2	21.0	4.3	741.6	740.9	740.9	92	54	52	SW o	NW 1	N 2	8	3	2	4.6	● 7 3/4–8a, < 9–11p, K_A²
31	14.4	20.4	16.8	17.2	−3.0	**744.0**	743.3	742.8	91	61	78	E 1	NE 1	E 1	1	5	o	.	[11 1/4p, ●–2a
																		Summe	
Mittel	17.7	26.8	21.2	21.9	—	738.9	738.0	738.3	75	44	64				3.0	3.5	3.8	47.7	

August 1911.
Observatorium.

Säntis.

$\lambda = 9° 20'$, $\beta = 47° 15'$,
$Hb = 2500.1^m$, $G = -0.16\,{}^m/_m$.

Tag	Lufttemperatur					Luftdruck			Relative Feuchtigkeit			Windrichtung und Stärke			Bewölkung			Niederschlag	Witterung
	7^{30}	1^{30}	9^{30}	Mittel	Abweich. vom Normalst.	7^{30}	1^{30}	9^{30}	7^{30}	1^{30}	9^{30}	7^{30}	1^{30}	9^{30}	7^{30}	1^{30}	9^{30}		
1	8.3	10.2	8.6	9.0	3.5	568.4	569.1	570.0	62	59	**27**	NNE 1	SSE 1	NNW 2	1	1	2	.	
2	8.7	11.3	7.6	9.2	3.8	570.7	571.6	571.5	71	76	100	WNW 2	W 0	W 1	8	3	10≡	.	●° $11^1/_2$–$11^3/_4{}^a$, ≡ $8^3/_4{}^p$–n
3	7.7	8.5	8.4	8.2	2.8	570.7	571.0	570.5	86	86	84	NW 0	NNE 1	WNW 2	1	9	7	11.6	n (3/4) ⊼●
4	5.2	8.2	7.1	6.8	1.4	569.2	569.1	568.7	99	99	99	WNW 2	SW 1	WNW 2	10≡●	10≡	10≡	4.4	△ $7^1/_4$–$7^1/_2{}^a$, ●–$7^3/_4{}^a$, ≡– *)
5	5.0	10.2	8.7	8.0	2.6	568.2	568.5	568.5	99	87	62	W 1	SSW 2	WSW 3	10	10	1	0.2	●° 7–$9^1/_4{}^a$, ≡ $9^3/_4$–$10^1/_4{}^a$
6	9.8	10.8	7.6	9.4	4.0	569.2	570.7	571.0	75	80	99	WSW 4	SW 1	WSW 3	8	8	10≡●	3.7	a ⌿. ⊼ 6–8p, ● 7–$7^3/_4{}^p$, ●
7	8.0	11.0	8.2	9.1	3.7	571.3	572.1	572.7	87	87	100	W 0	W 0	ENE 2	3	10	10≡	.	≡ $1^3/_4{}^p$–n [≡ $8^3/_4{}^p$–n
8	9.9	**12.7**	10.8	11.1	5.8	572.4	**573.1**	572.9	74	76	60	NE 1	SSE 1	NE 1	1	4	1	.	
9	10.7	11.6	10.8	11.0	5.7	571.9	572.0	571.3	51	89	28	NW 1	WSW 0	W 2	1	8	1	.	
10	11.0	11.0	8.2	10.1	4.8	569.6	570.3	569.4	30	77	84	NW 1	NE 0	NE 1	3	4	2	.	
11	8.2	9.5	6.6	8.1	2.9	567.8	568.3	568.4	67	83	88	NW 0	WSW 1	NE 1	1	6	1	.	
12	8.1	9.0	6.4	7.8	2.6	567.6	568.6	568.6	82	90	82	NE 0	SSE 0	N 1	1	7	1	.	≡ $0^1/_2$–1p. ∠ $8^3/_4$–$9^1/_4{}^p$
13	6.6	9.4	7.2	7.7	2.6	568.7	569.5	569.6	75	85	81	W 0	SSW 1	NE 1	1	6	2	.	∠° $8^3/_4$–$9^1/_4{}^p$
14	7.0	9.1	5.4	7.2	2.1	569.1	569.1	567.9	84	80	80	NNE 1	ESE 1	WSW 2	7	6	3	0.2	⊼ $6^1/_4$–$7^1/_2{}^p$, ●° $6^1/_2$– *)
15	6.4	9.2	4.7	6.8	1.8	566.6	566.2	565.3	78	71	100	NW 1	WSW 3	NW 2	3	9	10≡	0.1	≡ $8^1/_2{}^p$–n
16	2.8	5.3	2.4	3.5	−1.5	564.4	565.5	566.8	100	85	100	WSW 2	WSW 3	NNW 1	10≡	9	10≡	.	≡ n–$10^1/_4{}^a$, 8p–n
17	**2.1**	6.2	3.6	4.0	−0.9	566.7	568.4	568.3	98	69	70	WSW 3	WSW 3	WNW 3	7	2	1	.	≡ n–$7^1/_2{}^a$
18	5.0	8.1	5.9	6.3	1.4	567.6	567.8	567.3	58	56	75	WSW 4	WSW 3	W 2	3	4	2	.	⌿ I
19	6.1	10.5	8.3	8.3	3.5	566.1	566.2	566.2	79	59	62	WSW 4	SW 3	WSW 3	1	1	1	.	⌿ I [$8^1/_2{}^p$–n
20	8.8	12.4	8.8	10.0	5.3	565.9	566.2	565.6	64	68	75	WSW 3	SW 3	WSW 3	8	5	3	4.7	● $9^1/_4$–11^a, $5^1/_4$–$7^3/_4{}^p$, ∠°
21	6.1	11.8	5.4	7.8	3.1	564.1	564.7	563.9	100	83	100	WSW 4	SSW 1	WSW 5	10≡●	7	8	13.9	a ⌿, ● $6^3/_4$–$8^1/_2{}^a$, 3–$3^1/_2$, *)
22	6.9	10.8	7.8	8.5	3.9	**563.2**	563.3	564.3	90	80	90	SSE 2	SSW 3	W 2	9	8	9	0.2	●° $7^1/_2$–$8^1/_4{}^a$, ≡ $3^1/_4$– *)
23	8.4	11.3	6.0	8.6	4.1	563.4	564.2	564.7	84	77	97	SSW 3	WSW 3	SE 1	9	9	10≡●	**36.1**	⊼ $2^1/_4$–3p, ●≡ 2–$4^1/_4$, 7– *)
24	4.5	8.0	4.8	5.8	1.3	564.9	565.5	566.0	93	92	98	SW 3	SSW 1	W 2	9	10≡	10≡	0.6	●° 1–$1^1/_4{}^p$, ≡ $10^1/_2{}^a$–3. *)
25	4.6	8.8	6.1	6.5	2.1	566.5	567.3	567.7	100	86	97	W 1	SSW 1	S 1	9	9	10≡●	35.4	≡ $6^1/_4{}^p$–n, ∠° $8^1/_2{}^p$–n, *)
26	2.6	3.2	2.8	2.9	−1.4	567.7	568.5	569.7	100	81	100	WNW 2	WSW 2	SW 2	10≡●	6	10≡	11.2	● n–$8^1/_2$, 10^a–o, $3^1/_4$–8p, *)
27	4.2	8.1	7.0	6.4	2.2	570.2	571.1	570.5	84	87	77	W 0	W 1	SW 2	1	6	0	.	≡ $10^3/_4$–11^a
28	8.0	11.5	9.2	9.6	5.4	570.3	571.0	571.0	77	75	94	SW 3	SSW 1	SW 2	1	1	4	.	
29	8.9	11.2	9.1	9.7	5.6	571.2	572.0	571.9	68	72	86	WSW 3	SW 1	NW 1	1	3	1	.	
30	9.6	10.4	7.5	9.2	5.2	570.8	570.9	570.1	87	96	98	W 3	W 3	W 3	3	10≡	2	13.8	≡ $1^1/_4$–$9^1/_4{}^p$, n ⊼●
31	3.8	4.1	4.5	4.1	0.2	569.0	570.0	570.3	100	87	70	W 2	SW 1	SW 1	10≡	9	1	.	≡ n–$9^3/_4$, 11^a–op, ∠ [$8^1/_2{}^p$–n
Mittel	6.9	9.5	6.9	7.8	—	568.2	568.8	568.7	81	80	83							Summe	
															5.2	6.5	4.9	136.1	

*) 4. $3^3/_4$, $7^1/_4{}^p$–n, ∠ III *) **14.** $6^3/_4{}^p$, ◠ $6^3/_4$–$7^1/_2{}^p$, ∠° III *) **21.** $6^1/_4$–$9^1/_2{}^p$, ≡ $7^1/_4$–$8^1/_4{}^a$, $6^1/_4$–$9^1/_4{}^p$, ◠ $3^1/_4$–$3^1/_2{}^p$, ⌿^{2} III *) **22.** $4^1/_4{}^p$, ∠° 8^p–n *) **23.** 7^1 4, $9^1/_4{}^p$–n, ≡ $2^1/_2$–$5^3/_4{}^p$, III *) **24.** $6^3/_4{}^p$–n *) **25.** ⊼^{2} ●^{2} △ $9^1/_4{}^p$–n *) **26.** ≡ $9^1/_2{}^a$–o, $3^1/_2$–$5^3/_4$, $7^1/_2{}^p$–n

August 1911.
Beobachter: *D. Dittli.*

St. Gotthard (Hospiz).

$\lambda = 8° 34'$, $\beta = 46° 33'$,
$Hb = 2102.9^m$, $G = -0.14\,{}^m/_m$.

1	11.0	16.1	12.2	13.1	4.8	595.8	596.4	597.7	70	35	44	N 2	N 2	N 2	1	1	1	.	
2	12.8	12.9	9.7	11.8	3.5	598.4	599.4	599.3	45	54	92	N 1	N 2	N 2	7	8	3	1.8	● 6–$6^3/_4{}^p$
3	8.8	14.6	11.2	11.5	3.2	598.4	598.5	598.2	85	42	85	N 2	N 2	N 2	0	6	9	.	
4	9.0	11.2	9.7	10.0	1.7	596.9	596.6	596.7	94	72	90	N 2	N 2	N 2	5	9	9	.	
5	9.5	15.1	12.4	12.3	4.1	596.0	595.8	596.5	50	45	40	N 1	N 1	NW 1	1	2	3	.	
6	13.1	14.4	9.9	12.5	4.3	597.1	598.0	599.0	43	54	93	NW 1	N 3	N 3	3	7	5	23.1	p ⌿, ● $11^3/_4{}^a$–o, $5^1/_2$–$6^3/_4{}^p$,
7	9.8	14.2	11.3	11.8	3.6	598.9	599.2	600.5	62	46	81	N 1	N 2	NNE 1	1	1	9	0.8	●° $9^1/_2$–$10^1/_4{}^p$ [n
8	12.1	17.0	13.2	14.1	5.9	600.5	**600.7**	**600.7**	70	44	87	E 0	SE 1	N 1	1	3	4	.	
9	13.0	16.3	11.9	13.7	5.6	599.4	599.1	598.8	58	49	65	N 1	N 2	N 2	1	1	0	.	
10	11.5	15.4	12.2	13.0	4.9	597.0	597.2	597.1	55	44	42	N 1	N 2	N 0	0	1	1	.	
11	10.8	15.0	11.0	12.3	4.3	595.8	595.4	596.2	57	45	79	N 1	N 2	N 1	0	2	3	.	
12	10.6	16.7	9.8	12.4	4.4	595.3	595.9	596.9	85	45	95	N 0	S 1	N 0	8≡	3	2	.	≡ I
13	9.2	14.5	10.9	11.5	3.6	596.5	596.8	597.4	63	37	51	N 1	N 2	N 1	1	3	3	.	
14	8.9	13.8	8.5	10.4	2.5	596.7	596.5	595.9	57	40	69	N 1	N 2	N 2	1	3	2	.	●◠ 5^p
15	8.4	12.6	8.5	9.8	2.0	594.4	593.8	593.0	56	37	54	N 1	NNE 3	N 2	3	9	4	..	⌿ II
16	9.4	11.6	9.8	8.3	0.5	592.3	593.4	594.4	77	51	83	N 3	N 3	N 3	2	2	2	.	⌿
17	**4.2**	12.2	6.7	7.7	0.0	594.9	595.9	596.7	96	31	84	N 3	N 3	N 2–3	9≡	0	0	.	≡ I, ⌿
18	8.9	15.4	9.2	11.2	3.6	595.8	595.5	595.3	27	**21**	65	N 1	NNW 0	N 1	1	4	1	.	
19	8.6	16.8	12.0	12.5	5.0	594.2	594.0	594.2	51	22	93	NNW 1	NE 1	W 1	1	0	5≡	.	≡ III
20	13.0	15.6	10.6	13.1	5.6	594.1	594.5	594.2	93	52	95	W 1	S 1	S 1	8	4	9	18.0	●◠ 5^p, ●^{2} $5^3/_4$–$6^1/_2{}^p$
21	9.8	11.2	10.2	10.4	3.0	592.9	592.6	591.7	97	92	95	S 0	SSE 1	SSE 1	10≡	10	10	17.0	a ≡, ≡^{2} II. ● 8^a–n, ⊼ III
22	10.4	11.6	10.4	10.8	3.5	**591.3**	591.6	592.2	85	82	96	NE 0	SSE 3	SSE 2	10●	10	5	5.0	● I, ⌿ II
23	10.0	10.4	9.0	9.8	2.5	591.5	592.5	592.5	97	95	86	SE 2	SSE 1	SSE 1	10 ●	10 ●	10 ●	**75.6**	●◠ ≡
24	7.4	8.9	6.8	7.7	0.5	592.8	593.2	594.3	82	95	100	NW 0	SSE 2	N 1	5	10≡	9≡	3.8	● 11–$11^1/_4{}^a$, p ≡
25	6.8	13.8	9.7	10.1	3.0	594.4	594.5	595.9	79	44	97	NE 1	N 0	N 1	1	6	10≡	2.5	≡ $8^1/_2{}^p$–n, n ●
26	4.8	6.0	5.6	5.5	−1.5	596.0	596.4	597.6	95	88	95	N 4	N 3	N 3	10	9	5	.	⌿^{2} I, ⌿ ≡
27	5.4	12.1	9.1	8.9	2.0	598.4	598.9	598.6	70	30	50	N 1	N 2	N 2	0	0	0	.	
28	9.2	15.4	10.4	11.7	4.8	598.8	598.5	598.9	84	51	95	N 0	N 0	N 1	1	1	10≡	.	≡ $7^1/_2{}^p$–n
29	9.8	15.9	11.8	12.5	5.7	598.9	599.2	599.6	84	38	72	N 1	N 2	N 1	1	1	0	.	
30	12.1	**18.3**	8.0	12.8	6.1	598.8	598.5	598.5	53	38	68	N 0	SSE 1	SSE 1	0	6	7	3.5	
31	5.7	6.6	6.2	6.2	−0.4	596.6	597.7	598.7	99	98	74	N 3	N 3	N 2	10	5	1	.	● 5^a, ≡^{2} I, ⌿ ≡–p
Mittel	9.4	13.6	9.8	10.9	—	596.1	596.3	596.7	72	52	78							Summe	
															3.6	4.4	4.6	151.1	

$\lambda = 7^\circ 26'$, $\beta = 46^\circ 57'$,
$Hb = 572.2^m$, $G = 0.05\,^{m}/_{m}$.

Bern.

September 1911.
Tellur. Observatorium.

Tag	Lufttemperatur					Luftdruck			Relative Feuchtigkeit			Windrichtung und Stärke			Bewölkung			Niederschlag	Witterung
	7^{30}	1^{30}	9^{30}	Mittel	Abweich. vom Normalst.	7^{30}	1^{30}	9^{30}	7^{30}	1^{30}	9^{30}	7^{30}	1^{30}	9^{30}	7^{30}	1^{30}	9^{30}		
1	12.8	23.0	17.7	17.8	2.5	718.1	718.1	718.2	85	47	84	NE o	NE o	E o	1	1	1	.	⊿ I
2	16.2	28.0	19.7	21.3	6.1	719.3	718.5	718.6	83	39	76	E o	W o	SE o	1	1	0	.	
3	17.1	28.9	19.4	21.8	6.8	719.0	717.7	717.9	82	39	62	SE o	NE o	E o	1	0	1	.	⊿ I
4	16.8	**29.2**	21.0	22.3	7.4	718.3	717.3	717.4	76	37	56	SE o	N o	E o	1	1	0	.	⊿ I
5	15.7	29.0	19.0	21.2	6.4	717.7	717.6	717.9	80	26	77	SE o	NE o	SE o	3	1	2	.	⊿ I, Ψ III
6	18.1	29.0	19.5	22.2	7.5	718.4	717.5	718.2	72	36	77	SE o	E o	N o	4	2	3	.	⊿ I, Ψ III
7	16.1	28.4	19.1	21.2	6.7	717.9	716.8	716.4	84	37	68	SE o	N o	SE o	1	1	1	.	⊿ I
8	15.4	**29.2**	19.4	21.3	6.9	716.2	714.7	714.6	79	26	71	SE o	SW o	SE o	3	3	3	.	⊿ I, ≺ 7^p, n ●
9	16.1	**29.2**	18.4	21.2	6.9	714.3	713.4	712.8	78	**22**	63	S o	W o	SW o	3	2	1	.	⊿ I
10	15.6	27.8	16.9	20.1	6.0	713.5	713.3	714.4	76	24	82	NE o	N o	NE o	4	1	2	.	K ● $2^1/_{2^a}$
11	12.4	24.8	16.5	17.9	3.9	714.6	713.6	713.9	82	37	73	N o	SW o	SE o	1	1	1	.	⊿ I
12	12.6	27.6	18.8	19.7	5.9	715.5	714.5	715.3	78	35	62	SE o	W o	S o	0	2	2	.	
13	15.9	27.5	19.6	21.0	7.3	716.5	715.5	715.3	81	39	62	SSE o	SW o	S o	8	3	8	0.4	≺ III
14	17.0	26.5	16.5	20.0	6.5	714.2	711.1	709.7	87	38	94	SE o	E o	SE o	3	3	9●	0.6	K ● $2^1/_{2^a}$, ● $8^1/_{2^p}$–III
15	14.4	20.0	13.0	15.8	2.4	708.6	708.3	710.7	95	69	95	SE o	SE 1	N 1	10≡	7	10●	3.6	≡ I, ● $5^1/_{4^p}$–n
16	10.4	10.4	9.3	10.2	−3.0	712.2	712.6	713.5	93	95	96	NE o	NE 1	NE o	10	10●	10	12.7	● $10^1/_{2^a}$–3^p
17	9.5	13.8	10.6	11.3	−1.8	714.0	715.0	717.0	91	61	71	NE o	N o	NE o	10	9	5	.	
18	7.9	16.5	9.2	11.2	−1.7	719.1	718.8	718.9	86	32	82	SE o	E o	NE o	4	3	1	.	⊿ I
19	7.3	19.1	11.9	12.8	0.0	717.3	714.3	713.8	88	42	87	SE o	N o	W o	2≡	1	2	.	⊿ ≡ I
20	10.8	21.6	16.0	16.1	3.5	711.8	708.7	707.4	89	40	76	SE o	E o	WSW 1	9	3	10●	0.2	● $6^3/_{4}$–7^p, III
21	12.3	11.8	8.9	11.0	−1.5	**704.3**	706.3	706.4	97	87	90	SE o	SW o	SE o	10≡	10●	10	8.5	⊿ ≡² I, ● 8^a–p
22	7.4	10.6	7.2	8.4	−3.9	706.2	706.8	708.8	99	75	96	S o	NW 1	E o	9	10●	10●	12.8	● II–n
23	**5.7**	7.9	7.2	6.9	−5.2	707.1	706.8	709.1	96	90	97	SE o	NE o	SE o	10	10	10	**15.7**	● $10^1/_{2^a}$–n
24	7.8	13.2	10.4	10.5	−1.5	711.4	712.4	714.7	96	63	95	SE o	WSW o	SSE o	10	8	10	0.6	● a, $4^1/_{2}$–5^p
25	10.1	19.1	12.9	14.0	2.2	715.8	715.8	716.9	92	49	89	SE o	SW o	NE o	8	6	2	.	
26	9.4	17.7	11.1	12.7	1.1	717.9	717.8	718.6	98	60	94	E o	NE o	N o	9≡	4	2	.	≡ ⊿ I
27	7.7	18.6	11.9	12.7	1.2	**719.4**	718.7	718.8	97	48	92	N o	NE o	SE o	10≡	1	4	.	≡² ⊿ I
28	12.7	18.5	13.6	14.9	3.6	718.9	717.8	718.5	89	61	73	SE o	NW 1	S o	10	9	10	1.5	● $8^1/_{4}$–10^a
29	11.7	13.7	10.4	11.9	0.8	716.7	716.0	716.5	97	80	86	SE o	SW o	N o	10●	10	9	1.7	● n–$6^1/_{2^p}$
30	7.7	11.1	9.4	9.4	−1.5	714.7	711.8	706.2	85	58	86	NW o	W 1	W 1	10	9	10●	12.8	● 6p–n
																		Summe	
Mittel	12.3	21.1	14.5	16.0	—	715.0	714.2	714.6	87	50	80				5.8	4.4	5.0	71.1	

$\lambda = 6^\circ 57'$, $\beta = 47^\circ 0'$,
$Hb = 487.3^m$, $G = 0.06\,^{m}/_{m}$.

Neuenburg.

September 1911.
Observatorium.

1	13.5	23.6	18.2	18.4	1.1	725.7	725.6	725.4	89	58	72	NE 1	SE 1	N 1	3	0	0	.	
2	15.2	27.1	21.2	21.2	4.0	726.6	725.9	725.7	96	55	77	NE 1	NE 1	N 0	0	0	0	.	
3	16.8	29.6	21.7	22.7	5.6	726.4	725.2	724.9	92	51	56	NE 1	NE 1	NE 1	0	0	0	.	
4	16.2	30.2	22.8	23.1	6.1	725.5	724.6	724.6	87	38	52	NE 1	NE 1	N 1	0	0	0	.	
5	16.4	30.2	21.0	22.5	5.6	725.2	724.9	724.9	84	35	58	NE 1	E 1	N 0	4	1	0	.	
6	17.2	29.0	23.0	23.1	6.3	725.7	724.9	725.2	82	48	54	NE 1	NE 1	N 1	3	3	3	.	
7	17.9	28.7	22.3	23.0	6.4	725.1	724.2	723.5	72	47	50	NE 1	SE 1	N 1	0	0	0	.	
8	15.8	28.4	20.1	21.4	4.9	723.6	722.2	721.5	85	43	59	NE 1	SE 1	NW 1	5	3	0	.	≡° I
9	17.5	28.7	23.4	23.2	6.8	721.5	720.6	719.7	82	**31**	36	NW 1	SW 1	NW 1	3	4	0	.	K $4^1/_{2}$–5^1 2^a
10	20.0	**30.7**	19.6	23.4	7.2	720.5	720.6	721.8	50	35	61	SW 1	SE 1	NE 2	2	0	3	.	⸔ $7^1/_{2^p}$–n
11	13.9	24.8	17.5	18.7	2.6	722.4	721.1	721.2	73	50	68	NE 1	SE 1	N 1	2	0	0	.	
12	13.8	27.2	20.5	20.5	4.5	722.9	722.0	722.5	88	48	60	NW o	SE 1	NW 1	3	2	2	.	● $5^1/_{4^p}$
13	16.0	28.2	21.1	21.8	5.9	723.8	722.7	722.3	83	45	57	NW 1	SW 1	NW 1	6	3	3	.	≡° I
14	17.3	27.1	18.5	21.0	5.3	721.4	718.6	716.8	86	47	84	E 1	SE 1	NW 1	6	3	10●	**21.5**	≡° I, ● $5^3/_{4^p}$–III, ● ^{2}–n
15	15.6	22.2	15.3	17.7	2.1	715.7	715.2	718.0	98	64	90	N 1	W 1	N 1	8	8	9	.	⸔ ● $4^1/_{2}$–$7^1/_{2^p}$
16	12.2	11.8	10.3	11.4	−4.0	719.9	720.1	721.1	90	98	91	NE 1	NE 1	NE 2	10	10●	10●	15.1	● $10^1/_{4^a}$–n
17	11.0	15.4	10.6	12.3	−3.0	721.5	722.5	724.4	83	61	70	NE 2	NE 2	N 1	10	9	2	.	
18	8.4	19.0	12.8	13.4	−1.7	**727.0**	726.5	726.2	86	48	56	NE 1	NE 1	N 1	6	4	0	.	
19	8.2	19.0	12.8	13.3	−1.7	725.1	721.9	721.0	91	57	75	NE 1	S 1	NW 1	0	0	3	.	
20	12.0	21.4	15.0	16.1	1.3	719.3	716.2	715.0	93	56	90	SE 1	SE 1	SW 2	8	3	10●	0.8	⸔ $8^1/_{2^p}$–n, ● 9^p–n
21	14.6	11.7	9.6	12.0	−2.7	**711.5**	713.4	713.7	84	93	91	SW 1	SW 1	N 1	9	10●	10	10.1	● n–5^1 2^p
22	9.1	11.5	7.7	9.4	−5.1	713.6	714.4	716.3	96	75	97	NE 1	NE 1	N 0	10	10●	10●	9.1	● 9^1 2^a–n
23	**7.0**	8.5	9.0	8.2	−6.1	714.9	714.3	716.3	97	92	97	NE 1	NE 1	N 1	10	10●	10●	21.0	● a, b, p ● ^{2}
24	9.8	14.7	12.1	12.2	−2.0	718.4	719.8	721.8	89	74	82	SW 1	SW 1	NW 1	10	8	10	.	a ●
25	11.0	16.8	12.5	13.4	−0.6	723.2	723.5	724.2	93	74	89	NE 1	SW 1	NW 1	10	9	2	.	
26	10.6	19.7	12.3	14.2	0.3	725.2	725.3	726.0	100	61	87	NE 1	SE 1	N 1	9	2	0	.	≡° I
27	9.2	19.8	15.5	14.8	1.1	**727.0**	726.3	726.2	100	60	87	NE 1	SE 1	N 0	2	3	10	0.8	
28	13.8	19.4	15.3	16.2	2.7	726.2	725.2	725.4	98	57	62	NE 0	W 1	NW 2	10●	8	10	0.4	● n–8^a, ≡° II, ⸔ 2^1 2^p–n
29	13.3	14.2	10.5	12.7	−0.7	724.0	723.5	724.8	85	86	74	SW 1	SW 2	N 2	10●	10●	4	3.1	● 7^1 4^a–6^p, p ⸔
30	7.6	10.9	9.2	9.2	−4.0	722.3	719.8	713.4	83	65	95	N 1	NW 1	SW 3	10	10	10●	13.4	● 3^1 2^p–n, ⸔ 7^1 2^p–n
																		Summe	
Mittel	13.4	21.7	16.0	17.0	—	722.4	721.7	721.8	87	58	73				5.6	4.4	4.4	95.3	

September 1911.
Beobachter: Frl. *H. Nager.*

Altdorf.

$\lambda = 8° 39'$, $\beta = 46° 53'$,
$Hb = 456.3^m$, $G = 0.05^{m/m}$.

Tag	Lufttemperatur					Luftdruck			Relative Feuchtigkeit			Windrichtung und Stärke			Bewölkung			Niederschlag	Witterung
	7^{30}	1^{30}	9^{30}	Mittel	Abweich. vom Normalst.	7^{30}	1^{30}	9^{30}	7^{30}	1^{30}	9^{30}	7^{30}	1^{30}	9^{30}	7^{30}	1^{30}	9^{30}		
1	12.9	21.0	15.8	16.6	0.6	728.5	728.1	728.4	93	53	95	SE 0	NWo-1	SE 0	0	0	0	.	
2	15.6	24.2	18.7	19.5	3.6	729.5	728.9	728.5	94	50	94	SE 0	W 0	SE 0	0	0	0	.	
3	17.2	26.5	21.0	21.6	5.8	728.9	727.1	728.2	85	54	75	S 0	S 0	SE 0	0	0	0	.	
4	16.8	25.2	18.3	20.1	4.5	728.2	727.5	727.7	80	45	85	SE 0	NW 0	SE 0	0	1	0	.	
5	17.3	**27.0**	19.3	21.2	5.7	728.0	727.7	727.6	89	40	70	SE 0	NW 2	SE 0	8	4	7	.	
6	17.5	26.2	19.0	20.9	5.5	728.4	727.7	728.4	85	45	75	SE 0	W 0	SE 0–1	6	7	4	.	
7	14.8	26.0	18.9	19.9	4.6	727.7	727.5	727.3	97	48	85	S 0	SW 0	SE 0	0	0	0	.	
8	15.7	24.4	20.3	20.1	4.9	726.2	727.3	724.3	90	50	63	SE 0	W 0	SE 1	0	6	10	2.1	● $5^1/_4$–$5^1/_2$p
9	17.4	25.8	17.8	20.3	5.3	723.9	723.7	722.4	73	**33**	64	S 0	N 1	SE 0	8	3	6	0.2	n ($^9/_{10}$) ●°
10	16.8	26.2	16.8	19.9	5.0	722.9	722.9	724.7	86	40	64	S 0	NW 1-2	SE 0	6	5	0	.	⸗ II
11	13.9	26.2	17.3	19.1	4.3	724.7	723.9	723.8	98	60	73	SE 0	N 0	SW 0	0	1	0	.	
12	13.8	25.3	19.7	19.6	4.9	725.2	725.1	725.3	95	60	97	SE 0	NWo-1	SE 0	0	3	1	.	
13	18.5	26.6	19.0	21.4	6.9	726.2	725.2	725.0	75	44	64	SE 0	W 1	SE 0	8	5	6	.	
14	16.8	24.8	22.3	21.3	6.9	723.7	721.8	719.3	83	50	45	S 0	W 0	NW 0	0	4	7	0.1	
15	17.5	16.8	15.8	16.7	2.4	718.4	720.6	720.4	95	100	100	SE 0	SW 0	NW 0	10	10	10	9.8	p n ●
16	14.2	14.4	12.8	13.8	−0.4	722.2	722.6	723.6	100	90	100	NWo-1	N 1	NW 0	10	10	10	19.6	●, n ●
17	12.6	15.0	13.7	13.8	−0.2	724.0	724.6	726.6	95	59	54	NW 0	NW 2	NW 0	10	10	10	0.8	●° l
18	9.8	16.0	9.3	11.7	−2.2	729.5	729.5	729.3	95	40	84	E 0	W 2	NW 0	3	5	0	.	
19	9.1	18.4	11.0	12.8	−0.9	726.8	724.5	723.2	84	45	100	E 0	NW 0	NW 0	0	0	0	.	
20	12.6	21.0	15.8	16.5	2.9	722.0	718.8	716.8	89	45	75	SE 0	S 0	NW 0	10	3	10	.	
21	12.8	11.2	8.8	10.9	−2.5	**713.9**	716.5	717.1	100	75	95	S 0	N 2	NWo-1	8	10	10	**24.2**	●² 1p–n
22	9.0	9.4	8.2	8.9	−4.4	716.6	718.8	719.0	95	89	100	SE 1	E 2	NWo-1	10	10	10	15.7	p n ●
23	7.3	10.3	**7.0**	8.2	−4.9	717.3	717.1	718.9	100	68	100	NW 0	SE 0	NW 0	10	10	2	11.4	● n–$11^1/_2$a
24	8.3	14.2	11.2	11.2	−1.8	721.9	722.8	724.9	100	55	100	SE 0	NW 2	NW 0	10	9	10	0.2	
25	12.8	17.2	11.6	13.9	1.1	726.3	727.5	727.5	98	52	96	SE 0	SE 0–1	SE 0	10	5	1	.	
26	8.0	17.6	11.3	12.3	−0.4	728.1	728.2	729.0	100	60	100	SE 0	N 2	SE 0	0	1	0	.	
27	8.7	18.2	12.3	13.1	0.6	**729.7**	**729.7**	729.2	92	55	86	SE 0	N 0	SE 0–1	0	1	0	.	
28	11.3	18.4	15.2	15.0	2.6	728.9	728.5	727.8	100	60	77	SE 0	W 0	SW 0	10	6	10	1.8	
29	12.0	13.8	12.8	12.6	0.3	726.5	725.8	726.8	100	92	70	SE 0	NE 0	SWo-1	10	10	10	13.7	● n–9p, p ⸗
30	10.5	13.1	10.3	11.3	−0.8	724.7	722.1	716.4	87	59	100	N 0	W 0	SW 0	10	10	9	9.4	● $5^1/_2$–9p, n ⸗ ●
Mittel	13.4	20.0	15.0	16.1	—	725.0	724.7	724.6	92	57	83				5.2	5.0	4.8	Summe 109.0	

September 1911.
Observatorium.

Genf.

$\lambda = 6° 9'$, $\beta \equiv 46° 12'$,
$Hb = 405.0^m$, $G = 0.02^{m/m}$.

1	14.5	21.2	19.0	17.9	1.3	732.6	732.7	732.4	82	59	83	W 0	N 1	N 0	1	0	0	.	△ a, III
2	16.5	24.0	21.3	20.3	3.8	733.8	732.9	732.5	86	61	84	NW 0	N 1	N 0	0	0	0	.	△ a, III
3	18.0	25.9	21.2	21.6	5.2	733.3	732.2	731.5	84	53	65	NW 0	N 1	SW 1	0	0	0	.	$\triangle^2$ a, III
4	15.9	25.8	24.0	21.3	5.1	732.3	731.3	730.8	83	50	52	SW 1	N 1	NE 1	0	0	0	.	a $\triangle^2$
5	17.1	27.1	21.4	21.7	5.6	732.0	731.6	731.9	76	44	68	WNW 1	NNW 1	NNW 0	1	1	0	.	a △, ▽ 9p
6	16.8	26.8	21.4	21.2	5.2	732.6	731.6	731.8	78	43	67	W 0	NNW 1	NNW 0	1	1	1	.	a △
7	16.3	26.2	20.8	21.1	5.2	732.2	731.5	730.6	77	47	69	NNW 0	NNW 1	WNW 0	0	0	0	.	a △
8	16.0	26.2	21.8	21.7	5.9	730.6	729.2	728.6	82	48	49	WNW 0	NNW 1	SSW 0	2	1	2	.	a △
9	18.4	**31.1**	20.3	23.3	7.7	728.8	727.9	727.0	61	**18**	54	N 1	S 1	SSE 1	2	1	0	.	a △
10	16.7	24.8	22.0	21.0	5.5	728.0	727.6	727.9	63	54	50	SSW 1	N 1	NNE 1	0	1	0	.	a △
11	15.3	21.7	18.4	18.9	3.5	729.1	727.8	728.2	81	59	79	NNE 1	N 1	N 0	0	4	0	.	△ a, III
12	14.5	29.4	23.6	21.4	6.2	729.8	728.9	729.8	84	27	56	WNW 0	SSW 1	SSW 1	0	1	1	.	a $\triangle^2$
13	17.0	29.3	23.0	22.9	7.8	731.1	729.9	729.8	79	34	58	SSW 0	SSW 1	SSW 1	3	3	9	.	a △, $\lessdot_4$ 9–$9^1/_2$p
14	18.1	24.2	18.8	20.3	5.3	728.4	725.4	723.8	78	57	77	NE 1	NNE 1	N 1	6	6	10	0.7	a △°, ●° 3, 7–10p, n
15	15.3	24.3	16.6	18.4	3.6	723.0	722.6	724.8	92	40	92	SW 0	SSW 2	SSW 1	7	5	10	1.0	⸗ II, ● $4^1/_2$–5, $7^3/_4$–8p
16	14.4	14.2	13.3	14.0	−0.7	726.5	727.1	728.0	84	91	76	NNE 2	N 1	NNE 2	10	10●	10	10.1	⸗, ● $8^1/_2$–11^a, $1^1/_2$, 4–5p
17	11.7	15.0	13.0	13.6	−1.0	728.5	729.4	731.2	86	64	79	NNE 1	NNE 1	NNE 1	10●	10	0	0.2	●° $7^1/_2$a, ⸗
18	8.6	17.2	11.6	12.6	−1.8	733.6	732.9	733.2	82	34	71	SW 1	NNE 3	NNW 1	0	0	0	.	$\triangle^2$ a, III, ⸗ II
19	8.1	18.3	13.9	13.5	−0.8	732.1	729.2	728.5	85	39	74	WNW 0	N 1	SW 0	0	1	0	.	$\triangle^2$ a, III, ⸗ [8^3 1p, n
20	12.6	25.3	15.0	16.8	2.7	726.3	722.9	722.7	83	30	88	WSW 0	SSW 2	W 1	7	7	10	3.9	a △, ⸗ $1^1/_2$, $4^1/_2$p, ● 5–
21	14.9	11.9	10.2	12.5	−1.5	**719.3**	721.6	720.8	80	90	93	SSW 1	S 1	W 1	10	10●	9	18.9	● $7^1/_4$–$5^1/_2$p, n
22	9.2	11.1	9.6	9.5	−4.3	720.8	721.6	722.8	94	67	84	N 1	NNW 1	NE 1	9	10●	10	2.6	● $1^1/_2$, $7^1/_2$p, n
23	**7.6**	10.5	9.7	9.6	−4.1	721.0	721.4	724.3	97	80	95	NE 1	NNE 2	WNW 0	10●	10	10●	6.2	● $7^1/_2$–$8^1/_2$a, 5p. III–n, ⸗ II
24	9.5	14.7	11.9	11.7	−1.8	726.6	727.1	730.2	97	62	96	WNW 1	N 1	N 0	10	9	10●	5.6	● $5^1/_4$–$10^1/_2$p
25	10.3	17.3	13.5	13.8	0.4	730.4	730.7	730.2	98	62	86	WNW 0	N 1	N 0	10≡	1	0	.	a ≡², △ III
26	9.8	17.0	13.2	13.4	0.2	732.3	732.5	732.9	81	68	92	SE 1	NNE 1	N 0	0	5	0	.	$\triangle^2$ a, III
27	8.4	18.2	13.9	13.6	0.0	**734.2**	733.3	733.3	90	62	80	WNW 0	N 1	WNW 0	0	1	0	.	$\triangle^2$ a, III
28	12.3	22.5	13.7	15.9	3.0	733.7	732.7	733.5	94	47	77	NNW 1	SSW 1	SSW 0	8	9	3	.	$\triangle^2$ a, III
29	12.0	10.7	13.0	13.3	1.1	732.0	731.6	731.7	99	70	95	SSW 0	SSW 2	SSW 0	10	10	8	1.0	△ a, III, ⸗ II, ● $4^1/_2$–$6^1/_2$p
30	9.5	14.5	9.4	11.5	−1.1	729.7	727.4	722.6	85	50	89	NNE 1	SSW 1	WSW 1	8	9	10●	8.4	● $3^1/_2$–10p, n
Mittel	13.5	21.1	16.6	17.0	—	729.5	728.8	728.9	84	54	76				4.2	4.2	3.7	Summe 58.6	

Die Temperatur-Tagesmittel von Genf resultieren aus 8 Beobacht. in dreistund. Zeitintervallen. Die Beobachtungstermine sind 7^{35}a, 1^{35} u. 9^{35}p.

$\lambda = 8° 33'$, $\beta = 47° 23'$,
$Hb = 493.2^m$, $G = 0.08\,^m/_m$.

Zürich.

September 1911.
Meteorol. Centralanstalt.

Tag	Lufttemperatur					Luftdruck			Relative Feuchtigkeit			Windrichtung und Stärke			Bewölkung			Niederschlag	Witterung
	7^{30}	1^{30}	9^{30}	Mittel	Abweich. vom Normalst.	7^{30}	1^{30}	9^{30}	7^{30}	1^{30}	9^{30}	7^{30}	1^{30}	9^{30}	7^{30}	1^{30}	9^{30}		
1	11.8	23.6	16.6	17.3	1.3	725.4	725.2	725.0	93	41	79	NE o	E o	NE 1	2	1	o	.	
2	13.8	29.1	19.6	20.8	4.9	726.2	725.6	725.4	94	41	76	NE o	W 1	SW o	1	o	o	.	
3	15.8	**31.8**	19.4	22.3	6.5	725.7	724.7	724.7	92	28	75	SE o	NE o	E o	o	o	o	.	
4	15.9	31.0	23.0	23.3	7.6	725.0	724.4	724.4	89	26	50	NE o	NW o	NE 1	o	o	o	.	
5	16.4	31.0	20.5	22.6	7.0	724.4	724.4	724.3	89	23	70	NE 1	W o	SE 1	2	1	2	0.3	●° ⌒ $5^1/_2$–$5^3/_4$P, ◁ $8^1/_2$P
6	16.4	28.2	19.0	21.2	5.7	725.1	724.9	725.1	91	29	73	SE o	NE o	SW o	3	7	2	.	
7	14.7	29.6	18.6	21.0	5.6	725.0	724.0	723.4	95	27	53	SW o	NE 1	E o	o	o	o	.	
8	14.7	28.4	20.6	21.2	6.0	722.9	721.8	720.5	85	36	73	E o	SW 1	SE o	4	4	4	0.1	●° ⸝ 9–$9^1/_4$P, ◁ III
9	17.9	31.3	21.3	23.5	8.4	720.5	719.9	718.9	80	**21**	49	E 1	W 1	SW 1	3	1	1	.	⸝ $9^1/_2$a–p
10	19.6	25.0	16.4	20.3	5.3	719.5	721.1	722.2	58	48	76	NW 1	NE 2	SW 1	2	1	1	.	⸝
11	10.6	25.0	16.4	17.3	2.4	722.0	720.9	720.6	72	45	83	W o	E 1	E o	o	o	o	.	
12	11.6	28.9	20.0	20.2	5.5	722.2	721.9	721.6	89	31	66	NE o	SW 1	E 1	1	o	o	.	
13	17.3	30.1	22.0	23.1	8.5	723.1	722.2	721.8	85	25	52	E 1	SW 1	NE 1	2	3	10	1.5	
14	18.0	28.8	18.0	21.6	7.2	720.9	718.7	717.0	90	32	96	SE o	SW 1	W 1	4	1	9●	1.7	● 2–4^a, $6^1/_4$P–n, ◁ 8P
15	16.7	19.2	12.2	16.0	1.7	715.3	715.5	717.9	98	77	100	N o	SW 1	NW 1	8	10	10●	14.9	●° $1^1/_4$–$4^1/_4$P, ●–2^a
16	11.0	11.6	10.4	11.0	−3.1	719.5	719.9	721.1	99	91	98	NE 1	N 1	NW 1	10	10●	10●	11.5	●° $3^1/_2$–$6^1/_2$a, ● 11–$11^1/_2$a,
17	10.3	13.8	11.4	11.8	−2.2	721.5	722.4	724.0	95	58	63	NW 1	NE o	NE 1	10	9	7	.	● $0^3/_4$–$3^3/_4$a [$1^1/_2$–$9^3/_4$P
18	9.0	18.0	10.4	12.5	−1.3	726.2	725.9	726.1	86	32	77	N o	SW 1	SW 1	6	4	o	.	
19	8.6	22.0	12.8	14.5	0.9	714.4	721.5	720.3	91	32	81	SE o	SE 1	N o	1	1	o	.	
20	12.6	24.2	15.8	17.5	4.0	718.9	716.1	713.7	93	27	71	NE o	SW 1	N o	10	4	8	1.1	●° $11^1/_2$a
21	14.6	13.2	9.2	12.3	−1.0	**711.1**	712.6	713.7	92	88	100	NE 1	SW 1	SW 1	8	10●	10●	11.1	●° o–$o^1/_4$a, ● 2–$2^1/_2$, $11^3/_4$a–
22	8.8	10.2	7.4	8.8	−4.3	713.4	714.3	716.0	93	91	96	E o	NE 1	S 1	9	10●	10●	12.0	● o–2, $2^3/_4$P–n [$10^1/_4$P, ⸝
23	**7.2**	8.2	8.4	7.9	−5.0	714.2	713.6	715.5	100	96	80	SW 1	SW 1	SW 1	10●	10●	10●	**20.4**	● n–$7^1/_4$P
24	8.8	12.6	11.4	10.9	−1.8	718.2	719.3	721.3	98	77	91	SW 1	SW 1	SW o	10●	10	10	0.2	● $6^1/_4$–$8^1/_2$a
25	11.0	19.0	12.6	14.2	1.6	722.9	722.9	724.0	91	51	99	S 1	NW 1	NW o	6	5	7	.	
26	12.0	16.3	11.0	13.1	0.7	724.8	725.3	725.7	92	68	100	SW 1	NE o	SW o	9	8	o	.	
27	10.2	20.6	12.6	14.5	2.3	**726.5**	725.7	725.6	100	49	88	SW o	NW 1	E o	10≡	1	4	.	≡ n–9^a
28	12.8	17.0	14.0	14.6	2.6	725.5	725.0	724.8	95	76	75	E 1	SW o	W o	10	9	10	7.3	●° $8^3/_4$a–1P, n ●
29	12.0	13.7	10.9	12.2	0.4	723.4	722.2	724.7	96	93	95	SW 1	SW 1	W 1	10●	10●	9	5.0	● n–$4^3/_4$P
30	8.1	13.0	10.0	10.4	−1.3	721.8	718.5	712.6	90	54	77	NE 1	SW 1	SW 2	10	6	8	12.5	●° 5P, ●⸝ 7P–n
Mittel	12.9	21.8	15.1	16.6	—	721.8	721.4	721.4	90	50	79				5.4	4.5	4.7	Summe 99.6	

$\lambda = 8° 30'$, $\beta = 47° 3'$,
$Hb = 1787.3^m$, $G = -0.11\,^m/_m$.

Rigi-Kulm.

September 1911.
Beobachter: Frl. *A. Gygax.*

1	11.3	16.0	14.6	14.0	5.7	621.5	622.9	623.5	30	17	36	SE 1–2	W o	W 1–2	3	1	o	.	
2	15.2	16.9	15.3	15.8	7.6	624.1	624.4	**624.7**	36	37	55	W o	NW o	S o	o	1	o	.	
3	15.1	**18.7**	17.5	17.1	9.0	624.4	624.4	624.5	42	32	**13**	E 1–2	E o	NW o	o	o	o	.	
4	15.9	18.3	15.4	16.5	8.5	623.8	624.1	623.8	30	36	36	NE 1–2	NE o	W 1–2	o	o	o	.	
5	15.1	16.6	15.7	15.8	7.9	623.2	623.5	623.5	32	29	34	NE o–1	W o	S o–1	7	3	5	.	
6	14.2	17.4	14.4	15.3	7.5	623.5	623.7	623.9	38	34	33	W 1	NW o	W o	5	7	3	.	
7	15.0	17.8	14.5	15.8	8.0	623.2	623.2	623.0	34	30	32	E o–1	E o	W o	o	o	o	.	
8	15.4	17.3	16.0	16.2	8.5	621.9	621.8	620.9	35	32	35	W o–1	NW o–1	NW 1–2	5	5	7	.	
9	14.8	16.9	15.2	15.6	8.0	619.8	619.9	619.2	26	27	27	W 1–2	W 1	W 2–3	7	3	3	.	●° $8^1/_2$a, ⸝ III–n
10	13.9	12.9	11.1	12.6	5.1	618.5	619.7	619.7	29	41	44	W 3	NW 1	W o–1	7	3	3	.	⸝ I
11	11.7	16.7	13.4	13.9	6.5	618.9	619.4	619.6	40	32	38	SE o–1	S o	E o–1	1	1	o	.	
12	13.1	15.2	15.5	14.6	7.3	620.1	621.3	621.3	28	35	29	W 2–3	W o–1	W 1–2	1	1	3	.	⸝ I
13	14.7	16.1	13.8	14.9	7.7	621.7	621.4	621.1	29	28	34	W o–1	NW o–1	W o–1	5	5	9	.	
14	13.1	15.7	11.3	13.4	6.3	619.4	618.1	615.8	37	35	53	NW 1	E 1	SW o–1	5	3	10	.	
15	10.4	9.1	8.0	9.2	2.2	613.5	613.4	614.6	58	73	99	W 1	NW 1–2	W o	10	10●	10≡●	30.1	p n ●², ≡ III–n
16	8.0	10.4	4.3	7.6	0.7	615.3	615.4	615.7	90	59	98	NE o	W o	W o	10	10≡●	10≡●	14.8	a ≡°, p n ● ≡
17	4.6	3.3	2.4	3.4	−3.4	615.9	617.1	618.4	100	100	69	E o	NE 2	E o–1	10≡	10≡	10	4.0	≡ n–II, n ✳
18	1.6	4.2	3.2	3.0	−3.6	620.0	620.6	620.8	58	59	42	NE o–1	NE o	SW o	5	5	5	.	
19	7.5	12.8	8.8	9.7	3.2	620.2	619.0	618.3	30	31	41	S o	SE o	W o–1	3	3	5	.	
20	9.1	12.5	9.0	10.2	3.8	616.2	614.7	612.8	41	33	55	W 1–2	SW o	W 2–3	9	5	10	0.5	⸝ III, n ●°
21	7.9	2.5	0.3	3.6	−2.7	609.4	609.0	609.3	58	100	100	W o	W 4	W 1–2	7	10≡●	10≡*	35.0	⸝² II, p ≡, ●² 11^a–p, ✳²–n
22	0.5	−0.3	**−1.3**	−0.4	−6.6	608.7	609.2	610.1	80	98	98	E o	NE o	E o	10	10≡*	10*	19.0	≡ II, p n ✳
23	−0.7	0.7	−0.4	−0.1	−6.1	608.7	**608.5**	610.0	98	100	100	NE o	NE o	W 1–2	10*	10≡	10*	15.4	✳, ≡ II
24	0.7	2.0	2.0	1.6	−4.3	612.9	614.4	616.4	100	100	89	W 1–2	W 2	SE 1–2	10≡	10≡	10●	5.3	≡ n–p, ● III
25	4.5	7.4	6.3	6.1	0.3	617.9	619.0	619.8	84	62	98	W 1–2	W o	SE o	7	7	10≡	.	≡ III
26	5.6	9.3	5.6	6.8	1.1	619.7	620.7	621.4	51	58	100	SE o	SE o	SE o	o	5≡	o≡	.	p ≡
27	6.7	9.6	6.8	7.7	2.1	621.2	621.6	621.6	23	46	47	NW o	W o	W o	o	o	o	.	
28	6.9	7.7	5.0	6.5	1.1	621.4	621.2	620.7	86	100	97	W 2	W o–1	W 1–2	10	10≡	10≡	19.2	p ≡, n ●
29	4.1	5.2	1.7	3.7	−1.6	618.9	618.0	618.6	100	100	100	W 2–3	W 2–3	W 1–2	10≡●	10≡●	10	**43.5**	●² ≡ ⸝ n–p
30	0.5	2.3	2.9	1.9	−3.3	615.7	613.6	608.9	100	84	85	W o	W 2–3	W 3–4	10≡	9≡	10	11.6	≡ n–II, p ⸝, n ● ✳ ⸝²
Mittel	9.2	11.1	8.9	9.7	—	618.7	618.8	618.7	54	55	61				5.6	5.2	5.8	Summe 198.4	

September 1911.
Beobachter: *J. Camenisch.*

Bevers.

$\lambda = 9° 53'$, $\beta = 46° 33'$,
$Hb = 1712.6^m$, $G = -0.12\,{}^m/_m$.

Tag	Lufttemperatur					Luftdruck			Relative Feuchtigkeit			Windrichtung und Stärke			Bewölkung			Niederschlag	Witterung
	7^{30}	1^{30}	9^{30}	Mittel	Abweich. vom Normalst.	7^{30}	1^{30}	9^{30}	7^{30}	1^{30}	9^{30}	7^{30}	1^{30}	9^{30}	7^{30}	1^{30}	9^{30}		
1	3.6	18.4	8.1	10.0	0.8	628.4	628.0	**630.5**	91	51	81	— 0	S 2	— 0	0	1	0	.	⌊ I
2	4.0	21.2	9.8	11.7	2.6	630.3	630.0	630.3	91	48	81	— 0	— 0	— 0	0	0	0	.	
3	6.3	**23.0**	11.4	13.6	4.6	629.7	628.6	629.5	94	**31**	80	— 0	— 0	— 0	0	1	0	.	
4	5.4	22.2	10.2	12.6	3.7	629.4	627.8	628.7	91	**31**	68	— 0	SW 4	— 0	0	2	0	.	p ⌿^{2}
5	7.8	19.4	12.6	13.3	4.5	628.2	628.0	628.9	90	46	65	N 1	NE 1	— 0	6	6	6	.	
6	8.8	20.0	9.0	12.6	3.9	628.7	628.6	629.8	96	41	75	— 0	W 1	NE 1	6	7	3	.	
7	3.6	21.0	8.0	10.9	2.4	629.5	628.2	628.6	93	38	64	— 0	SW 1	— 0	0	0	0	.	
8	3.0	20.4	11.1	11.5	3.1	628.5	626.8	627.7	85	35	80	— 0	S 3	N 1	1	7	10●	4.0	⌿ II, ● 8p–n
9	6.2	18.4	6.4	10.3	2.0	626.0	624.8	624.6	95	36	84	— 0	NW 1	S 1	0	8	2	1.0	● 2p–p
10	7.4	17.0	7.0	10.5	2.3	624.7	623.8	625.0	97	39	74	N 1	SW 3	— 0	4	7	3	.	● n-l, ⌿ II
11	1.6	17.6	9.6	9.6	1.5	625.8	624.7	626.1	91	51	89	— 0	S 3	S 2	0	1	5	.	⌊ l, ⌿ II
12	8.2	19.0	11.0	12.7	4.8	626.7	626.3	628.3	94	42	85	— 0	S 2	S 1	3	1	1	.	
13	5.8	18.6	10.0	11.5	3.7	628.5	627.3	627.4	95	51	84	— 0	SW 3	— 0	6	7	4	.	⌿ II
14	8.0	16.4	12.5	12.3	4.6	626.2	624.6	622.4	95	55	74	— 0	SW 2	— 0	10	4	7●	5.0	●° III, ⍂●–o^a
15	9.4	11.2	7.9	9.5	1.9	619.8	618.9	620.3	93	76	90	— 0	SW 1	— 0	10	10●	6	1.9	● a–II
16	6.8	12.4	7.2	8.8	1.4	620.7	620.6	620.9	94	70	94	— 0	SW 1	SW 1	10	9	10	2.4	●
17	6.3	9.4	4.0	6.6	−0.7	620.5	621.0	622.7	89	50	60	NW 1	W 3	W 4	9	9	6	.	●° l, p n ⌿^{2}
18	1.6	7.1	4.6	4.4	−2.8	624.1	624.5	625.5	69	47	62	NW 4	N 3	N 1	8	5	6	.	⌿^{2} n–II
19	2.4	15.4	5.4	7.7	0.7	626.1	623.6	623.9	84	47	81	— 0	N 1	— 0	9	1	1	.	
20	2.0	14.5	8.4	8.3	1.4	622.2	620.0	619.4	91	51	86	— 0	SE 3	W 1	6	3	8	.	⌿ II
21	8.6	12.5	6.0	9.0	2.3	616.1	615.0	614.0	86	51	91	— 0	S 2	W 5	8	8	10	**30.2**	● o^p, ⌿^{2} III, ●^{2} $7^1/_2$p–n, n
22	0.6	2.4	0.2	1.1	−5.5	613.8	614.0	614.4	98	91	96	— 0	N 1	N 1	10*	10	10*	27.3	✳^{2} [✳ ✳]
23	−0.2	3.7	0.6	1.4	−5.0	**612.5**	613.5	616.5	92	70	94	— 0	— 0	N 1	10*	10	6	1.7	✳ n–$9^1/_2{}^a$ ✳
24	−0.9	7.4	2.6	3.0	−3.3	618.3	619.7	622.1	94	51	85	N 3	W 2	— 0	3	6	2	.	⌿ I ✳
25	−1.6	9.8	1.5	3.2	−2.9	622.9	623.9	626.3	96	50	86	— 0	W 3	W 1	10≡	4	1	.	≡ I, ⌿ II ✳
26	**−3.2**	13.2	1.1	3.7	−2.3	626.3	626.0	627.3	91	33	75	— 0	N 1	— 0	0	0	0	.	⌊^{2} l
27	−2.6	13.8	2.4	4.5	−1.3	627.6	626.5	627.4	86	39	81	— 0	W 1	N 1	0	0	0	.	⌊ l
28	−1.0	13.4	5.4	5.9	0.3	626.8	626.2	625.8	95	49	82	— 0	W 2	— 0	0	8	10	.	⌊ l
29	6.0	11.2	6.2	7.8	2.3	624.0	622.4	622.9	89	55	85	— 0	W 3	— 0	9	9	1	0.3	⌿ II, p ●°
30	−1.2	7.6	0.8	2.4	−2.9	621.5	619.0	615.9	94	47	85	E 1	S 1	NE 1	4	10	2	6.0	n ($^{30}/_1$) ✳
																		Summe	
Mittel	3.8	14.6	6.7	8.4	—	624.5	623.7	624.4	91	49	81				4.7	5.1	4.0	79.8	

September 1911.
Beobachter: P. *F. Landolt.*

Sitten.

$\lambda = 7° 21'$, $\beta = 46° 14'$,
$Hb = 540^m$, $G = 0.00\,{}^m/_m$.

1	14.6	24.0	20.3	19.6	3.0	720.8	719.7	720.8	82	55	71	E 0–1	SW 1–2	E 0	1	0	0	.	
2	16.6	26.1	22.8	21.8	5.3	**722.6**	720.6	721.4	76	49	56	E 0–1	SW 1	E 0–1	0	0	0	.	
3	17.7	27.0	23.6	22.8	6.4	721.5	719.8	719.8	78	51	62	E 0–1	SW 1	E 0–1	0	0	0	.	
4	18.2	27.3	23.6	23.0	6.7	721.1	718.8	718.8	76	49	50	E 0–1	SW 1	NE 1–2	0	1	0	.	
5	16.7	**28.2**	22.6	22.5	6.4	720.2	719.4	720.4	69	46	46	E 0–1	SW 0–1	E 1	0	5	0	.	
6	17.1	27.3	22.0	22.1	6.1	721.5	720.0	719.9	66	50	49	E 0–1	SW 0–1	E 0–1	1	4	2	.	
7	16.3	26.6	22.6	21.8	5.9	721.2	719.0	719.0	71	47	54	E 0–1	SW 0–1	NE 0	0	1	0	.	
8	17.5	27.1	22.1	22.2	6.5	719.5	717.2	718.3	68	48	55	E 0–1	SE 0	NE 1–2	0	2	4	.	●° 8p
9	16.5	25.8	21.3	21.2	5.6	718.2	716.2	715.7	80	50	44	E 0	SW 0–1	NE 0–1	4	3	4	.	
10	16.3	26.2	20.9	21.1	5.6	717.1	715.2	715.8	75	48	42	SE 0	SW 0	NE 0–1	2	6	0	.	
11	15.0	24.8	19.4	19.7	4.3	717.9	715.4	717.2	70	45	50	E 0	S 1	NE 0–1	3	1	0	.	
12	14.9	25.6	21.4	20.6	5.4	719.2	716.8	718.7	74	49	54	E 0	S 1	E 0	0	1	1	.	
13	18.1	25.8	21.2	21.7	6.6	719.8	717.6	719.6	70	51	65	E 0–1	SW 0–1	E 1	1	4	8	.	
14	17.5	26.5	18.3	20.8	5.8	717.4	713.1	712.6	82	45	78	E 0	SW 0	NE 0	3	3	10●	1.0	● 6p–n
15	14.9	21.9	18.2	18.3	3.5	711.0	710.2	712.4	98	65	74	S 0	SW 1	S 0	10	7	10	**12.5**	
16	15.6	16.8	13.0	15.1	0.4	715.1	714.8	715.1	99	87	100	S 0	SW 0	SW 0	10●	10●	10●	7.5	● 2^a–n
17	11.9	14.1	10.5	12.2	−2.3	715.4	716.3	718.4	97	76	77	SW 1	SW 1–2	E 0–1	10●	10	4	1.5	a ●
18	8.2	17.0	12.5	12.6	−1.8	721.5	718.0	720.6	85	**41**	56	SE 0	SE 1	E 0	1	0	0	.	△^{2} l
19	8.7	19.0	14.6	14.1	−0.1	720.8	716.4	717.0	82	46	72	E 0	S 0	NE 0–1	0	0	0	.	
20	10.8	21.0	15.2	15.7	1.7	715.2	711.6	711.3	92	46	97	E 0	S 0	SW 1–2	10	6	10●	3.9	● $8^1/_2$p–n
21	13.1	14.5	10.0	12.5	−1.4	708.3	**707.2**	709.0	96	87	100	E 1	SW 1	SW 0	10●	10●	10●	8.6	●
22	9.0	10.0	8.8	9.3	−4.4	708.4	708.5	709.6	95	80	76	E 0–1	SW 1	SW 1–2	10●	10●	10●	3.6	●
23	**7.6**	9.2	7.8	8.2	−5.4	708.6	709.1	711.8	95	82	100	SE 0–1	E 1	S 0	10	10●	10●	4.1	● 11^a–2, $5^2/_4$p–n
24	8.3	14.8	11.4	11.5	−1.9	713.9	715.2	717.7	100	58	87	SE 0	S . 0–1	E 0	10	9	10	.	
25	10.3	17.6	16.0	14.6	1.3	718.7	718.4	720.1	88	54	82	E 0	SW 1	E 0	3	3	0	.	
26	12.0	19.0	14.0	15.0	1.9	720.5	719.8	721.5	71	49	83	NE 1–2	S 0–1	E 1	9	0	0	.	
27	10.2	18.5	14.4	14.4	1.4	722.4	720.6	721.7	95	63	72	E 0	S 1	E 1–2	8	0	0	.	
28	10.8	19.2	14.8	14.9	2.1	722.0	720.1	720.6	100	55	71	SE 0	S 0	SW 1–2	6	4	8	.	
29	13.6	17.3	12.4	14.4	1.7	719.3	718.1	718.9	82	71	100	S 0	SW 1–2	SW 0	10	8	5	1.3	● 11^a–p
30	9.8	13.4	10.2	11.1	−1.4	716.7	714.7	710.4	96	64	89	SW 1	SW 1–2	NE 0–1	10	10	6	9.7	● 6, 8p
																		Summe	
Mittel	13.6	21.0	16.9	17.2	—	717.9	716.3	717.1	84	57	70				4.7	4.3	4.1	53.7	

λ = 8° 57′, β = 46° 0′.
Hb = 276.2^m, G = 0.83 $^{m}/_{m}$.

Lugano.

September 1911.
Beobachter: *G. Matatesta.*

Tag	Lufttemperatur 7^{30}	1^{30}	9^{30}	Mittel	Abweich. vom Normalst.	Luftdruck 7^{30}	1^{30}	9^{30}	Relative Feuchtigkeit 7^{30}	1^{30}	9^{30}	Windrichtung und Stärke 7^{30}	1^{30}	9^{30}	Bewölkung 7^{30}	1^{30}	9^{30}	Niederschlag	Witterung
1	18.0	25.0	18.0	20.3	1.2	744.5	744.6	744.5	90	56	81	N 0	S 0	N 0	10	0	0	.	●° I·
2	16.0	27.2	20.2	21.1	2.1	**746.0**	744.8	745.3	85	65	84	N 0	SE 0	N 0	0	0	0	.	
3	17.2	28.2	19.8	21.7	2.8	745.0	743.7	743.0	90	69	86	N 0	SE 0	N 0	0	0	0	.	
4	17.8	29.2	21.0	22.7	3.9	742.0	740.4	740.1	83	60	84	N 0	E 0	N 0	0	0	0	.	
5	18.8	**33.2**	21.6	24.5	5.8	740.1	739.7	741.1	70	39	56	N 0	NE 0	N 0	0	0	3	.	
6	18.4	28.4	19.4	22.1	3.5	741.9	740.7	742.2	73	66	80	N 0	SE 0	N 0	0	2	3	.	
7	16.8	28.6	21.0	22.1	3.6	742.3	741.6	741.9	70	61	71	N 0	E 0	N 0	0	0	0	.	
8	17.4	27.8	21.4	22.2	3.9	741.8	741.7	740.0	77	66	84	N 0	W 0	NE 0	0	2	6	.	
9	17.2	28.8	20.7	22.2	4.0	739.3	737.8	737.4	73	61	66	N 0	E 0	N 0	0	0	0	.	
10	16.2	28.0	18.2	20.8	2.7	737.5	735.1	736.8	81	59	78	N 0	E 0	N 0	0	0	0	.	
11	17.6	25.6	20.0	21.1	3.2	741.0	741.1	741.7	85	55	83	NE 0	SE 0	NE 0	10	10	0	.	
12	18.6	26.2	18.4	21.1	3.3	742.9	742.5	743.6	85	60	80	NE 0	SE 0	N 0	10	0	0	.	
13	16.2	26.6	18.8	20.5	2.8	744.4	743.3	743.6	89	64	98	N 0	E 0	N 0	0	0	0	1.5	
14	18.0	25.6	18.0	20.5	2.9	741.7	740.5	737.7	94	70	100	N 0	E 0	S 3	10	0	10	40.8	● n–I, ●° ⸔ III, n ●²
15	16.8	15.4	16.4	16.2	−1.2	734.6	734.9	735.1	97	95	91	NW 0	NE 2	N 0	5	10	2	17.4	⸔ II, ●
16	15.5	21.4	16.8	17.9	0.6	735.9	735.9	736.1	92	79	95	NW 0	E 0	E 0	10	9	10	6.6	● $1^1/_2{}^p$–n
17	14.6	21.2	18.6	18.1	1.0	735.5	734.8	737.1	98	46	32	N 0	NE 1	NE 2	0	10	10	.	p n ⸔
18	15.2	21.4	14.6	17.1	0.1	739.8	740.0	741.0	40	**29**	56	NE 1	N 0	N 0	0	0	0	.	
19	12.0	23.2	14.8	16.7	−0.1	740.8	739.3	739.9	86	60	89	NE 0	E 0	NW 0	2	0	0	.	
20	14.2	21.8	15.4	17.1	0.5	739.2	737.3	734.9	92	72	93	NW 0	W 0	S 0	2	10	0	17.0	[n, K⸔^{2} ⸔ $9^1/_2$–$10^1/_2{}^p$
21	14.2	10.8	11.8	14.3	−2.2	732.1	731.2	727.5	84	93	94	NE 0	E 0	NE 2	10	10	10	**98.8**	● 3^a–$11/_2{}^p$, ●^{2}–9^1 ⸔ 11^1 2^p–
22	12.4	12.0	13.2	12.5	−3.8	728.7	728.6	727.7	93	79	56	NE 1	N 1	N 3	10	10	10	31.0	a ●, ●^{2} ⸔ 3^p–n
23	13.6	14.6	10.4	12.9	−3.2	**725.8**	729.6	732.7	53	80	98	N 2	N 0	N 0	10	10	7	2.1	⸔ I, a ●
24	9.2	19.9	12.2	13.8	−2.2	735.5	735.4	738.6	96	63	92	N 0	SW 0	N 0	0	0	0	.	
25	13.2	22.2	12.4	15.9	0.1	739.1	738.6	738.7	81	64	79	N 0	NE 0	N 0	3	0	0	.	
26	10.2	22.2	11.2	14.5	−1.1	741.9	742.8	743.0	83	61	88	N 0	N 0	N 0	0	0	0	.	
27	10.4	22.6	14.2	15.7	0.3	743.4	742.7	741.5	93	60	88	N 0	N 0	N 0	0	0	0	.	
28	11.9	23.0	15.6	16.8	1.6	743.4	741.6	740.9	94	89	84	N 0	NE 0	NE 0	0	1	2	.	
29	12.0	23.0	15.8	16.9	1.9	738.9	736.9	737.1	91	62	65	N 0	NE 0	NW 0	1	7	1	.	
30	11.4	15.2	12.0	12.9	−1.9	736.3	735.5	732.8	76	83	86	N 0	SW 0	N 0	1	10	10	12.5	p K⸔, n ●
Mittel	15.0	23.5	16.7	18.4	—	739.4	738.7	738.8	83	65	81				3.1	3.3	2.8	Summe 227.7	

λ = 7° 35′, β = 47° 33′,
Hb = 277.2^m, G = 0.13 $^{m}/_{m}$.

Basel.

September 1911.
Bernoullianum.

1	12.2	24.0	19.8	18.7	2.2	744.0	743.0	743.0	90	44	62	E 0	E 0	E 1	1	1	0	.	
2	16.6	28.4	22.0	22.3	5.9	743.6	743.0	743.0	73	48	62	E 1	SW 0	E 1	0	0	0	.	
3	17.4	29.9	21.6	23.0	6.7	743.8	742.5	742.5	76	37	62	E 1	NW 1	S 0	0	0	0	.	
4	16.0	28.2	23.0	22.4	6.2	743.5	742.5	742.6	79	40	56	E 1	NW 0	W 0	0	0	0	.	
5	16.4	28.4	22.1	22.3	6.3	742.7	742.1	742.1	83	41	71	E 1	S 1	E 1	2	2	1	.	
6	17.0	27.4	19.8	21.4	5.5	743.4	742.8	743.2	78	40	62	E 1	E 1	S 1	1	3	5	.	
7	16.0	28.3	20.8	21.7	5.9	743.4	741.8	741.6	75	39	54	E 1	W 1	W 1	1	0	4	.	
8	16.2	29.4	23.2	22.9	7.2	740.8	739.1	737.9	70	35	56	E 1	W 1	E 1	5	1	1	.	
9	17.4	**30.8**	21.8	23.3	7.7	738.2	737.3	736.6	72	**26**	51	E 1	W 1	SW 1	0	1	0	.	
10	16.8	21.5	17.0	18.4	3.0	738.7	739.9	740.5	72	60	59	W 1	W 1	W 1	0	0	0	.	
11	11.8	24.0	17.4	17.7	2.4	740.0	738.6	739.0	67	49	71	W 1	E 1	S 1	1	0	0	.	
12	14.0	27.0	21.4	20.8	5.6	740.1	739.2	739.2	74	47	67	SE 1	E 1	E 0	0	1	0	.	
13	17.4	29.4	21.9	22.9	7.9	740.8	739.7	739.7	74	36	67	E 1	S 1	SE 1	5	5	7	.	
14	19.0	27.2	17.6	21.3	6.4	738.6	735.8	734.1	73	42	96	E 1	NW 1	W 1	3	2	10●	13.4	K⸔ 7^p, ● $7^1/_2{}^p$–$4^1/_2{}^a$
15	16.6	13.6	11.6	13.9	−0.9	733.8	734.7	737.3	99	93	97	W 1	W 1	W 1	10	10	10●	5.7	● $7^1/_4$–$8^3/_4{}^a$, $5^3/_4$–$10^3/_4{}^p$
16	11.4	11.3	11.6	11.4	−3.2	738.7	739.2	740.1	95	98	95	N 1	W 1	E 1	10	10●	10	8.8	● $2^1/_4$–$5^3/_4$, $9^1/_4{}^a$–8^p
17	10.0	15.6	12.6	12.7	−1.8	740.8	741.1	743.2	95	59	70	W 1	W 1	W 1	10≡	4	9	.	≡ I, ●° 3^p
18	8.6	17.2	11.8	12.5	−1.8	**745.3**	744.8	744.0	89	43	83	E 1	NW 1	NW 1	2	2	0	.	
19	8.8	19.6	14.2	14.2	0.0	743.1	739.8	738.6	84	47	76	E 1	N 1	E 1	1	1	0	.	
20	12.0	21.0	17.4	16.8	2.8	736.8	733.3	731.7	83	44	69	E 1	E 1	SE 1	8	2	10	0.2	●° $9^1/_4{}^a$ [$3^3/_4{}^p$
21	14.0	13.6	11.1	12.9	−1.0	**728.8**	730.8	731.5	91	86	84	SW 0	W 2	E 1	10	10●	10	5.0	● $7^1/_2$–$9^1/_2$, $10^1/_4$–$11^3/_4{}^a$, I–
22	10.3	12.6	9.6	10.8	−2.9	732.2	732.6	734.7	88	70	95	S 1	W 1	SE 1	10≡	10	10	7.8	≡ I, ● 5–$7^1/_4$, $10^1/_4{}^p$–n
23	9.2	10.0	10.0	9.7	−3.8	732.8	732.3	733.8	97	97	100	NW 1	NW 1	S 1	10●	10●	10●	**17.1**	● n–$9^3/_4$, $11^1/_2{}^p$–$0^1/_4{}^a$
24	10.2	14.4	12.8	12.5	−0.9	736.5	737.6	740.0	98	68	90	E 0	W 1	E 1	10	8	10	.	● $1^1/_4$–$3^3/_4{}^a$, ●° $5^1/_2$–$5^3/_4{}^p$
25	11.4	17.0	13.0	13.8	0.6	741.2	741.6	742.9	90	74	93	SE 1	E 1	E 1	10≡	9	1	.	≡ I
26	12.0	17.0	12.6	13.9	0.9	743.5	743.8	744.4	95	66	88	E 0	N 0	SE 1	10≡	4	0	.	●° $5^1/_2$–6^a, ≡ I
27	8.8	20.0	16.4	15.1	2.2	745.0	744.0	744.2	94	54	85	SE 1	N 0	E 1	4	6	10	0.3	⏢ I, n ●°
28	14.6	19.3	15.1	16.3	3.6	743.8	743.3	743.7	95	64	76	E 0	W 1	W 0	8	7	10	4.1	
29	13.0	14.6	11.1	12.9	0.4	741.9	741.1	743.6	95	89	84	SW 0	W 1	W 1	10●	10●	8	2.5	● $2^1/_4{}^a$–$2^3/_4{}^p$
30	8.6	12.4	10.0	10.3	−2.0	740.6	737.2	739.6	86	59	93	E 1	W 1	SW 2	10	10	10●	6.8	●° $2^1/_4$–$2^1/_2{}^p$, ● 6–$11^1/_4{}^p$
Mittel	13.5	21.1	16.3	17.0	—	740.2	739.5	739.6	84	57	76				5.1	4.3	4.9	Summe 71.7	

September 1911.
Observatorium.

Säntis.

$\lambda = 9^\circ 20'$, $\beta = 47^\circ 15'$,
$Hb = 2500.1^m$, $G = -0.16\,{}^m/_m$.

Tag	Lufttemperatur 7h30	1h30	9h30	Mittel	Abweich. vom Normalst.	Luftdruck 7h30	1h30	9h30	Relative Feuchtigkeit 7h30	1h30	9h30	Windrichtung und Stärke 7h30	1h30	9h30	Bewölkung 7h30	1h30	9h30	Niederschlag	Witterung
1	0.9	10.9	8.8	8.9	5.1	571.0	572.6	573.3	45	62	85	WNW 1	SSW 1	WNW 3	2	1	1	.	
2	9.5	12.6	10.9	11.0	7.2	573.8	574.5	**574.7**	86	78	66	WNW 2	SSW 1	NW 0	1	1	0	.	
3	13.4	**13.6**	11.2	12.7	9.0	574.1	**574.7**	574.3	**28**	51	72	NE 2	SE 0	NNE 2	1	1	0	.	
4	12.0	13.1	9.5	11.5	7.9	573.5	574.0	573.1	55	72	88	NE 1	SSW 1	WNW 1	1	1	1	.	[$5^3/_4{}^p$
5	8.3	10.9	8.7	9.3	5.8	572.3	573.2	573.0	81	85	90	NNW 2	SW 2	WNW 3	5	5	7	0.2	⛆ $5^1/_4$–6p, △° $5^1/_2$p, ≡–
6	8.3	11.6	8.4	9.4	6.0	572.8	573.5	573.7	95	87	70	W 2	W 1	NNE 1	8	6	7	.	
7	10.0	11.7	9.5	10.4	7.1	572.9	573.4	572.9	55	62	56	ENE 1	E 1	E 1	1	1	1	.	
8	9.7	13.0	9.8	10.8	7.6	571.7	571.6	570.7	70	71	76	WNW 1	WSW 1	SW 2	4	6	8	.	≮° $7^1/_2$p
9	8.6	10.1	8.8	9.2	6.1	569.2	569.5	568.7	72	70	78	WSW 3	SW 3	W 2	3	6	3	1.5	≮° $9^1/_2$p, n ●
10	7.2	9.6	5.5	7.4	4.4	567.5	568.9	568.9	83	84	70	WSW 4	WSW 3	WNW 2	7	4	1	.	⌿ I
11	7.2	11.0	8.2	8.8	5.9	568.4	569.2	569.1	80	67	64	WSW 2	SSW 2	WSW 4	1	1	1	.	⌿ III–n
12	7.3	11.5	8.9	9.2	6.4	569.5	570.9	571.2	69	66	83	WSW 4	WSW 3	WSW 3	1	1	1	.	⌿ I
13	7.8	11.4	8.2	9.1	6.4	571.4	571.4	570.8	83	76	82	WSW 3	SSW 1	W 2	2	5	6	.	
14	8.3	11.3	7.8	9.1	6.5	568.9	568.1	565.6	83	80	87	WSW 3	SSW 1	SSW 2	8	6	10●	0.5	●° $9^1/_4$p–n [$11^3/_4{}^a$–$8^1/_2$p
15	6.1	3.1	3.6	4.3	1.8	563.1	562.8	563.6	96	98	98	SW 2	NNW 2	SW 3	9	10●	10≡	22.7	≡ 10^a–n, ⛆ o–$1^1/_2$p, ●
16	3.8	5.4	0.5	3.2	0.8	564.1	564.2	564.2	98	98	100	WSW 2	SW 1	W 2	8	10≡●	10≡●	9.2	≡, ● $11^1/_2{}^a$–$6^1/_2$, $9^1/_4$p–n
17	–1.7	–0.8	–4.2	–2.2	–4.5	564.0	565.0	565.8	100	100	98	W 1	W 1	NE 1	10≡*	10≡	10≡	0.5	✳° $7^1/_4$–$9^1/_2{}^a$, ≡, ⋁ ✳
18	**–5.6**	–3.2	–0.9	–3.2	–5.4	566.9	568.1	568.7	94	98	69	NNE 1	NW 1	WNW 2	5	10	6	.	≡ 10^a–6p . [$7^1/_2$p–n ✳
19	2.5	7.5	5.6	5.2	3.2	568.9	568.4	567.1	90	78	82	NW 1	SW 1	WSW 2	3	3	2	.	
20	3.4	6.8	4.8	5.0	3.1	565.0	564.2	562.3	73	79	82	WSW 4	SW 2	W 1	9	2	5	0.6	a ⌿, ●° $5^1/_2$p, ⌒° $6^1/_4$p
21	3.6	1.8	–2.4	1.0	–0.8	558.8	558.5	557.7	97	100	100	SW 2	WNW 3	WSW 1	7	10≡●	10≡*	**47.4**	≡ 11^a–n, ● $0^1/_2$–$2^1/_4$p, *) ✳
22	–4.6	–3.6	–4.8	–4.3	–6.0	556.9	557.3	557.8	98	100	100	WSW 1	WSW 1	N 1	10*	10≡*	10≡*	7.6	≡ $7^3/_4{}^a$–n, ✳ ⋁, ✣ 6p–n ✳
23	–4.5	–2.9	–3.6	–3.7	–5.3	**556.3**	556.6	558.5	100	100	98	NNW 2	N 1	N 2	10≡*	10≡*	4	7.9	a ✣, ⋀, ✳ ≡ n–9p ✳
24	–2.4	–1.4	–1.7	–1.8	–3.3	561.0	562.4	564.6	100	100	100	WSW 2	WSW 2	WSW 3	10≡	10≡	10≡*	3.2	≡, ✳ $8^1/_4$–$9^1/_2{}^a$, 5– *) ✳
25	–1.2	1.1	0.8	0.2	–1.2	566.2	567.5	568.5	98	98	87	WSW 2	WSW 1	NNW 1	9	10	2	.	≡ n–$4^1/_4$, $7^3/_4$– $1^1/_4$p ✳
26	1.5	3.0	2.4	2.3	1.0	568.5	569.5	570.0	60	52	30	NW 2	WSW 3	WSW 2	1	1	1	.	✳
27	3.7	4.8	1.6	3.4	2.2	569.9	570.4	570.2	79	92	94	WNW 2	W 1	SW 3	1	7	3	0.2	✳
28	2.1	3.4	1.4	2.3	1.3	569.6	569.5	568.4	98	100	100	WSW 3	WSW 3	WSW 3	10≡	10≡	10≡	31.9	●° $8^3/_4$–$9^1/_4{}^a$, ≡, n ✳^{2} ✳
29	–0.2	0.7	–3.1	–0.9	–1.8	566.3	565.5	566.1	100	100	100	WSW 3	WSW 4	W 2	10≡*	10≡●	10≡	39.9	✳^{2} n–$0^1/_4{}^p$, ●–$2^3/_4$p, *) ✳
30	–3.6	–3.4	–1.6	–2.9	–3.7	563.0	561.2	557.6	100	95	100	WSW 3	WSW 3	WSW 3	10≡	9	10≡*	17.2	≡ n–$9^1/_2{}^a$, 5^p–n, ⋁, *) ✳
																		Summe	*) **21.** ✳^{2} ✣ ⋁–n
Mittel	4.2	6.1	4.1	4.8	—	567.5	567.9	567.7	82	83	83				5.6	5.9	5.3	190.5	*) **24.** $5^1/_4$, $8^1/_4$p–n

[*) **29.** ✳–$3^3/_4{}^p$, ● ✳–7^p, ≡ ⋁, ⌿ $10^1/_2{}^a$–$1^1/_2{}^p$ *) **30.** ⌿ $4^1/_2$p, ✳ $4^3/_4$–$5^1/_4$p, ✳ ✣ $8^1/_2$p–n

September 1911.
Beobachter: *D. Dittli.*

St. Gotthard (Hospiz).

$\lambda = 8^\circ 34'$, $\beta = 46^\circ 33'$,
$Hb = 2102.9^m$, $G = -0.14\,{}^m/_m$.

1	8.2	13.6	10.9	10.9	4.4	599.4	600.5	601.2	55	59	98	SSE 1	S 1	S 1	1	0	1	.	
2	9.8	17.1	12.5	13.1	6.7	601.7	601.7	**602.4**	59	33	74	N 0	N 2	N 1	0	0	0	.	
3	12.2	**18.8**	13.3	14.8	8.5	601.5	601.7	601.8	54	26	79	N 1	N 2	N 2	0	0	0	.	
4	13.6	17.0	12.1	14.2	8.0	601.0	600.9	600.7	**23**	28	66	N 1	N 3	N 2	0	0	0	.	⌿ II
5	10.9	15.4	12.0	12.8	6.7	599.9	600.4	600.9	72	43	56	N 2	N 3	N 2	7	4	4	.	⌿ II
6	10.8	15.2	11.0	12.3	6.3	600.5	600.8	601.5	63	41	74	N 2	N 2	N 2	3	3	1	.	
7	10.3	18.5	12.5	13.8	7.9	600.4	600.3	600.4	54	**23**	60	N 0	NNW 0	N 1	0	0	0	.	
8	12.2	17.5	11.8	13.8	8.0	599.3	599.0	599.2	61	46	65	N 0	S 1	SSE 1	1	8	10●	31.5	●^{2} ▲ $3^1/_4$–$4^1/_2$p, ● ≮ III
9	11.2	15.3	11.3	12.6	6.9	597.3	597.3	596.3	51	34	64	NW 1	N 2	N 2	3	4	4	.	
10	11.0	13.8	8.5	11.1	5.6	595.6	596.5	596.8	52	43	61	N 2	N 2	N 1	8	5	6	.	
11	7.7	13.2	9.5	10.1	4.7	597.0	597.2	597.9	58	56	79	N 0	N 0	S 1	0	1	10	.	≡° III
12	9.2	14.1	9.8	11.0	5.7	598.3	598.7	599.9	80	56	88	S 1	S 1	S 1	7	1	5	.	
13	9.6	13.2	11.0	11.3	6.1	599.7	599.6	599.0	84	60	66	S 1	S 1	S 2	9≡	4	4	.	≡ I
14	8.4	10.2	7.7	8.8	3.7	597.2	596.3	595.0	100	88	85	S 1	S 1	SSE 2	10≡	10≡	10≡●	32.5	≡^{2} I, ≡, ●^{2} $4^1/_2$p–n
15	7.0	8.1	6.0	7.0	2.0	591.0	590.6	591.8	93	75	90	SE 2	S 1	SE 1	10≡●	10●	8	16.2	≡ I, ● n–II
16	5.8	7.5	3.5	5.6	0.7	592.4	592.1	592.4	89	90	100	S 0	S 1	N 2	10●	10●	9≡	8.5	● I, $1^1/_4$p–p, ≡ III
17	1.3	2.0	–0.6	0.9	–3.8	592.1	592.6	593.7	100	100	75	N 2	N 4	N 5	10≡	10≡	9	1.4	≡ n–II, ● ✳, p n ⌿^{2}
18	–1.6	2.0	–0.6	0.3	–4.3	594.2	595.5	596.6	83	52	79	N 5	N 5	N 5	9	1	1	.	⌿^{2}
19	2.8	12.7	7.0	7.5	3.0	596.8	596.0	595.5	55	35	76	N 3	N 1	S 1	2	0	0	.	⌿ I
20	6.2	8.1	6.0	6.8	2.4	593.5	592.6	590.6	77	84	94	SSW 1	S 2	S 2	10	8	10	2.4	n ($^{20}/_{21}$) ● ✳^{2}–n
21	3.8	5.1	–1.2	2.6	–1.6	587.4	586.2	585.4	100	99	100	S 1	SSE 2	N 2	10≡	10≡●	10*	**55.2**	≡^{2} n–II, ●^{2} $7^3/_4{}^a$–4^p,
22	–1.0	–2.0	–2.8	–1.9	–6.0	584.6	585.1	585.3	100	100	100	N 2	N 2	N 3	10≡	10*	10*	36.0	≡^{2} I, ✳^{2} $1^1/_2$p–n, ✣ ⌿
23	–3.1	–1.9	–2.9	–2.2	–6.2	**583.4**	585.1	587.1	100	100	99	N 3	N 2	N 2	10*	10	7	7.9	⌿ I, ✣ ✳ n–5^p [III–n
24	–1.6	0.1	0.6	–0.3	–4.2	589.2	591.0	592.3	95	94	97	N 3	N 2	N 3	7	7	10≡	.	⌿ I, ≡^{2} ⌿ III–n
25	1.0	3.4	2.4	2.3	–1.4	594.3	595.4	596.6	73	89	97	N 3	N 1	N 2	7	4	2	.	⌿ I
26	3.0	7.8	4.6	5.1	1.5	596.7	597.4	598.2	53	32	72	N 1	N 2	N 2	0	0	0	.	
27	4.3	8.2	4.1	5.5	2.0	598.0	598.4	598.5	33	30	69	N 2	N 2	N 2	0	0	0	.	
28	4.0	9.0	4.8	5.9	2.6	598.0	597.6	597.2	80	50	92	N 2	N 1	N 1–2	4	3	8	2.2	n ($^{28}/_{29}$) ●
29	2.6	3.6	1.8	2.7	–0.4	595.1	594.5	594.1	99	95	100	N 2	N 1	N 2	10≡	10●	10≡	11.2	≡ I, ● 8^a–p, ≡^{2} III
30	–1.2	2.0	–1.6	–0.3	–3.3	592.1	590.3	588.7	99	74	78	N 0	NNW 1	N 2	6	10	10*	10.1	✳ III–n
																		Summe	
Mittel	6.0	9.6	6.2	7.3	—	595.6	595.7	595.9	73	61	81				5.5	4.8	5.3	215.1	

Keine Angaben über Schneebedeckung.

$\lambda = 7^\circ 26'$, $\beta = 46^\circ 57'$.
$Hb = 572.2^m$, $G = 0.05^{m/m}$.

Bern.

Oktober 1911.
Tellur. Observatorium.

Tag	Lufttemperatur 7h30	1h30	9h30	Mittel	Abweich. vom Normalst.	Luftdruck 7h30	1h30	9h30	Relative Feuchtigkeit 7h30	1h30	9h30	Windrichtung und Stärke 7h30	1h30	9h30	Bewölkung 7h30	1h30	9h30	Niederschlag	Witterung
1	4.8	6.6	5.3	5.6	−5.1	707.8	708.4	710.0	94	88	98	SW 1	W 1	SW 0	10●	10●	10●	5.2	●
2	4.6	8.5	2.9	5.3	−5.3	710.7	710.4	711.1	91	57	96	NW 0	W 0	S 0	9	7	2	.	
3	1.4	9.0	4.7	5.0	−5.4	709.8	708.3	708.8	91	56	89	SE 0	NE 0	SE 0	2	6	8	.	a ⌴
4	5.2	6.4	5.8	5.8	−4.4	708.2	709.7	709.6	92	97	99	NE 0	N 0	SW 0	10	10●	10●	7.1	● 11^a–n
5	5.5	9.0	7.7	7.4	−2.7	711.1	711.2	711.7	100	80	97	W 0	NE 0	N 0	10●	10	10	0.1	●° l
6	7.3	10.0	8.6	8.6	−1.3	712.4	712.0	710.4	98	66	99	SE 0	NE 0	NE 0	10≡	10	10≡	3.2	≡ I, III, n ●
7	8.7	**16.7**	8.8	11.4	1.7	711.4	712.7	714.5	98	**43**	97	SE 0	SW 2	SE 0	10≡	4	4	.	≡² I, ⸝ II
8	7.0	12.8	10.0	9.9	0.4	714.0	712.1	714.0	98	78	98	SE 0	NE 0	NW 0	10≡	10	10●	11.6	≡² I, ● 2^p–n
9	9.4	14.0	12.2	11.9	2.6	713.0	712.1	713.7	99	83	98	SW 0	W 0	SE 0	10≡	6≡	9	7.1	≡² I, ≡–II, ◺● $5^3/_4$–$8^1/_4{}^p$
10	10.7	8.9	7.5	8.9	−0.2	716.5	718.9	720.3	98	92	90	NE 0	NE 2	NE 1	10≡	10≡	8	.	≡² I, ≡–II, ⸝ II
11	5.6	10.4	9.0	8.3	−0.7	720.5	720.9	723.6	94	76	91	NE 0	NE 0	NW 0	10	10	10	.	
12	6.9	11.0	8.2	8.7	−0.1	719.7	718.8	717.2	98	83	100	SW 0	SW 0	NW 0	10≡	7	10≡	.	≡ I, ≡² III–n
13	6.5	11.5	7.6	8.5	−0.1	715.7	714.2	714.1	100	86	98	S 0	W 0	NW 0	10≡	8	7≡	0.2	≡² ⏢ I, ≡² III–n, n ●°
14	9.3	**16.7**	12.5	12.8	4.4	714.0	715.3	714.5	99	66	98	SE 0	SW 0	N 0	9≡	8	5	.	≡ I
15	8.2	16.6	11.9	12.2	4.0	715.0	714.5	715.1	99	73	95	SE 0	NE 1	E 0	4≡	3	1	.	≡ I
16	9.9	15.6	9.6	11.7	3.7	715.5	714.5	714.3	98	70	95	SE 0	NE 0	NE 0	9	5	9	.	
17	8.5	9.6	8.2	8.8	0.9	714.3	714.7	715.0	98	90	95	NE 0	NE 0	N 0	10≡	10≡	10	.	a ≡, ≡² II
18	8.6	12.9	8.3	9.9	2.2	715.7	714.7	715.5	94	77	94	S 0	NE 0	W 0	10≡	1≡	3	.	≡ n–II
19	5.2	14.0	9.9	9.7	2.2	716.1	715.0	710.9	96	69	91	SE 0	W 1	SE 0	9≡	4	2	.	≡² ⏢ I
20	7.0	15.5	8.7	10.4	3.1	717.2	716.7	716.3	95	59	93	S 0	S 0	S 0	10	7	1	.	
21	4.6	15.0	10.2	9.9	2.8	713.5	710.9	708.0	96	63	90	S 0	NW 0	E 0	3≡	4	9	0.3	≡ ⏢ I, n ●°
22	10.2	14.4	13.8	12.8	5.8	708.0	707.7	707.9	88	72	72	SW 0	SW 1	SW 2	9	8	7	2.3	a ●, ⸝ III
23	11.5	13.6	9.8	11.6	4.8	710.4	710.9	710.8	97	50	78	W 1	SW 1	S 0	7	4	10	6.2	◠ $7^1/_4$–$7^3/_4{}^a$
24	8.3	10.4	6.0	8.2	1.6	710.6	710.5	707.9	95	77	95	SE 0	S 0	SE 0	10●	10	3	0.2	● n–I
25	1.7	10.4	6.0	6.0	−0.5	703.3	700.4	703.3	98	66	93	SE 0	SW 1	SW 0	7≡	10	10	7.2	≡² ⌴ I, ● $2^1/_2$–$4^1/_2{}^p$
26	6.2	11.5	8.4	8.7	2.4	705.1	703.6	703.9	75	**43**	72	SW 0	W 1	SW 0	8	2	7	.	
27	6.2	12.4	6.1	8.2	2.1	701.0	**699.8**	702.6	90	62	93	SE 0	SW 0	SW 0	5	8	10●	**13.6**	● 4^p–n
28	6.6	11.0	6.4	8.0	2.1	703.0	704.0	708.2	79	55	95	SW 0	SW 1	S 0	9	6	4	0.6	●° $6^1/_2$–$7^1/_2{}^p$
29	5.1	11.1	3.8	6.7	1.0	711.7	714.1	719.5	92	59	89	SE 0	SW 0	E 0	9	9	10	0.7	●° 0, $7^1/_2{}^p$–n
30	3.3	8.2	2.5	4.7	−0.9	**721.3**	719.6	718.7	97	62	98	E 0	S 0	SW 0	10	2	2	.	☋ III
31	**−0.8**	10.2	5.8	5.1	−0.3	717.3	715.5	716.3	99	49	89	SE 0	W 0	SE 0	7≡	8	9	.	≡² ⌴ I, ☋ $6^1/_2{}^p$
Mittel	6.6	11.7	7.9	8.7	—	712.4	711.9	712.6	94	69	93				8.6	7.0	7.1	Summe 65.0	

$\lambda = 6^\circ 57'$, $\beta = 47^\circ 0'$,
$Hb = 487.3^m$, $G = 0.06^{m/m}$.

Neuenburg.

Oktober 1911.
Observatorium.

1	5.2	7.1	6.9	6.4	−6.0	715.2	716.0	717.4	94	83	79	SW 2	NW 1	NW 1	10●	10●	10●	15.9	●, n ●
2	5.8	8.7	5.2	6.6	−6.3	717.7	717.9	718.5	74	57	70	N 2	N 3	N 1	9	3	4	.	a ●°, ⸝ II
3	3.3	11.0	6.6	7.0	−5.7	717.4	716.2	716.3	93	61	80	NE 1	E 1	N 1	6	7	10	0.6	≡° II, n ●°
4	6.1	7.4	5.8	6.4	−6.1	715.8	714.6	717.1	96	97	94	NE 1	NE 1	N 1	10	10●	10●	**17.7**	●, n ●
5	6.0	9.3	8.4	7.9	−4.5	718.7	719.0	719.4	97	89	97	NE 1	NE 1	NE 0	10	10	10	0.6	●°
6	8.2	11.1	11.2	10.2	−2.0	720.1	720.8	717.9	94	84	89	NE 1	NE 1	N 2	10	10	10	4.7	●° 6^p–n
7	10.3	**17.6**	12.8	13.6	1.6	719.3	720.0	722.0	99	62	53	W 1	SW 2	NW 1	10●	1	5	2.0	● n–8^a
8	8.3	12.8	10.0	10.4	−1.5	721.7	719.5	720.8	93	86	99	NW 1	E 0	NW 0	10	10●	9	8.1	● 8^a–III
9	9.7	12.2	11.7	11.2	−0.5	720.7	720.0	721.2	100	95	99	NW 1	SE 1	NE 0	10≡	10≡	9	3.8	≡² I, ≡–$5^1/_2{}^p$, ◺● $3^1/_4$– *)
10	12.2	10.2	9.0	10.5	−1.0	724.4	726.6	727.8	100	87	77	NE 1	NE 2	NE 3	10	10	6	.	≡° I, ⸝ ≡° III
11	7.6	11.2	6.6	8.5	−2.8	728.5	728.7	728.3	83	78	97	NE 1	NE 1	N 1	9	9	6	.	≡° III
12	8.4	10.8	8.4	9.2	−2.0	727.5	726.7	724.9	94	90	100	W 1	SW 1	NW 1	10	10	10≡	.	≡ III
13	8.2	12.4	9.8	10.1	−0.9	723.2	722.0	721.8	100	83	99	NW 1	SW 1	NW 0	10	8	10	1.4	≡° I, n ●
14	10.2	14.9	13.2	12.8	2.0	721.7	721.1	722.0	100	84	92	NW 0	SE 0	NW 0	10≡	8	9	0.3	≡ I, ●° n–11^a
15	11.5	16.2	14.4	14.0	3.4	722.4	722.4	722.4	100	81	87	SE 0	SW 1	N 1	10≡	3	5	.	≡² n–$9^1/_2{}^a$, ≡° III
16	11.1	16.9	11.2	13.1	2.6	722.9	722.3	721.6	99	75	87	E 1	E 1	NE 2	10	9	10	.	≡° I
17	10.0	11.4	9.5	10.3	0.0	721.9	721.5	723.0	93	86	92	NE 1	NE 1	N 1	10	10	10	.	
18	9.4	14.3	8.6	10.8	0.7	723.4	722.8	723.3	92	79	94	N 1	SE 1	NW 1	10	4	0	.	
19	7.5	10.5	10.6	9.5	−0.4	723.6	723.4	724.4	100	94	97	NE 1	SW 1	N 0	9≡	10	3	.	≡ n–$0^1/_2{}^p$
20	9.4	14.6	9.2	11.1	1.4	724.7	724.5	723.9	100	78	99	NE 0	SE 1	N 1	10≡	6	0	.	≡ I
21	6.6	10.7	10.6	9.3	−0.3	721.4	719.1	715.4	100	95	92	N 0	SW 1	NW 1	10≡	9	10	4.5	≡² n–11^a
22	11.5	16.2	13.2	13.6	4.2	715.2	715.3	715.7	97	80	78	W 1	SW 1	W 2	9	7	3	6.4	● n–$11^1/_2{}^a$
23	11.4	15.2	10.4	12.3	3.1	718.5	718.1	718.1	76	**50**	77	W 2	W 3	NW 1	9	4	10	3.6	●° n–$7^1/_2{}^a$, ⸝ II, n ●
24	8.8	10.0	6.8	8.7	−0.3	717.9	718.1	715.4	100	90	97	NE 1	SW 1	NE 1	10	10	0	.	
25	6.4	9.1	6.7	7.4	−1.5	710.9	708.0	711.2	97	85	84	NE 1	SW 1	W 2	10	10●	10●	4.7	● $1^1/_2{}^p$–n
26	6.6	12.4	11.4	10.1	1.4	712.7	711.5	711.1	84	56	58	SW 2	SW 3	SW 3	8	1	9	1.5	p ⸝, n ●
27	10.3	10.6	7.3	9.4	0.9	708.3	**707.1**	711.0	74	95	96	NW 2	W 1	NW 2	7	10●	10●	13.1	●, n ●
28	6.7	10.5	6.8	8.0	−0.5	710.4	712.4	715.3	84	65	91	W 2	SW 3	NW 1	9	6	4	1.0	⸝ II, ● $10^1/_2{}^a$–$7^1/_2{}^p$, n ●°
29	6.3	11.2	5.6	7.7	−0.4	719.1	722.0	727.5	99	62	82	NW 1	NW 1	N 2	9	7	10	.	●° ⸝ 4^p–III
30	**3.0**	10.2	3.6	5.6	−2.3	**729.1**	727.5	726.2	87	72	97	NE 1	SE 1	NE 1	5	0	0	.	
31	4.0	7.2	6.8	6.0	−1.7	725.0	723.4	724.0	97	86	91	NE 1	NE 1	N 1	10	10	10	.	
Mittel	8.1	11.8	9.0	9.6	—	720.0	719.6	720.1	93	80	88				9.4	7.5	7.2	Summe 89.9	*) 9. $5^1/_2$, $6^1/_2$–8^p, ▲° $4^1/_4{}^p$

Oktober 1911. Beobachter: Frl. *H. Nager.*

Altdorf.

$\lambda = 8° 39'$, $\beta = 46° 53'$, $Hb = 456.3^m$, $G = 0.05\,^m/_m$.

Tag	Lufttemperatur					Luftdruck			Relative Feuchtigkeit			Windrichtung und Stärke			Bewölkung			Niederschlag	Witterung
	7^{30}	1^{30}	9^{30}	Mittel	Abweich. vom Normalst.	7^{30}	1^{30}	9^{30}	7^{30}	1^{30}	9^{30}	7^{30}	1^{30}	9^{30}	7^{30}	1^{30}	9^{30}		
1	6.8	8.3	7.3	7.5	−4.5	717.1	717.4	719.1	100	65	75	SE 0	NE 1	NW 2-3	10	10	10	**16.0**	●, 🌧 III–n
2	5.9	5.6	4.3	5.3	−6.5	719.4	718.7	721.9	85	85	100	NW 2	NE 0–1	SE 0	10	10	7	9.5	🌧 I, ● n–p
3	0.8	8.8	10.3	6.6	−5.1	720.2	719.2	718.6	100	50	48	S 0	N 0	S 3	0	3	8	.	⌊² I, 🌧 $7^1/_4{}^p$–n
4	12.8	14.9	9.7	12.5	1.0	717.6	717.4	719.4	41	35	83	S 2–3	S 2–3	NW 0	10	10	10	9.1	🌧 n–p, ● 9^p–n
5	7.8	8.5	8.8	8.4	−3.0	721.5	721.9	721.9	100	94	100	SE 0–1	SE 0–1	SE 0	10	10	10	6.0	● n–p
6	8.0	13.0	10.3	10.4	−0.8	722.9	723.5	721.0	100	65	97	S 0	NW 0	NW 0-1	9	10	6	15.7	≡° I, ● 8^p–n, ◠ $8^1/_2{}^p$
7	13.5	15.4	9.3	12.7	1.7	720.4	723.5	725.0	70	67	100	NW 2	NW 0	SE 0	10	5	1	.	🌧 I
8	8.3	**19.6**	12.1	13.3	2.4	724.9	721.8	725.1	100	49	97	W 0	SW 2	NE 0	7	6	9	.	🌧 $0^3/_4$–$6^1/_2{}^p$
9	9.2	14.0	12.6	11.9	1.2	722.8	722.7	725.3	100	89	100	SE 0	N 1	SE 0	1	3	10	10.5	⌓² I, ◺ 7^p, ● 8^p–n
10	12.4	10.7	10.0	11.0	0.5	726.6	729.6	730.9	100	90	100	SE 0	NW 0	NW 0	10	10	10	1.5	● I
11	9.5	10.6	6.7	8.9	−1.5	730.8	731.4	731.0	91	82	100	SE 0	NW 0	NW 0	10	10	3	.	≡° III
12	8.2	12.4	6.3	9.0	−1.2	730.1	729.4	726.9	100	80	100	SE 0	W 0	SE 0	10	0	0	.	≡ I, ≡° III
13	7.4	12.3	8.1	9.3	−0.7	725.7	724.5	727.9	100	75	100	SE 0	SW 0	SE 0	10	10	0	.	≡ n–II
14	6.8	15.4	10.1	10.8	0.9	724.4	723.4	725.1	100	57	97	SE 0	NW 0	SE 0	7	3	0	.	
15	6.5	15.6	9.8	10.6	0.9	725.1	725.0	725.7	100	69	100	SE 0	NW 0-1	SE 0	0	2	0	.	
16	7.5	14.7	8.7	10.3	0.7	725.9	725.5	725.2	100	70	100	SE 0	SE 0	NW 0	1	0	3	.	
17	8.4	17.6	8.7	11.6	2.2	724.3	723.8	725.3	100	35	94	SW 0	SE 3	SE 0–1	5	3	0	.	≡° I, 🌧 I–$7^1/_4{}^p$
18	6.2	13.2	18.1	12.5	3.2	725.6	724.8	725.5	100	70	**26**	E 0–1	N 1–2	SE 2–3	0	0	0	.	🌧 $1^1/_4{}^p$–n
19	7.0	17.8	9.1	11.3	2.2	726.6	724.7	727.4	98	42	92	S 0	SW 2	SE 0	0	2	0	.	🌧 II
20	7.8	13.2	7.7	9.6	0.7	727.1	727.3	726.7	90	74	98	SE 0	SW 0	SE 0	8	10	0	.	≡° II
21	5.5	14.4	17.6	12.5	3.8	723.6	721.3	717.3	100	62	31	SE 0	NW 1	S 3–4	0	0	0	.	🌧² $8^1/_2{}^p$–n
22	13.2	15.0	9.8	12.7	4.1	717.5	717.6	718.1	78	72	100	SE 1	NW 0-1	SW 1	10	7	7	.	
23	6.5	15.1	11.5	11.0	2.6	720.5	720.5	721.1	100	54	80	SE 0–1	NW 1-2	W 0	1	3	10	4.1	
24	9.5	12.2	6.0	9.2	1.0	720.2	720.8	718.8	100	75	95	SE 0	SE 0	SW 0	10	10	0	3.7	● n–I $1^1/_2{}^a$
25	6.8	13.5	7.3	9.2	1.2	712.9	**708.8**	713.9	96	50	100	NE 2	W 1–2	NW 0	9	7	10	4.3	🌧 I, ● 5^p–n
26	5.2	11.6	9.8	8.9	1.0	715.6	713.7	713.9	96	47	52	S 0	W 0	SE 1–2	2	0	5	.	
27	13.0	15.4	10.0	12.8	5.1	711.8	710.5	712.8	34	32	51	SE 3–4	SE 3–4	SE 1–2	4	1	10	5.8	🌧² n–II, ● $9^1/_4{}^p$–n
28	7.4	10.3	7.7	8.5	1.0	713.0	715.5	718.7	96	60	89	SE 0	E 0	SE 0	10	10	6	.	●° I
29	5.5	11.8	6.5	7.9	0.5	721.8	724.6	730.0	89	56	87	SE 0	NW 0-1	NW 0	8	5	10	2.7	● 4^p–n
30	5.9	8.9	1.8	5.5	−1.7	**731.8**	730.0	728.9	100	66	87	NE 0	NW 0-1	SE 0	10	0	0	.	
31	**0.2**	9.6	5.4	5.1	−2.0	728.7	726.2	726.8	95	52	88	SE 0	N 0	SE 0	0	4	9	.	
																		Summe	
Mittel	7.7	12.9	9.1	9.9	—	722.5	722.1	723.1	92	64	86				6.2	5.3	5.0	88.9	

Oktober 1911. *Observatorium.*

Genf.

$\lambda = 6° 9'$, $\beta = 46° 12'$, $Hb = 405.0^m$, $G = 0.02\,^m/_m$.

1	6.7	9.4	5.8	7.4	−5.0	723.5	723.9	725.3	85	70	97	WSW 1	N 1	SE 1	10●	10	10●	2.9	● I, III, n
2	7.5	10.4	4.3	7.5	−4.7	725.7	725.4	726.0	56	49	86	NNW 2	NNE 2	NW 1	7	7	1	0.9	🌧 n–4^p, ●° △° $8^3/_4$–9^a, *)
3	1.9	9.7	6.5	5.7	−6.4	724.6	723.5	723.7	95	54	85	WNW 0	N 1	NW 1	2	7	9	1.5	a ⌓, △ III
4	6.3	7.5	5.4	6.4	−5.5	722.8	722.3	724.5	97	100	97	W 0	WSW 1	NNW 1	10●	10●	10	**34.1**	●² 7^a–9^p
5	5.2	10.5	7.8	7.4	−4.3	725.8	726.0	726.6	97	74	96	NW 0	NNE 1	WNW 0	9	9	9	0.3	●° 11–$11^1/_2{}^a$, p
6	7.1	11.3	10.3	9.3	−2.3	727.1	727.2	725.5	94	83	94	NNW 0	NNE 2	NNE 0	10	10	10●	11.2	🌧 II, ● 6–$9^1/_2{}^p$, n
7	10.4	**19.0**	11.5	13.2	1.8	726.8	727.8	729.3	97	44	78	NW 0	SSW 2	SSW 1	7	1	9	2.2	🌧 II, △ III [$1^1/_4$–7^p, n
8	8.8	13.5	11.1	10.7	−0.5	728.7	726.6	728.2	94	76	97	SE 1	N 1	N 1	10●	10	10	29.0	● $6^3/_4$–$8^1/_2$, $9^3/_4$–$10^1/_2{}^a$, ●²
9	10.5	14.5	13.4	12.6	1.6	727.7	727.1	728.4	96	80	97	NW 0	N 1	NE 1	10	8	10	4.5	◺● $4^3/_4$–6, 9^p, ◺ 7^p
10	12.2	15.6	10.7	12.8	1.9	731.3	732.2	734.7	98	76	75	SE 0	NE 2	NNE 2	9	3	10	.	p n 🌧
11	9.7	11.6	10.5	10.6	−0.1	735.0	735.4	735.7	84	78	84	NNE 2	NNE 1	NE 1	10	10	10	.	🌧 I
12	9.4	11.2	9.4	10.0	−0.5	734.7	733.7	732.4	92	85	96	ENE 1	NNE 1	NE 0	10	10	10	.	△ a, III
13	8.9	11.2	10.6	10.2	−0.2	730.5	729.3	729.1	97	90	98	NE 0	NW 1	W 0	10	10	10●	0.6	●° 7–$9^1/_2{}^p$
14	10.8	14.7	13.3	12.7	2.5	728.7	728.2	728.8	100	82	91	W 0	NW 1	NNW 1	10≡	8	3	.	a ≡, △ III
15	9.8	15.6	12.3	12.6	2.6	729.7	729.5	729.5	97	79	83	W 0	N 1	WNW 0	9≡	2	9	.	a ≡
16	10.8	16.4	14.0	13.8	4.0	729.9	728.7	728.7	100	75	80	WNW 0	N 1	NNE 1	10≡	4	10	.	a ≡
17	11.7	13.7	11.9	12.3	2.7	728.7	728.5	730.0	87	76	85	NNE 1	NNE 1	NE 1	10	9	10	.	
18	10.7	13.0	9.6	11.6	2.1	730.4	729.6	730.6	90	77	96	NNE 1	NNE 1	E 1	10	2	0	.	△ III
19	6.4	12.0	10.0	9.4	0.1	730.7	730.7	731.7	97	90	97	SE 0	S 0	S 0	6	8	0	0.2	a △²
20	8.7	15.9	10.0	11.0	1.9	732.1	731.5	731.0	100	73	95	S 0	WSW 0	W 0	10	2	0	.	△ III
21	6.4	12.1	10.5	9.7	0.8	728.2	726.1	722.4	100	86	97	W 0	NNW 1	WNW 1	10	3	8	4.9	△ III, n ●
22	12.0	16.8	14.1	13.4	4.7	722.6	723.1	723.9	93	71	82	SSW 1	SSW 1	SSW 1	10●	9	2	8.3	● n–10^a
23	13.8	18.0	12.3	14.6	6.0	726.3	726.2	725.0	59	**40**	73	SW 1	WSW 1	SW 0	9	2	10	8.4	△ III, n ●
24	9.5	16.8	7.7	11.0	2.6	725.3	725.3	722.6	100	62	94	NE 1	SW 1	SW 1	10●	5	0	.	●° n–$9^1/_4{}^a$, △ III [n
25	5.6	7.7	7.1	6.6	−1.6	717.7	716.8	718.8	87	94	92	NW 1	SSW 1	WSW 1	5	10●	8	12.8	a △², ● $10^3/_4{}^a$–$3^1/_2$, 7–$7^1/_2{}^p$,
26	6.9	13.7	11.5	10.3	2.3	720.4	719.5	719.9	75	50	57	WSW 1	SSW 2	SSW 1	4	2	10	0.1	🌧 II, n ●°
27	11.4	16.6	7.1	11.1	3.2	716.1	**714.4**	718.3	60	50	96	WSW 1	SSW 2	NNW 1	9	8	10●	14.8	● 8–$8^1/_2{}^a$, 4–10^p, 🌧 II
28	7.5	12.1	8.5	9.1	1.4	718.5	719.9	722.6	80	54	83	SSW 1	SSW 2	SW 1	8	9	10	1.0	🌧 II, ● $1^1/_4$, $8^1/_2$, 10^p
29	5.3	10.3	6.9	8.1	0.6	726.5	728.2	733.7	98	84	83	W 1	WNW 0	NE 1	7	10	2	.	◠ 4^p
30	5.8	9.3	3.8	6.8	−0.5	**736.0**	734.8	734.9	77	62	93	NNE 1	N 1	NW 0	8	0	0	.	△ III
31	**−0.7**	10.5	7.3	5.3	−1.8	731.4	730.7	731.5	100	68	91	NW 1	NNW 1	WNW 0	0	6	10	.	a ⌓
																		Summe	
Mittel	8.3	12.9	9.5	10.1	—	727.2	726.8	727.5	90	75	89				8.4	6.6	7.1	137.7	*) **2.** $11^1/_4$–$11^3/_4{}^a$, △ III

Die Temperatur-Tagesmittel von Genf resultieren aus 8 Beobacht. in dreistünd. Zeitintervallen. Die Beobachtungstermine sind 7^{35a}, 1^{35} u. $9^{35}p$.

$\lambda = 8°\,33'$, $\beta = 47°\,23'$,
$H = 493.2^{m}$, $G = 0.98\,{}^{m}/_{m}$.

Zürich.

Oktober 1911.
Meteorol. Centralanstalt.

Tag	Lufttemperatur					Luftdruck			Relative Feuchtigkeit			Windrichtung und Stärke			Bewölkung			Niederschlag	Witterung
	7^{30}	1^{30}	9^{30}	Mittel	Abweich. vom Normalst.	7^{30}	1^{30}	9^{30}	7^{30}	1^{30}	9^{30}	7^{30}	1^{30}	9^{30}	7^{30}	1^{30}	9^{30}		
1	5.8	7.3	6.3	6.5	−5.0	713.7	714.5	716.5	87	96	96	SW 2	W 1	W 1	10●	10●	10	2.7	a ⸝, ● n–3¼, 6p–n
2	5.2	5.0	4.9	5.0	−6.3	717.1	717.4	718.1	94	86	96	W 1	W 1	S 1	10	10●△	10	6.5	● 7¾ᵃ–4p, △ ll, ●° 5p
3	1.2	11.4	4.6	5.7	−5.4	717.1	715.9	716.0	100	42	94	SE 0	E 1	NE 0	6≡	2	1	.	⌊² ≡ n–8½ᵃ
4	5.2	9.2	8.0	7.5	−3.5	715.9	714.7	716.6	96	76	92	NE 0	NW 1	W 1	10	10	10	0.2	≡° l
5	7.0	9.6	8.6	8.4	−2.4	718.0	718.7	718.6	100	90	100	N 1	N 1	N 1	7	10	10●	1.4	●° n–l, 10ᵃ, ● 0p–n
6	8.8	11.8	10.8	10.5	−0.1	719.6	720.3	717.8	100	87	99	N 1	NE 1	NW 1	10	10	8	0.2	●° 8ᵃ, 4½–6¼p
7	10.8	15.1	9.5	11.8	1.4	718.4	720.0	721.6	94	69	84	W 1	SW 1	NE 0	8	8	1	0.2	●° 9¼–10¼, 11¾ᵃ
8	6.3	16.8	11.4	11.5	1.3	721.8	719.8	720.7	100	54	100	E 0	NE 1	S 1	6	5	10●	6.3	●° 2½p, ● 5½p–0¼ᵃ
9	10.2	16.0	13.8	13.3	3.3	720.3	719.2	720.8	100	83	100	S 1	NW 1	S 1	10≡	8	10	13.3	≡°–≡ l, ⊼● ▲ 4¾–8p
10	8.1	9.0	8.4	8.5	−1.4	724.7	726.8	728.0	100	83	86	NE 1	E 1	NE 0	10●	10	9	0.3	●° 6–8½ᵃ
11	5.0	13.9	6.2	8.4	−1.3	728.1	728.2	727.5	93	56	97	NE 1	E 1	S 0	3	3	0	.	
12	8.0	14.8	8.2	10.3	0.8	726.7	725.7	723.9	97	63	97	SW 1	SW 1	N 0	10	2	2	0.2	≡° l
13	7.9	10.5	8.8	9.1	−0.2	722.8	721.3	721.2	100	92	100	SE 0	N 1	NE 0	10≡	10	10≡	0.1	≡ n–10ᵃ, 5p–n
14	8.8	16.6	12.6	12.7	3.6	721.3	720.5	721.5	100	63	95	SE 0	NW 1	E 0	10	8	4	0.1	n ≡, ≡° l, ●° 1¾p
15	8.2	18.3	14.5	13.7	4.7	722.2	721.7	722.0	100	59	84	E 0	NE 1	NE 1	7≡	2	0	.	≡ 7–8½ᵃ
16	11.2	13.7	9.9	11.6	2.8	722.7	722.3	722.7	93	75	93	NE 0	NE 1	NE 1	9	8	10	.	
17	8.4	10.9	8.0	9.1	0.5	721.7	721.3	722.7	95	75	92	NW 1	NE 2	NE 0	9	4	10	.	
18	7.6	14.0	7.8	9.8	1.3	723.2	722.1	722.2	93	64	98	SE 1	NE 1	N 0	10	0	0	0.1	≡° l
19	5.9	13.9	9.3	9.7	1.4	723.6	721.8	724.1	100	63	95	NE 0	NW 1	NE 0	10≡	4	0	0.1	≡ n–9½ᵃ
20	6.6	12.2	10.0	9.6	1.5	724.0	724.0	723.2	100	83	91	NE 0	NE 0	E 1	9≡	10	0	0.1	≡² n, ≡–10ᵃ
21	4.1	16.2	10.4	10.2	2.3	720.8	718.1	715.2	100	56	92	SW 0	NW 1	SE 0	9≡	2	10	0.1	≡ 6¾–9½ᵃ [3¾p, p ⸝
22	11.4	14.4	13.6	13.1	5.4	714.4	714.8	714.6	79	75	71	W 1	SW 1	NW 1	10	9	1	0.8	●° n–10ᵃ, 0½–0⅝, 3½–
23	12.2	16.4	9.8	12.8	5.3	716.9	717.4	717.9	74	43	80	W 1	W 2	N 1	5	5	9	2.1	[1¾p
24	8.8	11.2	6.5	8.8	1.5	717.3	717.7	715.5	97	73	93	NE 0	SW 0	E 1	10●	10	0	1.0	● 2½–9¼ᵃ, ≡° n–10ᵃ, ●°
25	2.9	10.2	8.0	7.0	−0.1	710.4	706.6	710.3	100	75	73	SE 1	S 1	SW 1	10≡	8	10	6.0	≡ n–10½ᵃ, ● ⸝ 3–8p
26	7.0	14.3	9.2	10.2	3.2	712.0	710.9	710.8	70	36	65	SW 1	SW 2	SW 1	2	1	10	0.1	⸝, n ●°
27	7.5	17.3	7.4	10.7	3.9	708.2	706.7	709.9	80	46	90	SE 1	NW 1	SW 1	3	5	10●	8.2	●° 10½–10½ᵃ, ● ⸝ 5–12p
28	7.2	10.4	7.6	8.4	1.8	710.0	711.7	715.3	76	62	92	SW 2	SW 1	NW 0	9	9	10●	2.2	● 2¼–4¼ᵃ, 5½p–n, ●° *)
29	6.1	9.9	4.0	6.7	0.3	718.3	721.5	727.1	95	81	91	E 0	W 1	NW 0	9	10	10●	1.7	●°, ● III–n
30	3.2	10.6	3.4	5.7	−0.5	728.6	727.2	725.6	90	53	99	NW 1	W 1	NE 0	10	1	0	0.1	
31	1.6	11.9	6.6	6.7	0.6	724.5	722.8	723.3	100	53	91	E 0	W 0	NE 1	10≡	7	9	0.1	≡² n–10½ᵃ, ≡° III
																		Summe	
Mittel	7.0	12.7	8.7	9.5	—	719.5	719.1	719.7	94	68	91				8.4	6.5	6.3	54.2	*) 28. 8¼–9½ᵃ, 0–2p, ⸝

$\lambda = 8°\,30'$, $\beta = 47°\,3'$,
$Hb = 1787.3^{m}$, $G = -0.11\,{}^{m}/_{m}$.

Rigi-Kulm.

Oktober 1911.
Beobachter: Frl. *A. Gygax.*

1	−3.0	−2.3	−2.1	−2.5	−7.5	607.9	608.3	609.6	95	95	97	W 3–4	W 3	W 0–1	10≡*	10≡*	10≡*	14.3	⸝ n–II, ✳ ≡
2	−3.2	−3.0	−4.5	−3.6	−8.5	610.2	610.4	611.2	97	97	95	W 0	W 0	W 0	10≡*	10≡*	7	22.7	✳ ≡ n–p
3	−6.4	−2.0	−1.7	−3.4	−8.2	610.2	610.1	610.5	96	97	95	SW 0	SW 0	SE 3–4	3	5	3	.	⸝² III–n
4	1.0	3.0	−0.6	1.1	−3.5	610.2	610.3	610.6	44	47	97	S 4	S 3–4	W 0–1	9	10	10≡	1.2	⸝² n–II, ≡ III, n ✳
5	0.0	1.1	1.2	0.8	−3.7	612.3	613.2	613.4	100	64	100	W 0	E 3	W 0	9	10	10≡●	3.8	⸝ II, ● ≡ III
6	2.5	6.3	7.9	5.6	1.2	613.9	614.8	614.0	70	46	41	E 1–2	S 2–3	S 3–4	3	7	5	0.7	p ⸝, n ●°
7	4.9	6.8	4.3	5.3	1.1	614.3	615.9	617.3	100	88	54	W 1–2	S 0	W 1–2	10≡●	7–	5	2.7	● l, ≡ n–II
8	5.7	10.9	7.1	7.9	3.9	617.3	616.6	617.0	35	30	85	S 3–4	SE 1–2	W 2–3	7	7	10●	3.3	⸝² l, ● 9¾ᵃ, 4½p–n, ⸝ III
9	9.5	13.0	5.7	9.4	5.5	617.2	616.9	617.3	38	35	70	S 0	SE 0–1	W 3–4	3	5	10●	38.9	⊼ ▲ 5¾p, ●²–n, ⸝² III
10	4.5	6.0	2.9	4.5	0.8	618.6	620.1	621.0	100	76	100	W 0	NW 0	E 0–1	10≡●	10	3≡	5.5	a ●, ≡, ≡° II
11	5.9	9.8	8.9	8.2	4.6	621.0	622.0	622.3	38	20	35	E 2–3	E 0–1	W 0–1	0	3	0	.	⸝ I
12	7.8	11.1	9.9	9.6	6.2	622.0	621.8	620.5	35	45	32	SE 0–1	SW 0	SE 0–1	0	1	3	.	
13	8.9	12.2	6.6	9.2	5.9	619.1	618.5	617.8	28	20	45	SW 0	NW 0	SW 0	3	3	3	.	
14	6.1	9.9	6.7	7.6	4.5	617.5	617.4	617.9	70	46	91	W 0	S 0	E 0	7	5	5	.	
15	7.3	9.3	6.9	7.8	4.8	617.9	617.9	618.2	65	51	100	NE 2	E 0	E 0–1	1	3	10≡	.	≡ III
16	7.6	9.9	7.6	8.4	5.6	618.2	617.9	618.0	25	23	24	S 0–1	S 3	E 0	0	0	0	.	⸝ II
17	9.0	9.4	7.0	8.5	5.8	617.1	616.5	618.2	25	30	32	S 3–4	S 4	SE 0	3	0	0	.	⸝² n–II
18	8.0	11.2	9.2	9.5	7.0	618.4	618.4	619.0	28	26	30	SE 2	SE 3	S 3	0	1	0	.	p ⸝
19	6.6	11.6	5.3	7.8	5.5	619.3	618.8	619.7	35	22	47	NW 0	S 1–2	SW 0	0	3	0	.	
20	6.4	7.1	5.5	6.3	4.1	619.6	619.6	619.4	45	45	50	SE 0	NW 0	SE 0	8	10	0	.	
21	5.9	10.8	6.5	7.7	5.7	616.6	615.2	612.7	38	32	37	SE 0	SE 0	NW 3	3	3	10	0.2	●° 6¾p, ⸝ III
22	6.3	6.6	6.6	6.5	4.6	611.5	611.9	612.0	45	51	54	SW 2	NW 1	NW 2	10●	8	7	0.2	●° I
23	3.1	3.7	3.0	3.3	1.5	613.0	613.4	613.4	68	88	92	NW 3	NW 0	W 1	3≡	10	10	4.4	⸝ l, a ≡
24	0.5	2.4	6.6	3.2	1.6	612.3	612.6	611.0	100	94	35	NW 0	W 0	SE 1	10*	10	0	1.5	✳ n–l, ≡° II
25	4.0	6.7	−2.4	2.8	1.3	606.5	604.0	605.3	30	36	98	S 3	S 1	W 3	7	10	10≡	3.6	⸝ l, ✳ 3½p, ≡ ⸝ III
26	−2.8	0.8	3.0	0.3	−1.1	607.0	607.1	607.2	97	59	29	W 2	W 0	W 1	3	1	3	.	
27	3.2	5.8	−0.6	2.8	1.6	605.4	604.7	604.8	32	31	100	S 3	S 4	W 2	5	3	10*	7.5	⸝² 7ᵃ–p, ✳ III–n
28	−2.4	−0.4	−1.0	−1.3	−2.4	604.8	607.1	609.8	100	100	100	NW 1	NW 0	W 1	10≡	10	10*	0.7	≡ n–p, ✳° III
29	−1.0	1.1	−2.2	−0.7	−1.7	612.7	615.3	618.3	98	99	100	NW 0	NW 0	NW 0	8	10	10*	7.1	≡ II, ✳ 4½p–n
30	−2.1	1.8	1.1	0.3	−0.5	620.0	619.9	619.5	100	36	7	W 0	S 0–1	S 0	1	0	0	.	
31	2.4	5.3	2.4	3.4	2.7	618.2	617.3	617.9	19	20	29	NW 1	SW 1	W 1	3	7	8	.	
																		Summe	
Mittel	3.4	6.0	3.8	4.4	—	614.5	614.6	615.0	61	53	65				5.1	5.9	5.5	118.3	

Oktober 1911. Beobachter: *J. Camenisch.*

Bevers.

$\lambda = 9° 53'$, $\beta = 46° 33'$, $Hb = 1712{,}6^m$, $G = -0.12\,{}^m/_m$.

Tag	Lufttemperatur					Luftdruck			Relative Feuchtigkeit			Windrichtung und Stärke			Bewölkung			Niederschlag	Witterung
	7^{30}	1^{30}	9^{30}	Mittel	Abweich. vom Normalst.	7^{30}	1^{30}	9^{30}	7^{30}	1^{30}	9^{30}	7^{30}	1^{30}	9^{30}	7^{30}	1^{30}	9^{30}		
1	−2.0	0.8	−1.0	−0.7	−5.8	613.2	612.5	613.7	95	73	90	— 0	NE 2	N 1	10*	10*	10	3.4	✳ n-p
2	−1.8	0.2	−3.8	−1.8	−6.7	613.2	614.9	616.8	90	63	89	N 1	— 0	NE 1	10*	10*	4	2.6	✳ n-p
3	−8.2	2.2	0.3	−1.9	−6.7	617.2	617.3	618.9	85	65	90	W 1	NW 1	N 1	4	10*	10	1.4	✳ II
4	0.6	3.4	2.2	2.1	−2.5	619.1	618.8	618.5	100	77	95	— 0	SW 1	— 0	10*	10*	10	13.5	✳ n-p, ● III-n
5	1.8	3.6	2.4	2.6	−1.8	619.2	619.8	620.3	98	95	98	N 1	— 0	— 0	10●	10	10●	27.3	●²
6	3.2	6.6	4.0	4.6	0.4	621.7	623.0	624.2	97	88	96	— 0	N 1	— 0	10	10●	10●	**49.0**	●², n ●²
7	5.7	10.2	4.0	6.6	2.5	622.7	623.3	624.7	95	67	91	— 0	SE 1	W 1	10●	7	3	.	●° I, Ψ III
8	0.4	9.6	7.8	5.9	2.0	625.0	625.1	624.0	95	60	96	— 0	W 1	SW 2	3	10●	10●	8.2	● o^p-n
9	6.8	12.3	7.0	8.7	5.0	624.3	623.5	623.0	95	68	85	— 0	S 1	W 1	10	8	2	0.4	
10	5.2	10.4	4.8	6.8	3.3	623.6	624.9	627.2	94	61	79	— 0	S 1	— 0	10	8	0	0.6	n a ●°
11	1.8	12.8	2.2	5.6	2.3	628.3	627.6	**628.8**	90	44	85	NE 1	— 0	— 0	10	0	0	.	
12	−1.8	**15.8**	2.5	5.5	2.3	628.7	627.2	627.5	91	35	79	— 0	SW 1	— 0	0	0	0	.	
13	−1.6	15.2	3.0	5.5	2.5	625.9	623.8	624.1	90	34	74	— 0	SW 1	W 1	0	0	0	.	
14	−2.2	14.4	1.8	4.7	1.9	624.0	622.3	624.0	91	40	84	— 0	S 0	— 0	0	0	0	.	
15	−1.6	13.8	3.6	5.3	2.7	624.5	623.5	625.5	96	49	88	— 0	W 1	W 1	0	2	0	.	
16	−2.7	11.6	4.2	4.4	2.0	625.7	624.4	625.0	97	52	92	— 0	SW 1	W 1	1	0	0	.	
17	0.2	6.2	5.0	3.8	1.6	625.2	625.7	626.6	96	80	89	— 0	SE 2	W 1	2	10	10	.	≡° I
18	1.8	9.8	0.7	4.1	2.1	627.2	626.0	628.0	96	54	91	— 0	S 1	W 1	10	0	0	.	
19	−5.2	10.8	−0.2	1.8	−0.1	627.4	625.8	626.3	91	**25**	73	— 0	SW 2	N 1	0	0	0	.	⌙² I
20	−2.4	9.4	0.1	2.4	0.7	625.4	624.6	625.4	88	54	84	— 0	SE 1	N 1	2	9	0	.	
21	−4.8	11.2	4.6	3.7	2.2	624.1	622.2	621.4	94	44	78	— 0	S 2	W 1	0	2	0	.	
22	5.4	7.8	6.2	6.5	5.2	619.3	619.1	618.7	84	71	88	SW 2	SW 3	N 4	10	10	10	3.1	p ⸝²², ● III-n
23	2.8	10.2	4.9	6.0	4.9	619.1	618.8	619.5	95	54	82	SW 1	S 1	W 1	4	1	10	3.1	
24	0.8	1.5	−1.5	0.3	−0.6	617.2	617.3	618.5	100	99	99	N 1	— 0	N 1	10*	10*	10≡	6.3	✳ n-p, ≡ III
25	−2.8	4.6	0.7	0.8	0.1	615.5	611.8	610.2	96	74	96	E 1	SW 2	N 1	8	10	10*	19.6	●° II, ✳ III-n
26	−6.7	1.0	−5.8	−3.8	−4.3	613.6	614.0	615.3	89	64	90	— 0	— 0	NE 1	6≡	0	0	.	≡ I
27	−7.9	2.6	0.2	−1.7	−2.0	615.3	613.7	611.5	94	62	99	— 0	SW 1	N 1	4	10	10	24.5	n (²⁷/₂₈) ✳
28	−0.2	3.2	−8.0	−1.7	−1.8	**609.9**	612.9	616.9	96	61	85	N 1	E 1	W 1	10*	5	0	.	✳° I
29	−10.8	0.7	−6.7	−5.6	−5.6	619.7	621.1	623.1	87	62	86	— 0	S 1	W 1	0	2	0	.	
30	−11.4	0.8	−8.7	−6.4	−6.2	626.7	626.5	627.5	88	66	81	— 0	— 0	W 1	5	0	0	.	
31	**−13.9**	0.2	−5.8	−6.5	−6.1	626.0	624.0	624.4	86	62	85	— 0	— 0	— 0	0	4	10	.	
																		Summe	
Mittel	−1.6	7.2	1.0	2.2	—	621.5	621.1	621.9	93	61	88				5.5	5.4	4.5	163.0	

Oktober 1911. Beobachter: P. *F. Landolt.*

Sitten.

$\lambda = 7° 21'$, $\beta = 46° 14'$, $Hb = 540^m$, $G = 0.00\,{}^m/_m$.

1	6.6	7.2	5.4	6.4	−5.9	710.3	710.3	711.8	72	82	81	SW 1-2	SW 1-2	SW 3	10	10●	10	2.3	● 8½^a-p, ⸝²² III
2	5.5	10.4	4.0	6.6	−5.5	711.6	712.0	714.0	76	47	84	SW 1-2	SW 1-2	NE o-1	9	9	0	.	
3	**0.4**	11.4	6.4	6.1	−5.9	713.7	711.0	712.7	91	**27**	62	NE o	SE o	E o	0	9	2	.	
4	7.5	13.3	7.4	9.4	−2.4	711.7	710.4	712.1	60	47	91	NE o	E o	SW 2	10	10	10●	0.7	●° III-n
5	6.9	11.4	8.6	9.0	−2.7	713.5	713.4	714.8	95	70	100	SE o	SE o	NE o	10●	10	10	0.3	●° I, 3½-5½^p
6	5.8	13.0	10.8	9.9	−1.6	715.3	714.9	714.3	100	67	81	NE o	SW o-1	SE o	1	10	9	1.3	● 4½-7^p
7	13.4	17.1	11.8	14.1	2.8	714.6	715.2	717.8	100	61	83	S o	SE o	E o	3	0	10	.	
8	9.9	17.8	11.8	13.2	2.1	718.0	714.9	717.3	85	42	100	E o	SE o	SW o	9	9	8●	1.4	● 3p-n
9	11.1	19.0	13.8	14.6	3.7	716.7	713.0	716.1	82	54	95	E o	S o	S o-1	0	1	10●	6.0	● 5¼^p-n
10	11.4	18.0	12.0	13.8	3.0	718.6	719.0	722.0	96	61	92	NE o	SW o-1	SW o	5	1	7	.	
11	10.0	16.1	9.7	11.9	1.3	723.2	722.0	723.8	98	65	100	SE o	SW 1-2	SE o	7	0	10	.	
12	8.6	16.2	10.4	11.7	1.3	722.9	720.7	720.4	97	55	98	NE o-1	SW 1	E o	10.	0	1	.	
13	6.9	17.2	10.4	11.5	1.3	719.3	716.0	718.3	92	50	97	E o-1	SW 1	E o	0	0	0	.	⌓² I
14	8.2	17.1	13.2	12.8	2.8	717.3	715.3	717.4	96	50	87	E o	SW 1	E o-1	9	0	3	.	
15	7.4	16.8	12.0	12.1	2.2	718.3	716.7	718.1	98	55	89	E o	SW 1	E o-1	0	0	0	.	
16	10.0	17.8	14.2	14.0	4.3	718.9	716.7	717.1	65	38	59	E o-1	SE o	NE o-1	0	0	2	.	⌓² I
17	10.1	**19.8**	12.4	14.1	4.6	717.2	716.2	718.8	71	38	61	E 1	NE 3-4	NE o-1	5	0	0	.	⸝²² 1^p-p
18	10.1	18.4	13.8	14.1	4.8	719.2	717.4	719.6	71	45	42	NE 1	SW o-1	NE 1	0	2	0	.	
19	8.6	17.4	10.2	12.1	3.0	719.6	717.9	720.2	58	51	85	E o-1	SW 1-2	E o-1	1	5	3	.	
20	7.0	15.6	11.0	11.2	2.3	720.3	719.2	719.6	91	50*	75	E o-1	E o-1	NE o-1	10	6	0	.	
21	6.2	16.2	11.0	11.1	2.3	717.6	714.2	711.7	94	49	85	E o	S o	E o-1	0	3	10	.	
22	11.6	14.4	11.8	12.6	4.0	712.3	711.6	712.3	90	73	92	NE o	E o	SE o	10●	10●	5	2.5	● 7½^a-II
23	7.6	15.6	10.9	11.4	3.0	713.9	712.9	713.3	98	51	82	E o	SW o-1	E o	1	0	10	**10.2**	
24	8.7	11.4	7.8	9.3	1.1	712.8	713.1	712.5	100	66	86	S o	SE o-1	E o	10●	3	0	1.0	● n-10^a
25	4.4	14.8	6.2	8.5	0.5	706.8	706.6	716.6	88	80*	90	NE o	SW o-1	SW o	4	10	2	3.1	p ●
26	3.2	11.8	8.2	7.7	−0.2	709.0	707.4	709.2	95	31	60	E o	E o-1	S 1-2	0	0	10	.	
27	5.8	13.8	8.8	9.5	1.8	707.1	**704.3**	705.5	75	43	100	NE o	SW o	S 1	6	7	10	5.3	● 8p-n
28	5.8	13.2	8.4	9.1	1.6	706.5	708.3	711.0	97	43	70	SE o	SW 2	S o-1	3	3	3	.	
29	3.6	11.4	8.2	7.7	0.4	714.7	716.8	721.2	90	51	84	E o	SW 1-2	SW o-1	1	8	9	.	
30	6.2	11.8	6.0	8.0	0.9	**724.2**	722.4	722.5	100	42	68	SE o	SE o	NE o	7	1	0	.	
31	0.6	10.2	6.6	5.8	−1.1	721.6	718.6	719.5	79	36	73	NE o	S o-1	S o	0	4	10	.	
																		Summe	
Mittel	7.4	14.7	9.8	10.6	—	715.7	714.5	715.8	81	52	82				4.5	4.2	5.3	34.1	

$\lambda = 8^\circ 57'$, $\beta = 46^\circ 0'$,
$Hb = 276.2^m$, $G = 0.03\,^m/_m$.

Lugano.

Oktober 1911.
Beobachter: *G. Malatesta.*

Tag	Lufttemperatur 7h30	1h30	9h30	Mittel	Abweich. vom Normalst.	Luftdruck 7h30	1h30	9h30	Relative Feuchtigkeit 7h30	1h30	9h30	Windrichtung und Stärke 7h30	1h30	9h30	Bewölkung 7h30	1h30	9h30	Niederschlag	Witterung
1	13.0	15.2	13.8	14.0	−0.6	726.8	**726.0**	726.8	38	**30**	36	N 3	N 3	NE 2	10	10	7	.	☔ ń–II, 6p–n
2	12.6	16.2	11.6	13.5	−0.9	728.8	730.2	733.4	31	32	35	N 2	N 1	NNW 1	5	3	1	.	☔ I
3	7.2	7.0	7.6	7.3	−6.9	735.8	737.3	739.3	79	89	93	NNW o	N o	N o	10	10	10	6.3	● 8–10a, 11p–n, ●° 3–4p
4	8.0	9.6	7.6	8.4	−5.6	739.0	738.8	736.9	92	94	95	N o	NNW o	W o	10	10●	10●	49.8	● n–7, 10a–0p, ●2 1½p–n
5	8.2	9.4	10.0	9.2	−4.6	737.3	737.9	737.9	91	98	93	NNW o	W o	NW o	10●	10●	10●	25.7	●2 n–1½, 5p–n
6	10.4	12.4	11.8	11.5	−2.1	738.9	740.1	740.0	98	96	94	NW o	NW o	N o	10	10●	10●	**78.2**	● 8½a–1½p, ●2–10½p, n
7	15.6	18.0	11.6	15.1	1.7	738.2	740.4	741.9	84	85	94	E 1	E o	N o	10	10	4	1.2	a ●, ●° 2–4p
8	10.0	15.4	12.2	12.5	−0.7	742.6	742.4	742.4	93	83	96	N o	W o	W o	0	10	10	6.0	● 3–7p
9	12.2	16.6	13.4	14.1	1.1	740.8	739.5	738.6	96	89	99	N o	NW o	NNW o	8	10	10	.	●° n–I
10	11.4	**20.2**	13.0	14.9	2.1	738.5	738.8	742.8	97	78	85	N o	SE o	N o	2	0	0	.	
11	13.2	12.8	10.2	12.1	−0.5	746.3	**747.4**	746.8	90	83	93	E o	W o	N o	10	10	4	.	
12	10.8	17.4	10.4	12.9	0.5	746.3	745.1	744.4	90	80	98	N o	W o	NNW o	10	0	0	.	
13	7.6	18.6	10.6	12.3	0.1	742.5	740.4	741.0	96	66	90	N o	E o	N o	0	0	0	.	
14	7.8	18.2	11.4	12.5	0.5	740.2	738.8	740.3	97	72	97	N o	NNW o	N o	0	0	0	.	
15	10.2	17.6	10.6	12.8	1.0	741.1	741.0	742.8	93	81	95	NNW o	E o	NW o	5	0	0	.	
16	8.2	18.2	10.8	12.4	0.8	743.7	742.7	743.4	94	68	95	N o	ESE o	WNW o	0	2	0	.	
17	9.8	15.0	11.6	12.1	0.7	744.3	745.0	745.9	96	71	89	N o	ESE o	N o	10	10	10	.	
18	10.2	15.8	9.0	11.7	0.5	746.9	745.7	747.0	93	77	97	N o	E o	N o	10	1	0	.	
19	6.4	15.4	11.0	10.9	−0.1	749.5	745.5	744.4	97	79	92	NNW o	E o	N o	7	8	10	.	⎓ I
20	7.4	14.2	8.4	10.0	−0.8	742.9	741.8	742.1	92	84	95	N o	N o	N o	2	10	0	.	
21	9.2	16.4	11.0	11.1	0.5	741.1	739.0	738.8	94	63	92	N o	NE o	NNE o	0	0	3	1.9	n (21 22) ●
22	11.0	14.4	12.0	12.7	2.3	736.1	736.0	736.3	94	92	96	NNE o	N o	NNE o	10	10●	10●	8.5	● 8–11a, 1½–12p, ◺ III
23	12.2	15.6	12.0	13.3	3.1	736.6	735.9	736.5	96	84	96	NNE o	NNE o	N o	10	5	10	14.7	n (23/24) ☔
24	12.0	13.0	8.0	11.0	1.0	733.6	732.9	733.3	81	90	87	N 1	NNW o	N o	10●	10	0	3.8	● 3–10½a [n ☔
25	8.8	9.6	8.0	8.8	−1.1	732.6	729.5	727.5	91	96	90	N o	NNW o	N 1	10	10	10●	17.5	● 10–11¼a, ● 6½–11½p,
26	**4.0**	14.2	8.0	8.7	−1.0	729.7	730.8	733.3	97	66	92	N o	ESE o	NE o	0	1	8	.	
27	6.2	9.0	8.0	7.7	−1.8	733.0	732.0	729.1	91	86	97	NNW o	NNW o	SSW o	10	10	10●	24.5	●° II, ●2 3½–11p
28	7.0	13.2	6.4	8.9	−0.4	726.5	728.7	733.5	97	77	97	NNW o	E o	NNW o	8	2	0	.	
29	5.8	12.8	6.0	8.2	−0.9	737.4	739.6	742.5	92	83	94	N o	W o	N o	3	5	3	1.5	● 10–11a
30	**4.0**	13.4	6.4	7.9	−1.0	745.5	745.9	746.8	93	68	97	N o	SE o	N o	0	0	0	.	
31	**4.0**	12.6	7.4	8.0	−0.8	745.5	742.5	742.5	89	59	92	N o	ESE o	NE o	0	2	8	.	
																		Summe	
Mittel	9.1	14.4	10.0	11.2	—	738.9	738.7	739.3	89	77	90				6.1	5.8	5.1	239.6	

$\lambda = 7^\circ 35'$, $\beta = 47^\circ 33'$,
$Hb = 277.2^m$, $G = 0.13\,^m/_m$.

Basel.

Oktober 1911.
Bernoullianum.

1	7.6	8.8	7.8	8.1	−4.0	732.6	733.6	735.7	77	81	89	SW 3	W 1	W 1	10	10	10	3.8	☔ I, ● 2¼–6¾p
2	6.2	8.6	5.4	6.7	−5.2	736.7	736.2	736.7	91	76	91	SW 1	SW 1	SE 1	10●	8	3	1.8	● 3¼–7½a, 0¼–4¼, △
3	3.0	11.0	7.0	7.0	−4.7	735.7	734.3	734.4	93	**50**	77	SE 1	E 1	E 1	8	4	6	.	[0¼p, ◠ 5¼–5½p
4	6.6	7.6	7.6	7.3	−4.2	734.0	733.2	734.9	83	96	97	E 1	N o	SE o	10	10●	10●	14.7	●° 7¾a, ● 10¾a–5¾, 7p–
5	7.4	11.2	9.1	9.2	−2.1	736.5	737.1	737.5	94	77	98	SE o	E 1	NW 1	5	9	7	0.2	●° 6–7, 8¼p [2¼a
6	7.0	13.0	11.4	10.5	−0.6	738.3	738.8	736.4	100	82	93	NE o	NE o	NE o	10≡	7	10	1.7	≡ I, ●° 9½p
7	10.6	15.8	10.6	12.3	1.3	736.6	737.8	739.9	97	73	86	E 1	E 1	E 1	10≡●	1	2	0.3	● 5–7¾a, ≡ I, ●° 8¾–9¼a
8	7.4	13.0	10.4	10.3	−0.5	739.8	738.8	739.7	89	75	97	E 1	N 1	W o	8	10●	10●	**17.0**	●° 1–1¼a, 1½–3p, ●° 5½–6
9	10.2	15.4	11.7	12.4	1.8	738.6	737.2	739.7	97	91	97	W o	NW 1	NW 1	10≡●	8	10	7.5	● 1–8¾a, 1¾–5½, 9¼– *)
10	6.8	8.4	8.5	7.9	−2.5	744.4	746.2	747.4	100	100	89	NW 1	NW 1	NW 1	10	10	10	1.0	● 2–4¼, 5¾–11¼a
11	7.8	11.6	9.1	8.5	−1.7	747.8	746.8	745.8	97	67	88	NW o	N 1	N 1	10≡	0	0	.	≡ I
12	8.2	10.2	11.6	12.0	2.0	744.8	743.5	742.2	92	72	87	SE 1	SE 1	SE 1	0	1	2	.	
13	8.2	15.6	10.0	11.3	1.5	740.6	739.0	739.3	97	75	93	E 1	SE 1	E 1	2	2	4	0.9	≡° III–n
14	10.2	16.4	14.9	14.0	4.4	739.3	738.6	739.9	95	77	88	SE 1	E 1	SE 1	10≡	8	0	.	● 4¼–7½a, ≡ I, ●° 1¾.
15	12.4	14.4	12.4	13.1	3.7	740.8	740.7	741.3	100	89	95	S o	NW 1	W o	10≡	10	10≡	.	≡ I, III–n [4½–4¾p
16	12.2	13.6	11.4	12.4	3.2	741.3	740.9	741.1	95	89	83	N o	NW 1	NE 3	10≡	10	10	.	≡ I, ☔ III
17	11.0	11.6	8.6	10.4	1.4	740.3	739.9	741.4	77	74	86	E 1	E 1	SE 1	8	8	1	.	
18	9.4	15.3	10.0	10.6	1.8	741.4	740.3	741.3	85	74	80	S 1	E 1	E 1	5	0	0	.	≡° I
19	7.4	13.4	11.2	10.7	2.1	741.8	740.7	742.7	97	84	93	SE 1	E 1	E 1	10≡	5	0	.	≡ I
20	9.2	14.6	11.4	11.7	3.3	742.2	741.6	741.5	92	78	90	E 1	E 1	SE 1	10	5	9	.	
21	8.2	17.6	13.0	12.9	4.6	738.6	735.3	732.3	97	58	77	SE 1	E 1	SE 1	2≡	3	10	0.1	≡ I, n ●°
22	16.4	**17.8**	15.4	16.5	8.4	732.2	731.9	732.4	60	51	59	W 2	SW 1	SW 1	9	6	0	1.0	● 7¾–10a
23	12.6	14.6	10.6	12.6	4.7	735.3	736.5	736.3	66	56	80	SW 2	W 1	W 1	8	8	0	0.1	
24	9.4	13.2	8.9	10.5	2.8	735.5	735.8	733.3	92	67	85	W 1	SW 1	SW 1	10	7	0	.	
25	6.2	12.3	8.8	9.1	1.6	727.7	725.4	728.3	94	64	80	SE 1	W 2	W 0	5	10●	6	2.0	● 1½–5¼p
26	7.6	13.2	10.5	10.4	3.0	730.0	728.6	728.1	75	52	66	SW 1	W 1	W 1	2	4	4	1.0	[3¾p–1½a, ☔ 3¾p
27	13.0	12.2	8.4	11.2	4.0	725.0	**724.3**	727.3	71	83	89	W 1	W 1	W 1	6	10●	10●	4.5	● 1½–2¼, 9¼a–1¾,
28	7.8	12.8	8.8	9.8	2.8	728.0	729.9	733.9	89	52	92	SW o	SW 1	W o	10●	7	10●	3.4	● 6½–9½a, ●° 8–9½p
29	7.8	6.6	4.8	6.4	−0.5	737.7	741.8	746.8	97	83	81	W o	W 1	W 1	10●	10	8	3.2	● 1–8½, 10–11¼a, 2¾–3p
30	3.2	9.4	4.2	5.6	−1.1	**747.9**	746.0	744.6	90	62	93	S o	N o	N o	6	0	0	.	
31	**2.2**	8.2	7.2	5.9	−0.6	743.3	741.6	742.3	96	78	89	N 1	SE 1	SE 1	10≡	7	7	.	≡ I
																		Summe	
Mittel	8.3	12.7	9.7	10.2	—	737.9	737.5	738.2	89	74	87				7.9	6.4	5.2	64.2	*) 8. 10½p *) 9. 10¾p, ◺a2 [3¼–4a, ≡ I, ◺a 1¾–3½p

Oktober 1911.
Observatorium.

Säntis.

$\lambda = 9° 20'$, $\beta = 47° 15'$,
$Hb = 2500.1^m$, $G = -0.16\,{}^m/_m$.

Tag	Lufttemperatur					Luftdruck			Relative Feuchtigkeit			Windrichtung und Stärke			Bewölkung			Niederschlag	Witterung
	7^{30}	1^{30}	9^{30}	Mittel	Abweich. vom Normalst.	7^{30}	1^{30}	9^{30}	7^{30}	1^{30}	9^{30}	7^{30}	1^{30}	9^{30}	7^{30}	1^{30}	9^{30}		
1	-7.0	-6.2	-6.7	-6.6	-7.3	554.3	555.6	557.2	100	100	100	WSW 4	W 2	WNW 1	10≡*	10≡*	10≡*	**71.7**	☔ I, ≡² ✳² △² ⊹³ V²
2	-7.0	-6.7	-9.0	-7.8	-8.3	556.7	557.1	558.2	100	100	100	WSW 1	WNW 1	W 1	10≡*	10≡*	10≡	23.4	✳ ⊹ n-9¹/₄ᵖ, ≡² V
3	**-10.0**	-6.1	-6.1	-7.4	-7.8	557.5	558.2	559.3	97	91	87	WSW 2	SW 3	SW 3	3	3	6	.	⊹ 8¹/₂²ᵃ-n
4	-3.6	-2.2	-1.7	-2.5	-2.8	559.5	559.3	559.4	88	88	95	SSW 3	SW 4	SSW 3	9	9	7	.	⊹ n-9¹/₂ᵃ, ⊹²-n, p ☔
5	-2.8	-1.2	-1.2	-1.7	-1.9	560.8	561.9	561.7	97	100	100	NE 1	ENE 2	NNE 2	10	10	9	0.6	≡ 7¹/₂²ᵃ-p, ✳° 7³/₄- *)
6	-0.6	1.1	1.4	0.6	0.6	563.0	564.6	563.9	97	88	98	SE 3	SSE 3	SW 3	4	7	9	0.7	●° 7-7¹/₄P, n, ☔ 6¹/₂P-n
7	1.7	2.1	-1.2	0.9	1.0	563.5	564.9	566.1	94	98	87	SSE 2	SSW 3	SSW 2	2	8	3	.	≡ 10¹/₄ᵃ-1¹/₄P, ☔ 4¹/₂P
8	0.4	4.2	3.4	2.7	2.9	566.4	566.1	566.2	70	80	97	SW 2	SSW 3	WSW 3	7	7	9	1.2	☔ 4¹/₂P, ● 5¹/₄-5³/₄P
9	3.6	5.8	1.2	3.5	3.8	566.7	566.4	565.6	87	85	98	SW 2	SW 2	W 4	3	3	9	16.2	☈° 5¹/₂-5³/₄P, ≡ 5¹/₂-*)
10	0.9	1.7	-0.4	0.7	1.2	566.9	568.3	569.4	100	100	93	W 3	NNW 1	SW 0	10	10	3	.	●° n-11¹/₂ᵃ, ≡ n-8³/₄P
11	2.6	4.5	4.6	3.9	4.5	570.4	571.4	**571.7**	62	71	66	NE 2	ENE 1	E 1	0	1	0	.	
12	4.7	**7.2**	4.9	5.6	6.3	571.0	570.8	570.1	68	65	53	SW 0	SSW 1	SW 2	1	1	2	.	
13	5.0	6.6	3.6	5.1	5.9	568.4	567.7	566.8	52	69	70	E 1	NW 1	S 1	3	3	4	.	
14	2.7	5.3	3.9	4.0	4.9	566.1	566.3	567.1	81	87	88	WSW 2	SSW 1	W 1	7	5	7	.	
15	3.9	5.1	3.5	4.2	5.3	567.2	567.6	567.8	83	82	85	N 1	ESE 0	SE 1	7	1	1	.	
16	2.4	5.3	2.5	3.4	4.6	567.6	567.2	567.2	79	68	71	SW 1	SSW 1	S 0	1	1	1	.	
17	4.6	5.6	3.8	4.7	6.0	566.6	566.6	567.6	**51**	69	75	WSW 1	ENE 1	ESE 2	1	1	1	.	
18	3.5	6.4	4.6	4.8	6.2	568.1	568.2	568.7	74	67	64	SW 2	SSW 3	WSW 2	1	1	0	.	
19	3.6	5.7	1.6	3.6	5.2	568.3	567.9	568.2	56	52	78	SSE 1	SSW 3	SSW 2	1	3	1	.	
20	0.2	2.3	0.1	0.9	2.6	568.0	568.0	567.8	97	84	87	NNW 1	ENE 0	W 2	9	9	1	0.1	✳° 3¹/₄-3¹/₂P
21	1.8	5.4	2.4	3.2	5.0	565.7	564.5	561.9	67	60	63	SW 2	SW 2	SSW 3	1	6	7	.	
22	1.4	3.3	0.5	1.7	3.6	560.8	560.8	560.9	82	90	91	WSW 3	SW 3	WSW 3	9	7	3	0.2	✳° 8¹/₄ᵃ-0¹/₄P
23	-1.8	-0.2	-0.8	-0.9	1.2	560.3	561.5	561.7	97	92	81	WSW 4	WSW 4	WSW 3	10≡	9	5	2.6	☔, ≡ 7¹/₄-9¹/₄ᵃ, 1¹/₂-*)
24	-2.8	-2.9	-2.1	-2.6	-0.4	560.3	560.3	559.7	98	100	67	W 1	WNW 2	SSW 2	10≡*	10≡*	1	3.9	✳ n-1³/₄P, ≡ n-4¹/₄P
25	-1.1	0.0	-5.9	-2.3	0.0	556.0	553.3	553.2	66	85	100	SW 2	SSW 4	SW 4	9	7	10≡*	20.2	⊹ 8¹/₂-11¹/₂ᵃ, ☔, ≡ *)
26	-7.2	-5.4	-3.9	-5.5	-3.1	554.3	555.4	555.5	95	87	74	SW 3	WSW 4	WSW 5	4	1	4	.	⊹³ V n-9¹/₂ᵃ, ☔ II, ☔² III
27	-1.4	-1.0	-4.0	-2.1	0.5	555.1	553.9	553.6	82	84	100	WSW 2	SSW 3	SE 2	7	7	10≡△	23.9	☔ 10¹/₂²ᵃ, 4¹/₂P, ≡ 7ᵖ- *)
28	-6.4	-5.8	-5.6	-5.9	-3.2	**552.8**	554.4	557.9	100	100	100	WSW 1	WSW 3	SW 2	10≡*	10≡*	10≡*	14.4	⊹³ n-3¹/₂P, ⊹-n, ≡ ✳ V
29	-5.8	-3.4	-5.8	-5.0	-2.2	560.4	562.8	565.3	90	100	100	WSW 1	WSW 2	WSW 1	8	10≡	10≡*	7.6	△ 9³/₄-10ᵃ, ⊹ 10¹/₄ᵃ-
30	-6.6	-3.5	-2.1	-4.1	-1.1	567.0	567.8	567.5	70	68	55	WSW 2	SW 1	SSW 1	1	1	0	.	[0¹/₂P, V ≡, ✳ 9³/₄ᵃ-n
31	-3.6	-1.4	-3.2	-2.7	0.4	565.8	565.6	565.5	56	72	73	SW 4	SW 1	WSW 4	2	4	9	.	☔ I, III
																		Summe	
Mittel	-0.8	1.0	-0.6	-0.1	—	563.1	563.4	563.6	82	83	84				5.5	5.6	5.2	186.7	

[*) **5.** 11³/₄ᵃ, 2¹/₂P *) **9.** 7¹/₂P, ☔ III, n ● *) **23.** 2¹/₄, 5³/₄-6¹/₂P *) **25.** 3¹/₂P-n, ✳ ⊹² 4¹/₄P-n *) **27.** n, △ 8¹/₂P-n

Oktober 1911.
Beobachter: *D. Dittli.*

St. Gotthard (Hospiz).

$\lambda = 8° 34'$, $\beta = 46° 33'$,
$Hb = 2102.9^m$, $G = -0.14\,{}^m/_m$.

1	-4.2	-3.4	-4.8	-4.1	-6.9	582.9	582.6	584.2	79	82	93	N 4	N 5	N 5	10*	10*	10*	13.2	✳ ⊹ ☔²
2	-5.4	-4.9	-6.2	-5.5	-8.2	583.9	585.6	587.3	95	96	95	N 5	N 4	N 3	10≡*	10≡	7	5.0	a ✳ ⊹, ☔² ≡² n-p, ☔ III
3	**-7.3**	-3.3	-3.4	-4.7	-7.3	587.1	587.7	589.5	94	90	95	N 0	S 2	SE 2	4	10*	10≡*	7.0	p n ✳, ≡² III-n
4	-2.7	-1.5	-1.9	-2.0	-4.5	589.3	589.2	588.5	98	95	99	S 2	S 2	S 2	10≡*	10*	10*	41.0	≡ I, ✳² ⊹
5	-0.4	1.0	0.2	0.3	-2.0	589.1	590.2	590.3	100	93	99	S 1	S 1	S 1	10*	10≡*	10*	25.4	✳², ≡ II
6	1.0	3.2	1.6	1.9	-0.3	591.6	593.3	593.8	93	90	98	S 2	SSE 1	SSE 1	10≡	10≡●	10●	**86.4**	≡ n-II, ●², n ●²
7	1.6	4.0	2.2	2.6	0.6	592.6	594.0	595.3	97	75	77	SSE 1	SE 3	SSE 2	10●	10●	10	13.5	● n-2³/₄P, ☔ II
8	2.0	4.0	3.4	3.1	1.2	595.6	595.5	595.5	75	78	98	SSE 2	SE 2	S 1	6	8	10≡	4.5	● 1⁸/₄-6P, ≡ III
9	5.8	7.2	3.8	5.6	3.9	595.3	595.0	594.5	82	79	92	SE 2	SSE 1	N 2	9	10≡	9≡	0.4	p n ≡ ●°
10	3.0	2.8	2.0	2.6	1.0	595.0	596.4	598.1	88	88	88	N 2	N 2	N 2-3	10≡	10≡	10≡	0.5	≡ ●°, ≡² II, ☔ III
11	3.7	9.5	5.5	6.2	4.8	598.5	599.2	**599.6**	75	52	42	N 0	NNW 0	NNW 0	0	1	0	.	
12	5.4	**10.4**	5.9	7.2	5.9	599.1	599.1	598.4	41	**34**	50	N 0	N 0	SW 1	0	0	0	.	
13	4.0	9.4	3.6	5.7	4.6	596.6	595.8	595.5	45	**34**	69	SSW 1	N 1	S 1	0	0	1	.	
14	3.6	8.8	4.6	5.7	4.7	594.3	594.2	595.2	43	37	56	S 1	S 1	S 1	1	1	1	.	
15	3.9	9.6	3.8	5.8	5.0	595.2	595.5	596.4	62	53	87	NW 0	S 1	S 1	0	5	8	.	
16	2.6	6.0	2.5	3.7	3.0	596.7	596.2	596.2	54	51	88	S 1	S 2	S 2	0	3	9≡	.	≡ III
17	2.2	1.8	1.2	1.7	1.1	595.9	596.3	597.5	76	96	92	SSE 1	SSE 2	SSE 2	9	10≡	8	.	≡ II
18	0.0	4.8	0.8	1.9	1.5	597.5	597.5	598.6	100	52	72	SSE 2	S 1	S 1	10≡	7	0	.	≡ I
19	0.1	4.4	2.2	2.2	1.9	597.5	597.2	597.1	52	43	56	S 0	S 1	S 0	0	3	3	.	
20	1.8	4.9	2.4	3.0	2.9	596.1	595.9	596.2	69	59	76	N 2	N 2	N 1	8	10	0	.	
21	2.5	6.5	3.3	4.1	4.1	594.4	593.8	592.2	60	55	65	N 0	S 1	S 2	1	3	10	6.6	n (²¹/₂₂) ●
22	2.3	2.5	2.7	2.5	2.7	590.1	589.9	590.1	88	100	100	SSE 2	S 2	S 2	10	10●	10●	24.6	● 8ᵃ-n
23	1.7	5.3	2.5	3.2	3.5	590.5	590.5	590.8	90	56	98	SSE 2	S 1	S 1	9	3	10	11.6	
24	-1.2	-0.7	-3.2	-1.7	-1.2	588.3	588.6	588.6	99	99	54	NE 2	N 3	N 3	10*	10≡	0	7.4	✳ n-11ᵃ, ≡ II, p ☔
25	-1.6	-1.4	-3.0	-2.0	-1.4	585.4	582.3	582.3	93	95	86	S 2	S 2	S 2	10	10*	10*	20.2	✳ 8ᵃ-n
26	-4.2	0.5	-2.2	-2.0	-1.2	584.1	584.4	586.1	60	47	82	N 1	S 1	S 2	2	1	9	.	
27	-2.6	-1.8	-2.5	-2.3	-1.4	585.6	584.3	582.6	77	96	100	SE 3	SSE 3	S 1	9	10*	10	12.4	☔ n-II, ⊹ ✳ 9ᵃ-III
28	-3.4	-2.2	-3.0	-2.9	-1.8	**581.1**	583.9	586.9	98	79	80	N 2	N 0	N 1	10≡	7	1	.	≡ I
29	-3.7	1.6	-3.4	-1.8	-0.6	589.7	592.0	594.6	80	55	95	N 0	E 0	N 1	3	4	10≡	.	≡ III
30	-6.3	2.0	-2.2	-2.2	-0.8	596.6	597.2	597.2	52	36	64	N 1	SE 1	SSE 1	0	0	1	.	
31	-2.8	1.5	-2.0	-1.1	0.4	595.6	594.6	594.8	48	39	60	SE 1	SE 1	SE 1	0	1	4	.	
																		Summe	
Mittel	0.1	3.0	0.5	1.2	—	592.0	592.2	592.7	76	69	81				5.8	6.4	6.5	279.7	

Keine Angaben über Schneebedeckung.

$\lambda = 7^\circ 26'$, $\beta = 46^\circ 57'$,
$Hb = 572.2^m$, $G = 0.05\,{}^m/_{m}$.

Bern.

November 1911.
Tellur. Observatorium.

Tag	Lufttemperatur					Luftdruck			Relative Feuchtigkeit			Windrichtung und Stärke			Bewölkung			Niederschlag	Witterung
	7^{30}	1^{30}	9^{30}	Mittel	Abweich. vom Normalst.	7^{30}	1^{30}	9^{30}	7^{30}	1^{30}	9^{30}	7^{30}	1^{30}	9^{30}	7^{30}	1^{30}	9^{30}		
1	3.5	10.6	7.3	7.1	1.9	716.9	717.4	716.9	97	63	77	E 0	NE 1	E 1	8≡	5	9	.	a ≡ ⌓
2	0.9	7.2	1.9	3.3	−1.8	715.3	714.1	714.4	99	72	98	NE 0	N 0	NW 0	7≡	9	2≡	.	a ≡ ⌴, ≡ III–n
3	3.2	5.5	4.2	4.3	−0.6	716.3	716.5	717.0	99	90	98	SE 0	N 0	SW 0	10≡	10≡	10≡	.	≡² ⌓ I, ≡
4	4.6	8.6	4.7	6.0	1.3	717.7	717.6	717.4	94	74	95	SE 0	SE 0	SE 0	10≡	3	7	.	≡ I
5	3.0	**13.7**	11.8	9.5	4.9	715.0	712.9	712.5	94	**45**	47	SE 0	SW 0	SW 1	8	6	9●	4.8	● III–n
6	8.5	10.7	5.9	8.4	4.0	713.3	714.4	716.5	90	57	80	SW 0	SW 1	SW 0	10●	7	8	2.4	● n–10$^1/_{2^a}$, ●° 5$^1/_{2^p}$
7	0.0	7.6	1.1	2.9	−1.3	717.9	716.6	716.5	96	51	96	S 0	E 0	S 0	2	2	2	.	a ⌴
8	**−2.2**	6.4	1.9	2.0	−2.1	714.4	711.7	709.8	100	58	97	SE 0	SW 0	SW 0	2≡	4	9	.	a ≡ ⌴
9	2.8	5.2	4.4	4.1	0.2	706.5	705.2	706.6	95	96	99	NW 0	SW 0	SW 0	10	10●	10●	9.3	● 9$^1/_{2^a}$–n
10	3.2	2.5	2.5	2.7	−1.1	708.4	710.0	711.5	99	96	98	SW 0	SW 0	SE 0	10●	10●	10	7.2	● n–p, ✳ o$^1/_{2}$–o$^3/_{4^p}$
11	3.2	5.7	1.1	3.3	−0.3	713.1	713.4	712.8	95	76	98	SW 0	WSW 0	SE 0	9	7	2	.	
12	−0.5	4.7	3.8	2.7	−0.7	710.9	709.7	710.2	100	72	92	SE 0	SE 0	S 0	5≡	10	10	5.3	a ⌴ ≡
13	4.3	6.6	4.6	5.2	1.9	711.9	714.0	718.8	97	92	98	SE 0	SE 0	SE 0	10●	10●	10●	2.7	● n–III
14	4.8	6.5	6.0	5.8	2.7	720.9	721.1	720.3	99	90	91	NE 1	N 1	NE 0	9	8	10	.	
15	4.2	7.1	3.4	4.9	1.9	716.2	712.6	712.1	78	75	98	SE 0	S 0	S 0	10	2	7	.	
16	7.5	10.8	3.7	7.3	4.5	712.4	712.1	711.9	84	52	92	SW 0	W 0	SE 0	9	8	2	.	
17	0.5	8.8	4.1	4.5	1.8	708.3	705.3	702.1	99	60	95	SE 0	W 0	SE 0	4	8	2	5.5	n ($^{17}/_{18}$) ●
18	5.1	8.2	6.7	6.7	4.2	699.5	693.5	**689.9**	95	73	85	SW 0	SW 0	SW 3	10	8	10●	**11.2**	● ↙ 8$^1/_{2^p}$–n
19	3.0	5.8	3.0	3.9	1.5	692.7	694.0	696.2	92	46	89	SW 1	SW 3	SW 2	8	7	10●	4.4	p ↙, ● 4$^1/_{2^p}$–n
20	3.9	5.4	5.5	4.9	2.7	699.2	700.8	704.0	81	85	72	SW 1	SW 2	SW 0	10	7	8	0.8	a ●°, ↙ II
21	3.2	7.7	6.0	5.6	3.5	701.7	699.1	697.3	91	78	76	SE 0	SE 0	SE 0	10●	10	10	2.7	a ●
22	5.8	13.6	8.0	9.1	7.2	696.1	696.4	697.6	84	49	86	SE 0	SE 0	NE 0	7	3	10	.	
23	5.1	10.3	5.1	6.8	5.0	697.7	698.9	700.3	97	74	99	N 0	N 0	NE 0	9	7	10	.	
24	3.9	6.1	5.4	5.1	3.4	698.8	701.8	704.7	98	88	98	N 0	SW 0	NE 0	6≡	10≡	10	8.6	≡² n–II, ● 4$^1/_{2^p}$–8$^1/_{2^p}$
25	4.2	4.9	4.3	4.5	3.0	705.7	705.5	705.2	100	100	98	W 0	SW 0	SE 0	10≡	10≡	10	.	≡² n–II
26	2.5	8.8	3.1	4.8	3.4	705.8	707.0	709.8	98	64	92	SE 0	N 0	SE 0	7	8	3	.	
27	2.1	6.8	3.6	4.2	3.0	712.3	714.1	715.6	99	76	98	NE 0	E 0	N 0	10≡	7	10≡	.	≡ I, ●° o$^1/_{4^p}$, ≡² III
28	4.0	8.2	5.1	5.8	4.7	716.4	716.4	718.7	95	70	96	S 0	NW 0	NW 0	9	9	7	.	
29	3.2	8.6	1.8	4.5	3.5	720.7	720.5	**721.4**	98	70	100	SW 0	SE 0	E 0	5≡	7	6≡	.	≡² I, III–n
30	−1.3	1.6	1.3	0.5	−0.3	721.3	720.5	720.0	100	100	100	NE 0	NE 0	SE 0	10≡	10≡	10≡	.	≡² ⌴ I, ≡
Mittel	3.2	7.5	4.4	5.0	—	710.1	709.8	710.3	95	73	91				8.1	7.4	7.8	Summe 64.9	

$\lambda = 6^\circ 57'$, $\beta = 47^\circ 0'$,
$Hb = 487.3^m$, $G = 0.06\,{}^m/_{m}$.

Neuenburg.

November 1911.
Observatorium.

1	6.1	12.1	6.2	8.1	0.6	724.5	723.9	724.4	100	69	82	NE 1	SE 1	N 0	10	8	7	.	
2	5.4	8.6	5.7	6.6	−0.8	722.8	721.9	722.1	87	77	93	NE 1	NE 1	NE 0	10	9	10	.	
3	4.2	8.2	5.4	5.9	−1.3	723.9	724.0	724.8	97	80	91	NE 0	NE 1	N 1	10	9	10	.	
4	5.8	11.1	8.4	8.4	1.4	725.2	725.3	724.8	90	77	81	NW 1	SW 1	NW 1	10	4	8	.	≡° III–n
5	7.4	**15.6**	13.3	12.1	5.2	722.7	720.7	719.5	78	49	60	NW 1	SW 2	W 2	5	5	10	1.3	≡° I, ●° 8–9^p, n ●
6	9.8	11.1	7.9	9.6	2.9	720.6	722.1	723.9	75	53	61	NW 1	NW 2	NW 2	10	7	4	.	●° n–8^a
7	2.4	9.8	2.6	4.9	−1.6	726.5	724.4	724.0	80	58	83	NW 1	SE 1	N 1	0	1	3	.	
8	**−1.0**	5.6	3.1	2.6	−3.8	722.2	719.9	717.3	100	87	90	N 1	NE 1	N 1	10≡	7	10	8.0	⌴ I, ≡² 6$^1/_{2^a}$–o$^1/_{2^p}$, ≡° II.
9	3.9	5.2	4.7	4.6	−1.6	714.3	713.0	714.1	100	97	95	NE 0	SW 1	N 1	10●	10●	10●	**40.8**	●², n ● [n ●
10	3.4	3.9	3.8	3.7	−2.3	716.0	717.6	719.2	100	95	100	NW 0	SW 1	NW 1	10●	10●	10●	9.5	●, n ●°
11	3.2	9.0	2.0	4.7	−1.2	720.3	721.0	720.4	97	77	96	NW 1	SW 1	N 0	10	3	0	.	
12	1.3	4.1	6.8	4.1	−1.6	718.6	717.3	717.5	100	93	99	NE 1	NE 1	NW 1	10	10	10●	6.2	≡° n–II, ● 8$^1/_{2^p}$–n
13	5.3	6.9	6.1	6.1	0.5	719.3	721.5	726.5	97	93	76	W 1	W 1	NE 2	10●	10●	8	1.2	● n–2^p
14	6.4	7.2	7.1	6.9	1.5	728.5	729.1	727.9	83	86	87	NE 1	NE 1	NE 2	10	10	10	.	
15	5.2	9.0	7.2	7.1	1.8	723.8	720.5	719.5	88	77	83	NE 1	SW 1	NW 1	10	4	6	.	≡° III
16	9.2	10.8	7.0	9.0	1.9	719.7	719.7	719.5	62	73	79	NW 3	SW 2	NW 1	5	9	0	.	↙ I
17	1.6	6.6	5.2	4.5	−0.4	716.0	713.0	709.2	100	93	97	NW 1	NW 1	N 1	9	9	3	9.5	≡° I
18	5.8	10.7	6.8	7.8	3.0	707.1	701.1	**696.9**	93	71	90	W 1	SW 1	SW 2	10●	3	10●	6.0	● n–7$^1/_{2^a}$, ↙ ● 6^p–n
19	4.4	5.9	2.8	4.4	−0.2	700.1	701.9	703.8	86	**45**	95	SW 2	SW 3	SW 3	8	8	10●	5.8	p ↙, ● 2^p–n, ✳° 10^p
20	4.3	6.3	5.6	5.4	1.0	706.8	708.5	711.4	95	73	77	SW 3	SW 3	SW 2	10●	8	4	2.8	● n–11$^1/_{2^a}$, ↙ n–p
21	4.4	7.8	9.9	7.4	3.1	709.3	706.8	704.6	100	89	76	N 0	SW 2	W 2	10●	10	10	5.5	● n–o^p
22	10.6	15.4	10.1	12.0	7.9	703.4	703.7	705.0	75	54	69	W 1	W 1	N 1	9	4	10	0.3	n ($^{22}/_{23}$) ●°
23	7.0	9.4	7.6	8.0	4.0	705.0	706.3	708.0	91	83	86	NE 0	SW 0	N 1	10	9	5	.	≡° III–n
24	5.6	7.5	6.0	6.4	2.5	706.3	709.6	712.5	90	83	97	NE 1	SE 1	N 1	5	10	10	4.2	≡° I, ● 3$^1/_{2^p}$–III
25	4.9	6.2	6.0	5.7	2.0	713.2	713.2	712.6	100	94	94	NW 0	SW 1	N 1	10	10	10	.	
26	6.2	9.8	5.1	7.0	3.4	713.3	714.5	717.3	93	80	95	W 1	SE 1	N 1	10	8	6	.	≡° III
27	4.4	6.3	5.4	5.4	2.0	719.8	721.8	723.1	100	96	99	NE 1	NE 1	N 1	10	10	10	2.6	≡° n–II, ● 7$^1/_{2^a}$–4^p
28	5.0	7.6	6.1	6.2	3.0	723.9	724.2	726.4	97	89	96	N 0	NE 1	N 0	10●	9	10	0.5	●° n–8^a, 4^p–III
29	3.7	6.8	3.2	4.6	1.5	728.3	728.6	**729.2**	100	94	100	NE 1	NE 0	N 0	10	8≡	4	.	≡ 8^a–1$^1/_{2^p}$, III
30	1.4	2.9	3.6	2.6	−0.3	729.1	728.5	727.7	100	100	99	NE 1	NE 1	N 1	10≡	10≡	10	.	≡² n–4^p
Mittel	4.9	8.3	6.0	6.4	—	717.7	717.4	717.8	92	79	87				9.0	7.7	7.6	Summe 104.2	

November 1911.
Beobachter: Frl. *H. Nager.*

Altdorf.

$\lambda = 8° 39'$, $\beta = 46° 53'$,
$Hb = 456.3^m$, $G = 0.05$ m/m.

Tag	Lufttemperatur					Luftdruck			Relative Feuchtigkeit			Windrichtung und Stärke			Bewölkung			Niederschlag	Witterung
	7^{30}	1^{30}	9^{30}	Mittel	Abweich. vom Normalst.	7^{30}	1^{30}	9^{30}	7^{30}	1^{30}	9^{30}	7^{30}	1^{30}	9^{30}	7^{30}	1^{30}	9^{30}		
1	4.0	10.3	6.5	6.9	0.0	727.9	726.8	727.5	95	60	74	SE 0	NW 0	SE 0	1	1	5	.	
2	1.8	8.6	2.3	4.2	−2.6	725.7	724.4	726.6	100	72	100	SE 0	NWo-1	SW 0	0	0	0	.	
3	4.7	8.2	3.1	5.3	−1.3	727.0	726.7	727.3	100	77	100	SE o–1	W 0–1	SE 0	10	0	0	.	≡ I
4	3.8	7.4	2.8	4.7	−1.8	727.9	728.4	727.8	100	80	98	SE 0	NW 0	NW 0	10	9	0	.	≡ I
5	1.8	11.2	7.6	6.9	0.6	725.1	723.4	721.7	88	52	85	SE 0	N 0	SE 0	3	6	8	2.1	
6	8.0	9.5	6.4	8.0	1.8	722.6	724.4	726.5	100	85	100	SE 0	NW 0	SE 0	10	10	8	8.3	● 5^a–p
7	5.1	8.7	1.4	5.1	−0.9	728.0	727.0	727.3	100	50	94	SE 0	NWo-1	SE 0	10	1	0	.	
8	**−0.4**	6.6	11.1	5.8	0.0	725.2	722.7	719.4	97	65	32	E 0	W 0	E 3–4	0	0	4	.	$\swarrow^2$ $6^1/_2$p–n
9	11.7	14.9	7.7	11.4	5.7	716.3	714.3	716.7	35	30	75	SE 2	SE 2–3	NW 0	8	10	10	0.5	$\swarrow$ n–$4^1/_2$p, ●° 9p–n
10	6.4	6.8	5.1	6.1	0.6	718.5	719.7	721.3	100	88	99	SE 0	NW 0	NW 0	10	10	10	8.7	●
11	5.6	7.8	3.2	5.5	0.1	723.5	724.1	723.7	100	76	92	N 0	N 0	SE 0	10	8	0	0.3	●° l
12	1.5	14.4	12.0	9.3	4.1	721.0	719.0	719.3	100	**21**	29	E 0	SE 2	SE 3	3	10	10	0.4	⌴^{2} l, $\swarrow$ 11^a–n
13	6.8	7.2	5.5	6.5	1.4	722.5	724.2	729.6	90	95	97	NWo-1	NW 0	NW 0	10	10	10	9.8	●° n–l, ●
14	3.0	8.4	3.7	5.0	0.1	732.0	731.8	730.6	100	63	95	SE 0	SWo-1	SE 0	0	2	0	.	
15	−0.1	7.7	2.6	3.4	−1.4	726.9	722.7	721.6	100	73	100	SE 0	SWo-1	SW 0	0	2	0	0.2	
16	3.7	10.1	8.5	7.4	2.7	722.4	722.4	722.5	91	57	90*	SE 0	NW 0	SE 0	2	8	0	.	
17	1.4	9.4	10.4	7.1	2.6	718.3	714.2	712.0	94	61	52	SE 0	NWo-1	SE o–1	3	6	0	.	
18	8.8	13.7	11.8	11.4	7.0	709.1	702.9	**699.7**	71	35	36	NW 1-2	SE 2	SE 2	10	8	0	2.1	p $\swarrow$, n ●
19	4.7	8.8	6.0	6.5	2.3	701.7	703.6	705.8	100	46	52	NE 0	SW 0	NWo-1	10	4	10	3.1	● III
20	3.3	6.4	2.8	4.2	0.1	709.6	710.3	714.2	85	72	85	SE o–1	SW 0	SE 0	10	7	0	0.4	a ●°
21	3.3	9.4	13.3	8.7	4.7	712.3	708.6	707.3	78	56	35	SW 0	NW 0	SE 2–3	10	7	4	.	$\swarrow$ 4p–n
22	15.3	**16.9**	16.0	16.1	12.3	706.1	707.3	709.0	31	30	35	SE 2	SE 2–3	SE 2	3	3	7	5.6	$\swarrow$, n ●
23	10.7	13.3	14.0	12.7	9.0	710.4	710.1	711.3	81	59	45	SE 3	SE 2–3	SE o–1	10	9*	9	**16.3**	$\swarrow$ n–II, ● n–5^p
24	9.5	8.4	7.2	8.4	4.9	710.4	711.4	715.9	95	85	100	NE 0	NW 0	NW 0	10	10	10	0.4	≡° II, ●° III
25	6.0	8.3	6.8	7.0	3.6	715.8	715.6	715.4	100	83	100	NW 0	NW 0	NW 0	10	10	10	0.6	●° III
26	2.0	7.9	8.2	6.0	2.7	717.2	717.5	719.8	100	77	52	NE 0	W 0–1	SWo-1	10	3	0	.	≡ I
27	7.6	14.6	7.3	9.8	6.7	722.7	723.7	725.4	56	33	80	E 0	SE 2	NWo-1	4	2	0	.	
28	4.5	8.3	4.0	5.6	2.6	726.5	726.2	729.1	100	75	100	SW 0	W 0–1	SE 0	2	4	0	.	≡° III
29	1.9	6.1	2.1	3.4	0.6	731.2	731.4	**732.6**	100	94	100	SE 0	SW 0	SW 0	10	10	10	.	≡, ≡^{2} III–n
30	1.9	3.8	2.8	2.8	0.1	732.2	731.7	730.7	100	96	92	SE 0	SE 0	SE 0	10	10	10	.	≡^{2} n–II, ≡–n
Mittel	4.9	9.4	6.7	7.0	—	720.5	719.9	720.6	90	65	77				6.6	6.0	4.5	Summe 58.8	

November 1911.
Observatorium.

Genf.

$\lambda = 6° 9'$, $\beta = 46° 12'$,
$Hb = 405.0^m$, $G = 0.02$ m/m.

1	4.7	12.4	9.4	8.7	1.7	731.5	731.1	731.2	97	62	71	W 0	NNW 1	NNE 1	5	2	9	.	
2	7.5	10.1	4.4	7.5	0.7	729.9	728.9	729.4	83	70	97	NNE 1	N 1	NW 0	9	2	0	.	△ III
3	1.1	7.2	7.4	4.9	−1.7	730.6	731.2	732.0	100	96	96	NW 0	WSW 1	ENE 1	10≡	10	10	.	a ⌴ ≡
4	6.1	12.3	6.5	8.2	1.8	732.9	732.5	732.7	96	72	92	WNW 1	NW 1	SW 1	10	3	4	.	Ψ Ψ △ III
5	4.5	**19.0**	15.0	10.8	4.5	730.7	729.0	728.2	93	**29**	40	W 0	SW 1	SSW 1	5	4	10	0.9	a ⌴, ●° $9^3/_4$p
6	10.5	14.7	7.1	11.2	5.1	728.7	729.9	731.7	84	46	69	SSW 1	SSW 1	SSW 1	10●	4	2	0.4	●° 7–8^a
7	0.5	9.1	2.7	4.6	−1.3	732.9	731.7	731.3	92	49	85	SSW 1	NE 1	SSW 0	1	1	0	.	a ⌴, △ III
8	**−1.9**	6.7	4.0	3.0	−2.7	729.6	727.0	724.6	96	71	90	SSW 1	WNW 1	SSW 1	1	3	10	19.3	a ⌴, ● $10^1/_2$p–n
9	4.5	5.7	5.8	5.0	−0.6	721.1	720.3	721.8	100	100	100	SW 0	SSE 1	S 0	10●	10●	10●	**67.0**	●^{2}, n ●^{2}
10	3.1	2.6	2.1	3.4	−2.0	723.9	725.2	726.7	100	100	100	SE 1	ESE 1	ESE 1	10●	10●	10	9.6	● n–$3^1/_4$p
11	1.7	9.4	1.7	4.1	−1.1	728.3	728.3	727.8	100	84	96	SSE 0	WSW 1	SSW 1	10	0	0	.	
12	−0.1	6.8	8.1	4.6	−0.5	726.1	724.8	725.0	97	75	75	SSW 1	WNW 0	WSW 1	10	10	10●	5.8	● 5^p–n
13	4.8	7.3	7.5	6.0	1.1	727.1	728.9	733.0	93	85	70	NW 0	SW 0	NNE 1	10●	10●	5	1.5	● n–$9^3/_4{}^a$, $1^1/_2$, $2^1/_2$–$2^3/_4{}^p$
14	7.2	8.8	8.3	7.8	3.1	735.0	735.9	735.6	78	73	72	NNE 3	NNE 2	NNE 1	9	10	10	.	$\swarrow$ n–II
15	4.8	9.4	9.0	7.3	2.7	731.4	727.9	727.1	92	70	74	ESE 1	N 1	W 1	10	1	8	.	
16	8.3	14.4	6.3	9.7	5.3	727.9	727.5	726.6	71	44	84	SSW 1	SW 1	SW 0	2	5	0	.	
17	1.7	9.1	9.6	6.1	1.8	723.2	720.2	716.7	93	72	70	SW 0	SE 0	W 0	6	10	9	17.1	a ⌴, ● 10^p–n
18	6.8	10.9	7.4	8.5	4.4	714.3	708.3	**706.0**	94	57	81	NNW 1	SSW 2	SSW 3	10●	8	10●	6.8	● n–8^a, $4^3/_4{}^p$–n, p n $\swarrow$
19	5.5	7.0	4.8	5.8	1.9	708.6	710.5	712.8	66	56	84	SSW 2	SSW 2	SSW 2	8	10	10	4.8	△ $7^1/_2{}^a$, $\swarrow$, ● 4, 7^p, n
20	5.4	7.0	6.6	6.2	2.4	715.9	717.8	719.6	82	77	78	SSW 2	SSW 2	N 1	10●	10●	10	0.5	●° 7–8^a, 1–$1^1/_2{}^p$, ◠ $8^3/_4{}^a$, [$\swarrow$ n–II
21	6.2	13.1	12.6	9.3	5.7	716.9	714.6	712.4	81	53	55	NNW 1	SSW 1	SSW 1	10	9	10	.	
22	12.9	15.9	8.8	12.6	9.1	710.8	710.2	711.5	57	45	82	SSW 2	WSW 1	WSW 1	9	9	7	.	$\swarrow$ I
23	8.3	12.0	6.6	8.7	5.4	711.7	713.5	714.7	79	68	91	SSE 0	WSW 0	WSW 0	5	7	7	.	
24	4.0	7.6	7.6	6.4	3.2	713.4	716.4	719.5	98	93	94	SSW 1	SW 0	NNE 0	2	10●	10	0.4	●° $11^1/_4{}^a$–$1^1/_2{}^p$
25	6.4	7.5	5.9	6.6	3.5	720.4	720.6	720.4	91	82	91	NNE 0	NE 1	SE 1	10	10	10	.	
26	5.8	13.4	7.6	7.9	5.0	720.9	721.7	724.0	87	46	76	NNE 1	SSW 1	SSW 1	9	1	10	.	
27	5.9	8.1	6.9	6.9	4.1	726.8	728.7	730.0	91	83	91	WSW 1	NW 1	SSE 1	9	10	10	1.8	● 9–$10^1/_2{}^a$, n
28	5.8	9.2	7.6	7.2	4.6	730.7	731.3	733.6	99	74	89	W 0	NNW 1	NNW 0	9	9	7	.	
29	5.0	8.7	3.9	6.1	3.6	735.6	735.8	**736.2**	96	83	98	W 1	N 0	WNW 0	10	7	5	.	
30	4.9	6.2	4.7	4.8	2.4	736.0	735.5	735.1	100	85	89	W 0	NNE 0	NE 1	10	10	10	.	
Mittel	5.1	9.7	6.9	7.0	—	725.1	724.8	725.3	90	70	83				8.0	6.8	7.4	Summe 135.9	

Die Temperatur-Tagesmittel von Genf resultieren aus 8 Beobacht. in dreistünd. Zeitintervallen. — Die Beobachtungstermine sind $7^{35}{}^a$, 1^{35} u. $9^{35}{}^p$.

$\lambda = 8^\circ 33'$, $\beta = 47^\circ 23'$,
$Hb = 493.2^m$, $G = 0.08\,{}^m/_m$.

Zürich.

November 1911.
Meteorol. Centralanstalt.

Tag	Lufttemperatur					Luftdruck			Relative Feuchtigkeit			Windrichtung und Stärke			Bewölkung			Niederschlag	Witterung
	7^{30}	1^{30}	9^{30}	Mittel	Abweich. vom Normalst.	7^{30}	1^{30}	9^{30}	7^{30}	1^{30}	9^{30}	7^{30}	1^{30}	9^{30}	7^{30}	1^{30}	9^{30}		
1	6.0	11.7	7.0	8.2	2.3	724.3	723.7	724.5	89	64	83	NE 0	N 1	NE 0	10	4	8	.	
2	4.0	9.0	2.3	5.1	−0.6	722.8	721.4	721.2	93	66	99	N 0	NW 1	NW 0	10	5	3	.	
3	5.0	10.7	4.6	6.8	1.2	723.5	723.5	723.8	97	68	100	SW 0	SW 1	NW 1	10	2	9≡	.	≡° I, ≡ $8^1/_2$P–n
4	5.0	9.4	5.9	6.8	1.4	724.6	724.6	724.1	95	75	97	SW 1	W 1	E 1	10	5	3	.	
5	5.7	16.2	14.4	12.1	6.9	721.6	719.6	718.1	87	**27**	28	SE 1	W 2	SW 2	7	4	10●	2.9	⸗, ●° $8^1/_2$P, ● 9P–n
6	7.2	11.4	6.1	8.2	3.1	720.0	721.1	723.2	96	73	85	W 1	SW 1	SW 1	10●	7	3	2.2	● n–11 $1/_4$a
7	2.8	10.8	2.0	5.2	0.3	724.9	724.0	723.8	83	40	90	SE 1	W 1	N 0	1	1	1	.	
8	**-1.4**	6.0	1.0	1.9	−2.8	722.2	719.5	716.8	100	72	99	N 0	NW 1	NE 0	10≡	2	9	.	≡^{2} ⌙ n–11 $1/_2$a
9	2.8	5.3	5.4	4.5	−0.1	714.1	712.3	713.8	98	87	92	E 1	NW 1	W 0	10	9	10	0.3	●° 10P
10	4.0	5.1	4.2	4.4	0.0	715.4	716.7	718.4	95	100	100	NW 1	NW 1	SW 0	10	10●	10●	6.2	●° n–l, ● 9a–11P, ●°–$1^1/_4$a
11	4.0	9.0	2.8	5.3	1.0	719.9	720.6	720.3	100	58	95	NW 0	SW 1	NW 1	10	3	0	.	≡° ⌙^{2} I
12	−1.0	5.8	6.3	3.7	−0.4	718.0	716.6	716.9	100	85	82	NW 0	W 0	NW 0	10	10	10	1.7	
13	5.4	6.6	5.7	5.9	2.0	719.0	721.0	726.0	89	93	100	SW 1	SW 1	SW 0	10●	10●	10●	**12.7**	● 3a–$1^3/_4$a
14	5.4	7.4	6.6	6.5	2.7	728.6	728.8	727.6	98	89	92	NE 1	E 1	NE 1	10	10	10	.	●° $3^1/_4$–$4^1/_4$a
15	5.6	9.0	5.5	6.7	3.1	723.2	719.8	718.7	95	70	93	NE 0	S 1	SW 0	10	2	0	.	
16	7.8	12.9	6.8	9.2	5.8	718.9	719.0	718.9	81	45	80	SW 1	W 2	SW 1	9	6	0	.	⸗
17	3.1	11.8	7.4	7.4	4.1	715.6	712.1	709.1	97	54	75	E 1	W 1	SE 0	2	4	0	2.0	⌙ l, a ≡°
18	6.3	9.4	6.4	7.4	4.3	706.5	701.1	**696.0**	95	80	90	N 1	NW 1	NW 1	10●	5	10	7.8	● $5^3/_4$–$9^1/_4$a, ● ⸗ 10P–$0^1/_2$a
19	3.7	7.0	4.6	5.1	2.1	699.1	700.4	702.0	81	42	76	W 1	SW 3	SW 2	5	5	10	0.1	⸗, ✳° 2P
20	5.2	8.5	6.9	6.9	4.1	705.1	706.6	710.4	59	47	59	WSW 4	SW 4	SW 3	4	3	5	.	⸗^{2}, ●° 11 $1/_4$a, $5^1/_2$–6P
21	4.3	5.6	11.2	7.0	4.3	709.4	706.6	704.3	80	92	57	S 1	SE 0	W 2	10●	9	10	5.2	● $7^1/_4$a–0P, ⸗ III
22	9.6	**17.6**	9.4	12.2	9.7	703.4	703.3	705.1	65	40	77	S 1	S 0	S 0	9	3	6	.	
23	6.6	8.6	5.0	6.7	4.3	705.2	706.3	708.3	88	82	97	SW 1	NE 1	NW 0	9	8	10	.	
24	5.1	5.3	5.6	5.3	3.1	706.6	708.9	712.2	98	92	100	NE 1	NW 1	E 0	10	10	10	3.2	●° 10a, ● $2^1/_4$–$10^1/_2$P
25	3.4	6.0	5.6	5.0	2.9	712.7	712.5	712.1	100	97	98	NW 1	NW 1	SW 1	10≡	10	10	0.2	a ≡^{2}, ≡° II
26	4.4	10.2	2.2	5.6	3.6	713.2	714.6	717.1	98	67	99	S 1	NW 0	N 0	10	6	7	.	
27	2.3	7.4	3.0	4.2	2.4	719.5	721.6	722.9	100	75	98	E 1	N 0	NW 0	10	4	7	.	≡° I, III
28	1.8	5.0	4.0	3.6	1.9	723.6	724.1	725.9	99	95	96	SE 1	NW 0	NE 1	10	10	10	.	
29	2.4	4.1	1.5	2.7	1.2	727.9	728.4	**729.3**	100	100	100	E 1	NW 1	E 1	10	10	10≡	.	≡° l, p, ≡^{2} a, $3^1/_2$P–n
30	0.4	3.0	3.4	2.3	0.9	728.9	728.2	727.4	100	100	95	E 1	E 0	SE 0	10≡	10	10	.	≡^{2} n–$9^1/_2$a
																		Summe	
Mittel	4.2	8.5	5.4	6.1	—	717.3	716.9	717.3	92	72	88				8.9	6.2	7.0	44.5	

$\lambda = 8^\circ 30'$, $\beta = 47^\circ 3'$,
$Hb = 1787.3^m$, $G = -0.11\,{}^m/_m$.

Rigi-Kulm.

November 1911.
Beobachter: *M. Bissig.*

1	0.1	1.2	0.6	0.6	0.1	617.8	617.9	617.9	72	80	98	NW 0	W 0–1	N 0	7	1	10≡	.	≡ III
2	1.5	6.1	3.7	3.8	3.4	616.2	616.0	615.8	38	25	39	S 0	SW 0	W 1	0	0	3	.	
3	1.0	3.2	3.2	2.5	2.2	616.7	617.6	618.1	82	43	46	NW 2	W 2	W 1	3	0	0	.	
4	4.0	4.4	5.0	4.5	4.3	618.6	618.9	619.3	31	55	25	N 1	N 1	W 2	5	7	7	.	
5	6.6	**8.6**	8.0	7.7	7.6	617.3	616.8	615.4	23	25	24	NW 2	W 4	W 4	10	5	5	12.7	p ⸗^{2}
6	1.2	−0.6	−2.2	−0.5	−0.5	614.4	615.2	616.0	100	99	100	NW 2	W 3	W 2	10●	10≡	10≡	7.7	● n–l, ✳, ⸗ II, p ≡ ✳ ✳
7	−4.6	−2.2	−4.2	−3.7	−3.5	617.1	617.2	616.6	98	100	98	NW 1	W 2	W 0	3	1	1	.	
8	−2.4	0.4	1.0	−0.3	0.0	614.9	613.9	611.8	87	51	41	SW 0	NW 1	SW 3	0	1	10	.	⸗ 3^P–n
9	0.9	1.8	0.8	1.2	1.6	608.6	607.4	606.8	54	51	58	S 4	S 4	W 2	10	9	10	.	⸗^{2} n–5^P, ≡° II
10	−1.8	−2.2	−2.0	−2.0	−1.5	609.3	610.0	611.3	98	98	97	N 0	N 0	N 0	10	10≡	10	5.5	✳ 9a–p, ≡ II ✳
11	−3.4	−1.9	−1.7	−2.3	−1.7	612.8	613.3	613.9	97	98	38	N 1	NW 0	NW 0	10≡	8≡	0	.	≡ n–II ✳ ✳
12	2.6	4.0	1.6	2.7	3.4	612.8	612.2	611.8	19	18	30	S 0	S 2	S 0–1	8	10	10	2.1	n ($^{12}/_{13}$) ✳ ✳ ✳
13	−2.5	−2.2	−2.2	−2.3	−1.5	612.1	613.8	617.7	98	98	100	NW 3	NW 0	W 0	10≡*	10*	10*	**16.7**	≡ ⸗ ⸗ I, ✳ ✳ ✳ ✳
14	−3.0	−2.1	1.6	−1.2	−0.3	619.9	620.5	620.3	98	100	75	E 2	NE 3	NE 2	10≡	1	1	.	≡ l, ⸗ II ✳ ✳ ✳
15	4.7	7.0	2.8	4.8	5.8	617.1	615.4	613.9	26	21	46	W 0	N 1	W 4	3	0	0	.	⸗^{2} III ✳ ✳
16	−0.4	1.4	−0.6	0.1	1.2	613.2	613.8	613.7	100	52	85	NW 2	N 1	NW 0–1	10≡	10	0	.	≡ I ✳ ✳ ✳
17	3.6	6.1	1.4	3.7	5.0	611.0	608.9	606.3	**17**	19	36	W 0	S 2	S 0–1	5	5	0	0.2	✳ ✳ ✳
18	−2.2	0.6	0.8	−0.3	1.1	602.3	598.0	**594.1**	98	41	38	W 1	S 3	S 3	10≡	3	3	2.5	≡ l, p ⸗, n ✳ ✳ ✳
19	−5.0	**−5.8**	−4.6	−5.1	−3.6	594.5	596.1	596.8	95	98	98	NW 2	NW 3	NW 4	10	8	10≡*	0.4	≡° l, p ⸗, ≡ ⸗ ✳° ⸗^{2} ✳ ✳
20	−4.6	−4.2	−3.4	−4.1	−2.5	600.3	601.9	604.5	95	98	75	NW 3	N 4	NW 4	10*	10	3	0.3	✳° ⸗ l, ⸗^{2} [III ✳ ✳
21	−2.4	2.8	2.0	0.8	2.5	605.3	602.9	601.9	51	38	35	SE 1	W 4	SW 2	10*	10	3	.	✳° I, ⸗^{2} II ✳ ✳ ✳
22	4.7	6.1	6.4	5.7	7.5	601.4	602.1	604.4	26	23	25	W 0	S 4	S 4	7	2	3	.	p ⸗^{2} ✳ ✳ ✳
23	3.8	5.6	5.2	4.9	6.8	604.5	604.1	605.1	51	43	35	W 1	S 4	S 4	10	9	7	0.6	p n ⸗^{2} ✳ ✳ ✳
24	4.8	3.0	−0.4	2.5	4.5	603.1	604.7	607.4	45	58	100	S 4	W 4	W 1	9	10	10*	3.1	●° $6^1/_2$a, ⸗^{2} n–II, ✳ III ✳ ✳
25	−0.7	0.6	−1.0	−0.4	1.7	607.7	607.7	607.4	93	70	100	SE 1	NW 0	W 1	3	1	10≡	.	≡ III ✳ ✳ ✳
26	−1.2	2.1	−0.1	0.3	2.5	608.1	609.4	610.9	43	55	40	W 0–1	S 3	S 4	3	5	3	.	p n ⸗^{2} ✳ ✳ ✳
27	1.4	3.6	2.2	2.4	4.7	613.9	615.6	616.5	29	26	37	S 4	S 2	S 4	3	3	5	.	⸗^{2} I, III–n ✳ ✳ ✳
28	3.9	5.0	4.0	4.3	6.7	617.3	618.1	619.7	33	34	33	S 3	S 3	S 0	9	5	1	.	⸗ n–II ✳ ✳ ✳
29	2.0	4.1	2.2	2.8	5.3	621.1	621.8	**621.9**	60	45	60	N 0	E 0	E 0	3	3	1	.	
30	1.9	4.2	1.0	2.4	4.9	621.3	621.0	619.9	47	52	52	NE 0	NE 1	NE 0	3	0	0	.	
																		Summe	
Mittel	0.5	3.0	1.0	1.2	—	611.7	611.7	611.9	64	57	59				6.8	5.2	4.9	51.8	

November 1911.
Beobachter: *J. Camenisch.*

Bevers.

$\lambda = 9^\circ 53'$, $\beta = 46^\circ 33'$,
$Hb = 1712.6^m$, $G = -0.12\,^m/_m$.

Tag	Lufttemperatur					Luftdruck			Relative Feuchtigkeit			Windrichtung und Stärke			Bewölkung			Niederschlag	Witterung
	7^{30}	1^{30}	9^{30}	Mittel	Abweich. vom Normalst.	7^{30}	1^{30}	9^{30}	7^{30}	1^{30}	9^{30}	7^{30}	1^{30}	9^{30}	7^{30}	1^{30}	9^{30}		
1	-5.7	4.3	-6.8	-2.7	-2.1	623.4	623.1	623.5	94	53	85	— 0	— 0	— 0	10	10	0	.	
2	-10.2	3.9	-5.6	-4.0	-3.2	623.3	622.2	623.1	90	62	85	— 0	— 0	— 0	0	0	0	.	
3	-9.2	3.0	-5.4	-3.7	-2.7	623.2	623.3	624.9	91	64	84	— 0	— 0	NE 1	5	0	0	.	
4	-9.0	3.6	-5.7	-3.7	-2.5	625.8	625.1	625.8	85	56	74	— 0	— 0	— 0	2	7	3	.	
5	-8.6	**6.0**	-1.4	-1.3	0.1	624.7	622.8	622.2	82	**47**	77	— 0	SW 2	— 0	1	8	8	.	
6	-3.2	**6.0**	1.2	1.3	2.9	620.2	619.5	621.0	89	67	77	— 0	— 0	W 2	8	7	7	.	
7	-2.4	2.0	-7.9	-2.8	-1.0	622.6	622.4	623.0	76	48	71	N 1	— 0	N 1	5	1	0	.	
8	-10.0	2.6	-1.6	-3.0	-1.0	622.1	620.5	620.1	86	60	80	— 0	SW 1	W 1	1	2	8	.	
9	-1.6	0.2	0.1	-0.4	1.8	617.8	616.6	615.7	95	89	99	— 0	— 0	— 0	10*	10*	10*	22.6	✳, n ✳
10	0.6	1.2	0.2	0.7	3.1	616.0	616.1	617.0	99	91	100	— 0	— 0	W 1	10*	10*	10*	**52.0**	✳², n ✳²
11	-1.0	2.6	-7.2	-1.9	0.6	617.8	618.5	621.7	100	76	80	NE 1	— 0	— 0	10*	4	1	0.4	✳° l
12	**-12.2**	0.8	-1.0	-4.1	-1.4	622.3	621.2	620.0	88	58	70	— 0	— 0	W 1	1	9	9	.	
13	-4.0	-1.0	-1.5	-2.2	0.7	618.2	619.0	622.9	88	89	99	— 0	N 1	N 1	10	10*	10*	5.5	p n ✳
14	-5.0	0.2	-9.4	-4.7	-1.6	627.1	627.5	627.1	85	72	89	N 1	— 0	W 1	10	0	0	.	
15	-10.2	1.4	-7.6	-5.5	-2.2	624.6	622.1	620.5	90	65	85	SE 1	— 0	N 1	0	0	0	.	
16	-10.6	0.6	-7.4	-5.8	-2.3	619.1	619.0	620.1	91	64	87	NE 1	— 0	N 1	2	1	0	.	
17	-12.0	3.2	-5.0	-4.6	-0.9	618.9	617.0	614.5	85	57	88	— 0	— 0	W 1	5	5	0	1.3	n (17/18) ✳
18	-2.4	0.3	-0.1	-0.7	3.1	609.5	606.3	603.2	99	94	82	— 0	— 0	S 2	10	10*	6	16.5	✳
19	-2.0	1.0	-10.2	-3.7	0.3	**600.6**	601.7	603.8	91	49	79	N 2	SE 2	W 1	10*	6	0	3.2	a ✳
20	-11.2	-1.2	-10.4	-7.6	-3.4	606.9	607.8	610.9	79	61	75	— 0	S 2	N 1	6	8	0	.	
21	-11.7	0.6	1.1	-3.3	1.1	611.9	611.4	610.7	84	62	88	— 0	W 2	N 2	6	8	10	.	
22	2.4	4.4	2.2	3.0	7.6	610.7	611.4	612.8	90	68	88	N 2	SE 1	S 1	8	5	9	4.9	n (22/23) ●
23	2.2	0.4	0.4	1.0	5.7	611.1	612.8	614.0	92	96	99	N 3	N 1	N 1	10●	10*	10*	44.0	✳ l, a ●², ✳² o¹/₂P–n
24	1.8	3.6	-0.4	1.7	6.6	611.5	611.6	613.7	95	84	95	N 1	— 0	N 1	10●	10	4	.	●° l
25	-7.2	-1.5	-6.8	-5.2	-0.1	613.9	613.0	613.4	91	74	86	— 0	— 0	N 1	10	0	0	.	
26	-12.0	-1.6	-5.8	-6.5	-1.2	615.4	616.9	619.5	85	68	83	— 0	SW 1	N 1	0	7	0	.	
27	-7.2	1.8	-1.8	-2.4	3.0	621.3	622.4	625.7	90	69	84	— 0	SW 1	W 1	9	8	3	.	
28	-1.4	3.1	0.6	0.8	6.4	626.0	626.4	627.1	95	76	94	S 1	— 0	— 0	9	10	10*	4.4	✳ III, n ●
29	-0.9	3.5	-5.0	-0.8	5.0	627.3	627.8	**628.7**	96	74	89	— 0	— 0	W 1	10	8	0	.	
30	-9.6	-2.0	-8.4	-6.7	-0.7	627.9	626.3	626.0	90	70	78	— 0	— 0	NE 1	4	0	0	.	
Mittel	-5.8	1.8	-3.9	-2.6	—	618.7	618.4	619.1	90	69	85				6.4	5.8	3.9	Summe 154.8	

November 1911.
Beobachter: P. *F. Landolt.*

Sitten.

$\lambda = 7^\circ 21'$, $\beta = 46^\circ 14'$,
$Hb = 540^m$, $G = 0.00\,^m/_m$.

1	3.6	10.4	6.3	6.8	0.0	718.6	718.4	719.5	95*	53	77	S 0	S 1	E 0–1	10	5	0	.	
2	1.4	11.0	5.2	5.9	-0.7	718.4	716.2	717.5	96	45	90	E 0	SE 0	E 0	0	0	0	.	⌙² l
3	2.8	10.3	5.2	6.1	-0.3	719.0	718.1	720.2	96	53	100	E 0	SW 1	E 0	4	1	0	.	⌙² l
4	3.0	10.9	6.0	6.6	0.4	721.4	720.3	721.3	91	49	79	NE 0–1	SW 0–1	E 0	0	6	4	.	⌙² l
5	3.8	12.4	8.5	8.2	2.1	720.6	717.4	715.9	77	40	73	E 0	E 0–1	E 0–1	3	5	6	0.7	
6	7.7	11.2	7.8	8.9	3.0	714.9	715.9	718.8	100	70	68	NE 0	SW 1	SW 0–1	10●	3	0	1.2	● n–9¹/₂ª
7	2.0	8.0	3.8	4.6	-1.1	720.7	719.3	719.5	91	57	71	NE 0	S 0	E 0–1	2	1	0	.	
8	**-0.2**	8.3	5.6	4.6	-0.9	718.2	714.2	713.9	92	40	51	NE 0–1	E 0	E 0	0	4	0	.	
9	6.6	12.0	7.4	8.7	3.4	710.1	707.7	708.9	90*	45	72	E 0	SW 0–1	E 0	10	10	8	0.6	n (9/10) ●°
10	4.8	7.0	3.6	5.1	0.0	710.4	711.9	714.7	100	80	100	S 0	SW 1	SW 0	10	10	10●	2.0	● 3P–n
11	3.4	8.7	3.8	5.3	0.4	716.1	716.2	717.7	100	60	83	S 0	S 0	NE 0	10	4	0	.	
12	1.2	8.3	3.2	5.9	1.2	715.2	713.2	713.5	77	61	49	NE 0–1	NE 0	E 0	4	10	10	1.9	
13	4.9	6.4	4.8	5.4	0.8	713.9	715.8	720.2	100	94	86	E 0	S 0	E 0–1	10●	10	8	.	● n–l
14	3.6	9.0	4.4	5.7	1.3	723.5	723.0	723.4	80	54	86	N 0	SE 0	E 0	0	0	0	.	
15	1.2	10.4	4.8	5.5	1.3	719.6	715.8	715.6	100	49	90	E 0	E 0	E 0	0	0	0	.	
16	3.2	9.6	4.8	5.9	1.8	715.3	715.3	716.0	92	65	90	E 0	S 0–1	E 0–1	1	4	0	.	
17	1.6	10.1	6.8	6.2	2.3	712.8	708.6	705.9	91	47	55	NE 1	E 0–1	SW 0	4	10	1	2.0	⌙² l
18	6.0	8.4	7.8	7.4	3.7	703.7	698.4	**693.5**	98	66	72	S 0	SE 0–1	SW 1–2	10●	2	10●	**7.4**	● n–9ª, 7P–n
19	3.4	7.0	1.2	3.9	0.4	695.8	698.2	703.4	91	47	100	NE 0–1	SW 1–2	SE 0–1	10	9	10●*	5.4	● 5–9¹/₄P, ● ✳–n
20	1.1	6.0	4.0	3.7	0.4	704.0	704.9	707.8	100	81	92	S 0	E 0	E 0	10●*	9	8	1.0	● ✳ n–8¹/₂P
21	2.7	7.0	6.2	5.3	2.1	707.5	703.3	702.9	92	71	64	E 0	E 0	E 0	10●	9	2	0.8	a ●°
22	5.2	**13.3**	10.4	9.6	6.6	701.7	701.6	702.3	71	40	53	NE 0	SE 0	NE 0–1	4	5	10	4.8	
23	8.0	11.8	9.4	9.7	6.9	702.4	703.0	704.2	87	62	64	NE 0	NE 1	NE 0	10●	8	1	4.7	● n–7³/₄ª
24	5.8	8.9	6.4	7.0	4.4	703.3	704.2	707.4	96	97	100	SE 0–1	S 0–1	E 0	10	10●	2	3.0	● 1P–p
25	5.6	9.3	5.4	6.8	4.3	708.9	708.1	708.4	95	66	100	E 0	SW 0–1	E 0	10	2	0	.	
26	1.8	7.6	5.6	5.0	2.7	710.5	710.9	714.7	85	48	52	E 0	E 0	E 0–1	0	4	0	.	⌙² l
27	4.6	11.7	8.6	8.3	6.2	716.6	717.1	719.3	57	**37**	57	E 0–1	SE 0–1	NE 0-1	10	2	0	.	
28	9.2	**13.3**	7.8	10.1	8.1	719.0	718.7	721.6	55	55	97	E 0	SW 0	S 0	10	10	3	.	
29	3.5	9.6	5.0	6.0	4.2	723.8	723.4	**724.8**	84	50	78	S 0	E 0–1	E 0	2	1	0	.	
30	1.4	7.4	2.2	3.7	2.1	724.1	722.6	723.4	87	58	92	E 0	S 0	NE 0	0	0	0	.	⌙² l
Mittel	3.8	9.5	5.9	6.4	—	713.8	712.7	713.9	89	56	78				5.8	5.1	3.1	Summe 35.5	

$\lambda = 8° 57'$, $\beta = 46° 0'$,
$Hb = 276.2^m$, $G = 0.03\,^m/_m$.

Lugano.

November 1911.
Beobachter: *G. Malatesta.*

Tag	Lufttemperatur					Luftdruck			Relative Feuchtigkeit			Windrichtung und Stärke			Bewölkung			Niederschlag	Witterung
	7^{30}	1^{30}	9^{30}	Mittel	Abweich. vom Normalst.	7^{30}	1^{30}	9^{30}	7^{30}	1^{30}	9^{30}	7^{30}	1^{30}	9^{30}	7^{30}	1^{30}	9^{30}		
1	6.4	12.8	5.4	8.2	−0.4	741.5	741.0	741.5	97	78	93	N o	NNE o	N o	10	10	0	.	
2	3.8	13.4	9.8	9.0	0.6	741.5	740.9	741.3	93	76	90	N o	E o	NW o	0	8	10	.	
3	4.8	13.0	6.8	8.2	−0.1	741.5	740.9	743.0	98	76	94	N o	SE o	N o	3	0	0	.	
4	3.6	12.4	6.2	7.4	−0.7	743.9	743.3	743.8	95	76	93	N o	SE o	N o	0	0	7	.	
5	3.6	12.6	8.2	8.1	0.2	743.7	742.0	740.3	95	75	96	NNE o	ESE o	N o	2	3	5	.	
6	8.6	13.0	6.0	9.2	1.4	738.5	737.2	738.8	93	76	94	NNW o	NNW o	N o	10	8	0	.	
7	4.2	13.8	8.8	8.9	1.3	739.9	740.7	742.1	97	66	92	N o	E o	WSW 1	0	0	10●	2.7	● 8–10$^3/_4$p
8	5.0	11.0	8.4	8.1	0.7	741.1	740.7	740.2	96	79	90	N o	SE o	SW o	0	10	10	1.6	
9	6.6	6.4	4.8	5.9	−1.4	738.3	737.3	735.4	95	94	97	NNE o	NNW o	NW o	10●	10●	10●	48.7	● $6^1/_2{}^a$–$1^1/_2{}^p$, ●^{2}–n
10	5.6	7.6	7.6	6.9	−0.2	734.7	734.8	735.7	98	98	98	N o	NNW o	NNE o	10●	10●	10●	24.5	●^{2} n–$11^1/_2{}^p$
11	7.2	10.8	5.4	7.8	0.8	736.6	737.6	739.9	99	90	96	NNW o	NNW o	N o	10	8	0	.	
12	2.8	10.2	7.4	6.8	0.0	741.5	741.1	739.3	95	85	95	N o	NW o	NW o	0	8	10	2.6	
13	6.4	9.0	8.0	7.8	1.1	737.5	736.6	738.0	97	91	92	NW o	W o	NNW o	10●	10	10	3.4	● $5^1/_2$–$10^1/_2{}^a$
14	8.4	**16.0**	6.8	10.4	3.9	743.7	744.3	744.7	84	**58**	88	N o	SW o	N o	10	0	0	.	
15	4.6	10.8	5.0	6.8	0.4	743.4	741.2	738.0	92	84	96	N o	NNE o	N o	7	10	0	.	
16	3.8	11.4	5.6	6.9	0.7	737.0	736.5	738.3	93	80	95	N o	NNE o	NNW o	2	2	0	.	
17	3.8	9.8	4.6	6.0	0.0	737.4	735.6	731.3	95	86	95	N o	NNE o	NNE o	8	8	10	10.2	
18	6.4	4.8	5.0	5.4	−0.5	728.0	724.4	720.9	99	94	96	N o	NNW o	N o	10≡	10	10≡	28.8	●^{2} 6^a–$4^1/_2$, $9^1/_2{}^p$–$0^1/_2{}^a$, ≡ I, [III
19	4.6	11.0	3.6	6.4	0.7	**715.5**	716.8	720.4	97	77	81	NNW o	NE o	NE o	7	0	0	.	
20	**1.0**	10.0	3.6	4.9	−0.7	724.5	725.5	729.2	85	**58**	78	N o	E o	NNE o	0	2	0	.	
21	2.6	9.0	7.0	6.2	0.8	730.3	730.0	730.2	77	61	77	NW o	W o	N o	7	10	8	3.0	
22	5.6	7.8	8.0	7.1	1.8	728.8	728.9	731.1	98	97	95	NNW o	N o	N o	10	10	10	30.0	● 5–$6^1/_2{}^a$, $7^1/_2$–8p
23	9.0	9.2	9.4	9.2	4.1	728.1	728.5	729.3	95	98	98	NE o	N o	N 1	10●	10●	10●	**68.2**	●^{2} $3^1/_2{}^a$–n, ⛆ 10–$10^1/_2{}^a$,
24	8.6	7.6	6.8	7.7	2.7	728.1	729.9	730.7	98	95	99	N o	NNW o	NW o	10●	10●	8	23.6	●^{2} n–3^p [n ⛆ ⛅
25	4.0	10.4	5.2	6.5	1.6	730.8	729.4	730.3	97	90	98	N o	SSE o	NW o	0	0	0	.	≡^{2} $9^1/_2$–$10^1/_2{}^a$
26	4.8	9.4	7.4	7.2	2.4	733.4	735.8	737.6	97	86	97	N o	NW o	N o	10	10	8	1.6	● $11^1/_4{}^a$–$0^1/_4{}^p$
27	7.0	10.6	8.4	8.7	4.1	741.3	743.3	744.5	92	83	97	N o	N o	W o	10	10	10	5.0	●° 6p
28	8.0	9.2	8.4	8.5	4.0	746.7	747.2	747.3	97	97	99	NW o	NW o	NW o	10●	10●	10●	10.8	● $2^1/_2{}^a$–$9^1/_2{}^p$, ≡ 10–$10^1/_2{}^a$
29	7.8	11.0	6.8	8.5	4.2	747.0	747.2	**747.8**	90	87	97	N o	W o	N o	10	8	6	.	
30	3.8	10.8	5.6	6.7	2.5	746.7	745.3	744.4	98	84	92	NNW o	SW o	N o	0	0	0	.	
Mittel	5.4	10.5	6.7	7.5	—	737.0	736.8	737.2	94	83	93				6.2	6.2	5.7	Summe 264.7	

$\lambda = 7° 35'$, $\beta = 47° 33'$,
$Hb = 277.2^m$, $G = 0.13\,^m/_m$.

Basel.

November 1911.
Bernoullianum.

1	6.8	9.8	6.5	7.7	1.3	743.2	743.3	743.7	78	74	78	S o	W o	W o	7≡	3	4	.	≡ I
2	1.6	7.9	3.6	4.4	−1.8	742.5	740.2	740.7	96	74	100	W o	E 1	E o	10≡	4	10≡	.	≡ I, ≡^{2} 7^p–n
3	2.0	6.5	3.8	4.1	−2.0	742.7	742.4	742.7	96	90	100	E 1	E 1	E o	10≡	2≡	10≡	.	≡, ≡^{2} 6^p–n
4	2.0	10.6	6.6	6.4	0.5	743.4	743.3	742.9	100	75	90	E 1	E o	E 1	5	4	8	.	
5	5.2	**14.6**	12.2	10.7	5.0	739.9	737.2	736.5	88	58	79	SE 1	SE o	SE o	8	6	9	1.1	●° $7^{1/2}{}^p$–n
6	8.4	12.1	8.2	9.6	4.0	738.9	740.1	742.1	90	60	78	W 1	NW 1	SW 1	10●	5	4	0.1	● 0–$0^1/_4$, $2^1/_4$–$6^3/_4{}^a$, ●° 7^1 2,
7	3.0	9.2	3.8	5.3	−0.1	744.0	743.2	743.0	90	64	90	SE 1	N 1	N 1	4	3	0	.	[$8^3/_4{}^p$
8	−0.2	9.1	5.8	4.9	−0.4	740.6	737.3	734.9	92	57	70	N 1	E 2	NW 3	1≡	3	9	6.6	≡ ⌴ I, ⛆ III
9	5.0	6.4	6.3	5.9	0.8	732.2	730.9	732.6	94	94	98	SE o	SE o	SE o	10●	10●	10●	**20.0**	● $1^3/_4{}^a$–$2^1/_4{}^a$
10	5.0	6.2	6.1	5.8	0.8	734.5	735.5	737.4	94	94	97	SE 1	SE 1	SE 1	10●	10●	10●	4.5	● 0^a–$1^3/_4{}^p$, ● III
11	4.2	9.4	4.4	6.0	1.1	739.0	738.8	738.4	97	63	84	SE 1	SE 1	SE o	8	7	0	.	[● 9p–n
12	3.8	6.4	5.6	5.3	0.6	735.5	734.4	735.1	80	76	97	SE 1	SE o	SE o	10≡	10	10●	9.5	≡ I, ●° 0, $1^3/_4$, $4^1/_2$, $7^3/_4{}^p$,
13	6.4	8.8	6.8	7.3	2.7	737.5	739.8	745.4	94	78	88	W 1	SW 1	SW 1	10●	10●	10	1.0	● n–$8^1/_4$, $10^1/_4{}^a$, $1^1/_2$–$5^3/_4{}^p$
14	4.6	6.8	6.4	5.9	1.5	**748.4**	**748.4**	747.1	93	88	95	SW o	NW o	NW o	10	8	10	.	≡ $8^1/_2{}^a$
15	7.4	10.6	5.6	7.9	3.6	741.4	737.0	737.0	80	65	88	NE 1	E 1	E 1	4	2	2	.	
16	7.1	13.1	9.6	9.9	5.8	737.8	737.3	737.3	84	57	74	SW 1	SW o	SW o	5	9	0	.	
17	4.0	12.0	7.8	7.9	3.9	733.0	729.7	726.5	93	63	81	E 1	E 1	E 1	5	8	10	5.5	[$8^3/_4{}^p$–0^a
18	6.6	10.6	7.4	8.2	4.4	724.3	718.1	**715.1**	97	69	86	E 1	E 1	E 2	10≡	1	10●	4.4	● $1^1/_2$–$6^3/_4{}^a$, ≡ I, ●° 7p, ●
19	5.4	7.6	5.8	6.3	2.6	717.2	718.5	719.7	73	55	71	E 1	SW 3	W 4	2	5	7●	0.1	● $5^3/_4$–$6^1/_4{}^a$, p ⛆^{2}, ●° $9^1/_4$–
20	6.0	10.0	8.6	8.2	4.7	723.8	724.6	729.0	65	**47**	61	SW 1	SW 2	SW 2	4	5	10	0.2	n ($^{20}/_{21}$) ●° [$9^1/_2{}^p$
21	5.4	5.8	5.0	5.4	2.0	727.2	724.3	722.5	85	94	100	SW 1	E o	E o	10●	10●	10≡	9.5	● $7^1/_2{}^a$–$2^1/_4$, 6–$6^1/_4{}^p$, ≡ III-
22	4.0	5.2	4.0	4.4	1.2	721.4	721.5	724.7	100	97	100	E o	NW o	NW o	10≡	10≡	10≡	0.2	●° $6^3/_4$–$8^1/_4{}^a$, ≡ [n
23	3.6	4.6	4.4	4.2	1.1	724.0	726.0	727.8	100	93	97	NW o	W o	N o	10	10	10≡	.	≡ III-n
24	3.4	4.0	4.6	4.0	1.0	726.2	728.4	730.8	97	97	100	N 1	NW o	NW o	10≡	10≡	10≡●	4.8	≡, ● 4–$11^3/_4{}^p$
25	4.2	4.7	2.4	3.8	1.0	731.8	731.6	731.2	97	98	96	NW o	N 1	N o	10≡	10≡	10●	3.4	≡ n–II, ● $3^1/_2{}^p$–$1^1/_4{}^a$
26	2.6	6.6	6.3	5.2	2.5	731.5	732.7	735.0	96	91	90	N o	N o	N o	10≡	8	3	0.2	● $5^1/_2$–$5^3/_4{}^a$, ≡ I
27	6.0	7.0	7.0	6.7	4.2	737.5	739.7	741.5	76	83	77	E 2	E 1	E 1	10	10	10	2.6	●° $8^1/_2$, $9^1/_2{}^a$, ● $11^3/_4{}^a$–6p
28	4.8	7.4	7.2	6.5	4.1	742.8	742.5	744.6	84	77	80	E 1	NE 1	NE 1	10●	5	10●	0.2	●° $7^1/_2$, $8^1/_2{}^a$, $8^3/_4$, $9^1/_2{}^p$
29	5.6	9.2	3.4	6.1	3.8	746.0	746.6	748.3	85	76	98	E 1	SE 1	SE o	10	2	10≡	.	≡ $7^1/_2{}^p$–n
30	2.0	5.1	4.6	3.9	1.7	748.0	747.0	746.4	96	89	100	SE 1	E o	SE o	10≡	10≡	9	.	≡ n–II
Mittel	4.5	8.2	6.0	6.2	—	735.9	735.3	736.0	90	76	88				8.1	6.7	7.8	Summe 73.9	

November 1911.
Observatorium.

Säntis.

$\lambda = 9° 20'$, $\beta = 47° 15'$,
$Hb = 2500.1^m$, $G = -0.16\,^m/_m$.

Tag	Lufttemperatur					Luftdruck			Relative Feuchtigkeit			Windrichtung und Stärke			Bewölkung			Niederschlag	Witterung
	7^{30}	1^{30}	9^{30}	Mittel	Abweich. vom Normalst.	7^{30}	1^{30}	9^{30}	7^{30}	1^{30}	9^{30}	7^{30}	1^{30}	9^{30}	7^{30}	1^{30}	9^{30}		
1	-4.6	-2.6	-4.8	-4.0	-0.8	565.2	565.1	565.1	87	90	87	WSW 2	WSW 3	WSW 2	6	2	0	.	≡ $3^{1}/_{4}$-4P
2	-3.1	-0.6	-1.8	-1.8	1.5	563.9	564.0	564.1	79	75	94	WSW 3	WSW 3	WSW 3	1	0	7	.	
3	-3.0	-2.5	-2.4	-2.6	0.9	564.3	565.1	565.8	100	98	95	WSW 4	WSW 4	WSW 4	10≡	3	3	.	≡ n-$8^{1}/_{2}{}^{a}$, 🌧
4	-2.4	-0.1	-1.3	-1.3	2.3	566.3	567.1	566.7	83	64	**52**	WSW 4	WSW 4	WSW 5	5	8	6	.	🌧, 🌧² III-n
5	0.0	**2.5**	1.2	1.2	4.9	565.6	564.7	563.2	84	74	80	WSW 5	SW 5	WSW 5	5	7	9	4.9	🌧², n ✳
6	-2.2	-5.5	-6.6	-4.8	-0.9	562.1	561.8	562.9	100	100	100	WSW 3	WSW 3	WSW 1	10≡*	10≡*	10≡*	**15.2**	≡² ✳ ☩² V
7	-10.3	-7.6	-8.3	-8.7	-4.7	563.5	563.8	563.5	96	80	70	WSW 2	SW 2	SW 0	3	1	5	.	
8	-6.4	-3.6	-5.4	-5.1	-1.0	562.3	561.7	560.0	74	80	63	SW 2	SSW 1	SW 2	1	2	9	.	⏀ 9P-n
9	-4.4	-2.1	-3.4	-3.3	1.0	557.6	556.4	556.5	88	85	98	SSW 3	SSW 4	SSW 4	9	9	7	.	🌧 [$10^{1}/_{4}{}^{a}$-n
10	-3.7	-2.2	-5.4	-3.8	0.6	557.1	557.8	558.9	100	100	100	SSW 2	WSW 3	WSW 1	10	10≡*	10≡*	14.4	a ≡°, V°, ≡ $9^{3}/_{4}{}^{a}$-n, ✳
11	-7.4	-7.2	-6.4	-7.0	-2.5	559.6	560.2	561.5	100	98	69	WSW 1	WSW 3	WSW 4	10≡*	2	3	2.4	✳ n-0P, 🌧 III
12	-2.1	0.4	-3.8	-1.8	2.8	561.5	560.9	560.2	62	65	73	SW 1	SW 1	SSW 2	7	9	9	0.2	[$6^{1}/_{2}$P
13	-6.2	-5.7	-6.9	-6.3	-1.5	559.7	561.0	564.8	98	100	100	SSW 1	WNW 0	NW 0	10≡*	10≡*	10≡*	14.2	≡ ✳ V° 7^{a}-n, ☩° n-
14	-3.7	-0.7	1.0	-0.9	4.0	567.6	568.6	568.6	98	81	67	NE 1	WNW 1	E 1	2	6	1	.	[n ✳°
15	1.1	1.7	-3.5	-0.2	4.8	566.2	564.1	561.3	56	62	97	SE 1	WSW 4	WSW 5	1	1	2	0.6	p ☩° 🌧, ☩² 🌧² $7^{1}/_{2}$P-n,
16	-4.6	-5.1	-3.7	-4.5	0.6	560.6	561.3	561.5	100	93	86	WSW 3	WSW 4	WSW 4	10≡	7	1	.	≡ n-$11^{3}/_{4}{}^{a}$, ☩° n-$o^{1}/_{2}$P,
17	-1.7	0.4	-1.5	-0.9	4.3	559.7	557.9	554.9	57	62	68	SW 3	SW 2	S 2	4	5	2	.	[V n-$1^{1}/_{2}$P, p 🌧
18	-3.8	-3.1	-4.6	-3.8	1.6	550.7	547.1	543.6	96	90	83	S 3	SW 4	S 4	9	9	3	5.9	≡ 10^{a}-oP, p 🌧, ☩ 6P-n
19	-9.7	-10.1	-10.0	-9.9	-4.4	**541.9**	543.1	544.8	100	100	100	WSW 3	WSW 3	WSW 3	10≡*	10≡*	10≡*	6.0	✳n-$3^{1}/_{2}$, $6^{3}/_{4}$P-n, ☩² *)
20	**-10.4**	-9.2	-9.2	-9.6	-4.0	546.6	548.2	551.3	100	100	100	WSW 4	WSW 3	WSW 3	10≡*	10≡	10≡*	7.1	🌧 I, ✳ n-1, $2^{1}/_{2}$P-n, *)
21	-7.2	-4.0	-3.9	-5.0	0.7	552.3	551.6	551.2	100	96	87	WSW 2	WSW 4	WSW 3	10≡*	9	3	3.2	≡ ✳ n-$10^{1}/_{2}{}^{a}$, a ☩² V²,
22	-3.0	-1.2	-0.5	-1.6	4.2	550.9	552.4	554.6	87	80	87	SW 4	SSW 4	SSW 4	6	4	8	.	🌧 [🌧 $10^{1}/_{2}{}^{a}$-n
23	-0.6	-0.8	-0.6	-0.7	5.2	552.9	554.5	555.7	88	94	87	SSW 4	S 4	SE 3	5	9	9	0.2	✳° $9^{1}/_{2}$-$9^{3}/_{4}{}^{a}$, 🌧
24	-0.6	-0.3	-4.0	-1.6	4.5	553.8	554.0	555.8	85	87	100	SE 3	WSW 3	SW 2	9	9	10≡	1.7	✳ 3-$5^{1}/_{2}$P, ≡ 4P-n
25	-4.8	-4.0	-5.8	-4.9	1.3	555.9	555.7	554.9	98	96	100	WSW 1	WSW 2	WSW 2	9	9	10≡*	3.8	p V, ≡ $2^{1}/_{4}$P-n, ✳ ☩
26	-7.7	-4.4	-4.2	-5.4	0.9	556.2	557.6	559.7	90	87	73	SW 0	SSW 2	SW 1	2	6	3	.	[$7^{1}/_{2}$P-n
27	-4.4	-0.9	-2.0	-2.4	4.0	562.2	564.2	565.4	70	73	85	NE 1	W 0	NW 3	2	4	4	.	
28	-1.2	-0.3	-1.7	-1.1	5.4	566.2	566.6	567.8	85	83	86	SW 3	SSW 3	W 2	7	7	6	.	
29	-2.6	-0.7	-2.4	-1.9	4.7	568.8	569.5	**569.9**	97	95	87	S 1	S 0	E 0	3	4	3	.	
30	-2.8	-2.2	-5.1	-3.4	3.3	568.9	568.3	567.0	79	84	81	NNE 1	SSW 0	W 0	1	1	0	.	
Mittel	-4.1	-2.7	-3.9	-3.6	—	559.7	559.8	560.0	88	86	85				6.2	6.1	5.8	Summe 79.8	*) **19.** V², ≡ n-4P, III-n *) **20.** ≡ ☩² V²

November 1911.
Beobachter: *D. Dittli.*

St. Gotthard (Hospiz).

$\lambda = 8° 34'$, $\beta = 46° 33'$,
$Hb = 2102.9^m$, $G = -0.14\,^m/_m$.

1	-0.7	0.5	-3.0	-1.1	0.6	593.9	593.9	594.0	39	43	58	N 1	N 1	N 1	9	4	1	.	
2	-1.6	1.6	-1.7	-0.6	1.2	593.2	593.1	593.4	62	54	73	NE 0	S 2	S 1	0	4	0	.	
3	-0.4	1.6	-1.1	0.0	2.0	593.4	594.1	595.2	40	50	62	SSE 1	N 0	N 0	6	0	0	.	
4	-1.8	**5.2**	0.9	1.4	3.5	595.6	595.9	596.0	60	35	**33**	N 0	S 0	N 0	1	7	3	.	
5	0.3	4.5	0.4	1.7	4.0	595.3	594.1	592.8	36	37	58	S 0	S 1	S 0	6	9	5	.	
6	-1.0	-0.7	-3.8	-1.8	0.6	591.3	590.9	592.2	90	100	96	S 0	N 2	N 3	10*	9≡	9≡	3.1	✳ $7^{1}/_{2}$-$10^{1}/_{4}{}^{a}$, p n ≡, 🌧
7	-5.6	-5.1	-5.2	-5.3	-2.7	592.8	592.6	592.9	94	95	56	N 2	N 1	N 0	10≡	1	1	.	≡ I [III
8	-5.4	-2.2	-3.5	-3.7	-1.0	591.7	591.0	590.2	65	67	95	S 1	SSW 2	S 2	0	9	10≡	7.0	≡ III, n ✳
9	-4.6	-3.0	-3.4	-3.9	-1.0	587.6	586.8	586.3	96	97	98	S 3	SE 2	SSE 3	10≡*	10*	10*	21.2	☩ 🌧 ≡ I, ✳, 🌧 III
10	-2.4	-1.6	-2.8	-2.3	0.7	586.3	586.8	587.9	98	91	95	S 2	S 1	E 0	10*	10*	10	14.6	✳ n-8P
11	-4.6	-3.9	-4.1	-4.2	-1.1	588.8	589.7	591.5	92	57	**33**	N 2	N 0	SE 1	10≡	1	1	.	≡ I
12	-3.8	-1.6	-3.6	-3.0	0.3	591.8	591.4	590.2	49	44	56	S 2	SE 3	SE 1	1	9	8	3.0	🌧 II, n ✳
13	-3.9	-4.2	-4.8	-4.3	-0.9	588.8	589.4	593.6	95	97	97	SSW 1	N 3	N 3	10*	10*	10*	16.6	✳, p ☩ 🌧
14	-5.0	2.8	0.0	-0.7	2.9	596.6	597.2	597.0	95	62	53	N 2	SE 0	N 1	10	1	0	.	
15	-1.6	1.6	-0.6	-0.2	3.5	594.6	593.0	590.9	65	56	39	S 0	S 1	N 1	0	0	1	.	
16	-3.2	-0.4	-3.2	-2.3	1.5	589.5	590.0	590.6	72	65	56	N 3	N 2	N 2	2	3	2	.	🌧 I
17	-1.4	0.1	-1.8	-1.0	3.0	589.0	587.8	584.8	57	55	70	S 2	S 2	S 2	4	5	7	5.2	n ($^{17}/_{18}$) ✳
18	-3.8	-1.8	-4.2	-3.3	0.8	579.7	577.2	573.1	97	84	98	S 2	SSE 2	SSE 3	10*	10*	10*	18.6	☩ I, ✳, ☩² 🌧 4P-n
19	-6.6	-5.4	**-6.8**	-6.3	-2.0	**571.2**	572.7	574.6	97	51	94	N 2	N 2	S 2	5	4	10*	2.4	✳ 8P-n
20	-6.7	-3.0	-4.8	-4.8	-0.4	577.7	579.1	581.8	80	59	50	SSE 0	S 0	N 2	10*	9	1	.	✳° I
21	-5.7	-2.9	-2.7	-3.8	0.7	582.7	582.6	581.7	75	67	96	SE 2	S 2	S 2	10	7	10	1.4	n ($^{21}/_{22}$) ✳
22	-1.4	-0.2	-0.6	-0.7	3.9	581.7	582.5	583.1	99	94	100	SSE 2	S 2	S 2	10	10*	10*	**41.0**	✳² 10^{a}-n
23	-0.4	-0.8	-0.2	-0.5	4.3	581.6	583.2	583.9	100	97	100	S 3	SW 2	SW 2	10*	10*	10*	32.0	🌧 I, ✳²
24	-2.3	-0.3	-1.4	-1.3	3.6	582.2	582.7	584.5	100	91	93	SW 1	S 1	S 1	10*	10≡	10*	14.2	✳ I, 6P-n, ≡ II
25	-4.0	-3.6	-4.0	-3.9	1.1	584.3	583.9	583.9	79	69	79	N 1	N 2	N 1	2	0	1	.	
26	-4.3	-2.4	-2.9	-3.2	1.9	585.5	587.4	590.5	88	88	85	S 1	S 1	S 1	5	10≡	10*	0.2	≡² II, ✳° $9^{1}/_{2}$P-n
27	-2.8	-1.6	-2.2	-2.2	3.0	592.2	593.7	595.6	90	94	100	SSE 1	S 2	S 2	10	10≡	10≡	2.8	≡² II, p n ≡, n ✳
28	-2.0	-1.4	-1.5	-1.6	3.8	596.2	595.9	597.3	99	100	100	S 2	S 2	S 1	10≡	10≡	10≡	2.0	≡ I, ≡², n ✳
29	-2.0	-0.4	-1.1	-1.2	4.3	597.7	598.3	**598.5**	99	63	54	S 0	S 0	N 1	5	0	0	.	
30	-0.6	0.8	-2.9	-0.9	4.7	597.5	596.8	596.0	41	39	50	N 1	NW 1	N 2	0	0	1	.	
Mittel	-3.0	-1.0	-2.5	-2.2	—	589.0	589.1	589.5	78	70	74				6.5	6.1	5.7	Summe 185.3	

$\lambda = 7^\circ 26'$, $\beta = 46^\circ 57'$,
$Hb = 572.2^m$, $G = 0.05\,^m/_m$.

Bern.

Dezember 1911.
Tellur. Observatorium.

Tag	Lufttemperatur					Luftdruck			Relative Feuchtigkeit			Windrichtung und Stärke			Bewölkung			Niederschlag	Witterung
	7^{30}	1^{30}	9^{30}	Mittel	Abweich. vom Normalst.	7^{30}	1^{30}	9^{30}	7^{30}	1^{30}	9^{30}	7^{30}	1^{30}	9^{30}	7^{30}	1^{30}	9^{30}		
1	0.9	2.1	0.6	1.2	0.5	718.0	716.7	717.0	100	89	91	SE o	SE o	SE o	10≡	10≡	10	.	≡ n–p
2	–0.2	1.0	–0.9	0.0	–0.6	717.1	716.2	716.7	90	78	93	SE o	NE o	SW o	10	9	10	.	
3	–1.0	1.8	–0.4	0.1	–0.3	715.9	714.6	714.1	92	76	96	S o	S o	E o	10≡	6	9	.	a ≡
4	0.5	4.1	3.5	2.7	2.4	713.8	713.7	715.0	93	86	96	SE o	SW o	S o	9	10●	10●	8.6	● o$^{1}/_{2}$p–n
5	2.4	5.0	1.4	2.9	2.7	712.9	711.1	711.9	98	78	99	S o	SW o	SW o	9	9	9≡	.	≡^{2} III–n
6	–0.2	6.7	0.9	2.5	2.5	714.0	715.6	716.9	100	68	96	S o	SW o	S o	10≡	6	1	.	≡^{2} I
7	–1.6	1.4	–0.3	–0.2	–0.1	713.9	711.1	707.9	98	97	100	SW o	SW o	NE o	6≡	8≡	10≡	.	⌊ I, ≡, ≡^{2} III
8	3.0	4.1	3.1	3.4	3.6	707.9	707.9	705.4	96	82	91	N o	SW o	SE o	10	10	9	2.3	a ●°
9	3.1	6.6	2.1	3.7	4.0	705.3	708.6	713.3	95	44	78	SW 1	WSW 2	SW o	10●	0	8	4.2	● n–II, ⸗ II, ✳ $5^{3}/_{4}$–6p
10	–0.4	3.2	0.4	1.1	1.6	712.4	709.3	704.3	75	53	81	SE o	SE o	SE o	3	10	10	0.5	n ($^{10}/_{11}$) ●°
11	0.5	3.2	1.0	1.6	2.2	**699.6**	703 0	705.7	95	94	97	W o	SW o	SW o	10	10●	10	6.0	● ✳ 10^{a}–$2^{1}/_{2}$p, n ✳°
12	1.1	3.3	0.4	1.6	2.3	708.7	709.9	710.1	95	91	97	SW o	S o	SE o	9	9	2	0.9	✳° $10^{1}/_{2}$–11^{a}, ●° $0^{3}/_{4}$–1p
13	–1.9	1.0	0.5	–0.1	0.7	708.2	708.9	709.3	94	89	97	SE o	SE o	S o	7	9	10	3.6	△ $5^{3}/_{4}$–$6^{1}/_{4}$p, n ●
14	0.6	4.5	0.8	2.0	2.9	710.5	712.7	701.9	99	92	99	W o	SW o	SE o	9	8	10≡	0.6	●° $10^{3}/_{4}{}^{a}$–$0^{1}/_{2}$p, ≡^{2} III–n
15	0.3	1.3	3.7	1.8	2.8	709.2	708.4	712.9	100	100	94	SE o	SE o	SW o	10≡	10≡	10●	9.8	≡^{2} I, ≡–p, ● $5^{1}/_{2}$p–n
16	2.1	4.9	–0.8	2.1	3.2	715.2	715.5	717.8	98	86	99	SE o	SW o	SW o	10	3	3≡	.	≡ III
17	–2.6	2.7	–1.1	–0.3	0.9	719.0	718.1	719.3	92	69	93	SE o	SW o	SE o	1	3	2	.	a ⌊
18	–3.3	3.6	–2.6	–0.8	0.5	718.2	716.7	717.0	98	71	99	SE o	SW o	SW o	3	3	3	.	a ⌊
19	**–4.0**	2.2	0.3	–0.5	0.8	716.8	716.1	714.5	97	86	99	SW o	S o	S o	6≡	9≡	10	.	⌊ I, ≡ n–II
20	0.5	3.6	6.0	3.4	4.8	708.8	706.1	712.8	94	92	73	S o	SW o	SW 1	5	10●	4	8.8	● 11^{a}–5p
21	1.4	**12.2**	6.2	6.6	8.1	707.1	703.7	704.4	90	**34**	82	SE o	SW 3	SW 3	10	8	10●	10.3	p n ⸗, ● $11^{1}/_{4}{}^{a}$–o, $8^{1}/_{4}$p–n
22	3.8	6.0	3.0	4.3	5.8	714.3	713.7	707.8	69	51	89	SW 2	SW 1	S o	8	7	10●	6.6	⸗ I, ● 8p–n
23	6.0	6.2	2.6	4.9	6.5	705.2	711.2	718.9	89	79	77	S 2	SW 2	SW o	10●	10	3	1.1	● ⸗ n–II
24	–1.2	2.6	1.8	1.1	2.7	716.5	713.9	712.4	95	71	88	S o	S o	SW 1	7	10	10●	4.7	a ⌊, ● III–n
25	3.7	4.0	2.6	3.4	5.1	705.9	706.5	708.3	96	81	94	S 1	SW 2	SW 1	10●	10●	10●	**24.8**	●^{2}, ⸗ II, ✳ $11^{1}/_{2}{}^{a}$–o, 4–5p
26	2.8	4.6	2.8	3.4	5.1	711.2	712.0	710.4	88	80	98	WSW 1	SW 2	SW o	10	9	10●	4.9	a ●°, ⸗ II, ● 8p–n
27	7.0	5.8	3.6	5.5	7.3	706.3	707.7	711.9	83	95	91	WSW 2	W 1	WSW o	9	10	7	6.9	⸗ I, ● $9^{1}/_{2}{}^{a}$–II
28	0.6	3.5	3.2	2.4	4.2	715.5	716.4	717.7	100	85	94	SW o	SW o	SW o	9	10	10	.	
29	4.1	8.6	4.2	5.6	7.5	716.3	715.7	716.7	88	73	99	SW o	SW 1	N o	9	9	2	.	
30	1.6	1.9	1.6	1.7	3.6	716.5	715.6	715.6	100	99	100	SW o	SW o	SW 1	10≡	10≡	10	.	⌓ I, ≡^{2} n–II
31	1.6	4.5	1.6	2.6	4.5	717.0	718.4	**719.6**	100	77	94	NE 1	E 1	NE o	10	9	6	.	
																		Summe	
Mittel	1.0	4.1	1.7	2.3	—	712.2	712.1	712.8	93	79	93				8.4	8.4	7.7	104.6	

$\lambda = 6^\circ 57'$, $\beta = 47^\circ 0'$,
$Hb = 487.3^m$, $G = 0.06\,^m/_m$.

Neuenburg.

Dezember 1911.
Observatorium.

1	2.6	3.8	2.8	3.1	0.3	725.8	724.3	724.7	100	92	93	NE 1	SE o	N 1	10≡	10	10	.	≡ I, ≡°–p
2	1.8	1.7	1.0	1.5	–1.2	724.8	724.1	724.4	93	87	89	N 1	NE 1	NW 1	10	10	10	.	≡° n–II
3	0.8	3.0	1.6	1.8	–0.7	723.5	722.5	721.8	89	87	96	NW 1	SW 1	N o	10	9	10	0.3	
4	2.1	3.8	4.3	3.7	1.3	721.3	721.4	722.5	95	95	95	NW 1	SW 1	NW 1	10	10●	10	4.8	●° ≡° n–II, p ●
5	3.3	6.0	3.2	4.2	1.9	720.5	718.8	719.4	100	76	95	NE o	SE 1	NE 1	10	9	9	.	
6	1.0	3.6	3.0	2.5	0.4	721.7	723.5	724.5	100	98	98	NE o	E 1	N 1	10≡	10≡	10≡	.	≡^{2} I, ≡
7	0.6	3.4	1.4	1.8	–0.2	721.7	718.6	715.2	100	90	98	NE 1	E 1	NE o	10≡	10	10	1.7	≡^{2} n–10^{a}, n ●
8	4.5	7.2	3.8	5.2	3.3	715.5	715.6	713.0	81	70	87	W 2	SW 1	NE 1	10	6	10	5.1	n ($^{8}/_{9}$) ●
9	5.2	5.6	2.5	4.4	2.6	712.5	716.6	720.9	91	62	83	W 2	W 3	W 2	10	9	8	0.7	⸗ II, ✳° ●° $4^{1}/_{2}$p–III
10	0.3	3.5	1.6	1.8	0.1	720.2	717.2	712.0	88	72	79	NE 1	SE 1	NW 1	2	9	10	1.3	
11	1.5	4.4	2.0	2.6	1.1	**707.5**	710.1	713.0	100	80	88	N o	SW 1	NW 1	10	10●	5	5.1	● n–$1^{1}/_{2}$p
12	2.0	4.0	1.6	2.5	1.1	716.4	717.4	717.5	93	89	96	W 1	SW 2	NW 1	10●	9	6	1.6	● n–$3^{1}/_{2}$p, ✳° 10^{a}
13	0.6	1.4	1.1	1.0	–0.3	715.8	716.6	717.1	100	96	80	NE 1	NE 1	N 1	10≡	10≡	10	2.5	≡^{2} n–o$^{1}/_{2}$p, ✳° 8^{a}–$2^{1}/_{2}$p, p
14	1.4	5.4	3.9	3.6	2.4	715.1	720.3	719.5	100	91	100	E o	SW 1	NE o	10	9	10	1.8	● n–11^{a} [≡; ● 6p–n
15	3.0	3.2	4.4	3.5	2.3	716.6	715.6	720.5	100	100	97	NE 1	NE o	NW 1	10≡	10≡	10●	8.5	≡^{2} I, ≡–II, ● op–n
16	2.0	6.7	2.8	3.8	2.7	722.8	723.1	725.4	96	81	98	NE 1	SW 1	N 1	5	3	4	.	
17	0.1	2.1	**–0.8**	0.5	–0.5	726.8	726.0	**727.5**	100	91	98	NE o	NE 1	N o	10≡	6	0	.	a ≡, ⸗ II
18	–0.7	1.0	0.1	0.1	–0.8	726.1	724.8	724.8	100	100	100	NE 1	N 1	N 1	10≡	10≡	10≡	.	≡^{2} I, ⸗
19	0.7	2.1	2.0	1.6	0.8	724.4	724.0	722.1	100	100	100	NW 1	NW 1	N 1	10≡	10≡	10≡	.	≡, ⸗^{2} III–n [3–5p
20	2.1	3.6	7.2	4.3	3.5	716.4	713.7	720.3	100	100	68	NE 1	SW 1	NW 1	10≡	10●≡	5	8.6	≡ n–$2^{1}/_{2}$p, ● $11^{1}/_{2}{}^{a}$–5p, ⸗
21	4.5	9.8	6.3	6.9	6.2	714.5	711.2	712.3	81	**53**	84	SW 1	SW 3	SW 4	9	9	10●	17.8	● 11–$11^{1}/_{2}{}^{a}$, ⸗–$3^{1}/_{2}$p, ●
22	3.8	6.1	4.3	4.7	4.1	721.4	721.6	715.1	79	74	95	W 2	W 3	SW 3	7	7	10●	7.9	⸗, ● $8^{1}/_{2}$p–n [⸗^{2}–n
23	5.8	6.2	4.0	5.3	4.7	712.9	718.2	726.4	94	76	66	SW 2	NW 3	NW 2	10●	7●	3	2.8	● n–2p, p ⸗
24	–0.4	3.6	3.6	2.3	1.8	724.3	721.7	719.7	98	81	92	NE 1	SW 1	NW 1	10	10	10	5.7	⌊ I, ● $6^{1}/_{2}$p–n
25	4.7	4.0	3.3	4.0	3.5	713.2	714.3	716.1	95	90	95	NW 2	NW 3	NW 1	10●	10	10●	**21.5**	●, ⸗ II, ✳ 4p
26	4.3	3.8	3.5	3.9	3.5	718.6	719.8	718.2	75	95	97	SW 3	SW 2	SW 3	10	10	10●	9.2	⸗ I, III, ●
27	6.2	6.4	5.4	6.0	5.6	714.5	715.5	719.6	93	80	73	SW 2	NW 2	NW 1	10	10●	8	4.8	● n–2p
28	2.4	4.6	4.3	3.8	3.5	723.4	724.3	725.3	86	75	84	NW 1	E 1	NW 1	9	10	10	.	
29	5.9	9.0	4.0	6.3	6.0	724.3	723.4	724.4	85	75	87	W 1	SW 2	N 1	10	8	4	.	
30	2.6	3.7	2.3	2.9	2.7	724.3	723.4	723.2	100	97	100	NE o	NE 1	W 1	10	10≡	10	.	a ≡°, ≡ II
31	2.5	5.3	2.0	3.3	3.1	725.1	725.9	727.4	91	80	85	NE 1	NE 2	NE 1	8	8	0	.	
																		Summe	
Mittel	2.5	4.4	3.0	3.3	—	719.8	719.8	720.5	94	85	90				9.4	9.0	8.1	111.7	

Dezember 1911.
Beobachter: Frl. *H. Nager.*

Altdorf.

$\lambda = 8° 39'$, $\beta = 46° 53'$,
$Hb = 456.3^m$, $G = 0.05\,^m/_m$.

Tag	Lufttemperatur					Luftdruck			Relative Feuchtigkeit			Windrichtung und Stärke			Bewölkung			Niederschlag	Witterung
	7^{30}	1^{30}	9^{30}	Mittel	Abweich. vom Normalst.	7^{30}	1^{30}	9^{30}	7^{30}	1^{30}	9^{30}	7^{30}	1^{30}	9^{30}	7^{30}	1^{30}	9^{30}		
1	1.9	3.4	1.6	2.3	−0.3	729.0	727.2	727.7	88	76	83	SE 0	SE 0	SE 0	10	10	10	.	
2	0.5	3.0	−1.2	0.8	−1.7	728.1	726.9	726.8	85	70	96	SE 0	W 0	SE 0	10	1	10	.	≡° n–II^a
3	−0.7	3.6	−0.6	0.8	−1.5	726.1	724.7	724.9	100	75	93	SE 0	SW 0	SE 0	10	0	0	.	≡ I
4	−1.1	4.5	2.8	2.1	−0.1	723.9	724.2	725.6	94	74	100	SE 0	SE 0	SE 0	2	10	10	3.3	≡° II, ● $7^1/_2{}^p$–n
5	1.3	2.6	3.3	2.4	0.3	723.6	721.0	721.9	100	73	80	SE 0	SE 0	SE 0	10	3	0	.	
6	2.0	6.8	0.3	3.0	1.0	724.4	725.8	728.2	95	70	100	SE 0	NW 0	NW 1	10	3	1	.	
7	7.8	13.3	8.6	9.9	8.1	723.5	720.5	717.4	35	28	41	SE 1–2	SE 1–2	SE 3	3	4	5	.	⌿ III
8	3.6	5.7	4.4	4.6	2.9	718.4	718.6	716.2	88	100	95	E 0	NW 1–2	NW 0	10	10	10	.	●° II
9	2.7	3.3	3.4	3.1	1.5	714.8	719.0	723.3	93	100	71	SE 0	E 0	NW 2–3	7	10	10	3.5	● II^a–n, ⌿ III
10	−1.2	9.0	7.9	5.2	3.7	723.8	720.5	715.1	70	56	**26**	SE 0–1	SE 0	SE 2–3	0	0	0	.	⌿ 6^p–n
11	10.0	6.9	3.2	6.7	5.3	**709.2**	711.8	716.0	30	60	100	SE 3–4	NW 1–2	NW 0	10	10	10	5.7	⌿^{2} n–II$^1/_2{}^a$, ● $2^1/_2{}^p$–n
12	2.8	4.8	0.6	2.7	1.4	718.6	720.2	721.5	93	66	80	E 0	NW 0	SE 0	10	10	0	.	
13	7.8	10.2	10.4	9.5	8.3	718.2	718.5	719.1	30	29	31	SE 3–4	SE 2–3	SE 2	7	6	10	.	⌿^{2} n–I, ⌿
14	7.6	12.9	1.8	7.4	6.3	720.5	723.3	721.9	55	65	92	NW 0–1	NW 0	NW 0	10	7	4	.	
15	11.7	**13.5**	6.3	10.5	9.5	718.6	718.1	722.9	35	33	93	SE 2	SE 2–3	NW 0	3	6	10	7.4	⌿ n–II, ● 9^p–n
16	4.7	6.3	1.2	4.1	3.2	725.9	725.8	728.7	100	69	77	NW 0	SE 0	SE 0	10	5	0	.	● n–I
17	−1.7	3.4	−1.8	0.0	−0.8	729.9	729.4	**730.5**	79	72	98	SE 0	NW 0	SE 0	0	2	0	.	
18	**−2.1**	3.4	0.8	0.7	0.0	728.8	727.4	727.4	100	89	100	SE 0	W 0	SW 0	1	2	10	.	≡ III–n
19	−1.2	1.3	0.5	0.2	−0.4	727.1	727.3	723.9	100	100	100	S 0	NW 0	SE 0	10	10	0	.	≡ n–II
20	4.8	13.3	5.6	7.9	7.3	719.3	714.6	722.7	70	30	100	W 0–1	SE 2–3	SE 0	10	9	3	3.7	⌿ $8^1/_2{}^a$–$3^1/_4{}^p$
21	2.7	7.5	10.5	6.9	6.4	716.8	714.1	713.7	85	61	36	SE 0	SE 0	NW 1–2	10	2	10	4.0	⊙° II, ● III–n
22	6.4	7.2	4.0	5.9	5.5	722.4	724.3	717.1	60	40	87	NW 3	NW 1	NW 0	10	8	10	4.5	⌿ I, ● 9^p–n
23	9.8	5.6	5.1	6.8	6.4	712.8	718.4	728.4	50	72	60	NW 3–4	NW 3–4	NW 0	10	10	7	7.1	⌿^{2} n–II, ● n–$7^1/_2{}^p$, p ⌿
24	−1.0	4.6	2.6	2.1	1.8	727.4	724.5	721.0	95	55	90	E 0	W 0	NW 0	0	10	6	.	
25	6.2	3.7	3.1	4.3	4.0	717.1	715.4	717.5	87	100	82	N 2–3	NE 1	NW 0	10	10	10	**9.3**	⌿ I, p, ● $7^1/_4{}^a$–n, n ⌿^{2}
26	6.5	6.4	2.8	5.2	5.0	720.4	722.1	721.3	44	58	100	NE 0–1	E 2	NE 0–1	10	10	10	5.2	● 7^p–n
27	5.1	8.7	5.5	6.4	6.2	714.3	716.2	721.9	97	60	75	E 0–1	NW 3–4	NE 1–2	10	10	9	7.4	⌿^{2} 0^p–p, ●
28	3.8	5.7	3.9	4.5	4.3	726.1	726.9	728.0	84	75	96	SE 0	NW 0	SE 0	10	10	10	.	
29	4.8	5.3	5.5	5.2	5.1	726.2	725.6	727.3	97	75	100	SE 0	SE 0	SE 0	10	10	10	2.3	● II
30	2.5	5.2	2.7	3.5	3.4	727.1	726.7	725.7	100	99	100	SE 0	SE 0	SE 0	3	10	10	.	≡^{2} 6^p–n
31	3.6	4.9	0.0	2.8	2.7	728.0	729.6	**730.5**	100	95	99	SE 0	SE 0	SE 0	10	10	6	.	≡ n–II
Mittel	3.6	6.3	3.4	4.4	—	722.3	722.2	723.0	75	69	83				7.6	7.0	6.5	Summe 63.4	

Dezember 1911.
Observatorium.

Genf.

$\lambda = 6° 9'$, $\beta = 46° 12'$,
$Hb = 405.0^m$, $G = 0.02\,^m/_m$.

1	4.3	5.4	3.9	4.4	2.2	733.1	731.8	732.2	83	76	83	NNE 1	NNE 1	ESE 1	10	9	10	.	
2	2.1	3.5	2.5	2.7	0.6	732.0	731.2	732.1	88	79	83	E 0	NNE 1	ESE 1	10	10	10	.	
3	−1.0	2.9	1.6	0.9	−1.1	731.2	730.1	729.4	92	80	92	ESE 1	SE 1	S 1	10	4	9	.	
4	1.6	5.7	4.6	3.2	1.3	729.0	728.9	730.0	92	77	96	SSE 1	WSW 0	SSE 1	10	10	9	3.4	● II^a–0, 2–7^p
5	3.0	5.7	1.4	3.5	1.7	728.0	726.2	726.7	96	84	100	SSW 1	SSW 0	SE 1	10	5	8	.	Ⴤ 7^p
6	2.7	6.1	3.7	3.8	2.2	729.1	730.9	732.0	95	80	97	E 1	NNE 0	SE 1	10	10	7	.	
7	0.3	3.5	3.0	2.3	0.8	729.3	725.9	722.4	100	93	100	SSE 1	S 0	NW 1	10≡	10	10	15.6	≡^{2} I, ● $8^1/_2{}^p$–n
8	5.0	8.7	2.8	4.8	3.4	723.4	722.6	720.3	90	59	92	SSW 1	SSW 1	WSW 1	10	1	3	4.4	n (8/9) ● ⌿
9	4.7	6.7	2.8	4.3	3.0	721.6	725.3	728.7	93	50	70	WSW 2	SW 2	SSW 1	10●	9●	5	2.7	● ⌿ n–$1^1/_2{}^p$
10	−0.5	4.0	2.2	2.1	0.9	727.5	724.4	719.2	88	62	80	SW 0	W 0	S 1	1	9	10	3.2	a ⌴
11	2.4	3.9	0.6	2.7	1.6	**714.6**	718.4	721.0	95	97	97	SE 1	SSW 0	W 1	10●	10●	2	15.5	● n–$2^1/_4{}^p$, n
12	2.4	7.1	0.1	3.0	2.0	724.2	725.2	724.7	89	67	95	SW 0	SW 1	SSE 1	9	7	0	.	
13	0.8	3.6	3.0	1.8	0.9	723.0	724.1	724.3	92	81	92	S 1	SW 1	SSW 1	10	9	10●	1.2	a ⌴, ●° $2^3/_4$–$9^1/_2{}^p$
14	2.5	6.4	4.9	4.1	3.3	725.5	727.7	726.6	97	97	100	SSW 0	SE 1	S 0	10●	8	10	7.1	● 7–$10^3/_4{}^a$
15	2.5	5.3	3.6	4.0	3.3	724.2	722.7	728.4	100	91	96	ESE 1	NNW 0	WNW 1	10	10	10●	**18.8**	● 2–10^p
16	1.9	5.9	1.8	3.3	2.6	730.5	730.5	732.4	100	88	95	SSW 1	WSW 0	SW 1	2	2	0	.	a ≡^{2}
17	0.4	4.8	0.4	2.0	1.4	734.0	733.6	**734.8**	89	71	92	SSE 1	NNW 1	W 0	9	3	0	.	
18	−1.3	0.6	−1.0	−0.8	−1.3	733.8	732.6	732.8	97	96	95	SSW 1	SSW 1	SW 0	10	10	10≡	.	a ⌴, ≡^{2} 2^p–n
19	**−3.3**	−0.5	0.2	−1.4	−1.8	732.0	731.5	729.5	100	97	100	WSW 0	SW 0	WSW 0	10	10	10	.	a ⩒, ≡^{2} 7^p–n
20	1.7	0.0	7.3	5.2	4.8	723.1	721.2	729.2	96	84	66	NW 1	SSW 1	SSW 1	8	10●	5	5.8	≡^{2} 8^a, ● 1–$3^1/_4{}^p$
21	1.6	**13.0**	7.8	7.5	7.2	722.8	720.9	723.5	71	**42**	72	SW 1	SSW 3	SSW 2	10	8	10●	3.2	⌿^{2} 1–10^p, ● 5^p–n
22	4.2	7.7	8.3	6.8	6.6	730.7	729.9	724.7	70	70	79	SSW 1	SSW 1	SSW 2	10	9	10●	3.9	● ⌿ 6^p–n
23	6.8	8.2	2.4	6.2	6.0	722.8	727.5	734.3	91	68	89	SSW 2	NW 1	NNW 1	10●	9	2	3.0	● ⌿ n–II^a, ◠ 1^p
24	−0.2	4.6	4.5	2.3	2.2	732.1	729.4	727.9	92	75	83	SSW 1	SSW 1	WSW 1	9	10	10●	13.0	a ⌴, ● 6^p–n [III
25	4.7	6.5	4.5	5.4	5.3	721.7	724.4	726.5	97	58	86	SSW 1	SSW 1	SSW 2	10●	9	10●	12.7	● 7–II$^1/_2{}^a$, 2–$3^1/_2$, 9^p–n, ⌿
26	4.2	5.5	4.7	5.2	5.0	727.0	728.2	726.5	87	81	90	SSW 1	SSW 1	WSW 1	10●	10	10●	5.8	● 7–$9^3/_4{}^a$, 9–10^p
27	8.0	8.2	6.9	7.6	7.6	723.6	723.2	727.1	78	81	83	SSW 1	E 1	SW 1	10	10●	10	1.1	● $8^1/_4{}^a$–$1^1/_2{}^p$
28	4.3	6.1	5.1	5.4	5.5	730.2	731.5	733.0	97	84	90	NW 0	N 1	SSE 0	10	10	8	.	
29	4.2	10.3	4.1	6.4	6.5	732.5	731.3	731.4	96	64	96	ENE 0	NNE 1	W 0	9	4	0	.	
30	1.2	2.9	1.8	2.0	2.2	731.7	731.1	731.4	100	100	100	SW 0	W 0	SSW 0	10≡	10	10	.	a ≡
31	2.0	5.4	5.1	3.7	3.9	731.9	732.8	734.9	98	77	77	NNW 1	NNE 1	NNE 1	10	9	10	.	
Mittel	2.5	5.7	3.4	3.7	—	727.6	727.6	728.3	92	77	89				9.3	8.2	7.4	Summe 120.4	

Die Temperatur-Tagesmittel von Genf resultieren aus 8 Beobacht. in dreistünd. Zeitintervallen. — Die Beobachtungstermine sind $7^{35}{}^a$, 1^{35} u. $9^{35}{}^p$.

$\lambda = 8^\circ 33'$, $\beta = 47^\circ 23'$,
$H = 493.2^m$, $G = 0.08\,{}^m/_m$.

Zürich.

Dezember 1911.
Meteorol. Centralanstalt.

Tag	Lufttemperatur 7h30	1h30	9h30	Mittel	Abweich. vom Normalst.	Luftdruck 7h30	1h30	9h30	Relative Feuchtigkeit 7h30	1h30	9h30	Windrichtung und Stärke 7h30	1h30	9h30	Bewölkung 7h30	1h30	9h30	Niederschlag	Witterung
1	3.2	4.2	3.2	3.5	2.3	725.2	723.6	724.1	94	87	82	SE 1	SW 0	SW 0	10	10	10	.	
2	1.4	5.1	0.6	2.4	1.3	724.4	723.2	723.3	91	65	92	NE 1	SE 1	NW 1	9	4	9	.	
3	−0.4	4.5	1.4	1.8	0.8	722.8	721.8	721.1	90	58	92	SW 1	W 1	NE 0	10	2	9	.	⌙2 l
4	0.6	5.4	4.4	3.5	2.7	721.0	720.7	721.6	100	79	92	NE 0	NW 0	SW 1	10≡	10●	10●	5.0	≡ ⌙° n-9a, a ≡°, ●
5	3.2	6.2	2.8	4.1	3.4	720.3	718.1	718.8	99	83	95	SE 1	S 0	N 0	9	9	8	.	≡ 9 1/2-10a [11 1/2a-n
6	1.4	4.8	0.0	2.1	1.5	721.3	722.9	724.5	100	87	100	E 0	NW 1	NE 0	10≡	7	10≡	.	≡2 n-10a, ≡ 7p-n
7	−0.9	0.2	0.2	−0.2	−0.7	721.4	718.6	715.4	100	94	100	NE 1	NW 1	W 0	10	10	10	0.1	⌙ l, ≡°
8	1.4	3.8	3.0	2.7	2.4	714.9	715.9	713.2	96	81	85	E 0	NW 0	E 1	10	10	10	0.2	●° 8 3/4-9 1/2, 10 3/4-11 1/2a
9	2.5	5.0	3.4	3.6	3.4	712.0	715.3	719.9	91	57	63	NE 1	SW 2	NW 2	9●	10	10	2.6	●7-11a, p ⌿, ●° 2 1/4p, ✳°
10	0.6	4.1	1.1	1.9	1.8	720.0	716.8	712.2	68	**50**	75	S 0	SW 1	SE 0	3	9	10	.	⌙ l [2 1/2-2 3/4p
11	1.4	3.3	2.8	2.5	2.5	**706.8**	709.0	712.3	68	91	95	N 1	NW 1	SW 1	0	10●	10	4.8	● 10 3/4a-4p [6 1/2p
12	1.6	4.9	1.4	2.6	2.7	715.4	716.9	718.0	94	74	95	NW 1	SW 1	SW 1	4	9	0	1.2	●° 2 3/4-7a, ✳° 9a, ● 4-
13	−1.4	1.6	1.4	0.5	0.7	715.0	716.4	716.6	95	85	92	E 1	W 1	W 0	9	10	10	3.2	a ⌙, ● 7 3/4-8 1/4p
14	1.6	5.4	1.9	3.0	3.3	717.5	719.7	718.7	95	84	96	N 1	E 1	NE 1	9	8	1	0.8	●° n-8 1/2a, o-1p
15	0.0	1.3	4.7	2.0	2.4	716.7	715.5	719.3	100	100	87	W 1	W 0	SW 2	10≡	10≡	10●	2.4	≡ n-ll, ● ⌿ 7p-n
16	4.0	5.8	1.4	3.7	4.2	722.3	722.7	724.9	90	76	90	SW 0	SW 1	E 1	10	7	0	.	●° n-8 1/2a
17	**-2.7**	0.2	-1.0	-1.2	-0.6	726.7	725.7	726.8	100	87	98	E 0	W 1	S 1	10≡	3	10	.	a ≡ ⌙, ≡° III-n
18	−2.0	−1.4	−1.4	−1.6	−0.9	725.5	724.2	724.0	100	100	100	S 0	NW 0	NW 0	10≡	10≡	10≡	.	≡ [5 1/2p, ≡° III-n
19	−1.8	0.0	0.0	−0.6	0.1	723.5	722.9	721.9	100	98	100	SE 0	W 1	SE 0	10	9	7	0.1	≡2 n-4p, \ ° ⌙, ≡ 5-
20	1.6	5.5	7.5	4.9	5.7	716.6	712.5	718.6	100	79	56	SE 1	NE 0	NW 3	10	9	7	6.0	≡° l, ● 1 1/4-5p, ⌿ 3 3/4p-n
21	3.0	**9.4**	7.0	6.5	7.4	714.3	710.7	709.8	86	57	76	S 1	SW 1	SW 5	9	2	10●	**13.7**	●° 11 3/4a-5 1/2, 4-8p, ●- *)
22	4.0	5.9	2.9	4.3	5.2	719.8	720.7	714.5	85	56	88	W 2	W 2	SW 1	9●	10	10●	6.6	● l, 7 1/2p-n, ●° 1-2p, ⌿
23	7.0	6.5	3.6	5.7	6.7	710.1	715.0	725.6	75	83	76	W 3	W 3	W 1	10	10	9	0.9	●° ⌿ n-2 1/2p
24	-1.2	4.4	7.0	3.4	4.4	723.5	720.5	717.8	100	64	53	SW 0	S 1	SW 1	2	10	10	2.7	⌙ l, ●° 3 1/2-3 3/4, 10 1/2p
25	5.2	4.8	3.6	4.5	5.6	713.2	711.4	714.6	97	76	75	W 1	SW 3	SW 2	10●	10	6	9.8	● 6 1/2a-5 3/4, 9 3/4-10 3/4p, ⌿
26	3.4	5.2	3.4	4.0	5.1	717.1	718.1	717.4	80	69	84	W 3	SW 3	SW 2	9	6	10●	6.1	●° 1 1/2-2, 7 1/2-8 1/2a, ●° *)
27	7.3	7.2	4.0	6.2	7.4	711.9	713.6	718.8	82	81	82	SW 3	W 1	NE 0	9	9	10	4.1	n a ⌿, ● 4 1/4-5, 9 1/2-11 1/2a,
28	0.4	4.2	3.2	2.6	3.8	723.0	723.7	724.4	94	80	90	NE 0	NE 0	E 0	4	10	10	0.1	⌙° l, a ≡° [●°-ll
29	6.6	7.8	5.5	6.6	7.8	722.7	722.4	724.2	73	77	92	SW 1	NW 1	W 1	10	10	10	0.5	●° o 1/2-3 1/4p
30	4.8	5.4	3.6	4.6	5.9	723.6	722.7	722.1	96	92	97	NW 1	NW 0	NW 1	10	10	10	0.3	
31	3.0	6.2	1.6	3.6	4.9	724.9	726.3	**727.1**	97	81	96	E 0	NE 1	NE 1	10	6	2	.	●° n-l
Mittel	1.9	4.4	2.7	3.0	—	719.1	719.0	719.7	92	78	87				8.8	8.4	8.3	Summe 71.2	

*) **21.** 2 3/4a, p n ⌿2

(*) **26.** ✳° 10 3/4a, ⌿, ● 4 3/4p-3a

$\lambda = 8^\circ 30'$, $\beta = 47^\circ 3'$,
$Hb = 1787.3^m$, $G = -0.11\,{}^m/_m$.

Rigi-Kulm.

Dezember 1911.
Beobachter: *M. Bissig.*

1	−0.4	3.2	−0.4	0.9	3.5	617.7	616.6	616.5	46	22	32	E 0	NW 1	NW 1	1	0	0	.	
2	−0.8	1.8	1.2	0.7	3.4	616.2	616.3	616.3	25	16	15	NW 2	NW 2	NW 2	1	0	0	.	
3	0.0	1.6	−0.2	0.5	3.3	615.8	615.5	615.0	17	21	21	NW 2	SW 1	SW 0	3	0	7	.	
4	−1.2	−1.2	−3.2	−1.9	1.0	614.4	614.4	614.3	39	55	97	SW 1	W 0	W 2	7	10*	10*	3.1	☼ ✳
5	−3.3	−2.2	−1.4	−2.3	0.7	613.0	611.7	612.2	97	97	80	SE 1	SW 0	SW 0	9	0	7	.	≡° l
6	−2.2	1.2	−1.5	−0.8	2.3	614.1	616.4	617.2	55	52	41	SE 2	S 1	SE 0	8	2	0	.	
7	−0.7	1.4	0.8	0.5	3.6	614.7	612.3	609.4	33	34	40	S 0	S 4	S 3	1	1	10	.	⌿2 II, ⌿-n
8	−2.8	−2.4	−2.0	−2.4	0.8	608.9	609.0	607.7	100	100	65	W 2	S 1	NW 0	10≡	10	10	.	≡ I
9	−1.2	−5.4	−7.0	−4.5	−1.2	606.4	608.2	611.5	33	95	95	NW 0	NW 3	NW 3	9	8	10	1.8	a ✳, p ⌿, ≡° III
10	**-8.0**	−1.2	−1.4	−3.5	−0.1	612.0	610.4	606.4	93	55	25	W 1	S 0	S 1	1	9	1	.	
11	−0.2	−4.0	−6.0	−3.4	0.1	**602.3**	603.5	605.6	36	100	95	S 2	W 4	W 1	10	10≡*	10*	6.0	☩2 ⌿2 ≡ II, p ✳
12	−7.8	−5.6	−6.4	−6.6	−3.1	607.9	609.3	610.6	95	100	35	NW 2	W 3	W 0	10	10*	o	0.8	a ≡°, ≡ ✳ ☩2 ⌿ II
13	−3.0	−1.8	−0.8	−1.9	1.7	608.7	609.6	610.4	83	52	45	SE 3	S 2	S 2-3	7	10	5	.	⌿ l, III
14	−0.6	−0.8	0.6	−0.3	3.4	611.7	613.3	613.4	43	100	96	S 1	W 4	S 1	7	10≡*	o	0.9	✳ ≡ ☩2 ⌿2 II
15	1.0	3.0	−2.0	0.7	4.4	610.8	610.6	612.1	51	46	100	S 4	S 4	W 1	3	10	10*	7.4	⌿2 n-ll, ✳ III-n
16	−5.8	−4.4	−6.0	−5.4	−1.6	614.6	614.9	616.6	100	100	99	W 2	NW 0	W 0-1	10*	10≡	o	0.3	✳° l, ≡ II
17	−4.4	2.2	4.0	0.6	4.5	618.0	618.2	**619.6**	93	50	**8**	W 0	S 1	S 0	o	o	o	.	
18	5.4	**8.0**	6.9	6.8	10.7	619.4	619.2	618.8	17	15	16	S 1	SE 1	S 4	3	1	o	.	
19	6.9	6.4	5.9	6.4	10.4	618.4	617.6	617.3	13	13	16	NE 1	W 1	SW 0-1	3	5	1	.	[n
20	2.4	5.0	−2.4	1.7	5.7	611.8	608.7	612.3	21	31	100	S 3	SW 1	W 4	10	9	10≡	3.4	⌿ l, ✳ 3p-p, ≡ III, ⌿2-
21	1.5	1.6	−1.6	0.5	4.6	608.2	605.9	604.8	95	65	95	W 4	W 4	W 4	10*	3*	10*	3.4	✳ ⌿2 ☩2, n ✳
22	−5.0	−5.8	−1.0	−3.9	0.2	612.0	613.4	607.0	100	100	100	W 4	W 2	W 4	10≡	10	10*	0.8	≡ ⌿2 n-l, ✳ ⌿2 ☩2 III
23	−2.2	−2.6	−6.0	−3.6	0.6	604.8	608.3	616.7	100	100	100	W 4	NW 4	W 1	10	10*	10*	9.7	l, III, ⌿ n-p, ✳
24	−7.4	0.4	1.4	−1.9	2.3	615.4	613.9	613.2	100	37	51	NW 2	NW 2	NW 1-2	7	10	10	0.8	n (21 25) ✳2
25	−2.2	−4.1	−5.8	−4.1	0.1	607.4	605.7	607.6	100	100	100	W 3	W 4	W 2	10*	10*	10	3.9	✳ ⌿ n-p, ☩2 ⌿2 II, p
26	−6.2	−5.4	−5.2	−5.6	−1.3	609.7	610.8	610.4	100	100	100	W 3	NW 2	W 3	10≡	10≡	10*	1.7	⌿ l, ≡ n-p, ✳ ⌿ III
27	−1.6	−2.2	−4.4	−2.7	1.6	606.3	607.5	610.7	100	100	100	W 4	NW 1	NE 2	10≡	10≡	10*	**15.7**	⌿2 l, ≡ n-p, ✳ III-n
28	−6.0	−4.0	−6.5	−5.5	−1.2	614.6	615.5	616.8	100	100	100	NE 0	NE 1	W 1	10≡	10	10	4.2	≡ n-ll, n ●
29	1.2	0.2	0.4	0.6	5.0	616.5	616.2	617.1	100	100	100	SW 4	NW 1	W 1-2	10≡	10	8	0.5	⌿2 l, ≡ n-ll, ●°
30	4.4	5.2	3.6	4.4	8.8	617.5	617.2	616.6	10	13	32	NW 0	NW 1	W 1	3	3	7	0.4	n (30/31) ✳°
31	−1.2	−2.4	−1.2	−1.6	2.8	616.7	617.7	618.7	62	100	25	NW 0	E 2	NE 2	5	10	o	.	≡° II
Mittel	−1.7	−0.5	−1.5	−1.2	—	612.4	612.5	613.0	66	67	65				6.7	6.8	6.0	Summe 64.8	

Dezember 1911.
Beobachter: *J. Camenisch*

Bevers.

$\lambda = 9° 53'$, $\beta = 46° 33'$,
$H_b = 1712.6^m$, $G = -0.12^{m}/_{m}$.

Tag	Lufttemperatur 7h30	1h30	9h30	Mittel	Abweich. vom Normalst.	Luftdruck 7h30	1h30	9h30	Relative Feuchtigkeit 7h30	1h30	9h30	Windrichtung und Stärke 7h30	1h30	9h30	Bewölkung 7h30	1h30	9h30	Niederschlag	Witterung
1	-13.2	-3.8	-11.6	-9.5	-3.3	624.5	622.4	622.4	81	52	74	NE 1	SW 1	NE 1	0	4	0	.	
2	-13.6	-6.6	-11.5	-10.6	-4.2	622.0	622.4	623.3	76	64	75	N 1	— 0	N 1	0	0	0	.	
3	-14.0	-3.8	-9.0	-8.9	-2.3	621.9	621.0	620.9	85	70	80	— 0	N 1	— 0	2	2	3	.	
4	-9.6	-2.5	-6.3	-6.1	0.6	620.5	619.9	620.1	89	68	80	W 1	— 0	— 0	2	3	9	.	☋ III
5	-8.6	-2.2	-9.7	-6.8	0.1	619.6	618.8	620.4	88	69	79	— 0	— 0	— 0	2	6	0	.	
6	-12.4	-4.8	-10.8	-9.3	-2.2	622.6	623.6	625.2	85	67	81	N 1	— 0	— 0	1	3	0	.	
7	-14.2	-0.9	-2.2	-5.8	1.5	624.2	621.2	618.1	86	77	97	— 0	SW 1	N 1	8	10*	10*	7.0	✳ 8^a–n
8	-2.2	0.2	-1.2	-1.1	6.4	616.0	615.5	614.9	99	94	99	— 0	— 0	— 0	10	10*	10*	10.6	✳ 8^a–n
9	-7.2	-0.3	-5.2	-4.2	3.4	614.1	613.4	616.1	95	81	74	W 1	N 1	SW 3	4	10*	10	4.0	✳ 9^a–p, ☩ 5^p, ⸗ III
10	-16.3	-8.2	-12.0	-12.2	-4.4	619.0	618.0	616.1	80	62	80	W 1	— 0	N 1	0	10	10	0.9	n $(^{10}/_{11})$ ✳°
11	-6.0	-0.8	-3.7	-3.5	4.5	612.6	**610.1**	610.5	89	84	96	NE 1	— 0	W 1	10*	10*	10*	**22.7**	✳, ☩^{2} 7^p
12	-5.8	-2.2	-13.8	-7.3	0.8	612.9	614.5	617.5	89	53	81	NE 1	— 0	NE 1	10	9	0	0.1	n $(^{12}/_{13})$ ✳°
13	-14.8	-2.4	-6.0	-7.7	0.6	617.9	618.4	619.3	84	54	94	SE 1	SE 1	— 0	10	10	10*	3.0	✳ III–n
14	-5.0	-2.2	-11.6	-6.3	2.2	619.2	619.8	621.6	90	72	89	— 0	— 0	N 1	10*	2	0	.	✳° I
15	-5.8	0.4	-1.8	-2.4	6.2	620.5	620.1	617.4	91	72	99	SW 1	— 0	NE 1	0	10	10*	13.8	✳ 4^p–n
16	-2.0	-2.6	-10.9	-5.2	3.6	618.8	619.9	622.7	100	76	86	NE 2	— 0	W 1	10*	10*	0	1.2	✳ n–II
17	**-19.0**	-9.8	-12.4	-13.7	-4.8	625.8	625.5	**626.8**	60	72	85	— 0	W 1	NE 1	0	0	0	.	
18	-12.2	-3.4	-10.8	-8.8	0.2	**626.8**	626.2	626.2	89	71	87	— 0	— 0	NE 1	4	4	0	.	
19	-11.6	-3.9	-10.0	-8.5	0.7	625.7	624.6	624.1	90	66	84	— 0	— 0	NE 1	3	4	0	.	
20	-1.6	1.8	-1.8	0.5	9.8	620.2	618.3	617.6	69	74	88	SW 3	W 2	SW 2	10	10*	0	0.3	⸗ I, ✳° II
21	-13.4	1.6	-2.0	-4.6	4.8	617.3	613.4	611.7	84	**40**	67	— 0	W 4	W 3	3	9	8	5.3	p ⸗^{2}, n ✳
22	-2.6	-1.2	-7.0	-3.6	5.9	615.8	618.5	616.8	79	45	70	N 2	W 1	W 1	10	10	5	2.1	n $(^{22}/_{23})$ ✳
23	-2.4	-1.2	-4.6	-2.8	6.8	610.6	612.1	620.6	86	100	66	— 0	S 3	— 0	10*	10*	10*	12.7	✳, ☩ II
24	-18.0	-10.0	-9.2	-12.4	-2.7	622.8	621.1	620.3	81	68	79	— 0	NW 1	N 1	1	3	0	.	
25	-3.4	-5.0	-4.6	-4.3	5.4	614.9	611.5	612.9	55	85	62	W 3	N 1	NE 1	10	10*	10	9.3	⸗ I, ✳ 10^a–6^p
26	-5.6	-2.7	-7.0	-5.1	4.7	615.3	616.4	616.9	92	56	75	N 2	SW 3	W 1	10	10*	4	8 2	✳° ⸗ II, n ✳
27	-4.0	-1.4	-4.6	-3.3	6.6	612.2	610.9	614.9	97	95	90	S 3	S 2	— 0	10*	10*	10*	9.2	☩ ⸗ I, ✳
28	-6.4	-5.6	-10.6	-7.5	2.4	620.0	620.6	622.1	86	62	70	N 1	NE 1	NE 1	9	4	3	.	
29	**3.6**	1.5	0.2	1.8	11.8	620.9	620.1	622.1	54	82	96	S 2	N 1	W 1	10	10*	10*	8.6	✳, n ⸗
30	-0.8	1.2	-8.6	-2.7	7.3	622.8	622.6	622.4	64	64	76	— 0	SE 1	— 0	0	1	2	.	
31	-1.8	-1.4	-14.0	-5.7	4.4	621.3	623.1	625.6	63	66	76	N 2	N 1	N 1	1	0	0	.	
																		Summe	
Mittel	-8.1	-2.6	-7.6	-6.1	—	619.3	618.8	619.6	82	70	82				5.5	6.6	4.6	119.0	

Dezember 1911.
Beobachter: Pater *Maurus*.

Sitten.

$\lambda = 7° 21'$, $\beta = 46° 14'$,
$H_b = 540^m$, $G = 0.00^{m}/_{m}$.

1	0.0	4.2	1.0	1.7	0.2	721.1	718.9	720.2	80	70	89	NE 0	S 1	E 0	0	0	0	.	⌊^{2} I
2	**-3.4**	4.0	0.0	0.2	-1.1	721.3	718.6	719.7	94	55	80	S 0	SE 0	E 0	0	0	0	.	⌊^{2} I
3	-1.6	4.6	1.2	1.4	0.2	719.3	717.2	717.6	80	52	70	E 0	S 0	E 0	0	0	10	.	⌊^{2} I
4	0.4	5.6	1.8	2.6	1.5	716.6	717.2	718.2	81	64	100	NE 0–1	NW 0	NE 0	9	10	10●	1.5	● 6^p–n
5	1.6	5.8	4.8	4.1	3.2	716.0	715.0	715.1	100	76	78	E 0	E 0	E 0	10	10	10	.	
6	3.6	7.2	2.0	4.3	3.5	716.4	718.8	718.2	56	47	75	NE 0–1	SW 0	NE 0–1	3	6	0	.	
7	1.0	7.4	7.0	5.1	4.4	719.0	716.8	713.0	69	49	50	NE 0–1	S 0	S 0	0	3	10	.	
8	4.4	7.0	3.0	4.8	4.3	711.7	713.0	712.0	89	75	95	SW 1	SW 0	SW 2	9	8	10	.	
9	3.0	7.2	1.6	3.9	3.5	711.3	712.3	716.2	80	51	98	SE 1	SW 0–1	SE 0–1	10	4	10	5.0	● $8^1/_2{}^a$–a
10	-2.2	2.4	1.8	0.7	0.4	716.8	714.0	710.1	73	61	69	N 1–2	S 0	NE 0–1	0	10	10	.	⌊ I
11	3.2	0.8	0.8	1.6	1.4	706.6	**706.2**	708.1	64	100	100	W 0	SW 0–1	S 0	10	10●	10	6.9	● 0^p–p, n ✳
12	1.0	3.8	0.8	1.9	1.8	713.6	713.0	714.4	94	82	73	W 0	W 0	E 0–1	10	7	0	0.5	a ✳°
13	-0.4	4.8	2.4	2.3	2.3	713.0	713.4	714.6	64	59	81	E 0	E 0	E 0	10	10	3	1.6	
14	2.8	6.4	2.8	4.0	4.1	715.9	716.8	716.3	100	71	88	N 0–1	S 0	S 0	10●	10	0	0.4	● $6^1/_2{}^a$–l
15	1.4	**9.4**	5.4	5.4	5.6	713.9	712.5	715.4	78	51	100	NE 0	SW 0–1	S 1	3	8	10●	3.6	⌊ l, ● 7^p–n
16	3.6	6.2	1.8	3.9	4.2	717.3	717.6	721.0	95	67	66	SW 0	W 1	S 0–1	10	2	0	.	
17	-1.2	3.4	0.4	0.9	1.3	722.9	722.0	**723.1**	79	53	75	E 0	E 0	E 0	0	0	0	.	⌊^{2} I
18	0.0	6.0	3.2	3.1	3.6	721.8	720.4	720.0	75	62	71	NE 0	E 0	E 0	0	0	0	.	⌊^{2} I
19	1.0	6.6	2.2	3.3	3.8	719.8	719.0	717.8	73	65	84	NE 0–1	SW 0–1	E 0–1	8	10	6	.	⌊ l
20	5.8	8.6	3.0	5.8	6.4	713.1	712.1	716.1	52	57	100	NE 0–1	W 0–1	NE 0	10	10	3	7.0	● $11^3/_4{}^a$–p
21	1.4	3.2	7.2	3.9	4.6	712.7	711.2	708.8	95	81	62	NE 0	NE 0	SW 2	10	10●	10	10.6	⌊^{2} I, ● $11^1/_2{}^a$–n
22	6.2	7.2	3.4	5.6	6.3	716.3	717.4	715.1	**46**	51	100	SW 1–2	S 0–1	SW 0–1	10	9	10●	7.0	● 8^p–n
23	6.0	5.8	2.6	4.8	5.6	708.1	712.0	721.2	75	85	75	W 0–1	W 1–2	E 0	10●	10●	0	**14.5**	● n–II
24	0.4	4.0	3.8	2.7	3.6	720.7	719.0	713.7	72	55	80	E 0	E 0	S 2	8	10	10	*1.8	⌊ l, ✳ 11^p–n
25	2.7	3.4	3.0	3.0	3.9	711.2	712.2	714.0	100	89	70	SW 3	W 0–1	W 0–1	10*	8	10●	*10.0	✳ ⸗ n–l, ● $5^1/_2{}^p$–n
26	3.8	3.4	3.8	3.7	4.7	714.2	715.7	714.8	64	87	95	SW 1	NE 0	NE 0	10	10	10	*10.0	● 2^p–n
27	3.2	2.6	5.8	3.9	4.9	709.7	709.4	713.2	96	64	75	N 1–2	SE 0–1	S 0	10●	10●	10	*2.0	● n–II
28	3.8	7.2	5.6	5.5	6.5	717.3	718.6	720.0	79	65	72	N 0–1	SE 0	S 0	9	10	6	.	
29	5.0	7.6	5.6	6.1	7.2	719.7	719.0	719.8	90	75	94	S 0	NW 0	N 0–1	10	6	4	.	
30	1.6	6.0	1.8	3.1	4.2	719.8	720.4	719.7	100	74	95	NE 0	SE 0	S 0	0	0	0	.	⌊ I
31	1.6	5.0	3.5	3.4	4.5	721.4	719.5	721.3	100	100	77	E 0	N 0	NW 0	10=	10=	0	.	≡ n–II
																		Summe	
Mittel	1.9	5.4	3.0	3.4	—	716.1	715.8	716.4	80	68	82				6.7	6.8	5.5	82.4	

$\lambda = 8° 57'$, $\beta = 46° 0'$,
$Hb = 276.2^m$, $G = 0.03\,^m/_m$.

Lugano.

Dezember 1911.
Beobachter: *G. Malatesta.*

Tag	Lufttemperatur					Luftdruck			Relative Feuchtigkeit			Windrichtung und Stärke						Bewölkung			Niederschlag	Witterung
	7^{30}	1^{30}	9^{30}	Mittel	Abweich. vom Normalst.	7^{30}	1^{30}	9^{30}	7^{30}	1^{30}	9^{30}	7^{30}		1^{30}		9^{30}		7^{30}	1^{30}	9^{30}		
1	2.0	8.4	4.2	4.9	0.8	744.0	743.0	741.6	96	86	98	N	0	NW	0	N	0	0	10	0	.	
2	3.2	7.0	4.0	4.7	0.7	741.5	743.4	744.0	91	80	89	N	1	N	0	N	1	10	10	8	.	
3	1.0	6.4	3.6	3.7	−0.1	742.9	741.4	741.3	89	81	92	N	0	E	0	NNW	0	0	☌	10	.	
4	3.6	6.6	4.8	5.0	1.3	740.9	741.1	740.5	87	88	90	NW	0	W	0	SSW	0	10	10	10	.	
5	4.6	5.6	4.2	4.8	1.2	740.6	740.6	741.1	92	84	90	E	0	NNW	0	NNW	0	10	10	10	.	
6	5.2	7.4	3.6	5.4	1.9	743.4	744.6	745.9	67	80	83	NNW	0	SW	0	SW	0	10	7	5	.	
7	4.8	7.2	4.6	5.5	2.1	744.2	742.7	740.6	86	81	95	N	0	N	0	ESE	0	10	10	10●	10.7	● 3-4, $4^3/_4{}^p$-n
8	4.2	4.4	4.4	4.3	1.1	736.0	736.0	734.9	98	99	99	NW	0	NW	0	NW	0	10●	10●	10●	21.3	●, n ●
9	4.8	6.0	3.8	4.9	1.8	734.3	732.8	733.8	98	97	75	NW	0	NW	0	N	0	10●	10	0	3.6	● a, $2^1/_2$-$3^1/_2{}^p$, ≡° 10^a-
10	4.8	8.2	4.2	5.7	2.7	737.4	737.9	737.3	48	52	74	N	0	E	1	N	0	0	10	0	.	[$0^1/_2{}^p$, ≡ 3-4^p
11	1.8	1.0	0.3	1.0	−1.9	733.7	732.5	729.2	92	95	99	NW	0	N	0	N	0	10	10*●	10*●	21.0	●° n-l, ● ✳ 10^a-$1^1/_2{}^p$, *)
12	8.0	11.2	5.0	8.1	5.3	**728.9**	732.1	734.0	47	34	77	NW	1	N	2	N	0	10	0	0	.	↙ $7^1/_2$-10^a, $0^1/_2$-$1^1/_2{}^p$
13	1.0	4.8	1.4	2.4	−0.3	738.4	739.8	741.0	87	70	95	NE	0	NW	0	NW	0	2	10	10●	8.0	● $4^1/_2{}^p$-n
14	1.6	5.8	2.2	3.2	0.6	739.8	740.2	741.0	94	89	92	N	0	NE	0	N	0	10	3	0	.	● n-$4^1/_2{}^a$ [2^p-n
15	3.8	5.6	4.0	4.5	2.0	741.4	740.6	738.8	95	95	97	NE	0	W	0	NW	0	10≡	10≡	10=●	**24.6**	●° n-l, ● $8^1/_2$-9^a, ≡, ●^{2}
16	4.4	11.2	9.5	8.4	6.0	736.7	736.6	742.9	99	47	77	NW	0	NE	1	NE	2	10=●	10	0	.	●^{2} n-l, ●°-8^a, a ≡, ↙
17	1.4	9.2	2.0	4.2	1.9	745.3	745.6	**746.7**	95	54	79	NW	0	SW	0	N	0	0	0	0	.	[1^1 2-0^1 2^p
18	0.2	5.8	0.8	2.3	0.1	746.6	746.6	745.8	96	78	88	N	0	S	0	N	0	0	2	0	.	
19	0.1	6.2	1.8	2.7	0.6	744.7	744.6	744.2	83	79	86	N	0	SW	0	SW	0	0	0	0	.	
20	3.0	4.0	3.6	3.5	1.5	741.1	739.4	737.6	79	92	87	NE	0	NE	0	WNW	0	10	10●	8	5.7	a ●°. ● $1^1/_2$-6^p
21	0.2	3.4	3.2	2.3	0.4	736.0	733.9	732.5	98	98	95	N	0	E	0	N	0	10≡	10≡	10≡	.	≡^{2} 8-11^a, ≡
22	6.4	**11.4**	5.2	7.7	5.9	735.1	736.7	736.6	74	33	58	N	0	NNE	1	SW	0	0	0	0	.	
23	1.0	11.2	9.6	7.3	5.6	730.4	730.4	737.5	85	55	**32**	NW	0	NW	1	NW	2	6	3	0	.	↙ $5^1/_2{}^p$-n
24	1.8	7.8	1.2	3.6	1.9	740.9	742.3	742.4	61	59	83	N	0	W	0	W	0	0	0	0	.	
25	1.8	1.2	0.8	1.3	−0.3	735.8	731.9	733.6	76	97	88	N	0	N	0	NW	0	10	10●*	0	4.6	✳ 10^a-1^1 2^p, ●° ✳°- [$4^1/_2{}^p$
26	4.4	10.4	3.0	5.9	4.3	734.4	735.3	736.0	72	34	77	NW	0	NE	0	N	0	0	0	10	.	
27	4.4	6.0	8.4	6.3	4.8	732.2	729.5	732.1	85	84	54	NE	0	W	0	NE	0	10	10	0	.	
28	10.0	10.2	4.0	8.1	6.6	736.7	737.9	739.4	41	53	70	NNE	2	S	0	NW	0	0	0	0		↙ 5-7^1 2^a
29	**0.0**	5.0	5.2	3.4	2.0	740.0	738.8	737.7	80	74	83	N	0	NNW	0	SW	0	0	2	0		
30	1.4	5.0	1.0	2.5	1.1	739.0	739.9$^h_4$	739.0	99	86	93	NE	0	NNW	0	N	0	0	2	0	.	n ($^{30}/_{31}$) ⌙
31	**0.0**	7.2	3.0	3.4	2.1	737.6	740.5	741.1	89	77	88	N	0	SW	1	NW	0	0	0	0	.	
																					Summe	*) **11.** ✳ 2-4^p, ● ✳-$9^1/_2{}^p$,
Mittel	3.1	6.8	3.8	4.6	—	738.7	738.7	739.0	83	75	83							5.4	5.8	3.9	99.5	[●-$10^1/_2{}^p$

$\lambda = 7° 35'$, $\beta = 47° 33'$,
$Hb = 277.2^m$, $G = 0.13\,^m/_m$.

Basel.

Dezember 1911.
Bernoullianum.

1	5.0	6.2	5.2	5.5	3.4	744.1	742.6	743.2	94	79	78	NE	1	E	1	E	1	10≡	10≡	10	.	≡ n-II
2	2.8	6.4	2.0	3.7	1.7	743.7	742.1	742.3	83	65	87	E	1	SE	1	SE	1	10	0	0	.	⌊ III-n
3	**−0 2**	6.2	2.8	2.9	1.0	741.5	740.0	739.9	89	65	86	E	1	E	1	E	1	2	7	7	0.1	⌊ I
4	2.8	4.2	5.8	4.3	2.5	739.6	739.6	740.6	89	90	97	E	1	E	1	E	1	10●	10●≡	10	4.0	●" l, ● $9^1/_2{}^a$-$9^3/_4$, $11^1/_2$-
5	4.0	6.8	4.4	5.1	3.4	739.0	736.6	737.5	93	77	87	E	1	NE	1	NE	0	7	5	8	.	☋ III [$11^3/_4{}^p$, ≡ II
6	3.6	7.1	3.6	4.8	3.2	739.7	741.4	742.8	89	75	87	E	1	E	1	E	1	6	5	3	.	
7	1.6	5.4	2.4	3.1	1.6	739.8	736.2	733.0	89	73	83	E	1	E	1	SE	1	0	8	7	0.2	n ($^7/_8$) ●°
8	4.2	6.0	4.2	4.8	3.4	734.1	734.3	731.1	87	67	77	W	1	W	1	W	2	10	8	8	1.7	
9	5.4	7.4	5.2	6.0	4.7	730.3	733.9	738.4	88	52	67	W	1	W	2	W	1	10	8	8	.	● $4^1/_4$-$6^3/_4{}^a$, ●° $7^1/_4$-$8^1/_2{}^a$
10	2.4	5.7	4.6	4.2	3.0	738.1	734.6	728.9	80	54	54	E	1	E	1	E	2	8	10	10	1.1	⊕^{2} 11^a
11	4.4	5.0	3.3	4.2	3.1	**724.4**	727.6	730.9	74	81	95	E	2	W	1	W	1	10●	10●	10	2.6	● $2^1/_2$-$3^1/_4$, $6^1/_4{}^a$-$1^1/_2{}^p$
12	3.2	5.0	2.6	3.6	2.6	734.4	735.3	736.2	90	87	93	W	1	E	1	E	1	10●	10	0	1.9	● 1^3-4, 7-7^1 2. 11^3 1^a-4^1.
13	1.8	3.4	4.7	3.3	2.4	734.0	734.6	734.2	85	76	70	NE	1	E	1	E	2	10	10●	9	2.0	● ✳° 0-2^p [n ● ✳
14	5.2	6.2	5.0	5.5	4.7	735.1	737.9	737.0	84	88	91	E	1	E	1	E	1	10	6	0	2.0	● 1^1 4-11^1 2^a
15	3.0	4.8	5.8	4.5	3.8	734.2	733.2	737.7	90	81	91	E	1	E	1	S	1	7	10	10●	5.9	● 1^1 2-11^p
16	4.4	6.8	2.7	4.6	4.0	741.2	741.3	743 8	93	83	89	SE	0	E	1	E	1	10●	1	4	0.1	●° l
17	1.0	4.6	1.4	2.3	1.8	745.2	744.1	744.9	93	69	82	E	1	E	1	E	2	1	2	0	.	⌊ I
18	0.4	5.4	2.3	2.7	2.3	743.4	741.6	741.2	86	61	74	E	2	E	2	E	1	1	2	0	.	⌊ I
19	0.4	4.4	4.0	2.9	2.5	741.0	740.6	739.6	86	71	80	E	1	SE	1	E	1	5	8	0	.	⌊ I
20	4.0	6.0	9.3	6.4	6.1	733.3	729.8	737.0	77	91	46	E	2	SE	1	SE	1	10	10●	3	3.1	● $11^3/_4{}^a$-$3^3/_4$, $6^1/_2$-$6^3/_4{}^p$
21	4.6	**13.4**	8.4	8.8	8.6	732.0	727.5	728.0	74	**35**	73	SE	1	SE	3	SE	4	8	6	10●	7.3	●° 11^a, $0^1/_2$, 3^p, p n ↙^{2}, *)
22	5.6	8.0	6.2	6.6	6.5	739.1	739.0	731.3	75	60	82	NW	3	SW	2	W	1	10	5	10●	5.2	↙^{2} n-l, ● $8^1/_4{}^p$-$0^3/_4{}^a$
23	9.1	6.4	5.0	6.8	6.8	728.6	736.8	745.0	72	79	75	W	4	NW	3	NW	1	10	7	4	0.7	● 3^1 4-4^1, 11^1 4-1^1 2^p, ↙^{2} n-
24	0.6	4.3	4.2	3.0	3.0	741.9	738.9	736.1	88	72	83	E	1	SE	2	E	1	6	10	10●	**7.5**	● $7^3/_4$-8, $9^1/_2$-$11^1/_4{}^p$ [II
25	6.2	5.8	5.4	5.8	5.8	729.8	731.4	733.3	90	76	78	S	0	W	4	W	1	10●	10●	10	6.5	● 5^a-2, $8^3/_4$-10^p, ↙^{2} II, *)
26	5.4	6.9	5.4	5.9	6.0	736.6	737.3	735.5	73	70	91	SW	2	SW	2	SW	1	10	9	10●	2.3	● $1^3/_4$-$4^3/_4{}^a$, $8^3/_4{}^p$-$0^1/_4{}^a$
27	9.7	8.5	5.4	7.9	8.0	730.4	733.0	738.1	75	75	78	SW	2	W	1	W	0	9	10●	10	0.6	● $2^1/_2$-$3^1/_4{}^a$, ●° $9^1/_4$- *)
28	0.7	5.0	4.6	3.4	3.5	742.1	742.7	743.3	94	78	82	SE	1	SE	1	SE	0	6	10	10=	0.6	⌊ I, ≡ III, ●° 10-$10^1/_2{}^p$
29	8.9	7.9	6.6	7.8	8.0	741.9	742.1	743.4	92	83	85	W	0	W	1	SW	1	10	10	9	0.2	● 6^1 1^a-5^a
30	5.7	6.8	4.8	5.8	6.0	742.4	741.6	742.1	91	83	84	SE	1	S	0	W	1	10≡	10	10	.	≡ I
31	4.2	6.0	2.6	4.3	4.5	744.8	745.6	**747.1**	90	85	100	E	0	W	0	NW	0	10	6	10≡	.	≡ III
																					Summe	
Mittel	3.9	6.2	4.5	4.9	—	737.6	737.5	738.2	86	74	81							7.9	7.5	6.8	55.6	

[*) **21.** ● 5^p-$2^1/_2{}^a$ *) **25.** ● ✳ $3^3/_4$-$5^1/_4{}^p$ *) **27.** $10^1/_4{}^a$, $1^1/_2$-2^p

Dezember 1911.
Observatorium.

Säntis.

$\lambda = 9° 20'$, $\beta = 47° 15'$,
$Hb = 2500.1^m$, $G = -0.16\,^m/_m$.

Tag	Lufttemperatur					Luftdruck			Relative Feuchtigkeit			Windrichtung und Stärke			Bewölkung			Niederschlag	Witterung
	7^{30}	1^{30}	9^{30}	Mittel	Abweich. vom Normalst.	7^{30}	1^{30}	9^{30}	7^{30}	1^{30}	9^{30}	7^{30}	1^{30}	9^{30}	7^{30}	1^{30}	9^{30}		
1	−4.6	−2.8	−6.0	−4.5	2.3	565.0	563.9	563.7	54	35	68	WNW 2	WNW 2	SW 3	0	3	1	.	
2	−7.6	−3.9	−5.4	−5.6	1.3	563.5	563.3	563.4	71	65	75	WSW 3	WSW 3	WSW 3	1	1	0	.	
3	−5.8	−3.4	−5.8	−5.0	2.0	563.1	562.7	562.2	84	74	87	W 3	WSW 2	WSW 2	4	4	7	.	
4	−6.7	−3.9	−6.8	−5.8	1.3	561.5	561.6	561.2	88	88	100	WSW 3	SSW 1	WSW 3	6	9	10≡*	7.2	≡ $4^1/_2$p-n, Ψ $5^3/_4$-6p, ✶
5	−7.2	−6.6	−6.6	−6.8	0.4	560.1	559.1	560.1	98	89	62	SSE 1	SW 2	WSW 3	3	1	9	.	[$6^1/_2$p-n, ☩ $8^1/_2$p-n
6	−5.5	−4.1	−4.6	−4.7	2.6	561.8	563.7	564.7	73	74	72	SSE 3	SW 2	SSE 1	8	6	1	.	
7	−5.6	−3.4	−4.0	−4.3	3.1	562.9	560.7	557.9	63	71	84	SW 3	SW 4	WSW 4	2	3	9	.	p
8	−5.0	−4.2	−5.4	−4.9	2.5	556.8	556.6	555.5	87	98	87	SW 3	SW 3	WSW 3	7	9	9	.	≡ $11^1/_4$a-1p, Ψ $9^1/_2$p
9	−5.9	−11.0	−11.8	−9.6	−2.1	554.7	553.9	557.8	80	100	100	SW 3	WNW 5	WSW 1	5	10≡*	10≡*	13.7	☩ ≡ $9^1/_4$a-n, ✶ 10a-n,
10	−13.8	−8.8	−6.2	−9.6	−2.0	558.6	557.7	555.0	96	77	78	SW 0	SW 2	SW 1	1	9	9	.	[p V
11	−4.8	−5.2	−11.0	−7.0	0.7	551.7	551.4	552.8	90	97	100	WSW 3	WSW 2	NNW 2	9	10≡*	10≡*	18.7	☩° n-$2^1/_2$p, ☩²-n, ✶ *)
12	−10.6	−10.3	−11.3	−10.7	−2.9	554.3	555.8	557.3	100	100	100	ENE 1	NW 1	WSW 1	10≡*	10≡*	10≡*	16.1	a ☩³, ≡ ✶ V, p ☩
13	−7.9	−6.8	−6.3	−7.0	0.8	556.9	557.9	558.8	81	85	94	WSW 1	WSW 2	WSW 2	9	10	10	1.1	p ☩°, n ✶
14	−5.2	−4.5	−4.4	−4.7	3.2	559.9	561.1	560.7	98	87	72	WSW 3	WSW 1	WSW 2	9	8	3	.	a ☩°, 10¹a, ≡ *)
15	−2.8	−1.5	−5.1	−3.1	4.9	560.1	559.9	559.8	63	68	98	SSW 2	SSW 1	WNW 3	4	6	10≡*	17.6	☩° $3^1/_2$p-n, ≡ ✶ $9^1/_4$p-n
16	−9.7	−8.5	−11.1	−9.8	−1.8	560.9	561.5	563.3	100	100	80	NW 2	W 1	NW 1	10≡*	10≡*	1	2.3	✶ n-$2^1/_2$p, ≡ n-$3^1/_4$p
17	−6.8	−0.4	−2.4	−3.2	4.9	565.2	566.3	567.6	67	**28**	60	NW 1	NW 0	W 3	1	3	2	.	
18	0.3	2.4	1.4	1.4	9.6	567.8	**567.9**	567.7	66	54	52	SW 3	SW 1	W 0	5	6	2	.	
19	1.9	**3.6**	−0.3	1.7	9.9	567.1	566.7	565.3	46	44	70	WSW 3	SE 1	WSW 2	4	8	10	.	[$9^1/_4$p-n
20	−0.7	−0.7	−6.9	−2.8	5.5	560.6	557.8	558.7	67	80	100	S 2	S 2	SW 4	9	9	10≡*△	10.0	≡ ✶ ☩² 3p-n, △
21	−5.4	−4.3	−6.5	−5.4	2.9	556.8	553.6	550.7	67	98	100	SW 4	WSW 5	WSW 5	7	4	10≡*	23.9	2, ≡ $0^1/_2$-$1^1/_4$, $7^1/_2$p-n
22	−9.4	−11.2	−6.6	−9.1	−0.7	557.9	558.5	555.5	100	100	100	WSW 3	WSW 3	WSW 4	10≡*	10≡*	10≡*	34.3	✶² n-$4^1/_4$, 7p-n, ≡ *)
23	−6.3	−6.6	−11.3	−8.1	0.3	**550.4**	554.4	562.3	100	100	100	WSW 4	SW 3	NNW 1	10≡*	10≡*	10≡*	41.8	△ l, ☩² n-$3^1/_2$p, *)
24	−12.4	−9.2	−5.4	−9.0	−0.5	561.8	561.2	559.9	90	90	98	WSW 3	WSW 4	WSW 5	3	9	7	14.5	a , ☩² V², p ², ✶ *)
25	−5.5	−7.8	−11.3	−8.2	0.3	555.5	551.8	553.7	100	100	100	WSW 2	W 3	NNE 3	10≡*	10≡*	10≡*	34.1	≡² ✶² ☩² V, *)
26	−10.7	−10.6	−9.7	−10.3	−1.7	555.5	556.6	556.9	100	100	100	WSW 3	WSW 2	WSW 3	10≡*	10≡*	10≡*	**53.3**	10¹a, ≡ ✶² ☩² V²
27	−5.9	−6.9	−10.5	−7.8	0.8	552.1	553.6	557.2	100	100	100	WSW 4	WSW 2	NE 1	10≡*	10 ✶	10≡*	30.5	a , ☩² n-4p, ☩-n, *)
28	−11.2	−11.6	−9.1	−10.6	−2.0	560.6	561.6	563.0	100	88	87	WSW 1	WSW 2	WSW 5	10≡*	9	9	17.5	≡ ✶ n-$9^3/_4$a, V, ☩ *)
29	−2.8	−4.3	−4.5	−3.9	4.8	563.2	562.5	564.3	100	100	100	WSW 3	W 2	WNW 2	10≡	10≡*	10≡	21.3	≡² ☩ V², ✶ 11¹/₂a-$9^1/_4$p
30	−3.2	−1.8	−4.0	−3.0	5.7	565.4	565.1	564.1	97	82	73	WSW 2	SW 2	SW 3	7	3	6	1.4	n (30/31) ✶
31	−8.4	−7.5	−6.5	−7.5	1.2	563.7	564.5	566.0	85	60	56	NE 2	ENE 3	NE 3	2	0	0	.	
																		Summe	
Mittel	−6.3	−5.4	−6.6	−6.1	—	559.9	559.8	560.2	84	82	86				6.3	7.1	7.3	359.3	*) **11.** 0¹/₂p-n, ≡ $1^1/_2$p-n. $4^1/_2$p *) **14.** $9^1/_4$-$9^3/_4$a, $3^1/_2$-$4^1/_4$p *) **22.** ☩²V², 10¹/₂a, III-n *) **23.** ☩-n, ≡³✶²V² *) **24.** ≡ $4^3/_4$-6p, n *) **25.** 10¹/₂a, $4^1/_2$p *) **27.** ≡² ✶² △² V² *) **28.** n-$5^1/_2$p, ², ☩² $5^1/_2$p-n, n ✶

Dezember 1911.
Beobachter: *D. Dittli.*

St. Gotthard (Hospiz).

$\lambda = 8° 34'$, $\beta = 46° 33'$,
$Hb = 2102.9^m$, $G = -0.14\,^m/_m$.

1	−3.6	−1.8	−3.2	−2.9	2.8	593.9	592.9	592.7	34	36	38	N 2	NNE 0	N 2	1	0	0	.	
2	−4.0	−2.2	−6.5	−4.2	1.6	592.1	592.6	590.8	34	26	90	N 4	N 1	SSE 0	2	0	9≡	.	2 I, ≡ III
3	−3.5	−1.0	−2.8	−2.4	3.5	591.9	591.6	591.2	35	34	41	N 1	N 1	N 1	0	0	2	.	
4	−4.6	−0.4	−3.9	−3.0	3.0	590.5	590.4	590.6	49	40	94	N 1	NW 0	N 0	1	6	10	3.9	n (4/5) ✶
5	−4.6	−5.3	−7.0	−5.6	0.5	589.4	589.2	590.4	95	97	84	SSE 2	S 2	S 2	10	10≡	5	.	≡² II
6	−6.7	−3.7	−7.4	−5.9	0.3	591.9	593.7	594.8	95	60	89	S 1	SSE 1	SSE 1	6	4	1	.	
7	−4.7	−5.2	−5.9	−5.3	1.0	593.6	591.2	587.9	72	97	98	S 2	S 2	S 3	9	10≡	10*	6.1	≡² II, ☩ ✶ 2p-n, 2 III
8	−4.3	−3.4	−4.3	−4.0	2.4	586.2	586.1	585.3	98	99	98	S 1	S 1	S 1	10*	10≡	10≡	5.4	✶, p ≡
9	−4.0	−6.6	−9.4	−6.7	−0.2	584.1	584.3	586.6	97	94	87	S 1	N 1	N 4	10≡	10*	10≡*	10.5	≡ l, ✶ 8a-3p, ✶ ≡ 5p-
10	−13.2	−5.6	−9.0	−9.3	−2.7	587.8	587.7	585.9	86	45	65	N 2	S 1	S 2	0	10	6	.	[n, 2 III
11	−10.5	−5.6	−7.5	−7.9	−1.2	582.9	**581.1**	**581.1**	96	84	94	S 2	S 1	N 4	10	10*	10*	13.6	✶ $1^1/_2$p-n, ☩² 2 III-n
12	−8.6	−8.0	−11.8	−9.5	−2.7	583.0	584.8	587.3	93	93	90	N 4	N 3	N 1	10	10	0	.	2 I, -II
13	−8.6	−7.2	−6.0	−7.3	−0.4	587.6	588.4	589.2	77	90	94	SSE 3	S 2	S 1	8	10≡	10≡	6.4	I, ✶ 10a-0p, p ≡
14	−5.6	−2.4	−4.6	−4.2	2.7	589.3	590.2	591.2	95	87	80	S 1	SE 0	SSE 2	7	1	9	.	
15	−4.6	−2.3	−3.6	−3.5	3.5	590.4	590.0	589.3	100	90	100	SSE 2	SSE 2	SSE 1	10≡	10≡	10*	12.4	≡ n-II, ✶ 9p-n
16	−6.8	−6.7	−9.2	−7.6	−0.5	589.4	589.7	592.1	97	96	95	N 5	N 5	N 4	10≡	10≡	0	1.1	≡² ✶ n-II, ²
17	−6.6	−1.2	−2.0	−3.3	3.9	594.5	595.3	**596.8**	65	64	31	NNE 3	S 1	S 1	0	0	0	.	I
18	−0.9	0.6	1.2	0.3	7.5	596.6	596.6	596.4	35	31	30	S 1	S 0	S 0	0	2	1	.	
19	0.5	**3.1**	−0.3	1.1	8.4	595.6	595.6	594.4	27	28	34	S 1	S 0	S 1	2	7	4	.	
20	−5.5	−2.4	−2.9	−3.6	3.7	590.8	588.4	589.0	73	81	47	S 3	SE 3	N 2	8	10	1	1.0	n-II, ✶ 1¹/₂-$7^3/_4$p
21	−4.5	−0.9	−5.6	−3.7	3.7	587.0	585.1	582.9	35	40	97	N 1	W 2	S 1	4	7	10*	8.1	✶ $5^1/_4$p-n
22	−7.1	−7.0	−6.8	−7.0	0.4	587.0	588.8	586.2	95	80	96	N 4	N 2	S 1	10*	9	10*	6.1	², ☩² I, ✶ n-9a, $4^1/_2$p-
23	−6.6	−3.7	−8.6	−6.3	1.2	581.7	583.5	591.3	96	97	95	S 1	N 5	N 5	10*	10*	10*	7.0	✶, p ², ☩² [n
24	−6.4	−3.3	−6.3	−5.3	2.2	591.6	591.1	590.0	61	31	44	N 2	S 1	S 1	0	7	3	.	
25	−8.2	−5.2	−7.0	−6.8	0.7	585.8	582.1	582.9	57	89	69	SE 2	S 0	N 4	10	10*	10*	**15.1**	✶ ☩ 8a-n, ² III
26	−8.0	−6.4	−7.1	−7.2	0.4	585.6	586.6	587.1	82	89	90	N 2	N 1	N 1	10	10≡	10*	12.2	✶ ≡ 8a-n
27	−2.5	−3.6	−6.6	−4.2	3.4	583.3	581.3	585.9	73	94	90	N 2	N 6	N 4	10	10*	10*	11.0	≡ l, ☩² ² ✶
28	−8.2	−7.0	−6.2	−7.1	0.6	589.0	590.3	591.8	93	95	90	N 5	N 4	N 5	9	10≡	3	.	≡ n-II, ²
29	1.2	−1.9	−0.4	−0.4	7.3	591.8	592.0	593.2	56	50	61	N 4	N 4	N 2	0	4*	7	8.0	² n-II, ☩ ✶ 1p-p
30	−0.8	1.8	0.2	0.4	8.1	593.5	593.6	593.7	54	39	24	N 2	N 2	N 2	0	1	1	0.8	n (30/31) ✶°
31	−5.0	−5.5	−2.6	−4.4	3.4	591.5	593.7	594.9	97	96	**21**	N 5	N 2	N 2	10	0	1	.	≡ ² I
																		Summe	
Mittel	−5.4	−3.5	−5.3	−4.7		589.3	589.3	589.8	73	71	73				6.2	6.7	5.9	128.7	

Ergänzende Witterungsnotizen zu den Tabellen pag. 1—72.

Januar.

Bern. 2. Totale Schneehöhe: 12^{cm}. 12. Ab. Alpenglühen. 19. Morgenrot. — Alpen sichtbar: 17 Ab. 31. — Alpen hell: 1. 7. 8. 9. 11 Ab. 13 Vm. früh. 19. 22 Ab. 28 id. 29 id. 30; je Nm.: 6. 12. 26. 27. — Alpen klar Vm. früh: 1. 7. 8. 9. 11. 30. 31. — Neuschnee: 2. Vm. früh 6 u. Mitt. 5^{cm}; 10. 7.5. — **Neuenburg.** 2. Vm. früh Neuschnee: ca. 4–5^{cm}. 11. Vm. früh Alpen sichtbar. — **Altdorf.** Totale Schneehöhe: 1. 6^{cm}; 2. 10; 3. 23. — Nebel an den Bergen: 15 Mitt. 17 (stark). 21 (schwach). 29 Mitt. — **Genf.** 2. Neuschnee: 4^{cm}. — **Zürich.** 16. u. 19. Leichtes Abendrot je 5$^{1}/_{4}$^{h}. 27. u. 28. je Vm. früh vereinzelt leichte Eissulzbildung im untern Seebecken. 30. Zwischen Stäfa u. Wädenswil ca. 1–1$^{1}/_{2}$^{cm} starke Eisbildung. — Alpen sichtbar: 6 Ab. (schwach). 11 Vm. früh. 12 Nm. 25 Ab. (schwach). 26 seit 4^{h} Nm. 30 Nm. (südöstl.). 31 Vm. früh u. Nm. — Cirri: 6 Vm. 9 Mitt. 16 Ab. 17. 18 Ab. 25 Mitt.; je Nm.: 7. 12. 26. 27. — Tal u. See neblig: 6 Vm. 12. 17. 26 je Nm. — Tal u. See Nebel: 1 Vm. 7 Nm. 17 Vm. 18 Nm. 19. 27. — Hochnebel: 3. 4. 5. 9 Nm. 14. 15. 16. 20. 21. 22 Ab. bis 25. 28 Nm.; je Vm.: 12. 13. 22. 26. 29. 30. — Neuschnee: 1. 0.5^{cm}; 2. 11; 3. 6; 10. 5; 11. 4; 14. 5.5 (total 15^{cm}); 21. 10 (total). — **Rigi-Kulm.** Nebelmeer: 1 Vm. 5 id. 7 Vm. früh (teilw.). 8. 9 Vm. 11 Nm. 14 Nm. bis 19 Vm. 20–25. 26 Ab. (teilw.). 28–31 Vm. früh. — Tal neblig: 1 Mitt. 6 Vm. früh. 7 (teilw.). 8 Vm. früh (id.). 9 Mitt. 11 Vm. 12 Vm. früh. 19 Vm. 25 Ab. 26 Nm. 27. 31 bis Nm. — **Bevers.** Neuschnee: 3. 5^{cm}; 11. 2; 13. 3. — 31. Totale Schneehöhe: 55^{cm}. — **Sitten.** 31. Schneedecke: 7^{cm}. — Dunst: 16 Vm. früh. 17. 18 Vm. früh. — Neuschnee: 2. 2^{cm}; 3. 3; 4. 1; 10. 7. — **Lugano.** 10. Seit Nm. N-Föhn. — Neuschnee: 3. Vm. früh 1^{cm}; 14. id. 3 u. Mitt. 3. — **Basel.** 30. Leichtes Abendrot 5$^{3}/_{4}$^{h}. — Neuschnee: 2. 14^{cm}; 14. 4. — **Säntis.** 1. u. 31. Ebene angeschneit. — Morgenrot: 1. 3. 5–9. 11. 12. 14–25. 27–31. — Abendrot: 1–9. 12. 14–24. 26. 27. 29. 30. 31. — Mittlere Höhe der Schneedecke: 1. 245^{cm}; 3. 247; 6. 235; 8. 230; 10. 250; 13. 264; 15. 252; 17. 247; 20. 239; 22. 235; 25. 231; 27. 228; 30. 223. — Neuschnee: 1. 4^{cm}; 2. 3; 3. 3; 10. 19; 11. 14; 13. 1; 14. 1; 26. 1. — Cirri: 1. 2 Mitt. 3–7. 8 Vm. früh u. Mitt. 9 bis Nm. 11 Nm. 12 Vm. früh u. Nm. 13 Mitt. 14. 15 Vm. 16. 17. 18. 19 Ab. 21. 22. 23 Vm. früh u. Nm. 24. 25 bis Nm. 26 Nm. 27. 28. 30 Vm. früh. 31 id. — Alpen sichtbar: 2 Nm. 3. 19 (zeitw.). 25 Ab. 26 Vm.; je 9^{h} Ab.: 18. 20. 21. 23. 27. 28. 30. — Alpen hell: 3 Mitt. 4–7. 12. 13 Mitt. 14. 26 Nm. 31 id. — Alpen klar: 1. 4 Ab. 8. 9. 11. 15–19 Vm. früh. 20–25 Nm. 27–31 Vm. — Ebene sichtbar: 4 bis Nm. 11 Vm. früh. 16 9$^{1}/_{2}$^{h} Ab. 19 Ab. 21 9$^{1}/_{2}$^{h} Ab. 25 Nm. 26 Vm. 28 Nm. 30 id. — Ebene hell: 1. 6. 7. 8 Nm. 9. 11 Nm. 12. 17–20. 22 Vm. u. 9$^{1}/_{2}$^{h} Ab. 26 Nm. 27 id. 28 Vm. 29. 31. — Ebene klar: 8 Vm. 18 10$^{1}/_{2}$^{h} Vm. 20 Vm. früh. 27 Vm. 30 Ab. — Nebelmeer: 1 Vm. (teilw.). 3 (17–1800^{m}). 4 (teilw., 12–1600^{m}). 5 (17–2100^{m}). 6 Vm. früh (600^{m}). 7 (Vm. 5–600^{m}, Mitt. tief). 8 (600^{m}). 9 (5–700^{m}). 11 (teilw. u. tief; Vm. früh 900^{m}). 12 Vm. (Bodensee). 13 Mitt. (1900^{m}). 14 (1600^{m}; Ab. 9$^{1}/_{2}$^{h} 1400^{m}). 15 (1200^{m}; Ab. 1100^{m}). 16 (1100^{m}; Mitt. 900^{m}). 17 (Vm. tief, Ab. 700^{m}). 18 (600^{m}; Vm. 10$^{1}/_{2}$^{h} tief). 20 (6–800^{m}). 21 (800^{m}). 22 (600^{m}). 23 (9–1100^{m}). 24 (13–1500^{m}). 25 Vm. (11–1400^{m}). 26 Nm. (teilw., 700^{m}). 27 (bis Nm. Bodensee, Ab. tief). 28 (Vm. 700, Nm. 1500^{m}). 29 Vm. früh (600^{m}). 30 (12–1500^{m}). — Alpen Nebel: 2 Mitt.; je 9$^{1}/_{2}$^{h} Ab.: 3 (leicht). 4 (id.). 19. 24 (leicht). — Ebene Nebel: 2 Nm. 3. 4. 5 je 9$^{1}/_{2}$^{h} Ab. 12 Mitt. (teilw. u. tief). 16 Ab. 9$^{1}/_{2}$^{h} (tief). 19 Vm. früh u. Ab. 23 9$^{1}/_{2}$^{h} Ab. 24 id. 29 Vm. (teilw. u. tief). 31 Vm. früh (teilw.). — **St. Gotthard.** Neuschnee: 1. 13^{cm}; 2. 2; 3. 21; 4. 6; 5. 1; 6. 3; 7. 16; 10. 3; 14. 1; 15. 0.5. — Totale Schneehöhe: 1. 310^{cm}; 2. 300; 3. 318; 6. 280; 7. 294; 13. 260; 27. 235.

Februar.

Bern. 2. Morgenrot. 28. Ab. Alpenglühen. — Neuschnee: 3. 3^{cm}; 13. 4. — Alpen sichtbar: 1. 5 Ab. 7. — Alpen hell: 2. 4 Ab. 9 id. 10. 11. 15 Nm. 21. 22 Ab. 27 id. 28; je Vm. früh: 4. 6. 19. 22. 23. — Alpen klar: 2. 7. 9 je Vm. früh. 10 Mitt. 11 Ab. 16. 17. 18 Nm. 23. 28 Ab. — **Neuenburg.** 9. Nm. 5^{h} W-Wind auf dem See. 14. Bis Nm. Nebel am Chaumont. 28. Nm. 1$^{1}/_{2}$^{h} SW-Wind auf dem See. — Alpen sichtbar: 1. 17. 19. 21 Nm. 22. 23 Nm. 27 id. 28. — **Altdorf.** Neuschnee: 3. 12^{cm}; 8. 7. — Nebel an den Bergen: 13 Nm. 14 Vm. früh. 23 id. — **Genf.** 3. Neuschnee: 1^{cm}. — **Zürich.** 6. See bis Bächau-Kehlhof gefroren. 18. u. 19. Boden teilweise schneebedeckt. 20. Schneefrei; Vm. früh gefrorene Tauperlen; Neuschnee bis Albisgütli. 22. Starkes Morgenrot. 27. Vm. früh Wiesen Schneeanflug. 28. Vm. früh Eisbildung. — Intensives Abendrot: 2 5$^{1}/_{2}$^{h}. 7. 17. 21 5$^{3}/_{4}$–6^{h} (Kupferröte). 28. — 23. u. 28. je Vm. Tal u. See dunstig. — Alpen sichtbar: 6 Ab. (südöstl. u. südwestl.). 10 id. (schwach u. teilw.). 11 (Vm. teilw.). 12 Vm. 18 (teilw.). 21 Vm. (südwestl.). 22 Ab. (teilw.). 23. 27 Ab. (schwach); je Nm.: 1. 2 (schwach). 15 4^{h}. 16 (schwach). 17. — Alpen hell: 21 Nm. 22 Vm. 23 Ab. 28 Nm. — Alpen klar Vm.: 17 u. 5$^{3}/_{4}$^{h} Ab. 19. 24 (Voralpen). 28. — Cirri: 11. 15. 20 Mitt. 21. 23; je Vm.: 6. 16. 19. 22. 24. 28; je Nm.: 1. 2. 4. 9. 10. 18. 27. — Tal u. See Nebel Vm: 1 (leicht). 2. 6. 10 Nm. 11. 16. — Hochnebel: 5. 7. 9 Vm. (schwach). 14. 15 Vm. früh u. Ab. — Schneegrenze: 18. 550^{m}; 22. ca. 600; 23. 800; 27. 800. — Neuschnee: 3. 3^{cm}; 4. ca. 1–2; 8. 3; 9. 1; 13. 8; 14. 1. — **Rigi-Kulm.** Tal neblig: 7. 10. 15 je Mitt. 16 bis Nm. — Nebelmeer: 1 (Nm. teilw.). 2 bis Nm. (teilw.). 4 (Vm. teilw.). 5 bis Nm. 7 Vm. 9 (teilw.). 10 Vm. (id.). 13 Nm. 14. 15 Vm. — **Bevers.** Neuschnee: 3. 3^{cm}; 4. 2; 13. 2; 25. 5; 26. 19; 27. 17; 28. 1. — 28. Totale Schneehöhe: 69^{cm}. — **Sitten.** 6. u. 15. je Vm. früh Nebel an den Bergen. 12. Nm. Schneefall auf den Bergen. — Neuschnee: 3. 2^{cm}; 13. 7. — **Lugano.** Neuschnee: 12. Ab. 1^{cm}; 13. Vm. früh 6. — N-Föhn: 3. 4 Vm. früh. 8. 9. Vm. früh. 20. 21. 24 Nm. 26 seit Nm. 27. — **Basel.** Abendrot: 2. 6 5$^{1}/_{2}$^{h}. 7 5^{h}40^{m}. 21 6^{h} (intensiv). — **Säntis.** 1. Nm. u. 2. Mitt. Ebene dunstig. 24. Nm. 2^{h}2^{m} Blitz u. Donner (Gewitter) im NE. 26. Nm. einige ferne Blitze. — Morgenrot: 1. 2. 4–7. 9. 10. 12. 14–19. 22. 23. — Abendrot: 1. 2. 4. 5. 7. 9. 10. 13. 14. 21. 23. 28. — Neuschnee: 3. 3^{cm}; 4. 10; 8. 7; 9. 6; 13. 1; 16. 1; 17. 1; 18. 1; 20. 15; 21. 15; 22. 1; 23. 10; 24. 9; 25. 15; 26. 22; 27. 16; 28. 5. — Mittlere Höhe der Schneedecke: 3. 221^{cm}; 5. 230; 8. 234; 10. 237; 13. 235; 15. 233; 17. 230; 20. 249; 22. 273; 24. 290; 26. 324; 28. 340. — Mittlere Schneegrenze: 19. 600^{m}; 23. 700; 28. 600. Cirri: 1. 2. 4 bis Nm. 5. 6 bis Nm. 7 Vm. früh u. Ab. 9. 10. 11 Nm. 12 bis Nm. 13. 14 Vm. u. Ab. 15 bis Nm. 16. 19 Vm. 21 Nm. 22 Vm. 23. 28 Vm. — Alpen sichtbar: 11 bis Nm. 12 Ab. 18 Vm. früh. 22 Mitt. 28 Vm.; je 9$^{1}/_{2}$^{h} Ab.: 1. 4. 5. 6. 8. 18. 23. — Alpen hell: 2. 6 bis Nm. 12 id. 13. 28 Nm. — Alpen klar: 1. 2 Vm. früh u. 4$^{1}/_{2}$^{h} Ab. 4. 5. 6 Vm. früh. 7. 9. 10. 14–17 Vm. 19 Vm. 21 Nm. 22 Vm. 23. — Ebene sichtbar: 4 Ab. 7 Nm. 8 9$^{1}/_{2}$^{h} Ab. 9 Ab. 11 bis Nm. 17 Mitt. 18 Vm. früh u. 9$^{1}/_{2}$^{h} Ab. 27 9$^{1}/_{2}$^{h} Ab. 28 Vm. — Ebene hell: 1. 2 4 bis Nm. 6 Vm. 7 Vm. früh u. Mitt. 9 bis Nm. 10. 12 bis Nm. 15. 16. 17 Vm. 19 Vm. früh. 21 Nm. 22 Vm. 23. 28 Nm. — Ebene klar Vm.: 1 10$^{1}/_{2}$^{h}. 9 id. 10 id. 19. 22 früh. — Vorbeiziehende Nebel: 6 Nm. (in den Alpen). 11 10$^{1}/_{2}$^{h} Vm. (Alpen u. Ebene). 18 Vm. früh (id.). — Nebelmeer: 1 Vm. (früh teilweise, 600^{m}, später Bodensee). 4 Vm. (teilw., 7–900^{m}). 5 (Vm. 700—1000, Nm. 1500^{m}). 6 Vm. früh (teilw., 2200^{m}). 7 (Vm. 700^{m}, Mitt. Bodensee). 9 Vm. (700^{m}). 10 (Vm. 600^{m}, Mitt. Bodensee). 13 (teilw., 13–1500^{m}). 14 (1300^{m}). 15 Vm. (teilw., 900^{m}). — Alpen Nebel: 7 Ab. 9$^{1}/_{2}$^{h} (leicht). 17 Mitt. 19 id. 21 9$^{1}/_{2}$^{h} Ab. 27 id. (schwach). — Ebene Nebel: 6 Mitt. 15 id. (teilw.); je Ab.: 4 (leicht). 6 9$^{1}/_{2}$^{h} 7 (teilw.). 9 (schwach). 12. 16 (teilw., schwach). — **St. Gotthard.** 26/27. Nachts orkanartiger N. — Neuschnee: 3. 10^{cm}; 4. 13; 8. 10; 9. 14; 13. 6; 14. 5; 20. 17; 21. 6; 24. 10; 25. 23; 26. 45; 27. 8. — Totale Schneehöhe: 3. 230^{cm}; 4. 242; 9. 230; 13. 235; 14. 238; 17. 230; 24. 220; 25. 240; 26. 280; 27. 200–400 (stellenweise).

März.

Bern. 26. Schneehöhe: 14^{cm}. 30. Ab. Alpenglühen u. Blitze über dem Jura. — Alpen hell: 2 Vm. früh (klar). 6 (früh sichtbar). 17 Ab. 19 Nm. (klar). 20 Nm. 21. 22. 29 Ab. 30 id. 31. — **Neuenburg.** 1. u. 24. je Ab. Joran. 12. Nm. st. NW–Böen. 14. Vm. 10$^{1}/_{2}$^{h} Schneehöhe: ca. 6^{cm}. 23. Nm. 4^{h}20^{m} Donner im NE u. gegen 5^{h} im SE. 24. Vm. 11^{h} Donner im N u. 2^{h} Nm. im NE. 30. Ab. 5$^{1}/_{2}$–7^{h} Gewitter im S nach NE und gegen 9$^{1}/_{2}$^{h} Blitze im E. — Alpen sichtbar: 5 Nm. (teilw.). 30 Ab. 31. — **Altdorf.** 13. u. 14. je Ab. NWs. — Nebel an den Bergen: 4 Mitt. 6 Vm. (leicht). — Hochnebel: 11 Vm. früh. 23 Mitt. 27 Vm. früh. — Föhn: 13 bis 3^{h} Nm. 19 Nm. 20. 21. 22 Nm. 27 Ab. bis 30.

Neuschnee: **15.** 3cm; **26.** 15. — **Genf. 13.** Nm. $1^1/_2{}^h$ ein Donnerschlag (l. Gewitter). — Neuschnee: **15.** 5cm; **25.** 3; **26.** 4; **27.** 3. — **Zürich.** 2. Schneegrenze: 1000m. **3.** Nm. Wiesen Schneeanflug. **14.** Vm. Felder leicht schneebedeckt, Nm. schneefrei. **17.** Vm. Schneeanflug. **21.** Schneegrenze: ca. 1100m. **24.** Nm. $4^3/_4{}^h$ Blitze im W. **27.** Nm. u. **28.** Boden teilweise schneebedeckt. **29.** Vm. $9^1/_2{}^h$ Nebensonne. **30.** Ab. Blitze im W. — Eisbildung Vm. früh: **2. 6–9. 27.** — Alpen sichtbar: **2** seit 11^h Vm. **6** Vm. früh. **13** Vm. (schwach). **14** Vm. **16. 17** Vm. früh u. Nm. **20** (schwach). **27** Nm. (teilw.). **28** id. **29.** — Alpen hell: **19** Nm. **30. 31.** — Alpen klar: **18** bis $9^1/_2{}^h$ Vm. **21** Nm. **22** seit 9^h Vm. **30** Ab. (intensiv). **31** Vm. früh. — Cirri: **2** Vm. **6. 7. 9** Mitt. **11** Nm. **16** id. **17** Vm. früh. **19. 20. 21** seit $10^1/_2{}^h$ Vm. **22. 23. 24. 27. 28** Vm. **29.** — Neuschnee: **14.** ca. 0.5cm; **16.** 0.5; **26.** 8.5. — Hochneblig: **8** (Vm. stark). **10** Vm. **11** id. — Tal u. See neblig Vm.: **2. 6** bis 10^h. **9. 13. 21. 28** Nm. (leicht). **30** (Dunst). — Tal u. See Nebel Vm.: **8. 11. 18. 22. 23. 24. 28. 29.** — **Rigi-Kulm. 9.** Vm. Nebelmeer. — Tal neblig: **6** Mitt. **7. 9** Mitt. — Föhn: **10. 11** Vm. **13** Vm. früh. **19** Vm. $9^1/_4{}^h$ bis **22** Nachts. **23** Nm. **27–30** Nm. — Totale Schneehöhe: **3.** 57cm; **10.** 68; **17.** 63; **24.** 47; **31.** 45. — **Bevers. 26.** u. **28.** Lawinen. — Neuschnee: **3.** 30cm; **4.** 10, **14.** 7; **15.** 3; **16.** 1; **26.** 6; **27.** 16; **28.** 16; **30.** 1. — Totale Schneehöhe: **16.** 80cm; **22.** 74; **24.** 70; **25.** 65; **30.** 82; **31.** 78. — **Sitten. 10.** Vm. früh Dunst. **13.** Nm. Ws. **26.** Neuschnee: 5cm. — Föhn (NE): **20** Mitt. **21** Nm. **28. 29. 30** Mitt. — Schneefall auf den Bergen: **1. 3. 13. 16.** — **Lugano. 28.** Schnee bis zu 700m herab. — N-Föhn: **1** seit Ab. **2** Vm. **3** Nm. **4** Vm. früh. **5** seit Ab. **14. 15.** — **Basel. 26.** Neuschnee: 15cm. **30.** Ab. 8^h51^m bis 9^h25^m Donner im E. **31.** Abendrot 7^h. — **Säntis. 2.** Vm. früh vorbeiziehende Nebel in den Alpen und Ebene. **11.** Vm. früh Alpen Reif. **24.** Nm. 3^h28^m Donner im SE. **30.** Ab. öfters Blitze am NW Horizont. — Morgenrot: **2. 6. 7. 9. 11. 13. 14. 18–24. 27. 29. 30. 31.** — Abendrot: **6. 7. 9. 12** (schwach). **17. 19–22. 30.** — Neuschnee **1.** 2cm; **2.** 15; **3.** 8; **4.** 5; **5.** 1; **6.** 6; **9.** 5; **13.** 2; **14.** 5; **15.** 21; **16.** 7; **17.** 7; **19.** 2; **25.** 10; **26.** 8; **27.** 1. — Mittlere Höhe der Schneedecke: **3.** 358cm; **6.** 366; **8.** 364; **10.** 368; **13.** 365; **15.** 386; **17.** 392; **19.** 390; **22.** 378; **24.** 365; **26.** 386; **29.** 370; **31.** 362. — Mittlere Schneegrenze: **2.** 700m; **7.** 800; **14.** 500; **17.** 700; **18.** 800; **22.** 1000; **27.** Ebene angeschneit; **29.** 900; **31.** 1000. — Cirri: **2** bis Nm. **5** Vm. früh. **6 7. 9. 10** bis Nm. **11. 13** bis Nm. **14** Vm. **16. 17. 18** Vm. früh. **19–24** Vm. **27–31** Vm. u. Ab. — Alpen sichtbar: **2** bis $1^1/_2{}^h$ Nm. **7** $9^1/_2{}^h$ Ab. **10** Vm. **11. 13** bis Nm. **14** id. **16. 17. 23** Nm. **24** bis Nm. **27.** — Alpen hell: **2** $10^1/_2{}^h$ Vm. **6** Vm. **9** Nm. **14** Vm. früh. **16** id. **18** Vm. **19–23** Vm. **27** $10^1/_2{}^h$ Vm. **28–31.** — Alpen klar: **6** Nm. **7. 9** Vm. **19** $10^1/_2{}^h$ Vm. **31** Vm. früh. — Ebene sichtbar: **2** bis $1^1/_2{}^h$ Nm. **6. 7. 9. 11. 13** bis Nm. **17. 18** $9^1/_2{}^h$ Ab. **23** Nm. **24** bis Nm. **27.** — Ebene hell: **2** $10^1/_2{}^h$ Vm. **6** Vm. früh. **7** id. **14** bis Nm. **16. 17** Mitt. **18** Vm. **19–23** Vm. **27** Vm. $10^1/_2$ u. $4^1/_2{}^h$ Nm. **28. 29. 31** Nm. — Ebene klar: **21** Mitt. **30. 31** Vm. — Alpen dunstig: **11. 19** Ab. **23. 24** Vm. früh. **29** Nm. — Ebene dunstig: **7** Nm. **9** Vm. **11** bis $1^1/_2{}^h$ Nm. **19** Nm. **20. 21** Vm. früh. **23. 24** Vm. **29** Nm. — Nebelmeer: **6** Ab. (teilw., 1700m). **9** (teilw.; Vm. früh 1200, Nm. 1700m); **10** Vm. $10^1/_2{}^h$ (2100m). — Alpen Nebel: **5** Vm. früh. **10** id. u. Mitt. **18** Ab. $9^1/_2{}^h$ (leicht.). **24** Ab. (id.). — Ebene Nebel: **5** Vm. früh. **6** id. (teilw.). **7** Vm. (id.). **10** bis Nm. **11** Ab. **20** Vm. früh (teilw.). **24** Ab. (leicht). — **St. Gotthard. 28.** Schneedecke gelblich gefärbt. — Neuschnee: **2.** 13cm; **3.** 26; **4.** 36; **9.** 12; **10.** 3; **11.** 4; **12.** 2; **13.** 9; **14.** 32; **15.** 18; **16.** 1; **17.** 6; **20.** 4; **21.** 7; **22.** 15; **23.** 2; **25.** 3; **26.** 65; **27.** 23; **28.** 16; **29.** 3. — Totale Schneehöhe: **10.** 270cm; **17.** 290; **24.** 265; **26.** 320; **27.** 340; **29.** 380; **31.** 360.

April.

Bern. 2. Nm. $3–3^3/_4{}^h$ Gewitter im SE. **16.** Ab. Alpenglühen. — Alpen sichtbar: **17. 19** Mitt. **28** Ab. — Alpen hell: **1** Ab. **12** Nm. **14** id. **18. 19** Vm. **21** Ab. **22. 23. 29** Vm. früh. **30.** — Alpen klar: **14** Ab. **15. 16. 18** Ab. **22** Vm. früh. — **Neuenburg. 2.** Ab. $4^3/_4{}^h$ Donner im NE. **5.** Ab. Schneehöhe: ca. 2–3cm. — Joran: **13. 19** Ab. **23** id. **24** Nm. — Alpen sichtbar: **14** Ab. **15. 16** bis Nm. **18. 30.** — **Altdorf. 5.** Vm. früh Schnee bis zu 700m herab. **18.** Nm. u. **19.** Föhn. **29.** Vm. früh etwas föhnig. **30.** Vm. früh Schnee auf den Bergen. — Nebel an den Bergen: **5** Vm. früh. **6** Ab. **7** Vm. früh (Streifen). **9** Mitt. **10** bis Nm. **21** Vm. früh. — **Genf.** Neuschnee: **5.** 2; **6.** 2cm. — **20.** Schnee auf Salève. **28.** u. **30.** Id. auf dem Jura. — **Zürich. 1.** Ab. 5^h50^m bis 7^h Gewitter von S nach N. **2.** Nm. $3–3^1/_2{}^h$ id. nahe im N. **4.** Neuschnee: 3cm; Nm. schneefrei. **5.** u. **6.** je Vm. Schneeanflug. **11.** Vm. früh Temperatur-Minimum am Erdboden: −5.7°. **20.** Vm. hochneblig. **26.** Schneegrenze: ca. 1200m. **29.** Id.: 1500m. **30.** Nm. Donner (Gew.): $2^1/_4{}^h$ bis 3^h7^m (im N), 4^h37^m bis 5^h12^m (im SW–SE) und Ab. 6^h18^m (im SW). — Alpen sichtbar Nm.: **1. 19. 23** (schwach). **28** 4^h u. 6^h. **30** tags (teilw.). — Alpen hell: **15** Nm. **17. 18. 19** früh u. 9^h Vm. **23.** — Alpen klar: **15** Vm. **16. 29** Vm. — Cirri: **1. 17. 19. 23. 28** Vm. (wellenförmig); je Nm.: **10. 12. 15. 22** (im NW). — Tal u. See neblig Vm.: **1. 10. 12. 15. 19** (Dunst). **24** (id.). **26.** — **Rigi-Kulm. 7.** Nebelmeer bis Nm. — Schneehöhe: **7.** 60cm; **14.** 35; **21.** 35. — **Bevers. 19.** Vm. früh leicht dunstig. **28.** Talsohle schneefrei. — Neuschnee: **6.** 9cm; **13.** 2; **30.** 15. — **Sitten. 5.** Schnee auf den Bergen. **6.** Schneehöhe: 3cm. **7.** u. **25.** je Vm. früh Dunst. **8.** Vm. früh Hochnebel. **13.** Seit 4^h Nm. u. **19.** Mitt. Föhn (NE). — **Lugano. 4.** Ab. Schnee bis zu 700m herab. — Neuschnee: **5.** Vm. früh 10, Mitt. 6 u. Ab. 11cm; **6.** Vm. früh 8cm. — N-Föhn: **3/4** Nachts. **4** bis $6^1/_2{}^h$ Ab. **13** seit $3^1/_2{}^h$ Vm. **14. 15** bis $12^1/_2{}^h$ Nachts. **28** Vm. 8^h bis $7^1/_2{}^h$ Ab. — **Säntis. 2.** Mitt. 11^h50^m Donner im W. **25.** Seealpsee eisfrei. **30.** Nm. 4^h54^m bis 5^h Blitz u. Donner. (l. Gewitter) im NE. — Morgenrot: **1. 2. 5. 6. 7. 9–12. 15–21. 25.** — Abendrot: **1. 9–12. 15–18. 22. 23. 25.** — Neuschnee: **3.** 4cm; **4.** 12; **5.** 3; **9.** 1; **13.** 5; **14.** 4; **21.** 6; **25.** 2; **27.** 10; **28.** 15; **29.** 12; **30.** 12. — Mittlere Höhe der Schneedecke: **3.** 365cm; **5.** 380; **7.** 376; **10.** 376; **12.** 372; **14.** 380; **17.** 368; **19.** 352; **21.** 354; **23.** 342; **25.** 328; **28.** 351; **30.** 373. — Mittlere Schneegrenze: **11.** 800m; **14.** 800; **22.** 1200; **29.** 1300. — Cirri: **1** Ab. **2** id. **5** bis $1^1/_2{}^h$ Nm. **6** id. **7** Nm. **10. 11. 12. 15. 16** bis $1^1/_2{}^h$ Nm. **17. 18. 19. 21** Mitt. **22. 23. 25. 30** bis $1^1/_2{}^h$ Nm.; je Vm.: **1. 2** früh. **7** id. **9** $10^1/_2{}^h$. **14** id. **20. 21** früh. **29.** — Alpen sichtbar: **2** (zeitw.). **5. 7** Mitt. **10** Nm. **19. 20** Vm. **21** bis $1^1/_2{}^h$ Nm. **23** Ab. **24** bis Nm. **25**; je $9^1/_2{}^h$ Ab.: **9. 11. 12. 14. 21. 22.** — Alpen hell: **1. 2** Vm. früh. **5** id. **6. 11** Vm. **17. 18 19** Vm. früh. **25** id. **29** Vm. — Alpen klar: **7. 9. 10** je Vm. **12** bis Nm. **15. 16. 17** Mitt. **22. 23** bis Nm. — Ebene sichtbar: **1. 2** (zeitw.). **10** $9^1/_2{}^h$ Ab. **11** Vm. u. $9^1/_2{}^h$ Ab. **12. 14** $9^1/_2$ Ab. **19. 23** Ab. **24** bis Nm. **25.** — Ebene hell: **1. 2. 12** je Vm. früh. **15. 16** Nm. bis **19** Vm. früh u. Ab. **22. 23** bis Nm. **29** Vm. **30** bis Nm. — Ebene klar Vm.: **15** früh. **16. 22** früh. — Nebelmeer: **5** (Vm. früh 1800, Nm. 2000–2100m). **6** (19–2300m). **7** bis Nm. (teilw., 14–1700m). **9** Vm. (2300 bis 2400m). **10** (2000–2200m). **20** Vm. (2000–2400m). **22** Vm. früh (teilw. u. tief). **25** Vm. früh (teilw., 2200m). — Alpen dunstig: **1** Vm. früh. **11** Vm. **18** bis $1^1/_2{}^h$ Nm. **23** Ab. — Ebene dunstig: **12** bis Nm. **18** bis $1^1/_2{}^h$ Nm. **22. 23** $4^1/_2{}^h$ Ab.; je Vm.: **1** früh. **2** id. **11. 23. 24.** — Alpen Nebel: **1** Ab. $9^1/_2{}^h$ (leicht). **2** Mitt. **7** Ab. **11** Nm. (Mitt. vorbeiziehende). **12** Ab. (vorbeiziehende). **14** $10^1/_2{}^h$ Vm. **24** Vm. früh (leicht). **30** bis Nm. — Ebene Nebel: **2** Mitt. **5** Vm. **11** Nm. (Mitt. vorbeiziehende). **14** $10^1/_2{}^h$ Vm. **21** bis $1^1/_2{}^h$ Nm.; je Ab.: **1. 7. 9** $9^1/_2{}^h$. **12** (vorbeiziehende). **21** $9^1/_2{}^h$. — **St. Gotthard.** Neuschnee: **3.** 3cm; **4.** 11; **5.** 12; **6.** 14; **8.** 3; **9.** 4; **11.** 2; **13.** 17; **20.** 12; **21.** 7; **28.** 3; **30.** 20. — Totale Schneehöhe: **7.** 310cm; **21.** 260; **28.** 225; **30.** 240.

Mai.

Bern. 29. Nm. $3^1/_2{}^h$ u. 9^h Ab. ferner Donner. **31.** Nm. $2^1/_2{}^h$ id. — Gewitter: **12** Nm. (im S). **17** Nm. (im S, SE u. E). **27** Ab. (im NW u. W). **30** Nm. $3–3^1/_2{}^h$ (im S) u. $5^3/_4–7^h$ Ab. — Blitze Ab.: **15** (im NW). **26** (S). **27** (W). — Alpen hell: **2** Ab. **3** Nm. **12** Ab. **13** Vm. früh. **25** id. — **Neuenburg. 10.** Ab. u. **16.** Vm. Alpen sichtbar. **15.** Vm. früh Nebel auf dem See. **16.** Vm. früh Nebel am Chaumont. — Donner: **10** Nm. $3^1/_2–5^1/_2{}^h$ u. nach 7^h Ab. (im NW). **17** Nm. $5–5^3/_4{}^h$ (im E). **30** Ab. $6^1/_4{}^h$ (im N) u. $7^3/_4–8^1/_4{}^h$ (im SE u. S). **31** gegen 9^h Vm. (im SE) u. Nm. $2^1/_2–3^h$ (im N). — Blitze Ab.: **15** nach $8^1/_2{}^h$ (im W) u. gegen $9^1/_2{}^h$ (im NE). **16** gegen $9^1/_2{}^h$ (im NE). **26** (im SW). **27** (nach allen Richtungen). — Joran: **1** Nm. **4** Ab. **12** 6^h Ab. **22** 7^h Ab. **23** Ab. **24** seit $6^1/_2{}^h$ Ab. **29** Nm. **30** Ab. **31** Nm. — **Altdorf. 6.** Mitt. neblig an den Bergen. **9.** Vm. früh Nebelstreifen an den Bergen. **12.** Mitt. $12^1/_4–7^h$ Ab. Föhn. **13.** Seit 10^h Vm. id. **26.** Ab. $6–6^h40^m$ Gewitter im W. **27.** Ab. id. im SE. **30.** Ab. $6^h30^m–45^m$ Donner aus SE. — **Genf. 1.** Neuschnee auf den umliegenden Bergen. **15.** Nm. u. **29.** Ab. Gewitter im S. **21.** Salève vollständig schneefrei. — **Zürich.** Gewitter: **10** Nm. $4^h23^m–5^h34^m$ (von SW nach NE; $5^h3^m–9^m$ leichter Hagel). **11** Nm. 3^h36^m bis 4^h23^m (v. W u. E). **17** Ab. $7^h24^m–9^h5^m$ (im Zenith aus SW). **29** Ab. 6^h53^m (im Zenith). **30** Nm. $4^1/_2–5^h58^m$ (öfters Blitze u. Donner im NE), Ab. $6^1/_2{}^h$ u. Nachts $11^h5^m–12^h$ (von NW über NE nach SW). — Donner: **7** Nm. $1^1/_2–3^1/_2{}^h$ (mehrmals, im NE). **9** Nm. 4^h34^m (im S). **12** Nm. $3^3/_4–4^1/_2{}^h$ u. 5^h51^m (mehrmals, fern im NW). **17** Ab. $6–6^1/_4{}^h$ (im SE). **27** Nm. $3^h17^m–45^m$ (fern, im N–E). **29** Ab. $6^h5^m–7^h$ (aus SW) und 8^h bis $8^1/_4{}^h$. **31** $4^1/_2{}^h$ Nm. — Blitze Ab.: **15** (im SW). **27** Vm. früh (fern, im SW) u. Ab. (im SE). **28** (fern, im SW). **29** (im SW). — Alpen sichtbar: **3** Nm. (teilweise u. schwach). **10** seit 11^h Vm. **11** Nm. (teilw.). **12** Vm. **13. 16** (Voralpen). — Alpen hell: **9** Ab. **12** Nm. — Cirri: **2** Ab. **3. 4. 10–13** Vm. **15** Nm. **16. 17** Nm. **22** Mitt. **23. 24. 26** Nm. **28. 29. 30.** — Tal u. See Nebel Vm.: 2 bis $9^1/_2{}^h$. **3. 23** (schwach). — Hochnebel: **6. 8** (leicht); **12** Vm.: **9. 25** früh. **26. 31.** — **Rigi-Kulm. 9.** Vm. früh Nebelmeer. **17.** Nm. 5^h40^m Donner (l. Gew.). **26.** Vm. früh teilweise Nebelmeer. — Teilweise Nebel im Tal: **13** Vm. früh (schwach). **14** Mitt. **15** Vm. — **Bevers. 1.** Neuschnee: 5cm. **2.** Schneefrei. **26.** Vm. früh Nebel bis

zu 1800^{m} herab. **31.** Nm. SWs. — **Lugano.** N-Föhn: **1** Nm. 1^{h} bis **2** $3^{1}/_{2}{}^{h}$ Vm. **5** Ab. $4^{1}/_{2}{}^{h}$ bis **6** 4^{h} Vm. **6** Ab. $5^{1}/_{2}{}^{h}$ bis **7** $3^{1}/_{2}{}^{h}$ Vm. **19** seit $10^{1}/_{2}{}^{h}$ Vm. **24** id. — **Basel. 10.** Ab. Blitze im W. **15.** Id. im S. — Donner: **7** Nm. 2^{h} (aus N). **15** 11^{h} Nachts. **17** Nm. $4^{h}32^{m}$ (aus E). **31** $4^{1}/_{2}{}^{h}$ Nm. — Gewitter: **9** Ab. $7^{h}42^{m}$–$9^{1}/_{2}{}^{h}$ (im S). **10** Ab. $10^{h}20^{m}$ (id.). **11** Nm. $1^{1}/_{4}$–$2^{1}/_{4}{}^{h}$ (aus W). **16** Nm. $2^{h}16^{m}$–$4^{h}24^{m}$ (im W). — **Säntis. 10.** Nm. $4^{1}/_{2}{}^{h}$ vorbeiziehende Nebel in Ebene und Alpen. **16.** Ab. öfters Blitze im NE. **17.** Ab. $8^{h}57^{m}$ Blitze. — Morgenrot: **2. 3. 4. 7** (schwach). **8. 13. 14. 16. 29.** — Abendrot: **2. 3. 4** (leicht). **8. 9. 11** (schwach). **12. 13. 21** (schwach). **22. 23. 26** (schwach). **27** (id.). — Donner: **7** Vm. $10^{h}16^{m}$ (im NE). **12** Ab. $7^{h}44^{m}$ (fern, im W). **16** Ab. $7^{h}47^{m}$ (im NNW). **17** Nm. $4^{h}38^{m}$ (im NW). — Gewitter: **9** Nm. $2^{h}26^{m}$–3^{h} (im E-SE: Rheintal). **10** Nm. $3^{h}55^{m}$–$6^{3}/_{4}{}^{h}$ (im E-NE: Rheintal). **11** Nm. $4^{h}7^{m}$–$5^{3}/_{4}{}^{h}$ (im E–N: Rheintal–Thurgau). **16** Nm. $1^{1}/_{2}{}^{h}$–$2^{h}52^{m}$ (im E-NNW). **17** Ab. $4^{h}38^{m}$–7^{h} (von NW-SE-E) u. $7^{h}40^{m}$ (im E). **27** Mitt. $12^{h}55^{m}$–$1^{h}5^{m}$ (im E) u. $3^{h}43^{m}$–$5^{3}/_{4}{}^{h}$ Ab. (im SE–S). **31** Nm. $3^{h}41^{m}$ bis 5^{h} (im W-E). — Neuschnee: **1.** 8^{cm}; **2.** 4; **5.** 1; **6.** 2; **7.** 2; **8.** 2; **10.** 1; **11.** 2; **12.** 1; **19.** 14; **20.** 1; **24.** 3; **25.** 1; **31.** 2. — Mittlere Höhe der Schneedecke: **2.** 383^{cm}; **5.** 362; **8.** 365; **10.** 352; **12.** 338; **14.** 305; **17.** 272; **19.** 284; **22.** 285; **24.** 287; **26.** 280; **29.** 242. — Mittlere Schneegrenze: **9.** 1400^{m}; **18.** 1500; **27.** 1600. — Cirri: **2** Vm. früh u. Ab. **3** bis Nm. **4** Vm. u. Ab. **7** Vm. früh. **8. 9. 10** $4^{1}/_{2}{}^{h}$ Nm. **11** bis Nm. **12. 13. 14** bis Nm. **15** Mitt. **16** Vm. früh u. $4^{1}/_{2}{}^{h}$ Nm. **17** $10^{1}/_{2}{}^{h}$ Vm. **21** Vm. früh. **25** $10^{1}/_{2}{}^{h}$ Vm. **26** Vm. früh. **28** id. **29. 30** Vm. — Alpen sichtbar: **2** Vm. früh u. Nm. **4** Ab. **7** Vm. früh. **8** Ab. **9** Nm. **10** $4^{1}/_{2}{}^{h}$ Nm. **11. 12. 15** Mitt. **16** Vm. früh u. Ab. **24** $4^{1}/_{2}{}^{h}$ Nm. **28** Vm. früh. **29** Ab. **31** bis Nm.; je $9^{1}/_{2}{}^{h}$ Ab.: **3. 15. 21. 22. 27.** — Alpen hell: **3** bis Nm. **4** Vm. **8** bis Nm. **9** $9^{1}/_{2}{}^{h}$ Ab. **12** $4^{1}/_{2}{}^{h}$ Nm. **13. 14. 15** Vm. früh. **17** Vm. **21** Vm. früh. **29** bis Nm. **30** Vm. — Alpen klar: **3** Vm. früh. **9** Vm. — Ebene sichtbar: **2** Vm. früh u. Nm. **3. 4. 10** $4^{1}/_{2}{}^{h}$ Nm. **12. 14. 15** Vm. früh. **16** Ab. **17** Vm. früh. **24** $4^{1}/_{2}{}^{h}$ Nm. **28** Vm. früh (teilw.). **29** Nm. **31** bis Nm.; je $9^{1}/_{2}{}^{h}$ Ab.: **8. 11. 15. 22. 27.** — Ebene hell: **9** $9^{1}/_{2}{}^{h}$ Ab. **13**; je Vm.: **3** früh. **4** id. **11. 14** früh. **29. 30.** — Ebene dunstig: **3** bis Nm. **4** Vm. früh. **9** Nm. **11** Mitt. **13. 14** Vm. früh. — Nebelmeer: **8** (teilw., 17–1900^{m}). **9** Vm. (teilw., 13–1700^{m}). **21** Vm. früh (2100^{m}). — Alpen Nebel: **1** Ab. **2** Vm. $10^{1}/_{2}{}^{h}$ (leicht). **15** Vm. **17** Nm. **20** Ab. **21** id. **22** Vm. früh u. Mitt. **25** $10^{1}/_{2}{}^{h}$ Vm. **26** Vm. früh (leicht). **28** $4^{1}/_{2}{}^{h}$ Nm. **30** Nm. — Ebene Nebel: **2** Vm. $10^{1}/_{2}{}^{h}$ (leicht). **9** Mitt. **15** bis Nm. **17. 22** Mitt. **25** $10^{1}/_{2}{}^{h}$ Vm., **30** Nm. **31** $10^{1}/_{2}{}^{h}$ Vm.; je Vm. früh: **7. 16. 22. 26** (leicht). **28. 29** (tief u. teilw.); je Ab.: **1. 11. 14** $4^{1}/_{2}{}^{h}$. **20. 28** $4^{1}/_{2}{}^{h}$. — **St. Gotthard. 25.** Seen noch zugefroren. — Neuschnee: **5.** 2^{cm}; **6.** 3; 8. 3-5; **10.** 3; **15.** 4; **27.** 16. — Totale Schneehöhe: **5.** 220^{cm}; **7.** 210; **16.** 170; **19.** 150; **26.** 128.

Juni.

Bern. 5. Ab. $6^{1}/_{2}$–7^{h} Gewitter über dem Bantiger. **8.** u. **12.** je Vm. früh Dunst. **17. 18.** Nachts Blitze im NW. — Alpenglühen Ab.: **4. 28. 29.** — Ferner Donner: **2** 8–9^{h} Ab. **3** $1^{1}/_{2}{}^{h}$ Nm. **9** 3^{h} Nm. **18** $9^{1}/_{4}{}^{h}$ Ab. **19** $1^{3}/_{4}$–$4^{1}/_{2}{}^{h}$ Nm. **23** 4^{h} Nm. — Alpen sichtbar: **6. 8** Ab. **15** Nm. **17** Vm. früh. **22** bis Nm. — Alpen hell: **4** Ab. **5** Vm. früh. **6** id. **7. 17. 18** Nm. **19** Vm. früh. **23** bis Nm. **26** id. **28.** — Alpen klar: **22** Vm. früh. **28** Ab. **29. 30.** — **Neuenburg. 2/3.** Nachts ferne Blitze im SW. **4.** Vm. früh Nebel am Chaumont. **29.** u. **30.** Alpen sichtbar. — Joran: **4** Ab. **9** Nm. **11** seit $5^{1}/_{2}{}^{h}$ Ab. **18** Nm. (ausserordentlich heftig). **21** Ab. **30.** — Gewitter: **5** Ab. $6^{3}/_{4}$–$7^{1}/_{2}{}^{h}$ (im S). **9** Nm. 2^{h} (im N; $2^{h}10^{m}$–12^{m} Hagelkörner). **18** Ab. (im SW). **19** Vm. 9–10^{h} (im NW nach E) u. Nm. $12^{3}/_{4}$–$3^{1}/_{2}{}^{h}$ ($1^{1}/_{2}$–$2^{1}/_{4}{}^{h}$ ziemlich heftig im SW). — **Altdorf. 16.** Schnee auf den Bergen bis zu 1700^{m} herab. **26.** Id.: 1800^{m}. **23.** Nm. u. **24.** Vm. Föhn. — Gewitter: **5** Ab. $8^{1}/_{4}$–$9^{1}/_{2}{}^{h}$ (von NW nach SE). **9** Ab. (aus N u. NE nach SE u. W). **14** Ab. (von W). — **Genf.** Gewitter: **1** Ab. $7^{3}/_{4}{}^{h}$ (im S). **2** Mitt. $12^{h}20^{m}$ (im SSW) u. $4^{h}40^{m}$ Nm. (über der Stadt). **3** Nm. $3^{1}/_{2}{}^{h}$ (im W) u. $4^{1}/_{2}{}^{h}$ (im S u. SE). **9** Mitt. $11^{h}40^{m}$ (im NW), Nm. 2–4^{h} (im NW u. NNE) u. 7^{h} Ab. (im N, E u. S). **19** Mitt. $1^{h}50^{m}$ (im SW u. S). — **Zürich. 1.** u. **2.** je Vm. Hochnebel. **8.** Vm. Horizont dunstig. **17.** Ab. Blitze im N. **29.** u. **30.** je Vm. Tal u. See dunstig. — Gewitter: **3** Ab. $7^{h}13^{m}$–10^{h} (von SW nach E). **9** Ab. $6^{h}49^{m}$–7^{h} u. 8^{h} (Blitzschläge im Zenith: Gew. aus W). **14** Vm. $10^{h}28^{m}$–57^{m} (v. WNW nach SE). **17** $11^{3}/_{4}$–12^{h} Nachts. **19** Vm. 11–$11^{1}/_{4}{}^{h}$ (Gewitterböe von WNW nach SE; $11^{h}10^{m}$ Hagel) u. Nm. $2^{1}/_{4}$–$3^{1}/_{2}{}^{h}$ (aus WSW nach SE). — Donner: **9** Nm. 5^{h} (im W) u. seit 6^{h} (fern). **17** Ab. $9^{1}/_{2}{}^{h}$ (schwach). **18** Vm. $10^{3}/_{4}{}^{h}$ (im N) u. Nm. $3^{1}/_{4}$–4^{h} (im S u. W). **19** seit $10^{h}40^{m}$ Vm. (im WNW). **20** Nm. $2^{3}/_{4}{}^{h}$–$4^{h}3^{m}$ (öfters, im SE). — Alpen sichtbar: **2** Ab. (südwestl.). **3. 6** Vm. (schwach) u. Ab. **7** Nm. **16** seit 11^{h} Vm. (teilweise). **21** Nm. (id.). **22** (schwach). **23** Nm. — Alpen hell Vm.: **7. 23. 24** (teilw.). **29** u. Nm. — Alpen klar: **17. 19** Vm. **26** Vm. früh. **30.** — Cirri: **3. 9** Nm. **16. 17. 22. 23. 28** Ab. **30**; je Vm.: **4. 7. 12. 13.** — **Rigi-Kulm. 3. 11.** u. **19.** je Vm. früh Tal teilweise neblig. — **Bevers. 7.** Vm. früh etwas dunstig. **15.** Schneegrenze: 2200^{m}. — Neuschnee: **13.** 2400^{m}; **20.** 1900; **26.** id. — Nebel an den Bergen Vm. früh: **1** (bis zu 1850^{m} herab). **6** (1750^{m}). **27** (1950^{m}). **19. 26** (leicht an den Abhängen). — **Lugano.** N-Föhn: **14** seit Ab. **15** bis $7^{1}/_{2}{}^{h}$ Ab. **20** seit 1^{h} Mitt. **21** bis $10^{1}/_{2}{}^{h}$ Vm. **27** seit $8^{1}/_{2}{}^{h}$ Ab. **28** bis $10^{1}/_{2}{}^{h}$ Vm. — **Basel. 2.** Ab. Blitze im S. **3.** Id. im NE. **19.** Vm. $9^{h}5^{m}$ Gewitter aus E, $9^{h}40^{m}$ aus S u. $10^{h}15^{m}$–$11^{h}40^{m}$ aus W. — Donner: **2** $4^{3}/_{4}{}^{h}$ u. 5^{h} Nm. **3** $3^{h}35^{m}$ Nm. **14** Vm. $10^{1}/_{2}{}^{h}$, Nm. $2^{h}55^{m}$, $3^{h}2^{m}$ u. $5^{h}2^{m}$ (aus SE). — **Säntis. 1.** Vm. teilweise Nebelmeer (12–1300^{m}). **3.** Vm. $11^{h}20^{m}$ ferner Donner im NW. **6.** Vm. früh teilweise Nebelmeer. **7.** Nm. u. **8.** Vm. Ebene dunstig. **9.** Vm. früh vorbeiziehende Nebel in den Alpen und Ebene; Mitt. $12^{1}/_{4}{}^{h}$ ferner Donner im NE. **14.** Ab. $7^{h}25^{m}$ u. $8^{h}58^{m}$ Blitz u. Donner (Gew.) im SE. — Morgenrot: **1. 2. 3. 7. 8. 9. 13. 16. 17. 18. 22. 24** (schwach). **29. 30.** — Abendrot: **1. 2. 6. 7. 8. 11. 12. 16. 17. 21. 22. 23. 24** (schwach). **28. 29.** — Neuschnee: **15.** 15^{cm}; **16.** 6; **26.** 22; **27.** 8; **28.** 7. — Mittlere Höhe der Schneedecke: **2.** 208^{cm}; **4.** 178; **7.** 152; **9.** 128; **12.** 115; **14.** 116; **16.** 136; **21.** 164; **23.** 114; **25.** 118; **26.** 140; **28.** 145; **30.** 128. — Mittlere Schneegrenze: **16.** 1600^{m}; **18.** 1800; **21.** 1900; **26.** 1700; **28.** 1700; **30.** 1900. — Cirri: **2** $9^{1}/_{2}{}^{h}$ Ab. **3** Nm. **5** Mitt. **7. 9** Mitt. **16. 17** Ab. **19** bis Nm. **21** Mitt. **22** bis Nm. **23. 28** Ab. **29. 30** bis Nm.; je Vm.: **1. 2** früh. **3** id. **4** $10^{1}/_{2}{}^{h}$. **5** früh. **6. 9** früh. **12** id. **13. 18. 25** $10^{1}/_{2}{}^{h}$. — Alpen sichtbar: **1. 2** Vm. früh u. Ab. **3. 5** Vm. früh u. Mitt. **6** Vm. früh. **7** Ab. **8** Vm. **9** Vm. früh u. Mitt. **12** Vm. früh. **13. 21** Nm. **22. 23** Nm. **24. 25** Vm.; je $9^{1}/_{2}{}^{h}$ Ab.: **4. 6. 8. 11. 30.** — Alpen hell: **16. 17. 28** Ab.; je Vm.: **3** früh. **18. 19. 23. 24** früh. **26** id. — Alpen klar: **7** bis Nm. **16. 17. 22** je Vm. früh. **29. 30** bis Nm. — Ebene sichtbar: **3. 4** Ab. **5** Mitt. **9** id. **16. 17** Nm. **22. 23. 28** (Vm. teilw.); je Vm.: **2. 5. 6** je früh. **8. 9** früh. **12** id. **19. 24**; je $9^{1}/_{2}{}^{h}$ Ab.: **1. 6. 8. 11. 12. 30.** — Ebene hell: **2** Ab. $9^{1}/_{2}{}^{h}$ (klar). **3** $9^{1}/_{2}{}^{h}$ Ab. **7. 13** Vm. **17** id. u. $4^{1}/_{2}{}^{h}$ Ab. **18** Vm. **21** Nm. **29. 30** bis Nm.; je Vm. früh: **3. 16. 22. 23. 24. 26.** — Alpen Nebel: **1** Ab. **2** $10^{1}/_{2}{}^{h}$ Vm. **4, 5** Vm. **6** id. **8** Nm. **9** $4^{1}/_{2}{}^{h}$ Ab. **10** id. **12** Mitt. u. $9^{1}/_{2}{}^{h}$ Ab. **18** Mitt. **19** id. **22** Ab. **24** id. **26** Vm. früh (teilw.). **28** bis Nm. — Ebene Nebel: **1** Nm. **2** Vm. $10^{1}/_{2}{}^{h}$ u. $4^{1}/_{2}{}^{h}$ Ab. **3** Mitt. (teilw.). **4** bis Nm. **5** Vm. **6** id. **8** Nm. **9** $4^{1}/_{2}{}^{h}$ Nm. **10** id. **12** Mitt. **13** Nm. **18** Mitt. **19** id. **22** Ab. **24** Nm. **25** Vm. **28** id. — **St. Gotthard.** Totale Schneehöhe: **2.** 80^{cm}; **9.** 30. — Neuschnee: **14.** 1.5^{cm}; **15.** 18; **26.** 15.

Juli.

Bern. 7. u. **11.** je Ab. Alpenglühen. **7. 14.** u. **17.** je Vm. früh Dunst. — Gewitter: **2** Nm. (im S). **24** Nm. (Donner). **28** Ab. (im SW). — Donner: **1** Ab. 7–8^{h} (öfters). **15** Nm. $1^{3}/_{4}{}^{h}$ (fern). **19** Ab. $5^{1}/_{4}$–$5^{3}/_{4}{}^{h}$ (im E). **23** Ab. $6^{1}/_{2}{}^{h}$ (fern). — Blitze Ab.: **23** (im SE). **30** (ringsum). **31** (N). — Alpen sichtbar: **6** Nm. **8. 9** Vm. früh. **12. 15** Vm. früh. **19** Mitt. **25** Vm. früh. **31** Nm.: je Ab.: **5. 10. 18. 24. 27. 28.** — Alpen hell: **1. 2** bis Nm. **7** Ab. **8** Vm. früh. **11. 12** Vm. früh. **18. 19** Vm. (klar). **29. 30.** — **Neuenburg. 7.** Mitt. Cirri im NE. **15.** Mitt. $12^{h}50^{m}$ bis $1^{h}40^{m}$ Gewitter im N von NE nach SW ziehend. **24.** Seit $8^{3}/_{4}{}^{h}$ Ab. sehr häufige Blitze im SW. **28.** Ab. ausserordentlich heftige W-Böen. — Donner: **1** Ab. nach $6^{1}/_{2}$ u. 8^{h} (im SW). **13** Nm. gegen $3^{1}/_{2}{}^{h}$ (im NE). **14** Mitt. $11^{1}/_{2}{}^{h}$ (im NW). **23** Ab. zwischen $4^{1}/_{2}$ u. 5^{h} (im NW). **31** Ab. 5–$6^{1}/_{2}{}^{h}$ (fern, im NW) u. $6^{1}/_{2}{}^{h}$ (im S). — Alpen sichtbar: **7** Nm. (teilw.). **8** Nm. **11** Vm. früh. **12. 15** Vm. früh (schwach). — Joran: **3** Nm. **9** id.; je Ab.: **1. 8. 12. 17.** — **Altdorf. 24.** Ab. $8^{3}/_{4}{}^{h}$ Blitze im SE. **30.** Ab. ferne Blitze im SW. — Gewitter: **1** Ab. $8^{h}20^{m}$–$9^{h}25^{m}$ (von W nach E). **2** Mitt. $11^{h}38^{m}$–12^{h} (v. NE u. SE); Nm. $2^{h}55^{m}$–$4^{3}/_{4}{}^{h}$ u. $5^{h}5^{m}$–15^{m} (Donner). **13** Nm. $5^{1}/_{4}$–$6^{1}/_{4}{}^{h}$ (v. NE u. W u. S) u. $10^{1}/_{2}$–$11^{1}/_{4}{}^{h}$ Nachts. **14** Nm. (aus NE; Donner). **15** Nm. (a. NW u. N; Donner). **16** Nm. $3^{1}/_{4}$–$4^{1}/_{4}{}^{h}$ (v. NW n. SE). $4^{3}/_{4}$–$5^{1}/_{4}{}^{h}$ u. $5^{1}/_{2}$–6^{h} Ab. **24** Nm. $2^{h}50^{m}$–5^{h} (von NW u. N n. S). **31** Ab. $8^{h}37^{m}$–$9^{h}25^{m}$ (v. NW n. SE). — **Genf. 7.** Le Môle schneefrei. **16.** Schneeflecken auf le Reculet verschwunden. — Gewitter: **15** Nm. (im N). **23** Ab. (im NE). **24** seit 7^{h} Ab. (im N; Ab. Blitze u. Donner zwischen E u. S). **26** Ab. (im E, SE u. NW). **28** Ab. (im NNE). **31** Ab. (im NNW). — Donner: **2** Vm. 9^{h} (im SE) u. 6^{h} Ab. (im SSE). **7** Nm. 4^{h} (im NW). **13** Ab. 5^{h} (im SE). **15** Mitt. 1^{h} (im NW). **23** Ab. 7h (im ESE). **24** Nm. $1^{1}/_{2}$–$2^{1}/_{2}{}^{h}$ (im NW). **31** Nm. $1^{1}/_{2}{}^{h}$ (id.). — Blitze: **27** Ab. (im SSE u. S). **30** Vm. 1^{h} (im N) u. Ab. (im S u. SW). **31** Ab. (im ESE). — **Zürich.** Gewitter: **13** Nm. $4^{h}39^{m}$, 47^{m} u. Ab. $8^{h}25^{m}$ (im Zenith). **14** Nm. $3^{h}10^{m}$ (id.). **24** Nm. seit $3^{h}5^{m}$ (im S), $4^{1}/_{4}$ bis $4^{3}/_{4}{}^{h}$ (aus S nach W; $4^{h}15^{m}$–20^{m} Hagel: Erbsengrösse), bis $5^{h}35^{m}$ (im WSW u. E) u. $5^{3}/_{4}$–6^{h} (im Zenith). **28** Ab. $6^{h}3^{m}$ (im Zenith). **31** Ab. $8^{h}5^{m}$ (im S). — Donner Nm.: **2** gegen 3^{h}. **13** $3^{h}30^{m}$–40^{m} (mehrmals, im WSW) u. $8^{h}10^{m}$ Ab. (im NE). **14** $3^{h}25^{m}$–41^{m} (im S). **28** $5^{h}7^{m}$–52^{m} (id.). **30** $3^{1}/_{4}$–$3^{1}/_{2}{}^{h}$ Ab. (im W-N). **31** bis $9^{1}/_{2}{}^{h}$ Ab. (im SW-W). — Blitze Ab.: **14** (im S u. W). **23** (id.). **26** (fern, im SE). **28.** Nm.

5^h5^m–4^h1^m u. Ab. (im S–SW). **30** Nachts 12^h (im SW). **31** (im W, NW u. N). — Alpen sichtbar: **7** Nm. (schwach). **8** Nm. **18** id. **22** id. (teilw.). 25 Ab. $5^1/_2{}^h$ (südwestl.); je Vm.: **11** (hell). **12.** **19.** **25.** **31** seit 10^h (schwach). — Tal u. See dunstig Vm.: 8 (leicht). **20** (stark). **26.** **29.** — Cirri: **1** Nm. **2.** **3** Ab. bis **6**/**7** Nm. **8.** **12** Vm. **13** Nm. **19.** **20** Ab. **21** (Vm. Polarbanden). **24** Vm. **25** Nm. **26** Vm. **28.** **30.** **31** Vm. — **Rigi-Kulm.** **2.** u. **15.** je Vm. früh Tal teilweise neblig. — **Bevers.** **21.** u. **22.** je Vm. früh etwas dunstig. **31.** Mitt. 11^h50^m ferner Donner. — Gewitter: **2** Nm. (aus W). **23** Nm. (von SW nach NE) u. Ab. 8–9^h (ringsum). **24** Nm. 1^h10^m–4^h20^m (v. NE n. SW mit wolkenbruchartigem Regen). **29** Ab. (im N vorüberziehend). **30** Nm. (im E u. NE). **31** Mitt. (mit st. W). — Nebel Vm. früh: **5** (bis zu 1960^m herab). **7** (in den Höhen). **15** (bis 1800^m herab). — **Lugano.** **15.** Ab. 5–6^h st. SSE, dann SSW. — N-Föhn: **9** seit Ab. **10** Vm. früh. **30** seit $8^1/_2{}^h$ Ab. — Blitze: **2** Ab. (im SSW). **19**/**20** Nachts (id.). **30**/**31** Nachts (im WNW). **31** seit Ab. (im SSW). — **Basel.** **13.** Abendrot auf Cirri 8^h33^m. **24.** Ab. Blitze im W. — Gewitter: **13** Nm. 2^h9^m, Ab. 7^h55^m (stark) u. $11^1/_2{}^h$ Nachts. **15** Nm. 3^h37^m (aus N). **25** Mitt. 1^h25^m (aus SW). **31** Ab. $5^1/_2$–7^h (im E) u. $8^1/_2{}^h$ (im N u. E). — Donner: **13** Nm. 1^h40^m (aus NE) u. Ab. $7^1/_2{}^h$ (aus N). **14** 12^h40^m Mitt. **15** Ab. 6^h25^m–30^m (aus N). **25** Nm. $5^1/_4{}^h$ (aus SW). — **Säntis.** Gewitter: **2** Vm. früh (im SSE) u. Nm. (im SW–ESE: Rheintal). **14** Vm. (im NW). **15** Nm. (Rheintal). **24** Vm. $7^1/_4{}^h$ (im SE). — Donner: **13** Nm. 2^h40^m (im SE). **14** Nm. 2^h35^m (id.). **16** Ab. 7^h58^m (id.). **19** Nm. $4^1/_2{}^h$ (fern, im S). **24** Nm. (fern, ringsum), Nm. $1^1/_2$ u. $4^1/_2{}^h$ (im W). **27** Nm. $4^1/_2{}^h$ (im SW). **30** Nm. $2^3/_4{}^h$ (id.). **31** Nm. $3^1/_2{}^h$ (im S), $4^1/_2{}^h$ (im W) u. Ab. 6^h52^m (fern, im E). — Blitze Ab.: **18** (am S-Horizont). **23** (im SE). **26** (im E). **29** (im SE). — Morgenrot: **5–8.** **11.** **12.** **17–26.** **28.** **30.** — Abendrot: **1.** **4–8.** **10.** **14.** **15** (schwach). **18–23.** **28.** **29.** **30.** — Mittlere Höhe der Schneedecke: **2.** 102^{cm}; **3.** 95; **5.** 78; **7.** 56; **9.** 42; **11.** 28; **14.** 12. — Mittlere Schneegrenze: **7.** 2000^m; **9.** 2100; **11.** 2200; **14.** 2400; **16.** 2800. — Cirri: **2** $10^1/_2{}^h$ Vm. **4.** **5.** **6** bis Nm. **7** Vm. **8.** **10** Vm. **12** bis Nm. **15** Ab. **19.** **21.** **22** Ab. **25** Mitt. **28** bis Nm. **30** Vm. u. Ab. **31**; je Vm. früh: **13.** **18.** **20.** **22.** **24–27.** **29.** — Alpen sichtbar: **1** (zeitw.). **2** bis Nm. **4** Nm. **7** id. **8** Ab. **10** Vm. früh. **11** Vm. **12** Nm. **15** id. **17** id. **18.** **19.** **20** Vm. u. $4^1/_2{}^h$ Nm. **21–25.** **27** Vm. u. $4^1/_2{}^h$ Nm. **29** Nm. **30.** **31**; je $9^1/_2{}^h$ Ab.: **5.** **6.** **10.** **14.** — Alpen hell: **8** bis Nm. **26.** **28**; je Vm.: **5.** **7.** **12.** **13** früh. **19** $10^1/_2{}^h$. **21** id. **25.** **29.** **30.** **31** je früh; je Ab. $9^1/_2{}^h$: **24.** **25.** **29.** **30.** **31.** — Alpen klar: **4** Vm. **6** id. **11.** **22.** **26** je Vm. früh. — Ebene sichtbar: **1** (zeitw.). **2** bis Nm. **4** Vm. früh. **5** id. u. $9^1/_2{}^h$ Ab. **6** Nm. **8** Ab. **10** $9^1/_2{}^h$ Ab. **12** Ab. **14** $9^1/_2{}^h$ Ab. **15.** **17** Nm. **18.** **20.** **21.** **23** Ab. **24** Vm. **27** id. u. $4^1/_2{}^h$ Nm. — Ebene hell: **7.** **8** bis Nm. **12** id. **18** $4^1/_2{}^h$ Ab. **19.** **22.** **23** bis Nm. **24** Nm. **25.** **26.** **28.** **29** Nm. **30.** **31**; je Vm.: **6.** **10** früh. **11.** **13** früh. **18** $10^1/_2{}^h$. **21** id. **29** früh. — Alpen dunstig: **8** Vm. $10^1/_2$ u. $4^1/_2{}^h$ Ab. **12** id. **21** Nm. **22** $10^1/_2{}^h$ Vm. **23.** **24** Vm. **27** Vm. früh. — Ebene dunstig: **8** $4^1/_2{}^h$ Nm. **12** id. **17** Mitt. **19** $4^1/_2{}^h$ Nm. **21.** **22** $4^1/_2{}^h$ Nm. **23.** **24.** **25** Nm. **26** id. **28** Mitt. **29** id.; je Vm.: **5** früh. **6.** **8** $10^1/_2{}^h$ **12** id. **18** früh. **22.** **27.** **29** früh. **31.** — Nebelmeer: **4** (teilweise; Vm. früh 1400, Nm. 2000–2400^m). **5** Vm. (teilw., 2000^m). — Alpen Nebel: **5** Nm. **6** id. **7** Mitt. **10.** **11** $9^1/_2{}^h$ Ab. **13** Vm. **15** id. **17** Vm. früh. **20** Nm. **22** Mitt. **26** id. (leicht). — Ebene Nebel: **4** Vm. u. Ab. **5** Nm. **6** $4^1/_2{}^h$ Ab. **7** Mitt. **10.** **11** $9^1/_2{}^h$ Ab. **13** Vm. **15** Vm. früh u. $4^1/_2{}^h$ Nm. **17** Vm. früh. **20** $9^1/_2{}^h$ Ab. **22** Mitt. **27** Nm. $4^1/_2{}^h$ (schwach).

August.

Bern. **27.** Ab. Alpenglühen. — Donner: **6** $5^1/_4{}^h$ Nm. **22** Ab. $7^1/_2$–8^h (Gewitter). **23** Nm. (zwei Donnerschläge). — Blitze Ab.: **13** (im S). **20** (ringsum). **21** (id.). **25** (id.). — Dunst Vm. früh: **1.** **3.** **8–12.** **15–19.** — Alpen sichtbar: **6.** **8.** **19** Vm. früh; je Nm.: **1.** **5.** **11.** **12.** **18.** — Alpen hell: **10** Nm. **17** id. **20.** **21** Ab. **22** Nm. **27.** **28.** **29**; je Vm. früh: **6.** **8.** **14.** **24.** — Alpen klar: **7** Vm. früh. **19.** **27** Vm. früh. — **Neuenburg.** **14.** Ab. NE–Böen. **19.** Mitt. SW- und **28.** Vm. früh SE-Wind auf dem See. — Gewitter: **2** Nm. $2^1/_4$–5^h (von N nach SW; Donner). **6** Nm. $2^3/_4$–$3^1/_4{}^h$ (2^h40^m–55^m Hagelkörner; gegen 3^h Temperatursturz von ca. 15°). **20** Nm. 1–6^h (aus NW nach allen Richtungen). **21** Mitt. $11^1/_4$ bis $11^3/_4{}^h$ (im N) u. seit $1^1/_2{}^h$ Nm. (aus NW mit zeitweisen st. NW–Böen). **22** Ab. $6^3/_4$–8^h (aus NW im N vorüberziehend). **30**/**31** um Mitternacht (mit st. N–Böen). — Donner: **6** Nm. 2^h (im SW). **23** Vm. $10^1/_2$–$11^3/_4{}^h$ (fern). **29** nach $4^1/_2{}^h$ Ab. (im N). — Blitze Ab.: **3** (im S). **13** (SW). **25** (NW). **30** (id.). — Alpen sichtbar: **24** Vm. früh. **29** id.; je Ab.: **5.** **10.** **19.** **27.** — Joran Ab.: **3.** **4.** **8.** **16.** **17.** **20** Mitt. **25.** **30.** — **Altdorf.** **1.** Ab. 9^h48^m Blitze im NE u. seit 10^h Donner. **20.** Vm. 7^h Donner. — Gewitter: **3** Nachts 11^h (von SW u. W nach SE). **20** Ab. (v. NW n. S). **21** Vm. 6^h50^m–7^h8^m (v. NW n. SE). **31** Vm. 2^h35^m–3^h (v. NW n. SE u. S). — **Genf.** **6.** Ab. Blitze im SE. **20.** Nm. $1^1/_2$–3^h ferner Donner. — Gewitter: **1** Mitt. (im NNW). **12** Ab. (im S u. SE). **13** Nm. (im WNW). **23** Mitt. (im S). **30** Ab. (fern). — **Zürich.** **10.** Vm. See Dunst. **17.** Stäfener-Stein sichtbar. **19.** Nm. $2^1/_2{}^h$ Hygrometer: 12%. **21.** Nm. seit $3^1/_2{}^h$ ferner Donner. **30.** Vm. $8^1/_2{}^h$ Donner im N. — Gewitter: **6** Ab. 7–8^h (von S nach N). **14** Nm. 2^h50^m–3^h55^m (nahe im N; 3–$3^1/_4{}^h$ Staubböe). **21** Nm. $3^3/_4$–4^h (im Zenith), Ab. 7^h26^m–35^m (id.) u. 8^h25^m (aus W). **22** Ab. 7^h55^m–8^h10^m (im Zenith). **23** Nm. 12^h50^m–$1^1/_2{}^h$ (aus SW). **30**/**31** Nachts 10^h20^m–52^m (aus SW; 10^h38^m l. Hagel) u. 12^h40^m–$1^1/_2{}^h$ (von NW). — Blitze Ab.: **4** Vm. 2^h (im NE). **12** (im S). **20** (id.). **22** (im NE). **25** (ringsum). — Alpen sichtbar: **2** Vm. (schwach) u. Ab. **7** Ab. (schwach) **11.** **12** (schwach). **22** (teil- u. zeitweise). **23** Vm. (teilw.). **31** Ab. (id.); je Nm.: **1.** **10.** **19.** **20.** **24** (schwach). **28** (id.). **29.** — Alpen hell: **21** (klar). **24** Vm. **27.** **29** Vm. — Cirri: **2** Ab, **3.** **4.** **5** Nm. **7** id. **9** id. **13.** **14** Mitt. **15.** **16** Vm. früh. **18.** **21** Vm. **22** Nm. **24.** **25** Vm. **26** Mitt. **29** Vm. — Tal u. See dunstig Vm.: **1** (leicht). **3** (id.). **14.** **18.** **28** (leicht). **29** früh. — Tal u. See Nebel: **15** Vm. früh. **19** id. **22** Vm. (leicht). **23** id. **27** Vm. früh (Tal). — **Rigi-Kulm.** **5.** u. **7.** je Vm. früh Tal teilweise neblig. — **Bevers.** **18.** Vm. früh Cirri aus SW. — Donner: **7** $3^1/_4$ bis 4^h Nm. **15** Ab. 7^h10^m (im W). **30** Ab. 7^h (fern). — **Lugano.** **22.** Ueberschwemmung durch den Cassarate und seine Nebenbäche. — N–Föhn: **15**/**16** Nachts. **16** Vm. u. seit $8^1/_2{}^h$ Ab. — **Basel.** Gewitter: **2** Nm. $3^1/_4{}^h$ (im N). **6** Ab. $6^1/_2$–$7^1/_2{}^h$ (von W nach NE). **20** Nm. $4^1/_4{}^h$ (aus E). **22** Ab. 7^h35^m (im E). — Blitze Ab.: **1** (im NW). **25** (E). **30** (N). — Donner: **20** Nm. 3^h (aus E). **21** Nm. 3^h5^m (aus S). — **Säntis.** **16.** Vm. $10^1/_2{}^h$ vorbeiziehende Nebel in Alpen u. Ebene. **17.** Vm. früh id. in den Alpen. **21.** Ab. $4^1/_2{}^h$ Donner im NE. **23.** Nm. Gewitter im SE–E. **30.** Ab. $8^1/_2{}^h$ Donner im NE. — Blitze Ab.: **4** (im W). **12** (SSE), **13** (S). **14** (SW). **20** (am S–Horizont). **22** (am E–W–Horizont). **25** (im NE–N). **31** (S). — Morgenrot: **1.** **2.** **6–15.** **18.** **19.** **20.** **21** (schwach). **23** (id.). **24.** **27–30.** — Abendrot: **1.** **5.** **8.** **9.** **10.** **13.** **14.** **15** (leicht). **17.** **18.** **19.** **20** (schw.). **22** (id.). **23.** **27.** **28.** **29.** **31.** — Cirri: **1.** **2** Mitt. **5** Nm. **10.** **18.** **20** Mitt. **21** bis Nm. **22** Mitt. **26** id. **29**; je Vm.: **5** $10^1/_2{}^h$–**6** id. **7** früh. **9.** **13.** **14** $10^1/_2{}^h$. **15.** **17** früh. **19** id. **20** id. **23.** **30.** **31** $10^1/_2{}^h$; je Ab.: **3.** **4.** **9.** **13.** **14.** **28.** — Alpen sichtbar: **2.** **3.** **5.** **10** Ab. **12.** **15.** **16** bis Nm. **17.** **20** Ab. bis **23** Nm. **25.** **26** Mitt. **27** id. u. $9^1/_2{}^h$ Ab. **30** Vm. u. $9^1/_2{}^h$ Ab.; je Nm.: **4** $4^1/_2{}^h$. **8.** **9.** **11.** **13.** **14.** **24** $4^1/_2{}^h$. — Alpen hell: **1.** **5** $9^1/_2{}^h$ Ab. **6** bis Nm. **10** id. **12** $4^1/_2{}^h$ Nm. **18** Nm. **19.** **20** bis Nm. **28** Ab. **29.** **31** $9^1/_2{}^h$ Ab.; je Vm.: **7** früh. **8.** **9.** **11.** **12** früh. **13.** **14.** **24** früh. **27** id. — Alpen klar: **10** Vm. früh. **13** $4^1/_2{}^h$ Nm. **18** Vm. **28** bis Nm. — Ebene sichtbar: **5** Vm. früh u. Mitt. **13** Nm. **14** Ab. **15** Nm. **16** bis Nm. **17.** **21** Ab. **23** $9^1/_2{}^h$ Ab. **25.** — Ebene hell: **2.** **3.** **4** $4^1/_2$h Nm. **5.** **6** bis Nm. **7** Vm. **8–13** Vm. u. $4^1/_2{}^h$ Nm. **14** bis Nm. **15** Vm. **18.** **19.** **20.** **22.** **23** bis Nm. **24** $4^1/_2{}^h$ Nm. **26** id. **27** Vm. u. Ab. **28** Ab. **29.** **30** Vm. **31** Ab. — Ebene klar: **1.** **6** $10^1/_2{}^h$ Vm. **21** bis Nm. **24** Vm. früh. **28** bis Nm. — Alpen dunstig: **10** Nm. **11** Vm. $10^1/_2$ u. $4^1/_2{}^h$ Nm. **12** id. **13** Mitt. **14** $10^1/_2{}^h$ Vm. **15.** **17** $4^1/_2{}^h$ Nm. **18** Nm. **19.** **20.** **22** $10^1/_2{}^h$ Vm. **23** id. **30** Vm. — Ebene dunstig: **3** Vm. $10^1/_2$ u. $4^1/_2{}^h$ Nm. **8** id. **9** Vm. u. Ab. **10** Nm. **11** Vm. $10^1/_2$ u. $4^1/_2{}^h$ Nm. **12** id. **13** Mitt. **14** $10^1/_2{}^h$ Vm. **15.** **17** $4^1/_2{}^h$ Nm. **18.** **19.** **20.** **23** $10^1/_2{}^h$ Vm. **28** $4^1/_2{}^h$ Nm. **30** $10^1/_2{}^h$ Vm. — Alpen Nebel: **4** Vm. früh (leicht). **7.** **9** Mitt. **16** $4^1/_2{}^h$ Nm. **23** $9^1/_2{}^h$ Ab. **25** $10^1/_2{}^h$ Vm. **26** $4^1/_2{}^h$ Nm. **27** (zeitw.). **31.** — Ebene Nebel: **4** Vm. früh (leicht). **7** Nm. **9** Mitt. **16** $4^1/_2{}^h$ Nm. **17** Vm. früh. **27** Nm. **30** $9^1/_2{}^h$ Ab. **31.**

September.

Bern. **3.** Ab. Alpenglühen. **6.** u. **11.** je Vm. früh Dunst. **8.** Ab. Blitze im E. **10.** Vm. $2^1/_2{}^h$ l. Gewitter (Donner). **13.** Ab. Blitze im NW u. N. — Alpen sichtbar: **1** Vm. **2.** **3.** **4.** **10** je Nm. **20.** **26** Ab. — Alpen hell: **3** Ab. **9.** **20** Vm. früh; je Nm.: **1.** **7.** **18.** **19.** **25.** **27.** — **Neuenburg.** **8.** Nm. $3^1/_4$–$6^1/_2{}^h$ Donner im NW. **9.** Vm. zwischen $4^1/_2$ u. $5^1/_2{}^h$ Gewitter im SW. **12.** Vm. $7^1/_2{}^h$ SE-Wind auf dem See. — Joran Ab.: **4.** **15.** **29.** — Nebel am Chaumont Vm. früh: **16.** **22.** **23** bis Nm. **25.** — **Altdorf.** **8.** Ab. föhnig. **18.** Schnee bis auf 1900^m herab. **22.** Id. bis 1650^m. — **Zürich.** **15.** Nm. 2^h55^m Donner im NW. **22.** Berge angeschneit bis zu ca. 1600^m herab. **26.** Vm. Hochnebel. — Blitze Ab.: **5** (im SE). **8** (im S, W u. NW). **14** (im SW, u. Donner). — Alpen sichtbar: **1** Nm. **3** Vm. früh. **4** id. **9** Vm. (schwach). **13** id. **20** seit 10^h Vm. **21** Vm. **22** bis 10^h Vm. (teilw.). **25** (id.). — Alpen hell: **1** Vm. früh. **19** Nm. (teilw.). — Cirri: **1** (Polarbanden). **4** Ab. **5.** **6.** **7** Ab. **8.** **9** Vm. **10.** **13.** **14.** **18** Vm. **19.** **20.** **25** Vm. — Tal u. See Dunst Vm.: **2.** **4–8.** **12.** **14.** — Tal u. See Nebel Vm.: **15** (schwach). **18** (id.). **19** früh. **20.** **27.** **28** (schwach). **30** (id.). — **Rigi-Kulm.** Nebelmeer Vm. früh: **1** (teilw.). **11.** **26.** **27** (teilw.). — Tal teilweise neblig Vm. früh: **3.** **15.** **22.** — **Bevers.** **9.** Nm. Donner im NE. **12.** Vm. $7^1/_2{}^h$ Cirri aus W. **16.** u. **17.** je Vm. früh Nebel an den Bergen. **17.** Schnee bis zu 2860^m herab. **18.** Vm. $8^3/_4{}^h$ Schnee bis zu 2250^m. **25.** Vm. früh Nebel im Tal; Ab. Talsohle schneefrei. **26.** Schneegrenze auf der Sonnenseite: 2210^m. — Neuschnee: **22.** 1,5^{cm}; **23.** 16^{cm}. — **Sitten.** **22.** Neuschnee bis auf 1300^m herab. **23.** Id. bis zu 1200^m. — **Lugano.** **21.** Ab. Gewitter im SW. **24.** Schnee bis zu 1700^m herab. — N–Föhn: **17** seit Mitt. **18** Vm. früh. **22.** **23** Vm. früh. — **Basel.** **14.** Ab. 7^h Gewitter im W. — **Säntis.** **5.** Nm. 4^h6^m ferner Donner

im N. **8.** Ab. öfters Blitze im SE–S–N. **9.** Id. im E. **18.** Vm. früh Alpen starker Reif. **20.** Ab. 5^h48^m Donner im SE. — Morgenrot: **1–4. 5** [illegible] **6–13. 14** (schwach). **19. 20** (schwach). **21. 26. 27.** Abendrot: **1–6. 9. 10. 12. 19. 25** (schwach) **26. 27.** Neuschnee: **18** [illegible] **22. 38**; **23. 12**; **24. 5**; **25. 2**; **29. 5.** — Mittlere Höhe der Schneedecke: **27.** 40^{cm}; **29. 36.** — Mittlere Schneegrenze: **22.** 1400^m; **26.** 1500. — Cirri: **1. 4** $9^1/_2{}^h$ Ab. **5** bis Nm. **6** id. **7** Mitt. **8. 9** Ab. **10** Nm. **11. 12** Vm. **13. 14** Ab. **19. 20** Nm. **21** Vm. **26** id. **27** id.; je Vm. früh: **2. 9. 10. 16. 18. 20. 25.** — Alpen sichtbar: **2** Ab. **4. 5. 6. 8. 9** Nm. **10. 12** Ab. **13. 14. 15** Vm. früh, **16** id. **18** id. **19** $9^1/_2{}^h$ Ab. **20** Nm. **21** Vm. **22** Vm. früh. **26** $9^1/_2{}^h$ Ab. **30** Nm. — Alpen hell: **1** Nm. **2** bis Nm. **3** Nm. **4** Vm. früh u. $9^1/_2{}^h$ Ab. **5** Vm. früh. **7. 8** Vm. früh. **9** Vm. **11. 12** bis Nm. **14** Vm. früh. **20** Vm. **27** Nm. **30** $10^1/_2{}^h$ Vm. — Alpen klar: **1** Vm. **3** id. **7** Vm. früh. **19. 26. 27** Vm. — Ebene sichtbar: **4** Nm. **6. 8** Nm. **15** Vm. früh. **30**; je Ab.: **2. 5. 9. 12. 25** $9^1/_2{}^h$. **26. 27** $4^1/_2{}^h$. — Ebene hell: **1. 3. 4** Vm. u. $9^1/_2{}^h$ Ab. **7. 8** Vm. **11. 13. 14. 18** Vm. früh. **19. 20. 21** Vm. **27** id.; je bis Nm.: **2. 5. 9. 10. 12.** — Ebene klar: **1** Vm. früh. **26** Vm. — Nebelmeer: **1** Vm. früh (teilweise, Bodensee). **11** id. (800^m). **26** bis Nm. (teilweise, 1000–1600^m). — Alpen dunstig: **2** bis Nm. **4. 5. 6** bis Nm. **7–10** Nm. **12. 13. 14. 20** $4^1/_2{}^h$. — Ebene dunstig: **1** Ab. **2** bis Nm. **4. 5. 6** bis Nm. **7. 8. 9** Vm. $10^1/_2$ u. $4^1/_2{}^h$ Nm. **10** bis Nm. **12. 13. 14. 19** Nm. **20** Vm. früh u. $4^1/_2{}^h$ Nm. **27** $9^1/_2{}^h$ Ab. — Alpen Nebel: **15** Nm. (leicht). **18** Mitt. u. $9^1/_2{}^h$ Ab. (leicht). **25** Vm. früh u. Ab. **27** Mitt. u. $9^1/_2{}^h$ Ab. — Ebene Nebel: **2** Ab. **10** id. (leicht). **15** Nm. (id.). **16** Vm. früh. **18** Mitt. u. Ab. $9^1/_2{}^h$ (leicht). **22** Vm. früh. **25** id. u. $4^1/_2{}^h$ Nm. **27** Nm. **30** Ab. $4^1/_2{}^h$ (vorbeiziehende). — **St. Gotthard.** Neuschnee: **22.** 22^{cm}; **24. 11.**

Oktober.

Bern. 3. u. **24.** je Ab. Alpenglühen. — Alpen sichtbar: **16. 19. 20. 22** je Nm. **25** Mitt. **28** id. **29** bis Nm. — Alpen hell: **4** Vm. früh. **12** Ab. **13** id. **14** Nm. **24** id. **27. 30** Nm. — Alpen klar: **3. 21** Nm. **23. 24** Ab. **26. 27** Vm. früh. **30** Ab. **31** Nm. — **Neuenburg. 9.** Nm. $3^1/_4$ bis 5^h Gewitter (sehr häufiger Donner) im N u. $6^1/_2$–$8^1/_2{}^h$ Ab. id. im S. **29.** Ab. Joran. — Alpen sichtbar: **3** Ab. **26** bis Nm. **27** id. **29** Vm. früh. — Nebel am Chaumont: **6** bis Nm. **10** Mitt.; je Vm. früh: **1. 4. 12. 18.** — **Altdorf. 9.** Nm. 5^h10^m Donner im NW. — Föhn: **3** seit Ab. **4** bis Nm. **8. 17. 18** je Nm. **21** seit Ab. **22** Vm. früh (schwach). **26** seit 9^h Ab. **27.** — Berge angeschneit: **1** (bis zu 1000^m herab). **2** (900^m). **3** (850^m). **26** (1500^m). **28** (1200^m). — Nebel an den Bergen: **6** Mitt. **11** id. **16** Vm. früh (im S). — **Genf. 1.** u. **28.** Schnee auf den umliegenden Bergen. **25.** Schnee auf dem Jura. **31.** Vm. früh Eisbildung. — **Zürich. 9.** Gewitter: Ab. 4^h25^m–5^h (von N u. SE; 4^h45^m–48^m Hagel: 8–15 $^m/_m$ Grösse), 5^h44^m–50^m (in der Nähe) u. 6^h50^m–$7^1/_2{}^h$ (im N vorbeiziehend). **12.** u. **18.** je Nm. Horizont neblig. **15.** Abendrot. — Schneegrenze: **2.** 800^m; **24.** 1800; **28.** 1500. — Cirri: **3. 7** Nm. **11** Ab. **14** Nm. **21. 24** Ab. **25** Nm. **26. 27** Vm. **30** Ab. **31.** — Alpen sichtbar: **4** Vm. (teil- u. zeitweise). **8** Ab. (teilw.). **12** Nm. (schwach). **22** bis 8^h Vm. (teilw.). **30** Nm. **31** id. (teilw.). — Alpen hell: **3** Nm. **4** id. **23** bis 9^h Vm. **24** Ab. **27.** — Alpen klar: **21** Vm. früh. **22** Nm. **26. 27** Vm. früh. **28** seit $10^1/_2{}^h$ Vm. — Hochnebel: **6. 10. 13**; je Vm.: **9. 12. 16. 17. 18. 20. 30.** — Tal u. See Nebel je Vm.: **3. 4. 9. 12** (schwach). **14. 16** (schwach). **18. 21** (schwach); je Nm.: **13** 4^h. **20** (schwach). **25** (id.). — **Rigi-Kulm.** Nebelmeer: **6** bis Nm. **9** id. **11. 12** Vm. früh u. Ab. **13. 16. 17. 18** Vm. früh u. Ab. **19** Vm. früh (teilw.). **30** bis Nm. (14–1600^m). — Tal teilweise neblig: **5** bis Nm. **8. 14. 15. 20** je Vm. früh. — Tal teilweise Nebel: **16** Mitt. **21. 25. 26. 31** je Vm. früh. — **Bevers. 11.** Vm. früh Nebel bis zu 1800^m herab. **18.** Id. bis zu 1750^m. **24.** Angeschneit bis zu 1800^m herab. **25.** Vm. früh Frost. **31.** Totale Schneehöhe: 15^{cm}. — Neuschnee: **1.** 4^{cm}; **2. 5**; **3. 1**; **4. 3**; **26. 16**; **28. 29.** — **Sitten. 1.** Neuschnee bis zu 1250^m herab. **22.** Seit 7^h Vm. Schneefall auf den Bergen. **28.** Neuschnee bis zu 1500^m. — Cirri: **17** Vm. früh. **21** Mitt. **25** Vm. früh. — Hochnebel: **10** Ab. **11** Vm. früh u. Ab. **12** Vm. früh. — **Lugano. 1.** Angeschneit bis zu ca. 2100^m herab. **22.** Ab. Blitze im WNW. **28.** Schnee auf den umliegenden Bergen: Tamaro, Gradiccioli, Caval Drossa, Camoghè (bis zu 1961^m herab). — N–Föhn: **1. 2. 26** Vm. früh. — **Basel. 7.** Abendrot 6^h8^m u. Cirri. — **Säntis. 9.** Ab. leichtes Gewitter im NE. **20. 21.** u. **25.** je Vm. früh Alpen Reif. — **25.** u. **31.** je Vm. früh Ebene Reif. — Morgenrot: **3. 4. 8. 9. 11–18. 21. 25. 26** (schwach). **27. 29. 31.** — Abendrot: **3** (schwach). **4. 7. 10–22. 24. 26. 27. 30. 31.** — Cirri: **3. 4** $10^1/_2{}^h$ Vm. **6** Mitt. **7** Vm. früh u. Nm. **8** bis Nm. **9** id. **11. 12. 13. 14** Nm. **15** $10^1/_2{}^h$ Vm. **16. 17. 18** Vm. **19** bis Nm. **20** Vm. früh. **21. 22** Mitt. **23. 25** bis Nm. **26. 27. 30. 31.** — Neuschnee: **1.** 12^{cm}; **2. 45**; **3. 17**; **25. 3**; **28. 17**; **29. 8**; **30. 6.** — Mittlere Höhe der Schneedecke: **3.** 110^{cm}; **6.** 108; **9. 85**; **11. 56**; **13. 32**; **16. 17**; **18. 12**; **20. 8**; **26. 13**; **27. 19**; **29. 42**; **31. 45.** — Mittlere Schneegrenze: **3.** 900^m; **4.** 1000; **11.** 1600; **24.** 1700; **26.** 1300; **30.** 1000. — Alpen sichtbar: **3** Ab. **5** Mitt. **6. 9. 17** Nm. **18** Vm. früh. **20. 22** Nm. **23** Vm.; je $9^1/_2{}^h$ Ab.: **10. 18. 21. 24. 26. 30. 31.** — Alpen hell: **3** bis Nm. **4. 6** Mitt. **7** Ab. **8. 14. 15. 16** Nm. **18. 19** Ab. **20** $4^1/_2{}^h$ Nm. **23** Ab. **25** bis Nm. **27**; je Vm.: **7** früh. **9** id. **17. 20** $10^1/_2{}^h$. **22. 29** früh. — Alpen klar: **11. 12. 13. 15** Vm. früh. **16** Vm. **19** bis Nm. **21. 26. 30. 31.** — Ebene sichtbar: **3** (zeitweise). **5** Mitt. **6** Vm. früh. **22** Nm. **23** Vm. früh (teilw.). **30** Vm. früh u. Nm.; je Ab.: **6. 7. 9** $9^1/_2{}^h$. **11. 14. 17** $9^1/_2{}^h$. **19. 24.** — Ebene hell: **3** Vm. $10^1/_2$ u. $4^1/_2{}^h$ Nm. **4. 7** Vm. früh. **8. 9** bis Nm. **12. 13** Ab. **14** bis Nm. **15** id. **18** Vm. früh. u. Nm. **20. 21** Nm. **22** Vm. u. $9^1/_2{}^h$ Ab. **25** bis Nm. **26** Ab. **29** Vm. früh. **30** Mitt. **31.** — Ebene klar: **9** Vm. früh. **12** $10^1/_2{}^h$ Vm. **13** bis Nm. **19** id. **21** Vm. **25** $10^1/_2{}^h$ Vm. **26** bis Nm. **27. 31** $10^1/_2{}^h$ Vm. — Nebelmeer: **6** bis Nm. (teilw., 1400–1450^m). **9** Vm. (tief bis 700^m). **10** Ab. $9^1/_2{}^h$ (900^m). **11** (teilw., 11—1300^m). **12** bis Nm. (6–700^m). **13** (id.). **14** Vm. früh (tief). **15** Ab. (teilw., 1800^m). **16** (1100 bis 1200^m). **17** (id.). **18** Vm. (700^m). **19** (Vm. tief, Mitt. Bodensee). **20** Vm. $10^1/_2{}^h$ (teilw., Bodensee). **21** Vm. (600^m). **23** Ab. $9^1/_2{}^h$ (Ebene). **25** Vm. (500^m). **30** bis Nm. (teilw., 12–1300^m). **31** Vm. (600^m). — Alpen dunstig: **17. 18** Vm. früh u. Nm. — Ebene dunstig: **20** Vm. früh; je $4^1/_2{}^h$ Nm.: **7. 14. 20. 27. 30. 31**; je Ab.: **8. 12. 18. 19. 21.** — Alpen Nebel: **5** Vm. früh. **7** Mitt. **9** $9^1/_2{}^h$ Ab. **23** Mitt. **24** Ab. — Ebene Nebel: **5** Vm. früh. **6** Ab. (teilw.). **7** Mitt. **9** Ab. **18** Mitt. (teilw. u. tief). **23. 24** Ab.; je $9^1/_2{}^h$ Ab.: **4. 12** (teilw.). **15. 16. 17** (teilw.). — **St. Gotthard.** Totale Schneehöhe: **6.** 85^{cm}; **27. 22.** — Neuschnee: **1.** 7^{cm}; **3. 6**; **4. 8**; **5. 49**; **6. 22**; **24. 8**; **25. 8**; **26. 18**; **28. 16.**

November.

Bern. 7. Ab. Alpenglühen. **16.** Nachts 10^h27^m Erdbeben. **20.** Höhen ringsum schneebedeckt. — Alpen sichtbar: **6** Ab. **14** Vm. früh. **16. 23** Mitt. **28.** — Alpen hell: **1** Nm. **2** Ab. **11** id. **12. 15** Nm. **16** Ab. **17. 18** Ab. **21** Nm. **29** id. — Alpen klar: **4** Ab. **5. 7. 8. 15** Ab. **17** Vm. früh. **22. 26. 27** Nm. — **Neuenburg. 9.** Vm. früh Nebel auf dem See. **10.** Chaumont angeschneit. **30.** Ab. Hochnebel (ca. 600^m). — Alpen sichtbar: **5** bis Nm. **7** id. **11** Nm. **16** Ab. **21** Nm. **22. 26.** — Nebel am Chaumont: **3** Vm. früh. **9** id. **10** Mitt. **25** bis Nm. — **Altdorf. 16/17.** Nachts 10^h26^m Erdbeben (ziemlich heftige Stösse). **17.** u. **28.** Morgenrot. **20.** Mitt. u. **21.** Vm. früh Schnee an den Bergen. — Angeschneit: **11** (bis zu 1000^m herab). **14** (bis zu 900^m). **20** (bis zu 600^m). — Nebel an den Bergen: **2** Ab. (leicht). **10** Vm. früh. **25** Mitt. — Föhn: **8** seit Ab. **9. 12** Nm. **17** seit 4^h Nm. (schwach). **18** Nm. **21** seit Ab. **22. 23. 27** bis $4^1/_2{}^h$ Nm. — **Zürich. 16.** Ab. 10^h26^m–27^m Erdbeben von NE–SW: spürbar in der ganzen Schweiz (zwei Stösse). **18.** Schneegrenze: ca. 1400^m. **21.** Id.: 1000^m. — Alpen sichtbar: **4** Nm. (teilw.). **7** (teil- u. zeitw.). **8** Ab. (südöstl.). **9** Vm. früh u. Mitt. (teilw.). **11** Ab. (id.). **16** Nm. **17** id. **18** Mitt. **19** (zeitw.). **20** Nm. **21** seit $10^3/_4{}^h$ Vm. **23** (teilw.). — Alpen klar: **5. 7** Ab. (hell). **12** Nm. **15** id. **16** Vm. früh. **17** id. **20** Ab. **21** Nm. **22** (hell). — Cirri: **1** Mitt. **3** Ab. **4. 5. 7. 8** Nm. **11** Ab. **15** Nm. **16. 17. 22. 23. 27** Nm. — Tal u. See dunstig: **23**; je Nm.: **3. 17. 22. 27.** — Tal u. See neblig: **1** Vm. **8** Nm. **9. 10** Vm. **25** Nm. — Tal u. See Nebel: **17** Vm. **28. 29** Nm. **30.** — Hochnebel: **14. 23** Ab. **24. 26. 28. 29** Nm. **30**; je Vm.: **1. 2. 3** (schwach). **4. 15. 27.** — **Rigi-Kulm. 16.** Ab. $10^1/_2{}^h$ zwei leichte Erdstösse (Richtung: N–S). — Nebelmeer: **1** Mitt. **2. 3. 4** bis Nm. **8** Mitt. **10** Vm. früh u. Ab. **14** Nm. **15** Vm. früh. **24** Mitt. **25** id. **26. 27. 28** je Vm. früh. **30.** — Nebel im Tal Vm. früh: **1** (leicht). **8** (teilw.). **12** (id.). **17** (leicht). **24** (teilw.). **25** (id.). **27** Mitt. (leicht). **28. 29.** — **Bevers. 8.** Vm. früh etwas dunstig im E. **16.** Ab. 10^h26^m Erdbeben. — Totale Schneehöhe: **14.** 47; **30.** 42^{cm}. — Neuschnee: **10.** 10^{cm}; **11.** 37; **12. 2**; **14. 5**; **18. 2**; **19. 25**; **20. 5**; **24. 7.** — **Sitten. 16.** Ab. 10^h28^m zwei leichte Erdstösse (Richtung: N–S). — Cirri: **1** Mitt. **4** id. **5** Nm. **7** Vm. früh. **28** Ab. — Neuschnee: **10** (bis zu 1200^m herab). **13** (bis 1000^m). **19** (id.). — **Lugano. 16.** Ab. 10^h27^m Erdstoss (horizontale und vertikale Schwingung: Dauer 27 Sekunden, Richtung: NNW–SSE nach Seismograph Cecchi). **23.** Vm. Gewitter von SW nach NE; Nachts st. SW. — Schnee auf den umliegenden Bergen: **9** (bis zu 1961^m herab). **13** (bis 1600^m). **19** (id., Monte Caprino). — Umliegende Berge neblig Vm. früh: **11** (u. Val Colla). **25.** — **Säntis. 16.** Ab. 10^h27^m zwei starke Erdstösse von NE–WSW. — Alpen Reif Vm. früh: **4. 25. 26.** — Ebene Reif Vm. früh: **2. 4. 5. 7** (stark). **8. 12. 17. 26. 29. 30.** — Morgenrot: **1. 2. 4. 5. 7. 8. 9. 12. 14. 15. 17. 22. 24–30.** — Abendrot: **2–5. 7. 8. 11. 12. 14–17. 21. 22. 23** (schwach). **26–30.** — Cirri: **1. 2** Vm. früh u. Ab. **3. 4. 5. 7. 8. 9** Nm. **11** id. **12** bis Nm. **14. 15. 16** Nm. **17. 18** Nm. **21. 22. 23** $10^1/_2{}^h$ Vm. **24** Vm. **25** bis Nm. **26. 27. 28** bis Nm. **29. 30.** — Neuschnee: **6.** 3^{cm}; **7. 8**; **11. 11**; **12. 3**; **14. 12**; **16. 1**; **19. 3**; **20. 4**; **21. 4**; **22. 2**; **25. 1.** — Mittlere Höhe der Schneedecke: **3.** 38^{cm}; **6.** 40; **8. 38**; **10. 35**; **12. 48**; **15. 57**; **17. 53**; **20. 56**; **22. 60**; **24. 58**; **26. 54**; **28. 51.** — Mittlere Schneegrenze: **3.** 1400^m; **7.** 1400; **9.** 1600; **11.** 900; **15.** 1200; **19.** 1000; **21.** 900; **23.** 1200. — Alpen

sichtbar: **2** $9^1/_2{}^h$ Ab. **3** Nm. **10** Vm. früh. **11** Nm. **14** $9^1/_2{}^h$ Ab. **17** id. **18** Nm. **21. 23. 25** bis Nm. **29** Nm. — Alpen hell: **1. 5** Ab. **7. 8** Nm. **9. 12** Ab. **16** Nm. **18** Vm. früh. **21** Vm. $10^1/_2$ u. $4^1/_2{}^h$ Nm. **22. 23** Vm. früh. **24** bis Nm. **26. 27. 28. 29** $4^1/_2{}^h$ Nm. — Alpen klar: **2. 3** $4^1/_2{}^h$ Nm. **4. 5** bis Nm. 8 Vm. **12** bis Nm. **14. 15. 16** $4^1/_2{}^h$ Nm. **17. 18** Mitt. **26** Vm. früh. **28** id. **29** Vm. **30.** — Ebene sichtbar: **2** Nm. **3. 9** Ab. **11** Nm. **14** Vm. **15. 18** Vm. früh u. Nm. **21. 25** $10^1/_2{}^h$ Vm. **26** Ab. — Ebene hell: **1** Vm. **2** Mitt. **3** id. **4** Nm. **5. 7. 8** Nm. **9** bis Nm. **12. 16** Nm. **17. 18** Mitt. **21** $4^1/_2{}^h$ Ab. **23. 26** bis Nm. **27** Nm. **28** id. **29.** — Ebene klar: **5** $4^1/_2{}^h$ Nm. **15** Mitt. **22. 30** bis Nm.; je Vm.: **2** früh. **4. 5** $10^1/_2{}^h$. **8. 12** früh. **17** id. **23** $10^1/_2{}^h$. **24. 26** früh. **27. 28. 29** früh. — Ebene dunstig Ab.: **2. 3. 4. 7. 8. 9** (tagsüber). **11. 15.** — Alpen Nebel: **1** Ab. **3** Vm. **11** Mitt. **25** $10^1/_2{}^h$ Vm. — Ebene Nebel: **1** Nm. **3** Vm. (teilw.). **9** $9^1/_2{}^h$ Ab. **10** Vm. früh. **11** Mitt. **14** id. **18** Vm. früh. **25** bis $1^1/_2{}^h$ Nm. — Nebelmeer: **2** bis Nm. (teilw., 1000^m). **3** Mitt. (teilw. u. tief). **4** Vm. (teilw., 6–700^m). **8** Vm. (teilw., 600^m). **12** (Vm. früh Bodensee, $10^1/_2{}^h$ tief). **14** (teilw., 12–1700^m). **15** bis Nm. (teilw., 1000–1100^m). **24** (Vm. 8–900^m, Mitt. teilw., 1000^m). **26** (7–900^m). **27** (teilw.; Vm. 7–800^m, Nm. tief). **28** (6–800^m). **29** (600^m). **30** (700–1200^m). — **St. Gotthard.** Totale Schneehöhe: **3.** 26^{cm}; **10.** 69; **17.** 60; **24.** 186. — Neuschnee: **7.** 2^{cm}; **10.** 31; **11.** 32; **13.** 4; **14.** 20; **18.** 12; **19.** 30; **20.** 3; **22.** 2; **23.** 40; **24.** 35; **25.** 18; **27.** 1; **28.** 5; **29.** 3.

Dezember.

Bern. 4. 10. u. **19.** Morgenrot. — **14.** u. **18.** je Ab. Alpenglühen. — Alpen sichtbar: **5** bis Nm. **7** Nm. **9** Ab. **21** bis Nm. — Alpen hell: **13. 16** Nm. **19. 20** Vm. früh. **21** id. **22** Nm. **24. 28** Mitt. **29.** — Alpen klar: **3** Nm. **4** Vm. früh. **6** Nm. **10. 14** Ab. **17. 18. 24** Vm. früh. — **Neuenburg. 5.** Vm. früh Nebel am Chaumont. **21.** Seit Ab. orkanartiger W. **23.** Nm. zeitweise Böen (Joran). — Alpen sichtbar: **6** 4^h Nm. **10** bis Nm. **21** Vm. früh. **24. 29.** — **Altdorf. 1.** Hochnebel (800^m). **4.** Morgenrot. **14.** Vm. früh Schnee an den Bergen. — Föhn: **7** seit $6^3/_4{}^h$ Vm. **10** seit Ab. **11** Vm. **12/13** Nachts. **13. 15** Vm. **20. 21** Nm. (schwach). — Angeschneit: **5** (bis zu 800^m herab). **9** (id.). **16** (bis 700^m). **22** (bis 600^m). — **Zürich. 5.** Vm. $9^1/_2$–10^h plötzlicher Nebelzug aus W. **11.** Uto u. Albis angeschneit. **13.** Vm. Eisbildung. **14.** Vm. dunstig. **21.** Seit Nm. ausserordentlich heftige SW-Böen (zwischen 3 und 4^h einige Wasserhosen von Kilchberg gegen das Zürichhorn hin beobachtet). **28.** Wellenförmige Altostratus-Decke. — Alpen sichtbar: **13** Vm. früh. **14** Vm. 9^h (teilw.); je Nm.: **3** 4^h. **6** (schwach). **13** (teilw.; Spitzen). **14** (teilw.). **16** (id.). **22.** — Alpen hell: **13** Mitt. **14** Ab. **21** Nm. — Alpen klar: **10. 11** Vm. **19** Ab. **20** Vm. **21** id. **24.** — Schneegrenze: **9.** 800^m; **11.** 1100; **20.** 900; **26.** 600; **29.** 1000. — Cirri: **6. 10. 13** Vm. **14** Nm. **15** id. **19** Ab. **21** Vm. **26. 27** Nm. **28** Vm. früh. — Tal u. See dunstig: **2** Nm. **6** id. **11** Vm. **14** Nm. — Tal u. See Nebel: **4. 5** gegen Mitt. **6** id. **7. 13** Nm. (leicht). **15** Nm. **19** Ab. **28;** je Vm.: **8. 11** seit 10^h (schwach). **13. 14. 20. 21** (schwach). — Hochnebel: **1. 2** Vm. **3** Vm. früh u. Ab. **4. 5** Nm. **7. 15** Nm. (leicht). **30. 31** Vm. — **Rigi-Kulm.** Schneehöhe: **8.** 5^{cm}; **15.** 5; **22.** 5; **29.** 18. — Nebelmeer: **1. 2. 3** bis Nm. **5** Nm. **8. 15** Vm. **29** Ab. **30. 31.** — Teilweise Talnebel: **3** Ab. **5** id. **6. 7. 9** Vm. früh. **13** id. **15** Mitt. **17. 18. 19** Vm. früh. — **Bevers.** Neuschnee: **8.** 10^{cm}; **9.** 15; **10.** 5; **11.** 1; **12.** 27; **13.** 1; **14.** 6; **16.** 20; **17.** 2; **22.** 10; **23.** 4; **24.** 20; **26.** 15; **27.** 18; **28.** 20; **30.** 3. — Totale Schneehöhe: **14.** 90^{cm}; **16.** 100; **17.** 95; **22.** 95; **23.** 95; **24.** 105; **26.** 107; **27.** 120; **28.** 140; **31.** 120 — **Sitten.** Cirri: **4** Vm. früh. **5** Ab. **6** Vm. früh. **15** id. **18** Mitt. **19.** — Neuschnee: **5** (bis zu 900^m herab). **9** (bis 800^m). **10** (bis 300^m). **16** (bis 600^m). **26.** — **Lugano. 10.** Schnee auf den umliegenden Bergen (San Giorgio, Caprino). — N-Föhn: **12** bis Nm. **16** Nm. **22** Vm. **23** seit Mitt. **28** Vm. früh. — Nebel an den umliegenden Bergen: **4** Vm. $10^1/_2$–$11^1/_2{}^h$ (u. Val Colla) u. seit $4^1/_2{}^h$ Ab. **5** bis Mitt. **6** Vm. früh (leicht). — **Basel. 17.** Abendrot. **19.** Intensives Morgenrot $7^1/_4$–$8^1/_4{}^h$. **22.** Morgenrot. — **Säntis. 2.** Ab. u. **4.** Mitt. Ebene dunstig. **21.** Nm. $2^1/_2$ bis $10^1/_2{}^h$ Nachts ausserordentlich heftiger WSW. — Ebene Reif Vm. früh: **1** (u. auf den Alpen). **2. 3. 7. 17. 18.** — Morgenrot: **1. 2. 4–10 11** (schwach). **13. 15. 17–21. 24. 30.** — Abendrot: **1. 2. 3. 5. 6. 10. 14. 16–19. 28. 30. 31.** — Neuschnee: **5.** 5^{cm}; **12.** 17; **13.** 12; **14.** 2; **16.** 13; **17.** 2; **21.** 5; **22.** 10; **23.** 15; **24.** 17; **26.** 21; **27.** 22; **28.** 13; **29.** 5; **30.** 9. — Mittlere Höhe der Schneedecke: **1.** 48^{cm}; **4.** 44; **6.** 51; **8.** 49; **11.** 60; **15.** 90; **18.** 102; **20.** 98; **22.** 110; **24.** 140; **27.** 181; **29.** 197; **31.** 205. — Mittlere Schneegrenze: **4.** 1500^m; **5.** 900; **6.** 1000; **10.** 600; **13.** 500; **15.** 800; **17.** 800; **28.** 800; **30.** 900. — Cirri: **1. 2** Nm. **3. 4** bis Nm. **5. 6. 7. 8** Mitt. **10. 14** Nm. **15** bis Nm. **16** Ab. bis **19. 30. 31** Ab.; je Vm.: **2** früh. **8** id. **9** id. **20** $10^1/_2{}^h$. **21** früh. **24** $10^1/_2{}^h$. **28** id. **31.** — Alpen sichtbar: **5** bis Nm. **13** Nm. **14** Vm. früh. **21. 31** Vm. früh.; je Ab.: **7. 8. 10** $9^1/_2{}^h$. **17** id. **18** id. — Alpen hell: **3** Ab. **4** bis Nm. **7** id. **8** Vm. früh. **9** id. **11** Vm. **13** id. **15** bis Nm. **16** Ab. **20** bis Nm. **28. 30.** — Alpen klar: **1. 2. 3** bis Nm. **4** Vm. früh. **5** Ab. **6. 10. 14** Nm. **15** Vm. früh. **17. 18. 19. 21** Vm. früh. **24** bis Nm. **31.** — Ebene sichtbar: **5** Vm. $10^1/_2$ u. $9^1/_2{}^h$ Ab. **14** Vm. früh. **17** $9^1/_2{}^h$ Ab. **21** Nm. — Ebene hell: **3** Nm. **6. 7. 9** Vm. früh. **10. 11** Vm. **13. 14** Nm. **16** Ab. **18** Nm. **19** id. **21** Vm. **28;** je bis Nm.: **2. 4. 15. 20. 24.** — Ebene klar Vm.: **1** früh. **3. 17** u. Nm. **18. 19.** — Nebelmeer: **1** (1200^m). **2** (Vm. teilw., 12–1300^m; Ab. $9^1/_2{}^h$ 700^m). **3** Vm. (700^m). **4** Vm. (früh 600^m, $10^1/_2{}^h$ Bodensee). **5** (teilw., 12–1600^m). **6** (teilw. u. tief; Ab. 700^m). **7** (600 bis 800^m). **8** Ab. (11–1400^m). **15** bis Nm. (6–700^m). **17** (Vm. 600, Nm. 700^m). **18** (id.). **19** (600^m). **20** Vm. früh (Bodensee). **30** (8–900^m). **31** (teilw., 18–2300^m; Ab. tief). — Alpen Nebel: **5** Vm. früh. **8** bis Nm. **13. 14. 19** je $9^1/_2{}^h$ Ab. (schwach). — Ebene Nebel: **5** Vm. früh. **8** bis Nm. **31** Vm. früh. — **St. Gotthard.** Totale Schneehöhe: **1.** 162^{cm}; **8.** 170; **15.** 171; **22.** 155; **29.** 180. — Neuschnee: **5.** 5^{cm}; **8.** 13; **10.** 20; **12.** 24; **14.** 12; **16.** 21; **21.** 4; **22.** 22; **23.** 16; **26.** 30; **27.** 25; **28.** 20; **30.** 13; **31.** 2.

Monats- und Jahresübersichten

sämtlicher schweiz. meteorologischen Stationen.

In die hier folgenden Uebersichten werden die Beobachtungsresultate aller schweizerischen Stationen, soweit es die Zuverlässigkeit und Vollständigkeit derselben gestattet, aufgenommen.

Das Schema ist dem vom ersten internationalen Meteorologenkongress aufgestellten möglichst angepasst.

Zu beachten ist:

1. Die Minima und Maxima bei Luftdruck und Temperatur sind stets den üblichen Terminbeobachtungen entnommen (7^{30} 1^{30} 9^{30}, resp. 7^{30} 1^{30} 8^{30}; bei Genf 7^{35} 1^{35} 9^{35}).
2. Die Monatsmittel der Temperatur werden aus den 3 Terminbeobachtungen in der Weise abgeleitet, dass der Abendbeobachtung (9^{30}) das doppelte Gewicht beigelegt ist ($m = 1/4 (7^{30} + 1^{30} + 2 . 9^{30})$. Bei den wenigen Stationen, die eine andere Kombination der Beobachtungsstunden haben, wird die entsprechende Reduktion nach den stündlichen Werten von Bern u. Säntis angebracht.
3. Zu den Tagen mit Niederschlag werden alle gezählt, an denen derselbe den Betrag von wenigstens 0.3^{mm} erreicht sei dies nun Regen oder Schnee, oder beides zugleich.
   Eine zweite Rubrik enthält die Zahl der Tage mit Niederschlagsmengen von mindestens 1.0^{mm}.
4. Tage mit mehreren Gewittern werden nur einfach gezählt.
5. Als heitere Tage werden solche bezeichnet, deren mittlere Bewölkung $< 2.$
   » trübe » » » » » » » $> 8.$
6. Bei der Uebersicht der Windverteilung wird nur die Häufigkeit der verschiedenen Windrichtungen mit Intensität > 0 berücksichtigt.
7. λ bezeichnet die geographische Länge in Graden von Greenwich, β die geographische Breite, H_b die Höhe des Stationsbarometers über dem Meer in Metern, G ist die Korrektion, welche an den Luftdruckdaten für deren Reduktion auf die Normalschwere (45° Breite und das Meeresniveau) noch anzubringen ist, h_r die Höhe des oberen Randes des Regenmessers über dem Erdboden. Die Stationen, bei denen die Höhe (der Barometercüvette) bis auf den Dezimeter angegeben ist, sind an das schweizerische Präzisionsnivellement angeschlossen. Alle Höhen sind auf Pierre du Niton 373.6^{m} bezogen.

Zürich.

$\lambda = 8°33'$, $\beta = 47°23'$, $H_b = 493.2^m$, $G = 0.08\ ^{m}/_{m}$, $h_r = 1.4^m$

1911	Luftdruck					Luft-Temperatur								Relative Feuchtigkeit					
	Mittel	Minimum	Tag	Maximum	Tag	7^{30}	1^{30}	9^{30}	Mittel*	Minimum	Tag	Maximum	Tag	7^{30}	1^{30}	9^{30}	Mittel	Minimum	Tag
Januar	725.0	707.6	12	735.8	17	−5.0	−1.4	−4.1	−3.7	−10.2	17	2.8	26.27	91	76	88	85	45	31
Februar	724.5	712.9	19	733.7	16	−0.8	4.0	0.9	1.2	−11.8	1	14.0	23	81	61	78	73	28	17.22
März	715.9	703.5	13	730.7	2	1.9	8.8	4.5	4.9	−2.6	27	21.6	29	87	57	74	73	27	21
April	718.3	708.9	5	731.8	21	4.8	12.2	7.2	7.9	−4.3	5	23.2	23	80	51	67	66	16	15
Mai	717.2	711.6	15	722.8	2. 6	11.0	17.8	12.3	13.3	4.3	2	23.2	29	85	56	78	73	32	3
Juni	720.6	710.6	13	729.7	28	13.4	20.3	14.4	15.6	8.4	14	26.7	8	84	52	78	71	27	7
Juli	722.6	716.2	1	728.1	4. 5	17.0	27.3	19.4	20.8	11.1	4	34.6	24	79	38	66	61	27	8.30
August	720.5	712.6	21	725.4	31	16.5	27.5	19.8	20.9	12.2	18	32.4	20	84	37	63	61	14	19
September	721.5	711.1	21	726.5	27	12.9	21.8	15.1	16.2	7.2	23	31.8	3	90	50	79	73	21	9
Oktober	719.4	706.6	25	728.6	30	7.0	12.7	8.7	9.3	1.2	3	18.3	15	94	68	91	84	36	26
November	717.1	696.0	18	729.3	29	4.2	8.5	5.4	5.9	−1.4	8	17.6	22	92	72	88	84	27	5
Dezember	719.3	706.8	11	727.1	31	1.9	4.4	2.7	2.9	−2.7	17	9.4	21	92	78	87	86	50	10
Jahr	720.2	696.0	XI	735.8	I	7.1	13.7	8.9	9.6	−11.8	II	34.6	VII	87	58	78	74	14	VIII

Rigi-Kulm.

$\lambda = 8°30'$, $\beta = 47°3'$, $H_b = 1787.3^m$, $G = -0.11\ ^{m}/_{m}$, $h_r = 1.8^m$

Januar	615.5	601.3	4	625.7	18	−5.5	−3.8	−5.4	−5.0	−13.6	31	6.2	27	—	—	—	—	15	21
Februar	615.8	607.1	26	623.5	16	−5.2	−3.5	−5.1	−4.7	−11.8	8	5.0	23	67	41	71	60	9	1. 7
März	609.7	597.7	26	621.2	2	−3.5	−1.0	−3.2	−2.7	−10.4	26	8.3	30	71	67	75	71	24	29
April	612.3	599.5	5	625.1	22	−2.0	0.4	−2.0	−1.4	−13.6	7	9.2	22	75	69	77	74	15	15
Mai	613.3	608.6	18	618.5	24	4.1	6.7	4.0	4.7	−2.5	1	13.3	30	77	69	83	77	31	13
Juni	617.3	607.7	13	624.3	28	7.4	10.0	6.9	7.8	−1.3	14	15.3	30	66	63	76	68	26	30
Juli	620.8	614.7	1	624.9	21. 22	12.4	14.4	12.3	12.8	4.8	3	19.9	23	53	56	58	56	24	8
August	619.1	612.7	22	623.0	8	12.5	14.9	12.4	13.0	6.8	26	18.7	20	48	47	55	50	23	2
September	618.7	608.5	23	624.7	2	9.2	11.1	8.9	9.5	−1.3	22	18.7	3	54	55	61	57	13	3
Oktober	614.7	604.0	25	622.3	11	3.4	6.0	3.8	4.2	−6.4	3	13.0	9	61	53	65	60	7	30
November	611.8	594.1	18	621.9	29	0.5	2.0	1.0	1.1	−5.8	19	8.6	5	64	57	59	60	17	17
Dezember	612.6	602.3	11	619.6	17	−1.7	−0.5	−1.5	−1.3	−8.0	10	8.0	18	66	67	65	66	8	17
Jahr	615.1	594.1	XI	625.7	I	2.6	4.7	2.7	3.2	−13.6	I. IV	19.9	VII	—	—	—	—	7	X

Pilatus-Kulm.

Abendbeobachtung: 8^{30}

$\lambda = 8°16'$, $\beta = 46°59'$, $H_b = 2068^m$, $G = -0.14\ ^{m}/_{m}$, $h_r = 0.9^m$

Januar	593.7	579.5	3	604.2	18	−6.1	−4.6	−5.8	−5.6	−15.6	31	3.7	20	61	56	57	58	2	30
Februar	594.2	585.6	24	601.9	16	−6.6	−4.9	−6.1	−6.1	−13.4	8	2.0	22	74	65	70	70	2	1. 9
März	588.2	576.5	26	599.4	2	−5.9	−3.0	−5.2	−4.9	−12.8	15	5.2	30	90	87	89	89	37	6
April	590.8	577.7	5	604.1	21	−3.0	−1.5	−3.6	−3.0	−15.6	5	6.2	19	85	86	92	88	6	22
Mai	592.1	587.4	18	597.5	24	1.0	3.2	2.3	1.8	−9.6	1	11.0	30	98	97	98	98	50	13
Juni	596.2	586.4	13	603.2	28	4.2	7.2	5.4	5.1	−3.4	15	13.6	29	88	88	91	89	30	16
Juli	600.1	594.3	1	604.7	22	9.9	13.5	11.1	11.0	3.6	3	19.6	31	68	71	78	72	17	8
August	598.5	591.8	23	602.6	8	10.3	14.4	11.4	11.6	5.0	26	19.0	10	66	66	71	68	15	1
September	598.0	587.3	23	604.8	2	7.1	10.0	7.8	8.0	−2.4	23	18.5	3	67	63	71	67	7	27
Oktober	593.4	583.0	25	601.6	11	2.0	4.7	3.3	3.1	−9.0	3	12.2	17	71	66	71	69	11	31
November	590.5	573.5	18	600.5	29. 30	−1.1	1.1	−0.5	−0.4	−7.6	19	8.0	5	73	67	65	68	12	12
Dezember	591.2	581.4	11	598.6	17	−3.4	−1.6	−3.3	−2.9	−10.0	10	6.6	18	70	72	72	71	5	19
Jahr	593.9	573.5	XI	604.8	IX	0.7	3.2	1.4	1.5	−15.6	I. IV	19.6	VII	76	74	77	76	2	I. II

Altdorf.

$\lambda = 8°39'$, $\beta = 46°53'$, $H_b = 456.3^m$, $G = 0.05\ ^{m}/_{m}$, $h_r = 1.5^m$

Januar	728.3	710.7	12	739.2	17	−4.2	−0.6	−3.6	−3.0	−9.4	8	3.4	26	89	73	86	83	52	4
Februar	727.8	715.3	26	737.0	16	−1.5	4.0	0.1	0.7	−10.7	9	12.8	28	79	57	76	71	34	24.27
März	719.1	706.7	13	734.6	2	3.8	9.4	5.6	6.1	−3.4	16	21.6	29	75	49	71	65	25	29
April	721.4	711.2	5	735.2	21	6.0	11.1	7.4	8.0	−1.3	5	20.7	23	80	55	74	70	30	18
Mai	720.3	714.3	15	726.3	1	11.4	16.6	12.6	13.3	6.7	3	22.0	12	85	53	81	73	31	12
Juni	723.8	713.0	13	732.9	28	14.5	19.7	15.0	16.1	7.3	14	25.6	23	79	58	84	74	32	23
Juli	725.7	719.5	1	730.9	4	17.4	23.9	18.8	19.7	14.0	5. 12	29.8	30	81	53	78	71	40	9.18.19
August	723.5	715.3	21. 22	728.2	27	17.2	24.7	19.2	20.1	13.7	18	27.8	3. 10	84	49	75	69	30	10
September	724.8	713.9	21	729.7	27	13.4	20.0	15.0	15.9	7.0	23	27.0	5	92	57	83	77	33	9
Oktober	722.5	708.8	25	731.8	30	7.7	12.9	9.1	9.7	0.2	31	19.6	8	92	64	86	81	26	18
November	720.3	699.7	18	732.6	29	4.9	9.4	6.7	7.0	−0.4	8	16.9	22	90	65	77	77	21	12
Dezember	722.5	709.2	11	730.5	17	3.6	6.3	3.4	4.2	−2.1	18	13.5	15	75	69	83	76	26	10
Jahr	723.3	699.7	XI	739.2	I	7.9	13.1	9.1	9.8	−10.7	II	29.8	VII	83	58	80	74	21	XI

* Bezüglich der Mittelbildung vide vorausgehende Pagina.

Beobachter: **Meteorolog. Zentralanstalt.**

Zürich.

Bewölkung 7³⁰	1³⁰	9³⁰	Mittel	Niederschlag Summe	Maximum	Tag	Zahl der Tage ●	● ≥1.0	✱	▲	K	≡	heiter	trübe	Windverteilung N	NE	E	SE	S	SW	W	NW	Calmen	1911
8.8	7.1	6.9	7.6	28	6	1	6	6	6	—	—	10	3	15	2	15	8	0	2	2	0	1	63	Januar
6.9	6.4	6.3	6.5	59	22	25	12	11	9	—	—	1	1	8	1	10	3	0	2	15	14	10	29	Februar
5.6	6.7	5.7	6.0	54	21	25	11	8	7	—	—	1	2	10	2	5	5	2	3	15	12	5	44	März
5.5	5.7	5.7	5.6	44	12	2	12	9	3	—	2	0	7	10	3	21	4	3	1	9	9	6	34	April
6.6	5.9	6.3	6.3	68	22	18	15	14	—	1	5	1	3	9	2	26	2	1	1	7	3	13	38	Mai
5.5	6.1	5.9	5.8	116	21	25	16	14	—	1	5	0	5	8	2	11	9	4	4	10	12	7	31	Juni
2.0	2.5	2.7	2.4	40	32	24	6	4	—	1	4	0	16	1	9	18	11	7	0	3	5	11	29	Juli
3.1	3.1	3.4	3.2	57	23	30	9	9	—	1	6	1	13	1	3	20	9	3	2	12	6	7	31	August
5.4	4.5	4.7	4.9	100	20	23	12	11	—	—	—	1	11	9	1	11	5	2	2	22	4	6	37	September
8.4	6.5	6.3	7.1	54	13	9	13	11	—	1	1	10	0	13	6	11	5	3	5	12	11	10	30	Oktober
8.9	6.2	7.0	7.4	45	13	13	10	9	—	—	—	5	1	13	2	5	8	3	4	17	8	13	30	November
8.8	8.4	8.3	8.5	71	14	21	17	13	3	—	—	7	0	20	2	6	4	4	3	19	14	10	31	Dezember
6.3	5.8	5.8	5.9	736	32	VII	139	119	28	5	23	37	62	117	35	159	73	32	29	143	98	99	427	Jahr

Beobachter: **J. Aschwanden.** Frl. **A. Gygax.**

Rigi-Kulm.

Bewölkung 7³⁰	1³⁰	9³⁰	Mittel	Niederschlag Summe	Maximum	Tag	Zahl der Tage ●	● ≥1.0	✱	▲	K	≡	heiter	trübe	Windverteilung N	NE	E	SE	S	SW	W	NW	Calmen	1911
3.2	3.4	2.9	3.2	35	17	10	7	6	7	—	—	5	16	4	0	15	5	7	2	0	8	15	41	Januar
6.0	6.2	5.0	5.7	41	8	24	12	10	12	—	—	7	6	9	1	14	3	2	0	5	15	36	8	Februar
6.6	7.6	6.3	6.8	102	22	3	14	12	13	—	—	6	1	14	0	1	2	19	10	1	21	18	21	März
6.4	5.6	5.8	5.9	107	26	29	15	9	15	—	—	15	7	13	1	2	4	3	7	8	8	17	40	April
7.4	7.7	7.0	7.4	127	39	18	15	13	3	4	1	21	0	13	1	14	8	5	3	1	9	4	48	Mai
6.9	7.4	7.3	7.2	271	53	25	16	14	2	2	1	12	1	12	2	6	8	2	4	3	33	3	29	Juni
4.0	5.4	4.8	4.7	48	13	16	9	9	—	—	3	6	2	4	0	14	13	1	1	1	15	4	44	Juli
4.2	4.9	5.0	4.7	141	45	25	10	9	—	—	?	4	4	3	0	6	6	6	0	2	16	1	56	August
5.6	5.2	5.8	5.5	198	44	29	11	10	5	—	—	12	9	10	0	4	5	3	1	1	32	6	38	September
5.1	5.9	5.5	5.5	118	39	9	15	13	9	1	1	11	7	8	0	1	6	8	16	2	16	6	38	Oktober
6.8	5.2	4.9	5.6	52	17	13	10	7	8	—	—	10	5	8	6	3	1	2	20	2	19	13	24	November
6.7	6.8	6.0	6.5	65	16	27	18	11	16	—	—	13	4	14	0	4	1	4	16	5	29	17	17	Dezember
5.7	5.9	5.5	5.7	1305	53	VI	152	123	90	7	?	122	62	112	11	84	62	62	80	31	221	140	404	Jahr

Beobachter: **J. Huber** u. **E. Hug.**

Pilatus-Kulm.

Bewölkung 7³⁰	1³⁰	9³⁰	Mittel	Niederschlag Summe	Maximum	Tag	Zahl der Tage ●	● ≥1.0	✱	▲	K	≡	heiter	trübe	Windverteilung N	NE	E	SE	S	SW	W	NW	Calmen	1911
3.2	3.2	2.5	3.0	62	26	10	6	6	6	—	—	5	16	2	1	40	9	0	24	4	0	0	15	Januar
5.9	5.4	4.2	5.2	103	18	26	13	12	13	—	—	8	7	6	1	23	2	0	29	27	0	0	2	Februar
6.6	7.8	6.4	6.9	135	31	3	14	14	14	—	—	13	1	13	0	9	2	0	31	38	0	0	13	März
5.7	6.5	7.3	6.5	133	33	3	14	14	14	—	—	15	5	12	0	30	0	0	27	16	0	0	17	April
6.6	8.5	8.1	7.7	175	40	18	19	18	7	—	3	15	0	16	25	8	2	0	9	17	2	3	27	Mai
6.0	8.1	6.8	7.0	191	24	3	20	19	4	—	4	13	2	11	12	4	3	1	16	34	1	0	19	Juni
3.0	4.7	4.5	4.1	37	13	13	10	7	—	2	9	5	11	4	17	26	3	0	14	14	0	2	17	Juli
2.8	4.3	4.0	3.7	114	48	25	11	9	—	—	7	1	12	3	12	11	1	0	3	43	1	3	19	August
4.1	4.0	3.7	3.9	138	31	15	10	9	4	—	—	6	14	9	10	10	0	3	9	48	1	2	7	September
4.0	4.7	4.1	4.3	95	37	1	11	9	6	1	1	3	12	5	4	4	1	5	8	70	1	0	0	Oktober
5.4	4.5	4.9	4.9	30	6	6	10	10	9	—	—	2	9	7	1	2	0	0	4	69	0	0	14	November
6.4	6.2	6.3	6.3	110	17	15.27	14	12	14	—	—	4	5	11	0	1	0	1	8	54	0	0	29	Dezember
5.0	5.7	5.2	5.3	1323	48	VIII	152	139	91	3	24	?90	94	99	83	168	23	10	182	434	6	10	179	Jahr

Beobachter: Frl. **H. Nager.**

Altdorf.

Bewölkung 7³⁰	1³⁰	9³⁰	Mittel	Niederschlag Summe	Maximum	Tag	Zahl der Tage ●	● ≥1.0	✱	▲	K	≡	heiter	trübe	Windverteilung N	NE	E	SE	S	SW	W	NW	Calmen	1911
7.9	7.3	6.9	7.4	19	8	2	4	4	4	—	—	7	4	19	2	1	0	8	0	0	0	5	77	Januar
5.4	5.4	6.0	5.6	56	26	25	12	10	6	—	—	0	5	7	1	0	0	2	0	0	0	13	68	Februar
6.2	6.6	6.1	6.3	94	22	25	13	9	6	—	—	0	3	12	1	0	0	19	5	2	2	11	53	März
5.3	5.8	5.5	5.5	62	15	29	13	10	4	—	—	1	9	13	1	0	0	12	1	1	3	25	47	April
7.3	6.4	6.2	6.7	77	36	18	14	10	—	—	2	0	2	11	5	0	0	2	4	2	4	32	44	Mai
6.4	6.3	7.4	6.7	186	48	25	17	14	—	1	3	0	3	12	6	1	0	9	0	0	1	17	56	Juni
3.4	4.8	4.2	4.1	59	17	24	10	9	—	—	8	0	9	7	17	0	2	4	0	1	2	3	64	Juli
3.5	4.0	2.9	3.7	104	22	3	12	10	—	—	4	0	14	5	11	0	1	8	1	0	0	12	60	August
5.2	5.0	4.8	5.0	109	24	21	10	9	—	—	—	0	10	9	4	0	1	5	0	1	2	9	68	September
6.2	5.3	5.0	5.5	89	16	1	12	12	—	—	—	2	5	8	2	3	1	11	4	3	1	10	58	Oktober
6.6	6.0	4.5	5.7	59	16	23	14	8	—	—	—	5	4	9	0	0	1	17	0	2	3	9	58	November
7.6	7.0	6.5	7.0	63	9	25	12	12	—	—	—	5	2	12	1	4	2	12	0	0	1	10	63	Dezember
5.9	5.9	5.5	5.8	977	48	VI	143	117	20	1	17	20	70	124	51	9	8	109	15	12	19	156	716	Jahr

Altstätten.

$\lambda = 9°33'$, $\beta = 47°23'$, $H_b = 449.3$ m, $G = 0.08$ m/m, $h_r = 1.5$ m

1911	Luftdruck					Luft-Temperatur								Relative Feuchtigkeit					
	Mittel	Minimum	Tag	Maximum	Tag	7^{30}	1^{30}	9^{30}	Mittel	Minimum	Tag	Maximum	Tag	7^{30}	1^{30}	9^{30}	Mittel	Minimum	Tag
Januar	729.0	711.1	12	739.7	17	−7.1	−2.5	−6.1	−5.4	−14.8	9	3.0	26	94	78	93	88	54	31
Februar	728.1	715.6	26	737.9	16	−2.6	3.6	−0.5	0.0	−15.9	1	12.4	23	88	58	85	77	35	19
März	719.6	706.1	13	734.4	2	1.9	9.1	4.6	5.1	−4.1	27	22.2	29	87	56	77	74	29	21.29
April	721.9	711.7	5	735.6	21	5.7	11.9	7.1	7.9	−2.8	5	21.1	23	79	55	72	69	32	16.17 18
Mai	720.8	715.2	18	727.3	1	11.7	17.7	12.0	13.4	5.5	1	24.0	30	82	55	80	72	40	13
Juni	724.2	713.4	13	733.5	28	14.6	20.0	14.1	15.7	6.2	14	26.4	30	76	55	79	70	36	7
Juli	726.2	719.7	1	732.1	4	18.5	25.9	19.6	20.9	13.9	4	31.4	28	74	48	63	62	38	12.22
August	724.0	715.8	22	729.2	31	17.1	26.0	19.0	20.3	12.8	31	30.1	8	78	44	69	63	25	1
September	725.1	714.8	21	730.3	27	12.6	19.5	14.4	15.2	5.4	24	27.1	13	87	60	80	76	44	12
Oktober	723.0	710.0	25	732.6	30	7.0	12.8	8.0	8.9	−1.8	31	18.6	9	92	66	92	84	37	27
November	720.8	699.3	18	733.4	29	2.9	8.7	4.6	5.2	−2.6	8	18.0	22	93	69	90	84	34	22
Dezember	722.8	709.3	11	731.0	31	1.6	5.2	2.5	2.9	−5.0	18	14.4	20	89	73	86	83	28	10
Jahr	723.8	699.3	XI	739.7	I	7.0	13.2	8.3	9.2	−15.9	II	31.4	VII	85	60	80	75	25	VIII

Säntis.

$\lambda = 9°20'$, $\beta = 47°15'$, $H_b = 2500.1$ m, $G = -0.16$ m/m, $h_r = 0.7$ m

Januar	562.4	548.7	3	572.6	17	−8.6	−7.2	−8.4	−8.1	−18.1	31	1.6	21	67	68	68	68	16	30
Februar	561.9	551.9	26	569.1	16	−9.6	−8.7	−9.5	−9.3	−16.8	8	−2.5	18.19	80	79	85	81	29	2
März	557.0	546.2	26	565.8	2	−8.2	−6.4	−8.1	−7.7	−15.5	14	1.4	29	88	87	90	88	48	7
April	559.7	546.9	5	573.1	21	−5.7	−4.6	−6.2	−5.7	−17.7	4	2.8	22	85	88	92	88	30	15
Mai	561.8	557.3	20	566.2	24.28	−0.9	1.2	−0.9	−0.4	−7.1	2	7.0	29	91	91	93	92	48	3
Juni	565.9	556.7	13	572.4	28	2.2	4.5	1.7	2.5	−6.1	14	10.1	18	89	88	90	89	57	29
Juli	570.2	563.8	17	574.9	22	7.3	9.4	7.2	7.8	1.0	3	15.4	27.28	79	85	79	81	34	11
August	568.6	563.2	22	573.1	8	6.9	9.5	6.9	7.6	2.1	17	12.7	8	81	80	83	81	27	1
September	567.7	556.3	23	574.7	2. 3	4.2	6.2	4.1	4.7	−5.6	18	13.6	3	82	83	83	83	28	3
Oktober	563.4	552.8	28	571.7	11	−0.8	1.0	−0.6	−0.2	−10.0	3	7.2	12	82	83	84	83	51	17
November	559.8	541.9	19	569.9	29	−4.1	−2.7	−3.9	−3.7	−10.4	20	2.5	5	88	86	85	86	52	4
Dezember	560.0	550.4	23	567.9	18	−6.3	−5.4	−6.6	−6.2	−13.8	10	3.6	19	84	82	86	84	28	17
Jahr	563.2	541.9	XI	574.9	VII	−2.0	−0.3	−2.0	−1.6	−18.1	I	15.4	VII	83	83	85	84	16	I

Basel.

$\lambda = 7°35'$, $\beta = 47°33'$, $H_b = 277.2$ m, $G = 0.13$ m/m, $h_r = 1.5$ m

Januar	744.6	725.6	12	755.7	18	−3.7	−1.0	−2.5	−2.4	−10.4	17	4.4	26	89	80	87	85	39	30.31
Februar	743.8	731.3	23	753.4	16	0.3	4.1	2.5	2.3	−10.0	1	12.6	23	81	67	78	75	32	17
März	734.7	722.7	13	750.3	2	3.0	8.5	5.5	5.6	−1.2	9	18.9	30	85	61	80	75	37	19
April	737.3	728.6	5.29	750.6	21	5.1	11.7	8.2	8.3	−2.6	6	22.8	23	81	53	73	69	18	17
Mai	735.8	729.9	15	741.8	1	11.3	17.3	13.5	13.9	5.8	2. 7	22.8	30	86	60	80	75	34	3
Juni	739.0	729.6	13	748.7	28	14.2	19.2	15.8	16.3	9.6	14	26.6	9	81	62	81	75	39	12
Juli	740.8	733.8	1	747.7	4	17.6	26.5	21.0	21.5	10.4	4	33.0	23	76	45	66	62	28	29
August	738.4	730.0	21	744.0	31	17.7	26.8	21.2	21.7	12.9	17	31.2	20	75	44	64	61	27	1
September	739.8	728.8	21	745.3	18	13.5	21.1	16.3	16.8	8.6	18.30	30.8	9	84	57	76	72	26	9
Oktober	737.9	724.3	27	747.9	30	8.3	12.7	9.7	10.1	2.2	31	17.8	22	89	74	87	83	50	3
November	735.7	715.1	18	748.4	14	4.5	8.2	6.0	6.2	−0.2	8	14.6	5	90	76	88	85	47	20
Dezember	737.8	724.4	11	747.1	31	3.9	6.2	4.5	4.8	−0.2	3	13.4	21	86	74	81	80	35	21
Jahr	738.8	715.1	XI	755.7	I	8.0	13.4	10.1	10.4	−10.4	I	33.0	VII	84	63	78	75	18	IV

Neuenburg.

$\lambda = 6°57'$, $\beta = 47°0'$, $H_b = 487.3$ m, $G = 0.06$ m/m, $h_r = 1.3$ m

Januar	724.9	707.8	12	735.3	18	−3.4	−1.1	−2.5	−2.4	−7.8	31	2.8	26	93	83	87	88	46	31
Februar	725.1	714.5	19	733.9	16	−0.6	3.6	1.6	1.5	−10.8	1	10.7	23	85	71	77	77	43	17
März	716.2	705.4	13	731.4	2	2.2	7.3	4.4	4.6	−4.5	27	15.6	31	88	71	77	79	49	22
April	718.4	708.2	5	731.5	21	5.4	11.2	7.4	7.9	−3.2	5	20.7	25	78	54	67	66	22	17
Mai	717.2	712.1	15	722.9	1	11.0	17.6	12.8	13.6	6.7	3	24.0	29	85	59	76	73	42	2
Juni	720.7	710.7	13	730.0	28	14.2	19.9	14.9	15.9	8.8	14	27.8	8	83	62	76	74	39	29
Juli	722.9	715.8	1	727.9	5	18.4	27.3	21.3	22.1	13.0	4	32.4	23	72	43	53	56	30	19
August	720.8	713.0	21	725.4	27	17.7	27.4	20.8	21.7	13.5	31	32.0	10	78	46	59	61	23	15
September	722.0	711.5	21	727.0	18.27	13.4	21.7	16.0	16.8	7.0	23	30.7	10	87	58	73	73	31	9
Oktober	719.9	707.1	27	729.1	30	8.1	11.8	9.0	9.4	3.0	30	17.6	7	93	80	88	87	50	23
November	717.6	696.9	18	729.2	29	4.9	8.3	6.6	6.3	−1.0	8	15.6	5	92	79	87	86	45	19
Dezember	720.0	707.5	11	727.5	17	2.5	4.4	3.0	3.2	−0.8	17	9.8	21	94	85	90	90	53	21
Jahr	720.5	696.9	XI	735.3	I	7.8	13.3	9.6	10.1	−10.8	II	32.4	VII	86	66	76	76	22	IV

Beobachter: **J. Haltner.**

Altstätten.

Bewölkung				Niederschlag		Zahl der Tage								Windverteilung									1911
7^{30}	1^{30}	9^{30}	Mittel	Summe	Maximum Tag	●	●* ≧1.0	*	▲	⛆	≡	heiter	trübe	N	NE	E	SE	S	SW	W	NW	Calmen	
7.3	6.5	6.7	6.8	27	13	10	5	5	5	—	—	8	4	13	17	0	0	0	0	0	1	3	72	Januar
6.5	5.5	6.7	6.2	71	17	25	13	12	9	—	1	2	3	8	5	2	3	0	0	7	25	5	37	Februar
5.7	6.6	6.3	6.2	44	9	1	12	9	6	—	—	1	5	13	11	8	4	4	3	12	12	3	36	März
6.2	5.2	5.9	5.8	72	14	20.26	11	10	2	—	1	0	6	10	28	2	3	1	3	7	6	9	31	April
6.7	6.8	6.3	6.6	112	52	17	17	16	—	1	2	0	1	8	13	10	4	4	1	3	1	7	50	Mai
5.1	6.5	5.8	5.8	172	28	25	17	15	—	1	6	0	5	10	16	5	6	1	1	5	2	12	42	Juni
2.5	2.7	3.2	2.8	7	3	2	2	2	—	—	3	0	17	3	24	7	5	2	0	0	0	2	53	Juli
4.0	3.0	4.1	3.8	91	23	30	12	12	—	—	5	0	14	5	10	13	8	5	1	1	1	4	50	August
4.4	4.2	4.7	4.4	140	44	21	11	9	—	—	3	1	12	10	11	3	6	1	3	2	1	7	56	September
7.5	4.9	5.7	6.0	74	14	25	13	11	—	—	1	7	3	8	6	3	3	0	5	5	5	6	60	Oktober
6.6	6.4	6.8	6.6	41	16	10	8	7	—	—	—	5	3	12	4	0	2	1	4	7	1	8	63	November
7.4	7.0	7.8	7.4	91	15	25	16	15	1	—	—	9	0	13	9	1	4	1	5	10	9	3	51	Dezember
5.8	5.4	5.8	5.7	942	52	V	137	123	23	2	22	33	73	113	154	54	48	20	26	59	64	69	601	Jahr

Beobachter: **J. Bommer.**

Säntis.

3.7	3.7	3.0	3.5	49	23	9	8	7	8	—	—	6	14	4	14	32	10	6	3	12	12	3	1	Januar
6.6	6.5	5.9	6.3	239	59	25	19	16	19	—	1	20	6	10	4	15	3	1	0	26	31	4	0	Februar
6.4	7.3	7.1	6.9	115	20	1	15	15	15	—	—	18	2	17	1	4	4	3	10	37	24	9	1	März
5.8	6.3	6.2	6.1	205	41	27	15	13	15	—	1	18	4	12	4	12	6	8	5	22	20	7	6	April
7.1	9.0	6.8	7.6	95	20	30	20	16	12	1	7	26	0	14	4	15	3	7	9	18	19	7	11	Mai
7.1	8.1	6.4	7.2	331	46	25	18	18	10	—	6	21	1	13	2	5	1	3	6	36	28	4	5	Juni
4.3	7.4	4.4	5.4	42	14	2	12	5	—	1	7	17	0	6	6	21	8	4	4	21	14	6	9	Juli
5.2	6.5	4.9	5.5	136	36	23	10	9	—	—	6	18	3	9	4	6	1	3	7	27	25	9	11	August
5.6	5.9	5.3	5.6	191	47	21	13	10	9	—	2	13	8	9	6	5	3	0	4	29	31	10	2	September
5.5	5.6	5.2	5.4	187	72	1	12	10	9	—	1	12	7	7	3	4	3	5	11	39	19	4	5	Oktober
6.2	6.1	5.8	6.0	80	15	6	12	11	12	—	—	13	2	9	1	2	1	3	11	40	21	2	9	November
6.3	7.1	7.3	6.9	359	53	26	18	18	18	—	—	18	3	14	2	4	1	3	5	39	28	8	3	Dezember
5.8	6.6	5.7	6.0	2029	72	X	172	148	127	2	31	200	50	124	51	125	44	46	75	346	272	73	63	Jahr

Beobachter: **Bernoullianum.**

Basel.

8.5	6.2	5.9	6.9	31	16	9	6	3	6	—	—	8	4	16	0	3	8	8	5	0	1	0	68	Januar
7.5	6.1	6.6	6.7	36	8	25	14	9	5	—	—	6	3	10	0	0	8	7	3	8	14	1	43	Februar
6.5	6.6	5.7	6.3	41	14	25	12	7	5	—	1	7	2	9	3	0	10	6	1	5	10	2	56	März
5.8	6.1	5.4	5.8	33	10	2	14	11	4	—	1	4	7	9	8	7	7	3	2	1	22	4	36	April
6.9	6.8	7.3	7.0	48	13	18	16	14	—	—	6	0	1	11	14	5	24	6	3	6	12	10	13	Mai
5.1	6.2	6.0	5.8	108	21	13	14	12	—	—	3	0	3	9	9	0	21	4	6	6	15	10	19	Juni
2.8	3.8	3.1	3.2	13	9	13	3	3	—	—	5	0	13	1	11	3	18	5	2	2	11	6	35	Juli
3.0	3.5	3.8	3.4	48	17	21	7	7	—	—	6	0	14	3	5	2	32	5	2	3	8	8	28	August
5.1	4.3	4.9	4.8	72	17	23	10	9	—	—	1	4	12	9	2	0	29	7	6	2	23	6	15	September
7.9	6.4	5.2	6.5	64	17	8	15	13	—	—	2	10	2	11	4	1	20	16	1	10	14	8	19	Oktober
8.1	6.7	7.8	7.5	74	20	9	12	12	—	—	—	15	0	13	5	3	19	10	0	9	3	2	39	November
7.9	7.5	6.8	7.4	56	8	24	17	14	3	—	—	5	2	17	0	3	41	13	1	6	16	3	10	Dezember
6.3	5.8	5.7	5.9	624	21	VI	140	114	23	—	25	59	63	118	61	27	237	90	32	58	149	60	381	Jahr

Beobachter: **Observatorium.**

Neuenburg.

9.2	7.2	6.4	7.6	7	3	1.9	4	3	4	—	—	5	2	16	8	67	1	5	0	0	0	6	6	Januar
6.8	6.1	6.0	6.3	58	26	25	7	7	2	—	—	3	2	9	3	28	2	5	0	20	10	11	5	Februar
7.7	7.3	6.7	7.2	77	28	3	14	11	8	1	1	2	0	11	11	20	4	6	1	19	9	17	6	März
5.7	5.9	4.9	5.5	26	9	29	9	6	2	—	—	0	6	9	11	34	6	5	1	17	5	11	0	April
7.3	7.0	7.2	7.2	72	27	18	13	10	—	—	—	0	1	11	14	31	5	8	2	16	1	9	7	Mai
6.2	6.1	5.9	6.1	161	38	9	14	13	—	1	5	0	5	11	12	13	7	7	6	14	3	16	12	Juni
2.1	2.9	3.0	2.7	15	10	24	4	3	—	—	2	0	13	1	15	34	11	1	5	12	3	7	5	Juli
3.2	3.7	3.0	3.3	101	30	20	10	10	—	2	7	0	14	1	18	25	12	9	2	11	1	10	5	August
5.6	4.4	4.4	4.8	95	22	14	10	7	—	—	1	0	9	8	14	30	2	11	1	12	2	12	6	September
9.4	7.5	7.2	8.0	90	18	4	17	14	—	1	1	7	1	17	13	23	3	4	0	14	9	15	12	Oktober
9.0	7.7	7.6	8.1	104	41	9	15	13	1	—	—	3	1	16	13	19	0	4	0	17	8	15	14	November
9.4	9.0	8.1	8.8	112	22	25	19	17	4	—	—	10	0	24	9	18	3	2	0	19	9	21	12	Dezember
6.8	6.2	5.9	6.3	918	41	XI	136	114	21	5	17	30	54	134	141	342	56	67	18	171	60	150	90	Jahr

Chaumont.

$\lambda = 6°59', \beta = 47°1', H_b = 1127^m, G = -0.02\ ^m/_m, h_r = 1.3^m$

1911	Luftdruck					Luft-Temperatur								Relative Feuchtigkeit					
	Mittel	Minimum	Tag	Maximum	Tag	7^{30}	1^{30}	9^{30}	Mittel	Minimum	Tag	Maximum	Tag	7^{30}	1^{30}	9^{30}	Mittel	Minimum	Tag
Januar	668.9	653.6	12	678.9	18	−4.3	−1.5	−4.5	−3.7	−13.4	31	7.0	27	84	77	85	82	13	18
Februar	669.6	661.1	19	677.8	15	−2.9	0.0	−1.9	−1.7	−9.2	1	6.2	23	85	76	85	82	20	22
März	662.3	651.0	13	675.8	2	0.1	3.5	0.6	1.2	−6.6	16.27	13.0	29	86	77	85	83	33	29
April	664.8	653.0	5	678.2	21	2.2	6.3	2.7	3.5	−9.2	5	16.8	23	83	67	79	76	28	15
Mai	664.9	660.3	18	670.3	24	7.7	12.7	8.4	9.3	2.0	1	18.0	29	93	68	87	83	34	3
Juni	668.6	658.8	13	676.4	28	10.7	14.7	10.6	11.7	4.2	14	21.0	8	86	70	81	79	37	29
Juli	671.3	665.0	1	675.3	8	15.6	21.5	16.2	17.4	8.4	4	27.4	23.24	70	55	66	64	40	23
August	669.3	662.5	21.23	673.2	8	15.8	21.3	16.4	17.7	10.2	26	25.4	1	74	56	66	66	34	19
September	669.7	658.7	21	674.8	2	12.1	16.8	12.7	13.8	3.2	30	25.2	3	79	66	77	74	38	8. 9 10.11
Oktober	666.5*	653.1*	25	674.3*	12	5.5	8.7	6.0	6.6	−2.8	3	15.2	12.13	96	85	90	90	48	31
November	664.0*	643.7*	18	674.6*	29	2.6	5.5	3.4	3.7	−1.6	19	12.8	5	91	81	88	87	43	5
Dezember	665.7*	652.3*	11	672.1*	31	0.2	2.2	0.7	0.9	−3.8	10	10.0	30	92	83	87	87	36	2
Jahr	667.1	643.7*	XI	678.9	I	5.4	9.3	5.9	6.7	−13.4	I	27.4	VII	85	72	81	79	13	I

Bern.

$\lambda = 7°26', \beta = 46°57', H_b = 572.2^m, G = 0.05\ ^m/_m, h_r = 1.5^m$

Januar	717.2	700.4	12	727.4	17	−6.9	−2.6	−5.5	−5.1	−12.2	9	2.6	13	92	79	92	88	46	31
Februar	717.4	707.2	19	726.2	16	−2.9	2.7	0.1	0.0	−15.2	1	10.4	23	88	63	81	77	30	17
März	708.8	698.2	26	723.8	2	1.0	7.4	3.2	3.7	−6.4	27	14.9	22	91	59	83	78	26	21
April	711.1	700.6	5	724.4	21	4.6	10.8	6.2	7.0	−4.8	5	21.5	23	84	52	75	70	14	15.17
Mai	710.1	705.1	18	715.7	1	10.5	16.6	11.7	12.6	5.2	7	22.7	29	84	54	83	74	34	3
Juni	713.7	703.9	13	722.7	28	13.9	19.2	14.1	15.4	8.8	14	25.6	8	78	52	80	70	30	9
Juli	715.6	708.9	1	720.5	3	17.9	26.3	19.5	20.8	11.2	4	33.2	30	70	37	62	56	15	19
August	713.5	705.7	21	718.1	27	17.3	26.7	19.4	20.7	13.1	31	30.6	9	74	35	65	58	16	10
September	714.6	704.3	21	719.4	27	12.3	21.1	14.5	15.6	5.7	23	29.2	4.8.9	87	50	80	72	22	9
Oktober	712.3	699.8	27	721.3	30	6.6	11.7	7.9	8.5	−0.8	31	16.7	7.14	94	69	93	85	43	7.26
November	710.1	689.9	18	721.4	29	3.2	7.5	4.4	4.9	−2.2	8	13.7	5	95	73	91	86	45	5
Dezember	712.4	699.6	11	719.6	31	1.0	4.1	1.7	2.1	−4.0	19	12.2	21	93	79	93	88	34	21
Jahr	713.1	689.9	XI	727.4	I	6.5	12.6	8.1	8.8	−15.2	II	33.2	VII	86	58	82	75	14	IV

Genf.*)

$\lambda = 6°9', \beta = 46°12', H_b = 405.0^m, G = 0.02\ ^m/_m, h_r = 1.7^m$

Januar	732.4	715.3	12	742.6	17.18	−2.9	−0.3	−1.7	−1.7	−7.6	18	4.7	12	89	80	83	85	42	12
Februar	733.0	724.1	19	741.6	16	−0.6	5.1	2.7	2.5	−8.0	10	14.6	18	84	61	74	74	20	17
März	723.9	714.3	25	739.8	2	2.5	8.3	5.3	5.4	−2.1	27	17.5	30	88	59	77	75	34	30
April	725.9	714.5	5	738.9	21	6.0	11.3	8.3	8.5	−2.7	6	20.7	16	75	49	65	65	16	17
Mai	724.5	719.7	18	730.6	24	11.5	17.1	13.4	13.8	6.3	1	23.0	27	83	52	74	70	33	10
Juni	728.2	718.2	13	737.4	28	14.8	19.5	16.1	16.6	10.4	16	26.5	30	76	54	74	70	29	15
Juli	729.7	723.1	1	735.0	4	18.9	25.6	21.7	21.9	13.2	4	33.6	24	67	44	59	60	21	18
August	727.6	719.9	21	732.3	27	18.1	25.9	21.1	21.6	14.6	19	31.9	20	75	45	65	64	30	10.20
September	729.1	719.3	21	734.2	27	13.5	21.1	16.6	17.0	7.6	23	31.1	9	84	54	76	72	18	9
Oktober	727.2	714.4	27	736.0	30	8.3	12.9	9.5	10.1	−0.7	31	19.0	6. 7	90	75	89	84	40	23
November	725.1	706.0	18	736.2	29	5.1	9.7	6.9	7.1	−1.9	8	19.0	5	90	70	83	82	29	5
Dezember	727.9	714.6	11	734.8	17	2.5	5.7	3.4	3.7	−3.3	19	13.0	21	92	77	89	87	42	21
Jahr	727.9	706.0	XI	742.6	I	8.1	13.5	10.3	10.5	−8.0	II	33.6	VII	83	60	76	74	16	IV

*) Genf. Vergleiche Fussnote auf Pag. 2. — Die Monatsmittel der Temperatur sind hier der in den Annalen gebräuchlichen Stundenkombination entnommen.

St. Bernhard.

$\lambda = 7°11', \beta = 45°52', H_b = 2475.8^m, G = -0.22\ ^m/_m, h_r = 6.0^m$

Januar	564.6	549.1	3	574.6	17	−8.8	−6.5	−8.2	−7.9	−18.3	3	1.1	27	59	58	61	59	19	21
Februar	565.4	558.8	26	572.3	16	−8.0	−5.3	−7.8	−7.2	−15.2	8	1.8	23	68	62	70	67	8	4
März	559.8	547.0	26	570.1	2	−8.9	−6.0	−8.3	−7.9	−16.2	14.15	0.1	24	87	84	89	87	22	6
April	562.1	548.5	5	575.2	21	−5.5	−1.9	−5.2	−4.4	−14.4	6	7.6	25	78	68	86	77	32	15
Mai	564.0	558.8	20	569.0	24	−0.8	2.8	−0.3	0.3	−8.2	2	11.2	27	85	74	93	84	47	2.27
Juni	568.6	559.2	13	575.2	29	2.3	5.9	2.7	3.4	−5.2	14	13.4	17	82	67	86	78	28	16
Juli	572.4	567.1	17	576.8	22	7.3	12.0	8.4	9.0	4.0	5. 12	16.6	30	70	52	77	66	29	18
August	570.8	565.7	22	575.0	8	7.9	12.6	9.4	9.8	3.4	26	16.1	9	73	55	72	67	22	18
September	570.0	557.3	23	576.4	2	4.5	8.6	5.7	6.1	−4.7	23	17.2	4	78	65	81	75	36	26
Oktober	566.0	555.6	25	573.8	11	−2.0	0.7	−1.0	−0.8	−9.6	3	7.2	12	77	74	77	76	34	31
November	562.9	546.0	19	571.9	29	−4.5	−2.4	−4.4	−3.9	−9.2	7.26	4.1	6	73	72	75	73	27	4
Dezember	563.4	553.8	11	570.7	17.18	−6.6	−5.4	−6.6	−6.3	−13.0	12	1.2	18	66	66	68	67	17	1.19
Jahr	565.8	546.0	XI	576.8	VII	−1.9	1.3	−1.3	−0.8	−18.3	I	16.6	VII	75	66	78	73	8	II

Beobachter: Frl. **R. Thiébaud** u. **E. Houriet**.

Chaumont.

Bewölkung 7^{30}	1^{30}	9^{30}	Mittel	Niederschlag Summe	Maximum	Tag	Zahl der Tage ● ✱	≥1.0	✱	▲	K	≡	heiter	trübe	Windverteilung N	NE	E	SE	S	SW	W	NW	Calmen	1911
5.2	5.0	4.4	4.9	13	6	9	5	3	5	—	—	17	12	11	34	28	7	1	0	1	11	10	1	Januar
6.6	5.5	6.0	6.0	63	23	25	11	7	10	—	—	5	3	8	17	12	7	0	0	2	39	7	0	Februar
7.3	8.0	6.1	7.1	74	23	3	15	9	13	—	3	11	1	14	11	5	8	6	4	5	35	18	1	März
6.2	6.4	5.2	5.9	35	6	27	11	9	7	1	1	8	7	13	15	10	9	6	4	10	18	18	0	April
7.4	6.1	6.8	6.8	67	27	18	13	10	—	—	5	11	1	12	40	9	7	11	5	0	8	13	0	Mai
5.9	6.0	6.1	6.0	153	32	24	14	12	—	—	4	10	5	9	18	5	7	5	6	5	31	10	3	Juni
2.0	3.5	2.5	2.7	18	8	24	5	4	—	—	3	0	14	0	27	9	4	4	2	7	21	17	2	Juli
3.0	4.2	3.5	3.6	174	69	6	10	10	—	5	7	2	14	3	15	8	4	12	5	0	24	18	7	August
5.2	4.9	4.8	5.0	93	23	14	9	9	1	—	1	8	10	12	27	4	1	2	19	7	10	19	1	September
7.3	7.0	6.1	6.8	102	20	4	16	16	2	1	1	10	3	11	0	3	3	0	0	22	8	7	50	Oktober
5.2	5.6	5.6	5.5	100	40	9	15	13	7	—	—	13	6	11	1	0	0	0	0	33	1	3	51	November
6.6	7.7	7.6	7.3	107	18	24	15	15	11	—	—	15	3	19	0	0	0	0	0	41	5	4	43	Dezember
5.7	5.8	5.4	5.6	999	69	VIII	139	117	56	7	25	110	79	123	205	94	57	47	45	133	211	144	159	Jahr

Beobachter: **Tellur. Observatorium.**

Bern.

7^{30}	1^{30}	9^{30}	Mittel	Summe	Maximum	Tag	● ✱	≥1.0	✱	▲	K	≡	heiter	trübe	N	NE	E	SE	S	SW	W	NW	Calmen	
7.6	6.4	6.3	6.8	16	7	9	6	4	6	—	—	15	1	11	2	16	2	0	1	0	0	0	72	Januar
7.4	6.3	6.3	6.7	50	17	25	10	9	3	—	—	6	2	8	1	4	0	0	0	7	3	1	68	Februar
7.1	7.5	5.9	6.8	68	23	25	10	7	8	—	—	2	1	12	2	4	0	0	1	11	1	0	74	März
5.8	6.4	5.3	5.8	40	15	29	10	9	1	1	1	0	6	9	3	19	3	3	0	13	5	1	43	April
7.3	7.2	7.4	7.3	124	32	9	17	14	—	1	7	2	1	15	1	15	1	0	0	0	2	0	74	Mai
5.7	6.0	6.0	5.9	117	18	13	15	14	—	—	2	0	5	9	2	2	2	0	0	5	2	0	77	Juni
2.7	3.2	3.9	3.3	1	1	24	1	1	—	—	3	0	12	1	0	9	5	0	0	3	0	2	74	Juli
3.2	3.0	4.1	3.4	45	14	21	7	7	—	1	6	1	13	1	0	4	1	0	0	0	0	0	88	August
5.8	4.4	5.0	5.2	71	16	23	11	8	—	—	2	5	8	9	1	1	0	1	0	1	2	2	82	September
8.6	7.0	7.1	7.6	66	14	27	12	9	—	—	1	15	0	13	0	3	0	0	0	7	4	0	79	Oktober
8.1	7.4	7.8	7.8	65	11	18	12	11	1	—	—	11	0	17	1	2	1	0	0	8	0	0	78	November
8.4	8.4	7.7	8.2	105	25	25	17	14	4	—	—	10	0	20	0	1	1	0	2	13	4	0	72	Dezember
6.5	6.1	6.1	6.2	768	32	V	128	107	23	3	22	67	49	125	13	80	16	4	4	68	23	6	881	Jahr

Beobachter: **Observatorium.**

Genf.

7^{30}	1^{30}	9^{30}	Mittel	Summe	Maximum	Tag	● ✱	≥1.0	✱	▲	K	≡	heiter	trübe	N	NE	E	SE	S	SW	W	NW	Calmen	
8.1	7.9	7.3	7.6	2	2	1	2	1	1	—	—	4	3	19	15	23	6	4	3	3	2	2	35	Januar
7.5	5.7	5.2	5.8	39	15	25	7	5	1	—	—	1	1	8	15	13	3	1	5	14	3	1	29	Februar
7.4	7.3	6.6	7.2	50	14	25	17	13	8	—	1	0	0	11	14	14	4	1	7	22	7	8	16	März
5.1	5.4	5.1	5.2	47	20	29	10	8	1	—	—	0	11	11	25	16	1	0	6	14	7	2	19	April
6.0	5.7	5.8	6.0	40	11	17	12	6	—	—	8	0	3	8	34	19	1	1	2	6	3	3	24	Mai
4.9	5.9	5.4	5.5	83	19	25	13	11	—	—	5	1	6	5	30	8	1	1	5	11	9	8	17	Juni
1.5	2.3	2.5	2.3	5	4	30	2	1	—	—	7	0	18	0	32	12	1	3	3	9	6	6	21	Juli
2.5	2.8	2.5	2.6	79	25	21	9	8	—	—	11	0	17	2	30	6	2	1	3	9	3	5	34	August
4.2	4.2	3.7	4.0	59	19	21	10	9	—	—	—	1	16	7	23	10	0	2	8	10	3	5	29	September
8.4	6.6	7.1	7.4	138	34	4	16	13	—	—	1	3	0	12	17	14	1	2	6	12	5	9	27	Oktober
8.0	6.8	7.4	7.2	136	67	9	13	9	—	—	—	1	1	16	8	8	1	5	13	18	5	5	27	November
9.3	8.2	7.4	8.1	120	19	15	17	17	—	—	—	6	1	19	6	3	4	10	17	20	3	5	25	Dezember
6.1	5.7	5.5	5.7	798	67	XI	128	101	11	—	33	17	77	118	249	146	25	31	78	148	56	59	303	Jahr

Beobachter: **Hospiz.**

St. Bernhard.

7^{30}	1^{30}	9^{30}	Mittel	Summe	Maximum	Tag	● ✱	≥1.0	✱	▲	K	≡	heiter	trübe	N	NE	E	SE	S	SW	W	NW	Calmen	
3.4	3.2	2.7	3.1	32	10	23	7	7	7	—	—	—	17	5	0	65	0	0	0	28	0	0	0	Januar
3.8	4.8	2.8	3.8	99	25	27	9	9	9	—	—	—	9	4	0	67	0	0	0	17	0	0	0	Februar
[illegible]	7.7	7.5	7.7	146	28	3	18	17	18	—	—	—	1	19	0	38	0	0	0	55	0	0	0	März
5.5	5.7	5.5	5.6	52	12	29	9	8	9	—	—	—	7	12	0	53	0	0	0	37	0	0	0	April
7.3	8.5	8.7	8.2	94	14	14	16	15	12	—	—	—	1	19	0	54	0	0	0	39	0	0	0	Mai
7.2	6.6	5.8	6.5	185	38	13	15	15	3	—	—	—	4	14	0	53	0	0	0	37	0	0	0	Juni
3.8	5.2	4.4	4.5	25	15	24	4	4	—	—	—	—	7	4	0	49	0	0	0	44	0	0	0	Juli
3.7	5.1	3.5	4.1	43	15	23	7	6	—	—	—	—	10	4	0	74	0	0	0	19	0	0	0	August
5.4	5.7	3.4	4.8	132	29	16	8	8	4	—	—	—	9	9	0	61	0	0	0	29	0	0	0	September
[illegible]	6.1	5.5	5.9	141	27	25	11	11	8	—	—	—	5	8	0	22	0	0	0	71	0	0	0	Oktober
[illegible]	6.0	5.6	6.1	166	34	9	10	10	10	—	—	—	5	11	0	41	0	0	0	42	0	0	7	November
6.7	7.1	5.8	6.5	162	22	26	18	15	18	—	—	—	6	14	0	49	0	0	0	41	0	0	3	Dezember
[illegible]	6.0	5.1	5.6	1277	38	VI	132	125	98	—	—	—	81	123	0	626	0	0	0	459	0	0	10	Jahr

Sitten.

$\lambda = 7°21'$, $\beta = 46°14'$, $H_b = 540^m$, $G = 0.00\ ^m/_m$, $h_r = 2.4^m$

1911	Luftdruck					Luft-Temperatur								Relative Feuchtigkeit					
	Mittel	Minimum	Tag	Maximum	Tag	7^{30}	1^{30}	9^{30}	Mittel	Minimum	Tag	Maximum	Tag	7^{30}	1^{30}	9^{30}	Mittel	Minimum	Tag
Januar	719.9	703.4	12	730.4	17	−5.8	−1.6	−4.1	−3.9	−11.2	17	3.1	27	86	62	85	78	47	22.31
Februar	720.2	708.8	19	728.9	16	−2.4	3.6	0.5	0.6	−10.5	1	10.1	23	85	57	69	70	34	28
März	711.7	700.6	25.26	726.9	2	3.0	10.4	5.9	6.3	−1.4	27	19.0	29	79	47	69	65	30	19.29
April	713.2	700.8	5	726.5	21.22	6.3	13.9	8.7	9.4	−0.7	5.7	21.6	24	77	47	62	62	23	27
Mai	712.2	706.7	18	718.0	24	11.8	19.5	13.8	14.7	6.5	2	24.1	26	80	49	65	65	34	7
Juni	716.0	706.1	13	724.8	28	14.9	21.7	15.8	17.0	9.4	14	27.3	14	74	51	72	66	36	23
Juli	717.7	711.5	1	722.6	5	18.5	26.7	21.4	22.0	14.7	4	31.2	24	71	50	59	60	39	30
August	715.8	708.5	22	721.1	27	17.4	26.4	20.9	21.4	14.0	27	30.1	10	76	51	58	62	25	28
September	717.1	707.2	21	722.6	2	13.6	21.0	16.9	17.1	7.6	23	28.2	5	84	57	70	70	41	18
Oktober	715.3	704.3	27	724.2	30	7.4	14.7	9.8	10.4	0.4	3	19.8	17	81	52	82	72	27	3
November	713.4	693.5	18	724.8	29	3.8	9.5	5.9	6.3	−0.2	8	13.3	22.28	89	56	78	74	37	27
Dezember	716.1	706.2	11	723.1	17	1.9	5.4	3.0	3.3	−3.4	2	9.4	15	80	68	82	77	46	22
Jahr	715.7	693.5	XI	730.4	I	7.5	14.3	9.9	10.4	−11.2	I	31.2	VII	80	54	71	68	23	IV

Lugano. ✓ ✓ ✓

$\lambda = 8°57'$, $\beta = 46°0'$, $H_b = 276.2^m$, $G = 0.03\ ^m/_m$, $h_r = 1.7^m$

Januar	742.1	724.8	3	752.5	17	−0.8	4.9	0.7	1.3	−4.2	16	12.8	19	77	66	78	74	19	10
Februar	742.3	729.3	26	751.8	16	0.3	7.5	2.4	3.2	−5.0	1. 2	15.8	26	68	54	66	63	11	8.20 21
März	735.8	721.8	15	746.1	2	4.4	10.3	6.2	6.8	0.0	1. 9	14.8	24	76	58	71	68	14	14
April	735.8	721.8	4	749.0	22	8.2	15.4	9.6	10.7	0.0	8	25.2	25	71	49	70	63	11	14
Mai	735.2	726.6	19	739.9	25	13.0	18.5	14.4	15.1	9.3	1	24.7	28	81	62	74	73	25	6
Juni	739.1	729.8	10	746.3	29	16.3	20.9	16.7	17.6	12.2	14	27.1	8	79	68	76	75	21	14
Juli	740.5	733.6	16	746.0	5	19.9	27.8	20.8	22.3	14.2	10	32.8	28	78	60	75	71	21	9
August	738.1	732.5	16	743.5	7. 8	19.3	27.9	20.6	22.1	15.0	27	32.1	16	81	60	80	74	27	31
September	739.0	725.8	23	746.0	2	15.0	23.5	16.7	18.0	9.2	24	33.2	5	83	65	81	76	29	18
Oktober	739.0	726.0	1	747.4	11	9.1	14.4	10.0	10.9	4.0	26.30 31	20.2	10	89	77	90	85	30	1
November	737.0	715.5	19	747.8	29	5.4	10.5	6.7	7.3	1.0	20	16.0	14	94	83	93	90	58	14.20
Dezember	738.9	728.9	12	746.7	17	3.1	6.8	3.8	4.4	0.0	29.31	11.4	22	83	75	83	80	32	23
Jahr	738.6	715.5	XI	752.5	I	9.4	15.7	10.7	11.6	−5.0	II	33.2	IX	80	65	78	74	11	II. IV

Bevers.

$\lambda = 9°53'$, $\beta = 46°33'$, $H_b = 1712.6^m$, $G = -0.12\ ^m/_m$, $h_r = 1.6^m$

Januar	621.7	607.5	3	631.8	17	−16.2	−7.2	−13.6	−12.7	−23.6	31	2.5	26	82	65	74	73	47	28
Februar	621.4	612.2	19	629.6	16	−11.9	−2.1	−8.6	−7.8	−24.2	1	6.2	18	78	54	70	67	28	15
März	616.1	605.0	26	626.0	2	−8.1	1.8	−5.2	−4.2	−17.0	17	9.2	29	83	51	75	70	35	2
April	617.9	606.1	5	631.3	22	−4.4	4.9	−1.3	−0.6	−15.7	8	12.0	23	82	48	73	68	24	15
Mai	618.7	612.7	18	624.2	28	4.6	9.9	5.4	6.3	−1.8	3	15.5	31	82	52	75	70	26	3
Juni	622.9	613.5	14	629.7	28	7.2	13.5	7.5	8.9	1.0	14	20.8	30	82	52	76	70	28	29
Juli	626.0	620.4	17	630.5	22.23	9.8	19.1	11.5	12.9	4.8	11	24.0	27	88	43	74	68	24	27
August	624.4	619.7	22	629.0	8	8.7	18.4	11.7	12.6	3.0	18	22.8	9	90	45	73	69	16	18
September	624.2	612.5	23	630.5	1	3.8	14.6	6.7	7.9	−3.2	26	23.0	3	91	49	81	74	31	3. 4
Oktober	621.5	609.9	28	628.8	11	−1.6	7.2	1.0	1.9	−13.9	31	15.8	12	93	61	88	81	25	19
November	618.7	600.6	19	628.7	29	−5.8	1.8	−3.9	−2.9	−12.2	12	6.0	5. 6	90	69	85	81	47	5
Dezember	619.2	610.1	11	626.8	17.18	−8.1	−2.6	−7.6	−6.5	−19.0	17	3.6	29	82	70	82	78	40	21
Jahr	621.1	600.6	XI	631.8	I	−1.8	6.6	0.3	1.3	−24.2	II	24.0	VII	85	55	77	72	16	VIII

St. Gotthard (Hospiz).

$\lambda = 8°34'$, $\beta = 46°33'$, $H_b = 2102.9^m$, $G = -0.14\ ^m/_m$, $h_r = 1.8^m$

Januar	591.5	576.9	3	601.8	17	−7.7	−5.1	−7.6	−7.0	−17.3	31	3.0	21	57	51	55	54	15	30
Februar	591.5	583.7	26	598.6	16	−7.4	−5.0	−7.4	−6.8	−13.8	8	3.5	19	63	55	67	62	16	1
März	586.4	573.9	26	595.9	2	−6.7	−1.8	−6.1	−5.2	−13.1	16	5.4	23	83	63	84	77	35	6.12
April	588.6	576.0	5	601.8	21	−3.7	0.0	−3.8	−2.8	−13.4	4	10.8	22	75	62	83	73	24	16
Mai	590.1	584.9	18	594.4	24	1.2	4.1	1.3	2.0	−4.4	2	11.0	31	82	67	92	80	26	3
Juni	594.4	585.4	13	600.7	28	4.1	7.1	4.1	4.8	−4.0	14	12.7	30	81	66	89	79	30	29
Juli	598.1	592.7	17	602.4	21.22	10.0	14.3	10.0	11.1	3.8	4	19.2	27	67	47	76	63	28	27
August	596.4	591.3	22	600.7	8	9.4	13.6	9.8	10.7	4.2	17	18.3	30	72	52	78	67	21	18
September	595.7	583.4	23	602.4	2	6.0	9.6	6.2	7.0	−3.1	23	18.8	3	73	61	81	72	23	4. 7
Oktober	592.3	581.1	28	599.6	11	0.1	3.0	0.5	1.0	−7.3	3	10.4	12	76	69	81	75	34	12.13
November	589.2	571.2	10	598.5	29	−3.0	−1.0	−2.5	−2.3	−6.8	19	5.2	4	78	70	74	74	33	4.11
Dezember	589.5	581.1	11	596.8	27	−5.4	−3.5	−5.3	−4.9	−13.2	10	3.1	19	73	71	73	72	21	31
Jahr	592.0	571.2	XI	602.4	VII IX	−0.3	2.9	−0.1	0.6	−17.3	I	19.2	VII	73	61	78	71	15	I

Beobachter: P. **F. Landolt.** **Sitten.**

Bewölkung				Niederschlag			Zahl der Tage							Windverteilung								1911
7^{00}	1^{30}	9^{30}	Mittel	Summe	Maximum	Tag	●	●≥1.0	✳	▲	K	≡	heiter	trübe	N	NE	E	SE	S	SW	W	NW	Calmen	
4.1	4.1	3.2	3.8	6	2	3	5	2	5	—	—	7	12	6	0	2	6	0	0	4	0	0	81	Januar
5.0	4.0	3.8	4.3	57	36	25	8	6	4	—	—	0	7	3	0	8	0	0	4	11	5	2	54	Februar
7.3	5.6	5.2	6.0	43	21	3	8	5	2	—	—	0	0	6	1	8	2	5	4	19	0	1	53	März
4.6	4.4	3.5	4.2	16	10	29	6	3	1	—	—	0	11	6	1	7	5	2	2	29	3	2	39	April
6.3	6.7	6.2	6.4	18	5	4	7	6	—	—	—	0	4	12	0	3	6	0	2	30	3	1	48	Mai
6.1	5.6	6.0	5.9	48	12	9	11	10	—	—	4	0	4	12	0	0	12	4	3	29	2	3	37	Juni
1.8	3.5	3.0	2.8	10	3	2.30	5	5	—	—	4	0	16	1	2	6	17	2	0	38	5	4	19	Juli
3.0	3.3	2.2	2.8	24	6	30	8	6	—	—	3	0	16	3	0	13	12	4	3	21	4	2	32	August
4.7	4.3	4.1	4.4	54	13	15	10	10	—	—	—	0	10	8	0	8	20	2	5	21	0	0	34	September
4.5	4.2	5.3	4.7	34	10	23	11	9	—	—	—	0	5	5	0	8	11	1	5	20	0	0	48	Oktober
5.8	5.1	3.1	4.7	36	7	18	13	10	2	—	—	0	10	6	0	8	10	4	3	9	0	0	56	November
6.7	6.8	5.5	6.3	82	15	23	15	13	4	—	—	1	5	11	5	7	2	3	5	11	6	0	54	Dezember
5.0	4.8	4.3	4.7	428	36	II	107	85	18	—	11	8	100	79	9	78	103	27	38	242	28	15	555	Jahr

Beobachter: **G. Belletti. G. Malatesta.** **Lugano.**

3.5	4.5	3.9	4.0	16	5	14	6	6	6	—	—	0	13	8	1	0	0	0	0	2	0	0	90	Januar
3.0	4.5	4.2	3.9	17	10	13	3	3	2	—	—	0	10	4	8	6	0	0	0	1	0	1	68	Februar
7.4	7.6	5.9	7.0	107	18	25	15	12	—	—	1	0	3	15	8	0	0	2	0	0	0	1	82	März
4.2	4.5	3.7	4.1	89	30	5	9	7	3	1	1	0	13	6	6	2	0	0	0	1	0	0	81	April
6.4	6.8	7.1	6.8	103	13	14	17	16	—	—	1	0	3	13	5	3	0	1	0	0	0	0	84	Mai
5.8	6.5	5.1	5.8	323	87	25	17	14	—	—	6	0	6	11	5	0	0	1	0	0	0	1	83	Juni
3.9	3.5	3.8	3.7	37	21	2	6	4	—	—	2	0	14	6	2	0	0	0	0	0	0	0	91	Juli
2.4	2.8	3.1	2.8	405	263	21	11	10	—	1	7	0	14	2	2	1	0	1	0	0	0	0	89	August
3.1	3.3	2.8	3.1	228	99	21	9	9	—	—	2	0	16	4	3	6	0	0	1	0	0	0	80	September
6.1	5.8	5.1	5.7	240	78	6	13	13	—	—	—	1	7	12	6	1	1	0	0	0	0	1	84	Oktober
6.2	6.2	5.7	6.0	265	68	23	15	15	—	—	1	3	5	12	1	0	0	0	0	1	0	0	88	November
5.4	5.8	3.9	5.0	100	25	15	8	8	2	—	—	4	9	9	3	4	1	0	0	1	0	3	81	Dezember
4.8	5.1	4.5	4.8	1930	263	VIII	129	117	13	2	21	8	113	102	50	23	2	5	1	6	0	7	1001	Jahr

Beobachter: **J. Camenisch.** **Bevers.**

4.3	3.2	1.3	2.9	6	4	2	6	1	6	—	—	0	15	2	24	14	0	1	2	0	12	1	39	Januar
5.2	3.7	2.4	3.8	38	14	25.26	7	6	7	—	—	0	8	2	25	14	0	1	9	6	7	4	18	Februar
6.7	6.3	5.2	6.1	70	23	2	9	8	9	—	—	2	2	7	13	6	1	4	18	7	9	2	33	März
4.3	5.0	3.9	4.4	45	13	29	7	7	5	—	—	1	14	7	13	13	2	8	7	10	13	1	23	April
6.9	8.3	7.6	7.6	43	11	18	10	9	1	—	—	0	1	16	9	12	4	9	6	6	26	0	21	Mai
6.4	6.3	6.6	6.4	148	47	19	13	11	2	—	3	1	4	14	5	16	2	2	16	9	18	2	20	Juni
4.5	5.4	4.3	4.7	57	30	24	11	6	—	1	12	2	4	4	5	14	2	4	12	8	16	0	32	Juli
4.7	4.7	4.2	4.5	126	50	21	14	9	—	—	5	3	7	4	5	10	3	4	6	14	12	1	38	August
4.7	5.1	4.0	4.6	80	30	21	10	9	4	—	1	1	8	5	12	3	1	1	9	8	11	3	42	September
5.5	5.4	4.5	5.1	163	49	6	14	12	8	—	—	2	9	7	13	4	2	2	7	12	15	1	37	Oktober
6.4	5.8	3.9	5.4	155	52	10	10	9	9	—	—	0	5	6	18	4	0	3	4	4	10	0	47	November
5.5	6.6	4.6	5.6	119	23	11	16	14	16	—	—	0	6	9	18	12	0	3	3	8	14	1	34	Dezember
5.4	5.5	4.4	5.1	1050	52	XI	127	101	67	1	21	12	83	83	160	122	17	42	99	92	163	16	384	Jahr

Beobachter: **D. Dittli.** **St. Gotthard** (Hospiz).

3.6	3.6	3.4	3.5	21	8	10	8	4	8	—	—	5	15	5	54	0	1	14	1	4	0	12	7	Januar
3.9	4.0	4.8	4.4	75	26	25	12	10	12	—	—	7	10	6	57	0	0	2	11	1	0	9	4	Februar
7.4	7.5	7.7	7.5	130	40	25	24	16	24	—	—	17	1	15	30	0	0	18	32	0	1	3	9	März
5.3	5.9	6.1	5.8	73	12	26	17	15	16	—	—	15	7	12	43	2	1	11	16	0	0	4	13	April
7.2	7.8	8.9	8.0	111	20	18	22	16	13	—	—	20	2	18	48	0	0	6	28	0	0	2	9	Mai
7.1	6.9	7.0	7.0	277	90	25	19	18	7	—	1	16	2	11	44	0	0	6	31	2	0	1	6	Juni
3.1	3.8	4.0	3.6	10	5	2	6	3	—	—	—	4	8	2	53	0	0	2	25	0	0	1	12	Juli
3.9	4.4	4.9	4.2	151	76	23	10	9	—	—	1	10	6	3	59	3	0	7	7	0	2	3	12	August
5.5	4.8	5.3	5.2	215	55	21	12	12	5	1	—	9	8	10	55	0	0	4	20	1	0	2	8	September
5.8	6.4	6.5	6.2	280	86	6	16	14	9	—	—	14	6	12	21	1	0	16	40	2	0	0	13	Oktober
6.5	6.1	5.7	6.1	185	41	22	15	15	15	—	—	9	5	12	25	0	0	8	33	4	1	1	18	November
6.2	6.7	5.9	6.3	129	15	25	17	16	17	—	—	12	5	12	44	1	0	6	32	0	1	0	9	Dezember
5.4	5.7	5.8	5.6	1657	90	VI	178	148	126	1	2	138	75	118	533	7	2	100	276	14	5	38	120	Jahr

Sargans.

$\lambda = 9°26'$, $\beta = 47°3'$, $H_b = 506.7^m$, $G = 0.06\ ^m/_m$, $h_r = 1.2^m$

1911	Luftdruck					Luft-Temperatur								Relative Feuchtigkeit					
	Mittel	Minimum	Tag	Maximum	Tag	7^{30}	1^{30}	9^{30}	Mittel	Minimum	Tag	Maximum	Tag	7^{30}	1^{30}	9^{30}	Mittel	Minimum	Tag
Januar	723.2	705.5	12	733.4	18	−6.4	−2.2	−5.1	−4.7	−11.7	18	2.8	27	84	71	83	79	44	11
Februar	722.5	710.0	19	732.4	16	−2.3	3.3	−0.1	0.2	−11.8	1	12.8	23	76	56	74	69	37	19
März	714.1	701.7	13	729.1	2	2.8	10.0	5.0	5.7	−3.8	16	21.6	29	72	50	69	64	25	28
April	716.3	705.9	5	729.6	21	5.2	12.8	7.2	8.1	−2.8	5	23.1	23	75	51	65	64	27	16
Mai	715.2	709.4	18	721.2	2	10.9	18.1	12.4	13.5	5.6	3	26.5	30	79	54	72	68	31	13
Juni	718.8	707.9	13	728.0	28	13.3	20.7	14.1	15.6	5.8	14	28.6	8	78	53	76	69	34	7
Juli	720.8	714.3	1	726.4	5	16.7	26.6	19.1	20.4	12.4	4	33.5	30	77	48	66	64	38	19
August	718.7	710.5	22	723.3	31	16.3	26.4	19.3	20.3	12.6	31	30.2	8	79	47	66	64	34	1
September	719.9	709.4	21	725.4	27	12.6	20.7	15.1	15.9	3.4	22	29.3	13	79	56	73	69	40	19
Oktober	717.6	704.4	25	726.8	30	7.6	14.4	9.4	10.2	1.8	3	22.3	19	80	59	79	73	28	19
November	714.8	693.3	18	727.2	29	4.7	10.1	6.4	6.9	−0.8	30	17.3	22	76	60	75	70	34	12.22
Dezember	717.6	705.3	11	725.7	17.31	2.0	6.0	3.5	3.7	−1.8	2.10	13.8	20	78	65	74	73	30	10
Jahr	718.3	693.3	XI	733.4	I	7.0	13.9	8.9	9.7	−11.8	II	33.5	VII	78	56	73	69	25	III

Heiden.

$\lambda = 9°32'$, $\beta = 47°27'$, $H_b = 796.7^m$, $G = 0.04\ ^m/_m$, $h_r = 1.7^m$

Januar	697.7	681.1	12	707.6	17	−7.0	−2.7	−6.8	−5.8	−15.4	31	2.6	26	87	78	86	84	56	29
Februar	697.3	686.0	26	706.5	16	−2.7	2.2	−1.1	−0.7	−16.8	1	9.4	23	75	66	75	72	24	22
März	689.6	676.7	13	703.4	2	1.4	6.3	2.8	3.3	−7.0	27	20.0	29	73	62	71	69	21	29
April	692.1	681.5	5	706.0	21	4.0	8.8	4.4	5.4	−6.6	5	18.0	18.23	82	76	80	79	50	1.30
Mai	691.6	686.0	18	697.0	24	9.9	14.8	9.3	10.8	1.8	1	21.6	29	77	76	77	77	57	10
Juni	695.2	684.7	13	703.3	28	13.1	16.5	10.8	12.8	3.0	10	23.6	7	72	68	73	71	48	21
Juli	697.6	691.0	1	702.7	3	16.9	22.6	16.1	17.9	10.0	4	28.3	29	69	65	70	68	45	23
August	695.5	687.9	22	700.0	31	16.5	23.1	15.7	17.7	10.8	31	27.0	20	74	53	74	67	35	20
September	696.2	685.8	21	700.7	23	12.7	17.4	12.8	13.9	4.0	23	25.6	3	80	64	77	74	35	9
Oktober	693.5	681.0	25	702.0	10	6.0	11.5	7.2	8.0	−2.2	31	18.2	9	85	66	82	78	34	19
November	690.9	670.6	18	703.9	30	2.3	7.0	3.9	4.3	−3.4	8	15.4	22	83	71	79	78	32	22
Dezember	692.6	679.7	11	700.2	31	1.7	4.4	1.8	2.4	−3.6	2	12.4	20	76	69	77	74	25	10
Jahr	694.2	670.6	XI	707.6	I	6.2	11.0	6.4	7.5	−16.8	II	28.3	VII	78	68	77	74	21	III

St. Gallen.

$\lambda = 9°23'$, $\beta = 47°26'$, $H_b = 702.0^m$, $G = 0.06\ ^m/_m$, $h_r = 1.4^m$

Januar	706.0	689.1	12	716.3	17	−6.3	−2.6	−5.5	−5.0	−13.6	31	3.0	26	92	83	90	88	50	9
Februar	705.5	694.0	26	714.8	16	−1.8	2.4	−0.3	0.0	−12.0	1	10.9	23	86	75	79	80	31	22
März	697.6	685.1	13	711.5	2	1.6	6.7	2.5	3.4	−5.7	27	20.3	29	78	60	75	71	18	29
April	700.1	689.9	5	713.9	21	4.7	9.1	4.9	5.9	−6.2	5	19.6	23	75	58	74	69	21	16
Mai	699.5	694.2	18	704.8	24	10.2	14.7	9.8	11.1	4.2	1	20.5	13	82	59	84	75	33	13
Juni	703.0	693.3	13	711.5	28	13.3	17.4	11.9	13.6	5.6	14	24.8	30	76	59	82	72	33	7
Juli	705.4	698.8	1	711.2	3	17.5	23.6	17.3	18.9	9.6	4	29.3	28	68	47	65	60	36	18
August	703.2	695.5	22	707.9	31	16.7	23.7	17.0	18.6	11.4	31	27.4	29	73	44	69	62	23	1
September	704.0	693.7	21	709.0	6	12.9	18.1	13.2	14.4	4.0	23	27.1	9	77	61	77	72	30	9
Oktober	701.4	688.6	25	710.0	10.11	6.2	10.9	7.1	7.8	−0.2	31	17.1	9	89	72	88	83	36	31
November	698.8	678.4	18	711.4	29	3.0	7.2	4.3	4.7	−2.5	8	15.5	22	82	69	79	77	28	22
Dezember	700.6	688.2	11	708.9	31	1.0	3.3	1.5	1.8	−4.3	17	7.4	29	79	75	78	77	42	10
Jahr	702.1	678.4	XI	716.3	I	6.6	11.2	7.0	7.9	−13.6	I	29.3	VII	80	64	78	74	18	III

Kreuzlingen.

$\lambda = 9°11'$, $\beta = 47°39'$, $H_b = 426.8^m$, $G = 0.11\ ^m/_m$, $h_r = 1.4^m$

Januar	731.0	713.6	12	741.8	17.18	−3.9	−1.7	−3.6	−3.2	−11.2	17	4.1	26	—	—	—	—	—	—
Februar	729.9	717.7	19	739.7	16	−1.1	3.3	0.6	0.8	−12.3	1	11.5	23	—	—	—	—	—	—
März	721.3	709.7	13	736.3	2	1.7	8.4	3.4	4.3	−2.8	7	19.4	29	—	—	—	—	—	—
April	723.8	714.4	5	737.5	21	4.7	11.4	7.0	7.5	−3.7	5	20.1	19	—	—	—	—	—	—
Mai	722.8	717.3	15.18	728.6	2	10.5	17.8	11.4	12.8	5.0	3	24.4	30	—	—	—	—	—	—
Juni	726.0	715.7	13	735.5	28	13.7	19.9	13.4	15.1	7.0	14	26.2	6	—	—	—	—	—	—
Juli	728.0	720.9	1	734.3	5	17.3	25.5	19.1	20.3	12.1	5	33.4	23	—	—	—	—	—	—
August	725.8	717.7	21	730.9	31	16.7	25.3	19.2	20.1	12.5	18	29.1	2.12	—	—	—	—	—	—
September	726.9	716.3	21	732.0	18.27	13.2	19.7	13.9	15.2	6.7	23	29.4	3	—	—	—	—	—	—
Oktober	724.9	711.8	27	734 6	30	7.3	11.9	8.1	8.8	1.0	3	17.6	9	—	—	—	—	—	—
November	722.7	701.3	18	735.0	14	4.1	7.8	5.1	5.5	1.0	7	15.4	5	—	—	—	—	—	—
Dezember	724.7	711.9	11	733.1	31	2.0	4.1	2.3	2.7	−2.2	24	8.3	21	—	—	—	—	—	—
Jahr	725.7	701.3	XI	741.8	I	7.2	12.8	8.3	9.2	−12.3	II	33.4	VII	—	—	—	—	—	—

Beobachter: **J. A. Albrecht.**

Sargans.

Bewölkung				Niederschlag			Zahl der Tage								Windverteilung									1911
7^{30}	1^{30}	9^{30}	Mittel	Summe	Maximum	Tag	•	≥ 1.0	*	▲	K	≡	heiter	trübe	N	NE	E	SE	S	SW	W	NW	Calmen	
6.1	5.4	5.1	5.5	20	9	2	5	3	5	·		7	6	11	0	0	31	3	4	0	2	0	53	Januar
[illegible]	5.0	6.1	5.9	79	31	25	11	10	8		--	1	4	8	0	0	17	3	4	0	18	0	42	Februar
5.7	5.9	5.8	5.8	88	33	2	11	9	5			1	4	9	0	0	5	3	25	0	24	0	36	März
6.0	5.5	6.3	5.9	78	12	12	14	12	6	-	--	0	6	14	0	7	5	2	13	0	20	0	37	April
6.5	6.5	6.7	6.7	84	40	18	19	10			3	0	2	8	0	0	9	1	19	0	21	0	43	Mai
5.5	6.3	6.1	6.0	163	48	25	17	14	-		5	0	4	8	0	0	7	3	16	0	18	0	46	Juni
2.9	3.7	3.8	3.5	68	25	2	12	11		--	8	0	11	4	0	0	11	2	6	0	2	0	54	Juli
3.7	3.2	4.0	3.6	99	21	30	13	11	—	-	4	0	13	3	0	0	2	5	18	0	15	0	53	August
4.2	4.4	4.7	4.4	153	58	21	11	9		-	--	1	12	9	0	0	12	4	9	0	10	0	55	September
4.0	4.3	4.2	4.5	122	31	6	13	12	-	-		0	10	4	0	0	12	0	21	0	18	0	42	Oktober
5.5	4.9	4.9	5.1	45	21	10	10	7	-	-	-	4	4	6	0	0	10	3	23	0	10	0	44	November
6.0	6.5	6.1	6.2	111	28	23	17	14	6			5	4	10	0	0	10	5	12	1	23	0	42	Dezember
5.2	5.2	5.3	5.3	1110	58	IX	153	128	30	·	20	25	80	94	0	7	131	34	170	1	295	0	547	Jahr

Beobachter: **J. J. Niederer.**

Heiden.

6.2	5.0	5.0	5.4	49	31	10	5	5	5		—	10	8	10	14	3	2	0	0	4	3	8	59	Januar
5.7	5.9	6.0	5.9	57	9	2	11	11	10	1	1	2	4	8	0	2	1	2	6	11	22	3	37	Februar
4.0	5.7	5.8	5.4	59	13	1	13	10	8		—	0	7	6	5	1	1	3	19	7	12	8	37	März
6.2	5.2	5.6	5.7	118	38	3	13	12	5		2	0	6	10	14	6	3	2	8	6	12	0	33	April
5.8	5.7	6.1	5.9	80	17	18	17	14		--	6	2	1	6	5	1	1	1	7	8	19	15	36	Mai
4.8	5.7	6.1	5.5	195	34	18	17	13		--	11	1	5	5	11	4	4	3	9	3	21	17	18	Juni
2.2	2.4	2.7	2.4	24	18	2	3	3		1	5	0	17	1	27	2	14	2	6	2	2	14	24	Juli
3.3	2.6	3.9	3.3	91	25	30	12	11			11	0	14	2	31	0	0	0	11	3	11	5	26	August
4.3	4.1	4.3	4.2	156	42	21	11	9	-	—	1	2	12	10	8	4	7	4	12	2	17	3	33	September
5.8	5.1	5.1	5.3	75	16	25	12	11	1		-	6	4	7	9	1	11	1	13	4	13	5	36	Oktober
5.3	5.4	5.1	5.3	49	13	10	7	7	2	—		6	7	8	9	0	0	1	15	10	13	2	40	November
6.2	6.5	5.4	6.0	97	20	25	16	15	5	-		2	4	6	4	1	0	1	12	9	21	1	44	Dezember
5.1	4.9	5.1	5.0	1050	42	IX	137	121	36	2	37	31	89	79	137	25	50	20	118	69	100	87	423	Jahr

Beobachter: **J. G. Kessler.**

St. Gallen.

7.1	6.3	6.8	6.7	38	13	10	5	5	5	—	—	13	5	16	1	13	0	0	0	2	1	0	76	Januar
7.9	6.6	7.6	7.4	54	11	25	11	10	9	—		5	1	12	0	4	2	0	16	13	8	0	41	Februar
6.3	6.9	5.9	6.4	50	19	25	12	11	8	—		2	3	10	1	6	6	6	2	11	4	3	54	März
6.8	6.1	5.6	6.2	94	24	3	15	11	7		-	1	6	13	4	19	2	0	5	10	4	3	43	April
7.2	6.1	6.1	6.5	111	30	18	16	15	-	1	3	2	2	9	3	17	9	0	4	4	1	7	48	Mai
5.7	6.3	5.8	5.9	185	30	25	17	17	--	3	6	2	6	11	1	5	12	1	9	4	4	3	51	Juni
2.5	3.6	3.0	3.0	13	9	2	3	3		1	1	0	16	3	1	5	18	2	0	3	1	4	59	Juli
4.0	3.3	3.9	3.7	90	27	30	11	9		1	5	0	15	5	6	3	15	0	7	1	1	4	56	August
5.1	4.5	4.7	4.8	144	30	21	13	9	-		1	2	9	9	1	6	15	1	7	5	1	2	52	September
6.6	5.5	6.1	6.1	64	15	9	14	12	-	--	1	8	4	11	0	5	8	0	8	7	4	2	59	Oktober
7.1	6.4	6.0	6.5	48	13	10	10	8	1		-	10	4	12	2	3	2	4	7	7	0	1	64	November
7.2	8.3	7.8	7.8	76	14	25	18	14	8	—	—	9	0	14	0	2	0	0	10	11	4	1	65	Dezember
6.1	5.8	5.8	5.9	967	30	V	145	124	38	6	17	54	71	125	20	88	89	14	75	78	33	30	668	Jahr

Beobachter: **R. Müller.**

Kreuzlingen.

8.8	8.1	7.7	8.2	17	5	9	5	5	5		--	4	2	21	3	10	2	0	0	0	4	0	74	Januar
8.3	6.8	7.5	7.5	37	8	19	10	7	5		--	0	0	13	1	3	2	0	0	0	26	0	52	Februar
6.2	6.3	5.5	6.0	33	20	25	8	6	2			2	5	8	0	0	2	0	0	0	19	0	72	März
5.9	5.8	5.4	5.7	28	7	27	11	8	1		-	0	7	13	4	3	0	0	0	0	5	0	78	April
6.4	6.0	6.1	6.2	55	12	14	15	13			?	0	2	8	0	0	1	0	0	0	2	0	90	Mai
6.0	5.5	6.0	5.8	156	34	3	16	13			?	2	4	8	0	0	0	0	0	0	13	0	77	Juni
2.4	2.5	3.2	2.7	18	14	1	4	3			?	0	16	1	1	4	0	0	0	0	2	0	86	Juli
4.1	2.8	3.7	3.5	60	18	30	9	6			?	0	13	3	0	0	2	0	0	1	5	0	85	August
4.5	4.6	4.2	4.8	124	42	15	11	11			?	2	11	11	0	2	1	0	0	0	10	0	77	September
8.2	7.1	6.8	7.7	48	15	9	12	9			?	0	1	18	0	0	0	0	0	0	14	0	79	Oktober
8.8	8.0	7.0	7.6	39	8	21	9	7			—	1	1	14	0	0	0	0	0	0	8	1	81	November
8.7	8.8	8.3	8.6	75	12	25	17	14	1	—	—	0	0	19	0	0	0	0	0	0	17	0	76	Dezember
6.6	6.4	5.9	6.2	660	42	IX	127	102	14		?	225	62	137	9	22	12	0	0	1	125	1	927	Jahr

Frauenfeld.

$\lambda = 8°54'$, $\beta = 47°34'$, $H_b = 424.8^m$, $G = 0.11\ ^m/_m$, $h_r = 7.1^m$

1911	Luftdruck					Luft-Temperatur								Relative Feuchtigkeit					
	Mittel	Minimum	Tag	Maximum	Tag	7^{30}	1^{30}	9^{30}	Mittel	Minimum	Tag	Maximum	Tag	7^{30}	1^{30}	9^{30}	Mittel	Minimum	Tag
Januar	731.4	713.7	12	741.9	17	−5.5	−2.5	−4.7	−4.3	−14.3	17	3.2	26	95	92	93	93	55	30.31
Februar	730.5	718.4	26	740.2	16	−1.7	2.7	0.0	0.2	−14.6	1	10.8	23	85	77	80	81	56	21.23
März	721.9	709.0	13	736.7	2	0.4	8.3	3.5	3.9	−5.0	27	21.0	29	92	77	79	83	57	6.9
April	724.4	714.9	5	738.6	21	4.1	11.3	6.3	7.0	−4.3	5	21.5	23	90	66	79	78	30	17
Mai	723.1	717.2	15	729.3	6	9.7	17.5	11.7	12.7	3.0	2	23.2	30	91	60	73	75	42	23
Juni	726.5	716.0	13	735.5	28	12.5	19.7	14.0	15.0	5.9	14	26.2	9	92	62	80	78	45	12.30
Juli	728.6	721.9	1	734.4	3.4.5	16.0	26.3	19.4	20.3	11.8	4	32.4	30	89	48	69	69	40	9.19.30
August	726.3	718.1	22	731.3	31	15.0	25.9	19.0	19.7	10.4	19	30.2	8	94	47	73	71	32	19
September	727.4	716.8	21	733.1	19	10.8	20.1	14.0	14.7	5.2	19	28.4	9.13	98	61	88	82	38	9.13
Oktober	725.4	712.2	27	734.8	11.30	6.1	11.3	7.5	8.1	−1.2	3	16.8	15	97	81	97	92	55	26
November	723.0	701.0	18	735.3	29	3.3	7.3	3.8	4.6	−3.6	8	14.2	5	96	81	94	90	45	5
Dezember	725.3	712.7	11	733.3	17	1.0	3.7	1.8	2.1	−3.4	19	8.0	21	97	89	96	94	60	10
Jahr	726.2	701.0	XI	741.9	I	6.0	12.6	8.0	8.7	−14.6	II	32.4	VII	93	70	83	82	30	IV

Winterthur.

$\lambda = 8°44'$, $\beta = 47°30'$, $H_b = 445.3^m$, $G = 0.10\ ^m/_m$, $h_r = 1.6^m$

Januar	729.5	712.1	12	740.1	17. 18	−5.5	−2.1	−4.3	−4.0	−14.2	17	2.8	26	90	82	88	87	52	30
Februar	728.7	716.9	19	738.1	16	−1.4	3.0	0.2	0.5	−14.3	10	11.2	23	84	67	80	77	36	22
März	720.1	707.4	13	734.6	2	1.1	7.9	3.4	3.9	−3.9	27	18.2	29	87	61	85	78	39	30
April	722.6	713.4	5	736.1	21	5.0	10.9	6.6	7.3	−4.0	5	20.6	23	76	53	73	67	17	17
Mai	721.4	715.8	15	727.2	2	11.1	16.2	11.9	12.8	3.5	2	21.7	29	81	61	84	75	33	3
Juni	724.7	714.6	13	733.8	28	13.7	18.5	14.0	15.0	7.0	14	24.3	9	82	60	87	76	38	15
Juli	726.8	720.3	1	732.7	4	17.8	25.1	18.9	20.2	12.2	4	30.5	30	73	46	77	65	35	19
August	724.6	716.5	21	729.7	31	16.7	25.0	18.7	19.8	12.9	18	28.9	8	79	46	77	67	24	19
September	725.7	715.2	21	730.6	27	12.3	19.6	14.0	15.0	7.2	23	28.6	9	88	61	88	79	29	13
Oktober	723.6	710.7	27	732.8	11.30	6.6	11.2	7.9	8.4	−0.8	31	16.4	15	92	79	94	88	48	26
November	721.3	700.1	18	733.9	29	3.9	7.5	4.5	5.1	−2.6	8	16.3	22	90	75	90	85	36	5
Dezember	723.6	711.1	11	731.7	31	1.6	4.1	2.3	2.5	−3.6	19	8.2	21	92	81	90	88	57	3
Jahr	724.4	700.1	XII	740.1	I	6.9	12.2	8.2	8.9	−14.3	II	30.5	VII	85	64	84	78	17	IV

Haidenhaus.

$\lambda = 9°0'$, $\beta = 47°39'$, $H_b = 694.4^m$, $G = 0.07\ ^m/_m$, $h_r = 1.7^m$

Januar	707.5	690.5	12	717.2	17	−6.1	−3.3	−4.9	−4.8	−12.4	15	1.6	27	98	94	97	96	50	30
Februar	707.0	695.5	19	716.6	16	−2.3	1.4	−0.6	−0.5	−14.0	1	8.8	23	94	84	90	89	50	22
März	698.9	686.4	13	713.1	2	1.6	6.1	2.9	3.4	−3.6	26	19.8	29	87	72	82	80	32	29
April	701.6	691.7	5	715.4	21	4.8	9.1	5.4	6.2	−7.0	5	20.1	23	80	73	79	77	34	15
Mai	700.8	695.5	18	706.3	24	10.5	15.1	10.6	11.7	3.4	1	21.0	30	87	76	87	83	39	24
Juni	704.3	693.9	13	712.9	28	13.8	17.2	12.5	14.0	4.4	14	24.0	9	82	68	84	78	45	7
Juli	706.7	700.2	1	711.9	4	18.4	23.3	18.0	19.4	10.6	3. 4	29.7	30	69	55	66	63	42	19
August	704.5	697.0	22	709.2	31	17.5	23.9	18.3	19.5	11.0	31	27.4	8.20	72	52	66	63	34	19
September	705.3	695.1	30	710.0	27	13.4	18.1	14.0	14.9	5.6	23	26.4	9	81	64	77	74	42	3
Oktober	702.8	690.2	25	712.0	29	6.2	10.4	7.2	7.7	1.4	31	15.4	15	96	84	94	91	60	26
November	700.2	679.1	18	711.9	29	3.1	6.2	4.0	4.3	−2.0	8	13.1	22	95	84	92	90	49	5
Dezember	701.9	689.8	11	710.1	31	0.7	2.6	1.1	1.4	−3.4	18	6.2	21	96	90	92	93	60	10
Jahr	703.5	679.1	XI	717.2	I	6.8	10.8	7.4	8.1	−14.0	II	29.7	VII	86	75	84	81	32	III

Lohn.

$\lambda = 8°40'$, $\beta = 47°45'$, $H_b = 633^m$, $G = 0.08\ ^m/_m$, $h_r = 1.6^m$

Januar	712.8	695.8	12	723.0	17	−5.4	−2.7	−4.5	−4.3	−11.8	16	2.0	27	97	95	95	96	86	27
Februar	712.0	700.4	19	721.6	16	−1.9	2.1	−0.2	−0.1	−10.8	1	9.8	23	91	83	89	88	52	22
März	704.0	691.3	26	717.9	2	2.0	7.1	3.4	4.0	−3.6	27	19.4	29	85	71	81	79	41	21
April	706.7	697.4	5	721.0	21	5.3	11.2	6.5	7.4	−4.8	5	21.0	23	78	71	77	75	38	19
Mai	705.9	700.8	18	711.2	6	11.0	16.5	11.9	12.8	3.8	7	25.0	30	68	58	79	65	33	14
Juni	709.2	699.3	13	717.6	28	13.3	18.3	13.6	14.7	5.6	14	24.8	8	75	59	76	70	38	23
Juli	711.5	704.6	1	717.0	4	18.2	25.7	19.7	20.8	10.6	3	31.8	23.27 25	65	44	59	56	28	19
August	709.4	701.9	21	713.9	31	18.2	26.1	19.6	20.9	13.8	31	30.4	10	69	46	63	59	21	11
September	710.1	699.7	21	714.6	2. 3	14.1	20.3	15.4	16.3	6.4	23	30.6	4	81	68	76	75	47	19
Oktober	707.6	695.1	25	716.7	11	6.5	10.7	7.6	8.1	1.0	31	18.0	9	92	83	90	88	64	11
November	705.5	684.4	18	717.3	29	3.1	6.5	4.3	4.6	−0.8	12	13.3	5	95	91	93	93	81	3.28
Dezember	707.1	695.0	11	715.1	31	0.8	2.4	1.3	1.4	−4.8	19	8.0	21	96	92	93	94	66	21
Jahr	708.5	684.4	XI	723.0	I	7.1	12.0	8.2	8.9	−11.8	I	31.8	VII	83	72	80	78	21	VIII

Beobachter: **Cl. Hess.**

Frauenfeld.

Bewölkung				Niederschlag		Zahl der Tage								Windverteilung								1911
7^{00}	1^{30}	9^{30}	Mittel	Summe	Maximum Tag	●	●* ≧1.0	*	▲	K	≡	heiter	trübe	N	NE	E	SE	S	SW	W	NW	Calmen	
8.3	6.2	7.1	7.2	25	9	9	6	5	5	—	—	7	4	18	0	10	15	0	0	7	1	1	59	Januar
8.4	6.9	6.5	7.3	41	10	25	11	10	7	—	—	4	1	13	1	2	2	1	1	13	13	5	46	Februar
6.2	6.6	5.7	6.2	35	16	25	8	6	4	—	—	5	4	11	3	7	2	1	0	10	11	1	58	März
6.3	5.7	5.1	5.7	31	9	29	8	8	1	—	—	3	6	12	1	22	4	1	2	4	14	6	36	April
7.1	6.5	5.6	6.4	97	21	18	12	12	—	1	5	4	3	10	1	19	2	2	0	6	2	2	59	Mai
5.7	6.3	5.2	5.7	134	26	13	17	14	—	—	6	1	5	7	1	9	0	0	0	9	7	6	58	Juni
2.1	2.7	3.0	2.6	9	5	14	3	3	—	1	1	1	18	3	1	14	3	0	0	8	1	3	63	Juli
4.3	3.1	3.8	3.7	50	17	30	11	6	—	—	6	1	11	4	0	15	1	0	0	7	2	6	62	August
5.4	4.6	4.5	4.8	98	20	23	10	9	—	—	2	4	9	9	0	9	1	0	2	5	3	3	67	September
9.1	5.9	6.2	7.1	42	7	9	12	11	—	—	1	13	1	10	1	9	1	3	0	8	8	2	61	Oktober
9.1	6.7	6.6	7.5	45	15	13	9	6	—	—	—	7	1	17	0	6	0	0	0	18	7	0	59	November
9.0	8.5	7.8	8.4	85	13	25	17	15	1	—	—	13	0	19	0	0	2	1	0	19	10	1	60	Dezember
6.8	5.8	5.6	6.1	692	26	VI	124	105	18	2	21	63	63	133	9	122	33	9	5	114	79	36	688	Jahr

Beobachter: **Fr. Krebs.**

Winterthur.

9.1	6.2	7.6	7.6	26	7	9	5	5	5	—	—	16	3	17	0	16	10	0	2	2	0	0	63	Januar
7.9	5.1	6.3	6.4	62	21	25	12	11	7	—	—	6	1	8	0	3	7	1	0	35	3	1	34	Februar
5.9	6.1	5.6	5.8	52	17	25	10	6	5	—	—	6	3	9	0	8	2	0	0	27	3	0	53	März
6.0	5.0	5.5	5.5	35	11	29	10	8	2	—	—	2	6	9	2	24	3	0	2	20	3	0	36	April
6.8	4.8	6.4	6.0	103	38	18	13	10	—	—	6	1	2	9	6	11	8	0	3	9	3	0	53	Mai
5.0	5.6	6.0	5.5	140	26	13	15	14	—	1	7	0	7	7	3	10	1	0	4	14	4	1	53	Juni
1.5	2.0	3.1	2.2	6	2	1.13	4	3	—	—	3	0	17	1	4	16	2	2	0	14	2	1	52	Juli
2.8	2.2	3.7	2.9	61	21	26	10	9	—	—	6	0	14	2	0	7	5	2	0	15	7	1	56	August
4.0	4.1	4.6	4.5	104	21	23	12	10	—	—	—	0	12	9	1	9	2	2	0	11	0	0	65	September
8.2	5.0	6.8	7.0	48	9	25	14	12	—	—	1	12	2	14	4	6	2	0	0	15	0	3	63	Oktober
8.4	6.3	7.1	7.3	45	12	13	10	7	—	—	—	14	1	14	5	1	0	0	4	17	3	5	55	November
9.0	8.1	8.6	8.6	95	19	25	17	15	2	—	—	16	0	22	1	2	3	0	1	23	6	2	55	Dezember
6.3	5.1	5.9	5.8	777	38	V	132	110	21	1	23	73	68	121	26	113	45	7	16	202	34	14	638	Jahr

Beobachter: **C. Herzog.**

Haidenhaus.

8.0	6.0	6.1	6.7	17	6	13	6	5	4	—	—	10	3	12	1	12	3	0	3	3	0	0	71	Januar
7.1	5.9	6.5	6.5	38	10	12	10	9	7	—	—	4	1	8	1	8	0	0	5	22	4	0	44	Februar
6.1	5.6	5.3	5.7	33	24	25	7	4	4	—	—	5	3	7	0	4	0	0	1	19	0	1	68	März
6.0	5.3	5.2	5.5	34	9	29	10	8	3	—	—	1	7	8	5	9	2	0	5	10	2	2	55	April
6.6	5.5	5.9	6.0	113	35	17	13	13	—	—	4	3	3	7	0	11	1	0	5	7	1	0	68	Mai
5.6	5.8	5.3	5.6	127	26	13	17	14	—	—	5	0	5	8	0	2	1	1	3	7	3	0	73	Juni
2.0	3.1	2.9	2.7	20	14	14	4	2	—	—	1	0	15	1	2	11	1	0	3	6	2	0	68	Juli
3.3	3.2	3.2	3.2	53	25	30	9	7	—	—	3	0	13	2	0	5	4	0	5	7	3	0	69	August
5.1	4.7	4.4	4.7	112	30	15	10	9	—	—	1	6	7	8	0	3	4	0	5	6	0	0	72	September
7.6	6.0	5.4	6.3	47	10	9	17	11	—	—	1	6	3	9	0	6	1	2	4	6	2	0	72	Oktober
8.2	6.8	6.4	7.1	44	11	13	10	6	—	—	—	11	1	13	4	4	0	4	7	15	0	0	56	November
8.2	8.5	7.0	7.9	71	11	22	16	15	4	—	—	8	0	15	2	1	0	3	13	14	4	2	54	Dezember
6.2	5.5	5.3	5.7	709	35	V	129	103	22	—	15	54	61	98	15	76	17	10	59	122	21	5	770	Jahr

Beobachter: Frl. **H. Brühlmann.**

Lohn.

7.7	6.4	5.7	6.6	19	13	1	4	4	4	—	—	10	7	15	8	27	0	0	0	0	7	0	51	Januar
9.7	6.3	5.7	6.2	72	21	26	9	9	6	—	—	0	3	9	5	7	1	0	8	16	26	2	19	Februar
5.9	7.1	5.2	6.1	31	8	25	9	8	6	—	1	2	3	9	6	24	6	5	0	15	23	2	12	März
7.1	6.4	5.6	6.0	23	6	27	8	6	3	—	1	0	7	13	15	23	4	3	3	11	13	3	15	April
7.1	7.7	6.9	7.2	60	20	18	9	9	—	—	1	0	3	17	15	23	4	3	1	3	15	5	24	Mai
5.9	6.9	6.6	6.5	85	21	13	9	9	—	—	4	3	4	9	3	23	5	0	6	21	19	5	8	Juni
1.8	4.0	2.5	2.8	22	10	13	4	4	—	—	2	0	16	1	9	36	3	4	3	8	18	9	3	Juli
3.7	3.5	3.6	3.6	48	13	30	8	8	—	—	4	0	13	4	7	17	13	5	9	24	4	9	5	August
5.0	4.6	3.8	4.5	89	16	23	11	10	—	—	1	4	10	9	3	24	8	3	4	12	10	4	22	September
8.0	6.7	5.8	7.0	63	14	22	11	11	—	—	1	9	1	12	4	25	0	5	5	13	7	3	31	Oktober
8.5	7.7	6.6	7.6	62	19	21	11	10	1	—	—	9	1	14	2	7	0	2	10	14	12	0	43	November
8.6	8.0	8.3	8.6	91	19	21	12	12	4	—	—	8	0	22	0	1	1	0	0	10	21	4	56	Dezember
7.3	6.4	5.5	6.1	665	21	II, VI	105	100	24	—	15	45	68	134	77	237	45	30	49	147	175	46	289	Jahr

Unter-Hallau.

$\lambda = 8°27'$, $\beta = 47°42'$, $H_b = 449.5^m$, $G = 0.10\ ^m/_m$, $h_r = 1.3^m$

1911	Luftdruck					Luft-Temperatur								Relative Feuchtigkeit					
	Mittel	Minimum	Tag	Maximum	Tag	7^{30}	1^{30}	9^{30}	Mittel	Minimum	Tag	Maximum	Tag	7^{30}	1^{30}	9^{30}	Mittel	Minimum	Tag
Januar	728.9	711.6	12	739.4	17.18	−5.1	−2.0	−4.2	−3.9	−12.3	16	3.6	20	88	77	85	83	45	30
Februar	728.1	716.6	23	738.0	16	−1.3	3.0	0.8	0.8	−12.0	10	10.4	23	81	65	78	75	48	20
März	719.5	706.6	13	734.2	2	0.9	8.1	4.4	4.4	−3.2	15.27	20.1	29	90	61	77	76	39	29
April	722.1	713.3	5	735.7	21	4.4	11.5	7.0	7.5	−4.0	5	21.7	23	79	52	64	65	37	17.19
Mai	721.0	715.4	15	727.1	1	11.0	17.8	13.1	13.7	3.2	2	25.3	29	80	52	71	68	39	2.3.22
Juni	724.3	713.4	13	733.8	28	13.6	19.7	14.8	15.7	6.3	14	26.5	8	78	52	76	69	35	7
Juli	726.5	720.2	1	732.4	4	17.7	26.5	20.4	21.2	12.2	4	32.2	27	73	43	63	60	30	19
August	724.2	716.4	22	729.3	31	16.7	26.6	20.3	21.0	11.2	18	31.3	8	79	43	62	61	30	1.19
September	725.2	714.8	21	730.3	27	12.1	20.7	15.3	15.9	6.2	27	30.2	9	89	55	73	72	36	3
Oktober	723.1	710.5	27	732.6	30	7.0	11.8	8.1	8.7	1.5	31	18.0	15	90	71	88	83	49	26
November	720.8	699.6	18	733.0	29	3.4	7.6	4.3	4.9	−3.6	8	13.9	22	90	73	88	84	49	20
Dezember	722.8	710.6	11	731.1	31	1.6	3.8	2.3	2.5	−2.3	24	7.6	27.29	91	82	89	87	60	10.20
Jahr	723.9	699.6	XI	739.4	I	6.8	12.9	8.9	9.4	−12.3	I	32.2	VII	84	61	76	74	30	VII VIII

Bachtel.

$\lambda = 8°52'$, $\beta = 47°17'$, $H = 1120^m$, $G = —\ ^m/_m$, $h_r = 1.5^m$

Januar	—	—	—	—	—	−4.6	−3.1	−4.4	−4.1	−13.3	31	4.4	21	80	81	78	80	30	18
Februar	—	—	—	—	—	−3.2	−0.8	−2.3	−2.2	−10.0	9	5.3	23	82	71	81	78	22	22
März	—	—	—	—	—	0.5	3.4	1.2	1.6	−6.2	26	15.3	29	72	67	76	72	27	29
April	—	—	—	—	—	2.3	5.7	3.0	3.5	−9.4	5	16.3	23	78	69	75	74	25	15
Mai	—	—	—	—	—	7.6	11.4	8.2	8.8	1.3	1	18.0	29	84	69	79	77	41	13
Juni	—	—	—	—	—	11.0	14.6	10.5	11.6	2.2	14	22.0	7	76	64	74	71	40	7
Juli	—	—	—	—	—	16.1	21.2	16.5	17.6	9.0	4	28.1	29	66	53	61	60	34	29
August	—	—	—	—	—	15.7	21.2	16.6	17.5	8.3	31	26.2	20	67	48	61	59	28	1
September	—	—	—	—	—	11.9	15.5	12.6	13.2	2.0	23	24.2	7	70	67	69	69	11	3
Oktober	—	—	—	—	—	5.9	8.8	6.4	6.9	−0.5	29	16.1	9	76	72	81	76	31	19
November	—	—	—	—	—	2.9	5.1	3.8	3.9	−1.0	19	11.4	22	76	68	73	72	35	22
Dezember	—	—	—	—	—	0.6	1.4	0.7	0.8	−3.4	10.24	8.0	18	76	73	79	76	30	3.18.19
Jahr	—	—	—	—	—	5.6	8.7	6.1	6.6	−13.3	I	28.1	VII	75	67	74	72	11	IX

Wald (Hittenberg: Sanatorium).

$\lambda = 8°56'$, $\beta = 47°16'$, $H_b = 912.3^m$, $G = 0.01\ ^m/_m$, $h_r = 6.7^m$

Januar	687.8	671.7	12	697.5	17	−5.0	−3.2	−4.3	−4.2	−11.0	31	5.0	22	76	70	70	72	24	22
Februar	687.8	677.7	19	696.3	16	−2.5	0.5	−1.0	−1.0	−12.6	1	6.4	23.28	74	65	70	69	20	22
März	679.8	669.5	13	693.4	2	1.3	5.3	2.7	3.0	−4.2	14	17.8	29	67	55	65	62	15	29
April	682.4	671.7	5	696.0	21	3.7	7.5	4.9	5.2	−8.0	5	16.6	23	66	55	60	60	12	15
Mai	682.0	676.6	18	687.3	24	9.2	13.3	10.1	10.7	3.6	1	20.2	29	75	58	66	66	27	13
Juni	685.6	675.2	13	693.7	28	12.4	16.4	12.6	13.5	5.4	14	22.5	30	69	56	67	64	17	22
Juli	688.1	681.6	1	692.6	4	16.7	22.0	18.5	18.9	11.0	3. 5	28.2	24.30	62	48	50	53	32	22
August	686.1	679.2	21	690.0	7	16.7	22.4	18.7	19.1	11.2	31	26.4	9	65	42	52	53	17	1
September	686.8	676.6	21	691.5	2. 3	13.3	17.1	14.2	14.7	4.2	23	24.8	4	68	61	63	64	10	3
Oktober	683.9	671.6	25	692.8	10	7.2	9.9	7.6	8.1	1.0	3	14.9	9.19	72	69	77	73	25	18
November	681.3	661.5	18	692.1	14	4.0	6.5	5.0	5.1	−0.2	8	14.2	22	69	64	67	67	20	22
Dezember	683.0	671.2	11	690.0	31	1.7	3.3	1.6	2.1	−2.4	2	8.2	20	68	68	72	69	22	3
Jahr	684.6	661.5	XI	697.5	I	6.6	10.1	7.5	7.9	−12.6	II	28.2	VII	69	59	65	64	10	IX

Glarus.

$\lambda = 9°4'$, $\beta = 47°3'$, $H_b = 479.6^m$, $G = 0.06\ ^m/_m$, $h_r = 1.6^m$

Januar	726.2	708.7	12	737.2	17	−8.2	−3.1	−6.7	−6.2	−14.5	9	3.1	26	87	72	85	81	55	5
Februar	725.7	713.6	19	735.4	16	−4.0	1.8	−1.8	−1.4	−15.9	1. 2	9.5	19	83	60	78	74	32	19. 24
März	716.9	703.5	13	732.2	2	1.2	8.9	3.5	4.3	−5.3	27	20.5	29	82	48	75	68	23	28
April	719.4	708.8	5	733.1	21	4.0	11.2	6.3	6.9	−2.5	5	20.3	23	78	48	71	66	22	15.16
Mai	718.1	712.5	15	724.2	1	10.1	17.0	11.7	12.6	3.9	3	22.5	29	80	48	75	68	28	13
Juni	721.6	710.5	13	729.4	29	12.8	19.7	13.5	14.9	7.9	15	25.7	8	80	47	81	69	31	24
Juli	723.7	716.8	1	729.1	4. 5	15.7	24.5	17.6	18.9	9.3	11	31.7	30	80	45	71	65	28	30
August	721.6	713.4	22	726.6	27	14.7	25.4	17.4	18.7	10.7	27	30.5	1	84	40	71	65	22	6
September	722.8	712.5	21	728.0	27	11.2	19.8	13.8	14.7	5.1	26	27.7	13	91	53	83	76	31	13
Oktober	720.5	707.1	25	729.8	30	5.3	12.5	7.3	8.1	−1.5	31	17.1	8. 9	93	60	92	82	28	27
November	718.2	696.3	18	730.3	29	2.3	7.9	3.3	4.2	−2.5	28	17.7	22	91	66	89	82	28	22
Dezember	720.4	707.3	11	728.3	17	0.6	4.5	1.3	1.9	−4.9	3	14.1	20	86	69	87	81	29	20
Jahr	721.3	696.3	XI	737.2	I	5.5	12.5	7.3	8.1	−15.9	II	31.7	VII	85	55	80	73	22	IV VIII

Beobachter . C. Gasser. **Unter-Hallau.**

Bewölkung				Niederschlag			Zahl der Tage								Windverteilung								1911
7^{30}	1^{30}	9^{30}	Mittel	Summe	Maximum	Tag	● *	●* ≧1.0	*	▲	K	≡	heiter	trübe	N	NE	E	SE	S	SW	W	NW	Calmen	
8.3	6.6	5.4	6.8	6	3	1	4	3	4	—	—	8	5	14	4	27	1	3	0	4	0	0	54	Januar
7.0	5.9	5.6	6.2	51	19	25	11	9	4	—	—	0	5	12	2	15	0	1	0	32	0	3	31	Februar
6.2	6.5	5.2	6.0	42	15	2	8	6	5	—	—	1	5	11	1	5	0	4	0	21	0	1	61	März
5.8	6.1	5.3	5.7	23	8	27	9	4	1	—	—	0	7	12	5	27	0	4	0	19	0	1	34	April
6.5	6.1	6.6	6.4	64	19	17	10	10	—	—	4	0	2	9	4	15	0	7	0	8	4	5	50	Mai
5.7	6.5	5.6	5.9	84	20	13	15	13	—	1	6	1	6	8	3	5	0	8	1	18	3	7	45	Juni
1.6	2.8	2.2	2.2	39	18	13	4	4	—	—	3	0	18	1	5	25	3	3	2	16	0	2	37	Juli
3.2	3.1	3.3	3.2	42	10	23	10	8	—	—	6	0	14	1	1	13	0	8	1	17	0	5	48	August
5.4	4.5	4.1	4.6	78	19	23	12	10	—	—	1	3	9	8	0	8	0	3	0	15	0	1	63	September
9.3	6.5	6.2	7.3	61	13	27	15	12	—	—	1	9	1	16	4	4	1	2	0	15	0	2	65	Oktober
9.0	7.3	6.6	7.6	51	14	21	12	11	—	—	—	5	1	14	0	5	0	0	0	15	1	1	68	November
8.9	9.1	8.5	8.8	114	19	25	17	15	—	—	—	9	0	25	0	1	0	1	0	19	0	5	67	Dezember
6.4	5.9	5.4	5.9	655	20	VI	127	105	14	1	21	36	73	131	29	150	5	44	4	199	8	33	623	Jahr

Beobachter: **J. A. Hohl.** **Bachtel.**

4.8	5.0	3.7	4.5	38	13	9	8	6	8	—	—	9	13	9	2	17	6	5	0	5	1	3	54	Januar
5.8	6.0	6.2	6.0	64	19	25	11	11	9	—	1	8	4	9	6	8	0	4	2	11	12	10	31	Februar
5.1	6.7	5.4	5.7	73	20	25	12	9	9	—	1	9	7	9	6	3	1	22	0	12	5	5	39	März
5.8	5.6	5.2	5.5	94	20	3	16	11	10	—	—	4	8	10	5	19	2	4	2	8	12	3	35	April
7.0	6.6	5.5	6.4	105	31	18	18	11	1	—	6	6	2	9	10	20	5	5	0	3	2	3	45	Mai
5.5	5.6	5.7	5.6	179	42	25	16	14	—	—	3	4	5	9	5	4	4	6	1	13	8	6	43	Juni
1.6	2.1	2.5	2.1	13	4	2	8	5	—	—	2	0	20	1	3	11	16	7	0	13	8	1	34	Juli
3.1	2.4	2.5	2.7	95	29	25	10	9	—	—	2	1	17	1	3	7	19	8	3	10	4	0	39	August
4.3	4.2	3.6	4.0	131	24	22	12	10	—	—	—	7	14	8	2	5	4	11	2	9	9	2	46	September
4.9	5.2	5.8	5.3	77	15	2	14	14	2	1	1	11	6	7	2	6	0	18	2	11	7	6	41	Oktober
5.9	5.2	5.5	5.5	53	13	13	10	9	4	—	—	8	5	8	5	2	3	20	0	9	13	3	35	November
6.1	7.0	5.5	6.2	103	17	25	18	16	12	—	—	10	5	10	6	4	2	25	2	12	14	6	22	Dezember
5.0	5.1	4.8	5.0	1025	42	VI	153	125	55	1	16	77	106	90	55	106	62	135	14	116	95	48	464	Jahr

Beobachter: **G. Keller.** **Wald** (Hittenberg: Sanatorium).

4.8	4.8	4.0	4.5	42	26	9	5	5	5	—	—	2	14	10	—	—	—	—	—	—	—	—	—	Januar
6.5	6.5	5.7	6.2	82	18	25	11	11	9	—	—	3	5	11	—	—	—	—	—	—	—	—	—	Februar
5.9	7.1	5.5	6.2	74	19	13	9	9	7	—	—	3	4	10	—	—	—	—	—	—	—	—	—	März
6.2	6.0	5.2	5.8	73	18	20	10	10	2	—	—	2	7	12	—	—	—	—	—	—	—	—	—	April
7.5	7.5	6.0	7.0	172	50	18	18	12	—	1	1	0	2	14	—	—	—	—	—	—	—	—	—	Mai
6.1	6.5	5.8	6.1	294	91	2	16	15	—	—	3	4	4	9	—	—	—	—	—	—	—	—	—	Juni
2.1	2.6	2.7	2.5	39	13	15	6	5	—	1	1	1	20	2	—	—	—	—	—	—	—	—	—	Juli
3.5	3.8	2.7	3.3	124	54	25	10	9	—	—	2	0	15	2	—	—	—	—	—	—	—	—	—	August
4.9	4.9	3.6	4.5	134	26	22	10	8	—	—	—	1	11	8	—	—	—	—	—	—	—	—	—	September
5.7	6.2	5.8	5.9	93	15	1	16	14	1	—	—	2	4	9	—	—	—	—	—	—	—	—	—	Oktober
6.6	6.3	5.3	6.1	61	17	13	10	8	2	—	—	4	3	8	—	—	—	—	—	—	—	—	—	November
6.2	7.7	7.4	7.1	100	13	15	16	16	8	—	—	4	3	15	—	—	—	—	—	—	—	—	—	Dezember
5.5	5.8	5.0	5.4	1288	91	VI	137	122	34	2	7	26	92	110	—	—	—	—	—	—	—	—	—	Jahr

Beobachter: **J. Gehring.** **Glarus.**

5.6	5.2	4.7	5.2	24	7	10	5	5	5	—	—	3	12	12	3	0	0	0	1	0	1	5	83	Januar
6.2	6.5	6.4	6.4	86	32	25	11	10	7	—	1	0	4	11	6	0	0	0	2	0	5	7	64	Februar
6.1	7.2	6.3	6.5	82	21	2	12	8	6	—	—	0	4	14	7	0	0	2	12	0	2	19	51	März
6.2	5.9	5.7	5.9	80	20	26	12	10	4	—	—	0	8	14	4	0	1	0	6	1	2	30	46	April
7.3	7.4	6.7	7.1	88	39	18	16	13	—	—	2	0	2	13	12	0	0	1	1	0	2	28	49	Mai
6.4	6.8	6.3	6.5	173	42	25	16	14	—	—	2	0	3	10	13	0	1	2	5	0	1	19	49	Juni
3.1	4.5	4.1	3.9	64	26	13	7	7	—	—	2	0	10	4	8	0	0	0	6	0	0	25	54	Juli
3.8	4.4	3.5	3.9	128	30	25	11	11	—	—	3	0	13	6	8	0	1	1	4	0	2	22	55	August
4.9	4.8	4.4	4.7	115	26	21	10	8	—	—	—	0	11	9	3	0	1	1	0	0	10	24	51	September
5.2	5.2	5.0	5.1	91	23	1	15	12	—	—	1	1	9	6	7	0	1	2	2	0	0	21	60	Oktober
6.3	5.8	5.2	5.8	44	14	10	11	9	—	—	—	2	4	10	1	0	0	2	6	1	0	19	61	November
7.0	7.4	6.7	7.0	119	23	25	14	12	3	—	—	0	1	13	8	0	0	4	5	0	1	14	61	Dezember
5.7	5.9	5.4	5.7	1094	42	VI	140	119	25	—	11	6	81	122	80	0	5	15	50	2	26	233	684	Jahr

Elm.

$\lambda = 9°10'$, $\beta = 46°55'$, $H_b = 963^m$, $G = -0.01$ $^m/_m$, $h_r = 1.6^m$

1911	Luftdruck					Luft-Temperatur								Relative Feuchtigkeit					
	Mittel	Minimum	Tag	Maximum	Tag	7^{30}	1^{30}	9^{30}	Mittel	Minimum	Tag	Maximum	Tag	7^{30}	1^{30}	9^{30}	Mittel	Minimum	Tag
Januar	682.9	666.8	12	693.2	17	-8.2	-5.5	-7.1	-7.0	-15.9	25	2.6	26	74	64	73	70	44	22
Februar	683.0	672.5	26	691.9	16	-5.4	0.9	-3.7	-3.0	-14.0	2	9.3	19	74	49	75	66	36	15
März	675.7	663.6	26	689.3	2	-0.5	6.7	0.9	2.0	-9.2	16	16.7	29	69	43	70	61	20	28
April	678.0	666.3	5	691.6	21	2.4	9.0	3.3	4.5	-5.7	5	17.9	23	71	46	72	63	20	12
Mai	677.6	672.3	18	683.2	24	9.2	13.9	8.6	10.1	3.0	1	21.5	29	72	49	81	68	12	3
Juni	681.4	670.7	13	689.2	28	12.1	17.7	10.4	12.6	3.4	14	24.7	19	70	47	87	68	27	7, 23, 30
Juli	683.9	677.5	1	688.0	21	16.9	21.8	14.6	17.0	9.9	3	27.9	30	66	48	82	65	32	30
August	681.9	674.4	22	685.9	27	14.6	22.6	14.4	16.5	9.2	27	26.5	21	77	42	82	67	22	1
September	682.5	672.3	21	687.6	2	9.4	17.7	10.8	12.2	1.2	23	25.5	4	88	51	86	75	30	4
Oktober	679.6	667.2	25	687.5	10, 11	4.9	12.1	6.0	7.2	-3.5	3	19.2	9	81	51	83	72	23	18
November	677.1	657.5	18	688.2	29	2.5	6.9	3.0	3.9	-3.7	30	13.4	28	75	56	69	67	17	12
Dezember	678.8	667.4	11	685.6	17	-0.3	2.5	0.0	0.6	-7.5	10	9.5	20	77	64	74	72	25	20
Jahr	680.2	657.5	XI	693.2	I	4.8	10.5	5.1	6.4	-15.9	I	27.9	VII	75	51	78	68.	12	V

Göschenen.

$\lambda = 8°35'$, $\beta = 46°40'$, $H_b = 1107.2^m$, $G = -0.05$ $^m/_m$, $h_r = 2.7^m$

Januar	670.8	655.4	12	681.0	18	-4.2	-2.5	-3.8	-3.6	-10.0	4.5, 25.31	7.4	20	61	63	63	62	25	12
Februar	671.1	661.2	26	680.0	6	-3.5	0.4	-2.3	-1.9	-11.6	1	9.4	19	68	57	71	65	37	19
März	664.6	652.4	26	677.2	2	0.4	3.4	0.9	1.4	-5.4	14	12.0	29	66	59	71	65	38	29
April	666.6	655.1	5	679.1	21	2.2	6.5	3.4	3.9	-6.4	5	16.2	23	67	58	71	66	24	15
Mai	666.7	661.4	18	671.5	24	8.4	12.6	9.4	9.9	2.8	1	17.0	30	74	57	74	68	30	3
Juni	670.3	660.7	13	677.9	28	10.5	15.6	11.2	12.1	1.2	14	21.2	8	72	57	76	68	37	30
Juli	672.8	666.6	1	677.1	21	14.4	21.0	16.4	17.0	9.2	4.11	27.6	28	66	52	67	62	27	28
August	670.9	664.4	22	674.9	27	14.8	21.5	16.9	17.5	10.2	31	26.6	8	66	48	65	60	31	1
September	671.3	661.8	21.30	676.5	2	11.6	16.4	12.8	13.4	1.6	23	23.8	4	68	59	71	66	32	9
Oktober	668.7	657.1	25	675.9	10	6.8	10.3	7.9	8.2	-1.0	3	17.4	9	66	59	68	64	25	19
November	666.2	648.4	18	676.6	29	4.3	6.3	4.8	5.0	-0.2	19	13.6	5	66	61	64	64	24	12
Dezember	667.9	658.6	23	673.6	17	1.7	3.0	2.1	2.2	-5.0	10	11.6	19	63	66	67	65	22	19
Jahr	669.0	648.4	XI	681.0	I	5.6	9.5	6.6	7.1	-11.6	II	27.6	VII	67	58	69	65	22	XII

Engelberg.

Abendbeobachtung: 8^{30} $\lambda = 8°25'$, $\beta = 46°49'$, $H_b = 1017.8^m$, $G = -0.02$ $^m/_m$, $h_r = 1.6^m$

Januar	678.3	662.5	12	688.3	18	-8.3	-4.4	-7.3	-6.8	-14.7	31	1.5	26	94	84	94	91	52	22
Februar	678.8	668.7	19	687.3	16	-5.0	0.7	-2.9	-2.6	-15.7	1	8.1	17	91	68	87	82	38	17.27
März	671.2	659.4	13	685.2	2	-0.8	5.0	1.2	1.6	-9.1	16	14.3	29	85	60	79	75	30	29
April	673.8	662.3	5	687.4	21	1.1	7.2	3.6	3.7	-11.0	7	17.1	23	91	68	88	82	24	16
Mai	673.4	668.4	15	680.2	24	7.1	12.5	9.3	9.2	1.0	2	18.9	30	97	70	94	87	35	3
Juni	677.2	666.8	13	684.9	28	10.0	15.6	11.7	11.9	3.4	15	21.7	8	95	69	91	85	34	30
Juli	679.8	673.3	1	683.9	21	12.8	21.0	16.5	16.3	8.4	4	26.9	25	93	64	84	80	41	8
August	677.9	670.7	21	681.5	8.31	12.9	21.7	16.2	16.5	8.1	18	25.0	1	93	56	83	77	37	11
September	678.3	668.3	21	683.2	2	9.8	16.8	11.8	12.5	1.9	23	25.1	4	93	68	93	85	41	4
Oktober	675.2	663.2	25	683.4	11	4.0	10.1	5.4	6.3	-3.5	3	16.5	9	96	72	96	88	38	31
November	672.7	652.7	18	684.0	29	1.6	5.5	2.1	2.9	-3.3	30	13.0	5	91	78	91	86	34	19
Dezember	674.4	662.5	11	681.8	31	-1.1	2.2	-0.2	0.2	-8.3	10	8.5	21	91	78	87	85	42	21
Jahr	675.9	652.7	XI	688.3	I	3.7	9.5	5.6	6.0	-15.7	II	26.9	VII	92	70	89	84	24	IV

Oberiberg.

$\lambda = 8°47'$, $\beta = 47°2'$, $H_b = 1090^m$, $G = -0.03$ $^m/_m$, $h_r = 1.7^m$

Januar	672.2	656.9	12	682.2	17, 18	-8.7	-2.0	-8.1	-6.7	-18.6	31	5.0	20.27	76	61	75	71	38	21
Februar	672.7	662.8	19	681.1	16	-5.5	2.2	-3.7	-2.7	-16.0	1	9.0	18	74	48	74	65	24	17
März	665.3	653.6	13.26	678.5	2	-2.3	5.9	-0.2	0.8	-12.0	16	14.3	30	77	49	76	67	18	28
April	667.8	656.6	5	681.5	21	0.7	7.9	1.7	3.0	-10.2	7	17.0	23	76	52	77	68	17	16
Mai	667.7	662.7	18	673.4	24	7.5	13.6	8.0	9.3	0.8	2	21.0	12	78	53	81	71	31	13
Juni	671.5	661.5	13	679.4	28	10.7	16.9	10.0	11.9	2.8	14	25.0	7	74	52	79	68	22	30
Juli	674.2	667.8	1	678.6	21	13.8	22.3	14.2	16.1	8.0	5	28.0	23	74	45	75	65	32	8.23
August	672.3	664.8	22	676.2	7	13.5	22.5	13.7	15.9	8.0	27	26.7	9	73	43	75	64	26	19
September	672.7	662.5	21	678.1	5	8.8	17.9	10.9	12.1	0.7	23	26.5	4	80	49	79	69	23	12
Oktober	669.4	657.3	25	677.4	11	3.2	12.0	4.5	6.0	-6.5	3	19.4	9	84	54	87	75	31	19.27
November	666.8	647.1	18	677.9	29	0.9	7.9	1.9	3.1	-4.4	8	17.0	5	82	55	81	73	25	5.22
Dezember	668.3	656.1	11	675.2	31	-1.6	3.4	-0.6	0.2	-10.0	10	10.0	20	76	62	75	71	30	3
Jahr	670.1	647.1	XI	682.2	I	3.4	10.9	4.4	5.8	-18.6	I	28.0	VII	77	52	78	69	17	IV

Beobachter: **J. Weiss.**

Elm.

Bewölkung				Niederschlag			Zahl der Tage								Windverteilung								1911
7^{30}	1^{30}	9^{30}	Mittel	Summe	Maximum Tag		●	●* ≧1.0	*	▲	K	≡	heiter	trübe	N	NE	E	SE	S	SW	W	NW	Calmen	
3.5	3.0	4.5	3.7	23	9	2	6	5	6	—	—	3	15	7	0	0	0	0	0	0	0	2	91	Januar
5.4	4.5	6.0	5.3	104	41	25	12	11	10	—	—	1	4	8	3	0	0	0	1	0	0	2	78	Februar
5.1	5.0	6.1	5.4	98	26	2	11	10	11	—	—	0	7	9	3	0	0	11	6	0	1	0	72	März
5.3	4.9	6.2	5.5	77	17	29	11	10	6	—	—	1	9	10	13	0	0	6	2	0	1	0	68	April
6.4	6.4	6.3	6.4	97	38	18	18	16	—	—	2	1	3	10	11	0	0	3	2	1	0	0	76	Mai
5.8	5.4	5.6	5.6	182	51	25	16	16	—	—	2	3	4	8	8	0	0	2	3	2	1	0	74	Juni
3.9	3.8	3.5	3.4	66	14	2	9	9	—	—	8	0	13	3	8	0	0	1	1	0	0	0	83	Juli
3.3	3.1	4.1	3.5	106	25	23	13	12	—	—	3	1	14	4	5	0	0	2	2	0	3	4	77	August
4.1	4.4	3.9	4.1	156	59	21	8	8	2	—	—	4	11	7	6	0	0	0	1	0	0	0	83	September
4.2	4.0	4.8	4.3	171	69	6	12	12	2	—	—	2	13	7	5	0	0	10	8	0	1	0	69	Oktober
5.6	4.2	3.9	4.6	73	26	10	9	9	5	—	—	1	8	6	0	0	0	15	4	3	0	0	68	November
6.4	7.1	6.0	6.5	135	17	25	16	14	11	—	—	3	4	12	4	0	0	12	0	0	0	0	77	Dezember
4.8	4.6	5.1	4.9	1288	69	X	141	132	53	—	15	20	105	91	66	0	0	62	30	6	7	8	916	Jahr

Beobachter: **F. Aeberhardt.**

Göschenen.

3.0	3.0	3.1	3.0	32	15	10	4	4	4	—	—	7	16	5	32	0	0	0	61	0	0	0	0	Januar
4.0	4.1	5.1	4.6	96	31	25	11	11	10	—	—	8	9	6	41	0	0	0	42	0	0	0	1	Februar
6.9	6.4	6.8	6.7	168	38	25	14	11	11	—	—	9	2	12	28	0	0	0	64	0	0	0	1	März
5.0	5.5	5.5	5.5	79	15	29	15	13	6	—	—	6	9	11	46	0	0	0	42	0	0	0	2	April
7.5	7.7	7.8	7.7	65	21	18	14	12	1	—	1	7	2	19	42	0	0	0	47	0	0	0	4	Mai
6.8	7.1	6.8	6.9	165	57	25	14	13	1	—	4	8	2	15	43	0	0	0	43	0	0	0	4	Juni
2.9	4.4	5.2	4.2	34	8	15	7	6	—	—	3	1	6	5	46	0	0	0	44	0	0	0	3	Juli
3.8	4.4	3.9	4.0	78	32	23	10	10	—	—	3	3	11	6	40	0	0	0	53	0	0	0	0	August
5.1	5.0	5.1	5.1	154	41	21	12	11	3	—	1	8	10	10	39	0	0	0	49	0	0	0	2	September
4.2	5.7	4.8	4.9	200	48	6	15	13	2	—	—	8	9	7	22	0	0	0	71	0	0	0	0	Oktober
6.1	5.7	5.6	5.8	148	51	23	10	9	4	—	—	6	5	8	21	0	0	0	67	0	0	0	2	November
5.5	6.0	5.0	5.8	137	19	26	13	13	11	—	—	12	7	10	28	0	0	0	63	0	0	0	2	Dezember
5.2	5.5	5.4	5.4	1356	57	VI	139	126	53	—	12	83	88	114	428	0	0	0	646	0	0	0	21	Jahr

Beobachter: P. **N. Kaeser.**

Engelberg.

4.1	4.7	4.4	4.4	31	13	10	5	4	5	—	—	8	13	9	—	—	—	—	—	—	—	—	—	Januar
5.8	7.1	6.1	6.3	90	28	25	11	10	9	—	—	5	5	10	—	—	—	—	—	—	—	—	—	Februar
7.0	6.8	7.0	7.1	125	31	25	12	10	11	—	—	4	1	16	—	—	—	—	—	—	—	—	—	März
5.9	6.7	6.8	6.5	102	22	3	14	13	7	—	—	12	6	14	—	—	—	—	—	—	—	—	—	April
7.2	7.7	7.8	7.6	137	39	18	16	14	—	—	2	11	2	16	—	—	—	—	—	—	—	—	—	Mai
6.8	7.0	7.6	7.1	228	48	18	17	14	—	—	3	10	3	15	—	—	—	—	—	—	—	—	—	Juni
3.9	5.0	5.4	4.5	48	28	2	8	8	—	1	4	1	9	6	—	—	—	—	—	—	—	—	—	Juli
3.9	4.4	4.6	4.3	101	19	30	12	10	—	1	5	1	12	7	—	—	—	—	—	—	—	—	—	August
5.5	4.4	4.1	4.7	144	34	16	10	9	—	—	2	4	9	9	—	—	—	—	—	—	—	—	—	September
5.5	5.5	5.5	5.5	111	21	1	15	12	3	—	1	8	8	9	—	—	—	—	—	—	—	—	—	Oktober
6.1	5.6	4.6	5.4	52	11	13	13	10	5	—	—	7	7	7	—	—	—	—	—	—	—	—	—	November
6.2	6.9	6.0	6.4	113	19	25	15	13	10	—	—	2	3	11	—	—	—	—	—	—	—	—	—	Dezember
5.6	6.0	5.8	5.8	1282	48	VI	148	127	50	2	17	73	78	129	—	—	—	—	—	—	—	—	—	Jahr

Beobachter: **X. Holdener.**

Oberiberg.

4.2	3.7	4.3	4.1	12	6	9	3	3	3	—	—	4	14	9	0	1	0	0	0	0	0	0	92	Januar
5.9	5.6	6.7	6.0	104	33	25	13	12	11	—	—	1	6	10	0	0	2	0	1	10	12	1	58	Februar
5.0	6.4	6.8	6.4	128	27	3	14	13	13	—	—	3	4	14	0	0	3	1	0	11	4	0	74	März
6.3	6.2	6.5	6.3	127	21	2	17	15	9	—	—	2	8	14	1	1	3	1	3	2	5	1	73	April
7.—	8.3	7.7	7.7	123	48	18	16	11	2	—	2	0	1	18	2	5	6	1	4	4	2	1	68	Mai
7.2	7.0	6.9	6.9	235	52	25	17	15	—	—	2	1	2	12	0	1	5	0	2	6	4	1	71	Juni
2.9	4.3	3.7	3.6	61	18	2	10	8	—	—	6	0	16	4	1	9	8	2	1	0	3	1	68	Juli
3.9	3.8	3.6	3.7	115	44	25	12	9	—	—	2	0	14	3	2	4	11	0	1	4	3	0	68	August
4.7	4.7	4.6	4.7	159	33	15	12	10	3	—	—	1	9	10	0	2	8	1	0	3	4	1	71	September
5.3	5.9	4.5	5.1	117	27	1	15	13	3	—	—	2	10	9	0	0	1	1	4	4	2	0	81	Oktober
5.8	5.7	5.1	5.5	55	13	13	13	11	7	—	—	1	5	8	0	0	0	0	2	9	3	0	76	November
5.2	5.8	6.—	6.3	150	25	25	17	15	14	—	—	0	5	12	0	0	0	0	0	7	9	0	77	Dezember
5.3	5.7	5.5	5.5	1386	52	VI	159	135	65	—	12	15	94	123	6	23	47	7	18	60	51	6	877	Jahr

Einsiedeln.

$\lambda = 8°45'$, $\beta = 47°8'$, $H_b = 913.9$ m, $G = 0.01$ $^m/_m$, $h_r = 1.5$ m

1911	Luftdruck					Luft-Temperatur								Relative Feuchtigkeit					
	Mittel	Minimum	Tag	Maximum	Tag	7^{30}	1^{30}	9^{30}	Mittel	Minimum	Tag	Maximum	Tag	7^{30}	1^{30}	9^{30}	Mittel	Minimum	Tag
Januar	687.3	671.2	12	696.9	18	−8.2	−3.4	−6.5	−6.2	−15.4	31	1.0	26	91	79	90	87	60	4.19
Februar	687.4	677.3	19	696.3	16	−4.4	1.1	−1.6	−1.6	−18.4	1	9.4	22	83	65	79	76	20	22
März	679.8	667.8	13	693.7	2	0.0	5.8	1.5	2.2	−7.0	16	13.8	29.30	82	60	81	74	30	30
April	682.3	671.4	5	695.8	21	2.4	7.8	4.6	4.8	−6.8	5	17.2	23	84	61	77	74	25	15
Mai	681.8	676.7	18	687.6	24	8.3	13.6	10.2	10.6	2.2	2	19.2	30	87	63	80	77	40	28
Juni	685.5	674.9	13	693.7	28	11.3	16.6	12.7	13.3	5.8	14	23.0	30	86	59	77	74	30	30
Juli	688.1	681.5	1	692.3	4.21	14.7	22.3	17.6	18.0	9.4	5	27.8	24	82	48	69	66	25	27
August	686.2	678.8	22	689.9	31	14.2	22.6	17.4	17.9	10.2	18	26.5	20	82	47	68	66	31	1
September	686.7	676.5	21	691.5	2	10.3	17.4	12.9	13.4	3.8	23	25.4	8	85	58	81	75	23	4
Oktober	683.7	671.4	25	692.8	10	5.0	10.8	6.5	7.2	−1.8	31	16.5	9	87	66	90	81	32	19
November	681.1	662.0	18	692.5	29	1.8	7.2	3.5	4.0	−2.8	8	14.2	5	81	69	79	76	25	22
Dezember	682.8	670.6	11	690.2	31	−0.3	3.2	1.1	1.3	−5.6	10	10.5	7	86	73	81	80	27	7
Jahr	684.4	662.0	XI	696.9	I	4.6	10.4	6.7	7.1	−18.4	II	27.8	VII	85	62	79	75	20	II

Sarnen.

$\lambda = 8°15'$, $\beta = 46°54'$, $H_b = 486.7$ m, $G = 0.05$ $^m/_m$, $h_r = 1.7$ m

Januar	725.5	708.3	12	736.3	17	−4.8	−1.8	−4.3	−3.8	−10.3	31	2.4	26	90	79	87	85	58	31
Februar	725.1	713.5	19	734.3	16	−2.1	3.4	−0.2	0.2	−13.2	1	10.6	23	85	60	79	75	34	27
März	716.4	704.2	13	731.7	2	1.5	8.3	3.8	4.4	−3.8	16	18.7	29	89	58	82	76	29	29
April	718.8	708.4	5	732.7	21	5.1	10.8	6.2	7.1	−3.6	5	20.4	23	84	58	80	74	25	16
Mai	717.7	712.0	15	723.5	24	11.4	16.6	11.7	12.9	6.8	2	22.1	30	85	58	85	76	40	3
Juni	721.2	710.8	13	730.5	28	14.9	19.5	14.4	15.8	6.6	14	24.9	8	80	56	84	73	42	15
Juli	723.2	716.5	1	728.4	5	18.5	24.8	18.7	20.2	13.8	4	30.3	24.30	74	50	76	67	32	29
August	721.1	713.3	21	726.4	31	17.9	25.3	18.8	20.2	13.6	31	28.8	20	77	47	73	66	29	1
September	722.4	711.8	21	727.4	18	13.4	20.0	14.7	15.7	6.6	23	28.1	9	87	58	83	76	33	9
Oktober	720.0	706.8	25	729.0	11.30	6.6	12.2	8.0	8.7	−0.5	31	16.4	14	95	67	91	84	40	31
November	717.7	696.7	18	729.8	29	3.2	7.8	4.2	4.9	−1.2	8	13.9	23	93	71	89	84	35	19
Dezember	720.0	706.5	11	727.5	17.31	1.1	4.1	1.9	2.3	−3.9	19	9.3	27	89	77	88	85	48	10
Jahr	720.8	696.7	XI	736.3	I	7.2	12.6	8.2	9.1	−13.2	II	30.3	VII	86	62	83	77	25	IV

Luzern.

$\lambda = 8°19'$, $\beta = 47°3'$, $H_b = 455.6$ m, $G = 0.06$ $^m/_m$, $h_r = 1.5$ m

Januar	727.9	710.6	12	738.7	17	−4.5	−1.9	−3.7	−3.5	−10.5	7	3.0	26	91	77	88	85	45	31
Februar	727.6	716.1	19	736.6	16	−1.3	3.2	0.5	0.7	−10.6	2	10.0	26	84	58	80	74	32	19.27
März	718.8	706.3	13	733.8	2	1.9	8.0	4.1	4.5	−3.6	27	17.0	30	87	55	81	74	31	21
April	721.2	711.5	5	734.7	21	5.3	11.3	6.9	7.6	−3.6	5	20.9	23	76	51	74	67	25	17
Mai	720.0	714.3	15	725.7	1, 6	11.1	17.6	12.3	13.3	5.5	2	23.8	29	82	51	79	71	35	3
Juni	723.5	713.6	13	732.7	28	14.4	20.3	14.7	16.0	6.9	14	26.5	8	74	48	79	67	31	6.7.15
Juli	725.3	718.5	1	730.9	5	18.5	26.2	19.4	20.9	12.9	4	33.0	24	64	40	68	57	28	18.19
August	723.3	715.1	21	728.2	31	17.5	26.4	19.3	20.6	13.7	18	30.1	1	77	42	70	63	25	1
September	724.3	714.0	21	729.2	27	13.2	20.6	14.9	15.9	6.9	23	28.5	13	89	58	87	78	35	10
Oktober	722.2	709.1	27	731.6	30	7.1	12.0	8.5	9.0	0.9	31	16.5	14	96	70	96	87	45	23
November	720.0	699.0	18	732.2	29	3.9	7.6	4.8	5.3	−1.3	8	12.4	22	94	75	93	87	37	19
Dezember	722.3	709.4	11	730.1	31	1.9	4.2	2.5	2.8	−3.6	17	8.6	27	92	82	90	88	40	10.22
Jahr	723.0	699.0	XI	738.7	I	7.4	13.0	8.7	9.4	−10.6	II	33.0	VII	84	59	82	75	25	IV VIII

Walchwil.

$\lambda = 8°30'$, $\beta = 47°6'$, $H = 426$ m, $G = -$ $^m/_m$, $h_r = 1.5$ m

Januar	—	—	—	—	—	−3.7	−1.2	−3.0	−2.7	−8.5	31	4.0	26	90	79	88	86	50	4.30
Februar	—	—	—	—	—	−0.3	3.6	1.8	1.7	−8.8	1	10.5	23	83	65	75	74	41	19
März	—	—	—	—	—	2.4	8.3	5.3	5.3	−2.5	27	20.0	29	90	60	76	75	25	29
April	—	—	—	—	—	4.8	11.1	7.5	7.7	−3.2	5	20.5	23	84	57	73	71	34	16
Mai	—	—	—	—	—	10.9	16.4	12.9	13.3	4.9	2	21.4	30	86	58	74	73	35	13
Juni	—	—	—	—	—	14.1	20.0	15.5	16.3	7.9	14	26.0	9	86	56	75	72	40	30
Juli	—	—	—	—	—	17.6	26.0	20.5	21.2	12.5	4	32.0	30	82	51	65	66	35	30
August	—	—	—	—	—	17.6	26.2	20.8	21.3	13.7	27	30.7	20	89	49	64	67	28	1
September	—	—	—	—	—	13.8	20.5	16.0	16.6	7.0	23	28.4	9	89	59	73	74	35	9
Oktober	—	—	—	—	—	8.2	12.1	9.1	9.6	1.9	31	16.4	7.14	92	74	88	85	50	23
November	—	—	—	—	—	5.1	8.2	6.2	6.4	1.7	30	16.5	22	90	75	85	83	38	22
Dezember	—	—	—	—	—	2.7	4.8	3.3	3.5	−2.5	17	9.4	21	88	80	89	86	45	10
Jahr	—	—	—	—	—	7.8	13.0	9.7	10.0	−8.8	II	32.0	VII	87	64	77	76	25	III

Beobachter: P. **M. Egger.**

Einsiedeln.

Bewölkung				Niederschlag			Zahl der Tage								Windverteilung									1911
7^{h}	1^{h}	9^{h}	Mittel	Summe	Maximum	Tag	•	≧1.0	✶	▲	K	≡	heiter	trübe	N	NE	E	SE	S	SW	W	NW	Calmen	
4.8	5.4	4.2	4.8	33	12	10	5	5	5	—	—	7	11	11	0	3	1	0	0	0	0	0	89	Januar
6.6	6.3	6.5	6.5	84	34	25	11	11	9	—	—	2	4	11	0	1	0	0	0	19	4	0	60	Februar
5.8	6.9	7.0	6.6	82	25	3	14	13	12	—	—	3	3	15	1	0	0	0	0	10	1	0	81	März
6.4	6.4	7.2	6.7	113	26	29	13	11	6	—	1	3	6	16	7	8	0	1	0	3	1	1	69	April
7.4	7.9	8.2	7.8	100	47	18	10	10	—	—	—	2	1	19	9	5	0	0	0	3	0	4	72	Mai
6.4	7.6	7.2	7.1	241	47	25	16	15	—	1	4	2	2	16	10	1	0	2	1	5	1	6	64	Juni
2.5	3.9	3.8	3.4	50	15	28	7	7	—	2	3	0	14	5	16	5	0	0	0	1	2	4	65	Juli
3.5	3.6	3.8	3.6	102	37	25	10	9	—	—	3	1	13	3	15	1	0	2	0	5	3	3	64	August
5.3	5.0	5.3	5.2	132	21	15	11	8	—	—	1	1	9	10	12	0	0	0	1	1	1	5	70	September
6.4	5.5	6.6	6.2	83	15	1	15	13	2	—	—	2	4	11	2	0	0	1	0	1	1	4	84	Oktober
7.0	6.0	5.6	6.2	59	14	6	8	7	3	—	—	7	2	10	0	0	0	1	0	5	1	4	79	November
6.8	7.2	7.0	7.0	115	31	25	15	13	11	—	—	4	2	14	0	0	0	0	0	16	0	0	77	Dezember
5.7	6.0	6.0	5.9	1194	47	V VI	135	122	48	3	12	34	71	141	72	24	1	7	2	69	15	31	874	Jahr

Beobachter: P. **H. Felderer.**

Sarnen.

9.1	7.4	7.1	7.9	20	9	10	5	4	4	—	—	10	2	19	0	35	0	2	4	15	0	0	37	Januar
6.5	5.5	5.2	5.7	44	13	25	10	8	6	—	—	2	2	7	0	14	0	0	1	21	0	0	48	Februar
6.9	7.1	6.4	6.8	71	26	25	10	7	4	—	—	0	0	12	0	34	0	0	2	11	0	0	46	März
6.0	6.1	5.4	5.8	50	13	29	13	9	4	—	1	0	7	11	0	37	0	0	2	7	0	0	44	April
6.9	6.6	6.5	6.7	116	42	18	14	11	—	1	2	2	2	12	0	33	0	0	1	8	0	0	51	Mai
6.3	6.1	7.0	6.5	141	25	18	17	13	—	—	3	0	5	9	0	28	1	0	1	7	0	0	53	Juni
2.9	3.5	4.1	3.5	34	8	1	10	6	—	1	7	0	11	3	2	35	0	0	0	5	0	0	51	Juli
3.3	3.8	3.5	3.5	66	28	25	11	9	—	—	5	0	14	4	0	30	1	0	0	7	0	0	55	August
5.5	4.5	4.6	4.9	108	24	16	9	8	—	—	—	1	9	10	0	29	0	0	1	7	0	0	53	September
8.1	6.4	5.9	6.8	73	12	1. 9	16	13	—	—	1	10	2	11	1	23	0	1	1	9	0	0	58	Oktober
8.4	6.2	6.3	7.0	45	10	13	11	10	—	—	—	11	1	12	0	16	1	0	1	18	0	0	54	November
8.7	7.5	8.0	8.1	77	18	25	14	12	—	—	—	8	0	18	0	19	0	1	1	19	0	0	53	Dezember
6.6	5.9	5.8	6.1	845	42	V	140	110	18	2	19	44	55	128	3	333	3	4	15	134	0	0	603	Jahr

Beobachter: Frl. **N. Arnet.**

Luzern.

9.7	7.9	8.1	8.6	32	9	2	5	5	5	—	—	3	0	21	12	4	0	0	2	4	0	9	62	Januar
7.5	6.1	5.3	6.3	39	9	12	12	8	6	—	—	1	0	7	4	2	0	5	9	15	2	4	43	Februar
5.8	6.7	5.9	6.1	81	38	25	11	8	5	—	—	0	2	11	4	3	1	8	10	11	1	4	51	März
6.1	5.7	5.6	5.8	67	16	3	14	8	6	—	2	0	8	11	9	5	2	10	2	8	3	4	47	April
7.2	6.2	6.4	6.6	147	64	17	14	11	—	—	5	0	2	11	12	7	1	10	7	6	1	3	46	Mai
5.7	5.7	6.8	6.1	205	40	3	18	15	—	—	7	0	6	10	6	5	1	14	9	6	1	1	47	Juni
2.8	3.3	3.4	3.2	47	17	16	10	7	—	1	9	0	14	3	7	7	1	13	4	11	3	4	43	Juli
3.3	3.6	3.1	3.3	91	41	25	14	8	—	1	5	0	14	1	2	3	7	11	4	3	1	1	61	August
5.9	4.6	5.0	5.2	126	31	15	10	9	—	—	—	1	7	9	2	4	2	11	4	4	0	3	60	September
8.2	6.8	6.8	7.3	62	12	9	16	12	—	—	1	8	1	13	10	5	2	5	1	4	1	2	63	Oktober
8.5	6.7	6.6	7.3	58	12	6	12	9	—	—	—	5	1	13	6	1	0	1	2	18	2	2	58	November
8.7	8.8	7.8	8.4	76	14	25	15	12	—	—	—	7	0	18	2	1	2	4	5	11	4	3	61	Dezember
6.6	6.0	5.9	6.2	1031	64	V	151	112	22	2	29	25	55	128	76	47	19	92	59	101	19	40	642	Jahr

Beobachter: **F. Ziegler.**

Walchwil.

8.3	8.2	7.4	8.0	34	12	10	5	5	5	—	—	6	4	21	0	2	3	0	0	1	0	0	87	Januar
7.0	4.4	4.4	5.3	45	15	25	9	9	5	—	—	1	5	7	2	2	0	0	1	0	5	8	66	Februar
5.0	5.7	4.4	5.2	83	21	25	12	10	5	—	1	0	9	9	0	1	1	6	5	4	8	1	67	März
5.0	5.3	5.6	5.3	81	22	3	13	9	4	—	1	0	10	12	0	3	7	1	0	0	3	5	71	April
7.5	6.0	6.9	6.8	88	40	18	14	11	—	—	3	1	2	11	0	1	0	1	1	1	5	7	77	Mai
4.9	4.8	6.1	5.3	156	31	25	15	13	—	—	6	0	6	7	0	3	1	0	0	1	6	8	71	Juni
1.9	1.4	2.3	1.8	30	10	24	7	7	—	1	6	0	21	2	0	7	2	3	1	0	1	2	77	Juli
2.3	1.7	2.0	2.0	100	39	25	9	9	—	—	2	0	19	0	0	0	9	8	1	7	1	0	67	August
3.4	3.3	3.7	3.5	105	17	15	8	8	—	—	—	0	17	7	0	1	3	2	0	0	2	1	81	September
8.1	6.3	5.5	6.6	74	22	9	13	12	—	—	—	7	3	12	0	0	0	0	0	0	2	7	84	Oktober
7.5	5.9	6.2	6.5	43	15	5	9	9	—	—	—	8	3	13	0	0	0	1	3	1	6	10	69	November
8.8	8.2	8.0	8.3	84	12	25	14	13	—	—	—	6	1	23	1	0	0	2	0	6	6	3	75	Dezember
5.8	5.1	5.2	5.4	923	40	V	128	115	19	1	19	29	100	124	3	20	26	24	12	21	45	52	892	Jahr

Böttstein.

$\lambda = 8°13'$, $\beta = 47°34'$, $H_b =$ ca. 360 m, $G = 0.10$ m/m, $h_r = 1.6$ m

1911	Luftdruck					Luft-Temperatur								Relative Feuchtigkeit					
	Mittel	Minimum	Tag	Maximum	Tag	7^{30}	1^{30}	9^{30}	Mittel	Minimum	Tag	Maximum	Tag	7^{30}	1^{30}	9^{30}	Mittel	Minimum	Tag
Januar	737.7	719.6	12	749.0	18	−4.5	−1.3	−3.8	−3.4	−12.6	17	3.6	20	93	89	94	92	71	26
Februar	736.8	724.7	19	746.4	16	−1.4	3.9	0.6	0.9	−12.0	1.10	11.2	23	90	76	89	85	51	22
März	727.9	716.0	13	743.6	2	1.1	8.7	3.7	4.3	−3.4	7	20.0	29	92	75	90	86	45	21
April	730.3	721.2	5	744.1	21	5.2	12.3	6.6	7.7	−3.6	5	23.2	23	85	61	81	76	38	10.16
Mai	729.0	723.0	15	734.9	6	11.8	18.5	12.2	13.7	4.4	2	24.6	27	85	60	84	76	42	17
Juni	732.3	722.0	13	741.8	28	15.0	20.2	13.9	15.8	6.8	14	27.2	30	83	68	87	79	47	7
Juli	734.2	727.5	1	740.6	4	20.1	27.2	18.6	21.1	11.2	4	33.4	24.31	75	51	77	68	37	30.31
August	731.9	722.9	21	737.3	31	18.4	27.1	19.1	20.9	12.4	27	31.6	8	81	49	75	68	28	19
September	733.2	722.1	21	739.0	27	12.7	21.6	15.0	16.1	5.0	19	30.4	3	88	62	80	77	37	9
Oktober	731.3	718.3	27	741.0	30	7.4	12.1	8.6	9.2	1.8	30	18.0	15	93	80	91	88	50*	3
November	729.1	707.6	18	741.8	29	3.6	7.9	4.5	5.1	−2.0	8	14.2	5	93	83	93	90	55	20
Dezember	731.3	718.7	11	740.1	31	2.1	4.7	2.2	2.8	−2.2	18	11.2	21	92	84	89	88	55	21
Jahr	732.1	707.6	XI	749.0	I	7.6	13.6	8.4	9.5	−12.6	I	33.4	VII	88	70	86	81	28	VIII

Aarau.

$\lambda = 8°2'$, $\beta = 47°23'$, $H_b = 406.1$ m, $G = 0.10$ m/m, $h_r = 1.6$ m

Januar	733.1	715.3	12	743.9	17.18	−4.4	−1.7	−4.0	−3.5	−13.0	17	2.2	20.26	91	76	89	85	45	31
Februar	732.5	720.6	19	741.9	16	−1.6	3.3	0.2	0.5	−13.8	10	11.6	23	86	65	84	78	43	22.28
März	723.6	711.1	13	738.7	2	0.8	8.0	3.2	3.8	−4.6	27	16.2	30	95	57	86	79	31	22
April	726.1	716.8	5	739.6	21	4.4	11.1	6.3	7.0	−3.6	5	21.6	23	81	49	69	66	26	15.16
Mai	724.9	719.0	15	730.8	1	10.6	17.5	12.0	13.0	2.8	2	22.8	30	82	48	78	69	28	24
Juni	728.4	719.8	13	737.8	28	13.3	19.3	14.0	15.1	7.2	14	25.8	8	79	50	81	70	32	7
Juli	730.2	723.3	1	736.2	4	16.7	25.7	18.4	19.8	12.8	4	31.2	24	72	37	67	59	26	9
August	728.0	719.0	21	733.0	27	15.4	25.4	17.9	19.2	9.8	19	28.4	1	83	36	73	64	21	1.15
September	729.1	718.8	21	734.4	18.27	11.3	20.3	13.8	14.8	5.2	19	28.4	5	91	50	84	75	24	5
Oktober	727.2	713.9	25	736.6	30	7.4	11.7	8.0	8.8	0.8	3	16.8	15	89	68	88	82	43	3.23 26
November	725.0	704.4	18	737.3	29	4.0	7.4	4.4	5.1	−1.2	8	13.0	22	92	73	91	85	46	6
Dezember	727.2	714.6	11	735.2	31	1.9	4.1	2.6	2.8	−1.8	24	8.4	21	94	80	91	88	56	9
Jahr	727.9	704.4	XI	743.9	I	6.7	12.7	8.1	8.9	−13.8	II	31.2	VII	86	57	82	75	21	VIII

Buus.

$\lambda = 7°52'$, $\beta = 47°30'$, $H_b = 450.4$ m, $G = 0.09$ m/m, $h_r = 1.5$ m

Januar	728.2	710.2	12	738.6	17	−4.5	−0.9	−4.0	−3.3	−12.0	16	4.7	27	92	82	91	89	61	31
Februar	727.8	716.5	23	737.0	16	−1.1	3.6	0.3	0.8	−10.5	1	11.6	23	87	74	87	83	45	17
März	719.2	708.2	13	734.0	2	2.1	8.3	3.4	4.3	−3.2	27	18.7	29	86	65	84	78	42	19
April	721.7	712.9	5	735.0	21	4.5	11.3	5.7	6.8	−3.6	5	22.0	23	83	58	79	73	23	15
Mai	720.5	715.1	15	726.1	1	11.0	17.3	11.5	12.8	4.6	2	22.8	29	88	65	87	80	46	2
Juni	723.8	714.1	13	732.8	28	14.0	19.2	13.8	15.2	8.4	14	27.4	7	84	66	85	78	43	7
Juli	725.8	719.2	1	731.6	4	17.7	26.9	18.1	20.2	10.8	4	33.4	29	78	48	77	68	32	29
August	723.6	715.5	21	728.6	31	16.4	26.8	18.2	19.9	10.8	18	32.0	20	81	45	73	66	21	19
September	724.7	714.0	21	729.5	18	12.5	21.1	13.8	15.3	6.2	18	30.4	3	88	59	83	77	34	3
Oktober	722.4	709.8	27	731.9	30	7.7	12.8	8.1	9.2	−0.8	31	17.5	12.21	90	76	90	85	45	26
November	720.2	699.7	18	732.1	14	3.6	8.4	4.4	5.2	−1.4	8	15.8	5	92	76	90	86	50	20
Dezember	722.4	709.7	11	731.9	31	2.5	5.3	2.7	3.3	−1.6	18	12.4	21	89	79	87	85	39	21
Jahr	723.3	699.7	XI	738.6	I	7.2	13.3	8.0	9.1	−12.0	I	33.4	VII	87	66	84	79	21	VIII

Langenbruck.

$\lambda = 7°46'$, $\beta = 47°21'$, $H_b = 704.7$ m, $G = 0.06$ m/m, $h_r = 1.6$ m

Januar	705.3	688.3	12	715.3	17	−5.9	−2.5	−5.4	−4.8	−14.0	9	2.2	26	93	82	90	88	42	16
Februar	705.3	695.1	19	713.8	16	−2.9	1.5	−1.2	−1.0	−13.7	1	7.0	23	87	67	85	79	29	22
März	697.2	685.9	13	711.4	2	0.0	6.1	1.3	2.2	−10.5	25	16.0	29	93	64	88	82	35	29
April	699.7	689.8	5	713.7	21	2.7	9.0	4.2	5.0	−6.1	5	20.0	23	85	56	78	73	26	15
Mai	699.0	692.8	15	704.2	24	9.6	15.3	9.9	11.2	2.3	2	21.4	29	87	57	84	76	35	24
Juni	702.5	692.9	13	711.0	28	13.1	17.8	12.0	13.8	3.6	14	24.0	30	78	57	84	73	35	7
Juli	704.8	698.1	1	709.6	4	17.4	24.9	16.8	19.0	10.2	4	31.0	23.30	67	42	70	60	30	29.30
August	702.7	695.1	22	707.1	26	15.3	24.4	16.1	18.0	9.8	17	28.4	8.10	80	41	73	65	26	10
September	703.5	693.0	21	708.4	18	10.8	19.5	12.0	13.6	5.0	27	28.8	3. 9	91	53	86	77	26	7
Oktober	700.8	688.5	25	709.4	10	5.9	10.7	6.5	7.4	−1.6	3	16.4	9	95	74	91	87	51	23
November	698.3	678.3	18	710.3	29	2.6	6.5	3.7	4.2	−4.6	8	14.8	5	94	76	90	87	32	5
Dezember	700.3	687.8	11	708.0	31	0.8	3.0	1.3	1.6	−4.6	19	7.6	21	95	86	92	91	50	21
Jahr	701.6	678.3	XI	715.3	I	5.8	11.4	6.4	7.5	−14.0	I	31.0	VII	87	63	84	78	26	IV. VIII IX

Beobachter: **J. Hauser.** **Böttstein.**

Bewölkung				Niederschlag		Zahl der Tage							Windverteilung								1911
7^{00}	1^{30}	9^{30}	Mittel	Summe	Maximum Tag	•	≧1.0	✳	▲	⛆	≡	heiter	trübe	N	NE	E	SE	S	SW	W	NW	Calmen	
7.7	7.5	6.3	7.2	13	5	1	5	3	5	—	—	4	5	17	0	26	0	3	0	4	0	0	60	Januar
8.0	6.6	5.5	6.7	86	48	25	8	7	2	—	—	0	4	11	0	13	0	3	0	30	0	0	38	Februar
7.4	7.5	5.0	6.6	60	28	2	7	5	5	—	—	2	2	11	0	5	0	3	2	20	0	0	63	März
5.1	6.5	5.8	5.8	37	13	27	9	6	2	—	1	0	6	11	0	21	0	6	0	21	0	0	42	April
8.2	6.6	6.9	7.2	109	30	15	14	11	—	—	3	3	1	16	0	10	0	11	0	22	1	1	48	Mai
6.3	6.8	6.1	6.4	87	21	13	15	11	—	—	2	2	5	13	0	4	0	7	0	30	2	0	47	Juni
2.1	2.1	3.0	2.4	6	3	31	3	2	—	—	—	4	19	3	0	18	0	0	2	28	1	0	44	Juli
4.0	3.1	3.6	3.6	29	13	21	7	5	—	—	3	3	14	5	0	15	0	1	1	22	2	0	52	August
5.6	4.4	4.4	4.8	94	20	23	10	10	—	—	—	7	9	11	0	9	0	1	3	15	0	0	62	September
9.6	6.3	6.6	7.5	78	15	28	13	11	—	—	1	13	1	17	0	7	0	0	2	14	0	0	70	Oktober
9.6	8.1	7.3	8.3	56	14	21	10	10	—	—	—	11	1	21	0	3	0	0	5	9	0	0	73	November
9.6	8.9	6.9	8.5	116	19	25	17	16	—	—	—	7	0	18	0	1	0	1	3	23	0	0	65	Dezember
6.9	6.2	5.6	6.2	771	48	II	118	97	14	—	10	56	67	154	0	132	0	36	18	238	6	1	664	Jahr

Beobachter: **H. Amsler-Baumann.** **Aarau.**

9.2	6.6	8.2	8.0	21	7	1	7	5	6	—	—	11	2	19	0	2	24	8	0	2	4	2	51	Januar
6.6	5.4	5.7	5.9	65	23	25	13	11	8	—	—	2	3	8	0	2	6	5	0	8	20	6	37	Februar
7.0	5.6	4.7	5.8	54	15	3	12	6	5	—	2	8	4	7	3	1	7	5	0	10	18	5	44	März
5.0	5.1	4.9	5.0	21	6	29	11	5	1	—	2	1	7	6	2	11	14	2	1	9	8	11	32	April
6.9	4.8	6.0	5.9	151	33	18	15	14	—	3	10	4	2	4	1	13	12	2	1	5	6	10	43	Mai
5.1	4.8	5.9	5.3	131	17	13	16	15	—	—	7	3	6	5	4	6	8	2	0	6	5	7	52	Juni
1.4	1.9	2.0	1.8	8	7	31	2	1	—	—	5	0	20	0	1	15	13	4	0	7	2	10	41	Juli
2.9	2.1	2.1	2.4	69	22	6	9	8	—	—	9	3	15	0	1	6	4	4	2	8	4	10	54	August
5.0	3.6	4.2	4.3	116	22	23	13	10	—	—	3	5	11	9	2	6	2	4	3	7	7	1	58	September
9.0	6.3	6.6	7.3	54	13	27	18	11	—	—	1	16	1	14	0	5	5	0	0	10	9	6	58	Oktober
8.8	6.6	6.8	7.4	48	6	9.18.21	13	10	—	—	—	14	1	14	0	1	0	3	0	14	6	2	64	November
8.9	8.0	8.1	8.3	84	14	21	16	15	2	—	—	12	0	19	0	0	2	3	0	18	23	4	43	Dezember
6.3	5.1	5.4	5.6	822	33	V	145	111	22	3	39	79	72	105	14	68	97	42	7	104	112	74	577	Jahr

Beobachter: **W. Bührer.** **Buus.**

6.4	6.3	5.6	6.1	32	11	9	8	6	7	—	—	4	6	12	2	2	34	9	3	0	2	3	38	Januar
6.6	6.1	7.0	6.6	53	21	25	12	9	7	—	1	1	4	13	2	0	14	4	5	10	20	10	19	Februar
7.3	7.1	6.3	6.9	51	19	25	11	8	5	—	1	2	2	12	4	4	16	8	7	8	12	13	21	März
6.0	6.2	5.1	5.8	38	13	2	14	9	4	—	1	0	7	10	3	3	24	1	5	3	13	11	27	April
6.9	6.0	7.1	6.7	90	21	18	14	11	—	2	3	0	4	11	4	3	21	4	3	2	2	24	30	Mai
5.4	6.3	6.1	5.9	119	28	13	16	15	—	1	5	0	8	11	5	6	16	7	5	3	15	17	16	Juni
2.0	2.5	3.2	2.6	31	18	14	4	4	—	2	3	1	17	2	13	4	34	3	5	3	6	6	19	Juli
2.9	2.7	3.4	3.0	60	14	20	10	7	—	—	8	0	15	3	3	3	24	5	3	4	6	10	35	August
4.9	4.0	4.9	4.6	90	18	23	11	10	—	—	1*	3	12	10	4	6	17	3	1	4	6	14	35	September
7.7	6.1	5.6	6.5	81	20	9	15	10	—	—	1	3	3	13	2	4	26	4	7	8	4	8	30	Oktober
7.7	6.6	6.7	7.0	72	22	9	15	11	—	—	—	7	2	14	0	2	18	3	5	5	9	13	35	November
7.7	8.0	6.8	7.5	73	10	25	17	17	4	—	—	1	1	16	0	3	25	7	5	9	17	7	20	Dezember
6.0	5.7	5.7	5.8	790	28	VI	147	117	27	5	23	22	81	127	42	40	269	58	54	59	112	136	325	Jahr

Beobachter: **T. Bieder-Hägler.** **Langenbruck.**

7.1	5.8	4.8	5.9	36	10	9	8	7	5	—	—	6	8	12	13	8	28	20	2	10	1	2	9	Januar
7.2	7.0	7.3	7.2	57	13	19	14	12	10	—	—	1	3	14	10	0	11	10	4	10	22	6	11	Februar
7.7	7.7	7.5	7.6	72	16	25	12	9	8	—	1	1	1	17	14	0	17	12	11	4	10	15	10	März
5.8	6.4	5.9	6.0	27	5	29	13	9	5	—	2	0	10	14	10	7	33	1	0	2	18	9	10	April
7.9	8.1	7.9	8.0	113	28	18	15	13	—	—	2	0	1	21	11	23	26	9	5	2	9	0	8	Mai
6.3	6.3	5.7	6.1	140	23	13	17	16	—	—	5	2	4	10	7	2	24	4	2	9	18	17	7	Juni
1.4	3.4	2.6	2.5	10	8	31	4	3	—	—	1	0	16	1	8	8	33	13	5	2	10	4	10	Juli
4.2	4.4	4.1	4.2	55	19	21	12	11	—	—	7	0	12	8	1	3	37	8	2	1	23	3	15	August
5.1	5.0	4.5	4.9	114	22	23	12	10	—	—	—	2	11	11	11	0	32	7	0	2	2	14	22	September
8.9	7.5	7.7	8.0	62	11	9	14	13	2	—	1	9	0	19	7	9	4	13	7	9	20	13	11	Oktober
8.8	7.5	7.2	7.8	64	17	9	10	10	2	—	—	9	1	18	11	4	10	13	6	5	21	12	8	November
9.4	8.7	8.7	8.9	107	19	21	16	14	7	—	—	12	1	22	5	5	9	23	3	15	21	4	8	Dezember
6.6	6.5	6.2	6.4	857	28	V	147	127	39	—	19	42	68	167	108	69	264	133	47	71	175	99	129	Jahr

Weissenstein.

$\lambda = 7°30'$, $\beta = 47°15'$, $H_b = 1285^m$, $G = -0.02\ ^m/_m$, $h_r = 1.5^m$

1911	Luftdruck					Luft-Temperatur								Relative Feuchtigkeit					
	Mittel	Minimum	Tag	Maximum	Tag	7^{30}	1^{30}	9^{30}	Mittel	Minimum	Tag	Maximum	Tag	7^{30}	1^{30}	9^{30}	Mittel	Minimum	Tag
Januar	655.4	640.9	12	665.5	17. 18	−4.1	−3.0	−4.3	−3.9	−14.2	31	6.4	27	—	—	—	72*	10	17.18
Februar	655.7	647.0	19	663.7	16	−3.8	−1.6	−2.7	−2.7	−10.0	1	4.8	18	73	67	75	72	16	22
März	648.8	637.3	13	661.5	2	−1.0	1.7	−0.3	0.1	−8.0	15.27	13.4	29	80	73	81	78	19	29
April	651.7	639.5	5	664.3	21	0.4	3.6	1.5	1.7	−11.6	5	17.4	25	78	71	75	75	17	15
Mai	651.8	647.5	18	657.2	24	6.5	10.1	7.0	7.7	0.8	1. 8	15.2	12	86	69	84	80	35	13
Juni	655.8	647.9	13	663.5	28	9.7	13.1	9.7	10.5	3.0	15	19.8	29	74	64	77	72	35	7
Juli	658.9	652.4	2	663.0	21	14.7	19.8	15.5	16.4	6.6	4	27.6	27	62	49	62	58	32	30
August	657.0	650.3	22	661.6	8	14.6	20.4	15.5	16.5	7.8	31	25.6	13	65	45	58	56	26	10
September	657.3	647.1	21	662.4	2	11.2	14.6	11.2	12.1	1.4	30	22.8	3.4.7	68	57	71	65	25	7
Oktober	653.5	642.2	27	661.2	11	5.1	7.7	5.2	5.8	−4.0	29	15.4	9	83	76	83	81	31	18
November	650.7	631.7	18	661.8	29	2.2	3.6	1.7	2.3	−2.5	19	9.2	23	78	73	82	78	24	5
Dezember	652.1	640.8	11	658.7	17	−0.1	1.5	0.3	0.5	−4.0	10.24	7.8	18.30	81	73	79	77	20	30
Jahr	654.1	631.7	XI	665.5	I	4.6	7.6	5.0	5.6	−14.2	I	27.6	VII	—	—	—	72	10	I

Solothurn.

$\lambda = 7°32'$, $\beta = 47°13'$, $H = 470^m$, $G = —\ ^m/_m$, $h_r = 1.5^m$

Januar	—	—	—	—	—	−4.7	−1.7	−3.9	−3.5	−11.4	7	4.6	26	93	77	92	87	42	31
Februar	—	—	—	—	—	−2.2	3.4	0.7	0.6	−12.4	10	11.9	23	91	64	82	79	35	21
März	—	—	—	—	—	0.7	7.9	3.6	4.0	−6.5	27	15.7	21	97	60	82	80	31	22
April	—	—	—	—	—	4.4	11.9	6.9	7.5	−3.7	5	22.5	23	84	47	66	66	22	15
Mai	—	—	—	—	—	10.5	18.3	12.2	13.3	2.0	2	24.9	29	89	47	79	72	28	3
Juni	—	—	—	—	—	13.7	20.3	14.2	15.6	6.5	14	27.7	8	81	49	79	70	30	7. 8
Juli	—	—	—	—	—	17.8	27.8	19.8	21.3	12.1	4	34.1	23	73	35	56	55	25	19
August	—	—	—	—	—	16.8	28.3	19.6	21.1	12.5	27	32.0	20	80	32	61	58	19	1
September	—	—	—	—	—	12.0	22.9	15.1	16.3	4.8	19	31.8	3. 9	94	47	75	72	23	10
Oktober	—	—	—	—	—	7.0	12.3	8.1	8.8	−0.8	3	18.8	15	97	71	96	88	38	3.23
November	—	—	—	—	—	3.5	8.2	4.4	5.1	−3.9	8	15.7	5	98	73	97	89	40	6. 7
Dezember	—	—	—	—	—	1.5	3.6	2.1	2.3	−3.2	18	8.7	21	98	85	96	93	42	9
Jahr	—	—	—	—	—	6.8	13.6	8.6	9.4	−12.4	II	34.1	VII	90	57	80	76	19	VIII

Langnau i. E.

$\lambda = 7°47'$, $\beta = 46°56'$, $H = 685^m$, $G = —\ ^m/_m$, $h_r = 1.6^m$

Januar	—	—	—	—	—	−8.1	−2.1	−6.1	−5.6	−13.0	17	3.5	26	90	71	87	83	52	31
Februar	—	—	—	—	—	−3.8	2.9	−1.4	−0.9	−16.0	1	9.3	23	86	58	80	75	35	22. 28
März	—	—	—	—	—	0.1	6.9	1.9	2.7	−8.4	27	14.0	22	89	58	86	78	32	21
April	—	—	—	—	—	3.4	9.8	4.7	5.7	−4.2	5	19.8	23	83	53	77	71	24	17
Mai	—	—	—	—	—	9.7	15.8	10.6	11.7	3.6	1	21.2	27	82	54	82	73	38	23
Juni	—	—	—	—	—	12.9	18.6	13.1	14.4	6.4	14	24.4	7	77	52	81	70	34	9
Juli	—	—	—	—	—	16.5	25.5	17.7	19.4	12.0	4	31.9	30	70	38	66	58	25	19
August	—	—	—	—	—	15.2	25.3	17.5	18.9	11.6	18	29.0	8	77	39	69	62	23	10
September	—	—	—	—	—	11.3	20.0	13.1	14.4	5.1	23	28.4	4	87	51	81	73	29	9
Oktober	—	—	—	—	—	6.0	12.0	7.3	8.1	−1.2	3	17.3	14.15	93	67	91	83	40	23
November	—	—	—	—	—	2.6	7.5	3.6	4.3	−2.2	8	13.0	5	92	70	91	84	44	5
Dezember	—	—	—	—	—	0.1	3.7	0.8	1.4	−5.0	3.13	8.6	22	90	76	91	86	46	21
Jahr	—	—	—	—	—	5.5	12.2	6.9	7.9	−16.0	II	31.9	VII	85	57	82	75	23	VIII

St. Beatenberg.

$\lambda = 7°48'$, $\beta = 46°41'$, $H_b = 1148^m$, $G = -0.05\ ^m/_m$, $h_r = 1.1^m$

Januar	667.4	652.1	12	677.3	18	−4.9	−1.3	−4.4	−3.8	−12.2	31	6.2	20	71	69	70	70	34	18
Februar	668.1	659.2	19	675.9	16	−2.1	1.4	−2.0	−1.1	−9.6	1	8.0	19	68	62	76	68	24	17
März	660.8	649.6*	13	674.4	2	0.7	4.7	0.4	1.5	−6.0	15	13.2	29	73	62	78	71	32	28
April	663.2	650.8	5	676.8	21	3.0	7.1	2.6	3.8	−6.0	5	17.0	25	76	64	77	72	29	16
Mai	663.4*	658.4	15.18	668.5	24	8.4	12.6	8.0	9.3	1.2	1	19.4	29	83	68	85	79	50*	11
Juni	666.7	657.8	13	674.4	28	11.1	15.8	10.5	12.0	3.0	14	23.2	8	82	65	82	76	37	30
Juli	669.4	663.3	1	673.1	21. 22	15.7	22.1	15.4	17.1	10.2	4	27.6	30	71	55	69	65	34	1
August	667.6	660.7	21	671.4	7	15.6	22.0	15.4	17.1	10.8	26	26.2	10.20	70	56	71	66	35	10
September	667.8	658.3	21	673.0	2	11.8	17.0	11.9	13.1	1.7	23	25.0	8	77	64	78	73	35	10
Oktober	664.6	652.7	25	672.5	11	5.9	10.2	6.0	7.0	−2.0	3	15.6	9	78	70	82	77	41	26
November	662.1	643.3	18	672.8	29	2.7	6.4	3.1	3.8	−1.3	8	13.9	5	75	68	75	73	37	5
Dezember	663.8	651.9	11	670.3	31	0.6	3.3	0.9	1.4	−4.2	10	8.4	21	69	66	73	69	36	10
Jahr	665.4	643.3	XI	677.3	I	5.7	10.1	5.7	6.8	−12.2	I	27.6	VII	74	64	76	72	24	II

Beobachter: **K. Illi.**

Weissenstein.

Bewölkung				Niederschlag			Zahl der Tage								Windverteilung								1911
7^{00}	1^{30}	9^{30}	Mittel	Summe	Maximum Tag		●	●↑ ≧1.0	✳	▲	☂	≡	heiter	trübe	N	NE	E	SE	S	SW	W	NW	Monat	
4.1	4.1	4.4	4.2	18	7	1	4	4	4	—	—	9	15	10	12	17	19	0	1	0	5	5	34	Januar
5.6	6.0	6.1	5.9	73	25	25	13	10	11	—	—	4	5	10	7	12	3	1	1	5	18	12	25	Februar
6.1	7.7	6.1	6.6	58	15	3	10	9	10	-	—	6	3	12	4	2	0	0	1	3	8	10	65	März
5.4	6.2	6.0	5.9	52	14	29	9	9	4	—	—	8	9	13	11	6	0	1	0	7	0	17	39	April
7.0	7.2	6.8	7.0	108	28	17	13	11	1	1	2	11	2	14	25	4	0	5	2	2	3	12	40	Mai
5.8	5.6	4.5	4.6	143	27	13	14	13	—	2	3	7	7	5	5	9	7	3	1	8	5	16	36	Juni
1.1	1.9	0.8	1.3	3	3	31	1	1	—	—	—	0	25	1	4	19	8	8	3	3	3	4	41	Juli
1.5	1.9	1.4	1.6	77	28	30	10	10	—	—	6	0	21	1	11	7	4	7	1	8	1	7	47	August
4.1	3.4	3.3	3.6	89	17	30	9	9	1	—	1	10	16	8	3	4	5	2	4	4	6	11	51	September
7.0	6.1	5.9	6.3	68	15	27	11	10	1	—	—	17	5	11	2	0	0	1	1	9	7	12	61	Oktober
6.1	6.0	5.1	5.7	110	21	9	11	11	6	-	-	10	7	11	5	0	4	2	6	13	15	14	31	November
5.5	6.9	6.9	6.4	136	20	24	19	18	18	—	-	9	6	15	5	2	3	0	3	13	22	24	21	Dezember
4.8	5.2	4.8	4.9	935	28	V VIII	124	115	56	3	12	91	121	111	94	82	53	30	24	75	102	144	491	Jahr

Beobachter: **R. Glutz-Graff.**

Solothurn.

8.5	9.5	6.8	7.3	18	7	9	5	5	4	—	—	8	3	16	0	21	20	1	0	0	8	2	35	Januar
6.3	6.0	5.9	6.1	75	39	25	10	8	6	—	—	1	4	9	0	8	15	1	0	5	22	10	23	Februar
6.9	6.8	4.9	6.2	72	19	3	11	9	7	-	2	7	2	7	3	10	6	6	1	10	18	7	32	März
5.5	5.7	5.1	5.4	28	12	29	7	6	—		—	1	9	10	1	22	16	6	0	5	18	8	14	April
7.8	6.1	6.6	6.8	87	28	9	16	12	-	—	3	6	0	10	5	13	19	7	3	4	8	4	30	Mai
5.5	5.6	6.0	5.7	138	25	19	14	14	—	1	4	3	5	10	3	6	9	4	0	5	18	1	44	Juni
2.0	3.0	2.6	2.5	2	1	24	3	1	—	—	1	0	16	1	7	8	25	3	3	5	7	6	29	Juli
3.1	3.0	2.6	2.9	63	25	21	10	9	—	—	4	7	16	2	6	12	20	2	1	5	5	5	37	August
5.7	4.3	4.4	4.8	120	28	23	10	9	—	—	—	5	10	9	1	11	18	1	3	5	12	5	34	September
9.3	7.1	6.0	7.5	72	14	27	14	11	—	1	1	12	0	14	1	1	20	1	2	5	24	5	34	Oktober
8.6	7.5	6.6	7.6	89	26	9	12	10	—	—	—	8	1	13	1	5	10	2	1	4	21	8	38	November
9.3	9.3	8.6	9.1	128	24	26	18	16	4	—		14	0	24	0	6	5	3	0	6	34	7	32	Dezember
6.5	5.9	5.5	6.0	892	39	II	130	110	21	2	15	72	66	125	28	123	189	37	14	59	195	68	382	Jahr

Beobachter: **J. U. Zbinden.**

Langnau i. E.

5.2	5.3	4.5	5.0	31	10	2	6	4	6	—	—	4	9	9	0	1	37	9	0	1	1	1	43	Januar
6.6	6.3	6.6	6.5	58	21	25	11	9	7	—	—	0	4	11	0	2	22	9	0	1	10	3	37	Februar
7.7	8.7	6.7	7.7	85	31	25	10	9	7	—	1	0	1	18	0	3	27	4	0	0	14	4	41	März
6.6	6.9	5.9	6.5	48	17	29	13	9	3	1	—	0	6	15	1	8	31	3	0	1	16	12	18	April
7.9	8.5	7.2	7.9	115	40	18	16	12	—	—	3	0	2	19	2	13	25	2	0	1	6	7	37	Mai
6.6	7.1	6.7	6.8	158	21	20	18	14	—	—	1	0	5	16	2	8	16	2	0	0	13	12	37	Juni
2.6	3.4	4.1	3.7	12	8	1	5	3	—	—	1	0	13	4	0	4	35	5	0	0	8	13	28	Juli
3.3	3.5	3.6	3.5	83	22	25	9	6	—	—	6	0	14	5	2	7	24	1	0	1	13	8	37	August
5.6	4.5	4.2	4.8	104	18	16	13	12	—	—	1	1	10	10	0	3	27	12	0	0	15	7	26	September
7.7	6.9	6.5	7.0	64	12	27	14	12	—	—	1	5	1	11	2	2	29	3	0	1	21	3	32	Oktober
7.9	7.4	6.7	7.3	52	10	24	12	11	1	—	—	6	1	12	0	0	20	9	0	2	12	4	43	November
8.2	8.8	7.6	8.2	112	23	25	15	14	7	—	—	2	1	21	0	4	12	6	0	6	12	0	53	Dezember
6.3	6.4	5.9	6.2	922	40	V	142	115	31	1	14	18	67	151	9	55	305	65	0	14	141	74	432	Jahr

Beobachter: **G. Buchmüller. H. Bay.**

St. Beatenberg.

4.3	5.3	3.4	4.3	32	14	9	6	6	6	—	—	10	12	7	—	—	—	—	—	—	—	—	—	Januar
5.5	5.6	6.8	6.0	72	28	25	12	10	9	—	—	6	5	10	—	—	—	—	—	—	—	—	—	Februar
7.1	7.7	7.5	7.4	141	35	2	11	9	8	—	—	7	1	14	—	—	—	—	—	—	—	—	—	März
5.7	6.1	6.5	6.1	70	15	29	14	11	6	—	—	6	7	14	—	—	—	—	—	—	—	—	—	April
6.2	7.4	6.8	6.8	104	30	18	16	16	1	—	1	7	2	13	—	—	—	—	—	—	—	—	—	Mai
6.6	6.6	6.5	6.6	188	24	25	21	16	—	—	5	5	5	13	—	—	—	—	—	—	—	—	—	Juni
2.7	4.6	3.2	3.5	59	12	31	12	10	—	—	4	0	10	3	—	—	—	—	—	—	—	—	—	Juli
3.2	4.0	2.2	3.1	92	36	25	12	10	—	—	4	2	14	3	—	—	—	—	—	—	—	—	—	August
4.9	4.6	4.4	4.6	146	41	16	13	11	2	—	—	7	11	9	—	—	—	—	—	—	—	—	—	September
5.3	6.0	4.9	5.4	112	31	1	14	14	2	—	1	9	5	8	—	—	—	—	—	—	—	—	—	Oktober
6.1	5.6	3.9	5.2	66	11	6	13	12	6	—	—	8	5	9	—	—	—	—	—	—	—	—	—	November
6.5	7.1	5.8	6.5	109	24	25	15	14	12	—	—	7	5	11	—	—	—	—	—	—	—	—	—	Dezember
5.3	5.9	5.2	5.5	1191	41	IX	159	139	52	—	15	74	82	114	—	—	—	—	—	—	—	—	—	Jahr

Interlaken (Unterseen).

$\lambda = 7°51'$, $\beta = 46°42'$, $H_b = 594.7^m$, $G = 0.04\ ^m/_m$, $h_r = 1.5^m$

1911	Luftdruck					Luft-Temperatur								Relative Feuchtigkeit					
	Mittel	Minimum	Tag	Maximum	Tag	7^{30}	1^{30}	9^{30}	Mittel	Minimum	Tag	Maximum	Tag	7^{30}	1^{30}	9^{30}	Mittel	Minimum	Tag
Januar	715.3	698.6	12	725.3	17	−5.1	−0.9	−4.0	−3.5	−9.8	31	3.2	26	87	69	83	80	49	25
Februar	715.5	705.3	19	724.3	16	−2.0	3.6	0.2	0.5	−12.0	1	10.2	19	79	53	69	67	29	19
März	706.9	695.9	13	722.1	2	1.8	8.2	3.7	4.4	−3.6	16	16.2	24	78	49	70	66	26	19
April	709.4	698.3	5	722.9	21	4.8	10.9	6.3	7.1	−2.6	4	22.6	22	75	50	63	63	22	15
Mai	708.4	703.4	15.18	714.2	24	9.8	16.2	10.8	11.9	4.0	1. 2	22.6	29	83	51	79	71	36	3
Juni	712.0	702.1	13	720.9	28	12.8	19.2	13.7	14.8	6.0	14	26.0	9	77	48	72	66	28	30
Juli	714.1	707 3	1	719.0	20	15.9	25.2	18.1	19.3	12.6	12	30.4	30	77	42	63	61	28	30
August	712.0	703.8	21	716.4	27	15.8	25.5	18.7	19.7	12.0	18	30.6	20	76	40	59	58	25	15
September	713.0	702.9	21	717.7	$^{2,18}_{27}$	12.3	20.3	15.0	15.6	4.8	23	28.6	9	85	48	74	69	22	9
Oktober	710.6	698.1	25	719.2	30	6.4	12.5	8.1	8.8	−0.6	3	17.4	15	75	58	71	68	34	3
November	708.3	687.6	18	719.8	29	3.6	7.9	4.3	5.0	−1.6	8	13.8	23	82	63	80	75	28	19
Dezember	710.6	697.4	11	717.5	17.31	1.7	5.2	2.1	2.8	−2.4	17.24	14.2	21	84	66	84	78	34	21
Jahr	711.3	687.6	XI	725.3	I	6.5	12.8	8.1	8.9	−12.0	II	30.6	VIII	80	53	72	68	22	IV IX

Meiringen.

$\lambda = 8°12'$, $\beta = 46°44'$, $H_b = 604.7^m$, $G = 0.03\ ^m/_m$, $h_r = 1.6^m$

Januar	714.5	697.6	12	724.8	14	−7.5	−2.5	−6.1	−5.6	−12.8	22	1.6	10	95	80	94	90	59	31
Februar	714.5	704.1	19	723.4	16	−3.6	2.8	−1.1	−0.8	−14.4	1	9.8	28	92	61	84	79	40	$^{21.24}_{27.28}$
März	706.1	694.7	13	721.1	2	2.1	8.2	4.8	5.0	−4.0	14	18.0	29	84	50	73	69	21	30
April	708.5	697.6	5	722.2	21	4.2	11.2	7.1	7.4	−3.4	7	19.2	25	84	50	70	68	20	15.16
Mai	707.6	702.6	18	713.5	24	9.2	16.5	12.2	12.5	2.2	3	21.8	29	94	54	83	77	30	12.13
Juni	711.2	701.2	13	719.9	28	11.5	18.9	14.3	14.7	6.4	16	24.4	8	95	59	88	81	32	30
Juli	713.2	706.3	1	717.7	4	14.7	24.0	18.8	19.1	10.3	12	30.2	30	93	51	75	73	30	30
August	711.1	702.6	21	715.6	27	14.7	24.5	18.7	19.1	10.2	18	28.2	1	92	47	75	71	24	1
September	712.1	702.2	21	716.9	2	11.0	19.7	15.0	15.2	4.4	23	27.4	4	96	58	78	77	34	7
Oktober	709.6	696.3	25	718.4	30	5.6	12.6	8.3	8.7	−1.6	31	17.4	18	99	64	93	85	22	18
November	707.5	685.9	18	718.8	29	2.7	8.0	4.3	4.8	−2.0	8	14.9	22	96	70	91	86	29	22
Dezember	709.7	696.6	11	717.0	31	0.6	4.1	1.4	1.9	−5.4	3	12.2	16	93	79	93	88	30	15
Jahr	710.5	685.9	XI	724.8	I	5.4	12.3	8.1	8.5	−14.4	II	30.2	VII	93	60	83	79	20	IV

Guttannen.

$\lambda = 8°17'$, $\beta = 46°39'$, $H_b = 1055.1^m$, $G = -0.04\ ^m/_m$, $h_r = 1.5^m$

Januar	674.9	659.1	12	685.0	18	−6.4	−4.2	−5.4	−5.4	−13.6	31	1.9	20	81	75	80	79	50	28
Februar	675.4	666.2	19	684.1	15	−4.3	−0.3	−3.0	−2.6	−13.2	1	6.5	28	82	64	81	76	43	17.24
März	668.3	657.0	26	682.1	2	0.6	4.8	1.7	2.2	−8.2	16	13.5	29	70	59	74	68	36	18
April	670.5	658.5	5	684.1	21	1.7	7.7	3.6	4.1	−8.6	7	17.4	23	80	59	78	72	26	16
Mai	670.4	665.4	18	676.4	24	7.5	12.7	9.4	9.7	1.4	2	18.0	27.30	86	62	81	76	27	13
Juni	674.2	664.2	13	682.1	28	10.0	15.8	11.5	12.2	4.0	15	22.4	18	86	64	85	78	39	3
Juli	676.8	670.6	1	680.9	21	13.3	21.4	15.6	16.5	8.0	11	28.0	30	84	60	81	75	40	26
August	674.9	667.5	22	678.6	7.27	13.2	21.5	15.8	16.6	9.1	27	25.6	10	89	58	82	76	37	1
September	675.3	665.7	21	680.2	2. 3	10.5	17.2	12.1	13.0	1.1	23	25.8	4	90	65	84	80	40	14
Oktober	672.3	660.3	25	679.8	11.30	6.4	11.0	7.4	8.1	−2.6	3	20.0	9	81	63	83	76	28	18
November	669.7	651.1	18	680.6	29	3.5	6.2	4.1	4.5	−2.0	8	14.0	5	85	69	78	77	28	12
Dezember	671.3	660.6	11	678.0	31	1.3	2.6	1.3	1.6	−5.8	10	8.6	15	78	77	83	79	33	20
Jahr	672.8	651.1	XI	685.0	I	4.8	9.7	6.2	6.7	−13.6	I	28.0	VII	83	65	81	76	26	IV

La Chaux-de-Fonds.

$\lambda = 6°50'$, $\beta = 47°7'$, $H_b = 986.5^m$, $G = -0.01\ ^m/_m$, $h_r = 1.3^m$

Januar	680.5	664.1	12	690.2	17.18	−7.4	−1.5	−5.5	−5.0	−13.8	16	5.6	22	82	66	78	75	37	18
Februar	681.1	672.0	19	689.7	15	−3.4	1.1	−2.4	−1.8	−11.3	5	8.2	28	80	69	81	77	37	1
März	673.3	662.7	26	687.7	2	−0.2	4.8	1.0	1.7	−9.7	27	13.6	29	83	68	81	77	47	29
April	676.0	664.7	5	689.4	21	1.8	6.9	2.9	3.7	−8.1	5	16.5	23	80	58	78	72	18	15
Mai	675.8	671.3	18	681.2	24	9.0	13.1	9.3	10.2	3.2	1. 7	18.2	27	83	63	85	77	46	28
Juni	679.4	670.1	13	687.5	28	11.9	16.0	11.7	12.8	5.4	15	23.1	8	76	60	80	72	34	23
Juli	682.1	675.3	2	686.4	8	16.4	22.8	16.7	18.1	9.0	4	28.9	23	68	46	68	61	37	$^{6.7}_{23.29}$
August	680.1	672.2	21	684.1	7	15.4	22.6	16.7	17.9	10.4	18	26.9	9	73	48	69	63	27	19
September	680.5	670.0	21	685.3	2	11.0	18.0	12.3	13.4	2.8	30	26.7	3	81	54	79	71	27	11
Oktober	677.4	665.2	27	684.9	30	5.4	10.8	6.5	7.3	−1.1	31	18.1	9	90	67	86	81	45	13.18
November	674.8	655.6	18	685.8	29	2.9	7.3	3.6	4.3	−3.0	8	14.6	5	86	67	85	79	33	22
Dezember	676.6	664.1	11	683.7	31	0.9	3.8	0.9	1.6	−4.2	17	8.7	18	85	74	86	82	42	18
Jahr	678.1	655.6	XI	690.2	I	5.3	10.5	6.1	7.0	−13.8	I	28.9	VII	81	62	80	74	18	IV

Beobachter: **U. Fuchs.**

Interlaken (Unterseen).

Bewölkung				Niederschlag			Zahl der Tage								Windverteilung								1911
7^{h}	1^{h}	9^{h}	Mittel	Summe	Maximum	Tag	●	●≥1.0	✳	▲	K	=	heiter	trübe	N	NE	E	SE	S	SW	W	NW	Calmen	
6.9	6.8	6.2	6.6	26	9	9	6	5	6	—	—	12	6	13	0	0	4	1	0	0	9	0	79	Januar
5.6	4.6	5.6	5.3	80	47	25	11	8	7	—	—	2	5	7	0	1	10	1	0	2	10	11	49	Februar
7.0	6.0	7.1	6.7	102	27	2	10	8	5	—	—	0	0	9	0	1	21	0	2	0	14	11	44	März
5.3	5.8	5.6	5.6	55	17	29	11	8	3	—	—	1	9	10	1	0	16	6	1	6	20	9	31	April
6.7	7.3	6.8	6.9	78	27	18	15	12	—	1	1	2	2	12	1	0	19	1	0	5	23	5	39	Mai
6.3	6.4	6.8	6.5	169	25	19	18	15	—	—	1	0	5	15	0	0	23	3	3	0	24	8	29	Juni
2.6	3.7	4.0	3.4	48	8	31	11	10	—	—	4	1	13	3	0	0	22	0	2	2	16	8	43	Juli
3.2	3.6	3.2	3.3	57	25	25	9	7	—	—	5	1	14	4	0	0	21	1	1	1	18	6	45	August
5.0	4.3	5.0	4.8	129	37	16	12	10	—	—	—	0	9	10	0	0	15	0	0	3	14	5	53	September
6.4	5.1	6.0	5.8	88	27	9	13	12	—	—	1	6	2	8	0	1	18	0	0	6	6	2	60	Oktober
6.3	5.1	4.9	5.4	57	11	13	12	11	—	—	—	4	4	8	0	0	18	1	1	4	11	5	50	November
7.2	7.1	7.1	7.1	96	15	15	13	12	2	—	—	4	3	17	1	1	17	0	0	1	17	10	46	Dezember
5.7	5.5	5.7	5.6	985	47	II	141	118	23	1	12	33	72	116	3	4	204	14	10	30	182	80	568	Jahr

Beobachter: **A. Michel.**

Meiringen.

5.8	5.2	4.6	5.2	26	9	2	4	4	4	—	—	6	9	10	0	0	0	0	0	0	1	0	92	Januar
6.6	5.5	6.1	6.1	65	27	25	10	10	9	—	—	0	3	10	0	0	0	0	0	0	0	5	79	Februar
6.8	6.4	6.2	6.5	130	38	2	10	8	8	—	—	0	2	11	0	1	17	0	0	0	7	4	64	März
5.2	5.3	5.8	5.4	67	19	29	12	8	3	—	—	1	7	9	0	0	5	0	0	2	16	2	65	April
6.8	6.5	6.9	6.7	89	33	26	15	12	—	—	1	5	1	11	0	0	4	0	0	0	16	9	64	Mai
6.3	6.5	6.9	6.6	203	32	25	15	14	—	—	3	0	3	11	0	0	2	0	0	0	11	6	71	Juni
3.2	3.6	4.2	3.7	48	28	2	8	5	—	1	—	1	9	2	0	0	0	0	0	0	12	9	72	Juli
3.4	3.9	5.2	4.2	99	18	2	13	12	—	—	1	0	10	5	0	0	0	0	0	0	22	2	69	August
5.2	4.5	5.0	4.9	116	34	16	8	7	—	—	—	2	8	8	0	0	0	0	0	0	12	4	74	September
6.1	4.8	4.7	5.2	99	21	1	14	14	—	—	1	9	3	6	0	0	4	0	0	0	13	3	73	Oktober
6.9	5.7	5.4	6.0	64	14	22	12	12	1	—	—	5	4	6	0	0	6	0	0	0	6	1	77	November
7.0	6.8	6.7	6.8	110	17	23	14	14	2	—	—	5	2	13	0	0	5	0	0	0	12	7	69	Dezember
5.8	5.4	5.6	5.6	1116	38	III	135	120	27	1	6	34	61	102	0	1	43	0	0	2	128	52	869	Jahr

Beobachter: Frau **K. Fischer.**

Guttannen.

3.5	3.8	3.9	3.7	47	20	3	5	5	5	—	—	2	13	8	0	0	0	2	0	0	2	2	87	Januar
4.8	4.1	4.6	4.5	115	42	25	13	11	11	—	—	1	7	5	5	3	1	2	1	0	3	4	65	Februar
6.0	5.4	5.1	5.5	262	67	25	12	11	11	—	—	3	4	8	0	2	1	31	0	0	10	3	46	März
5.1	5.4	5.6	5.4	115	25	2	14	14	8	—	—	1	9	12	2	1	2	8	0	0	11	8	58	April
6.4	6.1	7.5	6.7	89	26	18	13	12	—	—	1	1	2	13	0	1	0	9	0	1	2	20	60	Mai
5.7	5.9	6.2	5.9	202	36	25	15	15	—	—	3	1	2	8	3	0	1	11	1	1	9	16	48	Juni
2.9	3.6	4.1	3.5	31	9	14	12	7	—	—	3	0	9	1	1	0	1	2	0	1	5	21	62	Juli
3.0	3.4	3.9	3.4	103	19	30	13	12	—	—	5	0	11	2	1	1	2	2	0	0	4	18	65	August
4.5	4.2	4.3	4.3	130	29	21	10	10	3	—	—	0	10	7	1	1	0	3	0	1	2	14	68	September
5.0	4.5	4.5	4.7	163	53	6	12	12	2	—	1	1	7	8	2	0	1	28	0	2	8	2	50	Oktober
5.3	4.8	3.8	4.6	135	39	22	12	11	5	—	—	2	8	8	0	0	2	29	1	0	1	2	55	November
5.2	5.7	4.9	5.3	134	22	11	16	15	12	—	—	1	7	8	5	2	0	21	0	1	5	4	55	Dezember
4.8	4.7	4.9	4.8	1526	67	III	147	135	57	—	13	13	89	88	20	11	11	148	3	7	62	114	719	Jahr

Beobachter: **L. Leuba.**

La Chaux-de-Fonds.

4.4	4.7	4.5	4.5	37	15	3	8	6	8	—	—	2	13	9	1	35	6	9	16	14	1	1	10	Januar
6.2	5.7	6.4	6.1	77	27	25	16	11	12	—	—	2	7	13	0	16	8	0	18	32	2	0	8	Februar
7.1	8.1	5.7	7.0	112	39	3	21	11	15	1	2	0	1	13	2	14	3	6	25	34	0	1	8	März
5.1	6.4	4.2	5.2	80	17	27	15	11	8	—	—	0	9	8	7	39	2	1	4	26	0	2	9	April
7.1	7.5	6.6	7.1	99	35	18	14	13	—	—	6	0	1	16	5	46	4	4	6	17	1	0	10	Mai
5.5	6.6	5.2	5.8	174	37	13	17	14	—	2	4	0	4	8	3	26	3	4	12	26	2	3	11	Juni
1.9	3.8	2.7	2.8	42	12	13	7	7	—	—	7	0	15	2	2	44	6	1	12	20	0	2	6	Juli
2.5	3.8	1.8	2.7	62	36	21	6	6	—	1	8	0	18	3	1	25	4	6	4	35	0	3	15	August
4.2	5.0	4.0	4.4	113	25	30	13	10	1	—	2	0	13	8	4	26	5	5	8	27	2	1	12	September
6.5	6.2	5.7	6.1	136	31	1	19	17	3	—	3	1	5	12	1	13	5	6	21	41	0	1	5	Oktober
7.1	6.8	6.1	6.7	84	19	9	16	13	4	—	—	0	5	13	0	13	2	4	20	42	0	0	9	November
6.7	7.7	6.5	7.0	193	34	21	20	16	14	1	—	1	3	15	1	6	1	5	27	48	0	0	5	Dezember
5.4	6.0	5.0	5.5	1209	39	III	172	135	65	5	32	6	94	120	27	303	49	51	173	362	8	14	108	Jahr

La Brévine (Châtagne).

$\lambda = 6°38'$, $\beta = 46°59'$, H_b = ca. 1077 m, $G = -0.01$ $^m/_m$, $h_r = 1.5$ m

1911	Luftdruck					Luft-Temperatur								Relative Feuchtigkeit					
	Mittel	Minimum	Tag	Maximum	Tag	7^{30}	1^{30}	9^{30}	Mittel	Minimum	Tag	Maximum	Tag	7^{30}	1^{30}	9^{30}	Mittel	Minimum	Tag
Januar	673.0	657.4	12	683.5	18	−8.1	−2.9	−6.0	−5.8	−21.0	9	7.0	20	--	—	—	—	—	—
Februar	673.9	665.0	19	682.2	15	−4.9	0.1	−2.7	−2.6	−19.4	15	5.6	28	—	—	—	—	—	—
März	666.4	656.3	13.26	680.5	2	−1.3	3.3	−0.3	0.3	−9.0	9	11.2	28	—	—	—	—	—	—
April	669.0	657.6	5	682.1	21	0.4	5.8	1.4	2.3	−9.4	5	15.2	16.23	—	—	—	—	—	—
Mai	668.9	664.4	18	674.1	24	7.3	11.6	7.7	8.6	−1.4	7	17.2	26.30	—	—	—	—	—	—
Juni	672.4	662.8	13	680.3	28	10.3	14.5	10.3	11.3	3.4	14	21.6	8	—	—	—	—	—	—
Juli	675.0	669.0	1	679.7	8	14.7	21.1	15.7	16.8	6.4	17	27.4	23	—	—	—	—	—	—
August	673.0	664.8	22	677.0	7	11.8	21.4	15.1	15.9	4.6	19	26.4	9	—	—	—	—	—	—
September	673.5	663.4	21	678.3	2	8.1	17.0	11.1	11.8	0.2	18	26.0	3	—	—	—	—	—	—
Oktober	670.4	658.6	27	677.9	11	4.1	10.0	5.7	6.4	−4.6	31	17.6	9	—	—	—	—	—	—
November	667.7	647.8	18	678.3	29	1.7	6.4	3.2	3.6	−5.6	25	14.4	22	—	—	—	—	—	—
Dezember	669.4	657.2	11	675.6	17.23	−0.5	2.7	0.1	0.6	−8.8	2	9.2	18	—	—	—	—	—	—
Jahr	671.1	647.8	XI	683.5	I	3.6	9.3	5.1	5.8	−21.0	I	27.4	VII	—	—	—	—	—	—

Château d'Oex.

$\lambda = 7°7'$, $\beta = 46°29'$, H_b = ca. 1010 m, $G = -0.01$ $^m/_m$, $h_r = 1.5$ m

Januar	679.1	663.4	12	688.9	17. 18	−8.3	−1.3	−6.6	−5.7	−13.6	16	4.4	22	75	55	73	68	41	12. 22
Februar	680.2	672.5	19	688.0	16	−5.3	2.9	−2.3	−1.7	−15.4	1	9.4	18. 23	75	51	71	66	32	22
März	672.4	661.5	26	686.8	2	−0.4	6.6	1.5	2.3	−6.9	14	16.2	30	77	50	78	68	26	29
April	674.4	661.8	5	687.9	21	1.8*	9.4*	3.1*	4.4*	—	—	—	—	78	49	74	67	22	16
Mai	674.2	669.5	18	679.9	24	7.8	14.9	9.0	10.2	1.3	2	20.4	29	78	52	81	70	37	3.24
Juni	678.1	668.2	13	686.0	28	10.7	17.1	11.5	12.7	4.6	14	23.1	18	78	51	79	69	34	6. 9
Juli	680.4	673.6	1	684.3	8. 9	14.2	23.0	16.7	17.6	10.6	4	27.7	23	74	42	66	61	30	1
August	678.6	670.5	22	683.6	27	13.5	23.2	16.2	17.3	10.0	18	26.0	10.20	78	39	69	62	23	19
September	679.1	668.1	21	684.5	2	10.6	18.5	12.5	13.5	3.6	18	26.0	8	83	50	79	71	27	8.10
Oktober	676.2	664.1	27	684.3	11	4.8	11.3	6.6	7.3	−4.0	3	15.8	9.14.16	86	57	89	77	35	26
November	673.5	654.4	18	684.8	29	2.3	6 9	3.0	3.8	−3.6	8	16.6	5	85	62	82	76	28	5
Dezember	675.5	663.5	11	682.7	23	−0.9	3.0	0.0	0.5	−7.4	10	9.2	21	81	66	82	76	35	21
Jahr	676.8	654.4	XI	688.9	I	4.2	11.3	5.9	6.8	−15.4	II	27.7	VII	79	52	77	69	22	IV

Lausanne (Champ de l'air).

$\lambda = 6°38'$, $\beta = 46°31'$, $H_b = 552.9$ m, $G = 0.01$ $^m/_m$, $h_r = 1.4$ m

Januar	718.5	702.4	12	728.5	17.18	−3.4	−0.4	−2.8	−2.3	−9.0	31	4.1	13	86	72	83	80	46	12
Februar	719.3	710.6	19	727.6	16	−0.8	3.5	1.2	1.3	−10.2	1	9.8	18	83	67	76	75	48	17 27.28
März	710.7	700.9	26	726.4	2	3.0	7.5	4.6	4.9	−2.2	26	16.7	29	83	64	75	74	32	29
April	712.7	701.2	5	725.3	21	5.5	11.0	7.2	7.7	−4.0	5	21.2	24	76	56	67	66	32	17
Mai	711.7	707.1	18	717.4	24	11.5	17.4	12.5	13.5	6.3	1	22.8	26	79	56	76	70	38	23
Juni	715.4	705.7	13	724.1	28	14.2	19.7	14.6	15.8	9.4	27	25.5	8	77	60	72	69	40	12.15
Juli	717.1	710.7	1	721.6	4. 5	18.4	26.6	20.4	21.5	13.0	4	31.9	30	71	48	60	60	35	26
August	715.1	707.3	21	719.4	27	18.1	26.0	20.3	21.2	15.2	17	30.0	11	76	50	62	63	35	19
September	716.2	706.8	21	721.0	27	14.1	20.5	16.0	16.7	6.8	23	30.1	4	85	59	74	73	35	9
Oktober	714.1	702.3	27	722.6	30	8.1	12.3	9.1	9.6	3.4	3	18.2	16	93	75	91	86	50	3
November	711.9	692.7	19	722.7	29	5.1	8.8	6.2	6.6	1.4	8	14.0	22	91	73	85	83	40	22
Dezember	714.4	701.8	11	721.2	31	2.8	5.2	3.2	3.6	−0.8	18	11.3	21	91	79	88	86	48	21
Jahr	714.8	692.7	XI	728.5	I	8.0	13.2	9.4	10.0	−10.2	II	31.9	VII	83	63	76	74	32	III.IV

Clarens (Montreux).

$\lambda = 6°54'$, $\beta = 46°27'$, $H_b = 376.2$ m, $G = 0.04$ $^m/_m$, $h_r = 1.6$ m

Januar	734.8	717.8	12	745.3	17	−2.3	1.0	−1.2	−0.9	−5.0	18	4.3	13	79	62	73	71	44	13
Februar	735.3	725.1	19	744.1	16	0.6	4.8	2.3	2.5	−7.2	2	10.8	18	75	57	69	67	36	19
März	726.2	715.8	13	742.3	2	3.9	7.4	5.6	5.6	−0.8	26	14.1	28	75	61	71	69	33	28
April	728.1	716.1	5	740.9	21	6.2	9.9	8.6	8.3	−1.1	7	15.8	25	74	59	60	64	31	13
Mai	726.7	721.9	18	732.7	24	11.1	15.3	13.8	13.5	6.2	2	19.8	27	84	60	68	71	34	7
Juni	730.4	720.3	13	739.5	28	14.6	18.0	16.4	16.4	10.8	15	24.3	18	75	58	69	67	32	15
Juli	731.9	725.4	1	737.0	4	18.5	23.4	21.7	21.3	14.4	4	26.6	26	73	56	58	62	40	1
August	729.9	722.1	21	734.6	27	18.9	24.5	21.6	21.7	15.6	27	27.9	20	71	54	61	62	29	11
September	731.2	721.3	21	736.4	27	15.1	19.8	17.3	17.4	8.9	23	26.6	10	78	60	68	69	30	18
Oktober	729.3	716.0	27	738.3	30	9.6	13.5	10.6	11.1	3.6	3	19.2	7	84	65	84	78	33	23
November	727.3	707.3	18	738.6	29.30	6.3	10.4	7.4	7.9	3.0	8	17.8	22	84	65	82	77	29	22
Dezember	730.1	716.3	11	737.2	17	3.9	6.6	4.7	5.0	0.1	3	14.9	21	82	67	80	76	28	21
Jahr	730.1	707.3	XI	745.3	I	8.9	12.9	10.7	10.8	−7.2	II	27.9	VIII	78	60	70	69	28	XII

Beobachter: Frau **J. Matthey de l'Etang.**

La Brévine (Châtagne).

Bewölkung 7^{30}	1^{30}	9^{30}	Mittel	Niederschlag Summe	Maximum	Tag	Zahl der Tage ●✱	●✱ ≥1.0	✱	▲	K	≡	heiter	trübe	Windverteilung N	NE	E	SE	S	SW	W	NW	Calmen	1911
4.2	3.4	4.1	3.9	18	10	9	4	3	4	–	—	7	14	6	0	5	10	2	5	7	0	0	64	Januar
6.8	5.6	5.0	5.8	85	29	25	13	9	11	—	—	2	7	12	0	5	2	5	3	20	2	0	47	Februar
7.5	7.7	6.4	7.2	100	22	2	14	13	11	1	2	1	1	12	0	0	1	4	5	11	1	0	71	März
5.7	6.6	5.5	5.9	60	15	29	11	10	5	1	—	0	9	12	3	9	7	12	7	12	0	0	40	April
7.4	8.1	5.7	7.1	130	28	18	14	12	1	2	3	0	1	13	5	10	4	3	6	5	2	3	55	Mai
6.2	6.7	5.4	6.1	155	31	13	14	13	—	3	1	1	6	10	2	1	4	2	3	13	3	2	60	Juni
1.9	4.3	3.2	3.1	52	39	24	5	5	—	2	4	3	10	1	3	8	7	11	4	7	1	1	51	Juli
2.7	4.2	2.9	3.5	52	19	21	9	9	—	—	3	0	14	3	4	0	2	9	2	7	0	1	68	August
4.5	4.8	4.7	4.7	102	23	30	11	9	—	—	1	6	12	9	3	0	1	11	4	7	1	2	61	September
6.8	6.2	6.3	6.4	137	26	1	16	13	4	—	1	4	3	11	2	2	0	5	4	24	4	6	46	Oktober
6.9	6.7	5.6	6.4	117	34	9	12	12	7	--	—	3	4	11	4	2	5	1	12	15	7	4	40	November
7.1	6.8	7.3	7.1	187	27	25	16	16	12	—	—	4	4	14	0	2	0	0	11	15	2	1	62	Dezember
5.6	5.9	5.2	5.6	1195	39	VII	139	124	55	9	15	31	85	114	26	44	43	65	66	143	23	20	665	Jahr

Beobachter: **Sanatorium.**

Château d'Oex.

Bewölkung 7^{30}	1^{30}	9^{30}	Mittel	Niederschlag Summe	Maximum	Tag	Zahl der Tage ●✱	●✱ ≥1.0	✱	▲	K	≡	heiter	trübe	Windverteilung N	NE	E	SE	S	SW	W	NW	Calmen	1911
2.7	3.8	3.5	3.3	14	7	9	4	4	4	—	—	2	13	2	0	2	0	0	0	1	0	0	90	Januar
2.9	4.9	3.8	3.9	88	30	25	12	9	8	—	—	1	9	5	0	0	1	1	0	9	4	0	69	Februar
6.9	6.9	5.4	6.4	105	50	3	10	9	7	—	—	0	2	10	1	4	2	0	1	5	2	0	78	März
4.4	5.3	3.1	4.3	59	28	29	12	7	3	—	—	0	12	5	0	3	4	0	0	11	3	0	69	April
6.3	8.0	6.4	6.9	76	12	18	16	13	—	—	2	0	1	11	0	10	0	0	0	15	2	0	66	Mai
7.4	7.0	6.8	7.1	144	22	9	15	13	—	—	—	1	2	14	1	2	2	0	2	25	0	1	57	Juni
2.2	4.4	2.6	3.1	34	13	24	7	5	—	1	3	0	12	0	0	5	0	0	0	19	0	0	69	Juli
3.0	4.4	1.7	3.0	58	16	21	8	8	—	—	8	0	14	3	0	0	0	0	0	20	0	0	73	August
4.3	4.4	3.7	4.1	64	16	15	8	8	1	—	—	1	14	9	0	1	0	2	1	23	0	0	63	September
5.8	4.8	5.7	5.4	135	50	1	10	10	2	—	1	3	5	7	1	1	0	0	1	8	0	0	82	Oktober
5.7	5.5	4.3	5.2	63	10	19	12	11	6	—	—	4	7	7	1	0	0	0	0	12	0	0	77	November
6.0	7.0	5.4	6.1	132	17	21.25	15	15	10	—	—	2	6	12	0	0	0	0	0	11	0	0	82	Dezember
4.8	5.5	4.4	4.9	972	50	III. X	129	112	41	1	14	14	97	85	4	28	9	3	5	159	11	1	875	Jahr

Beobachter: **D. Valet.**

Lausanne (Champ de l'air).

Bewölkung 7^{30}	1^{30}	9^{30}	Mittel	Niederschlag Summe	Maximum	Tag	Zahl der Tage ●✱	●✱ ≥1.0	✱	▲	K	≡	heiter	trübe	Windverteilung N	NE	E	SE	S	SW	W	NW	Calmen	1911
6.0	5.5	4.7	5.4	13	7	9	4	3	4	—	—	1	4	8	2	32	0	1	1	3	0	1	53	Januar
4.5	4.7	3.8	4.3	37	10	25	11	8	4	—	—	0	8	4	1	20	1	1	0	7	11	6	37	Februar
6.3	5.2	5.6	5.7	90	28	25	13	10	6	—	—	0	2	7	1	5	2	2	1	10	9	1	62	März
3.6	4.1	3.9	3.9	48	34	29	8	8	—	—	—	0	11	5	6	31	1	2	1	15	8	3	23	April
4.5	4.0	5.5	4.7	59	11	15	15	10	—	—	1	0	4	3	4	33	8	2	0	9	13	2	22	Mai
4.2	4.2	4.2	4.2	151	24	10	12	12	—	—	3	0	7	4	2	12	1	1	3	10	7	2	52	Juni
1.4	1.4	2.3	1.7	15	8	24	4	4	—	—	4	0	20	0	6	26	2	2	0	14	6	1	36	Juli
2.4	1.7	1.8	2.0	69	24	21	8	6	—	1	6	0	22	1	0	18	1	4	1	12	5	0	52	August
3.6	3.3	3.5	3.5	84	23	21	12	9	—	—	2	0	16	5	2	19	0	0	1	10	7	0	51	September
6.6	5.5	5.9	6.0	132	24	9	14	10	—	1	1	2	1	5	2	16	3	0	1	6	7	2	56	Oktober
6.3	5.6	5.7	5.9	118	56	9	14	12	—	—	—	0	3	6	0	12	2	4	1	10	8	2	51	November
7.8	6.8	6.8	7.1	124	19	15	17	16	—	—	—	3	1	12	2	14	7	3	1	20	16	0	30	Dezember
4.8	4.3	4.5	4.5	940	56	XI	132	108	14	2	17	6	99	60	28	238	28	22	11	126	97	20	525	Jahr

Beobachter: **C. Bührer.**

Clarens (Montreux).

Bewölkung 7^{30}	1^{30}	9^{30}	Mittel	Niederschlag Summe	Maximum	Tag	Zahl der Tage ●✱	●✱ ≥1.0	✱	▲	K	≡	heiter	trübe	Windverteilung N	NE	E	SE	S	SW	W	NW	Calmen	1911
5.6	5.5	5.9	5.7	14	8	9	3	3	3	--	—	3	5	11	0	0	0	0	2	1	0	1	89	Januar
5.1	4.3	4.1	4.5	52	23	25	9	7	3	—	1	0	8	4	3	0	0	0	2	0	0	1	78	Februar
6.5	6.1	5.9	6.2	112	31	3	11	11	5	-	—	0	3	10	0	0	0	0	2	3	0	0	88	März
4.6	4.7	3.5	4.3	47	26	29	10	8	1	—	—	0	12	7	2	3	0	0	1	1	2	0	81	April
4.6	5.4	5.7	5.2	54	13	31	12	8	—	--	5	0	3	4	2	2	0	0	0	2	0	0	87	Mai
5.3	4.8	5.6	5.2	113	20	9	13	12	—	—	6	0	8	9	3	3	0	0	1	2	0	0	81	Juni
1.4	1.7	3.0	1.9	37	23	24	5	4	---		6	0	20	0	0	1	0	0	4	3	0	1	84	Juli
2.7	2.9	1.7	2.1	88	31	20	10	9	--	1	8	0	19	3	1	0	0	1	4	2	1	0	84	August
4.0	3.3	3.6	3.6	135	36	15	10	9		--	2	0	16	8	1	1	0	1	0	2	0	1	84	September
5.9	5.3	6.0	5.7	92	21	27	14	11	-	1	3	1	2	5	3	2	0	0	1	1	2	1	83	Oktober
5.9	5.5	5.6	5.7	55	16	9	10	8	-	—	—	0	5	8	0	0	0	0	2	3	1	0	84	November
7.4	8.1	6.5	7.3	105	22	15	16	15	-	—	—	1	2	15	0	0	0	0	2	1	2	0	88	Dezember
4.9	4.7	4.8	4.8	904	36	IX	123	105	12	2	31	5	103	84	15	12	0	2	21	21	8	5	1011	Jahr

Siders.

$\lambda = 7°32'$, $\beta = 46°18'$, $H_b = 551.6^m$, $G = 0.00\ ^m/_m$, $h_r = 1.2^m$

1911	Luftdruck					Luft-Temperatur								Relative Feuchtigkeit					
	Mittel	Minimum	Tag	Maximum	Tag	7^{30}	1^{30}	9^{30}	Mittel	Minimum	Tag	Maximum	Tag	7^{30}	1^{30}	9^{30}	Mittel	Minimum	Tag
Januar	719.2	703.8	12	730.3	17	−6.9	−1.1	−5.2	−4.6	−10.8	17.23/30	4.0	27	91	76	89	86	60	12.13
Februar	719.5	707.9	19	728.9	16	−3.0	4.0	0.0	0.2	−11.4	1	11.2	23	89	66	84	80	48	21
März	711.3	699.9	25.26	726.1	2	3.2	10.8	5.5	6.3	−1.8	27	18.6	31	80	55	72	69	39	19
April	712.6	699.8	5	726.1	21	6.3	14.7	8.3	9.4	−1.6	6	23.0	23.25	72	49	62	61	35	7.22
Mai	711.6	706.0	18	718.4	24	11.8	19.7	13.3	14.6	6.0	2	24.3	31	74	51	68	64	34	11
Juni	715.4	705.5	13	724.2	28	14.9	21.9	15.9	17.1	9.3	15	28.3	9	77	53	71	67	37	15
Juli	717.1	710 7	1	722.5	5	18.7	27.3	20.9	21.9	15.0	4. 5	32.8	30	72	53	67	64	44	19
August	715.5	708.1	22	721.5	2	18.1	26.5	21.0	21.7	14.0	27.28	31.0	10	74	54	64	64	44	14
September	716.6	707.1	21	722.4	28	14.3	22.4	16.3	17.3	7.0	23	29.6	8	81	59	79	73	45	4. 7/12.13
Oktober	715.3	705.1	27	724.1	30	7.4	15.1	10.0	10.6	0.0	3	20.0	9	90	59	84	78	43	31
November	713.0	693.0	18	724.5	14	3.4	9.7	5.1	5.8	−1.0	8	14.2	22	91	67	85	81	45	9
Dezember	715.4	706.8	11	722.8	17	1.3	5.3	2.2	2.7	−3.0	2. 3	9.0	20	88	76	89	84	53	20
Jahr	715.2	693.0	XI	730.3	I	7.5	14.7	9.4	10.3	−11.4	II	32.8	VII	82	60	76	73	34	V

Reckingen.

$\lambda = 8°14'$, $\beta = 46°28'$, $H_b = 1332.4^m$, $G = -0.08\ ^m/_m$, $h_r = 1.6^m$

Januar	651.3	636.7	3	661.0	18	−11.1	−2.6	−9.1	−8.0	−17.6	5	4.6	20	74	53	70	66	35	31
Februar	651.7	641.9	24	660.0	16	−9.0	0.7	−6.0	−5.1	−18.2	1	7.0	19	78	47	72	66	30	17
März	645.7	633.2	26	658.4	2	−3.2	3.0	−1.9	−1.0	−11.6	7	9.6	29	75	51	76	67	37	7.12
April	647.3	634.6	5	660.2	21	−1.8	6.3	0.4	1.4	−10.8	10	13.2	25	77	49	69	65	30	16
Mai	647.6	642.4	18	651.7	25	7.2	13.9	7.4	8.9	1.6	2	19.9	30	71	44	67	61	30	3
Juni	651.8	642.4	13	659.3	29	9.2	17.7	9.9	11.7	1.6	14	22.6	8	76	43	69	62	30	7
Juli	654.4	648.5	17	658.6	22	11.8	23.9	14.4	16.2	7.4	3	28.2	30	77	35	64	59	27	21
August	652.6	646.7	23	656.7	7	10.7	23.2	14.8	15.9	5.6	18.27	27.0	9	83	38	63	61	32	9
September	652.8	642.8	23	658.3	2	7.4	18.0	10.2	11.4	1.1	23	28.1	3	86	46	74	69	27	3
Oktober	650.4	639.3	27	657.9	11	1.8	11.6	4.1	5.8	−5.3	3	17.9	9	87	50	80	72	29	31
November	647.7*	630.4	19	657.6	29	−1.1	5.6	0.1	1.2	−5.2	26	12.1	5	85	54	79	73	34	5
Dezember	649.0	640.0	11	655.9	17	−4.5	0.9	−2.0	−2.4	−13.7	17	5.3	7	79	64	79	74	40	19
Jahr	650.2	630.4	XI	661.0	I	1.5	10.2	3.5	4.7	−18.2	II	28.2	VII	79	48	72	66	27	VII IX

Comprovasco (Acquarossa).

$\lambda = 8°56'$, $\beta = 46°28'$, $H_b = 543.9^m$, $G = 0.03\ ^m/_m$, $h_r = 1.6^m$

Januar	718.2	700.5	3	727.9	17	−1.1	5.2	0.8	1.5	−6.3	31	17.8	19	88	68	82	79	16	28
Februar	718.5	708.4	24	726.9	16	−0.3	6.1	1.3	2.1	−9.1	1	14.4	18	90	64	79	78	16	21
März	712.3	698.3	26	723.5	2	2.7	8.8	4.2	5.0	−1.9	16	13.4	29	87	59	82	76	20	2
April	712.9	701.7	4	726.0	22	6.0	14.5	7.7	9.0	−3.1	7	23.3	24	88	53	77	73	18	14.15
Mai	712.6	705.1	18.19	716.9	28	10.5	17.9	12.9	13.6	3.7	3	23.5	31	91	60	88	80	14	3
Juni	716.3	707.6	10	723.3	29	12.8	20.4	14.0	15.3	9.5	29	26.7	8	89	67	90	82	24	28
Juli	718.0	711.3	17	723.2	8	16.7	27.3	19.3	20.6	11.5	12	35.9	27	85	52	79	72	29	16
August	715.8	711.0	15	721.7	8	16.3	26.5	20.0	20.7	11.6	18	32.6	10	83	52	72	69	19	10.17
September	716.7	704.9	23	723.4	2	13.1	21.9	15.6	16.5	4.7	24	30.6	6	82	57	80	73	27	10
Oktober	716.2	704.6	28	723.6	11	7.0	13.1	8.2	9.1	2.2	26	20.9	10	92	73	89	85	34	1
November	714.1	693.3	19	724.2	28	3.0	8.9	4.2	5.1	−0.1	12	13.2	6	90	75	88	84	40	7
Dezember	715.8	706.3	11	723.2	17	1.3	5.3	1.6	2.4	−2.3	4	11.9	31	82	71	83	79	27	31
Jahr	715.6	693.3	XI	727.9	I	7.3	14.7	9.2	10.1	−9.1	II	35.9	VII	87	63	82	77	14	V

Grono.

$\lambda = 9°9'$, $\beta = 46°15'$, $H_b = 335^m$, $G = 0.04\ ^m/_m$, $h_r = 1.3^m$

Januar	736.0	718.4	3	745.9	17	−0.6	5.2	1.1	1.7	−4.0	12.25	15.0	19	76	56	69	67	27	28
Februar	736.3	725.0	24	744.6	16	0.3	7.3	1.9	2.9	−6.6	1	13.8	18.26	76	48	69	64	22	21
März	729.8	715.8	26	740.8	2	4.2	10.7	6.2	6.8	0.8	16	15.0	23.24	84	51	71	69	25	6.14
April	730.0	718.0	4	742.9	22	7.8	16.1	10.5	11.2	0.2	9	25.6	24.25	72	41	58	57	25	28
Mai	729.7	721.9	19	733.9	26	13.1	19.5	14.5	15.4	9.6	3	25.0	31	80	50	72	67	26	2. 3
Juni	733.2	724.0	10	740.4	29	15.6	21.8	16.1	17.4	11.4	15	28.0	8	82	55	81	73	25	15
Juli	734.5	727.6	17	740.1	5	20.2	28.6	21.5	22.9	16.0	10	34.8	30	74	44	69	62	32	27.28
August	732.3	726.8	16	738.8	7	19.4	28.3	21.2	22.5	13.8	27	32.8	6	80	46	74	67	24	17
September	733.3	721.3	23	740.4	2	14.6	23.5	16.6	17.8	8.2	24	33.0	5	85	50	82	72	30	5.18
Oktober	733.4	721.4	1	741.2	18	8.1	14.6	9.8	10.6	3.6	31	23.4	10	95	62	93	83	31	2
November	731.5	710.9	19	742.0	28.29	4.5	10.4	5.6	6.5	0.8	20	15.2	14	96	63	93	84	30	7
Dezember	733.3	723.7	11	741.2	17	1.5	5.5	1.6	2.6	−1.4	19	9.8	31	86	66	89	81	32	28
Jahr	732.8	710.9	XI	745.9	I	9.1	16.0	10.5	11.5	−6.6	II	34.8	VII	82	53	77	71	22	II

Beobachter: **F. de Courten.** **Siders.**

Bewölkung				Niederschlag		Zahl der Tage								Windverteilung								1911
7^{30}	1^{30}	9^{30}	Mittel	Summe	Maximum Tag	●	●* ≧1.0	*	▲	K	≡	heiter	trübe	N	NE	E	SE	S	SW	W	NW	Calmen	
3.6	3.5	2.8	3.3	14	8	3	5	4	5	—	—	3	15	6	0	0	0	0	0	0	0	0	93	Januar
4.2	4.0	2.7	3.6	46	25	25	8	5	4	—	—	0	10	3	0	0	0	0	0	0	3	0	81	Februar
6.4	5.7	3.9	5.3	38	16	3	6	5	2	—	—	0	3	5	0	13	0	0	0	3	3	0	74	März
3.8	4.5	1.4	3.2	14	9	29	4	4	—	—	—	0	15	3	1	4	1	1	0	6	3	0	74	April
6.2	7.4	4.8	6.1	29	13	15	6	6	—	—	1	0	3	9	0	5	0	0	0	2	6	1	79	Mai
6.2	5.8	4.5	5.5	53	12	9	9	7	—	—	1	0	5	11	0	1	0	0	0	3	12	0	74	Juni
1.8	3.5	1.6	2.3	13	6	30	7	4	—	—	2	0	18	1	0	0	0	0	0	6	6	0	81	Juli
3.1	3.6	1.9	2.9	21	7	20	6	6	—	—	5	0	13	2	0	2	0	0	0	4	7	0	80	August
4.4	4.5	3.6	4.2	57	13	21	9	8	—	—	—	0	12	8	0	2	0	1	0	1	3	0	83	September
4.1	4.0	3.5	3.9	38	10	23	10	9	—	—	—	1	11	5	0	2	0	0	0	1	6	0	84	Oktober
5.2	5.8	2.6	4.5	38	8	23	11	11	2	—	—	0	7	6	0	4	0	0	0	0	1	0	85	November
5.7	6.8	5.4	6.0	87	17	22	13	12	1	—	—	0	6	11	0	0	0	0	0	0	2	0	91	Dezember
4.6	4.9	3.2	4.2	448	25	II	94	81	14	—	9	4	118	70	1	33	1	2	0	26	52	1	979	Jahr

Beobachter: **J. Schmid.** **Reckingen.**

2.6	2.7	2.6	2.6	6	3	2	5	2	5	—	—	2	18	3	0	3	0	0	1	0	1	0	88	Januar
3.8	4.9	3.4	4.0	60	35	25	7	7	7	—	—	0	10	4	0	1	0	6	4	2	0	0	71	Februar
7.2	6.8	7.5	7.2	152	38	3	10	8	10	—	—	0	2	15	1	4	2	2	5	2	1	0	76	März
4.6	4.8	3.2	4.2	40	16	26	6	5	4	—	—	0	10	5	4	5	1	0	3	0	1	1	76	April
6.2	6.8	6.7	6.6	14	9	14	4	3	—	—	—	0	2	12	5	8	5	7	1	0	1	0	66	Mai
6.4	6.5	6.3	6.4	92	33	25	13	12	1	—	—	0	4	10	2	8	8	2	3	4	0	2	61	Juni
2.6	3.8	3.3	3.2	12	4	30	6	6	—	—	—	1	12	1	0	11	3	3	0	2	2	5	67	Juli
2.8	4.2	4.1	3.7	38	12	23	6	6	—	—	—	0	12	2	1	12	7	4	0	1	0	2	66	August
4.4	4.6	4.3	4.4	122	25	21	11	10	2	—	—	0	10	9	0	8	3	4	2	2	0	1	70	September
4.1	4.7	4.2	4.3	115	58	6	9	9	1	—	—	1	8	7	0	3	4	4	3	1	0	1	77	Oktober
5.6	5.3	5.0	5.3	110	49	23	8	8	7	—	—	1	7	10	0	4	0	1	0	0	2	0	83	November
4.9	6.0	5.1	5.3	112	19	21	14	12	14	—	—	0	7	10	0	3	0	1	0	10	2	1	76	Dezember
4.6	5.1	4.6	4.8	873	58	X	99	88	51	—	—	5	102	88	13	70	33	34	19	27	9	13	877	Jahr

Beobachter: Frl. **E. Gianella.** **Comprovasco** (Acquarossa).

3.3	3.7	2.8	3.3	3	3	6	2	1	2	—	—	0	16	4	2	0	0	0	3	3	0	4	81	Januar
4.5	4.5	2.9	4.0	33	25	25	3	3	3	—	—	0	11	7	12	0	0	0	4	4	0	8	56	Februar
7.5	7.1	5.9	6.8	89	21	27	15	11	3	—	—	0	3	14	3	0	0	1	4	4	0	4	77	März
3.8	4.7	2.7	3.7	38	24	5	8	2	2	—	—	0	11	4	12	0	0	0	5	1	0	5	67	April
6.5	6.8	7.2	6.8	93	26	14	16	14	—	—	—	0	5	16	12	0	0	0	8	1	0	2	70	Mai
6.2	6.8	6.4	6.5	181	80	25	13	13	—	—	—	0	4	14	9	0	0	1	8	1	0	1	70	Juni
3.7	4.0	4.6	4.1	6	4	2	3	2	—	—	—	0	10	3	3	1	0	0	17	1	0	1	70	Juli
3.4	4.5	4.1	4.0	93	25	23	9	8	—	—	3	0	8	6	7	0	0	0	8	2	0	3	73	August
4.7	4.3	4.0	4.3	106	48	21	10	9	—	—	—	0	10	7	9	0	0	1	7	1	0	4	68	September
5.8	6.1	5.0	5.6	254	77	6	12	12	—	—	—	0	5	10	4	0	0	0	5	1	0	3	80	Oktober
6.6	6.6	5.0	6.1	219	59	23	13	12	2	—	—	0	4	10	2	0	0	0	2	2	0	0	84	November
5.5	6.1	4.6	5.4	99	16	15	15	14	9	—	—	0	7	8	9	0	0	0	0	1	0	7	76	Dezember
5.1	5.4	4.6	5.0	1214	80	VI	119	101	21	—	3	0	94	103	84	1	0	3	71	22	0	42	872	Jahr

Beobachter: **H. Battaglia.** **Grono.**

3.6	4.0	3.3	3.6	6	2	2	4	2	4	—	—	1	15	9	0	2	0	0	0	2	0	0	89	Januar
2.6	4.2	2.4	3.1	24	13	25	2	2	1	—	—	2	16	4	0	6	0	0	2	2	0	2	70	Februar
8.0	7.8	6.1	7.3	100	17	25	11	11	2	—	1	2	2	16	0	5	0	0	0	7	0	2	79	März
4.1	5.1	3.4	4.2	56	30	5	7	6	2	—	—	0	13	6	0	8	0	3	4	12	1	2	60	April
6.5	7.6	7.4	7.2	106	20	31	15	15	—	—	1	0	2	16	0	6	0	2	1	11	0	2	71	Mai
5.4	6.7	4.7	5.6	208	82	25	14	13	—	—	3	2	6	9	0	2	0	3	2	9	1	0	73	Juni
3.5	3.5	3.5	3.5	31	17	2	3	3	—	—	2	0	12	4	0	1	0	2	0	20	0	2	68	Juli
2.9	3.7	3.7	3.4	269	121	21	12	10	—	—	4	0	14	3	0	2	0	1	0	19	0	4	67	August
4.1	3.9	2.7	3.6	144	54	21	9	8	—	—	1	2	15	6	0	1	1	2	1	4	0	0	81	September
5.5	5.6	4.4	5.2	255	108	6	11	10	—	—	—	2	9	11	0	4	0	2	0	0	0	1	86	Oktober
5.4	6.1	5.1	5.5	210	61	23	12	10	1	—	—	0	9	10	0	1	0	0	0	2	0	0	87	November
5.2	5.5	3.6	4.8	96	28	11	11	9	3	—	—	2	11	8	0	2	0	1	0	2	0	3	85	Dezember
4.7	5.3	4.2	4.7	1505	121	VIII	111	99	13	—	12	13	124	102	0	40	1	18	13	90	2	18	916	Jahr

Bellinzona.

$\lambda = 9°1'$, $\beta = 46°12'$, $H_b = 236.6^m$, $G = -\,^m/_m$, $h_r = 1.6^m$

1911	Luftdruck					Luft-Temperatur								Relative Feuchtigkeit					
	Mittel	Minimum	Tag	Maximum	Tag	7^{30}	1^{30}	9^{30}	Mittel	Minimum	Tag	Maximum	Tag	7^{30}	1^{30}	9^{30}	Mittel	Minimum	Tag
Januar	—	—	—	—	—	−0.5	5.2	0.7	1.5	−4.6	12	16.2	19	78	58	78	72	28	19
Februar	—	—	—	—	—	0.6	7.4	2.5	3.3	−6.5	1	14.5	26	76	50	72	66	22	20.21
März	—	—	—	—	—	4.6	11.0	6.9	7.3	−0.2	9	16.7	24	81	53	73	69	26	14
April	—	—	—	—	—	8.3	16.3	10.9	11.6	0.0	7	26.1	23	70	47	62	60	27	14
Mai	—	—	—	—	—	13.5	20.1	15.2	16.0	7.9	3	26.2	28	80	53	73	69	26	3
Juni	—	—	—	—	—	16.2	22.5	17.0	18.2	12.1	14	27.8	29	80	60	81	74	28	15
Juli	—	—	—	—	—	20.6	28.9	22.2	23.5	16.4	10	32.9	9.25	77	49	72	66	29	26
August	—	—	—	—	—	19.7	28.5	22.0	23.0	14.7	25	34.1	6	83	51	76	70	28	16
September	—	—	—	—	—	15.7	23.0	17.1	18.2	8.6	26	32.6	5	82	56	81	73	31	18
Oktober	—	—	—	—	—	8.6	14.7	10.1	10.9	2.7	31	23.6	10	93	68	91	84	31	10
November	—	—	—	—	—	5.1	10.2	6.2	6.9	1.9	9	15.1	7	93	68	92	84	30	7
Dezember	—	—	—	—	—	2.2	6.3	2.7	3.5	−1.2	19	11.1	28	84	69	87	80	31	10.22
Jahr	—	—	—	—	—	9.6	16.2	11.1	12.0	−6.5	II	34.1	VIII	81	57	78	72	22	II

Locarno (Muralto).

$\lambda = 8°48'$, $\beta = 46°10'$, $H_b = 238.7^m$, $G = 0.05\ ^m/_m$, $h_r = 1.2^m$

Januar	745.3	727.4	3	755.4	17	1.2	5.7	2.5	3.0	−2.4	12	14.8	19	69	63	64	65	25	19
Februar	745.5	732.6	26	754.9	16	1.9	7.7	3.5	4.2	−4.1	1	13.4	21.26	69	55	61	62	20	20
März	739.0	725.0	26	749.4	2	5.2	10.3	7.2	7.5	2.0	1	15.6	24	72	59	65	65	25	15
April	739.0	725.6	4	752.5	22	9.3	15.6	11.0	11.7	1.0	5	22.8	25	66	46	58	57	25	13
Mai	738.3	730.2	19	742.8	26	13.6	18.4	14.8	15.4	9.7	3	23.6	28	75	55	66	65	28	24
Juni	742.2	732.8	10	749.7	29	16.1	20.8	17.0	17.7	12.8	13.14	26.8	8	76	61	68	68	25	15
Juli	743.5	736.9	17	749.1	5	20.4	26.8	21.9	22.7	16.2	11	32.3	29	74	51	62	62	35	16
August	741.1	735.5	16	747.7	7	20.6	26.9	22.0	22.9	16.6	25	31.0	16	76	53	64	64	24	16
September	742.2	729.0	23	749.2	2	16.3	22.1	17.6	18.4	10.1	24	30.8	5	75	58	70	68	32	18
Oktober	742.4	729.5	1	750.5	11. 18	9.6	14.0	10.5	11.2	4.8	31	20.2	1	84	73	79	79	30	2
November	740.5	719.3	19	751.3	28	6.1	10.1	7.1	7.6	3.2	20	14.6	7	82	73	78	78	36	7
Dezember	742.6	733.3	12 23.27	750.7	17	3.3	6.6	3.8	4.4	−0.3	25	10.2	28	74	71	73	73	40	28
Jahr	741.8	719.3	XI	755.4	I	10.3	15.4	11.6	12.2	−4.1	II	32.3	VII	74	60	67	67	20	II

Monte Generoso.

$\lambda = 9°1'$, $\beta = 45°56'$, $H_b = 1610.4^m$, $G = -0.13\ ^m/_m$, $h_r = 1.4^m$

Januar	628.4	612.8	3	637.9	17	−2.0	−0.4	−1.6	−1.4	−12.8	31	9.4	19.20	50	50	50	50	17	28
Februar	628.6	620.4	19	636.3	16	−2.7	−0.6	−2.0	−1.8	−10.0	10	6.8	18	54	51	52	52	19	1. 6
März	623.7	610.2	15	633.2	2	−2.6	−0.1	−1.7	−1.5	−7.4	16	4.2	29	79	73	80	78	27	14
April	625.6	612.2	4	638.1	22	1.6	4.7	2.2	2.8	−7.0	6	12.8	25	62	60	69	64	23	15
Mai	626.5	618.8	19	631.0	28	5.6	8.3	6.2	6.6	1.4	7. 9	13.4	30.31	71	72	76	73	32	23
Juni	630.8	621.2	14	637.3	7	8.7	11.1	9.0	9.4	3.2	15.20	14.8	5.8.29	75	74	74	74	26	16
Juli	634.0	628.1	17	638.6	22	14.2	17.1	14.1	14.9	7.2	11	21.8	28	60	67	68	65	32	9
August	632.0	626.8	21	637.2	8	13.7	16.9	14.4	14.8	10.8	24	19.8	4	67	67	67	67	33	15
September	631.8	617.7	23	638.1	2	11.4	13.5	11.8	12.1	3.2	23	23.2	4	58	64	61	61	26	30
Oktober	629.2	617.2	28	636.1	11.18	4.6	6.4	4.2	4.8	−0.4	3	15.8	14	72	72	73	72	30	10.12 14
November	626.2	608.4	19	638.1	29	1.5	2.9	1.9	2.0	−2.8	19	8.2	4	76	77	79	77	35	4
Dezember	626.6	616.3	11	633.7	17	−1.0	0.2	−1.0	−0.7	−5.2	11	8.6	30	58	61	59	59	16	24
Jahr	628.6	608.4	XI	638.6	VII	4.4	6.7	4.8	5.2	−12.8	I	23.2	IX	65	66	67	66	16	XII

Bernhardin.

Abendbeobachtung: 8^{30}

$\lambda = 9°10'$, $\beta = 46°30'$, $H_b = 2073^m$, $G = -0.16\ ^m/_m$, $h_r = 7.9^m$

Januar	593.8	580.0	3	603.7	17	−7.5	−4.6	−7.2	−6.5	−19.6	31	3.2	27	56	53	54	54	12	30
Februar	593.7	586.0	19	600.9	16	−7.6	−4.1	−6.8	−6.4	−16.6	6	3.2	17	60	52	60	57	17	1
März	589.0	578.2	26	598.5	2	−6.0	−2.3	−5.8	−4.9	−12.6	15	4.8	23.24	83	78	87	83	39	12
April	591.0	579.6	5	604.0	21	−2.5	1.9	−3.0	−1.5	−12.3	7	9.6	22	70	50	79	66	22	15.16
Mai	592.3	586.6	18	596.9	28	2.6	5.6	1.7	2.9	−3.2	1	14.2	31	74	61	87	74	21	3
Juni	596.7	587.4	14	602.8	28.29	5.4	8.0	5.1	5.7	0.1	15	15.0	7	72	67	81	73	22	29
Juli	600.2	594.7	17	604.5	22	11.3	15.0	10.5	11.8	5.5	4	20.0	30	60	46	71	59	24	5
August	598.5	593.7	22	602.8	8	10.7	14.9	10.6	11.7	6.4	26.31	20.0	6	63	46	73	61	18	10
September	598.0	585.7	23	604.3	2	6.8	10.0	7.1	7.7	−2.8	22	19.4	3. 4	68	57	68	64	24	4
Oktober	594.6	583.8	28	601.8	11	0.5	3.0	1.1	1.4	−5.6	2	11.4	12	75	70	81	76	21	19
November	591.7	576.9	19	600.9	29	−2.8	−0.6	−2.4	−2.1	−9.6	20	4.2	4	74	72	75	73	22	4
Dezember	592.0	583.7	11	599.2	18	−5.4	−3.4	−5.5	−4.8	−11.0	10	2.8	19	66	67	68	67	20	17.21
Jahr	594.3	576.9	XI	604.5	VII	0.5	3.6	0.5	1.2	−19.6	I	20.0	VII VIII	68	60	74	67	12	I

Beobachter: **A. Lienhard.**

Bellinzona.

Bewölkung				Niederschlag		Zahl der Tage								Windverteilung								1911
7^{30}	1^{30}	9^{30}	Mittel	Summe	Maximum Tag	•	≥1.0	✶	▲	⛆	≡	heiter	trübe	N	NE	E	SE	S	SW	W	NW	Calmen	
3.9	3.7	3.3	3.6	10	7	6	4	2	4	—	—	5	16	6	6	6	0	0	3	5	0	0	73	Januar
3.9	4.0	2.5	3.5	20	10	25	3	3	2	—	—	3	11	4	14	12	1	2	5	1	1	0	48	Februar
7.5	7.0	5.5	6.7	109	34	25	12	11	2	—	—	4	1	11	4	13	4	4	11	4	0	0	53	März
4.5	3.8	2.8	3.7	56	34	5	8	7	2	—	—	1	12	4	7	23	3	7	8	5	0	0	37	April
6.1	6.1	6.1	6.1	85	18	28	15	13	—	—	3	5	3	11	5	23	6	10	6	9	1	0	33	Mai
5.4	5.2	4.9	5.2	322	104	25	14	14	—	—	5	1	8	9	19	8	4	11	4	4	1	0	39	Juni
3.0	3.7	3.3	3.3	11	7	13	3	3	—	—	5	0	12	2	14	5	5	6	13	10	0	0	40	Juli
3.4	3.7	3.3	3.5	234	145	21	10	9	—	—	5	0	11	3	9	18	2	5	11	9	0	0	39	August
4.1	3.5	3.2	3.6	144	54	21	7	7	—	—	2	0	11	5	7	15	5	3	14	8	0	0	38	September
5.2	5.5	4.2	5.0	253	89	6	11	10	—	—	—	8	8	9	6	19	0	5	8	4	0	0	51	Oktober
6.3	6.3	4.8	5.8	252	65	23	12	11	—	1	1	2	4	10	14	14	3	0	4	1	0	0	54	November
5.9	6.4	3.3	5.2	103	24	8	11	9	1	—	—	3	7	7	9	22	1	0	3	0	0	0	58	Dezember
4.9	4.9	3.9	4.6	1599	145	VIII	110	99	11	1	21	32	104	81	114	178	34	53	90	60	3	0	563	Jahr

Beobachter: **G. Mariani.**

Locarno (Muralto).

4.0	3.5	3.4	3.6	4	2	6	3	2	3	—	—	0	15	8	0	1	0	2	0	1	0	0	89	Januar
2.5	2.6	2.4	2.5	18	9	25	3	3	2	—	—	1	17	1	1	0	0	0	0	0	0	3	80	Februar
7.3	5.4	5.0	5.9	114	32	29	13	13	1	—	2	0	2	10	0	1	0	0	0	1	1	1	89	März
3.6	3.4	3.6	3.5	58	32	5	8	5	3	—	1	0	13	2	0	0	0	1	0	1	5	0	83	April
5.7	5.3	5.5	5.5	110	27	14	15	15	—	—	1	0	5	11	0	0	0	0	0	1	1	4	87	Mai
5.0	4.8	4.7	4.8	282	83	19	14	12	—	—	3	0	7	7	0	0	1	0	0	1	4	4	80	Juni
3.0	2.9	4.2	3.4	5	4	2	2	1	—	—	5	0	10	1	1	0	0	0	0	0	0	1	91	Juli
2.8	2.7	2.7	2.7	254	131	21	12	7	—	—	9	0	15	2	0	0	0	0	0	0	2	0	91	August
3.4	3.1	2.8	3.1	179	48	21	9	8	—	—	3	0	14	3	0	0	1	0	0	0	0	1	88	September
4.7	5.2	4.2	4.7	311	91	6	11	11	—	—	1	0	8	8	0	0	0	0	0	0	4	0	89	Oktober
5.6	5.7	5.1	5.5	269	73	23	14	13	—	1	1	0	4	9	0	0	0	0	1	0	0	0	89	November
4.5	5.4	3.1	4.3	92	21	8	12	9	2	—	—	0	10	5	0	1	0	0	0	1	0	1	90	Dezember
4.3	4.2	3.9	4.1	1696	131	VIII	116	99	11	1	26	1	120	67	2	3	2	3	1	6	17	15	1046	Jahr

Beobachter: **A. Croci. G. Capitani.**

Monte Generoso.

4.2	4.3	3.9	4.1	43	10	5	9	8	9	—	—	5	13	8	7	6	1	9	0	2	12	47	9	Januar
3.3	4.2	3.9	3.8	24	17	12	3	3	3	—	—	6	10	3	1	10	0	3	0	3	20	40	7	Februar
7.4	7.7	6.7	7.3	133	22	20	21	14	20	—	—	18	2	15	1	6	14	36	0	1	8	14	13	März
4.4	5.2	4.8	4.8	71	29	5	8	8	4	—	—	10	10	6	6	0	2	37	2	2	12	24	5	April
6.7	7.7	7.7	7.4	177	38	31	19	18	1	—	—	18	2	17	6	6	8	35	3	3	8	19	5	Mai
6.1	7.4	5.9	6.5	307	58	25	17	15	—	—	2	19	4	11	10	3	7	32	1	1	7	25	4	Juni
4.2	5.7	5.9	5.3	44	22	15	8	3	—	—	—	10	4	6	5	8	10	28	4	3	13	18	4	Juli
4.0	5.0	5.3	4.8	157	92	21	10	8	—	—	3	9	4	5	7	8	3	27	5	2	9	26	6	August
4.4	4.9	4.1	4.5	261	113	21	9	9	—	—	3	11	10	8	7	8	1	24	0	0	13	32	5	September
6.1	6.7	6.1	6.3	198	32	27	13	13	3	—	—	15	4	12	2	3	16	44	0	1	3	19	5	Oktober
6.1	7.0	5.9	6.3	240	64	23	14	14	7	—	2	15	3	10	0	14	29	22	2	0	8	14	1	November
5.5	5.8	4.9	5.4	144	32	8	12	9	12	—	—	10	4	6	3	11	17	14	1	0	16	24	7	Dezember
5.2	6.0	5.4	5.5	1799	113	IX	143	122	59	—	10	146	70	107	55	83	108	311	18	18	129	302	71	Jahr

Beobachter: **Ch. Stoffel-Bellig.**

Bernhardin.

3.9	3.9	3.1	3.6	18	12	6	5	3	5	—	—	7	14	7	41	0	0	0	16	0	0	19	17	Januar
4.6	4.7	2.8	4.0	48	34	25	4	4	4	—	—	9	8	5	52	1	0	0	16	0	0	10	5	Februar
8.0	7.1	6.7	7.3	231	44	27	13	13	13	—	—	20	0	14	25	0	0	0	48	0	0	3	17	März
5.5	5.6	5.7	5.6	96	33	5	8	8	8	—	—	9	4	9	40	0	0	0	27	0	0	1	22	April
7.1	7.7	8.5	7.8	127	28	14	19	16	6	1	2	14	2	16	44	0	0	0	25	0	0	0	24	Mai
7.0	7.4	7.2	7.2	312	114	25	18	16	5	2	—	13	2	12	34	0	0	0	35	0	1	2	18	Juni
3.9	5.2	5.0	4.7	16	8	2	5	3	—	—	2	1	4	2	34	0	0	0	31	0	0	5	23	Juli
4.2	5.0	5.4	4.9	225	81	21	9	9	—	—	3	7	6	5	40	0	0	0	27	1	0	0	25	August
5.2	5.3	5.7	5.4	125	41	21	9	9	3	—	—	9	7	8	49	0	0	0	23	0	0	2	16	September
5.5	6.3	6.0	5.9	502	108	6	15	11	8	—	—	14	5	11	20	0	0	0	55	2	0	2	14	Oktober
6.5	6.4	5.6	6.2	415	84	10	15	15	15	—	—	13	6	11	23	1	0	0	46	2	0	1	17	November
6.3	6.0	5.9	6.3	158	48	8	14	13	14	—	—	17	3	10	39	0	0	0	35	4	0	1	14	Dezember
5.6	5.9	5.6	5.7	2273	114	VI	134	120	81	3	7	133	61	110	441	2	0	0	384	9	1	46	212	Jahr

St. Moritz.

$\lambda = 9°50'$, $\beta = 46°30'$, $H_b = 1840.3^m$, $G = -0.14\ ^m/_m$, $h_r = 2.7^m$

1911	Luftdruck					Luft-Temperatur								Relative Feuchtigkeit					
	Mittel	Minimum	Tag	Maximum	Tag	7^{30}	1^{30}	9^{30}	Mittel	Minimum	Tag	Maximum	Tag	7^{30}	1^{30}	9^{30}	Mittel	Minimum	Tag
Januar	612.2	597.8	3	621.8	17.18	−10.2	−3.4	−8.9	−7.9	−18.6	31	4.5	27	64	38	58	53	18	12.21
Februar	612.1	602.8	26	619.6	16	−8.5	−1.4	−6.4	−5.7	−17.0	1	5.0	17	62	33	56	50	8	15
März	606.9	595.4	26	616.1	2	−6.0	1.7	−3.9	−3.0	−13.8	17	8.6	29	72	32	73	59	15	14.28
April	608.7	596.8	5	622.3	21	−2.1	4.7	−0.7	0.3	−11.4	7	12.0	23	66	32	64	54	8	15
Mai	609.7	603.8	18.19	614.3	24	4.9	9.7	4.9	6.1	−0.6	2	17.2	31	66	38	72	59	10	3
Juni	613.8	604.8	14	621.0	28	7.0	12.7	6.8	8.3	0.0	14	19.3	8	71	42	75	63	11	29
Juli	617.2	611 2	17	622.1	21	9.4	18.6	11.6	12.8	5.0	11	23.1	26	76	27	71	58	10	30
August	615.6	611.4	22	620.5	7	9.4	18.1	11.7	12.7	5.6	18	22.8	9	74	28	65	56	8	10
September	615.0	603.4	23	621.5	2	6.1	14.0	7.7	8.9	−0.6	24	22.0	4	78	32	66	59	12	4
Oktober	612.3	601.6	28	620.1	11	1.3	6.4	2.2	3.0	−6.8	31	14.0	12	80	49	74	68	10	19
November	609.4	591.3	19	618.9	29	−2.9	1.8	−2.3	−1.4	−7.8	20	4.8	6	78	56	76	70	22	7
Dezember	609.7	600.9	11	617.3	17	−5.2	−1.4	−4.6	−4.0	−11.6	24	2.4	18	71	57	69	66	13	28
Jahr	611.9	591.3	XI	622.3	IV	0.3	6.8	1.5	2.5	−18.6	I	23.1	VII	72	39	68	60	8	II IV. VIII

Remüs.

$\lambda = 10°23'$, $\beta = 46°50'$, $H_b = 1237^m$, $G = -0.05\ ^m/_m$, $h_r = 1.2^m$

Januar	660.6	646.3	12	671.1	17	−10.2	−3.0	−7.9	−7.3	−15.6	25	2.8	26	65	49	64	59	32	14
Februar	659.8	647.7	19	668.7	16	−7.2	0.7	−4.2	−3.7	−17.1	1	9.0	22	69	43	63	58	31	20
März	653.6	641.3	26	665.7	2	−3.4	6.4	−0.5	0.5	−9.9	7	14.0	29	72	39	67	59	26	18
April	655.1	643.1	5	669.5	22	1.1	10.7	3.0	4.5	−6.6	5	20.2	23	70	33	59	54	18	16
Mai	655.4	648.9	18	660.6	24	7.8	14.8	8.6	9.9	2.1	1	21.1	30	69	41	62	57	26	22
Juni	659.3	649.8	13	667.4	28	10.0	18.7	10.5	12.4	3.6	16	25.4	18	70	37	67	58	21	29
Juli	662.2	655.5	2	667.6	22	13.7	24.1	15.0	17.0	8.8	11	30.1	23	67	31	59	52	25	19.23
August	660.6	655.6	22	665.4	7	12.9	22.4	14.4	16.0	9.7	18	27.5	9	72	39	62	58	17	18
September	660.7	649.7	23	667.3	2	8.2	18.2	10.4	11.8	1.8	23	27.3	8	77	41	68	62	23	13
Oktober	658.5	647.0	25	666.4	11	3.1	11.3	4.6	5.9	−4.0	31	17.9	9	82	48	76	69	33	13
November	656.1	636.1	19	666.5	29	−1.5	5.3	0.0	1.0	−5.9	20	9.6	5	75	55	78	69	31	1
Dezember	657.4	647.3	11	665.3	18	−4.3	0.4	−3.1	−2.6	−11.0	24	3.5	30	76	60	77	71	38	1
Jahr	658.3	636.1	XI	671.1	I	2.5	10.8	4.2	5.4	−17.1	II	30.1	VII	72	43	67	61	17	VIII

Sta. Maria (im Münstertal).

$\lambda = 10°25'$, $\beta = 46°36'$, $H_b = 1411^m$, $G = -0.05\ ^m/_m$, $h_r = 1.5^m$

Januar	645.2	630.9	3	654.4	18	−5.5	−1.9	−4.7	−4.2	−14.8	31	7.9	19	54	45	52	50	28	17
Februar	645.0	634.4	26	653.4	16	−4.5	0.9	−3.9	−2.9	−12.6	10	8.2	18	56	43	55	51	21	15
März	639.7	627.5	25	650.1	2	−2.5	4.5	−1.4	−0.2	−9.0	16	10.1	29	63	41	65	56	21	14
April	641.0	629.9	5	654.5	22	1.9	9.1	2.8	4.2	−4.6	9.10	17.0	24	57	36	58	50	19	15
Mai	641.6	634.8	18	646.1	28	7.8	13.3	7.7	9.2	2.1	7	17.6	28	66	42	69	59	27	22.23
Juni	645.8	636.6	14	652.4	28	10.8	16.1	10.7	12.1	3.6	15	22.0	30	65	47	69	61	23	29
Juli	648.7	642.0	17	653.8	22	14.7	21.7	14.8	16.5	10.0	11	26.0	31	63	39	63	55	26	5.7.17
August	646.9	642.5	19	651.8	7. 8	13.2	20.4	15.0	15.9	8.0	25	25.4	9	64	42	65	57	24	19
September	646.8	635.2	23	653.9	2	10.2	16.5	11.0	12.2	3.0	30	25.3	4	64	45	65	58	25	4
Oktober	644.8	633.9	25.28	651.7	11.18	3.4	8.5	4.1	5.0	−3.4	31	14.2	10	76	59	78	71	38	2
November	642.1	621.7	19	652.7	29	−0.9	3.2	0.0	0.6	−5.2	19	7.2	3	72	55	68	65	28	3
Dezember	642.8	633.4	11	649.9	17	−3.3	−0.7	−2.9	−2.4	−8.6	13	5.0	30	64	55	63	61	24	24
Jahr	644.2	621.7	XI	654.5	IV	3.8	9.3	4.4	5.5	−14.8	I	26.0	VII	64	46	64	58	19	IV

Splügen (Dorf).

$\lambda = 9°19'$, $\beta = 46°33'$, $H_b = 1466.8^m$, $G = -0.10\ ^m/_m$, $h_r = 0.8^m$

Januar	641.3	627.3	12	651.8	17	−12.7	−5.4	−11.3	−10.2	−21.2	31	1.8	19	91	63	88	81	25	12
Februar	641.2	631.5	19.26	650.0	16	−11.0	−2.1	−8.5	−7.5	−22.0	1	6.8	19	95	54	85	78	22	17
März	635.2	622.4	26	647.0	2	−3.4	2.4	−2.9	−1.7	−15.2	8	10.0	29	87	55	87	76	32	29
April	637.1	624.7	5	651.1	21	−0.5	5.8	−0.1	1.3	−9.6	10	13.8	23	84	44	82	70	18	15
Mai	637.8	631.5	18	642.5	24	6.1	10.9	6.1	7.3	1.1	1. 2	17.4	31	82	49	84	72	15	3
Juni	641.8	632.0	13	649.1	28	9.2	13.8	8.5	10.0	1.8	14	20.2	8	80	49	89	73	17	29
Juli	644.7	638.6	17	649.0	21.22	13.8	20.5	12.3	14.7	7.9	10	25.4	30	72	33	83	63	22	$^{7,21}_{28}$
August	642.8	637.6	22	646.6	6.31	11.7	20.0	12.3	14.1	6.4	27	24.8	9	88	39	83	70	13	18
September	643.1	632.0	23	649.3	2	6.3	14.8	7.5	9.0	−2.4	27	24.8	3	97	47	91	78	15	7
Oktober	640.4	629.6	28	647.7	11	2.0	8.2	2.9	4.0	−4.6	26	15.2	12.15	92	58	94	81	19	19
November	637.6	618.9	19	647.9	29	−2.1	3.2	−1.3	−0.4	−9.7	20	6.8	5	95	67	91	84	33	5
Dezember	638.5	628.8	11	645.7	18	−4.4	−0.6	−4.3	−3.4	−15.0	17	3.4	19	89	71	90	83	31	21
Jahr	640.1	618.9	XI	651.8	I	1.3	7.6	1.8	3.1	−22.0	II	25.4	VII	88	52	87	76	13	VIII

Beobachter: **Ch. Pfister.**

St. Moritz.

Bewölkung				Niederschlag			Zahl der Tage								Windverteilung								1911
7^{30}	1^{30}	9^{30}	Mittel	Summe	Maximum	Tag	●	●≥1.0	✳	▲	⛆	≡	heiter	trübe	N	NE	E	SE	S	SW	W	NW	Calmen	
2.6	3.1	2.2	2.6	4	3	2	3	1	3	—	—	0	18	4	7	1	0	0	0	2	1	20	62	Januar
4.3	3.9	2.9	3.7	36	18	25	6	6	6	—	—	0	8	3	5	4	0	1	0	11	9	10	44	Februar
5.5	5.5	5.3	5.4	95	26	2	13	11	13	—	—	0	3	4	2	0	1	3	0	9	13	7	58	März
3.8	4.7	3.5	4.0	51	18	29	9	8	6	—	—	0	13	5	4	3	1	0	0	5	7	6	64	April
6.8	6.9	6.9	6.9	41	9	18	16	9	1	—	—	0	1	12	5	4	1	0	0	21	2	1	59	Mai
6.0	5.8	5.7	5.8	136	46	19	13	12	2	—	—	0	4	10	0	7	0	4	1	15	2	6	55	Juni
3.5	4.9	3.6	4.0	30	11	13	12	8	—	—	—	0	4	2	3	1	0	1	1	6	7	14	60	Juli
4.3	4.9	4.8	4.7	132	51	21	13	9	—	—	—	0	8	6	7	7	0	0	0	0	5	5	69	August
4.5	4.5	3.7	4.2	96	36	22	9	7	4	—	—	0	8	4	9	0	0	0	0	5	4	7	65	September
5.6	5.4	4.7	5.2	213	74	6	14	12	6	—	—	0	8	11	3	0	0	0	0	8	7	7	68	Oktober
4.7	5.7	5.3	5.2	158	50	23	7	7	6	—	—	0	7	7	0	0	0	0	0	6	7	8	69	November
4.9	6.4	4.5	5.3	94	19	11	14	14	14	—	—	0	8	11	0	0	0	0	0	11	8	6	68	Dezember
4.7	5.2	4.4	4.8	1086	74	X	129	104	61	—	—	0	90	79	45	27	3	9	2	99	72	97	741	Jahr

Beobachter: **F. Andry.**

Remüs.

3.5	3.1	2.5	3.0	7	3	10	3	2	3	—	—	0	14	2	—	—	—	—	—	—	—	—	—	Januar
6.3	5.3	4.0	5.2	47	23	25	7	3	6	—	—	0	5	6	—	—	—	—	—	—	—	—	—	Februar
7.3	6.6	5.5	6.5	33	22	2	6	4	5	—	—	0	2	10	—	—	—	—	—	—	—	—	—	März
5.4	4.9	4.3	4.9	37	13	29	7	5	4	—	—	0	9	10	—	—	—	—	—	—	—	—	—	April
6.8	8.1	7.5	7.5	31	9	18	10	9	—	—	—	0	3	15	—	—	—	—	—	—	—	—	—	Mai
6.7	6.3	6.8	6.6	142	50	20	16	14	—	—	—	0	4	10	—	—	—	—	—	—	—	—	—	Juni
4.6	5.0	4.0	4.5	26	7	13	12	7	—	—	1	0	8	5	—	—	—	—	—	—	—	—	—	Juli
5.1	6.0	5.5	5.5	116	32	21	13	9	—	—	—	0	6	11	—	—	—	—	—	—	—	—	—	August
4.6	4.9	5.1	4.9	73	20	22	11	9	2	—	—	0	10	10	—	—	—	—	—	—	—	—	—	September
4.6	5.1	4.6	4.8	87	22	27	10	9	2	—	—	0	11	8	—	—	—	—	—	—	—	—	—	Oktober
6.0	5.9	4.8	5.6	64	24	10	7	6	3	—	—	0	7	8	—	—	—	—	—	—	—	—	—	November
6.1	6.6	6.6	6.4	97	25	23	14	9	14	—	—	0	5	12	—	—	—	—	—	—	—	—	—	Dezember
5.6	5.7	5.1	5.5	760	50	VI	116	86	39	—	1	0	84	107	—	—	—	—	—	—	—	—	—	Jahr

Beobachter: **S. Tuffli.**

Sta. Maria (im Münstertal).

2.9	2.8	2.3	2.7	8	7	2	2	2	2	—	—	0	18	4	7	0	0	0	10	10	3	0	63	Januar
4.5	4.0	3.0	3.8	9	5	25	3	2	3	—	—	0	9	6	5	0	1	0	10	5	10	0	53	Februar
6.7	6.9	6.1	6.6	43	15	2	11	9	8	—	—	1	3	12	8	0	0	0	3	4	0	0	78	März
4.4	5.1	4.6	4.7	29	12	29	9	7	7	—	—	0	11	11	7	0	0	0	7	8	4	0	64	April
7.1	8.6	8.4	8.0	55	15	7	11	11	1	—	—	0	1	16	7	0	0	0	5	1	2	0	78	Mai
5.8	6.8	6.6	6.4	123	28	19	15	12	2	—	1	0	6	14	4	0	0	0	4	1	1	0	80	Juni
3.3	4.7	4.3	4.1	23	10	13	4	4	—	—	2	0	11	4	16	0	0	1	4	1	0	0	71	Juli
5.3	5.5	4.4	5.1	163	61	21	9	9	—	—	5	0	9	10	7	0	0	0	1	2	1	0	82	August
4.4	4.9	3.5	4.2	82	44	22	7	7	2	—	—	0	12	6	9	0	0	0	5	3	0	0	73	September
5.4	4.9	4.2	4.8	161	62	27	10	9	2	—	—	2	11	11	4	0	2	0	3	0	0	0	84	Oktober
5.0	5.5	3.4	4.6	104	27	18	6	6	5	—	—	1	13	8	1	0	1	0	8	3	0	0	77	November
5.3	6.1	5.8	5.7	72	21	11	13	11	13	—	—	0	10	13	6	0	1	0	4	1	0	0	81	Dezember
5.0	5.5	4.7	5.1	872	62	X	100	89	45	—	8	4	114	115	81	0	5	1	64	39	21	0	884	Jahr

Beobachter: Frau **M. Lorez.**

Splügen (Dorf).

3.9	3.2	2.3	3.1	6	4	2	4	1	4	—	—	2	14	3	0	1	1	3	0	3	5	3	77	Januar
4.4	4.1	2.6	3.7	48	17	25	10	8	10	—	—	0	11	2	0	5	4	7	0	4	1	0	63	Februar
6.7	6.4	5.4	6.2	91	26	25	10	10	9	—	—	0	3	7	0	9	3	3	5	14	5	2	52	März
4.8	4.7	4.0	4.5	40	10	5	10	8	7	—	—	0	12	8	0	5	6	8	6	7	1	3	54	April
6.6	7.4	6.7	6.9	48	14	18	13	9	1	—	—	0	1	15	0	5	7	12	3	19	1	0	46	Mai
5.5	5.9	5.8	5.7	195	100	25	12	12	3	—	—	0	5	10	0	4	2	7	9	12	3	0	53	Juni
2.6	3.5	2.8	3.0	27	10	2	8	5	—	—	5	1	13	2	1	1	3	9	6	1	1	1	70	Juli
3.0	4.4	3.8	3.7	161	50	21	9	9	—	1	4	2	14	5	0	4	6	10	2	8	1	1	61	August
3.9	4.0	3.6	3.8	211	110	21	10	9	3	—	—	1	12	7	0	5	6	7	5	7	1	0	59	September
4.5	5.2	3.8	4.5	296	106	6	15	12	7	—	—	2	13	9	2	6	0	6	8	29	4	2	36	Oktober
5.7	5.0	3.8	4.8	169	48	10	12	11	7	—	—	1	7	7	0	1	0	4	7	17	4	1	56	November
6.0	5.8	4.2	5.3	115	21	15	15	14	15	—	—	1	7	9	0	3	2	7	9	15	6	1	50	Dezember
4.8	5.0	4.1	4.6	1407	110	IX	128	108	66	1	9	10	112	84	3	49	40	83	60	130	33	14	677	Jahr

Platta-Medels.

$\lambda = 8°51'$, $\beta = 46°39'$, $H_b = 1378^m$, $G = -0.08\ ^m/_m$, $h_r = 1.2^m$

1911	Luftdruck					Luft-Temperatur								Relative Feuchtigkeit					
	Mittel	Minimum	Tag	Maximum	Tag	7^{30}	1^{30}	9^{30}	Mittel	Minimum	Tag	Maximum	Tag	7^{30}	1^{30}	9^{30}	Mittel	Minimum	Tag
Januar	648.1	633.7	12	658.1	18	−6.8	1.3	−6.2	−4.5	−13.4	1	9.8	20	75	50	74	66	31	12.21
Februar	648.2	638.4	19	656.6	16	−6.1	1.9	−4.6	−3.4	−14.2	9	9.0	19	81	48	79	69	30	1
März	642.0	629.5	26	654.2	2	−1.9	3.5	−0.9	0.0	−9.8	16	10.6	29	80	57	82	73	30	14
April	644.0	632.5	5	657.4	21	0.4	7.4	1.4	2.7	−7.4	9	20.6	23	82	51	84	72	28	23
Mai	644.2	639.0	18.19	649.2	24	6.3	12.1	7.0	8.1	−0.2	3	20.0	25	85	55	83	74	34	3.25
Juni	648.3	641.2	10	655.5	28	8.4	15.3	9.3	10.6	0.6	14	22.6	8	85	53	83	74	30	16
Juli	651.1	645.1	17	655.3	21.22	12.4	21.8	13.8	15.5	6.6	11	28.4	22	85	44	79	69	30	17.30
August	649.3	643.4	22	653.5	8	11.8	22.2	14.3	15.7	7.4	27	27.2	19	89	44	78	70	26	19
September	649.4	639.7	23	655.0	2	8.4	17.0	9.3	11.0	−0.6	23	26.8	3	89	52	88	76	30	7
Oktober	646.7	635.8	25	655.8	31	4.2	10.4	5.4	6.3	−3.4	3	18.4	12 13	80	58	79	72	30	12.13
November	643.9	625.5	19	654.1	29	1.3	6.4	1.6	2.8	−2.6	3.11	12.2	3.29	77	58	78	71	29	12
Dezember	645.1	635.8	11	651.9	31	−1.4	3.1	−0.8	0.0	−9.4	24	10.8	3	74	62	76	71	25	19
Jahr	646.7	625.5	XI	658.1	I	3.1	10.2	4.1	5.4	−14.2	II	28.4	VII	82	53	80	71	25	XII

Davos-Platz.

$\lambda = 9°49'$, $\beta = 46°48'$, $H_b = 1560.7^m$, $G = -0.10\ ^m/_m$, $h_r = 9.5^m$

Januar	633.9	619.4	12	644.2	17	−12.1	−3.9	−10.4	−9.2	−20.1	31	3.6	28	80	58	78	72	42	25.28 30
Februar	633.9	623.6	19	642.5	16	−9.6	−0.7	−7.0	−6.1	−20.3	9	8.0	22	85	53	78	72	32	15
März	627.8	615.1	26	639.5	2	−5.2	2.6	−3.4	−2.4	−13.1	8	11.0	29	83	50	80	71	32	28
April	629.9	617.1	5	643.9	21	−0.2	5.6	−0.1	1.3	−8.4	5	12.9	23	73	51	81	68	26	16
Mai	630.5	624.6	18	636.7	24	6.1	10.7	5.8	7.1	−0.2	1	17.0	30	76	52	84	71	28	3
Juni	634.5	624.9	13	642.1	28	9.7	13.8	7.7	9.7	0.6	14	20.5	18	70	51	85	69	30	7.29
Juli	637.7	631.8	1	642.1	21	13.5	18.9	12.6	14.4	8.4	4	25.2	27	70	47	80	66	27	27
August	635.9	630.2	22	640.2	7. 8	12.4	18.3	11.9	13.6	6.8	31	22.2	8. 9	75	47	79	67	28	18
September	635.8	624.9	23	641.9	2	7.0	14.3	7.6	9.1	−0.2	23	22.4	3	85	50	84	73	27	7
Oktober	632.7	621.6	25	640.2	11	0.7	9.5	2.8	4.0	−7.4	3	16.5	13	92	52	88	77	26	19
November	629.9	611.1	19	640.4	29	−2.2	4.2	−1.0	0.0	−8.1	20	8.0	4.5.22	87	61	82	76	38	4
Dezember	630.8	620.2	11	637.7	17. 18	−4.9	−0.1	−3.9	−3.2	−13.5	17	5.1	20	86	69	83	79	44	1
Jahr	632.8	611.1	XI	644.2	I	1.3	7.8	1.9	3.2	−20.3	II	25.2	VII	80	53	82	72	26	IV. X

Schatzalp (ob Davos).

$\lambda = 9°49'$, $\beta = 46°48'$, $H_b = 1868^m$, $G = -0.12\ ^m/_m$, $h_r = 1.5^m$

Januar	609.7	595.5	4	619.6	17	−7.5	−2.1	−7.0	−5.9	−18.8	31	5.2	21	64	52	62	59	30	21
Februar	609.6	601.0	19	617.6	16	−7.2	−1.2	−6.2	−5.2	−14.4	6. 8	7.7	22	73	55	73	67	29	1
März	604.0	592.0	26	614.7	2	−4.1	0.8	−4.1	−2.9	−11.8	15	8.8	29	73	58	79	70	41	29
April	606.3	593.8	5	620.1	21	−0.1	3.4	−1.5	0.1	−10.7	4	11.9	22	72	59	83	71	30	16
Mai	607.3	601.8	18	612.1	24	5.2	8.3	4.4	5.6	−2.3	1	15.1	30	78	63	83	75	33	3
Juni	611.3	601.8	13	618.5	28	8.8	11.5	6.7	8.4	−1.0	14	18.4	18	75	62	85	74	32	29
Juli	614.8	609.3	17	619.1	21	13.6	17.8	11.5	13.6	6.0	10	24.2	26	62	52	81	65	32	28
August	613.0	607.9	23	617.2	7. 8	12.8	17.2	11.2	13.1	6.2	31	21.7	8. 9	67	53	79	66	29	18
September	612.7	601.4	23	619.1	2	9.2	13.2	7.5	9.4	−1.4	22.23	21.4	3	71	58	78	69	35	1. 7
Oktober	609.1	598.3	28	616.5	11	2.6	8.2	2.9	4.2	−4.7	30	14.8	13	74	59	78	70	31	19
November	606.0	587.8	19	615.8	29	−0.8	3.9	−0.5	0.5	−6.0	20	9.5	5	72	63	72	69	37	4. 5
Dezember	606.5	597.0	11	613.5	17	−3.2	0.4	−3.3	−2.3	−11.4	10	8.2	19	73	67	74	71	32	19
Jahr	609.2	587.8	XI	620.1	IV	2.4	6.8	1.8	3.2	−18.8	I	24.2	VII	71	58	77	69	29	II VIII

Arosa (Sanatorium).

$\lambda = 9°39'$, $\beta = 46°47'$, $H_b = 1854^m$, $G = -0.12\ ^m/_m$, $h_r = 1.6^m$

Januar	610.6	596.7	3	620.7	17	−6.3	−3.0	−6.0	−5.4	−18.4	31	3.6	21	48	41	45	44	17	28
Februar	610.6	601.8	19	618.8	16	−6.2	−2.5	−5.6	−5.0	−16.0	6	8.2	22	59	46	58	54	17	9
März	605.0	592.5	26	615.7	2	−3.1	0.8	−3.3	−2.2	−11.8	15	9.0	29	65	47	65	59	23	28
April	607.2	594.8	5	621.8	21	−0.3	3.0	−0.6	0.4	−9.0	4	9.2	22	62	50	76	63	18	15.16
Mai	608.3	603.0	18	613.4	24	5.4	8.4	4.8	5.8	−0.6	1	15.0	30	72	60	82	71	20	3
Juni	612.4	603.0	13	619.2	28	9.0	11.6	7.3	8.8	−0.4	14	17.8	30	67	56	78	67	20	29
Juli	615.7	610.1	17	620.2	21	13.1	16.7	12.0	13.4	6.7	10	22.5	28	67	44	76	62	21	28
August	613.9	608.4	22	618.1	7	12.5	16.5	11.9	13.2	7.8	31	19.9	30	67	44	71	61	17	18
September	613.7	602.4	23	619.8	2	8.4	12.5	8.4	9.4	−0.2	23	20.6	3	67	52	67	62	25	7
Oktober	610.2	599.0	25	617.8	11	3.1	7.6	3.7	4.5	−6.2	3	14.6	13	62	47	62	57	12	19
November	607.3	589.1	19	617.5	29	0.2	3.3	0.7	1.2	−5.0	20	7.4	5	60	55	61	59	24	5.12
Dezember	607.9	597.9	11	614.8	17	−2.3	0.4	−2.4	−1.7	−9.6	10	7.0	18.19	60	57	63	60	18	17.19
Jahr	610.2	589.1	XI	621.8	IV	2.8	6.3	2.6	3.5	−18.4	I	22.5	VII	63	50	67	60	12	X

Beobachter: **Ths. J. Berther.**

Platta-Medels.

Bewölkung 7^{30}	1^{30}	9^{30}	Mittel	Niederschlag Summe	Maximum	Tag	Zahl der Tage ● *	● * ≥ 1.0	*	▲	⚡	≡	heiter	trübe	Windverteilung N	NE	E	SE	S	SW	W	NW	Calmen	1911
3.2	2.5	2.9	2.9	8	4	2	6	3	6	—	—	4	17	5	0	2	0	2	4	2	0	0	83	Januar
5.0	4.9	3.9	4.6	63	32	25	12	8	12	—	—	2	7	7	1	5	1	1	8	1	1	2	64	Februar
7.6	6.4	7.0	7.0	120	32	3	12	11	11	—	—	6	2	14	3	3	0	0	25	6	0	0	56	März
5.6	6.0	5.7	5.8	50	13	5	12	10	8	—	1	8	7	13	2	0	0	1	17	1	0	0	69	April
7.5	7.4	7.9	7.6	42	14	14	16	11	1	—	2	6	3	19	1	0	0	0	21	6	0	1	64	Mai
7.1	7.1	6.5	6.9	162	80	25	20	14	3	—	4	5	3	16	1	0	0	0	19	7	0	2	61	Juni
3.2	4.3	4.2	3.9	15	4	2	8	4	—	—	4	2	12	4	0	0	0	0	6	6	0	0	81	Juli
3.2	4.4	3.6	3.7	99	33	23	11	10	—	—	5	4	12	5	0	0	0	1	7	2	0	0	83	August
5.0	4.7	4.2	4.6	141	50	21	13	9	3	1	1	6	10	9	0	0	0	1	15	2	0	0	72	September
5.1	5.6	5.6	5.4	215	70	6	13	12	7	—	1	5	9	11	0	0	0	1	21	12	0	0	59	Oktober
6.8	6.3	5.3	6.1	136	52	23	11	9	6	—	1	4	5	14	1	0	1	0	14	14	0	0	60	November
6.8	6.9	6.8	6.8	101	15	23	14	11	13	—	—	8	5	15	0	1	0	1	13	15	0	0	63	Dezember
5.5	5.5	5.3	5.4	1152	80	VI	148	112	70	1	19	60	92	132	9	11	2	8	170	74	1	5	815	Jahr

Beobachter: **Kurverein.**

Davos-Platz.

7^{30}	1^{30}	9^{30}	Mittel	Summe	Maximum	Tag	● *	● * ≥ 1.0	*	▲	⚡	≡	heiter	trübe	N	NE	E	SE	S	SW	W	NW	Calmen	1911
2.5	2.6	2.1	2.4	9	3	2	5	4	5	—	—	1	18	1	0	5	0	0	0	0	0	0	88	Januar
5.6	5.0	2.6	4.4	75	27	25	12	10	12	—	—	1	6	5	0	12	0	0	0	1	0	0	71	Februar
5.6	6.3	3.9	5.3	50	22	2	10	8	10	—	—	0	4	5	0	12	0	0	1	6	0	0	74	März
5.1	5.7	4.9	5.2	64	14	30	12	10	9	—	—	1	8	10	1	15	2	1	1	1	0	0	69	April
6.3	7.6	7.4	7.1	43	8	26	15	13	1	—	3	0	2	12	0	14	2	2	5	0	0	0	70	Mai
4.9	6.2	6.4	5.8	144	29	25	18	15	4	—	4	0	3	6	0	9	6	0	3	3	0	0	69	Juni
3.1	3.9	4.9	4.0	47	17	2	11	7	—	—	4	0	9	5	1	13	3	0	1	1	1	0	73	Juli
4.3	4.2	3.5	4.0	101	20	20.23	12	12	—	—	4	0	13	5	0	19	8	0	0	1	0	0	65	August
5.3	4.8	4.0	4.7	114	34	21	14	10	4	—	1	1	10	7	0	15	0	0	0	2	0	0	73	September
4.3	4.5	4.1	4.3	89	29	6	13	11	5	—	—	4	11	7	0	6	1	0	2	10	0	0	74	Oktober
5.2	5.5	3.9	4.9	63	28	10	6	5	5	—	—	1	8	8	0	3	0	1	0	10	0	0	76	November
5.2	6.7	6.2	6.0	139	27	23	17	15	17	—	—	0	4	11	1	6	0	0	1	4	0	0	81	Dezember
4.8	5.2	4.5	4.8	938	34	IX	145	120	72	—	16	9	96	82	3	129	22	4	14	39	1	0	883	Jahr

Beobachter: **Sanatorium.**

Schatzalp (ob Davos).

7^{30}	1^{30}	9^{30}	Mittel	Summe	Maximum	Tag	● *	● * ≥ 1.0	*	▲	⚡	≡	heiter	trübe	N	NE	E	SE	S	SW	W	NW	Calmen	1911
2.7	2.4	2.4	2.5	12	4	2	4	4	4	—	—	1	16	1	8	2	5	1	0	0	8	20	49	Januar
4.9	5.1	4.2	4.7	73	21	25	11	11	11	—	—	1	6	4	6	11	12	2	0	2	5	13	33	Februar
5.1	6.4	4.7	5.4	76	26	2	13	10	13	—	—	0	3	3	4	7	10	4	0	6	7	22	33	März
5.1	6.0	4.9	5.3	54	11	26	14	11	14	1	—	0	8	9	0	11	12	2	0	5	16	2	42	April
7.3	8.4	7.4	7.7	50	11	18	19	14	8	1	1	6	1	14	2	5	8	2	1	4	18	4	49	Mai
5.9	7.4	6.4	6.6	158	31	25	19	16	5	—	2	6	3	10	6	10	6	1	2	9	8	4	44	Juni
3.7	5.0	4.5	4.4	59	20	2	13	8	—	—	3	1	7	6	3	10	6	4	0	4	10	13	43	Juli
5.2	5.4	3.9	4.8	111	25	20	11	11	—	—	3	1	5	7	2	11	7	1	1	5	19	12	35	August
5.1	5.1	4.4	4.9	114	27	21	13	11	4	—	1	1	9	6	8	7	7	3	0	4	15	9	37	September
4.2	4.9	4.6	4.6	112	27	6	13	11	7	—	—	2	11	7	4	5	9	7	3	12	17	8	28	Oktober
5.0	6.0	3.1	4.7	69	31	10	6	5	5	—	—	1	6	6	1	3	7	4	0	9	18	13	35	November
5.3	6.7	6.0	6.0	156	21	23	18	17	18	—	—	0	3	9	8	3	6	3	4	7	23	16	23	Dezember
5.0	5.7	4.7	5.1	1084	31	VI XI	154	129	89	2	10	20	78	82	52	85	95	34	11	67	164	136	451	Jahr

Beobachter: **Hohensee. G. Neuendorff.**

Arosa (Sanatorium).

7^{30}	1^{30}	9^{30}	Mittel	Summe	Maximum	Tag	● *	● * ≥ 1.0	*	▲	⚡	≡	heiter	trübe	N	NE	E	SE	S	SW	W	NW	Calmen	1911
2.6	2.8	2.0	2.5	10	4	2	4	3	4	—	—	0	20	3	—	—	—	—	—	—	—	—	—	Januar
[illegible]	[illegible]	3.9	4.5	88	33	26	12	11	12	—	—	0	10	7	—	—	—	—	—	—	—	—	—	Februar
6.1	6.6	4.4	5.7	82	20	2	11	10	11	—	—	3	4	7	—	—	—	—	—	—	—	—	—	März
[illegible]	[illegible]	5.4	5.7	51	9	30	14	10	13	1	—	2	8	14	—	—	—	—	—	—	—	—	—	April
7.6	8.8	7.5	8.0	62	19	18	16	13	3	—	2	3	1	20	—	—	—	—	—	—	—	—	—	Mai
[illegible]	7.2	6.6	6.7	203	53	25	16	14	5	—	2	3	3	11	—	—	—	—	—	—	—	—	—	Juni
3.8	5.4	3.7	4.3	47	19	31	6	5	—	1	6	2	5	4	—	—	—	—	—	—	—	—	—	Juli
[illegible]	4.6	3.4	4.2	114	29	23	13	13	—	—	7	2	8	5	—	—	—	—	—	—	—	—	—	August
5.3	4.8	3.6	4.6	160	54	21	12	9	5	—	1	4	10	8	—	—	—	—	—	—	—	—	—	September
[illegible]	4.5	3.8	4.0	188	79	6	12	10	9	—	—	4	12	6	—	—	—	—	—	—	—	—	—	Oktober
[illegible]	[illegible]	3.7	4.8	96	35	10	7	7	7	—	—	4	7	7	—	—	—	—	—	—	—	—	—	November
[illegible]	[illegible]	5.4	5.7	188	26	11	13	12	13	—	—	2	7	10	—	—	—	—	—	—	—	—	—	Dezember
[illegible]	5.0	4.5	5.1	1289	79	X	136	117	82	2	18	29	95	102	—	—	—	—	—	—	—	—	—	Jahr

Seewis.

$\lambda = 9°38'$, $\beta = 46°59'$, $H_b = 953.8^m$, $G = 0.00\ ^m/_m$, $h_r = 1.5^m$

1911	Luftdruck					Luft-Temperatur								Relative Feuchtigkeit					
	Mittel	Minimum	Tag	Maximum	Tag	7^{30}	1^{30}	9^{30}	Mittel	Minimum	Tag	Maximum	Tag	7^{30}	1^{30}	9^{30}	Mittel	Minimum	Tag
Januar	684.1	667.5	12	695.5	17	−6.4	−1.5	−5.3	−4.6	−11.1	31	4.9	27	74	64	78	72	38	15
Februar	684.0	672.5	19	693.4	16	−4.4	1.4	−2.5	−2.0	−12.9	9	9.3	23	79	58	79	72	40	22
März	676.8	664.5	26	690.5	2	−0.2	6.6	1.1	2.2	−7.3	16	17.1	29	77	48	78	68	22	18.28
April	678.8	667.1	5	692.7	21	2.8	9.5	3.9	5.0	−5.5	5	18.1	23	80	53	73	69	13	16
Mai	678.6	672.4	18	684.2	24	8.3	14.5	9.3	10.4	3.4	2	20.1	30	81	58	78	72	43	4
Juni	682.3	671.7	13	690.3	28	11.0	17.8	11.3	12.8	2.9	15	23.3	17.18 30	81	55	79	72	30	23
Juli	684.8	678 3	2	689.2	21	15.6	23.6	16.1	17.8	9.9	10	29.7	28	75	48	70	64	24	24
August	682.8	675.9	21	687.3	27	14.9	22.8	15.9	17.4	10.7	31	27.1	8	73	46	70	63	27	15
September	683.5	672.7	21	688.6	2	10.6	18.1	11.7	13.0	0.6	22	25.9	13	80	54	78	70	30	12
Oktober	680.9	668.8	25	689.0	30	5.5	12.1	6.2	7.5	0.1	31	20.3	9	80	57	82	73	24	19
November	678.5	658.8	18	689.4	29	2.1	7.0	2.7	3.6	−1.5	11	13.1	5	78	64	77	73	36	5
Dezember	680.2	668.6	11	687.6	17	−0.5	3.3	0.1	0.8	−5.6	17.24	9.6	20	78	66	80	75	38	20
Jahr	681.3	658.8	XI	695.5	I	4.9	11.3	5.9	7.0	−12.9	II	29.7	VII	78	56	77	70	13	IV

Schiers.

$\lambda = 9°41'$, $\beta = 46°58'$, $H_b = 650.7^m$, $G = 0.03\ ^m/_m$, $h_r = 1.0^m$

Januar	711.3	694.9	12	722.1	17	−9.3	−5.3	−6.9	−7.1	−15.1	16	1.1	10	91	80	93	88	58	31
Februar	711.0	698.2	19	720.7	16	−5.7	1.0	−2.7	−2.5	−16.2	1	10.0	19	92	64	88	81	40	19
März	703.1	690.6	25	716.7	2	−0.8	7.8	1.9	2.7	−6.0	16	18.9	29	93	54	85	78	31	18
April	704.8	693.6	5	718.6	21	3.1	11.8	5.5	6.5	−3.7	5	19.9	23	91	50	79	73	26	15.16
Mai	704.1	697.6	18	709.9	24	9.1	16.7	11.1	12.0	1.0	3	23.2	30	90	56	86	77	33	3
Juni	707.9	696.9	13	716.3	28	11.6	19.8	13.1	14.4	5.7	15	26.8	18	85	52	86	74	35	30
Juli	710.0	703.0	1	714.9	4	15.5	25.1	18.3	19.3	11.2	11	31.3	23.30	83	48	77	69	28	28
August	708.0	700.6	22	713.0	31	15.4	24.7	18.3	19.2	12.3	18.19	28.6	8	85	48	80	71	32	19
September	709.0	697.0	21	714.5	2	10.0	19.9	13.4	14.2	2.7	24	28.0	7	95	53	85	78	35	12
Oktober	706.7	694.4	25	715.7	30	4.3	12.8	6.9	7.7	−2.3	31	21.3	9	98	63	94	85	43	19
November	704.9	685.1	18	716.6	29	0.7	6.2	2.2	2.9	−3.6	8	12.6	9	98	77	95	90	36	4
Dezember	706.9	695.0	11	715.4	17	−1.3	1.5	−0.2	−0.1	−5.3	3	5.2	22	96	85	96	92	43	22
Jahr	707.3	685.1	XI	722.1	I	4.4	11.8	6.7	7.4	−16.2	II	31.3	VII	92	61	87	80	26	IV

Chur.

$\lambda = 9°32'$, $\beta = 46°51'$, $H_b = 609.9^m$, $G = 0.04\ ^m/_m$, $h_r = 1.7^m$

Januar	714.2	696.4	12	725.1	17	−5.7	−1.6	−4.5	−4.1	−10.9	23	5.2	27	83	66	84	78	36	12
Februar	714.0	701.1	19	724.1	16	−3.0	3.5	−0.6	−0.2	−11.3	1. 2	11.7	23	83	51	75	70	30	22
März	705.9	693.4	25.26	720.4	2	2.4	9.4	3.7	4.8	−3.5	16	20.7	29	73	43	64	60	22	28
April	707.8	696.4	5	721.6	21	4.7	11.8	6.7	7.5	−4.1	5	21.3	23	74	44	62	60	18	15.16
Mai	706.9	700.4	18	712.7	2	10.6	17.5	12.5	13.3	4.1	3	23.9	29	80	45	66	64	25	3
Juni	710.5	700.0	13	719.4	28	13.1	20.1	14.1	15.3	6.8	14	27.7	18	79	45	74	66	28	16.18 25
Juli	712.4	705.7	1	717.6	5	16.5	25.5	19.7	20.3	11.1	11	32.7	28	76	39	57	57	23	28
August	710.6	702.9	22	715.6	27.31	16.0	25.0	19.0	19.8	11.9	27	29.1	8	79	39	64	61	26	1.19
September	711.6	699.9	21	717.0	27	11.9	20.7	14.6	15.4	0.9	22	29.1	13	65	48	69	60	28	19
Oktober	709.4	696.3	25	718.5	30	7.2	14.7	8.9	9.9	1.9	26	22.9	9	83	48	78	70	23	19
November	707.4	687.4	18	719.0	14	4.0	9.3	5.3	5.9	0.3	20.30	14.8	22	81	60	78	73	32	17
Dezember	709.3	697.2	11	717.8	17	1.5	4.9	2.5	2.9	−2.5	1	12.3	20	79	68	81	76	34	7.20
Jahr	710.0	687.4	XI	725.1	I	6.6	13.4	8.5	9.2	−11.3	II	32.7	VII	78	50	71	66	18	IV

Freiburg.

$\lambda = 7°9'$, $\beta = 46°47'$, $H_b =$ ca. 690^m, $G = —\ ^m/_m$, $h_r = 1.5^m$

Januar	—	—	—	—	—	−6.3	−2.3	−5.2	−4.7	−11.1	9.17	2.4	27	95	88	93	92	74	6
Februar	—	—	—	—	—	−2.4	2.9	0.1	0.2	−14.4	1	10.1	23	88	80	85	84	57	22
März	—	—	—	—	—	0.9	6.6	3.0	3.4	−7.0	27	14.3	31	93	79	89	87	66	22
April	—	—	—	—	—	3.9	9.9	5.9	6.4	−4.9	5	20.6	23	91	75	84	83	56	17
Mai	—	—	—	—	—	9.8	16.1	11.2	12.1	3.8	2	22.3	29	94	76	91	87	63	24
Juni	—	—	—	—	—	12.7	18.7	13.8	14.8	8.7	16	25.5	8	93	77	89	86	64	6
Juli	—	—	—	—	—	16.7	25.5	19.1	20.1	10.9	4	30.5	23	84	63	76	74	30	27
August	—	—	—	—	—	16.5	24.7	19.2	19.9	12.6	17.31	28.6	20	74	44	61	60	30	10
September	—	—	—	—	—	12.6	19.6	14.7	15.4	5.4	23	28.1	9	83	58	75	72	32	9
Oktober	—	—	—	—	—	6.5	11.0	8.0	8.4	0.2	3.31	15.8	16	94	79	93	89	50	7
November	—	—	—	—	—	3.3	7.3	4.8	5.1	−1.5	30	15.4	5	94	78	88	86	35	5
Dezember	—	—	—	—	—	1.0	3.9	1.7	2.1	−2.2	18	10.8	21	93	83	92	89	46	21
Jahr	—	—	—	—	—	6.3	12.0	8.0	8.6	−14.4	II	30.5	VII	90	73	85	82	30	VII VIII

Beobachter: Frau **E. Sprecher-Jenny.**

Seewis.

Bewölkung				Niederschlag			Zahl der Tage								Windverteilung									1911
7^{30}	1^{30}	9^{30}	Mittel	Summe	Maximum	Tag	●	●* ≧1.0	*	▲	⛆	≡	heiter	trübe	N	NE	E	SE	S	SW	W	NW	Calmen	
4.0	3.7	4.7	4.0	12	3	10	6	6	6	—	—	1	13	10	0	0	0	0	0	0	0	0	93	Januar
6.5	6.2	6.5	6.4	100	31	25	12	12	11	—	—	0	4	11	0	0	0	0	0	7	0	0	77	Februar
8.1	7.1	7.1	7.4	79	29	2	11	10	11	—	—	0	1	13	0	1	0	1	0	8	0	0	83	März
6.4	6.3	6.7	6.5	61	13	29	14	10	7	—	—	0	7	15	0	0	0	1	0	13	0	0	76	April
7.2	8.7	8.5	8.1	55	12	18	16	13	—	—	2	0	2	19	0	0	0	0	0	12	0	0	81	Mai
6.6	6.3	7.3	6.7	152	45	25	18	14	—	—	2	1	3	14	0	0	0	0	0	14	0	0	76	Juni
4.1	4.7	5.5	4.8	30	9	2	9	6	—	—	4	0	6	6	0	0	0	0	1	16	0	1	75	Juli
4.6	5.2	4.5	4.8	92	18	25	13	12	—	—	2	0	9	8	0	0	0	0	1	18	0	0	74	August
5.5	5.1	5.6	5.4	142	59	21	13	12	3	—	—	0	8	9	0	0	0	0	0	13	0	0	77	September
5.2	5.2	4.5	5.0	113	30	6	12	12	1	—	—	1	11	10	0	0	0	0	0	6	0	0	87	Oktober
6.5	6.1	5.2	5.9	53	23	10	8	8	3	—	—	0	5	8	0	0	0	0	0	5	0	0	85	November
6.5	7.1	7.3	7.0	186	29	23	16	16	12	—	—	0	3	13	0	0	0	0	0	2	0	0	91	Dezember
5.9	6.0	6.1	6.0	1075	59	IX	148	131	54	—	10	3	72	136	0	1	0	2	2	114	0	1	975	Jahr

Beobachter: **J. R. Schlæpfer-Colb.**

Schiers.

2.8	2.5	3.2	2.8	7	2	9	5	3	5	—	—	1	17	4	0	0	0	0	0	0	0	3	90	Januar
4.2	4.3	4.3	4.3	78	43	25	10	9	9	—	—	0	8	4	2	0	0	1	0	0	2	3	76	Februar
4.1	5.1	4.8	4.7	55	23	2	7	6	6	—	—	0	9	5	2	0	0	0	1	0	6	5	79	März
5.2	4.9	5.6	5.2	41	10	29	10	8	2	—	—	0	9	10	1	2	0	0	1	0	9	18	59	April
6.1	6.4	7.0	6.5	42	12	26	17	10	—	—	1	0	4	11	0	0	0	0	0	2	11	4	76	Mai
5.3	5.6	5.8	5.6	120	42	25	18	14	—	—	—	0	4	8	0	1	1	0	0	0	11	6	71	Juni
2.7	2.9	3.0	2.9	21	6	20	11	6	—	—	3	0	17	3	1	0	1	0	0	1	14	5	71	Juli
3.6	3.0	3.9	3.5	81	16	25	13	10	—	—	2	0	13	5	1	1	0	0	0	1	9	12	69	August
4.2	3.8	3.7	3.9	124	47	21	13	12	2	—	—	0	11	6	0	0	0	0	0	0	7	4	79	September
4.2	3.6	3.6	3.8	96	25	6	13	11	—	—	—	0	13	6	0	0	0	0	0	0	4	3	86	Oktober
4.0	4.8	3.9	4.2	50	23	10	7	7	3	—	—	1	14	7	0	0	0	0	0	0	2	0	88	November
5.3	5.9	5.3	5.5	122	17	23	15	14	9	—	—	2	8	13	0	0	0	0	1	0	1	0	91	Dezember
4.3	4.4	4.5	4.4	837	47	IX	139	110	36	—	6	4	127	82	7	4	2	1	3	4	76	63	935	Jahr

Beobachter: **J. Defila.**

Chur.

4.4	3.8	4.2	4.1	2	1*	2	3	1	3	—	—	2	14	8	—	—	—	—	—	—	—	—	—	Januar
5.3	5.1	6.1	5.5	71	29	25	11	9	8	—	—	2	5	7	—	—	—	—	—	—	—	—	—	Februar
6.9	6.5	7.0	6.8	44	21	2	8	6	4	—	—	0	2	13	—	—	—	—	—	—	—	—	—	März
5.8	5.2	5.5	5.5	38	9	30	10	9	2	—	—	0	8	11	—	—	—	—	—	—	—	—	—	April
7.1	7.8	6.6	7.2	44	31	30	9	6	—	1	1	1	2	15	—	—	—	—	—	—	—	—	—	Mai
6.4	6.4	5.1	6.0	123	41	25	16	10	—	—	3	0	5	8	—	—	—	—	—	—	—	—	—	Juni
3.3	3.3	3.3	3.3	14	9	2	5	3	—	—	2	0	13	3	—	—	—	—	—	—	—	—	—	Juli
4.2	4.0	3.3	3.8	72	14	25	13	12	—	—	4	0	12	5	—	—	—	—	—	—	—	—	—	August
4.7	4.4	4.8	4.6	115	51	21	10	10	2	—	—	0	8	7	—	—	—	—	—	—	—	—	—	September
4.4	4.5	3.8	4.2	139	56	6	11	9	—	—	—	0	12	7	—	—	—	—	—	—	—	—	—	Oktober
5.5	5.6	4.5	5.2	68	28	10	8	7	1	—	—	3	7	8	—	—	—	—	—	—	—	—	—	November
6.1	7.0	6.0	6.4	100	16	21	16	15	4	—	—	2	4	12	—	—	—	—	—	—	—	—	—	Dezember
5.3	5.3	5.0	5.2	830	56	X	120	97	24	1	10	10	92	104	—	—	—	—	—	—	—	—	—	Jahr

Beobachter: **A. Gockel.**

Freiburg.

6.9	6.3	6.3	6.5	17	9	9	7	4	6	—	—	8	5	15	1	21	2	1	1	7	1	1	58	Januar
7.0	5.7	5.4	6.0	35	9	12	10	7	7	—	—	0	3	6	2	8	2	0	2	31	1	5	33	Februar
7.3	7.5	6.5	7.1	84	31	25	13	10	6	—	1	0	0	12	8	1	0	1	1	29	6	6	41	März
5.3	6.2	5.2	5.6	54	22	29	10	8	1	—	1	0	8	11	11	13	4	0	2	24	6	5	25	April
6.9	7.1	7.8	7.3	102	26	18	16	15	—	—	7	0	1	12	14	17	3	3	6	11	4	8	27	Mai
5.9	6.3	6.1	6.1	157	21	9	15	14	—	—	7	1	6	12	9	7	2	4	2	33	5	10	18	Juni
2.6	3.2	3.2	3.0	8	4	1	3	3	—	—	6	0	14	3	10	19	4	1	3	18	6	5	27	Juli
1.3	1.5	3.1	2.0	52	16	21	8	7	—	1	7	0	16	3	15	10	1	1	9	10	6	9	32	August
4.1	4.1	4.5	4.2	64	12	22	9	7	—	—	3	1	13	10	6	19	3	0	14	21	10	3	14	September
7.9	6.5	6.8	7.1	73	17	27	13	10	—	—	1	0	0	13	16	13	1	0	6	26	12	2	17	Oktober
8.2	7.5	7.4	7.7	78	26	9	12	12	1	—	—	6	1	14	6	10	0	0	16	24	9	0	25	November
8.3	8.9	7.6	8.3	100	17	25	17	15	5	—	—	10	1	19	2	3	0	1	13	37	0	2	35	Dezember
6.0	5.9	5.8	5.9	824	31	III	133	112	26	1	33	35	68	130	100	141	22	12	75	271	66	56	352	Jahr

Wildhaus.

$\lambda = 9°21'$, $\beta = 47°12'$, $H_b = 1115^m$, $h_r = 1.6^m$. Beobachter: **J. Näf.**

1911	Luft-Temperatur								Bewölkg.	Niederschlag			Zahl der Tage							Windverteilung								
	7^{30}	1^{30}	9^{30}	Mittel	Minimum	Tag	Maximum	Tag	Mittel	Summe	Maximum	Tag	•	•*	*	▲	☇	≡	helle	trübe	N	NE	E	SE	S	SW	W	NW	Calmen
														>1.0															
Jan.	−5.6	−2.7	−5.4	−4.8	−13.0	31	5.7	22	4.2	34	17	10	4	3	4	—	—	8	12	8	0	1	12	50	0	2	15	0	13
Febr.	−3.7	0.0	−2.3	−2.1	−12.0	1	7.2	22	6.2	91	28	25	13	12	11	—	—	3	4	9	0	1	10	17	0	17	31	0	8
März	0.4	4.3	0.9	1.7	−8.0	16	14.0	29	6.8	94	37	1	13	12	13	—	—	2	3	13	0	11	19	12	0	9	38	0	4
April	2.7	6.6	2.5	3.6	−8.0	5	15.4	23	6.4	104	18	26	13	13	7	—	—	3	5	14	0	0	10	28	0	18	29	0	5
Mai	8.4	12.5	7.7	9.1	1.4	1	19.7	30	7.4	135	48	18	19	16	2	—	2	2	1	11	0	0	12	39	0	6	28	0	8
Juni	11.9	15.3	9.5	11.6	2.0	14	22.0	30	6.2	224	43	25	18	17	1	—	5	3	4	9	0	2	5	32	0	6	42	0	3
Juli	16.6	21.0	15.3	17.1	9.2	3	26.8	27	3.7	74	22	14	9	9	—	—	1	0	10	4	0	4	6	34	0	13	21	0	15
Aug.	15.9	20.9	15.4	16.9	9.2	31	24.7	29	3.8	111	29	25	11	10	—	—	5	0	11	4	0	0	12	36	0	15	14	0	16
Sept.	12.1	15.8	11.4	12.7	1.0	22	24.6	4	4.6	164	44	21	12	11	—	—	1	1	8	10	0	0	0	19	0	14	41	0	16
Okt.	6.4	10.3	6.4	7.4	−1.4	3	16.8	18	5.0	79	20	25	12	12	5	—	—	3	7	6	0	7	12	28	0	6	38	0	2
Nov.	3.7	7.3	4.3	4.9	−1.4	8	15.3	5	5.1	33	13	10	7	6	3	—	—	2	4	5	0	15	13	14	0	4	38	0	6
Dez.	1.0	3.1	0.7	1.4	−5.5	10	10.0	20	6.5	147	21	21	16	15	13	—	—	3	2	13	0	8	8	20	0	3	47	0	7
Jahr	5.8	9.5	5.5	6.6	−13.0	I	26.8	VII	5.5	1290	48	V	147	136	59	—	14	30	71	106	0	49	119	329	0	113	382	0	103

Schaffhausen.

$\lambda = 8°38'$, $\beta = 47°42'$, $H_b = 448^m$, $h_r = 1.5^m$. Beobachter: **G. Meyer.**

Jan.	−5.6	−2.3	−4.9	−4.4	−14.5	17	2.5	10	7.2	18	9	9	3	3	3	—	—	11	4	17	6	15	1	0	0	3	0	3	65
Febr.	−1.9	3.1	0.0	0.3	−13.5	10	10.0	23	6.4	36	8	25	10	10	4	—	—	3	2	8	5	4	0	0	4	23	5	1	42
März	1.0	8.1	3.4	4.0	−4.2	27	20.0	29	5.8	29	8	2	8	7	5	—	1	2	8	13	5	4	1	0	1	19	4	4	55
April	4.7	11.6	6.1	7.1	−4.8	5	22.6	23	5.4	20	6	27	7	6	—	—	—	0	7	10	8	13	5	0	3	15	4	2	40
Mai	10.3	17.3	11.6	12.7	3.0	2	24.1	30	6.2	61	20	18	12	10	—	—	6	1	3	11	5	10	2	1	1	15	3	8	48
Juni	13.3	19.2	13.1	14.7	5.4	14	26.0	7.9	5.6	78	18	13	15	12	—	—	6	2	7	12	6	5	1	0	2	17	8	3	48
Juli	17.2	26.0	18.1	19.9	11.5	3	32.8	30	2.0	11	7	13	3	2	—	—	2	1	20	2	14	9	4	0	3	12	3	5	43
Aug.	16.3	26.4	18.2	19.8	11.0	24	30.5	8	2.7	45	10	30	10	8	—	—	5	1	15	1	6	4	4	2	2	9	7	3	56
Sept.	11.8	20.5	13.8	15.0	6.3	30	29.7	3	4.8	79	21	23	14	10	—	—	1	3	9	8	4	3	0	2	0	15	5	3	58
Okt.	6.6	11.0	7.2	8.0	0.9	30	18.0	15	6.9	60	16	27	15	12	—	—	1	10	1	12	9	0	2	0	3	9	4	5	61
Nov.	3.2	7.0	3.6	4.4	−3.8	8	13.5	22	7.0	48	10	21	12	11	—	—	—	7	1	11	0	1	0	0	1	13	4	5	66
Dez.	1.2	3.6	1.7	2.0	−3.5	19	7.5	29	8.7	93	16	25	15	12	1	—	—	10	0	20	0	0	0	0	2	19	3	2	67
Jahr	6.5	12.6	7.7	8.6	−14.5	I	32.8	VII	5.7	578	21	IX	124	103	13	—	22	51	77	125	68	68	20	5	22	169	50	44	649

Rheinfelden.

$\lambda = 7°47'$, $\beta = 47°33'$, $H_b = 280^m$, $h_r = 1.6^m$. Beobachter: Frau **A. Hoffmann.**

Jan.	−4.7	−0.8	−3.5	−3.1	−12.1	15	4.7	26	6.5	31	17	9	4	3	4	—	—	5	6	15	0	0	9	0	0	0	0	0	84
Febr.	−1.1	4.0	0.9	1.2	−10.9	1	12.7	23	6.8	40	17	25	11	9	6	—	—	2	3	13	0	2	4	0	4	9	0	0	65
März	2.0	9.3	3.8	4.7	−2.7	9	19.9	30	6.6	36	13	25	13	6	5	—	1	1	3	9	0	0	5	0	0	5	4	0	79
April	4.1	12.3	6.4	7.3	−3.5	10	22.9	23	5.8	32	16	2	11	8	2	—	1	1	7	10	1	3	9	0	0	3	10	0	64
Mai	11.2	18.4	12.0	13.4	3.3	2	24.1	28	6.8	86	19	18	15	13	—	—	7	6	1	10	0	1	8	0	0	1	5	0	78
Juni	14.8	19.9	14.1	15.7	8.5	14	27.4	9	5.8	111	28	13	16	14	—	—	4	0	7	10	0	2	8	0	0	0	7	1	72
Juli	18.0	26.8	18.5	20.5	12.3	4	23.6	23.29	2.5	23	17	31	4	3	—	1	2	2	16	1	3	0	11	0	0	0	8	0	71
Aug.	16.4	26.9	18.6	20.1	10.9	18	31.3	20	3.4	54	17	30	9	6	—	1	6	1	15	3	0	0	12	0	0	0	7	2	72
Sept.	12.8	21.9	14.1	15.7	7.5	18.19	29.7	4.7	4.6	89	17	23	9	9	—	—	—	3	10	7	1	1	3	0	1	5	3	0	76
Okt.	8.0	12.9	8.2	9.3	0.9	31	18.9	22	6.7	70	17	8	17	10	—	—	2	10	2	12	0	3	11	0	1	5	4	0	69
Nov.	3.7	8.4	4.8	5.4	−2.7	8	15.4	5	7.4	85	24	9	15	12	—	—	—	8	1	14	0	1	8	0	0	3	7	0	71
Dez.	3.0	5.8	3.2	3.8	−0.7	28	12.9	21	7.3	63	8	15	17	16	—	—	—	2	2	14	0	0	19	0	0	13	5	0	56
Jahr	7.3	13.8	8.4	9.5	−12.1	I	31.3	VIII	5.8	720	28	VI	141	109	17	2	23	41	73	118	5	13	107	0	6	44	60	3	857

Cernier.

$\lambda = 6°54'$, $\beta = 47°4'$, $H = 800^m$, $h_r = 1.7^m$. Beobachter: **E. Bon. E. Guinand.**

Jan.	—	—	—	—	—	—	—	—	—	—	—	—	—	—	—	—	—	—	—	—	—	—	—	—	—	—	—	—	—
Febr.	—	—	—	—	—	—	—	—	—	—	—	—	—	—	—	—	—	—	—	—	—	—	—	—	—	—	—	—	—
März	1.2	5.9	2.7	3.1	−6.6	27	14.4	29	7.2	131	39	3	16	11	11	—	2	1	0	11	1	0	1	0	2	9	4	4	72
April	3.8	8.5	5.1	5.6	−6.0	5	18.7	23	5.5	55	16	27	10	7	1	—	—	0	8	12	3	16	1	1	1	12	5	7	44
Mai	10.1	15.2	10.4	11.5	4.1	2	21.0	29	7.3	80	26	18	13	12	—	—	7	0	1	13	3	10	2	0	0	0	2	6	70
Juni	12.7	17.3	12.1	13.5	5.3	14	24.6	8	6.2	153	28	13	14	13	—	—	5	2	5	10	1	2	2	1	2	8	4	3	67
Juli	17.6	23.8	18.2	19.4	12.3	3	30.2	23	3.0	31	13	15	6	5	—	1	6	0	13	2	3	17	3	1	1	8	5	3	52
Aug.	16.6	23.7	18.0	19.1	11.0	31	29.0	10	3.5	111	50	20	10	9	—	1	8	0	12	4	1	7	2	2	0	3	4	5	69
Sept.	12.0	12.3	13.5	14.3	5.0	30	27.2	4	4.5	79	23	22	12	9	—	—	1	3	12	9	0	4	0	1	1	16	3	7	58
Okt.	6.1	11.2	7.1	7.9	−0.4	31	18.4	12	6.6	129	21	27	16	14	—	1	1	10	0	11	0	7	1	3	5	28	5	4	40
Nov.	3.2	6.9	4.4	4.7	−1.4	8	14.0	6	6.9	92	30	9	14	13	5	—	—	9	2	13	2	2	1	2	4	16	4	3	56
Dez.	0.9	3.5	1.5	1.9	−4.0	3	7.3	21	7.9	187	34	21	16	14	5	—	—	11	1	15	1	3	4	1	2	14	4	3	61
Jahr	—	—	—	—	—	—	30.2	VII	—	—	50	VIII	—	—	—	3	30	—	—	—	—	—	—	—	—	—	—	—	—

Tschiertschen.

$\lambda = 9°36'$, $\beta = 46°49'$, $H = 1350^m$, $h_r = 1.2^m$. Beobachter: **A. Sutermeister.**

1911	Luft-Temperatur							Relative Feuchtigkeit						Bewölkung				Niederschlag			Zahl der Tage							
	7^{30}	1^{30}	9^{30}	Mittel	Minimum	Tag	Maximum	Tag	7^{30}	1^{30}	9^{30}	Mittel	Minimum	Tag	7^{30}	1^{30}	9^{30}	Mittl.	Summe	Maximum	Tag								
Jan.	−7.0	−2.7	−6.2	−5.5	−15.7	31	4.7	27	—	—	—	—	—	—	4.9	3.4	2.9	3.7	8	4	1	6	3	6	—	—	2	8	3
Febr.	−5.3	0.2	−4.3	−3.4	−12.4	2	10.1	22	—	—	—	—	—	—	7.4	5.4	6.4	6.4	90	26	25	11	9	11	—	—	1	4	11
März	−1.3	4.3	−1.4	0.1	−8.6	16	12.9	29	—	—	—	—	—	—	6.3	6.8	6.1	6.4	72	25	2	8	7	8	—	—	4	2	10
April	1.6	6.3	1.2	2.6	−8.9	4	15.6	23	—	—	—	—	—	—	5.7	5.9	5.9	5.8	43	10	26	14	10	10	—	—	6	7	14
Mai	7.3	11.9	7.1	8.4	2.1	7	17.5	30	—	—	—	—	—	—	7.5	7.9	7.8	7.7	39	11	18	14	8	—	—	1	7	0	15
Juni	10.4	14.5	8.8	10.6	1.3	14	21.4	18	—	—	—	—	—	—	6.5	7.4	7.0	7.0	169	55	25	16	14	—	—	2	6	2	14
Juli	15.0	19.9	14.1	15.8	8.6	3	25.1	23.28	—	—	—	—	—	—	4.8	4.2	4.9	4.6	27	16	2	7	6	—	—	—	1	7	5
Aug.	14.4	19.7	13.7	15.4	4.1	31	23.4	8	—	—	—	—	—	—	4.5	4.2	4.1	4.3	79	19	23	13	12	—	—	2	3	11	5
Sept.	10.0	15.6	10.0	11.4	−0.5	23	23.4	3.4	—	—	—	—	—	—	5.5	5.1	5.3	5.3	131	53	21	11	11	4	—	1	2	9	6
Okt.	4.1	9.7	5.0	6.0	−3.8	3	16.3	9	—	—	—	—	—	—	5.2	5.3	4.6	5.0	173	67	6	11	9	4	—	—	3	11	8
Nov.	1.2	5.5	1.7	2.5	−2.9	11.20	9.9	28	—	—	—	—	—	—	7.5	6.4	4.8	6.2	75	43	10	8	8	5	—	—	3	3	10
Dez.	−1.3	2.2	−1.1	−0.3	−8.5	24	9.2	19	—	—	—	—	—	—	9.4	7.3	6.2	7.6	141	18	23	15	13	14	—	—	3	0	16
Jahr	4.1	8.9	4.1	5.3	−15.7	I	25.1	VII	—	—	—	—	—	—	6.3	5.8	5.5	5.8	1047	67	X	134	110	62	—	6	41	64	117

Vättis.

$\lambda = 9°26'$, $\beta = 46°55'$, $H_b = 950^m$, $h_r = 1.5^m$. Beobachter: **F. W. Sprecher.**

Jan.	−8.1	−3.0	−6.8	−6.2	−14.0	31	4.8	27	81	66	81	76	31	27	3.3	2.5	2.7	2.8	8	4	10	4	3	4	—	—	3	18	4
Febr.	−5.3	0.9	−3.4	−2.8	−14.2	2	8.2	22	85	56	79	73	27	17	6.0	5.1	5.2	5.4	82	32	25	12	10	11	—	—	0	6	7
März	0.4	5.8	1.2	2.1	−7.1	16	16.9	29	68	44	71	61	16	28.29	6.5	6.5	6.3	6.4	50	18	2	10	8	9	—	—	0	3	11
April	2.0	8.5	2.6	4.0	−6.4	5	18.0	23	74	46	73	64	8	16.17	5.4	5.7	5.3	5.5	48	12	29	12	11	5	—	—	0	8	13
Mai	8.5	13.9	8.9	10.1	0.6	3	21.2	29	74	51	79	68	16	3	6.1	7.3	6.0	6.5	31	11	18	15	8	—	—	2	0	3	9
Juni	12.6	17.3	10.5	12.7	4.0	14	24.1	17	70	47	83	67	19	30	5.7	6.2	5.6	5.8	147	44	25	17	16	—	—	2	0	4	8
Juli	16.1	22.2	15.1	17.1	11.2	3.4	29.2	28	70	40	72	61	15	28	3.0	3.6	3.3	3.3	27	11	2	9	5	—	—	2	0	14	0
Aug.	13.2	22.1	13.9	15.8	8.0	18	25.7	29	84	40	78	67	16	19	4.1	3.9	3.1	3.7	86	22	21	14	13	—	—	—	0	12	5
Sept.	9.7	18.0	10.2	12.0	1.2	22	25.8	4	85	44	81	70	18	7	4.3	4.7	4.4	4.5	129	61	21	14	10	1	—	0	11	8
Okt.	5.8	12.2	7.0	8.0	−1.4	3	20.0	9	72	49	68	63	6	19	4.4	4.4	4.4	4.4	135	59	6	12	11	4	—	—	2	12	8
Nov.	3.1	7.9	3.8	4.7	−2.5	8	12.7	5	65	44	59	56	14	12	5.5	5.4	3.8	4.9	53	23	10	8	8	3	—	—	1	7	6
Dez.	0.9	3.9	1.1	1.7	−7.4	10	10.0	20	69	59	72	67	12	20	6.9	6.8	5.5	6.4	93	14	25	13	13	11	—	0	3	12
Jahr	4.9	10.8	5.3	6.6	−14.2	II	29.2	VII	75	49	75	66	6	X	5.1	5.2	4.6	5.0	889	61	IX	140	116	48	—	6	6	101	91

Reichenau.

$\lambda = 8°48'$, $\beta = 46°49'$, $H_b = 604.3^m$, $h_r = 1.0^m$. Beobachter: **Ph. Wittmann.**

Jan.	−6.2	−1.1	−4.8	−4.2	−12.0	16	5.0	27	—	—	—	—	—	—	5.2	4.0	3.9	4.4	5	4	2	2	2	2	—	—	0	9	5
Febr.	−3.5	3.2	−1.6	−0.9	−11.3	1.2	11.2	22	—	—	—	—	—	—	5.6	4.5	4.6	4.9	72	22	25	12	11	11	—	—	0	8	6
März	1.7	9.1	3.4	4.4	−3.3	16	18.2	28	—	—	—	—	—	—	5.6	4.7	5.6	5.3	58	22	2	9	7	6	—	—	0	4	8
April	4.8	12.2	6.5	7.5	−3.2	5	21.1	23	—	—	—	—	—	—	4.9	4.4	5.1	4.8	52	18	30	10	9	2	—	—	0	10	9
Mai	11.3	17.4	11.8	13.1	5.1	2	23.0	30	—	—	—	—	—	—	4.2	3.9	5.1	4.4	34	16	26	12	9	—	—	—	0	10	8
Juni	13.3	19.5	13.3	14.8	8.0	14	25.3	8	—	—	—	—	—	—	5.2	4.3	5.5	5.0	130	51	25	10	10	—	—	—	0	6	9
Juli	17.3	25.1	18.4	19.8	13.3	2	32.0	28	—	—	—	—	—	—	2.1	1.6	3.0	2.2	17	9	2	7	5	—	—	—	0	19	2
Aug.	16.5	24.9	18.0	19.4	12.0	31	29.0	8. 9 10	—	—	—	—	—	—	3.3	2.7	3.4	3.1	75	17	23	13	11	—	—	—	0	15	5
Sept.	12.1	20.0	13.2	14.6	1.3	23	28.0	13	—	—	—	—	—	—	3.7	3.8	3.7	3.7	135	64	21	11	10	2	—	—	0	14	6
Okt.	7.0	14.2	8.1	9.3	1.2	3	20.4	9	—	—	—	—	—	—	4.4	4.3	4.2	4.3	166	70	6	11	11	—	—	—	0	12	7
Nov.	3.5	9.5	4.7	5.6	0.1	20	15.3	22	—	—	—	—	—	—	5.2	4.3	3.8	4.4	57	28	10	8	5	2	—	—	0	7	5
Dez.	0.9	4.5	2.0	2.4	−2.3	17	11.0	20	—	—	—	—	—	—	6.0	6.0	4.7	5.6	147	20	27	15	14	8	—	—	0	6	9
Jahr	6.6	13.2	7.7	8.8	−12.0	I	32.0	VII	—	—	—	—	—	—	4.6	4.0	4.4	4.3	948	70	X	120	104	33	?	?	?	120	79

Ragaz.

$\lambda = 9°29'$, $\beta = 47°1'$, $H_b = 517^m$, $h_r = 0.9^m$. Beobachter: **Bade- und Kuranstalten.**

Jan.	−6.5	−2.0	−5.3	−4.7	−11.7	22	6.1	26	90	80	87	86	55	13	—	—	—	—	21	12	2	2	2	2	—	—	5	—	—
Febr.	−2.6	3.3	−0.4	0.0	−13.3	1	11.0	23	86	64	75	75	35	19	—	—	—	—	87	38	25	9	9	6			1		
März	3.5	9.6	4.8	5.6	−2.6	7.16	22.0	29	72	48	67	62	15	28	—	—	—	—	45	17	2	8	8	4	—	—	0	—	—
April	6.5	12.0	7.4	8.3	−1.5	4	21.0	17.23	72	51	65	63	15	16	—	—	—	—	60	16	29	11	9	4	—	—	0	—	—
Mai	12.8	16.7	12.2	13.5	6.0	1	22.9	13.29	73	57	71	67	25	13	—	—	—	—	37	14	18	11	9	—	—	1	0	—	—
Juni	14.7	19.8	14.2	15.7	6.0	15	25.9	8	75	54	74	68	30	23.24	—	—	—	—	124	45	25	18	12	—	1	1	0	—	—
Juli	19.2	24.7	18.7	20.4	12.0	11	31.0	30	64	50	66	60	30	30	—	—	—	—	36	14	2	6	6			7	0		
Aug.	18.6	24.6	18.7	20.2	13.7	31	28.7	20	70	50	69	63	30	1	—	—	—	—	88	17	30	10	10	—	—	4	0	—	—
Sept.	14.3	20.0	14.7	15.9	3.7	22	27.9	3	76	58	77	70	35	14	—	—	—	—	164	68	21	9	9	—	—	—	0	—	
Okt.	8.7	14.1	9.4	10.4	3.9	14.31	20.8	18	79	61	78	73	20	19	—	—	—	—	145	48	6	12	12	—	—	—	1	—	—
Nov.	5.1	10.0	6.2	6.9	−0.6	8	16.8	22	80	65	75	73	30	12.17 22	—	—	—	—	55	24	10	8	7	—	—	—	3	—	—
Dez.	2.4	5.7	3.2	3.6	−1.3	3.4.19	13.0	20	80	71	79	77	35	7.10 11.20	—	—	—	—	105	17	25	16	15	4	—	—	2	—	—
Jahr	8.1	13.2	8.6	9.6	−13.3	II	31.9	VII	76	59	74	70	15	III IV	—	—	—	—	967	68	IX	120	108	20	1	13	12	—	—

Schwäbrig (bei Gais).

$\lambda = 9°29'$, $\beta = 47°23'$, $H_b = 1152^m$, $h_r = 1.6^m$. Beobachter: **J. Lori. Ch. Küng.**

1911	Luft-Temperatur							Relative Feuchtigkeit						Bewölkung				Niederschlag			Zahl der Tage							
	7^{30}	1^{30}	9^{30}	Mittel	Minimum	Tag	Maximum Tag	7^{30}	1^{30}	9^{30}	Mittel	Minimum	Tag	7^{30}	1^{30}	9^{30}	Mitt.	Summe	Maximum	Tag	●	≧1.0	✶	▲	≡	helle	trübe
Jan.	−5.5	−3.4	−5.1	−4.8	−14.1	31	6.1	27	—	—	—	—	—	—	5.1	4.5	3.7	4.4	18	10	10	4	4	4	—	—	4	12	9
Febr.	−3.5	−1.0	−2.7	−2.5	−12.1	9	7.2	23	—	—	—	—	—	—	6.4	6.7	7.0	6.7	17	4	21	8	8	8	—	1	1	4	13
März	0.4	2.9	0.7	1.2	−7.4	14	15.1	29	—	—	—	—	—	—	6.5	7.5	6.6	6.9	40	14	25	10	10	9	—	—	2	4	15
April	2.1	4.6	2.5	2.9	−8.2	4.5	14.1	22	—	—	—	—	—	—	6.6	7.0	5.8	6.5	94	17	20	11	11	3	—	—	1	8	15
Mai	8.2	10.8	7.9	8.7	2.2	1	17.6	29	—	—	—	—	—	—	8.1	7.8	5.8	7.2	113	33	18	14	14	—	—	2	1	1	13
Juni	11.2	14.1	10.0	11.3	2.9	14	21.3	9	—	—	—	—	—	—	6.1	7.2	5.5	6.3	175	30*	25	16	15	1	—	2	6	5	11
Juli	16.5	20.5	15.5	17.0	8.6	4	27.3	30	—	—	—	—	—	—	2.1	2.7	2.3	2.4	5	1	24	5	2	—	—	2	0	18	3
Aug.	15.7	20.5	15.3	16.7	8.2	31	25.7	29	—	—	—	—	—	—	4.3	3.5	3.7	3.8	91	21	25	11	10	—	—	6	1	14	6
Sept.	11.9	15.3	12.1	12.8	1.2	22	23.4	3	—	—	—	—	—	—	4.7	4.7	4.9	4.8	146	45	21	12	10	1	—	2	5	10	10
Okt.	6.6	9.2	6.6	7.2	−1.2	3	15.6	13	—	—	—	—	—	—	5.5	5.0	5.6	5.4	71	15	25	10	10	6	—	1	8	9	11
Nov.	3.4	5.4	3.3	3.8	−1.4	19	13.4	5	—	—	—	—	—	—	6.2	6.1	5.0	5.8	36	11	10	7	7	5	—	—	1	6	10
Dez.	0.5	2.0	0.8	1.0	−5.1	10	8.2	19.20	—	—	—	—	—	—	7.1	7.1	6.0	6.7	79	10	29	16	16	14	—	—	0	4	13
Jahr	5.6	8.4	5.6	6.3	−14.1	I	27.3	VII	—	—	—	—	—	—	5.7	5.8	5.2	5.6	885	45	IX	124	117	51	—	16	30?	95	129

Ebnat.

$\lambda = 9°8'$, $\beta = 47°16'$, $H_b = 649^m$, $h_r = 1.9^m$. Beobachter: **J. J. Kuratle.**

Jan.	−8.5	−3.5	−6.5	−6.2	−17.9	31	3.5	26	—	—	—	—	—	—	5.7	5.2	5.0	5.3	29	9	10	5	5	5	—	—	2	9	10
Febr.	−3.8	3.0	−1.1	−0.7	−19.4	1	11.0	23	—	—	—	—	—	—	6.2	5.7	7.0	6.3	85	42	25	12	11	9	—	—	1	4	9
März	−0.2	7.6	2.4	3.0	−8.0	27	19.8	29	—	—	—	—	—	—	5.3	6.0	6.0	5.8	71	17	1	9	9	6	—	1	1	5	9
April	3.1	9.6	5.3	5.8	−5.8	5	19.2	19.23	—	—	—	—	—	—	5.9	6.0	6.1	6.0	121	31	29	12	11	4	—	—	0	7	13
Mai	9.2	14.3	10.3	11.0	3.1	1	20.2	29	—	—	—	—	—	—	6.1	6.7	6.6	6.5	148	48	17	14	13	—	1	5	0	2	7
Juni	11.9	18.4	12.2	13.7	5.0	14	23.6	30	—	—	—	—	—	—	5.2	5.9	6.3	5.8	222	38	18	16	15	—	—	2	0	4	5
Juli	15.0	24.4	17.5	18.6	9.1	5	31.6	24	—	—	—	—	—	—	2.5	3.0	3.5	3.0	19	7	2	6	6	—	—	1	0	12	2
Aug.	13.9	24.7	18.0	18.6	9.6	19.27	27.8	29	—	—	—	—	—	—	3.6	3.2	4.2	3.7	110	44	25	8	7	—	—	2	0	12	2
Sept.	9.8	19.2	12.6	13.7	3.8	26	28.4	3	—	—	—	—	—	—	4.5	4.2	4.5	4.4	161	43	15	11	9	—	—	1	1	11	8
Okt.	5.1	11.7	7.6	8.0	−1.2	31	18.8	9	—	—	—	—	—	—	5.5	6.1	6.0	5.9	99	22	25	13	12	—	—	—	1	5	8
Nov.	2.1	8.2	3.3	4.2	−4.1	8	14.0	5	—	—	—	—	—	—	6.6	5.4	5.4	5.8	66	17	6	9	9	1	—	—	3	4	7
Dez.	−0.3	4.1	1.0	1.5	−5.8	3	9.7	21	—	—	—	—	—	—	6.5	7.0	6.6	6.7	144	28	25	15	14	4	—	—	1	3	14
Jahr	4.8	11.8	6.9	7.6	−19.4	II	31.6	VII	—	—	—	—	—	—	5.3	5.4	5.6	5.4	1275	48	V	130	121	29	1	12	10	78	94

Rorschach (Mariaberg).

$\lambda = 9°30'$, $\beta = 47°29'$, $H = 455^m$, $h_r = 1.4^m$. Beobachter: **Seminargärtnerei.**

Jan.	−4.0	−1.7	−3.2	−3.0	−11.3	31	3.6	26	92	85	92	90	62	6	9.9	8.4	7.8	8.7	34	13	10	5	5	5	—	—	18	0	22
Febr.	−0.2	3.1	1.2	1.3	−9.3	1	10.9	23	81	72	72	75	41	22	8.1	7.0	7.4	7.5	38	9	12	7	7	3	—	—	2	1	14
März	2.3	7.9	4.8	4.9	−2.9	16	21.7	29	83	70	75	76	31	29	6.7	6.6	6.8	6.7	46	17	25	11	9	2	—	—	3	2	12
April	5.2	10.9	7.5	7.7	−3.9	5	20.0	25	82	62	70	71	35	16.19	7.2	5.2	6.9	6.4	68	17	3	10	9	2	—	—	2	4	12
Mai	10.8	16.3	12.2	12.9	6.1	1	21.9	13	85	58	82	75	31	28	6.6	5.2	6.8	6.2	62	10	18	16	15	—	—	2	1	2	6
Juni	14.3	18.9	14.6	15.6	6.9	14	24.6	9	76	57	76	70	35	12	5.7	6.4	6.4	6.2	180	27	18	15	15	—	—	2	0	4	9
Juli	18.1	23.9	19.4	20.2	12.4	4	29.5	27	72	48	64	61	35	18	4.5	3.5	4.9	4.3	23	17	2	3	3	—	1	1	0	5	4
Aug.	18.3	24.3	19.4	20.4	12.9	31	28.2	8.9	78	49	67	65	29	1	4.3	3.1	3.9	3.8	84	23	30	10	9	—	—	3	2	14	4
Sept.	13.2	18.2	15.0	15.3	6.7	23	26.2	13	91	64	80	78	39	18	6.1	5.2	4.3	5.2	129	29	15	9	9	—	—	1	2	7	9
Okt.	7.2	11.0	8.5	8.8	0.5	31	18.2	9	95	79	91	88	48	30	8.7	7.7	6.8	7.7	50	12	9	14	11	—	—	1	13	0	16
Nov.	4.7	7.6	5.3	5.7	1.1	8	17.8	22	92	78	88	86	34	22	8.4	7.1	6.6	7.4	53	15	10	7	7	—	—	—	9	3	15
Dez.	2.4	4.2	2.6	3.0	−1.7	13	8.4	20	89	82	86	86	61	9.15 20.21	8.5	8.4	7.1	8.0	69	9	23	16	14	1	—	—	10	1	14
Jahr	7.7	12.1	8.9	9.4	−11.3	I	29.5	VII	85	67	79	77	29	VIII	7.1	6.1	6.3	6.5	836	29	IX	123	113	13	1	10	62	43	137

Auen (Linthal).

$\lambda = 8°59'$, $\beta = 46°54'$, $H_b = 821^m$, $h_r = 1.5^m$. Beobachter: **L. Curt.**

Jan.	−5.6	−2.5	−4.8	−4.4	−13.6	16	4.3	27	—	—	—	—	—	—	3.7	3.4	4.3	3.8	16	9	2	4	4	4	—	—	6	14	6
Febr.	−3.1	1.1	−1.6	−1.3	−10.9	1	7.6	19	—	—	—	—	—	—	5.6	5.5	6.1	5.7	126	53	25	11	10	10	—	—	2	4	8
März	1.4	6.6	2.5	3.3	−6.6	16	16.2	29	—	—	—	—	—	—	5.8	5.7	5.6	5.7	140	60	2	12	10	10	—	—	3	6	11
April	4.4	9.0	5.1	5.9	−4.9	5	17.0	22.23 25	—	—	—	—	—	—	5.8	5.8	6.2	5.9	104	16	29	12	12	5	—	—	1	8	14
Mai	9.4	14.6	10.3	11.2	3.4	1	20.2	29	—	—	—	—	—	—	6.5	7.0	7.7	7.1	86	26	18	18	15	—	1	4	0	2	12
Juni	12.1	17.2	11.9	13.3	4.5	14	23.9	8	—	—	—	—	—	—	6.2	6.5	6.2	6.3	181	50	25	15	14	—	2	3	0	4	8
Juli	16.5	22.2	17.0	18.2	11.4	11	28.4	30	—	—	—	—	—	—	3.0	4.4	3.2	3.5	68	18	13	13	10	—	—	5	0	13	5
Aug.	15.4	22.7	17.0	18.0	11.1	31	26.6	20	—	—	—	—	—	—	3.9	4.2	3.2	3.8	108	27	3	11	10	—	—	8	0	13	5
Sept.	11.6	18.0	13.3	14.0	2.4	23	26.3	4	—	—	—	—	—	—	4.7	4.7	4.0	4.5	141	34	21	12	9	2	—	—	0	11	8
Okt.	6.4	11.6	7.4	8.2	−1.5	3	17.4	19	—	—	—	—	—	—	4.6	4.2	5.1	4.6	171	42	1	13	13	3	—	—	2	10	8
Nov.	3.9	7.8	4.8	5.3	−3.0	30	15.6	22	—	—	—	—	—	—	5.0	5.8	3.7	4.8	57	16	10	11	10	2	—	—	3	7	6
Dez.	0.9	3.9	2.0	2.2	−5.0	10	12.6	20	—	—	—	—	—	—	6.1	6.4	5.4	6.0	183	35	23	15	15	8	—	1	4	5	10
Jahr	6.1	11.0	7.1	7.8	−13.6	I	28.4	VII	—	—	—	—	—	—	5.1	5.3	5.1	5.2	1381	60	III	147	132	44	3	21	21	97	101

Weggis.

$\lambda = 8°26'$, $\beta = 47°2'$, $H_b = 450^m$, $h_r = 1.9^m$. Beobachter: **J. Næf.**

1911	Luft-Temperatur 7^{30}	1^{30}	9^{30}	Mittel	Minimum	Tag	Maximum	Tag	Relative Feuchtigkeit 7^{30}	1^{30}	9^{30}	Mittel	Minimum	Tag	Bewölkung 7^{30}	1^{30}	9^{30}	Mitt.	Niederschlag Summe	Maximum	Tag	Zahl der Tage ●	●*	✱	▲	K	≡	heiter	trübe
Jan.	−2.8	−0.9	−2.4	−2.1	−7.4	31	3.2	26	98	95	98	97	80	13	8.5	8.6	8.3	8.5	34	13	10	4	4	4	—	—	2	1	22
Febr.	0.6	3.9	1.4	1.8	−7.8	1	11.4	17	89	81	88	86	42	19	8.4	6.0	6.5	7.0	46	11	12	11	8	5	—	1	0	0	11
März	3.5	8.0	4.5	5.1	−1.4	26	16.9	30	88	75	85	83	45	29	6.5	6.5	5.6	6.2	82	29	25	11	9	4	—	1	0	3	10
April	6.5	10.5	6.7	7.6	−2.8	5	18.0	23.25	86	74	85	82	52	14	5.7	5.7	4.8	5.4	84	26	3	14	11	5	—	2	0	9	11
Mai	12.3	16.6	11.9	13.2	5.8	1	22.1	30	88	74	88	83	47	2	7.2	6.3	5.7	6.4	115	40	18	12	12	—	—	2	1	2	10
Juni	14.5	19.4	14.6	15.8	7.7	14	23.8	5	88	73	87	83	51	6	5.8	5.7	6.8	6.1	159	32	25	17	16	—	1	7	0	5	10
Juli	18.1	23.9	19.3	20.1	13.8	4	28.9	24	83	69	80	77	52	11	2.4	2.9	3.2	2.8	35	11	16	10	8	—	—	7	0	17	2
Aug.	17.7	24.4	19.2	20.1	13.7	31	28.7	1	85	65	79	76	37	1	3.1	3.3	3.6	3.3	84	33	25	11	9	—	—	7	0	15	3
Sept.	14.2	19.0	15.5	16.1	7.0	23	25.4	10	91	78	83	84	46	10	5.3	4.4	4.6	4.8	135	32	15	10	9	—	—	1	0	7	10
Okt.	8.6	11.8	8.8	9.5	2.4	31	16.0	23	92	85	94	91	61	23	7.9	6.4	5.8	6.7	67	22	9	14	12	—	—	1	1	2	12
Nov.	5.4	8.4	5.9	6.4	2.6	7	15.0	22	92	83	90	88	56	19	8.1	6.6	7.3	7.3	46	14	13	10	8	—	—	—	2	1	14
Dez.	3.2	4.9	3.3	3.7	−1.2	17	9.8	27	89	88	91	89	64	23	7.9	8.7	8.2	8.3	74	17	25	14	12	—	—	—	1	0	17
Jahr	8.5	12.5	9.1	9.8	−7.8	II	28.9	VII	89	78	87	85	37	VIII	6.4	5.9	5.9	6.1	961	40	V	138	118	18	1	29	7	62	132

Vitznau.

$\lambda = 8°29'$, $\beta = 47°1'$, $H_b = 440^m$, $h_r = 1.5^m$. Beobachter: **E. Bärri.**

1911	Luft-Temperatur 7^{30}	1^{30}	9^{30}	Mittel	Minimum	Tag	Maximum	Tag	Relative Feuchtigkeit 7^{30}	1^{30}	9^{30}	Mittel	Minimum	Tag	Bewölkung 7^{30}	1^{30}	9^{30}	Mitt.	Niederschlag Summe	Maximum	Tag	Zahl der Tage ●	●*	✱	▲	K	≡	heiter	trübe
Jan.	−2.8	−1.0	−2.4	−2.2	−6.0	31	3.1	26	92	86	89	89	60	31	8.0	8.2	8.4	8.2	49	16	10	5	5	5	—	—	2	1	22
Febr.	0.0	3.6	0.5	1.1	−8.3	1	10.9	19	81	69	82	77	30	19.27	7.9	5.7	4.6	6.1	54	12	2	10	7	6	—	—	0	1	8
März	2.7	7.7	5.0	5.1	−2.2	16	20.6	29	88	74	76	79	20	20	6.1	6.3	5.3	5.9	88	25	3	11	10	6	—	—	0	3	9
April	4.8	11.0	6.8	7.4	−1.5	5	20.2	23	80	67	76	74	10	18	5.1	5.2	5.0	5.1	83	19	29	14	11	6	—	1	0	9	10
Mai	10.5	16.9	11.8	12.8	5.0	3	23.9	30	93	81	87	87	40	23	6.7	5.9	5.8	6.1	123	51	18	14	11	—	—	5	0	4	8
Juni	13.4	19.8	14.5	15.6	6.8	14	26.2	5	90	71	84	82	35	6	5.5	5.5	6.3	5.8	178	31	25	16	14	—	—	5	0	6	7
Juli	16.6	24.7	18.8	19.7	11.4	11	30.4	24	—	—	—	—	—	—	2.1	2.3	2.7	2.4	72	28	14	8	7	—	1	7	0	18	2
Aug.	16.4	25.0	18.9	19.8	12.2	31	28.8	20	—	—	—	—	—	—	2.9	2.2	3.0	2.7	76	22	25	11	9	—	—	4	0	16	1
Sept.	13.6	19.5	14.9	15.7	6.6	23	26.4	9	—	—	—	—	—	—	4.3	3.5	3.8	3.9	143	35	15	10	9	—	—	—	1	15	9
Okt.	7.7	11.5	8.4	9.0	1.1	3	16.2	16	—	—	—	—	—	—	7.6	5.6	5.8	6.3	78	26	9	11	9	—	—	1	1	4	10
Nov.	5.3	8.1	5.7	6.1	1.4	12	17.8	22	—	—	—	—	—	—	7.7	7.0	5.8	6.8	52	14	5	8	8	—	—	—	0	4	13
Dez.	2.8	4.9	3.3	3.6	−1.1	10.17	10.0	27	—	—	—	—	—	—	8.0	7.4	6.9	7.4	76	14	25	15	12	—	—	—	0	1	14
Jahr	7.6	12.6	8.9	9.5	−8.3	II	30.4	VII	—	—	—	—	—	—	6.0	5.4	5.3	5.6	1072	51	V	133	112	23	1	23	4	82	113

Gersau.

$\lambda = 8°31'$, $\beta = 46°59'$, $H_b = 442^m$, $h_r = 3.0^m$. Beobachter: **A. Müller.**

1911	Luft-Temperatur 7^{30}	1^{30}	9^{30}	Mittel	Minimum	Tag	Maximum	Tag	Relative Feuchtigkeit 7^{30}	1^{30}	9^{30}	Mittel	Minimum	Tag	Bewölkung 7^{30}	1^{30}	9^{30}	Mitt.	Niederschlag Summe	Maximum	Tag	Zahl der Tage ●	●*	✱	▲	K	≡	heiter	trübe
Jan.	−2.5	−0.8	−1.9	−1.8	−6.3	31	3.0	26	86	81	84	84	61	30	8.8	8.1	7.7	8.2	39	12	10	5	4	5	—	—	0	2	22
Febr.	0.4	3.6	1.8	1.9	−6.5	1	10.4	19	79	66	75	73	35	27	7.0	6.8	6.3	6.7	59	14	25	11	10	5	—	—	0	2	11
März	3.7	7.8	5.9	5.8	−0.8	16	18.0	29	80	63	68	70	21	29	5.5	6.4	6.7	6.2	113	31	3	12	12	6	—	—	0	5	12
April	6.2	10.2	7.6	7.9	−2.5	5	17.9	23	73	62	69	68	32	18	4.9	5.0	5.3	5.1	92	22	3	13	12	4	—	—	0	12	10
Mai	11.7	16.6	12.8	13.5	7.1	1	22.0	30	81	61	73	72	45	13	6.6	6.5	5.7	6.3	77	30	17	13	11	—	—	1	0	3	11
Juni	15.0	19.3	15.2	16.2	7.3	14	23.4	8.18.30	75	59	73	69	35	30	5.6	5.6	5.9	5.7	224	40	25	17	16	—	—	4	0	5	9
Juli	18.5	23.9	20.1	20.7	14.5	4	29.0	24	72	57	64	64	46	18	1.9	2.5	3.5	2.6	48	11	14	10	8	—	1	4	0	18	5
Aug.	18.1	24.0	20.6	20.8	14.3	26	27.3	1	75	57	62	65	37	1	3.1	2.2	2.9	2.7	57	14	30	12	10	—	—	2	0	17	2
Sept.	15.0	18.9	16.4	16.7	7.3	23	25.0	5	80	68	72	73	51	9.10	3.5	3.4	4.5	3.8	152	30	15	11	9	—	—	—	0	14	9
Okt.	8.9	12.1	9.5	10.0	3.3	31	16.1	27	86	73	84	81	37	27	7.1	5.4	5.6	6.0	152	53	1	14	12	—	—	1	0	3	10
Nov.	5.8	8.6	6.5	6.8	1.8	8	16.3	22	85	76	85	82	33	22	7.6	5.4	7.1	6.7	70	14	13	12	10	—	—	—	0	1	12
Dez.	3.6	5.2	3.8	4.1	0.6	19	9.9	27	84	80	84	83	45	22	7.6	7.3	7.9	7.6	94	18	25	18	14	—	—	—	2	1	16
Jahr	8.9	12.4	9.9	10.2	−6.5	II	29.0	VII	80	67	74	74	21	III	5.8	5.4	5.8	5.6	1177	53	X	148	128	20	1	12	2	83	129

Gurtnellen.

$\lambda = 8°37'$, $\beta = 46°44'$, $H_b = 742^m$, $h_r = 1.5^m$. Beobachter: **J. Baumer.**

1911	Luft-Temperatur 7^{30}	1^{30}	9^{30}	Mittel	Minimum	Tag	Maximum	Tag	Relative Feuchtigkeit 7^{30}	1^{30}	9^{30}	Mittel	Minimum	Tag	Bewölkung 7^{30}	1^{30}	9^{30}	Mitt.	Niederschlag Summe	Maximum	Tag	Zahl der Tage ●	●*	✱	▲	K	≡	heiter	trübe
Jan.	−5.0	−2.6	−4.3	−4.1	−9.0	31	−0.6	6.12.18	75	69	77	74	47	11	4.8	5.3	3.8	4.6	13	6	9	5	3	5	—	—	6	9	10
Febr.	−2.2	1.8	−0.9	−0.5	−10.4	1	10.2	23	72	55	69	65	33	28	4.9	5.4	4.2	4.8	65	34	25	10	9	9	—	—	0	8	5
März	3.4	7.2	4.0	4.7	−3.0	16	17.1	29	59	46	61	55	26	29	6.5	6.1	5.9	6.2	126	47	3	9	8	7	—	—	1	3	10
April	4.0	9.5	5.8	6.4	−4.1	5	19.0	23	66	49	63	59	22	15	5.6	5.4	4.8	5.3	58	13	26	11	9	4	—	—	0	11	11
Mai	10.5	15.1	11.9	12.3	4.7	9	26.7	15	68	45	62	58	25	11	7.1	7.5	6.7	7.1	39	15	18	10	8	—	—	—	0	3	14
Juni	12.5	18.2	14.1	14.8	6.1	14	27.4	18	67	44	61	57	14	20	6.0	6.6	6.5	6.4	142	48	25	13	12	—	—	2	0	6	10
Juli	15.7	23.0	18.6	19.0	11.2	6.12	28.3	29	61	43	58	54	30	23.29.30	3.1	4.0	3.9	3.7	39	21	2	6	5	—	—	1	0	12	4
Aug.	16.2	23.4	18.7	19.3	11.3	27	27.6	20	62	39	57	53	23	1	3.7	4.1	3.2	3.7	66	19	23	11	9	—	—	—	0	14	4
Sept.	13.5	18.9	15.0	15.6	6.0	23	27.7	13	63	49	61	58	28	13	5.4	4.4	3.8	4.5	114	31	21	11	10	—	—	—	0	10	7
Okt.	8.8	12.6	9.8	10.2	2.4	3	21.2	9	60	52	63	58	17	19	5.2	5.6	5.1	5.3	131	56	6	12	12	—	—	—	1	9	10
Nov.	5.4	8.6	6.4	6.7	0.0	8	13.6	17.22	65	54	61	60	19	12	5.4	4.6	3.8	4.6	70	22	23	10	9	—	—	—	1	8	6
Dez.	3.1	4.2	3.3	3.5	−2.9	2	10.9	15	58	58	58	58	20	20	6.1	7.5	5.0	6.2	104	21	21	12	12	6	—	—	2	4	11
Jahr	7.2	11.7	8.5	9.0	−10.4	II	28.3	VII	65	50	63	59	14	VI	5.3	5.5	4.7	5.2	967	56	X	120	106	31	—	3	11	97	102

Andermatt.*)

$\lambda = 8°35'$, $\beta = 46°38'$, $H_b = 1442^m$, $h_r = 0.8^m$. Beobachter: P. **H. Zehnder.**

1911	Luft-Temperatur							Relative Feuchtigkeit						Bewölkung				Niederschlag		Zahl der Tage							
	7^{30}	1^{30}	9^{30}	Mittel	Minimum	Tag	Maximum Tag	7^{30}	1^{30}	9^{30}	Mittel	Minimum	Tag	7^{30}	1^{30}	9^{30}	Mitt.	Summe	Maximum Tag	● *	●* ≧1.0	*	▲	K	≡	hell	trüb
Jan.	−11.0	−4.9	−8.8	−8.3	−18.0	1	1.2 20	—	—	—	—	—	—	2.9	2.9	3.2	3.0	17	9 1	2	2	2	—	—	1	17	6
Febr.	−8.9	−1.4	−5.6	−5.5	−18.3	1.2	8.0 22	—	—	—	—	—	—	5.0	4.8	4.9	4.9	112	36 25	12	11	12	—	—	7	7	6
März	−2.8	1.9	−2.3	−1.3	−12.0	8	8.5 22	—	—	—	—	—	—	8.1	6.0	7.2	7.1	192	58 3	14	12	14	—	—	5	2	15
April	−1.6	4.3	0.2	0.6	−10.0	9	14.1 23	—	—	—	—	—	—	5.4	5.4	5.5	5.4	61	11 26	16	14	13	—	—	5	8	10
Mai	5.1	9.4	6.3	6.6	−1.2	3	15.0 31	—	—	—	—	—	—	7.0	6.9	7.9	7.3	78	34 18	12	9	2	—	—	6	3	17
Juni	8.0	13.2	8.4	9.4	0.2	14	19.3 9	—	—	—	—	—	—	6.4	6.2	7.1	6.6	153	58 25	13	12	3	—	3	5	2	14
Juli	11.1	18.7	12.4	13.6	6.0	10	28.2 27	—	—	—	—	—	—	3.0	4.1	4.6	3.9	17	7 15	4	4	—	—	1	3	8	4
Aug.	10.5	18.9	12.5	13.6	3.2	18	24.0 20	—	—	—	—	—	—	3.6	3.7	4.7	4.0	90	40 23	11	10	—	—	1	2	12	5
Sept.	6.7	14.1	8.7	9.5	−1.2	24	22.2 9	—	—	—	—	—	—	4.7	4.6	5.1	4.8	135	34 22	11	10	4	—	—	2	9	7
Okt.	2.2	8.5	4.4	4.8	−7.4	3	15.3 9.13	—	—	—	—	—	—	4.6	5.4	4.5	4.8	177	64 6	14	13	5	—	—	5	11	8
Nov.	−0.5	3.4	0.2	0.8	−5.2	20	7.4 4	—	—	—	—	—	—	5.2	5.0	4.4	4.9	121	46 23	11	11	6	—	—	1	10	10
Dez.	−2.9	−0.3	−2.3	−1.9	−11.5	17	7.0 19	—	—	—	—	—	—	6.3	6.7	6.3	6.4	132	16 27	13	13	12	—	—	1	6	13
Jahr	1.3	7.2	2.8	3.5	−18.3	II	28.2 VII	—	—	—	—	—	—	5.2	5.2	5.5	5.3	1285	64 X	133	121	73	—	5	43	95	115

*) Andermatt. Die Abendbeobachtung geschieht um 8^{30}.

Muri.*)

$\lambda = 8°20'$, $\beta = 47°16'$, $H_b = 483^m$, $h_r = 0.9^m$. Beobachter: **T. Ruepp. A. Müller.**

Jan.	−5.4	−2.5	−5.0	−4.5	−12.0	17	2.0 26	95	83	92	90	50	31	9.3	8.7	6.5	8.2	25	9 13	5	5	5	—	—	11	2	19
Febr.	−1.5	3.1	0.2	0.5	−12.4	1	11.3 23	84	65	78	76	28	17	8.0	7.8	6.0	7.3	60	16 25	10	10	5	—	—	4	2	13
März	1.2	8.1	3.6	4.1	−3.3	27	21.0 29	91	63	76	77	40	21.30	6.8	8.0	5.7	6.8	54	15 25	7	7	4	—	1	2	2	14
April	4.5	11.2	6.6	7.2	−4.0	5	22.0 23	88	72	75	78	28	17	6.5	6.8	5.9	6.4	26	5 2	10	8	2	—	—	0	7	14
Mai	10.6	17.3	12.1	13.0	2.1	2	23.4 31	90	66	85	80	44	22	6.8	6.2	6.5	6.5	121	52 17	16	11	—	—	7	1	2	9
Juni	13.9	19.3	14.0	15.3	7.8	14	27.0 8	81	62	84	76	38	7	5.8	5.8	6.2	5.9	134	30 3	15	14	—	1	3	0	6	9
Juli	16.9	25.5	18.9	20.1	10.4	4	32.0 24	82	50	75	69	38	29	1.9	1.6	2.1	1.9	23	13 31	4	3	—	—	4	0	22	2
Aug.	17.2	25.2	19.2	20.2	11.1	27	30.0 20	85	51	72	69	30	1	3.5	3.6	3.3	3.5	55	13 30	7	7	—	—	5	0	14	2
Sept.	12.6	20.2	14.2	15.3	6.0	19	29.9 3	88	61	84	78	35	13	5.4	4.2	4.4	4.7	88	17 21	11	10	—	—	—	0	11	10
Okt.	6.7	11.2	8.0	8.5	−1.0	31	16.8 7	95	79	95	90	50	26	9.2	7.1	7.6	8.0	48	17 27	6	6	—	—	—	10	1	18
Nov.	3.7	7.4	4.4	5.0	−3.8	8	15.0 5	94	82	91	89	42	5	9.6	8.0	7.5	8.4	62	9 13	10	10	—	—	—	12	0	21
Dez.	1.3	3.7	1.9	2.2	−4.0	18	10.0 21	94	84	93	90	50	24	9.5	9.1	8.4	9.0	77	12 21	12	11	—	—	—	9	0	23
Jahr	6.8	12.5	8.2	8.9	−12.4	II	32.0 VII	89	68	83	80	28	II.IV	6.9	6.4	5.8	6.4	773	52 V	113	102	16	1	20	49	69	154

*) Muri. Am 4. Juni Beobachterwechsel und Translokation der Station in die früheren (bis September 1904 benutzten) Lokalitäten.

Baden.

$\lambda = 8°19'$, $\beta = 47°22'$, $H_b = 381^m$, $h_r = 9.6^m$. Beobachter: **F. J. Hitz.**

Jan.	−4.3	−2.6	−3.8	−3.6	−11.5	18	3.6 20	—	—	—	—	—	—	7.3	6.7	5.8	6.6	25	7 2	6	6	5	—	—	11	6	16
Febr.	−1.4	2.9	0.9	0.8	−13.3	10	10.5 23	—	—	—	—	—	—	5.9	5.1	5.8	5.6	64	19 25	8	8	2	—	—	5	5	8
März	1.0	7.5	3.9	4.1	−2.9	27	17.3 29	—	—	—	—	—	—	5.5	6.1	4.9	5.5	61	21 2	8	7	2	1	2	7	7	10
April	4.3	11.2	7.4	7.6	−4.1	5	22.1 23	—	—	—	—	—	—	5.2	5.7	5.5	5.5	20	5 27	7	7	—	—	—	0	9	11
Mai	9.9	16.6	12.0	12.6	2.7	2	22.0 29.30	—	—	—	—	—	—	7.0	6.5	6.5	6.7	102	25 17	13	13	—	—	4	4	4	12
Juni	12.3	18.8	14.4	15.0	7.3	14	25.1 7	—	—	—	—	—	—	5.1	5.8	5.5	5.5	96	26 13	13	13	—	—	3	3	8	10
Juli	15.8	25.9	19.7	20.2	10.9	17	32.1 28	—	—	—	—	—	—	1.3	1.6	1.6	1.5	8	4 28	3	3	—	—	3	2	23	2
Aug.	14.8	25.9	19.4	19.9	9.6	19	32.5 11	—	—	—	—	—	—	2.8	2.7	2.3	2.6	35	16 30	4	4	—	—	4	1	17	2
Sept.	11.7	20.1	14.9	15.4	6.1	19	29.2 3	—	—	—	—	—	—	4.7	4.4	4.5	4.5	91	25 23	10	9	—	—	1	8	12	10
Okt.	7.4	11.1	8.8	9.0	1.5	3.31	17.4 15	—	—	—	—	—	—	8.7	7.3	6.6	7.5	55	19 27	12	9	—	—	—	12	3	19
Nov.	3.9	6.9	4.8	5.1	−1.4	8	15.3 22	—	—	—	—	—	—	8.5	7.2	7.3	7.7	66	20 5	9	8	—	—	—	9	3	21
Dez.	1.8	3.9	2.7	2.8	−3.1	19	8.1 21.29	—	—	—	—	—	—	9.5	9.2	9.5	9.4	100	29 15	11	10	—	—	—	12	0	29
Jahr	6.4	12.4	8.8	9.1	−13.3	II	32.5 VIII	—	—	—	—	—	—	6.0	5.7	5.5	5.7	723	29 XII	104	97	9	1	17	74	97	150

Albishorn.

$\lambda = 8°30'$, $\beta = 47°17'$, $H = 915^m$, $h_r = 1.5^m$. Beobachter: **H. Meier.**

Jan.	−5.6	−4.2	−5.3	−5.1	−12.2	31	1.4 22	85	81	83	83	55	22	6.7	7.1	4.3	6.0	24	9 9	5	4	5	—	—	?	7	12
Febr.	−3.3	−0.5	−2.0	−2.0	−14.4	1	6.1 23	83	70	80	78	37	17	7.9	7.0	5.2	6.7	39	13 25	11	10	8	—	—	?	2	11
März	1.0	4.6	1.6	2.2	−4.4	27	16.2 29	76	62	73	70	32	29	6.1	7.1	5.0	6.1	49	22 25	6	6	5	—	—	?	5	9
April	3.4	7.2	4.0	4.7	−8.0	5	18.3 23	74	61	71	69	32	15	6.2	6.5	5.0	5.9	49	14 30	8	8	2	—	—	?	8	11
Mai	9.2	13.7	9.4	10.4	3.1	1.8	20.1 30	79	56	75	70	42	23.24 28	6.6	7.1	5.6	6.4	63	19 18	12	10	—	—	—	?	3	9
Juni	12.1	16.1	11.4	12.8	3.3	14	23.3 30	76	58	73	69	33	29	5.9	6.9	5.9	6.2	152	30 25	14	14	—	—	—	?	5	11
Juli	16.8	22.3	17.3	18.4	9.2	4	28.3 24.30	63	45	57	55	35	18.19 30	2.0	2.7	3.3	2.7	15	6 13	5	4	—	—	—	?	17	3
Aug.	17.6	22.8	17.6	18.9	10.4	31	26.1 4.6	63	44	56	54	28	1	3.2	4.1	2.8	3.4	58	18 25	9	8	—	—	1	?	15	4
Sept.	12.9	16.6	13.5	14.1	4.2	22	25.1 9	71	61	67	66	35	9	5.0	5.6	4.0	4.9	109	17 22	10	9	—	—	—	?	10	9
Okt.	6.3	9.1	7.0	7.4	1.1	3	15.4 19	83	74	83	80	45	19	6.5	7.0	4.8	6.1	50	11 9	12	12	1	—	1	?	6	11
Nov.	3.0	5.5	4.5	4.4	0.2	8	14.1 22	80	73	75	76	31	22	6.7	7.8	4.4	6.3	51	11 5	9	9	?	—	—	?	3	10
Dez.	1.1	2.3	1.3	1.5	−2.4	3	7.0 19	77	74	79	77	34	18	7.2	7.9	5.9	7.0	57	12 11	10	10	?	—	—	?	3	15
Jahr	6.2	9.6	6.7	7.3	−14.4	II	28.3 VII	76	63	73	71	28	VIII	5.8	6.4	4.7	5.6	716	30 VI	111	104	?	—	?	?	84	115

$\lambda = 7°44'$, $\beta = 47°29'$, $H_b = 325^m$, $h_r = 1.5^m$.

Liestal.

Beobachter: **H. Pfaff.**

1911	Luft-Temperatur								Relative Feuchtigkeit						Bewölkung				Niederschlag			Zahl der Tage							
	7^{30}	1^{30}	9^{30}	Mittel	Minimum	Tag	Maximum	Tag	7^{30}	1^{30}	9^{30}	Mittel	Minimum	Tag	7^{30}	1^{30}	9^{30}	Mittel	Summe	Maximum	Tag	●	●*	✱	▲	⟨	≡	hell	trüb
Jan.	−5.1	−0.6	−4.0	−3.4	−13.8	15	3.7	26	99	96	99	98	82	29	7.0	5.9	5.4	6.1	30	14	9	6	5	6	—	—	3	8	13
Febr.	−1.1	4.5	0.9	1.3	−11.0	1	13.1	23	92	80	92	88	46	17	7.3	6.6	6.2	6.7	47	16	25	12	7	6	—	—	1	3	11
März	1.5	9.5	4.1	4.8	−4.4	27	19.1	21	93	71	88	84	51	19	7.0	6.7	5.7	6.5	36	12	25	7	6	3	—	1	2	4	10
April	5.0	12.5	6.3	7.5	−3.4	10	24.4	22	90	61	85	78	27	17	6.0	6.3	5.4	5.9	24	4	30	13	8	4	—	3	2	9	13
Mai	11.4	18.4	11.9	13.4	4.6	7	24.2	30	91	67	91	83	46	24	6.9	6.5	6.9	6.8	97	26	18	15	13	—	—	7	2	3	14
Juni	14.2	20.1	13.7	15.4	7.6	14	28.2	7	87	67	93	82	43	7	5.3	6.5	6.2	6.0	138	32	13	18	14	—	1	6	0	7	11
Juli	18.3	28.6	17.8	20.6	10.3	4	37.0	29	83	61	87	77	32	23	2.2	3.0	2.3	2.5	13	6	31	3	3	—	1	5	0	18	1
Aug.	17.3	28.6	17.9	20.4	11.6	18	34.4	10	85	48	82	72	29	19	3.0	2.9	2.7	2.9	53	13	21	7	7	—	—	9	0	17	3
Sept.	12.0	22.8	14.0	15.7	5.8	19	32.8	9	93	63	89	82	33	9	4.9	4.1	4.5	4.5	81	15	23	10	9	—	—	—	0	13	8
Okt.	6.8	13.6	8.0	9.1	−1.7	31	21.1	21	95	79	96	90	50	26	7.9	6.1	5.9	6.6	87	24	9	13	10	—	—	2	6	2	11
Nov.	3.1	8.7	4.4	5.1	−2.8	8	13.0	15	96	82	96	91	54	20	8.0	7.0	7.0	7.3	78	22	9	15	13	—	—	—	9	1	14
Dez.	2.2	5.9	3.1	3.6	−3.1	3	13.1	21	94	82	90	89	45	21	7.1	8.0	6.7	7.3	69	11	24	17	15	2	—	—	1	3	15
Jahr	7.1	14.4	8.2	9.5	−13.8	I	37.0	VII	92	71	91	85	27	IV	6.1	5.8	5.4	5.8	753	32	VI	136	110	21	2	33	26	88	124

$\lambda = 7°54'$, $\beta = 47°21'$, $H =$ ca. 400^m, $h_r = 1.5^m$.

Olten.

Beobachter: **J. Näf.**

1911	Luft-Temperatur								Relative Feuchtigkeit						Bewölkung				Niederschlag			Zahl der Tage							
	7^{30}	1^{30}	9^{30}	Mittel	Minimum	Tag	Maximum	Tag	7^{30}	1^{30}	9^{30}	Mittel	Minimum	Tag	7^{30}	1^{30}	9^{30}	Mittel	Summe	Maximum	Tag	●	●*	✱	▲	⟨	≡	hell	trüb
Jan.	−4.5	−1.8	−3.7	−3.4	−11.2	17	2.0	20	—	—	—	—	—	—	9.7	7.2	8.4	8.4	26	11	9	5	4	5	—	—	17	1	23
Febr.	−1.9	3.1	0.4	0.5	−13.2	10	10.0	23	—	—	—	—	—	—	7.5	6.4	6.3	6.7	68	23	25	12	11	9	—	—	4	3	13
März	1.0	8.5	3.7	4.2	−5.0	27	16.0	31	—	—	—	—	—	—	8.0	6.9	6.1	7.0	57	17	25	11	7	7	—	2	8	3	12
April	4.9	11.6	6.6	7.4	−3.0	5	23.0	23	—	—	—	—	—	—	6.0	6.3	5.7	6.0	26	8	28	10	7	2	—	1	0	9	15
Mai	11.8	17.8	12.7	13.8	3.4	2	24.0	31	—	—	—	—	—	—	8.1	7.1	7.5	7.6	96	23	18	16	11	—	1	5	5	2	17
Juni	14.6	19.4	14.5	15.8	7.0	14	26.4	8	—	—	—	—	—	—	5.4	6.2	6.6	6.1	146	33	19	16	15	—	1	8	1	6	11
Juli	18.8	26.4	18.7	20.6	13.0	4	32.8	23	—	—	—	—	—	—	1.8	2.8	2.1	2.2	12	4	15	5	4	—	—	4	0	19	2
Aug.	17.6	26.5	19.0	20.5	13.0	17	30.6	8	—	—	—	—	—	—	4.3	3.8	3.1	3.7	54	14	21	12	11	—	—	8	1	13	4
Sept.	12.7	21.5	14.7	15.9	6.0	19	30.0	9	—	—	—	—	—	—	5.9	4.8	5.0	5.2	102	20	23	11	11	—	—	1	4	11	11
Okt.	7.6	[illegible]	8.8	[illegible]	1.4	3	18.2	15							9.5	6.5	6.9	7.6	74	18	27	17	14			1	12	1	[illegible]
Nov.	4.1	7.9	4.9	5.5	−1.2	8	12.0	6.22	—	—	—	—	—	—	9.3	7.7	8.6	8.5	59	10	18	11	10	—	—	—	12	1	21
Dez.	1.8	4.6	2.6	2.9	−1.8	24	9.8	21	—	—	—	—	—	—	9.8	8.9	9.5	9.4	123	22	22	18	14	2	—	—	12	0	28
Jahr	7.4	13.1	8.6	9.4	−13.2	II	32.8	VII	—	—	—	—	—	—	7.1	6.2	6.3	6.5	843	33	VI	144	119	25	2	30	76	69	176

$\lambda = 8°10'$, $\beta = 46°48'$, $H =$ [illegible], $h_r = 1.5^m$.

Lungern.

Beobachter: **J. Renggli.**

1911	Luft-Temperatur								Relative Feuchtigkeit						Bewölkung				Niederschlag			Zahl der Tage							
	7^{30}	1^{30}	9^{30}	Mittel	Minimum	Tag	Maximum	Tag	7^{30}	1^{30}	9^{30}	Mittel	Minimum	Tag	7^{30}	1^{30}	9^{30}	Mittel	Summe	Maximum	Tag	●	●*	✱	▲	⟨	≡	hell	trüb
Jan.	−6.4	−3.0	−6.0	−5.3	−11.0	31	1.5	26	98	86	96	93	68	12	6.8	6.5	6.5	6.6	27	12	2	6	6	6	—	—	12	5	15
Febr.	−2.5	2.5	−1.0	−0.5	−14.0	1	9.2	23	88	65	84	79	32	17	6.6	6.4	6.9	6.6	115	57	25	11	10	8	—	—	2	2	12
März	1.7	8.0	3.4	4.1	−3.8	7.16	17.6	29	88	56	85	76	29	29	7.8	7.5	7.1	7.5	114	39	25	10	9	7	—	—	4	0	16
April	3.8	9.5	5.0	5.8	−5.6	5	19.2	23	88	64	85	79	29	16	6.5	6.5	6.1	6.4	72	19	29	14	12	5	—	—	0	5	11
Mai	9.4	15.2	10.6	11.5	3.2	2	20.6	29	89	64	90	81	35	13	7.4	7.8	6.9	7.4	123	63	18	14	13	—	1	2	0	0	14
Juni	12.7	18.4	12.7	14.1	5.6	14	24.3	30	78	62	92	77	38	30	7.0	7.1	7.0	7.0	188	40	19	18	15	—	1	3	0	2	12
Juli	16.4	23.3	17.6	18.7	10.4	11	29.2	30	68	58	79	68	33	25	3.7	5.0	4.1	4.3	29	12	2	7	5	—	—	1	0	8	2
Aug.	15.3	[illegible]	17.2	18.4	10.2	18.25	28.6	1	90	55	79	75	38	1.15	3.8	4.6	3.3	3.9	99	35	25	12	11	—	—	8	0	12	4
Sept.	[illegible]	[illegible]	13.5	14.5	4.4	23	28.0	9	89	62	88	80	32	9	5.9	5.4	5.7	5.7	117	37	16	9	9	—	—	—	0	8	10
Okt.	5.7	11.2	7.0	7.7	−1.0	3	15.4	18	97	73	96	88	42	31	5.7	5.9	5.9	5.8	89	21	9	14	13	—	—	1	4	4	6
Nov.	2.7	[illegible]	3.7	4.3	−1.0	30	15.0	22	93	74	93	87	35	22	7.7	6.7	6.6	7.0	67	11	13	12	11	1	—	—	8	1	11
Dez.	1.1	4.1	1.2	1.9	−5.2	3	8.8	21	88	78	91	86	45	11	5.3	4.9	4.7	5.0	172	44	21	15	12	4	—	—	8	1	21
Jahr	[illegible]	[illegible]	7.1	7.9	−14.0	II	29.2	VII	88	66	88	81	29	III IV	6.2	6.2	5.9	6.1	1212	63	V	142	126	31	2	15	38	48	134

$\lambda = 7°37'$, $\beta = 46°46'$, $H_b = 565^m$, $h_r = 1.9^m$.

Thun.

Beobachter: **Eidg. Munitionsfabrik.**

1911	Luft-Temperatur								Relative Feuchtigkeit						Bewölkung				Niederschlag			Zahl der Tage							
	7^{30}	1^{30}	9^{30}	Mittel	Minimum	Tag	Maximum	Tag	7^{30}	1^{30}	9^{30}	Mittel	Minimum	Tag	7^{30}	1^{30}	9^{30}	Mittel	Summe	Maximum	Tag	●	●*	✱	▲	⟨	≡	hell	trüb
Jan.	−7.5	−2.8	−6.1	−5.6	−13.3	11	1.3	26	95	90	95	93	64	6	8.6	6.5	7.3	7.5	19	7	9	5	4	5	—	—	21	2	14
Febr.	[illegible]	2.0	−1.2	−1.0	−15.5	2	9.9	26	94	71	89	85	38	19	6.5	5.0	5.4	5.6	40	11	12	11	8	5	—	—	6	4	8
März	[illegible]	7.8	3.4	3.8	−6.2	27	14.9	30	94	69	89	84	41	22	6.7	6.7	6.7	6.7	73	23	25	10	7	6	—	—	1	3	15
April	[illegible]	[illegible]	6.4	6.9	−3.1	5	20.0	23	92	62	81	78	30	17	5.2	5.8	5.3	5.4	48	12	2	11	8	1	—	—	0	10	10
Mai	[illegible]	16.0	11.9	12.7	3.9	2	22.2	28	95	69	89	84	44	23	6.6	7.7	7.8	7.4	97	31	18	17	14	—	—	—	1	3	15
Juni	13.0	19.1	14.7	15.5	8.9	14.16	25.5	9	90	59	85	78	37*	29	6.2	6.5	6.3	6.3	128	20	13	16	16	—	—	—	0	6	12
Juli	[illegible]	25.0	19.7	[illegible]	*[illegible]	4	31.1	30	[illegible]	53	74	73	37	18	1.9	2.8	3.4	2.7	17	8	1	7	[illegible]					16	1
Aug.	[illegible]	25.8	19.4	20.2	11.7	18	29.6	1	96	55	82	78	36	10	3.0	2.6	3.1	2.9	147	80	6	8	8	—	—	—	0	18	3
Sept.	[illegible]	[illegible]	14.7	15.4	5.9	19.23	28.6	4	99	68	96	88	41	10	4.8	3.9	4.3	4.3	106	35	15	12	10	—	—	—	2	14	10
Okt.	[illegible]	12.4	8.2	8.9	−1.7	31	17.9	15	99	83	100	94	56	3	7.5	5.7	7.0	6.7	61	11	29	16	11	—	—	1	6	1	10
Nov.	2.7	7.8	4.0	4.7	−3.1	8	13.9	23	100	84	98	94	51	19	7.9	6.1	7.0	7.0	40	11	24	10	9	—	—	—	6	1	15
Dez.	[illegible]	4.4	2.0	2.4	−3.7	18	11.8	21	96	89	98	94	46	21	8.1	7.3	7.6	7.7	57	12	15	13	12	—	—	—	6	2	19
Jahr	[illegible]	[illegible]	8.1	8.7	−15.5	II	31.1	VII	95	71	90	85	30	IV	6.1	5.5	5.9	5.8	833	80	VIII	138	113	17	—	?	49	80	132

$\lambda = 7°41'$, $\beta = 46°45'$, $H_b = 1125^m$, $h_r = 1.4^m$. **Heiligenschwendi** (Thun).*) Beobachter: **Sanatorium.**

1911	Luft-Temperatur							Relative Feuchtigkeit						Bewölkung				Niederschlag		Zahl der Tage							
	7^{30}	1^{30}	9^{30}	Mittel	Minimum	Tag	Maximum Tag	7^{30}	1^{30}	9^{30}	Mittel	Minimum	Tag	7^{30}	1^{30}	9^{30}	Mitt.	Summe	Maximum Tag	●	●≦1.0	✶	▲	≡	helle	trübe
Jan.	−5.0	−1.5	−4.2	−3.7	−12.2	31	6.0	22	75	71	79	75	40	18	3.8	4.5	4.0	4.1	26	8	2	5	4	5	—	—	8	13	7
Febr.	−2.2	1.7	−1.4	−0.8	−11.0	1	8.2	17	68	65	75	69	32	22	4.6	4.6	4.6	4.6	41	7	19.25	11	9	6	—	—	1	7	5
März	0.5	4.7	1.6	2.1	−5.5	15	12.9	29	76	62	76	71	34	29	7.3	7.7	5.7	6.9	80	29	25	10	8	10	—	—	3	1	14
April	3.1	6.5	3.5	4.1	−7.9	5	17.0	23	77	63	75	72	34	17	5.2	6.4	5.9	5.8	64	18	29	10	9	7	—	—	5	7	12
Mai	8.7	12.0	9.1	9.5	1.5	1	19.0	25	81	70	82	78	49	3	6.2	7.4	6.9	6.8	121	31	27	15	13	1	1	2	4	2	13
Juni	11.6	14.9	12.1	12.3	4.6	14	24.0	8	78	70	78	75	41	30	6.3	6.6	7.6	6.8	142	26	18	17	16	—	—	?	7	4	13
Juli	16.7	21.6	16.8	17.9	10.4	4	27.2	23	69	60	66	65	39	23	2.3	3.9	3.9	3.4	11	5	1	6	3	—	—	?	0	13	4
Aug.	16.5	22.3	17.5	18.4	11.6	26	26.2	9	68	53	65	62	33	10.19	3.2	3.4	4.2	3.6	82	22	6	11	9	—	—	?	3	12	3
Sept.	12.0	17.6	13.2	14.0	3.4	23	25.4	4.8	77	68	75	73	38	9	4.3	4.3	4.5	4.4	117	30	16	13	10	—	—	1	5	14	10
Okt.	5.9	11.2	7.1	7.9	−2.2	3	16.2	9	82	76	85	81	35	31	5.3	4.5	4.7	4.8	81	19	29	12	11	2	—	1	6	9	7
Nov.	3.3	6.8	4.1	4.5	−1.9	19	15.6	5	77	71	78	75	38	22	5.3	5.5	4.3	5.0	39	12	24	9	9	6	—	—	2	7	9
Dez.	1.1	3.6	1.3	1.9	−3.7	10	10.2	30	72	69	75	72	41	3	6.6	8.1	6.8	7.2	72	17	15	13	13	10	—	—	4	4	18
Jahr	6.0	10.1	6.7	7.3	−12.2	I	27.2	VII	75	65	76	72	32	II	5.0	5.6	5.3	5.3	876	31	V	132	114	47	1	?	48	93	115

*) Heiligenschwendi. Die Abendbeobachtung geschieht um 8^{30}.

$\lambda = 7°0'$, $\beta = 47°9'$, $H_b = 1245^m$, $h_r = 1.5^m$. **Mont Soleil** ob (St. Imier). Beobachter: **P. Amez-Droz. E. Crittin. A. Mathys.**

Jan.	−4.8	−2.5	−5.0	−4.3	−13.0	31	5.0	27	81	78	84	81	49	30	3.5	3.4	2.9	3.3	42	13	9	5	5	5	—	—	5	17	6
Febr.	−3.5	−0.7	−2.7	−2.4	−9.5	2	4.5	18	76	73	80	76	41	15	5.0	5.2	5.0	5.1	121	36	26	9	9	6	—	—	4	8	8
März	−0.9	2.4	−0.5	0.1	−7.1	15	11.0	29	86	77	84	82	49	28.29/30	5.5	6.5	5.0	5.7	77	20	3	8	8	6	1	2	2	4	9
April	1.2	4.2	1.1	1.9	−10.0	5.6	14.1	23	76	68	78	74	40	15.17	4.9	5.9	4.8	5.2	90	16	27	11	11	5	—	—	3	8	10
Mai	7.0	10.4	7.2	7.9	0.9	1	15.4	27	77	62	73	71	43	23	7.2	7.2	5.9	6.8	124	39	18	14	12	—	—	?	?	1	11
Juni	10.1	12.8	9.4	10.5	3.1	14	20.1	8	68	59	66	64	35	7.8	5.3	6.6	4.6	5.5	172	36	13	17	16	—	1	1	4	5	6
Juli	15.4	19.6	15.4	16.4	7.3	3.4	25.0	29	51	41	47	46	29	29	1.5	2.6	2.2	2.1	32	19	23	3	3	—	—	—	0	20	1
Aug.	15.5	19.6	15.6	16.6	10.0	26.31	24.5	9	52	43	48	48	25	10	2.6	3.4	2.1	2.7	64	30	21	7	7	—	—	?	0	18	2
Sept.	10.9	14.4	11.0	11.8	3.0	30	23.9	4	65	54	60	60	24	4	4.9	4.4	4.6	4.6	113	20	23	11	11	1	—	1	0	12	10
Okt.	4.8	8.2	5.5	6.0	−2.5	3	15.2	9	87	75	82	82	31	31	6.1	5.2	4.6	5.3	117	30	4	15	15	2	—	—	8	6	8
Nov.	2.1	5.6	2.9	3.4	−1.8	7	13.3	5	72	54	71	66	18	5	7.7	6.8	6.0	6.8	93	30	9	16	13	7	—	—	8	2	11
Dez.	0.1	2.3	0.2	0.7	−4.0	12	7.9	18	76	63	77	72	22	18	7.2	7.8	6.3	7.1	160	27	21	18	16	12	—	—	9	4	16
Jahr	4.8	8.0	5.0	5.7	−13.0	I	25.0	VII	72	62	71	68	18	XI	5.1	5.4	4.5	5.0	1205	39	V	134	126	44	2	?	?	105	98

$\lambda = 7°4'$, $\beta = 46°39'$, $H_b = 727^m$, $h_r = 1.5^m$. **Marsens.** Beobachter: **A. Charrière.**

Jan.	−7.8	−3.2	−5.9	−5.7	−12.8	22	0.4	28	83	72	81	79	56	31	6.7	5.8	4.7	5.7	15	10	9	4	4	4	—	—	10	7	11
Febr.	−4.5	1.2	−1.6	−1.6	−16.6	1	8.4	28	76	60	71	69	20	22	6.1	4.9	5.1	5.4	54	15	24	10	9	6	—	1	1	5	8
März	0.4	6.4	2.1	2.7	−6.0	27	13.8	30	82	58	79	73	35	22	7.2	7.3	6.2	6.9	92	28	3	14	9	10	—	2	1	0	11
April	3.1	9.2	4.7	5.4	−5.2	5	19.0	23	80	53	71	68	21	16	5.4	5.9	4.0	5.1	65	30	29	9	9	1	—	—	1	9	9
Mai	9.2	15.1	10.6	11.4	2.8	2	20.6	27	85	57	77	73	36	24	6.4	6.7	7.2	6.8	105	35	18	15	13	—	—	4	0	1	10
Juni	12.3	17.9	12.9	14.0	6.2	14	23.8	9	80	52	75	69	32	9	6.1	6.1	6.0	6.1	167	21	13	16	13	—	—	3	2	3	7
Juli	15.8	23.9	18.1	19.0	10.0	4	29.8	23	76	41	63	60	19	23	2.2	3.0	3.6	2.9	12	5	13	6	4	—	—	4	0	14	0
Aug.	15.7	24.5	18.0	19.1	10.4	17	28.2	9.10	78	38	62	59	20	19.20	3.5	3.5	2.6	3.2	34	14	21	6	6	—	1	6	0	14	3
Sept.	11.5	19.5	13.1	14.3	4.4	18	28.2	4	84	50	75	70	22	10	5.3	4.6	4.2	4.7	82	15	21	10	10	—	—	1	0	13	9
Okt.	5.9	11.5	7.3	8.0	−2.0	31	16.2	9	87	69	86	81	48	31	7.7	6.7	6.3	6.9	105	21	27	12	11	—	—	1	8	2	13
Nov.	3.0	7.4	3.9	4.5	−2.4	8	14.0	5	86	70	82	79	32	5	7.9	6.6	6.9	7.1	103	17	19	14	12	5	—	—	6	1	11
Dez.	0.4	3.8	1.4	1.7	−4.2	3	8.4	29	87	75	85	82	52	19	7.9	8.3	6.7	7.6	167	33	25	17	16	6	—	1	7	3	17
Jahr	5.4	11.4	7.0	7.7	−16.6	II	29.8	VII	82	58	76	72	19	VII	6.0	5.8	5.3	5.7	1001	35	V	133	116	32	1	23	36	72	109

$\lambda = 6°55'$, $\beta = 46°41'$, $H_b = 764^m$, $h_r = 1.5^m$. **Romont.** Beobachter: **Couvent des Capucins.**

Jan.	−5.8	−3.0	−4.9	−4.6	−11.1	31	1.4	13	93	86	92	90	60	12	7.0	5.6	5.3	6.0	12	7	9	5	5	4	—	—	10	6	12
Febr.	−2.5	1.2	−0.2	−0.4	−14.4	1	7.2	23	90	77	85	84	45	27	5.9	4.3	4.3	4.8	47	16	25	9	9	7	—	—	0	6	4
März	0.8	5.8	2.5	2.9	−6.4	27	13.0	30	90	72	85	82	45	21	6.5	5.7	5.3	5.8	85	26	25	14	13	11	—	—	0	2	8
April	3.3	8.5	5.2	5.5	−5.7	7	16.0	16	90	65	82	79	37	15	4.7	5.2	4.2	4.7	46	22	29	8	6	1	—	—	1	10	7
Mai	9.6	15.2	10.6	11.5	3.3	2	20.8	29	91	65	89	82	46	23	5.4	5.4	6.2	5.7	70	21	18	14	11	—	1	4	0	3	6
Juni	12.3	17.6	13.1	13.8	7.7	14	23.8	9	89	68	86	81	42	29	4.8	4.8	4.6	4.7	169	24	13	16	15	—	—	5	1	7	6
Juli	15.8	24.0	18.3	19.1	10.2	5.11	29.8	24	87	51	72	70	33	19	1.9	2.1	2.5	2.2	5	3	1	4	2	—	1	1	0	20	0
Aug.	15.2	23.8	18.2	18.9	10.0	17	28.8	21	86	53	71	70	31	19	2.7	2.7	1.6	2.3	56	24	21	7	7	—	1	2	1	20	3
Sept.	12.0	18.7	13.9	14.6	4.6	23	25.6	6	90	66	83	80	40	10.12	4.7	3.8	3.0	3.8	86	19	23	11	10	—	—	1	3	15	7
Okt.	5.8	10.3	7.4	7.8	−0.8	31	14.4	15	97	83	95	92	57	7	8.3	6.0	5.1	6.5	101	21	27	13	12	—	—	—	7	1	9
Nov.	2.6	6.6	3.9	4.3	−1.8	8	12.2	22	95	82	94	90	45	22	8.8	6.1	5.9	6.9	109	44	9	13	12	2	—	—	8	2	10
Dez.	0.5	3.2	1.4	1.4	−3.2	3	8.4	21	95	88	95	92	56	21	9.0	7.9	7.0	8.0	120	27	15	16	16	3	—	—	9	1	20
Jahr	5.8	11.0	7.4	7.9	−14.4	II	29.8	VII	91	71	86	83	31	VIII	5.8	5.0	4.6	5.1	906	44	XI	130	118	28	3	13	40	93	92

$\lambda = 7°2', \beta = 46°13', H_b = 1253^m, h_r = 1.5^m$.

Dailly.

Beobachter: **Intendance du Fort.**

1911	Luft-Temperatur								Relative Feuchtigkeit						Bewölkung				Niederschlag		Zahl der Tage							
	7^{30}	1^{30}	9^{30}	Mittel	Minimum	Tag	Maximum	Tag	7^{30}	1^{30}	9^{30}	Mittel	Minimum	Tag	7^{30}	1^{30}	9^{30}	Mitt.	Summe	Maximum Tag	•	●* ≥1.0	*	▲	R.	≡	hell	dkl.
Jan.	−3.3	0.0	−2.6	−2.1	−10.2	3.4	9.4	22	48	38	41	42	9	22	3.5	3.0	3.6	3.4	23	12 9	4	3	4	—	—	2	15	6
Febr.	−1.6	2.0	−0.6	−0.2	−10.5	1	10.2	23	50	39	53	47	4	17	4.6	4.4	5.4	4.8	58	24 25	11	6	5	—	—	3	6	6
März	−0.1	3.6	1.2	1.5	−7.2	27	13.0	30	63	54	59	59	12	29	7.3	6.0	6.2	6.5	146	40 25	11	8	10	—	—	0	2	14
April	1.7	5.5	3.0	3.3	−8.0	5	16.8	16	66	53	57	59	19	18	5.2	5.4	4.7	5.1	75	20 3	15	11	6	—	—	2	11	12
Mai	7.3	11.1	8.6	8.9	0.2	1	18.0	26	67	53	63	61	26	2	6.1	6.9	4.8	5.9	61	28 18	13	9	—	—	—	3	3	9
Juni	10.3	14.1	11.5	11.9	3.0	14.15	22.1	17	62	51	59	57	16	30	6.1	5.9	6.2	6.1	108	23 13	13	12	—	—	5	3	7	14
Juli	15.3	20.5	17.1	17.5	8.3	4	26.8	30	48	36	39	41	15	1	2.2	3.4	4.2	3.3	60	21 24	8	5	—	—	9	0	15	3
Aug.	15.1	20.8	17.6	17.8	9.6	26	27.0	10	49	37	40	42	10	19	3.2	3.1	2.0	3.8	70	24 30	10	8	—	—	6	0	19	2
Sept.	12.1	16.4	13.8	14.0	1.2	23	26.4	4	51	42	46	47	10	12	4.6	4.7	4.9	4.7	127	27 22	12	10	1	—	1	4	15	11
Okt.	6.1	10.0	7.1	7.6	−2.5	3	17.4	12	56	44	59	53	6	31	5.5	4.9	4.6	5.0	96	37 1	14	11	2	—	—	5	8	8
Nov.	3.2	6.1	3.9	4.3	−1.9	19	16.7	5	54	43	50	49	7	5	6.6	6.0	4.1	5.6	49	11 13	13	10	4	—	—	3	6	9
Dez.	1.1	3.4	1.9	2.1	−4.2	10	12.7	30	49	43	45	45	6	19	6.5	6.7	5.0	6.1	105	23 25	13	13	11	—	—	2	6	12
Jahr	5.6	9.5	6.9	7.2	−10.5	II	27.0	VIII	55	45	50	50	4	II	5.1	5.0	4.6	5.0	978	40 III	137	106	43	—	21	27	113	106

$\lambda = 7°2', \beta = 46°13', H_b = \text{ca. } 671^m, h_r = 1.5^m$.

Savatan.

Beobachter: **Intendance du Fort.**

Jan.	−4.6	−2.1	−3.6	−3.5	−8.4	17	2.4	13	77	68	74	73	36	12	5.2	5.1	4.6	5.0	14	7	9	3	2	3	—	—	2	9	8
Febr.	−1.2	1.9	0.9	0.6	−10.6	1	10.0	18.23	67	58	66	64	30	22	4.9	3.9	4.5	4.4	63	29	25	8	7	2	—	—	2	9	7
März	2.9	7.2	4.5	4.8	−4.6	27	18.2	29	68	58	66	64	22	19	6.2	5.2	4.8	5.4	128	35	3	10	10	2	—	—	1	7	9
April	4.4	10.0	6.8	7.0	−3.8	6	21.8	23	71	54	60	62	31	16	5.4	5.0	3.6	4.7	52	19	29	9	9	2	—	—	0	13	9
Mai	9.5	15.2	12.5	12.4	3.6	1.2	23.2	29	79	57	68	68	36	2	4.3	5.8	4.7	4.9	40	15	18	11	9	—	—	—	1	7	7
Juni	12.4	17.8	14.7	14.9	5.8	15	25.2	6.17	78	57	68	68	28	30	5.2	4.9	4.9	5.0	107	19	13	15	14	—	—	5	2	7	8
Juli	16.7	23.7	21.1	20.6	10.8	4	31.6	23	68	48	51	55	30	27	2.8	3.4	3.8	3.3	56	18	24	7	5	—	—	9	0	13	2
Aug.	17.1	23.9	21.1	20.8	12.4	25	32.2	11	62	46	51	53	26	19	3.0	3.5	2.0	2.8	69	20	30	8	7	—	—	6	0	18	3
Sept.	14.0	18.4	16.6	16.4	5.0	23	30.2	5	68	60	61	63	30	9	4.6	4.5	4.1	4.4	119	25	15	10	10	—	—	1	2	14	10
Okt.	8.2	11.7	9.2	9.6	0.8	3	18.8	8	73	66	78	72	30	31	5.4	4.9	4.9	5.1	83	27	1	12	10	—	—	—	3	6	7
Nov.	5.4	7.9	6.4	6.5	−0.2	10	15.2	5	71	65	71	69	29	27	5.9	5.4	5.0	5.4	44	9	10	10	8	—	—	—	2	6	10
Dez.	2.9	4.2	2.8	3.2	−2.2	10	11.2	20	67	67	73	69	20	23	6.2	7.0	4.6	5.9	106	26	25	12	12	2	—	—	1	6	13
Jahr	7.4	11.7	9.5	9.4	−10.6	II	32.2	VIII	70	59	65	65	20	XII	4.9	4.9	4.3	4.7	881	35	III	115	103	11	—	21	16	115	93

$\lambda = 7°56', \beta = 46°7', H = \text{ca. } 1800^m, h_r = 1.5^m$.

Saas-Fee.

Beobachter: **A. Imseng.**

Jan.	−8.5	−2.8	−8.1	−6.9	−14.8	31	4.3	20	47	41	50	46	15	31	1.8	2.0	1.6	1.8	18	10	2	3	3	3	—	—	0	20	2
Febr.	−7.1	−0.4	−5.8	−4.8	−12.5	9	5.4	18	56	34	56	49	19	17.21	3.0	3.3	3.2	3.2	59	40	25	4	4	4	—	—	0	14	3
März	−4.7	0.7	−3.5	−2.8	−12.2	17	5.0	28.29 31	63	48	63	58	32	19	6.3	5.5	4.6	5.5	137	40	26	8	8	7	—	—	0	6	8
April	−1.5	4.6	−0.3	0.6	−10.5	8	13.4	25	57	43	61	54	25	22	3.4	4.0	3.4	3.6	42	16	20	7	7	5	—	—	0	14	5
Mai	4.4	9.5	5.6	6.3	−3.0	2	15.1	27	66	46	62	58	22	3	5.5	6.2	5.5	5.7	45	9	14	13	11	—	—	—	0	4	6
Juni	8.6	13.2	7.9	9.4	1.0	14	20.2	7	62	43	62	56	24	30	6.2	5.3	5.4	5.6	83	25	25	14	12	1	—	—	0	4	8
Juli	13.1	19.4	12.5	14.4	6.8	2	24.6	30	54	35	52	47	25	18.27 30	2.3	3.6	2.9	2.9	4	2	28	2	2	—	—	—	0	15	2
Aug.	12.6	19.7	12.7	14.4	6.4	28	23.7	10	65	35	53	51	25	19	2.4	3.3	3.1	2.9	47	9	24	9	9	—	—	—	0	14	2
Sept.	8.2	14.7	8.7	10.1	−0.5	24	23.5	4	69	47	65	60	25	3.4.7	3.6	3.9	3.4	3.6	78	21	21	10	10	4	—	—	1	15	6
Okt.	1.8	8.5	2.8	3.9	−4.6	3	16.2	13	64	48	68	60	21	31	3.7	3.7	3.5	3.6	105	63	6	8	6	3	—	—	0	10	4
Nov.	−1.6	2.9	−0.8	−0.1	−5.8	26	8.4	5	67	52	63	61	24	22	5.2	4.1	3.6	4.3	127	60	22	9	9	7	—	—	0	9	5
Dez.	−3.8	−0.9	−3.6	−3.0	−10.7	12	4.6	29	52	52	60	55	13	28	3.8	4.5	5.0	4.4	32?	10	15	7	7	7	—	—	0	10	5
Jahr	1.8	7.4	2.3	3.5	−14.8	I	24.6	VII	60	44	60	55	13	XII	3.9	4.1	3.8	3.9	777	63	X	94	88	41	—	—	1	135	56

$\lambda = 7°51', \beta = 46°12', H_b = \text{ca. } 1629^m, h_r = 1.5^m$.

Grächen.

Beobachter: **S. Minnig. B. Sarbach.**

Jan.	−5.5	−0.5	−5.4	−4.2	−12.4	24.31	6.3	20	—	—	—	—	—	—	1.7	1.7	1.2	1.5	18	14	3	2	2	2	—	—	1	24	2
Febr.	−4.6	0.5	−3.9	−3.0	−11.4	8	6.0	19	—	—	—	—	—	—	2.9	3.0	1.9	2.6	34	27	25	4	4	4	—	—	1	18	3
März	−3.2	2.2	−2.5	−1.5	−9.6	14	9.6	23	—	—	—	—	—	—	5.1	4.0	3.5	4.2	63	27	25	6	5	6	—	—	3	10	5
April	−0.3	5.7	0.6	1.6	−8.6	7	13.5	22	—	—	—	—	—	—	3.7	3.9	2.3	3.3	13	8	29	3	2	1	—	—	1	17	3
Mai	5.3	11.5	6.4	7.4	−1.6	2	18.0	26.30	—	—	—	—	—	—	4.8	4.8	3.6	4.4	32	9	14	8	7	1	—	—	6	6	4
Juni	—	—	—	—	—	—	—	—	—	—	—	—	—	—	—	—	—	—	—	—	—	—	—	—	—	—	—	—	—
Juli	—	—	—	—	—	—	—	—	—	—	—	—	—	—	—	—	—	—	—	—	—	—	—	—	—	—	—	—	—
Aug.	—	—	—	—	—	—	—	—	—	—	—	—	—	—	—	—	—	—	23	6	6	—	—	—	—	—	—	—	—
Sept.	10.6	14.3	10.9	11.7	0.5	23	24.2	4	—	—	—	—	—	—	4.3	4.6	3.6	4.2	59	31	23	7	7	1	—	—	6	12	8
Okt.	4.1	8.7	4.9	5.6	−3.3	3	15.0	12	—	—	—	—	—	—	4.1	4.5	4.2	4.3	40	14	24	6	6	2	—	—	0	10	5
Nov.	0.2	4.4	0.8	1.5	−4.3	20	9.6	6	—	—	—	—	—	—	5.3	5.2	3.6	4.7	85	31	23	10	8	6	—	—	0	8	5
Dez.	−2.0	0.5	−1.7	−1.2	−8.4	10	5.2	15	—	—	—	—	—	—	5.7	5.6	5.1	5.5	40	10	26	6	6	6	—	—	0	8	6
Jahr	—	—	—	—	−12.4	I	—	—	—	—	—	—	—	—	—	—	—	—	—	—	—	—	—	—	—	—	—	—	—

Zermatt.

$\lambda = 7°45'$, $\beta = 46°8'$, $H_b = 1610^m$, $h_r = 0.8^m$. Beobachter: **B. Zurbriggen.**

1911	Luft-Temperatur							Relative Feuchtigkeit						Bewölkung				Niederschlag		Zahl der Tage						
	7^{30}	1^{30}	9^{30}	Mittel	Minimum	Tag	Maximum Tag	7^{30}	1^{30}	9^{30}	Mittel	Minimum	Tag	7^{30}	1^{30}	9^{30}	Mitt.	Summe	Maximum Tag	☀	☀ >1.0	✶	▲	☇	≡	helle	trübe
Jan.	−8.8	−0.7	−8.3	−6.5	−16.0	1	5.0	21.22 23	66	41	66	58	26	31	1.9	1.4	1.7	1.7	24	14	3	4	2	4	—	—	0	23	2
Febr.	−7.2	2.1	−5.7	−4.1	−14.8	8	10.0	23	68	41	70	60	20	20	1.9	2.6	2.1	2.2	41	40	25	4	1	4	—	—	0	19	3
März	−4.0	4.8	−2.8	−1.2	−12.0	6	14.0	31	68	45	69	61	26	6.17	3.5	3.1	2.0	2.9	85	27	25	6	6	6	—	—	0	14	3
April	0.1	9.7	1.2	3.1	−9.0	9	19.0	25	66	42	71	60	20	22	2.4	3.3	3.7	3.1	16	5	26	7	4	1	—	—	0	15	3
Mai	7.3	12.3	6.6	8.2	−1.0	1	19.0	30	66	45	71	61	22	1	3.7	4.5	4.6	4.3	47	11	14	9	8	—	—	—	0	6	3
Juni	10.2	17.2	9.1	11.4	2.6	14	23.0	8	64	38	71	58	20	29	3.7	3.5	4.1	3.8	68	27	25	10	8	—	—	—	0	11	4
Juli	12.2	22.7	12.8	15.1	7.4	5	28.0	22	45?	15?	35?	32?	9	18	1.4	0.8	1.5	1.2	3	2	2	4	1	—	—	—	0	22	0
Aug.	11.1	22.3	12.2	14.5	6.2	25	26.2	9	47?	22?	43?	37?	10	10.12 18	1.5	1.8	2.1	1.8	49	16	21	10	9	—	—	?	0	22	1
Sept.	7.6	17.7	8.5	10.6	0.0	18	26.4	3	56?	30?	53?	46?	7	4	3.2	3.0	3.5	3.2	66	22	22	11	10	3	—	—	0	17	5
Okt.	2.6	10.1	3.8	5.1	−4.2	31	16.0	9.10 13.15	61	36	61	53	16	31	3.5	3.4	3.2	3.4	81	30	6	8	8	3	—	—	0	14	3
Nov.	−1.4	5.6	−0.8	0.7	−7.2	26	12.0	4.5	63	39	59	54	14	4.22	4.7	4.3	3.9	4.3	83	33	23	10	10	8	—	—	0	12	7
Dez.	−3.9	1.1	−3.7	−2.6	−11.8	12	5.6	18	58	46	60	55	25	1.2.22	3.6	4.7	4.0	4.1	110	30	26	9	9	9	—	—	0	8	5
Jahr	2.2	10.4	2.7	4.5	−16.0	I	28.0	VII	61	37	61	53	7	IX	2.9	3.0	3.0	3.0	673	40	II	92	76	38	—	?	0	183	39

Leukerbad.

$\lambda = 7°37'$, $\beta = 46°23'$, $H_b = 1415^m$, $h_r = 1.1^m$. Beobachter: Schw. **Sch. Z'graggen.**

Jan.	−5.9	0.2	−4.9	−3.9	−12.0	25	6.0	20	65	42	62	56	35	12.22	2.2	2.5	2.1	2.3	14	9	9	2	2	2	—	—	3	19	1
Febr.	−4.4	1.3	−3.1	−2.3	−10.0	4.9	8.0	17	69	50	71	63	25	17.21	5.2	4.4	3.4	4.3	70	23	25	6	6	5	—	—	0	9	5
März	−1.5	3.8	−0.9	0.1	−9.4	14	11.2	28	73	53	75	67	33	30	6.9	6.6	5.0	6.2	71	44	2	3	3	3	—	—	0	3	10
April	0.7	6.6	1.7	2.7	−7.4	7	15.4	22	74	52	78	68	31	16	4.0	5.0	3.7	4.2	26	16	29	3	3	—	—	—	0	12	6
Mai	7.0	11.7	7.1	8.2	−0.6	2	16.6	25	74	53	75	67	36	22	6.0	7.4	5.5	6.3	39	9	18	8	8	—	—	—	1	3	6
Juni	10.7	15.7	10.0	11.6	2.8	14	22.0	17	72	52	77	67	36	7	6.6	6.7	6.2	6.5	99	19	20	11	10	—	—	1	2	5	14
Juli	13.7	21.3	15.1	16.3	9.6	4	26.0	23	74	44	66	62	26	30	2.0	3.8	3.3	3.0	11	6	30	3	3	—	—	1	1	15	3
Aug.	12.7	20.7	15.5	16.1	8.6	17	25.0	9	74	47	62	61	30	17	3.1	5.4	2.6	3.7	23	7	30	7	5	—	—	3	0	10	2
Sept.	10.6	16.7	11.6	12.6	2.2	23	24.8	4	79	56	73	69	30	9	4.5	4.9	4.1	4.5	96	18	16	9	9	—	—	—	2	12	10
Okt.	4.3	10.3	5.3	6.3	−3.6	3	15.4	18	77	55	79	70	38	16.25 31	4.2	5.0	4.7	4.6	46	11	23	7	7	1	—	1	2	7	5
Nov.	0.9	5.7	1.9	2.6	−3.4	14	10.8	5	80	62	75	72	41	27	5.3	5.6	3.5	4.8	73	17	19	7	7	4	—	—	2	9	8
Dez.	−0.9	2.5	−0.7	0.1	−7.6	10	7.4	19	70	61	73	68	31	2	6.5	6.6	5.5	6.2	112	30	23	9	9	9	—	—	0	5	13
Jahr	4.0	9.7	4.9	5.9	−12.0	I	26.0	VII	73	52	72	66	25	II	4.7	5.3	4.1	4.7	680	44	III	75	72	24	—	6	13	109	86

Airolo.

$\lambda = 8°36'$, $\beta = 46°31'$, $H_b = 1143^m$, $h_r = 0.8^m$. Beobachter: **J. Zimmermann.**

Jan.	−3.4	0.0	−3.0	−2.3	−10.4	16	7.3	28	55	51	55	54	30	19	3.5	3.6	3.2	3.4	6	5	6	4	1	4	—	—	0	17	0
Febr.	−2.6	3.1	−1.1	−0.4	−11.8	1	10.9	18	59	48	57	55	25	1	3.8	4.3	3.3	3.8	61	46	25	8	6	8	—	—	0	13	0
März	−0.6	4.7	0.6	1.3	−6.7	16	11.0	24	74	59	72	68	28	6	6.9	6.5	7.2	6.9	122	28	25	14	13	12	—	—	0	2	12
April	3.5	9.2	3.6	5.0	−5.8	7	18.2	22	68	50	64	61	25	15	5.1	5.1	3.6	4.6	42	15	5	8	4	3	—	—	0	10	0
Mai	9.3	13.4	8.4	9.9	5.1	18	20.4	31	70	56	73	66	27	3	6.6	7.4	7.3	7.1	79	19	14	14	13	—	—	—	0	2	10
Juni	12.4	15.9	11.0	12.6	4.1	14	23.6	8	70	59	75	71	37	6	6.5	6.4	5.9	6.3	218	92	25	16	14	—	—	—	0	5	11
Juli	17.5	23.1	16.0	18.1	11.3	11	27.3	29	61	45	67	58	30	17	3.4	4.4	4.4	4.1	4	4	2	2	1	—	—	1	0	8	4
Aug.	16.1	22.9	15.9	17.7	10.4	6	27.3	1.9	73	48	71	64	30	1	3.5	4.7	5.1	4.4	200	54	21	10	8	—	—	—	0	7	5
Sept.	11.6	18.3	12.3	13.6	5.2	23	27.8	4	74	54	74	67	28	4	4.6	5.2	3.8	4.5	112	40	21	10	9	—	1	—	0	9	7
Okt.	4.7	9.9	5.0	6.2	0.0	3 31	16.2	13	83	67	80	77	39	31	6.0	6.4	5.5	6.0	343	116	6	13	11	1	—	—	0	6	11
Nov.	0.7	4.5	1.2	1.9	−3.1	12.20	12.6	4	84	75	82	80	40	7	6.6	6.4	5.4	6.1	295	63	23	15	14	11	—	—	0	4	13
Dez.	−1.4	0.1	−1.1	−0.9	−6.0	12	7.4	30	74	73	77	75	51	30	5.6	6.3	5.5	5.8	115	16	26	16	16	15	—	—	0	6	12
Jahr	5.7	10.4	5.7	6.9	−11.8	II	27.8	IX	70	57	71	66	25	II.IV	5.2	5.6	5.0	5.3	1597	116	X	130	110	54	1	1	0	80	100

Faido.

$\lambda = 8°48'$, $\beta = 46°29'$, $H_b = 759^m$, $h_r = 0.7^m$. Beobachter: **E. Graf.**

Jan.	0.1	3.7	0.8	1.3	−6.6	31	15.0	19	—	—	—	—	—	—	3.9	3.9	3.4	3.7	3	3	6	1	1	1	—	—	0	14	5
Febr.	−0.5	4.8	1.6	1.9	−7.4	1	14.6	18	—	—	—	—	—	—	3.9	4.0	3.6	3.8	35	27	25	5	5	3	—	—	1	11	6
März	2.2	7.2	3.0	3.9	−2.8	16	13.0	4	—	—	—	—	—	—	7.1	7.3	6.8	7.1	105	25	25	11	11	0	—	—	0	3	14
April	7.0	12.6	7.3	8.5	−3.0	7	21.0	22.25	—	—	—	—	—	—	3.4	4.0	3.5	3.6	36	27	5	5	5	2	—	—	0	12	4
Mai	11.8	16.1	11.7	12.8	7.0	26	21.5	31	—	—	—	—	—	—	6.9	7.0	7.1	7.0	79	22	14	13	12	—	—	—	2	3	10
Juni	13.8	19.0	13.6	15.0	9.0	14	26.2	8	—	—	—	—	—	—	5.7	6.6	5.7	6.0	150	61	25	12	12	—	—	—	0	5	10
Juli	19.0	26.0	18.8	20.6	13.8	11	30.7	25	—	—	—	—	—	—	3.7	4.9	4.3	4.3	2	2	2	1	1	—	—	—	0	8	3
Aug.	18.0	25.5	19.4	20.6	13.4	25	29.6	10	—	—	—	—	—	—	2.9	4.4	3.4	3.6	68	26	20	7	7	—	—	—	1	12	4
Sept.	14.4	20.4	15.4	16.4	7.4	22.24	29.0	6	—	—	—	—	—	—	4.4	4.3	3.3	4.0	110	49	21	8	8	—	—	—	0	11	5
Okt.	6.6	10.9	7.6	8.2	2.0	31	18.0	10	—	—	—	—	—	—	5.5	6.0	5.1	5.5	261	89	6	11	11	—	—	—	1	8	10
Nov.	3.2	6.6	4.0	4.5	1.0	9.18	11.4	6	—	—	—	—	—	—	6.8	6.4	5.2	6.1	219?	61	23	12	11	3	—	—	2	5	12
Dez.	1.0	2.7	1.2	1.5	−1.8	4	8.8	30	—	—	—	—	—	—	5.3	6.1	4.5	5.3	86	29	25	12	10	9	—	—	2	9	9
Jahr	8.0	13.0	8.7	9.6	−7.4	II	30.7	VII	—	—	—	—	—	—	5.0	5.4	4.7	5.0	1154	89	X	98	94	24	—	?	0	101	98

Rivera-Bironico.

$\lambda = 8°55'$, $\beta = 46°7'$, $H = 475^m$, $h_r = 0.8^m$. Beobachter: **A. Schmid.**

1911	Luft-Temperatur								Relative Feuchtigkeit						Bewölkung				Niederschlag			Zahl der Tage							
	7^{30}	1^{30}	9^{30}	Mittel	Minimum	Tag	Maximum	Tag	7^{30}	1^{30}	9^{30}	Mittel	Minimum	Tag	7^{30}	1^{30}	9^{30}	Mitt.	Summe	Maximum	Tag	●	● ≥1.0	✱	▲	K	≡	hell	trüb
Jan.	0.4	6.3	0.9	2.1	−6.4	12	18.0	20	69	53	72	65	21	28	3.8	4.2	3.5	3.8	21	8	6	0	0	0	–	–	1	14	0
Febr.	0.3	7.4	1.2	2.5	−7.2	1	13.0	21	69	47	74	63	18	20	2.7	4.3	3.2	3.4	14	6	12	3	3	2	—	—	0	14	4
März	3.7	9.2	4.7	5.6	−3.0	1	14.6	24.31	76	55	75	69	26	14	7.4	6.9	5.7	6.7	103	27	25	12	11	2	1	1	0	3	10
April	8.4	15.8	8.9	10.5	−0.1	6	25.8	25	53	39	58	50	23	14	4.3	4.7	3.8	4.3	24	11	5	5	4	2	—	—	0	12	7
Mai	12.7	18.7	13.0	14.4	9.0	1.3	25.0	31	71	52	75	66	21	3	6.0	7.0	6.5	6.5	88	19	14	15	14	—	—	1	0	2	12
Juni	15.2	21.5	14.9	16.6	9.8	29	28.6	8	78	58	77	71	28	15	5.6	6.1	4.7	5.5	327	106	25	13	13	—	—	3	0	5	9
Juli	20.0	28.2	19.1	21.6	11.6	11.13	33.6	22	66	45	72	61	27	9	3.0	3.4	4.4	3.6	22	20	10	2	2	—	—	2	0	14	3
Aug.	19.2	27.5	19.1	21.2	14.4	7	32.0	7	74	47	76	66	26	16.31	3.6	3.3	4.4	3.8	293	150	21	8	8	—	—	6	0	10	4
Sept.	15.8	23.0	15.7	17.6	8.0	23	33.6	5	66	50	72	63	27	5.18	4.0	3.4	2.8	3.4	219	60	21	9	9	—	—	2	0	15	5
Okt.	8.3	14.3	9.1	10.2	3.2	31	22.4	10	85	64	86	78	26	2	5.3	5.4	4.2	5.0	304	74	6	13	12	—	—	—	0	8	9
Nov.	5.5	10.6	5.9	7.0	1.9	15	15.9	16	77	62	80	73	26	7	5.9	5.8	5.8	5.8	264	81	23	13	11	—	—	—	0	6	10
Dez.	2.7	6.6	2.6	3.6	−2.7	19	11.0	28	73	61	69	68	24	28	5.5	5.4	3.4	4.8	109	30	8	10	7	3	—	—	5	12	9
Jahr	9.4	15.8	9.6	11.1	−7.2	II	33.6	VII IX	71	53	74	66	18	II	4.8	5.0	4.4	4.7	1788	150	VIII	109	100	15	1	15	6	115	88

Braggio.

$\lambda = 9°7'$, $\beta = 46°18'$, $H_b =$ ca. 1332^m, $h = 1.5^m$. Beobachter: **C. Berera.**

1911	7^{30}	1^{30}	9^{30}	Mittel	Minimum	Tag	Maximum	Tag	7^{30}	1^{30}	9^{30}	Mittel	Minimum	Tag	7^{30}	1^{30}	9^{30}	Mitt.	Summe	Maximum	Tag	●	● ≥1.0	✱	▲	K	≡	hell	trüb
Jan.	−2.0	3.1	−0.0	−0.2	−9.3	31	11.7	19	58	55	60	58	28	18.19	3.5	3.7	3.2	3.5	10	4	2	6	4	6	—	—	4	16	7
Febr.	−2.2	3.0	−0.8	−0.2	−9.1	1	10.7	18	61	56	62	60	32	20	2.7	4.3	2.4	3.1	23	12	25	3	2	3	—	—	0	13	3
März	−0.8	3.7	0.3	0.9	−5.9	14	8.3	29	82	71	81	78	40	2.6.11	7.6	8.5	6.6	7.6	93	20	2	14	12	10	—	—	3	1	16
April	2.9	8.5	3.8	4.7	−5.5	7	17.5	25	69	54	71	65	31	15	4.4	5.5	3.8	4.6	58	26	5	7	7	2	—	—	2	10	8
Mai	7.4	12.3	8.5	9.2	2.2	1	18.5	31	77	65	77	73	25	3	6.2	7.6	7.2	7.0	111	25	31	18	15	1	1	1	7	2	15
Juni	10.4	14.6	10.9	11.7	5.3	15	21.1	8	82	71	81	78	35	15	5.4	6.9	5.5	5.9	353	121	19	16	15	—	—	6	5	5	10
Juli	14.9	20.9	16.4	17.1	9.8	11	25.3	30	75	58	73	69	34	9	3.5	3.6	4.0	3.7	32	18	13	5	3		1	3	3	14	4
Aug.	14.5	21.1	16.5	17.1	11.1	25.27	25.5	10	81	60	74	72	34	16	3.0	4.9	4.2	4.0	342	178	21	11	8	—	—	6	1	9	5
Sept.	11.7	17.7	13.0	13.8	4.1	22	26.0	4	73	61	71	68	34	10	4.2	4.4	3.2	3.9	173	56	21	10	8	—	—	3	3	11	6
Okt.	5.7	10.0	6.3	7.1	1.0	26	16.7	12	79	76	80	78	42	2	5.3	5.9	4.7	5.3	247	58	6	12	12	3	—	1	5	9	12
Nov.	2.3	6.4	3.1	3.7	−2.4	20	11.4	14	81	73	80	78	43	7	5.7	6.1	5.6	5.8	243	80	23	11	11	6	—	1	9	7	11
Dez.	−0.3	2.9	−0.1	0.6	−4.8	10	11.1	30	72	67	71	70	33	29	5.0	5.9	4.2	5.0	115	23	15	11	11	11	—	—	7	9	7
Jahr	5.4	10.3	6.4	7.1	−9.3	I	26.0	IX	74	64	73	71	25	V	4.7	5.6	4.6	5.0	1800	178	VIII	124	108	42	2	21	49	106	104

Castasegna.

$\lambda = 9°31'$, $\beta = 46°20'$, $H_b = 699.7^m$, $h_r = 1.8^m$. Beobachter: **A. Garbald.**

1911	7^{30}	1^{30}	9^{30}	Mittel	Minimum	Tag	Maximum	Tag	7^{30}	1^{30}	9^{30}	Mittel	Minimum	Tag	7^{30}	1^{30}	9^{30}	Mitt.	Summe	Maximum	Tag	●	● ≥1.0	✱	▲	K	≡	hell	trüb
Jan.	1.2	3.9	1.8	2.2	−6.6	31	16.0	28	79	45	48	57	13	18	4.2	3.7	2.9	3.6	3	3	2	1	1	1	—	—	0	16	7
Febr.	0.8	5.5	2.5	2.8	−7.2	1	15.3	18	55	44	54	51	18	20	4.8	4.8	4.0	4.5	16*	10*	25	3	3	1	—	—	0	8	4
März	3.3	7.5	4.2	4.8	−0.3	17	12.4	24	66	51	67	61	19	6	7.8	7.9	6.2	7.3	74	17	25	11	9	4	—	—	0	1	15
April	7.6	13.3	7.9	9.2	−2.3	7	23.2	24	52	38	58	49	16	15	4.0	5.4	3.5	4.3	67	25	5	7	6	2	—	1	0	13	7
Mai	12.0	16.8	12.2	13.3	8.5	1	21.6	6	64	47	71	61	20	3	6.3	7.3	7.5	7.0	115	32	28	17	14	—	—	1	0	3	11
Juni	13.9	18.4	14.0	15.1	9.7	20	22.8	8	70	56	74	67	22	21	5.8	6.6	5.7	6.0	276	81	25	11	9	—	—	?	0	6	12
Juli	19.0	24.5	18.8	20.3	13.8	10.11	29.8	30	62	45	66	58	26	9	3.3	4.6	4.9	4.3	17	5	18	8	5	—	—	?	0	7	3
Aug.	18.6	24.7	19.9	20.7	15.0	22	28.5	7	65	48	64	59	20	17	3.6	4.4	4.6	4.2	180	101	21	8	8	—	—	?	0	8	4
Sept.	15.0	20.6	15.5	16.6	7.4	23	29.0	5	59	46	64	56	23	18	4.2	4.2	3.2	3.9	129	42	21	9	7	—	—	?	0	10	2
Okt.	7.9	12.5	8.7	9.4	4.3	3	20.9	10	78	62	78	73	28	2	5.6	5.7	5.6	5.6	248	77	6	12	12	—	—	—	1	7	11
Nov.	4.6	8.0	4.9	5.6	0.2	20	12.4	5	72	59	71	67	28	7	5.7	6.2	4.6	5.5	193	43	10	11	8	1	—	1	1	7	11
Dez.	2.1	3.6	2.1	2.5	−0.8	2	11.0	29	64	59	66	63	19	28	6.0	6.0	5.0	5.7	106	26	8	9	8	8	—	—	0	7	11
Jahr	8.8	13.3	9.4	10.2	−7.2	II	29.8	VII	65	50	65	60	13	I	5.1	5.6	4.8	5.2	1424	101	VIII	107	90	17	—	?	2	93	98

Sils-Maria.

$\lambda = 9°46'$, $\beta = 46°26'$, $H_b = 1813.6^m$, $h_r = 1.5^m$. Beobachter: Frau **U. Fluor.**

1911	7^{30}	1^{30}	9^{30}	Mittel	Minimum	Tag	Maximum	Tag	7^{30}	1^{30}	9^{30}	Mittel	Minimum	Tag	7^{30}	1^{30}	9^{30}	Mitt.	Summe	Maximum	Tag	●	● ≥1.0	✱	▲	K	≡	hell	trüb
Jan.	−12.4	−4.5	−11.0	−9.7	−18.6	31	2.0	20	80	57	77	71	38	18.25	2.8	3.0	2.0	2.6	4	3	2	2	1	2	—	—	1	18	4
Febr.	−10.3	−2.2	−8.7	−7.5	−19.0	1	3.8	17	80	54	77	70	32	15	3.8	4.3	2.3	3.5	39	16	26	5	4	5	—	—	1	9	2
März	−6.3	0.7	−5.2	−4.0	−15.4	17	6.3	24	86	60	86	77	40	2	6.3	6.3	5.9	6.2	93	24	2	11	10	11	—	—	1	4	7
April	−2.7	3.5	−2.2	−0.9	−12.8	7	10.2	24	78	57	86	74	26	15	4.2	4.6	3.9	4.2	48	16	5	6	5	5	—		1	12	8
Mai	—	—	—	—	—	—	—	—	—	—	—	—	—	—	—	—	—	—		—	—								
Juni			—		—	—	—	—	—	—	—	—	—	—	—	—	—	—	—	—	—	—	—	—	—				
Juli	11.2	17.0	11.4	12.8	8.0	12	21.0	29	72	55	83	70	35	8	2.9	4.7	3.2	3.6	60	32	24	7	6	—	—	1	3	6	2
Aug.	11.6	17.1	12.0	13.2	7.2	18	21.2	10	72	55	78	68	30	10	3.6	4.8	4.7	4.4	142	60	21	11	11	—	—	—	3	8	4
Sept.	6.4	12.6	7.6	8.6	−1.0	24	19.8	4	80	58	82	73	30*	5.7	4.4	4.6	4.6	4.5	97	35	22	9	9	4	—		2	7	5
Okt.	−0.1	5.5	0.8	1.8	−9.0	31	11.8	9	97	71	97	88	35	19	5.8	5.5	4.8	5.4	214	59	6	13	12	8	—	—	5	6	9
Nov.	−3.9	1.8	−3.7	−2.4	−9.0	20	5.4	1	94	69	95	86	42	1	5.2	5.3	4.6	5.0	153	53	10	9	7	9	—	—	2	8	9
Dez.	−6.5	−2.0	−6.2	−5.2	−12.0	10.24	1.6	29.30	88	72	87	82	50	21.26	5.8	6.1	5.1	5.7	147	35	11	13	13	13	—	—	0	8	11
Jahr	—	—	—	—	−19.0	II	21.2	VIII	—	—	—	—	26	IV	—	—	—	—	—	60	VIII	—	—	—	—				

Fünftägige Temperaturmittel von 15 Normalstationen.

1911	Basel	Neuenburg	Genf	Bern	Zürich	Altstätten	Altdorf	Lugano	Sitten	Chaumont	Bevers	Rigi-Kulm	Pilatus-Kulm	St. Gotthard	Säntis
1.–5. Januar	−1.20	−1.82	−1.33	−3.82	−2.26	−3.38	−2.78	1.26	−4.88	−6.16	−13.56	−10.76	−12.36	−11.46	−12.86
6.–10. »	−2.38	−2.90	−1.95	−4.86	−3.90	−7.10	−3.88	1.64	−4.28	−3.72	−13.46	−7.70	−8.11	−8.66	−10.54
11.–15. »	−3.92	−2.68	−0.86	−4.76	−4.00	−3.98	−2.66	0.16	−3.74	−5.52	−13.48	−7.16	−6.26	−9.32	−9.02
16.–20. »	−3.82	−1.74	−2.34	−6.40	−4.80	−7.20	−2.94	2.80	−4.66	0.54	−10.82	−0.32	−0.84	−1.68	−3.08
21.–25. »	−1.66	−2.90	−2.01	−5.06	−3.44	−5.34	−2.38	1.50	−3.22	−3.10	−11.74	−0.90	−2.04	−4.26	−5.06
26.–30. »	−0.90	−1.16	−1.37	−4.48	−1.92	−3.34	−1.72	2.42	−2.28	−1.22	−9.48	−1.12	−2.02	−4.08	−6.10
31.–4. Februar	−3.18	−2.86	−2.90	−5.80	−4.44	−7.18	−4.90	1.58	−4.66	−6.60	−11.12	−8.12	−8.72	−9.54	−12.10
5.–9. »	−1.12	−1.74	−1.03	−4.42	−3.16	−4.60	−3.38	1.72	−3.46	−5.30	−11.64	−7.68	−8.62	−10.34	−11.74
10.–14. »	0.44	−0.50	1.41	−1.30	0.12	−1.28	0.24	0.94	−0.32	−2.26	−12.10	−3.98	−5.88	−7.26	−8.42
15.–19. »	4.54	3.64	3.95	2.04	4.48	3.02	2.18	2.36	2.18	1.08	−3.20	−1.84	−2.90	−2.66	−7.60
20.–24. »	6.58	5.42	5.78	4.44	5.74	5.42	5.32	6.80	5.08	1.30	−3.32	−2.74	−4.60	−4.94	−7.98
25.–1. März	6.18	4.70	6.43	4.34	4.90	4.72	5.34	7.38	4.74	0.90	−4.68	−4.48	−5.70	−5.88	−8.96
2.–6. »	4.82	4.18	5.25	3.30	3.02	3.52	3.36	7.82	4.72	0.10	−5.12	−4.62	−5.96	−6.00	−9.02
7.–11. »	3.96	3.76	3.78	2.60	2.90	2.38	3.04	5.70	4.56	−0.22	−6.78	−4.08	−6.26	−5.36	−9.00
12.–16. »	3.84	2.04	3.08	1.24	2.44	3.10	3.66	5.56	3.26	−2.68	−6.70	−6.44	−8.80	−8.58	−11.96
17.–21. »	6.62	5.68	5.44	5.24	5.84	6.44	8.56	5.90	7.18	2.78	−4.98	−0.88	−3.46	−5.24	−6.76
22.–26. »	5.82	5.10	5.74	4.60	5.94	5.54	6.94	8.42	7.68	2.12	−0.36	−1.86	−3.70	−3.16	−5.76
27.–31. »	8.58	6.64	7.09	5.74	9.78	10.06	12.24	8.24	11.32	6.18	0.70	2.68	−0.02	−1.22	−2.76
1.–5. April	5.54	4.72	5.91	3.90	5.04	5.88	5.62	8.06	7.64	0.00	−1.34	−4.10	−5.72	−4.38	−7.86
6.–10. »	1.18	1.86	2.06	0.44	0.94	1.64	1.98	5.08	3.74	−3.52	−6.86	−8.24	−8.58	−9.16	−11.12
11.–15. »	6.68	7.28	6.69	5.72	6.00	5.58	5.58	10.72	8.58	3.10	−3.38	−2.92	−4.46	−5.70	−8.08
16.–20. »	11.84	10.64	10.85	10.66	12.16	13.00	12.52	12.28	12.60	7.60	2.12	2.84	1.82	0.56	−1.98
21.–25. »	13.90	14.08	12.71	13.24	14.32	13.78	13.22	16.74	15.14	10.52	4.70	5.26	2.26	3.38	0.18
26.–30. »	10.90	9.36	11.11	9.36	10.02	9.50	10.06	13.46	10.26	4.58	3.00	0.14	−1.66	0.84	−4.22
1.–5. Mai	10.92	11.12	10.54	9.84	10.12	10.12	10.58	15.24	11.98	6.68	4.10	1.66	−1.66	−0.74	−3.40
6.–10. »	11.58	10.74	11.03	10.06	10.92	11.14	10.52	13.46	12.74	6.28	4.48	2.46	−0.42	0.44	−2.26
11.–15. »	15.58	14.64	14.11	14.04	15.74	16.36	15.12	14.06	15.68	11.58	8.12	7.36	3.64	3.40	2.04
16.–20. »	13.64	13.14	13.47	12.64	13.46	14.10	13.68	14.68	14.88	8.78	6.80	3.80	1.88	1.38	−0.54
21.–25. »	14.20	14.94	13.32	13.60	13.70	13.02	14.12	16.80	15.60	9.82	6.40	4.12	1.80	2.38	−1.36
26.–30. »	17.62	17.56	17.61	16.70	17.40	17.16	16.58	16.90	18.64	13.52	9.00	9.40	6.86	5.24	3.72
31.–4. Juni	17.52	17.20	16.64	16.24	17.22	17.44	17.54	17.54	18.12	13.56	10.74	9.62	6.36	6.64	4.24
5.–9. »	19.94	20.32	19.05	19.60	19.14	19.38	18.38	20.32	20.58	16.08	11.12	11.20	7.74	8.34	4.76
10.–14. »	13.50	13.94	14.27	12.86	12.88	13.14	14.36	16.38	15.06	9.30	7.18	4.92	3.18	2.40	0.24
15.–19. »	15.76	15.16	15.81	15.64	16.26	15.44	16.08	17.14	17.00	11.66	9.48	8.76	5.68	4.40	2.68
20.–24. »	16.40	16.02	16.02	15.34	15.98	17.14	17.12	18.36	17.12	11.26	8.54	7.48	5.60	4.58	2.98
25.–29. »	14.88	14.80	14.86	14.32	14.28	14.48	14.34	17.74	16.32	9.90	8.92	5.94	4.22	3.60	1.34
30.–4. Juli	17.58	18.98	20.53	18.06	17.58	18.00	18.44	21.66	20.22	14.16	13.02	10.06	9.06	9.54	5.08
5.–9. »	20.66	21.68	19.39	19.90	19.90	20.04	19.00	22.54	21.82	16.92	13.26	11.92	10.92	10.62	7.00
10.–14. »	19.52	20.86	19.20	18.98	19.20	19.52	17.90	19.92	20.68	15.56	11.12	10.00	8.20	8.10	4.54
15.–19. »	20.36	21.18	20.62	20.76	20.50	20.40	18.90	22.20	21.46	16.36	12.00	11.26	9.70	9.64	5.68
20.–24. »	24.34	24.80	22.78	23.54	23.56	23.74	21.16	24.14	24.36	20.64	14.90	15.86	14.20	13.72	10.70
25.–29. »	25.92	24.40	24.37	24.14	24.76	24.98	23.48	25.16	23.84	21.02	16.02	17.18	14.86	15.36	12.40
30.–3. August	24.66	24.86	23.14	24.00	23.92	22.88	22.52	24.60	23.00	20.56	13.78	15.88	14.56	13.16	9.72
4.–8. »	23.54	24.44	22.65	22.84	22.76	22.38	21.22	24.06	22.38	19.22	14.42	14.32	12.74	12.14	8.88
9.–13. »	24.54	25.10	22.81	23.32	23.16	22.62	21.36	23.66	23.88	20.34	14.56	14.52	13.46	12.58	8.94
14.–18. »	19.78	21.44	20.87	20.12	19.88	19.14	19.88	23.24	21.50	16.96	11.96	11.60	10.44	9.48	5.56
19.–23. »	21.16	19.96	19.82	19.80	20.82	20.72	20.46	21.20	20.16	16.90	12.18	14.18	13.14	11.32	8.64
24.–28. »	20.10	18.66	19.69	19.04	19.52	18.44	18.26	19.88	19.60	14.94	11.28	10.94	9.50	8.78	6.24

1911	Basel	Neuenburg	Genf	Bern	Zürich	Altstätten	Altdorf	Lugano	Sitten	Chaumont	Bevers	Rigi-Kulm	Pilatus-Kulm	St. Gotthard	Säntis
29.–2. September	20.46	20.06	20.18	19.72	19.74	19.30	19.20	21.86	20.90	17.16	12.02	13.66	11.96	11.10	[illegible]
3.–7. »	22.16	22.88	21.38	21.74	22.08	20.38	20.74	22.62	22.44	20.94	12.60	16.10	14.34	13.58	[illegible]
8.–12. »	20.62	21.44	21.27	20.04	20.50	18.96	19.80	21.32	20.96	19.30	10.92	14.58	13.28	11.72	[illegible]
13.–17. »	16.44	16.84	17.84	15.66	16.70	16.46	17.40	18.64	17.62	12.92	9.74	9.70	8.08	6.72	[illegible]
18.–22. »	13.44	12.84	13.01	11.90	13.12	12.02	12.16	15.48	12.84	9.36	6.10	5.22	4.32	3.06	[illegible]
23.–27. »	13.00	12.56	12.41	11.36	12.12	10.46	11.74	14.52	12.74	9.02	3.16	4.42	3.04	2.08	[illegible]
28.–2. Oktober	10.86	10.22	11.25	9.42	9.74	9.98	10.34	14.82	10.68	5.12	2.72	1.20	0.08	−0.26	[illegible]
3.–7. »	9.26	9.02	8.41	7.64	8.78	9.76	10.12	10.30	9.70	3.98	2.80	1.88	0.24	−0.38	[illegible]
8.–12. »	10.22	9.96	11.33	9.54	10.40	10.66	10.82	13.30	13.04	8.78	6.50	7.92	6.92	4.94	[illegible]
13.–17. »	12.24	12.06	12.33	10.80	11.24	10.66	10.52	12.42	12.90	10.38	4.74	8.30	8.28	4.52	[illegible]
18.–22. »	12.48	10.86	11.02	10.54	10.48	9.96	11.72	11.28	12.22	10.04	3.90	7.56	6.08	2.74	[illegible]
23.–27. »	10.76	9.58	10.72	8.54	9.90	9.32	10.22	9.90	9.28	5.34	0.32	2.48	1.76	0.96	[illegible]
28.–1. November	7.08	7.08	7.59	6.32	7.14	5.68	6.78	8.24	7.48	3.36	−4.58	0.46	0.66	−1.82	[illegible]
2.–6. »	7.04	8.52	8.52	6.30	7.80	5.90	5.82	8.38	7.14	6.02	−2.28	3.60	2.22	0.14	[illegible]
7.–11. »	5.58	4.10	4.04	3.00	4.26	4.04	6.78	7.52	5.66	1.30	−1.48	−1.42	−2.40	−3.88	[illegible]
12.–16. »	7.26	6.64	7.08	5.18	6.40	5.02	6.32	7.74	5.68	3.00	−4.46	0.82	0.24	−2.10	[illegible]
17.–21. »	7.20	5.90	7.18	5.12	6.76	5.96	7.58	5.78	5.30	2.00	−3.98	−1.00	−2.74	−3.84	[illegible]
22.–26. »	4.32	7.82	8.43	6.06	6.96	8.14	10.04	7.54	7.62	5.72	−1.20	2.60	0.76	−1.92	[illegible]
27.–1. Dezember	5.74	4.38	5.86	3.24	3.26	2.68	4.78	7.46	5.96	4.28	−3.72	2.56	1.14	−1.76	[illegible]
2.–6. »	4.16	2.74	2.82	1.64	2.78	1.46	1.82	4.72	2.52	1.70	−8.34	−0.76	−2.06	−4.22	[illegible]
7.–11. »	4.46	3.16	3.25	1.92	2.10	3.12	5.90	4.28	3.22	−0.26	−5.36	−2.66	−4.00	−6.64	[illegible]
12.–16. »	4.30	2.88	3.22	1.48	2.36	1.24	6.84	5.32	3.50	0.22	−5.78	−2.70	−3.54	−6.42	[illegible]
17.–21. »	4.62	2.68	2.52	1.68	1.60	1.88	3.14	3.00	3.40	3.18	−7.02	3.20	1.36	−1.84	[illegible]
22.–26. »	5.62	4.04	5.12	3.42	4.38	4.88	4.86	5.16	3.96	−0.58	−5.64	−3.82	−6.14	−6.52	[illegible]
27.–31. »	5.84	4.46	5.01	3.56	4.72	4.32	4.48	4.74	4.40	2.18	−3.48	−0.96	−2.78	−3.14	[illegible]

Anmerkung: Den Pentadenmitteln von Genf liegen die aus den acht 3stündigen Zeitintervallen gebildeten Tagesmittel zu Grunde, denjenigen der übrigen Stationen dagegen die aus den bezüglichen Terminablesungen (ohne Reduktion) gebildeten rohen Mittel.

In der nachfolgenden Zusammenstellung finden sich die täglichen Extreme der Lufttemperatur nach den Angaben des Minimum- und Maximumthermometers.

Januar 1911.

Tag	Minima Zürich	Bern	Neuenburg	Genf	Basel	Altdorf	Bevers	Säntis	Lugano	Maxima Zürich	Bern	Neuenburg	Genf	Basel	Altdorf	Bevers	Säntis	Lugano
1	-4.1	-10.5	-3.9	-3.5	-2.7	-9.2	-23.2	-16.4	-2.2	1.2	-2.3	-0.3	1.0	0.6	-1.5	-10.4	-10.8	6.0
2	-6.0	-11.0	-4.9	-3.2	-2.0	-4.1	-13.6	-17.3	-3.2	1.5	-1.1	1.8	2.9	0.5	0.9	-6.5	-12.3	2.0
3	-6.2	-6.5	-7.3	-5.7	-7.4	-4.5	-15.6	-17.3	-2.0	-2.3	-3.0	-1.9	-0.6	-1.1	0.7	-9.8	-10.9	4.5
4	-2.2	-3.5	-3.4	-2.9	-2.8	-4.7	-20.3	-13.0	-0.3	-1.4	-2.0	-1.3	0.0	0.5	1.4	-8.8	-9.2	3.5
5	-2.4	-3.6	-2.4	-2.8	-0.8	-7.1	-17.6	-12.6	-2.2	-1.0	-1.4	-1.4	0.4	1.0	-0.5	-7.9	-9.7	3.3
6	-7.0	-11.4	-5.6	-5.5	-1.4	-8.0	-19.4	-13.9	-0.4	2.6	0.6	1.5	1.8	2.0	-1.1	-2.4	-11.3	1.6
7	-8.9	-11.5	-8.0	-7.9	-5.1	-9.4	-22.5	-13.0	-1.5	-2.3	-0.4	-0.9	2.1	-0.5	-0.5	-9.0	-10.3	5.9
8	-9.2	-12.4	-7.4	-6.7	-7.9	-9.4	-22.5	-13.1	-3.0	-4.1	-1.4	-2.3	1.0	-2.0	-1.0	-11.0	-7.7	5.6
9	-9.2	-12.5	-7.4	-5.4	-8.9	-8.7	-20.4	-8.0	-3.5	-1.7	-0.2	-1.3	-0.5	-1.0	-0.4	-7.5	-4.8	5.5
10	-3.9	-8.8	-2.2	-2.0	-1.3	-7.6	-24.5	-14.8	-1.2	1.2	1.2	4.1	4.4	3.0	2.9	-1.0	-5.5	10.1
11	-7.1	-11.4	-4.5	-5.8	-5.8	-8.9	-22.2	-14.6	-2.5	2.2	-2.0	-1.5	1.2	0.5	-0.9	-11.2	-6.5	6.5
12	-7.6	-8.1	-5.5	-6.8	-4.4	-6.4	-19.8	-11.0	-5.0	2.4	0.3	0.7	5.9	1.4	1.3	-4.0	-5.0	3.1
13	-4.4	-4.1	-2.8	-2.0	-1.4	-3.3	-14.5	-11.9	-4.0	1.4	2.6	2.1	5.2	0.0	4.7	-6.1	-9.0	4.0
14	-5.7	-7.5	-4.0	-2.0	-8.0	-2.9	-19.8	-13.2	-1.7	-2.5	-3.0	-2.0	0.0	-1.4	0.9	-5.0	-8.3	2.1
15	-9.2	-8.1	-7.3	-4.5	-11.7	-5.2	-20.6	-9.1	-2.2	-5.0	-7.0	-4.4	-0.9	-0.8	-1.2	-9.0	-4.6	4.3
16	-10.5	-11.1	-7.5	-4.8	-10.4	-7.7	-19.0	-5.7	-5.3	-4.6	-5.2	-3.5	-2.8	-3.0	-1.8	-7.0	-2.8	4.5
17	-11.7	-10.5	-6.6	-7.2	-10.6	-5.5	-17.5	-5.8	-4.0	-0.3	-2.4	-0.2	0.4	0.4	-1.1	-5.0	-3.1	7.0
18	-10.0	-12.4	-8.5	-8.5	-9.9	-5.5	-17.0	-4.7	-3.6	-2.6	-3.0	2.5	2.5	-3.5	-0.9	-3.0	-2.5	6.5
19	-6.4	-11.9	-2.9	-6.0	-7.1	-3.7	-15.0	-3.2	-0.8	0.9	-1.4	3.1	2.6	2.0	0.0	1.9	-0.8	15.1
20	-1.8	-7.4	0.0	-2.1	-1.4	-3.5	-17.5	-2.0	0.0	1.7	1.6	2.2	2.4	2.0	0.4	-0.7	0.2	10.5
21	-3.8	-7.2	-2.8	-1.7	-1.9	-5.1	-17.6	-1.0	0.4	0.1	-3.2	-1.0	0.8	1.6	-1.0	-3.0	2.0	9.0
22	-4.4	-7.6	-3.4	-5.3	-3.8	-5.1	-18.6	-4.9	-2.2	1.2	-2.1	-0.5	-0.6	-0.9	-0.2	-2.0	-5.8	7.0
23	-5.6	-6.4	-4.5	-3.7	-3.4	-3.8	-18.0	-5.7	-3.0	-3.9	-4.5	-3.0	-1.2	-1.5	-1.0	-5.5	-3.0	5.6
24	-5.8	-6.0	-4.9	-3.6	-3.4	-3.5	-21.9	-10.9	-2.3	-4.2	-4.7	-2.6	-1.6	-1.9	-1.7	-4.5	-5.2	2.3
25	-4.6	-6.1	-4.8	-3.6	-2.4	-5.0	-20.6	-10.8	-4.0	-0.5	-2.6	-1.9	-0.7	0.5	0.5	-5.0	-8.1	5.5
26	-3.2	-8.6	-4.6	-4.5	-1.2	-5.3	-14.5	-8.8	-2.5	5.3	3.5	4.4	2.8	5.2	3.4	4.0	-2.0	5.4
27	-5.3	-10.3	-4.8	-6.7	-2.4	-5.3	-14.5	-4.2	-1.4	3.3	3.3	-0.5	2.3	4.0	1.6	0.5	-0.3	9.9
28	-6.0	-9.5	-3.1	-4.3	-3.4	-4.3	-18.7	-7.0	-2.0	-0.6	0.5	1.0	1.6	2.0	-0.4	3.5	-2.9	9.0
29	-3.8	-9.2	-2.9	-1.1	-4.3	-4.0	-21.5	-8.0	-1.5	3.6	0.0	3.0	1.3	0.8	0.5	-1.5	-5.1	8.4
30	-7.4	-10.1	-5.6	-3.2	-5.4	-5.7	-25.2	-17.9	-2.0	0.5	-3.0	-1.0	0.5	0.5	0.4	-8.4	-5.8	2.9
31	-9.4	-15.5	-8.4	-6.2	-5.9	-9.1	-25.9	-18.4	-2.7	-2.6	-4.5	-2.3	-1.6	-1.0	-2.3	-11.5	-12.5	1.6
Mittel	-6.2	-9.1	-4.9	-4.5	-4.8	-5.9	-19.3	-10.3	-2.3	-0.3	-1.5	0.0	1.1	0.3	0.0	-5.1	-5.8	5.8

Februar 1911.

Tag	Minima Zürich	Bern	Neuenburg	Genf	Basel	Altdorf	Bevers	Säntis	Lugano	Maxima Zürich	Bern	Neuenburg	Genf	Basel	Altdorf	Bevers	Säntis	Lugano
1	-12.2	-15.5	-11.2	-7.3	-10.0	-9.9	-24.2	-13.1	-6.2	-2.5	-3.7	-2.0	-1.7	-2.4	-3.5	-5.0	-10.4	2.0
2	-9.2	-13.9	-6.1	-6.0	-6.0	-10.6	-20.8	-12.4	-5.8	2.1	-0.1	1.2	2.0	2.0	-1.5	-3.1	-7.6	5.0
3	-2.8	-3.9	-3.5	-7.6	-2.9	-9.2	-22.8	-14.7	-3.5	1.3	2.0	3.6	4.4	2.0	1.5	-2.7	-12.5	10.8
4	-6.5	-12.0	-3.8	-3.5	-4.8	-9.2	-21.0	-13.5	-1.7	1.1	0.5	2.5	2.0	0.0	0.5	-7.0	-5.0	7.5
5	-7.2	-10.8	-7.9	-6.9	-4.3	-7.4	-19.8	-9.3	-4.0	-0.4	-1.9	-1.4	1.8	0.1	0.5	2.0	-4.9	7.0
6	-3.5	-11.4	-2.5	-2.1	-1.0	-9.2	-24.2	-15.4	-4.0	4.8	1.5	3.2	3.0	3.5	1.3	-5.5	-8.1	6.5
7	-5.2	-11.1	-5.0	-5.0	-4.9	-9.2	-22.4	-14.9	-4.3	0.0	1.9	3.0	2.8	1.4	0.2	-2.5	-10.8	4.3
8	-8.5	-9.5	-2.4	-7.0	-1.3	-10.7	-25.0	-16.8	-4.9	4.0	2.0	2.6	4.9	2.2	1.9	-6.0	-13.8	9.5
9	-10.9	-13.1	-6.6	-4.2	-6.0	-10.7	-23.8	-15.8	-3.4	-0.7	-0.3	1.2	1.2	0.4	-1.4	-6.2	-8.0	3.6
10	-10.2	-13.5	-9.4	-8.3	-6.3	-6.4	-19.0	-9.7	-4.8	1.8	2.5	1.6	4.4	3.0	1.7	-5.0	-7.4	2.4
11	-5.2	-6.2	-4.7	-0.5	-3.1	-9.9	-18.5	-9.8	-4.4	8.4	7.4	6.5	11.3	9.0	4.8	-2.5	-8.7	5.0
12	-0.6	-1.9	-2.0	0.4	0.1	-1.9	-14.8	-9.9	-3.3	6.8	4.8	2.6	4.8	3.1	6.4	-2.2	-7.2	5.4
13	-1.2	-1.9	-1.8	-2.1	-0.7	0.0	-18.3	-10.4	-0.5	1.5	1.0	2.0	2.8	1.5	3.7	-0.8	-6.0	2.5
14	-1.0	-2.6	-1.1	0.8	-1.9	-2.6	-19.5	-8.7	-2.7	1.5	0.6	1.1	2.9	3.0	2.9	0.6	-6.1	9.0
15	-1.6	-7.0	-2.4	-0.1	-3.4	-3.9	-18.6	-11.7	-1.0	5.6	2.6	2.5	4.3	3.8	3.4	1.0	-7.0	8.3
16	-3.2	-7.0	-4.4	-3.2	-0.7	-3.7	-11.5	-13.8	-2.0	6.4	4.5	4.6	5.5	6.8	4.2	1.5	-7.0	6.7
17	-2.5	-1.0	0.7	-1.4	1.0	-0.3	-9.4	-8.0	-3.0	9.5	7.9	9.5	13.7	10.0	5.9	5.4	-6.5	9.0
18	5.0	-0.1	2.6	1.5	5.6	-0.6	-10.9	-7.0	-1.3	12.6	11.1	10.7	15.2	10.9	7.4	7.0	-2.5	11.0
19	2.0	0.5	2.4	2.4	1.7	0.0	-11.3	-10.0	-1.0	10.2	10.6	8.9	12.1	8.6	7.7	5.5	-2.5	5.0
20	1.8	0.5	0.7	2.5	2.1	1.6	-12.5	-12.2	-1.5	7.6	6.1	7.5	8.6	7.0	6.4	1.5	-9.8	12.5
21	1.6	-0.6	2.0	-1.4	1.7	0.4	-9.5	-12.4	2.5	9.7	8.4	9.7	7.8	8.0	7.9	0.5	-8.0	15.3
22	1.4	-0.4	1.0	-1.3	2.0	0.9	-9.5	-8.4	-0.7	10.5	9.9	9.9	10.3	12.0	7.9	5.5	-1.1	13.0
23	3.0	1.9	1.9	1.5	3.6	1.7	-7.8	-8.4	-0.5	14.2	11.9	11.8	14.0	14.0	11.4	4.0	-2.4	12.5
24	1.7	1.6	2.7	5.5	3.7	2.3	-6.5	-10.6	3.7	10.0	7.6	8.0	12.0	13.5	10.0	3.4	-2.7	14.0
25	2.9	2.0	1.7	2.8	3.8	2.3	-6.5	-10.8	2.4	8.0	8.6	6.8	9.7	11.0	9.8	0.5	-4.9	13.5
26	0.8	-0.5	3.4	5.7	2.6	1.1	-14.4	-13.1	0.5	9.5	9.5	10.4	12.0	11.1	11.9	4.0	-5.0	18.1
27	-0.1	-1.5	0.5	-0.5	1.7	0.0	-21.0	-13.4	2.5	7.8	7.3	8.5	7.5	7.5	7.5	-1.0	-12.1	11.5
28	-0.5	-0.6	-1.5	-0.7	1.3	0.9	-19.0	-12.5	-1.5	9.7	9.4	8.5	12.6	11.1	12.8	3.0	-3.8	11.5
Mittel	-2.4	-5.0	-2.0	-1.6	-0.9	-3.7	-16.5	-11.7	-1.9	5.8	4.8	5.2	6.9	5.9	4.8	-0.1	-6.9	8.7

März 1911.

Tag	Minima. Zürich	Bern	Neuenburg	Genf	Basel	Altdorf	Bevers	Säntis	Lugano	Maxima. Zürich	Bern	Neuenburg	Genf	Basel	Altdorf	Bevers	Säntis	Lugano
1	2.9	−2.0	2.5	4.5	5.4	−0.1	−13.4	−11.7	−1.5	11.9	9.6	10.9	11.5	10.5	8.6	6.0	−5.3	14.0
2	−0.4	−1.0	−1.7	−0.3	0.3	0.0	−11.6	−12.3	4.2	5.4	6.6	6.0	8.9	7.5	7.7	1.7	−8.6	14.5
3	0.5	0.6	0.7	2.7	4.6	1.1	−8.2	−10.4	5.0	4.3	3.9	4.3	6.5	8.0	5.9	−1.6	−8.3	10.8
4	1.6	2.0	2.2	3.3	3.5	1.4	−11.7	−9.7	2.0	4.7	10.2	8.9	11.6	8.0	7.3	5.5	−4.8	13.6
5	1.0	−0.5	3.0	4.2	4.0	0.6	−18.8	−10.5	0.5	5.6	7.0	7.5	7.9	7.2	5.4	4.5	−8.4	12.4
6	−1.3	−2.9	0.0	1.4	0.2	−1.8	−18.2	−12.9	1.0	8.7	6.4	8.5	7.8	7.5	8.5	1.3	−5.8	15.0
7	−2.5	−2.8	−1.5	0.0	−1.4	−1.8	−17.7	−10.0	2.4	8.6	8.2	8.5	7.6	8.0	9.4	2.0	−5.9	11.5
8	−1.4	−1.7	0.4	−0.2	−0.1	−1.0	−15.8	−10.8	−0.5	6.5	7.8	8.5	11.5	8.5	8.9	3.0	−8.8	11.7
9	−1.2	−1.5	−1.6	−1.1	−1.4	−1.0	−15.0	−11.6	−1.5	10.4	10.1	9.1	9.7	8.8	10.0	1.6	−6.6	11.0
10	0.0	−1.5	2.0	1.7	2.9	0.3	−10.7	−10.2	3.0	7.6	6.0	5.5	5.2	8.8	5.4	2.1	−7.4	12.0
11	0.5	−1.4	−0.4	−0.4	0.6	0.5	−11.6	−10.4	1.7	10.7	8.1	8.4	7.4	10.2	7.9	1.7	−8.0	11.0
12	−0.7	0.4	−0.3	−0.1	1.0	2.0	−8.2	−10.2	−0.9	10.7	11.1	11.5	13.5	11.3	10.3	3.1	−7.5	13.0
13	−0.4	−3.1	0.2	1.4	0.9	−0.7	−16.5	−13.5	2.5	7.6	10.5	6.7	9.5	11.2	12.3	0.8	−7.0	7.1
14	−0.8	−2.1	−1.3	1.4	0.1	−0.9	−15.6	−15.5	−0.1	6.7	3.7	4.4	6.8	5.0	5.5	−1.5	−12.0	11.6
15	−1.4	−2.9	−1.0	−2.0	0.0	−3.4	−18.5	−15.3	2.2	3.8	2.7	1.8	3.7	4.3	4.4	−2.4	−12.5	10.9
16	−1.4	−2.3	−2.1	−0.5	0.1	−3.4	−20.1	−15.0	0.5	7.6	5.0	4.8	7.2	7.3	6.4	−0.6	−11.9	8.5
17	−0.6	−0.6	0.0	1.0	1.6	−0.9	−18.8	−13.5	0.5	9.6	7.5	8.1	9.5	7.0	10.7	0.6	−10.5	10.5
18	−0.6	−1.4	0.2	0.4	0.2	0.0	−16.1	−12.0	−0.3	9.9	7.4	7.5	7.0	10.5	13.2	2.0	−6.9	12.7
19	−0.3	−0.7	−0.5	0.8	2.7	0.6	−10.2	−7.8	0.0	15.6	13.2	13.5	11.8	15.0	14.4	2.7	−4.3	13.5
20	1.8	−0.1	4.1	4.8	3.5	10.1	−8.4	−5.2	1.8	13.9	13.1	13.2	11.5	11.0	14.7	5.0	−2.6	6.5
21	1.5	−0.6	0.6	0.2	3.0	6.6	−7.6	−5.4	3.5	18.3	15.8	15.0	13.9	16.5	16.4	7.0	−2.9	9.7
22	0.8	1.5	1.1	2.3	2.5	4.7	−6.0	−4.5	5.8	18.8	15.8	14.4	13.4	16.5	17.7	7.7	−1.4	10.7
23	2.0	1.4	2.4	4.9	3.6	4.3	−4.2	−5.0	5.5	16.4	15.3	16.5	15.3	15.5	15.4	7.3	−1.8	15.2
24	2.3	1.9	2.4	4.0	3.2	4.9	−4.2	−7.9	5.7	16.0	15.8	12.6	15.2	15.0	13.5	7.8	−2.6	16.0
25	0.1	−1.9	−0.4	−0.4	0.8	0.6	−9.2	−10.5	4.7	7.9	5.5	6.7	8.4	9.0	10.5	5.5	−5.2	14.8
26	−1.2	−7.9	−1.5	−2.0	−0.4	−4.2	−13.2	−12.5	4.0	5.0	3.6	0.8	2.8	3.7	3.9	−0.3	−7.7	8.6
27	−3.6	−6.4	−5.8	−4.2	−2.1	−2.5	−11.4	−12.4	0.3	6.1	3.5	4.0	3.0	7.1	9.9	2.9	−3.3	7.0
28	−0.1	0.1	0.0	0.0	2.1	3.3	−4.4	−3.2	0.4	14.8	8.8	11.0	12.0	12.0	17.7	8.9	−0.5	13.0
29	7.9	1.4	2.0	2.2	3.6	13.0	−3.9	−1.2	5.0	22.4	11.4	9.8	16.1	16.0	21.6	10.8	1.4	14.5
30	7.3	3.4	2.5	4.6	6.0	0.5	−9.0	−4.0	7.1	20.2	15.9	16.4	18.5	19.4	18.0	5.0	−1.1	15.6
	4.9	3.4	5.0	6.1	6.0	4.3	−7.1	−4.8	6.2	19.0	16.5	16.4	18.6	16.7	18.5	6.9	−2.1	16.5
Mittel	0.6	−1.0	0.4	1.2	1.8	1.4	−11.8	−9.7	2.3	10.8	9.2	9.1	10.1	10.4	11.0	3.5	−5.8	12.1

April 1911.

Tag	Zürich	Bern	Neuenburg	Genf	Basel	Altdorf	Bevers	Säntis	Lugano	Zürich	Bern	Neuenburg	Genf	Basel	Altdorf	Bevers	Säntis	Lugano
1	4.0	3.8	5.9	7.2	7.3	5.5	−5.4	−3.9	4.6	18.5	14.8	16.2	18.3	16.4	17.0	8.0	−1.0	15.5
2	6.9	6.4	5.5	7.5	5.8	7.9	−1.7	−3.7	7.0	18.7	16.3	17.0	16.6	16.5	17.0	9.5	−1.3	13.0
3	−1.0	−3.2	3.1	5.0	1.6	−0.9	−7.8	−12.5	6.0	7.2	8.4	10.0	10.7	10.0	9.6	7.4	−3.6	16.6
4	−2.7	−5.0	−2.5	−0.7	−2.4	−1.3	−10.8	−17.7	3.0	2.9	0.3	2.0	5.7	2.8	3.7	0.8	−12.6	13.1
5	−4.6	−5.0	−4.3	−2.6	−2.3	−1.4	−9.9	−16.4	−0.4	0.0	−1.8	−0.8	1.0	1.1	1.5	−1.4	−10.2	3.5
6	−2.0	−3.2	−2.9	−3.2	−2.8	−2.4	−16.5	−13.7	−0.5	0.8	1.7	3.5	5.1	1.2	3.0	−0.4	−8.5	7.5
7	−1.0	−2.3	−2.5	−1.0	−1.8	−1.5	−16.0	−13.4	−2.7	6.7	4.3	6.1	6.9	5.5	4.8	1.2	−8.7	13.8
8	−0.6	−2.6	−1.0	0.8	−0.5	−0.1	−15.7	−13.8	−1.5	2.9	3.0	5.3	5.9	3.5	4.6	0.6	−11.5	11.8
9	−2.4	−2.2	−1.6	0.1	−2.4	−0.3	−14.8	−13.7	−0.9	3.6	3.0	3.9	4.7	4.5	5.3	−0.1	−9.4	12.0
10	−2.4	−3.6	−2.7	−2.8	−2.7	−1.7	−13.2	−11.0	0.2	8.4	7.3	8.9	7.6	8.0	6.5	2.8	−8.8	12.0
11	−3.0	−2.4	−1.0	−1.5	−1.6	−0.5	−13.2	−10.5	4.2	13.0	10.9	12.6	12.1	12.6	11.5	4.5	−5.9	13.0
12	−0.7	1.6	−0.1	0.5	−0.4	0.7	−11.4	−7.7	3.0	15.4	14.6	14.5	14.5	14.5	14.5	0.8	−4.0	10.4
13	1.0	−0.6	3.9	2.8	4.6	0.5	−13.6	−12.1	5.0	9.8	8.3	10.7	12.3	9.5	9.3	0.7	−7.8	15.0
14	0.7	−3.1	1.0	2.8	−0.2	−0.3	−12.8	−12.2	6.0	10.7	8.8	10.0	9.8	11.0	11.5	2.0	−9.3	17.0
15	−1.8	−0.2	−1.6	0.0	−0.3	1.5	−9.8	−9.4	1.0	18.0	16.5	17.0	16.5	16.4	17.0	6.0	−3.5	18.5
16	1.7	2.9	0.2	1.2	1.5	3.5	−6.9	−4.6	2.5	22.6	21.2	20.7	22.2	21.5	23.0	9.8	0.2	18.0
17	6.6	2.2	5.1	5.6	3.7	4.5	−6.7	−3.3	5.4	21.5	18.3	18.5	19.0	20.0	18.5	7.0	−0.6	19.6
18	5.5	3.1	3.0	4.6	5.0	7.0	−3.4	−3.9	3.5	22.4	20.0	19.5	17.8	21.0	21.5	8.9	0.2	19.0
19	5.3	5.2	5.1	7.5	6.1	7.0	−0.5	−3.4	6.6	22.2	16.8	15.5	14.9	18.6	21.5	8.0	−0.3	18.5
20	7.0	5.2	5.5	6.0	7.5	5.7	−1.0	−4.5	8.4	8.7	9.4	10.0	10.0	11.0	11.5	9.2	−0.8	20.0
21	6.5	2.9	4.6	6.6	7.2	5.3	−4.2	−4.3	7.5	18.3	15.8	17.1	15.1	18.2	19.0	10.4	−1.0	26.0
22	5.7	5.4	5.0	4.8	6.3	6.3	−3.3	−2.5	7.5	22.6	20.1	21.7	19.3	21.9	23.7	13.0	3.0	23.7
23	7.0	8.6	5.9	5.9	8.6	9.7	−1.7	−0.3	10.0	24.3	22.9	22.1	20.5	23.5	22.5	12.8	2.7	23.6
24	10.8	5.6	8.7	9.4	9.9	10.0	−3.4	−1.1	8.5	22.1	20.3	19.7	20.0	18.1	23.5	12.2	2.0	23.5
25	8.7	9.0	6.1	7.0	7.6	8.5	−1.8	−1.9	8.0	21.9	20.5	21.7	19.4	20.1	22.8	13.4	1.6	26.0
26	9.3	7.2	10.0	10.5	9.3	8.5	−2.1	−3.4	10.3	13.1	13.9	15.7	16.9	16.4	12.3	11.8	0.3	18.3
27	7.1	6.1	7.6	8.6	7.8	7.4	−2.7	−5.4	6.1	14.8	12.6	11.5	13.2	13.6	14.7	8.6	−2.7	21.7
28	7.4	5.5	6.1	8.6	7.3	6.0	−2.9	−6.2	6.0	14.6	12.4	11.5	16.8	13.5	12.8	7.5	−4.0	21.0
29	6.2	2.5	5.5	6.4	7.7	6.5	−1.5	−6.2	8.3	12.5	12.6	11.5	14.2	14.9	16.5	9.2	−2.0	17.5
30	4.8	3.8	4.0	4.8	7.0	6.5	−3.0	−7.6	7.0	15.9	13.5	12.6	15.0	12.0	15.5	6.4	−4.5	20.0
31																		
Mittel	3.0	1.8	2.7	3.8	3.5	3.6	−7.2	−7.7	4.7	13.8	12.2	12.9	13.4	13.3	13.9	6.5	−3.8	17.2

Mai 1911.

Tag	Minima. Zürich	Bern	Neuenburg	Genf	Basel	Altdorf	Bevers	Säntis	Lugano	Maxima. Zürich	Bern	Neuenburg	Genf	Basel	Altdorf	Bevers	Säntis	Lugano
1	5.4	1.6	4.7	5.4	7.1	5.5	−3.1	−7.5	5.0	12.3	13.7	13.5	13.5	13.5	14.4	6.7	−5.1	21.0
2	1.7	2.1	2.0	2.8	3.6	3.7	−6.2	−7.7	6.9	16.2	14.7	16.6	15.6	16.5	17.3	8.8	−3.0	22.0
3	2.2	3.9	2.9	4.9	4.0	5.2	−2.2	−6.9	4.5	20.0	18.0	22.2	18.2	19.5	19.3	11.2	0.0	23.5
4	4.9	7.4	5.5	5.5	6.6	7.8	1.8	−3.4	6.0	20.4	18.1	19.0	20.6	17.4	19.6	13.3	1.7	22.0
5	7.5	7.2	7.5	8.4	8.7	8.5	1.9	−3.3	11.0	10.9	11.8	12.6	13.4	12.4	11.6	9.4	−1.0	22.5
6	6.0	3.1	6.4	8.8	6.7	6.1	−0.5	−5.7	7.9	14.0	13.1	15.6	16.5	15.7	14.5	10.0	−1.5	25.5
7	4.4	5.0	3.2	4.8	4.6	6.9	−0.5	−7.1	10.5	13.5	12.2	13.5	14.8	13.0	11.0	6.3	−5.0	19.7
8	6.1	5.6	6.5	7.7	6.6	4.5	−1.3	−5.2	8.5	13.0	9.9	11.9	12.9	14.0	15.0	9.3	0.0	12.3
9	8.1	8.1	5.5	3.4	9.8	6.8	0.3	−2.2	8.1	19.5	19.6	20.5	19.5	18.9	15.9	9.6	1.6	16.5
10	7.2	8.5	7.6	6.4	9.6	9.0	1.6	−2.3	6.5	20.6	18.8	18.1	22.0	19.7	19.1	10.5	1.4	19.2
11	9.6	9.9	8.5	8.7	10.7	10.3	0.4	−1.6	11.2	22.1	19.7	21.1	21.0	19.9	20.2	13.0	2.1	20.5
12	10.2	7.1	10.5	10.5	12.0	8.3	1.0	0.0	11.4	23.5	19.9	22.1	21.0	20.9	23.3	13.2	3.9	19.6
13	8.9	7.9	8.1	9.5	9.9	9.6	2.6	0.1	9.8	22.5	19.4	19.1	18.5	21.0	21.5	12.4	3.8	19.0
14	9.4	8.9	8.3	10.9	9.0	11.5	5.2	0.7	10.9	20.1	16.8	15.5	18.1	18.5	18.4	14.2	4.2	17.5
15	10.9	9.8	9.5	9.8	11.3	9.0	4.2	0.4	10.5	22.5	20.3	22.5	20.2	21.6	23.3	14.0	6.5	17.0
16	12.3	10.5	10.6	11.7	13.1	9.1	3.2	0.9	12.0	22.6	18.2	20.0	21.4	20.5	22.8	13.1	5.2	20.0
17	10.9	10.5	10.6	11.0	11.6	11.5	3.3	0.4	10.6	23.5	19.2	20.0	21.6	21.0	22.5	12.4	5.6	18.0
18	11.4	10.0	11.1	11.4	13.0	11.3	3.9	−0.4	11.5	15.2	16.1	15.5	18.3	16.5	15.3	11.4	1.7	18.0
19	7.1	4.9	9.2	10.8	9.2	8.4	−0.6	−5.9	11.4	15.7	14.2	17.0	16.8	14.5	14.0	8.3	−0.4	20.1
20	6.0	6.9	4.8	8.0	8.0	9.8	−0.4	−5.8	6.0	15.3	14.4	16.5	15.6	13.5	14.9	9.4	−3.2	20.7
21	7.2	6.6	7.0	8.5	7.3	8.3	−1.0	−5.0	10.2	16.6	15.0	17.0	15.4	16.6	15.7	10.6	−0.2	21.3
22	4.7	3.8	6.3	6.3	5.2	6.7	−4.2	−4.1	10.5	19.5	18.3	20.8	17.8	18.9	19.0	12.4	−0.1	22.0
23	5.2	7.9	4.9	6.0	5.6	9.2	0.5	−3.2	7.5	18.0	17.5	18.5	19.0	17.6	17.5	12.0	−0.2	22.5
24	10.3	7.4	8.6	7.5	10.7	10.3	3.2	−2.3	10.4	21.5	20.0	21.8	19.2	19.5	18.7	9.5	−1.3	25.8
25	8.8	9.1	9.5	9.6	12.9	12.0	4.2	−2.0	10.6	23.8	21.5	24.5	22.6	22.0	23.0	12.6	2.9	22.6
26	10.9	9.9	10.5	11.1	11.0	11.9	2.9	0.5	12.4	22.7	20.5	22.5	26.5	22.2	20.5	10.4	3.7	16.8
27	10.6	9.1	10.5	14.3	10.2	11.5	1.4	1.1	10.1	24.5	23.2	24.0	25.9	23.8	22.0	16.3	3.8	24.2
28	9.7	10.6	10.3	12.6	10.1	11.8	3.2	1.2	11.5	25.2	22.3	24.2	22.2	23.0	23.0	16.5	6.1	26.1
29	11.0	11.7	11.4	14.3	11.5	13.5	2.3	2.4	13.4	25.5	23.8	25.2	23.8	23.8	26.7	15.5	7.3	18.3
30	13.4	11.5	13.0	14.4	14.6	14.8	6.3	3.2	13.5	26.0	23.5	23.8	23.5	24.0	26.3	15.3	6.8	24.3
31	13.1	11.9	11.6	12.8	15.2	11.4	5.3	1.9	11.5	24.5	22.0	22.0	22.7	22.0	24.4	17.3	4.4	25.6
Mittel	8.2	7.7	8.0	9.0	9.3	9.2	1.2	−2.3	9.7	19.7	17.9	19.3	19.3	18.8	19.1	11.8	1.7	20.8

Juni 1911.

Tag	Zürich	Bern	Neuenburg	Genf	Basel	Altdorf	Bevers	Säntis	Lugano	Zürich	Bern	Neuenburg	Genf	Basel	Altdorf	Bevers	Säntis	Lugano
1	11.5	12.9	11.0	13.7	12.3	12.5	6.7	2.4	14.3	21.0	20.1	23.1	23.5	21.5	21.4	16.3	7.2	24.2
2	10.8	11.5	13.4	13.7	16.0	13.3	6.4	1.9	14.2	22.7	21.1	21.0	20.2	21.0	23.2	18.2	8.2	23.5
3	12.2	11.5	10.7	10.4	13.3	13.0	6.2	2.9	13.0	25.9	23.0	22.5	21.9	23.5	29.1	15.5	8.0	19.0
4	12.3	10.1	13.0	12.0	14.1	11.7	1.3	1.9	13.0	24.4	21.9	23.5	22.1	23.5	27.5	16.0	4.1	25.0
5	11.2	11.1	11.0	11.6	12.8	12.2	3.3	0.8	12.1	26.0	25.0	25.5	25.4	24.0	26.4	17.7	5.3	27.5
6	11.2	9.8	13.5	14.6	12.8	11.5	0.5	1.7	15.0	26.4	23.2	24.7	23.5	25.5	27.5	17.0	3.9	25.6
7	11.5	10.1	14.2	12.3	12.8	12.9	1.7	2.8	14.1	28.3	25.5	27.5	25.7	27.6	30.0	21.1	7.6	20.8
8	12.2	11.8	11.0	13.0	13.3	13.5	3.6	4.5	13.3	28.6	26.7	29.0	27.0	26.5	29.5	21.1	8.6	28.0
9	12.5	12.5	12.5	13.9	13.1	14.0	5.5	1.9	14.9	27.8	26.3	27.6	27.7	27.5	28.8	17.9	7.3	27.0
10	10.5	8.4	10.6	12.6	11.6	12.0	4.3	0.5	12.6	15.4	16.4	18.5	16.5	17.5	19.7	15.2	3.8	24.3
11	8.1	6.6	7.6	11.3	8.7	11.0	−0.6	−1.5	10.5	20.8	18.6	20.5	19.0	20.0	22.2	13.0	1.6	24.8
12	7.7	9.2	7.9	8.7	8.6	12.4	0.1	−1.5	12.5	22.6	21.3	21.4	22.8	21.1	20.5	13.8	2.9	22.0
13	9.4	9.3	10.3	12.4	10.2	11.0	0.1	−0.6	12.5	20.0	18.0	16.6	16.5	16.0	23.2	12.5	4.8	15.9
14	7.1	7.0	8.1	10.0	9.6	7.0	−1.5	−6.2	11.0	15.6	15.0	15.0	17.4	15.7	16.2	10.9	0.5	25.0
15	7.3	4.5	7.4	6.5	8.3	7.7	−0.9	−6.1	8.7	16.9	15.9	17.0	20.0	17.6	16.9	8.5	−3.8	22.5
16	6.9	9.2	5.2	5.7	8.0	10.0	2.2	−3.8	9.5	22.3	18.8	18.5	18.3	21.0	23.6	15.8	3.7	23.0
17	12.3	13.4	9.1	10.3	13.4	13.7	6.2	2.3	10.0	27.1	24.7	24.1	27.3	25.5	28.5	17.2	8.0	23.5
18	14.2	12.6	13.6	14.5	14.8	13.2	7.3	1.8	11.0	26.5	24.9	25.5	25.2	18.1	28.0	17.0	10.1	23.5
19	13.3	11.1	11.7	12.7	13.6	13.4	4.7	1.0	15.2	19.8	19.5	16.7	20.0	16.5	28.5	15.3	8.4	18.3
20	11.6	9.1	11.0	11.8	12.0	10.6	0.6	−1.8	12.5	19.4	17.5	17.5	20.3	18.0	21.2	9.4	1.1	23.3
21	10.9	7.9	8.4	9.5	10.8	9.9	−1.2	−1.8	13.9	21.5	20.4	19.7	20.1	20.4	23.0	15.1	2.3	26.0
22	8.9	8.0	8.6	9.5	11.6	11.0	1.2	−0.4	10.0	25.2	22.6	23.0	24.9	25.1	26.0	16.0	7.3	26.5
23	12.9	13.3	11.5	12.3	13.1	17.3	6.5	3.3	11.3	26.9	25.1	25.4	25.8	26.2	27.2	17.6	8.3	26.0
24	12.8	11.1	12.1	13.0	13.3	14.9	6.8	3.2	15.0	21.0	13.8	16.0	18.5	16.4	27.3	16.2	7.9	23.0
25	12.1	9.9	11.4	11.7	12.1	10.5	2.4	−0.6	14.9	18.5	15.9	13.7	13.9	13.7	21.7	15.9	8.2	19.3
26	9.1	9.4	9.8	8.7	12.1	11.2	3.2	−1.7	13.0	19.9	18.7	19.9	21.5	19.1	19.7	15.5	3.9	25.0
27	10.2	7.4	9.2	11.8	11.2	9.3	2.7	−3.1	12.0	15.7	18.6	15.5	20.5	15.5	19.5	14.3	−0.5	26.0
28	8.3	7.8	7.9	7.5	8.9	9.2	−1.2	−3.0	14.5	21.0	20.5	21.5	20.8	20.8	25.3	16.0	1.9	20.0
29	8.9	9.9	8.4	8.5	10.1	11.5	0.9	0.7	10.7	25.8	25.2	24.5	24.0	24.5	28.0	20.8	6.1	27.2
30	10.1	14.0	10.1	12.0	12.0	14.3	6.4	3.3	13.4	26.1	25.6	24.6	28.0	24.5	28.0	20.8	8.7	27.2
Mittel	10.6	10.0	10.3	11.2	11.8	11.9	2.6	1.6	12.6	22.6	21.0	21.3	22.0	21.1	24.6	15.9	5.2	24.2

Minima. Juli 1911. **Maxima.**

Tag	Zürich	Bern	Neuenburg	Genf	Basel	Altdorf	Bevers	Säntis	Lugano	Zürich	Bern	Neuenburg	Genf	Basel	Altdorf	Bevers	Säntis	Lugano
1	14.5	14.4	14.7	19.5	14.3	14.3	3.6	3.3	14.3	21.2	27.8	26.7	30.9	21.0	27.9	21.2	7.6	29.0
2	13.7	13.1	15.4	19.0	15.1	13.9	6.2	4.3	16.5	25.9	25.2	25.2	28.0	24.0	24.3	21.3	9.1	28.5
3	12.5	8.9	12.0	15.0	12.1	12.7	4.4	0.6	14.5	22.0	22.0	23.0	23.9	21.0	20.8	20.0	4.8	29.0
4	9.1	9.0	11.0	11.9	10.0	13.8	4.0	0.3	14.7	21.5	18.7	21.4	20.4	21.0	25.5	19.4	7.4	24.9
5	8.2	9.5	10.4	10.5	9.6	14.0	2.6	3.0	15.3	23.8	21.5	23.3	22.2	24.0	26.0	20.0	8.0	26.0
6	9.8	11.6	11.5	11.7	11.2	13.3	7.6	5.9	17.0	26.0	23.8	26.1	23.9	26.1	27.4	21.7	9.5	25.5
7	11.8	10.9	14.1	13.9	13.8	13.5	4.3	6.2	17.0	28.7	25.3	27.8	25.8	28.1	28.5	21.1	7.5	26.8
8	13.0	13.4	13.4	13.5	14.6	15.1	3.4	7.2	14.9	30.7	28.1	29.7	27.9	30.0	29.2	22.4	11.0	29.0
9	15.1	13.2	14.1	14.0	16.6	16.8	7.4	4.8	14.3	29.2	29.4	30.0	28.8	28.0	28.0	20.4	8.7	33.1
10	12.7	9.4	13.6	14.0	12.1	13.1	−0.5	1.2	14.2	23.3	21.7	23.5	22.2	24.0	25.3	18.4	4.7	26.0
11	9.7	9.9	13.0	11.5	10.8	13.4	1.2	1.3	11.0	24.5	22.1	25.0	23.4	24.8	26.0	18.0	3.7	24.3
12	12.1	12.4	12.0	13.0	12.1	13.4	5.9	1.6	10.9	27.8	25.0	27.4	25.4	28.0	28.5	19.5	7.0	28.0
13	13.9	13.4	14.2	13.6	15.1	14.2	7.7	4.8	14.2	29.5	26.6	28.8	26.9	25.0	23.0	17.9	8.1	30.0
14	14.0	11.4	14.0	13.3	14.7	12.0	5.6	4.0	15.0	28.0	26.2	28.6	25.6	24.1	25.0	16.1	5.9	28.5
15	13.0	12.4	13.0	12.5	16.2	13.6	4.6	4.0	14.0	28.2	27.1	28.7	27.6	26.2	26.0	19.0	6.9	29.0
16	13.2	10.5	12.1	12.0	13.7	13.0	3.3	2.8	13.0	25.8	25.6	26.5	30.1	24.0	25.7	18.0	6.0	30.0
17	11.7	11.1	10.9	12.4	12.2	13.0	3.2	2.1	13.5	26.5	25.4	27.6	27.0	25.5	24.9	19.9	6.8	28.3
18	13.1	12.8	11.6	11.6	13.1	13.7	3.2	3.8	16.8	29.4	27.3	28.6	31.0	28.5	26.0	19.5	9.0	29.0
19	15.4	14.7	13.9	14.5	14.6	13.7	5.5	5.4	16.3	30.2	29.4	30.4	29.0	27.6	27.1	20.8	11.8	28.2
20	14.1	13.6	14.5	13.8	14.8	13.9	3.6	5.5	16.5	30.2	28.2	32.4	30.0	28.0	27.9	21.6	9.6	29.5
21	14.9	13.3	16.5	15.6	14.5	15.2	5.4	6.3	15.8	30.5	27.5	30.7	28.4	30.0	29.0	23.6	10.8	32.4
22	14.4	13.8	16.0	15.4	15.1	16.3	7.9	9.0	16.5	32.9	30.6	31.5	28.0	32.8	30.8	23.5	13.3	30.5
23	15.8	16.9	15.5	16.1	16.8	18.5	8.9	10.7	19.0	35.7	33.2	34.3	30.0	34.2	31.9	24.0	15.9	31.5
24	17.8	15.5	17.5	18.2	19.1	17.5	5.1	9.0	17.2	35.4	32.4	32.0	36.1	32.1	29.3	24.4	14.2	33.0
25	16.7	16.1	15.2	16.5	19.8	16.5	5.2	7.5	18.0	33.0	31.2	30.7	32.8	32.3	29.5	23.0	15.0	32.8
26	17.1	16.6	16.9	19.5	18.5	17.3	5.8	10.0	17.2	31.1	30.5	32.2	33.7	31.7	30.5	24.0	14.3	32.8
27	18.4	15.9	18.0	19.0	18.6	17.7	6.3	10.3	16.5	32.9	32.0	32.7	31.8	32.5	31.8	24.6	15.4	34.0
28	18.8	14.2	17.0	18.9	19.5	17.5	6.6	9.6	16.2	33.0	31.3	32.1	31.5	32.4	32.9	24.0	15.4	34.0
29	18.3	14.4	14.5	15.4	21.2	17.8	6.0	8.4	17.6	33.7	32.6	31.5	28.8	34.0	32.5	23.9	14.3	34.0
30	17.6	18.7	17.6	17.8	20.6	18.7	4.5	10.1	17.5	34.9	33.8	34.5	30.5	34.5	34.5	24.2	13.2	33.0
31	19.2	14.9	19.9	17.8	19.5	16.5	3.2	8.3	19.0	34.5	32.1	33.0	28.4	31.7	31.8	23.1	12.5	32.0
Mittel	14.2	13.1	14.3	14.9	15.2	15.0	4.9	5.5	15.0	29.0	27.5	28.9	28.0	28.0	28.0	21.3	9.9	29.8

August 1911.

1	16.3	13.7	16.0	16.5	16.6	15.5	2.2	6.8	17.0	32.1	31.3	33.0	29.5	31.7	32.7	22.0	11.0	29.4
2	17.0	13.5	16.5	16.4	18.3	15.3	6.7	7.0	19.0	30.3	29.6	30.8	28.7	30.1	31.0	21.4	12.1	31.0
3	15.0	16.5	14.3	15.5	16.2	17.1	6.5	7.0	17.0	31.4	30.7	31.1	31.3	29.9	31.6	20.5	11.0	33.8
4	18.8	16.5	17.9	17.4	17.7	16.3	6.5	5.2	17.5	29.2	29.4	31.7	29.2	28.8	28.1	19.5	8.8	33.0
5	17.0	15.1	17.2	15.8	18.1	15.9	2.5	5.0	16.0	30.4	29.5	31.6	29.5	29.3	30.2	20.7	10.3	31.0
6	16.0	14.0	13.6	15.5	18.1	16.3	8.4	7.5	18.0	30.4	30.2	32.5	29.5	30.1	29.7	22.1	11.9	31.5
7	16.2	14.5	14.6	17.5	17.8	15.2	4.6	7.8	17.5	30.0	28.2	29.5	28.0	29.5	29.0	21.7	11.0	31.3
8	16.7	14.9	17.2	16.4	15.8	16.6	5.0	8.3	16.0	33.4	31.3	32.5	29.9	32.8	32.1	23.0	12.7	31.8
9	15.6	12.9	16.2	16.8	17.1	15.5	3.1	9.3	17.5	33.2	31.5	33.5	30.3	32.6	31.5	24.0	12.8	30.9
10	14.0	13.5	15.1	16.4	16.1	15.0	7.8	8.0	19.5	32.9	32.0	33.5	30.8	32.1	*29.2	22.0	11.1	31.0
11	15.7	12.2	16.3	14.4	17.0	14.5	6.2	6.3	18.5	31.5	30.4	32.0	29.6	31.2	*27.5	22.0	9.5	30.3
12	14.3	12.3	15.6	15.0	16.8	14.3	5.4	6.3	18.0	31.0	29.4	32.0	28.5	30.4	*26.0	20.5	9.0	28.8
13	13.7	12.7	14.8	16.2	15.8	14.4	3.0	5.4	16.5	30.8	29.6	32.2	28.0	30.2	28.1	21.3	10.4	29.9
14	14.6	11.5	14.8	15.2	16.1	13.2	2.5	5.1	17.0	30.5	30.3	32.5	28.8	30.0	28.3	19.8	9.1	30.4
15	12.0	12.5	12.5	14.0	14.1	14.9	7.6	4.1	15.0	30.2	29.5	31.1	29.6	28.0	28.2	18.7	9.3	30.4
16	14.4	10.3	13.1	12.8	13.3	14.4	3.1	2.5	15.2	26.2	25.8	27.8	26.2	24.0	*24.5	18.0	5.3	33.5
17	10.8	8.9	10.9	12.4	11.1	15.0	−0.7	1.5	15.5	26.9	25.2	28.0	26.5	23.5	*23.5	18.4	7.2	31.0
18	10.1	10.1	10.6	10.8	11.0	12.4	1.8	3.3	15.5	28.8	27.2	28.5	31.4	26.4	*26.5	22.0	8.5	29.4
19	11.1	10.1	11.2	10.9	11.8	14.6	5.4	5.7	16.0	31.6	29.6	31.7	33.5	30.3	27.5	22.2	10.9	30.0
20	14.0	15.4	14.4	15.5	16.8	16.2	7.8	7.2	17.4	33.3	31.4	29.5	33.2	31.9	27.0	19.8	12.6	29.0
21	16.5	14.4	14.0	16.9	17.2	17.0	9.5	5.4	16.5	30.8	27.5	26.3	26.4	27.6	26.7	15.0	12.0	23.4
22	15.9	13.9	14.4	15.8	17.2	15.7	7.5	6.4	16.0	28.3	24.7	23.6	24.2	27.0	24.5	15.6	11.1	24
23	15.1	13.1	15.0	15.0	17.2	15.7	7.3	5.0	18.0	23.2	20.8	20.3	21.5	21.3	23.2	16.5	11.1	27.5
24	14.6	12.5	13.1	14.5	16.2	14.5	6.5	3.2	15.0	26.6	24.5	24.0	27.5	24.5	21.5	18.3	8.1	28.2
25	14.6	14.1	13.4	14.9	15.6	14.5	6.6	4.3	13.0	28.7	26.7	26.6	28.4	25.5	24.1	18.9	9.0	28.0
26	14.4	11.2	13.4	15.7	16.9	12.3	1.4	2.2	15.5	23.4	25.2	22.1	23.5	24.0	19.5	13.7	4.5	24.8
27	11.4	11.4	11.2	11.5	13.2	12.5	2.2	2.9	12.3	26.9	24.7	26.5	24.8	26.0	23.8	18.3	9.2	27.2
28	12.5	12.9	11.6	12.5	14.0	14.3	4.9	7.1	13.5	29.8	27.6	27.6	30.0	28.6	26.2	20.3	11.9	28.0
29	16.6	13.0	13.1	14.1	15.8	15.3	3.9	8.0	15.0	32.7	30.3	29.0	27.2	31.0	27.5	21.5	12.8	29.3
30	16.1	11.6	15.5	16.0	16.9	14.6	6.3	7.3	16.0	29.0	27.7	30.0	31.6	26.4	25.4	21.8	11.4	32.0
31	12.0	8.9	12.1	14.7	13.0	11.3	0.6	3.0	16.0	23.0	20.4	22.5	22.2	22.5	21.3	15.9	7.3	30.5
Mittel	14.6	12.8	14.2	14.9	15.8	14.8	4.9	5.6	16.3	29.6	28.1	29.1	28.4	28.3	27.0	19.9	10.1	29.6

September 1911.

Tag	Minima. Zürich	Bern	Neuenburg	Genf	Basel	Altdorf	Bevers	Säntis	Lugano	Maxima. Zürich	Bern	Neuenburg	Genf	Basel	Altdorf	Bevers	Säntis	Lugano
1	10.3	12.6	10.1	11.7	11.1	12.9	2.4	5.6	16.0	26.6	24.0	25.0	23.4	26.2	22.5	19.4	11.2	27.0
2	12.1	13.4	12.5	14.0	11.1	14.5	4.0	9.2	13.5	30.7	28.5	28.2	26.8	30.0	26.1	22.6	13.0	28 5
3	14.1	12.4	14.1	15.1	15.2	14.5	4.3	10.5	15.0	32.5	29.5	31.1	30.0	31.9	27.0	23.9	14.3	29.0
4	14.0	13.2	13.6	13.6	15.1	14.7	4.3	8.9	16.0	32.2	30.1	31.3	29.2	30.5	26.7	22.5	13.1	31.7
5	14 9	14.1	14.6	14 7	15.1	15.5	6.9	8.1	15.5	31.3	30.4	31.3	29.0	30.5	27.2	20.6	11.6	30.0
6	15.0	12.1	14.5	14.4	15.7	14.6	1.2	7.9	16.0	29.3	30.2	30.5	28.0	29.0	26.4	20.4	11.6	31.0
7	13.2	12.5	13.7	13.9	14.1	14.4	2.0	8.3	14.5	31.1	29.3	31.0	28.5	30.0	26.5	21.7	12.0	31.5
8	12.8	14.2	13.1	14.1	14.5	15.3	3.0	9.5	15.0	31.8	30.3	29.5	31.2	31.0	24.9	21.5	13.3	31.5
9	17.2	13.5	14.8	16.6	16.6	15.3	2.1	8.0	15.5	32.1	30.1	30.5	32.8	31.5	20.7	19.6	11.6	30.5
10	13.9	9.9	17.4	14.5	15.7	12.5	−0.6	5.2	14.0	26.9	30.2	31.4	27.7	23.2	26.2	18.3	9.6	31.0
11	9.9	9.5	11.5	13.8	10.9	12.5	1.6	5.1	15.0	27.2	26.7	26.0	24.4	25.2	26.2	18.2	11.2	27.0
12	10.5	12.4	10.3	12.4	12.6	13.3	3.4	7.0	16.0	30.9	29.5	29.5	31.9	29.0	25.6	19.2	11.7	27.0
13	16.5	14.6	14.1	16.3	15.2	17.1	3.6	7.7	14.5	31.7	28.3	30.0	30.5	29.8	26.6	18.9	11.5	28.8
14	17.0	13.9	15.0	15.8	17.1	16.6	6.8	6.4	16.5	29.5	27.4	28.5	25.0	28.0	24.9	17.5	11.5	28.0
15	10.6	10.0	14.0	14.0	11.3	13.5	5.5	3.0	14.5	20.0	21.4	23.0	25.2	18.2	19.8	12.5	7.3	19.4
16	10.1	8.6	9.6	12.4	11.0	11.9	4.6	0.1	11.0	12.0	11.2	13.1	15.6	12.4	16.2	13.6	5.4	24.5
17	8.0	5.6	9.3	11.4	9.7	9.5	0.6	−4.4	11.0	17.6	14.7	17.0	17.0	17.0	15.4	10.0	0.0	22.2
18	6.9	3.4	6.3	6.2	8.1	7.3	−0.8	−5.6	11.0	19.4	17.4	19.4	18.8	17.9	16.6	8.5	1.0	24.5
19	6.6	7.1	6.0	6.0	7.6	8.5	0.9	0.1	8.5	23.0	20.5	20.7	22.3	20.7	18.8	17.2	8.0	26.5
20	10.5	10.5	10.0	11.7	11.3	11.5	2.0	3.3	10.7	24.9	22.6	23.1	26.8	23.3	21.6	15.2	7.0	24.5
21	8.7	6.4	8.7	8.8	11.1	8.6	0.0	−2.7	13.5	18.0	14.1	15.2	15.5	18.0	17.8	15.0	6.2	16.8
22	7.1	5.6	7.0	7.4	9.1	7.2	−0.8	−5.0	9.5	10.8	14.0	12.0	12.4	13.0	11.1	4.6	−3.0	14.0
23	6.7	5.5	6.4	7.4	8.8	5.4	−2.0	−4.8	9.8	8.5	9.5	9.5	11.8	10.2	10.2	4.6	−2.0	15.5
24	8.2	7.6	8.1	8.5	10.0	7.6	−3.1	−3.9	6.0	15.3	14.6	15.3	16.4	15.5	14.3	8.0	−1.1	21.6
25	9.4	7.8	10.0	10.0	10.6	7.3	−4.0	−2.5	8.0	21.5	20.0	19.0	19.0	17.0	17.2	10.6	1.5	24.5
26	9.7	6.1	9.0	8.5	12.0	7.8	−4.0	0.7	9.5	19.2	18.5	20.7	19.6	18.4	17.6	13.5	3.6	25.3
27	9.1	7.3	7.2	7.4	8.1	8.7	−3.0	1.5	9.7	21.2	20.6	21.5	20.3	21.0	18.3	13.8	5.0	25.5
28	10.8	7.4	12.5	11.5	14.2	10.5	−1.0	0.8	11.2	19.7	21.6	20.5	23.0	19.8	18.4	13.8	3.4	25.3
29	8.8	7.0	10.0	11.4	10.9	10.0	−2.6	−3.7	10.6	14.1	14.6	16.0	17.2	15.2	14.0	11.5	0.8	25.2
30	7.8	4.6	5.1	9.0	8.1	6.2	−2.4	−5.0	9.6	14.2	14.6	12.2	15.4	12.7	13.5	8.4	−1.4	20.0
Mittel	11.0	9.6	11.0	11.8	12.1	11.5	1.2	2.6	12.6	23.4	22.5	23.1	23.2	22.5	20.8	15.5	6.6	25.8

Oktober 1911.

Tag	Zürich	Bern	Neuenburg	Genf	Basel	Altdorf	Bevers	Säntis	Lugano	Zürich	Bern	Neuenburg	Genf	Basel	Altdorf	Bevers	Säntis	Lugano
1	5.7	3.8	4.6	5.5	7.3	5.2	−4.4	−7.0	8.0	8.3	7.8	9.6	11.8	10.5	8.5	2.7	−2.3	17.2
2	3.0	−0.8	4.5	3.0	5.4	0.8	−9.1	−9.6	11.0	8.0	9.6	10.4	11.4	10.1	6.7	2.0	−6.6	18.5
3	0.8	1.2	1.8	0.7	2.1	0.8	−8.2	−10.6	4.4	13.5	10.5	12.0	11.0	11.5	12.4	3.0	−5.1	10.5
4	3.8	5.0	5.1	5.1	5.6	7.6	0.6	−5.9	6.5	9.7	7.5	8.7	8.5	9.0	15.0	4.9	−1.3	10.5
5	6.4	5.0	4.6	3.4	7.0	6.6	1.8	−3.0	6.5	10.3	10.5	10.1	11.1	12.0	10.2	4.4	−0.6	10.5
6	7.4	7.1	7.0	6.2	6.6	7.5	2.7	−1.2	9.0	12.4	11.0	12.0	12.1	13.5	15.0	7.6	1.8	13.5
7	8.4	5.1	9.4	9.0	9.5	6.5	−2.0	−1.4	10.7	18.1	17.6	18.5	19.8	17.6	15.4	11.6	2.3	21.5
8	5.9	7.0	5.9	8.1	6.6	7.7	0.4	−1.4	9.0	17.7	13.6	13.5	15.0	13.5	19.6	10.4	4.3	17.0
9	9.6	9.2	8.8	9.8	9.6	9.0	3.4	1.0	11.0	17.9	16.2	13.0	16.7	15.5	14.3	12.8	5.8	20.6
10	7.1	5.1	8.3	10.3	6.6	9.3	1.0	−0.8	10.5	12.4	11.2	12.4	17.0	11.7	12.2	11.0	1.7	25.0
11	4.7	5.2	6.0	9.1	4.2	6.1	−2.4	1.8	10.2	15.2	10.6	12.0	12.5	13.0	11.3	14.4	4.9	14.5
12	7.4	6.0	5.9	9.0	7.6	6.3	−2.6	2 8	7.5	16.7	12.8	11.5	12.1	17.5	12.4	15.8	7.2	20.0
13	7.6	6.1	7.5	8.4	8.1	5.2	−3.6	2.8	6.0	11.6	13.0	14.2	12.4	16.1	12.3	15.3	6.6	21.6
14	8.2	6.6	9.5	10.2	9.2	6.2	−2.5	2.1	6.5	18.0	17.9	16.4	17.6	17.5	15.5	14.4	5.6	21.0
15	7.7	7.6	10.0	8.9	12.1	6.0	−3.6	2.9	9.0	19.6	18.0	17.9	17.1	15.5	15.6	14.2	5.1	19.5
16	9.4	8.1	10.1	9.5	11.2	6.9	−2.7	2.1	6.9	14.0	16.6	18.2	17.6	15.1	14.7	12.0	5.3	19.6
17	7.4	7.9	9.5	11.4	8.7	6.1	−0.5	2.8	8.0	11.6	10.3	12.1	15.2	12.2	17.6	7.9	6.0	18.0
18	6.4	4.5	8.0	8.5	6.0	6.2	−6.3	3.5	9.0	15.3	15.4	15.1	15.3	16.0	18.1	11.1	6.4	17.6
19	4.9	4.6	6.5	5.5	6.7	6.7	−5.2	1.2	5.0	17.0	16.8	14.6	14.3	16.9	17.8	11.0	5.7	17.8
20	6.0	3.9	8.0	7.9	8.9	5.4	−5.5	0.0	6.3	14.0	16.7	17.0	19.4	16.5	13.4	9.9	2.8	17.9
21	3.7	4.5	5.6	5.8	7.7	5.4	−4.8	0.3	4.8	17.6	15.7	12.7	14.4	17.6	17.7	11.5	5.4	19.5
22	8.0	6.4	8.8	9.0	11.1	6.5	2.3	0.0	10.0	17.0	16.8	16.7	18.0	19.5	15.0	7.9	3.3	16.5
23	9.2	7.9	9.6	11.6	10.6	6.5	−2.5	−1.8	11.0	17.2	15.0	16.0	19.0	16.7	15.1	10.2	0.4	19.0
24	4.0	1.1	6.0	6.5	8.5	3.5	−5.7	−4.0	8.0	13.3	12.1	13.0	17.0	14.0	12.2	5.3	−0.3	16.5
25	2.5	1.2	5.2	2.8	5.9	5.2	−8.9	−6.0	4.9	11.0	10.8	9.9	9.5	12.2	14.2	7.3	0.5	14.0
26	6.9	4.9	5.5	6.8	7.0	5.0	−9.1	−7.2	3.0	15.0	12.0	13.1	14.4	14.1	13.0	1.7	−2.3	17.5
27	6.3	5.0	6.4	6.4	8.3	7.4	−8.3	−4.9	4.3	18.0	13.4	14.4	16.9	16.0	15.0	5.5	−0.1	9.0
28	6.0	4.0	5.3	5.7	7.6	4.2	−11.6	−6.7	5.6	13.0	12.4	11.6	13.5	12.9	10.8	4.2	−4.8	15.7
29	3.9	2.9	5.0	5.0	4.8	5.3	−12.6	−5.9	3.7	9.9	11.4	11.8	12.0	8.8	11.8	2.1	−3.2	14.0
30	2.0	−1.4	2.1	3.2	1.3	0.2	−15.2	−7.4	2.9	11.1	10.5	11.0	11.5	9.9	9.0	1.7	−1.8	16.2
31	−0.3	−1.0	1.6	−1.3	1.2	0.1	−13.9	−3.9	2.5	12.4	10.7	8.4	11.4	9.0	9.6	5.9	−1.4	15.6
Mittel	5.8	4.6	6.5	6.8	7.2	5.5	−4.6	−2.1	7.1	14.1	13.0	13.1	14.4	13.9	13.6	8.4	1.7	17.0

November 1911.

Tag	Minima. Zürich	Bern	Neuenburg	Genf	Basel	Altdorf	Bevers	Säntis	Lugano	Maxima. Zürich	Bern	Neuenburg	Genf	Basel	Altdorf	Bevers	Säntis	Lugano
1	4.5	0.0	4.8	4.5	6.5	1.5	−11.7	−4.9	5.4	13.7	11.5	14.2	13.5	11.0	1[illegible]	5.3	−2.0	13.5
2	1.8	0.6	2.6	3.0	1.6	1.5	−11.0	−4.1	2.7	9.3	8.7	10.2	11.5	8.5	8.6	4.7	−0.6	14.5
3	3.3	2.7	3.5	0.3	1.6	1.3	−11.0	−3.3	3.8	11.2	6.6	9.3	8.1	8.0	8.4	4.2	−2.0	15.0
4	4.8	1.9	4.8	5.4	2.0	1.3	−10.0	−2.4	2.5	11.7	11.0	12.0	14.5	11.5	7.5	4.8	−0.1	15.0
5	4.9	2.5	4.9	2.8	4.6	1.4	−8.6	−1.4	2.5	17.9	17.3	16.5	19.1	19.9	11.2	6.5	2.5	14.5
6	5.6	−0.5	6.9	4.8	8.1	4.1	−8.0	−7.0	6.2	13.8	11.3	13.0	14.9	15.5	9.5	6.4	1.0	14.5
7	0.6	−3.1	1.5	−0.2	2.6	−0.4	−11.1	−10.4	3.0	11.3	9.0	10.9	10.0	9.8	8.7	2.0	−7.0	16.[illegible]
8	−1.5	−2.5	−1.9	−2.3	−0.4	−0.4	−10.0	−7.6	4.0	7.5	8.5	6.8	8.5	9.5	11.8	2.7	−3.6	13.0
9	0.0	2.5	2.0	3.6	4.0	6.1	−2.0	−5.0	4.8	6.3	5.6	5.7	6.5	6.6	14.9	2.1	−2.1	7.9
10	3.8	1.9	2.3	1.5	4.8	5.0	−7.2	−6.1	3.9	5.3	3.7	4.5	5.7	7.2	7.0	2.4	−2.1	8.3
11	1.1	−1.3	1.5	0.5	3.8	0.3	−14.2	−9.0	5.4	10.3	8.6	9.6	11.0	10.1	7.8	4.0	−4.4	11.5
12	−1.0	−0.7	0.1	−0.9	2.7	1.2	−12.2	−4.9	1.6	7.8	5.3	7.3	10.9	7.0	14.4	2.5	−0.1	11.6
13	5.0	4.0	4.6	4.7	5.5	3.0	−9.6	−7.3	5.6	7.1	6.9	7.9	8.0	9.0	7.9	1.5	−4.9	9.6
14	5.0	4.0	3.9	6.6	3.8	−0.1	−11.9	−7.0	6.4	7.7	7.0	8.0	9.6	7.4	8.5	0.2	3.0	17.0
15	4.5	2.5	4.7	4.2	5.4	0.4	−12.2	−3.8	3.0	10.0	9.7	9.7	11.9	11.2	7.7	1.8	3.0	12.0
16	4.3	0.0	5.5	3.2	4.1	0.6	−13.7	−5.2	2.5	14.0	11.5	11.3	14.6	13.1	10.1	1.6	−3.3	12.5
17	2.4	0.3	0.9	1.0	3.9	1.0	−12.0	−3.8	2.0	12.5	9.4	7.1	10.8	12.0	14.3	3.6	0.4	11.5
18	4.5	2.2	4.4	5.8	6.6	4.6	−10.7	−7.0	4.0	10.3	8.8	11.1	11.7	11.0	14.0	1.5	−2.5	7.5
19	3.7	1.5	2.8	3.5	5.1	1.4	−12.8	−11.5	3.3	7.8	6.1	6.5	8.8	8.0	8.8	1.7	−7.1	13.0
20	3.9	2.5	0.5	4.0	5.1	2.2	−15.5	−10.6	0.5	9.3	7.0	7.7	8.2	10.0	6.7	0.5	−8.7	11.5
21	3.6	2.7	3.5	4.8	4.6	2.9	−11.7	−8.7	0.5	12.4	10.4	10.8	13.6	9.0	15.3	1.7	−3.7	10.0
22	7.2	5.0	8.3	8.0	3.3	10.3	−0.1	−3.7	4.6	17.9	14.4	15.6	17.2	5.9	16.9	5.6	−0.4	8.9
23	4.2	3.5	6.0	5.1	3.2	9.1	−1.6	−1.0	6.5	11.5	11.7	10.4	12.9	5.0	14.9	5.2	−0.1	12.5
24	4.1	3.5	3.6	3.5	3.0	5.3	−8.6	−4.0	6.7	6.2	6.7	8.2	18.5	5.2	9.0	4.2	−0.1	9.5
25	3.0	2.2	3.1	5.0	2.4	1.5	−13.0	−6.2	2.7	7.1	6.4	6.5	7.9	5.0	13.6	1.1	−3.9	11.0
26	2.1	1.5	5.1	3.4	1.8	1.9	−12.0	−7.7	3.0	11.0	10.7	11.8	13.5	7.2	8.2	0.0	−3.7	10.4
27	1.9	1.9	3.6	5.4	5.1	4.5	−7.2	−4.4	5.4	7.7	7.9	7.0	8.6	8.5	14.7	2.4	−0.9	11.5
28	1.7	2.9	3.4	5.2	4.4	1.9	−5.6	−2.0	7.0	5.0	8.6	8.0	10.0	8.0	8.7	3.9	−0.2	9.5
29	1.5	−1.3	2.4	2.5	3.2	0.6	−11.0	−2.9	6.7	4.9	10.4	8.0	10.0	9.6	7.4	3.5	−0.7	11.9
30	0.4	−1.5	0.6	2.5	1.6	1.9	−14.1	−5.3	3.0	3.9	2.0	4.5	7.4	5.5	7.4	2.2	−2.0	11.7
Mittel	3.0	1.4	3.3	3.4	3.8	2.5	−10.0	−5.6	4.0	9.7	8.8	9.3	10.9	9.2	10.5	3.0	−1.9	11.9

Dezember 1911.

Tag	Zürich	Bern	Neuenburg	Genf	Basel	Altdorf	Bevers	Säntis	Lugano	Zürich	Bern	Neuenburg	Genf	Basel	Altdorf	Bevers	Säntis	Lugano
1	2.9	−0.4	2.1	2.9	4.3	0.5	−16.5	−6.0	1.3	4.2	2.4	4.3	6.0	6.5	3.8	−3.0	−2.3	9.5
2	0.1	−2.0	0.1	1.5	1.8	−1.8	−16.5	−7.7	1.5	6.7	1.5	2.2	4.2	6.5	4.5	−5.1	−3.9	8.0
3	−0.4	−1.9	−0.2	−1.8	−0.6	−1.2	−14.0	−5.9	0.1	5.4	4.4	4.0	4.0	6.6	3.6	−3.5	−3.4	8.[illegible]
4	0.2	0.2	0.9	0.0	2.3	−1.2	−10.2	−7.0	1.3	5.6	4.5	4.7	6.5	6.3	4.5	−1.6	−3.9	7.0
5	1.7	−0.5	2.6	1.3	3.6	0.6	−14.2	−7.4	3.5	6.6	5.4	6.6	6.5	7.0	6.0	−1.7	−6.5	6.2
6	0.0	−2.6	0.5	1.2	3.0	−1.2	−17.9	−6.4	1.8	6.5	6.9	5.0	7.2	8.0	6.8	−3.7	−4.1	9.0
7	−1.7	−1.9	0.0	−0.2	1.2	3.0	−14.2	−5.6	2.0	0.8	4.0	3.7	4.3	5.8	13.3	2.3	−3.3	8.3
8	0.1	0.5	0.7	1.9	2.1	1.2	−9.6	−5.9	3.4	3.8	4.7	7.6	9.1	6.2	6.9	0.8	−4.2	5.5
9	−0.5	−0.5	1.3	1.0	3.2	−1.2	−17.0	−12.0	3.5	5.6	6.0	6.5	8.8	7.7	4.7	0.4	−5.4	7.0
10	−0.2	−0.6	−1.0	−1.0	1.6	−1.2	−16.3	−13.9	1.7	5.0	3.4	4.0	4.6	5.7	9.0	−2.5	−5.5	9.2
11	0.9	0.2	0.3	0.3	3.2	2.4	−14.3	−11.1	0.3	3.9	3.5	5.0	5.3	6.0	11.0	−0.6	−4.0	3.5
12	0.2	−2.5	0.3	−0.5	2.9	−1.0	−19.8	−12.0	0.3	5.0	3.5	4.7	8.0	6.0	7.0	2.5	−9.9	11.5
13	−1.6	−2.0	−0.6	−0.8	1.3	4.1	−14.8	−12.0	0.2	2.2	1.5	2.6	4.5	4.9	10.9	3.0	−5.9	6.5
14	0.6	−0.7	0.4	1.8	4.1	1.4	−12.1	−6.0	0.2	7.7	5.5	6.8	7.6	6.6	12.9	2.1	−3.8	7.0
15	−0.5	−0.3	2.3	2.0	2.2	4.7	−10.9	−7.0	1.0	4.8	4.5	5.5	7.1	6.7	13.8	1.8	−1.2	8.0
16	−1.7	−3.0	0.6	0.7	2.6	−1.7	−20.8	−12.1	3.0	7.4	6.3	7.5	7.4	7.5	6.9	−1.1	−7.0	14.0
17	−3.0	−4.1	−1.4	−0.4	0.6	−2.1	−19.0	−10.0	0.2	0.9	4.6	3.8	6.5	5.4	4.8	−3.5	−0.2	10.2
18	−2.2	−4.1	−1.7	−2.6	0.2	−2.1	−13.9	−3.3	0.0	−0.7	5.5	1.8	1.1	6.5	3.4	−2.1	2.8	7.2
19	−2.2	−4.1	−1.0	−3.9	−0.1	−2.0	−12.6	−0.5	−1.5	1.2	2.7	2.7	0.8	4.6	5.0	−1.3	3.9	7.3
20	−1.0	−0.2	1.0	−0.5	3.1	0.9	−14.1	−7.0	−0.6	8.4	8.1	9.2	10.8	12.5	13.3	2.5	0.8	5.0
21	2.8	1.3	3.2	2.0	4.3	1.7	−13.4	−7.6	−1.5	13.2	12.2	10.6	14.4	14.0	12.0	1.8	−3.7	4.5
22	1.3	2.9	2.6	3.5	4.6	3.8	−7.9	−11.2	0.5	7.2	11.0	6.5	10.3	8.6	10.1	−0.3	−4.8	12.0
23	1.4	−2.1	2.4	1.0	5.0	−1.0	−21.0	−11.3	0.3	10.2	7.0	9.8	9.5	13.0	10.2	0.2	−4.7	13.0
24	−1.3	−1.4	−1.5	−1.2	0.4	−1.0	−18.0	−12.8	0.3	7.5	4.9	4.5	5.7	5.5	7.5	−2.8	−4.3	8.8
25	1.7	0.6	0.6	3.4	3.1	−3.7	−7.7	−11.4	−0.7	6.5	4.6	8.0	7.3	7.8	6.5	−2.8	−3.9	5.5
26	2.6	2.1	2.4	3.5	4.6	2.5	−8.0	−10.8	1.0	6.3	7.3	5.0	6.6	8.0	6.5	−1.6	−8.4	11.0
27	2.9	0.1	2.0	4.0	4.8	2.9	−11.6	−10.7	1.3	8.0	7.8	8.7	9.9	10.3	10.4	−0.6	−5.8	11.5
28	−0.2	0.3	1.2	4.0	0.3	2.7	−10.9	−11.8	4.0	4.6	4.6	5.0	7.2	5.7	5.7	−2.0	−6.4	11.5
29	4.2	3.6	3.4	3.0	3.8	3.0	−9.7	−6.1	−1.0	8.2	8.6	9.7	12.8	9.0	6.6	4.2	−2.7	6.5
30	3.1	0.3	0.5	0.4	5.0	2.0	−15.9	−5.9	−0.5	5.5	2.5	3.8	5.0	7.3	7.6	3.4	−1.8	5.[illegible]
31	1.2	−0.1	1.0	0.3	2.0	−0.3	−17.8	−8.6	−1.5	7.5	4.7	5.8	6.5	7.0	5.0	−0.2	−4.9	3.8
Mittel	0.4	−0.8	0.8	0.9	2.9	0.5	−14.2	−8.6	0.8	5.7	5.3	5.7	6.9	7.4	7.7	−0.5	−3.8	8.3

Pentaden- und Monatsmittel der Bodentemperaturen

von Buus im Jahre 1911.

Beobachter: **W. Bührer.** $H = 455^{m}$.

1911 Pentaden	Lufttemp. Tagesmittel	Bodentemperatur 1^{30}p in der Tiefe von cm 5	30	60	120	1911 Pentaden	Lufttemp. Tagesmittel	Bodentemperatur 1^{30}p in der Tiefe von cm 5	30	60	120
1.–5. Januar	−2.7	0.3	1.5	3.0	5.7	30.–4. Juli	17.0	22.8	15.4	14.5	13.0
6.–10. »	−3.7	0.2	1.4	2.8	5.4	5.–9. »	20.4	30.6	17.5	15.9	13.4
11.–15. »	−4.1	0.1	1.2	2.6	5.1	10.–14. »	19.1	30.6	19.4	17.9	14.4
16.–20. »	−3.6	−0.1	1.0	2.4	5.0	15.–19. »	19.3	27.1	18.2	17.5	15.0
21.–25. »	−3.2	0.0	0.9	2.2	4.7	20.–24. »	23.5	34.0	20.8	18.7	15.4
26.–30. »	−0.9	0.0	0.9	2.2	4.6	25.–29. »	24.5	35.1	22.2	20.2	16.3
31.–4. Februar	−3.9	−1.4	0.5	1.9	4.4	30.–3. August	23.3	33.0	22.5	20.9	17.1
5.–9. »	−3.3	−1.1	0.3	1.6	4.2	4.–8. »	22.1	31.4	21.7	20.5	17.5
10.–14. »	−0.2	−0.5	0.1	1.5	4.0	9.–13. »	22.9	36.2	22.8	21.1	17.7
15.–19. »	3.1	0.0	0.2	1.5	3.9	14.–18. »	18.2	28.6	20.9	20.6	18.1
20.–24. »	4.9	2.3	0.6	1.5	3.8	19.–23. »	20.2	26.0	19.5	19.4	17.8
25.–1. März	4.9	5.1	2.7	2.6	3.8	24.–28. »	18.7	22.4	18.1	18.3	17.4
2.–6. »	3.3	4.7	3.3	3.5	4.3	29.–2. September	18.8	23.0	17.7	17.9	17.0
7.–11. »	2.8	2.8	2.3	3.2	4.5	3.–7. »	20.4	24.1	17.8	17.6	16.7
12.–16. »	1.6	3.2	2.3	3.2	4.6	8.–12. »	19.9	23.6	17.7	17.7	16.7
17.–21. »	6.0	6.9	2.9	3.2	4.5	13.–17. »	15.5	18.7	16.8	17.1	16.5
22.–26. »	4.7	6.5	4.7	2.6	4.9	18.–22. »	12.3	14.3	13.3	14.9	15.9
27.–31. »	8.6	8.9	4.3	4.2	5.2	23.–27. »	12.0	14.3	12.2	13.5	15.0
1.–5. April	4.6	7.4	6.3	6.2	5.7	28.–2. Oktober	9.7	11.9	12.0	13.2	14.4
6.–10. »	0.4	2.5	2.5	4.2	5.8	3.–7. »	8.6	10.6	9.0	11.1	13.5
11.–15. »	5.2	8.4	3.9	4.4	5.5	8.–12. »	10.4	11.9	10.2	11.3	12.7
16.–20. »	10.1	13.5	7.3	6.3	5.8	13.–17. »	11.6	13.4	10.7	11.2	12.4
21.–25. »	12.9	17.7	9.6	8.2	6.7	18.–22. »	11.4	12.5	10.0	11.1	12.3
26.–30. »	9.7	10.7	9.7	9.2	7.6	23.–27. »	10.2	10.3	9.5	10.7	12.0
1.–5. Mai	10.0	16.0	9.1	8.8	8.0	28.–1. November	5.7	7.9	7.6	9.5	11.6
6.–10. »	10.9	15.4	9.8	9.2	8.3	2.–6. »	6.1	7.1	6.1	8.1	10.8
11.–15. »	15.2	20.6	12.2	10.7	8.8	7.–11. »	4.2	5.5	5.6	7.4	10.1
16.–20. »	12.8	16.4	13.2	12.2	9.8	12.–16. »	6.2	7.0	5.7	7.0	9.5
21.–25. »	13.3	18.4	11.8	11.4	10.2	17.–21. »	6.4	6.0	5.7	7.1	9.2
26.–30. »	16.7	26.1	15.0	13.2	10.6	22.–26. »	4.5	6.5	5.5	6.7	8.9
31.–4. Juni	17.2	23.1	16.2	14.6	11.6	27.–1. Dezember	5.0	6.3	5.4	6.6	8.7
5.–9. »	19.3	28.2	17.3	15.6	12.4	2.–6. »	2.6	3.7	3.9	5.8	8.4
10.–14. »	12.5	17.9	15.5	15.5	13.2	7.–11. »	2.9	3.4	3.3	5.1	7.8
15.–19. »	15.1	17.8	13.8	13.8	13.0	12.–16. »	2.9	3.8	3.5	4.8	7.4
20.–24. »	15.8	19.7	14.6	14.1	12.9	17.–21. »	3.5	2.3	2.6	4.3	7.0
25.–29. »	13.6	17.2	13.6	13.9	13.0	22.–26. »	4.5	4.4	4.0	4.7	6.7
						27.–31. »	4.4	5.7	4.4	5.0	6.7

Monats- und Jahresmittel.

Januar	−3.3	0.0	1.1	2.5	5.1	Juli	20.2	30.6	19.4	17.8	14.5
Februar	0.8	0.6	0.6	1.7	4.0	August	19.9	28.6	20.5	19.9	17.6
März	4.3	5.7	3.3	3.6	4.6	September . . .	15.3	18.8	15.4	16.0	16.1
April	6.8	10.0	6.6	6.4	6.2	Oktober	9.2	11.0	9.7	11.0	12.6
Mai	12.8	18.9	12.0	11.0	9.4	November . . .	5.2	6.5	5.7	7.2	9.6
Juni	15.2	20.7	15.1	14.6	12.7	Dezember . . .	3.3	3.9	3.7	5.0	7.4

	Lufttemp.	5 cm	30 cm	60 cm	120 cm
Jahr	9.1	12.9	9.4	9.7	10.0

Anmerkung. Die Pentadenmittel der Lufttemperatur sind aus den rohen Tagesmitteln $^1/_3$ ($7^{30}+1^{30}+9^{30}$) gebildet, während die Monatsmittel in obstehender Uebersicht, entsprechend denjenigen in den Monatsübersichten sämtlicher Stationen, nach der Kombination $^1/_4$ ($7^{30}+1^{30}+2\times9^{30}$) gebildet sind.

Anhang

zum Jahrgang 1911 der

Annalen der schweizerischen meteorologischen Zentralanstalt.

Ergänzende Beobachtungen und

Abhandlungen.

Nr. 1.

Übersicht über den Witterungsverlauf in der Schweiz im Jahre 1911

von *Dr. R. Billwiller.*

Im Nachstehenden werden die von der Zentral-Anstalt in den „Schweizer Blätter für Gesundheitspflege" veröffentlichten monatlichen Witterungsberichte zusammengestellt. Die Publikation wenigstens des Textes derselben in den Annalen hat sich als wünschenswert erwiesen und soll daher von nun an regelmässig an dieser Stelle erfolgen.

Die Witterungsberichte in genannter Zeitschrift reichen zurück bis zum Jahre 1883; seit Januar 1890 wird ihnen eine Zahlen-Tabelle mit den Hauptresultaten einiger Stationen beigegeben.

Das Jahr 1911 muss als sehr warm, sehr trocken und ungewöhnlich hell bezeichnet werden, zeigt also in bezug auf die hauptsächlichsten meteorologischen Elemente gerade entgegengesetztes Verhalten wie sein Vorläufer. Dies gilt in erster Linie von den Niederschlägen; auf das ungewöhnlich niederschlagsreiche Jahr 1910 — für grosse Teile der Schweiz sogar das niederschlagsreichste seit Beginn unserer Beobachtungen (1864) — folgte mit dem Berichtsjahr ein ausserordentlich trockener Jahrgang, ja in der Nordostschweiz sogar der überhaupt trockenste seit 1864.[1]) In Zürich erreichte die Jahressumme mit 736 $^{m}/_{m}$ nur 64 % der normalen; die Anzahl der Niederschlagstage betrug 139 gegenüber 157 im langjährigen Durchschnitt und 188 im regenreichen Vorjahr. 1910 und 1911 können also keineswegs als Bestätigung der sonst vielfach geltenden Regel dienen, dass sich jeweilen mehrere nasse (oder auch mehrere trockene) Jahre unmittelbar aufeinander folgen. — Auch die Werte für Bewölkung und Sonnenscheindauer zeigen gewaltige Differenzen gegen die entsprechenden Zahlen des Vorjahres, das ziemlich trübe war; die Dauer des Sonnenscheins erreichte in Zürich mit 2021 Stunden beinahe den Wert des Rekordjahres 1893 (2034 Stunden) und für die Höhenstationen (vgl. Davos und Säntis) ist die im Berichtsjahr registrierte Dauer bei weitem die grösste seit Aufstellung der Apparate (1886). — Das Jahresmittel der Temperatur zeigt den ganz erheblichen Wärmeüberschuss von zirka einem Grad gegenüber dem normalen; eine gleich hohe Jahrestemperatur (9.6°) wurde in Zürich nur erreicht in den Jahren 1866 und 1872 und im wärmsten Jahre 1868 mit 10.0°. — Das für die verschiedenen Elemente Gesagte gilt für den Nordfuss der Alpen; im Tessin zeigt das Jahresmittel der Temperatur nur eine geringe positive Anomalie, die Niederschläge übersteigen die normalen nicht unbeträchtlich und die Sonnenscheindauer weist ein kleines Defizit auf.

Die einzelnen Monate zeigten folgenden Witterungscharakter und -Verlauf.

Der Januar war ein kalter und trockener Wintermonat. Er brachte zwar keine sehr tiefen Temperaturen, dafür hielt der Frost beständig an (nur zwei Tagesmittel waren in Zürich etwas über dem Gefrierpunkt) und eine Schneedecke, die auch in den Niederungen den ganzen Monat hindurch stand hielt, vervollständigte den Wintercharakter der Witterung. Die negative Abweichung der Temperaturmittel liegt zwischen 1½ und 3 Grad; am geringsten ist sie am Neuenburger- und Genfersee, am grössten in den höheren Lagen des Mittellandes (St. Gallen, Bern). Die Niederschlagsmengen sind sehr klein; im Südwesten des Landes und in den innern Alpentälern fielen beinahe gar keine Niederschläge. Die Sonnenscheindauer war im Mittelland ein wenig grösser als normal; beträchtlicher ist das Plus auf den Höhenstationen.

Der Monatsanfang brachte (hauptsächlich am 2.) ausgedehnte Schneefälle unter dem Einfluss einer von Norden her in den Kontinent eindringenden Depression; vom 3. an lag das Tiefdruckgebiet südwärts der Alpen und bedingte sehr trübes Wetter bei leichtem Frost. Erst mit der Ausfüllung dieses Tiefdruckgebietes am 6. begann es zeitweise aufzuhellen und trat strengerer Frost, in den Niederungen nachts jeweilen auch Nebel ein. Am Abend des 9. und am 10. vermochte der Vorübergang einer nördlichen Depression Temperaturanstieg bis zum Taupunkt und Schneefall zu erzeugen, und auch am 13. fanden im Norden und Osten des Landes noch einmal leichtere Schneefälle statt. Dann aber begann sich über dem zentralen Europa hoher Druck festzusetzen, der bis zum Monatsschluss persistierte und eine eben so lang andauernde Trockenperiode bedingte, während welcher die Höhenstationen vorwiegend hellen Himmel und öfters Temperaturumkehr hatten; über dem Mittelland lag dagegen meist ein Hochnebelmeer, das sich nur zeitweilig auflöste, und die Temperatur hielt sich durchschnittlich mehrere Grade unter dem Gefrierpunkt und stieg nur vorübergehend (am 20. und 26.) auf Null Grad an. Die letzten beiden Tage des Monats brachten zufolge der Ausbildung eines stärkeren nach Südwesten gerichteten barometrischen Gradienten frische nordöstliche Winde, Aufheiterung und strengere Kälte.

Der Februar zeigt als Ganzes betrachtet keine nennenswerten Abweichungen vom Normalmittel, weder in Temperatur noch in Bewölkung und Niederschlagsverhältnissen. Bezüglich der Temperatur war er im Mittelland eher

[1]) Vergl. Anhang Nr. 3.

etwas zu warm, in den Alpentälern und auf den höher gelegenen Stationen ca. 1° zu kalt. Die letztgenannten Gebiete zeigen etwelchen Überschuss an Niederschlägen; im Tessin sind diese recht spärlich gewesen, indem der Südfuss der Alpen meist trockene und heitere Witterung hatte. — Am Nordfusse waren zwei Perioden zu unterscheiden: eine winterliche, kalte, während welcher auch in den Niederungen die Schneedecke noch vorhielt; im zweiten Monatsdrittel wurde es dann wesentlich wärmer.

Bis zum 8. lagerte hoher Druck im NW des Kontinentes; das ruhige, vorwiegend trockene Winterwetter dauerte daher noch fort; Depressionen, die aus dem N südostwärts in den Kontinent eindrangen, vermochten jeweilen nur vorübergehend Temperaturanstieg und Schneefall zu erzeugen, so am 3. und am 8. in der Osthälfte des Landes. Dieser letzteren Trübung folgte am 9. gänzliche Aufhellung und damit strengerer Frost, verursacht durch die Verlagerung des Hochdruckes nach Zentraleuropa; doch brachte eine flache Depression über der Nordsee schon am 11. Erwärmung und am 12. in den Niederungen Regen, der in der Nacht in Schnee überging. — Für die Witterung in der 2. Monatshälfte wurde bestimmend der sehr tiefe Luftdruck, der fortgesetzt über dem ganzen Norden des Kontinentes bestand, während meist gleichzeitig hoher Druck im Südwesten lagerte. So herrschten südwestliche Winde — und zwar den steilen Gradienten entsprechend oft von beträchtlicher Stärke — vor; die Temperatur lag beständig über der normalen, am meisten — bis zu 7 und 8 Graden — am 18. und 23.; Niederschläge, und zwar im Mittellande meist als Regen, fielen am 19. und vom 23. bis 26.; die gefallenen Mengen waren am grössten am 25.

Die Temperaturmittel des März zeigen für den Nordfuss der Alpen ein Plus von $^1/_2 - 1$ Grad über die normalen, da in der zweiten Monatshälfte eine Reihe recht warmer Tage vorkam. Die Niederschlagssummen ergeben einen kleinen Überschuss in der West- und Zentral-, ein Defizit in der Nord- und Ostschweiz. Die Bewölkungsverhältnisse waren ziemlich die normalen, nur der Südfuss hatte bedeutend stärkere Bewölkung und dementsprechend weniger Sonnenschein als durchschnittlich im März.

Die erste Pentade des Monats gehörte noch der Periode der trüben und niederschlagsreichen Witterung an, welche sich in der zweiten Hälfte des Februars unter dem Einflusse tiefer nördlicher Depressionen eingestellt hatte, nur dass die Temperatur nun nicht mehr nennenswert über der normalen lag und die Niederschläge daher teilweise als Schnee fielen. Der 6. und 7. waren ziemlich heiter; in der Folge herrschte wechselnde, hochnebelartige Bewölkung, jedoch ohne Niederschläge. Vom 13. an lag über dem Kontinent, der bis jetzt einem Sattel relativ hohen Druckes angehört hatte, eine umfangreiche Depression mit Zentren nord- und südwärts der Alpen; es traten leichte Schneefälle auf, und die bis jetzt ungefähr normale Temperatur sank ein paar Grade. Um den 17. begann sich der Tiefdruck im Südosten auszufüllen, dagegen verharrte im Westen des Kontinents eine stationäre Depression, welche eine vorerst nur in den Alpentälern, vom 21. an auch im Alpenvorlande fühlbare Föhnströmung auslöste. Mit der Verflachung dieser Depression am 23. hörte der Föhn auf, und am 24. setzten, veranlasst durch die Bildung eines Minimums am Südfuss der Alpen Trübung und Regen (mit vereinzelten Gewittererscheinungen) ein; der unbedeutende Regen ging am folgenden Tag bei rasch sinkender Temperatur in Schnee über und bescherte auch dem Mittelland vorübergehend noch einmal eine Schneedecke. Merkwürdigerweise bewegte sich auch diese Depression nordwestwärts und brachte daher am 28. noch einmal Föhnlage mit ungewöhnlich hohen Temperaturen (Maximum am 29. in Zürich 22.5°).

Der April war, als Ganzes betrachtet, zu kühl, zu trocken und etwas heller als durchschnittlich. Der Wärmeausfall, der im Mittelland zirka 1°, in höheren Lagen noch mehr beträgt, wurde verursacht durch die kalte Witterung in der ersten Monatshälfte; in der zweiten gab es dagegen eine ganze Reihe recht warmer Tage. Mit Ausnahme von Davos weisen alle Stationen ein Defizit an Niederschlägen auf; verhältnismässig am grössten ist dasselbe am Neuenburgersee, wo nicht einmal $^2/_5$ der normalen Mengen fielen. Die Bewölkung war geringer und dementsprechend die Sonnenscheindauer etwas grösser als durchschnittlich.

Dem seit Ende März herrschenden warmen Wetter folgte am 3. April — nachdem an beiden Vortagen Gewittererscheinungen aufgetreten waren — ein Umschlag, verursacht durch eine tiefe nördliche Depression, welche Teilminima über der Ostsee und am Südfuss der Alpen entwickelte. Mit der Ausbildung der letzteren zur Hauptdepression gingen die Niederschläge bei kräftiger Bise schon am 4. in Schnee über, und die stark gesunkene Temperatur blieb auch im Tagesmittel unter dem Gefrierpunkt. Der tiefe Druck im Süden des Kontinentes gab dem ganzen ersten Monatsdrittel die Signatur: trübes, sehr kaltes Wetter mit ganz unbedeutenden Schneefällen. Aufheiterung brachte erst die Ausbreitung des bis dahin im Nordwesten gelegenen Hochdruckgebietes gegen den Kontinent am 10.; aber auch jetzt blieb, trotz des hellen Wetters — nur in der Nacht vom 12./13. trat kurze Trübung mit etwas Schneefall in der Ostschweiz ein — die Temperatur bei nordöstlichen Winden unter der normalen. Bedeutend wärmer wurde es vom 16. (Ostersonntag) an, als hoher Druck im Süden des Kontinentes sich festgesetzt hatte und Depressionen im Norden auftraten; abgesehen von einer rasch verlaufenden Störung am 20. herrschte helles und sehr warmes Frühlingswetter. Mit dem 26. drangen die Depressionen auch in den Kontinent und bedingten nun stark wolkige Witterung mit zeitweisen Niederschlägen.

Der Mai war in bezug auf Temperatur annähernd normal und trotz häufiger Niederschläge in den meisten Landesteilen zu trocken. Die Monatsmittel der Temperatur übersteigen auf der Nordseite der Alpen die normalen um durchschnittlich einen halben Grad; es kamen weder besonders hohe, noch besonders tiefe Thermometerstände vor; namentlich muss das Fehlen der sonst im Mai häufigen Kälterückfälle konstatiert werden. Die Niederschläge fielen meist als Gewitter-

regen; nur in der Zentralschweiz, wo einige derselben besonders intensiv waren, wurden die langjährigen Mittelwerte überschritten; die übrigen Landesteile weisen ein nicht unerhebliches Defizit auf. Die Bewölkung war eine ziemlich starke, so dass die normale Dauer des Sonnenscheins nicht ganz erreicht wurde. — Im allgemeinen war der diesjährige Mai der Vegetation sehr günstig.

Auf die Periode trüben und vielfach regnerischen Wetters, die mit dem 26. April eingesetzt hatte, folgten vom 2.—4. Mai leicht bewölkte bis helle Tage mit Temperaturanstieg; vom 5. an verursachten dann flache Depressionen im Südosten wieder regnerisches und kühleres Wetter. Am 8. begann sich der im Norden befindliche Hochdruck nach dem Nordosten zu verlagern, und da nun gleichzeitig über Westeuropa flache Minima auftraten, so wurde es wärmer und die Witterung zeigte bei stark wechselnder Bewölkung bis zur Monatsmitte gewitterhaften Charakter; lokal sehr heftige Gewitter traten am 16. in der Zentralschweiz auf. Am Abend des 17. setzten dann starke allgemeine Niederschläge ein, verursacht durch eine umfangreiche Depression über dem Kontinent mit Zentren über Oesterreich und Oberitalien. Da im Nordwesten hoher Druck nachdrängte, so kühlte es in den folgenden Tagen bei nördlicher Luftströmung ab; nach dem 19. hörten die Niederschläge auf, ohne dass es zu durchgreifender Aufheiterung kam. Dagegen wurde es mit der allmählichen Ausbreitung des hohen Druckes nach dem Innern des Kontinentes wieder wärmer. Vom 25. an lagerte ein Hochdruckgebiet im Nordosten, flache Depressionen traten im Südwesten auf; damit neigte die Witterung wieder zu Gewittern, von welchen diejenigen in der Nacht vom 26. 27. in der Zentralschweiz die erheblichsten Niederschläge brachten.

Der Juni zeigt keine grossen Abweichungen in seinen meteorologischen Mittelwerten vom langjährigen Durchschnitt, abgesehen von den Temperaturmitteln; diese liegen um ½–1 Grad unter den normalen. Die Niederschlagsverteilung war zufolge der Natur der Niederschläge als Gewitterregen etwas unregelmässig: einzelne Gebiete der Zentralschweiz, des Jura und dann namentlich das Tessin weisen ein Plus an Niederschlägen auf; in den übrigen Landesteilen ist die Menge ungefähr die normale. Bewölkung und Sonnenscheindauer entsprechen den Durchschnittswerten des Juni.

Die Druckverteilung der letzten Mai-Woche — hoher Druck im Norden, flache Depressionen im Südwesten des Kontinents — bestand auch zu Anfang des Berichtsmonates noch und unter ihrem Einfluss dauerte das wolkige, zu Gewittern geneigte Wetter an. Erst als sich vom 5. an der Hochdruck, dessen Kern nun über NW-Europa lagerte, auch über Mittel-Europa auszudehnen begann, stellte sich helles Wetter ein und die Temperatur, die schon vorher etwas über der normalen lag, stieg noch mehr an. Am Nachmittag des 9. leiteten Gewitter — verursacht durch eine Depression im W — Regen mit Temperaturfall ein; einen noch tieferen Stand erreichte die Temperatur — nachdem es am 11. und 12. vorübergehend aufgeheitert — am 14., als eine Depression ostwärts mitten durch den Kontinent wanderte und intensive Niederschläge bedingte. Die nächsten Tage waren bei relativ hohem Druck über dem zentralen Europa wechselnd bewölkt; der 18. brachte unter dem Einfluss einer von NW bis tief in den Kontinent eindringenden Depression wieder Gewitterregen, denen in den nächsten Tagen Böen mit beträchtlichen Niederschlägen folgten. Die am 21. eintretende Aufheiterung war nicht von Dauer, niederschlagsfrei waren nur der 21. und 22., dann wurde die Witterung wieder trübe, kühl und regnerisch; beträchtliche Niederschläge fielen am 25. und 26. bei Vorübergang eines Minimums im Norden. Auf der Rückseite desselben setzten am 27. frische NW-Winde ein, welche die Temperatur noch mehr erniedrigten; mit der Ausbreitung des von W her nachrückenden Hochdruckes hellte es am 28. auf und es wurde wieder wärmer.

Sehr warm, sehr trocken und ganz aussergewöhnlich hell, so charakterisiert sich der diesjährige Juli. Sein Temperaturmittel gehört mit einem Wärmeüberschuss von 2½° und mehr gegenüber dem normalen zu den allerwärmsten überhaupt beobachteten; Zürich hat seit 1864 nur in den Jahren 1874 und 1881 mit 21.1° einen noch etwas wärmeren Juli, Genf anno 1870, 1881 und 1905; in Neuenburg dagegen ist der Juli 1911 der wärmste überhaupt. Mit Ausnahme von wenigen Tagen in der ersten Monatshälfte lagen alle Tagesmittel über den normalen; eigentlich heiss ist es aber nur im letzten Monatsdrittel gewesen. — Auch die überaus kleinen Niederschlagsmengen (Bern 1 $^{m}/_{m}$!) stellen für einige unserer Stationen einen Rekord dar; so hat die lange, mehr als ein Jahrhundert umfassende Genferreihe nur noch drei so geringe Julisummen des Niederschlages aufzuweisen (die kleinste anno 1800 mit 0.4 $^{m}/_{m}$). Niederschlagsmenge und Zahl der Tage mit Niederschlag zeigen übrigens auf den verschiedenen Stationen nicht unbeträchtliche Differenzen, welche durch die Art der Niederschläge (Gewitterregen!) erklärt werden. — Dagegen gilt allgemein für das Gebiet der Nordschweiz, dass der verflossene Juli der hellste seit Beginn unserer Beobachtungen gewesen ist; dementsprechend lieferte er auch weitaus die grösste Sonnenscheindauer.

An den ersten beiden Tagen verursachte der Vorübergang einer Depression im Norden des Kontinentes etwelche Niederschläge, die aber nur in einigen Alpentälern ergiebig waren (Gewitter am Nachmittag des 2.). Vom 4. an stand der Kontinent unter der Herrschaft hohen Druckes; damit begann die den ganzen Monat andauernde Periode trockener und heller Witterung. Bis zum 7. lag der Kern des Hochdruckgebietes über dem nördlichen Frankreich und Deutschland; eine nordöstliche Luftströmung liess daher die Temperatur trotz voller Sonnenstrahlung nur langsam ansteigen; immerhin lag sie am 8. und 9. ca. 4 Grade über der normalen, um dann am 10. und 11. etwas unter dieselbe zurück zu gehen, da eine Verstärkung des Druckes über den britischen Inseln und etwelche Abnahme im SE des Kontinentes wieder eine frische Bise auslösten, ohne im übrigen eine Änderung im Witterungscharakter herbeizuführen. In den folgenden Tagen nahm der gegen S gerichtete barometrische Gradient an Stärke ab und es bildeten sich kleine Unregelmässigkeiten in der Druckverteilung aus; so kam es vom 13.–16. nachmittags jeweilen zu leichten Gewittern, die aber nur lokal nennens-

werte Niederschläge brachten. Um den 17. hatte sich der Kern der Hochdruckzone nach dem Südwesten des Kontinentes verlagert, vom 20. an lag er über Mitteleuropa; nun erreichte die Temperatur bei fortgesetzt heiterem Himmel hochsommerliche Werte. Vom 19. an überschritt in Zürich das Maximum jeden Tag 30° bis zum Monatschluss; am wärmsten wurde es am 23. mit 36.0°; auch der 24. brachte es auf 35.5°. Niederschläge fielen — trotzdem vom 23. an die Luftdruckabteilung recht unregelmässig war (flache Depressionen über dem Kontinent, während der Hochdruckkern sich mehr nach dem NE verlagerte) als Gewitterregen allgemein nur am 24., sonst nur vereinzelt.

Der August 1911 war der wärmste, einer der hellsten und ein sehr trockener Augustmonat. Mit 20.9° übertrifft er in Zürich den vorhergegangenen Juli noch etwas und ist um $1^1/_2$ wärmer als der nächstwärmste August (1899) unserer offiziellen Beobachtungsreihe (seit 1864); der Wärmeüberschuss gegenüber dem Normale beträgt 3.6°. Selbst die ein Jahrhundert umfassende Genferreihe hat keinen wärmeren August zu verzeichnen. Die Niederschläge waren zwar etwas reichlicher als im Juli, blieben aber noch weit unter den durchschnittlichen des August; nur am Genfersee ist das Defizit nicht sehr gross, und das Tessin hatte einen gewaltigen Überschuss. Die Bewölkung war eine sehr kleine; immerhin haben wir noch hellere Augustmonate gehabt (1861, 1893).

Die Hitzeperiode, die seit Ende der zweiten Julidekade in Zentraleuropa herrschte, dauerte im August fort; bei vorwiegend hellem Himmel überschritt das Temperaturmaximum im schweizerischen Mittelland jeden Tag 30° bis gegen die Monatsmitte, und es kamen bis zum 6. nur ganz vereinzelte Wärmegewitter vor. Am genannten Tag verursachte der Vorstoss einer nordwestlichen, zwischen zwei Hochdruckgebieten im SW und NE gelegenen Depression vorübergehend allgemeine Trübung und leichte Niederschläge; schon am 6. hatte sich der Himmel mit der Verlagerung des Hochdruckkerns von SW nach Zentraleuropa wieder aufgeklärt, und es folgte eine Reihe sozusagen wolkenloser Tage. Um die Monatsmitte (am 16. und 17.) ging die Temperatur annähernd auf die normale zurück, da bei nordwestlicher Lage des Hochdruckgebietes eine tiefe Depression über dem NE des Kontinentes auftrat, welche Druckverteilung über dem nördlichen bis gegen das zentrale Europa Nordwinde veranlasste; schon in den nächsten Tagen lag aber die Temperatur wieder über der normalen. Erst mit dem 20. änderte sich der Witterungscharakter; eine von Westen her vordringende und in den nächsten Tagen über dem Kontinente liegende Depression brachte stärkere Bewölkung und alltäglich Gewitterregen, die aber nur strichweise ergiebig waren; dagegen fielen auf der Südseite der Alpen enorme Regenmengen (Tagessumme am 21. in Lugano 263 $^{mm}/_{m}$). Bis zum 26. blieb das Wetter — eine neue nordwestliche Depression machte sich in der Folge geltend — veränderlich bewölkt und gewitterhaft; dann setzte sich wieder Hochdruck über dem Kontinente fest, und es folgten wolkenlose und sehr warme Tage; in der Nacht vom 30./31. kühlte ein Gewitter mit namentlich in der Nordostschweiz stärkeren Niederschlägen etwas ab, so dass die Temperatur am 31. als dem einzigen Tag im ganzen Monat ein paar Zehntel Grade unter der normalen lag.

Der September zerfällt in zwei gänzlich verschiedene Witterungsperioden: die erste Hälfte war aussergewöhnlich warm, sozusagen niederschlagsfrei und sehr hell, die zweite eher kühl, wolkig und ziemlich niederschlagsreich. Der Wärmeüberschuss der ersten Monatshälfte war so gross, dass auch die Mittelwerte des ganzen Monats noch beträchtlich — im Mittellande ca. 2° — über den normalen lagen. Die Monatsmengen des Niederschlags sind dank den Regenfällen in der zweiten Hälfte ungefähr die normalen. Die Sonnenscheindauer übersteigt das langjährige Mittel in der ebenen Schweiz um ca. 40 Stunden. — Mit dem am 14. September einsetzenden Wetterumschlag fand die denkwürdige, in der Witterungsgeschichte Zentraleuropas wohl einzig dastehende Hitze- und Trockenperiode des diesjährigen Sommers ihren Abschluss; während die Trockenheit bis zum 26. Juni zurückdatierte (einzelne Gewitterregen im August abgerechnet), begann die Periode ungewöhnlicher Wärme erst mit der zweiten Julihälfte.

Über dem Kontinente persistierender Hochdruck war die Ursache des in der ganzen ersten Hälfte des Monats andauernden hellen, trockenen und sehr warmen Wetters. Vom 1. bis 13. überschritt in Zürich das mittägliche Temperaturmaximum an nicht weniger als 9 Tagen 30°, und die Tagesmittel lagen bis zu $8^1/_2$° (so am 9. und 13.) über den normalen. Irgend welche nennenswerte Niederschläge kamen nicht vor. — Am 14. bildete sich von einer im N erschienenen Depression aus eine Furche tiefen Druckes über Zentraleuropa; nach leichten Gewittern am 14. setzte dann am 15. endlich der lang ersehnte Regen ein, der bis in die Nacht vom 16./17. anhielt unter starkem Rückgang der Temperatur, da die Druckverteilung — flache Depression über dem Mittelmeer und hoher Druck über dem NW — nunmehr Luftzufuhr aus N bedingte. Noch intensiver war der nach einer mehrtägigen Aufhellung am 21. einsetzende Wettersturz, veranlasst durch den Einbruch einer nördlichen Depression in den Kontinent und Ausbildung eines Teilminimums südwärts der Alpen, welche starke Niederschläge brachte; letztere gingen im Alpengebiete infolge des empfindlichen Temperatursturzes bis unterhalb 1000 m in Schnee über. Am 24. hörten die Niederschläge auf, und es folgte trockenes Wetter mit vormittags starker hochnebelartiger Bewölkung bei ungefähr normalen Temperaturen. Am 28. setzten — wieder unter dem Einfluss einer nördlichen Depression — neuerdings Niederschläge ein.

Der Oktober war bei annähernd normaler Helligkeit etwas zu warm und — wenigstens für die Nordostschweiz — etwas zu trocken. Der Wärmeüberschuss über das normale Oktober-Mittel beträgt $^1/_2$–1 Grad; es kamen weder besonders hohe noch besonders tiefe Temperaturstände vor. Die Niederschläge ergaben wie schon gesagt für die Nordostschweiz ein nennenswertes Defizit, das gegen die Zentralschweiz kleiner wird und am Genfersee in einen Überschuss

übergeht; auch Graubünden und Tessin hatten einen solchen zu verzeichnen. — Die Sonnenscheindauer war in den Niederungen die normale, auf den Höhenstationen etwas grösser, im Tessin etwas kleiner.

Auf der Rückseite einer Depression mit Zentren nord- und südwärts der Alpen herrschte zu Beginn des Monats in Zentraleuropa sehr kühle, regnerische Witterung; die Niederschläge erreichten grössere Beträge in den Alpentälern der Zentral- und Ostschweiz, wo bis auf 900 m herab Schnee fiel. Am 3. verursachte ein neues vor dem Kanal erschienenes Depressionszentrum vorübergehend Aufhellung (in den Alpentälern Föhn), welcher aber schon am 4. wieder Trübung und Regen folgte. Auch in den nächsten Tagen blieb die Witterung unter dem Einfluss von Tiefdruck im SW vorwiegend trüb und regnerisch, während die Temperatur wieder auf und über die normale anstieg; am 9. traten noch einmal Gewitter, stellenweise mit Hagelschlag auf. Mit Beginn der zweiten Dekade kam unser Land in den Bereich einer von NW her vordringenden Hochdruckzone, die sich in der Folge nach dem Norden und Nordosten verlagerte und damit setzte trockenes, aber in den Niederungen vielfach trübes Wetter ein, während es auf den Höhen über dem Nebel meist heiter war. Eine durchgreifende Änderung in der Druckverteilung und damit im Witterungscharakter trat erst mit dem 22. ein, von welchem Tage an tiefe, über dem Nordwesten des Kontinentes liegende Depressionen Südwestwinde, Temperaturanstieg und zeitweise Niederschläge brachten; letztere waren in der Westschweiz ergiebiger als im Osten des Landes. Am 26. und 27. ging in den Alpentälern der Föhn, der auch im Mittellande Aufhellung brachte; schon am Abend des 27. setzte neuerdings Regen ein. Erst die letzten beiden Tage des Monats waren niederschlagsfrei und abgesehen von Morgennebeln auch leichter bewölkt, da das Depressionsgebiet nun weiter im Norden lag und sich über den Kontinent ein bandförmiges Hochdruckgebiet erstreckte.

Der November war warm, verhältnismässig hell und in der Westschweiz niederschlagsreich. Die Temperatur lag mit Ausnahme ganz weniger Tage immer über der normalen, so dass sich ein Wärmeüberschuss von durchschnittlich 2 Graden für das Mittelland ergab. Bezüglich der Niederschläge besteht ein merklicher Unterschied zwischen Westen und Osten des Landes, indem Genf mehr als das anderthalbfache der normalen Novemberniederschläge aufweist, während letztere in der Ostschweiz nicht erreicht wurden. Die Sonnenscheindauer übersteigt die normale in den Niederungen beträchtlich, da Mitteleuropa häufig im Bereich von Depressionsgebieten lag und somit das antizyklonale Hochnebelwetter nicht so häufig war wie sonst in diesem Monat.

Das zu Ende Oktober eingetretene trockene Wetter hielt zunächst an; morgens war der Himmel in den Niederungen meist bedeckt (Hochnebel), untertags trat etwelche Aufheiterung ein. Am 5. machte sich eine im hohen Norden auftretende, ungewöhnlich tiefe Depression (Zentrum 712 $^{m}/_{m}$!) auch bei uns bemerkbar durch auffrischende Westwinde, Temperaturanstieg und nachfolgende Niederschläge, die aber nur in der Zentralschweiz erheblich waren. Dem Vorübergang dieses Wirbels folgten am 7. und 8. zwei auch in der Niederung meist heitere Tage. Dann wurden im Westen des Kontinents gelegene Depressionen bestimmend für die Witterung; die Westschweiz und der Südfuss der Alpen hatten unter dem Einfluss eines Teilminimums über dem Golf du Lion schon am 9. sehr starke Niederschläge, während es im Osten des Landes erst am 10. regnete. Neuerdings fielen dann Niederschläge am 12. und 13. (Depression über den britischen Inseln, Teilminimum über Oberitalien), während vom 14. bis 17. trockene, vormittags trübe (Hochnebel) Witterung herrschte bei ziemlich hoher Temperatur. Am Abend des 17. machte sich in der Westschweiz ein Teilminimum einer von Westen her vordringenden Depression durch Niederschläge bemerkbar; die genannte Depression brachte dann in der Nacht vom 18. 19. dem ganzen Lande Regen, der aber bald durch starke bis stürmische Südwestwinde abgelöst wurde. Am 22. verursachte ein über dem südwestlichen Frankreich gelegenes flaches barometrisches Minimum in den Alpentälern Föhn, unter dessen Einfluss auch im Mittellande die schon vorher hochliegende Temperatur eine ungewöhnliche Höhe erreichte. Der tiefe Druck im Südwesten des Kontinentes erhielt sich eine Zeitlang und bewirkte verhältnismässig mildes, aber stark bewölktes und zeitweise regnerisches Wetter. Vom 26. an hob sich das Niveau des Luftdruckes im Südwesten, und die bisher im Nordwesten und Norden gelegene Hochdruckzone verlagerte sich nach dem Osten des Kontinentes; nun hatte das Mittelland ruhiges, trockenes, aber auch sehr trübes Hochnebelwetter unter langsamem Sinken der Temperatur bis auf die normale.

Der Dezember war sehr warm und brachte häufig Niederschläge, deren Betrag im Westen des Landes das Normale weit übersteigt (in Genf fiel mehr als das Doppelte der normalen Menge). Zufolge der hohen Temperatur fiel der Niederschlag im Mittelland fast ausnahmslos als Regen und erst über 1000 m Meereshöhe kam es zu einer beständigen Schneedecke. Der Wärmeüberschuss des Monatsmittels beträgt ca. 3½ Grade, Zürich hat in unserer Beobachtungsreihe (seit 1864) nur 3 wärmere Dezember zu verzeichnen. Die Sonnenscheindauer war ungefähr die durchschnittliche des Dezember.

Das trockene, in den Niederungen vorwiegend trübe, über dem Hochnebel heitere Wetter, das sich in der Mitte des letzten Novemberdrittels eingestellt hatte, hielt bis zum 4. an unter dem Einfluss hohen Druckes mit Kern über dem Nordosten des Kontinentes. Am genannten Tage verursachte eine im Nordwesten der britischen Inseln liegende Depression Erwärmung und etwelche Niederschläge; in den nächsten Tagen wurde dann aber noch einmal der Hochdruck im Osten bestimmend für die im Mittelland trübe und vielfach neblige Witterung. Vom 7. auf den 8. brachte ein Teilminimum (Golf von Genua) der noch immer im NW liegenden Depression dem äussersten Westen des Landes Niederschläge; allgemein fielen dann solche, allerdings von geringer Intensität, am 8. und 9. beim Vordringen der Hauptdepressionen

Nach kurzem Unterbruch am 10. setzten schon am 11. unter dem Einflusse eines neuen nordwestlichen Tiefdruckgebietes mit Teilminimum südwärts der Alpen wieder Niederschläge ein und die Witterung blieb trüb und vorwiegend regnerisch bis zur Monatsmitte. Mit dem 16. hob sich das Niveau des Luftdruckes über Mitteleuropa, die Niederschläge hörten auf und die Temperatur sank bei in den Niederungen vielfach nebligem Wetter auf und unter die normale. Am 20. trat starke Erwärmung ein und die Witterung blieb im ganzen letzten Monatsdrittel unter dem Einflusse von nördlichen Depressionen sehr warm und niederschlagsreich; besonders grosse Niederschläge fielen um die Weihnachtstage bei starken bis stürmischen südwestlichen Winden. Erst die letzten beiden Tage des Jahres waren bei Hochdruck über dem Kontinent wieder niederschlagsfrei.

Kurz resümiert ist das Wesentlichste aus dem zeitlichen Verlauf der Witterung im Jahre 1911 etwa: Der Winter war bis Mitte Februar kalt und vorwiegend trocken, das Frühjahr brachte einen milden März und schon im April und im Mai begann sich die Haupteigenschaft des Jahres, die Trockenheit bemerkbar zu machen; sie wurde dann geradezu exzessiv im Juli, August bis und mit der ersten Septemberhälfte, welche Monate unserem Lande einen Sommer von seltenster Helligkeit und Wärme bescherten. Auch der Herbst war — von der Westschweiz abgesehen — zu trocken und wärmer als normal, letzteres besonders im November, dem ein ihn noch an Wärme übertreffender, im Mittellande gänzlich schneeloser Vorwinter folgte.

Monatswerte der wichtigsten meteorologischen Elemente 1911.

	Höhe m	Januar	Februar	März	April	Mai	Juni	Juli	August	September	Oktober	November	Dezember	Jahr
		Temperatur.												
Basel	277	-2.4	2.3	5.6	8.3	13.9	16.3	21.5	21.7	16.8	10.1	6.2	4.8	10.4
La Chaux-de-Fonds	987	-5.0	-1.8	1.7	3.7	10.2	12.8	18.1	17.9	13.4	7.3	4.3	1.6	7.0
Zürich	493	-3.7	1.2	4.9	7.9	13.3	15.6	20.8	20.9	16.2	9.3	5.9	2.9	9.6
Genf	405	-1.7	2.5	5.4	8.5	13.8	16.6	21.9	21.6	17.0	10.1	7.1	3.7	10.5
Davos	1561	-9.2	-6.1	-2.4	1.3	7.1	9.7	14.4	13.6	9.1	4.0	0.0	-3.2	3.2
Säntis	2500	-8.1	-9.3	-7.7	-5.7	-0.4	2.5	7.8	7.6	4.7	-0.2	-3.7	-6.2	-1.6
Lugano	276	1.3	3.2	6.8	10.7	15.1	17.6	22.3	22.1	18.0	10.9	7.3	4.4	11.6
		Abweichungen von den normalen Monatsmitteln.												
Basel	277	-2.1	0.2	0.7	-1.2	0.6	-0.8	2.5	3.7	2.1	1.0	1.5	4.3	1.1
La Chaux-de-Fonds	987	-2.2	-1.1	0.8	-1.7	1.1	0.3	2.7	3.5	1.7	1.2	2.8	3.6	1.0
Zürich	493	-2.3	0.4	1.1	-0.9	0.4	-0.9	2.4	3.6	2.0	0.9	2.3	3.5	1.0
Genf	405	-1.7	0.4	0.5	-0.8	0.6	-0.4	2.4	3.4	1.9	0.6	2.1	2.8	1.0
Davos	1561	-1.9	-1.1	0.1	-1.1	0.3	-0.6	2.2	2.3	0.6	0.6	1.2	2.8	0.5
Säntis	2500	0.7	-0.6	0.7	-1.0	0.4	0.0	2.8	2.9	1.8	1.5	1.4	1.9	1.0
Lugano	276	0.0	-0.3	-0.1	-0.7	0.0	-1.5	0.8	1.6	0.8	-0.6	1.1	2.1	0.2
		Niederschlag ($^{m}/_{m}$).												
Basel	277	31	36	41	33	48	108	13	48	72	64	74	56	624
La Chaux-de-Fonds	987	37	77	112	80	99	174	42	62	113	136	84	193	1209
Zürich	493	28	59	54	44	68	116	40	57	100	54	45	71	736
Genf	405	2	39	50	47	40	83	5	79	59	138	136	120	798
Davos	1561	9	75	50	64	43	144	47	101	114	89	63	139	938
Säntis	2500	49	239	115	205	95	331	42	136	191	187	80	359	2029
Lugano	276	16	17	107	89	103	323	37	405	228	240	265	100	1930
		Abweichungen von den normalen Monatsmengen.												
Basel	277	-6	-3	-11	-33	-34	3	-75	-38	-6	-18	12	4	-205
La Chaux-de-Fonds	987	-72	-5	19	-38	-20	57	-83	-56	3	-2	-13	87	-123
Zürich	493	-21	2	-20	-52	-46	-18	-92	-76	-10	-49	-26	-3	-411
Genf	405	-40	-6	-4	-18	-41	8	-74	-11	-21	25	57	64	-61
Davos	1561	-37	20	-5	9	-15	42	-77	-25	19	21	7	76	35
Säntis	2500	-95	69	-56	-1	-104	47	-271	-139	-19	4	-42	204	-402
Lugano	276	-51	-38	6	-70	-76	138	-122	222	34	31	127	28	229
		Sonnenscheindauer in Stunden.												
Basel	277	81	101	128	182	201	238	369	321	196	109	83	65	2074
La Chaux-de-Fonds	987	105	105	89	167	154	198	362	305	206	140	96	59	1985
Zürich	493	56	103	146	191	197	219	371	315	204	98	83	39	2021
Genf	405	39	117	124	201	222	232	337	317	217	91	69	36	2002
Davos	1561	148	128	136	201	160	180	278	261	176	154	107	77	2006
Säntis	2500	192	104	129	196	122	161	249	228	189	173	127	100	1971
Lugano	276	141	156	121	228	182	222	313	300	230	137	91	91	2219
		Abweichungen von den normalen Mitteln.												
Basel	277	23	12	10	39	21	36	140	103	39	-1	19	12	453
Zürich	493	8	22	17	31	-2	3	123	83	40	-4	34	2	356
Genf	405	-8	30	-8	31	15	10	66	63	35	-29	5	1	211
Davos	1561	46	19	-13	43	-15	4	68	52	4	21	5	-14	220
Säntis	2500	70	-14	-5	59	-30	14	83	48	30	35	-10	-23	258
Lugano	276	14	9	-60	45	-32	-22	21	27	29	-10	-13	-26	-11

No. 2.

Resultate der Aufzeichnungen der autographischen Apparate für Luftdruck, Temperatur, Richtung und Geschwindigkeit des Windes

auf den Stationen: Zürich, Säntis und Bern

im Jahre 1911.

In den nachfolgenden Tabellen folgen die stündlichen Werte einiger meteorologischen Elemente für Zürich und Säntis in extenso, für Bern nur in Monatsmitteln. — In Zürich und auf dem Säntis werden die Temperaturen durch Richard'sche Thermographen, die Daten für Luftdruck durch Sprung-Fuess'sche Barographen, die Aufzeichnungen der Windrichtung und Windgeschwindigkeit durch Anemographen von Beckley gewonnen. — In Bern wird seit Anfang 1898 die Registrierung der Temperatur und Feuchtigkeit in veränderter Exposition, nämlich in einer freistehenden Hütte und mit Verwendung des Richard'schen Thermo- und Hygrographen, vorgenommen; die Luftdruckbeobachtungen dagegen werden wie bisher vom Wild-Hasler'schen Barographen gewonnen.

Januar 1911. **Stündliche Lufttemperaturen.** $h_t^* = 1.8^m$. **Zürich.**

Tag	1^{30}a	2^{30}	3^{30}	4^{30}	5^{30}	6^{30}	7^{30}	8^{30}	9^{30}	10^{30}	11^{30}	12^{30}p	1^{30}	2^{30}	3^{30}	4^{30}	5^{30}	6^{30}	7^{30}	8^{30}	9^{30}	10^{30}	11^{30}	12^{30}a	Tagesmittel
1	−1.5	−1.8	−1.4	−1.8	−3.2	−3.5	−3.4	−3.6	−3.0	0.0	−1.4	−1.8	−0.8	−1.3	−1.4	−2.0	−2.6	−3.2	−3.1	−2.5	−2.5	−2.1	−2.3	−2.4	−2.17
2	−2.0	−2.3	−2.4	−2.3	−2.2	−2.0	−2.0	−1.7	−1.5	−1.4	−0.4	0.6	0.6	0.2	−0.9	−1.1	−1.9	−2.2	−2.5	−4.3	−5.0	−4.9	−5.1	−6.0	−2.22
3	−5.9	−5.9	−4.8	−4.8	−4.8	−4.4	−4.0	−3.7	−3.6	−3.5	−3.2	−3.4	−3.3	−2.9	−3.0	−3.0	−2.9	−3.0	−3.0	−2.9	−2.9	−2.6	−2.4	−2.3	−3.59
4	−2.2	−2.0	−1.9	−2.0	−1.9	−2.0	−2.3	−2.2	−2.1	−1.8	−1.5	−1.7	−1.4	−1.7	−1.7	−1.6	−1.8	−1.8	−1.7	−1.5	−1.6	−1.7	−1.9	−2.0	−1.83
5	−2.1	−2.1	−2.0	−2.0	−2.2	−2.3	−2.3	−2.2	−1.9	−1.6	−1.5	−1.4	−1.0	−1.2	−1.4	−1.6	−1.7	−1.8	−1.9	−2.0	−2.1	−2.2	−2.0	−1.9	−1.85
6	−1.9	−2.0	−1.9	−2.2	−2.2	−2.3	−3.0	−3.5	−2.5	−0.1	0.8	2.1	2.5	1.8	1.2	−0.4	−2.1	−2.2	−3.2	−4.1	−4.5	−6.1	−6.4	−7.0	−2.05
7	−7.4	−7.6	−8.5	−8.6	−8.1	−8.7	−8.7	−7.5	−8.2	−7.5	−6.6	−4.3	−2.6	−3.2	−3.6	−3.8	−4.7	−5.7	−6.5	−7.1	−8.0	−8.6	−7.8	−8.0	−6.72
8	−7.8	−7.9	−8.0	−8.6	−8.8	−8.5	−8.4	−8.7	−8.5	−8.4	−7.9	−5.9	−4.6	−4.2	−4.3	−5.5	−6.5	−7.4	−8.2	−7.1	−6.5	−6.9	−7.2	−7.1	−7.20
9	−7.4	−7.7	−8.2	−8.2	−8.6	−8.3	−8.4	−9.0	−7.7	−7.2	−5.5	−4.6	−3.3	−2.7	−2.7	−2.8	−3.0	−2.6	−2.4	−2.1	−2.2	−2.0	−1.7	−1.8	−5.00
10	−1.1	−0.6	−0.5	−0.8	−0.2	0.2	0.4	0.4	0.3	0.4	0.6	0.7	0.8	0.8	1.1	−1.4	−1.0	−1.7	−3.0	−2.6	−2.0	−1.9	−3.2	−3.8	−0.73
11	−4.4	−6.0	−3.2	−5.6	−5.5	−5.2	−6.8	−4.6	−3.1	−0.5	0.0	0.9	−1.1	−2.0	−2.0	−2.5	−4.3	−5.5	−5.8	−6.5	−6.5	−7.1	−6.1	−6.1	−4.15
12	−0.9	−7.4	−0.4	−5.6	−5.7	−5.5	−5.8	−5.6	−5.3	−4.4	−1.6	−0.4	1.4	2.0	1.4	0.2	−0.7	−0.9	−0.8	−1.4	−3.8	−4.2	−4.0	−4.0	−3.14
13	−3.4	−2.7	−2.2	−2.2	−2.2	−2.4	−2.2	−2.0	−0.9	−0.7	0.2	0.9	−0.1	−0.2	−0.8	−1.3	−1.5	−1.8	−2.0	−2.3	−2.4	−2.5	−2.6	−2.6	−1.66
14	−2.7	−2.8	−3.0	−3.2	−3.0	−3.1	−3.6	−4.0	−4.2	−3.9	−3.7	−3.6	−3.2	−3.1	−3.2	−3.3	−3.5	−3.7	−3.7	−3.8	−4.0	−4.3	−4.8	−5.7	−3.63
15	−6.0	−6.5	−6.9	−7.4	−8.0	−8.1	−9.0	−9.2	−9.1	−8.6	−8.0	−7.0	−5.8	−5.4	−5.8	−6.3	−6.7	−6.8	−7.2	−7.3	−7.2	−7.2	−7.3	−7.4	−7.26
16	−7.5	−7.5	−7.7	−8.1	−8.1	−8.2	−8.2	−8.4	−8.0	−7.8	−7.3	−6.1	−4.8	−5.6	−5.8	−6.5	−7.6	−8.3	−9.2	−9.2	−9.8	−10.5	−10.2	−10.5	−7.95
17	−10.2	−10.2	−10.8	−11.7	−10.8	−10.2	−10.2	−10.9	−9.8	−7.9	−5.8	−2.8	−1.4	−2.3	−2.4	−4.0	−5.9	−6.5	−6.6	−7.2	−8.4	−6.6	−6.4	−7.6	−7.36
18	−7.6	−7.2	−7.7	−8.5	−9.1	−9.3	−10.0	−9.8	−9.2	−8.7	−8.3	−6.1	−4.3	−2.9	−3.2	−5.6	−5.9	−7.1	−6.9	−5.9	−5.2	−5.1	−5.6	−5.9	−6.88
19	−5.8	−6.2	−6.1	−5.5	−6.3	−6.0	−5.6	−6.0	−5.0	−4.5	−3.6	−2.9	−2.4	−1.6	0.2	−1.2	−2.7	−2.5	−2.0	−2.0	−1.8	−1.6	−1.2	−1.0	−3.47
20	−1.4	−1.4	−1.4	−1.5	−1.6	−1.7	−1.8	−1.8	−1.4	−0.8	−0.1	0.4	1.4	1.4	1.3	1.2	0.7	0.6	0.6	0.7	0.6	0.5	0.4	0.3	−0.20
21	0.0	−0.1	−0.3	−0.6	−0.8	−1.0	−1.4	−1.7	−1.6	−1.5	−1.4	−1.7	−1.7	−1.8	−1.8	−1.9	−2.2	−2.5	−2.8	−3.2	−3.4	−3.4	−3.6	−3.8	−1.84
22	−3.8	−4.2	−4.3	−4.4	−4.2	−4.2	−4.2	−4.1	−4.3	−4.2	−3.2	−0.2	0.6	0.7	−0.2	−2.0	−2.8	−2.7	−2.8	−3.2	−3.2	−3.5	−3.5	−3.6	−2.98
23	−4.0	−4.0	−4.6	−4.3	−4.2	−4.2	−4.7	−4.8	−5.0	−4.8	−4.6	−4.8	−4.4	−5.0	−5.1	−5.2	−5.5	−5.3	−5.5	−5.5	−5.4	−5.4	−5.6	−5.5	−4.89
24	−5.7	−5.7	−5.7	−5.8	−5.7	−5.6	−5.4	−5.4	−5.3	−5.2	−4.8	−4.7	−4.6	−4.3	−4.2	−4.4	−4.5	−4.5	−4.4	−4.4	−4.4	−4.4	−4.4	−4.3	−4.91
25	−4.5	−4.6	−4.5	−4.6	−4.6	−4.6	−4.6	−4.5	−4.2	−3.8	−3.8	−1.5	−1.2	−2.0	−2.5	−2.4	−3.2	−3.4	−3.5	−4.1	−3.6	−3.9	−3.6	−2.7	−3.59
26	−3.2	−2.8	−2.2	−2.4	−1.8	−1.5	−1.4	−0.9	−0.3	0.0	1.5	2.6	2.8	5.0	4.2	3.4	2.4	1.8	1.5	0.8	0.0	0.2	−0.9	−1.7	0.80
27	−1.8	−2.0	−2.2	−3.5	−3.2	−4.1	−4.7	−4.2	−5.1	−4.0	−1.4	0.7	2.8	3.3	2.5	2.1	−0.3	−1.4	−1.8	−2.5	−3.4	−4.8	−5.2	−4.2	−2.02
28	−4.9	−5.2	−5.2	−5.1	−5.4	−5.7	−6.0	−5.4	−4.3	−3.0	−2.8	−1.7	−2.0	−1.6	−1.0	−0.9	−1.0	−1.3	−1.7	−1.9	−2.3	−2.7	−2.3	−2.6	−3.17
29	−3.8	−2.8	−2.5	−2.6	−2.2	−2.3	−2.6	−2.4	−1.4	−1.3	−1.1	−0.3	1.5	3.4	2.0	0.5	−1.3	−1.5	−1.8	−2.3	−2.5	−2.3	−0.4	−0.3	−1.26
30	0.0	0.2	−0.6	−1.6	−2.6	−3.4	−4.0	−4.5	−5.0	−4.4	−2.8	−1.5	−1.0	−0.3	−1.0	−2.2	−3.8	−4.7	−5.3	−5.8	−6.0	−6.6	−7.2	−7.2	−3.89
31	−7.6	−8.0	−8.2	−8.3	−8.6	−8.9	−9.0	−9.0	−7.6	−5.5	−4.8	−3.5	−3.4	−3.4	−3.0	−4.4	−5.9	−6.7	−7.3	−7.9	−8.6	−9.0	−9.2	−9.4	−6.95
M.	−4.36	−4.40	−4.37	−4.62	−4.70	−4.74	−4.94	−4.87	−4.48	−3.76	−3.02	−2.03	−1.42	−1.29	−1.52	−2.26	−3.04	−3.43	−3.69	−3.91	−4.15	−4.30	−4.32	−4.46	−3.67

Februar 1911. **Zürich.**

Tag	1^{30}a	2^{30}	3^{30}	4^{30}	5^{30}	6^{30}	7^{30}	8^{30}	9^{30}	10^{30}	11^{30}	12^{30}p	1^{30}	2^{30}	3^{30}	4^{30}	5^{30}	6^{30}	7^{30}	8^{30}	9^{30}	10^{30}	11^{30}	12^{30}a	Tagesmittel
1	−9.7	−10.2	−11.2	−11.7	−12.2	−12.2	−11.8	−12.1	−9.3	−6.8	−6.2	−2.9	−4.2	−3.3	−3.6	−3.7	−4.7	−5.9	−7.0	−7.2	−7.6	−7.9	−8.2	−8.5	−7.84
2	−8.7	−8.8	−8.6	−8.7	−8.8	−8.4	−9.0	−8.7	−6.2	−3.8	−1.5	−0.3	−0.2	1.4	2.1	1.2	−0.8	−1.4	−1.5	−2.0	−2.2	−2.3	−2.3	−2.1	−3.82
3	−2.2	−2.3	−2.7	−2.5	−1.9	−2.0	−1.7	−1.4	−1.4	−1.2	0.0	−0.5	0.0	0.0	0.5	0.6	−0.8	−1.3	−0.6	−0.8	−0.6	−0.6	−1.2	−2.4	−1.12
4	−1.3	−1.7	−2.5	−2.6	−2.8	−3.3	−3.6	−3.6	−2.8	−2.0	−0.6	1.0	0.2	0.1	0.0	0.0	−1.2	−3.0	−3.6	−4.6	−4.3	−5.1	−5.0	−6.5	−2.47
5	−7.0	−5.8	−6.1	−6.3	−6.1	−6.3	−5.8	−5.9	−5.4	−4.6	−4.4	−3.2	−2.4	−0.8	−0.8	−1.8	−2.7	−2.8	−2.8	−2.7	−2.5	−2.4	−2.5	−2.7	−3.91
6	−2.6	−2.6	−2.6	−2.6	−2.7	−2.7	−2.6	−2.5	−2.5	−0.3	1.5	2.6	2.4	2.9	2.5	1.4	−0.1	−0.8	−0.8	−1.8	−1.4	−0.8	−1.9	−3.5	−0.90
7	−4.2	−4.6	−4.8	−4.8	−4.9	−5.0	−5.0	−4.9	−4.6	−3.8	−3.9	−3.0	−1.0	−0.4	−1.0	−1.8	−2.4	−3.0	−3.0	−2.7	−2.6	−2.6	−2.2	−1.5	−3.24
8	−2.2	−1.7	−2.0	−2.2	−1.9	−1.7	−2.0	−2.0	−1.2	−0.2	0.0	0.7	1.6	1.2	−0.8	−0.6	−2.9	−3.3	−3.6	−4.8	−5.8	−6.0	−7.2	−8.5	−2.38
9	−8.8	−8.1	−9.1	−10.1	−10.3	−10.5	−9.5	−9.0	−7.8	−5.5	−3.4	−1.8	−2.9	−1.8	−1.9	−3.0	−3.7	−5.6	−6.2	−7.0	−7.7	−8.1	−8.5	−8.7	−6.60
10	−9.4	−9.8	−10.1	−9.8	−9.8	−9.4	−9.2	−9.1	−9.0	−8.0	−6.6	−2.4	−0.2	1.7	1.8	1.6	−0.9	−2.1	−2.7	−2.8	−3.2	−3.2	−3.1	−4.2	−5.00
11	−5.2	−4.7	−3.2	−4.2	−4.9	−4.2	−3.0	−2.4	−0.7	1.5	5.9	6.8	7.2	7.8	7.2	5.5	4.5	3.3	1.8	1.8	1.3	1.3	1.2	0.2	1.03
12	0.8	1.0	0.8	0.9	0.9	1.0	1.0	1.2	2.3	2.8	5.0	6.7	6.1	4.4	3.2	2.1	1.2	0.8	0.5	0.3	0.4	0.1	−0.3	−0.6	1.78
13	−0.8	−0.9	−0.9	−1.0	−1.1	−1.2	−1.2	−0.8	−0.4	−0.1	0.5	1.0	1.0	0.7	0.9	1.4	1.2	1.1	1.0	1.3	1.4	1.5	1.3	1.1	0.29
14	1.1	0.9	0.8	0.7	0.6	0.5	0.4	0.1	0.2	0.3	0.4	0.7	0.6	0.9	0.4	0.0	−0.5	−0.5	−0.6	−0.8	−0.8	−0.9	−0.9	−1.0	−0.11
15	−0.9	−1.0	−1.3	−1.3	−1.4	−1.5	−1.6	−1.5	−1.2	1.1	3.0	4.0	4.4	3.5	3.0	2.2	1.3	0.6	0.4	0.3	0.6	0.5	0.7	1.1	0.63
16	−0.2	0.2	−0.1	−1.1	−2.0	−2.7	−3.2	−2.1	−0.2	1.4	2.1	3.4	5.1	6.3	4.5	4.2	3.2	2.9	3.1	3.3	3.4	3.2	3.4	3.0	1.72
17	3.7	3.6	3.4	3.3	4.7	5.6	5.6	6.0	7.2	7.6	7.3	7.8	8.6	9.0	8.3	8.0	6.6	5.0	4.1	4.6	4.3	4.3	4.7	5.3	6.03
18	5.2	5.4	5.5	5.8	5.7	5.1	5.8	5.6	5.2	6.3	7.2	9.2	11.3	11.2	10.9	8.9	8.6	7.4	6.6	6.1	6.2	6.6	6.6	5.9	7.01
19	6.5	6.7	5.9	5.4	4.0	4.8	5.8	7.8	9.4	9.4	8.8	6.4	8.6	8.4	5.9	6.4	6.2	5.1	5.8	5.3	2.0	3.1	3.4	3.7	6.03
20	3.8	4.0	4.1	2.2	3.4	2.2	2.0	1.8	2.4	4.3	5.2	6.0	5.3	7.2	7.3	5.5	4.6	3.1	3.4	3.7	3.4	3.2	3.5	3.7	3.97
21	3.7	3.6	3.0	3.1	2.8	2.7	2.3	2.0	4.0	6.2	7.2	8.4	8.4	9.5	8.2	7.5	6.5	5.0	4.3	3.3	3.1	3.5	3.2	2.7	4.76
22	1.8	1.8	3.6	3.0	2.2	1.9	1.5	1.7	5.0	7.0	9.5	10.0	9.8	10.2	10.1	9.6	8.9	8.3	8.5	8.6	8.6	8.1	7.1	6.7	6.39
23	6.9	6.7	6.9	6.0	6.0	4.9	3.6	4.3	6.2	10.0	11.4	13.0	14.0	13.3	13.0	12.6	11.9	11.6	10.9	11.9	10.8	9.4	8.9	9.1	9.30
24	8.2	9.0	9.2	8.7	6.1	7.8	7.1	6.2	7.5	8.7	7.7	8.0	2.2	6.3	5.8	5.7	4.9	4.7	4.3	3.8	3.8	3.5	2.0	3.2	6.06
25	2.9	3.4	3.2	3.4	3.8	3.9	3.8	3.5	2.9	3.6	3.6	3.8	4.3	4.1	4.9	4.1	4.0	4.2	5.8	6.4	7.6	7.4	7.5	8.0	4.57
26	8.1	7.3	7.8	7.5	7.5	7.4	7.4	7.6	7.9	8.6	9.8	8.6	4.6	7.8	6.8	5.4	4.1	3.5	3.8	0.8	1.2	1.4	0.9	0.8	5.67
27	0.5	0.8	0.9	1.1	1.2	0.9	1.6	1.7	2.8	4.0	4.7	5.6	6.7	7.2	6.1	6.8	5.4	3.4	1.9	1.8	1.4	0.8	0.2	−0.1	2.75
28	−0.2	−0.3	−0.4	−0.1	−0.8	−0.8	−0.3	0.9	1.5	3.5	5.4	6.4	9.2	8.2	9.6	8.8	8.1	6.6	5.9	4.9	4.7	4.9	4.4	4.9	4.00
M.	−0.34	−0.22	−0.30	−0.57	−0.78	−0.81	−0.77	−0.56	0.42	1.79	2.82	3.79	3.95	4.55	4.11	3.50	2.52	1.68	1.40	1.09	0.89	0.80	0.56	0.32	1.24

* h_t = Höhe des Thermographen über dem Erdboden.

März 1911. **Stündliche Lufttemperaturen.** $h_t = 1.8^m$. Zürich.

Tag	1^{30} a	2^{30}	3^{30}	4^{30}	5^{30}	6^{30}	7^{30}	8^{30}	9^{30}	10^{30}	11^{30}	12^{30} p	1^{30}	2^{30}	3^{30}	4^{30}	5^{30}	6^{30}	7^{30}	8^{30}	9^{30}	10^{30}	11^{30}	12^{30} a	Tagesmittel
1	4.1	5.7	6.1	7.1	6.9	6.9	6.4	7.0	6.0	8.8	9.7	9.4	11.8	9.7	5.9	5.2	4.4	4.8	4.9	4.9	3.4	3.4	3.3	3.0	6.20
2	2.0	1.3	1.0	1.0	0.9	−0.3	0.0	1.2	3.4	4.2	5.0	5.1	5.2	5.0	4.9	5.0	3.5	2.9	3.1	3.0	3.2	3.8	3.7	4.1	3.01
3	4.0	3.0	2.3	2.7	3.0	2.2	2.6	2.7	3.0	3.7	2.9	2.7	2.0	1.0	1.0	1.0	0.7	0.7	0.6	0.9	1.1	1.3	1.5	1.6	2.01
4	2.0	2.0	2.0	2.1	1.9	2.0	2.1	2.4	2.7	3.0	3.9	3.8	4.5	4.4	4.0	4.4	4.6	4.4	4.4	4.6	4.6	4.4	4.3	4.2	3.45
5	3.9	4.0	3.9	3.8	3.7	3.5	3.4	3.4	3.6	3.8	4.8	5.0	5.6	5.1	4.9	4.7	4.5	4.4	3.9	3.3	2.3	1.9	1.0	1.1	3.73
6	0.7	0.5	0.3	0.0	−0.7	−1.0	−1.2	−0.4	1.2	4.5	5.1	6.5	8.0	6.5	7.1	6.6	5.7	3.6	3.2	2.4	2.0	1.9	1.1	0.3	2.66
7	−0.2	−0.7	−1.2	−1.7	−2.1	−2.4	−2.1	−0.7	0.9	2.6	3.4	4.9	5.6	7.5	8.3	6.8	5.7	3.8	2.6	2.0	1.1	0.4	0.1	−0.1	1.85
8	−0.8	−0.9	−1.1	−0.9	−0.7	−0.6	−0.3	0.2	1.0	2.4	3.2	3.4	3.7	5.4	5.6	5.0	4.3	3.5	3.8	3.7	3.2	3.3	2.5	2.0	2.12
9	1.5	0.6	−0.1	−0.7	−0.9	−0.4	−1.2	−0.1	2.4	4.6	6.3	8.1	8.0	9.2	9.9	8.5	7.8	5.3	3.8	3.2	2.0	1.2	1.1	1.3	3.39
10	0.3	0.4	0.5	0.7	0.9	1.0	2.0	2.5	2.0	2.3	3.2	5.2	5.6	5.9	6.9	6.4	5.7	4.5	3.6	2.8	2.2	1.7	1.4	1.0	2.86
11	1.0	0.7	0.6	0.8	0.7	0.7	0.8	1.2	3.2	5.4	6.9	8.8	10.2	10.5	9.6	9.2	8.2	5.8	4.2	3.2	2.8	3.3	1.6	0.7	4.17
12	0.2	−0.4	−0.6	−0.3	−0.2	−0.7	0.1	1.4	3.3	5.7	7.7	9.2	9.6	9.3	9.3	9.0	8.2	6.7	6.0	5.7	5.8	4.2	3.9	3.2	4.43
13	2.9	2.8	2.1	2.1	2.0	1.9	2.8	2.6	6.3	6.8	5.8	6.0	7.2	4.8	3.2	3.1	2.9	3.6	0.9	1.0	−0.4	0.6	0.7	0.7	3.02
14	0.1	0.3	0.5	0.9	0.9	0.9	−0.6	−0.2	0.8	1.8	3.5	5.6	4.1	5.6	4.6	3.4	2.5	0.6	0.1	0.0	−0.4	−0.1	0.0	0.1	1.46
15	0.0	−0.1	−0.3	−0.4	−0.4	−0.4	−0.4	−0.1	1.0	1.9	2.1	2.5	2.4	3.2	2.2	3.2	1.9	1.0	−0.7	−0.2	−0.3	−0.7	−1.3	0.2	0.68
16	−0.8	−0.6	−0.3	−1.0	−1.0	−1.2	−0.8	0.6	1.0	2.2	5.1	6.5	5.0	6.3	7.4	6.0	4.1	3.4	2.7	2.4	2.4	2.3	1.5	1.1	2.26
17	0.2	−0.1	−0.5	−0.3	−0.4	−0.1	0.4	0.9	2.2	6.1	7.6	7.8	6.8	8.8	9.0	8.6	7.2	4.8	3.8	3.2	1.5	1.2	0.9	0.2	3.33
18	0.0	−0.1	−0.2	−0.2	−0.4	−0.5	0.4	1.1	1.5	2.4	4.2	5.7	5.3	6.4	9.3	8.8	7.7	6.1	6.0	5.7	4.0	3.2	2.5	1.9	3.39
19	1.0	0.5	−0.1	0.3	0.1	−0.2	0.2	1.9	6.1	7.5	8.7	12.1	12.7	14.3	15.4	14.7	13.2	10.6	9.6	8.8	8.3	7.5	6.3	5.8	6.89
20	4.5	3.8	3.5	3.0	2.9	2.0	2.0	4.2	5.6	5.8	9.5	9.0	10.3	12.1	13.3	12.2	11.2	10.6	9.8	9.2	7.8	7.7	7.2	6.1	7.22
21	4.9	4.4	3.2	2.1	1.8	1.5	2.0	3.8	7.8	11.4	15.0	16.2	16.4	17.8	16.7	17.3	16.8	12.3	11.6	10.2	9.6	7.9	7.0	5.9	9.32
22	4.4	3.2	2.5	2.2	1.7	1.0	1.9	4.7	8.4	10.6	14.9	16.1	17.8	18.6	18.1	18.0	15.4	12.6	10.8	9.5	8.8	9.0	6.5	6.8	9.29
23	5.0	4.9	4.2	3.4	2.9	2.0	3.6	5.8	9.7	11.2	11.9	13.5	14.3	14.6	16.2	14.9	14.1	11.7	9.8	8.8	7.9	6.6	5.4	5.0	8.64
24	4.3	3.8	4.0	3.4	3.0	2.3	3.3	4.1	7.6	9.7	13.2	13.9	15.2	15.0	14.1	11.2	10.7	8.2	7.9	7.2	6.7	6.6	6.6	6.6	7.86
25	5.6	5.5	6.0	6.2	6.2	6.3	6.2	7.3	6.0	5.6	3.4	0.9	1.0	1.2	0.7	0.8	1.0	0.8	0.4	0.3	0.2	−0.2	−0.2	−0.1	3.00
26	0.2	0.2	0.1	−0.2	−0.3	−0.6	0.0	0.8	1.1	1.7	1.1	1.0	2.4	1.1	4.6	2.7	2.6	0.5	0.1	0.1	−0.2	−0.8	−1.1	−1.0	0.67
27	−1.6	−1.6	−1.5	−2.8	−2.8	−3.4	−2.6	−1.0	1.4	3.4	3.6	5.0	5.6	4.7	4.5	3.8	3.3	3.1	3.0	2.5	2.0	1.6	1.4	1.5	1.40
28	1.5	1.0	0.8	0.8	0.3	0.0	1.0	1.8	3.8	5.4	8.1	9.8	9.8	10.0	10.0	9.1	9.2	9.5	10.4	10.2	14.4	11.3	11.1	9.9	6.63
29	9.5	8.9	10.1	9.5	8.9	8.2	11.0	11.8	14.6	16.1	18.9	21.2	21.6	22.0	19.6	17.6	15.9	14.0	13.2	12.1	11.8	10.8	10.7	11.0	13.71
30	10.9	10.4	8.4	8.9	9.3	7.7	11.0	13.0	15.0	18.9	19.8	18.7	18.2	18.1	18.4	16.2	15.1	14.3	12.6	11.2	10.6	9.4	8.7	8.2	13.04
31	7.4	7.1	7.0	5.9	6.7	5.9	5.8	10.2	12.1	13.3	15.2	17.7	16.2	18.8	17.2	17.0	15.6	15.1	11.6	10.1	10.2	8.8	8.9	8.9	11.36
M.	2.54	2.27	2.04	1.90	1.77	1.43	1.93	3.03	4.67	6.22	7.54	8.43	8.78	9.13	9.11	8.40	7.54	6.23	5.41	4.90	4.47	4.00	3.51	3.25	4.94

April 1911. Zürich.

Tag	1^{30} a	2^{30}	3^{30}	4^{30}	5^{30}	6^{30}	7^{30}	8^{30}	9^{30}	10^{30}	11^{30}	12^{30} p	1^{30}	2^{30}	3^{30}	4^{30}	5^{30}	6^{30}	7^{30}	8^{30}	9^{30}	10^{30}	11^{30}	12^{30} a	Tagesmittel
1	7.9	7.0	5.3	6.0	4.7	4.3	6.5	8.1	11.4	14.7	16.6	17.4	18.4	15.9	16.5	16.4	14.5	11.7	10.9	10.6	9.9	8.9	8.4	7.5	10.81
2	7.9	7.7	7.6	7.6	7.1	7.1	8.2	9.8	10.2	11.5	13.4	16.1	16.7	17.8	14.2	10.1	10.5	10.5	9.5	9.6	9.2	8.6	8.2	7.4	10.27
3	7.2	7.1	7.0	6.8	6.7	6.5	6.9	7.2	7.2	6.4	6.5	5.8	5.6	5.8	6.0	5.8	5.7	5.3	4.8	3.4	2.4	0.6	−0.5	−1.0	5.22
4	−1.5	−1.7	−2.1	−2.3	−2.1	−2.2	−2.0	−1.3	−1.6	0.2	1.6	−1.1	1.3	2.4	0.4	0.0	−0.2	−0.4	−1.2	−1.4	−1.5	−2.0	−2.7	−2.6	−1.00
5	−2.6	−2.8	−3.8	−4.0	−4.1	−4.2	−4.3	−4.6	−3.9	−3.9	−2.8	−2.5	−1.7	−1.2	−0.7	−0.1	0.0	−0.4	−0.2	−0.1	−0.2	−0.3	−0.7	−0.8	−2.08
6	−1.0	−1.1	−1.2	−1.5	−1.8	−1.9	−1.8	−1.8	−1.2	−0.8	−0.6	−0.2	0.2	0.3	0.6	0.5	0.4	−0.1	−0.5	−0.6	−0.8	−0.7	−0.7	−0.8	−0.71
7	−0.9	−1.0	−1.0	−0.9	−1.0	−1.0	−0.9	−0.4	0.0	0.7	2.6	3.7	5.2	5.6	4.6	4.4	4.0	3.7	3.2	2.6	1.6	0.9	0.3	0.0	1.50
8	0.0	0.1	0.1	0.0	0.1	0.1	0.4	0.8	0.2	0.4	1.0	1.8	1.0	1.4	1.9	2.0	1.5	1.1	0.5	0.6	0.6	0.5	−0.2	−0.6	0.60
9	−1.0	−1.4	−1.8	−2.2	−2.3	−1.5	−1.4	0.0	1.5	3.1	3.2	3.0	3.1	3.5	2.4	2.7	2.8	2.2	1.8	1.5	1.4	0.9	0.2	−0.5	0.88
10	−0.9	−0.7	−1.3	−2.0	−1.9	−1.3	−1.0	0.1	2.2	3.5	3.1	5.7	5.4	7.1	8.2	7.7	5.2	4.5	2.6	2.1	1.0	0.9	0.0	−1.0	2.05
11	−1.5	−2.1	−2.8	−2.5	−2.9	−2.5	−1.2	2.3	5.8	8.0	9.4	11.2	12.2	11.5	12.0	11.2	9.9	8.0	6.5	5.8	5.2	4.7	4.1	2.9	4.82
12	2.9	1.0	0.2	−0.5	−0.4	−0.5	0.8	4.2	8.0	10.2	12.0	13.3	14.8	14.7	14.1	15.3	14.5	12.2	10.8	9.0	8.4	9.2	8.9	8.6	7.97
13	8.5	7.2	5.9	5.6	4.8	4.6	4.1	4.5	4.3	5.5	9.2	7.5	7.1	8.5	8.1	7.0	6.7	5.0	4.8	3.8	2.8	1.7	2.1	1.7	5.46
14	1.8	1.4	1.1	1.0	1.0	1.3	1.4	2.6	4.2	5.7	7.6	7.9	8.4	10.2	8.8	9.8	9.1	7.6	5.4	3.9	4.5	2.8	2.5	2.0	4.67
15	1.0	0.0	−0.6	−1.1	−1.6	−1.7	−0.2	4.4	8.3	11.2	13.1	15.7	14.6	16.0	17.1	17.5	15.0	13.3	9.3	8.8	7.4	6.3	6.0	5.9	7.76
16	4.9	5.3	4.1	2.2	3.6	3.8	4.2	8.6	13.0	15.5	17.9	19.4	20.6	21.8	21.6	21.6	21.3	19.5	16.7	15.9	13.0	11.9	11.4	10.5	12.85
17	8.3	10.6	7.8	7.3	7.0	8.7	9.2	13.2	15.7	16.0	17.6	19.0	20.0	20.4	21.0	20.1	19.5	17.6	15.5	13.8	12.4	11.1	10.9	8.9	13.62
18	7.6	7.3	6.4	5.8	6.0	5.6	7.2	11.4	14.5	17.2	19.3	19.9	21.2	21.8	22.2	21.6	21.0	19.2	15.3	14.1	13.4	10.7	10.6	10.3	13.74
19	9.4	7.9	6.8	5.9	5.7	6.4	7.7	12.8	15.8	18.0	20.7	21.8	21.7	19.9	17.1	16.6	15.1	13.2	12.1	10.7	9.7	9.1	8.9	8.9	12.56
20	8.5	8.4	8.2	8.1	7.7	7.2	7.0	7.0	7.0	7.0	7.1	7.2	7.4	7.6	7.8	7.7	7.8	8.0	7.9	7.8	7.7	7.5	7.3	7.2	7.59
21	7.0	6.9	6.6	6.5	6.6	7.8	8.0	9.8	12.3	11.8	14.6	15.6	16.8	17.7	17.7	17.6	16.9	15.4	12.8	11.7	11.6	10.9	10.4	8.9	11.75
22	7.6	6.9	7.0	6.4	5.8	6.0	7.6	10.8	14.8	15.9	16.9	19.0	20.6	21.6	21.2	22.6	20.8	19.4	15.4	13.9	12.0	12.5	11.8	9.9	13.58
23	8.9	8.9	7.8	7.7	7.9	7.0	9.5	13.1	16.9	18.8	21.8	22.6	23.2	22.6	24.0	21.9	21.7	19.5	17.5	15.7	14.0	14.5	13.0	12.8	15.43
24	11.9	11.8	11.6	11.4	10.9	11.8	13.6	14.1	15.4	15.7	18.4	19.0	21.3	20.9	19.5	19.2	17.1	15.6	15.0	14.3	13.9	13.0	12.2	11.4	14.96
25	10.2	8.7	10.0	9.0	9.0	9.8	9.9	13.6	15.4	16.2	19.1	19.5	19.9	21.1	21.0	21.5	20.2	18.8	15.2	13.7	12.8	11.8	11.9	10.8	14.50
26	9.3	9.9	9.7	10.0	9.9	10.6	11.0	11.7	12.7	13.0	12.7	11.9	11.7	11.6	11.0	11.6	11.5	11.7	11.8	11.7	11.2	10.7	10.8	10.7	11.18
27	8.8	7.7	7.8	7.6	7.2	7.8	8.2	8.6	9.4	10.2	10.8	11.7	14.0	12.5	10.9	11.4	11.5	11.1	10.4	10.3	10.0	9.4	9.8	10.4	9.90
28	8.8	9.3	7.8	7.8	7.9	7.7	8.4	8.5	9.4	10.2	12.0	14.2	12.5	10.7	11.7	12.1	8.9	9.5	9.4	8.9	9.2	9.3	9.0	7.4	9.61
29	7.0	7.0	6.7	6.9	6.8	7.1	10.2	11.6	11.5	11.8	10.1	9.6	9.4	9.6	10.1	11.0	10.9	7.8	8.5	7.7	7.0	6.7	6.6	6.7	8.66
30	6.9	6.6	6.3	6.2	4.9	5.4	6.9	9.7	11.4	13.0	15.8	13.7	14.2	13.2	10.2	11.8	10.8	10.0	6.9	6.5	6.4	6.6	6.9	6.9	9.05
M.	5.10	4.80	4.26	3.96	3.76	3.98	4.80	6.66	8.38	9.56	11.01	11.61	12.21	12.42	12.04	11.95	11.15	10.02	8.62	7.88	7.21	6.62	6.22	5.66	7.91

Mai 1911 **Stündliche Lufttemperaturen.** $h_t = 1.8^m$. Zürich.

Tag	1^{30} a	2^{30}	3^{30}	4^{30}	5^{30}	6^{30}	7^{30}	8^{30}	9^{30}	10^{30}	11^{30}	12^{30} p	1^{30}	2^{30}	3^{30}	4^{30}	5^{30}	6^{30}	7^{30}	8^{30}	9^{30}	10^{30}	11^{30}	12^{30} a	Tages-mittel
1	6.5	6.4	6.3	5.9	5.8	6.2	6.8	7.9	10.2	9.4	10.5	10.5	10.0	12.1	8.5	9.1	9.8	9.0	7.0	6.7	6.0	6.0	6.0	5.8	7.85
2	4.5	3.7	3.5	2.6	1.7	2.4	4.3	7.5	10.2	11.2	13.7	13.0	15.0	15.2	15.5	15.8	15.0	13.6	11.2	10.4	9.4	8.0	6.0	5.5	9.12
3	4.6	4.0	3.5	2.9	2.8	3.0	5.5	10.0	13.6	15.8	17.3	18.7	19.4	19.6	19.3	19.7	19.0	17.3	13.2	11.3	9.6	9.7	9.0	8.5	11.53
4	7.3	6.9	6.6	5.7	5.0	6.0	9.0	13.4	14.5	16.9	17.8	19.4	19.0	18.8	18.1	18.2	16.8	14.3	12.4	11.5	10.5	9.2	8.4	8.2	12.21
5	8.1	7.9	7.8	7.8	7.8	7.9	7.9	8.1	8.4	8.7	8.8	9.6	10.3	10.4	10.7	10.8	10.8	10.2	9.5	9.3	9.2	9.0	8.9	8.8	9.03
6	8.7	8.7	8.6	8.5	8.4	8.3	9.1	9.4	10.0	11.2	12.1	12.8	11.0	11.8	14.0	13.3	11.6	9.0	8.5	8.3	7.4	7.2	6.8	6.2	9.62
7	5.3	4.8	4.4	4.7	4.9	5.5	7.8	7.0	7.4	8.9	10.7	12.6	12.3	10.6	7.6	8.1	7.6	7.9	7.5	7.3	7.4	7.4	7.3	7.1	7.59
8	6.2	6.3	6.2	6.2	6.4	6.7	6.8	7.1	8.2	9.3	9.8	10.7	11.4	12.5	11.9	12.8	12.1	12.0	11.3	10.7	10.7	9.4	9.5	9.2	9.32
9	9.1	9.2	9.0	8.3	8.1	8.4	9.3	10.2	12.7	13.8	14.2	16.9	16.9	17.9	17.9	18.0	16.8	14.0	12.7	11.4	11.3	10.2	9.4	9.5	12.90
10	7.8	7.6	7.3	7.4	7.7	8.7	11.3	13.6	16.3	17.1	18.4	18.7	19.6	17.0	18.0	20.3	14.4	15.1	13.6	12.2	11.5	10.7	10.7	11.2	13.18
11	10.8	10.7	10.6	10.5	9.7	11.0	12.8	16.0	16.4	19.0	20.8	21.3	21.9	21.5	19.6	13.3	17.4	14.6	13.4	12.9	13.0	12.5	11.7	11.7	14.71
12	10.9	10.8	10.9	10.7	10.8	11.6	12.6	13.7	13.8	18.2	19.6	21.0	22.0	22.6	22.0	19.2	18.5	15.5	15.1	13.4	13.2	11.8	11.3	10.2	14.97
13	10.1	10.5	9.9	9.7	9.4	10.0	10.9	15.0	17.0	20.0	21.5	21.3	21.3	21.2	19.9	18.5	18.7	20.2	17.7	16.4	14.5	13.3	12.6	12.0	15.48
14	11.0	11.1	10.3	9.5	9.9	11.5	12.9	15.9	15.6	15.8	16.0	16.8	19.0	19.3	18.7	17.7	15.7	14.4	13.6	12.9	12.6	12.5	12.3	12.2	14.05
15	11.9	11.6	11.5	10.9	11.1	11.9	13.1	14.2	15.0	17.3	18.6	19.6	20.1	21.0	21.9	20.3	20.9	18.3	17.6	16.5	16.2	15.3	15.0	13.4	15.97
16	13.8	13.6	13.3	13.3	13.2	13.7	14.3	15.5	16.5	18.1	17.2	20.9	21.9	21.1	21.9	22.5	20.2	17.4	15.8	15.5	14.8	13.5	12.9	12.3	16.38
17	11.6	11.6	11.4	12.0	12.4	13.1	14.2	16.3	17.8	17.0	18.8	20.3	21.4	21.0	23.0	22.0	19.4	16.6	13.8	13.0	12.4	12.3	12.1	11.9	15.62
18	11.7	11.8	11.4	11.5	11.4	11.9	12.6	12.5	13.1	13.6	13.0	14.2	14.9	13.8	13.0	13.3	12.9	12.9	12.7	12.6	12.4	12.3	12.1	12.0	12.65
19	11.8	11.2	11.0	10.9	10.1	10.5	11.8	12.4	11.7	12.0	11.2	11.6	12.0	15.2	14.2	12.6	9.7	9.6	8.9	8.6	8.3	7.7	7.1	7.1	10.72
20	7.1	7.1	7.0	6.1	6.8	8.0	8.8	9.6	11.8	11.4	13.8	13.8	12.6	11.3	13.9	13.3	12.4	11.7	10.4	10.1	9.6	8.9	8.4	8.1	10.06
21	7.8	8.1	8.0	7.8	7.4	7.5	8.8	10.7	12.6	13.2	13.7	14.4	15.6	15.4	16.0	15.2	14.8	14.1	13.1	12.1	11.2	10.6	8.9	7.2	11.42
22	6.3	5.8	5.1	4.8	5.7	7.2	8.6	10.4	14.5	15.0	16.5	16.9	17.6	18.6	19.1	18.8	19.2	16.4	14.5	12.4	11.7	10.1	8.8	7.8	12.16
23	6.9	6.6	6.0	5.7	5.4	5.9	9.4	12.1	13.4	15.2	16.1	16.4	17.8	17.2	16.2	16.8	17.1	15.5	14.3	12.9	12.7	12.2	11.4	10.3	12.23
24	10.1	10.1	10.9	11.6	11.2	11.4	12.4	13.5	15.3	14.3	16.2	20.0	19.0	18.7	19.2	18.2	17.3	16.5	15.1	14.3	13.6	13.1	12.7	12.7	14.50
25	12.5	11.7	10.6	10.0	9.0	10.7	13.0	15.3	17.5	18.8	20.0	21.0	19.4	22.1	20.4	21.1	18.9	16.6	16.2	15.4	14.8	13.8	13.1	12.2	15.59
26	11.7	11.1	11.0	11.1	11.3	12.0	12.6	13.5	14.0	14.7	16.4	18.9	19.5	22.3	21.7	21.5	20.6	19.4	17.5	16.9	16.2	13.7	12.1	12.0	15.49
27	10.7	10.7	10.7	10.9	11.1	12.1	14.0	16.2	18.8	19.3	21.0	21.6	22.4	24.2	17.6	23.0	22.0	20.0	17.5	17.4	16.2	14.8	13.6	12.7	16.60
28	11.8	11.5	10.7	10.1	10.0	10.6	13.0	16.7	18.9	20.0	21.7	21.9	23.0	23.4	23.6	23.3	22.1	20.6	18.7	16.9	16.7	16.2	15.6	14.1	17.13
29	13.7	12.1	11.5	11.0	11.4	12.8	13.6	15.8	16.2	19.8	21.6	22.5	23.2	23.7	25.3	23.0	23.5	21.0	16.8	16.0	15.6	15.6	15.2	14.8	17.32
30	14.4	13.8	13.7	13.6	14.2	15.4	16.8	17.0	19.2	21.9	24.1	23.8	22.4	23.6	24.1	25.1	20.0	17.0	16.7	16.1	15.8	14.7	15.0	14.7	18.05
31	14.1	14.0	13.6	13.8	14.0	14.6	15.9	16.3	18.4	18.6	19.5	19.5	20.6	23.4	23.5	19.8	19.0	18.5	17.3	16.0	16.2	16.1	14.7	13.1	17.10
M.	9.65	9.85	9.11	8.89	8.83	9.57	10.96	12.68	14.16	15.34	16.47	17.42	17.82	18.27	17.94	17.57	16.59	15.13	13.67	12.82	12.28	11.54	10.92	10.40	13.22

Juni 1911. Zürich.

Tag	1^{30} a	2^{30}	3^{30}	4^{30}	5^{30}	6^{30}	7^{30}	8^{30}	9^{30}	10^{30}	11^{30}	12^{30} p	1^{30}	2^{30}	3^{30}	4^{30}	5^{30}	6^{30}	7^{30}	8^{30}	9^{30}	10^{30}	11^{30}	12^{30} a	Tages-mittel
1	12.6	11.7	12.0	11.7	12.4	13.1	13.7	13.9	14.7	14.5	18.0	17.5	19.0	18.3	20.3	20.0	19.4	19.3	18.3	16.1	15.0	14.0	13.1	12.6	15.47
2	12.3	11.9	11.5	11.3	11.4	13.6	13.4	14.0	15.6	16.5	19.0	20.6	21.3	20.7	18.9	21.5	19.6	18.1	17.3	15.8	14.8	15.1	15.1	14.8	16.00
3	14.5	13.0	12.3	12.3	13.5	14.4	15.6	19.0	20.6	21.5	22.0	24.4	25.2	24.8	22.0	21.8	21.8	20.3	17.1	15.9	15.8	14.4	13.7	13.3	17.88
4	12.8	13.2	13.1	12.6	12.7	13.9	15.0	16.4	18.5	20.7	19.6	22.1	22.2	21.6	23.1	22.2	22.3	17.4	15.3	14.7	14.4	13.3	12.7	12.3	16.75
5	12.3	11.8	11.6	11.4	11.7	12.0	14.0	17.2	20.5	22.8	23.5	23.8	24.2	21.9	21.6	20.5	21.0	19.9	17.1	15.6	15.6	15.5	14.5	13.7	17.24
6	12.8	12.0	11.7	11.5	11.4	11.7	13.7	17.1	18.9	20.0	21.3	23.5	25.4	24.7	26.0	24.8	23.5	21.7	19.2	16.9	16.4	16.1	16.4	15.5	18.01
7	15.1	14.5	13.5	11.8	11.8	12.6	16.0	18.6	21.3	23.8	24.6	25.9	26.6	27.0	27.2	26.9	26.7	24.0	22.2	20.3	19.1	16.4	15.3	14.9	19.84
8	13.7	13.1	12.5	12.2	12.0	13.1	15.8	19.4	21.7	24.4	25.3	26.0	26.7	28.0	28.6	25.8	24.7	22.6	21.0	19.7	18.4	17.9	17.8	16.5	19.87
9	14.9	14.5	13.1	12.6	12.6	13.7	15.6	17.9	21.2	23.6	25.0	26.5	25.0	26.5	27.0	25.1	24.1	19.6	16.7	14.6	14.6	15.0	15.0	15.2	18.73
10	15.4	15.0	14.4	14.2	14.0	14.2	14.6	14.5	13.9	12.1	11.5	12.2	11.9	11.5	11.4	11.0	10.9	10.8	10.7	10.7	10.7	10.7	10.7	10.5	12.40
11	10.2	10.0	9.8	8.4	8.1	8.7	10.1	13.0	16.1	16.8	15.3	18.4	18.0	17.0	19.1	19.8	18.5	16.7	15.5	13.2	11.7	10.6	10.1	9.7	13.53
12	9.7	9.2	8.0	7.8	7.8	9.1	10.4	12.8	15.6	17.9	19.8	20.8	18.5	19.4	21.7	19.2	18.3	18.0	16.2	14.3	13.2	12.5	11.9	11.1	14.30
13	10.8	9.8	9.5	9.6	9.9	11.1	12.8	14.5	14.9	16.1	17.4	19.2	18.8	18.2	17.0	16.0	15.5	14.5	13.0	12.0	11.8	11.6	11.5	11.2	13.61
14	10.5	10.2	10.1	10.0	9.9	10.0	10.1	10.5	10.8	13.1	14.5	12.2	12.2	10.3	9.9	10.0	10.8	10.0	9.9	9.3	8.4	8.5	7.5	7.7	10.27
15	7.4	7.5	7.7	7.3	7.6	8.4	9.1	10.4	12.2	13.0	14.6	15.4	15.4	16.0	15.8	14.9	14.1	13.5	13.2	12.8	12.2	11.7	11.1	10.7	11.75
16	10.4	8.7	8.1	7.1	7.7	9.1	10.9	13.0	14.8	16.6	17.8	18.5	19.3	21.5	21.3	21.6	21.2	18.9	17.1	15.4	15.4	15.5	15.5	15.1	15.02
17	14.4	14.0	13.5	12.5	13.1	13.5	16.6	18.7	19.9	21.8	21.8	21.4	21.6	22.3	26.9	25.2	25.2	21.6	20.2	20.0	19.2	18.9	17.8	17.0	19.02
18	16.2	15.9	16.1	16.0	15.7	16.2	17.2	18.1	18.8	21.3	23.0	25.6	25.0	21.4	17.5	16.2	15.8	15.5	14.5	14.3	14.4	14.5	14.5	14.3	17.42
19	14.0	13.8	13.5	13.5	13.6	14.2	14.8	16.7	16.8	16.9	17.0	18.8	17.6	18.2	15.4	15.8	15.0	14.8	14.8	15.3	15.2	13.8	13.8	13.8	15.28
20	12.5	12.0	12.4	12.8	12.9	13.3	13.6	15.3	15.4	16.3	18.3	17.8	15.8	18.2	12.8	16.3	12.0	12.7	12.9	12.2	12.2	12.6	11.9	12.2	13.93
21	12.0	11.7	11.6	11.0	11.2	11.6	13.0	13.7	15.6	17.8	15.7	20.0	18.2	20.4	20.8	21.0	20.0	18.4	17.4	15.0	14.6	13.6	12.6	11.7	15.34
22	10.9	9.9	9.3	9.1	9.3	10.1	12.5	15.2	17.5	18.9	21.1	22.5	22.2	24.0	23.7	24.7	24.2	22.2	20.9	18.3	16.2	15.6	16.4	14.9	17.07
23	14.2	13.6	13.2	12.9	13.5	15.6	15.8	18.4	19.5	23.0	24.0	22.8	25.0	25.4	24.5	25.9	21.0	18.4	17.5	16.7	16.0	15.7	15.4	14.7	18.45
24	14.8	14.7	14.2	13.4	13.0	15.0	15.0	15.4	17.9	18.9	18.4	19.2	16.3	14.8	13.7	14.0	14.7	14.6	14.0	13.7	13.2	13.0	12.8	12.9	14.90
25	12.9	12.9	12.8	12.6	12.4	12.5	12.6	12.8	13.8	14.3	15.1	15.5	17.4	18.0	16.4	15.5	14.7	13.7	12.9	12.5	12.4	12.5	12.4	12.1	13.78
26	10.9	10.0	9.9	9.2	9.1	9.8	11.4	12.9	14.4	15.8	17.5	17.6	17.5	18.8	15.3	14.6	13.3	13.1	13.1	12.6	12.4	11.4	10.9	10.9	13.02
27	10.9	10.7	10.7	10.6	10.5	11.2	11.7	12.2	12.8	14.0	12.5	11.4	13.8	14.4	13.5	11.7	11.2	10.9	10.8	10.6	10.7	10.5	10.4	10.3	11.58
28	10.9	9.6	9.7	9.4	8.8	8.9	11.1	13.1	14.8	15.8	17.3	18.2	18.6	20.0	20.6	20.8	20.0	17.6	16.6	13.5	12.6	11.6	11.1	11.2	14.14
29	11.3	10.6	10.2	9.8	8.9	9.4	12.2	15.1	18.6	20.9	22.0	23.3	23.8	25.4	25.2	25.4	25.1	22.4	21.2	18.8	15.9	15.3	14.1	13.8	17.40
30	13.5	11.6	10.7	10.3	10.6	11.5	14.6	18.0	21.3	23.7	25.5	24.6	25.2	24.5	24.8	25.1	22.2	21.4	19.7	18.3	20.0	19.2	19.6	18.8	18.95
M.	12.46	11.90	11.56	11.15	11.22	12.05	13.43	15.26	16.93	18.41	19.26	20.19	20.26	20.44	20.05	19.76	18.89	17.42	16.21	14.95	14.42	13.90	13.52	13.10	15.70

Juli 1911. **Stündliche Lufttemperaturen.** $h_t = 1.8^m$. Zürich.

Tag	1^{30}a	2^{30}	3^{30}	4^{30}	5^{30}	6^{30}	7^{30}	8^{30}	9^{30}	10^{30}	11^{30}	12^{30}p	1^{30}	2^{30}	3^{30}	4^{30}	5^{30}	6^{30}	7^{30}	8^{30}	9^{30}	10^{30}	11^{30}	12^{30}	Tagesm.
1	16.6	14.9	14.9	14.6	14.6	15.5	16.1	16.9	16.9	17.8	18.4	19.0	19.7	21.1	20.7	19.2	19.0	18.4	17.8	17.0	16.4	15.4	15.7	14.7	17.14
2	14.4	14.7	14.3	14.4	14.9	16.0	17.0	17.7	21.0	23.4	24.0	23.8	24.0	24.8	23.7	21.4	20.5	19.6	19.1	18.8	18.1	17.1	16.1	13.7	18.83
3	13.3	13.2	12.8	12.6	12.9	13.5	14.1	14.8	16.6	17.3	16.4	17.3	18.4	20.8	20.7	20.4	19.0	17.5	16.7	15.6	14.8	13.1	12.6	12.5	15.70
4	12.3	11.5	10.1	9.7	9.1	9.7	11.1	13.8	14.7	15.9	16.5	18.5	19.5	20.7	21.2	20.3	20.0	18.4	16.8	14.8	14.8	14.3	13.6	12.8	14.98
5	11.2	10.3	8.8	8.7	9.6	10.9	12.4	13.8	16.4	18.1	20.0	21.8	21.5	21.8	21.8	23.4	22.4	20.3	18.9	15.9	15.0	14.9	14.5	13.5	16.08
6	13.8	12.9	10.9	10.2	10.0	12.0	13.7	16.8	18.6	21.1	23.0	24.2	24.5	24.7	25.2	25.0	24.5	22.2	20.8	18.8	18.4	16.9	17.0	15.0	18.32
7	14.3	12.8	12.3	11.8	11.8	13.1	15.0	17.8	21.0	22.8	24.0	25.4	26.1	27.7	28.2	27.2	26.0	24.0	22.4	20.6	19.3	18.0	17.3	16.9	19.80
8	15.4	14.6	14.1	13.2	13.0	13.9	16.7	19.7	24.2	25.5	27.1	28.8	29.3	29.7	30.2	30.1	29.2	27.0	24.4	21.4	21.0	19.0	19.0	18.2	21.86
9	17.6	16.4	15.7	15.3	15.2	16.1	18.1	20.6	24.0	26.1	26.4	28.1	28.6	28.7	28.7	28.1	27.3	25.2	22.8	20.0	19.0	18.1	17.1	16.9	21.67
10	16.2	15.8	15.5	14.9	14.3	14.0	14.4	16.5	19.0	20.0	20.8	21.1	22.0	22.3	22.4	21.8	21.0	18.8	17.8	16.5	15.2	13.9	12.7	13.4	17.51
11	12.4	12.3	11.3	9.7	10.0	10.7	13.2	16.0	18.5	20.3	21.9	22.2	23.0	24.3	23.6	23.4	21.2	20.5	19.3	16.7	15.6	15.1	14.3	14.1	17.07
12	13.5	13.1	12.7	12.2	13.6	13.0	15.4	17.7	20.9	22.9	24.5	25.7	26.4	27.1	26.9	26.2	25.8	23.7	23.3	20.3	19.8	17.7	17.0	17.6	19.87
13	17.4	17.1	15.9	14.8	14.0	15.1	17.6	19.2	23.0	24.2	26.5	27.6	28.0	28.5	24.9	22.2	21.2	22.6	20.6	19.7	17.6	16.7	16.2	16.0	20.25
14	15.2	14.8	14.6	14.1	14.5	14.7	16.5	18.8	20.9	23.2	23.5	25.4	26.4	23.3	19.4	24.5	24.0	23.6	19.0	17.8	16.5	16.1	15.2	14.7	19.03
15	14.8	14.4	14.1	14.0	13.1	13.6	15.6	17.9	22.0	24.5	26.8	25.6	27.2	21.2	25.1	23.4	24.7	22.7	20.7	19.5	18.6	17.9	16.9	16.0	19.60
16	15.1	14.9	14.7	14.0	13.8	14.6	15.2	17.8	21.1	23.0	23.0	24.3	23.4	24.6	23.6	23.3	22.7	21.2	19.8	18.2	17.3	17.0	15.5	14.3	18.82
17	13.6	13.0	12.2	12.0	11.7	13.1	15.2	18.1	20.5	22.5	23.4	24.2	26.0	25.6	26.3	26.1	25.0	23.2	21.7	19.0	18.0	16.1	16.1	16.1	19.31
18	15.8	15.4	14.8	13.2	14.4	14.1	16.8	19.6	23.2	24.8	26.0	27.8	28.2	28.6	26.8	27.5	26.8	25.1	23.7	20.2	19.1	19.8	19.1	18.2	21.19
19	18.1	17.3	17.7	16.0	15.5	16.3	17.9	20.7	24.8	26.3	27.4	28.5	28.8	29.3	30.0	29.6	28.2	25.4	23.8	23.2	20.2	19.2	17.6	16.5	22.43
20	16.2	15.5	14.9	14.7	14.2	14.9	16.9	19.4	21.7	24.5	27.1	27.5	28.6	29.0	30.0	29.8	27.6	26.2	23.5	21.9	21.2	20.8	19.1	18.7	21.88
21	19.1	16.6	17.9	16.9	15.3	15.3	17.3	19.3	21.3	25.0	26.5	27.3	27.9	28.2	28.7	28.1	27.8	26.1	24.4	22.6	20.2	19.8	18.8	18.2	22.03
22	17.9	15.9	15.2	15.1	14.9	15.4	17.4	20.8	23.9	26.2	27.0	28.7	29.4	31.7	32.8	32.7	31.0	28.4	26.5	24.5	23.0	22.0	20.2	19.1	23.32
23	17.9	17.7	16.7	16.1	15.9	16.5	18.6	21.5	26.5	29.3	30.4	32.1	33.2	35.0	34.8	35.2	33.7	30.8	26.6	24.4	23.8	22.6	22.3	21.9	25.15
24	21.8	21.6	20.9	20.1	19.6	19.8	22.0	24.6	28.1	30.3	32.4	33.1	34.6	33.5	29.4	19.4	19.4	21.8	20.9	19.6	19.2	18.3	18.7	20.5	23.73
25	19.9	18.8	18.2	17.7	16.7	17.4	19.1	21.7	24.9	27.1	29.3	30.9	31.4	31.3	32.2	28.6	29.7	28.1	25.3	23.2	22.3	21.2	20.3	19.7	23.96
26	19.2	18.8	18.3	17.9	17.4	17.6	19.4	21.9	24.9	26.6	28.0	29.1	30.4	31.0	28.7	31.1	30.6	28.6	25.9	24.1	24.2	22.3	21.1	20.6	24.07
27	20.5	19.6	18.6	19.8	19.0	19.3	20.6	22.3	25.3	27.8	28.8	31.0	31.6	32.2	32.8	32.4	32.2	30.2	26.6	24.1	23.6	22.8	22.0	21.8	25.18
28	20.9	19.5	19.8	19.5	19.1	19.8	21.6	24.6	26.5	28.3	30.0	31.0	31.8	32.2	31.4	32.0	28.0	25.2	25.0	22.4	22.2	22.7	21.7	20.2	24.80
29	19.5	18.7	19.1	19.2	18.4	18.8	19.9	21.4	24.6	27.4	30.2	31.8	31.0	32.6	32.8	31.4	32.6	31.0	26.7	23.4	22.0	21.3	21.6	20.6	24.83
30	19.5	18.7	18.4	18.4	17.6	17.8	20.4	23.5	26.6	30.2	32.4	33.2	33.0	34.4	30.1	28.9	30.3	28.3	26.4	23.2	24.1	22.0	21.7	20.3	24.97
31	20.4	19.7	19.5	20.0	20.1	19.6	20.4	24.0	27.7	26.6	29.2	31.0	31.6	32.8	34.3	27.6	26.8	26.2	24.7	23.4	22.6	21.1	20.2	19.5	24.54
M.	16.57	15.82	15.32	14.83	14.64	15.23	16.96	19.30	22.23	24.15	25.51	26.61	27.27	27.70	27.33	26.46	25.75	24.20	22.32	20.35	19.45	18.49	17.78	17.17	20.89

August 1911. Zürich.

Tag	1^{30}a	2^{30}	3^{30}	4^{30}	5^{30}	6^{30}	7^{30}	8^{30}	9^{30}	10^{30}	11^{30}	12^{30}p	1^{30}	2^{30}	3^{30}	4^{30}	5^{30}	6^{30}	7^{30}	8^{30}	9^{30}	10^{30}	11^{30}	12^{30}	Tagesm.
1	18.5	17.6	17.0	16.5	16.8	16.8	18.8	20.4	23.8	26.6	29.1	30.1	30.5	30.9	30.9	30.5	29.2	26.5	23.2	21.4	20.4	20.5	20.2	19.1	23.12
2	18.0	17.1	17.8	17.8	17.0	17.8	18.3	19.1	19.0	21.8	24.9	26.0	28.2	29.4	30.3	27.7	26.4	25.9	24.2	21.8	19.8	19.6	19.9	18.3	21.90
3	17.1	16.5	16.2	15.5	15.0	15.5	17.5	20.5	23.6	26.7	28.3	29.8	30.6	30.3	29.5	30.0	28.9	27.4	24.2	22.9	22.6	22.3	20.5	21.4	23.03
4	21.3	19.7	19.7	19.5	18.9	19.0	19.9	20.7	22.8	25.9	26.8	27.3	27.4	28.5	27.1	28.7	27.0	25.8	24.2	22.6	21.5	20.7	20.4	19.5	23.12
5	19.5	18.7	17.5	17.5	17.2	17.4	18.4	19.7	21.7	24.5	25.1	26.3	28.6	29.2	29.7	29.5	29.7	28.0	23.6	22.0	21.4	20.8	20.1	19.4	22.73
6	18.9	18.1	16.9	16.0	16.6	18.8	20.6	23.0	26.3	26.5	25.9	27.1	26.4	29.8	30.2	26.9	25.8	25.0	18.9	18.6	18.6	18.0	17.3	17.1	21.97
7	17.4	17.3	17.4	16.6	16.3	16.7	17.1	19.5	22.0	25.1	27.0	26.0	26.8	28.0	29.7	29.4	28.7	26.6	23.1	21.4	21.2	21.1	21.4	19.9	22.81
8	18.8	19.3	18.4	17.7	16.8	17.4	18.4	21.2	23.5	25.7	29.2	30.1	31.6	31.1	32.5	32.2	31.0	29.1	25.6	24.0	23.9	23.2	21.4	19.6	24.24
9	18.5	18.2	16.9	16.3	15.6	16.2	18.2	20.1	24.0	26.1	27.3	28.2	29.5	31.6	33.1	31.5	30.2	28.6	24.5	23.5	23.3	22.2	21.9	19.0	23.52
10	17.6	16.8	15.6	15.1	14.1	14.3	16.2	19.1	22.6	26.3	28.1	30.0	30.8	32.5	32.6	31.5	31.2	28.8	25.2	24.3	23.4	21.9	20.0	18.6	23.17
11	18.3	17.7	17.1	16.5	15.9	16.0	19.0	20.9	23.6	26.6	28.4	28.8	30.9	30.6	31.5	29.1	28.6	27.0	23.3	20.8	20.6	19.2	20.5	18.0	22.87
12	17.1	15.8	15.6	14.7	14.4	14.8	17.6	19.2	22.0	24.0	27.3	28.5	29.2	30.6	30.0	29.9	28.2	26.5	24.2	21.7	21.6	19.6	20.1	17.8	22.10
13	16.8	16.4	15.0	14.7	14.0	14.1	16.4	18.7	22.1	23.9	25.5	27.8	28.6	28.2	29.8	28.7	27.9	26.2	22.6	21.5	21.9	20.8	18.7	18.3	21.61
14	17.1	16.5	16.1	15.7	14.9	15.3	16.8	19.1	22.7	25.6	27.4	28.5	29.8	27.6	21.4	17.4	19.3	18.8	18.4	18.0	17.2	17.2	15.6	14.6	19.63
15	14.0	13.7	13.3	12.6	12.0	12.5	15.1	17.3	21.2	23.0	27.3	28.1	28.0	28.8	29.7	28.4	26.7	24.8	23.2	21.9	20.8	19.3	18.0	17.3	20.71
16	16.2	15.6	15.4	15.1	14.8	14.8	15.2	16.8	18.5	22.9	24.0	24.2	24.4	25.0	25.3	24.2	23.9	22.2	19.6	18.5	17.5	15.1	14.6	14.4	19.09
17	13.4	12.8	13.1	12.0	11.0	11.5	12.6	15.2	17.5	21.0	22.5	24.2	24.6	26.2	25.8	25.4	25.0	23.1	20.5	18.0	17.0	15.5	15.0	14.0	18.20
18	13.5	12.4	11.5	10.9	10.5	10.6	12.2	14.0	18.4	22.1	24.3	24.6	27.0	28.0	28.3	27.4	26.8	24.1	20.5	18.3	19.8	16.6	16.3	15.1	18.88
19	13.4	13.1	12.5	11.7	11.3	11.5	12.9	16.3	20.7	25.8	28.1	29.8	29.5	31.3	30.9	30.7	30.0	26.8	22.4	20.3	20.4	18.9	19.0	18.5	21.05
20	17.9	16.9	15.3	14.5	14.9	15.6	16.2	18.8	22.8	22.3	25.9	31.8	32.4	30.5	28.5	25.0	21.1	20.5	21.0	20.2	18.2	17.7	18.2	17.7	20.95
21	18.5	17.8	18.3	17.0	16.6	17.1	17.0	18.3	21.3	23.1	25.8	27.0	29.4	30.1	24.4	20.4	20.2	18.4	17.8	17.8	18.5	18.1	18.3	17.7	20.86
22	16.9	16.9	16.2	15.9	16.2	16.7	17.6	19.0	19.8	21.4	24.5	25.8	26.4	27.2	27.0	26.1	24.8	23.4	21.9	20.7	20.6	18.4	17.9	17.7	20.79
23	17.2	17.4	15.9	15.9	15.3	15.9	17.0	19.0	21.0	21.1	22.6	22.2	19.6	19.1	17.7	19.6	19.1	19.0	17.5	17.0	16.9	18.1	17.9	16.6	18.27
24	16.0	15.8	15.1	15.2	14.9	15.1	16.8	17.8	19.7	20.6	20.9	22.6	23.4	24.5	26.6	23.1	22.8	22.1	19.5	18.4	18.1	17.0	17.2	15.6	19.10
25	15.6	15.7	15.9	15.1	15.0	15.4	17.3	18.3	20.8	23.4	24.5	26.4	26.6	27.4	28.4	26.3	26.7	23.9	21.4	20.6	20.0	16.9	16.7	16.5	20.62
26	16.7	16.4	16.1	15.6	15.7	14.7	15.0	15.2	16.0	19.2	20.2	19.4	22.6	23.0	23.2	18.3	18.1	19.3	17.0	15.9	15.6	15.1	14.9	14.4	17.40
27	14.1	13.4	12.4	12.2	11.7	11.5	12.8	15.2	19.3	22.2	24.3	24.3	25.2	25.7	26.5	25.6	25.1	23.1	20.6	19.9	17.6	17.4	16.6	15.0	18.83
28	14.5	13.8	13.3	12.9	12.6	12.7	13.8	15.9	19.9	24.4	25.4	27.9	28.2	28.9	29.3	29.4	28.7	26.0	22.0	21.0	20.8	20.2	19.3	18.9	20.80
29	17.9	17.7	17.4	17.2	16.6	16.9	17.6	19.6	23.6	27.4	29.1	30.2	31.2	31.6	32.7	31.2	26.7	26.4	23.6	22.8	20.8	20.1	19.2	18.5	23.17
30	17.9	18.1	18.1	16.9	16.7	16.7	18.0	19.3	19.8	23.0	23.8	26.2	26.1	26.8	28.7	26.9	25.4	23.6	22.4	21.4	20.7	20.4	17.9	16.1	21.29
31	13.9	13.0	12.8	12.2	12.0	12.4	12.8	14.2	15.7	17.8	19.1	20.0	20.5	22.6	22.3	21.3	20.4	18.6	16.3	15.3	14.2	13.5	13.8	12.2	16.08
M.	16.82	16.30	15.80	15.24	14.86	15.22	16.54	18.48	21.14	23.74	25.57	26.72	27.54	28.23	28.18	26.66	25.92	24.36	21.69	20.40	19.82	18.88	18.35	17.52	21.00

September 1911. **Stündliche Lufttemperaturen.** $h_t = 1.8^m$. Zürich.

Tag	1^{30}a	2^{30}	3^{30}	4^{30}	5^{30}	6^{30}	7^{30}	8^{30}	9^{30}	10^{30}	11^{30}	12^{30}p	1^{30}	2^{30}	3^{30}	4^{30}	5^{30}	6^{30}	7^{30}	8^{30}	9^{30}	10^{30}	11^{30}	12^{30}a	Tagesmittel
1	12.0	12.0	11.8	11.0	10.5	10.6	11.8	13.8	16.2	19.2	20.9	22.7	23.6	26.5	26.0	25.9	24.6	22.1	18.9	17.4	16.6	15.6	15.1	14.8	17.46
2	14.5	13.9	13.5	12.7	12.4	12.5	13.8	16.0	19.9	23.9	26.6	28.6	29.1	30.2	30.3	30.2	29.1	26.0	21.5	20.6	19.6	20.1	18.6	16.9	20.85
3	16.2	15.6	15.3	14.9	14.3	14.2	15.8	18.0	22.4	25.3	27.9	29.7	31.8	31.4	31.2	31.1	29.8	26.3	21.9	21.0	19.4	19.3	17.9	17.9	22.03
4	16.9	16.4	14.9	14.6	14.1	14.3	15.9	18.6	22.2	26.0	27.8	30.0	31.0	31.3	32.0	30.8	29.9	24.8	24.0	23.6	23.0	20.1	18.4	17.5	22.42
5	17.2	17.0	16.2	15.6	15.2	15.0	16.4	18.4	21.6	24.9	27.5	29.3	31.0	31.3	30.8	29.9	27.1	23.6	22.1	21.2	20.5	20.0	18.9	17.9	22.00
6	17.1	16.6	16.0	16.1	15.5	15.1	16.4	18.5	22.0	25.2	27.2	29.0	28.2	28.5	28.9	28.6	28.1	25.0	21.7	21.4	19.0	18.4	17.1	16.6	21.51
7	16.5	15.5	15.1	14.2	13.8	13.9	14.7	17.0	20.9	24.7	27.4	28.4	29.6	29.7	30.9	30.4	27.7	24.8	20.5	20.9	18.6	17.8	17.6	16.8	21.12
8	15.5	14.6	14.5	14.2	13.7	12.9	14.7	17.0	20.4	25.0	27.7	29.0	28.4	31.2	31.1	29.2	27.4	24.6	22.1	21.4	20.6	20.8	19.5	20.2	21.47
9	18.5	18.3	18.1	17.9	17.3	17.2	17.9	19.8	23.0	27.4	28.7	30.2	31.3	31.2	31.5	29.7	27.8	23.1	20.6	20.8	21.3	20.1	19.5	19.4	22.95
10	19.3	18.5	19.9	17.9	17.5	17.1	19.6	20.4	23.0	25.0	25.7	26.7	25.0	24.2	24.2	22.3	20.2	19.1	17.9	17.7	16.4	15.6	14.9	14.6	20.11
11	14.0	11.9	11.3	10.6	10.1	10.0	10.6	12.6	15.8	19.6	21.8	23.5	25.0	26.4	26.8	26.1	25.0	20.9	18.3	17.3	16.4	15.7	14.8	14.0	17.44
12	13.1	12.5	12.3	11.9	11.3	10.5	11.6	14.5	18.4	23.1	25.6	26.8	28.9	29.7	30.8	28.8	26.3	23.6	21.6	21.0	20.0	19.6	18.9	19.5	20.01
13	18.7	18.3	18.0	16.7	16.6	16.7	17.8	18.8	23.7	26.0	28.8	29.3	30.1	30.3	31.1	29.7	28.4	24.8	21.6	21.5	22.0	22.6	21.9	21.4	23.10
14	20.9	20.8	19.1	17.4	17.2	17.4	18.0	19.0	22.0	24.8	26.4	28.3	28.8	28.3	29.2	27.8	24.2	23.0	21.1	18.7	18.0	17.7	17.8	17.3	21.78
15	16.5	16.6	16.5	16.4	16.0	16.0	16.7	17.8	18.2	18.8	19.4	19.3	19.2	18.1	17.9	16.4	15.7	15.1	14.7	13.1	12.2	11.3	10.8	10.6	15.97
16	10.4	10.6	10.2	10.3	10.6	10.6	11.0	11.1	11.1	11.0	11.3	11.8	11.6	10.7	10.8	10.3	10.5	10.5	10.5	10.5	10.4	10.2	10.3	10.3	10.69
17	10.3	10.0	10.0	9.9	10.0	10.0	10.3	10.6	11.6	13.0	13.8	14.4	13.8	16.9	15.5	16.1	14.0	13.0	11.9	11.1	11.4	9.4	8.8	8.0	11.82
18	7.4	7.2	8.0	8.0	7.6	7.0	9.0	10.7	12.6	15.2	17.2	17.7	18.0	18.7	18.8	17.2	16.4	14.1	12.8	11.0	10.4	10.4	9.2	8.7	12.22
19	8.2	7.5	7.2	6.9	6.7	6.7	8.6	8.9	12.2	13.9	18.3	20.2	22.0	22.2	22.9	21.5	19.4	15.7	14.3	13.1	12.8	11.5	11.8	12.0	13.51
20	10.9	11.0	11.5	11.1	11.4	11.3	12.6	13.8	15.0	17.2	18.7	21.8	24.2	24.1	24.9	22.7	19.9	17.2	16.8	16.7	15.8	15.5	16.8	15.9	16.53
21	15.6	14.3	14.7	13.5	13.0	13.2	14.6	15.1	17.2	16.8	14.9	13.3	13.2	12.6	12.1	11.1	10.4	10.0	9.8	9.1	9.2	9.0	8.8	8.7	12.51
22	8.7	8.6	8.3	8.3	8.2	8.2	8.8	9.6	9.1	10.4	10.0	10.5	10.2	9.4	9.0	8.9	8.4	7.8	7.5	7.5	7.4	7.1	7.1	7.1	8.59
23	7.1	6.8	6.7	6.7	6.7	6.8	7.2	7.1	7.2	7.2	7.5	7.8	8.2	8.0	8.2	7.9	7.8	7.4	7.4	7.8	8.4	8.1	8.4	8.2	7.53
24	8.3	8.5	8.7	8.7	9.0	8.7	8.8	9.2	9.7	10.6	11.5	11.7	12.6	13.6	14.9	13.6	12.8	11.9	11.9	11.5	11.4	11.3	11.2	11.1	10.88
25	10.4	9.7	9.8	9.5	10.4	10.7	11.0	10.6	14.5	16.2	18.2	18.6	19.0	20.1	19.0	18.9	18.2	15.7	14.8	12.7	12.6	11.8	11.1	10.6	13.92
26	12.0	11.7	11.8	12.1	12.1	12.2	12.0	12.8	13.6	14.0	13.6	16.0	16.8	18.8	18.9	18.4	17.0	13.8	12.9	12.0	11.0	11.0	10.4	9.7	13.50
27	9.6	9.8	9.4	10.1	9.9	9.8	10.2	10.2	11.9	14.8	18.2	19.8	20.6	21.1	20.8	19.6	18.5	14.7	13.6	12.7	12.6	13.0	13.2	12.7	13.99
28	12.8	11.8	11.4	11.1	11.8	12.1	12.8	13.7	14.8	15.7	15.7	15.0	17.0	18.8	19.0	17.2	16.3	15.2	15.1	15.0	14.0	13.9	13.6	12.9	14.45
29	12.2	12.1	12.3	11.9	11.8	12.0	12.0	11.9	12.4	12.8	12.7	13.0	13.7	13.4	13.7	13.6	12.6	12.0	11.1	11.6	10.9	9.9	9.4	8.8	11.99
30	8.8	8.5	8.2	8.0	8.0	7.9	8.1	8.7	9.9	10.2	11.3	11.1	13.0	13.8	12.0	11.4	11.6	11.6	10.5	9.8	10.0	9.0	9.7	8.5	9.98
M.	13.32	12.86	12.67	12.27	12.09	12.02	12.94	14.14	16.42	18.60	20.08	21.12	21.81	22.35	22.42	21.49	20.17	17.90	16.31	15.66	15.06	14.51	14.05	13.62	16.41

Oktober 1911. Zürich.

Tag	1^{30}a	2^{30}	3^{30}	4^{30}	5^{30}	6^{30}	7^{30}	8^{30}	9^{30}	10^{30}	11^{30}	12^{30}p	1^{30}	2^{30}	3^{30}	4^{30}	5^{30}	6^{30}	7^{30}	8^{30}	9^{30}	10^{30}	11^{30}	12^{30}a	Tagesmittel
1	6.9	7.0	7.1	6.6	6.3	6.0	5.8	6.0	6.5	7.5	7.8	8.1	7.3	6.9	6.8	7.2	7.2	6.8	6.3	6.2	6.3	6.2	6.1	6.0	6.70
2	5.9	5.7	5.5	5.2	5.0	5.0	5.2	5.9	5.7	5.6	6.7	7.9	5.0	7.6	5.0	5.8	5.4	5.0	3.6	3.9	4.9	4.3	3.7	3.0	5.27
3	3.2	2.8	1.8	1.6	1.7	0.9	1.2	2.6	6.4	9.3	11.5	11.7	11.4	12.7	12.4	10.4	8.4	7.9	6.3	5.1	4.6	4.2	4.0	4.8	6.12
4	4.8	4.7	4.9	3.9	4.3	4.0	5.2	6.0	7.0	9.5	8.9	9.7	9.2	8.8	8.9	9.6	8.9	7.2	6.8	7.5	8.0	8.1	8.1	7.9	7.16
5	7.6	6.9	6.8	7.0	6.5	6.5	7.0	7.9	9.5	10.1	9.9	10.2	9.6	9.6	9.5	9.4	9.1	8.8	8.9	8.7	8.6	8.6	8.4	8.4	8.47
6	8.2	8.0	7.6	8.0	8.1	8.5	8.8	9.4	10.2	10.3	11.2	11.8	11.8	12.2	12.4	12.0	11.2	11.1	11.0	10.9	10.8	10.9	10.9	10.3	10.23
7	10.2	9.1	9.0	9.1	10.2	10.5	10.8	11.5	11.8	12.8	13.9	14.7	15.1	17.9	17.5	16.7	14.0	12.5	11.3	10.2	9.5	9.0	8.9	8.8	11.88
8	8.6	8.5	8.1	7.9	7.2	6.3	6.3	8.7	9.3	11.5	12.2	13.8	16.8	14.9	14.3	14.1	12.7	12.0	11.8	11.6	11.4	11.1	11.0	11.0	10.88
9	10.9	10.0	9.6	9.9	9.9	10.1	10.2	10.6	11.3	12.2	15.6	15.1	16.0	16.8	16.5	15.5	13.5	13.6	13.8	14.1	13.8	13.4	12.7	12.7	12.82
10	12.3	11.9	11.5	10.7	10.0	8.4	8.1	8.4	8.2	8.5	8.8	8.5	9.0	9.3	9.4	9.2	8.8	8.7	8.7	8.8	8.4	7.9	7.9	7.1	9.10
11	6.1	5.5	4.8	5.6	5.0	4.8	5.0	6.0	8.6	8.7	10.4	12.1	13.9	14.2	13.4	12.4	10.6	9.0	7.8	6.9	6.2	5.9	6.8	7.3	8.21
12	8.0	8.0	8.0	7.9	7.9	7.9	8.0	7.8	8.6	9.3	10.2	13.8	14.8	15.9	16.3	15.4	12.4	9.9	9.4	8.8	8.2	8.0	7.4	7.7	9.98
13	8.1	8.0	7.9	7.7	7.8	7.9	7.9	7.9	8.0	8.5	8.8	9.3	10.5	10.5	11.3	10.6	9.8	9.7	9.4	8.8	8.8	8.9	9.1	8.9	8.92
14	8.4	8.6	8.3	8.3	8.4	8.6	8.8	9.4	10.4	12.4	15.5	16.0	16.6	17.4	16.6	16.3	15.0	14.1	13.8	13.4	12.6	12.7	12.5	10.9	12.29
15	10.4	9.7	9.1	8.4	7.9	7.8	8.2	8.7	10.9	14.0	14.9	17.5	18.3	18.8	18.2	17.8	15.7	14.7	14.6	14.8	14.5	12.1	11.2	11.4	12.90
16	10.2	10.1	11.0	11.1	11.4	11.1	11.2	11.8	12.4	12.7	12.4	12.3	13.7	12.3	11.5	11.2	10.7	10.5	10.3	10.2	9.9	9.7	9.6	9.4	11.18
17	8.9	9.1	9.4	9.5	8.9	8.0	8.4	8.4	8.4	8.5	8.8	10.8	10.9	8.5	7.7	7.4	7.4	7.6	7.6	7.9	8.0	7.9	8.0	8.0	8.50
18	7.9	7.9	7.8	7.7	7.7	7.6	7.6	7.9	8.4	9.6	12.8	14.9	14.0	14.9	14.2	14.0	11.6	9.7	8.9	8.6	7.8	7.6	6.9	6.4	9.68
19	5.9	5.0	5.1	5.2	5.0	5.2	5.9	6.0	7.3	10.5	15.2	15.9	13.9	16.0	16.3	15.2	12.7	10.9	10.2	9.7	9.3	8.6	8.8	8.7	9.69
20	7.6	7.6	7.3	6.9	6.9	6.7	6.6	6.9	7.2	8.7	10.1	11.6	12.2	14.0	13.1	13.4	11.6	10.6	10.0	10.2	10.0	7.9	7.6	8.4	9.30
21	6.3	5.7	5.0	4.5	4.6	4.0	4.1	5.0	5.8	11.5	13.2	15.3	16.2	17.0	15.8	13.8	11.9	11.1	10.8	10.3	10.4	10.5	10.7	9.7	9.72
22	9.5	9.2	9.3	9.1	9.0	9.9	11.4	12.0	12.9	14.8	13.8	14.2	14.4	16.3	15.0	14.2	13.3	13.8	14.0	14.2	13.6	12.6	12.6	12.5	12.57
23	13.9	12.9	13.0	11.2	10.5	12.2	12.2	12.9	13.4	14.4	15.7	16.1	16.4	16.3	13.7	13.3	11.7	11.6	10.8	10.4	9.8	9.8	9.5	9.2	12.54
24	8.9	8.9	8.9	8.8	8.7	8.7	8.8	9.1	9.4	10.3	10.7	10.7	11.2	12.7	12.1	11.1	9.0	8.8	7.8	7.3	6.5	6.5	5.2	4.0	8.92
25	3.6	3.0	2.9	2.8	3.0	3.1	2.9	3.5	4.0	5.9	8.4	9.5	10.2	8.5	8.4	7.8	7.1	7.3	7.5	7.8	8.0	7.8	7.9	7.8	6.20
26	7.4	6.9	7.0	7.1	7.7	7.6	7.0	8.1	9.7	11.2	12.8	13.7	14.8	14.7	13.8	11.3	9.9	8.4	9.3	8.5	9.2	8.8	8.8	8.3	9.63
27	9.8	9.5	10.7	10.6	10.0	9.5	7.5	8.7	11.0	12.0	14.5	15.8	17.3	14.8	13.1	12.5	8.8	8.2	7.8	7.8	7.4	6.7	6.7	6.8	10.29
28	6.4	7.0	6.9	6.6	6.9	7.0	7.2	7.7	8.0	8.1	10.0	9.8	10.4	12.9	11.1	10.5	8.7	8.1	8.0	7.8	7.6	7.0	6.9	6.0	8.20
29	6.3	6.0	6.0	6.1	6.0	6.0	6.1	6.9	8.3	9.6	9.1	9.6	9.9	9.1	7.2	6.4	5.3	4.6	4.5	4.2	4.0	3.9	3.9	4.0	6.37
30	4.0	4.0	3.9	3.2	3.0	3.0	3.2	3.6	4.8	6.4	7.2	9.8	10.6	10.7	10.2	8.6	5.9	5.2	3.7	3.2	3.4	2.3	2.4	3.2	5.23
31	2.9	1.0	0.4	−0.1	0.0	0.9	1.6	1.4	2.6	3.5	8.9	10.5	11.9	10.5	9.6	8.8	7.4	6.8	6.6	6.6	6.6	6.8	6.4	5.9	5.31
M.	7.71	7.36	7.25	7.04	6.95	6.89	7.04	7.68	8.58	9.93	11.29	12.30	12.67	12.99	12.30	11.67	10.18	9.49	9.07	8.85	8.65	8.25	8.07	7.87	7.17

November 1911. Stündliche Lufttemperaturen. $h_t = 1.8^m$. Zürich.

Tag	1^{30} a	2^{30}	3^{30}	4^{30}	5^{30}	6^{30}	7^{30}	8^{30}	9^{30}	10^{30}	11^{30}	12^{30} p	1^{30}	2^{30}	3^{30}	4^{30}	5^{30}	6^{30}	7^{30}	8^{30}	9^{30}	10^{30}	11^{30}	12^{30} a	Tagesmittel
1	5.5	5.9	5.9	4.9	5.6	5.5	6.0	6.8	8.2	10.5	11.0	12.5	11.7	10.6	10.2	9.8	9.3	8.8	8.1	7.7	7.9	6.6	6.1	5.7	7.88
2	4.5	3.0	2.9	3.0	3.0	3.4	4.0	4.7	4.8	5.2	6.4	6.7	9.0	8.1	8.0	6.9	4.8	4.0	3.7	3.0	2.3	1.9	2.8	3.1	4.06
3	4.2	4.2	4.6	4.8	4.8	4.9	5.0	5.6	5.8	6.6	7.4	10.2	10.7	10.6	10.4	9.0	6.2	5.0	4.1	3.6	4.6	5.1	5.0	5.2	6.15
4	5.2	5.3	5.2	5.3	5.1	4.9	5.0	5.0	6.0	7.8	9.1	8.4	9.4	11.2	10.4	9.5	7.5	6.4	6.1	5.9	5.9	5.6	5.0	5.2	6.79
5	5.8	5.2	5.5	5.4	5.5	4.9	5.7	6.6	7.6	13.3	14.9	15.7	16.2	17.6	16.5	16.2	15.3	14.3	15.2	14.8	14.4	14.5	14.8	14.0	11.66
6	13.8	10.9	9.1	8.5	8.1	7.6	7.2	7.2	7.4	7.5	9.4	11.2	11.4	10.3	10.2	10.1	9.7	8.7	7.8	7.5	6.1	5.9	6.8	6.1	8.69
7	5.8	5.3	5.0	4.2	3.3	2.7	2.8	4.0	7.4	9.0	10.2	11.2	10.8	9.7	9.6	8.2	5.5	3.6	3.2	2.6	2.0	1.1	0.9	0.6	5.36
8	0.2	−0.4	−0.9	−1.2	−0.9	−0.6	−1.4	−1.3	−1.1	−0.3	1.3	4.2	6.0	6.9	6.4	4.9	3.0	1.8	1.6	1.6	1.0	0.9	0.6	0.5	1.37
9	0.3	0.9	2.1	1.1	1.3	2.2	2.8	4.0	3.6	4.6	5.4	4.5	5.3	6.3	6.3	6.2	6.0	5.7	5.0	4.7	5.4	5.5	5.5	5.5	4.17
10	5.2	4.5	4.1	4.0	3.8	3.9	4.0	4.3	4.4	4.5	4.9	5.2	5.1	5.2	5.1	4.9	4.8	4.6	4.2	4.0	4.2	4.0	3.8	3.9	4.44
11	3.8	3.9	3.9	3.9	4.0	4.2	4.0	4.4	5.2	6.2	7.2	9.9	9.0	9.8	9.0	7.1	5.1	4.1	3.7	3.1	2.8	2.4	2.0	1.1	4.99
12	0.4	−0.3	−0.6	−0.6	−0.8	−0.7	−1.0	−0.7	−0.3	1.7	4.4	5.5	5.8	5.9	5.8	6.6	6.8	6.8	6.6	6.1	6.3	6.3	7.3	6.9	3.49
13	7.1	6.9	6.4	5.9	5.7	5.6	5.4	5.3	5.5	5.7	6.0	6.6	6.6	6.2	6.0	5.9	5.8	5.8	5.7	5.8	5.7	5.2	5.1	5.0	5.87
14	5.0	5.1	5.4	5.5	5.5	5.5	5.4	5.5	5.8	6.7	7.1	7.5	7.4	7.6	7.7	7.5	7.3	7.1	7.1	6.9	6.6	6.6	6.6	6.5	6.15
15	6.3	6.1	5.9	5.8	5.8	5.6	5.6	5.5	5.9	6.5	6.7	7.0	9.0	9.7	8.8	7.4	6.0	5.6	5.2	5.1	5.5	5.5	4.8	4.9	6.26
16	5.9	5.9	6.7	6.5	6.0	6.5	7.8	8.8	9.0	11.6	12.4	11.8	12.9	13.7	11.5	10.4	9.7	9.0	9.7	7.6	6.8	5.5	5.1	4.5	8.55
17	4.4	4.1	4.0	3.9	3.6	3.3	3.1	2.8	5.2	7.4	9.3	11.0	11.8	10.4	10.2	8.8	8.4	7.7	7.0	7.6	7.4	6.4	5.2	4.9	6.58
18	5.8	5.3	5.6	5.5	5.2	6.2	6.3	6.4	6.8	7.8	7.7	7.6	9.4	10.3	7.8	7.6	6.0	6.2	6.1	6.8	6.4	6.5	5.8	6.0	6.71
19	6.4	5.8	5.1	5.1	5.0	4.8	3.7	4.6	4.5	5.3	7.0	6.3	7.0	6.3	6.6	5.9	5.6	5.0	4.8	5.1	4.6	5.0	4.7	3.9	5.34
20	4.7	5.1	5.4	5.5	5.6	5.4	5.2	5.1	6.1	6.2	5.6	8.5	8.5	7.3	7.4	7.4	7.4	7.3	7.0	6.9	6.9	6.5	6.0	5.9	6.87
21	5.8	6.1	6.1	5.6	5.0	4.8	4.3	4.0	3.6	3.9	4.4	4.8	5.6	5.4	5.7	6.8	5.9	6.8	8.7	10.7	11.2	12.2	12.4	8.0	6.58
22	10.8	12.8	10.3	8.2	12.5	13.2	9.6	8.6	11.1	14.2	16.7	16.9	17.6	17.0	16.9	13.4	12.0	12.8	11.8	10.6	9.4	8.8	8.8	8.7	12.20
23	7.8	7.8	7.2	7.3	6.8	6.4	6.6	6.7	7.0	8.7	9.0	10.6	8.6	8.6	8.5	7.7	6.0	5.7	5.4	5.1	5.0	4.2	4.9	5.4	6.96
24	5.6	4.9	5.1	5.5	5.2	5.1	5.1	4.7	4.4	4.3	4.5	4.8	5.3	5.4	5.2	5.0	4.9	4.9	5.0	5.2	5.6	5.7	6.0	5.9	5.14
25	5.5	5.0	3.6	4.1	3.9	3.7	3.4	3.1	3.2	4.0	4.6	4.6	6.0	6.6	6.2	6.0	5.7	5.7	5.5	5.6	5.6	5.5	5.4	5.2	4.90
26	5.0	4.9	5.0	4.9	4.8	4.7	4.4	3.9	4.0	5.5	7.4	8.9	10.2	10.0	8.5	7.8	5.5	4.5	3.9	3.2	2.2	2.7	2.8	3.0	5.32
27	3.0	3.1	2.9	3.0	2.9	2.8	2.3	2.6	3.2	3.7	4.5	5.0	7.4	7.2	7.0	5.2	4.3	3.7	3.2	2.9	3.0	2.2	2.0	1.9	3.71
28	2.2	2.4	2.2	2.0	1.8	1.8	1.8	2.1	2.9	3.4	3.5	4.7	5.0	5.1	4.6	4.6	4.0	3.9	3.4	3.0	4.0	3.9	4.0	3.8	3.34
29	3.7	3.3	3.0	2.9	2.7	2.7	2.4	2.1	2.9	3.1	3.8	3.4	4.1	4.7	4.3	3.8	3.7	3.2	2.9	2.9	1.5	2.3	2.2	2.0	3.07
30	1.2	1.0	1.1	1.0	1.0	0.8	0.4	0.7	1.5	1.9	2.4	2.8	3.0	3.8	3.7	3.5	3.6	3.5	3.5	3.5	3.4	3.3	3.2	3.1	2.37
M.	5.03	4.80	4.59	4.38	4.39	4.39	4.23	4.44	5.05	6.22	7.14	7.93	8.53	8.58	8.15	7.47	6.51	6.07	5.84	5.64	5.43	5.26	5.19	4.90	5.84

Dezember 1911. Zürich.

Tag	1^{30} a	2^{30}	3^{30}	4^{30}	5^{30}	6^{30}	7^{30}	8^{30}	9^{30}	10^{30}	11^{30}	12^{30} p	1^{30}	2^{30}	3^{30}	4^{30}	5^{30}	6^{30}	7^{30}	8^{30}	9^{30}	10^{30}	11^{30}	12^{30} a	Tagesmittel
1	3.1	3.2	3.3	3.3	3.4	3.4	3.2	3.4	3.6	3.8	3.8	3.9	4.2	4.2	4.1	3.9	3.6	3.3	3.2	3.2	3.2	3.2	3.1	3.0	3.48
2	2.9	2.8	2.7	2.5	2.1	2.0	1.4	1.6	3.5	4.0	3.9	4.7	5.1	6.0	5.1	3.6	1.8	1.1	0.9	0.3	0.6	0.7	0.9	0.8	2.54
3	0.7	0.6	0.3	0.1	0.0	−0.1	−0.4	−0.4	−0.2	1.4	3.1	4.2	4.5	5.1	4.1	2.9	2.2	2.2	1.9	1.2	1.4	1.1	0.7	0.8	1.56
4	0.3	0.6	0.4	0.5	0.7	0.3	0.6	1.0	1.6	2.6	4.6	5.5	5.4	4.8	4.8	4.7	4.7	4.7	4.8	4.8	4.4	4.0	3.8	3.8	3.06
5	3.9	3.8	3.6	3.5	3.4	3.5	3.2	3.0	4.0	4.0	4.2	5.0	6.2	5.6	5.2	4.9	4.7	4.4	4.0	3.7	2.8	2.2	2.3	1.9	3.88
6	2.1	2.2	2.5	2.3	1.7	1.4	1.4	1.0	1.4	3.1	6.1	4.5	4.8	6.4	5.2	4.0	2.8	2.0	1.2	0.9	0.0	0.7	1.2	0.9	2.49
7	0.2	−0.1	−0.1	0.3	0.5	0.3	−0.9	−1.5	−1.5	−1.2	−0.7	−0.2	0.2	0.2	0.4	0.2	−0.1	−0.1	0.3	0.3	0.2	0.3	0.6	0.8	−0.07
8	0.9	0.5	0.4	0.4	0.1	0.9	1.4	1.6	2.6	2.8	3.1	3.6	3.8	3.8	3.8	3.6	3.0	3.0	3.1	3.2	3.0	2.2	1.6	0.1	2.19
9	−0.1	0.0	0.4	−0.4	2.3	2.7	2.5	3.6	4.4	3.5	3.8	4.5	5.0	5.4	5.6	5.2	4.7	4.5	3.9	3.7	3.4	3.0	2.8	3.1	3.23
10	2.6	2.4	1.8	1.1	1.4	1.2	0.6	−0.2	2.3	3.5	4.5	4.0	4.1	4.7	4.6	2.8	2.5	1.0	0.3	1.1	1.1	1.1	1.1	1.1	2.11
11	1.3	1.4	1.0	1.5	1.4	1.2	1.4	1.5	2.4	3.0	3.6	3.7	3.3	3.0	2.9	3.0	3.1	3.1	3.1	3.0	2.8	2.8	3.1	3.0	2.48
12	3.0	2.9	2.6	2.3	2.2	2.0	1.6	2.2	2.5	2.7	3.5	4.1	4.9	4.5	4.5	3.5	2.6	2.7	2.6	1.9	1.4	0.8	0.6	0.2	2.57
13	0.2	−0.2	−0.4	−1.2	−0.7	−1.6	−1.4	−0.9	−0.3	0.2	0.5	1.1	1.6	2.0	1.8	1.6	1.4	1.2	1.1	1.5	1.4	1.3	1.7	1.7	0.57
14	1.8	1.4	1.5	1.3	1.5	1.7	1.6	1.7	2.5	3.4	4.9	4.4	5.4	7.6	6.1	4.7	3.8	3.5	3.4	2.7	1.9	1.2	0.8	0.6	2.90
15	0.7	0.5	0.6	0.4	0.5	0.6	0.0	−0.2	−0.4	0.0	0.4	0.8	1.3	1.8	1.8	1.8	1.8	2.5	4.7	4.1	4.7	4.7	4.5	4.2	1.74
16	4.4	4.2	4.3	4.2	4.1	4.0	4.0	4.0	4.0	4.6	5.4	6.6	5.8	6.1	4.5	3.5	2.9	2.7	1.8	1.8	1.4	1.0	−0.5	−1.7	3.46
17	−1.9	−2.0	−2.2	−2.6	−2.6	−2.8	−2.7	−2.7	−2.5	−2.6	−1.6	−0.7	0.2	0.4	0.6	−0.1	−0.4	−0.6	−0.9	−1.2	−1.0	−0.6	−0.9	−0.6	−1.33
18	−0.7	−1.2	−1.6	−2.0	−2.1	−2.0	−2.0	−2.2	−1.9	−2.0	−2.1	−1.9	−1.4	−1.1	−0.9	−1.0	−1.1	−0.9	−0.9	−1.2	−1.4	−1.0	−1.2	−1.6	−1.47
19	−1.6	−1.7	−1.4	−1.2	−1.5	−1.5	−1.8	−1.8	−2.1	−1.6	−1.1	−0.2	0.0	0.4	0.8	1.0	0.2	−0.2	−0.3	−0.3	0.0	−0.3	−0.6	−1.2	−0.75
20	−0.8	−0.4	−0.2	0.1	1.0	0.5	1.6	1.8	2.8	3.7	4.6	4.2	5.5	3.4	5.5	7.8	7.1	8.4	8.0	7.8	7.5	7.6	6.8	7.2	4.23
21	6.1	5.4	5.2	3.7	3.1	3.4	3.0	3.0	3.1	5.3	5.6	6.6	9.4	9.9	13.1	11.0	10.8	9.2	9.2	7.7	7.0	6.7	5.7	5.4	6.61
22	5.1	5.2	5.8	5.7	5.5	5.2	4.0	4.4	4.7	5.2	6.9	6.4	5.9	6.3	6.4	5.7	5.8	5.5	5.0	5.1	2.8	1.8	1.8	5.2	5.06
23	6.7	5.1	9.4	10.1	8.7	7.8	7.0	7.1	7.4	7.0	6.9	7.0	6.5	5.5	5.0	4.4	4.2	4.1	4.0	3.6	3.6	3.0	1.9	1.4	5.72
24	1.6	0.8	0.3	0.0	0.2	−1.2	−1.2	−1.3	−0.5	1.1	2.4	3.4	4.4	4.3	3.8	3.4	3.1	3.0	3.2	3.8	7.0	6.2	6.8	6.9	2.56
25	4.5	4.3	4.2	4.1	3.7	6.1	5.2	4.7	5.8	5.0	4.5	3.8	4.8	5.2	3.0	4.0	3.8	2.8	3.5	3.4	3.6	3.2	3.3	3.8	4.18
26	3.8	3.3	3.5	3.8	3.2	3.8	3.4	3.3	4.3	5.5	5.6	5.5	5.2	5.3	5.3	5.0	4.6	4.6	4.3	4.5	3.4	3.1	2.7	2.8	4.14
27	3.7	3.8	5.1	5.9	6.6	7.2	7.3	7.6	8.0	6.6	6.3	7.0	7.2	6.6	6.6	6.1	5.3	4.7	4.6	4.2	4.0	3.8	3.7	3.6	5.67
28	2.7	1.6	1.1	0.7	0.2	0.2	0.4	−0.1	0.3	1.7	3.3	3.9	4.2	4.5	3.9	3.4	2.7	2.6	3.1	3.0	3.2	3.8	4.5	4.4	2.49
29	4.4	5.1	4.4	4.3	4.9	7.5	6.6	7.5	7.3	8.0	7.9	8.2	7.8	6.7	6.4	6.4	6.4	6.5	6.3	5.7	5.5	5.6	5.5	5.3	6.26
30	5.2	5.2	5.1	5.0	4.9	4.8	4.8	5.0	4.8	5.1	5.3	5.4	5.4	5.4	5.2	5.0	4.6	4.3	4.2	4.2	3.6	3.4	3.1	3.1	4.67
31	3.3	3.2	3.2	3.2	3.2	3.1	3.0	2.9	3.2	3.8	4.4	5.3	6.2	6.5	5.9	4.6	3.8	2.8	2.7	2.3	1.6	1.3	2.1	2.2	3.49
M.	2.26	2.06	2.16	2.03	2.05	2.12	1.90	1.95	2.50	3.01	3.68	4.01	4.42	4.53	4.36	3.89	3.43	3.18	3.11	2.90	2.72	2.51	2.37	2.33	2.89

1911. **Tägliche Maxima und Minima der Temperatur.** **Zürich.**

(Absolute Extreme.)

Tag	Januar		Februar		März		April		Mai		Juni		Juli		August		September		Oktober		November		Dezember	
	Max.	Min.	Max.	Min.	Max.	Min.	Max.	Min.	Max.	Min.	Max.	Min.	Max.	Min.	Max.	Min.	Max.	Min.	Max.	Min.	Max.	Min.	Max.	Min.
1	1.2	-4.1	-2.5	**-12.2**	11.9	2.9	18.5	4.0	12.3	5.4	21.0	11.5	21.2	14.5	32.1	16.3	26.6	10.3	8.3	5.7	13.7	4.5	4.2	2.9
2	1.5	-6.0	2.1	-9.2	5.4	-0.4	18.7	6.9	16.2	**1.7**	22.7	10.8	25.9	13.7	30.3	17.0	30.7	12.1	8.0	3.0	9.3	1.8	6.7	0.1
3	-2.3	-6.2	1.3	-2.8	4.3	0.5	7.2	-1.0	20.0	2.2	25.9	12.2	22.0	12.5	31.4	15.0	**32.5**	14.1	13.5	0.8	11.2	3.3	5.4	-0.4
4	-1.4	-2.2	1.1	-6.5	4.7	1.6	2.9	-2.7	20.4	4.9	24.4	12.3	21.5	9.1	29.2	18.8	32.2	14.0	9.7	3.8	11.7	4.8	5.6	0.2
5	-1.0	-2.4	-0.4	-7.2	5.6	1.0	0.0	**-4.6**	10.9	7.5	26.0	11.2	23.8	**8.2**	30.4	17.0	31.3	14.9	10.3	6.4	**17.9**	4.9	6.6	1.7
6	2.6	-7.0	4.8	-3.5	8.7	-1.3	0.8	-2.0	14.0	6.0	26.4	11.2	26.0	9.8	30.4	16.0	29.3	15.0	12.4	7.4	13.8	5.6	6.5	0.0
7	-2.3	-8.9	0.0	-5.2	8.6	-2.5	6.7	-1.0	13.5	4.4	28.3	11.5	28.7	11.8	30.0	16.2	31.1	13.2	18.1	8.4	11.3	0.6	0.8	-1.7
8	-4.1	-9.2	4.0	-8.5	6.5	-1.4	2.9	-0.6	13.0	6.1	**28.6**	12.2	30.7	13.0	**33.4**	16.7	31.8	12.8	17.7	5.9	7.5	**-1.5**	3.8	0.1
9	-1.7	-9.2	-0.7	-10.9	10.4	-1.2	3.6	-2.4	19.5	8.1	27.8	12.5	29.2	15.1	33.2	15.6	32.1	17.2	17.9	9.6	6.3	0.0	5.6	-0.5
10	1.2	-3.9	1.8	-10.2	7.6	0.0	8.4	-2.4	20.6	7.2	15.4	10.5	23.3	12.7	32.9	14.0	26.9	13.9	12.4	7.1	5.3	3.8	5.0	-0.2
11	2.2	-7.1	8.4	-5.2	10.7	0.5	13.0	-3.0	22.1	9.6	20.8	8.1	24.5	9.7	31.5	15.7	27.2	9.9	15.2	4.7	10.3	1.1	3.9	0.9
12	2.4	-7.6	6.8	-0.6	10.7	-0.7	15.4	-0.7	23.5	10.2	22.6	7.7	27.8	12.1	31.0	14.3	30.9	10.5	16.7	7.4	7.8	-1.0	5.0	0.2
13	1.4	-4.4	1.5	-1.2	7.6	-0.4	9.8	1.6	22.5	8.9	20.0	9.4	29.5	13.9	30.8	13.7	31.7	16.5	11.6	7.6	7.1	5.0	2.2	-1.6
14	-2.5	-5.7	1.5	-1.0	6.7	-0.8	10.7	0.7	20.1	9.4	15.6	7.1	28.0	14.0	30.5	14.6	29.5	17.0	18.0	8.2	7.7	5.0	7.7	0.6
15	-5.0	-9.2	5.6	-1.6	3.8	-1.4	18.0	-1.8	22.5	10.9	16.9	7.3	28.2	13.0	30.2	12.0	20.0	10.6	**19.6**	7.7	10.0	4.5	4.8	-0.5
16	-4.6	-10.5	6.4	-3.2	7.6	-1.4	22.6	1.7	22.6	12.3	22.3	**6.9**	25.8	13.2	26.2	14.4	12.0	10.1	14.0	9.4	14.0	4.3	7.4	-1.7
17	-0.3	**-11.7**	9.5	-2.5	9.6	-0.6	21.5	6.6	23.5	10.9	27.1	12.3	26.5	11.7	26.9	10.8	17.6	8.0	11.6	7.4	12.5	2.4	0.9	**-3.0**
18	-2.6	-10.0	12.6	5.0	9.9	-0.6	22.4	5.5	15.2	11.4	26.5	14.2	29.4	13.1	28.8	**10.1**	19.4	6.9	15.3	6.4	10.3	4.5	-0.7	-2.2
19	0.9	-6.4	10.2	2.0	15.6	-0.3	22.2	5.3	15.7	7.1	19.8	13.3	30.2	15.4	31.6	11.1	23.0	**6.6**	17.0	4.9	7.8	3.7	1.2	-2.2
20	1.7	-1.8	7.6	1.8	13.9	1.8	8.7	7.0	15.3	6.0	19.4	11.6	30.2	14.1	33.3	14.0	24.9	10.5	14.0	6.0	9.3	3.9	8.4	-1.0
21	0.1	-3.8	9.7	1.6	18.3	1.5	18.3	6.5	16.6	7.2	21.5	10.9	30.5	14.9	30.8	16.5	18.0	8.7	17.6	3.7	12.4	3.6	**13.2**	2.8
22	1.2	-4.4	10.5	1.4	18.8	0.8	22.6	5.7	19.5	4.7	25.2	8.9	32.9	14.4	28.3	15.9	10.8	7.1	17.0	8.0	**17.9**	7.2	7.2	1.3
23	-3.9	-5.6	**14.2**	3.0	16.4	2.0	**24.3**	7.0	18.0	5.2	26.9	12.9	**35.7**	15.8	23.2	15.1	8.5	6.7	17.2	9.2	11.5	4.2	10.2	1.4
24	-4.2	-5.8	10.0	1.7	16.0	2.3	22.1	10.8	21.5	10.3	21.0	12.8	35.4	17.8	26.6	14.6	15.3	8.2	13.3	4.0	6.2	4.1	7.5	-1.3
25	-0.5	-4.6	8.0	2.9	7.9	0.1	21.9	8.7	23.8	8.8	18.5	12.1	33.0	16.7	28.7	14.6	21.5	9.4	11.0	2.5	7.1	3.0	6.5	1.7
26	**5.3**	-3.2	9.5	0.8	5.0	-1.2	13.1	9.3	22.7	10.9	19.9	9.1	31.1	17.1	23.4	14.4	19.2	9.7	15.0	6.9	11.0	2.1	6.3	2.6
27	3.3	-5.3	7.8	-0.1	6.1	**-3.6**	14.8	7.1	24.5	10.6	15.7	10.2	32.9	18.4	26.9	11.4	21.2	9.1	18.0	6.3	7.7	1.9	8.0	2.9
28	-0.6	-6.0	9.7	-0.5	14.8	-0.1	14.6	7.4	25.2	9.7	21.0	8.3	33.0	18.8	29.8	12.5	19.7	10.8	13.0	6.0	5.0	1.7	4.6	-0.2
29	3.6	-3.8			**22.4**	7.9	12.5	6.2	25.5	11.0	25.8	8.9	33.7	18.3	32.7	16.6	14.1	8.8	9.9	3.9	4.9	1.5	8.2	4.2
30	0.5	-7.4			20.2	7.3	15.9	4.8	**26.0**	13.4	26.1	10.1	34.9	17.6	29.0	16.1	14.2	7.8	11.1	2.0	3.9	0.4	5.5	3.1
31	-2.6	-9.4			19.0	4.9			24.5	13.1			34.5	19.2	23.0	12.0			12.4	**-0.3**			7.5	1.2
Mittl. Max.	-0.34		5.75		10.80		13.80		19.72		22.64		29.03		29.56		23.44		14.09		9.75		5.67	
Mittl. Min.	-6.22		-2.39		0.55		3.02		8.23		10.60		14.18		14.61		11.01		5.81		3.03		0.37	
Differenz	5.88		8.14		10.25		10.78		11.49		12.04		14.85		14.95		12.43		8.28		6.72		5.30	
Abs. Max.	5.3		14.2		22.4		24.3		26.0		28.6		35.7		33.4		32.5		19.6		17.9		13.2	
Abs. Min.	-11.7		-12.2		-3.6		-4.6		1.7		6.9		8.2		10.1		6.6		-0.3		-1.5		-3.0	
Differenz	17.0		26.4		26.0		28.9		24.3		21.7		27.5		23.3		25.9		19.9		19.4		16.2	

1911. **Übersicht über den täglichen Gang der Temperatur.** **Zürich.**

Abweichungen vom Monatsmittel.

	Mittel	1^{30}a	2^{30}	3^{30}	4^{30}	5^{30}	6^{30}	7^{30}	8^{30}	9^{30}	10^{30}	11^{30}	12^{30}p	1^{30}	2^{30}	3^{30}	4^{30}	5^{30}	6^{30}	7^{30}	8^{30}	9^{30}	10^{30}	11^{30}	12^{30}a
Jan.	-3.67	-0.69	-0.73	-0.70	-0.95	-1.03	-1.07	**-1.27**	-1.20	-0.81	-0.09	0.65	1.64	2.25	**2.38**	2.15	1.41	0.63	0.24	-0.02	-0.24	-0.48	-0.63	-0.65	-0.79
Febr.	1.24	-1.58	-1.46	-1.54	-1.81	-2.02	**-2.05**	-2.01	-1.80	-0.82	0.55	1.58	2.55	2.71	**3.31**	2.87	2.26	1.28	0.44	0.16	-0.15	-0.35	-0.44	-0.68	-0.92
März	4.94	-2.40	-2.67	-2.90	-3.04	-3.17	**-3.51**	-3.01	-1.91	-0.27	1.28	2.60	3.49	3.84	**4.19**	4.17	3.46	2.60	1.29	0.47	-0.04	-0.47	-0.94	-1.43	-1.60
April	7.91	-2.81	-3.11	-3.65	-3.95	**-4.15**	-3.93	-3.11	-1.25	0.47	1.65	3.10	3.70	4.30	**4.51**	4.13	4.04	3.24	2.11	0.71	-0.03	-0.70	-1.29	-1.66	-2.25
Mai	13.22	-3.57	-3.87	-4.11	-4.33	**-4.39**	-3.65	-2.26	-0.54	0.94	2.12	3.25	4.20	4.60	**5.05**	4.72	4.35	3.37	1.91	0.45	-0.40	-0.94	-1.68	-2.30	-2.82
Juni	15.70	-3.24	-3.80	-4.14	**-4.55**	-4.48	-3.65	-2.27	-0.44	1.23	2.71	3.58	4.49	4.56	**4.74**	4.35	4.06	3.19	1.72	0.51	-0.75	-1.28	-1.80	-2.18	-2.60
Juli	20.89	-4.32	-5.07	-5.57	-6.06	**-6.25**	-5.66	-3.93	-1.59	1.34	3.26	4.62	5.72	6.38	**6.81**	6.44	5.57	4.86	3.31	1.43	-0.54	-1.44	-2.40	-3.11	-3.72
Aug.	21.00	-4.18	-4.67	-5.20	-5.76	**-6.14**	-5.78	-4.46	-2.57	0.14	2.74	4.57	5.72	6.54	**7.23**	7.18	5.86	4.92	3.36	0.69	-0.60	-1.18	-2.12	-2.65	-3.68
Sept.	16.41	-3.09	-3.55	-3.74	-4.14	-4.32	**-4.39**	-3.47	-2.27	0.01	2.19	3.67	4.71	5.40	5.94	**6.01**	5.08	3.76	1.49	-0.10	-0.75	-1.35	-1.90	-2.36	-2.79
Okt.	9.17	-1.46	-1.81	-1.92	-2.13	-2.22	**-2.28**	-2.13	-1.54	-0.59	0.76	2.12	3.13	3.50	**3.82**	3.13	2.50	1.01	0.32	-0.10	-0.32	-0.52	-0.92	-1.10	-1.3
Nov.	5.84	-0.81	-1.04	-1.25	-1.46	-1.45	-1.45	**-1.61**	-1.40	-0.79	0.38	1.30	2.09	2.69	**2.74**	2.31	1.63	0.67	0.23	0.00	-0.20	-0.41	-0.58	0.65	-0.94
Dez.	2.89	-0.63	-0.83	-0.73	-0.86	-0.84	-0.77	**-0.99**	-0.94	-0.39	0.12	0.79	1.12	1.53	**1.64**	1.47	1.00	0.54	0.29	0.22	0.01	-0.17	-0.38	-0.52	-0.56

Januar 1911. Stündliche Barometerstände (700 mm +). Zürich.

Tag	1^{30} a	2^{30}	3^{30}	4^{30}	5^{30}	6^{30}	7^{30}	8^{30}	9^{30}	10^{30}	11^{30}	12^{30} p	1^{30}	2^{30}	3^{30}	4^{30}	5^{30}	6^{30}	7^{30}	8^{30}	9^{30}	10^{30}	11^{30}	12^{30}	Tagesmittel
1	27.6	27.5	27.2	26.6	26.1	26.0	25.9	25.9	27.7	25.5	24.8	23.9	23.2	22.8	22.4	22.1	21.7	21.6	21.1	20.4	19.9	19.2	18.5	17.9	23.56
2	17.2	16.5	15.7	14.9	14.2	13.8	13.7	13.7	13.7	13.7	13.5	13.0	12.7	12.7	12.7	12.8	12.9	13.0	12.9	12.8	12.9	12.9	12.8	12.7	13.64
3	12.7	12.7	12.4	12.8	12.1	12.2	12.1	12.1	12.2	11.9	11.7	11.5	11.5	11.5	11.5	11.5	11.5	11.5	11.6	11.6	11.4	11.4	11.1	11.0	11.79
4	10.8	10.8	10.7	10.8	10.2	10.3	10.6	10.8	11.3	11.4	11.3	11.3	11.4	11.6	11.8	12.0	12.3	12.6	12.9	13.1	13.2	13.5	13.8	13.9	11.75
5	13.9	14.1	14.3	14.3	14.3	14.4	14.8	15.3	15.6	15.9	15.7	15.6	15.6	15.8	16.2	16.5	16.9	17.3	17.6	17.9	18.1	18.3	18.5	18.6	16.06
6	18.7	19.0	19.1	19.2	19.6	20.2	20.5	21.0	21.3	21.6	21.5	21.4	21.3	21.3	21.5	21.7	22.1	22.4	22.5	22.6	22.8	23.0	23.2	23.4	21.29
7	23.4	23.5	23.7	23.7	24.0	24.4	24.7	25.2	25.6	26.0	26.0	26.0	25.9	26.0	26.3	26.7	26.9	27.2	27.6	28.1	28.3	28.7	29.0	29.4	26.10
8	29.5	29.9	30.3	30.5	30.8	31.0	31.6	32.0	32.3	32.9	32.8	32.5	32.4	32.4	32.4	32.4	32.5	32.8	33.0	33.2	33.2	33.2	33.2	33.0	32.07
9	32.8	32.5	32.7	32.8	32.9	32.7	32.6	32.7	32.5	32.6	32.1	31.6	30.9	30.4	30.0	29.7	29.2	29.0	28.8	28.8	27.8	27.8	26.7	26.1	30.61
10	25.8	25.5	25.2	24.7	24.8	24.1	24.3	24.7	25.6	26.7	27.2	27.8	27.8	27.6	27.9	28.5	28.9	29.0	29.3	29.5	29.4	29.3	29.1	28.9	27.09
11	28.6	28.3	27.7	27.2	26.8	25.7	25.2	24.8	24.1	23.5	23.1	22.2	21.5	20.9	20.3	19.6	19.2	18.7	18.3	17.8	17.1	16.2	15.1	14.2	21.90
12	13.6	13.2	12.6	11.7	10.9	10.4	09.7	09.2	09.2	09.2	08.7	08.2	07.6	07.4	07.2	**07.**1	07.2	07.3	07.5	07.7	07.9	08.3	08.7	09.0	09.15
13	09.2	09.3	09.5	09.7	10.1	10.7	11.0	11.6	12.4	13.2	13.6	13.7	13.8	14.2	15.0	15.4	16.0	16.7	17.1	17.3	17.3	17.8	18.1	18.3	13.79
14	18.3	18.4	18.4	18.5	18.5	18.8	19.1	19.6	20.3	20.6	20.8	20.7	20.7	20.9	21.3	21.7	22.2	22.8	22.9	23.1	23.1	23.3	23.7	23.7	20.89
15	23.8	24.0	24.0	24.0	24.1	24.2	23.9	24.3	24.4	24.6	24.9	24.5	24.1	24.1	24.2	24.4	24.7	25.0	25.2	25.5	25.6	26.0	26.3	26.6	24.68
16	26.7	27.0	27.2	27.2	27.3	27.7	28.2	28.9	29.5	29.9	30.0	30.3	30.5	30.5	30.6	31.0	31.5	32.1	32.4	32.8	33.1	33.3	33.5	33.5	30.20
17	33.5	33.7	33.8	34.1	34.3	34.7	35.0	35.2	35.5	35.6	35.3	35.0	34.6	34.5	34.5	34.6	34.9	35.5	35.6	35.7	**35.**8	35.4	35.2	35.4	34.89
18	35.3	35.4	35.4	35.4	35.4	35.5	35.4	35.7	35.5	**35.**8	35.5	35.0	34.8	34.4	34.2	34.0	34.1	34.1	34.5	34.4	34.2	33.7	33.4	33.3	34.77
19	32.9	33.0	32.8	32.7	32.5	32.5	32.3	32.1	32.0	31.7	31.7	31.5	31.2	30.9	30.9	30.8	30.8	31.0	30.9	31.0	30.9	30.9	30.8	31.68	
20	30.5	30.5	30.8	30.0	29.9	29.9	29.8	29.9	30.8	30.2	30.1	29.9	29.6	29.1	29.0	28.7	28.6	28.6	28.4	28.4	28.2	28.2	28.1	27.8	29.83
21	27.6	27.5	27.3	27.1	27.2	26.9	27.0	26.9	26.8	26.7	26.5	25.9	25.6	25.1	24.9	24.8	24.6	24.7	24.9	24.9	24.7	24.5	24.4	24.3	25.87
22	24.1	24.1	24.1	24.1	24.2	24.2	24.5	24.9	25.3	25.4	25.4	25.2	25.1	25.1	25.3	25.4	25.5	25.8	26.2	26.6	27.0	27.1	27.3	27.5	25.39
23	27.5	27.8	27.8	27.8	27.7	27.8	28.0	28.2	28.6	28.8	28.7	28.5	28.3	28.5	28.5	28.4	28.4	28.6	28.7	28.8	28.7	28.8	28.8	28.8	28.35
24	28.7	28.8	28.7	28.6	28.6	28.6	28.5	28.6	28.8	29.0	29.0	28.9	28.9	28.7	28.8	28.9	29.0	29.4	29.7	29.9	30.0	30.2	30.4	30.4	29.13
25	30.8	30.8	30.2	30.1	30.2	30.5	30.6	30.6	30.9	30.8	31.2	30.6	30.3	30.2	29.8	29.5	29.7	30.2	30.8	30.5	30.7	30.6	30.6	30.6	30.39
26	30.6	30.5	30.3	30.3	30.3	30.2	30.3	30.6	30.7	31.2	31.4	31.4	31.3	31.2	31.2	31.4	31.6	31.9	32.1	32.2	32.1	32.1	32.1	31.9	31.20
27	32.0	31.9	31.7	31.5	31.3	31.3	31.1	31.0	31.0	31.2	31.3	31.1	30.7	30.1	30.1	30.1	30.2	30.4	30.4	30.4	30.5	30.5	30.5	30.3	30.86
28	30.3	30.1	29.7	29.2	29.0	29.1	29.4	29.9	30.0	30.3	30.6	30.8	30.8	30.7	30.6	30.4	30.2	30.3	29.9	29.8	29.5	29.5	29.1	28.9	29.92
29	28.9	28.7	28.4	28.1	27.5	27.4	27.2	27.7	27.7	28.1	27.9	27.6	27.0	26.5	26.1	25.7	25.7	25.8	25.7	25.5	25.2	25.1	25.1	25.0	26.82
30	24.8	24.5	24.3	24.1	23.9	23.8	24.0	24.2	24.4	24.8	25.0	24.8	24.7	24.5	24.8	25.1	25.5	26.1	26.6	27.1	27.2	27.4	27.6	27.6	25.28
31	27.6	27.6	27.6	27.6	27.7	27.8	28.1	28.6	28.9	28.8	29.0	28.9	28.9	28.8	29.1	29.3	29.8	30.1	30.2	30.5	30.8	30.9	31.0	31.0	29.11
M.	25.07	25.05	24.94	24.78	24.69	24.73	24.82	25.03	25.30	25.42	25.36	25.13	24.92	24.80	24.81	24.85	24.98	25.20	25.32	25.40	25.38	25.38	25.35	25.28	25.08

Februar 1911. (700 mm +). Zürich.

Tag	1^{30} a	2^{30}	3^{30}	4^{30}	5^{30}	6^{30}	7^{30}	8^{30}	9^{30}	10^{30}	11^{30}	12^{30} p	1^{30}	2^{30}	3^{30}	4^{30}	5^{30}	6^{30}	7^{30}	8^{30}	9^{30}	10^{30}	11^{30}	12^{30} a	Tagesmittel
1	31.2	31.5	31.5	31.6	31.5	31.7	31.8	31.9	32.2	32.2	32.3	32.1	32.0	31.8	31.9	31.9	32.2	32.4	32.4	32.5	32.6	32.8	32.6	32.7	32.09
2	32.5	32.4	32.1	31.9	31.9	31.7	31.5	31.7	31.6	31.5	31.4	30.7	30.1	29.6	29.1	28.7	28.6	28.6	28.5	28.4	28.8	27.7	26.9	27.0	30.10
3	26.8	26.0	25.6	24.6	24.3	24.7	24.4	24.1	24.0	24.2	24.1	23.8	24.0	24.0	24.4	24.6	25.1	25.7	26.4	26.7	27.0	27.3	27.1	27.2	25.25
4	27.1	26.9	26.7	26.5	26.4	26.5	26.6	26.7	26.7	26.9	26.7	26.5	26.1	26.0	25.8	25.6	25.6	25.7	25.8	25.7	26.2	26.2	26.1	26.2	26.30
5	26.2	25.9	25.7	25.4	25.4	25.5	25.8	26.4	26.3	26.2	26.2	26.1	25.8	25.8	25.9	26.0	26.1	26.3	26.7	26.9	26.8	26.8	26.8	26.7	26.15
6	26.6	26.6	26.5	26.5	26.6	26.6	26.8	26.8	27.1	27.4	27.5	27.4	27.5	27.5	27.7	28.1	28.5	28.9	29.1	29.3	29.5	29.7	29.8	29.9	27.88
7	29.8	29.8	29.7	29.7	29.9	29.9	29.8	30.1	30.2	30.4	30.4	30.0	29.7	29.7	29.6	29.4	29.5	29.7	29.7	29.9	30.0	29.8	29.3	29.5	29.81
8	29.2	29.1	28.9	28.6	28.8	28.3	28.6	28.6	28.6	29.0	29.1	29.0	29.2	29.0	29.2	29.4	29.7	30.1	30.3	30.6	30.7	30.9	30.9	30.8	29.42
9	30.8	30.6	30.5	30.4	30.3	30.1	29.9	29.7	29.5	29.3	29.0	28.2	27.9	27.4	27.2	27.2	26.9	26.9	26.7	26.6	26.4	26.3	25.9	25.8	28.31
10	25.8	25.5	25.2	25.1	25.0	24.6	24.3	24.8	24.4	24.5	24.5	24.2	23.9	23.2	23.0	22.7	22.6	22.8	22.9	22.9	23.0	23.1	23.1	23.3	23.91
11	23.3	23.4	23.3	23.2	23.3	23.3	23.3	23.5	23.6	23.6	23.5	23.4	23.1	22.8	22.8	22.8	22.8	22.9	23.2	23.2	23.2	23.4	23.4	23.4	23.24
12	23.5	23.5	23.5	23.5	23.6	23.6	23.8	24.0	24.1	24.2	24.1	24.0	23.8	23.9	24.0	24.3	24.4	24.7	25.1	25.3	25.5	25.7	25.9	26.0	24.33
13	26.0	26.1	26.0	25.9	25.9	25.8	25.8	26.0	26.1	26.1	26.1	26.0	25.8	25.6	25.8	25.7	25.9	26.2	26.5	26.8	27.0	27.3	27.3	27.4	26.21
14	27.8	27.9	27.9	27.9	28.2	28.5	28.7	29.2	29.6	29.8	30.1	30.0	29.9	29.8	29.9	30.0	30.4	30.7	30.9	30.9	30.9	30.9	30.9	30.9	29.62
15	30.9	31.0	31.0	31.3	31.6	31.6	31.8	32.2	32.3	32.4	32.5	32.2	31.7	31.5	31.6	31.6	31.1	31.9	32.0	32.5	32.9	33.1	33.2	33.7	31.98
16	33.7	33.7	33.7	33.7	33.7	**33.**8	33.7	33.7	33.4	33.1	32.9	32.3	31.7	31.3	31.1	31.0	31.1	31.1	31.3	31.0	31.1	30.7	30.2	29.7	32.20
17	29.4	29.1	28.7	28.4	28.5	27.8	27.7	27.7	27.4	27.5	28.0	27.7	27.0	26.5	26.4	26.6	26.5	26.7	27.1	27.2	27.2	27.8	27.8	27.0	27.53
18	26.6	26.4	26.0	25.5	25.4	25.3	24.8	24.6	24.1	23.8	23.4	22.6	21.8	21.2	20.7	20.4	20.4	20.6	20.5	20.2	19.9	19.5	19.2	18.6	22.56
19	17.9	16.8	15.8	14.4	13.9	13.7	13.3	13.4	13.4	13.4	13.1	13.2	12.9	13.2	13.7	13.8	13.2	13.5	13.5	13.8	14.3	14.5	15.2	15.5	14.12
20	16.1	16.2	16.5	16.9	17.2	17.7	17.9	18.3	18.5	18.8	18.9	18.8	18.8	18.5	18.3	18.2	18.5	19.4	20.0	20.4	21.3	21.5	21.8	21.8	18.76
21	22.0	22.2	22.3	22.5	23.0	23.5	24.2	24.6	24.9	25.2	25.2	25.1	24.6	24.0	23.5	23.3	23.0	23.4	23.6	23.9	24.2	24.1	23.7	23.4	23.73
22	23.2	23.0	22.6	22.4	22.4	22.0	21.6	21.6	21.7	21.0	20.9	20.8	20.9	21.0	21.0	21.2	21.9	23.0	23.1	23.5	24.0	24.3	24.7	24.5	22.35
23	24.4	24.1	23.9	23.6	23.3	22.9	22.4	22.2	21.7	21.2	20.6	19.5	18.5	17.9	17.4	16.6	16.0	15.6	14.8	13.6	13.4	13.4	13.3	13.0	18.89
24	12.4	11.5	**11.**3	11.7	12.2	12.9	14.1	15.1	15.1	14.5	14.6	14.7	15.4	15.6	16.0	16.5	17.2	18.1	18.4	18.8	19.0	19.3	19.4	19.6	15.56
25	19.7	20.1	19.8	19.6	19.7	19.6	19.4	19.5	19.6	18.9	18.7	18.4	17.5	16.7	16.0	15.7	15.4	14.9	14.4	14.1	14.0	14.0	14.7	15.3	17.32
26	16.0	16.3	16.4	16.4	16.5	16.6	16.4	16.4	15.4	14.5	14.0	14.2	13.6	14.7	16.0	16.6	17.7	19.1	19.9	20.8	21.0	21.3	21.6	21.7	17.21
27	22.1	22.2	22.3	22.5	22.6	22.9	23.1	23.8	23.8	23.7	23.7	23.5	22.9	22.5	22.2	21.9	21.7	21.8	22.0	22.0	22.1	22.1	22.0	21.8	22.54
28	21.4	21.2	20.7	20.4	20.8	20.8	20.4	20.4	20.2	20.0	19.9	19.4	18.7	17.9	17.5	17.2	17.2	17.3	17.5	17.4	17.4	17.4	17.4	17.5	18.96
M.	25.09	24.96	24.79	24.64	24.67	24.69	24.71	24.87	24.84	24.76	24.69	24.43	24.10	23.88	23.84	23.80	23.89	24.20	24.36	24.46	24.60	24.66	24.68	24.64	24.51

März 1911. **Stündliche Barometerstände (700 mm +).** Zürich.

Tag	1^{30} a	2^{30}	3^{30}	4^{30}	5^{30}	6^{30}	7^{30}	8^{30}	9^{30}	10^{30}	11^{30}	12^{30} p	1^{30}	2^{30}	3^{30}	4^{30}	5^{30}	6^{30}	7^{30}	8^{30}	9^{30}	10^{30}	11^{30}	12^{30} a	Tagesmittel
1	17.4	17.4	17.0	17.1	17.2	17.3	17.7	18.5	19.4	20.4	20.8	21.0	20.7	21.0	21.9	22.7	23.6	25.0	26.1	26.8	27.7	28.4	28.8	29.3	21.80
2	29.5	29.8	29.8	29.9	30.2	30.5	30.7	31.0	**31.6**	31.2	30.9	30.5	29.9	29.2	28.9	28.3	28.0	27.9	28.2	28.0	27.6	27.1	26.8	26.1	29.23
3	26.1	26.7	26.4	26.0	26.0	26.2	26.4	26.7	26.8	27.0	27.2	27.0	26.6	26.6	26.5	26.6	26.6	27.0	27.0	27.1	27.2	27.3	27.4	27.0	26.72
4	26.6	26.1	25.8	25.3	25.0	24.8	24.8	24.6	24.6	24.6	24.4	24.1	23.5	23.1	22.5	22.0	21.6	21.5	21.5	21.2	21.0	20.8	20.8	20.0	23.32
5	19.7	19.5	19.2	19.2	19.1	19.3	19.4	19.5	19.7	19.6	19.6	19.5	19.4	19.4	19.4	19.2	19.3	19.4	19.6	19.8	19.9	20.0	19.9	19.8	19.52
6	19.6	19.4	19.0	18.6	18.4	18.2	18.0	17.7	17.5	17.2	17.0	16.6	15.9	15.7	15.4	15.2	15.3	15.5	15.5	15.3	15.4	15.5	15.4	15.4	16.78
7	15.4	15.6	15.6	15.7	16.1	16.2	16.5	17.0	17.3	17.4	17.5	17.5	17.3	17.2	17.2	17.0	17.1	17.3	17.5	17.7	17.7	18.0	18.0	18.0	16.99
8	18.0	17.8	17.6	17.6	17.7	17.8	17.9	18.4	18.5	18.8	18.8	18.8	18.7	18.6	18.7	18.8	19.1	19.4	19.5	19.6	19.7	19.9	20.0	19.8	18.73
9	19.9	19.6	19.4	19.1	19.2	19.1	19.0	19.0	18.8	18.6	18.6	18.5	18.2	18.2	18.1	18.2	18.3	18.5	18.7	18.9	19.2	19.6	19.9	20.2	18.95
10	20.4	20.4	20.4	20.6	20.8	21.1	21.3	21.9	22.4	22.3	22.3	22.3	22.2	21.8	21.7	21.5	21.6	21.8	21.8	21.7	21.7	21.9	21.8	21.5	21.55
11	21.4	20.9	20.5	20.2	19.9	19.7	19.7	19.7	19.6	19.5	19.2	19.0	18.6	18.3	18.1	18.0	18.0	18.1	18.3	18.3	18.3	18.4	18.4	18.4	19.10
12	18.4	18.4	18.2	18.2	18.0	18.0	17.8	17.9	18.0	18.1	17.8	17.8	16.7	16.1	15.6	15.2	14.8	14.7	14.5	14.5	14.2	13.4	13.0	12.8	16.30
13	11.6	10.8	09.7	08.8	08.0	06.8	05.8	04.8	04.4	03.8	03.8	03.7	**03.5**	04.7	06.1	07.0	07.4	08.5	09.0	09.0	09.5	09.6	10.0	10.0	07.35
14	10.3	10.2	09.8	09.4	09.4	09.1	09.3	09.4	09.4	09.3	09.2	09.0	08.9	08.7	08.4	08.3	08.5	08.6	08.9	08.9	08.9	08.9	08.8	08.7	09.10
15	08.6	08.1	07.9	07.8	07.7	07.6	07.7	07.7	07.8	07.8	07.8	07.8	07.8	07.8	07.9	07.9	08.1	08.4	08.5	08.6	08.6	08.5	08.5	08.6	08.06
16	08.7	08.8	08.8	08.8	08.8	09.0	09.4	09.9	10.4	10.5	10.5	10.7	10.7	10.7	10.7	11.0	11.5	12.0	12.7	13.0	13.3	13.5	13.6	13.6	10.86
17	13.7	13.6	13.7	13.8	13.9	14.2	14.4	15.0	15.2	15.4	15.5	15.4	15.4	15.2	15.0	15.0	15.1	15.3	15.5	15.9	15.8	15.8	15.7	15.8	14.97
18	15.8	16.0	15.8	15.9	15.8	15.9	15.8	16.0	16.2	16.5	16.7	16.8	16.1	16.1	16.1	16.0	15.9	16.1	16.5	16.7	16.6	16.7	16.7	16.6	16.20
19	16.5	16.5	16.3	16.1	16.2	16.1	16.3	16.4	16.3	16.4	16.2	15.9	15.2	14.5	14.3	14.0	13.8	13.9	13.9	13.7	13.3	13.3	13.3	13.2	15.06
20	13.5	13.7	13.5	13.5	13.5	13.3	13.1	12.9	12.7	12.7	12.4	12.3	12.1	11.6	11.4	11.3	11.4	11.6	12.3	12.9	13.0	13.5	14.5	14.7	12.81
21	15.3	15.3	15.2	15.2	15.4	15.8	16.1	16.1	16.2	16.2	16.2	16.0	15.7	15.6	15.6	15.4	15.3	15.6	15.8	16.0	16.2	16.3	16.4	16.5	15.81
22	16.5	16.6	16.5	16.5	16.5	16.5	16.6	16.9	16.9	16.9	16.7	16.4	16.1	16.0	15.9	15.8	15.7	15.8	16.1	16.4	16.6	16.8	17.0	17.0	16.45
23	17.0	16.7	16.8	16.9	17.0	17.3	17.8	18.2	18.2	18.0	17.9	17.5	17.2	16.8	16.2	15.9	15.8	15.9	15.9	15.9	15.9	15.9	15.9	15.7	16.75
24	15.6	15.3	15.0	14.9	14.8	14.7	14.8	14.7	14.5	14.1	13.7	13.0	12.5	11.7	11.7	11.7	11.7	12.3	11.9	12.0	11.9	11.7	11.2	11.0	13.18
25	10.6	09.9	09.2	08.8	08.3	07.9	07.8	07.4	07.0	06.4	06.7	06.8	06.9	06.8	06.9	06.9	06.9	07.1	07.0	06.9	06.6	06.0	05.4	04.8	07.29
26	04.3	03.9	03.7	03.7	03.7	04.1	04.6	05.0	05.6	06.2	06.4	07.0	07.6	08.4	09.0	09.6	10.0	11.0	11.7	12.4	12.7	13.5	14.2	14.4	08.03
27	14.8	14.9	15.3	15.4	15.5	15.9	16.1	16.2	16.4	16.2	16.2	16.0	15.8	15.5	15.5	15.0	14.9	14.8	14.9	15.0	14.8	15.0	15.3	15.7	15.46
28	16.1	16.0	16.0	15.9	15.8	15.6	15.2	15.3	15.2	15.3	14.9	14.7	14.2	13.8	13.7	13.7	13.6	13.7	13.7	13.9	13.8	13.9	14.1	14.1	14.67
29	13.9	13.8	13.4	13.1	12.9	12.7	12.7	12.5	12.5	12.4	12.2	12.1	11.9	11.6	11.1	10.8	10.6	10.6	10.4	10.5	10.4	10.2	10.0	09.9	11.76
30	09.9	09.8	09.7	10.0	10.3	10.7	11.2	11.6	11.7	11.8	11.9	12.1	12.6	12.9	13.1	13.4	13.6	14.1	14.5	15.2	16.0	16.5	16.6	17.0	12.76
31	17.4	17.6	17.9	18.1	18.1	18.3	18.4	18.4	18.3	18.4	18.2	17.9	17.7	17.5	17.4	17.3	17.3	17.5	17.6	17.9	18.2	18.2	18.4	18.4	17.98
M.	16.21	16.11	15.91	15.81	15.78	15.80	15.88	16.00	16.10	16.10	16.04	15.89	15.66	15.51	15.48	15.44	15.50	15.76	15.97	16.12	16.18	16.26	16.30	16.25	15.92

April 1911. (700 mm +). Zürich.

Tag	1^{30} a	2^{30}	3^{30}	4^{30}	5^{30}	6^{30}	7^{30}	8^{30}	9^{30}	10^{30}	11^{30}	12^{30} p	1^{30}	2^{30}	3^{30}	4^{30}	5^{30}	6^{30}	7^{30}	8^{30}	9^{30}	10^{30}	11^{30}	12^{30} a	Tagesmittel
1	18.4	18.4	18.5	18.6	18.8	19.1	19.4	19.4	19.7	19.7	19.3	19.0	18.7	18.2	18.0	17.8	17.7	18.3	18.4	18.4	18.6	18.5	18.4	18.4	18.65
2	18.2	17.8	17.5	17.3	17.2	17.0	17.0	17.1	17.1	17.1	16.5	15.9	15.5	14.7	14.5	14.3	14.3	14.3	14.4	14.7	14.7	14.6	14.6	14.4	15.86
3	14.1	13.6	13.2	12.9	12.6	12.6	12.6	12.4	12.3	12.3	12.2	12.4	12.3	11.9	11.7	11.7	11.6	11.7	11.8	12.1	12.3	12.7	13.3	13.6	12.50
4	13.5	13.4	13.2	13.0	12.8	12.8	12.9	12.9	13.1	13.2	13.0	13.0	13.0	12.8	12.6	12.6	12.6	12.6	12.7	12.7	12.4	12.2	11.7	11.2	12.75
5	10.7	10.4	10.2	09.8	09.6	09.6	09.6	09.4	09.1	09.1	09.0	08.8	09.0	08.8	08.7	**08.4**	**08.4**	**08.4**	08.6	08.8	08.9	08.9	09.1	09.5	09.20
6	09.7	09.9	10.1	10.3	10.8	11.3	11.9	12.3	12.7	13.1	13.4	13.7	14.0	14.3	14.7	15.1	15.3	16.0	16.7	17.3	17.4	17.5	17.4	17.4	13.85
7	17.4	17.3	17.3	17.0	16.8	16.8	16.8	16.7	16.6	16.4	16.1	15.7	15.6	15.5	15.1	14.9	14.7	14.8	14.9	15.1	15.1	15.0	15.0	15.0	15.90
8	14.9	14.7	14.7	14.7	14.8	15.0	15.4	15.5	15.9	16.2	16.2	16.2	16.2	16.4	16.7	17.0	17.3	17.7	18.1	18.5	18.6	18.6	18.7	18.6	16.52
9	18.6	18.7	18.8	18.9	19.1	19.4	19.7	19.9	19.7	19.7	19.4	19.3	19.2	19.1	18.7	18.3	18.1	17.9	17.8	17.5	17.2	16.6	16.1	15.7	18.48
10	15.3	14.9	14.6	14.3	14.0	13.9	13.9	13.8	13.6	13.5	13.3	13.1	12.7	12.5	12.3	12.2	12.3	12.6	13.0	13.7	14.0	14.1	14.2	14.5	13.60
11	15.0	15.3	15.6	15.9	16.3	17.0	17.5	17.9	18.4	18.6	18.6	18.6	18.6	18.6	18.7	18.9	19.0	19.2	19.5	19.8	20.0	20.2	20.3	20.4	18.25
12	20.2	20.2	20.3	20.3	20.5	20.7	21.1	21.4	21.5	21.5	21.1	20.7	20.1	19.9	19.6	19.3	19.2	19.1	19.1	19.3	19.2	19.1	19.3	19.2	20.08
13	19.2	19.2	19.2	19.2	19.3	19.6	20.0	20.5	21.0	21.3	21.3	21.3	21.3	21.4	21.4	21.5	21.6	21.9	22.5	23.1	23.4	23.6	23.7	23.8	21.26
14	23.9	23.7	23.7	23.6	23.9	24.4	24.7	24.9	25.3	25.4	25.1	24.9	24.7	24.5	24.1	24.2	24.2	24.2	24.3	24.6	24.9	24.8	24.9	24.7	24.48
15	24.6	24.7	24.7	24.8	24.7	24.9	25.4	24.9	25.4	25.2	24.9	24.8	24.5	24.0	23.8	23.6	23.2	23.2	23.3	23.4	23.4	23.4	23.3	23.2	24.22
16	23.0	22.8	22.6	22.6	22.5	22.4	22.6	22.6	22.4	22.1	21.8	21.1	20.4	19.8	19.1	18.7	18.3	18.2	18.4	18.7	19.0	19.1	19.2	19.0	20.68
17	19.0	18.9	19.1	19.1	19.2	19.4	19.7	19.7	19.7	19.7	19.4	19.0	18.8	18.6	18.2	18.1	18.1	18.3	18.5	19.3	19.8	20.2	20.3	20.3	19.13
18	20.3	20.3	20.3	20.1	20.2	20.4	20.5	20.3	20.2	19.8	19.1	18.3	17.9	17.2	16.7	16.3	16.1	15.9	15.9	16.1	16.3	16.3	16.2	16.2	18.20
19	16.1	16.2	16.4	16.5	16.5	16.6	16.7	16.8	16.3	15.8	15.4	15.1	14.7	14.4	14.4	14.4	14.4	14.6	14.9	15.7	16.3	16.7	17.2	17.5	15.80
20	17.6	17.8	18.0	18.3	18.7	19.3	19.9	20.4	20.9	21.3	21.7	22.0	22.5	23.1	23.5	23.9	24.5	25.1	26.0	26.9	27.6	28.0	28.6	29.0	22.69
21	29.2	29.4	29.7	29.7	30.0	30.4	30.6	31.0	31.3	31.5	31.5	31.4	31.2	31.3	31.0	31.0	31.1	31.3	31.5	**31.9**	31.8	31.7	31.7	31.7	30.95
22	31.5	31.3	31.1	30.9	30.7	30.8	30.9	30.7	30.6	30.1	29.6	29.0	28.7	28.0	27.4	27.1	26.8	26.5	26.5	26.6	26.5	26.2	26.1	26.8	28.75
23	25.9	25.8	25.7	25.5	25.4	25.5	25.4	25.2	25.0	24.9	24.8	23.7	23.1	22.6	22.1	21.7	21.5	21.3	21.4	21.6	21.6	21.5	21.4	21.2	23.47
24	20.8	20.5	20.4	20.2	20.2	20.2	20.4	20.3	20.5	20.5	20.3	20.0	20.0	19.6	19.5	19.5	19.5	19.6	19.8	20.2	20.4	20.3	20.5	20.4	20.15
25	20.0	19.8	19.7	19.5	19.4	19.5	19.7	19.5	19.5	19.2	18.9	18.5	18.3	17.8	17.3	17.1	16.9	16.7	16.7	16.9	16.9	16.8	16.5	16.5	18.25
26	16.3	16.1	16.4	16.5	16.6	16.9	17.4	17.5	17.7	17.8	17.9	18.0	18.3	18.3	18.4	18.4	18.5	18.6	19.1	19.5	19.5	19.8	19.8	20.0	18.05
27	20.3	20.1	19.7	19.5	19.3	19.1	18.8	18.5	18.3	17.5	17.0	16.6	16.4	15.9	15.9	15.8	15.5	15.0	14.8	14.3	14.0	13.5	13.3	12.5	16.78
28	12.4	12.4	13.2	13.5	13.6	13.9	14.0	14.7	15.0	15.2	15.2	15.1	15.4	15.9	16.0	16.1	16.4	16.5	16.5	16.8	15.7	15.2	14.9	14.5	14.90
29	13.9	13.3	13.0	12.5	12.0	11.6	11.5	11.1	11.0	10.8	11.2	11.6	12.0	12.0	11.8	11.1	10.9	11.2	11.6	12.0	12.0	12.0	11.9	11.8	11.88
30	11.3	11.3	11.4	11.2	11.3	11.5	11.3	11.1	11.0	10.8	10.5	10.2	10.0	09.9	10.4	10.6	11.0	11.5	12.5	13.0	13.6	14.0	14.4	14.9	11.61
M.	18.38	18.27	18.28	18.21	18.23	18.39	18.58	18.60	18.69	18.64	18.44	18.23	18.10	17.90	17.74	17.65	17.63	17.74	17.98	18.27	18.37	18.37	18.40	18.38	18.23

Mai 1911 **Stündliche Barometerstände** (700 mm +). Zürich.

Tag	1^{30} a	2^{30}	3^{30}	4^{30}	5^{30}	6^{30}	7^{30}	8^{30}	9^{30}	10^{30}	11^{30}	12^{30} p	1^{30}	2^{30}	3^{30}	4^{30}	5^{30}	6^{30}	7^{30}	8^{30}	9^{30}	10^{30}	11^{30}	12^{30}	Tages-
1	15.2	15.6	16.0	16.2	16.6	17.3	17.8	18.5	19.0	19.4	19.6	19.9	20.1	20.3	20.6	21.2	21.4	21.6	22.1	22.5	22.7	23.0	**23.8**	23.2	19.71
2	23.1	23.1	23.0	22.9	22.8	22.9	22.8	22.6	22.5	22.5	22.3	21.9	21.5	21.2	20.7	20.4	20.0	19.9	20.0	20.2	20.2	20.2	20.2	20.0	21....
3	20.0	20.0	19.8	20.0	20.6	20.6	20.7	20.9	20.8	20.7	20.5	20.2	19.9	19.7	19.5	19.3	19.1	19.1	19.3	19.5	19.7	19.6	19.7	19.5	19....
4	19.4	19.2	19.3	19.1	19.3	19.3	19.3	19.0	18.5	18.1	17.9	17.4	17.0	16.6	16.3	15.9	15.8	15.9	16.1	16.5	17.3	17.9	18.1	18.0	17.80
5	17.9	17.9	17.8	17.8	18.1	18.3	18.5	18.8	19.0	19.2	19.3	19.4	19.7	19.7	19.9	20.2	20.3	20.5	20.8	21.4	21.7	21.7	21.7	21.7	19.64
6	21.5	21.4	21.4	21.3	21.4	21.6	21.8	22.1	22.2	22.2	22.2	22.1	22.2	22.3	22.1	22.1	22.0	22.2	22.3	22.7	22.8	23.1	22.9	22.6	22.11
7	22.2	21.9	21.5	21.4	21.4	21.5	21.6	21.7	21.7	21.7	21.4	21.0	20.7	20.8	20.9	20.4	20.4	20.3	20.2	20.2	20.1	20.0	19.8	19.7	20.94
8	19.4	19.0	18.7	18.4	18.4	18.5	18.5	18.5	18.4	18.3	18.1	17.7	17.5	17.4	17.4	17.2	17.0	17.1	17.0	17.1	16.9	16.7	16.5	16.2	17.75
9	15.9	15.5	15.3	15.3	15.4	15.6	15.8	15.9	15.9	15.8	15.6	15.4	15.3	14.7	14.7	14.4	14.5	14.6	14.9	15.1	15.4	15.5	15.7	15.7	15.33
10	15.5	15.6	15.6	15.5	15.7	16.0	16.2	16.3	16.2	16.2	16.0	15.7	15.5	15.1	14.8	14.6	14.9	15.7	15.2	15.6	15.7	16.0	16.2	16.4	15.67
11	16.4	16.3	16.0	16.0	16.1	16.2	16.3	16.5	16.3	16.1	15.9	15.5	15.2	14.9	14.8	15.3	15.3	15.3	15.5	15.5	15.6	15.6	15.6	15.6	15.74
12	15.6	15.5	15.3	15.4	15.6	15.9	16.2	16.2	16.5	16.2	16.0	15.8	15.6	15.1	14.8	14.7	14.7	15.3	15.6	15.7	15.7	15.9	15.7	15.6	15.61
13	15.5	15.2	15.1	14.6	14.6	14.5	14.5	14.0	13.4	12.8	12.3	12.1	12.1	12.0	12.0	11.9	11.9	11.4	**11.1**	11.2	12.2	12.9	13.3	13.4	13.08
14	13.3	13.0	13.0	13.1	13.2	13.4	13.7	13.9	13.9	13.8	13.7	13.6	13.4	13.2	13.2	13.2	13.3	13.5	13.7	14.3	14.6	14.5	14.7	14.6	13.66
15	14.5	14.5	14.4	14.2	14.0	13.9	13.9	13.9	13.9	13.7	13.5	13.0	12.7	12.3	12.0	11.6	11.3	11.3	11.4	11.4	11.6	11.7	11.7	11.7	12.84
16	12.1	12.5	12.7	12.9	13.3	13.5	13.7	13.9	14.0	14.1	14.1	13.8	13.7	13.4	13.2	13.0	13.0	13.3	13.5	14.0	14.3	14.4	14.4	14.2	13.54
17	14.2	14.0	14.1	14.2	14.1	14.4	14.5	14.4	14.3	14.1	13.9	13.5	13.2	12.7	12.3	12.2	12.0	12.3	12.8	13.4	13.9	14.1	13.8	13.7	13.59
18	13.3	13.0	12.8	12.8	13.0	13.0	13.1	12.9	12.8	12.6	12.5	12.3	12.1	11.9	12.0	11.7	11.7	11.7	11.9	12.0	12.4	12.3	12.3	12.3	12.43
19	12.3	12.5	12.6	13.0	13.6	14.2	14.6	14.9	14.8	14.8	14.8	14.7	14.6	14.5	14.5	14.6	14.7	14.9	15.1	15.3	15.5	15.5	15.4	15.4	14.50
20	15.2	15.0	15.0	14.9	15.0	15.0	15.0	15.2	15.1	15.1	15.1	15.2	15.2	15.0	15.0	14.9	15.0	15.2	15.5	15.8	16.2	16.3	16.3	16.3	15.31
21	16.3	16.3	16.4	16.6	17.0	17.2	17.2	17.2	17.2	17.2	17.3	17.3	17.2	17.1	16.9	16.8	16.8	16.9	17.1	17.3	17.6	17.7	17.9	17.8	17.10
22	17.8	17.7	17.7	17.8	18.2	18.3	18.3	18.3	18.3	18.1	18.1	18.0	17.8	17.6	17.5	17.2	17.0	17.0	17.3	17.5	17.9	17.9	18.0	18.1	17.81
23	18.1	18.2	18.1	18.2	18.4	18.5	18.7	18.7	18.9	18.9	18.9	18.8	18.7	18.7	18.8	18.7	18.8	19.2	19.5	19.9	20.2	20.4	20.7	20.8	19.08
24	20.8	20.8	20.8	21.0	21.3	21.5	21.8	22.2	22.5	22.5	22.6	22.5	22.4	22.2	22.1	22.0	22.0	22.1	22.2	22.5	22.6	22.6	22.6	22.5	22.00
25	22.3	21.9	21.5	21.2	21.1	21.0	21.2	21.1	20.8	20.4	20.0	19.6	19.0	18.6	18.2	18.0	17.9	18.0	17.9	18.2	18.1	17.8	17.8	17.4	19.54
26	17.1	16.7	16.4	16.3	16.5	16.5	16.6	16.6	16.6	16.5	16.3	16.0	15.8	15.6	15.3	15.1	15.2	15.3	15.6	16.2	16.4	16.5	16.9	17.0	16.21
27	17.2	17.3	17.3	17.5	17.9	18.3	18.8	18.7	18.8	18.7	18.6	18.5	18.4	18.0	18.0	17.9	17.9	18.2	18.7	19.3	20.0	20.2	20.4	20.5	18.55
28	20.5	20.6	20.6	20.5	20.6	20.5	20.6	20.7	20.7	20.5	20.5	20.2	19.8	19.6	19.3	19.2	18.9	19.0	19.0	19.2	19.2	19.0	18.6	18.5	19.83
29	18.1	17.8	17.7	17.6	17.8	18.0	18.1	18.0	17.8	17.6	17.2	17.0	16.7	16.3	16.0	15.6	15.6	15.8	15.9	16.0	16.1	16.3	16.1	15.9	16.87
30	15.8	15.9	16.0	16.2	16.3	16.3	16.5	16.5	16.4	16.1	16.0	15.6	15.5	15.0	14.8	14.7	14.9	14.9	15.1	15.9	16.1	16.3	16.4	16.4	15.83
31	16.0	15.6	15.8	16.1	16.3	16.4	16.2	16.4	16.2	16.2	16.1	16.0	15.6	15.4	15.2	15.4	15.4	15.4	15.5	15.9	16.3	16.4	16.4	16.7	15.95
M.	17.18	17.08	17.02	17.03	17.21	17.36	17.50	17.56	17.53	17.42	17.30	17.09	16.91	16.67	16.54	16.43	16.41	16.55	16.71	17.01	17.26	17.35	17.39	17.34	17.08

Juni 1911. (700 mm +). Zürich.

Tag	1^{30} a	2^{30}	3^{30}	4^{30}	5^{30}	6^{30}	7^{30}	8^{30}	9^{30}	10^{30}	11^{30}	12^{30} p	1^{30}	2^{30}	3^{30}	4^{30}	5^{30}	6^{30}	7^{30}	8^{30}	9^{30}	10^{30}	11^{30}	12^{30} a	Tages-
1	16.8	16.9	17.0	17.3	17.7	18.0	18.2	18.6	18.8	19.0	19.1	19.3	19.3	19.4	19.4	19.3	19.3	19.4	19.6	20.1	20.5	20.5	20.6	20.7	18.95
2	20.9	20.9	21.2	21.3	21.7	22.0	22.6	22.7	22.7	22.3	22.2	22.1	21.9	21.8	21.6	21.6	21.3	21.4	21.4	21.4	21.4	21.1	22.2	22.3	21.75
3	22.0	21.5	21.6	21.6	21.7	21.8	21.9	21.8	21.6	21.5	21.2	20.7	20.0	19.5	19.0	18.6	18.5	18.7	19.4	20.0	20.9	20.8	20.3	20.4	20.63
4	20.5	20.8	20.8	21.0	21.4	21.8	22.2	22.4	22.4	22.5	22.5	22.4	22.2	22.0	22.0	21.7	21.9	22.6	22.7	23.0	23.4	23.5	23.9	23.9	22.23
5	23.8	23.9	24.0	24.0	24.2	24.6	24.9	25.0	24.9	24.8	24.8	24.6	24.2	24.1	23.7	23.7	23.8	23.9	25.0	25.0	25.1	24.9	24.7	24.8	24.43
6	24.9	24.8	24.8	24.9	25.0	25.2	25.4	25.5	25.6	25.5	25.5	25.5	25.3	25.1	24.9	24.6	24.4	24.6	24.8	25.1	25.3	25.4	25.4	25.4	25.12
7	25.4	25.4	25.3	25.4	25.6	25.8	26.0	26.1	26.2	26.1	26.2	25.9	25.6	25.4	25.2	25.1	24.8	24.7	24.7	24.7	24.9	25.0	25.0	25.0	25.40
8	24.9	24.7	24.7	24.7	24.7	24.8	24.7	24.5	24.0	23.6	23.3	22.7	22.3	22.0	21.5	21.2	20.8	20.5	20.4	20.3	20.4	20.3	19.9	19.6	22.50
9	19.2	18.7	18.4	18.1	17.6	17.5	17.2	16.8	16.4	15.9	15.3	14.6	13.8	13.3	12.7	12.1	11.8	12.5	13.8	14.0	14.1	13.9	13.7	13.4	15.21
10	13.2	13.2	12.9	12.9	12.9	12.8	12.9	13.0	13.1	13.2	13.5	13.6	13.7	13.8	14.0	14.0	14.0	14.2	14.4	14.7	15.1	15.2	15.3	15.3	13.79
11	15.3	15.4	15.7	15.8	16.3	16.7	17.1	17.1	17.0	17.1	17.2	17.0	16.9	16.9	16.7	16.5	16.3	16.4	16.6	16.8	17.1	17.1	17.1	17.1	16.63
12	17.0	16.8	16.5	16.8	16.8	16.8	16.9	16.9	16.9	16.7	16.3	16.0	15.8	15.6	15.3	15.2	15.2	15.1	15.2	15.4	15.6	15.6	15.4	15.2	16.04
13	15.3	14.8	14.7	14.1	13.9	13.7	13.6	13.4	13.1	12.9	12.7	12.4	11.8	11.5	11.1	10.7	10.3	10.3	10.3	**10.2**	10.6	10.8	11.1	11.4	12.28
14	11.6	11.9	12.1	12.6	13.2	13.9	14.4	14.7	14.7	14.4	14.7	15.2	15.5	16.0	16.2	17.2	18.0	18.3	19.3	19.8	20.2	20.2	20.5	20.4	16.06
15	20.2	20.2	20.3	20.5	20.8	20.8	21.5	21.8	21.8	21.8	22.0	22.1	22.0	21.9	22.0	22.0	22.8	22.6	22.9	23.4	23.9	24.3	24.8	24.8	22.11
16	24.8	24.8	24.7	24.5	24.3	24.4	24.3	24.4	24.2	24.0	23.9	23.6	23.1	22.7	22.6	22.5	22.2	22.2	22.1	22.1	22.2	22.2	22.1	22.0	23.33
17	21.7	21.3	20.8	20.4	20.3	20.3	20.2	20.1	20.0	19.5	19.4	19.0	18.9	18.5	18.0	17.6	17.9	17.6	16.6	16.9	17.4	18.0	18.3	18.4	19.05
18	17.7	17.3	17.2	17.5	17.5	17.4	17.3	17.2	17.5	17.4	17.2	16.3	16.8	16.9	18.2	18.4	19.5	20.1	20.2	20.0	20.1	20.4	19.9	19.6	18.25
19	19.3	19.0	18.7	18.4	18.0	17.8	17.4	16.0	15.5	14.2	15.2	17.1	16.6	16.0	16.4	16.5	17.4	17.7	17.3	17.6	18.1	18.6	18.4	18.2	17.31
20	17.9	17.8	17.9	17.9	18.0	18.4	18.4	18.5	18.6	18.9	18.9	18.9	19.3	18.9	19.7	19.7	20.6	21.1	21.4	21.8	22.4	22.9	23.0	23.2	19.75
21	23.2	23.3	23.5	23.8	24.1	24.6	24.9	25.1	25.3	25.2	25.1	24.8	24.7	24.7	24.4	24.3	24.2	24.3	24.4	24.7	24.9	24.9	24.8	24.8	24.50
22	24.7	24.6	24.6	24.6	24.6	24.6	24.4	24.2	24.1	23.8	23.7	23.5	22.9	22.7	22.4	22.0	21.7	21.6	21.6	21.8	21.9	21.8	21.7	21.5	23.12
23	21.2	21.1	21.0	20.9	20.8	20.6	20.5	20.2	19.9	19.6	19.3	18.9	18.0	17.5	17.6	16.9	17.2	17.2	17.4	17.4	17.1	17.0	16.5	16.2	18.75
24	15.5	15.2	14.7	14.4	14.0	13.9	14.5	14.8	15.4	16.1	16.5	17.0	17.7	18.5	18.9	19.0	19.1	18.9	19.0	19.5	19.5	19.6	19.5	19.5	17.11
25	19.1	18.9	18.7	18.8	19.1	19.5	19.3	19.3	19.1	19.2	18.9	19.2	19.1	19.1	19.2	19.4	19.3	19.8	20.0	19.9	19.9	20.0	20.8	21.0	19.46
26	21.0	21.1	21.3	21.4	21.4	21.3	21.5	21.5	21.5	21.5	21.3	21.2	21.0	20.7	20.9	20.9	21.5	21.7	21.7	22.1	22.6	22.5	22.7	22.6	21.54
27	22.6	22.4	22.4	22.5	22.4	22.6	23.1	23.5	23.9	24.1	24.4	24.6	24.7	25.2	25.5	25.9	26.0	26.5	26.8	27.2	27.8	28.2	28.4	28.7	24.98
28	28.8	28.7	28.8	29.0	29.3	29.5	29.7	**29.8**	**29.8**	**29.8**	29.7	29.5	29.1	29.0	28.8	28.7	28.5	28.4	28.4	28.6	28.9	28.9	28.9	28.8	29.06
29	28.7	28.8	28.8	28.8	28.8	28.8	28.8	28.8	27.8	27.5	27.3	26.9	26.5	26.1	25.7	25.4	25.2	25.0	24.9	24.8	24.8	24.7	24.8	24.9	26.58
30	23.4	22.7	22.4	22.1	21.9	21.8	21.6	21.5	21.1	20.6	20.3	19.6	19.0	18.8	18.0	17.9	17.8	18.0	18.9	18.5	18.2	18.0	17.7	17.9	19.90
M.	20.69	20.55	20.49	20.51	20.59	20.70	20.83	20.82	20.76	20.62	20.59	20.48	20.26	20.12	20.05	19.95	20.05	20.19	20.37	20.56	20.81	20.89	20.90	20.87	20.58

Juli 1911. Stündliche Barometerstände (700 mm +). Zürich.

Tag	1^{30}a	2^{30}	3^{30}	4^{30}	5^{30}	6^{30}	7^{30}	8^{30}	9^{30}	10^{30}	11^{30}	12^{30}p	1^{30}	2^{30}	3^{30}	4^{30}	5^{30}	6^{30}	7^{30}	8^{30}	9^{30}	10^{30}	11^{30}	12^{30}a	Tages-mittel
1	17.6	17.5	17.1	16.6	16.5	16.4	16.4	16.5	16.7	16.5	16.5	16.4	**16.2**	**16.2**	**16.2**	16.4	16.3	16.4	16.4	16.6	16.7	16.4	16.7	16.4	16.57
2	16.5	16.6	16.9	17.6	17.7	17.8	17.3	17.1	16.9	16.9	16.7	16.9	16.7	16.8	16.9	17.6	18.0	18.7	19.2	19.7	20.4	21.0	21.5	22.0	18 01
3	22.8	23.2	23.5	23.5	23.5	23.5	23.7	23.9	23.9	24.0	24.3	24.3	24.3	24.4	24.8	25.2	25.5	25.8	26.4	27.1	27.8	28.2	**28.4**	**28.4**	25 02
4	28.3	28.1	28.1	28.0	28.0	28.0	28.1	28.3	28.2	28.2	28.2	27.8	27.7	27.5	27.4	27.3	27.2	27.3	27.4	27.6	28.0	28.1	28.0	28.0	27.87
5	28.0	27.8	27.7	27.8	27.9	28.0	28.1	28.1	27.9	27.8	27.6	27.5	27.3	27.3	27.0	26.6	26.4	26.3	26.3	26.4	26.6	26.5	26.3	26.0	27.22
6	25.6	25.3	25.2	25.3	25.5	25.7	26.0	25.8	25.5	25.2	25.0	24.7	24.3	24.2	24.0	23.8	23.6	23.7	23.8	24.0	24.2	24.2	24.2	24.3	24.71
7	24.1	24.0	24.1	24.2	24.4	24.6	24.8	25.0	24.9	25.0	25.0	25.0	25.0	24.9	24.7	24.5	24.4	24.6	24.7	24.9	25.3	25.4	25.5	25.4	24.77
8	25.4	25.2	25.4	25.5	25.6	25.9	26.4	26.6	26 6	26.5	26.4	26.3	26.1	25.9	25.5	25.1	24.9	25.0	25.0	25.2	25.5	25.7	25.8	25.8	25 72
9	25.7	25.5	25.5	25.5	25.8	25.9	26.1	26.1	25.9	25.7	25.5	25.3	24.9	24.7	24.4	24.1	23.9	24.0	24.1	24.4	25.1	25.2	25.4	25.2	25.16
10	25.1	24.8	24.6	24.4	24.6	25.0	25.4	25.4	25.3	25.4	25.3	25.3	25.2	25.1	25.0	24.8	25.0	25.1	25.3	25.4	25.6	25.6	25.5	25.5	25.15
11	25.4	25.3	25.3	25.3	25.6	25.9	26.1	26.3	26.2	26.2	26.2	26.1	26.0	25.9	25.8	25.7	25.5	25.5	25.5	25.6	25.7	25.7	25.7	25 5	25 75
12	25.3	24.8	24.5	24.4	24.5	24.6	24.7	24.7	24.5	24.3	24.1	23.8	23.6	23.4	23.2	23.2	23.0	23.0	23.1	23.3	23.6	23.7	23.9	23.7	23 95
13	23.5	23.3	23.2	23.3	23.4	23.5	23 8	23.6	23.4	23.3	23.2	22.9	22.5	22.2	22.1	22.1	21.9	22.0	22.3	22.6	22.8	23.0	23.3	23.2	22.93
14	23.1	23.0	22.8	22.9	23.1	23.3	23.3	23.2	23.1	23.1	23.0	22.9	22.7	22.7	22.3	22.0	21.8	22.0	22.3	22.5	22.5	22.6	22.7	22.5	22.73
15	22.4	22.2	22.0	22.0	22.0	22.0	22.0	21.8	21.6	21.3	21.1	21.0	20.7	20.6	20.4	20.2	19.9	19.7	20.0	20.1	20.2	20.2	20.4	20.4	21.01
16	20.3	20.2	20.2	20.0	20.0	20.0	20.1	19.8	19.4	19.2	19.1	18.8	18.4	18.1	17.9	17.8	17.8	17.8	17.9	18.4	18.7	18.7	18.7	18.6	19.00
17	18.4	18.3	18.2	18.3	18.3	18.3	18.2	18.1	18.1	18.0	17.9	17.6	17.4	17.1	17.0	16.8	16.7	16.6	16.8	17.0	17.2	17.4	17.4	17.4	17.60
18	17.3	17.2	17.2	17.3	17.5	17.6	17.6	17.9	17.7	17.9	17.9	17.8	17.6	17.4	17.4	17.3	17.2	17.2	17.5	17.9	18.4	18.7	19.1	19.3	17.75
19	19.5	19.8	20.0	20.2	20.6	21.0	21.2	21.5	21.7	21.8	21.7	21.7	21.6	21.5	21.4	21.6	21.6	21.8	22.3	23.2	23.6	23.6	23.7	23.6	21.67
20	23.6	24.0	24.2	24.2	24.4	24.5	24.7	24.9	24.9	24.9	24.8	24.6	24.4	24.3	24.3	24.1	24.2	24.4	24.7	25.2	25.9	26.2	26.6	26.6	24.78
21	26.6	26.6	26.6	26.5	26.7	27.0	27.1	27.1	27.1	26.9	26.9	26.7	26.6	26.4	26.3	26.3	26.3	26.3	26.5	26.7	26.8	26.9	26.6	26.5	26 67
22	26.5	26.4	26.4	26.5	26.6	26.6	26.6	26.6	26.5	26.5	26.3	26.1	25.9	25.6	25.4	25.1	24.9	24.9	24.9	25.0	25.0	25.0	25.1	25.0	25.81
23	24.8	24.7	24.7	24.7	24.8	24.8	24.9	24.7	24.5	24.4	24.2	23.9	23.4	23.0	22.6	22.2	22.1	22.0	21.9	22.1	22.3	22.4	22.4	22.3	23 49
24	22.3	22.2	21.9	21.9	22.1	22.1	22.1	22.0	21.9	21.8	21.4	21.7	20.6	20.2	20.6	21.4	21.6	20.5	20.9	20.7	20.9	20.9	22.4	22.5	21.52
25	22.0	21.3	21.2	21.1	21.2	21.2	21.3	21.2	21.1	21.0	20.8	20.4	20.1	19.6	19.4	19.3	19.1	19.1	19.2	19.7	19.9	19.6	19.6	19.7	20.34
26	19.5	19.4	19.1	19.3	19.4	19.6	20.0	20.5	20.8	20.8	20.6	20.3	19.9	19.5	19.4	19.3	19.1	19.1	19.3	19.5	19.9	20.2	20.3	20.6	19.81
27	20.7	20.9	21.2	21.7	21.8	21.9	22.0	22.0	21.9	21.6	21.5	21.2	21.1	20.8	20.7	20.5	20.5	20.8	20.6	21.0	21.1	21.2	21.2	21.3	21.20
28	21.3	21.5	21.8	21.8	22.1	22.3	22.4	22.4	22.4	22.5	22.3	21.9	21.8	21.6	21.5	21.3	21.3	21.5	21.4	21.7	22.2	23.2	23.3	23.1	22.03
29	23.1	23.1	22.9	23.0	22.7	22.8	22.6	22.5	22.2	22.0	21.9	21.9	21.4	20.7	20.5	20.3	20.2	20.1	20.1	20.2	20.5	20.6	20.5	20.4	21.51
30	20.5	20.5	20.7	20.9	20.9	21.0	21.1	21.1	21.1	21.0	20.7	20.2	19.7	19.3	19.0	18.9	18.8	18.6	18.4	18.6	18.7	18.5	18.4	18.4	19.79
31	18.3	18.1	18.5	18.5	18.6	18.9	19.1	19.2	19.1	19.1	18.9	18.6	18.3	18.0	17.6	17.8	17.8	17.9	17.9	18.7	19.0	19.0	19.1	19.0	18.54
M.	22.69	22.61	22.60	22.65	22.77	22.89	23.00	23.03	22.93	22.86	22.74	22.57	22.30	22.10	21.96	21.89	21.82	21.85	22.00	22.29	22.58	22.70	22.83	22.79	22.52

August 1911. (700 mm +). Zürich.

Tag	1^{30}a	2^{30}	3^{30}	4^{30}	5^{30}	6^{30}	7^{30}	8^{30}	9^{30}	10^{30}	11^{30}	12^{30}p	1^{30}	2^{30}	3^{30}	4^{30}	5^{30}	6^{30}	7^{30}	8^{30}	9^{30}	10^{30}	11^{30}	12^{30}a	Tages-mittel
1	18.9	19.0	19.0	19.2	19.4	19.6	19.7	19.8	19.9	19.9	19.9	19.8	19.7	19.7	19.7	19.7	19.7	19.6	20.0	20.2	21.0	21.3	21.6	21.7	19.92
2	21.8	21.7	21.7	21.8	22.2	22.5	22.7	23.4	23.7	23.9	23.8	23.5	23.2	22.7	22.4	22.6	22.4	22.4	22.8	23.2	23.1	23.3	23.5	23.5	22.83
3	23.4	23.3	23.3	23.2	23.3	23.4	23.5	23.4	23.3	23.2	22.9	22.6	22.0	21.5	21.3	20.9	20.9	20.9	21.2	21.7	21.6	21.8	21.7	21.8	22.34
4	21.7	21.5	21.5	21.5	21.7	21.8	21.9	21.9	21.7	21.5	21.4	21.0	20.7	20.4	20.2	20.0	19.8	19.8	20.0	20.4	21.0	21.1	21.1	21.1	21.03
5	21.1	20.9	20.6	20.5	20.6	20.7	21.0	21.0	20.9	20.6	20.2	20.1	19.6	19.3	18.8	18.6	18.5	18.3	18.4	18.6	18.5	18.5	18.4	18.3	19.67
6	18.2	18.3	18.6	18.8	19.2	19.5	20.3	20.8	21.0	21.4	21.4	21.4	21.4	21.3	20.9	20.9	21.1	21.2	22.5	22.7	22.6	22.6	23.1	23.4	20.94
7	23.5	23.0	23.1	23.3	23.6	24.1	24.4	24.4	24.5	24.3	24.2	24.1	23.9	23.5	23.2	23.0	22.9	23.0	23.2	23.6	24.1	24.4	24.3	24.4	23.75
8	24.3	24.3	24.1	24.2	24.3	24.4	24.4	24.5	24.4	24.2	23.8	23.6	23.4	23.0	22.8	22.7	22.5	22.6	22.8	23.2	23.4	23.5	23.5	23.4	23.64
9	23.3	23.4	23.3	23.4	23.3	23.5	23.7	23.7	23.6	23.3	23.0	22.8	22.5	22.1	21.8	21.7	21.5	21.4	21.4	21.8	21.9	21.8	21.8	21.7	22.57
10	21.4	21.4	21.2	21.1	21.2	21.3	21.4	21.6	21.6	21.4	21.2	20.9	20.6	20.1	19.9	19.6	19.4	19.1	19.2	19.4	19.6	19.9	20.0	20.2	20.58
11	19.9	19.9	19.8	19.7	19.7	19.7	19.8	19.9	19.9	19.8	19.6	19.3	19.1	18.8	18.6	18.5	18.6	18.7	18.9	19.1	19.4	19.5	19.8	19.7	19.40
12	19.7	19.6	19.4	19.4	19.5	19.7	19.9	20.1	20.2	20.1	19.9	19.8	19.6	19.3	19.1	19.0	19.1	19.2	19.5	19.9	20.1	20.5	20.7	20.7	19.75
13	20.7	20.7	20.8	21.0	21.3	21.6	21.8	21.8	21.7	21.7	21.6	21.3	21.1	20.8	20.6	20.5	20.4	20.4	20.6	20.9	21.1	21.2	21.3	21.3	21.09
14	21.3	21.3	21.3	21.3	21.5	21.8	21.9	21.7	21.6	21.3	21.2	20.8	20.3	19.8	20.7	21.3	20.0	20.2	20.5	20.5	20.4	20.1	20.0	19.8	20.86
15	19.5	19.4	19.2	19.0	19.0	18.9	18.9	18.7	18.3	18.0	17.6	17.3	17.1	16.9	16.4	16.3	16.2	16.3	16.5	17.0	17.6	18.2	18.5	18.6	17.89
16	18.7	18.7	18.6	18.6	18.8	19.1	19.2	19.3	19.4	19.2	19.2	19.1	19.1	18.9	19.0	19.0	19.1	19.3	19.7	20.5	21.1	21.7	22.0	22.0	19.55
17	21.9	22.0	22.1	22.2	22.5	22.7	22.8	22.9	23.0	22.8	22.7	22.5	22.4	22.1	21.8	21.8	21.6	21.6	21.8	22.0	22.4	22.6	22.7	22.6	22.31
18	22.5	22.2	21.8	21.6	21.6	21.6	21.6	21.5	21.3	21.1	20.8	20.6	20.1	19.8	19.4	19.1	18.9	18.9	18.9	19.0	19.1	19.1	19.1	19.0	20.86
19	18.9	18.8	18.7	18.7	18.7	18.8	18.9	18.7	18.6	18.2	17.9	17.5	17.0	16.4	16.0	15.6	15.8	15.4	15.6	16.0	16.0	16.2	16.4	16.4	17.28
20	16.2	16.1	16.0	15.8	15.8	16.0	16.3	16.2	16.4	16.6	16.4	15.7	15.1	14.8	14.6	15.3	15.8	15.5	14.9	15.0	15.0	14.6	14.4	14.0	15.52
21	13.8	12.7	12.3	13.1	14.1	16.0	14.9	14.2	14.1	13.7	13.5	13.4	12.6	**12.1**	12 7	**12.1**	14.0	14.5	15.1	15.6	14.5	14.0	14.5	14.4	13.81
22	14.3	13.6	13.7	14.1	13.4	13.9	13.8	13.7	13.7	13.6	13.2	12.7	12.8	12.7	12.8	12.8	12.9	12.7	13.4	14.0	14.7	14.5	14.5	14.3	13.58
23	14.1	13.1	13.3	13.6	13.3	13.1	13.7	13.5	13.7	14.1	14.0	14.1	15.8	15.8	16.1	15.8	16.1	15.6	15.9	16.2	16.2	16.5	16.7	17.6	14.91
24	17.5	17.1	17.1	17.0	17.4	17.6	17.8	17.9	18.0	18.0	18.1	18.0	17.7	17.6	17.4	17.4	17.5	17.6	17.6	18.6	18.7	18.8	18.8	18.9	17 84
25	19.0	19.1	19.0	19.1	19.3	19.5	19.6	19.6	19.7	19.6	19.4	19.2	19.1	18.7	18.5	18.4	18.5	18.7	19.0	19.4	19.9	21.4	21.2	21.4	19 43
26	21.5	21.5	21.5	21.3	22.0	22.6	23.1	23.3	23.6	23.6	23.6	23.3	23.3	23.2	23.1	23.3	23.3	23.5	23.8	24 2	24.4	24.6	24.6	24.6	23.26
27	24.6	24.6	24.6	24.6	24.8	24.8	25.1	25.1	25.2	25.2	25.1	24.8	24.5	24.1	23.6	23.1	22.7	22.7	22.8	22.9	22.8	22.8	22.8	24.00
28	22.6	22.5	22.6	22.5	22.7	22.8	23.0	23.0	22.9	22.9	22.7	22.4	22.0	21.6	21.3	21.0	20.8	20.8	21.0	21.4	21.7	21.9	21.8	21.9	22.08
29	21.9	21.9	22.0	22.1	22.3	22.6	22.8	22.9	23.0	22.9	22.7	22.5	22.2	21.9	21.6	21.4	21.6	21.8	22.2	22.7	23 0	23.0	23.0	23.0	22.37
30	22.9	22.7	22.6	22.5	22.5	22.6	22.8	23.1	23.3	23.1	23.0	22.7	22.6	22.3	22.0	22.0	21.9	21.8	21.9	22.2	22.1	21.7	21.7	22.3	22 43
31	23.4	24.7	25.2	24.9	25.0	25.1	25.4	**25.5**	**25.5**	**25.5**	**25.5**	**25.5**	25.3	25.1	24.9	24.5	24.3	24.3	24.5	24.6	24.6	24.6	24.4	24.6	24.87
M.	20.89	20.89	20.96	20.99	20.45	20.69	20.84	20.87	20.89	20.80	20.68	20.40	20.19	19.86	19.72	19.61	19.59	19.61	19.86	20.21	20.37	20.51	20.57	20.63	20.31

September 1911. Stündliche Barometerstände (700 mm +). Zürich.

Tag	1[30]	2[30]	3[30]	4[30]	5[30]	6[30]	7[30]	8[30]	9[30]	10[30]	11[30]	12[30] p	1[30]	2[30]	3[30]	4[30]	5[30]	6[30]	7[30]	8[30]	9[30]	10[30]	11[30]	12[30]	Tagesmittel
1	24.4	24.5	24.7	24.8	24.9	25.2	25.4	25.5	25.7	25.6	25.6	25.5	25.2	24.9	24.8	24.5	24.5	24.6	24.7	24.9	25.0	25.2	25.3	25.4	25.03
2	25.5	25.4	25.4	25.5	25.7	25.5	26.2	26.4	26.4	26.3	26.1	25.9	25.6	25.2	24.9	24.9	24.7	24.7	25.0	25.2	25.1	25.0	25.0	25.0	25.30
3	25.4	25.4	25.3	25.3	25.4	25.6	25.7	25.9	26.0	25.9	25.6	25.1	24.7	24.5	24.1	24.1	24.0	23.8	24.0	24.4	24.7	24.8	24.8	24.8	24.97
4	24.7	24.5	24.6	24.6	24.7	24.9	25.0	25.2	25.2	25.1	24.9	24.6	24.4	24.1	23.9	23.8	23.8	23.4	23.1	23.7	24.1	24.4	24.5	24.6	24.42
5	24.1	24.1	23.9	24.0	24.2	24.5	24.4	24.7	24.9	24.9	24.8	24.6	24.4	24.0	23.8	23.5	23.6	23.6	23.9	24.1	24.3	24.5	24.6	24.6	24.25
6	24.5	24.6	24.6	24.4	24.6	25.0	25.1	25.3	25.4	25.3	25.3	25.1	24.9	24.6	24.5	24.5	24.4	24.5	24.6	24.8	25.1	25.3	25.4	25.5	24.89
7	25.5	25.3	25.1	24.8	24.8	24.9	25.0	25.0	24.8	24.8	24.7	24.3	24.0	23.6	23.4	23.1	23.1	23.0	23.1	23.3	23.4	23.4	23.3	23.4	24.13
8	23.4	23.2	23.0	22.8	22.8	22.9	22.9	22.8	22.9	22.8	22.6	22.2	21.8	21.3	20.9	20.5	20.4	20.4	20.4	20.6	20.5	20.5	20.5	20.5	21.78
9	20.5	20.4	20.3	20.2	20.2	20.3	20.5	20.6	20.5	20.6	20.3	20.0	19.9	19.4	19.0	18.6	18.4	18.4	18.7	18.8	18.9	18.9	19.1	18.9	19.64
10	18.8	18.7	18.8	18.9	18.8	19.2	19.5	20.1	20.6	21.0	21.0	20.9	21.1	21.2	21.3	21.4	21.3	21.5	21.8	22.0	22.2	22.3	22.3	22.3	20.71
11	22.1	22.1	21.7	21.5	21.6	21.7	22.0	22.2	22.1	21.7	21.5	21.3	20.9	20.5	20.2	20.0	20.0	20.1	20.4	20.6	20.6	20.9	21.1	21.2	21.17
12	21.3	21.4	21.6	21.7	21.8	22.0	22.2	22.4	22.6	22.6	22.5	22.2	21.9	21.5	21.3	21.1	21.1	21.0	21.3	21.5	21.6	21.8	22.0	22.3	21.78
13	22.6	22.6	22.7	22.7	22.9	23.0	23.1	23.3	23.3	23.1	22.8	22.4	22.2	21.7	21.4	21.1	21.1	21.2	21.4	21.6	21.8	21.9	21.9	21.7	22.23
14	21.8	21.7	21.5	20.9	20.8	20.8	20.9	20.8	20.7	20.5	20.0	19.4	18.7	17.7	17.4	16.5	16.2	16.1	16.4	16.7	17.0	16.4	16.4	16.1	18.79
15	15.8	15.5	15.6	15.4	15.4	15.5	15.3	15.2	15.3	15.1	15.3	15.2	15.5	15.3	15.6	15.9	16.3	16.4	17.1	17.6	17.9	18.5	18.7	19.0	16.18
16	19.1	19.2	19.3	19.2	19.3	19.4	19.5	19.8	20.1	20.2	20.0	19.8	19.9	19.8	20.1	20.4	20.6	20.6	21.0	21.1	21.1	21.0	20.9	20.8	20.09
17	20.8	20.8	20.6	20.8	20.8	21.0	21.5	21.7	22.1	22.1	22.2	22.2	22.4	22.4	22.5	22.5	22.7	23.0	23.3	23.7	24.0	24.2	24.3	24.5	22.34
18	24.7	24.7	25.2	25.5	25.8	26.0	26.2	26.5	**26.7**	**26.7**	26.5	26.2	25.9	26.0	25.8	25.8	25.7	25.5	25.8	25.9	26.1	25.9	25.9	25.9	25.87
19	25.8	25.4	25.3	25.3	25.1	24.7	24.4	24.0	23.7	23.8	23.2	22.2	21.5	20.6	20.1	19.8	19.8	20.0	20.0	20.2	20.3	20.1	20.0	19.7	22.29
20	19.7	19.6	19.5	19.0	19.1	19.0	18.9	18.7	18.6	18.2	17.6	16.2	16.1	15.3	14.7	14.4	14.0	13.7	13.3	13.5	13.7	13.7	13.6	13.5	16.40
21	13.2	13.0	12.7	12.1	11.6	11.4	**11.1**	11.2	11.3	11.4	11.7	12.0	12.6	12.8	13.2	13.6	13.8	13.6	13.8	13.8	13.7	13.4	13.4	13.2	12.65
22	13.2	13.1	13.1	13.1	13.0	13.2	13.4	13.6	14.0	13.9	14.2	14.3	14.3	14.3	14.6	14.9	15.0	15.4	15.5	15.6	16.0	15.8	15.8	15.3	14.36
23	15.4	15.0	14.8	14.3	14.3	14.0	14.2	14.2	14.0	13.9	13.8	13.8	13.6	13.6	13.8	14.0	14.3	14.7	15.1	15.2	15.5	15.9	16.0	16.4	14.57
24	16.5	16.6	16.7	16.7	17.0	17.5	18.2	18.6	19.0	18.9	19.0	19.2	19.3	19.3	19.4	19.7	20.0	20.2	20.6	21.0	21.3	21.5	21.6	21.5	19.14
25	21.7	21.8	21.8	22.0	22.4	22.8	22.9	23.2	23.2	23.1	23.0	23.0	22.9	22.9	22.8	22.8	23.0	23.6	23.9	24.0	24.0	24.1	24.0	23.9	23.03
26	24.1	24.2	24.2	24.2	24.2	24.6	24.8	25.0	25.2	25.3	25.4	25.4	25.3	25.1	25.0	25.0	25.2	25.2	25.6	25.6	25.7	25.7	25.8	25.8	25.07
27	25.8	25.8	25.8	25.9	26.0	26.2	26.5	26.6	26.6	26.6	26.2	26.0	25.7	25.5	25.3	25.3	25.2	25.3	25.4	25.5	25.6	25.8	25.9	25.6	25.84
28	25.5	25.2	25.0	25.0	25.0	25.2	25.5	25.7	25.7	25.4	25.5	25.5	25.0	24.7	24.5	24.5	24.4	24.5	24.7	25.0	24.8	24.8	24.6	24.7	25.02
29	24.5	24.3	24.0	24.0	23.0	23.4	23.4	23.4	23.4	22.9	22.8	22.6	22.2	22.4	22.4	22.6	22.8	23.4	23.8	24.2	24.7	24.8	24.6	24.4	23.50
30	24.3	23.6	23.1	22.5	22.3	22.0	21.8	21.6	21.2	20.7	20.1	19.6	18.5	17.6	16.9	16.2	15.4	14.8	14.3	13.6	12.6	12.1	11.2	12.0	18.25
M.	21.80	21.72	21.67	21.57	21.58	21.71	21.85	21.97	22.04	21.95	21.81	21.56	21.35	21.06	20.92	20.82	20.81	20.87	21.09	21.27	21.40	21.44	21.44	21.42	21.46

Oktober 1911. (700 mm +). Zürich.

Tag	1[30] a	2[30]	3[30]	4[30]	5[30]	6[30]	7[30]	8[30]	9[30]	10[30]	11[30]	12[30] p	1[30]	2[30]	3[30]	4[30]	5[30]	6[30]	7[30]	8[30]	9[30]	10[30]	11[30]	12[30] a	Tagesmittel
1	12.6	13.4	13.6	13.6	13.2	13.2	13.7	13.9	14.1	14.3	14.3	14.3	14.5	14.6	14.8	15.0	15.4	15.6	15.8	16.2	16.5	16.8	16.5	16.5	14.68
2	16.7	16.6	16.7	16.7	16.7	16.9	17.1	17.3	17.5	17.4	17.4	17.4	17.4	17.1	17.3	17.4	17.4	17.6	17.9	18.1	18.1	18.1	18.0	17.9	17.36
3	17.9	17.5	17.4	17.3	17.0	17.0	17.1	17.2	17.3	17.3	16.8	16.4	15.9	15.7	15.6	15.5	15.5	15.7	15.7	16.0	16.0	16.0	16.0	16.0	16.49
4	16.0	16.0	15.9	15.9	16.0	15.9	15.9	15.8	15.6	15.2	14.9	14.8	14.7	14.2	13.7	13.7	13.7	14.4	15.3	16.1	16.6	16.7	16.6	17.0	15.11
5	17.2	17.2	17.5	17.3	17.6	17.8	18.0	18.5	19.1	18.9	19.0	18.8	18.7	18.3	18.1	17.8	17.8	17.8	18.0	18.4	18.6	18.8	18.7	18.7	18.19
6	19.0	18.8	18.8	18.9	19.2	19.4	19.6	19.9	20.1	20.4	20.4	20.4	20.3	20.2	20.0	19.8	19.4	19.2	18.8	18.2	17.8	17.2	16.8	16.4	19.13
7	16.2	15.9	15.3	15.6	16.9	17.4	18.4	19.1	19.8	20.0	20.0	20.0	20.0	20.0	19.9	19.7	19.7	20.1	20.6	21.4	21.6	21.9	21.8	21.9	19.30
8	22.0	22.0	21.7	21.6	21.6	21.8	21.8	21.6	21.6	21.6	21.2	20.5	19.8	19.2	18.6	18.6	19.5	19.2	19.4	20.0	20.7	21.2	20.7	20.8	20.70
9	20.8	20.6	20.4	20.5	20.1	19.8	20.3	20.4	20.4	20.1	20.0	19.8	19.2	19.0	19.0	19.2	19.5	19.7	19.8	20.2	20.8	20.6	20.7	20.9	20.07
10	21.2	21.5	21.9	22.0	22.7	23.7	24.7	25.4	26.1	26.3	26.5	26.8	26.8	27.0	27.1	27.3	27.4	27.8	28.1	28.2	28.0	28.0	28.1	28.2	25.87
11	28.3	28.2	28.1	28.0	28.1	28.0	28.1	28.3	**28.7**	**28.7**	28.6	28.4	28.2	28.0	27.6	27.4	27.5	27.6	27.6	27.5	27.5	27.6	27.6	27.6	27.97
12	27.6	27.4	27.0	26.9	26.7	26.6	26.7	26.7	26.7	26.8	26.6	26.0	25.7	25.5	25.2	24.7	24.5	24.5	24.4	24.2	23.9	23.6	23.6	23.6	25.63
13	23.4	23.3	23.1	23.0	22.8	22.7	22.8	22.7	22.4	22.4	22.2	21.7	21.3	21.1	20.8	20.7	20.6	20.7	20.7	20.9	21.2	21.0	21.0	21.1	21.82
14	21.0	21.0	21.1	21.2	21.1	21.0	21.3	21.2	21.1	21.1	21.2	20.8	20.5	20.5	20.4	20.5	20.7	21.0	21.4	21.5	21.5	21.5	21.6	21.6	21.08
15	21.8	21.6	21.6	21.7	21.7	21.8	22.2	22.5	22.6	22.7	22.5	22.1	21.7	21.6	21.4	21.5	21.7	21.9	22.0	22.0	22.0	22.2	22.1	22.2	21.96
16	22.3	22.2	22.1	22.2	22.3	22.4	22.7	23.0	23.1	22.9	22.8	22.3	22.3	22.4	22.3	22.2	22.4	22.4	22.5	22.6	22.7	22.5	22.3	22.2	22.46
17	22.0	21.9	21.9	21.9	21.5	21.2	21.7	21.9	22.0	21.7	21.6	21.3	21.3	21.5	21.7	22.0	22.2	22.4	22.4	22.4	22.7	22.8	22.7	22.9	21.98
18	22.8	22.9	22.9	23.0	23.0	23.0	23.2	23.3	23.3	23.1	22.9	22.3	22.1	21.9	21.8	21.7	21.8	21.9	22.1	22.2	22.2	22.2	22.3	22.5	22.51
19	22.6	22.6	22.6	22.8	23.1	23.4	23.6	23.5	23.3	22.7	22.6	22.0	21.8	21.8	22.0	22.0	22.4	23.0	23.3	23.6	24.1	24.0	24.1	24.0	22.95
20	24.0	24.0	23.9	24.0	23.8	23.9	24.0	24.2	24.4	24.3	24.2	24.0	24.0	23.6	23.3	23.1	23.1	23.2	23.2	23.2	23.2	23.2	22.9	22.6	23.64
21	22.5	21.8	21.5	21.4	21.1	21.0	20.8	20.4	20.0	19.6	19.3	18.8	18.1	17.4	17.2	16.6	16.6	16.5	16.5	15.8	15.2	14.5	14.5	14.0	18.88
22	13.7	13.4	13.6	13.7	13.9	14.0	14.4	14.8	14.8	14.8	15.4	15.2	14.8	14.6	14.3	14.0	14.0	14.0	14.1	14.2	14.6	14.6	14.7	15.0	14.36
23	15.2	15.3	15.4	15.8	16.0	16.2	16.9	17.2	17.6	17.9	17.8	17.7	17.4	17.4	17.6	17.7	17.6	17.8	18.1	17.9	17.9	17.8	17.7	17.8	17.16
24	17.6	17.7	17.4	17.4	17.1	16.9	17.3	17.4	17.4	17.4	17.5	17.6	17.7	17.5	17.5	16.8	16.6	16.6	16.0	15.4	15.5	14.6	13.8	13.5	16.67
25	13.8	12.6	12.1	11.7	11.3	10.6	10.4	10.0	10.0	09.4	08.6	07.5	06.6	07.1	08.1	09.1	09.3	09.8	10.0	10.1	10.3	10.4	10.6	10.6	09.98
26	10.8	11.2	11.3	11.4	11.6	12.0	12.0	12.4	12.5	12.7	12.6	11.9	10.9	10.6	10.8	10.8	10.9	11.0	10.7	10.8	10.8	10.6	10.5	10.1	11.29
27	09.8	09.8	09.6	09.4	09.0	08.7	08.2	08.0	08.2	08.3	07.8	07.0	06.7	06.6	06.4	**06.3**	07.5	08.4	09.0	09.2	09.9	10.0	09.6	09.1	08.44
28	09.0	09.0	09.2	09.1	09.3	09.4	10.0	10.7	11.2	11.5	11.6	11.5	11.7	11.8	12.0	12.4	13.0	13.8	14.4	14.8	15.3	15.3	15.6	16.0	11.98
29	16.2	16.6	16.8	17.2	17.4	17.8	18.3	19.2	20.0	20.4	20.8	21.0	21.5	22.0	22.8	23.4	24.2	25.3	26.0	26.6	27.1	27.6	27.7	27.7	21.82
30	27.9	27.8	27.6	27.9	28.1	28.2	28.6	28.6	28.5	28.4	28.1	27.8	27.2	26.8	26.5	26.2	26.0	25.8	25.7	25.6	25.6	25.6	25.7	25.2	27.06
31	24.8	24.8	24.8	24.6	24.6	24.4	24.5	24.4	24.1	24.3	24.1	23.6	22.8	22.7	22.6	22.6	22.9	23.0	23.2	23.3	23.3	23.3	23.3	23.3	23.72
M.	19.23	19.18	19.12	19.15	19.18	19.23	19.49	19.66	19.79	19.76	19.66	19.35	19.08	18.96	18.92	18.89	19.06	19.28	19.44	19.57	19.72	19.68	19.61	19.58	19.36

November 1911. **Stündliche Barometerstände (700 mm +).** Zürich.

Tag	1^{30}a	2^{30}	3^{30}	4^{30}	5^{30}	6^{30}	7^{30}	8^{30}	9^{30}	10^{30}	11^{30}	12^{30}p	1^{30}	2^{30}	3^{30}	4^{30}	5^{30}	6^{30}	7^{30}	8^{30}	9^{30}	10^{30}	11^{30}	12^{30}a	Tagesmittel
1	23.4	23.4	23.4	23.6	23.7	24.0	24.3	24.6	24.7	24.7	24.5	24.1	23.7	23.7	23.7	23.8	23.9	24.2	24.4	24.6	24.5	24.3	24.2	24.0	24.06
2	23.8	23.4	23.0	22.7	22.6	22.6	22.8	22.8	22.7	22.6	22.4	21.8	21.4	21.0	20.8	20.8	21.0	21.2	21.2	21.2	21.2	21.4	21.6	21.8	21.99
3	22.0	22.2	22.2	22.4	22.7	22.9	23.5	23.9	24.3	24.5	24.3	24.0	23.5	23.2	23.0	23.0	23.4	23.6	23.6	23.7	23.8	23.8	23.9	23.9	23.89
4	23.8	23.8	23.8	23.9	24.0	24.2	24.6	24.9	25.4	25.5	25.4	24.8	24.6	24.2	24.2	24.3	24.4	24.4	24.4	24.3	24.1	24.2	24.4	24.0	24.40
5	23.4	23.1	23.0	22.4	22.2	22.0	21.6	21.4	21.2	21.0	20.5	20.2	19.6	19.0	18.6	18.2	18.2	18.4	18.2	18.2	18.1	18.0	17.5	17.4	20.06
6	17.6	18.0	18.4	18.8	19.1	19.5	20.0	20.8	21.3	21.7	21.6	21.3	21.1	21.0	21.2	21.3	21.6	21.9	22.4	23.0	23.2	23.4	23.6	23.8	21.07
7	24.1	24.2	24.4	24.6	24.6	24.7	24.9	25.3	25.5	25.4	25.0	24.6	24.0	23.6	23.4	23.2	23.2	23.3	23.4	23.6	23.8	23.7	23.6	23.4	24.15
8	23.2	22.9	22.4	22.4	22.2	22.2	22.2	22.1	21.6	21.3	21.1	20.3	19.5	18.9	18.4	18.0	17.7	17.8	17.5	17.0	16.8	16.3	16.3	15.8	19.75
9	15.2	15.2	15.0	14.8	14.8	14.1	14.1	13.9	13.8	13.5	12.9	12.5	12.3	12.1	12.7	13.1	13.6	13.6	13.4	13.6	13.8	14.2	14.8	15.4	13.85
10	15.7	15.9	15.6	15.5	15.0	15.0	15.4	15.6	15.8	16.2	16.3	16.4	16.7	16.8	17.0	17.5	17.8	18.1	18.0	18.1	18.4	18.6	18.6	19.1	16.80
11	19.0	19.0	19.0	19.2	19.4	19.6	19.9	20.4	20.6	20.9	20.8	20.7	20.6	20.6	20.8	20.9	20.9	21.0	20.8	20.6	20.3	19.8	19.4	19.4	20.15
12	19.3	19.2	18.8	18.4	18.1	17.8	18.0	18.0	17.6	17.4	17.0	16.8	16.6	16.5	16.5	16.5	16.6	16.8	17.0	17.0	16.9	17.1	17.4	17.2	17.44
13	17.2	17.2	17.5	17.8	18.2	18.6	19.0	19.6	19.9	20.1	20.4	20.6	21.0	21.4	22.1	22.7	23.4	24.0	24.6	25.2	26.0	26.5	27.0	27.4	21.56
14	27.6	28.0	28.0	28.1	28.3	28.4	28.6	28.8	29.1	**29.4**	29.3	29.0	28.8	28.6	28.4	28.4	28.6	28.5	28.4	28.0	27.6	27.4	26.9	26.5	21.28
15	26.1	25.8	25.1	24.4	23.8	23.5	23.2	23.0	22.6	22.2	21.4	20.6	19.8	19.1	18.7	18.2	18.1	18.2	18.5	18.7	18.7	18.6	18.4	18.4	21.05
16	18.2	18.2	18.2	18.5	18.5	18.6	18.9	19.2	19.4	19.5	19.5	19.2	19.0	18.6	18.6	18.6	18.7	19.0	19.0	18.9	18.9	18.6	18.4	18.0	18.76
17	17.5	17.5	17.0	16.8	16.4	16.0	15.6	15.3	15.0	14.5	13.9	13.1	12.1	11.8	11.5	11.2	10.5	10.0	09.8	09.7	09.1	08.6	08.3	07.7	12.87
18	07.2	06.7	06.2	05.8	06.2	06.3	06.5	06.2	05.6	04.5	02.9	01.6	01.1	00.0	99.5	98.6	97.2	97.2	97.5	96.4	**96.0**	96.6	98.1	98.5	01.77
19	98.4	98.4	98.4	98.3	98.7	98.6	99.1	99.4	99.7	00.5	00.5	00.6	00.4	00.7	00.5	00.6	00.9	01.3	01.4	01.6	02.0	02.7	03.0	03.6	00.39
20	03.3	03.5	03.9	04.3	04.7	04.9	05.1	05.5	05.7	06.4	06.6	06.6	06.6	06.8	07.3	08.0	08.5	09.3	09.6	10.0	10.4	10.6	10.9	10.9	07.06
21	11.0	11.2	10.9	10.6	10.2	09.6	09.4	09.4	09.2	08.7	08.0	07.2	06.6	05.9	05.6	05.2	04.7	04.8	04.6	04.4	04.3	04.2	04.0	03.9	07.28
22	03.8	03.7	03.7	03.7	03.7	03.5	03.4	03.6	03.7	03.8	03.7	03 6	03.3	03.4	03.5	03.8	03.9	04.3	04.5	04.8	05.1	04.9	04.8	04.5	03.95
23	04.1	04.2	03.8	03.8	03.9	04.8	05.2	05.7	06.0	06.2	06.4	06.0	06.3	06.4	06.7	06.9	07.4	07.6	07.9	08.0	08.3	08.2	08.2	08.1	06.25
24	07.7	07.6	07.2	07.0	06.8	06.8	06.6	06.8	07.0	07.5	07.7	08.3	08.9	09.7	10.3	10.8	11.1	11.6	11.9	12.1	12.2	12.2	12.3	12.3	09.27
25	12.3	12.6	12.4	12.4	12.4	12.6	12.7	12.9	12.8	12.9	12.8	12.7	12.5	12.3	12.4	12.4	12.4	12.5	12.5	12.4	12.1	11.9	12.0	12.0	12.45
26	12.0	12.2	12.2	12.2	12.4	12.8	13.2	13.7	14.2	14.6	14.6	14.6	14.6	14.7	14.9	15.3	15.9	16.2	16.5	16.6	17.1	17.4	18.0	18.2	14.75
27	18.2	18.6	18.5	18.7	19.2	19.3	19.5	20.2	20.6	20.9	21.4	21.4	21.6	21.6	21.7	22.0	22.3	22.4	22.6	22.9	22.9	23.0	23.1	23.0	21.07
28	22.9	22.8	22.7	22.6	23.1	23.2	23.6	24.2	24.3	24.4	24.2	24.2	24.1	24.1	24.2	24.4	24.7	25.0	25.3	25.6	25.9	26.3	26.8	27.0	24.40
29	27.2	27.5	27.5	27.4	27.4	27.5	27.9	28.2	28.5	28.8	28.6	28.6	28.4	28.4	28.2	28.4	28.6	28.8	29.1	29.2	29.3	29.3	**29.4**	29.2	28.39
30	29.2	28.8	28.8	28.6	28.6	28.8	28.9	29.0	29.0	29.3	28.9	28.6	28.2	27.8	27.7	27.7	27.8	27.8	27.7	27.5	27.4	27.0	27.0	26.6	28.20
M.	17.15	17.16	17.03	16.99	17.03	17.08	17.26	17.48	17.56	17.63	17.42	17.13	16.90	16.78	16.74	16.79	16.90	17.09	17.19	17.23	17.27	17.29	17.40	17.37	17.16

Dezember 1911. (700 mm +). Zürich.

Tag	1^{30}a	2^{30}	3^{30}	4^{30}	5^{30}	6^{30}	7^{30}	8^{30}	9^{30}	10^{30}	11^{30}	12^{30}p	1^{30}	2^{30}	3^{30}	4^{30}	5^{30}	6^{30}	7^{30}	8^{30}	9^{30}	10^{30}	11^{30}	12^{30}a	Tagesmittel
1	26.2	26.1	26.0	25.8	25.6	25.6	25.2	25.1	24.8	24.7	24.2	23.8	23.6	23.5	23.7	23.8	24.2	24.5	24.5	24.3	24.1	24.0	23.6	23.8	24.61
2	23.9	24.1	24.1	24.2	24.2	24.4	24.4	24.4	24.6	24.7	24.3	23.8	23.2	22.9	22.9	23.0	23.0	23.0	23.0	23.2	23.3	23.5	23.6	23.4	23.71
3	23.2	23.2	23.2	22.8	22.9	22.8	22.8	23.1	23.1	23.2	22.7	22.3	21.8	21.5	21.4	21.2	21.1	21.1	21.1	21.1	21.1	21.1	21.0	20.8	22.07
4	20.8	20.9	20.9	20.7	20.7	20.8	21.0	21.2	21.3	21.3	21.1	20.7	20.7	20.7	20.7	20.7	20.8	20.9	21.2	21.4	21.6	21.7	21.9	21.8	21.06
5	21.7	21.5	21.3	20.9	20.7	20.5	20.3	20.1	19.7	19.5	19.2	18.6	18.1	18.0	18.0	18.1	18.2	18.2	18.3	18.6	18.8	19.3	19.6	19.8	19.46
6	19.9	20.2	20.3	20.4	20.6	20.9	21.3	21.7	22.2	22.4	22.6	22.6	22.9	23.0	23.0	23.3	23.6	24.0	24.2	24.6	24.5	24.4	24.4	24.1	22.55
7	24.4	24.4	24.2	23.6	23.0	22.2	21.4	21.0	20.5	20.3	20.0	19.2	18.6	18.0	17.0	16.5	16.1	15.5	15.2	15.2	15.4	15.4	15.0	14.4	19.02
8	14.1	14.0	14.2	14.3	14.6	14.8	14.9	15.5	16.0	16.4	16.2	16.2	15.9	15.8	15.2	14.8	14.4	14.4	14.1	13.7	13.2	12.7	12.5	12.2	14.57
9	12.0	11.6	11.6	12.0	12.0	11.9	12.0	13.0	13.6	14.7	14.8	15.0	15.3	15.6	16.2	16.5	17.3	18.0	18.8	19.2	19.9	20.4	20.6	20.8	15.58
10	21.0	21.1	20.9	20.6	20.1	20.0	20.0	19.8	19.6	18.9	18.2	17.4	16.8	16.0	15.4	14.4	13.8	13.3	12.6	12.2	12.2	11.2	11.2	11.0	16.57
11	10.0	09.2	09.0	08.8	07.8	07.0	**06.8**	07.0	07.4	07.4	07.0	08.0	09.0	09.8	10.7	10.8	10.9	10.9	11.4	12.0	12.3	12.6	13.3	13.5	09.69
12	13.6	14.0	14.1	14.2	14.7	15.0	15.4	16.0	16.4	16.7	16.7	16.9	16.9	17.1	17.4	17.8	18.0	18.2	18.2	18.1	18.0	17.8	17.6	17.3	16.50
13	16.6	16.2	15.9	15.7	15.3	15.0	15.0	15.2	15.9	16.3	16.8	16.5	16.4	16.3	16.4	16.3	16.2	16.3	16.7	16.4	16.6	16.8	17.2	17.1	16.21
14	17.2	17.3	17.5	16.9	17.0	17.2	17.5	17.9	18.4	18.8	19.3	19.8	19.7	19.9	19.9	20.0	20.0	19.8	19.4	19.0	18.7	18.7	18.6	18.1	18.61
15	17.8	17.6	17.4	17.0	16.9	16.8	16.7	16.7	16.7	16.9	16.6	15.9	15.5	15.1	14.6	14.3	15.6	16.8	17.6	18.6	19.3	19.8	20.2	20.4	17.12
16	20.6	20.8	21.2	21.3	21.4	21.9	22.3	22.8	22.9	23.1	23.1	22.9	22.7	22.8	23.0	23.4	23.6	24.1	24.4	24.7	24.9	25.3	25.7	25.6	23.10
17	25.6	25.9	26.2	26.4	26.8	26.8	26.7	27.0	27.0	27.1	26.8	26.2	25.7	25.8	25.8	26.2	26.2	26.4	26.5	26.7	26.8	27.0	27.0	27.0	26.48
18	26.8	26.8	26.9	26.6	26.3	25.9	25.5	25.7	25.7	25.7	25.8	24.7	24.2	24.2	24.2	24.0	23.8	23.8	23.8	23.8	24.0	23.9	24.0	23.9	24.98
19	23.6	23.7	23.8	23.6	23.6	23.6	23.5	23.6	23.7	23.6	23.5	23.8	22.9	22.2	21.8	21.5	21.3	21.4	21.4	21.5	21.9	21.8	20.8	19.9	22.52
20	19.0	19.0	18.6	17.8	17.2	17.2	16.6	15.4	14.8	14.4	13.5	12.8	12.5	13.4	14.0	15.6	16.6	16.7	17.6	18.2	18.6	19.0	19.0	18.9	16.52
21	18.2	18.3	18.4	17.8	16.9	15.7	14.8	13.6	14.1	12.7	11.6	11.5	10.7	09.2	08.3	08.6	08.8	08.8	09.0	09.5	09.8	10.6	11.8	12.6	12.53
22	13.4	14.7	16.7	17.8	18.6	19.0	19.8	20.2	20.8	21.5	21.4	21.0	20.7	19.9	19.8	19.2	18.6	17.6	16.7	15.9	14.5	13.0	12.4	11.1	17.68
23	10.4	09.3	08.4	08.6	08.9	09.7	10.1	10.9	11.6	12.4	12.8	13.3	15.0	18.4	20.4	22.1	23.2	24.1	24.7	25.2	25.6	25.8	25.9	25.7	16.77
24	25.6	25.8	25.5	24.7	24.2	24.1	23.5	23.3	23.1	22.5	22.0	21.2	20.5	20.6	20.4	20.4	19.8	19.4	18.9	19.0	17.8	18.1	17.2	16.7	21.43
25	15.7	14.9	14.1	12.8	12.0	12.7	13.2	12.2	11.9	11.5	11.1	11.1	11.4	12.5	13.6	13.4	13.5	14.2	14.8	14.8	14.6	14.7	15.0	15.2	13.37
26	15.2	15.7	16.1	16.3	16.5	16.7	17.1	17.8	18.2	18.5	18.4	18.3	18.1	18.3	18.6	18.6	18.6	18.5	18.4	17.9	17.4	16.8	15.7	14.8	17.33
27	13.6	12.8	12.4	11.8	11.8	11.7	11.9	11.9	12.0	12.5	12.6	12.7	13.6	14.4	15.0	15.7	16.4	17.0	17.6	18.4	18.8	19.6	20.0	20.3	14.77
28	20.8	21.4	21.8	22.2	22.3	22.7	23.0	23.4	24.0	24.3	24.2	24.0	23.7	23.8	24.2	24.4	24.5	24.5	24.7	24.6	24.4	24.2	24.0	23.8	23.54
29	23.5	23.6	23.2	22.6	22.3	22.5	22.7	23.0	22.6	22.8	22.8	22.4	22.4	23.0	23.3	23.7	23.8	24.0	24.3	24.8	24.2	24.3	24.4	24.3	23.33
30	24.3	24.4	24.4	23.8	23.7	23.7	23.6	23.8	23.8	23.8	23.8	23.1	22.7	22.5	22.4	22.3	22.4	22.5	22.4	22.3	22.1	22.4	22.8	23.3	23.20
31	24.8	25.0	25.0	24.8	24.6	24.8	24.9	25.4	25.9	26.4	26.7	26.5	26.8	26.5	26.6	26.8	26.9	27.2	27.3	27.2	27.1	27.3	27.2	**27.6**	26.20
M.	19.47	19.47	19.46	19.25	19.14	19.15	19.14	19.28	19.43	19.52	19.33	19.09	18.95	19.04	19.16	19.27	19.39	19.52	19.64	19.78	19.78	19.76	19.77	19.65	19.39

1911. **Tägliche Maxima und Minima der Barometerstände.** Zürich.

Tag	Januar		Februar		März		April		Mai		Juni		Juli		August		September		Oktober		November		Dezember	
	Max.	Min.	Max.	Min.	Max.	Min.	Max.	Min.	Max.	Min.	Max.	Min.	Max.	Min.	Max.	Min.	Max.	Min.	Max.	Min.	Max.	Min.	Max.	Min.
1	27.7	17.9	32.8	31.2	29.3	17.0	19.7	17.7	**28.3**	15.2	20.7	16.8	17.6	**16.2**	21.7	18.9	25.7	24.4	16.8	12.6	24.7	23.4	26.2	23.5
2	17.2	12.7	32.5	26.9	**31.6**	26.1	18.2	14.3	23.1	19.9	22.7	20.9	22.0	16.5	23.9	21.7	26.4	24.7	18.1	16.6	23.8	20.8	24.7	22.9
3	12.7	11.0	27.3	23.8	27.4	26.0	14.1	11.6	20.9	19.1	22.0	18.5	**28.4**	22.8	23.5	20.9	26.0	23.8	17.9	15.5	24.5	22.0	23.2	20.8
4	13.9	10.2	27.1	25.6	26.6	20.0	13.5	11.2	19.4	15.8	23.9	20.5	28.3	27.2	21.9	19.8	25.2	23.4	17.0	13.7	25.5	23.8	21.9	20.7
5	18.6	13.9	26.9	25.4	20.0	19.1	10.7	**08.4**	21.7	17.8	25.1	23.7	28.1	26.0	21.1	18.3	24.9	23.5	19.1	17.2	23.4	17.4	21.7	18.0
6	23.4	18.7	29.9	26.5	19.6	15.2	17.5	09.7	23.1	21.3	25.6	24.4	26.0	23.6	23.4	18.2	25.5	24.4	20.4	16.4	23.8	17.6	24.6	19.9
7	29.4	23.4	30.4	29.3	18.0	15.4	17.4	14.7	22.2	19.7	26.2	24.7	25.5	24.0	24.5	22.9	25.5	23.0	21.9	15.3	25.5	23.2	24.4	14.4
8	33.2	29.5	30.9	28.3	20.0	17.6	18.7	14.7	19.4	16.2	24.9	19.6	26.6	24.9	24.5	22.5	23.4	20.4	22.0	18.6	23.2	15.8	16.4	12.2
9	32.9	26.1	30.8	25.8	20.2	18.1	19.9	15.7	15.9	14.4	19.2	11.8	26.1	23.9	23.7	21.4	20.6	18.4	20.9	19.0	15.4	12.1	20.8	11.6
10	29.5	24.1	25.8	22.6	22.4	20.4	15.3	12.2	16.4	14.6	15.3	12.8	25.6	24.4	21.6	19.1	22.3	18.7	28.2	21.2	19.1	15.0	21.1	11.0
11	28.6	14.2	23.6	22.8	21.4	18.0	20.4	15.0	16.4	14.8	17.1	15.3	26.3	25.3	19.9	18.5	22.2	20.0	**28.7**	27.4	21.0	19.0	13.5	**06.8**
12	13.6	**07.1**	26.0	23.5	18.4	12.3	21.5	19.1	16.5	14.7	17.0	15.1	25.3	23.0	20.7	19.0	22.6	21.0	27.6	23.6	19.3	16.5	18.2	13.6
13	18.3	09.2	27.4	25.6	11.6	**03.5**	23.8	19.2	15.5	**11.1**	15.3	**10.2**	23.8	21.9	21.8	20.4	23.3	21.1	23.4	20.6	27.4	17.2	17.2	15.0
14	23.7	18.3	30.9	27.8	10.3	08.3	25.4	23.6	14.7	13.0	20.5	11.6	23.3	21.8	21.9	19.8	21.7	16.1	21.6	20.4	**29.4**	26.5	20.0	16.9
15	26.6	23.8	33.7	30.9	08.6	07.6	25.4	23.2	14.5	11.3	24.8	20.2	22.4	19.7	19.5	16.2	19.0	15.1	22.7	21.4	26.1	18.1	20.4	14.3
16	33.5	26.7	**33.8**	29.7	13.6	08.7	23.0	18.2	14.4	12.1	24.8	22.0	20.3	17.8	22.0	18.6	21.1	19.1	23.1	22.1	19.5	18.0	25.7	20.6
17	**35.8**	33.5	29.4	26.4	15.9	13.6	20.3	18.1	14.5	12.0	21.7	16.6	18.4	16.6	23.0	21.6	24.5	20.6	22.9	21.2	17.5	07.7	27.1	25.6
18	**35.8**	33.3	26.6	18.6	16.7	15.8	20.5	15.9	13.3	11.7	20.4	16.8	19.3	17.2	22.5	18.9	**26.7**	24.7	23.3	21.7	07.2	**96.0**	26.6	23.8
19	33.0	30.8	17.9	12.9	16.5	13.2	17.5	14.4	15.5	12.3	19.3	14.2	23.7	19.5	18.9	15.3	25.8	19.7	24.1	21.8	03.6	98.3	23.8	19.9
20	30.5	27.8	21.8	16.1	14.7	11.3	29.0	17.6	16.3	14.9	23.2	17.8	26.6	23.6	16.6	14.0	19.7	13.3	24.4	22.6	10.9	03.3	19.0	12.5
21	27.6	24.3	25.2	22.0	16.5	15.2	**31.9**	29.2	17.9	16.3	25.3	23.2	27.1	26.3	16.0	**12.1**	13.8	**11.1**	22.5	14.0	11.2	03.9	18.4	08.3
22	27.5	24.1	24.7	20.8	17.0	15.7	31.5	26.1	18.3	17.0	24.7	21.5	26.6	24.9	14.7	12.7	16.0	13.0	15.4	13.4	05.1	03.3	21.5	11.1
23	28.8	27.5	24.4	13.0	18.2	15.7	25.9	21.2	20.8	18.1	21.2	16.2	24.8	21.9	17.6	13.1	16.4	13.6	18.1	15.2	08.3	03.8	25.9	08.4
24	30.4	28.5	19.6	**11.3**	15.6	11.0	20.8	19.5	22.6	20.8	19.6	13.9	22.5	20.2	18.9	17.0	21.6	16.5	17.7	13.5	12.3	06.6	25.8	16.7
25	31.2	29.5	20.1	14.0	10.6	04.8	20.0	16.5	22.3	17.4	21.0	18.7	22.0	19.1	21.4	18.4	24.1	21.7	13.3	06.6	12.9	11.9	15.7	11.1
26	32.2	30.2	21.7	13.6	14.4	03.7	20.0	16.1	17.1	15.1	22.7	20.7	20.8	19.1	24.6	21.3	25.8	24.1	12.7	10.1	18.2	12.0	18.6	14.3
27	32.0	30.1	23.8	21.7	16.4	14.8	20.3	12.5	20.5	17.2	28.7	22.4	22.0	20.3	25.2	22.7	26.6	25.2	10.0	**06.3**	23.1	18.2	20.3	11.7
28	30.8	28.9	21.4	17.2	16.1	13.6	16.5	12.4	20.7	18.5	**29.8**	28.4	23.3	21.3	23.0	20.8	25.7	24.4	16.0	09.0	27.0	22.6	24.7	20.8
29	28.9	25.0			13.9	09.9	13.9	10.8	18.1	15.6	28.7	24.0	23.1	20.1	23.0	21.4	24.8	22.2	27.7	16.2	**29.4**	27.2	24.4	22.3
30	27.6	23.8			17.0	09.7	14.9	09.9	16.5	14.7	23.4	17.7	21.1	18.4	23.3	21.7	24.3	11.2	28.6	25.2	29.3	26.6	24.4	22.1
31	31.0	27.6			18.4	17.3			16.7	15.2			19.2	17.6	**25.5**	23.4			24.8	22.6			**27.6**	24.6
Mittl. Max.	27.29		26.66		17.96		20.25		18.34		22.49		23.75		21.61		23.04		21.00		19.56		22.07	
Mittl. Min.	22.96		22.62		14.15		16.29		15.73		18.67		21.45		19.05		19.95		17.45		14.93		16.63	
Differenz	4.33		4.04		3.81		3.96		2.61		3.82		2.30		2.56		3.09		3.55		4.63		5.44	
Abs. Max.	35.8		33.8		31.6		31.9		23.3		29.8		28.4		25.5		26.7		28.7		29.4		27.6	
Abs. Min.	07.1		11.3		03.5		08.4		11.1		10.2		16.2		12.1		11.1		06.3		96.0		06.8	
Differenz	28.7		22.5		28.1		23.5		12.2		19.6		12.2		13.4		15.6		22.4		33.4		20.8	

1911. **Übersicht über den täglichen Gang des Luftdruckes.** Zürich.

Abweichungen vom Monatsmittel.

	Mittel 700 +	1^{00}a	2^{30}	3^{30}	4^{30}	5^{30}	6^{30}	7^{30}	8^{30}	9^{30}	10^{30}	11^{30}	12^{30}p	1^{30}	2^{30}	3^{30}	4^{30}	5^{30}	6^{30}	7^{30}	8^{30}	9^{30}	10^{30}	11^{30}	12^{30}a	Abweichung vom Tagesmittel
Januar	25.08	−.01	−.03	−.14	−.30	**−.39**	−.35	−.26	−.05	.22	**.34**	.28	.05	−.16	−.28	−.27	−.23	−.10	.12	.24	.32	.30	.30	.27	.20	0.73
Februar	24.51	**.58**	.45	.28	.13	.16	.18	.20	.36	.33	.25	.18	−.08	−.41	−.63	−.67	**−.71**	−.62	−.31	−.15	−.05	.09	.15	.12	.13	1.29
März	15.92	.29	.19	−.01	−.11	−.14	−.12	−.04	.08	.18	.18	.12	−.03	−.26	−.41	−.44	**−.48**	−.42	−.16	.05	.20	.26	.34	**.38**	.33	0.86
April	18.23	.15	.04	.05	−.02	.00	.16	.35	.37	**.46**	.41	.21	.00	−.13	−.33	−.49	−.58	**−.60**	−.49	−.25	.04	.14	.14	.17	.15	1.06
Mai	17.85	.10	.03	−.06	−.05	.13	.28	.42	**.48**	.45	.34	.22	.01	−.17	−.41	−.54	−.65	**−.67**	−.53	−.37	−.07	.18	.27	.31	.20	1.15
Juni	20.53	.16	.02	−.04	−.02	.06	.17	.30	.29	.23	.09	.06	−.05	−.27	−.41	−.48	**−.58**	−.50	−.34	−.16	.03	.28	.36	**.37**	.34	0.95
Juli	22.52	.17	.09	.08	.13	.25	.37	.48	**.51**	.41	.34	.22	.05	−.22	−.42	−.56	−.63	**−.70**	−.67	−.52	−.23	.06	.18	.31	.27	1.21
August	20.31	.08	−.02	−.05	−.02	.14	.38	.53	.56	**.58**	.49	.32	.09	−.12	−.43	−.59	−.70	**−.72**	−.70	−.45	−.10	.06	.20	.26	.32	1.30
Septbr.	21.46	.34	.26	.21	.11	.12	.25	.39	.51	**.58**	.49	.35	.10	−.11	−.40	−.54	−.64	**−.65**	−.59	−.37	−.19	−.06	−.02	−.02	−.04	1.23
Oktober	19.36	−.13	−.18	−.24	−.21	−.18	−.13	.13	.30	**.43**	.40	.30	−.01	−.28	−.40	−.44	**−.47**	−.30	−.08	.08	.21	.36	.32	.25	.22	0.90
Novbr.	17.10	−.01	.00	−.13	−.17	−.13	−.08	.10	.32	.40	**.47**	.20	−.03	−.26	**−.43**	−.42	−.37	−.26	−.07	.03	.07	.11	.13	.24	.21	0.80
Dezbr.	19.39	.08	.08	.07	−.14	−.25	−.24	−.25	−.11	.04	.13	−.06	−.30	**−.44**	−.35	−.23	−.12	.00	.13	.25	.34	.34	.37	**.38**	.26	0.82
Mittel	20.13	.15	.08	.00	−.06	−.02	.07	.20	.30	**.36**	.33	.21	−.02	−.24	−.41	−.47	**−.51**	−.40	−.31	−.13	.05	.18	.23	.25	.22	1.13

Januar 1911. $h_a = 34.5^{in}$. **Stündliche Aufzeichnungen des Anemometers.**

Tag	Mittel	0^{30}–1^{30} a		1^{30}–2^{30}		2^{30}–3^{30}		3^{30}–4^{30}		4^{30}–5^{30}		5^{30}–6^{30}		6^{30}–7^{30}		7^{30}–8^{30}		8^{30}–9^{30}		9^{30}–10^{30}		10^{30}–11^{30}		11^{30}–12^{30} p	
1	1.4	NW	0	NW	0	NW	0	SSE	1	ESE	0	ESE	0	E	0	ENE	0	ENE	0	ENE	0	NNE	0	NNW	2
2	2.5	SSW	12	S	10	S	10	S	7	S	6	SSE	7	S	0	WSW	1	WNW	0	NW	0	NW	0	NW	0
3	6.2	NW	0	NNW	0	N	0	N	0	N	0	N	0	N	0	NNE	1	NE	5	NNE	5	NE	8	NE	6
4	4.2	E	13	ENE	13	NE	12	NE	10	NE	12	E	11	ESE	3	E	8	E	5	ESE	2	E	2	E	0
5	0.3	SSW	0	S	0	S	0	S	0	S	0	S	0	S	0	S	0	S	0	S	0	S	6	S	0
6	2.4	S	0	S	0	S	0	S	0	S	0	S	0	S	0	S	0	S	0	S	4	S	10	S	9
7	0.5	SE	0	SE	0	SE	0	SE	0	SE	0	SE	0	SE	0	SE	0	SW	0	NW	0	NNW	0	NNW	0
8	0.0	SSE	0	SSE	0	SSE	0	SSE	0	SSE	0	SSE	0	SSE	0	SSE	0	SSE	0	SSE	0	SSE	0	SSE	0
9	0.0	SSE	0	SSE	0	SSE	0	SSE	0	SSE	0	SSE	0	SSE	0	SSE	0	ENE	0	NNE	0	N	1	N	0
10	1.9	NNW	1	NNW	0	SE	0	SSE	3	SSE	2	SSE	0	SSE	0	SW	9	NW	5	NW	1	NW	3	NW	2
11	2.2	NE	0	ENE	1	ENE	11	ENE	0	E	0	ENE	0	E	2	E	5	E	4	ENE	9	SSW	3	NE	6
12	2.3	SSW	0	SSW	0	SSE	0	SSE	0	S	0	S	0	S	0	S	0	S	0	S	0	S	0	SW	0
13	5.1	SSE	0	SSE	0	SSE	0	SSE	0	SSE	0	SSE	0	E	0	E	0	SE	0	SE	0	SE	0	E	0
14	10.8	NNE	11	NNE	13	NE	12	NNE	14	NE	12	NE	16	NE	17	NE	17	NE	12	NE	13	NE	14	NE	12
15	12.2	NNW	9	NNW	8	NNW	5	N	13	NNE	16	NNE	15	NE	25	NE	35	NE	25	NE	30	NE	27	N	4
16	2.9	NE	13	NNE	5	NNW	1	N	3	NNE	1	NNE	0	NNW	1	NNE	10	ESE	3	NE	10	NNE	7	NNE	4
17	1.5	ENE	2	NE	5	NNW	0	NW	0	NW	0	NE	4	ESE	4	ESE	2	ESE	3	ESE	0	ESE	0	SE	0
18	0.1	SSE	0	SE	0	SE	0	SE	0	SE	0	SE	0	SE	0	ENE	0	N	0	N	0	NNW	0	NNW	0
19	0.0	ESE	0	ESE	0	ESE	0	ESE	0	ESE	0	SE	0	SE	0	SE	0	SE	0	SE	0	SE	0	SE	0
20	1.1	SE	0	SE	0	SE	0	SE	0	SE	0	SE	0	SE	0	SE	0	SE	0	SE	0	SE	0	SE	0
21	0.6	E	0	E	1	ESE	0	E	0	ENE	1	ENE	0	ENE	1	ESE	1	SE	4	SE	2	SSE	0	SSE	0
22	0.1	SW	0	SW	0	SSW	0	SSW	0	SSW	0	WSW	0	W	0	WSW	0	WSW	0	WNW	0	WNW	0	WNW	0
23	0.5	ENE	0	NNE	0	ENE	0	NE	0	ENE	0	E	0	ENE	0	ENE	0	ENE	0	NE	0	NE	0	NNE	1
24	0.5	WNW	0	WNW	0	WNW	0	WNW	3	WNW	0	WNW	0	W	0	W	0	W	0	WSW	0	WSW	0	W	0
25	1.0	S	0	SSE	0	SSE	0	SSE	0	SSE	0	SSE	0	SSE	0	E	0	SSE	0	SE	0	SSE	2	SSE	2
26	1.3	SE	0	SE	0	SE	0	SE	0	SE	0	SE	0	SE	0	SE	0	SE	0	SE	0	SE	0	SE	0
27	0.0	SE	0	SE	0	SE	0	SE	0	SE	0	SE	0	SE	0	SE	0	SE	0	SE	0	SE	0	SE	1
28	1.3	SE	0	SE	0	SE	0	SE	0	ENE	0	N	0	NE	0	NE	0	NNE	0	N	0	WSW	0	N	0
29	1.6	E	0	E	0	ENE	0	WNW	0	WNW	1	ESE	0	ESE	0	NNW	1	NNW	1	NE	1	SE	1	ENE	1
30	12.9	ENE	4	ENE	9	ENE	13	NNE	13	NNE	12	NNE	9	NNE	15	NE	11	NNE	13	NNW	6	NE	13	ENE	19
31	14.2	NE	10	NNE	5	NE	9	ENE	12	ENE	24	ENE	21	ENE	19	ENE	16	NE	14	ENE	19	ENE	31	ENE	20

Februar.

1	2.9	NE	10	NNE	7	NE	4	NE	0	NE	0	NE	0	NE	0	E	0	ESE	0	ESE	0	ENE	9	ENE	5
2	1.3	SE	0	SE	0	SE	0	SE	0	SE	0	SE	0	SE	0	SE	0	SE	0	SE	0	S	0	SW	0
3	5.6	NNE	3	E	3	S	0	SSW	2	WSW	7	NW	8	W	5	WNW	10	WNW	5	WNW	1	NW	4	NW	10
4	6.6	E	5	ENE	18	NE	12	NE	13	NE	17	NNE	10	NE	10	NNE	6	NNE	5	ENE	2	NNE	17	NE	7
5	0.7	ESE	0	ESE	0	ESE	0	ESE	0	ESE	0	ESE	0	ESE	0	ESE	0	ESE	0	ESE	0	SSE	0	SW	0
6	6.8	S	0	S	0	S	0	SE	0	ESE	0	ESE	0	ENE	0	NNE	0	NE	0	ENE	5	NE	15	NE	16
7	0.5	WNW	1	E	0	N	0	ENE	0	ENE	0	ENE	0	ENE	0	ENE	0	SE	0	S	0	SW	0	NNW	0
8	3.0	NNW	1	WSW	8	SSW	10	S	0	SSW	3	WSW	9	W	7	NW	7	NNW	6	NW	1	NNE	1	NE	0
9	2.9	N	3	ENE	5	SSE	3	WNW	0	NW	1	N	0	N	0	NE	9	S	3	NE	5	ENE	6	NE	9
10	1.0	E	0	E	0	E	0	E	0	ESE	0	ESE	0	ESE	0	ESE	0	ESE	0	ESE	0	ESE	0	ESE	0
11	4.7	SE	0	SE	0	SE	0	SE	0	SE	0	SE	0	SE	0	SE	0	SE	3	SE	7	SE	1	SSW	1
12	4.6	S	1	SSE	2	SE	4	SE	1	SE	0	SE	2	SE	5	SE	2	SE	7	SSW	6	S	1	S	0
13	4.7	NNW	6	NNW	9	NNW	10	N	10	N	8	N	10	N	8	N	8	N	2	N	1	N	0	N	0
14	5.1	ENE	10	ENE	2	NE	2	NE	3	NE	7	NE	7	NE	7	NE	5	NE	5	NE	4	ENE	3	NNE	5
15	6.0	ENE	2	W	3	SW	6	WSW	7	WSW	2	WSW	10	WSW	13	SW	10	SW	13	SW	13	SW	13	SW	7
16	2.9	NNW	1	N	1	ENE	0	ENE	0	E	1	ESE	0	N	0	N	0	N	0	N	0	N	0	NNW	2
17	24.8	SW	7	W	25	WSW	21	W	19	W	22	WSW	25	W	36	W	29	W	37	W	36	W	37	W	36
18	12.6	SSW	20	SSW	19	SSW	14	SW	18	WSW	20	W	14	SW	15	SW	10	SW	11	SSW	11	SW	5	SW	8
19	32.5	SW	20	SW	22	SSW	14	SW	14	SSW	7	SW	13	WNW	19	W	34	W	50	W	35	WNW	30	WNW	25
20	22.3	WSW	31	WSW	31	SW	34	WSW	29	WSW	32	W	28	W	22	WNW	11	NW	5	WNW	16	WNW	21	WNW	23
21	12.6	WSW	30	W	34	W	31	W	19	W	20	WNW	15	WNW	11	WNW	5	WSW	7	W	16	WSW	14	WSW	21
22	20.8	S	5	S	9	SSW	12	SSW	4	SSW	0	SSW	1	S	8	SSE	9	SE	1	SE	5	NE	15	W	30
23	18.3	S	4	SW	7	WSW	2	NW	3	NNW	0	WNW	1	WNW	0	WSW	2	S	1	S	0	S	7	SW	14
24	39.1	WSW	34	WSW	27	WSW	45	WNW	43	WNW	22	W	31	W	35	W	47	W	52	W	53	W	61	W	56
25	30.2	WSW	27	WSW	29	WSW	27	WSW	27	WSW	28	WSW	32	WSW	32	SW	27	SW	23	SW	29	SW	30	SW	24
26	33.3	W	30	W	32	W	30	W	28	W	30	W	27	W	35	W	33	W	27	W	28	W	46	W	59
27	12.0	W	8	WNW	13	WNW	16	W	12	W	13	WNW	8	WSW	9	W	17	WNW	11	W	20	W	32	W	29
28	3.9	SE	8	SE	9	SE	10	SE	12	SE	12	SE	7	SE	5	SE	1	SSE	0	SSE	0	SW	0	SW	0

Windrichtung und Geschwindigkeit (Kilometer pro Stunde). Januar. Zürich.

Tag	12^{30} p-1^{30}	1^{30}-2^{30}	2^{30}-3^{30}	3^{30}-4^{30}	4^{30}-5^{30}	5^{30}-6^{30}	6^{30}-7^{30}	7^{30}-8^{30}	8^{30}-9^{30}	9^{30}-10^{30}	10^{30}-11^{30}	11^{30}-12^{30} a.	Summe
1	NNW 3	NNW 4	NNW 2	NW 6	WNW 6	WNW 3	W 0	SSW 0	S 0	SW 0	WSW 0	SSW 7	34
2	NW 0	NW 1	NW 3	NW 2	NW 0	NW 0	NW 0	NW 0	NW 0	NW 0	NW 0	NW 0	59
3	NE 10	NE 7	NE 7	NE 10	NE 11	NE 10	NE 9	ENE 11	ENE 12	ENE 11	E 13	ESE 12	148
4	E 0	E 0	ENE 0	NE 0	NW 2	NW 0	NW 0	NW 0	NW 0	WSW 5	SSW 2	SSW 0	100
5	S 0	S 0	S 0	S 0	S 0	S 0	S 0	S 0	S 0	S 0	S 0	S 0	6
6	S 9	SSW 8	SSW 6	SSW 7	S 4	SSE 0	SSE 0	SSE 0	SE 0	SE 0	SE 0	SE 0	57
7	NNW 1	W 1	SSW 7	SSE 2	SSE 0	SSE 0	SSE 0	SSE 0	SSE 0	SSE 0	SSE 0	SSE 0	11
8	SSE 0	SSE 0	SSE 0	SSE 0	SSE 0	SSE 0	SSE 0	SSE 0	SSE 0	SSE 0	SSE 0	SSE 0	0
9	N 0	N 0	N 0	N 0	ENE 0	SE 0	SE 0	SE 0	SE 0	SE 0	SE 0	ENE 0	1
10	NW 0	NNW 0	N 0	NNE 6	NNE 9	NNE 5	NNE 0	NNE 0	NNE 0	NNE 0	NNE 0	NNE 0	46
11	NE 4	NNE 3	N 4	WNW 1	WSW 0	WSW 0	SSW 0	SSE 0	SSE 0	SSE 0	SSE 0	S 0	53
12	SW 0	SW 2	SSW 4	S 8	S 8	SSE 12	SSE 12	SSE 6	SSE 2	SSE 0	SSE 0	SSE 0	54
13	N 7	N 7	NNW 10	N 9	N 9	NNE 3	NNE 4	NNE 18	NE 20	NNE 16	NNE 10	NNE 10	123
14	NE 8	NE 10	NE 14	NE 9	NE 7	NE 10	NE 10	NNE 9	NNE 7	NNE 3	NNE 3	NNW 7	260
15	NNE 6	N 3	N 2	NNW 4	N 3	NNE 4	NE 3	NNE 6	NNE 11	NE 10	NE 16	ENE 12	292
16	NE 3	NE 1	NE 1	ENE 2	ENE 2	E 2	E 1	E 0	E 0	E 0	E 0	E 0	70
17	ESE 4	ESE 8	SE 3	SSW 0	SSW 0	SE 0	SE 0	SE 0	SE 0	SE 0	ESE 0	SE 0	35
18	NNW 0	NNW 1	NNW 0	NNW 0	ENE 1	SE 0	SE 0	SE 0	SE 0	ESE 0	ESE 0	ESE 0	2
19	SE 0	SE 0	SE 0	SE 0	SE 0	SE 0	SE 0	SE 0	SE 0	SE 0	SE 0	SE 0	0
20	SE 0	SSE 2	W 2	N 4	E 5	E 2	SE 5	ESE 5	SE 0	SE 0	ESE 1	ESE 0	26
21	E 0	E 2	E 2	E 0	ESE 0	SE 0	ESE 0	ESE 0	E 0	SSE 0	SSW 0	SSW 0	14
22	NNW 1	NW 0	WSW 1	WSW 0	SW 0	SW 0	W 0	NNW 0	NNE 0	NNE 0	NE 0	NE 0	2
23	N 0	N 8	N 3	N 0	N 0	NW 0	NW 0	N 0	N 0	N 0	N 0	NNW 0	12
24	WSW 0	WSW 0	WSW 0	WSW 0	WSW 0	WSW 4	W 2	W 2	WSW 0	WSW 1	WSW 0	SSW 0	12
25	S 9	SSW 1	S 3	S 5	WSW 3	NNW 0	NNW 0	N 0	ESE 0	ESE 0	ESE 0	SE 0	25
26	SE 0	S 2	S 10	S 8	S 8	SSE 3	SE 0	SE 0	SE 1	SE 0	SE 0	SE 0	32
27	SE 0	SE 0	SE 0	SE 0	SE 0	SE 0	SE 0	SE 0	SE 0	SE 0	SE 0	SE 0	1
28	S 5	S 12	S 5	S 0	S 0	E 2	E 0	ENE 0	E 3	E 1	E 2	E 1	31
29	NNW 3	NE 1	SSW 2	SSW 0	SSW 0	S 2	S 1	S 1	S 0	SW 0	ENE 8	E 14	38
30	ENE 21	ENE 20	ENE 24	ENE 24	ENE 20	NE 11	NE 15	ENE 16	NE 11	N 3	N 0	NE 8	31[illegible]
31	ENE 31	ENE 34	E 14	NE 16	NE 10	NE 6	NE 5	ENE 9	ENE 6	NE 0	NW 0	N 9	34[illegible]

Februar.

1	NE 6	NNE 8	NE 5	NE 3	NNE 3	ESE 5	ENE 4	ENE 0	E 0	SE 0	ESE 0	SE 0	69
2	NW 3	NE 7	ENE 6	E 2	SE 1	SSE 1	SSE 3	SSE 1	SSE 0	SSE 5	SSE 0	SE 1	3[illegible]
3	NNW 5	NNW 9	NNW 7	NNW 6	N 8	N 0	N 0	N 1	NE 6	NE 7	NE 11	ENE 17	135
4	N 4	NE 10	NNE 8	NNE 5	NNE 7	NE 0	ENE 0	E 0	NE 2	ESE 0	ESE 0	ESE 0	158
5	SSW 0	S 1	S 6	WSW 3	NW 7	NNW 1	NNW 0	NNW 0	NNW 0	NNW 0	NW 0	SSW 0	18
6	NNE 10	NE 11	ENE 9	ENE 13	ENE 15	ENE 18	ENE 13	ENE 4	ENE 7	ENE 12	ENE 14	E 1	103
7	NNW 0	NW 0	W 1	SSW 4	SSW 0	SSW 0	SSW 0	SSW 0	SSW 0	S 2	S 1	SW 4	13
8	WNW 0	WSW 4	SSE 2	E 0	E 0	ESE 1	SE 5	SE 1	ESE 0	ENE 2	NE 0	NNE 3	71
9	NNE 8	NNE 6	NNE 4	NE 4	ENE 2	NNE 1	NNE 0	NNE 0	ENE 0	E 0	E 0	E 0	99
10	S 0	SSW 1	SSW 0	SSW 0	S 2	SSE 4	SSE 8	SSE 7	SSE 2	SE 0	SE 0	SE 0	24
11	SW 5	WSW 15	WSW 16	SSW 5	S 7	S 1	S 3	S 11	S 13	SSE 12	SSE 11	S 2	113
12	W 0	NW 5	NW 13	NW 12	NW 10	NW 3	NW 3	NW 7	NW 3	NNW 8	NNW 8	NNW 8	111
13	N 0	N 4	N 5	N 1	NNE 1	NNW 0	NE 0	N 2	ENE 3	NE 6	ENE 7	ENE 12	113
14	NE 3	ENE 3	ENE 2	NE 5	ENE 4	NE 4	NE 6	E 0	E 7	E 15	E 4	ENE 9	122
15	SSW 10	SSW 7	WSW 4	SSW 7	SSW 6	W 5	NE 0	SSE 0	SSW 0	SW 3	SSE 3	E 1	145
16	NNW 2	NNW 2	W 5	SSW 2	SW 4	SSW 13	SW 5	SSW 11	SW 5	SSW 5	SW 5	SSW 6	7[illegible]
17	WSW 27	WSW 40	W 38	W 37	W 33	NW 20	NNW 19	NNW 15	NNW 11	NNW 3	WSW 10	SSW 12	595
18	SW 14	WSW 14	W 13	WNW 14	WSW 14	W 13	SW 8	SW 7	SW 9	SSW 15	W 13	SW 4	3[illegible]
19	WNW 23	WNW 36	W 52	WSW 49	WSW 53	W 45	WSW 47	WSW 45	WNW 39	W 44	W 34	W 31	781
20	WNW 19	WNW 22	WNW 21	WNW 21	WNW 20	WNW 13	W 11	WSW 22	W 23	WSW 27	WSW 27	WSW 27	539
21	WSW 21	WSW 13	WSW 9	W 11	WNW 11	NW 6	NW 1	NW 0	NW 0	NW 0	WSW 2	S 5	302
22	W 34	WSW 44	WSW 47	WSW 47	W 42	W 33	W 36	WSW 39	WSW 32	W 31	WNW 14	SW 1	490
23	SW 15	W 27	WSW 33	WSW 27	WSW 30	WSW 39	WSW 26	WSW 37	WSW 35	WSW 45	W 48	WSW 37	44[illegible]
24	WNW 50	W 39	W 36	WSW 44	WSW 47	WSW 42	WSW 35	W 32	WSW 31	WSW 27	WSW 20	WSW 29	938
25	SW 22	SW 28	WSW 35	WSW 32	WSW 35	WSW 21	SW 33	WSW 37	WSW 40	W 41	W 35	W 31	725
26	WSW 62	W 52	W 41	W 45	WNW 42	WNW 45	WNW 24	NW 23	NW 17	WNW 22	WNW 15	W 11	8[illegible]
27	W 19	WNW 14	WNW 13	W 14	WNW 8	NW 2	NNE 6	E 1	SE 3	SE 3	SE 9	SE 8	288
28	SSW 3	SSW 2	S 0	S 0	S 1	SSE 4	SSE 3	SSE 5	SSE 7	SSE 1	SSE 2	S 2	94

März 1911. $h_a = 34{\cdot}5^m$. **Stündliche Aufzeichnungen des Anemometers.**

Tag	Mittel	0^{30}–1^{30}a	1^{30}–2^{30}	2^{30}–3^{30}	3^{30}–4^{30}	4^{30}–5^{30}	5^{30}–6^{30}	6^{30}–7^{30}	7^{30}–8^{30}	8^{30}–9^{30}	9^{30}–10^{30}	10^{30}–11^{30}	11^{30}–12^{30}p
1	16.9	SSE 13	S 4	SSW 3	W 10	W 20	W 16	WSW 20	SW 31	W 29	W 24	W 30	WSW 28
2	22.0	N 4	N 6	NNE 0	E 0	ESE 0	ESE 0	SE 2	SSE 0	SW 0	WSW 11	SW 25	WSW 28
3	5.3	W 31	NW 25	NNW 6	NNE 0	E 0	ENE 7	SE 0	SSE 8	SSE 7	E 7	WSW 10	SSE 7
4	0.5	SSE 0	SW 0	SW 1	SSE 4	SSE 7	SSE 0	SSE 0	SSE 0	SSE 0	SSE 0	SSE 0	SSE 0
5	5.4	WNW 1	WNW 6	WNW 2	NNW 1	NW 17	NW 15	NW 13	W 2	S 4	S 0	S 13	S 15
6	9.5	NE 0	NE 0	NE 0	NE 0	ENE 1	SSW 0	E 0	E 3	SE 0	SE 1	NNE 10	NE 12
7	3.4	N 2	NNW 4	NNW 1	N 4	NNW 0	N 0	N 0	N 0	N 1	NE 10	NE 10	NE 9
8	1.8	ENE 0	ENE 0	ENE 0	ENE 0	ENE 0	N 0	N 0	N 0	N 0	N 0	N 2	N 0
9	2.9	NNW 0	NNW 0	NNW 0	NNE 0	E 0	ENE 4	NE 4	NNW 1	SSE 1	ESE 3	NE 5	NNE 7
10	1.1	N 0	NNW 0	W 0	NW 0	N 0	N 0	SE 0	WSW 1	WNW 5	WNW 1	SW 3	SSW 1
11	1.7	SSE 0	SSE 0	SSE 0	SSE 0	SSE 0	SSE 0	SSE 0	SSE 0	SSE 0	WSW 1	WNW 5	WNW 6
12	2.1	S 0	S 0	S 0	S 0	S 0	S 0	SSE 0	SE 0	ENE 4	N 0	W 2	SSW 3
13	21.1	SSE 10	SSE 12	SSE 9	SSE 15	SSE 5	SE 7	SE 4	NE 3	NNW 4	NW 3	W 20	SW 10
14	14.5	SW 25	SW 23	SW 22	SW 25	SW 27	WSW 23	WNW 15	WNW 5	NW 9	W 5	WNW 10	W 21
15	11.3	WNW 4	W 3	W 4	WNW 5	WNW 3	WNW 2	WNW 7	WNW 7	W 13	W 17	WSW 21	W 22
16	18.2	S 7	SW 0	SW 6	SSW 11	S 10	S 13	SSW 15	SSW 16	SSW 16	WSW 20	SW 31	WSW 31
17	5.9	S 8	S 9	SSE 5	SE 3	SE 0	SE 0	E 1	NNE 3	SSE 4	S 10	SW 10	W 4
18	1.6	S 0	SSE 0	E 0	E 0	E 0	ESE 1	NE 0	NW 0	NW 0	NW 4	NNW 3	NE 2
19	8.3	SSE 0	SSE 0	ESE 1	ENE 1	E 0	N 0	N 0	N 0	N 1	NW 1	NNW 9	NE 6
20	9.6	NW 11	NW 14	NNW 14	NNW 13	NNW 7	NNW 2	SSW 1	SE 2	NE 3	NE 11	N 14	NE 18
21	4.0	ENE 5	SE 4	SSE 0	SSE 0	SSE 0	ESE 1	ESE 0	ESE 0	SSE 0	NW 1	ENE 1	E 8
22	2.1	ESE 0	ESE 0	ESE 0	ESE 0	ESE 0	ESE 0	ESE 0	NE 2	NNW 0	NNW 0	NNW 5	NNW 7
23	0.1	ESE 0	ENE 0	ENE 0	E 0	NNE 0	N 0	N 0	NE 0	SE 0	S 0	S 0	SW 0
24	5.0	N 0	N 0	NNE 0	ENE 0	ENE 0	ENE 0	ENE 0	NNE 0	NNW 0	NNW 0	WNW 0	WSW 0
25	11.7	S 11	S 10	SW 16	WSW 26	WSW 22	WSW 24	SW 24	WSW 20	W 11	WNW 12	NNW 22	NNW 11
26	11.7	NNW 0	NNW 8	NNW 6	NNW 7	NNW 8	WNW 5	WNW 5	WNW 7	WNW 12	WSW 8	W 8	WSW 10
27	4.1	SSW 0	S 0	SE 0	SE 0	SE 0	SE 0	SE 0	SE 0	ESE 3	ENE 1	NE 9	NE 9
28	4.5	NW 0	NW 0	NW 0	NW 0	NW 0	NW 0	NW 1	NW 0	WNW 5	WNW 5	NNE 2	ESE 8
29	4.0	SSE 7	SSE 1	WSW 2	SSE 4	S 1	SW 0	SW 0	WNW 1	SW 0	S 1	WSW 4	WNW 1
30	6.0	SSE 3	SSE 7	WSW 3	NNW 8	NNW 8	NNW 2	NW 4	N 2	N 1	NNW 1	SSW 2	NNW 7
31	3.8	SSE 4	SE 4	ENE 0	ENE 0	SE 1	S 1	S 2	SSE 0	S 1	S 8	SSW 6	SSW 2

April.

Tag	Mittel	0^{30}–1^{30}a	1^{30}–2^{30}	2^{30}–3^{30}	3^{30}–4^{30}	4^{30}–5^{30}	5^{30}–6^{30}	6^{30}–7^{30}	7^{30}–8^{30}	8^{30}–9^{30}	9^{30}–10^{30}	10^{30}–11^{30}	11^{30}–12^{30}p
1	3.7	S 0	S 0	S 0	S 0	SW 0	WNW 0	NE 0	SE 0	S 1	S 0	WSW 0	SW 7
2	3.2	SSE 0	SSE 0	SSE 0	SSE 0	SSE 0	SSE 0	SSE 0	SSE 0	SW 1	NW 5	NW 4	NW 6
3	14.9	S 13	S 7	S 4	S 0	S 0	S 0	S 0	S 0	SW 2	WNW 30	WNW 32	WNW 30
4	16.2	NNE 13	N 3	NNE 8	NNE 2	NNE 0	NNE 10	NNE 17	NE 19	NE 18	NE 24	NE 32	NE 23
5	14.2	NE 13	NE 14	NE 18	NE 20	NE 18	NE 17	NE 16	NNE 16	NNE 13	NE 14	NE 16	NE 12
6	13.1	NE 15	NE 15	NNE 14	NNE 17	ENE 25	NE 24	NE 15	NNE 8	NE 8	NNE 15	NNE 20	NNE 18
7	13.0	NE 7	ENE 18	ENE 2	NNE 0	ENE 6	NE 5	NE 10	NE 9	NNE 14	NE 13	NE 14	NE 17
8	10.3	N 7	WNW 2	NE 4	NE 7	N 6	NNW 4	ESE 2	NNE 3	NNE 9	NNE 12	NNE 14	NE 13
9	13.4	ENE 23	NE 9	NNE 10	NNE 3	NE 13	NE 6	NE 1	N 3	NE 16	ENE 21	ENE 23	NE 14
10	5.6	NE 4	NNE 7	NE 4	NNW 6	NW 9	NNW 6	NNW 0	NNW 4	NW 0	W 0	WNW 4	E 5
11	9.9	E 1	E 1	NNE 0	NNW 0	NNW 0	NNE 1	N 0	NNE 5	NE 2	NE 7	NE 17	ENE 16
12	5.0	NE 18	ENE 3	NNW 2	NNW 0	NNE 0	ESE 0	ESE 0	ESE 0	NNE 0	SW 6	W 3	S 9
13	9.3	NW 15	NNW 14	NW 12	NW 6	NW 8	NNW 3	N 11	NNE 17	NNE 19	N 13	N 10	NNW 12
14	11.7	NE 1	NE 3	ENE 10	ENE 15	NE 14	NE 11	NE 13	NE 12	ENE 17	ENE 21	NE 19	ENE 15
15	3.8	SE 1	SE 0	SE 0	SE 0	SE 0	SE 0	SE 0	SE 0	NE 1	NW 2	W 5	NW 1
16	6.1	SSE 4	SE 6	SE 1	SE 0	SE 0	SE 0	SE 0	SSE 1	S 0	W 1	SW 3	SW 6
17	10.6	SE 1	SW 5	SW 13	SSE 2	S 3	NE 2	NNW 1	W 7	SSW 7	WSW 28	W 33	W 23
18	6.8	S 4	SSE 11	SSE 8	SSE 10	SSE 8	SSE 6	SSE 2	SSE 0	S 1	S 0	WSW 4	SE 10
19	9.1	SSE 5	SSE 1	SSE 1	SSE 0	SSE 0	SSE 0	SSE 0	SSE 0	NNW 3	NW 6	WNW 5	SW 6
20	9.6	WNW 14	NW 14	NW 15	NW 13	NW 12	WNW 12	NW 15	NW 19	WNW 17	NW 16	NW 27	NW 11
21	8.0	S 6	S 0	S 2	S 1	S 0	S 0	S 0	S 0	E 5	ENE 9	ENE 15	ENE 18
22	3.8	ENE 1	ENE 0	ESE 2	SE 0	SE 0	ESE 0	ESE 0	SW 0	ENE 4	NE 3	NNE 10	NE 7
23	3.2	SE 0	SE 0	SE 0	SE 0	SE 0	SE 0	SE 0	SSE 2	S 0	SW 0	W 1	WSW 5
24	8.7	SSE 7	SSE 1	SSE 0	SSE 0	SSE 0	SSE 0	SSE 0	SSE 0	SW 3	NW 9	NW 4	W 9
25	3.5	NE 7	NW 7	N 13	ENE 2	ENE 1	N 5	S 3	ENE 1	NNE 3	NE 3	E 6	NNE 4
26	12.5	ESE 0	ENE 0	NNW 0	NNE 0	ENE 0	ENE 0	E 0	S 0	S 4	S 9	WSW 9	NW 13
27	21.9	WNW 24	NW 10	WNW 4	NW 1	SSW 1	SSW 0	SSW 0	S 7	S 10	SSW 9	SSW 10	SW 17
28	34.1	W 30	W 46	W 40	W 41	W 48	WSW 47	WSW 53	WSW 42	WSW 36	WSW 41	WSW 49	WSW 41
29	17.5	S 10	SSE 8	SSE 11	SSE 11	SSE 3	SSE 2	SW 18	WSW 29	W 14	W 19	WNW 18	W 29
30	9.0	WSW 9	WSW 11	WSW 16	W 16	SW 4	SW 0	SSW 4	S 5	SW 5	SSW 10	SSW 14	W 10

Windrichtung und Geschwindigkeit (Kilometer pro Stunde). **März.** Zürich.

Tag	12^{30}p–1^{30}	1^{30}–2^{30}	2^{30}–3^{30}	3^{30}–4^{30}	4^{30}–5^{30}	5^{30}–6^{30}	6^{30}–7^{30}	7^{30}–8^{30}	8^{30}–9^{30}	9^{30}–10^{30}	10^{30}–11^{30}	11^{30}–12	
1	WSW 30	W 37	WNW 35	NW 29	NW 20	NNW 9	NNW 2	NW 12	NW 1	NNW 0	NW 0	NNW 3	406
2	WSW 31	WSW 32	SW 35	SW 36	WSW 32	WSW 37	WSW 44	WSW 41	WSW 46	WSW 37	W 37	W 44	528
3	SSW 8	SSE 0	SSE 0	SSE 0	SSE 0	SSE 0	SSE 8	SSE 2	SSE 0	SSE 1	SSE 1	SSE 0	128
4	SSE 0	SSE 0	SSE 0	SSE 0	SSE 0	S 1	S 0	SSE 0	SSE 0	SSE 0	SW 0	WNW 0	13
5	SSW 8	WSW 10	WSW 6	SSW 9	SW 3	WSW 0	WSW 0	NW 4	NNE 1	NNE 0	NE 0	NE 0	130
6	ENE 14	NE 16	NE 15	NE 13	NE 15	NE 17	ENE 18	ENE 25	ENE 25	ENE 23	NE 11	ENE 8	227
7	NNE 5	NNW 7	ENE 2	ENE 2	NNE 4	NE 10	NE 10	NNE 0	N 0	N 0	NNE 0	ENE 1	82
8	WNW 0	SSW 5	S 5	S 10	S 6	S 5	S 0	SW 0	SW 0	SSE 4	E 6	E 0	43
9	NNE 9	ENE 8	NE 3	NE 1	N 4	NNE 6	NE 10	NE 0	NNE 0	N 0	N 0	N 3	69
10	SW 3	WSW 2	SW 3	WSW 2	SW 4	SW 0	SW 0	SW 0	SSE 0	SSE 0	SSE 0	SSE 0	25
11	WNW 5	WNW 4	WNW 5	NW 5	WNW 6	WNW 1	WNW 0	WNW 0	WNW 0	SW 2	S 0	S 0	40
12	SW 0	SSW 8	S 12	S 8	S 0	S 0	S 0	S 0	SSE 0	SSE 0	SSE 6	SSE 6	49
13	W 27	WSW 33	W 48	WSW 44	WSW 48	WSW 43	W 31	W 29	WNW 28	W 23	WSW 24	SW 27	507
14	WNW 27	WNW 26	WNW 19	WSW 20	WNW 22	NW 18	NW 4	WNW 1	SW 0	S 0	WNW 0	WSW 2	349
15	W 22	WSW 24	W 26	W 20	WNW 15	W 14	NE 10	SSE 4	S 6	SSE 9	SSE 6	S 8	272
16	W 31	W 30	W 28	W 23	WNW 24	W 21	W 17	W 16	WSW 21	WSW 22	SW 17	SSW 12	438
17	WNW 13	WNW 7	NW 5	NW 7	N 9	NNE 10	NE 16	ENE 13	ENE 2	ENE 2	ESE 0	SE 0	141
18	NNW 2	NNW 4	NNW 2	NW 2	SW 4	SSW 3	SSE 10	SSE 1	SSE 1	SSE 0	SSE 0	SSE 0	39
19	NE 7	NE 11	ENE 16	ENE 17	ENE 16	ENE 17	ENE 17	ENE 20	ENE 25	NE 15	N 10	N 10	200
20	NE 15	NE 17	NE 14	NE 17	NE 15	ENE 22	ENE 2	SE 0	ESE 0	ENE 5	NNE 11	N 2	230
21	E 8	WSW 4	SW 1	SSW 9	S 5	E 2	SE 16	SE 12	SE 11	SSE 8	SSE 0	SE 1	97
22	WNW 8	NW 3	N 2	NW 4	NNW 6	N 8	NNE 6	ENE 0	E 0	SE 0	SE 0	E 0	51
23	WNW 0	NW 0	NW 1	NNW 1	NNW 1	NNW 0	NNE 0	ENE 0	ENE 0	NE 0	N 0	N 0	3
24	NW 4	NW 8	W 9	SW 18	SSW 3	W 18	SW 13	SSW 15	SSW 10	SW 8	SW 11	W 2	119
25	NNW 5	NW 7	NW 7	NW 2	NW 4	NW 10	NW 14	NW 12	NW 7	NW 2	NW 1	NW 0	280
26	W 17	W 27	W 20	WSW 25	W 25	W 21	W 12	WSW 13	SW 9	SSW 10	SSW 7	SSW 11	281
27	NE 13	NE 9	NNE 8	NNE 6	ENE 14	ENE 17	N 10	NNW 0	NW 0	NW 0	NW 0	NW 0	99
28	ESE 9	S 3	SSW 3	SW 4	S 2	S 9	SSE 18	S 12	S 15	S 8	SW 3	ESE 1	108
29	S 1	S 11	SSE 15	SSE 3	SSE 1	SSE 4	S 9	SSE 3	SSE 12	S 6	SSE 9	S 1	97
30	NW 15	W 19	SW 15	WSW 10	SW 8	SW 6	S 2	SSW 3	WNW 11	NNE 3	NE 1	SE 4	145
31	NW 2	W 9	W 21	W 15	W 12	WSW 4	WSW 0	WSW 0	SW 0	S 0	S 0	S 0	92

April.

1	SW 10	SW 9	WSW 0	S 0	ESE 2	S 13	NW 15	N 20	SSE 11	SSE 0	SSE 0	SSE 0	88
2	NNW 0	E 3	NNE 4	N 17	NW 11	NNW 7	W 1	SSW 0	SSW 2	S 6	S 0	S 9	76
3	NW 30	NW 31	NW 29	WNW 25	WNW 15	WNW 16	WNW 13	NW 18	N 13	NNE 22	NNE 19	NNE 9	358
4	ENE 21	ENE 27	ENE 27	ENE 28	ENE 24	ENE 18	NE 18	NE 11	NE 8	NE 14	NE 14	NE 10	351
5	NE 14	NE 12	NE 8	NE 9	NE 12	NE 15	NE 14	NE 12	NE 13	NE 15	NE 15	NE 15	341
6	NE 12	NNE 10	NNE 9	NNE 8	NNE 6	NE 12	NNE 10	NE 12	NE 11	NE 9	ENE 14	ENE 8	315
7	NE 20	NE 19	NE 14	NNE 9	NNE 10	NNE 10	NNE 8	NNE 12	NE 29	NE 27	NE 23	NE 17	313
8	NE 19	NE 15	NE 17	NE 12	ENE 10	NE 9	NE 17	NE 10	NE 9	NE 12	NE 16	ENE 18	247
9	ENE 17	NE 17	NE 18	ENE 16	NE 18	NE 17	NE 14	NE 6	ENE 9	NE 17	ENE 16	ENE 14	321
10	S 9	SSW 10	SSW 8	SW 7	SE 5	E 5	ESE 8	E 14	ENE 9	ENE 5	ESE 2	ENE 3	134
11	E 17	ENE 15	NE 16	ENE 15	NE 17	NE 14	NE 15	ENE 15	ENE 18	ENE 16	ENE 19	ENE 10	237
12	SW 13	WSW 7	NW 6	NW 5	W 6	SW 12	WSW 8	WNW 0	NW 0	NW 3	NW 9	NW 11	121
13	NNE 6	N 10	N 15	NNE 14	NNE 8	NE 8	NNE 6	NE 7	NE 3	ENE 4	NE 1	NNE 1	223
14	ENE 17	NE 15	ENE 14	NE 15	NE 16	ENE 11	ENE 10	ENE 14	ENE 15	ENE 1	ENE 0	NE 1	280
15	WNW 4	SW 5	SW 6	SW 5	SW 2	SW 0	SW 0	S 1	SSE 14	SSE 17	SSE 15	SSE 13	92
16	SSW 8	SSW 13	SW 18	SW 23	W 23	W 12	WSW 10	SW 11	SW 4	SSE 2	S 0	WSW 1	147
17	WSW 20	WSW 22	WSW 13	W 17	WSW 14	WSW 16	W 13	W 6	WNW 4	W 3	SW 1	SE 1	255
18	ENE 10	ESE 9	WSW 8	SW 10	SW 8	SW 2	S 7	SSE 11	SSE 11	SSE 3	SSE 10	SSE 9	162
19	SW 8	SW 8	WNW 25	WNW 20	NW 19	NW 17	NW 15	NW 19	NW 19	NNW 15	NW 13	NW 14	219
20	WNW 13	WNW 6	WNW 10	W 9	SSW 0	WSW 5	WSW 5	SW 0	SW 1	S 0	S 0	SSE 7	231
21	ENE 17	ENE 22	ENE 20	E 18	ENE 14	ENE 10	ENE 1	E 0	E 5	E 11	E 9	ENE 10	193
22	ENE 13	ENE 13	ENE 15	E 11	ENE 9	ENE 4	ENE 0	E 0	SE 0	SE 0	SE 0	SE 0	92
23	SW 5	SSW 6	W 6	SW 9	WNW 9	WNW 10	WNW 15	NW 1	NW 0	NW 0	SSW 2	SSE 5	76
24	NW 16	NW 18	WNW 17	WNW 25	WNW 23	WNW 24	NW 14	NW 7	NNW 1	N 10	NE 10	NE 10	208
25	N 7	N 6	N 3	NW 4	W 5	NW 1	N 0	NNE 0	NNE 0	NNE 0	ENE 1	ESE 1	83
26	W 11	SW 10	SSW 14	SSW 18	SW 23	SW 20	SW 18	WSW 28	SW 27	SW 25	WSW 36	WSW 34	299
27	WSW 29	W 40	WNW 32	W 38	W 39	W 31	WSW 32	WSW 33	WSW 38	SW 41	SW 44	SW 36	526
28	W 42	W 34	WSW 39	W 33	W 27	WSW 26	WSW 31	W 19	W 11	WSW 10	SW 20	SSW 12	818
29	WSW 34	WSW 26	WSW 24	SW 15	SW 16	WSW 14	SSW 18	SW 33	SSW 31	SSW 22	S 17	SSW 7	419
30	WNW 7	SW 5	NW 25	N 13	ENE 7	N 10	E 18	SSE 9	S 4	S 7	S 6	S 0	215

Mai 1911. $h_a = 34.5^m$. **Stündliche Aufzeichnungen des Anemometers.**

Tag	Mittel	0^{30}–1^{30} a		1^{30}–2^{30}		2^{30}–3^{30}		3^{30}–4^{30}		4^{30}–5^{30}		5^{30}–6^{30}		6^{30}–7^{30}		7^{30}–8^{30}		8^{30}–9^{30}		9^{30}–10^{30}		10^{30}–11^{30}		11^{30}–12^{30} p	
1	8.8	S	0	S	0	SW	7	WNW	6	W	4	WNW	2	WNW	3	WNW	8	WNW	9	W	5	SW	15	SE	15
2	5.7	ESE	0	ESE	0	ESE	0	ESE	0	ESE	0	ESE	0	ESE	0	ESE	0	NNW	3	N	8	NE	13	NE	10
3	2.2	E	0	NNE	0	NNE	0	NNE	0	NNE	0	NNE	0	NNE	0	N	1	W	0	SSW	1	SW	6	S	7
4	9.7	S	0	S	0	SW	3	WNW	1	WNW	0	WNW	0	W	0	SW	0	WNW	4	NW	7	NW	8	NW	7
5	2.2	WNW	11	NW	8	NNW	3	NNW	0	NNW	0	NNW	4	NW	8	NW	4	WNW	8	NW	4	NW	0	NW	0
6	7.3	NNW	0	NNW	0	NNW	0	NNW	0	NNW	0	N	6	NNE	6	NE	1	NNE	3	N	10	NNE	5	NNE	14
7	8.2	SE	0	ENE	3	NNE	0	ENE	1	ESE	0	ESE	0	ENE	2	NNE	13	NNE	22	NNE	18	NNE	17	NNE	10
8	6.5	N	2	NE	8	NE	8	N	6	NNE	3	NNE	4	NE	8	NE	7	ENE	10	NE	13	NE	15	NE	15
9	3.3	SSE	0	SSE	0	SSE	1	SSE	1	SSE	0	SSE	0	SSE	0	SSE	0	SW	1	WNW	1	WNW	3	W	5
10	7.0	SE	5	SSE	4	SSE	9	SSE	6	SSE	4	S	0	S	0	S	2	SW	6	SW	7	WSW	7	W	8
11	4.4	WNW	4	NW	0	ENE	5	SSE	10	SSE	3	SE	2	SE	0	SSE	1	SSW	5	SSW	7	SSW	7	SSW	8
12	6.0	SSW	0	WSW	0	WSW	0	SW	1	SSE	0	SW	0	WNW	1	N	3	SE	9	SE	8	SE	9	ENE	11
13	6.1	NE	1	E	0	E	3	E	2	E	0	E	0	E	0	NNE	1	NNW	6	NE	13	ENE	11	NE	15
14	3.9	N	1	ENE	3	ESE	2	ENE	0	NNE	0	NNE	0	NE	0	S	1	W	0	WNW	0	WNW	0	NW	4
15	7.1	SE	0	SE	0	SE	7	SE	6	SSE	8	SSE	1	SSE	0	ENE	2	N	8	NNE	6	ENE	6	NE	6
16	8.1	NW	5	WNW	15	WNW	5	W	15	W	4	WSW	6	W	5	WNW	6	WSW	4	SW	3	SSW	10	W	3
17	7.0	NNW	0	NNW	0	WNW	0	W	0	WNW	0	W	0	SSW	4	SW	0	NW	6	NNW	3	NNW	4	NNW	5
18	4.3	N	4	N	0	NNW	5	NNW	0	NNW	0	NNW	0	NNW	0	NNW	0	NNW	0	NNW	0	NNW	2	N	0
19	8.5	NW	7	NNW	8	NNW	12	N	12	NNW	9	N	5	NNW	5	NE	1	ENE	3	E	3	E	4	ESE	1
20	14.4	NE	11	NNE	11	NE	10	NNE	10	NE	9	NE	8	NE	9	ENE	17	NE	17	ENE	13	ENE	20	E	17
21	13.9	NE	24	NE	16	NE	12	N	7	NNE	11	NNE	10	NE	10	ENE	16	ENE	17	ENE	18	NE	19	ENE	15
22	4.3	NW	5	NW	7	NW	0	WNW	1	WNW	0	WNW	0	NW	1	NNW	2	NW	8	SE	6	NNE	9	NNW	8
23	5.9	N	1	NNE	0	NNE	0	NNE	0	NNE	0	NNE	0	E	0	SE	0	ENE	3	NNW	6	NNW	7	N	5
24	6.4	WSW	0	SW	0	S	2	WSW	6	WNW	6	WNW	6	WNW	7	WNW	3	W	10	WNW	13	WNW	15	WNW	11
25	7.7	NE	0	NE	0	NE	1	NE	0	NE	0	NE	0	NE	0	NE	0	N	3	NNE	9	N	11	NE	12
26	9.2	NW	8	NNE	2	N	4	NNE	4	N	11	ENE	18	ENE	12	ENE	8	NE	10	NE	8	NNE	9	ENE	9
27	5.9	SE	0	SE	0	SE	0	SSW	0	NE	0	NE	0	NE	0	ESE	3	SSW	4	SW	5	SW	8	SW	9
28	8.5	NW	5	NW	1	NNE	1	WNW	6	WSW	1	WSW	0	NW	2	NNE	6	NE	9	NE	7	NE	6	N	11
29	5.9	ENE	11	N	3	NW	10	NW	5	NNW	0	NNW	1	NNW	4	NNW	6	N	6	SE	0	NW	5	NNW	9
30	4.5	N	2	NW	0	NNW	1	N	3	N	1	N	2	NW	1	WNW	6	W	4	NW	4	NNW	5	N	6
31	6.2	ENE	0	SE	0	ESE	0	ESE	0	ESE	0	ESE	0	ESE	0	ENE	1	NE	2	ENE	4	NE	11	NE	13

Juni.

1	5.2	N	6	N	3	NW	7	WNW	4	NW	1	NE	11	NE	10	NNE	9	NNE	10	NNE	10	NNE	11	NNE	13
2	4.2	NNE	0	NNE	0	ENE	0	ENE	0	ENE	0	NNE	3	NNW	5	NNW	0	NW	0	NW	0	WSW	2	E	5
3	5.2	NNW	1	NNW	3	ESE	1	SSE	0	SSE	0	SSE	0	SSE	0	SW	0	NW	3	NW	6	NNW	7	NNW	6
4	5.5	NNW	3	N	2	N	0	ENE	1	SSE	9	S	4	S	4	S	9	S	2	SSW	3	SW	5	SW	9
5	7.4	SE	0	SE	0	SE	0	SE	0	SE	0	SE	0	SE	1	SE	2	NE	7	NNW	8	NNW	5	NNW	9
6	9.1	S	1	WNW	0	NW	0	N	0	NNE	0	N	0	NE	0	NE	7	NNE	13	NNE	18	NNE	18	ENE	12
7	9.7	NE	14	NE	18	NE	15	NE	0	NNE	1	NNE	0	NE	0	ENE	5	ENE	4	NE	11	NE	18	NE	18
8	8.1	NNW	0	NE	0	E	0	E	0	E	0	E	0	E	0	E	0	NE	0	ENE	7	NE	9	NE	13
9	9.9	NNE	5	NW	13	WNW	1	WNW	0	WNW	0	WNW	0	WNW	0	WNW	0	WNW	0	W	2	SE	4	W	4
10	11.7	SSE	2	WSW	7	SW	6	SSW	9	S	5	S	6	S	0	SSW	1	SSW	1	NNE	21	NNE	25	NNE	20
11	5.5	NNE	10	NNE	3	NE	2	N	4	NNE	6	NNE	6	NNE	6	NW	5	N	3	NE	6	NE	7	ENE	8
12	6.5	N	6	N	6	N	2	N	7	NNW	2	NNW	2	NNW	0	NNW	4	NNW	7	NNW	5	NNW	7	W	5
13	6.6	SE	8	SE	3	SE	1	SSE	0	SW	1	W	0	W	0	ESE	1	ENE	4	NNE	6	NNW	12	NNW	9
14	12.8	N	12	N	10	NNW	6	NNW	3	NW	3	NW	4	W	5	WSW	6	S	11	S	11	WNW	11	WSW	19
15	18.6	WSW	2	NNW	5	NW	7	NW	11	NW	9	WNW	11	W	22	WNW	27	WNW	32	W	27	WNW	37	WNW	32
16	4.7	N	11	E	9	ESE	8	SE	1	ESE	2	ESE	0	ESE	1	E	4	NE	8	NE	9	ENE	8	E	6
17	5.2	SSW	1	S	6	S	7	SSE	5	SE	4	SE	1	SE	1	SE	0	NNE	2	WNW	4	WSW	1	SW	3
18	11.5	E	5	SSE	12	SE	6	ENE	9	NE	4	ENE	4	SE	0	SE	0	NE	3	NE	0	W	6	NW	11
19	11.4	SSE	4	SSE	8	SE	2	S	4	SE	4	E	3	S	2	SE	6	WNW	4	NNE	13	NNE	28	NNW	19
20	13.6	SSW	8	S	7	W	4	NW	1	WNW	1	WNW	5	NW	7	WNW	22	W	17	WSW	21	WNW	20	WSW	26
21	7.1	WSW	10	WSW	10	SSW	12	SSW	5	SSW	6	SW	4	SSW	6	SSW	12	SSW	11	SSW	14	SSW	9	SW	8
22	3.9	NNE	0	NNE	0	ENE	4	E	0	E	0	E	1	E	0	NE	2	NNE	5	ENE	7	NE	8	ENE	9
23	4.2	SE	0	SE	0	SE	0	SE	2	SE	3	SE	5	SE	4	SSE	1	SW	1	WNW	1	NNW	5	WNW	8
24	6.4	ESE	0	ESE	1	NE	4	N	1	N	1	NE	1	N	6	NW	16	NW	7	WNW	11	WNW	12	WNW	16
25	4.9	E	0	E	0	E	0	E	1	NNE	6	NNW	6	NNW	2	NNE	6	SE	13	W	5	NNW	1	NW	8
26	9.9	S	14	SSE	19	SSE	15	SSE	19	SSE	13	SSE	13	S	10	S	11	SSW	3	S	4	S	6	SW	4
27	12.7	SSE	1	SSE	4	SSE	1	SSE	0	SSE	0	SSE	0	SSW	1	WNW	8	WNW	15	W	18	NW	31	NW	30
28	5.7	WNW	5	WNW	3	WNW	2	SW	1	SSE	1	SSE	0	SSW	4	SSW	9	WSW	9	NW	9	W	8	WNW	7
29	6.3	SSE	10	SSE	9	SSE	7	SSE	6	SSE	1	SSE	0	SSE	0	S	0	SSW	2	SSW	3	WNW	6	NW	9
30	14.0	NW	4	NNE	1	ENE	0	ENE	0	ENE	0	ENE	0	NE	1	NNW	0	W	4	SW	5	SW	4	WSW	13

Windrichtung und Geschwindigkeit (Kilometer pro Stunde). Mai. Zürich.

Tag	12^{30} p–1^{30}	1^{30}–2^{30}	2^{30}–3^{30}	3^{30}–4^{30}	4^{30}–5^{30}	5^{30}–6^{30}	6^{30}–7^{30}	7^{30}–8^{30}	8^{30}–9^{30}	9^{30}–10^{30}	10^{30}–11^{30}	11^{30}–12^{30} a	Summe
1	SSE 15	S 18	S 16	SSE 20	SSE 22	SSE 16	SSE 9	SSE 9	SSE 6	SSE 1	ENE 4	NE 1	211
2	NE 9	NE 9	ENE 7	ENE 10	NE 9	NNE 10	NE 14	ENE 17	ENE 16	E 3	E 0	E 0	138
3	WSW 4	NW 9	NW 8	NW 9	W 6	WNW 2	W 0	W 0	SW 0	S 0	S 0	S 0	53
4	NW 9	WNW 12	NW 12	NNW 15	WNW 19	WNW 24	NW 21	NW 29	NW 27	WNW 16	NW 12	WNW 8	234
5	W 0	SW 0	SW 0	SW 0	SW 0	SW 0	SW 0	SW 0	SW 0	SW 0	SW 0	WNW 2	52
6	NNE 13	NE 13	ENE 11	E 3	SE 12	WNW 13	ESE 10	NE 9	ENE 23	NE 16	SE 1	SE 6	175
7	ENE 12	ENE 17	E 12	NNE 13	NNE 8	NNE 3	N 8	N 9	NNE 8	SW 5	NE 8	N 8	197
8	NE 13	NE 12	NNE 13	NNE 9	NNE 9	NNE 0	NNE 0	NNE 0	NNE 0	NNE 0	NE 0	SE 0	155
9	NNW 7	NNW 6	N 8	ENE 2	SE 19	S 12	S 3	SSE 1	SE 0	ENE 2	N 0	ENE 7	79
10	SW 7	SW 15	SW 8	WSW 7	SSW 18	SSE 11	SSE 9	S 12	SSE 9	SSE 6	SSE 6	SSW 2	168
11	SSW 7	WSW 2	NNW 10	WNW 23	N 8	NNW 2	NE 0	E 0	SSE 0	SSE 0	SSE 1	SSE 0	105
12	NE 11	ENE 13	NE 12	NE 14	NE 14	NNW 14	WNW 0	NNW 7	NNE 5	NW 4	NNW 7	N 1	144
13	NE 10	ENE 10	SE 11	SSE 6	SSE 4	SSE 2	SSE 8	SSE 7	SW 3	NNW 13	NNW 12	N 9	147
14	WNW 1	WNW 5	NNW 6	NW 5	NW 15	NW 17	NW 8	NW 9	NW 9	WSW 1	SSE 3	SE 3	93
15	NE 11	NE 15	ENE 11	ENE 12	ENE 12	ENE 12	ENE 5	ENE 3	ENE 8	NE 10	NE 14	S 7	170
16	NW 8	WNW 15	NW 17	NW 13	WNW 20	WNW 22	NW 9	NNW 3	NNW 7	NNW 0	NNW 0	NNW 0	195
17	NNW 7	NNE 4	NW 14	WNW 16	NW 19	N 16	NE 20	ESE 10	SE 8	S 10	SSE 14	E 9	169
18	NNW 3	NW 6	NW 9	NW 5	NNW 8	NNW 7	N 11	N 8	N 12	N 2	N 8	NNW 12	102
19	SE 0	SSE 7	SE 17	SE 13	NE 10	NNE 15	NNE 18	NNE 15	NNE 8	NNE 9	NNE 11	NNE 11	204
20	NE 15	NE 14	NE 14	ENE 19	NE 17	NE 14	NE 18	NNE 14	NNE 17	NNE 19	NE 15	NE 18	346
21	ENE 18	NE 17	NE 14	NE 15	NE 13	NE 11	NE 11	ENE 13	ENE 13	NE 14	NNE 13	NE 7	334
22	NW 9	N 9	N 9	NE 8	NNW 3	NNW 4	NW 4	NNW 4	NNW 2	NNW 4	NNW 0	NNW 0	103
23	NW 7	WNW 9	WNW 16	WNW 18	WNW 19	WNW 19	WNW 12	NW 8	NW 8	NW 2	W 1	WSW 0	141
24	W 11	WNW 8	WNW 12	WNW 15	NW 17	NW 10	NW 1	NW 0	NW 0	N 1	NE 0	NE 0	154
25	NE 9	NNW 6	NNW 7	N 9	NNE 15	ENE 22	ENE 14	ENE 13	ENE 12	ENE 22	NE 6	NE 13	184
26	NE 11	ENE 13	ENE 11	NE 10	NE 13	NE 10	NE 11	ENE 15	ESE 16	ESE 6	SSE 2	ESE 0	221
27	SW 8	W 6	WNW 17	ENE 17	S 8	SSW 4	S 1	E 5	ENE 24	ENE 17	ENE 4	NNE 2	142
28	N 9	N 0	N 9	NNE 9	ENE 13	NNE 12	NE 11	NE 15	NE 19	ENE 20	ENE 20	NE 6	204
29	N 8	NNE 5	NNE 7	NE 8	NE 11	NNE 8	W 15	NNE 10	NE 6	E 2	E 1	NNE 0	141
30	NNE 5	NE 2	NE 4	NNW 8	NNE 20	NE 16	E 10	S 3	SSW 1	SSW 0	NW 0	NNE 3	107
31	NNE 12	ENE 7	NE 10	NE 17	NNE 14	NNE 13	NE 10	ENE 2	NE 11	NNE 15	S 4	N 2	148

Juni.

1	NE 7	ENE 6	ESE 0	ESE 6	ENE 6	ENE 0	E 1	E 3	E 0	E 0	E 0	E 0	124
2	N 9	NNW 10	N 3	ENE 10	SE 9	SSE 14	SSW 8	S 0	S 0	W 2	NW 12	WNW 10	102
3	ENE 5	NE 10	N 12	NE 14	NNE 11	NE 8	ENE 10	SSW 4	WSW 4	WSW 7	S 4	SW 9	125
4	SW 7	WSW 8	WNW 2	SW 9	SSW 6	NW 17	NE 21	NW 3	S 5	SE 2	SE 0	SE 0	131
5	NNW 8	NNE 14	N 9	NNE 13	NNE 4	NNE 11	NNE 23	NE 21	SE 18	ESE 11	NE 2	NNE 11	177
6	ENE 15	ENE 20	NE 16	ENE 17	ENE 19	ENE 14	ENE 5	ENE 4	ENE 10	E 10	ENE 12	ENE 8	219
7	NE 15	ENE 14	ENE 16	NE 13	NE 10	NE 10	NE 9	NE 14	ENE 17	ENE 10	ENE 0	NNE 0	232
8	NE 12	NNE 9	NE 10	NNE 16	N 20	N 14	NNE 13	NE 14	ENE 15	ENE 14	ENE 15	ENE 13	194
9	SSW 11	W 15	WNW 20	WNW 23	W 19	WNW 31	W 29	WSW 14	S 17	SSE 10	SE 7	SSE 12	237
10	NE 21	NE 21	NE 26	NE 24	NE 22	NE 19	NE 14	NE 11	NE 5	NE 2	NE 8	NNE 6	282
11	WSW 6	NNW 6	NNW 6	N 6	NW 8	NNW 9	NNE 8	NNE 11	NNE 4	NNE 0	NNE 0	N 2	132
12	SSW 8	N 4	WNW 9	W 10	SW 8	SSW 8	SW 11	S 10	SSE 9	SSE 10	SSE 9	SSE 8	157
13	NNW 8	NNE 6	NNE 4	NNE 5	NNE 10	NNE 13	NNW 12	N 13	N 14	NNW 9	NW 11	NNW 8	158
14	WNW 23	W 28	W 22	WSW 18	WNW 16	WSW 7	NW 18	W 14	WSW 20	SSW 17	W 18	WSW 4	306
15	WNW 31	WNW 34	WNW 32	WNW 29	WNW 22	WNW 20	W 16	W 18	WNW 14	NW 5	WNW 3	NW 0	446
16	ESE 6	NE 6	N 7	WNW 4	WNW 6	SSW 7	SW 3	S 0	SSE 2	SSW 2	S 4	SSW 0	114
17	SW 4	SSW 9	SW 8	SW 10	S 13	S 12	S 11	SSE 7	SSE 2	W 5	NNW 1	NNW 8	125
18	NW 11	N 25	NNW 26	NNW 23	NW 13	N 8	S 22	S 23	SSE 23	SSE 16	SSE 16	S 9	275
19	N 6	ESE 4	NNE 11	NNW 4	W 14	SW 22	SW 33	WSW 29	W 22	NW 14	NW 12	WSW 6	274
20	WNW 27	W 20	WNW 28	NW 12	WNW 26	WNW 11	WSW 6	SSE 5	SE 10	SSW 13	SW 13	WSW 16	326
21	SSW 9	WSW 3	N 6	WNW 7	NW 5	NW 9	NNW 8	NNW 5	N 4	NNE 5	NNE 1	NNE 1	170
22	NE 7	NNW 12	NNW 7	NW 10	WNW 6	WSW 5	SSW 4	S 4	SE 1	SE 2	SE 0	SE 0	94
23	NNW 6	NNE 3	ENE 4	NNE 6	NW 9	SSE 9	S 13	SSW 9	ESE 6	E 0	E 3	ESE 3	101
24	WNW 23	NW 21	NW 17	NW 8	NNW 2	W 2	WSW 1	WSW 0	SE 1	E 3	E 0	E 0	154
25	NW 3	W 3	WNW 7	NNW 5	NNW 7	WNW 5	SW 4	S 7	SSE 6	SSW 8	SSW 7	S 7	117
26	SSW 7	SSW 13	WNW 8	WNW 8	WSW 9	S 9	SSE 12	SSE 12	E 0	SSE 11	SSE 10	SSE 2	238
27	NW 24	NW 29	WNW 29	WNW 25	WNW 22	WNW 10	SW 9	SSW 9	WSW 11	W 11	WSW 8	W 8	304
28	WNW 11	W 13	NW 10	NNW 11	NW 10	WNW 8	NW 10	WNW 3	WNW 1	WNW 0	WNW 0	WSW 2	137
29	WNW 12	WNW 14	NW 12	NW 12	NW 14	WNW 14	NW 16	NW 5	NW 0	NW 0	NW 0	NW 0	152
30	W 17	W 26	WSW 23	W 29	W 28	WNW 18	NW 18	W 25	SW 31	WSW 31	SW 29	WSW 28	335

Juli 1911. $h_a = 34{\cdot}5^m$. **Stündliche Aufzeichnungen des Anemometers.**

Tag	Mittel	0^{30}–1^{30} a		1^{30}–2^{30}		2^{30}–3^{30}		3^{30}–4^{30}		4^{30}–5^{30}		5^{30}–6^{30}		6^{30}–7^{30}		7^{30}–8^{30}		8^{30}–9^{30}		9^{30}–10^{30}		10^{30}–11^{30}		11^{30}–12^{30} p	
1	5.0	WNW	14	NW	18	NNW	5	NE	3	NE	4	ENE	0	ESE	2	S	4	SSW	1	SSW	2	SSW	0	SSW	0
2	12.2	N	4	N	9	N	1	NNE	1	E	4	SSE	9	S	11	S	7	SSW	5	SSW	3	WSW	6	NW	6
3	10.5	NE	9	ENE	1	SE	0	SE	0	SE	3	E	2	ENE	1	NE	3	NNW	7	N	5	NW	4	N	8
4	15.2	NE	11	NE	18	NE	14	NE	12	NNE	8	NNE	9	N	8	NE	10	NE	12	NE	16	ENE	17	NE	23
5	12.8	NNE	11	NNE	9	NE	5	ENE	5	E	7	NNW	7	NE	17	NNE	19	NNE	14	NE	16	ENE	21	ENE	20
6	14.3	N	11	ENE	20	E	15	NE	5	NNE	3	NNE	8	NNE	12	NNE	11	NNE	15	NE	15	ENE	20	ENE	19
7	9.2	E	6	N	6	NW	3	NNE	2	NNE	2	NNW	7	NNW	8	NE	9	ENE	6	NE	9	NE	16	NE	17
8	3.7	ESE	3	E	2	E	0	E	0	E	0	E	0	E	1	NNW	3	NW	2	NW	6	NNW	5	NNW	4
9	10.0	SSE	5	SSE	0	SSE	0	SSE	0	SSE	5	SSE	0	SSE	0	SSW	0	WNW	3	WNW	3	NNW	6	N	6
10	16.1	NNE	10	N	10	NNE	8	NNE	8	NNE	13	NNE	18	NNE	18	NE	17	NE	20	ENE	24	E	33	ENE	25
11	13.2	NNE	11	NNE	17	NNE	16	NE	9	NE	7	NNW	7	NNW	8	NNE	8	NE	22	NE	26	ENE	26	ENE	25
12	14.0	ENE	8	NE	11	NE	11	ENE	13	ENE	12	NE	5	NE	6	NNE	10	NE	11	NE	17	NE	26	ENE	24
13	9.1	NE	13	NNE	12	NNE	14	ENE	3	ENE	1	NE	1	ENE	1	NNE	7	N	5	NE	7	NE	15	ENE	17
14	6.8	ESE	2	ESE	0	ESE	0	ENE	1	N	1	N	0	ENE	0	NNE	7	NE	5	NNE	10	NE	16	NE	13
15	6.0	SE	8	SE	5	SE	0	SE	0	ENE	2	ENE	0	E	0	ESE	0	ESE	0	S	2	SSW	4	WNW	9
16	11.2	SSE	0	E	1	N	6	N	6	NE	1	NNE	7	N	9	NNW	2	NNW	2	NW	3	WNW	13	NW	13
17	6.4	W	1	NW	0	NNW	0	NNW	0	NNW	0	NNW	0	NNW	1	W	8	WSW	7	W	8	NW	15	WNW	10
18	11.6	NW	5	NW	10	SW	11	SSE	2	SSE	4	SSE	1	SSE	5	SSW	3	W	7	W	18	W	24	W	27
19	8.6	SSE	6	SSE	1	S	5	SSW	2	NNW	2	NNW	5	WNW	5	WSW	0	W	3	NW	6	NW	11	WNW	14
20	6.6	SSE	0	SSE	0	SSE	0	SSE	0	SSE	1	SSE	0	SSE	0	SSE	1	W	7	NNW	9	N	10	N	10
21	14.2	NE	12	NE	10	NE	7	NE	15	ENE	7	NNE	3	N	3	NNE	9	NNE	15	NE	20	ENE	25	ENE	20
22	7.0	E	15	ESE	0	NE	1	NNE	0	NE	1	ENE	1	NNE	0	NNE	2	ENE	5	NE	7	NE	9	ENE	11
23	3.9	ENE	0	ENE	0	ENE	0	ENE	0	ENE	0	ENE	0	ENE	0	ENE	0	ENE	0	W	1	SSW	5	SW	6
24	9.8	SSE	4	SSE	7	NW	3	S	6	SSE	3	SSE	3	SSE	6	S	6	S	8	S	9	WSW	11	WNW	14
25	4.3	WSW	12	SSW	6	E	3	ENE	1	E	1	E	0	E	0	E	0	SE	2	S	4	WSW	2	S	2
26	4.5	NE	1	ESE	0	ESE	0	ESE	0	ESE	0	ESE	0	ESE	0	ESE	1	NW	10	NW	12	NW	7	NW	8
27	4.0	SSW	4	SSE	3	SSE	2	NE	8	NNW	5	N	3	N	1	N	1	NW	2	NNW	4	NNW	5	NNW	7
28	9.8	SSE	2	SSE	2	ENE	4	N	1	NW	1	NW	0	NW	2	W	1	SW	6	SW	10	W	11	W	17
29	4.0	E	6	E	0	NNE	3	N	1	NE	7	SSE	6	SSE	5	SSE	0	W	0	WNW	5	NNW	6	NE	3
30	7.3	SE	4	SE	0	SE	0	SE	0	SE	2	SE	2	SE	4	S	14	S	9	SSW	4	S	2	S	7
31	6.7	NE	3	NNE	5	S	2	N	7	NNW	6	NW	2	SW	0	SW	2	SW	5	WSW	13	SW	14	SSW	12

August.

1	7.5	ENE	0	ENE	1	ENE	0	ENE	0	ENE	0	ENE	0	ENE	0	NNE	2	NNE	6	N	9	NE	10	NE	12
2	4.9	NE	0	N	2	E	6	E	0	E	0	E	1	ENE	1	N	7	N	5	ESE	4	S	6	SSW	5
3	3.3	NNW	0	NNW	0	NE	0	E	0	NNE	1	NW	0	NW	0	NW	0	WSW	1	NW	1	NW	6	WNW	5
4	8.1	N	6	N	0	N	0	W	8	SSE	10	SSE	8	SSE	9	S	8	S	10	SSW	2	SSW	6	SW	9
5	4.1	S	2	S	1	WNW	4	N	0	N	4	E	0	E	0	E	0	SSE	1	SSW	2	SW	9	SW	7
6	9.0	SSE	8	SSE	6	SSE	0	SSE	0	SSE	3	SSE	1	NNE	3	WNW	15	W	20	W	22	WNW	18	NW	14
7	7.0	NE	0	E	1	E	0	NE	1	NNW	2	NW	6	NW	0	NW	0	N	5	NE	6	ENE	9	ENE	7
8	10.3	NE	4	NE	6	NE	15	NE	11	ENE	6	NE	9	NE	0	S	3	NW	10	NE	10	NE	14	ENE	17
9	8.3	NW	3	NW	3	NW	0	NW	0	NW	1	N	1	N	0	N	3	ENE	6	ESE	3	NE	8	NE	10
10	5.3	NE	6	WNW	4	N	2	NE	1	NE	0	NE	0	NE	0	N	0	NW	2	NW	1	NW	4	W	5
11	9.4	NNW	0	NNW	0	NNE	0	ENE	0	ENE	0	ENE	0	ENE	2	NE	14	NE	15	ENE	15	ENE	22	ENE	18
12	9.9	NE	4	NE	3	NE	7	N	2	NW	1	NNW	1	NE	2	NE	11	NNE	8	NE	15	NE	19	ENE	19
13	7.7	NE	5	NNW	4	NNW	1	N	2	N	2	NW	0	NNW	4	NNE	7	NE	6	NE	8	ENE	12	ENE	13
14	7.3	NE	0	ENE	1	NE	0	NNE	0	NNE	0	NNE	0	NNE	0	NNE	0	NNW	3	NE	5	N	9	NE	7
15	10.7	E	0	E	0	E	0	E	0	E	0	E	0	NE	0	N	0	N	1	SW	4	WSW	5	W	14
16	10.5	NNE	9	NNE	11	NE	9	NNE	0	N	1	NNE	7	N	1	NW	2	N	7	NW	5	NW	9	NW	14
17	6.8	NE	9	NE	2	NE	1	N	4	NNW	0	NW	10	NW	1	NW	5	NE	4	NNW	7	NNW	8	NNW	8
18	4.4	NNW	5	NNW	5	NNE	1	E	0	E	0	E	0	E	0	E	0	E	0	N	1	WSW	4	NW	5
19	4.7	SE	0	SE	0	SE	0	SE	0	SE	0	SE	0	SE	0	SE	0	S	0	SSW	0	WNW	2	WNW	10
20	8.2	SSE	9	SSE	7	SSE	6	SSE	3	S	4	E	3	S	8	NNW	0	W	5	SW	1	W	3	S	0
21	13.3	ENE	6	ESE	9	E	13	N	18	WSW	6	S	2	SSW	21	SSE	19	SSE	15	SW	8	WSW	2	SW	3
22	6.0	NNW	8	NNE	5	NNE	7	N	7	N	11	SE	4	SE	7	SE	1	SSW	2	W	6	NE	7	WSW	6
23	6.6	E	0	ESE	3	SE	0	ENE	4	NE	4	ENE	2	NNW	2	N	6	NNW	1	NW	3	NW	4	NNW	9
24	8.3	SW	16	S	9	SSE	5	SSE	5	SSE	3	SSW	9	N	2	SSE	9	SSW	5	W	12	WNW	10	SW	10
25	6.5	SSE	0	SSE	0	SSE	0	SSE	0	SSE	0	SSE	0	SSE	0	SSE	0	S	2	W	4	WNW	5	WSW	5
26	9.4	SSE	5	SSE	1	SSE	2	SSE	0	SW	4	WNW	11	WSW	9	SSW	16	SSW	17	SSW	6	SSW	13	SSW	9
27	4.5	SSE	8	SSE	4	SSE	0	SSE	0	SSE	1	SSE	1	SSE	0	SSE	0	SW	2	NW	2	S	6	E	6
28	4.9	ESE	0	ESE	0	ESE	0	ESE	0	ESE	0	ESE	0	ESE	0	ESE	0	ESE	0	ENE	0	W	2	W	3
29	7.0	SSE	7	SSE	7	SSE	8	SSE	9	SSE	9	SSE	8	SE	8	SE	4	S	0	SSW	3	SW	6	SSW	8
30	9.2	NW	0	NW	0	NNW	2	NNE	2	NNE	4	NNW	4	NNW	6	NNW	9	NNW	10	NNW	9	NNW	9	NNW	8
31	10.1	N	27	NE	12	N	5	N	3	NNW	5	NNE	4	NNE	3	NNE	2	E	6	NE	8	NE	9	ENE	14

Windrichtung und Geschwindigkeit (Kilometer pro Stunde). Juli. Zürich.

Tag	12^{30} p–1^{30}	1^{30}–2^{30}	2^{30}–3^{30}	3^{30}–4^{30}	4^{30}–5^{30}	5^{30}–6^{30}	6^{30}–7^{30}	7^{30}–8^{30}	8^{30}–9^{30}	9^{30}–$1\ldots^{0}$	$1\ldots^{30}$–11^{30}	11^{30}–$12\ldots$		
1	W 5	N 3	NNE 7	NNE 6	NNE 7	N 4	NE 4	SSE 8	SW 6	NE 3	N 10	N 5		121
2	N 13	NW 17	NW 16	NW 28	NW 35	WNW 26	NW 17	NW 9	WNW 17	NW 20	NW 13	NNE 16		293
3	NW 11	NW 15	WNW 21	WNW 23	NW 25	NW 18	NW 13	N 13	NNE 10	NE 23	NE 21	ENE 15		251
4	NE 24	NE 21	ENE 18	NE 16	ENE 14	NE 13	NE 14	NE 16	ENE 18	ENE 21	ENE 20	ENE 12		365
5	ENE 19	NE 16	ENE 17	ENE 17	ENE 16	ENE 15	ENE 14	NE 5	ENE 7	NE 10	ENE 10	SE 9		306
6	ENE 17	NE 17	ENE 18	ENE 19	NE 19	ENE 18	ENE 16	ENE 10	ENE 14	ENE 18	ENE 16	E 7		343
7	ENE 17	NE 14	ENE 16	ENE 16	E 14	ENE 13	ENE 9	ENE 11	E 4	SE 1	ESE 7	ESE 7		220
8	WNW 5	S 8	SW 9	SW 6	SW 11	WSW 9	SSW 6	SSW 0	SSW 0	WSW 0	WNW 4	SW 5		89
9	WNW 14	WNW 20	WNW 22	WNW 21	NW 21	NNW 17	NNE 16	NE 24	ENE 19	NE 16	NE 11	NNE 13		242
10	ENE 27	ENE 24	ENE 22	ENE 23	ENE 20	ENE 15	NE 13	NE 8	NE 8	NE 7	ENE 6	NE 10		387
11	ENE 21	ENE 17	ENE 17	NE 15	ENE 14	E 11	E 8	E 0	E 4	E 9	E 10	ENE 9		317
12	ENE 25	ENE 23	NE 21	ENE 23	ENE 20	ENE 15	NE 12	NNE 7	NE 9	ENE 9	NE 6	NE 11		335
13	NE 13	ENE 14	NE 10	N 20	N 18	NNE 10	ESE 6	SSE 12	S 5	ESE 6	SE 7	SE 1		218
14	ENE 16	NNE 16	NNE 16	NNE 15	NNE 13	N 10	ENE 19	ESE 3	ENE 0	ENE 0	ENE 0	E 0		163
15	NW 15	NNW 15	NNE 13	NE 12	ESE 12	S 16	S 8	S 10	SSE 10	SSE 2	SSE 0	SSE 0		143
16	NW 16	WNW 24	WNW 31	WNW 31	WNW 24	WNW 24	WNW 22	NW 13	NW 8	WNW 6	W 4	W 4		270
17	NW 8	NW 10	NW 15	NW 13	NW 15	NW 16	NNW 14	NW 11	NW 2	NW 0	NW 0	NW 0		154
18	WSW 23	WSW 23	W 23	NW 20	NW 18	WNW 11	NNW 10	NNW 4	NNE 0	ESE 5	SSE 12	SSE 12		278
19	NW 11	NW 14	WNW 14	NW 16	WNW 23	NW 24	NW 11	W 8	S 16	SSE 10	SSE 0	SSE 0		207
20	ENE 9	ENE 9	ENE 9	NE 8	ENE 9	NNE 8	NNE 9	NNE 15	NE 13	NE 13	ENE 8	NE 10		158
21	ENE 24	ENE 22	ENE 25	ENE 19	ENE 19	ENE 15	ENE 13	ENE 12	ENE 12	ENE 12	NE 10	NE 11		340
22	ENE 13	ENE 13	NE 12	ENE 9	ENE 11	ENE 9	ENE 11	ENE 14	ENE 16	ENE 5	ENE 2	ESE 2		169
23	SW 9	W 9	WNW 9	WNW 11	WNW 12	WNW 12	NW 8	NW 1	NW 1	WSW 3	SSE 4	SSE 2		93
24	NW 12	N 8	WNW 8	SE 23	W 15	SSE 31	NW 20	S 7	SE 3	ESE 9	SE 4	NW 15		235
25	WSW 3	WNW 4	NW 9	SW 10	S 13	S 12	S 2	NW 5	ENE 7	SE 2	ENE 3	NNE 0		103
26	NW 4	W 6	NW 9	NNW 5	W 8	SW 9	SSW 5	SSE 7	SSE 8	SSE 5	SE 3	S 1		109
27	WNW 4	WSW 11	SW 9	WSW 9	SSW 7	WSW 4	SW 0	SW 0	SW 0	S 0	SSE 1	SSE 5		95
28	W 18	WNW 17	WNW 21	NW 19	WNW 17	SW 7	SSE 20	SSE 13	SSE 10	SW 13	NW 13	NNE 10		235
29	ESE 2	SSW 6	E 5	NE 5	E 2	W 8	W 1	SSE 5	E 1	E 3	SSE 9	SSE 8		97
30	S 10	ENE 5	NW 12	NNE 28	NE 12	ENE 16	ENE 14	ENE 5	ENE 10	ENE 10	ENE 1	E 4		175
31	SSW 12	SSW 11	SW 10	ESE 13	NNE 12	N 11	NNW 11	NE 5	ENE 2	N 2	N 0	NE 1		161

August.

1	ENE 15	ENE 15	E 13	ENE 15	E 14	E 14	E 17	E 17	E 5	NE 8	NNE 5	N 2		180
2	WSW 7	WSW 9	WSW 9	WSW 8	W 9	W 9	NW 10	NNW 4	N 5	NE 0	NE 6	NNW 4		117
3	NNW 3	W 7	NW 5	WSW 7	WNW 5	NNW 5	N 8	N 3	NNE 15	NE 4	ENE 0	NE 4		80
4	WNW 5	SW 5	WNW 14	WNW 15	WNW 13	NW 13	NW 17	NW 8	N 13	ENE 6	ENE 2	SE 8		195
5	SW 7	SW 6	WNW 6	SW 7	WNW 7	WSW 7	S 1	SSE 0	SSE 0	SSE 8	SSE 11	SSE 8		98
6	NW 18	NW 13	WSW 9	NW 8	WNW 13	NW 2	WSW 19	NW 2	SSE 8	SSE 2	N 11	N 1		216
7	NE 10	ENE 13	ENE 13	ENE 11	ENE 11	E 11	ENE 4	ENE 9	ENE 8	ENE 12	NE 16	NE 13		168
8	ENE 16	ENE 15	NE 15	ENE 13	NE 14	ENE 10	ENE 10	ENE 11	ENE 16	ENE 12	SSE 6	N 5		248
9	ENE 11	ENE 13	ENE 14	NE 14	NE 13	NE 10	NE 9	ENE 14	ENE 20	ENE 18	ENE 21	ENE 4		199
10	ESE 7	E 6	ENE 10	ENE 9	E 10	E 6	E 8	E 14	E 14	ENE 13	ENE 2	NNE 2		126
11	ENE 16	ENE 18	ENE 14	NE 16	ENE 16	NE 11	NE 4	ENE 3	ENE 10	ENE 12	ENE 12	NE 8		226
12	ENE 17	ENE 12	ENE 13	ENE 17	NE 17	ENE 11	ENE 13	ENE 10	ENE 13	ENE 10	ENE 10	ENE 3		238
13	E 13	NE 13	NE 14	NE 11	NE 11	ENE 9	ENE 8	ENE 9	ENE 12	ENE 13	ENE 5	ENE 4		186
14	ENE 10	ENE 8	NNE 21	NNE 32	N 27	NW 1	NE 8	E 18	SE 11	SE 9	ESE 5	E 0		175
15	WNW 23	NW 21	WNW 22	WNW 30	NW 29	NW 21	NNW 14	NNE 13	NNE 17	NE 19	NE 14	NE 10		257
16	NW 16	WNW 22	WNW 23	WNW 23	NW 21	NNW 19	NNW 12	NNE 16	NNE 16	NNE 4	NNE 5	NNE 0		252
17	NNW 9	N 10	WSW 9	WNW 12	WNW 14	WNW 15	NW 15	NW 7	NNW 8	NNE 5	NNE 0	NNE 0		163
18	NW 10	NNW 7	NW 14	NW 13	NW 14	NW 13	WNW 3	W 0	N 5	NNE 2	ENE 1	SE 3		106
19	W 11	W 13	WNW 15	W 15	WNW 10	NW 9	NNW 1	N 4	N 0	ENE 2	SSE 11	SSE 9		112
20	S 9	SW 9	WNW 14	WNW 22	WNW 15	WSW 25	SSE 24	S 15	S 5	S 0	S 0	SSE 4		197
21	SSW 7	SSW 3	SSW 8	N 12	SW 20	NW 33	WSW 23	SSW 26	SSW 29	S 26	ENE 5	N 5		319
22	WSW 8	WNW 4	W 7	WSW 17	WNW 13	WSW 2	W 1	NNE 2	E 3	NNE 10	NE 5	E 0		143
23	NNW 21	NNW 16	NW 5	S 15	S 16	S 8	S 4	SSE 3	SSE 5	S 7	S 7	SW 14		159
24	SSW 13	SSW 10	W 11	WSW 8	W 10	SSW 14	S 10	SSE 9	SE 8	ESE 2	SE 8	SSE 0		198
25	W 9	W 9	W 10	NW 11	NW 11	NW 15	NNW 6	N 7	NNW 8	WSW 17	SSE 23	SSE 14		156
26	SW 16	WSW 14	SW 16	WSW 15	SSW 10	SSE 13	S 10	SSE 11	SSE 8	SSE 5	SSE 8	SSE 7		226
27	NE 7	ENE 5	ENE 5	E 6	ENE 5	ENE 2	ENE 12	ENE 18	ENE 8	ESE 5	ESE 3	ESE 2		108
28	W 10	WSW 17	WSW 17	WSW 9	SW 10	S 9	S 5	S 1	SE 7	SSE 7	SSE 12	SSE 8		117
29	SSW 7	SSW 9	SW 8	SW 11	WSW 14	NW 15	NW 16	NW 10	NW 2	NW 0	NW 0	NW 0		169
30	NW 8	NW 11	NW 11	WNW 19	WNW 19	NW 11	NNW 5	NNE 12	NE 18	ENE 9	N 15	NNE 21		222
31	E 14	ENE 13	ENE 13	E 15	E 14	ENE 12	ENE 12	ENE 15	E 13	E 13	NE 10	NW 0		242

September 1911. $h_a = 34.5^m$. **Stündliche Aufzeichnungen des Anemometers.**

Tag	Mittel	0^{30}–1^{30} a		1^{30}–2^{30}		2^{30}–3^{30}		3^{30}–4^{30}		4^{30}–5^{30}		5^{30}–6^{30}		6^{30}–7^{30}		7^{30}–8^{30}		8^{30}–9^{30}		9^{30}–10^{30}		10^{30}–11^{30}	11^{30}–12^{30} p	
1	3.9	NW	1	N	0	N	2	NW	0	N	1	NE	0	NE	0	NNE	2	NE	8	NNW	10	NE	8	ENE	9
2	2.4	ENE	2	ENE	0	ENE	0	NNE	0	NNE	0	N	1	NNW	0	N	0	N	0	WSW	2	SSW	8	SW	3
3	2.5	SSE	0	SSE	0	SSE	0	SSE	0	SSE	0	SSE	0	SSE	0	SSE	0	SSE	0	S	1	WSW	1	NNW	7
4	3.2	ESE	0	ESE	0	ESE	0	ESE	0	ESE	0	ESE	0	ESE	0	ESE	0	ESE	0	SSE	5	SW	2	SW	1
5	5.1	ENE	2	ENE	3	SE	0	SSE	0	SSE	0	SSE	0	SSE	2	SSE	0	SSE	7	SW	7	WNW	2	WNW	3
6	2.3	SSE	0	SSE	0	SSE	0	SSE	1	SSE	1	SSE	0	SSE	0	SSE	1	SSE	3	SW	4	WNW	5	NW	7
7	4.8	S	0	S	0	S	0	S	0	S	0	SE	0	ESE	1	ESE	0	ESE	1	ESE	1	ENE	3	N	6
8	4.5	ESE	0	NNE	1	NNE	0	ENE	2	ESE	0	ESE	0	ESE	0	ESE	0	ESE	0	SSE	1	SSW	4		
9	9.8	SSE	2	WSW	3	E	6	SSE	13	SSE	10	SSE	11	SSE	9	ENE	8	W	8	SW	17	SW	16	SW	21
10	10.9	S	3	S	7	E	11	NE	3	SE	14	SSE	8	SW	9	NW	4	NW	6	NW	15	NNW	16	NNE	10
11	4.4	ENE	15	SSW	8	WNW	8	WNW	2	WNW	2	NW	8	NW	3	NNW	4	NNE	4	NE	3	ENE	6	NNE	9
12	5.0	SE	0	SE	0	SE	0	SE	0	SE	0	SE	0	SE	0	SE	0	SE	1	SE	2	SE	0	SSW	2
13	6.2	SSE	4	S	2	SSE	6	SSE	3	SSE	8	SSE	9	SE	9	SE	7	S	5	S	0	SSW	2	SW	3
14	5.1	SSE	9	SW	9	W	14	SSW	15	SE	11	SSE	0	SSE	2	SSE	0	SSE	0	SSE	3	SW	3	W	3
15	7.3	WNW	0	WNW	5	WNW	3	NNW	10	NE	1	ENE	2	NNE	0	N	0	N	6	N	5	NNW	10	NNW	2
16	11.6	NNW	9	NNW	10	NNW	10	N	8	NNE	2	NNE	13	NE	18	NE	22	NE	19	NE	17	NNE	14	NE	9
17	8.6	NE	10	NNE	3	NNE	6	N	8	NNE	7	NNE	5	NNE	3	N	6	NNE	7	NE	10	NE	16	NE	15
18	3.7	NNE	0	NNE	0	NNE	4	NNW	3	WNW	0	WNW	1	WNW	2	WNW	0	WNW	1	NNW	5	WNW	5	SW	10
19	4.0	S	0	S	0	S	0	S	0	S	0	S	2	SSE	7	SSE	0	SSW	2	N	8	NW	9	NNE	9
20	5.3	SSE	6	SSE	4	SSE	3	SSE	3	SSE	4	SE	5	SSE	2	S	3	SE	3	SSE	3	S	7	S	7
21	13.0	WNW	11	WNW	14	WSW	10	SW	6	SSE	1	SSE	0	SSE	2	SSE	4	SW	4	WNW	13	WNW	35	NW	22
22	6.0	SE	4	SE	7	ESE	10	ESE	9	SE	10	SE	5	SE	0	ESE	4	NE	6	N	7	NNW	9	NNE	4
23	9.5	ESE	5	SE	7	SSE	7	SSE	5	SSE	5	SSW	3	SW	3	SSW	5	S	7	SSW	9	SSW	17	SSW	11
24	8.1	S	10	SSW	10	S	8	S	9	SSW	9	SSW	7	S	3	SSE	9	S	8	SSW	12	SW	12	SSW	7
25	5.6	SSE	9	SW	6	SSW	9	S	7	S	9	S	10	S	8	S	4	S	6	S	5	WSW	3	NW	5
26	3.2	NW	0	NW	0	NW	0	NW	0	NW	0	W	2	SSW	7	SSW	7	S	3	WSW	4	NNW	10	N	9
27	2.5	SE	0	SE	1	SE	0	SE	1	SE	0	SE	0	SE	0	SE	2	SE	1	SSW	2	WNW	6	NW	7
28	7.8	SE	11	SE	6	SE	5	SE	2	SE	5	SE	4	SE	4	SE	4	SSE	9	S	8	SW	5	WNW	10
29	11.1	WNW	8	WSW	6	SW	8	W	8	NW	4	W	5	WSW	8	NW	5	WNW	6	SW	8	WSW	18	W	19
30	14.0	NNE	0	NNE	0	NNE	1	NNE	0	NNE	1	NNE	2	NNE	3	N	1	NW	1	WNW	7	W	10	W	9

Oktober.

1	23.2	WNW	30	W	29	WSW	34	WSW	34	WSW	43	WSW	41	WSW	39	WSW	34	WSW	30	WSW	29	WSW	31	W	27
2	12.4	WNW	13	WNW	14	NW	14	WNW	13	WNW	11	NW	13	WNW	14	WNW	13	WNW	14	WNW	16	WNW	26	WNW	18
3	5.6	SSE	6	SSE	10	SSE	2	SSE	3	SSE	5	SSE	2	SSE	1	SSE	0	SSE	1	WSW	8	ENE	8	SE	10
4	5.4	N	5	NNW	1	NNW	8	NNW	6	NNW	0	NNW	4	NNE	1	NNE	0	NNE	0	N	2	NNE	5	NNE	1
5	3.8	W	1	W	1	W	2	N	7	NE	5	NNE	4	NNE	3	NE	6	E	3	N	3	E	8	ENE	4
6	6.7	NW	2	NW	3	NW	0	N	3	NNE	2	NNE	3	NNE	6	NNE	7	NNE	7	NNE	6	N	4	N	2
7	8.7	NNE	9	NNW	5	NNW	6	NW	9	NW	17	SW	15	SW	5	NW	10	NNW	2	ENE	4	SW	14	W	15
8	6.4	SSE	11	SSE	10	SE	8	SE	8	SE	6	SE	3	SE	0	SE	1	SE	1	SSW	0	WNW	3	NNW	7
9	7.1	N	3	NNE	1	NNE	5	N	2	W	3	W	4	SE	6	NNE	7	SSW	6	SE	4	SSW	3	WNW	8
10	13.0	N	13	N	8	NNW	9	NNW	9	NNW	15	N	23	NNE	21	NNE	15	N	10	NNW	10	NNE	16	NE	18
11	7.4	NE	11	NNE	7	NNW	11	N	13	NE	13	N	9	NNE	10	NNE	7	ENE	7	NNW	7	NE	17	NE	8
12	2.4	WNW	2	WNW	0	WNW	2	W	5	WSW	2	WSW	1	WSW	2	SW	2	SSW	3	SSW	5	SSW	3	SSW	3
13	2.8	NNW	3	NNW	1	NNW	2	NNW	1	NNW	3	WSW	4	SW	2	W	1	WNW	4	NW	3	NW	5	NW	2
14	3.0	SSW	4	S	4	S	4	S	2	S	4	SSE	6	SSE	1	SSE	1	SSW	1	WNW	2	NNW	4	NNW	5
15	5.0	NNW	3	NNW	1	NNW	0	NNW	0	NNW	0	NNW	0	NNW	0	NNW	0	NNW	2	NNW	8	NNW	12	NNW	10
16	8.2	NNE	0	NNE	4	NNE	0	NE	2	ENE	2	ENE	0	ENE	0	ENE	3	E	4	ESE	6	NNE	12	NNE	12
17	8.2	ENE	14	NE	14	NNE	5	NNE	4	NE	6	ENE	3	N	6	N	11	NNE	13	NNE	10	NNE	11	NE	16
18	3.5	N	2	NNW	0	NW	4	WNW	2	S	4	SSE	5	SSE	2	W	3	NNW	7	N	1	NNW	6	NNW	8
19	3.2	NNW	0	NNW	0	NNW	0	NNW	0	NNW	0	NNW	2	N	0	ESE	3	SE	3	SSW	2	W	3	NW	8
20	3.0	SSE	0	SSE	1	SSE	1	SSE	4	SSE	3	SSE	2	SSE	0	SSE	0	SSE	0	SSE	0	SSE	0	SSE	0
21	5.0	SSE	2	SSE	0	SSE	0	SSE	0	SSE	0	S	3	SSE	1	S	0	SE	3	SSW	3	NW	10	NW	11
22	12.7	N	9	NNW	6	NNW	6	NE	0	SSW	6	E	4	SSE	4	WNW	9	SSW	14	SW	13	SW	16	SW	14
23	18.7	WSW	24	WSW	23	W	26	W	27	WNW	20	W	23	W	19	W	31	W	38	W	23	W	41	WNW	37
24	4.0	E	0	E	0	ESE	4	SE	6	SE	4	SE	7	SE	1	SE	1	SE	0	SSE	2	SSW	6	SW	6
25	9.6	SE	1	SE	1	SE	0	ENE	3	N	0	NNW	0	SW	2	ESE	3	S	2	W	4	WNW	2	SW	5
26	18.5	WSW	28	WSW	35	WSW	29	WSW	29	WSW	32	WSW	24	SW	19	SW	20	SW	20	WSW	18	W	26	WSW	22
27	13.9	SE	7	SSW	10	WSW	30	WSW	32	SW	19	SSW	18	SW	7	SW	2	WSW	0	WSW	1	NW	13	W	7
28	13.0	SE	4	W	10	W	22	W	20	W	14	W	23	WSW	25	WSW	17	WSW	15	WSW	19	SSW	10	SW	18
29	6.5	SSE	2	SSE	0	SSE	0	SSE	0	SSE	1	SSE	6	SSE	1	SSE	0	SSE	1	S	2	SW	1	W	5
30	3.5	ENE	7	NNE	2	NNE	2	N	2	NNW	6	NNW	6	NNW	2	NNW	2	NNW	0	WSW	4	WSW	2	SSW	0
31	3.4	SE	8	SE	3	SE	3	SE	1	SE	0	SE	5	SE	2	SE	3	SE	0	ENE	7	NNW	8	WNW	5

Windrichtung und Geschwindigkeit (Kilometer pro Stunde). **September.** Zürich.

Tag	12³⁰ p–1³⁰		1³⁰–2³⁰		2³⁰–3³⁰		3³⁰–4³⁰		4³⁰–5³⁰		5³⁰–6³⁰		6³⁰–7³⁰		7³⁰–8³⁰		8³⁰–9³⁰		9³⁰–10³⁰		10³⁰–11³⁰		11³⁰–12³⁰ a		Summe
1	ENE	8	ENE	7	ENE	6	ENE	6	NE	5	ENE	9	ENE	12	ENE	0	ENE	0	ENE	0	ENE	0	ENE	0	94
2	W	3	WNW	4	WSW	6	WSW	3	SW	5	SSW	6	SSW	1	SSW	2	SSW	0	S	7	SSE	4	SSE	0	57
3	NE	4	NE	8	NE	8	NE	7	ENE	9	ESE	4	ESE	5	ESE	1	ESE	0	ESE	4	ESE	0	ESE	0	59
4	WNW	3	NNW	2	NNW	3	NW	4	WNW	7	WSW	2	NW	6	NE	15	NNE	15	NE	9	ENE	1	ENE	1	76
5	WNW	5	SW	9	SSW	12	SSW	12	SW	6	SSE	9	SE	8	SE	7	SSE	10	SSE	10	SSE	7	SSE	2	123
6	NW	2	ESE	3	SSE	5	SE	4	SE	5	S	4	S	4	S	4	S	1	S	0	S	0	S	0	54
7	ENE	11	NE	15	ENE	14	ENE	14	E	14	ENE	17	ENE	13	ESE	3	ESE	1	ESE	0	ESE	0	SE	1	115
8	SSW	6	SSW	5	SSW	6	SSW	11	SSW	10	S	9	S	9	S	9	S	11	SE	14	SSE	6	SSE	4	108
9	W	21	W	18	W	15	W	15	W	12	WNW	2	WNW	0	WNW	0	SW	6	SSE	10	SW	9	E	4	236
10	NE	23	NE	24	NE	20	NE	18	NE	16	NE	8	NE	7	ENE	9	NNE	6	NNW	7	NNE	6	ENE	11	261
11	WNW	7	ESE	5	ENE	5	ENE	1	E	5	E	1	ESE	6	SE	3	SE	0	SE	0	SE	0	SE	0	105
12	SW	6	NE	5	SSW	6	SW	5	SSW	12	S	9	S	10	SSE	11	SSE	11	SSE	16	SSE	14	SSE	9	119
13	W	11	W	15	W	11	WNW	12	NW	8	WNW	8	NW	4	SW	2	S	3	SW	3	W	5	S	10	150
14	WNW	8	SSW	6	SW	3	NW	2	NNE	3	NE	9	S	5	W	9	N	5	WNW	1	WNW	1	WNW	1	122
15	W	4	S	17	S	10	WSW	4	WSW	4	NNW	8	N	15	N	18	NNW	14	NNW	15	NNW	12	NNW	11	176
16	NNE	16	N	15	NNE	12	NNE	13	NNE	12	NE	11	NE	6	NNE	6	NE	8	NNE	10	NNE	11	NE	8	279
17	NE	10	NE	11	ENE	12	ENE	8	ENE	5	NE	9	NE	8	ENE	9	ENE	10	NNE	9	NNE	11	NNE	8	206
18	S	6	WSW	8	WNW	6	SW	12	SSW	10	SW	7	SW	1	SW	0	SSW	2	S	5	S	1	S	0	89
19	E	9	E	9	ENE	7	NNE	7	N	7	N	8	N	2	NNE	2	NNW	2	NW	0	WNW	0	SSE	6	96
20	SSW	12	SW	5	SW	6	SSW	8	S	7	SSE	2	SSE	7	SSE	12	WSW	8	NNE	0	NE	6	WNW	5	128
21	W	14	SSW	19	WSW	19	WSW	23	WSW	17	SSW	18	SSE	13	S	12	SSE	12	SSE	19	S	12	SSE	11	311
22	NNE	4	ESE	14	S	9	S	4	S	6	S	10	SSE	6	SSE	7	SSE	4	SE	4	ENE	1	ENE	0	144
23	SSW	9	SSW	9	S	7	SSE	11	SSE	13	SSE	15	SSE	17	SSW	17	S	15	S	12	S	10	SSW	10	229
24	SW	8	W	12	W	11	W	10	WSW	6	SW	4	S	7	SSE	4	SSE	5	SSE	7	SSE	7	SSE	9	194
25	NW	6	NW	8	WNW	8	NNW	7	NNW	4	NW	13	NW	6	NW	2	NW	0	NW	0	NW	0	NW	0	135
26	NNW	6	WNW	7	W	7	W	5	WSW	7	SSW	2	SSW	0	SSW	0	SSW	0	S	1	SE	0	SE	0	77
27	NNW	4	WNW	6	NW	4	NNE	3	NE	0	E	0	E	0	E	0	ESE	6	SE	2	SE	6	SE	10	61
28	WSW	4	ENE	4	W	8	WNW	16	WNW	17	NW	13	NW	11	NW	12	NW	11	NW	4	NW	3	NW	11	187
29	W	20	W	18	W	19	WNW	18	WNW	15	WNW	16	NW	10	NW	11	WNW	9	NNE	5	NNE	12	NNE	11	267
30	SW	10	WSW	17	W	25	W	25	SW	29	SW	28	WSW	33	WSW	28	WSW	24	WSW	21	SW	28	WSW	32	335

Oktober.

1	WNW	25	WNW	20	WNW	17	WNW	14	W	11	WNW	9	WNW	10	WNW	7	WNW	8	WNW	6	WNW	13	WNW	15	550
2	WNW	15	NE	6	ESE	19	SSW	12	SSE	10	SSE	12	SSE	8	SSE	7	SSE	10	SSE	7	SSE	6	SSE	6	297
3	ENE	8	NE	10	NE	9	NE	7	ENE	9	ENE	15	ENE	13	ENE	0	ENE	2	ENE	3	ENE	2	ENE	0	134
4	NNW	10	NNW	8	WNW	6	WNW	3	N	6	NNW	15	NW	14	NW	9	NW	5	W	10	WSW	6	WSW	4	129
5	NNE	8	N	6	NNW	7	N	8	NNW	1	WNW	0	WNW	1	WNW	0	WNW	5	NW	5	NW	0	NW	4	92
6	NE	4	NE	4	NE	2	NE	0	NNE	2	SSE	4	NNE	17	NE	18	NNE	12	NE	16	NE	19	NE	17	160
7	W	10	SW	12	SSW	15	S	14	S	13	S	9	S	4	S	0	S	3	S	2	S	7	SSE	9	209
8	NNW	7	NNE	13	NNE	22	NE	11	N	6	N	7	NNW	5	N	9	WSW	4	SE	3	NE	6	E	3	154
9	NNW	9	NNW	10	NW	10	NW	11	N	10	NE	10	SSE	10	SSE	13	SSE	14	SSE	7	SSE	1	ENE	13	170
10	NE	19	NE	18	NE	13	NE	8	NE	6	NE	6	NE	10	ENE	7	E	2	ENE	6	ENE	23	ENE	28	313
11	ENE	10	SSE	9	SSW	10	S	9	S	8	S	7	S	4	SSW	0	SSW	0	SSW	0	SSW	0	SSW	0	177
12	WSW	5	WNW	6	W	1	W	2	W	2	W	0	WNW	4	NNW	0	NNW	3	NNW	0	NNW	2	NNW	2	57
13	NW	3	NW	5	NNW	5	NNW	4	NNW	1	NNW	2	NNW	5	NNW	2	NNW	1	W	2	SW	5	SW	2	68
14	NNW	7	NNW	4	NNW	0	NNW	0	NNW	0	NNW	0	NNW	0	NNW	3	NNW	7	NNW	5	NNW	4	NNW	4	72
15	NE	10	NE	11	NNE	7	NE	7	ENE	1	E	1	ENE	8	NE	13	ENE	13	ENE	8	E	0	ENE	5	120
16	NE	17	NE	11	NE	13	NE	12	NE	14	ENE	13	ENE	7	NE	13	NE	11	NE	11	NE	12	ENE	17	196
17	NE	20	NE	18	NNE	15	NNE	12	NNE	10	N	3	NNW	4	NNW	0	NNW	0	NNW	1	NNE	0	NE	0	196
18	NNE	8	N	11	NNW	8	NNW	7	NNW	5	NNW	0	NNW	0	NNW	0	NNW	0	NNW	0	NNW	1	NNW	1	85
19	NNW	9	NNW	12	NW	10	WNW	8	W	4	WSW	0	WSW	0	WSW	1	WSW	0	WNW	0	SW	3	SSE	3	77
20	SSE	0	SSE	0	S	7	SSE	8	S	10	SSE	9	SSE	4	SSE	7	SSE	8	SSE	3	SSE	2	SSE	3	72
21	NW	7	NW	8	NW	10	WNW	10	NNW	2	SW	3	SSE	4	SSE	8	SSE	9	SSE	10	SE	10	ESE	6	120
22	W	16	WNW	14	SW	12	SSW	13	SSW	17	SSW	16	WSW	20	WSW	22	WSW	19	W	16	W	17	W	21	304
23	WNW	28	WNW	29	NW	24	NW	16	NNW	8	N	8	NNW	2	NNW	0	NE	1	E	0	E	0	E	0	448
24	SSW	3	WSW	3	SW	9	SW	7	SSE	4	SSE	1	SSE	7	SSE	10	SSE	5	SE	7	E	2	ENE	0	95
25	SSW	3	NW	10	NW	7	W	23	WSW	30	WSW	26	W	18	WSW	24	WSW	18	WSW	9	WSW	18	WSW	21	230
26	SW	17	SSW	13	SSW	11	SSW	14	SSW	11	S	9	S	10	S	7	SW	16	S	12	S	14	S	8	444
27	WNW	9	WNW	16	WNW	12	NNW	4	NW	26	NW	34	NW	22	WNW	8	WSW	14	SW	23	S	11	S	8	333
28	SW	12	W	25	W	22	W	21	NW	6	NNW	8	NNW	2	NNW	2	WNW	2	SSE	8	SSE	6	S	1	312
29	NW	6	WNW	11	N	15	NNE	19	NNE	18	NNE	16	NNE	13	ENE	4	E	5	ESE	6	ENE	13	ENE	10	155
30	SW	5	WNW	6	W	7	WNW	5	W	4	SSW	6	SE	0	SE	0	SE	0	SE	1	SE	4	SE	6	85
31	WNW	2	NW	7	NNW	3	NNW	2	NNW	4	N	2	N	0	NNE	3	NE	4	NE	3	N	5	ENE	2	82

November 1911. $h_a = 34.5^m$. **Stündliche Aufzeichnungen des Anemometers.**

Tag	Mittel	0^{30}–1^{30} a		1^{30}–2^{30}		2^{30}–3^{30}		3^{30}–4^{30}		4^{30}–5^{30}		5^{30}–6^{30}		6^{30}–7^{30}		7^{30}–8^{30}		8^{30}–9^{30}		9^{30}–10^{30}		10^{30}–11^{30}		11^{30}–12^{30} p	
1	3.5	ESE	0	S	0	S	1	S	0	S	1	S	0	S	0	S	0	S	0	SSW	4	SW	4	WNW	6
2	3.7	NNW	7	NNW	2	NNW	0	NNW	1	NNW	0	NNW	3	NNW	0	N	1	NE	4	NE	4	NE	4	NE	8
3	2.2	W	3	SSW	0	S	1	S	1	S	0	S	0	SSW	1	WNW	1	WNW	3	WNW	4	NNW	2	WNW	3
4	8.0	W	3	SSW	8	SSW	8	SSW	9	WSW	3	WSW	5	WSW	8	W	5	SW	8	SW	8	SSW	17	S	14
5	19.5	SSE	9	SSE	9	SSE	7	SSE	3	SSE	9	SSE	6	SSE	10	ESE	6	S	2	S	9	W	32	W	36
6	14.4	W	36	W	46	NW	40	NW	27	NW	18	NW	15	NW	13	NW	3	WNW	9	WNW	2	WSW	7	WSW	11
7	5.2	WNW	7	W	6	WSW	10	SW	7	SSW	10	SSW	7	SSE	8	SSE	6	S	9	SSW	11	WSW	10	SSW	9
8	2.1	E	0	E	0	E	0	E	0	NE	0	NNE	0	N	1	NW	0	NW	1	NW	1	NW	2	NW	6
9	4.5	E	2	NNE	8	N	6	N	1	NNE	0	ENE	3	SE	6	SSE	6	SSE	2	SSE	2	SSE	0	NE	7
10	3.7	WNW	9	WNW	12	NW	7	NW	0	NW	1	NW	0	NW	1	NW	1	NW	2	NW	3	NW	2	NW	2
11	5.5	NNW	0	NNW	3	W	2	NNW	2	W	5	WSW	1	WNW	0	WNW	1	W	3	WNW	5	SW	6	WSW	11
12	2.0	NNW	0	NNW	0	NNW	0	NNW	0	NNW	0	WNW	4	NNW	0	NNW	0	NNW	1	NW	1	WNW	1	WNW	2
13	7.1	WSW	9	WSW	12	WNW	8	WNW	12	WNW	10	WSW	9	SW	11	SSW	12	SSW	12	SSW	13	S	10	SSW	9
14	5.9	ESE	3	ESE	0	E	0	NE	10	NE	4	ENE	8	ENE	9	ENE	4	N	6	NNE	6	NNE	9	NNE	7
15	4.0	NE	2	NE	2	ENE	5	E	1	SSE	0	SSE	0	SSE	0	SSE	4	SSE	9	SSW	6	S	6	SSW	4
16	13.7	NW	8	NNW	15	NW	11	WSW	5	NNW	4	WSW	12	SSW	13	SW	16	WSW	21	WSW	19	W	26	W	27
17	5.6	SSE	6	SSE	8	SSE	10	SSE	15	SSE	16	SSE	10	SSE	8	SSE	2	SSE	0	SSE	0	SSE	1	SW	2
18	10.4	SSE	6	SE	2	ESE	1	SE	1	W	5	NW	18	WNW	20	SSW	12	SSE	14	SSE	12	SSW	4	NW	9
19	35.9	WSW	53	W	27	W	22	W	30	WSW	28	WSW	27	W	27	W	20	WSW	36	WSW	31	W	50	W	51
20	44.5	WSW	48	WSW	50	WSW	43	WSW	44	WSW	42	WSW	38	WSW	40	WSW	46	WSW	44	WSW	44	WSW	50	WSW	45
21	15.2	W	28	WSW	25	WSW	22	WSW	12	SSW	9	SSE	6	SSE	9	SSE	8	SSE	9	SSE	1	SSE	4	SSE	4
22	9.8	S	11	SW	38	SW	32	S	13	S	19	WSW	40	SW	16	S	3	WSW	4	SSW	2	SW	1	S	4
23	6.5	N	4	NNW	4	N	4	NNW	11	NW	10	NNW	6	N	6	NNE	7	W	8	S	9	ENE	2	NE	5
24	6.9	NE	4	SE	3	NNW	3	N	10	S	15	N	8	NW	7	NNW	10	NNE	22	NNE	19	N	8	NW	9
25	3.4	SSE	4	SE	0	SE	1	SW	2	NW	2	NW	2	NW	1	NW	0	NW	3	NW	1	NW	5	WNW	6
26	2.5	SSE	3	SSE	1	SSE	3	SSE	6	SSE	0	SSE	0	SSE	4	SSE	10	SSE	9	S	1	SSW	3	W	2
27	3.5	ENE	5	NW	3	NNE	3	S	2	E	4	N	4	E	6	ESE	5	NE	3	N	7	NNE	4	NNW	5
28	3.7	N	7	E	2	E	1	NE	3	NNE	3	NW	9	ENE	4	SE	1	SE	2	SE	10	S	4	ENE	7
29	2.4	SSE	6	SSE	5	SSE	5	SSE	5	SE	2	SE	0	SE	1	SE	2	SSE	4	S	2	SSW	1	WSW	1
30	2.8	ESE	4	E	0	ENE	2	E	3	ESE	4	ESE	5	ESE	7	SSE	6	SSE	0	SE	3	SE	2	ENE	1

Dezember.

1	3.2	S	4	S	1	S	0	S	0	S	0	S	1	S	5	S	3	S	0	S	3	SSW	10	S	4
2	3.1	NW	1	NW	5	WNW	3	SSW	7	SW	2	WNW	1	WNW	1	SSW	3	S	0	NNW	5	E	2	E	2
3	3.2	WSW	4	WSW	2	WNW	6	WSW	8	WSW	5	WSW	6	WSW	5	WSW	3	WNW	3	SW	6	SSW	3	SW	4
4	4.0	WNW	0	WNW	0	WNW	0	WNW	0	WNW	0	WNW	0	WNW	0	WNW	0	WNW	0	WNW	0	WNW	0	WNW	0
5	3.5	S	7	S	7	SSE	8	SSE	5	SSE	7	SSE	4	SSE	4	SSE	4	ESE	2	E	1	E	0	E	0
6	2.4	ESE	3	SSE	1	ESE	4	ESE	0	ESE	0	ESE	0	ESE	0	ESE	0	ESE	0	SE	2	SSE	2	NE	1
7	4.4	NE	2	NNW	2	NNW	2	WSW	5	S	4	WSW	1	N	5	NE	2	NE	6	NE	5	NW	4	NNW	8
8	3.0	SSE	3	NE	1	N	10	N	2	N	0	ENE	4	SE	2	SE	0	ENE	5	NNW	12	NNW	9	WNW	2
9	18.6	SSE	0	SSE	1	SSE	0	SSE	0	W	4	ENE	6	SW	2	NW	13	WSW	23	WSW	17	WSW	33	WSW	28
10	6.8	WSW	13	WSW	13	WSW	11	SSW	5	SSE	11	SSW	3	S	6	S	5	S	6	S	6	S	14	S	7
11	8.2	NNW	4	E	2	WNW	6	NNW	14	E	5	S	3	WNW	6	NNW	6	N	7	NE	2	SSW	5	WNW	5
12	9.0	SSW	8	SSW	8	WSW	5	WNW	5	NW	7	WNW	10	NW	11	WNW	8	W	6	W	12	W	9	W	15
13	5.6	ESE	5	E	11	E	5	NNE	4	NNE	15	ESE	8	ESE	12	NE	4	NNW	7	NNW	1	NNW	3	NNW	5
14	4.0	SSE	8	W	7	NNW	2	NNE	7	NNE	3	NNW	3	W	2	NNW	2	NNW	0	NNW	0	NW	3	NW	2
15	6.0	NW	2	WNW	2	NW	0	NW	0	WNW	4	NNW	4	NW	7	NNW	7	NNE	5	N	4	NNW	4	NW	4
16	5.1	S	8	SSW	8	SSW	7	WSW	4	SSW	7	SSW	3	SSW	4	S	2	ENE	5	SE	7	SSE	3	SSW	10
17	2.7	SSE	0	SSE	0	SSE	0	SSE	1	SE	1	E	6	SE	3	ENE	3	ENE	2	ENE	3	NNW	2	NNW	1
18	1.8	SSW	2	WNW	3	N	4	E	1	S	3	WNW	1	SW	2	WSW	2	WNW	0	WNW	2	WNW	3	WNW	2
19	2.1	SW	1	SW	2	S	4	SSE	2	SSE	3	SSE	1	SSE	1	SSE	2	SW	2	WNW	0	WNW	1	WNW	1
20	18.7	NNW	6	NNW	1	NE	3	E	3	SSE	9	SSE	5	SE	7	SSE	12	E	9	NNW	8	SSE	2	NW	2
21	36.4	WSW	14	W	19	W	25	WNW	6	SE	10	SSE	8	SSE	9	SSE	8	SE	3	SSE	12	SSW	26	SW	32
22	30.0	W	63	W	59	W	47	W	39	W	36	W	27	WSW	33	WSW	29	WSW	37	WSW	39	WSW	40	WSW	46
23	32.5	WSW	34	SW	21	SW	37	WSW	60	W	62	WSW	62	WSW	59	WSW	53	WSW	60	WSW	49	W	58	W	40
24	8.6	SSE	1	SSE	0	SSE	0	SSE	0	SSE	0	SSE	0	SSE	0	SSE	0	SSE	0	SSE	0	S	6	S	9
25	27.0	SSW	12	SSE	7	SSE	9	SSE	10	SSE	8	SW	13	WNW	17	SSW	28	S	27	SSW	27	SSW	33	SW	33
26	32.1	WSW	34	WSW	30	WSW	35	WSW	38	WSW	33	WSW	29	WSW	42	WSW	30	WSW	40	WSW	43	W	49	W	43
27	26.5	SSW	21	SW	37	WSW	46	WSW	53	WSW	52	WSW	53	WSW	47	WSW	41	WSW	47	W	44	W	34	W	34
28	1.1	NNW	1	NNW	0	NNE	2	NE	4	NNE	0	NNE	0	ENE	0	ESE	0	ESE	0	ESE	0	ESE	0	ESE	0
29	11.6	SSW	12	S	12	S	13	S	5	SSE	3	S	12	SW	25	WSW	21	W	17	WNW	17	W	17	WSW	17
30	3.3	NNW	0	NNW	0	NNW	0	NNW	0	NNW	0	NNW	0	NNW	0	NNW	2	NE	5	ESE	3	SSE	0	E	1
31	9.3	NW	15	NW	5	NW	2	NW	0	WSW	2	S	0	E	1	ENE	5	NNE	6	NE	12	NNE	4	NE	4

Windrichtung und Geschwindigkeit (Kilometer pro Stunde). November. Zürich.

Tag	12^{30}p–1^{30}	1^{30}–2^{30}	2^{30}–3^{30}	3^{30}–4^{30}	4^{30}–5^{30}	5^{30}–6^{30}	6^{30}–7^{30}	7^{30}–8^{30}	8^{30}–9^{30}	9^{30}–10^{30}	10^{30}–11^{30}	11^{30}–12^{30}a	Summe
1	NW 10	NNW 11	NNW 9	NNW 6	NNW 0	NNW 4	NNW 1	NNW 6	N 6	N 4	NNW 6	ENE 6	85
2	NNE 6	NNW 9	NNW 5	NW 9	NW 8	NW 5	NW 5	NW 6	NNW 0	NNW 0	NNW 1	NNW 2	90
3	SSW 9	SSW 8	SSW 4	SSW 2	SSW 0	SSW 0	SSW 0	SSW 0	W 5	NNW 5	NNW 2	NNW 0	54
4	SSW 13	SW 5	SSW 9	N 3	SSW 10	S 8	SSE 8	SE 6	SE 10	SSE 7	SSE 6	SSE 11	192
5	W 22	WSW 24	SW 17	WSW 30	WSW 33	W 21	W 20	W 32	W 25	WSW 33	WSW 36	WSW 38	469
6	SW 13	SW 16	WSW 16	WSW 7	WSW 10	W 10	NNW 7	NNW 9	WNW 10	NW 4	WNW 9	WNW 7	345
7	WNW 7	NW 6	NW 4	NW 3	NNW 8	N 0	N 0	N 0	N 0	NE 0	E 0	E 0	128
8	NW 7	NW 8	SW 6	ESE 5	E 2	ENE 3	E 0	E 0	NE 0	N 1	NNW 5	NE 2	50
9	NNW 10	NNW 9	NNW 10	WNW 12	WNW 10	WNW 7	NW 3	NW 2	NW 0	NW 0	NW 0	WNW 3	109
10	NW 7	WNW 7	WSW 2	SSW 4	SSW 5	S 5	SSE 7	SSE 1	SSE 1	SSW 5	NNW 4	NNW 0	88
11	W 11	WSW 11	WSW 9	SSW 9	SSW 7	S 6	SSE 8	SSE 8	SSE 7	SSE 8	SSE 5	NE 3	131
12	WNW 0	WNW 1	N 1	N 2	ESE 4	SW 5	WSW 8	S 0	S 0	W 4	W 8	WSW 7	49
13	SSW 6	SW 7	W 6	W 5	WNW 3	WNW 1	WNW 0	WNW 1	NNW 1	SW 8	SSE 4	ESE 1	170
14	NNE 3	NE 4	NE 3	NE 5	NNE 5	NE 2	NE 7	NE 7	NE 8	ENE 14	ENE 14	ENE 4	142
15	S 4	S 7	SSW 7	S 12	S 8	S 7	S 1	S 1	SSW 3	S 4	SSW 2	SSW 2	97
16	W 18	WSW 21	WSW 20	WSW 15	WSW 18	SW 14	SW 16	W 5	SW 5	SSE 7	SSE 7	SSE 6	329
17	WNW 5	WNW 7	WNW 4	WSW 0	S 10	SSE 9	SSE 3	SW 7	SSW 3	NNW 2	SSE 2	S 4	134
18	N 8	N 7	NNW 7	NNW 5	NNE 4	N 8	WNW 0	SW 6	SE 5	SW 12	W 32	WSW 51	249
19	W 50	W 44	W 34	WSW 32	WSW 34	WSW 36	W 36	WSW 37	SW 36	WSW 33	WSW 42	WSW 45	861
20	WSW 53	WSW 49	WSW 53	WSW 54	WSW 50	WSW 53	WSW 44	WSW 39	WSW 40	WSW 40	WSW 32	W 28	1069
21	SSE 6	SSE 3	SSE 7	SSE 10	SSE 11	SSE 13	SSW 28	SSW 24	SW 35	SW 35	SW 41	SSW 15	365
22	S 4	WSW 1	WNW 0	SSW 2	ENE 5	N 12	E 7	NE 2	NNW 1	ESE 3	ESE 2	N 4	226
23	NW 18	N 7	NNE 4	N 2	NNW 1	N 3	NW 5	NW 10	NNW 12	NNW 8	N 7	ENE 3	156
24	NNW 5	NW 6	WSW 3	SSW 4	SSW 0	SSW 0	S 3	S 0	S 2	SSE 6	SSE 11	SSE 7	165
25	NW 3	NW 6	NW 5	NW 6	W 2	SSW 5	SSW 5	S 5	SE 3	SSE 6	SSE 3	SSE 6	82
26	WNW 1	W 4	WSW 1	SW 1	N 4	ESE 0	E 0	E 0	E 0	E 1	E 3	NE 4	61
27	NNW 7	NNW 3	NNE 3	S 1	NW 0	N 0	E 6	ESE 2	NNE 3	NNE 1	ESE 3	NE 3	83
28	NNW 2	WSW 5	S 5	SW 2	WNW 1	SW 4	SSE 0	SE 4	ESE 4	SE 1	E 2	SSE 7	9
29	NW 2	NNW 1	NNW 6	ENE 1	SE 0	SE 0	SE 0	SE 0	ENE 5	ESE 4	SE 4	SE 0	57
30	ENE 2	E 3	ESE 2	S 0	S 0	S 0	S 2	S 4	S 4	S 7	S 2	S 4	67

Dezember.

1	S 1	S 3	SE 2	SSE 6	SW 6	S 6	SSE 7	SSE 6	SSE 0	SSE 1	SSE 6	SSW 2	77
2	E 3	NNE 2	N 1	NNE 1	NNE 1	NNE 1	NNE 4	NNW 7	NNW 6	NNW 5	WNW 3	SW 7	73
3	WNW 4	WNW 3	W 2	SSW 9	SSE 4	SSE 0	SSE 0	SW 0	WNW 0	WNW 0	WNW 0	WNW 0	77
4	WNW 1	WNW 0	WSW 2	SSW 5	SSW 8	SSW 12	SSW 11	SW 13	SW 14	SSW 13	SSW 10	S 8	97
5	E 0	N 8	N 9	NNW 5	NNW 6	NNW 3	NE 2	ESE 0	ESE 1	ESE 0	ESE 0	ESE 2	85
6	NW 7	NNW 7	NW 1	NW 7	NNW 4	NW 1	NNW 3	NNW 2	NNW 1	NE 6	ESE 5	ESE 1	58
7	NNW 5	NNW 2	WNW 9	S 3	ESE 3	ENE 0	SSE 2	NW 6	NNW 1	WSW 5	SSE 10	SSE 13	105
8	WNW 1	NW 1	NW 0	NW 0	NW 1	NW 1	NW 5	WSW 5	SSE 3	SSE 3	SSE 1	SSE 0	71
9	WSW 29	WSW 32	W 32	W 33	WSW 31	WSW 27	WSW 32	WSW 25	WSW 24	WSW 22	WSW 18	WSW 15	447
10	S 3	SSE 5	ESE 10	E 9	ENE 7	NE 3	NNE 1	NNW 4	NNW 8	ENE 3	SSE 3	NNW 7	163
11	WSW 16	SSW 19	SW 16	SSW 16	SSW 15	SSW 13	SSW 11	SW 7	SSW 8	S 5	SSW 4	WSW 2	197
12	WSW 16	SW 17	WSW 16	WSW 15	WNW 6	N 2	WNW 2	SSW 8	SSE 9	SSE 7	SSE 7	SSE 6	215
13	NNW 4	NNW 8	NE 5	N 2	NW 0	NNW 5	NNW 5	ENE 5	WNW 1	NNW 2	N 11	NNE 7	135
14	ENE 5	SSE 5	S 7	S 10	S 7	SSE 8	SSE 7	SE 5	ESE 2	NE 1	N 1	NNW 0	97
15	NNW 2	NNW 9	SSE 3	SW 2	W 14	ENE 6	SW 12	WNW 7	WNW 8	WSW 13	WSW 13	SW 12	144
16	SSW 6	SSW 7	S 7	S 2	S 4	S 6	S 4	SSE 5	SSE 8	SSE 5	SSE 1	SSE 0	123
17	NNW 2	NNE 6	ENE 1	NNE 6	N 5	NNE 1	E 3	E 6	SE 4	SSE 2	S 3	SSE 4	65
18	NW 1	NW 1	NW 0	WSW 4	S 2	S 1	S 1	SSE 2	SSE 2	SSE 1	SSE 2	SSW 1	43
19	WSW 1	SSW 2	SSE 11	SE 4	NE 5	NE 0	ESE 1	SE 1	SSE 2	SSE 0	SSE 0	NE 3	50
20	NNW 10	NW 11	ESE 13	SW 47	SW 34	SW 38	WSW 40	WSW 43	SW 39	WSW 45	WSW 32	WSW 29	448
21	SW 28	SW 15	WSW 62	WSW 72	WSW 74	WSW 75	WSW 67	WSW 63	WSW 63	WSW 68	W 58	W 57	874
22	WSW 29	WSW 30	WSW 24	SW 15	SW 16	SW 13	S 9	SSW 12	SSW 21	SSW 14	SSE 10	SW 32	720
23	WNW 42	NW 44	NW 39	NW 17	NW 8	WNW 5	W 8	WNW 4	WNW 8	WNW 7	WSW 2	S 1	780
24	SSW 15	SSW 11	SSW 12	S 11	S 11	SSE 10	SSE 6	SW 4	WSW 32	SW 20	WSW 36	SW 23	207
25	WSW 48	WSW 64	W 44	WSW 41	WSW 30	W 24	WSW 33	WSW 33	SW 24	WSW 26	WSW 30	WSW 26	647
26	WSW 38	WSW 33	WSW 32	W 34	W 26	WSW 28	WSW 28	WSW 27	SW 22	SW 20	SSW 19	SSW 17	770
27	WNW 25	WNW 28	WNW 19	NW 15	N 8	NNE 11	NNE 13	NNE 4	NNE 0	NNE 2	NNE 0	NNE 1	635
28	ESE 0	ESE 0	ENE 0	NE 0	ENE 0	ENE 0	E 3	SSE 1	S 1	S 1	S 5	S 8	26
29	W 19	WNW 16	WNW 18	WNW 5	W 5	NW 7	NNW 13	NW 10	NW 2	NW 6	NNW 6	NNW 1	279
30	NNE 0	NE 3	SSW 3	SSW 4	SSW 3	SW 5	SW 5	WSW 3	WNW 9	NW 12	W 11	WNW 11	80
31	ENE 10	E 16	ENE 16	ENE 20	ENE 16	ENE 15	ENE 10	NE 16	NE 13	NNE 6	NE 15	ENE 13	222

1911. **Häufigkeit der 16 Windrichtungen** (in Stunden). **Zürich.**

	N	NNE	NE	ENE	E	ESE	SE	SSE	S	SSW	SW	WSW	W	WNW	NW	NNW	Calmen	Summe
Januar	17	37	62	38	23	12	7	13	25	11	2	6	4	5	9	20	453	744
Februar	10	21	37	32	10	2	27	21	23	30	42	82	86	42	24	21	156	672
Marz	19	15	39	33	7	8	14	42	40	27	36	48	53	43	41	36	243	744
April	20	47	116	70	15	7	7	34	28	21	50	42	40	32	52	13	126	720
Mai	49	61	97	68	13	7	18	35	15	13	18	9	15	51	58	49	168	744
Juni	32	52	54	37	14	12	27	42	35	39	28	35	38	66	53	49	107	720
Juli	36	57	100	119	26	15	17	43	28	18	19	14	25	40	68	30	89	744
August	44	34	69	96	29	10	12	55	29	26	24	30	26	37	60	40	123	744
September	20	42	41	36	8	18	36	74	56	45	42	28	33	41	35	30	135	720
Oktober	34	47	50	36	9	7	33	65	30	30	32	50	48	55	38	83	97	744
November	29	18	25	21	14	18	20	79	47	48	34	80	46	38	58	51	94	720
Dezember	15	24	24	21	19	16	13	71	55	54	43	110	39	47	37	56	100	744
Summe	331	455	714	607	187	132	231	574	411	362	370	534	453	497	533	478	1891	8760
id. in %	3.8	5.2	8.2	6.9	2.1	1.5	2.6	6.6	4.7	4.1	4.2	6.1	5.1	5.7	6.1	5.5	21.6	100.0

Mittlere Windgeschwindigkeit (Meter pro Sekunde).

		N	NNE	NE	ENE	E	ESE	SE	SSE	S	SSW	SW	WSW	W	WNW	NW	NNW	Mittel
Januar	31 Tage	1.5	2.3	3.1	3.7	1.4	1.1	0.7	1.2	1.8	1.5	1.5	0.7	0.5	0.8	0.8	1.0	—
Februar	28 »	1.3	1.6	2.1	2.1	1.1	0.8	1.4	1.2	1.2	2.2	3.7	7.4	8.2	5.2	2.0	1.8	—
März	31 »	1.4	1.7	2.8	3.0	1.4	0.9	1.4	1.8	1.9	2.0	3.9	5.8	6.0	2.5	2.2	1.6	—
April	30 »	2.7	2.9	3.5	3.6	2.4	1.0	1.0	2.0	1.8	3.0	3.4	6.5	5.6	4.4	3.3	1.7	—
Mai	31 »	1.8	2.7	3.1	3.1	1.6	1.9	2.4	1.9	2.0	1.7	1.8	1.2	1.9	2.7	2.4	1.7	—
Juni	30 »	2.1	2.6	3.1	2.7	1.2	1.2	1.2	2.4	2.3	2.0	2.6	3.1	4.0	4.0	3.1	2.0	—
Juli	31 »	1.9	2.9	3.2	3.8	1.9	1.5	1.4	1.8	2.0	1.5	2.3	2.7	2.7	4.1	3.2	1.8	—
August	31 »	1.8	2.3	2.6	3.0	2.8	1.2	1.8	2.1	2.1	2.8	2.4	2.8	2.5	3.6	2.6	1.9	—
Septemb.	30 »	1.9	1.9	3.0	2.0	2.0	1.3	1.5	1.9	1.9	2.3	2.3	3.2	3.3	2.2	2.0	2.0	—
Oktober	31 »	1.9	2.4	3.0	2.3	1.0	1.9	1.2	1.5	1.9	2.3	2.8	5.5	4.0	3.1	2.8	1.4	—
Novemb.	30 »	1.4	1.8	1.2	1.4	0.8	1.0	0.9	1.8	1.5	2.2	3.6	7.4	5.6	1.5	1.9	1.5	—
Dezemb.	31 »	1.5	1.3	1.4	2.1	1.3	1.3	1.1	1.4	1.6	2.9	4.7	8.3	8.1	2.1	2.1	1.3	—
	Mittel	1.8	2.2	2.7	2.7	1.6	1.3	1.3	1.7	1.8	2.2	2.9	4.6	4.4	3.0	2.4	1.6	—

Monatsmittel der Windgeschwindigkeit (in Kilometern pro Stunde).

		1^{30}a	2^{30}	3^{30}	4^{30}	5^{30}	6^{30}	7^{30}	8^{30}	9^{30}	10^{30}	11^{30}	12^{30}p	1^{30}	2^{30}	3^{30}	4^{30}	5^{30}	6^{30}	7^{30}	8^{30}	9^{30}	10^{30}	11^{30}	12^{30}a	Mittel
Januar	31 Tage	2.4	2.3	2.4	2.5	2.8	2.7	2.8	3.8	3.0	3.3	4.1	2.9	4.0	4.4	4.2	4.0	3.5	2.5	2.2	2.7	2.4	1.6	1.8	2.6	3.0
Febr.	28 »	9.5	11.3	11.0	9.4	9.0	9.2	10.1	10.1	9.8	10.5	13.1	13.8	13.0	15.1	15.4	14.7	14.7	12.1	10.7	11.0	10.5	12.0	10.5	9.4	11.5
März	31 »	4.7	4.5	3.3	4.4	4.4	4.0	3.8	3.7	4.3	5.4	9.4	9.4	10.9	12.3	12.3	11.7	10.6	10.7	9.6	7.7	7.5	6.1	5.2	4.7	7.1
April	30 »	8.4	7.2	7.1	5.8	6.0	5.4	6.0	7.0	7.8	11.5	13.7	13.6	15.0	14.8	15.3	14.9	13.3	12.3	11.8	11.0	10.7	10.6	11.1	9.5	10.4
Mai	31 »	3.5	2.9	3.6	3.5	2.4	2.4	2.8	3.8	6.5	6.8	8.6	8.7	8.7	9.4	10.7	11.2	12.7	11.0	8.7	8.1	9.0	7.1	5.4	4.4	6.7
Juni	30 »	4.8	5.4	4.0	3.1	2.8	3.0	3.3	5.8	6.7	8.8	10.7	12.0	12.0	13.5	13.0	13.2	12.5	11.5	12.3	9.9	9.3	7.7	6.8	6.0	8.2
Juli	31 »	6.5	5.9	4.5	3.6	3.6	3.4	4.3	5.3	7.0	9.5	12.4	12.8	13.5	13.9	15.0	16.1	15.4	13.8	11.2	8.4	7.7	7.8	6.9	6.6	9.0
Aug.	31 »	4.7	3.4	3.0	2.6	2.6	3.0	2.9	4.6	5.6	5.9	8.3	9.2	11.4	11.2	12.2	14.1	13.7	11.4	10.0	9.4	10.0	8.4	7.7	5.8	7.5
Sept.	30 »	4.0	3.7	4.4	3.9	3.5	3.4	3.5	3.4	4.4	6.4	8.6	8.1	8.7	10.2	9.7	9.6	9.2	8.7	7.7	7.2	6.6	6.5	5.8	5.8	6.4
Okt.	31 »	7.2	9.6	7.7	8.0	7.9	8.5	6.5	6.8	6.8	7.2	10.5	10.3	10.1	10.8	10.8	9.4	8.3	8.1	7.3	6.4	6.5	6.1	6.8	7.1	8.0
Nov.	30 »	9.6	9.7	8.6	7.9	7.5	8.2	7.9	6.6	8.3	8.0	9.2	10.4	10.4	10.0	8.7	8.3	8.4	8.0	7.7	7.5	7.8	8.8	9.8	9.1	8.6
Dez.	31 »	9.3	8.6	9.5	9.3	9.5	8.8	10.3	9.6	10.6	11.0	12.2	11.7	12.0	13.1	13.4	13.5	11.6	10.5	11.2	10.8	10.8	10.8	10.4	10.0	10.8
Mittel d. 365 Tage		6.22	5.95	5.75	5.38	5.17	5.17	5.35	5.88	6.73	7.86	10.07	10.25	10.81	11.56	11.73	11.73	11.16	10.05	9.20	8.34	8.23	7.75	7.35	6.71	8.10

1911. **Weg in Kilometern.** Zürich.

	N	NNE	NE	ENE	E	ESE	SE	SSE	S	SSW	SW	WSW	W	WNW	NW	NNW	Summe
Januar	92	303	689	510	115	48	17	56	162	50	11	15	7	14	25	71	2194
Februar	79	124	278	243	42	6	133	95	96	233	595	2182	2552	763	174	139	7729
März	95	91	394	355	35	27	72	265	273	200	50	1	143	304	328	207	5288
April	195	483	1482	910	129	20	25	241	178	220	600	983	801	535	620	78	7488
Mai	312	599	1076	762	74	48	157	242	106	78	117	38	102	594	469	302	5016
Juni	242	494	598	361	60	50	121	365	294	271	291	302	541	953	580	317	5218
Juli	249	602	1149	1638	178	80	83	277	206	68	158	130	242	588	791	197	6672
August	286	280	641	1006	294	43	78	421	215	200	208	308	235	480	571	272	5598
September	138	292	443	262	59	83	195	516	388	307	340	321	391	327	248	214	4593
Oktober	254	413	536	302	32	47	141	349	202	247	320	985	985	922	389	432	5942
November	149	117	110	107	43	93	60	520	260	375	442	2132	922	221	392	269	6193
Dezember	79	113	123	160	89	75	51	368	317	503	725	3395	1135	352	286	269	8010
Summe	2147	3911	7519	6616	1148	598	1142	3715	2697	2985	4277	11797	8050	5753	4903	2797	70661
pl. in Prozenten	3.0	5.5	10.6	9.4	1.6	0.9	1.6	5.3	3.8	4.2	6.1	16.7	12.3	8.1	6.9	4.0	100.0

Maximale Geschwindigkeit (Meter pro Sekunde).

		N	NNE	NE	ENE	E	ESE	SE	SSE	S	SSW	SW	WSW	W	WNW	NW	NNW	Mittel
Januar	31 Tage	3.0	5.0	9.7	9.4	3.9	3.3	1.4	3.3	3.3	3.3	2.5	1.4	0.0	1.7	1.7	2.8	—
Februar	28 »	2.8	4.7	4.7	5.0	4.2	1.4	3.3	3.3	3.6	5.0	9.4	17.2	16.9	13.9	6.4	5.3	—
März	31 »	3.9	3.1	5.0	0.9	2.2	2.5	4.4	5.0	4.2	4.4	10.0	13.3	13.3	9.7	8.1	6.1	—
April	30 »	5.0	6.1	8.9	7.8	5.0	2.5	2.8	4.7	4.7	8.0	12.2	14.7	13.3	8.9	8.6	4.2	—
Mai	31 »	4.4	6.1	6.7	6.7	4.7	4.4	5.3	6.1	5.0	5.0	4.2	1.9	4.2	6.7	8.1	4.2	—
Juni	30 »	6.9	7.8	7.2	5.0	2.8	3.1	5.0	6.4	6.4	4.7	9.2	8.9	8.1	10.3	8.6	7.2	—
Juli	31 »	5.0	7.8	7.2	7.5	9.2	3.0	0.4	8.6	4.4	3.3	3.9	0.4	7.5	8.6	9.7	4.7	—
August	31 »	7.5	8.9	5.3	6.1	5.0	2.5	3.1	6.7	7.2	8.1	5.6	6.9	6.1	8.3	8.1	5.8	—
Septemb.	30 »	5.0	4.4	6.7	4.7	3.9	3.9	3.9	5.3	4.7	5.3	8.1	9.2	9.9	9.7	6.1	4.4	—
Oktober	31 »	6.4	6.1	5.6	7.8	2.2	5.3	2.8	3.9	3.9	5.0	6.4	11.9	11.4	10.3	6.4	4.2	
Novemb.	30 »	3.3	6.1	2.8	3.9	1.9	1.9	2.8	4.4	5.3	7.8	11.4	15.0	14.2	5.6	11.1	4.2	
Dezemb.	31 »	3.1	4.2	4.4	5.0	4.4	3.0	2.8	3.6	7.5	0.2	13.1	20.8	17.5	11.7	12.2	3.9	—
	Jahr	7.5	8.9	9.7	9.4	9.2	5.3	6.4	8.6	7.5	0.2	13.1	**20.8**	17.5	13.9	12.2	7.2	—

Monatsmittel der Windgeschwindigkeit (in Metern pro Sekunde).

	1 a	2	3	4	5	6	7	8	9	10	11	12	1 p	2	3	4	5	6	7	8	9	10	11	12	Mittel
Januar 31 Tage	0.67	0.63	0.66	0.71	0.78	0.75	0.78	1.04	0.84	0.91	1.15	0.80	1.12	1.23	1.15	1.10	0.86	0.71	0.60	0.75	0.66	0.45	0.49	0.72	0.82
Febr. 28 »	2.65	3.13	3.05	2.62	2.50	2.56	2.80	2.80	2.72	2.92	3.65	3.84	3.62	4.21	4.28	4.10	4.10	3.37	2.97	3.06	2.98	3.33	2.91	2.60	3.20
März 31 »	1.31	1.25	0.90	1.23	1.23	1.10	1.01	1.02	1.20	1.49	2.62	2.63	3.04	3.41	3.41	3.25	2.94	2.99	2.68	2.13	2.06	1.69	1.44	1.31	1.97
April 30 »	2.34	2.00	1.98	1.60	1.66	1.49	1.68	1.91	2.15	3.21	3.80	3.77	4.16	4.10	4.26	4.15	3.68	3.41	3.28	3.05	2.97	2.89	3.08	2.74	2.89
Mai 31 »	0.96	0.80	1.00	0.97	0.67	0.68	0.79	1.06	1.79	1.88	2.89	2.41	2.41	2.66	2.98	3.12	3.54	3.06	2.15	2.26	2.49	1.97	1.50	1.23	1.87
Juni 30 »	1.32	1.50	1.11	0.87	0.77	0.85	0.90	1.00	1.86	2.45	2.98	3.39	3.33	3.76	3.61	3.67	3.46	3.19	3.10	2.75	2.58	2.13	1.90	1.68	2.29
Juli 31 »	1.80	1.64	1.24	0.99	1.01	0.95	1.20	1.48	1.94	2.63	3.45	3.56	3.76	3.87	4.16	4.17	4.27	3.82	3.10	2.51	2.15	2.17	1.93	1.84	2.49
Aug. 31 »	1.32	0.96	0.84	0.72	0.74	0.85	0.80	1.28	1.67	1.63	2.29	2.56	3.17	3.10	3.38	3.91	3.81	3.18	2.77	2.61	2.78	2.33	2.11	1.46	2.08
Sept. 30 »	1.11	1.03	1.21	1.09	0.97	0.95	0.97	0.91	1.23	1.79	2.40	2.25	2.41	2.83	2.69	2.67	2.56	2.41	2.11	1.99	1.84	1.81	1.60	1.62	1.77
Okt. 31 »	2.00	1.86	2.14	2.21	2.20	2.35	1.81	1.90	1.90	1.98	2.92	2.85	2.80	3.01	2.99	2.91	2.32	2.26	2.02	1.77	1.80	1.71	1.90	1.96	2.22
Nov. 30 »	2.66	2.69	2.39	2.18	2.07	2.28	2.19	1.84	2.31	2.22	2.56	2.90	2.89	2.78	2.42	2.30	2.34	2.28	2.18	2.07	2.16	2.43	2.73	2.53	2.39
Dez. 31 »	2.58	2.39	2.65	2.58	2.65	2.45	2.80	2.67	2.90	3.07	3.39	3.25	3.33	3.65	3.78	3.76	3.25	2.93	3.12	2.99	3.01	2.88	2.89	2.77	3.00
Mittel d. 365 Tage	1.78	1.65	1.60	1.48	1.44	1.44	1.48	1.65	1.87	2.18	2.80	2.85	3.00	3.21	3.20	3.28	3.00	2.80	2.60	2.41	2.25	2.15	2.04	1.87	2.25

Januar 1911. **Stündliche Lufttemperaturen.** $h_1 = 7.0^m$. Säntis.

Tag	1^{30}a	2^{30}	3^{30}	4^{30}	5^{30}	6^{30}	7^{30}	8^{30}	9^{30}	10^{30}	11^{30}	12^{30}p	1^{30}	2^{30}	3^{30}	4^{30}	5^{30}	6^{30}	7^{30}	8^{30}	9^{30}	10^{30}	11^{30}	12^{30}a	Tagesmittel
1	−16.4	−16.1	−15.8	−15.6	−15.7	−15.8	−15.9	−15.8	−14.9	−13.6	−12.5	−11.9	−11.5	−11.1	−11.1	−10.8	−11.5	−12.8	−13.0	−13.7	−13.9	−14.0	−13.8	−12.8	−13.75
2	−12.8	−12.6	−12.3	−12.5	−12.8	−13.4	−13.8	−13.9	−14.0	−14.4	−14.8	−14.5	−14.6	−14.7	−14.7	−16.3	−16.7	−16.2	−16.5	−16.7	−17.1	−17.1	−17.3	−17.2	−14.86
3	−17.3	−17.1	−17.0	−16.9	−16.8	−16.7	−15.8	−15.1	−15.0	−13.8	−13.3	−12.7	−12.2	−11.9	−11.0	−11.2	−13.0	−12.6	−12.1	−12.0	−12.4	−12.7	−12.6	−12.9	−13.92
4	−13.0	−10.4	−10.4	−10.4	−10.9	−10.9	−10.6	−10.3	−10.1	−9.4	−9.5	−9.5	−9.2	−9.7	−10.1	−10.7	−11.0	−11.8	−11.1	−11.2	−11.8	−11.7	−11.6	−11.4	−10.67
5	−11.6	−11.7	−11.7	−11.8	−11.8	−11.9	−11.9	−11.8	−11.3	−10.4	−10.0	−9.7	−10.2	−10.4	−10.9	−11.2	−11.3	−11.7	−11.6	−11.6	−11.9	−11.9	−12.0	−12.6	−11.37
6	−13.0	−13.2	−13.3	−13.3	−13.4	−13.6	−13.7	−13.9	−13.9	−11.7	−11.6	−11.4	−11.3	−11.3	−11.6	−11.8	−11.9	−12.0	−12.1	−12.2	−12.1	−12.1	−12.0	−12.0	−12.40
7	−12.0	−12.3	−12.3	−12.2	−12.3	−12.4	−12.4	−12.4	−11.6	−10.6	−10.4	−10.4	−10.3	−10.6	−11.0	−11.6	−11.5	−12.0	−12.4	−12.7	−12.6	−12.7	−13.0	−13.0	−11.86
8	−13.0	−13.0	−12.9	−12.9	−12.9	−13.0	−13.1	−13.1	−12.2	−11.1	−10.2	−9.6	−9.1	−8.6	−8.3	−8.3	−8.1	−8.5	−8.7	−9.1	−9.1	−8.5	−7.7	−7.9	−10.37
9	−7.8	−7.7	−7.7	−7.9	−7.9	−8.0	−7.7	−7.0	−7.0	−6.3	−6.3	−6.4	−6.1	−5.0	−5.0	−4.8	−5.0	−5.0	−5.0	−5.2	−5.5	−5.3	−5.3	−5.4	−6.26
10	−5.7	−5.9	−6.7	−7.2	−7.8	−8.1	−8.4	−9.0	−9.8	−10.1	−10.4	−11.7	−12.0	−12.2	−13.3	−14.2	−14.3	−14.4	−14.5	−14.6	−14.7	−14.8	−14.7	−14.6	−11.21
11	−14.6	−14.5	−14.5	−14.5	−14.4	−14.1	−13.8	−13.6	−13.3	−13.0	−12.1	−10.5	−9.2	−8.6	−8.3	−6.8	−6.5	−7.0	−8.0	−8.4	−8.8	−9.2	−9.2	−8.6	−10.90
12	−8.3	−8.4	−8.8	−9.0	−8.8	−8.4	−8.1	−8.0	−7.4	−6.6	−6.0	−5.6	−5.5	−5.0	−5.0	−7.3	−8.1	−8.9	−9.7	−9.7	−10.2	−10.4	−10.5	−11.0	−8.11
13	−11.1	−11.2	−11.6	−11.0	−10.6	−10.5	−10.3	−10.1	−9.7	−9.4	−9.3	−9.0	−9.1	−9.9	−10.1	−10.6	−11.3	−11.3	−11.3	−11.4	−11.5	−11.6	−11.9	−11.7	−10.65
14	−12.0	−12.9	−13.2	−13.1	−12.8	−12.5	−12.4	−11.8	−11.1	−10.7	−10.3	−9.5	−8.3	−8.3	−8.3	−8.6	−8.7	−8.9	−9.4	−9.4	−9.2	−9.1	−9.2	−9.2	−10.36
15	−9.1	−8.8	−8.0	−7.8	−7.8	−8.1	−8.2	−7.7	−7.3	−7.2	−6.7	−6.0	−5.9	−5.9	−5.8	−5.7	−5.7	−5.3	−5.0	−4.8	−4.8	−4.8	−4.6	−4.9	−6.50
16	−5.3	−5.5	−4.0	−3.4	−3.3	−3.2	−3.3	−2.8	−3.3	−4.4	−4.4	−4.3	−4.0	−4.0	−4.3	−5.7	−5.1	−4.0	−4.1	−4.6	−4.6	−4.6	−4.4	−5.1	−4.24
17	−4.8	−4.5	−4.1	−4.0	−4.1	−4.8	−5.5	−5.8	−5.1	−3.1	−3.3	−3.7	−3.7	−3.6	−3.6	−3.6	−3.3	−3.7	−4.8	−4.0	−4.6	−4.5	−3.1	−3.8	−4.13
18	−3.7	−3.8	−4.1	−4.7	−4.4	−4.8	−4.6	−4.6	−4.3	−4.1	−4.1	−3.9	−3.9	−4.0	−4.7	−3.7	−4.2	−3.7	−4.0	−4.0	−3.9	−3.0	−2.5	−2.6	−3.95
19	−3.0	−3.2	−2.9	−3.0	−2.6	−2.6	−2.6	−2.2	−2.0	−2.2	−1.4	−1.0	−0.8	−1.0	−1.8	−2.7	−2.7	−2.4	−2.4	−2.4	−2.2	−2.2	−2.0	−2.0	−2.22
20	−2.0	−2.0	−1.8	−1.8	−1.8	−1.8	−1.8	−1.8	−1.7	−1.4	−1.1	−0.8	−0.5	−0.5	−0.7	−0.9	−0.9	−0.7	−0.3	−0.3	−0.2	0.0	0.2	0.2	−1.02
21	0.0	0.1	0.1	0.2	0.3	0.2	0.4	0.1	0.5	0.5	1.2	1.5	1.6	1.3	1.1	1.5	2.0	1.6	1.0	0.0	−0.3	0.0	−0.7	−1.0	0.57
22	−0.8	−1.1	−1.2	−2.0	−2.5	−2.6	−2.9	−3.0	−2.9	−2.2	−2.2	−2.6	−3.6	−4.0	−4.2	−4.2	−4.5	−4.5	−4.6	−4.8	−4.9	−4.8	−4.7	−4.8	−3.32
23	−4.7	−4.5	−4.3	−4.2	−4.3	−4.5	−4.2	−4.2	−3.8	−3.6	−3.3	−3.0	−3.2	−3.8	−3.5	−3.9	−3.9	−4.1	−3.4	−4.1	−5.0	−5.7	−5.4	−5.3	−4.14
24	−5.1	−5.3	−5.7	−5.2	−5.8	−6.5	−7.5	−7.5	−7.3	−7.3	−7.3	−7.5	−7.5	−7.7	−8.1	−9.0	−9.6	−9.8	−10.3	−10.3	−10.7	−10.9	−10.6	−10.3	−8.05
25	−10.3	−10.3	−10.3	−10.5	−10.8	−10.5	−10.5	−10.3	−10.0	−9.9	−9.6	−9.3	−8.7	−8.1	−8.5	−8.7	−8.9	−8.8	−9.0	−9.1	−9.1	−8.8	−8.8	−8.4	−9.47
26	−8.8	−8.6	−8.4	−7.0	−7.2	−7.2	−6.9	−6.8	−6.8	−6.3	−5.9	−5.7	−5.8	−5.7	−5.7	−5.8	−6.0	−6.3	−6.3	−6.0	−4.1	−3.0	−2.0	−2.4	−5.86
27	−2.8	−2.8	−2.7	−3.8	−4.2	−4.0	−3.7	−3.7	−0.6	−0.3	−0.3	−0.3	−0.3	−0.4	−1.0	−1.4	−1.7	−2.0	−2.3	−2.4	−2.4	−2.5	−2.7	−2.8	−2.18
28	−3.2	−3.5	−3.7	−3.7	−3.7	−4.3	−4.8	−5.0	−5.1	−4.7	−5.1	−5.4	−5.7	−5.7	−6.2	−7.0	−6.9	−6.3	−6.3	−6.5	−6.3	−6.1	−6.0	−6.3	−5.31
29	−5.9	−5.9	−5.8	−5.8	−5.9	−5.8	−5.2	−5.1	−5.2	−5.1	−5.4	−5.4	−5.5	−5.6	−5.7	−6.2	−6.6	−6.9	−7.3	−7.6	−7.4	−7.7	−8.0	−7.8	−6.20
30	−7.3	−7.3	−6.6	−5.8	−6.5	−7.4	−8.5	−8.4	−8.4	−8.5	−8.8	−9.3	−9.7	−9.4	−10.3	−13.2	−13.7	−13.8	−14.4	−15.2	−15.4	−15.8	−17.5	−17.9	−10.77
31	−17.6	−17.0	−17.8	−17.8	−18.3	−17.9	−18.1	−18.2	−18.3	−18.4	−18.1	−17.1	−16.4	−15.6	−15.0	−14.2	−14.0	−13.9	−13.4	−13.5	−13.3	−13.4	−12.7	−12.5	−15.97
M.	−8.48	−8.38	−8.29	−8.34	−8.45	−8.54	−8.57	−8.48	−8.13	−7.72	−7.50	−7.29	−7.17	−7.11	−7.31	−7.70	−7.89	−7.97	−8.14	−8.31	−8.39	−8.35	−8.27	−8.32	−8.04

Februar 1911. Säntis.

Tag	1^{30}a	2^{30}	3^{30}	4^{30}	5^{30}	6^{30}	7^{30}	8^{30}	9^{30}	10^{30}	11^{30}	12^{30}p	1^{30}	2^{30}	3^{30}	4^{30}	5^{30}	6^{30}	7^{30}	8^{30}	9^{30}	10^{30}	11^{30}	12^{30}a	Tagesmittel
1	−11.9	−11.4	−11.1	−11.0	−11.4	−12.1	−12.0	−12.2	−11.8	−11.2	−11.1	−10.4	−10.8	−10.7	−11.0	−11.6	−11.7	−12.0	−11.7	−12.4	−13.1	−12.2	−12.1	−12.3	−11.63
2	−12.4	−12.1	−12.3	−12.3	−12.3	−12.0	−12.0	−11.7	−10.9	−10.5	−10.1	−9.3	−8.6	−8.0	−8.2	−7.6	−8.2	−9.0	−9.1	−10.1	−10.6	−11.0	−10.7	−11.0	−10.42
3	−12.7	−12.7	−12.8	−12.5	−12.7	−13.4	−13.8	−13.8	−13.9	−13.5	−13.6	−13.8	−13.8	−13.9	−14.0	−14.0	−14.0	−14.0	−14.1	−14.4	−14.7	−14.6	−14.1	−14.0	−13.70
4	−13.5	−13.3	−13.2	−12.9	−12.3	−11.9	−11.6	−11.0	−10.4	−10.0	−9.1	−8.2	−7.0	−7.0	−6.7	−7.6	−7.0	−5.9	−5.6	−5.5	−5.7	−5.9	−5.4	−5.0	−8.82
5	−5.5	−5.0	−4.9	−5.0	−5.3	−5.6	−5.3	−5.5	−5.9	−6.1	−6.3	−6.4	−6.1	−7.2	−8.0	−8.4	−8.4	−8.3	−8.9	−9.3	−8.0	−7.8	−8.0	−8.0	−6.80
6	−8.6	−8.5	−8.7	−9.3	−9.2	−10.9	−11.1	−10.5	−14.8	−14.8	−14.7	−14.9	−15.0	−15.1	−15.0	−15.2	−15.4	−15.8	−15.4	−14.1	−13.4	−12.9	−12.7	−13.0	−12.85
7	−12.7	−12.7	−12.4	−12.0	−11.7	−11.4	−11.3	−11.1	−10.8	−11.9	−11.9	−11.8	−11.7	−12.1	−13.0	−14.0	−14.5	−14.9	−14.7	−14.3	−14.0	−13.6	−13.5	−13.7	−12.74
8	−14.1	−14.6	−14.8	−14.8	−14.7	−14.9	−14.9	−14.9	−14.9	−14.8	−14.9	−15.4	−15.6	−15.7	−16.0	−15.9	−16.0	−16.4	−16.4	−16.8	−16.8	−16.4	−16.4	−15.9	−15.50
9	−15.1	−15.0	−14.4	−14.0	−14.0	−14.0	−13.2	−13.0	−12.8	−12.2	−11.5	−10.2	−9.7	−9.4	−9.0	−8.9	−8.9	−8.6	−8.0	−8.0	−9.7	−9.8	−9.9	−9.8	−11.21
10	−9.4	−9.2	−9.3	−9.3	−9.3	−9.1	−8.9	−8.4	−8.0	−7.7	−7.5	−7.6	−7.4	−8.0	−8.7	−9.2	−9.0	−9.7	−9.3	−8.6	−8.8	−9.0	−9.0	−9.0	−8.72
11	−9.0	−9.0	−9.2	−9.1	−9.3	−9.4	−9.5	−9.4	−9.3	−9.0	−9.0	−8.8	−8.7	−9.0	−9.3	−9.4	−9.7	−9.8	−9.6	−9.5	−9.6	−9.5	−9.4	−9.4	−9.29
12	−9.4	−9.5	−9.4	−9.5	−9.6	−9.7	−9.6	−9.3	−9.0	−8.4	−8.0	−7.3	−7.2	−7.3	−8.0	−8.5	−9.0	−9.5	−9.6	−9.7	−9.8	−9.9	−9.8	−9.8	−9.03
13	−10.0	−9.9	−9.8	−9.9	−10.2	−10.4	−10.4	−10.0	−9.4	−8.6	−8.2	−7.5	−6.7	−6.5	−6.4	−6.6	−6.7	−6.8	−6.6	−6.4	−6.1	−6.0	−6.0	−6.0	−7.96
14	−6.1	−6.5	−6.1	−6.8	−7.0	−7.0	−7.4	−7.5	−7.5	−7.7	−7.9	−7.9	−7.9	−7.9	−8.0	−8.2	−8.3	−8.4	−8.5	−8.7	−8.1	−8.2	−8.1	−8.3	−7.67
15	−7.5	−7.0	−7.0	−7.0	−7.3	−8.0	−7.9	−7.8	−8.4	−7.4	−7.3	−7.4	−7.9	−8.1	−9.1	−9.5	−10.2	−11.1	−10.8	−10.8	−11.4	−11.6	−11.7	−11.6	−8.91
16	−11.8	−11.2	−11.0	−11.2	−11.3	−11.4	−13.6	−13.8	−12.0	−9.5	−8.5	−7.6	−7.1	−7.0	−7.4	−7.5	−8.0	−8.1	−8.2	−8.9	−8.6	−8.0	−7.6	−7.8	−9.46
17	−7.4	−7.5	−7.8	−7.7	−7.7	−7.7	−7.6	−7.4	−7.3	−7.4	−7.6	−8.0	−7.8	−7.4	−7.3	−7.1	−7.0	−6.6	−6.5	−7.2	−7.2	−7.4	−7.2	−7.0	−7.37
18	−7.0	−6.2	−5.7	−5.6	−6.0	−6.6	−6.6	−6.1	−5.1	−3.4	−3.0	−2.8	−2.5	−2.8	−3.0	−3.2	−3.7	−4.0	−4.1	−5.0	−6.1	−6.2	−6.2	−6.2	−4.89
19	−6.2	−5.5	−4.8	−4.2	−3.8	−2.7	−2.5	−2.9	−4.4	−5.4	−5.6	−6.3	−8.2	−8.2	−8.0	−7.7	−7.6	−7.7	−7.8	−8.3	−8.8	−9.0	−10.0	−9.9	−6.46
20	−9.6	−10.0	−10.2	−10.4	−10.8	−11.0	−11.2	−11.3	−11.3	−11.3	−11.3	−11.3	−11.1	−11.2	−11.3	−11.5	−11.6	−11.7	−11.7	−12.1	−12.2	−12.0	−11.9	−12.0	−11.26
21	−12.2	−12.4	−12.1	−12.3	−12.3	−12.3	−12.3	−12.1	−12.0	−11.8	−11.8	−12.0	−12.0	−11.5	−11.1	−10.6	−10.0	−9.7	−9.0	−8.7	−8.6	−8.1	−8.0	−8.5	−10.90
22	−7.0	−6.0	−5.4	−4.8	−3.5	−3.1	−3.1	−2.7	−2.3	−1.6	−1.1	−1.2	−2.9	−4.7	−4.6	−3.2	−3.8	−3.6	−4.3	−5.0	−5.6	−5.7	−5.9	−6.1	−4.01
23	−6.2	−6.2	−6.3	−6.4	−6.4	−6.7	−7.0	−7.3	−8.0	−8.4	−8.3	−6.2	−5.0	−4.3	−4.3	−4.6	−4.8	−4.0	−3.6	−3.1	−2.6	−2.4	−2.9	−2.5	−5.30
24	−2.7	−3.0	−3.6	−4.0	−5.3	−5.9	−6.5	−7.6	−8.1	−9.2	−9.5	−9.0	−8.6	−9.0	−9.6	−10.1	−10.2	−10.2	−10.2	−10.2	−10.3	−10.3	−10.4	−10.6	−8.10
25	−10.8	−10.8	−10.8	−10.7	−10.5	−10.4	−10.3	−10.1	−9.8	−9.4	−9.1	−8.7	−8.0	−7.7	−7.8	−6.8	−6.7	−6.4	−6.0	−5.7	−5.3	−5.1	−5.0	−4.9	−8.18
26	−5.0	−5.4	−5.8	−6.4	−6.7	−7.1	−7.6	−7.6	−7.4	−6.9	−6.8	−7.0	−7.1	−9.0	−10.0	−10.1	−10.6	−11.1	−11.9	−12.3	−12.8	−13.1	−13.1	−13.0	−8.91
27	−13.0	−13.0	−13.0	−13.2	−13.2	−13.2	−13.2	−13.1	−13.2	−13.4	−13.4	−13.0	−12.7	−12.7	−12.4	−12.1	−12.1	−12.1	−12.3	−12.5	−12.7	−12.7	−12.7	−12.6	−12.81
28	−12.0	−11.6	−10.8	−10.0	−9.4	−9.2	−9.1	−8.6	−7.9	−6.2	−5.8	−5.2	−5.0	−4.9	−4.0	−3.6	−4.1	−4.3	−5.1	−5.8	−6.0	−6.2	−6.6	−6.7	−7.01
M.	−9.61	−9.47	−9.39	−9.35	−9.38	−9.54	−9.64	−9.54	−9.52	−9.20	−9.03	−8.76	−8.65	−8.80	−8.95	−9.03	−9.15	−9.26	−9.25	−9.41	−9.52	−9.45	−9.44	−9.45	−9.28

März 1911. Stündliche Lufttemperaturen. l_0 7.0^{m}. Säntis.

	1^{30}a	2^{30}	3^{30}	4^{30}	5^{30}	6^{30}	7^{30}	8^{30}	9^{30}	10^{30}	11^{30}	12^{30}p	1^{30}	2^{30}	3^{30}	4^{30}	5^{30}	6^{30}	7^{30}	8^{30}	9^{30}	10^{30}	11^{30}	12^{30}	Tages-mittel
1	−6.4	−6.4	−6.4	−6.1	−5.9	−5.4	−5.3	−5.4	−5.8	−6.9	−7.2	−7.1	−7.4	−7.3	−6.9	−6.8	−7.0	−10.0	−11.0	−11.3	−11.6	−11.6	−11.7	−11.6	−7.85
2	−11.6	−11.6	−11.4	−11.4	−11.8	−11.9	−12.1	−11.9	−11.8	−11.4	−11.9	−12.3	−12.0	−11.9	−11.1	−9.7	−9.4	−9.0	−8.6	−8.9	−9.2	−9.2	−9.0	−8.8	−10.75
3	−8.6	−8.3	−8.3	−8.4	−8.7	−9.0	−9.3	−9.6	−10.0	−10.1	−10.0	−9.8	−9.8	−10.1	−10.1	−10.1	−10.1	−10.2	−10.3	−10.1	−9.7	−9.4	−9.2	−8.9	−9.50
4	−9.3	−9.0	−8.6	−7.1	−6.2	−5.8	−5.7	−5.7	−5.5	−5.2	−5.1	−5.1	−5.1	−5.0	−4.8	−4.9	−5.2	−5.3	−5.5	−5.9	−6.4	−7.0	−7.6	−8.3	−6.22
5	−8.7	−8.8	−8.7	−8.3	−8.8	−8.8	−9.0	−8.8	−8.5	−8.4	−8.9	−8.8	−8.5	−8.8	−8.9	−9.2	−9.5	−9.7	−10.0	−10.2	−10.2	−10.4	−10.5	−10.5	−9.22
6	−11.7	−11.4	−11.6	−11.8	−12.0	−12.1	−12.8	−12.7	−12.0	−10.6	−9.9	−9.0	−8.5	−8.5	−8.1	−8.1	−8.0	−8.2	−8.0	−7.2	−7.3	−7.3	−7.0	−5.9	−9.53
7	−6.5	−6.8	−6.9	−6.9	−6.7	−6.3	−6.1	−6.2	−6.2	−6.2	−6.2	−6.2	−6.2	−6.3	−6.9	−7.6	−8.2	−8.9	−9.2	−9.8	−10.0	−10.0	−9.9	−9.9	−7.50
8	−10.0	−9.9	−9.8	−9.7	−9.5	−9.4	−9.2	−9.2	−9.1	−9.1	−9.0	−8.9	−8.8	−9.4	−9.9	−10.2	−10.4	−10.6	−10.8	−10.8	−10.8	−10.7	−10.8	−9.8	−9.87
9	−10.9	−10.9	−11.0	−11.2	−11.3	−11.3	−11.6	−11.3	−9.9	−9.0	−8.5	−7.5	−6.6	−7.1	−7.3	−7.6	−7.8	−7.9	−8.4	−9.1	−9.5	−9.0	−9.0	−9.1	−9.28
10	−9.0	−9.0	−9.0	−9.0	−9.1	−9.6	−9.6	−9.5	−9.0	−8.8	−8.5	−8.1	−7.6	−7.5	−7.8	−8.0	−8.7	−9.3	−9.8	−10.2	−10.0	−10.0	−10.1	−9.0	−9.06
11	−10.1	−10.0	−10.0	−10.1	−10.3	−10.3	−10.3	−10.0	−9.6	−9.4	−9.0	−8.6	−8.3	−8.2	−8.0	−8.1	−8.5	−9.3	−9.9	−10.3	−10.4	−10.3	−10.3	−10.2	−9.56
12	−10.2	−10.1	−10.0	−9.9	−9.8	−9.4	−9.4	−8.9	−8.2	−7.8	−7.8	−7.8	−8.0	−7.9	−7.6	−7.5	−7.8	−8.3	−8.4	−8.5	−8.5	−8.5	−8.5	−9.1	−8.66
13	−9.5	−9.6	−9.4	−9.4	−9.3	−9.2	−9.2	−8.8	−8.5	−8.0	−7.6	−7.4	−7.1	−7.0	−10.0	−11.6	−11.9	−12.0	−12.0	−12.0	−12.1	−12.2	−12.6	−13.5	−10.00
14	−13.8	−13.9	−14.4	−15.0	−15.4	−15.5	−15.5	−15.1	−14.8	−14.0	−13.3	−12.9	−12.4	−12.2	−12.2	−12.6	−12.9	−12.7	−13.8	−14.2	−14.2	−14.1	−14.3	−14.8	−13.80
15	−14.9	−15.1	−15.3	−15.1	−14.9	−15.0	−15.1	−15.1	−15.0	−14.4	−13.8	−13.2	−12.7	−12.5	−13.0	−13.9	−14.1	−14.5	−14.9	−15.2	−15.2	−15.1	−15.0	−15.0	−14.50
16	−14.9	−15.0	−14.9	−15.0	−14.9	−14.9	−14.9	−14.3	−13.8	−13.4	−13.2	−12.9	−12.4	−12.1	−12.0	−11.9	−12.3	−12.3	−12.4	−12.8	−12.9	−13.0	−13.1	−13.2	−13.44
17	−13.3	−13.3	−13.3	−13.4	−13.3	−13.3	−13.1	−12.8	−12.3	−12.0	−11.6	−11.2	−10.7	−10.7	−10.6	−10.7	−11.1	−11.2	−11.7	−11.9	−12.0	−12.0	−12.0	−12.0	−12.06
18	−11.8	−11.3	−10.9	−10.7	−10.4	−10.1	−9.8	−9.1	−8.3	−7.4	−7.3	−7.4	−7.4	−7.3	−7.1	−7.1	−7.2	−7.2	−7.4	−7.3	−7.1	−7.0	−7.1	−7.2	−8.37
19	−7.1	−7.8	−7.3	−6.9	−7.0	−6.8	−6.3	−6.2	−5.8	−5.1	−5.0	−5.0	−5.0	−4.3	−4.7	−4.9	−4.9	−5.0	−5.4	−5.3	−5.2	−5.0	−4.9	−4.6	−5.65
20	−4.4	−4.2	−4.3	−4.5	−4.8	−4.9	−4.5	−4.0	−3.8	−3.6	−3.2	−3.0	−2.6	−2.8	−2.9	−3.3	−3.8	−3.9	−4.1	−4.2	−5.0	−5.2	−5.2	−5.2	−4.06
21	−5.1	−5.2	−5.2	−5.3	−5.2	−5.4	−5.2	−4.6	−4.4	−4.3	−4.2	−3.8	−3.2	−3.1	−3.0	−2.9	−3.3	−3.8	−4.3	−4.6	−4.6	−4.5	−4.5	−4.4	−4.34
22	−4.2	−4.1	−4.1	−4.2	−4.2	−4.1	−3.8	−3.4	−3.2	−2.9	−2.4	−2.1	−1.9	−1.6	−1.5	−1.9	−2.0	−2.7	−3.8	−3.6	−4.0	−4.1	−4.4	−4.5	−3.24
23	−4.4	−3.7	−3.8	−3.6	−3.6	−3.9	−3.8	−3.5	−3.0	−2.2	−1.8	−1.9	−2.0	−2.1	−2.1	−2.1	−2.3	−2.7	−3.1	−4.2	−4.6	−4.6	−4.9	−5.0	−3.36
24	−5.0	−4.9	−5.0	−5.0	−5.1	−5.3	−5.4	−5.0	−4.8	−3.8	−3.2	−2.9	−2.6	−2.8	−3.3	−3.6	−4.9	−5.3	−5.6	−5.9	−6.0	−7.1	−7.3	−7.9	−4.90
25	−8.0	−7.8	−7.7	−7.7	−7.7	−7.8	−8.1	−8.1	−7.9	−7.5	−7.0	−6.2	−5.3	−5.5	−7.0	−7.9	−8.8	−10.0	−10.2	−10.3	−10.5	−10.5	−10.1	−9.9	−8.23
26	−9.8	−9.5	−8.5	−8.1	−8.0	−8.0	−8.0	−8.0	−7.9	−7.8	−7.8	−7.8	−8.1	−8.1	−10.2	−11.9	−11.9	−12.2	−12.4	−12.5	−12.4	−12.2	−12.1	−12.2	−9.81
27	−12.4	−12.4	−12.4	−12.4	−12.3	−12.1	−11.7	−10.5	−9.1	−7.0	−6.2	−5.6	−4.9	−4.6	−4.3	−4.1	−4.2	−4.1	−4.3	−4.2	−4.2	−3.8	−3.5	−3.3	−7.23
28	−3.1	−3.1	−3.0	−2.8	−2.8	−2.4	−2.0	−1.6	−1.3	−1.1	−1.0	−1.0	−0.8	−0.8	−0.7	−0.7	−0.7	−0.8	−0.8	−0.7	−0.8	−0.5	−0.5	−0.5	−1.40
29	−0.6	−0.5	−0.5	−0.5	−0.6	−0.5	−0.3	0.0	0.5	0.8	0.9	1.2	1.4	1.4	1.0	0.5	0.3	0.0	−0.2	−0.4	−0.6	−0.8	−1.1	−1.1	0.02
30	−1.3	−1.6	−1.8	−2.0	−2.0	−2.1	−2.1	−2.0	−1.9	−1.6	−1.5	−1.3	−1.1	−2.1	−1.7	−1.4	−2.0	−2.8	−3.3	−3.7	−3.8	−3.9	−3.9	−4.0	−2.29
31	−4.1	−4.2	−4.4	−4.5	−4.6	−4.8	−4.3	−4.0	−3.5	−3.5	−3.3	−3.1	−2.8	−2.4	−2.2	−2.4	−2.7	−3.0	−3.4	−3.6	−3.8	−4.0	−3.8	−3.9	−3.60
M.	−8.37	−8.37	−8.32	−8.27	−8.26	−8.24	−8.16	−7.91	−7.55	−7.15	−6.92	−6.67	−6.40	−6.41	−6.61	−6.83	−7.11	−7.51	−7.82	−8.02	−8.15	−8.16	−8.18	−8.24	−7.65

April 1911. Säntis.

	1^{30}a	2^{30}	3^{30}	4^{30}	5^{30}	6^{30}	7^{30}	8^{30}	9^{30}	10^{30}	11^{30}	12^{30}p	1^{30}	2^{30}	3^{30}	4^{30}	5^{30}	6^{30}	7^{30}	8^{30}	9^{30}	10^{30}	11^{30}	12^{30}a	Tages-mittel
1	−3.9	−3.8	−3.8	−3.9	−3.9	−3.6	−3.1	−2.9	−2.4	−2.1	−2.0	−1.9	−1.9	−1.6	−1.2	−1.0	−1.1	−1.3	−1.8	−2.3	−2.6	−2.5	−2.6	−2.6	−2.49
2	−2.5	−2.6	−2.5	−2.4	−2.6	−2.6	−2.6	−2.3	−2.2	−2.1	−1.8	−1.6	−1.3	−1.5	−1.6	−1.7	−2.0	−2.6	−3.0	−3.3	−3.6	−3.6	−3.7	−3.6	−2.47
3	−3.9	−4.1	−4.1	−4.4	−4.5	−4.5	−4.5	−4.4	−4.1	−4.0	−4.1	−4.2	−4.4	−5.6	−6.3	−7.4	−7.6	−8.4	−8.9	−9.2	−9.4	−10.8	−11.8	−12.5	−6.38
4	−13.8	−14.9	−15.3	−15.7	−16.0	−16.6	−17.1	−17.1	−17.0	−16.4	−16.4	−16.4	−16.4	−16.4	−16.4	−16.4	−16.4	−16.5	−16.9	−17.4	−17.7	−17.3	−16.9	−16.4	−16.41
5	−13.0	−13.4	−14.0	−14.0	−13.2	−12.6	−11.6	−11.2	−10.8	−10.2	−10.2	−10.3	−10.4	−10.3	−10.3	−10.3	−10.4	−10.5	−10.6	−11.1	−11.4	−11.2	−11.4	−11.5	−11.[illegible]
6	−10.9	−10.6	−10.7	−10.9	−11.2	−11.2	−10.9	−10.9	−10.1	−9.6	−9.4	−9.1	−8.8	−8.5	−8.9	−9.3	−10.0	−11.4	−12.2	−12.7	−13.2	−13.4	−13.7	−13.4	−10.88
7	−12.8	−12.6	−12.4	−12.1	−12.0	−11.8	−10.9	−10.3	−9.9	−9.8	−9.6	−9.3	−9.1	−8.7	−9.1	−9.4	−9.8	−10.2	−10.8	−11.0	−11.0	−11.2	−11.4	−11.5	−10.70
8	−11.7	−12.0	−12.3	−12.2	−12.4	−12.5	−12.7	−12.8	−12.7	−12.7	−12.6	−12.1	−11.9	−12.0	−12.2	−13.0	−13.1	−13.2	−13.4	−13.6	−13.8	−13.7	−13.1	−13.[illegible]	−12.[illegible]
9	−13.0	−13.0	−12.1	−11.9	−12.0	−12.7	−11.1	−11.0	−10.4	−9.4	−10.0	−10.1	−11.8	−12.0	−12.4	−12.8	−12.9	−13.6	−13.5	−13.7	−12.5	−11.9	−11.7	−11.1	−11.86
10	−9.9	−9.1	−8.9	−8.8	−9.3	−9.1	−8.8	−8.9	−9.6	−9.4	−9.5	−9.6	−9.6	−10.0	−10.2	−10.0	−10.2	−10.4	−10.5	−11.0	−10.8	−10.7	−11.0	−10.5	−9.82
11	−10.2	−10.0	−9.9	−8.7	−8.6	−8.4	−7.9	−7.9	−7.8	−7.8	−7.3	−6.8	−5.9	−6.1	−6.3	−7.9	−8.6	−8.8	−9.2	−9.1	−9.1	−8.8	−8.6	−7.5	−8.20
12	−6.4	−6.1	−6.0	−5.9	−5.8	−5.7	−4.9	−4.9	−4.8	−4.9	−4.9	−4.6	−4.8	−4.8	−5.3	−5.5	−5.4	−5.8	−6.3	−6.8	−6.9	−7.3	−7.6	−7.7	−5.80
13	−7.8	−7.9	−8.3	−8.7	−9.3	−10.0	−10.9	−11.4	−11.5	−11.2	−11.0	−10.6	−9.9	−11.0	−11.6	−11.5	−11.5	−11.5	−11.6	−12.0	−11.9	−11.8	−11.8	−10.68
14	−11.9	−11.8	−11.9	−11.9	−12.1	−12.2	−12.2	−11.8	−11.6	−11.2	−11.1	−11.4	−10.8	−11.6	−11.0	−10.6	−10.2	−10.2	−10.6	−10.6	−9.6	−9.3	−9.4	−9.5	−11.02
15	−8.7	−8.0	−8.0	−7.7	−7.8	−7.0	−6.6	−6.7	−6.8	−7.0	−6.2	−5.7	−5.2	−4.8	−4.8	−3.7	−3.6	−3.5	−3.6	−4.1	−4.7	−4.8	−4.8	−4.5	−5.74
16	−4.5	−4.3	−4.2	−4.4	−4.3	−3.7	−2.9	−2.6	−2.3	−2.0	−1.6	−1.1	−0.5	−0.1	0.2	0.2	0.0	−0.3	−0.7	−1.0	−1.1	−1.1	−1.4	−1.6	−1.89
17	−2.0	−2.0	−2.4	−2.4	−2.9	−3.3	−2.9	−2.9	−3.2	−2.6	−2.1	−1.5	−0.7	−0.7	−0.6	−0.9	−0.8	−1.0	−1.3	−1.9	−2.3	−2.8	−3.0	−3.3	−2.06
18	−3.7	−3.7	−3.8	−3.9	−3.9	−3.7	−2.8	−2.3	−2.5	−2.1	−1.7	−1.2	−0.8	−0.1	0.1	0.2	0.0	−0.7	−1.7	−2.2	−2.7	−2.9	−3.2	−3.3	−2.15
19	−3.4	−3.4	−3.4	−3.4	−3.2	−2.5	−1.4	−1.2	−1.1	−0.9	−0.8	−0.6	−0.4	−0.4	−0.5	−0.7	−0.7	−1.4	−1.9	−2.0	−2.3	−2.3	−2.6	−2.7	−1.80
20	−3.0	−3.6	−3.7	−3.6	−3.7	−3.8	−3.4	−2.6	−1.6	−0.8	−1.1	−1.4	−1.9	−2.6	−3.1	−3.4	−3.7	−3.9	−4.2	−4.4	−4.4	−4.4	−4.4	−4.3	−3.21
21	−4.8	−4.3	−4.2	−4.2	−4.2	−4.1	−4.1	−4.0	−3.7	−3.4	−3.3	−3.0	−2.4	−1.9	−1.2	−1.0	−2.0	−2.1	−2.1	−2.7	−2.5	−3.9	−3.9	−2.5	−3.12
22	−1.4	−1.6	−1.3	−0.5	−0.2	1.0	1.7	2.0	1.9	1.8	2.2	2.7	2.8	3.0	2.8	2.6	2.3	1.7	1.0	0.7	0.7	0.7	0.5	0.4	1.15
23	0.5	0.2	0.0	0.0	−0.1	0.1	0.7	1.1	1.0	1.2	1.7	2.0	2.6	2.7	2.6	2.6	2.3	2.0	1.2	1.1	0.9	0.9	0.6	0.4	1.18
24	0.0	0.0	−0.4	−0.8	−0.8	−0.6	−0.8	−0.6	0.0	0.9	1.5	1.6	1.7	1.6	1.8	0.4	0.1	−0.2	−0.2	−0.6	−0.6	−0.7	−0.8	−1.0	0.06
25	−1.9	−1.7	−1.8	−1.8	−1.9	−1.1	0.1	0.1	0.5	0.8	0.9	1.0	1.4	1.3	1.2	1.4	1.6	1.4	1.1	0.8	0.5	0.4	0.4	0.5	0.22
26	0.2	0.2	0.2	0.1	0.2	0.3	0.3	−0.2	−0.9	−1.4	−1.4	−1.1	−0.8	−1.0	−1.5	−1.8	−2.3	−2.9	−3.1	−3.1	−3.2	−3.2	−3.2	−3.4	−1.38
27	−3.4	−3.4	−3.8	−3.7	−3.7	−3.7	−3.6	−3.5	−3.1	−2.7	−3.0	−4.8	−5.4	−5.0	−4.5	−3.7	−3.5	−3.8	−3.5	−3.5	−3.5	−3.6	−3.8	−4.0	−3.72
28	−4.3	−4.6	−4.9	−5.3	−5.8	−6.0	−6.1	−6.2	−6.0	−5.9	−5.8	−5.7	−5.4	−5.4	−5.4	−5.3	−5.4	−5.4	−5.6	−5.7	−5.7	−5.8	−5.9	−6.0	−5.57
29	−6.0	−5.9	−5.7	−5.0	−3.2	−3.0	−2.6	−2.6	−2.2	−2.0	−2.5	−2.8	−2.8	−3.2	−3.6	−3.9	−4.0	−4.6	−4.9	−5.5	−5.8	−6.0	−6.1	−6.2	−4.17
30	−6.4	−6.6	−6.9	−7.0	−7.3	−7.5	−7.6	−7.3	−7.0	−6.6	−6.1	−5.7	−4.8	−4.8	−4.6	−4.5	−4.6	−5.0	−5.9	−6.3	−6.6	−6.7	−6.6	−6.5	−6.20
M.	−6.25	−6.22	−6.23	−6.17	−6.19	−6.07	−5.69	−5.58	−5.40	−5.12	−4.97	−4.83	−4.64	−4.72	−4.78	−4.94	−5.12	−5.45	−5.82	−6.13	−6.23	−6.33	−6.41	−6.32	−5.65

Mai 1911 **Stündliche Lufttemperaturen.** $h_t = 7.0^m$. **Säntis.**

Tag	1^{30} a	2^{30}	3^{30}	4^{30}	5^{30}	6^{30}	7^{30}	8^{30}	9^{30}	10^{30}	11^{30}	12^{30} p	1^{30}	2^{30}	3^{30}	4^{30}	5^{30}	6^{30}	7^{30}	8^{30}	9^{30}	10^{30}	11^{30}	12^{30} a	Tagesmittel
1	−6.4	−6.2	−6.2	−6.1	−6.0	−6.0	−5.8	−6.0	−6.2	−6.2	−6.0	−5.3	−5.4	−5.2	−6.0	−6.3	−6.3	−6.2	−6.4	−6.6	−6.9	−7.0	−7.5	−7.5	−6.24
2	−7.5	−7.5	−7.7	−7.5	−7.5	−7.4	−7.1	−6.8	−6.2	−5.4	−4.3	−3.8	−3.0	−3.2	−3.6	−4.1	−4.2	−4.4	−5.1	−6.1	−6.8	−6.8	−6.8	−6.8	−5.82
3	−6.9	−5.5	−5.0	−5.6	−6.0	−4.3	−4.9	−5.0	−4.7	−2.7	−2.0	−1.5	−0.8	−0.1	−0.2	0.0	−0.6	−1.0	−1.0	−2.0	−2.6	−3.0	−3.3	−3.1	−2.99
4	−3.1	−3.2	−3.2	−3.3	−3.0	−2.0	−1.1	−0.8	−0.4	0.0	0.3	1.2	1.0	1.2	1.2	1.5	1.7	1.2	0.5	0.3	−0.5	−1.0	−1.8	−1.8	−0.63
5	−1.8	−1.8	−1.9	−2.5	−2.5	−2.7	−2.8	−2.9	−2.8	−2.5	−2.1	−1.6	−1.3	−1.0	−1.3	−1.4	−1.9	−2.3	−2.7	−2.9	−3.1	−3.2	−3.3	−3.3	−2.32
6	−3.2	−3.3	−3.5	−3.6	−3.7	−3.8	−3.8	−3.9	−3.6	−3.1	−2.8	−2.1	−1.6	−1.8	−3.1	−3.0	−3.5	−3.9	−4.1	−4.8	−5.2	−5.2	−5.4	−5.7	−3.65
7	−5.9	−6.3	−6.4	−6.5	−6.5	−6.3	−6.1	−6.1	−6.6	−7.1	−7.0	−6.0	−5.1	−5.1	−5.1	−5.0	−5.0	−5.1	−5.2	−5.3	−5.4	−5.4	−5.3	−5.2	−5.79
8	−5.1	−4.9	−4.6	−4.3	−4.0	−3.7	−3.0	−2.5	−2.4	−2.4	−2.1	−1.6	−0.9	−0.7	−0.7	−0.5	−0.2	−0.2	−0.7	−0.8	−1.1	−1.0	−1.4	−1.7	−2.10
9	−1.5	−1.0	−1.4	−1.2	−1.3	−1.0	−0.1	0.2	0.1	0.4	0.8	1.4	1.6	0.8	0.3	0.1	−0.3	−0.6	−0.7	−1.3	−2.0	−2.1	−2.1	−2.1	−0.54
10	−2.3	−2.3	−2.3	−2.2	−2.0	−1.9	−1.2	−0.5	0.0	0.3	0.6	0.9	1.2	1.0	0.8	0.7	0.1	0.0	−1.0	−1.2	−1.1	−1.1	−1.1	−1.2	−0.66
11	−1.3	−1.3	−1.5	−1.5	−1.5	−1.3	−1.1	−0.9	−0.7	−0.1	0.4	1.2	1.9	1.8	2.0	1.6	1.1	0.6	0.6	0.3	0.2	0.2	0.2	0.1	0.04
12	0.0	0.0	0.0	0.0	0.0	0.2	0.6	0.8	2.0	2.1	2.7	3.1	3.5	3.7	3.9	3.9	3.3	2.7	2.0	1.5	1.0	0.8	0.7	0.4	1.62
13	0.2	0.2	0.3	0.6	0.5	1.4	2.2	2.3	2.4	2.4	3.1	3.4	3.8	3.6	3.1	2.5	2.2	1.7	1.6	1.5	1.4	1.3	1.4	1.2	1.85
14	1.1	0.9	0.8	0.8	1.0	1.1	2.1	2.3	3.0	3.3	4.0	4.0	3.9	3.9	4.1	3.9	3.7	3.3	2.9	2.4	2.4	2.4	2.1	2.0	2.56
15	1.8	1.4	1.4	0.7	0.4	0.9	1.4	2.2	2.8	3.9	3.7	5.0	5.0	5.5	5.4	6.2	4.7	3.3	2.9	2.8	2.4	2.2	2.2	2.0	2.93
16	2.0	2.1	2.0	1.6	1.2	2.0	3.1	3.8	4.2	4.9	5.0	5.1	5.2	5.2	5.1	5.2	4.7	4.0	3.0	2.4	1.4	1.2	1.0	0.9	3.18
17	0.8	0.6	0.7	0.8	0.9	1.2	1.6	2.3	2.8	3.3	4.0	4.4	4.4	4.6	4.8	5.3	3.5	2.6	2.0	1.6	0.9	0.8	0.5	0.4	2.28
18	0.2	0.2	0.2	0.2	0.2	0.4	0.4	1.0	1.0	1.2	1.7	1.3	1.1	1.1	0.8	0.8	0.2	0.5	0.7	0.6	0.3	0.0	−0.2	−0.4	0.56
19	−0.6	−1.3	−2.0	−2.3	−2.8	−3.1	−3.4	−3.5	−3.6	−3.6	−3.7	−3.7	−3.7	−3.5	−3.2	−2.8	−3.2	−3.6	−4.2	−4.9	−5.6	−5.9	−5.8	−5.7	−3.57
20	−5.8	−5.5	−5.3	−5.3	−5.4	−5.4	−5.4	−5.2	−5.0	−4.7	−4.3	−4.0	−3.7	−3.6	−3.5	−3.2	−3.4	−3.5	−3.9	−4.2	−4.6	−4.7	−4.9	−5.0	−4.56
21	−4.9	−4.8	−4.7	−4.6	−4.5	−4.2	−3.8	−3.6	−3.5	−3.2	−2.7	−2.1	−1.6	−1.0	−0.5	−0.2	−0.8	−1.0	−1.9	−2.8	−3.4	−3.9	−4.0	−4.1	−2.99
22	−4.1	−4.1	−3.9	−3.8	−3.3	−3.0	−2.4	−2.1	−2.0	−1.4	−1.1	−0.9	−0.4	−0.2	−0.2	−0.1	−0.4	−1.2	−1.7	−2.4	−3.2	−3.1	−3.1	−3.1	−2.13
23	−3.2	−3.0	−3.1	−3.1	−3.0	−3.0	−2.6	−2.1	−1.7	−1.0	−0.3	−0.2	−0.7	−0.9	−1.2	−1.6	−1.7	−1.8	−1.8	−2.4	−1.7	−1.7	−1.6	−1.5	−1.87
24	−1.5	−1.5	−1.8	−2.2	−2.2	−2.1	−2.0	−2.1	−2.0	−2.0	−1.9	−1.8	−1.6	−1.5	−1.6	−1.3	−1.9	−1.6	−1.5	−1.8	−1.9	−1.8	−1.8	−2.0	−1.81
25	−2.0	−1.5	−1.0	−0.3	−0.2	0.1	0.4	0.8	1.2	1.7	2.0	2.2	2.7	2.5	2.3	2.1	2.1	2.0	1.8	1.6	1.6	1.5	0.9	0.9	1.06
26	0.6	0.6	0.6	0.6	0.7	1.0	1.2	1.5	1.9	2.4	2.8	3.3	3.4	3.4	3.9	3.6	3.6	3.2	3.0	2.8	2.1	2.3	2.2	2.2	2.20
27	2.2	2.4	2.3	2.1	1.6	1.8	1.8	2.2	2.4	2.4	3.0	3.0	3.8	3.8	3.6	3.4	2.8	2.5	2.5	1.9	1.4	1.2	1.1	1.2	2.35
28	1.2	1.3	1.5	1.6	1.4	1.8	2.5	3.0	4.0	4.0	4.8	4.9	5.7	5.5	5.8	6.1	5.7	5.0	4.2	3.4	2.8	2.6	2.4	2.4	3.48
29	2.4	2.5	2.5	2.5	2.7	3.2	3.7	4.0	4.5	5.2	5.8	6.2	7.0	6.9	6.9	7.3	6.9	5.8	5.2	4.5	3.8	3.5	3.3	3.3	4.57
30	3.3	3.2	3.5	3.5	3.7	4.5	5.3	5.4	5.8	6.2	6.4	6.8	6.7	6.3	5.6	5.0	4.8	4.7	4.7	4.7	4.7	4.4	3.9	3.6	4.86
31	3.7	3.6	3.3	3.2	3.0	3.0	3.1	2.8	2.4	2.2	2.6	3.2	3.8	4.3	4.1	3.6	2.6	2.6	2.5	2.2	2.0	1.9	2.7	2.6	2.96
M.	−1.54	−1.48	−1.50	−1.54	−1.55	−1.24	−0.88	−0.63	−0.35	0.02	0.43	0.84	1.16	1.20	1.08	1.07	0.65	0.30	−0.06	−0.48	−0.86	−0.99	−1.12	−1.19	−0.36

Juni 1911. **Säntis.**

Tag	1^{30} a	2^{30}	3^{30}	4^{30}	5^{30}	6^{30}	7^{30}	8^{30}	9^{30}	10^{30}	11^{30}	12^{30} p	1^{30}	2^{30}	3^{30}	4^{30}	5^{30}	6^{30}	7^{30}	8^{30}	9^{30}	10^{30}	11^{30}	12^{30} a	Tagesmittel
1	2.4	2.6	2.4	2.5	2.6	2.9	3.1	3.1	4.1	4.9	5.5	6.0	6.4	6.9	7.1	7.1	6.7	6.4	5.4	4.6	3.8	3.5	3.5	3.3	4.45
2	3.4	3.5	3.5	3.6	3.8	4.0	4.6	5.3	5.7	7.2	7.7	8.0	8.2	7.8	7.4	2.7	2.5	3.1	3.2	3.2	3.2	3.1	3.1	3.1	4.62
3	3.0	3.0	3.0	3.0	3.3	3.9	5.2	5.4	5.6	5.9	6.3	6.3	7.5	7.6	8.0	7.6	6.0	5.0	4.2	3.8	3.3	3.1	3.0	2.9	4.83
4	2.7	2.6	2.4	2.0	1.9	2.0	2.5	3.2	4.0	4.1	3.7	3.5	3.9	4.0	3.3	3.0	3.3	3.6	3.1	3.0	3.1	2.8	2.7	2.7	3.05
5	2.7	2.7	2.8	2.8	2.9	3.1	3.7	4.5	4.9	4.9	5.0	4.8	5.2	5.2	5.0	4.7	4.0	3.7	3.1	1.8	1.4	1.5	2.0	2.1	3.50
6	1.9	1.8	1.9	2.0	1.9	2.0	2.6	2.8	2.9	3.1	3.5	3.5	3.8	3.8	3.9	3.9	3.5	3.5	3.2	2.7	2.7	2.8	2.9	2.8	2.89
7	2.9	3.0	3.0	3.3	3.6	3.7	4.6	5.6	5.9	6.5	6.9	7.2	7.0	6.6	6.7	7.1	7.3	7.2	6.9	6.4	5.7	5.3	5.0	4.7	5.50
8	4.6	4.5	4.6	4.8	5.1	5.3	6.2	6.4	6.5	6.8	7.5	8.0	8.2	8.5	7.8	7.9	8.0	7.3	6.9	6.0	5.2	5.0	4.9	4.9	6.29
9	4.8	4.9	5.0	5.0	5.1	5.3	6.0	6.1	6.3	5.9	5.9	6.0	7.0	7.2	7.0	6.6	6.6	5.8	4.3	3.0	2.3	2.0	2.0	2.0	5.09
10	2.0	2.0	2.0	1.8	1.8	1.8	1.9	2.0	2.4	2.8	3.8	3.7	3.6	3.5	3.7	2.8	2.4	2.0	1.7	1.3	1.1	1.2	1.0	0.5	2.20
11	0.4	0.3	0.1	0.0	−0.7	−1.0	−1.1	−0.8	−0.5	0.3	0.7	0.7	1.3	1.3	1.3	1.6	1.3	0.8	0.1	−0.4	−1.0	−1.2	−1.4	−1.5	0.03
12	−1.5	−1.4	−1.3	−1.1	−0.8	−0.6	0.1	0.9	1.7	2.0	2.3	2.7	2.2	2.2	2.6	1.4	0.9	0.4	0.0	−0.4	−0.8	−1.0	−0.9	−0.7	0.37
13	−0.5	−0.1	0.3	0.6	0.7	1.0	2.0	2.8	3.7	3.6	4.1	4.4	4.8	4.0	3.5	3.1	2.8	2.2	1.6	1.1	0.9	1.0	0.7	0.5	2.03
14	−0.3	−0.3	−0.7	−1.4	−2.4	−2.8	−2.8	−2.8	−2.6	−2.4	−2.2	−2.3	−2.6	−3.1	−3.8	−4.6	−5.2	−5.5	−5.8	−6.1	−6.1	−6.1	−6.2	−6.1	−3.51
15	−6.1	−6.0	−6.0	−6.0	−5.9	−5.9	−5.8	−5.7	−5.5	−5.5	−5.2	−5.0	−4.4	−4.8	−4.1	−4.2	−4.0	−3.9	−4.0	−4.0	−4.0	−3.8	−3.8	−3.8	−4.87
16	−3.7	−3.6	−3.7	−3.7	−3.6	−3.2	−1.6	−1.1	−0.4	0.8	1.0	1.5	2.1	2.5	3.0	3.7	3.5	3.0	2.6	2.1	1.6	2.0	2.2	2.3	0.39
17	2.5	3.0	3.8	4.0	4.0	4.2	4.8	5.5	6.2	6.5	7.0	7.3	7.2	7.0	7.3	8.0	7.6	7.9	7.6	7.6	7.2	6.8	6.4	6.5	6.08
18	6.3	5.9	6.2	6.0	5.9	5.8	6.9	7.6	8.3	7.7	8.5	9.2	10.1	9.5	8.8	4.8	2.8	2.2	2.0	1.9	1.9	1.8	2.1	2.3	5.58
19	2.4	2.6	2.9	3.0	3.2	3.4	3.9	4.8	5.6	6.8	7.3	8.1	8.4	8.2	7.1	4.5	3.4	2.6	2.0	2.0	1.7	1.1	1.0	1.1	4.05
20	1.1	1.1	1.0	0.9	1.0	0.9	0.5	−0.2	−0.7	−1.2	−1.2	−0.9	−0.9	−0.8	−1.2	−1.5	−1.8	−1.6	−1.7	−1.5	−1.3	−1.5	−1.4	−1.4	−0.60
21	−1.7	−1.8	−1.8	−1.8	−1.7	−1.7	−1.4	−1.3	−1.0	−0.6	−0.2	0.0	0.5	0.8	1.1	2.0	2.2	1.5	1.0	0.3	−0.1	−0.3	−0.3	−0.4	−0.28
22	−0.3	−0.3	−0.1	0.1	0.6	1.2	2.3	2.7	3.4	4.2	5.0	6.0	6.8	6.8	7.3	7.1	6.9	6.1	5.8	4.9	4.2	3.9	3.7	3.5	3.82
23	3.4	3.3	3.5	3.5	3.7	4.0	5.2	5.7	6.2	6.5	6.8	7.4	7.9	7.7	7.9	8.3	8.0	7.5	6.6	5.5	4.7	4.2	3.9	3.8	5.63
24	3.9	4.1	4.3	4.7	4.8	5.2	5.6	5.7	6.8	7.4	7.9	7.7	7.8	6.7	6.0	5.1	5.0	4.7	4.2	3.7	3.2	3.2	3.4	3.3	5.19
25	3.3	3.5	3.7	3.8	4.1	4.3	4.9	4.5	4.2	4.9	5.2	6.8	7.8	7.2	5.9	6.1	5.3	2.5	1.3	1.0	−0.1	0.1	−0.3	−0.6	3.78
26	−0.7	−1.0	−1.5	−1.2	−1.0	−1.0	−0.6	−0.1	0.1	1.7	2.0	3.0	3.2	3.5	3.8	1.8	0.7	0.2	−0.1	−0.2	−0.2	−0.2	−0.4	−0.5	0.47
27	−0.6	−0.9	−1.1	−1.4	−1.9	−1.9	−1.5	−1.8	−1.9	−1.8	−1.7	−1.8	−0.9	−1.0	−1.8	−1.4	−1.9	−2.3	−3.0	−3.1	−2.6	−3.0	−2.9	−2.9	−1.85
28	−2.9	−2.7	−3.0	−3.0	−3.0	−3.0	−2.8	−1.9	−1.9	−0.6	−0.9	−0.7	−0.6	0.0	0.4	0.9	1.1	1.8	1.9	1.7	1.6	1.5	1.0	0.7	−0.60
29	1.0	1.5	1.3	1.7	2.0	2.3	2.8	3.0	3.9	4.4	4.8	4.8	5.1	5.3	5.5	5.8	6.0	5.9	5.5	4.9	4.2	4.0	3.9	3.9	3.87
30	4.0	4.2	4.2	4.4	4.5	4.9	5.3	5.8	6.1	6.5	7.1	7.5	8.1	8.3	8.3	8.7	7.6	6.7	5.7	5.0	3.4	3.5	3.4	3.5	5.70
M.	1.95	1.40	1.42	1.46	1.52	1.67	2.24	2.59	3.00	3.44	3.79	4.18	4.49	4.43	4.81	3.80	3.42	3.01	2.51	2.04	1.67	1.54	1.47	1.42	2.59

Juli 1911. **Stündliche Lufttemperaturen.** $h_1 = 7.0^m$. Säntis.

Tag	1^{30}a	2^{30}	3^{30}	4^{30}	5^{30}	6^{30}	7^{30}	8^{30}	9^{30}	10^{30}	11^{30}	12^{30}p	1^{30}	2^{30}	3^{30}	4^{30}	5^{30}	6^{30}	7^{30}	8^{30}	9^{30}	10^{30}	11^{30}	12^{30}a	Tages-mittel
1	3.3	3.5	3.3	4.1	4.5	4.7	4.9	5.0	5.1	4.8	5.2	6.6	7.5	7.5	7.6	7.0	7.0	6.6	6.8	6.6	6.1	6.2	6.6	[illegible]	[illegible]
2	6.6	6.5	6.7	6.8	6.0	5.7	5.8	6.5	7.0	7.9	8.7	8.6	8.4	8.0	7.8	6.9	6.7	6.5	6.0	5.8	5.0	4.8	4.5	4.3	6.56
3	4.0	3.8	3.5	3.8	3.3	3.6	4.2	4.1	4.0	4.0	4.0	4.4	4.8	4.6	4.0	3.0	2.7	2.4	1.5	0.7	1.0	1.1	1.2	1.2	3.10
4	1.2	1.0	0.8	0.7	0.6	0.4	1.9	2.6	3.6	5.2	6.8	6.4	7.4	7.4	7.8	6.8	6.8	5.9	5.0	3.6	2.5	3.4	3.1	3.0	3.87
5	3.1	3.9	4.0	4.0	4.8	5.0	5.6	6.7	6.8	7.2	7.3	7.4	7.6	7.6	7.6	7.4	7.7	7.8	7.4	6.8	6.0	6.0	6.0	6.0	6.24
6	6.1	6.2	6.1	6.0	6.0	7.1	8.5	8.2	8.0	7.9	8.0	8.4	9.1	9.5	9.3	9.2	9.0	8.1	7.5	7.2	7.2	7.1	7.0	7.4	7.67
7	7.4	7.0	7.1	6.7	6.6	6.8	6.8	7.0	7.0	7.2	7.0	7.0	7.5	7.0	7.0	7.0	6.9	6.8	7.5	7.4	7.1	7.0	7.4	7.5	7.05
8	7.3	7.3	7.2	7.5	7.6	7.9	8.3	8.7	9.0	9.4	9.8	9.8	10.1	10.4	10.4	10.8	10.9	10.3	10.3	9.4	8.4	8.2	8.0	7.7	8.95
9	7.5	7.5	7.5	7.6	7.7	7.5	7.4	7.6	7.6	7.8	7.9	8.0	8.6	8.6	8.0	7.8	7.1	6.7	6.6	6.1	5.8	5.6	5.2	4.8	7.19
10	4.3	4.2	3.9	3.0	2.8	2.9	3.1	3.5	3.1	3.6	3.5	3.6	3.7	3.7	3.4	2.7	2.3	2.0	1.5	1.2	1.8	2.2	2.0	1.7	[illegible]
11	1.7	2.0	2.1	1.9	2.7	3.2	3.7	3.5	3.1	3.0	3.0	3.5	3.8	3.2	2.6	2.6	2.5	2.3	2.2	1.7	1.3	1.3	1.5	1.7	2.50
12	2.0	2.0	2.0	2.3	2.6	3.0	3.7	4.2	5.0	5.6	6.0	6.0	6.1	6.7	6.8	6.8	6.8	6.8	6.1	5.6	6.9	6.9	6.8	6.5	5.13
13	6.4	6.3	6.2	6.1	6.3	6.5	7.2	7.3	7.6	7.8	7.8	7.8	7.8	6.9	6.6	5.2	5.0	5.0	5.8	5.6	5.2	5.0	5.0	4.8	[illegible]
14	4.9	4.7	4.8	4.2	4.1	4.5	4.9	4.8	4.9	4.6	4.5	4.7	4.8	4.3	5.1	5.8	5.1	5.0	4.2	4.2	4.0	4.3	4.3	4.5	4.61
15	4.2	4.5	4.7	4.7	4.5	4.2	4.3	4.9	5.6	6.2	6.3	6.0	6.8	5.8	5.0	5.6	5.6	6.0	5.6	5.5	5.2	5.1	4.9	4.5	5.24
16	4.5	4.3	4.4	4.4	4.5	4.9	4.9	4.9	4.9	5.1	5.3	5.7	5.9	5.6	5.4	4.6	4.3	3.6	3.3	3.2	3.2	3.0	2.8	2.8	4.40
17	2.3	2.5	2.3	2.4	2.1	2.3	2.4	2.9	3.4	3.8	4.3	4.3	5.6	6.5	6.8	6.8	6.8	6.7	6.3	5.4	4.4	4.3	4.3	4.4	4.31
18	4.3	4.2	4.2	4.0	4.0	4.1	4.4	5.3	5.8	6.7	7.8	8.1	7.9	8.1	8.5	8.8	8.9	8.9	8.2	7.2	6.4	6.3	6.2	6.1	6.43
19	6.1	6.0	5.9	5.5	5.6	5.8	6.5	7.0	8.0	8.7	8.7	9.1	10.5	10.8	11.2	11.7	11.5	10.7	9.5	8.3	7.0	6.8	6.5	6.9	8.11
20	7.0	7.2	7.2	7.1	6.9	7.2	7.9	7.9	8.2	8.8	8.9	9.0	8.9	8.8	8.9	8.9	8.8	8.4	7.8	7.0	6.0	5.6	5.7	6.1	7.67
21	7.0	7.0	7.0	6.6	6.7	7.0	7.4	7.9	8.3	9.0	9.0	9.3	9.6	9.7	9.5	9.5	10.0	10.4	10.8	10.4	10.2	10.0	9.8	9.5	8.82
22	9.5	9.5	9.3	9.1	9.1	10.0	11.5	12.0	12.5	12.8	12.5	12.5	12.8	12.8	12.2	13.2	13.2	13.2	13.0	12.5	11.8	11.3	11.0	10.8	11.59
23	10.8	10.8	10.8	10.8	10.9	11.1	11.4	11.8	13.4	14.0	14.0	14.8	15.1	15.2	15.5	15.9	15.5	15.5	15.0	13.5	11.9	11.6	11.4	11.5	13.01
24	11.4	11.5	11.5	11.4	11.1	11.2	11.5	11.8	12.2	12.4	12.5	12.4	14.2	13.8	13.4	12.4	11.7	10.5	9.2	10.0	10.2	10.0	10.4	10.4	11.55
25	7.6	7.7	8.5	8.8	9.0	9.2	9.9	10.4	11.4	12.7	13.0	13.2	13.5	13.7	14.0	14.6	14.6	13.2	13.1	12.0	10.8	10.6	10.4	10.5	11.35
26	10.7	10.5	10.3	10.1	10.8	12.4	12.4	12.2	12.3	12.3	13.5	12.6	14.2	14.2	14.1	13.1	12.7	11.4	11.5	11.5	10.7	10.8	10.8	10.5	11.90
27	10.7	10.8	10.7	10.7	10.7	10.4	10.4	11.8	12.6	13.1	13.8	14.8	15.4	15.0	13.8	12.4	12.3	11.3	11.8	12.2	12.6	12.5	12.4	12.2	12.27
28	11.9	11.5	11.3	11.3	11.5	12.7	13.6	13.6	13.7	13.8	14.1	15.0	15.4	15.0	14.7	13.9	13.5	11.2	11.5	11.4	11.4	11.1	10.0	9.6	12.61
29	9.4	9.0	9.0	8.5	9.2	10.0	11.2	11.5	11.8	12.3	13.0	13.1	13.4	13.2	14.0	14.3	14.1	14.0	13.0	11.9	11.2	11.0	10.8	10.8	11.65
30	10.8	10.9	10.8	10.6	10.6	10.5	10.6	10.7	11.8	12.4	12.3	12.8	13.2	12.5	11.9	12.2	12.1	11.9	11.9	11.7	11.2	11.1	11.0	10.9	11.52
31	10.8	10.9	10.9	10.8	11.0	10.5	10.4	10.4	10.8	10.8	11.0	11.0	11.8	12.0	11.8	10.8	11.1	10.6	9.9	9.2	9.3	8.5	8.5	8.7	10.48
M.	6.62	6.60	6.56	6.48	6.57	6.85	7.31	7.64	8.02	8.42	8.68	8.90	9.40	9.29	9.17	8.96	8.83	8.39	8.06	7.57	7.16	7.05	6.96	6.90	7.77

August 1911. Säntis.

Tag	1^{30}a	2^{30}	3^{30}	4^{30}	5^{30}	6^{30}	7^{30}	8^{30}	9^{30}	10^{30}	11^{30}	12^{30}p	1^{30}	2^{30}	3^{30}	4^{30}	5^{30}	6^{30}	7^{30}	8^{30}	9^{30}	10^{30}	11^{30}	12^{30}a	Tages-mittel
1	8.9	8.0	7.1	6.8	6.9	7.8	8.3	8.5	9.0	9.4	9.8	10.0	10.2	10.1	10.1	10.5	10.6	11.0	10.6	9.1	8.6	8.7	8.7	8.5	9.05
2	8.5	8.4	8.4	8.4	8.5	8.7	8.7	9.0	9.0	9.8	10.5	11.2	11.3	11.0	12.0	11.8	11.1	10.2	9.4	8.3	7.6	7.1	7.0	7.0	9.29
3	7.2	7.9	7.5	7.2	6.8	7.5	7.7	8.0	8.2	8.4	9.9	9.0	8.5	9.5	10.0	11.0	10.3	10.1	10.0	9.0	8.4	8.1	8.2	7.7	8.57
4	7.1	6.9	6.8	6.6	6.0	5.5	5.2	5.8	6.7	7.2	7.8	8.4	8.2	8.7	8.2	7.7	7.8	7.8	7.2	7.2	7.1	6.9	6.7	6.4	[illegible]
5	5.8	5.4	5.4	5.4	5.8	5.6	5.0	5.8	6.0	7.9	8.5	9.3	10.2	10.2	10.2	10.2	10.2	9.9	9.6	9.0	8.7	8.7	9.0	9.1	7.93
6	9.4	9.5	9.8	9.6	9.6	9.6	9.8	9.0	8.6	9.2	10.0	10.4	10.8	11.3	11.9	11.7	11.2	9.2	9.0	8.4	7.6	7.5	7.8	8.0	9.54
7	8.0	8.0	7.9	8.0	8.1	8.1	8.0	8.6	9.0	9.6	9.9	10.0	11.0	9.9	9.5	9.0	8.9	8.5	8.5	8.4	8.2	8.0	8.1	8.3	8.73
8	8.3	8.3	8.4	8.4	8.8	9.1	9.9	10.2	10.6	11.0	11.2	11.9	12.7	12.3	12.0	11.6	11.1	10.7	10.5	10.8	10.8	10.7	10.8	10.2	10.43
9	9.8	9.1	9.6	9.9	9.9	10.0	10.7	10.5	10.8	11.6	11.8	11.6	11.6	11.5	11.5	11.8	12.1	12.8	12.2	11.3	10.8	10.9	10.2	10.2	10.94
10	10.8	10.6	10.5	9.7	9.8	9.9	11.0	10.9	10.5	11.1	10.2	10.5	11.0	10.4	10.9	10.6	10.6	10.1	9.8	8.8	8.2	8.2	8.2	8.0	9.99
11	7.8	7.3	7.1	7.0	6.8	7.0	8.2	8.8	8.5	8.8	8.8	8.8	9.5	9.2	9.0	8.6	8.3	7.9	7.8	6.8	6.6	6.5	6.6	6.6	7.80
12	6.7	6.7	6.8	6.9	6.5	7.3	8.1	8.1	8.4	8.6	8.7	8.6	9.0	8.7	8.7	8.9	8.7	8.0	7.4	6.8	6.4	6.9	6.9	6.7	7.67
13	6.5	6.6	6.0	5.8	5.5	5.8	6.6	7.1	8.0	8.2	8.8	9.0	9.4	10.0	10.1	10.4	10.0	8.5	7.5	7.8	7.2	7.2	7.2	7.2	7.75
14	7.1	6.8	6.6	6.5	6.5	6.6	7.0	7.8	7.8	8.3	8.5	8.6	9.1	8.6	8.6	7.5	6.5	6.0	5.2	5.2	5.4	5.5	5.3	5.1	6.90
15	5.8	5.8	5.8	5.5	5.7	5.9	6.4	7.2	8.6	9.2	9.1	9.2	9.2	9.1	9.2	9.2	8.5	8.0	7.1	5.2	4.7	4.8	4.7	4.1	7.00
16	3.9	3.8	3.8	3.2	3.8	3.0	2.8	2.7	3.2	3.9	4.5	5.0	5.3	5.2	5.1	5.0	4.5	4.0	3.7	3.0	2.4	2.8	2.8	2.5	3.70
17	2.3	2.0	1.8	1.5	1.8	1.8	2.1	2.2	3.1	4.7	5.1	5.5	6.2	6.5	6.5	7.1	7.0	6.9	5.8	4.8	3.6	3.3	3.2	3.8	4.09
18	3.5	3.8	3.9	3.9	3.8	4.0	5.0	5.6	7.2	7.5	7.6	7.5	8.1	8.1	8.3	8.5	8.2	8.0	7.1	6.2	5.9	5.9	5.8	5.8	6.23
19	5.8	5.8	5.9	5.9	5.7	5.7	6.1	6.5	7.1	7.7	8.3	9.2	10.5	10.7	10.6	10.9	10.8	10.5	9.7	8.6	8.3	8.2	8.0	8.1	8.11
20	8.2	8.3	8.2	8.4	8.5	8.7	8.8	8.8	9.8	10.9	10.9	11.5	12.4	12.4	12.6	12.2	11.8	8.9	7.8	8.5	8.6	8.9	8.8	8.9	9.65
21	9.0	9.0	9.0	9.0	8.7	8.4	6.1	6.2	7.8	9.0	9.9	11.1	11.8	11.9	11.8	10.6	9.8	8.7	7.6	7.0	5.4	5.5	5.6	6.8	8.55
22	6.8	6.5	7.0	7.0	7.0	6.4	6.9	7.0	7.6	8.8	9.3	9.9	10.8	11.0	11.0	10.5	10.1	9.1	8.4	8.2	7.8	7.5	7.4	7.3	8.80
23	7.8	7.6	7.8	7.8	8.0	8.0	8.4	8.8	9.1	9.9	10.2	10.2	11.3	10.2	7.8	7.4	7.2	6.9	6.5	6.5	6.0	5.6	5.4	5.0	7.87
24	4.6	4.1	3.2	4.0	4.0	4.0	4.5	5.2	5.9	6.4	7.2	8.0	8.0	7.5	7.0	5.4	5.4	5.3	5.1	5.0	4.8	4.7	4.7	4.8	5.87
25	4.8	4.8	4.8	4.8	4.7	4.8	4.6	5.2	5.8	6.9	7.3	8.0	8.8	9.0	9.0	9.0	9.0	8.6	7.8	7.3	6.1	5.5	5.0	4.3	6.50
26	4.2	4.5	4.4	4.4	4.0	3.5	2.6	2.3	2.8	3.9	4.0	2.8	3.2	3.5	4.1	4.4	4.0	3.5	3.1	2.8	2.8	2.9	3.0	3.1	3.47
27	3.1	3.0	2.9	3.1	3.1	3.9	4.2	4.8	5.1	5.4	6.5	7.0	8.1	9.0	9.2	9.0	8.8	8.2	7.6	7.2	7.0	7.0	7.0	7.1	[illegible]
28	7.3	7.5	7.9	7.8	7.8	7.8	8.0	8.9	10.0	10.3	10.6	11.3	11.5	11.2	11.5	11.3	11.8	11.5	10.6	10.0	9.2	9.1	9.1	8.6	9.63
29	8.3	8.2	8.2	8.0	8.1	8.5	8.9	9.3	9.7	10.2	10.3	10.4	11.2	12.0	12.6	12.3	12.5	11.6	10.3	9.5	9.1	9.1	9.0	9.0	9.87
30	9.2	9.2	9.2	9.0	9.0	9.0	9.6	10.6	10.6	11.4	11.0	11.0	10.4	10.3	10.3	10.8	10.7	9.9	9.0	8.5	8.0	7.5	7.5	7.8	9.41
31	7.0	3.0	3.4	3.6	3.8	3.8	3.8	4.0	3.9	3.9	4.3	4.2	4.1	4.5	5.2	5.5	6.0	5.9	5.4	5.0	4.5	4.7	5.3	5.8	4.61
M.	6.87	6.66	6.60	6.55	6.58	6.64	6.87	7.16	7.67	8.36	8.78	9.00	9.46	9.47	9.50	9.40	9.10	8.56	7.90	7.38	6.95	6.90	6.86	6.80	7.75

September 1911. **Stündliche Lufttemperaturen.** $h_t = 7.0^m$. **Säntis.**

Tag	1^{30}a	2^{30}	3^{30}	4^{30}	5^{30}	6^{30}	7^{30}	8^{30}	9^{30}	10^{30}	11^{30}	12^{30}p	1^{30}	2^{30}	3^{30}	4^{30}	5^{30}	6^{30}	7^{30}	8^{30}	9^{30}	10^{30}	11^{30}	12^{30}a	Tagesmittel
1	6.0	6.0	6.0	6.4	6.7	6.7	6.9	7.6	9.5	10.0	10.5	11.0	10.9	11.0	10.8	10.2	10.5	10.1	9.5	9.1	8.8	9.0	9.2	9.6	8.83
2	9.8	9.8	9.4	10.0	10.8	10.9	9.5	9.6	11.8	12.3	12.0	12.5	12.6	12.8	12.7	13.0	13.0	13.0	12.0	11.6	10.9	10.6	11.0	10.8	11.29
3	12.0	12.6	12.8	12.9	12.9	12.4	13.4	13.5	13.5	13.7	13.8	13.5	13.6	13.7	13.9	14.1	14.1	14.2	14.0	12.5	11.2	10.5	10.8	11.5	12.96
4	11.3	12.1	12.6	11.8	11.6	12.0	12.0	12.1	12.0	11.8	12.1	12.8	13.1	12.8	12.6	12.1	11.7	11.2	10.8	10.0	9.5	9.3	9.0	8.9	11.45
5	8.9	8.9	8.8	8.8	8.6	8.4	8.3	8.7	9.1	9.4	10.8	11.1	10.9	10.1	11.1	11.6	11.0	9.7	9.3	9.0	8.7	8.7	8.8	8.8	9.48
6	8.5	8.2	8.2	8.1	8.0	8.0	8.3	8.7	9.1	10.3	10.7	11.5	11.6	11.4	11.4	10.4	10.1	9.9	9.1	8.9	8.4	8.3	8.3	8.3	9.32
7	8.3	8.6	8.7	8.8	9.1	9.3	10.0	10.9	11.0	10.9	11.1	11.2	11.7	11.9	11.9	11.3	11.2	10.6	10.3	9.9	9.5	9.3	9.3	10.1	10.17
8	9.5	9.6	9.8	9.8	9.7	9.8	9.7	11.0	12.1	12.6	12.8	13.2	13.0	13.0	12.9	12.2	11.6	11.2	10.7	10.1	9.8	9.8	9.8	9.6	10.97
9	9.6	9.5	9.2	9.0	8.9	9.0	8.6	9.0	9.7	11.0	11.0	11.0	11.1	11.2	11.5	11.6	11.1	10.5	9.6	9.0	8.8	8.3	8.2	8.0	9.77
10	8.0	8.0	8.0	7.5	6.7	6.8	7.2	7.3	7.0	7.4	8.4	9.3	9.6	9.6	9.3	8.6	8.1	7.3	6.8	6.0	5.5	5.3	5.2	5.2	7.40
11	5.1	5.5	6.1	6.1	6.3	6.5	7.2	8.0	8.9	9.8	10.2	10.1	11.0	11.2	11.2	10.8	10.5	10.2	9.5	8.8	8.2	8.0	7.9	8.0	8.55
12	7.9	7.8	7.6	7.2	7.0	7.0	7.3	7.8	8.7	10.0	10.4	11.0	11.5	11.6	11.3	10.9	10.7	10.3	9.7	8.9	8.9	9.0	9.0	8.8	9.18
13	8.5	8.4	8.3	8.1	8.0	8.0	7.8	7.8	9.3	10.4	10.4	10.8	11.4	11.5	11.1	11.1	10.8	9.8	8.8	8.5	8.2	8.1	7.8	7.7	9.19
14	7.7	7.8	7.7	7.5	7.3	7.5	8.3	8.7	9.0	9.9	10.0	10.5	11.3	11.4	11.4	10.6	10.0	9.2	8.9	8.5	7.8	7.0	6.5	6.4	8.79
15	6.5	6.4	6.5	6.5	6.4	6.2	6.1	6.3	6.8	7.2	6.8	6.0	3.1	3.3	3.4	3.9	3.7	3.7	3.6	3.6	3.6	3.8	3.9	3.8	5.05
16	3.8	3.7	3.8	3.7	3.5	3.5	3.8	4.0	4.6	5.3	5.3	5.3	5.4	5.0	3.7	2.7	2.0	1.6	1.3	0.8	0.5	0.5	0.2	0.1	3.09
17	0.0	−0.1	−0.6	−0.6	−1.5	−1.9	−1.7	−1.3	−0.9	0.0	−0.1	−0.2	−0.8	−1.0	−1.0	−2.9	−2.5	−4.0	−3.9	−4.0	−4.2	−4.0	−4.0	−4.3	−1.90
18	−4.2	−4.5	−4.6	−4.8	−4.8	−5.1	−5.6	−5.5	−5.0	−4.2	−3.8	−3.8	−3.2	−2.8	−2.8	−2.0	−2.0	−2.5	−2.7	−2.3	−0.9	1.0	0.3	0.8	−3.07
19	1.0	1.1	1.2	0.6	0.1	2.2	2.5	5.1	5.2	5.4	5.8	6.8	7.5	7.7	7.6	7.9	8.0	7.6	7.0	6.2	5.6	5.7	5.6	5.3	4.95
20	5.3	4.9	4.3	3.5	3.5	3.5	3.4	3.5	3.8	4.1	4.9	6.1	6.8	7.0	7.0	6.9	6.8	6.0	5.5	5.1	4.8	4.5	4.2	4.2	4.98
21	4.0	4.0	3.5	3.0	3.2	3.0	3.6	4.0	4.8	6.1	6.2	5.9	1.8	−0.2	−1.0	−1.7	−2.0	−2.5	−2.5	−2.4	−2.4	−2.5	−2.2	−2.7	1.29
22	−3.9	−4.2	−5.0	−4.8	−3.6	−3.6	−4.6	−4.8	−5.0	−4.6	−4.0	−3.3	−3.6	−3.7	−4.1	−4.7	−4.8	−4.8	−4.8	−4.8	−4.8	−4.8	−4.6	−4.6	−4.40
23	−4.8	−4.8	−4.7	−4.8	−4.8	−4.8	−4.6	−4.5	−4.4	−4.0	−3.9	−3.3	−2.9	−2.8	−2.3	−2.1	−2.1	−2.6	−3.1	−3.3	−3.6	−3.5	−3.8	−3.9	−3.78
24	−3.8	−3.6	−3.6	−3.6	−3.4	−3.1	−2.4	−2.0	−2.0	−1.8	−1.8	−1.8	−1.4	−1.4	−1.2	−1.1	−1.1	−1.2	−1.4	−1.4	−1.7	−1.9	−2.0	−2.0	−2.11
25	−1.9	−1.8	−2.0	−2.1	−2.5	−2.0	−1.2	−1.0	−1.6	−0.2	0.2	0.8	1.1	1.0	1.2	1.4	1.5	1.3	1.0	1.0	0.8	1.0	1.0	0.8	−0.09
26	0.9	0.7	0.8	1.0	1.7	1.5	1.5	1.5	1.6	1.8	2.1	2.8	3.0	3.0	2.9	2.7	3.0	2.8	2.6	2.4	2.4	3.0	3.5	3.6	2.20
27	3.5	3.3	3.3	3.4	3.1	2.7	3.7	3.8	3.8	4.0	4.5	5.0	4.8	4.5	4.4	4.2	3.8	3.0	2.2	1.9	1.6	1.6	1.5	1.5	3.30
28	1.5	1.5	1.8	1.7	1.8	1.9	2.1	2.0	2.2	2.6	2.8	3.0	3.4	3.3	3.3	3.0	2.9	2.6	2.0	1.9	1.4	1.5	1.0	0.8	2.17
29	0.7	0.2	0.0	0.0	0.0	−0.1	−0.2	0.0	0.0	0.0	0.2	0.4	0.7	0.7	0.7	0.6	0.0	−0.6	−1.0	−2.0	−3.1	−3.2	−3.3	−3.7	−0.54
30	−3.8	−3.8	−3.7	−3.2	−3.3	−3.2	−3.6	−3.1	−3.1	−4.7	−5.0	−4.7	−3.4	−3.5	−3.2	−3.1	−2.8	−2.0	−1.6	−1.6	−1.6	−1.7	−1.8	−2.3	−3.07
M.	4.20	4.18	4.14	4.05	4.03	4.10	4.24	4.62	5.03	5.55	5.81	6.15	6.19	6.09	6.07	5.81	5.68	5.19	4.76	4.40	4.09	4.07	4.01	3.94	4.85

Oktober 1911. **Säntis.**

Tag	1^{30}a	2^{30}	3^{30}	4^{30}	5^{30}	6^{30}	7^{30}	8^{30}	9^{30}	10^{30}	11^{30}	12^{30}p	1^{30}	2^{30}	3^{30}	4^{30}	5^{30}	6^{30}	7^{30}	8^{30}	9^{30}	10^{30}	11^{30}	12^{30}a	Tagesmittel
1	−3.5	−5.8	−6.4	−6.8	−7.0	−7.0	−7.0	−6.9	−6.9	−6.9	−6.6	−6.4	−6.2	−6.2	−6.5	−6.6	−6.7	−6.7	−6.8	−6.8	−6.7	−6.7	−6.6	−6.8	−6.52
2	−7.0	−7.3	−7.5	−7.7	−7.8	−7.9	−7.6	−7.4	−7.2	−6.8	−6.8	−6.7	−6.7	−6.7	−7.6	−8.5	−8.8	−8.9	−9.0	−9.1	−9.0	−8.8	−9.3	−9.6	−7.90
3	−9.5	−10.0	−10.4	−10.4	−10.0	−10.0	−10.0	−9.8	−8.5	−7.0	−6.9	−6.5	−6.1	−5.8	−5.5	−5.3	−5.1	−5.2	−5.5	−5.9	−6.1	−6.1	−6.0	−5.9	−7.40
4	−5.6	−5.1	−4.5	−4.0	−3.9	−3.8	−3.6	−3.3	−3.0	−2.6	−2.6	−2.4	−2.2	−2.1	−2.1	−2.0	−1.8	−1.8	−1.8	−1.7	−1.7	−1.4	−1.4	−1.4	−2.74
5	−1.3	−1.4	−1.5	−1.6	−2.1	−2.6	−2.8	−2.9	−3.0	−2.9	−2.7	−2.2	−1.2	−1.0	−0.8	−0.6	−0.8	−0.8	−0.8	−0.8	−1.2	−1.0	−1.0	−1.1	−1.59
6	−1.1	−1.0	−1.0	−1.0	−1.0	−1.0	−0.6	−0.5	−0.1	0.3	0.4	1.0	1.1	1.1	1.1	1.1	1.1	1.3	1.4	1.4	1.4	1.8	1.5	1.5	0.48
7	1.8	2.3	2.1	1.9	2.2	2.0	1.7	1.9	2.2	2.3	2.0	2.0	2.1	2.0	2.0	1.7	1.4	0.8	0.0	−0.6	−1.2	−1.3	−1.4	−1.4	1.19
8	−1.3	−1.2	−1.0	−1.0	−0.8	−0.3	0.4	2.0	2.5	2.8	3.6	3.8	4.2	4.0	4.2	4.3	4.0	4.0	4.0	3.8	3.4	2.8	3.0	3.2	2.27
9	3.3	3.2	3.2	3.2	3.2	3.2	3.6	4.1	4.9	5.2	5.4	5.6	5.6	5.8	5.6	5.2	4.1	2.3	2.0	1.8	1.2	1.0	1.1	1.0	3.54
10	1.0	1.2	1.2	1.0	1.0	0.9	0.8	0.8	0.8	0.8	1.0	1.0	1.7	1.7	1.5	1.5	0.8	0.1	−0.1	−0.6	−0.4	−0.7	0.0	1.1	0.75
11	2.2	2.8	2.6	2.6	2.2	2.1	2.6	3.3	3.6	4.4	4.4	4.4	4.5	4.5	4.8	4.9	4.7	4.3	4.1	4.5	4.6	4.1	4.0	3.1	3.72
12	3.2	3.3	3.2	2.8	3.1	3.0	4.7	4.9	5.5	6.5	6.8	6.9	7.2	6.7	6.5	6.2	6.0	5.2	5.1	5.0	4.9	4.4	4.5	4.4	5.00
13	5.2	5.9	5.0	4.6	4.8	4.8	5.0	5.1	5.3	5.8	6.1	6.3	6.6	6.3	6.2	5.8	5.3	4.6	4.3	4.0	3.6	3.3	3.0	2.8	4.99
14	2.8	2.5	2.5	2.4	2.4	2.1	2.7	2.5	3.0	4.3	4.6	5.0	5.3	5.5	5.4	5.6	5.2	4.4	4.0	3.8	3.9	3.8	3.7	3.5	3.79
15	3.2	3.0	3.0	3.2	3.3	3.5	3.9	4.0	4.5	4.8	5.0	5.0	5.1	4.9	5.0	4.7	4.3	4.0	3.8	3.5	3.5	3.4	3.2	2.9	3.95
16	2.7	2.3	2.2	2.3	2.3	2.3	2.4	3.0	3.8	3.8	4.8	5.1	5.3	5.0	5.0	4.7	4.4	3.8	3.1	3.0	2.5	2.6	2.7	2.8	3.41
17	2.8	3.0	3.2	3.4	3.8	4.3	4.6	4.9	5.0	5.3	6.0	5.8	5.6	5.6	5.5	5.1	4.9	4.3	4.0	3.7	3.8	4.0	4.2	4.3	4.46
18	4.3	4.2	3.8	3.7	3.8	3.5	3.5	4.0	4.5	5.8	6.1	6.2	6.4	6.3	6.0	5.3	5.1	4.9	4.7	4.5	4.6	4.9	4.9	4.9	4.83
19	4.9	4.8	4.3	4.1	3.5	3.9	3.6	4.0	4.2	4.8	5.0	5.3	5.7	5.3	5.0	4.6	4.0	3.0	2.2	1.8	1.6	1.2	1.2	1.3	3.72
20	1.5	1.2	1.0	0.5	0.1	0.0	0.2	0.4	0.8	1.5	2.0	2.1	2.3	2.6	2.3	1.9	1.8	1.3	1.0	0.8	0.1	0.1	0.2	0.3	1.10
21	0.6	0.7	0.5	0.6	0.7	0.8	1.3	2.3	4.0	4.4	4.8	5.0	5.4	5.3	5.1	4.5	3.8	3.3	2.9	2.5	2.4	2.3	2.5	2.5	2.86
22	2.7	2.7	2.6	2.0	1.5	1.5	1.4	1.6	2.0	2.9	2.9	2.0	3.3	3.0	2.5	1.7	1.2	1.0	0.8	0.6	0.5	0.3	0.0	0.2	1.70
23	0.2	0.2	0.0	−0.4	−1.0	−1.2	−1.3	−1.6	−1.5	−1.4	−0.8	−0.2	−0.2	−0.3	−0.5	−1.3	−1.3	−1.4	−1.0	−1.0	−0.8	−0.6	−0.6	−1.4	−0.83
24	−1.7	−1.7	−1.8	−1.8	−2.1	−2.3	−2.3	−2.3	−2.5	−2.3	−2.5	−2.3	−2.9	−3.0	−3.3	−3.5	−3.3	−4.0	−3.8	−3.5	−2.1	−1.7	−1.0	−0.8	−2.50
25	0.0	0.3	0.3	0.0	0.0	−0.3	−1.1	−1.2	−1.0	−0.6	0.0	0.1	0.0	0.1	−1.0	−3.1	−5.0	−5.8	−5.8	−5.8	−5.9	−6.0	−6.0	−6.0	−2.24
26	−6.0	−6.0	−6.0	−6.3	−6.3	−6.7	−7.2	−7.0	−7.0	−6.6	−6.3	−6.0	−5.4	−5.0	−4.8	−4.8	−4.9	−4.8	−4.8	−4.8	−3.9	−3.8	−3.0	−2.3	−5.36
27	−1.8	−1.5	−1.3	−1.0	−1.0	−0.8	−1.4	−1.4	−1.4	−0.1	−0.1	−0.7	−1.0	−0.9	−0.7	−0.6	−1.0	−1.9	−2.8	−3.0	−4.0	−4.5	−4.9	−4.8	−1.77
28	−5.0	−5.2	−5.3	−5.8	−5.8	−6.1	−6.4	−6.6	−6.2	−6.0	−6.0	−6.0	−5.8	−5.6	−5.3	−5.2	−5.4	−5.5	−5.4	−5.4	−5.6	−5.5	−5.6	−5.7	−5.68
29	−5.8	−5.8	−5.8	−5.8	−5.8	−5.8	−5.8	−5.8	−5.0	−4.2	−4.0	−3.8	−3.4	−3.2	−3.5	−4.0	−4.0	−4.4	−4.8	−5.8	−5.8	−5.9	−5.8	−5.9	−4.95
30	−5.9	−5.8	−5.8	−5.9	−6.0	−6.3	−6.6	−7.2	−7.3	−6.2	−5.1	−4.3	−3.5	−3.5	−3.4	−3.5	−3.4	−3.0	−2.8	−2.6	−2.1	−2.2	−2.6	−2.7	−4.49
31	−3.0	−3.3	−3.5	−3.4	−3.6	−3.8	−3.6	−3.0	−2.2	−2.1	−1.9	−1.4	−1.4	−2.0	−2.0	−2.2	−2.8	−2.9	−3.0	−3.1	−3.2	−3.4	−3.8	−3.9	−2.88
M.	−0.52	−0.57	−0.68	−0.79	−0.85	−0.89	−0.82	−0.58	−0.20	0.32	0.60	0.75	1.02	0.98	0.88	0.57	0.24	−0.14	−0.33	−0.48	−0.57	−0.63	−0.62	−0.68	−0.16

November 1911. **Stündliche Lufttemperaturen.** $h_{t} = 7.0^{m}$. Säntis.

Tag	1³⁰ a	2³⁰	3³⁰	4³⁰	5³⁰	6³⁰	7³⁰	8³⁰	9³⁰	10³⁰	11³⁰	12³⁰ p	1³⁰	2³⁰	3³⁰	4³⁰	5³⁰	6³⁰	7³⁰	8³⁰	9³⁰	10³⁰	11³⁰	12³⁰ a	Tagesmittel
1	-4.0	-4.0	-3.8	-4.0	-4.2	-4.5	-4.6	-4.2	-3.2	-2.1	-2.0	-2.3	-2.6	-3.0	-3.3	-4.0	-4.0	-4.2	-4.6	-4.8	-4.8	-4.7	-4.4	-4.0	-3.80
2	-3.6	-3.5	-3.4	-3.4	-3.4	-3.4	-3.1	-2.8	-1.6	-1.3	-1.1	-0.9	-0.6	-0.9	-1.0	-1.2	-1.8	-1.9	-1.9	-1.8	-1.8	-1.6	-1.8	-2.2	-2.10
3	-2.3	-3.0	-3.2	-3.1	-3.0	-3.0	-3.0	-3.3	-3.3	-3.1	-2.8	-2.8	-2.5	-2.0	-2.1	-2.2	-2.2	-2.2	-2.2	-2.2	-2.4	-2.3	-2.1	-2.0	-2.60
4	-2.0	-2.0	-2.2	-2.3	-2.3	-2.4	-2.4	-2.0	-1.8	-1.3	-1.0	-0.8	-0.1	-0.3	-0.3	-0.4	-0.8	-0.9	-0.9	-1.0	-1.1	-1.1	-1.3	-1.4	-1.37
5	-1.2	-1.0	-0.9	-0.3	-0.3	-0.2	0.0	0.3	0.8	1.4	1.8	2.0	2.5	2.1	2.0	1.9	1.5	1.5	1.5	1.2	1.2	1.0	1.0	1.1	0.87
6	1.0	0.3	0.0	-0.9	-1.3	-1.5	-2.2	-2.8	-3.4	-3.5	-4.0	-4.4	-5.5	-5.6	-5.6	-5.5	-5.4	-6.0	-6.5	-6.6	-6.6	-6.8	-6.9	-7.0	-4.03
7	-7.0	-7.0	-7.0	-7.7	-9.3	-10.3	-10.3	-10.0	-9.5	-8.5	-8.2	-7.8	-7.6	-7.7	-7.6	-7.8	-8.2	-8.0	-8.0	-8.0	-8.3	-8.0	-7.8	-7.3	-8.22
8	-7.4	-7.4	-7.3	-7.2	-7.0	-6.8	-6.4	-6.4	-5.8	-4.6	-4.3	-4.0	-3.6	-3.9	-4.4	-4.8	-5.6	-5.9	-5.9	-5.8	-5.4	-5.0	-4.9	-4.4	-5.59
9	-4.3	-4.1	-4.2	-4.8	-4.9	-5.0	-4.1	-4.5	-4.0	-2.6	-2.5	-2.3	-2.1	-2.3	-2.5	-2.7	-2.9	-3.0	-3.0	-3.0	-3.4	-3.3	-3.2	-3.2	-3.42
10	-3.2	-3.7	-3.8	-3.8	-3.7	-3.6	-3.7	-3.5	-3.1	-3.0	-2.3	-2.1	-2.2	-3.0	-3.9	-5.2	-5.8	-6.0	-6.1	-5.8	-5.4	-5.6	-5.5	-5.7	-4.15
11	-5.8	-5.9	-6.0	-6.2	-6.8	-6.9	-7.4	-7.8	-7.8	-7.4	-7.4	-7.3	-7.2	-7.8	-8.4	-9.0	-8.9	-8.7	-8.2	-7.7	-6.4	-6.0	-5.1	-4.4	-7.10
12	-3.7	-3.5	-2.8	-2.3	-2.2	-2.3	-2.1	-1.3	-0.9	-0.6	-0.5	0.0	0.4	0.1	-0.1	-0.6	-1.6	-2.0	-2.6	-3.3	-3.8	-4.4	-4.8	-4.9	-2.08
13	-5.0	-5.1	-5.2	-5.2	-5.4	-5.8	-6.2	-6.2	-6.2	-5.4	-5.4	-6.1	-5.7	-6.2	-6.6	-6.7	-6.8	-7.0	-7.3	-7.1	-6.9	-6.9	-7.0	-7.0	-6.18
14	-7.0	-6.7	-6.5	-6.2	-5.9	-5.2	-3.7	-3.2	-2.9	-2.4	-2.0	-1.6	-0.7	0.3	-0.3	-0.4	-0.1	0.0	1.0	0.8	1.6	2.1	2.4	3.0	-1.84
15	3.0	3.0	2.4	1.9	1.6	1.2	1.1	2.1	2.7	2.2	2.1	1.8	1.7	1.8	1.7	1.2	0.9	0.7	-1.5	-2.3	-3.5	-3.7	-3.8	-3.6	0.61
16	-3.4	-4.0	-4.0	-4.0	-4.2	-4.7	-4.6	-4.6	-4.7	-4.4	-4.5	-4.8	-5.1	-4.7	-4.7	-4.2	-4.2	-4.2	-4.2	-4.1	-3.7	-3.8	-3.8	-3.8	-4.27
17	-3.4	-3.3	-3.2	-3.0	-2.6	-2.3	-1.7	-1.8	-1.6	-0.7	0.0	0.1	0.4	0.4	0.3	0.1	-0.1	-0.3	-0.9	-1.3	-1.5	-1.7	-2.0	-2.5	-1.36
18	-2.6	-2.8	-2.9	-3.2	-3.2	-3.3	-3.8	-3.8	-3.8	-4.0	-3.9	-3.5	-3.1	-3.2	-3.2	-3.5	-3.6	-3.5	-3.8	-4.1	-4.6	-4.8	-5.4	-7.0	-3.77
19	-7.6	-7.8	-8.0	-8.2	-8.7	-9.1	-9.7	-9.9	-9.9	-9.8	-10.0	-10.0	-10.1	-10.1	-10.2	-11.2	-11.5	-11.3	-10.8	-10.3	-10.0	-10.3	-10.1	-9.9	-9.77
20	-9.6	-9.7	-9.7	-10.0	-10.3	-10.6	-10.4	-10.1	-9.7	-9.6	-9.6	-9.6	-9.2	-9.1	-9.0	-9.2	-9.1	-9.2	-9.2	-9.1	-9.2	-9.0	-8.7	-8.7	-9.45
21	-8.6	-8.2	-8.1	-8.0	-7.8	-7.5	-7.2	-7.0	-5.8	-4.3	-4.4	-4.3	-4.0	-4.1	-4.1	-4.0	-4.3	-4.3	-4.4	-4.3	-3.9	-3.8	-3.8	-3.7	-5.41
22	-3.5	-3.4	-3.4	-3.3	-3.2	-3.1	-3.0	-2.6	-2.2	-1.4	-1.3	-1.2	-1.2	-1.3	-1.3	-1.4	-1.3	-1.1	-0.8	-0.6	-0.5	-0.4	-0.5	-0.7	-1.78
23	-0.9	-0.8	-0.5	-0.2	-0.3	-0.2	-0.6	-0.5	-0.9	-0.6	-0.3	-0.5	-0.8	-0.8	-0.8	-0.6	-1.0	-1.0	-0.9	-0.7	-0.6	-0.6	-0.4	-0.2	-0.61
24	-0.6	-0.6	-0.6	-0.5	-0.5	-0.4	-0.6	-0.6	-0.4	-0.1	-0.2	-0.2	-0.3	-0.3	-1.0	-2.8	-3.0	-3.4	-3.3	-3.2	-4.0	-4.0	-4.0	-4.0	-1.61
25	-4.3	-4.0	-4.0	-4.6	-4.5	-4.8	-4.8	-4.8	-4.8	-4.6	-4.4	-4.0	-4.0	-4.0	-4.3	-4.8	-5.0	-5.2	-5.2	-5.3	-5.8	-5.9	-6.0	-6.2	-4.80
26	-6.5	-6.7	-6.8	-7.0	-7.0	-7.3	-7.7	-7.7	-7.0	-5.6	-5.1	-4.5	-4.4	-4.0	-4.2	-4.6	-4.5	-4.5	-4.5	-4.6	-4.2	-4.2	-3.7	-3.7	-5.42
27	-3.4	-3.9	-3.5	-3.5	-3.8	-4.1	-4.4	-4.1	-3.1	-2.3	-1.5	-1.0	-0.9	-1.1	-1.8	-2.6	-2.9	-2.8	-2.3	-2.1	-2.0	-1.9	-1.9	-1.8	-2.61
28	-1.0	-1.2	-1.3	-1.3	-1.3	-1.2	-1.2	-0.9	-0.4	-0.4	-0.4	-0.5	-0.3	-0.3	-0.2	-0.5	-1.0	-1.3	-1.5	-1.5	-1.7	-1.8	-2.0	-1.9	-1.05
29	-1.9	-2.0	-2.4	-2.6	-2.6	-2.6	-2.6	-2.6	-2.2	-1.4	-0.8	-0.7	-0.7	-0.8	-1.0	-1.5	-2.0	-2.5	-2.6	-2.5	-2.4	-2.5	-2.5	-2.9	-2.01
30	-2.8	-2.8	-2.7	-2.5	-2.4	-2.6	-2.8	-2.7	-2.5	-2.1	-2.1	-2.1	-2.2	-2.1	-2.6	-3.8	-4.1	-4.4	-4.7	-5.0	-5.1	-5.2	-5.2	-5.0	-3.31
M.	-3.76	-3.83	-3.83	-3.91	-4.02	-4.12	-4.12	-3.98	-3.63	-3.12	-2.94	-2.85	-2.72	-2.82	-3.02	-3.40	-3.64	-3.75	-3.84	-3.87	-3.88	-3.88	-3.85	-3.84	-3.61

Dezember 1911. Säntis.

Tag	1³⁰ a	2³⁰	3³⁰	4³⁰	5³⁰	6³⁰	7³⁰	8³⁰	9³⁰	10³⁰	11³⁰	12³⁰ p	1³⁰	2³⁰	3³⁰	4³⁰	5³⁰	6³⁰	7³⁰	8³⁰	9³⁰	10³⁰	11³⁰	12³⁰ a	Tagesmittel
1	-4.9	-4.9	-5.0	-5.0	-5.4	-5.4	-4.6	-4.3	-4.1	-2.9	-2.4	-2.3	-2.8	-2.8	-3.5	-4.2	-4.6	-5.2	-5.6	-5.8	-6.0	-5.8	-5.9	-5.9	[illegible]
2	-6.4	-6.9	-7.2	-7.3	-7.3	-7.7	-7.6	-7.1	-6.5	-5.4	-5.0	-4.5	-3.9	-4.0	-4.1	-4.7	-5.4	-5.7	-5.4	-5.2	-5.4	-5.6	-5.9	-5.8	[illegible]
3	-5.7	-5.7	-5.5	-5.7	-5.7	-5.8	-5.8	-5.5	-5.0	-4.6	-4.2	-3.9	-3.4	-3.8	-4.0	-5.1	-5.3	-5.8	-5.4	-5.8	-5.8	-5.8	-5.7	-5.7	[illegible]
4	-5.7	-5.7	-5.8	-6.0	-6.2	-6.6	-6.7	-6.3	-6.0	-5.3	-4.6	-4.2	-3.9	-4.5	-5.0	-6.4	-6.5	-6.5	-6.5	-6.7	-6.8	-6.9	-7.0	-7.0	[illegible]
5	-6.9	-6.9	-7.0	-7.0	-7.2	-7.2	-7.2	-6.8	-6.8	-6.8	-6.9	-6.8	-6.6	-6.6	-6.7	-7.2	-7.3	-7.4	-7.3	-7.1	-6.6	-6.6	-6.7	-6.5	-6.92
6	-6.4	-6.3	-5.8	-5.8	-5.8	-5.5	-5.5	-5.8	-5.6	-5.1	-5.0	-4.8	-4.1	-4.2	-4.2	-4.6	-4.8	-4.8	-4.8	-4.8	-4.6	-4.6	-4.7	-4.7	-5.10
7	-4.7	-4.9	-5.2	-5.2	-5.3	-5.6	-5.6	-5.2	-4.6	-4.1	-4.0	-3.8	-3.4	-3.3	-3.3	-3.6	-3.8	-3.8	-3.8	-3.9	-4.0	-4.1	-4.1	-4.2	-4.31
8	-4.5	-4.5	-4.6	-4.5	-4.6	-4.8	-5.0	-5.3	-5.5	-5.0	-4.8	-4.5	-4.2	-4.4	-4.8	-5.5	-5.9	-5.9	-5.8	-5.7	-5.4	-5.3	-5.4	-5.5	-5.06
9	-5.5	-5.5	-5.5	-5.6	-5.9	-5.9	-5.9	-6.0	-6.9	-7.9	-9.0	-10.9	-11.0	-11.1	-11.0	-11.1	-11.1	-11.4	-11.9	-12.0	-11.8	-11.9	-11.9	-11.8	-9.10
10	-12.0	-12.2	-12.7	-12.9	-13.3	-13.8	-13.8	-13.1	-12.1	-10.7	-10.0	-9.3	-8.8	-8.3	-8.0	-7.5	-7.4	-7.3	-7.2	-7.2	-6.2	-6.0	-5.9	-5.5	[illegible]
11	-5.3	-5.0	-4.6	-4.4	-4.8	-4.8	-4.8	-4.7	-4.2	-4.1	-4.0	-4.3	-5.2	-6.8	-8.0	-9.1	-9.8	-10.5	-10.8	-10.9	-11.0	-11.0	-11.0	-11.1	-7.09
12	-11.0	-10.9	-10.8	-10.7	-10.5	-10.5	-10.6	-10.9	-10.9	-10.6	-10.3	-10.3	-10.3	-10.0	-10.0	-10.0	-10.1	-10.3	-10.4	-10.5	-11.3	-11.7	-11.9	-12.0	-10.69
13	-11.8	-11.2	-10.5	-9.9	-9.1	-8.6	-7.9	-7.8	-7.1	-6.9	-7.1	-7.0	-6.8	-6.6	-6.4	-6.0	-6.0	-6.2	-6.2	-6.6	-6.3	-6.0	-6.0	-5.9	-7.50
14	-5.8	-5.9	-6.0	-6.0	-5.7	-5.3	-5.2	-5.0	-4.8	-4.4	-4.3	-4.3	-4.5	-4.8	-5.2	-5.3	-5.3	-5.4	-5.2	-5.0	-4.4	-4.0	-3.8	-3.8	-4.97
15	-3.8	-3.9	-3.8	-3.9	-3.9	-3.8	-2.8	-2.6	-2.0	-1.4	-1.2	-1.2	-1.5	-1.6	-2.0	-2.5	-2.9	-3.0	-3.2	-5.1	-5.1	-5.3	-6.1	-7.0	-3.32
16	-7.1	-7.2	-7.3	-7.6	-8.8	-9.6	-9.7	-9.8	-9.3	-9.4	-9.0	-8.6	-8.5	-9.0	-9.7	-11.2	-12.0	-11.0	-10.9	-11.0	-11.1	-11.4	-10.1	-10.0	[illegible]
17	-9.8	-9.0	-8.2	-8.0	-8.0	-8.2	-6.8	-7.0	-6.5	-3.5	-2.3	-1.5	-0.4	-0.2	-0.9	-1.0	-1.1	-1.2	-1.8	-1.9	-2.4	-2.8	-2.7	-2.6	-4.08
18	-3.0	-3.2	-2.8	-1.9	-1.5	-1.0	0.3	0.0	0.2	1.2	2.0	2.4	2.4	2.8	2.6	2.4	2.1	-1.8	-1.7	-1.8	1.4	1.2	1.9	2.1	0.26
19	2.1	1.8	1.8	2.0	1.5	1.3	1.9	1.9	2.5	3.8	3.4	3.5	3.6	2.0	1.8	1.0	0.6	0.3	-0.1	-0.5	-0.3	-0.5	-1.3	-0.2	1.46
20	0.1	0.3	0.6	0.8	0.5	0.0	-0.7	-1.0	-1.0	0.8	0.8	0.0	-0.7	-1.0	-2.5	-3.9	-6.8	-6.8	-6.8	-7.0	-6.9	-7.0	-6.9	-6.8	[illegible]
21	-7.0	-7.4	-7.6	-7.6	-7.3	-6.8	-5.4	-5.0	-4.7	-4.5	-4.0	-4.7	-4.3	-4.6	-5.0	-5.4	-5.5	-6.0	-6.1	-6.4	-6.5	-6.3	-6.0	-6.0	[illegible]
22	-6.1	-6.8	-7.0	-7.8	-8.3	-9.0	-9.4	-9.8	-10.1	-10.4	-10.8	-11.0	-11.2	-11.0	-10.8	-10.7	-10.3	-10.0	-9.5	-8.9	-6.6	-5.6	-5.0	-4.8	-8.79
23	4.7	-4.8	-4.8	-5.0	-5.2	-5.6	-6.3	-6.4	-6.5	-6.4	-6.5	-6.6	-6.6	-6.9	-8.0	-9.7	-10.0	-10.3	-10.8	-11.0	-11.3	-11.1	-11.2	-11.3	[illegible]
24	-11.4	-11.6	-11.8	-12.3	-12.8	-12.8	-12.4	-12.0	-11.5	-10.8	-10.2	-9.8	-9.2	-8.8	-8.4	-7.8	-7.5	-6.3	-6.2	-5.9	-5.4	-5.1	-4.8	-4.3	-9.13
25	-4.2	-4.2	-3.9	-4.0	-4.2	-4.9	-5.5	-6.0	-6.3	-6.1	-6.5	-7.0	-7.8	-9.2	-9.8	-10.8	-10.8	-10.8	-10.8	-10.8	-11.3	-11.3	-11.0	-10.7	-7.83
26	-10.6	-10.7	-10.6	-10.5	-10.3	-10.2	-10.7	-10.7	-10.8	-10.8	-10.6	-10.6	-10.6	-10.3	-10.2	-9.8	-9.8	-9.7	-9.4	-9.4	-9.7	-9.3	-8.9	-8.5	[illegible]
27	-8.0	-7.6	-6.6	-6.0	-5.8	-5.9	-5.9	-6.0	-6.1	-6.3	-6.5	-6.8	-6.9	-7.1	-7.8	-7.8	-8.1	-8.8	-9.2	-9.9	-10.5	-10.5	-10.5	-10.7	-7.72
28	-10.9	-10.9	-11.0	-11.1	-11.1	-11.2	-11.2	-11.0	-10.8	-10.6	-10.6	-11.0	-11.6	-11.8	-11.8	-11.7	-11.3	-11.0	-10.8	-10.0	-9.1	-9.0	-9.0	-6.5	-10.62
29	-4.5	-3.8	-3.1	-2.8	-2.8	-2.8	-2.8	-3.0	-3.5	-3.9	-3.6	-3.9	-4.3	-4.5	-4.8	-5.3	-5.3	-5.2	-5.0	-4.7	-4.5	-4.5	-4.7	-4.9	[illegible]
30	-4.4	-5.1	-5.8	-5.6	-4.8	-4.0	-3.2	-3.0	-2.8	-2.6	-2.4	-2.1	-1.8	-2.0	-2.2	-2.4	-3.2	-3.8	-3.7	-3.9	-4.0	-4.0	-4.2	-4.8	-3.55
31	-5.6	-7.0	-6.9	-7.0	-7.3	-7.8	-8.4	-8.1	-8.3	-8.4	-8.6	-8.3	-7.5	-7.7	-7.5	-7.3	-7.3	-6.9	-6.8	-6.3	-6.5	-6.5	-6.6	-5.8	-7.22
M	-6.31	-6.37	-6.29	-6.27	-6.35	-6.45	-6.30	-6.24	-6.05	-5.58	-5.48	-5.42	-5.85	-5.55	-5.85	-6.26	-6.58	-6.69	-6.73	-6.83	-6.63	-6.55	-6.50	-6.39	-6.20

1911. **Tägliche Maxima und Minima der Lufttemperaturen.** Säntis.

(Absolute Extreme.)

Tag	Januar		Februar		März		April		Mai		Juni		Juli		August		September		Oktober		November		Dezember	
	Max.	Min.	Max.	Min.	Max.	Min.	Max.	Min.	Max.	Min.	Max.	Min.	Max.	Min.	Max.	Min.	Max.	Min.	Max.	Min.	Max.	Min.	Max.	Min.
1	−10.8	−16.4	−10.4	−13.1	−5.3	−11.7	−1.0	−3.9	−5.1	−7.5	7.2	2.4	7.6	3.3	11.0	6.8	11.2	5.6	−2.3	−7.0	−2.0	−4.9	−2.3	−6.0
2	−12.3	−17.3	−7.6	−12.4	−8.6	−12.3	−1.3	−3.7	−3.0	**−7.7**	8.2	1.9	9.1	4.3	12.1	7.0	13.0	9.2	−6.6	−9.6	−0.6	−4.1	−3.9	−7.7
3	−10.9	−17.3	−12.5	−14.7	−8.3	−10.4	−3.6	−12.5	0.0	−6.9	8.0	2.9	4.8	0.6	11.0	7.0	**14.3**	10.5	−5.1	**−10.6**	−2.0	−3.3	−3.4	−5.9
4	−9.2	−13.0	−5.0	−13.5	−4.8	−9.7	−12.6	**−17.7**	1.7	−3.4	4.1	1.9	7.4	**0.3**	8.8	5.2	13.1	8.9	−1.3	−5.9	−0.1	−2.4	−3.9	−7.0
5	−9.7	−12.6	−4.9	−9.3	−8.4	−10.5	−10.2	−16.4	−1.0	−3.3	5.3	0.8	8.0	3.0	10.3	5.0	11.6	8.1	−0.6	−3.0	2.5	−1.4	−6.5	−7.4
6	−11.3	−13.9	−8.1	−15.4	−5.8	−12.9	−8.5	−13.7	−1.5	−5.7	3.9	1.7	9.5	5.9	11.9	7.5	11.6	7.9	1.8	−1.2	1.0	−7.0	−4.1	−6.4
7	−10.3	−13.0	−10.8	−14.9	−5.9	−10.0	−8.7	−13.4	−5.0	−7.1	7.6	2.8	7.5	6.2	11.0	7.8	12.0	8.3	2.3	−1.4	−7.0	−10.4	−3.3	−5.6
8	−7.7	−13.1	−13.8	**−16.8**	−8.8	−10.8	−11.5	−13.8	0.0	−5.2	8.6	4.5	11.0	7.2	12.7	8.3	13.3	9.5	4.3	−1.4	−3.6	−7.6	−4.2	−5.9
9	−4.8	−8.0	−8.0	−15.8	−6.6	−11.6	−9.4	−13.7	1.6	−2.2	7.3	1.9	8.7	4.8	**12.8**	9.3	11.6	8.0	5.8	1.0	−2.1	−5.0	−5.4	−12.0
10	−5.5	−14.8	−7.4	−9.7	−7.4	−10.2	−8.8	−11.0	1.4	−2.3	3.8	0.5	4.7	1.2	11.1	8.0	9.6	5.2	1.7	−0.8	−2.1	−6.1	−5.5	**−13.9**
11	−6.5	−14.6	−8.7	−9.8	−8.0	−10.4	−5.9	−10.5	2.1	−1.6	1.6	−1.5	3.9	1.3	9.5	6.3	11.2	5.1	4.9	1.8	−4.4	−9.0	−4.0	−11.1
12	−5.0	−11.0	−7.2	−9.9	−7.5	−10.2	−4.6	−7.7	3.9	0.0	2.9	−1.5	7.0	1.6	9.0	6.3	11.7	7.0	**7.2**	2.8	−0.1	−4.9	−9.9	−12.0
13	−9.0	−11.9	−6.0	−10.4	−7.0	−13.5	−7.8	−12.1	3.8	0.1	4.8	−0.6	8.1	4.8	10.4	5.4	11.5	7.7	6.6	2.8	−4.9	−7.3	−5.9	−12.0
14	−8.3	−13.2	−6.1	−8.7	−12.0	**−15.5**	−9.3	−12.2	4.2	0.7	0.5	**−6.2**	5.9	4.0	9.1	5.1	11.5	6.4	5.6	2.1	**3.0**	−7.0	−3.8	−6.0
15	−4.6	−9.1	−7.0	−11.7	−12.5	−15.3	−3.5	−9.4	6.5	0.4	−3.8	−6.1	6.9	4.0	9.3	4.1	7.3	3.0	5.1	2.9	**3.0**	−3.8	−1.2	−7.0
16	−2.8	−5.7	−7.0	−13.8	−11.9	−15.0	0.2	−4.6	5.2	0.9	3.7	−3.8	6.0	2.8	5.3	2.5	5.4	0.1	5.3	2.1	−3.3	−5.2	−7.0	−12.1
17	−3.1	−5.8	−6.5	−8.0	−10.5	−13.5	−0.6	−3.3	5.6	0.4	8.0	2.3	6.8	2.1	7.2	**1.5**	0.0	−4.4	6.0	2.8	0.4	−3.8	−0.2	−10.0
18	−2.5	−4.7	−2.5	−7.0	−6.9	−12.0	0.2	−3.9	1.7	−0.4	**10.1**	1.8	9.0	3.8	8.5	3.3	1.0	**−5.6**	6.4	3.5	−2.5	−7.0	2.8	−3.3
19	−0.8	−3.2	−2.5	−10.0	−4.3	−7.8	−0.3	−3.4	−0.4	−5.9	8.4	1.0	11.8	5.4	10.9	5.7	8.0	0.1	5.7	1.2	−7.1	**−11.5**	**3.9**	−0.5
20	0.2	−2.0	−9.8	−12.2	−2.6	−5.2	−0.8	−4.5	−3.2	−5.8	1.1	−1.8	9.6	5.5	12.6	7.2	7.0	3.3	2.8	0.0	−8.7	−10.6	0.8	−7.0
21	**2.0**	−1.0	−8.0	−12.4	−2.9	−5.4	−1.0	−4.3	−0.2	−5.0	2.3	−1.8	10.8	6.3	12.0	5.4	6.2	−2.7	5.4	0.3	−3.7	−8.7	−3.7	−7.6
22	−0.8	−4.9	**−1.1**	−8.4	−1.4	−4.5	**3.0**	−2.5	−0.1	−4.1	7.3	−0.4	13.3	9.0	11.1	6.4	−3.0	−5.0	3.3	0.0	−0.4	−3.7	−4.8	−11.2
23	−3.0	−5.7	−2.4	−8.4	−1.8	−5.0	2.7	−0.3	−0.2	−3.2	8.3	3.3	**15.9**	10.7	11.1	5.0	−2.0	−4.8	0.4	−1.8	−0.1	−1.0	−4.7	−11.3
24	−5.2	−10.9	−2.7	−10.6	−2.6	−7.9	2.0	−1.1	−1.3	−2.3	7.9	3.2	14.2	9.0	8.1	3.2	−1.1	−3.9	−0.3	−4.0	−0.1	−4.0	−4.3	−12.8
25	−8.1	−10.8	−4.9	−10.8	−5.2	−10.5	1.6	−1.9	2.9	−2.0	8.2	−0.6	15.0	7.5	9.0	4.3	1.5	−2.5	0.5	−6.0	−3.9	−6.2	−3.9	−11.4
26	−2.0	−8.8	−5.0	−13.1	−7.7	−12.5	0.3	−3.4	3.7	0.5	3.9	−1.7	14.3	10.0	4.5	2.2	3.6	0.7	−2.3	−7.2	−3.7	−7.7	−8.4	−10.8
27	−0.3	−4.2	−12.1	−13.4	−3.3	−12.4	−2.7	−5.4	3.8	1.1	−0.5	−3.1	15.4	10.3	9.2	2.9	5.0	1.5	−0.1	−4.9	−0.9	−4.4	−5.8	−10.7
28	−2.9	−7.0	−3.8	−12.5	−0.5	−3.2	−4.0	−6.2	6.1	1.2	1.9	−3.0	15.4	9.6	11.9	7.1	3.4	0.8	−4.8	−6.7	−0.2	−2.0	−6.4	−11.8
29	−5.1	−8.0			**1.4**	−1.2	−2.0	−6.2	**7.3**	2.4	6.1	0.7	14.3	8.4	**12.8**	8.0	0.8	−3.7	−3.2	−5.9	−0.7	−2.9	−2.7	−6.1
30	−5.8	−17.9			−1.1	−4.0	−4.5	−7.6	6.8	3.2	8.7	3.3	13.2	10.1	11.4	7.3	−1.4	−5.0	−1.8	−7.4	−2.0	−5.3	−1.8	−5.9
31	−12.5	**−18.4**			−2.1	−4.8			4.4	1.9			12.5	8.3	7.3	3.0			−1.4	−3.9			−4.9	−8.6
Mittl. Max.	−5.76		−6.85		−5.82		−3.75		1.72		5.18		9.92		10.09		6.58		1.65		−1.88		−3.82	
Mittl. Min.	−10.26		−11.67		−9.67		−7.68		−2.29		1.60		5.53		5.62		2.64		−2.11		−5.61		−8.61	
Differenz	4.50		4.82		3.85		3.93		4.01		3.58		4.39		4.47		3.94		3.76		3.73		4.79	
Abs. Max.	2.0		−1.1		1.4		3.0		7.3		10.1		15.9		12.8		14.3		7.2		3.0		3.9	
Abs. Min.	−18.4		−16.8		−15.5		−17.7		−7.7		−6.2		0.3		1.5		−5.6		−10.6		−11.5		−13.9	
Differenz	20.4		15.7		16.9		20.7		15.0		16.3		15.6		11.3		19.9		17.8		14.5		17.8	

1911. **Übersicht über den täglichen Gang der Temperatur.** Säntis.

Abweichungen vom Monatsmittel.

	Mittel	1^{30}a	2^{30}	3^{30}	4^{30}	5^{30}	6^{30}	7^{30}	8^{30}	9^{30}	10^{30}	11^{30}	12^{30}p	1^{30}	2^{30}	3^{30}	4^{30}	5^{30}	6^{30}	7^{30}	8^{30}	9^{30}	10^{30}	11^{30}	12^{30}a
Jan.	−8.04	−0.44	−0.34	−0.25	−0.30	−0.41	−0.50	**−0.53**	−0.44	−0.09	0.32	0.54	0.75	0.87	**0.93**	0.73	0.34	0.15	0.07	−0.10	−0.27	−0.35	−0.31	−0.23	−0.28
Febr.	−9.28	−0.33	−0.19	−0.11	−0.07	−0.10	−0.26	**−0.36**	−0.26	−0.24	0.08	0.25	0.52	**0.63**	0.48	0.33	0.25	0.13	0.02	0.03	−0.13	−0.24	−0.17	−0.16	−0.17
März	−7.65	**−0.72**	**−0.72**	−0.67	−0.62	−0.61	−0.59	−0.51	−0.26	0.10	0.50	0.73	0.98	**1.25**	1.24	1.04	0.82	0.54	0.14	−0.17	−0.37	−0.50	−0.51	−0.53	−0.50
April	−5.65	−0.58	−0.57	−0.58	−0.52	−0.54	−0.42	−0.04	0.07	0.25	0.53	0.68	0.82	**1.01**	0.93	0.87	0.71	0.53	0.20	−0.17	−0.48	−0.58	−0.68	**−0.76**	−0.67
Mai	−0.36	−1.18	−1.12	−1.14	−1.18	**−1.19**	−0.88	−0.52	−0.27	0.01	0.38	0.79	1.20	1.52	**1.56**	1.44	1.43	1.01	0.66	0.30	−0.12	−0.50	−0.63	−0.76	−0.83
Juni	2.59	**−1.24**	−1.19	−1.17	−1.13	−1.07	−0.92	−0.35	0.00	0.41	0.85	1.20	1.54	**1.90**	1.84	1.72	1.21	0.83	0.42	−0.07	−0.55	−0.92	−1.05	−1.12	−1.17
Juli	7.77	−1.15	−1.17	−1.21	**−1.29**	−1.20	−0.92	−0.46	−0.13	0.25	0.65	0.91	1.13	**1.63**	1.52	1.40	1.19	1.06	0.62	0.29	−0.20	−0.61	−0.72	−0.81	−0.87
Aug.	7.75	−0.88	−1.09	−1.15	−1.20	**−1.22**	−1.11	−0.88	−0.59	−0.08	0.61	0.98	1.25	1.71	1.72	**1.75**	1.65	1.35	0.81	0.15	−0.37	−0.80	−0.85	−0.89	−0.95
Sept.	4.85	−0.65	−0.67	−0.71	−0.80	−0.82	−0.75	−0.61	−0.23	0.18	0.70	0.96	1.30	**1.34**	1.24	1.22	0.96	0.78	0.34	−0.09	−0.45	−0.76	−0.78	−0.84	**−0.91**
Okt.	−0.16	−0.36	−0.41	−0.52	−0.63	−0.69	**−0.73**	−0.66	−0.42	−0.04	0.48	0.76	0.91	**1.18**	1.14	1.04	0.73	0.40	0.02	−0.17	−0.32	−0.41	−0.47	−0.46	−0.47
Nov.	−3.61	−0.15	−0.22	−0.22	−0.30	−0.41	**−0.51**	**−0.51**	−0.37	−0.02	0.49	0.67	0.76	**0.89**	0.79	0.59	0.21	−0.03	−0.14	−0.23	−0.26	−0.27	−0.27	−0.24	−0.23
Dez.	−6.29	−0.11	−0.17	−0.09	−0.07	−0.15	−0.25	−0.10	−0.04	0.15	0.62	0.77	0.78	**0.85**	0.65	0.35	−0.06	−0.33	−0.49	−0.53	**−0.63**	−0.43	−0.35	−0.30	−0.19

Januar 1911. **Stündliche Barometerstände** (500 mm +). Säntis.

Tag	1^{30} a	2^{30}	3^{30}	4^{30}	5^{30}	6^{30}	7^{30}	8^{30}	9^{30}	10^{30}	11^{30}	12^{30} p	1^{30}	2^{30}	3^{30}	4^{30}	5^{30}	6^{30}	7^{30}	8^{30}	9^{30}	10^{30}	11^{30}	12^{30} a	Tagesmittel
1	62.1	62.1	61.8	61.8	60.8	60.7	60.5	60.5	60.4	60.3	60.1	59.7	59.4	59.2	59.0	58.7	58.2	58.0	57.6	57.1	56.6	56.1	55.8	55.2	59.20
2	54.6	54.3	53.7	52.9	52.2	52.7	51.4	51.5	51.3	51.1	50.9	50.5	49.9	49.9	49.9	49.9	49.9	49.9	49.9	49.7	49.8	49.7	49.7	49.5	51.03
3	49.3	49.2	49.0	48.7	**48.6**	48.7	48.7	48.7	48.9	48.9	48.9	48.9	49.1	49.2	49.4	49.4	49.4	49.4	49.5	49.4	49.1	49.1	48.9	48.8	49.05
4	48.7	49.0	49.0	48.9	48.8	49.0	49.3	49.5	49.9	50.1	50.1	50.0	50.2	50.2	50.4	50.6	50.8	50.9	51.1	51.3	51.4	51.5	51.8	52.0	50.19
5	52.0	52.2	52.5	52.4	52.5	52.6	52.8	53.1	53.3	53.3	53.1	53.0	53.0	53.1	53.4	53.7	54.0	54.2	54.5	54.7	54.8	54.9	54.9	55.1	53.46
6	55.3	55.7	55.9	56.1	56.3	56.8	57.2	57.6	58.0	58.2	58.2	58.3	58.3	58.4	58.8	59.0	59.4	59.7	59.9	60.1	60.2	60.3	60.4	60.5	58.28
7	60.5	60.6	60.6	60.6	60.7	61.1	61.4	61.7	62.2	62.4	62.4	62.5	62.6	62.7	63.1	63.5	63.7	63.9	64.1	64.2	64.3	64.5	64.6	64.8	62.61
8	65.0	65.3	65.5	65.6	65.8	66.2	66.5	66.7	67.0	67.2	67.4	67.4	67.6	67.6	67.7	67.7	67.8	68.1	68.3	68.5	68.5	68.5	68.5	68.5	67.20
9	68.4	68.3	68.3	68.3	68.3	68.3	68.3	68.4	68.5	68.6	68.3	68.1	67.9	67.5	67.3	67.3	67.1	66.9	66.8	66.5	66.0	65.8	65.3	64.9	67.48
10	64.3	64.0	63.3	62.8	62.4	62.2	61.9	62.0	62.4	63.0	62.9	62.8	62.8	62.8	62.8	63.0	63.3	63.5	63.6	63.7	63.8	63.9	63.1	63.3	63.07
11	63.0	62.8	62.2	61.9	61.5	61.2	61.0	60.8	60.6	60.7	60.5	60.1	59.6	59.3	59.0	58.6	58.2	57.9	57.6	57.2	56.8	56.3	55.8	55.0	59.48
12	54.5	54.1	53.6	53.0	52.5	52.1	51.6	51.5	51.5	51.5	51.2	50.7	50.3	50.1	49.9	49.8	49.8	49.8	50.0	50.0	49.9	50.0	50.2	50.4	51.17
13	50.4	50.5	50.7	50.8	51.0	51.4	51.7	52.1	52.5	52.9	53.3	53.2	53.2	53.3	53.5	53.9	54.1	54.3	54.5	54.6	54.6	54.8	54.8	54.9	52.96
14	54.9	55.0	55.0	55.2	55.2	55.5	55.7	56.1	56.5	57.2	57.4	57.5	57.8	58.0	58.4	58.7	59.1	59.4	59.7	59.8	60.0	60.2	60.3	60.4	57.63
15	60.4	60.6	60.6	60.6	60.6	60.6	60.9	61.0	61.1	61.2	61.3	61.5	61.3	61.4	61.6	61.8	62.1	62.3	62.5	62.7	62.9	63.1	63.3	63.5	61.62
16	63.6	64.0	64.0	64.2	64.4	64.9	65.1	65.4	65.8	66.1	66.2	66.4	66.6	66.7	67.0	67.4	67.8	68.3	68.6	69.0	69.4	69.7	69.9	70.2	66.70
17	70.4	70.6	70.7	70.8	70.9	71.1	71.2	71.3	71.6	71.9	71.8	71.8	71.7	71.7	71.7	71.8	72.0	72.3	72.5	72.5	**72.6**	72.5	72.5	**72.6**	71.69
18	**72.6**	**72.6**	**72.6**	72.5	72.5	72.5	72.3	72.5	72.5	**72.6**	72.4	72.3	72.1	72.0	71.9	71.7	71.7	71.6	71.8	71.7	71.5	71.3	71.0	70.9	72.05
19	70.8	70.6	70.3	70.3	70.1	70.0	70.0	70.2	70.2	70.2	70.1	70.0	70.1	70.0	69.9	69.8	69.8	69.8	69.9	70.1	70.2	70.2	70.3	70.4	70.14
20	70.3	70.4	70.4	70.3	70.3	70.3	70.2	70.2	70.2	70.2	70.1	70.1	70.0	69.7	69.5	69.3	69.1	69.1	69.1	69.1	69.0	69.0	68.9	68.6	69.73
21	68.3	68.2	67.9	67.7	67.7	67.5	67.4	67.4	67.4	67.3	67.0	66.7	66.4	66.2	66.1	66.0	65.9	65.9	65.9	65.9	65.8	65.6	65.5	65.4	66.71
22	65.2	65.2	65.0	65.0	64.8	64.9	64.9	64.9	65.2	65.3	65.3	65.1	65.0	64.9	65.0	65.0	65.2	65.4	65.6	65.7	65.7	65.7	65.8	65.8	65.23
23	65.8	65.8	65.7	65.5	65.6	65.6	65.7	65.8	66.0	66.2	66.2	66.1	65.7	65.5	65.5	65.3	65.4	65.5	65.5	65.4	65.4	65.4	65.4	65.3	65.64
24	64.9	64.8	64.5	64.3	64.1	63.9	63.8	63.7	63.7	63.7	63.6	63.3	63.3	63.1	63.1	63.3	63.2	63.3	63.4	63.5	63.5	63.6	63.7	63.8	63.71
25	63.8	63.9	63.9	64.0	64.2	64.3	64.6	64.9	65.2	65.5	65.6	65.7	65.7	65.7	65.7	65.7	65.9	66.2	66.3	66.5	66.6	66.7	66.8	67.0	65.43
26	67.0	67.0	67.0	67.0	67.2	67.3	67.7	68.0	68.3	68.6	68.6	68.5	68.5	68.5	68.5	68.8	69.2	69.4	69.7	70.1	70.1	70.3	70.4	70.3	68.58
27	70.4	70.4	70.3	70.4	70.4	70.5	70.6	70.8	70.9	71.0	71.1	71.0	70.8	70.5	70.4	70.3	70.3	70.3	70.3	70.2	70.2	70.2	70.1	69.9	70.47
28	69.8	69.5	69.1	68.6	68.4	68.0	68.0	67.9	67.8	67.9	67.7	67.5	67.3	67.2	67.1	67.2	67.1	67.2	67.2	67.0	66.9	66.7	66.7	66.6	67.68
29	66.6	66.6	66.3	66.2	65.9	65.7	65.6	65.6	65.6	65.8	65.7	65.4	65.1	64.8	64.5	64.4	64.3	64.2	64.2	63.9	63.7	63.5	63.5	63.3	65.02
30	63.2	63.0	62.4	62.0	61.7	61.4	61.2	61.0	60.9	60.9	60.9	60.8	60.7	60.5	60.3	60.3	60.3	60.2	60.1	60.1	60.0	59.9	59.8	59.8	60.89
31	59.9	59.9	59.9	59.8	59.9	59.9	60.1	60.4	60.6	60.8	61.0	61.3	61.7	61.8	62.2	62.4	62.8	63.0	63.2	63.6	63.9	64.2	64.5	64.7	61.73
M.	62.45	62.46	62.31	62.18	62.11	62.16	62.17	62.30	62.45	62.60	62.56	62.46	62.38	62.31	62.34	62.40	62.48	62.58	62.67	62.70	62.68	62.67	62.65	62.63	62.45

Februar 1911. (500 mm +). Säntis.

Tag	1^{30} a	2^{30}	3^{30}	4^{30}	5^{30}	6^{30}	7^{30}	8^{30}	9^{30}	10^{30}	11^{30}	12^{30} p	1^{30}	2^{30}	3^{30}	4^{30}	5^{30}	6^{30}	7^{30}	8^{30}	9^{30}	10^{30}	11^{30}	12^{30} a	Tagesmittel
1	64.8	65.0	65.1	65.3	65.4	65.6	65.9	65.8	65.6	65.7	65.7	65.7	65.7	65.6	65.6	65.6	65.7	65.8	65.9	65.9	66.1	66.2	66.1	66.0	65.66
2	65.9	65.8	65.7	65.5	65.5	65.5	65.6	65.7	65.9	66.0	66.1	65.8	65.7	65.5	65.2	65.0	64.8	64.5	64.2	64.1	63.6	63.4	62.5	62.0	64.98
3	61.6	60.9	60.3	59.6	59.3	59.4	59.2	59.1	59.2	59.2	59.3	59.3	59.2	59.4	59.6	59.9	60.3	60.9	61.3	61.6	61.8	62.2	62.2	62.[illegible]	[illegible]
4	62.3	62.7	62.7	62.6	62.6	62.6	62.7	63.1	63.5	63.9	63.6	63.5	63.5	63.5	63.7	63.7	63.9	64.1	64.1	64.1	64.3	64.4	64.6	64.6	63.91
5	64.4	64.3	64.0	63.7	63.6	63.4	63.4	63.3	63.3	63.2	63.1	63.0	62.8	62.5	62.6	62.6	62.5	62.6	62.5	62.4	62.2	62.2	62.2	62.0	62.80
6	61.9	61.8	61.7	61.8	61.7	61.5	61.6	61.8	62.0	62.3	62.3	62.4	62.4	62.6	62.8	63.0	63.3	63.5	63.6	63.6	63.7	63.8	63.8	64.1	62.62
7	64.1	64.1	64.1	64.1	64.3	64.3	64.3	64.3	64.4	64.4	64.4	64.3	64.1	63.9	63.7	63.5	63.3	63.4	63.5	63.4	63.7	63.7	63.5	63.2	63.92
8	62.9	62.6	62.4	62.3	62.0	62.0	62.1	62.2	62.3	62.6	62.6	62.6	62.6	62.6	62.7	62.9	63.2	63.3	63.3	63.5	63.7	63.7	63.8	63.7	62.82
9	63.8	63.8	63.8	63.8	63.8	63.9	63.8	63.9	64.0	64.1	64.0	63.8	63.9	63.8	63.7	63.7	63.6	63.6	63.5	63.4	63.1	63.0	62.9	62.8	63.65
10	62.7	62.5	62.2	62.0	62.0	61.7	61.6	61.7	61.7	62.0	61.9	61.9	61.9	61.7	61.7	61.7	61.7	61.8	61.9	62.1	62.1	62.2	62.2	62.2	61.96
11	62.2	62.2	62.0	61.8	61.8	61.8	61.7	61.8	61.8	61.9	62.0	61.9	61.8	61.8	61.8	61.8	61.7	62.0	62.1	62.2	62.2	62.2	62.3	62.3	61.96
12	62.3	62.3	62.3	62.3	62.4	62.4	62.5	62.7	62.7	62.8	62.9	62.8	62.7	62.5	62.4	62.5	62.5	62.5	62.5	62.5	62.5	62.5	62.4	62.4	62.51
13	62.4	62.4	62.3	62.2	62.2	62.1	62.2	62.3	62.4	62.9	63.2	63.4	63.5	63.5	63.7	64.0	64.3	64.5	64.8	65.0	65.2	65.5	65.5	65.6	63.55
14	65.8	65.9	65.8	65.8	65.9	66.0	66.1	66.3	66.4	66.5	66.6	66.6	66.6	66.5	66.4	66.5	66.5	66.7	66.9	67.1	67.2	67.3	67.3	67.3	66.50
15	67.4	67.4	67.4	67.5	67.6	67.6	67.6	67.8	68.1	68.3	68.4	68.8	68.2	68.1	68.2	68.1	68.0	68.1	68.4	68.4	68.5	68.5	68.7	68.7	68.05
16	68.7	68.8	68.7	68.8	69.0	69.0	69.1	69.2	69.4	**69.6**	**69.6**	69.3	68.9	68.8	68.6	68.6	68.4	68.4	67.9	67.5	68.1	68.4	68.1	68.0	68.70
17	67.3	67.1	66.6	66.3	66.1	65.8	65.5	65.4	65.5	65.8	66.1	65.8	65.1	64.8	64.9	65.4	64.6	65.3	65.3	65.1	65.4	65.6	65.7	65.9	65.68
18	66.0	66.0	65.8	64.9	64.2	64.7	64.4	64.4	64.1	64.0	63.9	63.2	62.4	62.1	61.7	61.3	61.1	60.8	60.7	60.7	60.6	60.7	60.5	60.2	62.85
19	59.9	59.2	58.6	57.8	57.3	56.8	56.5	55.6	55.8	55.4	54.9	55.2	54.2	53.6	53.5	53.6	53.5	53.4	53.5	53.3	53.9	54.1	53.4	54.1	55.30
20	54.0	54.5	54.4	54.5	55.2	55.5	55.5	56.0	56.2	56.6	56.8	57.0	56.8	56.8	56.9	56.7	56.7	57.1	57.6	57.4	57.7	57.8	57.8	58.4	56.41
21	58.3	58.2	58.2	58.7	58.8	59.4	59.9	60.0	60.6	61.2	61.7	62.0	62.2	62.0	62.0	62.0	61.8	62.2	62.5	62.6	62.9	63.0	63.1	63.1	61.10
22	63.1	63.3	63.3	63.2	63.4	63.3	63.2	63.1	63.1	63.2	63.0	63.0	62.1	61.5	60.9	61.1	61.7	62.6	63.1	64.0	64.1	64.5	64.3	64.5	63.08
23	63.9	63.7	63.7	63.5	63.3	63.0	62.8	62.6	62.4	62.1	61.9	61.8	60.6	60.1	59.9	59.5	59.2	59.0	58.7	57.8	57.3	57.0	56.1	56.1	60.64
24	55.3	55.0	53.9	53.5	53.6	53.7	54.3	53.9	53.6	53.6	54.4	54.6	53.8	53.8	54.2	54.7	54.7	55.7	56.5	56.2	56.8	57.0	57.3	57.2	54.59
25	57.2	57.7	57.8	57.8	57.6	57.8	57.9	58.0	58.0	57.5	57.0	57.0	56.6	56.2	55.8	55.6	55.6	55.3	54.8	54.8	55.3	55.1	55.8	55.9	56.55
26	56.2	56.6	56.4	56.6	56.6	56.6	56.5	56.0	55.6	54.7	54.8	52.7	**51.9**	53.0	54.2	53.8	54.8	55.7	55.9	57.0	57.3	57.8	57.6	58.0	55.66
27	58.0	58.1	58.3	58.5	58.5	58.7	58.8	59.2	59.3	59.4	59.6	59.5	59.3	59.3	59.2	59.2	59.3	59.6	59.6	59.7	60.0	60.0	60.0	60.1	59.22
28	60.1	60.1	60.0	60.0	60.0	60.1	60.3	60.5	60.6	60.6	60.6	60.5	60.3	59.9	59.7	59.9	59.8	60.0	59.8	59.4	58.5	58.3	58.4	59.1	59.86
M.	62.23	62.21	62.04	61.92	61.92	61.94	61.96	61.99	62.05	62.12	62.14	62.01	61.74	61.62	61.62	61.64	61.66	61.87	61.94	61.96	62.06	62.15	62.07	62.11	61.96

März 1911. Stündliche Barometerstände (500 mm +). Säntis.

Tag	1h	2h	3h	4h	5h	6h30	7h30	8h30	9h30	10h30	11h30	12h30 p	1h30	2h30	3h30	4h30	5h30	6h30	7h30	8h30	9h30	10h30	11h30	12h30 a	Tagesmittel
1	59.0	59.0	58.9	59.2	59.2	58.8	58.8	58.9	59.2	59.8	60.0	60.7	60.4	60.7	60.9	61.3	61.9	62.7	63.5	63.8	64.2	64.4	64.8	65.2	61.05
2	65.4	65.5	65.5	65.5	65.5	65.7	65.8	66.2	66.2	**66.4**	66.2	66.0	65.4	64.8	64.2	64.2	63.7	63.4	63.9	63.5	62.7	62.2	61.9	61.4	64.61
3	62.7	63.5	63.8	63.2	63.0	63.1	63.4	63.8	63.6	63.2	63.8	63.8	63.3	63.2	63.2	63.3	63.4	63.9	64.1	64.1	64.5	64.9	64.8	64.8	63.62
4	64.7	64.7	64.5	64.4	64.3	64.2	64.0	63.9	63.9	63.9	63.8	63.6	63.2	63.0	62.7	62.4	61.9	61.8	61.6	61.3	61.0	60.7	60.4	60.0	62.91
5	59.8	59.5	59.2	58.9	58.7	58.3	58.1	58.2	58.2	58.0	58.1	58.4	58.2	58.2	58.2	58.2	58.3	58.5	58.6	58.5	58.4	58.4	58.1	57.9	58.45
6	57.6	57.5	57.0	56.8	56.6	56.5	56.1	56.1	56.2	56.2	56.2	56.1	56.0	55.9	55.8	55.7	55.8	56.0	56.2	56.1	56.1	56.2	56.1	56.1	56.29
7	56.1	56.1	56.1	56.1	56.3	56.5	56.6	56.9	57.1	57.2	57.4	57.5	57.5	57.6	57.7	57.7	57.7	57.7	57.7	57.7	57.8	57.8	57.8	57.8	57.18
8	57.7	57.6	57.5	57.5	57.5	57.5	57.6	57.6	57.6	57.7	57.5	57.5	57.5	57.5	57.5	57.7	57.9	58.0	58.2	58.3	58.3	58.4	58.3	58.3	57.78
9	58.3	58.3	58.1	58.0	57.8	57.9	57.8	57.9	58.1	58.1	58.2	58.2	58.2	58.2	58.3	58.4	58.5	58.6	58.7	58.8	59.0	59.0	59.2	59.4	58.37
10	59.7	59.7	59.7	59.7	59.8	59.9	59.8	60.0	60.1	60.1	60.1	60.2	60.2	60.1	60.1	60.1	60.2	60.4	60.4	60.3	60.3	60.3	60.2	60.0	60.06
11	59.9	59.6	59.3	59.0	58.8	58.6	58.6	58.6	58.6	58.6	58.6	58.7	58.7	58.6	58.6	58.6	58.6	58.6	58.7	58.7	58.7	58.7	58.7	58.6	58.78
12	58.6	58.5	58.2	58.2	58.0	57.8	57.8	57.8	57.8	57.8	57.6	57.6	57.2	57.0	56.8	56.5	56.3	56.3	56.2	56.0	55.8	55.4	54.9	54.4	57.02
13	54.0	53.8	52.5	51.7	51.2	50.2	49.6	49.1	48.5	48.0	48.0	47.9	47.5	47.6	47.0	46.8	47.2	47.4	47.5	47.7	48.0	48.6	48.7	48.4	49.02
14	48.6	48.4	48.2	48.1	47.9	47.9	47.8	48.1	48.2	48.3	48.4	48.6	48.5	48.4	48.3	48.3	48.3	48.2	48.3	48.2	48.0	47.9	47.7	47.5	48.17
15	47.3	47.1	46.9	46.7	46.5	46.5	46.3	46.3	46.2	46.2	46.3	46.4	46.8	46.9	47.0	47.1	47.1	47.3	47.5	47.7	47.8	48.0	48.0	48.0	47.00
16	48.0	48.0	48.0	48.1	48.1	48.4	48.7	49.3	49.6	50.0	50.2	50.5	50.7	51.0	51.1	51.3	51.4	51.7	52.0	52.3	52.6	52.8	52.8	53.0	50.40
17	53.0	53.0	53.0	53.0	53.2	53.4	53.6	53.9	54.2	54.5	54.6	54.9	55.0	55.1	55.1	55.2	55.3	55.7	55.8	56.0	56.0	56.0	55.9	56.0	54.64
18	56.1	56.1	56.1	56.2	56.3	56.4	56.6	56.9	57.0	57.2	57.4	57.5	57.2	57.3	57.4	57.5	57.7	58.0	58.3	58.5	58.5	58.4	58.5	58.5	57.82
19	58.5	58.5	58.4	58.2	58.3	58.3	58.4	58.5	58.5	58.4	58.5	58.6	58.5	58.2	58.2	58.1	58.0	58.0	58.0	57.9	57.7	57.5	57.5	57.5	58.17
20	57.4	57.4	57.2	57.2	57.1	56.8	56.7	56.6	56.6	56.5	56.6	56.7	56.6	56.6	56.6	56.5	56.6	56.6	57.0	57.5	57.5	57.5	58.0	58.4	57.01
21	58.8	58.8	58.7	58.8	58.8	58.9	59.0	59.1	59.3	59.6	59.7	59.9	60.0	60.0	60.1	60.0	59.9	59.9	60.1	60.1	60.3	60.4	60.5	60.5	59.68
22	60.4	60.3	60.2	60.2	60.2	60.2	60.2	60.3	60.5	60.6	60.7	60.7	60.7	60.9	60.8	60.7	60.7	60.8	60.9	60.9	60.9	60.9	61.0	60.9	60.61
23	60.8	60.7	60.5	60.5	60.5	60.5	60.5	60.6	60.7	60.7	60.7	60.6	60.5	60.3	60.1	60.0	59.9	59.8	59.8	59 6	59.4	59.3	59.1	58.9	60.17
24	58.7	58.4	58.0	57.9	57.8	57.6	57.6	57.6	57.4	57.3	57.1	56.9	56.6	56.3	56.0	55.8	55.5	55.3	55.1	54.9	54.6	54.3	53.9	53.5	56.42
25	53.0	52.4	51.8	51.3	50.6	50.4	50.0	49.8	49.7	49.3	49.2	49.0	48.7	48.4	48.1	48.0	48.0	48.0	48.0	47.8	47.4	47.1	46.7	46.2	49.12
26	45.8	45.7	45.5	**45.4**	45.5	45.8	46.2	46.2	46.4	46.7	46.9	47.2	47.5	47.8	48.4	48.6	49.0	49.6	50.4	51.1	51.4	51.8	52.4	52.7	48.08
27	53.0	53.0	53.4	53.6	53.9	54.3	54.7	54.9	55.5	56.1	56.3	56.8	57.1	57.4	57.6	57.7	57.7	58.0	58.0	58.0	57.9	58.1	58.3	58.6	56.25
28	59.0	59.0	58.8	59.3	59.8	59.9	59.8	59.6	60.2	60.5	60.7	60.6	60.5	60.5	60.5	60.6	60.6	60.9	61.0	61.1	61.1	61.2	61.4	61.5	60.34
29	61.3	61.1	60.9	60.5	60.2	59.8	59.7	59.8	59.8	59.9	59.7	59.8	59.8	59.4	59.2	58.9	58.8	58.5	58.4	58.2	58.1	57.7	57.6	57.2	59.35
30	56.8	57.0	56.9	57.0	57.1	57.4	57.6	57.7	58.0	58.2	58.2	58.4	58.7	58.7	58.8	58.9	58.9	59.3	59.5	59.9	60.2	60.3	60.5	60.6	58.52
31	60.6	60.8	60.8	60.9	60.8	60.9	60.9	61.0	61.1	61.4	61.5	61.6	61.4	61.5	61.6	61.6	61.7	61.7	61.9	62.1	62.1	62.3	62.4	62.4	61.46
M.	57.12	57.05	56.87	56.81	56.75	56.72	56.72	56.81	56.90	56.98	57.03	57.11	57.04	56.99	56.96	56.96	56.98	57.12	57.27	57.31	57.30	57.31	57.29	57.23	57.03

April 1911. (500 mm +). Säntis.

Tag	1h30 a	2h30	3h30	4h30	5h30	6h30	7h30	8h30	9h30	10h30	11h30	12h30 p	1h30	2h30	3h30	4h30	5h30	6h30	7h30	8h30	9h30	10h30	11h30	12h30 a	Tagesmittel
1	62.3	62.2	62.2	62.1	62.1	62.2	62.2	62.3	62.4	62.6	62.6	62.5	62.5	62.4	62.3	62.2	62.2	62.3	62.4	62.4	62.3	62.3	62.2	62.0	62.30
2	61.8	61.5	61.2	61.0	60.8	60.8	60.6	60.5	60.4	60.3	60.2	60.0	59.6	59.3	59.0	58.8	58.4	58.3	58.2	58.2	57.9	57.7	57.6	57.4	59.56
3	57.2	56.8	56.5	56.1	55.8	55.6	55.4	55.2	55.1	54.9	54.8	54.3	53.9	53.3	53.1	52.9	52.6	52.7	52.6	52.7	52.2	52.0	51.8	51.5	54.12
4	51.1	50.8	50.4	50.1	49.8	49.4	49.5	49.5	49.5	49.5	49.5	49.6	49.6	49.6	49.7	49.6	49.6	49.6	49.5	49.4	49.1	49.0	48.5	48.5	49.60
5	48.0	47.9	47.5	47.2	47.0	**46.9**	**46.9**	47.0	47.0	47.0	47.1	47.2	47.4	47.6	47.5	47.6	47.4	47.3	47.4	47.6	47.9	48.0	48.3	48.1	47.45
6	48.9	49.0	49.2	49.4	49.6	50.0	50.3	50.6	51.1	51.5	51.8	52.0	52.2	52.5	52.8	53.0	53.2	53.4	54.0	54.4	54.6	54.8	54.9	54.9	52.00
7	55.0	55.0	55.0	55.0	54.8	54.9	54.8	54.9	54.9	54.9	54.9	54.8	54.8	54.8	54.7	54.6	54.5	54.5	54.5	54.6	54.4	54.4	54.2	54.1	54.71
8	53.7	53.2	53.0	52.8	52.7	52.7	52.8	53.0	53.1	53.3	53.4	53.4	53.4	53.7	54.0	54.4	54.7	55.0	55.4	55.7	55.9	55.9	55.8	55.9	54.04
9	55.9	56.0	56.0	56.0	56.0	56.0	56.2	56.1	56.1	55.9	55.9	55.9	56.0	56.0	55.8	55.7	55.4	55.2	55.1	55.0	55.0	54.7	54.4	54.2	55.60
10	53.7	53.3	52.9	52.9	52.4	52.4	52.3	52.2	52.2	52.1	52.0	52.0	52.0	52.0	52.1	52.2	52.4	52.5	52.9	53.4	53.8	54.1	54.4	54.7	52.79
11	55.1	55.4	55.7	55.9	56.2	56.5	56.9	57.1	57.7	58.2	58.3	58.5	58.9	59.2	59.3	59.5	59.6	59.6	59.7	59.8	59.9	60.1	60.2	60.2	58.23
12	60.2	60.2	60.2	60.1	60.3	60.6	60.8	61.1	61.4	61.6	61.8	61.8	61.6	61.6	61.6	61.5	61.3	60.9	60.9	60.9	60.4	60.2	60.3	59.8	60.88
13	59.2	58.8	58.8	58.2	58.1	58.0	58.1	58.1	58.2	58.4	58.6	58.8	59.1	59.1	59.2	59.4	59.6	59.8	60.2	60.4	60.5	60.6	60.8	60.7	59.18
14	60.7	60.6	60.6	60.5	60.6	60.9	61.0	61.3	61.6	61.9	61.9	62.1	62.2	62.2	62.3	62.4	62.5	62.5	62.9	63.0	63.3	63.5	63.6	63.8	61.97
15	63.6	63.6	63.8	63.8	63.8	64.0	64.3	64.6	64.8	64.9	65.0	65.4	65.6	65.6	65.7	65.8	65.6	65.7	65.7	66.0	66.0	65.9	65.9	65.8	65.04
16	65.7	65.5	65.1	65.1	64.9	65.0	65.1	65.2	65.5	65.4	65.4	65.4	65.3	65.2	65.0	64.8	64.6	64.4	64.5	64.6	64.5	64.5	64.5	64.2	64.98
17	63.8	63.7	63.6	63.8	63.0	62.7	62.8	62.8	62.8	63.1	63.1	63.2	63.3	63.2	63.1	63.1	63.2	63.2	63.3	63.6	64.0	64.2	64.1	64.2	63.35
18	64.0	64.0	64.0	63.8	63.8	63.8	63.8	63.7	63.8	63.7	63.7	63.4	63.2	63.2	63.0	62.8	62.6	62.4	62.5	62.5	62.5	62.4	62.4	62.3	63.22
19	62.1	61.9	61.9	61.9	61.8	61.8	61.5	61.4	61.3	61.1	60.9	60.8	60.7	60.7	60.7	60.6	60.6	60.5	60.5	60.5	60.7	60.9	60.8	60.8	61.10
20	60.6	60.6	60.7	60.8	61.1	61.4	61.6	62.0	62.3	62.6	62.8	63.0	63.5	63.8	64.1	64.6	64.9	65.5	66.1	66.8	67.2	67.6	68.1	68.3	63.75
21	68.5	68.8	68.9	69.2	69.4	69.7	70.0	70.5	71.2	71.6	71.8	71.9	72.1	72.2	72.3	72.5	72.6	72.7	72.8	73.0	**73.1**	73.0	73.0	73.0	71.41
22	72.7	72.6	72.6	72.5	72.5	72.5	72.6	72.6	72.6	72.6	72.5	72.5	72.3	72.1	71.9	71.7	71.5	71.3	71.2	71.2	71.0	70.8	70.6	70.6	71.96
23	70.2	70.0	69.8	69.4	69.2	69.1	69.0	69.0	69.0	69.0	68.8	68.6	68.5	68.3	67.9	67.8	67.6	67.3	67.3	67.3	67.2	66.9	66.6	66.4	68.34
24	66.0	65.5	65.2	65.0	64.8	64.7	64.7	64.5	64.7	64.7	64.6	64.5	64.5	64.4	64.3	64.3	64.2	64.2	64.3	64.4	64.3	64.2	64.1	63.9	64.58
25	63.6	63.4	63.2	63.0	62.8	63.0	62.9	63.0	63.2	63.2	63.2	63.2	63.5	63.4	63.3	63.3	63.1	62.9	62.9	63.0	63.0	62.9	62.8	62.7	63.10
26	62.5	62.4	62.4	62.2	62.3	62.4	62.4	62.2	62.0	61.5	61.5	61.5	61.4	61.4	61.4	61.5	61.2	60.8	61.0	61.3	62.1	62.3	62.1	62.2	61.85
27	62.0	61.7	61.3	61.5	61.1	61.0	60.3	60.6	60.1	59.8	59.1	58.5	58.6	58.5	58.4	58.4	58.0	57.8	57.7	57.7	57.8	57.1	56.1	56.0	59.28
28	55.6	55.2	54.7	54.7	55.0	55.4	55.5	56.0	56.1	56.3	56.5	56.5	56.7	57.2	57.2	57.4	57.5	58.0	57.8	58.0	57.7	57.6	57.6	57.5	56.57
29	57.3	57.0	56.7	56.2	56.2	56.2	56.0	56.2	56.2	56.1	56.0	55.9	55.8	55.4	55.0	54.8	54.5	54.5	54.2	54.4	54.4	54.4	54.4	54.2	55.56
30	53.8	53.5	53.5	53.3	53.1	53.2	53.2	53.4	53.5	53.6	53.9	54.1	54.3	54.4	54.4	54.5	54.7	55.0	55.3	55.3	55.7	56.0	56.5	56.6	54.40
M.	59.33	59.17	59.05	59.03	59.07	59 13	59.17	59.26	59.38	59.43	59.44	59.43	59.45	59.45	59.41	59.42	59.37	59.37	59.46	59.64	59.63	59.63	59.59	59.50	59.40

Mai 1911. Stündliche Barometerstände (500 mm +). Säntis.

Tag	1h a	2h	3h	4h	5h	6h	7h	8h	9h	10h	11h	12h p	1h	2h	3h	4h	5h	6h	7h	8h	9h	10h	11h	12h a	Tagesmittel
1	56.7	57.0	57.3	57.5	57.6	58.2	58.5	59.0	59.6	60.0	60.1	60.4	60.9	61.0	61.4	61.8	62.0	62.2	62.5	63.0	63.1	63.3	63.3	63.2	60.40
2	63.0	62.9	62.8	62.7	62.7	62.8	62.7	62.7	62.8	62.9	63.0	62.9	63.0	63.0	62.8	62.8	62.7	62.6	62.7	62.8	62.9	62.9	62.9	62.8	62.83
3	62.6	62.4	62.2	62.3	62.4	62.6	62.5	62.8	63.1	63.5	63.6	63.6	63.7	63.7	63.7	63.7	63.7	63.8	64.0	64.2	64.2	64.2	64.0	63.9	63.35
4	63.6	63.4	63.1	63.0	62.8	62.8	62.6	62.7	62.6	62.2	62.1	62.0	61.9	61.8	61.7	61.6	61.4	61.3	61.3	61.4	61.3	61.3	61.1	60.9	62.08
5	60.8	60.7	60.4	60.3	60.4	60.5	60.6	60.8	61.0	61.2	61.2	61.4	61.7	61.8	62.0	62.2	62.4	62.6	62.8	63.2	63.8	63.6	63.5	63.5	61.75
6	63.4	63.3	63.1	63.1	63.2	63.3	63.5	63.5	63.6	63.7	63.7	63.7	63.8	63.8	63.8	63.8	63.6	63.6	63.6	63.5	63.5	63.5	63.4	63.0	63.50
7	62.7	62.3	62.2	62.0	62.0	62.0	62.0	61.9	61.9	61.8	61.8	61.8	61.8	61.6	61.4	61.4	61.2	61.2	61.1	61.2	61.0	61.0	61.0	60.8	60.7	61.60
8	60.4	60.3	60.2	60.2	60.2	60.2	60.4	60.5	60.7	60.8	61.0	61.0	61.0	61.1	61.2	61.2	61.1	61.2	61.3	61.4	61.5	61.5	61.3	61.2	60.87
9	61.0	60.7	60.4	60.2	60.0	60.0	60.0	60.1	60.2	60.4	60.4	60.4	60.4	60.4	60.4	60.4	60.4	60.4	60.4	60.4	60.4	60.4	60.4	60.4	60.36
10	60.4	60.2	60.2	60.2	60.2	60.3	60.3	60.4	60.6	60.7	60.7	60.8	60.7	60.7	60.7	60.6	60.7	60.7	60.6	60.9	61.1	61.2	61.3	61.3	60.65
11	61.2	61.1	61.0	61.0	60.9	61.0	61.1	61.3	61.4	61.5	61.4	61.5	61.5	61.5	61.4	61.4	61.4	61.5	61.6	61.7	61.7	61.8	61.7	61.7	61.39
12	61.6	61.6	61.4	61.4	61.6	61.8	61.8	62.1	62.2	62.4	62.5	62.6	62.6	62.4	62.3	62.2	62.1	62.0	62.0	62.2	62.2	62.1	62.1	61.8	62.04
13	61.8	61.6	61.5	61.2	61.0	61.0	60.9	60.8	60.6	60.3	60.3	60.3	60.4	60.3	60.5	60.4	60.3	59.9	59.5	59.4	59.9	60.3	60.4	60.6	60.55
14	60.4	60.2	60.1	59.8	59.7	59.9	59.9	60.2	60.1	60.1	60.0	60.1	60.4	60.2	60.2	60.2	60.3	60.4	60.4	60.5	60.5	60.5	60.5	60.5	60.21
15	60.5	60.3	60.2	60.0	59.9	59.7	59.8	59.8	59.9	59.9	60.0	59.9	59.9	59.9	59.8	59.8	59.6	59.5	59.4	59.4	59.4	59.5	59.5	59.6	59.80
16	59.4	59.3	59.4	59.4	59.4	59.5	59.7	59.8	60.0	60.5	60.3	60.3	60.3	60.3	60.4	60.2	60.4	60.4	60.4	60.7	60.9	61.0	61.0	60.7	60.15
17	60.6	60.3	60.2	60.3	60.3	60.2	60.4	60.4	60.4	60.4	60.4	60.5	60.4	60.2	60.2	59.7	59.4	59.4	59.4	59.6	59.8	59.6	59.6	59.3	60.04
18	59.0	58.7	58.4	58.4	58.4	58.4	58.3	58.2	58.1	58.0	57.9	57.8	57.7	57.6	57.5	57.4	57.3	57.3	57.4	57.4	57.5	57.4	57.4	57.4	57.87
19	57.4	57.3	57.1	57.2	57.4	57.5	57.9	58.2	58.2	58.2	58.2	58.2	58.1	58.1	58.1	58.2	58.2	58.0	58.0	58.0	58.0	57.9	57.8	57.8	57.87
20	57.6	57.5	57.3	57.3	57.3	57.3	57.3	57.6	57.6	57.8	58.0	58.1	58.3	58.5	58.5	58.6	58.7	58.8	58.7	58.8	59.0	59.0	59.0	59.0	58.15
21	59.0	58.9	58.9	58.9	59.2	59.4	59.5	59.7	60.0	60.2	60.4	60.5	60.7	60.7	60.8	60.8	60.9	61.0	61.1	61.1	61.1	61.2	61.2	61.1	60.26
22	61.0	60.9	60.7	60.7	60.9	60.9	61.0	61.1	61.0	61.2	61.4	61.5	61.8	61.8	61.9	61.9	61.8	61.9	62.0	62.0	62.2	62.3	62.3	62.1	61.51
23	62.1	61.8	61.8	61.6	61.6	61.6	61.7	61.8	62.0	62.2	62.3	62.4	62.4	62.4	62.5	62.6	62.7	62.8	62.9	63.3	63.6	63.6	63.6	63.6	62.45
24	63.2	63.3	63.2	63.3	63.6	64.0	64.4	64.6	64.8	65.3	65.3	65.5	65.7	65.9	66.0	66.1	66.1	66.1	66.2	66.2	66.2	66.3	66.2	66.1	65.15
25	66.0	65.8	65.7	65.5	65.4	65.4	65.4	65.4	65.3	65.1	65.0	64.9	64.7	64.6	64.4	64.3	64.1	64.0	63.9	63.8	63.8	63.6	63.3	63.0	64.68
26	62.8	62.7	62.5	62.2	61.9	61.9	61.9	62.0	62.0	62.0	62.1	62.2	62.3	62.3	62.2	62.2	62.2	62.2	62.2	63.0	63.0	63.0	63.1	63.1	62.88
27	63.1	63.1	63.1	63.2	63.2	63.6	63.8	64.1	64.3	64.3	64.3	64.4	64.5	64.6	64.6	64.6	64.6	65.0	65.3	65.4	65.7	65.8	65.8	65.8	64.42
28	65.8	65.7	65.5	65.6	65.4	65.5	65.8	65.4	65.6	65.8	65.8	65.9	66.0	66.1	66.1	66.1	65.9	66.1	66.0	66.2	66.2	65.8	65.8	65.6	65.80
29	65.1	64.4	64.4	64.4	64.4	64.3	64.3	64.2	64.3	64.4	64.4	64.5	64.5	64.3	64.2	64.2	64.1	64.0	64.0	64.0	64.0	64.0	64.0	63.5	64.25
30	63.5	63.3	63.4	63.2	63.2	63.2	63.2	63.3	63.3	63.3	63.4	63.5	63.5	63.4	63.3	63.3	63.3	63.2	63.2	63.3	63.7	63.6	63.6	63.4	63.36
31	63.2	63.0	62.9	62.8	62.8	62.9	62.9	62.9	62.9	62.7	62.7	62.7	62.8	62.8	62.8	62.7	62.7	62.6	62.7	62.9	63.1	63.1	63.1	63.1	62.87
M.	61.58	61.42	61.31	61.25	61.26	61.35	61.41	61.53	61.62	61.70	61.73	61.78	61.85	61.83	61.83	61.82	61.78	61.80	61.82	61.96	62.06	62.07	62.03	61.93	61.70

Juni 1911. (500 mm +). Säntis.

Tag	1h a	2h	3h	4h	5h	6h	7h	8h	9h	10h	11h	12h p	1h	2h	3h	4h	5h	6h	7h	8h	9h	10h	11h	12h a	Tagesmittel
1	63.0	62.9	63.0	63.1	63.3	63.4	63.8	63.9	64.0	64.6	64.7	64.9	65.5	65.7	65.9	66.0	66.0	66.0	66.1	66.3	67.0	66.9	66.8	66.8	64.98
2	66.8	66.7	66.7	66.8	66.9	67.0	67.6	67.6	67.7	67.8	67.9	68.1	68.1	67.7	67.4	67.5	67.6	67.6	67.7	67.7	67.8	67.8	67.8	67.8	67.50
3	67.7	67.4	67.2	67.2	67.2	67.4	67.5	67.6	67.6	67.7	67.6	67.3	67.1	67.0	66.8	66.2	66.2	66.2	66.3	66.4	66.4	66.5	66.3	66.2	66.96
4	66.1	66.1	66.1	66.1	66.2	66.5	66.7	66.9	67.0	67.3	67.5	67.6	67.9	67.9	67.9	68.0	68.1	68.3	68.5	68.6	69.0	68.9	68.9	68.0	67.55
5	69.0	68.9	68.9	68.8	69.2	69.5	69.7	69.8	70.0	70.1	69.9	70.2	70.2	70.1	70.1	70.1	70.1	70.1	70.1	70.2	70.3	70.2	70.0	69.5	69.79
6	69.4	69.3	69.2	69.1	69.0	69.2	70.0	70.1	70.3	70.5	70.6	70.8	71.0	70.9	70.8	70.6	70.9	70.9	71.0	71.1	71.1	71.1	71.1	71.1	70.39
7	71.0	70.9	70.8	70.7	70.8	71.0	71.5	71.7	72.0	72.1	72.1	72.3	72.3	72.3	72.3	72.3	72.2	72.1	72.1	72.0	72.0	71.9	71.8	71.7	71.75
8	70.9	70.8	70.7	70.7	70.7	70.7	70.7	70.7	70.6	70.5	70.4	70.2	70.1	69.9	69.6	69.4	69.0	68.8	68.5	68.3	68.2	68.1	67.8	67.2	69.69
9	67.0	66.5	66.0	65.4	64.8	64.7	64.7	64.6	64.2	64.0	63.6	63.3	63.0	62.6	62.0	61.5	61.2	61.0	60.6	60.5	60.5	60.5	60.4	60.4	63.01
10	60.0	59.8	59.7	59.4	59.3	59.3	59.3	59.3	59.3	59.3	59.2	59.0	59.2	59.2	59.2	59.2	59.2	59.3	59.4	59.5	59.6	59.6	59.6	59.6	59.39
11	59.6	59.5	59.4	59.5	59.8	60.0	60.5	60.6	60.7	60.7	60.9	61.1	61.3	61.5	61.6	61.7	61.7	61.8	61.9	61.9	62.0	61.8	61.6	61.4	60.94
12	61.3	61.0	60.8	60.4	60.4	60.5	60.9	61.0	61.1	61.2	61.2	61.4	61.4	61.2	61.1	61.1	61.1	61.2	61.2	61.3	61.3	61.3	61.2	61.1	61.07
13	60.3	60.2	60.0	59.9	59.8	59.8	59.8	59.7	59.6	59.5	59.3	59.2	59.0	59.0	58.5	58.0	57.7	57.4	57.1	56.9	56.7	56.5	56.4	56.3	58.61
14	57.9	57.1	57.3	57.4	57.5	57.6	57.8	58.1	58.3	58.5	58.5	58.6	58.6	58.7	58.8	59.0	59.2	59.4	59.9	61.0	61.1	61.0	60.8	60.6	58.83
15	60.6	60.7	60.9	61.0	61.1	61.2	61.3	61.5	61.8	62.0	62.3	62.7	63.0	63.2	63.3	63.5	63.6	63.6	64.0	64.1	64.5	64.7	65.0	65.5	62.71
16	65.7	65.9	66.1	66.3	66.3	66.5	66.7	66.9	67.1	67.4	67.5	67.7	67.8	67.8	67.9	68.0	68.0	67.8	67.8	67.8	68.0	67.9	68.0	67.8	67.28
17	67.5	67.3	67.1	67.0	67.0	67.2	67.2	67.4	67.5	67.4	67.3	67.4	67.2	67.1	66.8	66.8	66.7	66.6	66.6	66.6	66.9	67.0	67.0	66.8	67.06
18	66.6	66.3	66.0	65.8	65.7	65.4	65.4	65.4	65.7	65.7	65.7	65.5	65.4	65.4	64.6	64.7	65.4	65.8	65.8	65.9	65.5	65.7	65.9	65.9	65.68
19	65.7	65.5	65.3	65.5	65.0	64.6	64.7	64.1	63.6	63.2	62.6	63.8	63.8	63.3	63.0	63.6	62.9	62.9	62.8	62.9	62.9	63.3	63.2	63.1	63.82
20	63.3	62.8	62.8	62.8	62.8	62.8	62.7	62.5	62.8	62.4	62.5	62.7	62.8	63.1	63.4	63.6	63.3	63.9	64.5	64.4	65.2	65.5	65.7	65.8	63.50
21	65.6	65.6	65.6	66.0	66.4	66.8	67.1	67.3	67.6	67.8	67.9	68.0	68.2	68.4	68.4	68.4	68.4	68.5	68.6	68.8	69.0	69.0	68.8	68.6	67.70
22	68.5	68.3	68.2	68.4	68.4	68.4	68.4	68.5	68.7	68.8	68.9	69.0	68.9	68.9	68.8	68.6	68.5	68.5	68.6	68.6	68.6	68.8	68.4	68.2	68.58
23	67.8	67.6	67.5	67.4	67.5	67.4	67.3	67.2	67.2	67.0	67.0	66.7	66.5	66.2	66.3	66.1	65.9	65.6	65.5	65.4	65.1	64.9	64.7	64.4	66.43
24	64.2	64.0	63.6	63.2	63.0	63.1	62.9	63.1	63.3	63.8	63.7	64.0	64.2	64.4	64.5	64.5	64.5	64.4	64.4	64.7	64.9	65.0	65.1	64.9	64.06
25	64.7	64.4	64.3	64.2	64.2	64.4	64.4	64.2	64.3	64.2	64.4	64.6	64.9	65.2	64.9	64.9	64.7	64.6	64.7	64.9	64.4	64.9	64.8	64.8	64.58
26	64.3	64.3	64.5	64.6	64.7	64.8	64.9	65.1	65.2	65.3	65.3	65.3	65.4	65.3	65.3	65.4	65.2	65.3	65.4	65.6	66.1	66.2	66.2	66.1	65.24
27	66.0	65.7	65.4	65.4	65.2	65.2	65.3	65.6	65.6	65.9	65.9	66.0	66.4	66.7	66.9	67.3	67.3	67.3	67.5	67.9	68.4	68.5	68.7	69.0	66.63
28	69.1	69.1	69.1	69.3	69.5	69.7	69.9	70.3	70.5	70.7	70.8	71.0	71.4	71.5	71.7	71.9	72.0	72.0	72.1	72.2	72.1	72.4	72.5	72.4	70.98
29	72.1	71.8	71.6	71.6	71.6	71.8	71.8	72.0	72.1	72.1	72.0	72.1	72.2	72.2	72.2	72.0	72.0	71.7	71.4	71.3	71.3	71.2	71.2	71.0	71.76
30	70.6	70.3	69.8	69.7	69.3	69.1	68.4	68.3	68.3	68.3	68.3	68.0	67.7	67.6	67.4	67.1	66.8	66.8	65.9	65.7	65.0	65.1	64.8	64.7	67.60
M.	65.71	65.56	65.45	65.42	65.42	65.50	65.63	65.70	65.79	65.86	65.85	65.95	66.02	66.00	65.91	65.91	65.85	65.83	65.87	65.95	66.04	66.07	66.02	65.93	65.80

Juli 1911. Stündliche Barometerstände (500 mm +). Säntis.

Tag	1^{30}a	2^{30}	3^{30}	4^{30}	5^{30}	6^{30}	7^{30}	8^{30}	9^{30}	10^{30}	11^{30}	12^{30}p.	1^{30}	2^{30}	3^{30}	4^{30}	5^{30}	6^{30}	7^{30}	8^{30}	9^{30}	10^{30}	11^{30}	12^{30}a	Tagesmittel *
1	—	—	—	—	—	—	64.1	—	—	64.4	—	—	64.6	—	—	64.7	—	—	—	—	65.2	—	—	—	64.6
2	—	—	—	—	—	—	65.2	—	—	65.4	—	—	65.7	—	—	65.8	—	—	—	—	66.8	—	—	—	65.8
3	—	—	—	—	—	—	67.6	—	—	68.1	—	—	68.7	—	—	69.3	—	—	—	—	70.8	—	—	—	68.9
4	—	—	—	—	—	—	70.6	—	—	71.0	—	—	71.3	—	—	71.3	—	—	—	—	71.6	—	—	—	71.2
5	—	—	—	—	—	—	71.6	—	—	71.8	—	—	72.1	—	—	72.2	—	—	—	—	72.0	—	—	—	71.9
6	—	—	—	—	—	—	71.3	—	—	71.4	—	—	71.2	—	—	71.0	—	—	—	—	70.9	—	—	—	71.2
7	—	—	—	—	—	—	70.8	—	—	71.3	—	—	71.7	—	—	72.0	—	—	—	—	72.5	—	—	—	71.7
8	—	—	—	—	—	—	72.9	—	—	73.7	—	—	73.9	—	—	73.6	—	—	—	—	73.7	—	—	—	73.6
9	—	—	—	—	—	—	72.6	—	—	72.4	—	—	72.2	—	—	71.8	—	—	—	—	71.0	—	—	—	72.0
10	—	—	—	—	—	—	69.2	—	—	69.5	—	—	69.9	—	—	69.9	—	—	—	—	69.8	—	—	—	69.7
11	—	—	—	—	—	—	69.7	—	—	70.3	—	—	70.6	—	—	70.6	—	—	—	—	70.5	—	—	—	70.3
12	—	—	—	—	—	—	69.8	—	—	70.1	—	—	70.7	—	—	70.8	—	—	—	—	70.8	—	—	—	70.4
13	—	—	—	—	—	—	70.2	—	—	70.2	—	—	70.1	—	—	69.7	—	—	—	—	69.5	—	—	—	70.0
14	—	—	—	—	—	—	69.2	—	—	69.3	—	—	69.5	—	—	69.2	—	—	—	—	69.0	—	—	—	69.2
15	—	—	—	—	—	—	68.2	—	—	68.2	—	—	68.5	—	—	67.8	—	—	—	—	67.8	—	—	—	68.1
16	—	—	—	—	—	—	66.2	—	—	66.0	—	—	65.7	—	—	65.2	—	—	—	—	65.0	—	—	—	65.6
17	—	—	—	—	—	—	63.8	—	—	64.5	—	—	65.0	—	—	65.0	—	—	—	—	64.9	—	—	—	64.6
18	—	—	—	—	—	—	64.7	—	—	65.7	—	—	66.1	—	—	66.3	—	—	—	—	67.2	—	—	—	66.0
19	—	—	—	—	—	—	68.6	—	—	69.7	—	—	70.2	—	—	70.5	—	—	—	—	71.3	—	—	—	70.1
20	—	—	—	—	—	—	71.5	—	—	72.0	—	—	72.2	—	—	72.5	—	—	—	—	73.1	—	—	—	72.3
21	—	—	—	—	—	—	73.5	—	—	74.0	—	—	74.4	—	—	74.7	—	—	—	—	74.6	—	—	—	74.2
22	—	—	—	—	—	—	74.2	—	—	74.6	—	—	74.9	—	—	74.9	—	—	—	—	74.6	—	—	—	74.6
23	—	—	—	—	—	—	73.8	—	—	74.0	—	—	73.9	—	—	73.5	—	—	—	—	73.3	—	—	—	73.7
24	—	—	—	—	—	—	72.0	—	—	72.2	—	—	71.9	—	—	71.6	—	—	—	—	71.0	—	—	—	71.6
25	—	—	—	—	—	—	70.4	—	—	70.8	—	—	71.0	—	—	70.2	—	—	—	—	70.6	—	—	—	70.6
26	—	—	—	—	—	—	69.6	—	—	70.0	—	—	70.0	—	—	69.9	—	—	—	—	70.7	—	—	—	70.0
27	—	—	—	—	—	—	71.0	—	—	71.2	—	—	71.4	—	—	72.1	—	—	—	—	72.2	—	—	—	71.6
28	—	—	—	—	—	—	72.0	—	—	72.2	—	—	72.2	—	—	71.9	—	—	—	—	72.1	—	—	—	72.1
29	—	—	—	—	—	—	71.4	—	—	72.1	—	—	71.6	—	—	71.3	—	—	—	—	71.4	—	—	—	71.6
30	—	—	—	—	—	—	70.5	—	—	71.0	—	—	70.8	—	—	70.2	—	—	—	—	69.7	—	—	—	70.4
31	—	—	—	—	—	—	68.3	—	—	68.7	—	—	68.9	—	—	68.7	—	—	—	—	68.7	—	—	—	68.7
M.	—	—	—	—	—	—	69.82	—	—	70.19	—	—	70.35	—	—	70.26	—	—	—	—	70.40	—	—	—	70.20

* Mittel aus den 5 Termin-Ablesungen; die Aufzeichnungen des Fuess-Barographen sind wegen Apparatendefekt nicht verwertbar.

August 1911. (500 mm +). Säntis.

Tag	1^{30}a	2^{30}	3^{30}	4^{30}	5^{30}	6^{30}	7^{30}	8^{30}	9^{30}	10^{30}	11^{30}	12^{30}p	1^{30}	2^{30}	3^{30}	4^{30}	5^{30}	6^{30}	7^{30}	8^{30}	9^{30}	10^{30}	11^{30}	12^{30}a	Tagesmittel
1	68.3	68.1	68.0	67.8	68.0	68.2	68.4	68.4	68.4	68.7	68.8	69.0	69.1	69.3	69.4	69.4	69.4	69.4	69.7	69.8	70.0	70.4	70.6	70.6	69.05
2	70.5	70.4	70.4	70.4	70.4	70.5	70.7	70.9	71.2	71.4	71.5	71.5	71.6	71.5	71.6	71.6	71.5	71.4	71.5	71.6	71.5	71.4	71.4	71.3	71.15
3	71.2	71.0	71.1	71.0	70.8	70.8	70.7	70.9	71.0	71.1	71.1	71.1	71.0	71.0	70.9	70.8	70.7	70.6	70.6	70.6	70.5	70.4	70.3	70.2	70.81
4	69.8	69.8	69.4	69.3	69.4	69.3	69.2	69.2	69.2	69.2	69.1	69.1	69.1	68.9	68.9	68.9	68.7	68.7	68.6	68.6	68.7	68.7	68.7	68.7	69.03
5	68.6	68.4	68.2	68.2	68.2	68.2	68.2	68.2	68.2	68.3	68.3	68.4	68.5	68.4	68.3	68.2	68.2	68.3	68.3	68.3	68.5	68.6	68.5	68.4	68.33
6	68.4	68.4	68.6	68.6	68.9	69.0	69.2	69.5	69.1	69.8	70.4	70.5	70.7	70.8	70.7	70.7	70.8	70.7	71.0	71.0	71.0	70.9	70.8	71.0	70.02
7	71.0	70.9	70.5	70.8	70.9	71.1	71.3	71.6	71.8	71.8	72.0	72.0	72.1	72.0	72.0	72.1	72.1	72.2	72.3	72.5	72.7	73.0	72.9	72.7	71.85
8	72.6	72.6	72.4	72.4	72.4	72.4	72.4	72.6	72.6	72.7	72.8	72.8	73.1	73.0	73.0	73.0	72.9	72.8	72.8	73.0	72.9	73.0	73.0	72.8	72.75
9	72.6	72.5	72.2	72.1	71.8	71.9	71.9	71.9	72.0	72.1	72.1	72.1	72.0	72.0	71.9	71.6	71.6	71.4	71.3	71.3	71.3	71.3	71.0	70.7	71.77
10	70.4	70.4	70.1	69.7	69.5	69.6	69.6	69.7	69.9	70.1	70.2	70.2	70.3	70.2	70.2	70.0	69.8	69.2	69.2	69.3	69.4	69.4	69.3	69.3	69.79
11	69.2	68.8	68.6	68.4	68.0	67.8	67.8	68.1	68.2	68.2	68.2	68.3	68.3	68.3	68.3	68.3	68.3	68.3	68.4	68.4	68.4	68.3	68.3	68.2	68.31
12	68.2	68.1	68.0	67.9	67.7	67.7	67.6	67.7	67.9	68.0	68.2	68.4	68.6	68.6	68.6	68.6	68.7	68.8	68.7	68.6	68.6	68.7	68.8	68.8	68.31
13	68.8	68.7	68.5	68.4	68.5	68.6	68.7	68.9	69.0	69.2	69.3	69.4	69.5	69.6	69.6	69.7	69.7	69.7	69.6	69.6	69.6	69.6	69.6	69.5	69.22
14	69.5	69.4	69.4	69.3	69.2	69.1	69.1	69.1	69.2	69.3	69.2	69.1	69.1	69.1	69.1	69.0	68.8	68.6	68.4	68.2	67.9	67.8	67.7	67.6	68.84
15	67.5	67.3	67.2	67.0	66.8	66.7	66.6	66.6	66.4	66.5	66.3	66.2	66.2	66.0	65.8	65.5	65.5	65.4	65.4	65.4	65.3	65.3	65.2	65.2	66.14
16	65.0	64.8	64.7	64.6	64.5	64.4	64.4	64.6	64.8	65.0	65.1	65.4	65.5	65.6	65.8	66.0	66.2	66.4	66.5	66.6	66.8	66.8	66.8	66.7	65.54
17	66.7	66.5	66.3	66.2	66.4	66.6	66.7	67.0	67.3	67.6	67.8	68.0	68.4	68.4	68.5	68.5	68.4	68.3	68.2	68.3	68.3	68.3	68.2	68.0	67.62
18	67.9	67.8	67.8	67.7	67.6	67.5	67.6	67.6	67.7	67.7	67.7	67.8	67.8	67.8	67.7	67.7	67.6	67.4	67.3	67.3	67.3	67.2	67.0	66.8	67.55
19	66.5	66.4	66.2	66.1	65.9	65.9	66.1	66.0	66.2	66.3	66.3	66.2	66.2	66.2	66.2	66.2	66.0	65.9	66.0	66.2	66.2	66.3	66.3	66.3	66.17
20	66.1	65.9	65.8	65.6	65.7	65.8	65.9	65.8	66.1	66.4	66.4	66.4	66.2	66.0	65.9	66.0	65.9	65.4	65.6	65.6	65.6	65.5	65.4	65.2	65.84
21	64.8	64.2	63.6	63.8	64.1	64.4	64.1	64.2	64.3	64.3	64.4	64.5	64.7	64.4	63.7	63.2	63.3	63.8	64.2	64.0	63.9	64.0	64.1	64.0	64.08
22	63.7	63.5	63.5	63.2	63.4	63.2	63.2	63.2	63.5	63.6	63.6	63.4	63.3	63.6	63.8	63.8	63.6	63.7	64.0	64.2	64.3	64.4	64.4	64.2	63.69
23	64.0	63.9	63.4	63.6	63.6	63.4	63.4	63.6	63.6	63.7	63.8	64.2	64.2	64.3	64.3	64.4	64.4	64.6	64.7	64.8	64.7	64.7	64.8	64.7	64.12
24	64.8	64.0	64.0	64.2	64.3	64.6	64.9	65.1	65.2	65.3	65.5	65.5	65.5	65.5	65.4	65.4	65.5	65.5	65.6	66.1	66.0	66.1	66.1	66.2	65.24
25	66.1	66.2	66.1	66.1	66.2	66.3	66.5	66.6	66.8	66.9	67.0	67.2	67.3	67.4	67.4	67.4	67.4	67.6	67.8	67.8	67.7	68.2	68.2	68.2	67.10
26	68.1	68.0	67.9	67.7	67.6	67.8	67.7	68.0	68.4	68.3	68.4	68.3	68.5	68.6	68.7	68.9	68.9	69.1	69.3	69.5	69.7	69.9	69.9	69.9	68.63
27	69.8	69.8	69.9	69.8	69.9	70.0	70.2	70.4	70.6	70.8	71.0	71.0	71.1	71.0	70.9	70.7	70.6	70.5	70.6	70.6	70.5	70.7	70.8	70.8	70.50
28	70.5	70.3	70.2	70.1	70.1	70.2	70.3	70.6	70.8	70.9	71.0	71.0	71.0	71.0	70.9	70.8	70.8	70.7	70.8	71.1	71.0	71.2	71.1	71.1	70.73
29	70.9	70.8	70.6	70.6	70.7	70.8	71.2	71.4	71.8	71.7	71.8	71.9	72.0	71.9	71.8	71.8	71.8	71.8	71.8	72.0	71.9	72.0	71.9	71.8	71.58
30	71.5	71.4	71.2	71.0	70.8	70.8	70.8	70.9	71.0	71.0	71.1	70.9	70.9	70.9	70.8	70.6	70.3	70.0	69.9	70.1	70.1	69.5	68.8	68.5	70.53
31	68.4	68.4	68.5	68.6	68.7	68.8	69.0	69.1	69.3	69.4	69.5	69.8	70.0	70.0	70.0	70.0	69.8	70.0	70.2	70.3	70.3	70.3	70.3	70.3	69.54
M.	68.45	68.26	68.17	68.07	68.07	68.11	68.17	68.30	68.44	68.56	68.64	68.70	68.77	68.75	68.71	68.67	68.63	68.59	68.65	68.73	68.73	68.77	68.72	68.64	68.51

September 1911. Stündliche Barometerstände (500 mm +). Säntis.

Tag	1^{30}a	2^{30}	3^{30}	4^{30}	5^{30}	6^{30}	7^{30}	8^{30}	9^{30}	10^{30}	11^{30}	12^{30}p	1^{30}	2^{30}	3^{30}	4^{30}	5^{30}	6^{30}	7^{30}	8^{30}	9^{30}	10^{30}	11^{30}	12^{30}a	Tagesmittel
1	70.8	70.2	70.4	70.4	70.4	70.6	71.0	71.3	71.6	72.0	72.2	72.5	72.6	72.6	72.6	72.7	72.8	72.8	72.9	73.1	73.3	73.4	73.5	73.5	72.03
2	73.4	73.5	73.5	73.4	73.5	73.7	73.8	74.0	74.2	74.4	74.5	74.6	74.5	74.5	74.4	74.5	74.4	74.4	74.5	74.6	74.7	74.7	74.6	74.5	74.20
3	74.4	74.2	74.0	73.9	73.8	73.9	74.1	74.2	74.5	74.7	74.8	74.7	74.7	74.6	74.6	74.5	74.5	74.2	74.2	74.1	74.3	74.4	74.2	74.1	74.33
4	73.8	73.7	73.5	73.4	73.4	73.4	73.5	73.5	73.8	74.0	74.0	74.0	74.0	73.9	73.7	73.5	73.3	73.3	73.2	73.2	73.1	72.9	72.8	72.4	73.47
5	72.2	72.1	71.9	72.0	72.0	72.2	72.3	72.5	72.8	73.0	73.0	73.2	73.2	73.1	73.0	73.0	73.0	72.9	72.8	72.9	73.0	73.0	73.0	72.9	72.71
6	72.8	72.6	72.6	72.4	72.5	72.5	72.8	73.0	73.1	73.2	73.4	73.4	73.5	73.4	73.4	73.4	73.4	73.5	73.5	73.7	73.7	73.8	73.7	73.7	73.21
7	73.5	73.3	73.1	72.9	72.8	72.9	72.9	73.0	73.2	73.3	73.4	73.4	73.4	73.2	73.2	73.1	73.0	72.9	73.0	73.0	72.9	72.9	72.9	72.7	73.08
8	72.5	72.3	72.0	71.8	71.7	71.7	71.7	71.7	71.8	71.9	71.8	71.7	71.6	71.4	71.2	71.0	70.8	70.7	70.7	70.7	70.7	70.7	70.3	70.0	71.35
9	69.8	69.5	69.8	69.1	69.0	69.1	69.2	69.1	69.4	69.5	69.5	69.4	69.5	69.2	69.2	69.0	68.9	68.8	68.8	68.8	68.7	68.6	68.4	68.3	69.09
10	68.1	67.8	67.4	67.3	67.5	67.3	67.5	67.9	68.2	68.5	68.5	68.6	68.9	68.9	68.9	68.8	68.8	68.8	68.8	68.8	68.9	68.9	68.7	68.7	68.35
11	68.6	68.5	68.4	68.2	68.2	68.2	68.4	68.8	69.0	69.2	69.1	69.1	69.2	69.1	69.0	69.1	69.1	69.2	69.2	69.2	69.1	69.2	69.3	69.4	68.91
12	69.3	69.2	69.2	69.1	69.0	69.3	69.5	69.8	70.2	70.6	70.8	71.0	70.9	71.0	71.1	71.0	71.1	71.0	71.0	71.2	71.2	71.2	71.2	71.2	70.42
13	71.2	71.2	71.2	71.1	71.2	71.4	71.4	71.6	71.8	71.8	71.8	71.6	71.4	71.4	71.2	71.1	71.1	70.8	70.9	70.9	70.8	70.8	70.7	70.4	71.20
14	70.0	69.6	69.2	69.0	68.8	68.8	68.9	68.9	69.0	69.0	68.8	68.6	68.1	67.6	67.2	67.0	66.4	66.2	66.0	65.8	65.6	65.0	64.1	64.0	67.57
15	63.6	63.3	63.2	63.2	63.2	63.3	63.1	63.1	63.0	62.9	62.8	62.5	62.8	62.7	62.8	62.8	62.9	63.0	63.2	63.4	63.6	63.7	63.8	63.8	63.15
16	63.9	63.9	63.9	63.9	63.9	64.1	64.1	64.3	64.5	64.5	64.5	64.4	64.2	64.0	64.0	64.0	64.1	64.2	64.2	64.2	64.2	64.2	64.2	64.0	64.14
17	63.9	63.8	63.8	63.7	63.8	63.7	64.0	64.0	64.2	64.6	64.6	64.8	65.0	65.0	65.2	65.2	65.4	65.5	65.7	65.8	65.8	65.8	65.9	66.0	64.80
18	66.1	66.0	66.2	66.4	66.6	66.9	66.9	67.3	67.7	67.8	68.0	67.9	68.1	68.2	68.4	68.4	68.4	68.4	68.6	68.8	68.7	68.8	68.9	68.9	67.77
19	68.7	68.5	68.6	68.6	68.7	68.8	68.9	69.0	68.9	68.8	68.8	68.6	68.4	68.3	67.8	67.6	67.5	67.3	67.4	67.2	67.1	67.0	66.6	66.4	68.06
20	66.3	66.0	65.7	65.2	65.0	65.0	65.0	65.0	65.0	64.9	64.8	64.7	64.2	64.0	63.4	63.3	63.1	62.7	62.5	62.4	62.3	62.0	61.4	61.0	63.95
21	60.7	60.3	60.0	59.7	59.3	59.1	58.8	58.8	58.9	58.9	58.9	58.7	58.5	57.8	57.8	58.0	58.0	58.0	58.1	57.9	57.7	57.5	57.4	57.2	58.58
22	57.1	56.8	56.6	56.7	56.6	56.7	56.9	57.1	57.2	57.2	57.3	57.4	57.3	57.2	57.2	57.2	57.3	57.5	57.4	57.6	57.8	57.6	57.6	57.5	57.20
23	57.4	57.1	56.7	56.5	56.5	56.3	56.3	56.4	56.4	56.6	56.7	56.6	56.6	56.8	56.9	57.2	57.7	57.7	58.1	58.3	58.5	58.8	59.0	59.3	57.27
24	59.6	59.8	59.8	59.8	60.1	60.6	61.0	61.2	61.5	61.9	62.0	62.2	62.4	62.7	63.0	63.4	63.5	63.8	64.1	64.4	64.6	65.1	65.2	65.2	62.37
25	65.2	65.3	65.3	65.4	65.6	65.7	66.2	66.5	66.7	66.9	67.0	67.2	67.5	67.6	67.7	67.7	67.9	68.1	68.4	68.5	68.5	68.3	68.3	67.8	67.08
26	68.3	68.3	68.3	68.2	68.1	68.3	68.5	68.7	69.0	69.3	69.5	69.6	69.5	69.6	69.6	69.6	69.7	69.8	70.0	70.0	70.0	70.0	70.0	70.0	69.25
27	70.0	69.9	69.8	69.7	69.7	69.8	69.9	70.2	70.4	70.5	70.5	70.5	70.4	70.3	70.4	70.4	70.4	70.3	70.3	70.2	70.2	70.2	70.2	70.1	70.18
28	69.9	69.6	69.4	69.3	69.4	69.4	69.6	69.7	69.8	69.6	69.6	69.6	69.5	69.2	69.0	68.8	68.6	68.6	68.6	68.6	68.4	68.0	67.7	67.4	69.05
29	67.0	66.6	66.4	66.2	66.2	66.2	66.3	66.2	66.2	66.1	66.1	65.8	65.5	65.5	65.6	65.6	65.8	65.9	66.2	66.1	66.1	66.1	65.6	65.4	66.03
30	64.9	64.5	63.9	63.4	63.2	63.3	63.0	62.9	62.7	62.4	62.2	61.8	61.2	60.4	60.1	59.8	59.4	58.8	58.4	58.0	57.6	56.8	**56.0**	**56.0**	60.86
M.	67.75	67.58	67.44	67.33	67.32	67.41	67.52	67.66	67.82	67.93	67.96	67.94	67.89	67.77	67.72	67.69	67.68	67.64	67.69	67.72	67.70	67.65	67.51	67.41	67.66

Oktober 1911. (500 mm +). Säntis.

Tag	1^{30}a	2^{30}	3^{30}	4^{30}	5^{30}	6^{30}	7^{30}	8^{30}	9^{30}	10^{30}	11^{30}	12^{30}p	1^{30}	2^{30}	3^{30}	4^{30}	5^{30}	6^{30}	7^{30}	8^{30}	9^{30}	10^{30}	11^{30}	12^{30}a	Tagesmittel
1	55.8	54.4	54.0	54.4	54.4	54.4	54.8	54.4	54.6	54.7	55.0	55.3	55.6	55.5	55.7	56.1	56.3	56.5	56.8	56.7	57.2	57.0	56.8	56.8	55.51
2	56.6	56.5	56.6	56.4	56.4	56.5	56.7	56.8	56.9	57.0	57.2	57.1	57.1	57.2	57.3	57.3	57.4	57.7	57.9	58.1	58.2	58.1	58.0	57.9	57.20
3	57.9	57.7	57.4	57.5	57.4	57.4	57.5	57.6	57.8	58.1	58.2	58.1	58.2	58.2	58.3	58.4	58.6	58.9	58.9	59.0	59.3	59.4	59.5	59.6	58.29
4	59.6	59.5	59.3	59.4	59.4	59.3	59.5	59.5	59.6	59.7	59.5	59.4	59.3	59.3	59.2	59.1	58.9	58.9	59.0	59.3	59.4	59.3	59.3	59.4	59.34
5	59.6	59.6	59.8	59.9	60.1	60.2	60.8	61.0	61.6	61.7	61.8	61.7	61.9	61.8	61.5	61.5	61.4	61.6	61.6	61.6	61.7	61.9	61.9	61.9	61.17
6	62.3	62.4	62.4	62.4	62.5	62.9	63.0	63.4	63.8	64.0	64.2	64.4	64.6	64.9	65.0	65.0	65.0	65.1	64.9	64.5	63.9	64.1	62.9	63.4	63.70
7	63.4	63.3	62.8	62.0	61.6	62.3	63.5	64.2	64.4	64.6	64.5	64.7	64.9	65.0	65.0	65.2	65.2	65.3	65.6	65.8	66.1	66.1	65.9	66.1	64.48
8	66.1	66.1	65.9	65.8	66.0	66.0	66.4	66.5	66.7	66.8	67.0	66.8	66.1	65.8	65.8	65.6	65.6	65.5	65.0	65.5	66.2	66.6	66.8	66.9	66.15
9	67.0	66.9	66.6	66.7	66.4	66.4	66.7	66.6	66.6	66.6	66.5	66.4	66.4	66.3	66.1	66.1	65.8	65.8	65.7	65.5	65.6	65.4	65.4	65.4	66.20
10	65.5	65.6	65.6	65.7	65.9	66.2	66.9	67.2	67.6	67.9	68.0	68.1	68.3	68.4	68.6	68.8	68.6	68.8	69.2	69.4	69.4	69.6	69.7	69.8	67.87
11	70.0	70.0	69.9	70.0	70.0	70.1	70.4	70.8	71.3	71.4	71.4	71.4	71.4	71.6	71.4	71.4	71.5	71.6	**71.7**	**71.7**	**71.7**	**71.7**	**71.7**	71.6	71.07
12	71.6	71.4	71.2	71.1	70.9	70.9	71.0	71.0	71.0	71.1	71.1	70.9	70.8	70.8	70.8	70.6	70.4	70.4	70.8	70.8	70.1	69.9	69.6	69.5	70.70
13	69.3	69.0	68.9	68.7	68.5	68.5	68.4	68.6	68.5	68.3	68.3	68.0	67.7	67.6	67.5	67.4	67.2	67.1	66.9	66.8	66.8	66.6	66.5	66.3	67.81
14	66.1	65.9	66.0	66.0	66.0	66.0	66.1	66.3	66.4	66.4	66.5	66.4	66.3	66.3	66.4	66.5	66.5	66.8	66.9	67.0	67.1	67.1	67.1	67.2	66.47
15	67.2	67.1	67.0	67.0	67.0	67.0	67.2	67.4	67.6	67.5	67.6	67.5	67.6	67.5	67.4	67.5	67.5	67.6	67.7	67.8	67.8	67.8	67.7	67.7	67.45
16	67.7	67.6	67.5	67.5	67.5	67.5	67.6	67.7	67.7	67.7	67.6	67.6	67.2	67.2	67.3	67.3	67.2	67.1	67.1	67.1	67.2	67.2	67.1	67.1	67.39
17	67.0	66.9	66.8	66.6	66.6	66.6	66.6	66.6	66.7	66.8	66.8	66.8	66.6	66.6	66.6	66.6	66.8	67.1	67.3	67.4	67.6	67.9	67.8	67.9	66.96
18	67.8	67.7	67.6	67.7	67.8	67.8	68.1	68.3	68.3	68.4	68.4	68.2	68.2	68.2	68.2	68.3	68.2	68.4	68.5	68.5	68.7	68.7	68.6	68.6	68.22
19	68.6	68.5	68.3	68.2	68.2	68.2	68.3	68.3	68.2	68.2	68.2	67.8	67.9	67.6	67.7	67.8	67.9	68.0	68.1	68.2	68.2	68.2	68.3	68.3	68.11
20	68.3	68.2	68.2	68.2	68.1	68.0	68.0	68.1	68.2	68.3	68.2	68.1	68.0	67.9	67.8	67.6	67.7	67.8	67.8	67.8	67.8	67.7	67.5	67.2	67.94
21	67.0	66.6	66.2	66.1	65.9	65.6	65.7	65.7	65.2	65.2	65.1	65.0	64.5	64.2	64.0	63.5	63.3	63.1	62.7	62.5	61.9	61.5	61.2	61.0	64.28
22	60.4	60.2	60.3	60.4	60.3	60.6	60.8	61.0	61.1	61.1	61.4	60.9	60.8	60.7	60.7	60.7	60.6	60.8	60.8	60.8	60.9	60.8	60.8	60.8	60.74
23	60.8	60.4	60.4	60.4	60.8	60.4	60.3	60.6	60.9	61.2	61.4	61.6	61.5	61.6	61.6	61.6	61.5	61.7	61.8	61.7	61.7	61.6	61.4	61.2	61.15
24	61.2	61.1	60.9	60.7	60.4	60.2	60.3	60.3	60.1	60.1	60.1	60.2	60.3	60.2	60.3	60.3	60.0	60.1	60.0	59.7	59.7	59.6	58.9	58.7	60.14
25	58.7	58.1	57.8	57.3	56.8	56.2	56.0	55.4	55.0	55.2	54.9	54.0	53.3	53.2	53.0	52.8	52.3	**51.9**	52.0	52.6	53.2	52.8	53.1	53.2	54.53
26	53.4	53.5	53.5	53.7	53.6	53.7	54.3	54.3	55.3	55.5	55.6	55.4	55.4	55.2	55.2	55.4	55.4	55.4	55.4	55.3	55.5	55.7	55.7	55.8	54.90
27	55.7	55.7	55.7	55.7	55.2	55.0	55.1	54.9	54.7	55.0	55.0	54.5	53.9	53.8	53.9	53.8	53.6	53.5	53.6	53.5	53.3	53.6	53.3	52.8	52.7	54.35
28	52.8	52.0	52.2	52.1	52.0	52.2	52.8	53.1	53.4	53.7	53.7	54.1	54.4	54.7	55.5	55.8	56.3	56.6	57.1	57.5	57.9	58.1	58.3	58.7	54.79
29	58.7	59.0	59.3	59.5	59.8	60.0	60.4	61.0	61.5	61.7	62.2	62.5	62.8	63.2	63.4	63.8	64.0	64.3	64.7	65.0	65.3	65.7	65.9	66.0	62.49
30	66.2	66.2	66.4	66.5	66.7	67.0	67.0	67.2	67.4	67.6	67.6	67.6	67.8	67.7	67.7	67.7	67.5	67.5	67.5	67.5	67.3	67.3	67.2	66.9	67.22
31	66.7	66.5	66.3	66.3	66.1	65.8	65.8	65.8	65.9	66.2	66.1	65.8	65.6	65.4	65.4	65.3	65.5	65.7	65.7	65.6	65.5	65.6	65.4	65.2	65.80
M.	63.18	63.02	62.93	62.90	62.88	62.87	63.08	63.23	63.36	63.47	63.52	63.43	63.37	63.35	63.36	63.38	63.34	63.44	63.49	63.53	63.64	63.62	63.51	63.51	63.31

November 1911. **Stündliche Barometerstände (500 mm +).** **Säntis.**

Tag	1^{30} a	2^{30}	3^{30}	4^{30}	5^{30}	6^{30}	7^{30}	8^{30}	9^{30}	10^{30}	11^{30}	12^{30} p	1^{30}	2^{30}	3^{30}	4^{30}	5^{30}	6^{30}	7^{30}	8^{30}	9^{30}	10^{30}	11^{30}	12^{30} a	Tages-mittel
1	65.2	65.2	64.9	64.8	65.0	65.0	65.2	65.4	65.5	65.5	65.5	65.4	65.1	65.0	65.1	65.0	65.1	65.2	65.2	65.2	65.1	65.0	64.9	64.7	65.18
2	64.5	64.4	64.0	63.8	63.8	63.8	63.9	64.0	64.1	64.2	64.2	64.0	64.0	63.9	63.9	63.8	63.8	64.0	64.1	64.0	64.1	64.2	64.1	64.0	64.08
3	64.0	64.0	63.9	63.7	63.7	64.0	64.3	64.7	64.9	64.9	65.0	65.0	65.1	65.2	65.3	65.3	65.7	65.6	65.7	65.8	65.8	65.8	66.0	66.0	64.97
4	65.8	65.7	65.7	65.7	65.7	65.9	66.3	66.5	66.8	67.1	67.2	67.2	67.1	66.9	66.8	66.8	67.2	67.2	67.2	67.2	66.7	66.9	67.0	67.0	66.65
5	66.7	66.5	66.2	65.9	65.7	65.5	65.6	65.5	65.4	65.1	64.8	64.7	64.7	64.5	64.2	64.0	63.8	63.7	63.4	63.3	63.2	62.8	62.8	63.0	64.68
6	62.7	62.3	62.0	62.1	62.2	62.3	62.1	62.2	62.4	62.4	62.3	62.2	61.8	61.6	61.7	62.0	62.2	62.6	62.7	63.0	62.9	63.0	63.0	62.9	62.86
7	63.2	63.4	63.1	63.1	62.9	63.1	63.5	64.0	64.1	64.1	64.0	63.8	63.8	63.6	63.5	63.3	63.3	63.4	63.4	63.5	63.5	63.4	63.4	63.2	63.48
8	63.0	62.8	62.5	62.4	62.4	62.3	62.3	62.4	62.2	62.2	62.2	62.0	61.7	61.4	61.2	60.7	60.5	60.3	60.1	60.0	60.0	60.0	59.7	59.6	61.41
9	59.3	59.0	58.7	58.2	58.2	58.1	57.6	57.4	57.2	57.1	57.0	56.8	56.4	56.4	56.4	56.8	57.0	57.1	56.8	56.4	56.5	56.6	56.7	57.0	57.26
10	57.3	57.4	57.4	57.4	57.3	57.2	57.1	57.5	57.6	57.7	57.8	57.8	57.8	58.0	58.1	58.3	58.4	58.7	58.9	58.9	58.9	59.1	59.2	59.3	58.05
11	59.3	59.3	59.3	59.4	59.5	59.5	59.6	59.8	59.7	60.3	60.2	60.2	60.2	60.6	60.8	61.0	61.1	61.4	61.4	61.4	61.5	61.5	61.8	61.8	60.40
12	61.3	61.3	61.4	61.4	61.2	61.2	61.5	61.5	61.5	61.4	61.2	61.0	60.9	60.8	60.8	60.7	60.4	60.4	60.2	60.1	60.2	59.9	59.7	59.6	60.82
13	59.4	59.2	59.2	59.1	59.2	59.4	59.7	59.9	60.1	60.4	60.4	60.6	61.0	61.2	61.6	62.0	62.6	63.0	63.6	64.3	64.8	65.3	65.6	66.0	61.57
14	66.2	66.4	66.5	66.8	66.9	67.2	67.6	68.0	68.3	68.6	68.6	68.6	68.6	68.6	68.6	68.7	68.8	68.9	68.9	68.8	68.6	68.6	68.5	68.3	68.07
15	68.0	67.7	67.3	66.8	66.5	66.2	66.2	66.0	65.6	65.4	65.0	64.4	64.1	63.8	63.5	63.2	63.1	63.0	62.1	61.5	61.3	61.4	61.5	61.2	64.87
16	60.5	60.5	60.5	60.5	60.8	60.6	60.6	60.6	60.7	60.9	60.9	61.0	61.3	61.4	61.2	61.2	61.5	61.5	61.5	61.5	61.5	61.5	61.2	61.0	61.02
17	60.7	60.6	60.5	60.3	60.1	59.8	59.7	59.7	59.5	59.2	58.9	58.4	57.9	57.4	57.3	57.2	57.2	56.8	55.8	55.3	54.9	54.3	54.1	53.5	57.86
18	53.0	53.3	51.9	51.5	51.2	51.0	50.7	50.5	50.4	50.0	49.2	48.2	47.1	46.6	46.1	45.7	45.0	44.2	44.3	44.2	43.6	43.4	43.7	43.1	47.79
19	42.6	42.4	42.4	42.4	42.4	41.6	41.9	42.4	42.8	42.7	42.9	42.6	43.1	43.1	43.6	43.8	43.7	44.2	44.5	44.6	44.8	44.4	44.9	45.6	43.81
20	44.7	45.2	45.2	45.4	46.0	46.3	46.6	47.2	47.1	47.6	47.9	47.6	48.2	48.4	49.0	49.2	49.8	50.0	50.2	50.6	51.3	51.8	52.2	52.5	48.88
21	52.5	53.0	52.8	52.5	52.6	52.5	52.3	52.0	51.8	51.8	51.8	51.8	51.6	51.5	51.5	51.6	51.6	51.6	51.4	51.3	51.2	51.2	51.2	51.2	51.85
22	50.9	51.2	50.9	50.8	50.8	51.1	50.9	51.4	51.9	52.4	52.6	52.6	52.4	52.2	52.8	53.1	53.2	53.6	54.0	54.4	54.6	54.8	54.6	54.4	52.57
23	53.6	53.2	52.6	52.8	52.5	52.9	52.9	53.7	53.5	53.9	54.4	54.2	54.5	54.2	54.4	54.7	55.2	55.3	55.4	55.5	55.7	55.8	55.8	55.3	54.25
24	55.1	55.0	54.8	54.4	54.0	54.0	53.8	54.1	54.1	54.1	54.1	54.0	54.0	54.3	54.7	54.7	55.1	55.4	55.6	55.8	55.8	56.0	56.1	56.2	54.80
25	56.3	56.3	56.1	55.9	55.8	55.8	55.9	55.9	56.0	56.0	56.0	55.8	55.7	55.4	55.4	55.3	55.2	55.1	55.2	55.1	54.9	54.8	55.0	55.2	55.59
26	55.2	55.3	55.3	55.4	55.6	56.0	56.2	56.9	57.0	57.2	57.2	57.3	57.6	57.5	57.9	58.1	58.4	58.9	59.2	59.5	59.7	60.0	60.2	60.6	57.59
27	60.6	61.1	61.2	61.5	61.6	61.9	62.2	62.8	63.2	63.3	63.8	64.3	64.2	64.4	64.6	64.6	64.6	64.7	65.0	65.2	65.4	65.5	65.9	65.9	63.65
28	66.0	65.8	65.8	65.9	65.8	65.9	66.2	66.6	67.0	66.9	66.7	66.6	66.6	66.6	66.8	66.9	67.0	67.2	67.4	67.6	67.8	68.0	68.5	68.6	66.84
29	68.6	68.8	68.7	68.8	68.8	68.7	68.8	69.2	69.4	69.6	69.6	69.6	69.5	69.4	69.5	69.6	69.7	69.7	69.7	69.9	69.9	69.8	69.8	69.8	69.37
30	69.6	69.4	69.3	69.1	68.9	68.9	68.9	69.0	69.0	69.0	68.8	68.6	68.3	67.9	67.8	67.5	67.5	67.3	67.2	67.2	67.0	66.7	66.4	66.2	68.15
M.	59.86	59.82	59.67	59.59	59.57	59.59	59.67	59.89	59.96	60.03	60.01	59.86	59.81	59.73	59.80	59.83	59.92	59.98	60.00	60.04	60.04	60.05	60.10	60.07	59.87

Dezember 1911. **(500 mm +).** **Säntis.**

Tag	1^{30} a	2^{30}	3^{30}	4^{30}	5^{30}	6^{30}	7^{30}	8^{30}	9^{30}	10^{30}	11^{30}	12^{30} p	1^{30}	2^{30}	3^{30}	4^{30}	5^{30}	6^{30}	7^{30}	8^{30}	9^{30}	10^{30}	11^{30}	12^{30} a	Tages-mittel
1	66.0	65.7	65.4	65.2	65.1	65.0	65.0	64.8	64.9	64.8	64.6	64.2	63.9	64.0	64.0	63.9	63.9	64.0	63.9	63.8	63.7	63.7	63.8	63.0	64.41
2	62.7	62.8	62.8	63.2	63.3	63.4	63.5	63.5	63.4	63.5	63.5	63.4	63.3	63.3	63.4	63.4	63.4	63.4	63.4	63.5	63.4	63.5	63.5	63.5	63.33
3	63.3	63.4	63.4	63.2	63.1	63.0	63.1	63.2	63.2	63.2	63.2	63.0	62.7	62.6	62.7	62.7	62.5	62.3	62.3	62.2	62.2	62.2	62.1	61.9	62.78
4	61.9	61.9	61.7	61.5	61.5	61.5	61.5	61.7	61.8	61.8	61.8	61.6	61.6	61.4	61.4	61.4	61.4	61.5	61.5	61.4	61.2	61.5	61.4	61.3	61.55
5	61.3	61.2	61.0	60.7	60.7	60.3	60.1	60.0	59.7	59.5	59.4	59.2	59.1	59.2	59.2	59.3	59.5	59.4	59.5	59.8	60.1	60.3	60.6	60.8	60.00
6	60.8	61.0	61.2	61.3	61.3	61.8	61.8	62.3	62.5	62.9	63.1	63.4	63.7	63.9	64.2	64.5	64.7	64.8	64.9	64.8	64.7	64.6	64.5	64.4	63.21
7	64.4	64.6	64.4	64.0	63.5	63.2	62.9	62.3	62.0	61.7	61.6	61.0	60.7	60.3	59.8	59.3	58.9	58.7	58.4	58.0	57.9	58.0	57.9	57.9	60.89
8	57.7	57.4	57.0	56.9	56.8	56.8	56.8	56.8	57.0	57.1	57.0	56.9	56.6	56.4	56.4	56.3	56.2	55.9	55.9	55.8	55.5	55.4	55.2	55.0	56.45
9	54.9	54.9	54.8	54.6	54.8	54.8	54.7	54.9	55.0	54.7	54.4	53.8	53.9	54.5	54.9	55.5	56.0	56.8	57.0	57.6	57.8	58.1	58.5	58.7	55.65
10	58.6	58.6	58.7	58.6	58.5	58.5	58.6	58.5	58.4	58.4	58.2	57.8	57.7	57.4	57.2	56.7	56.4	56.2	55.4	55.0	55.0	54.8	54.7	54.8	57.20
11	54.3	53.9	53.6	52.8	52.4	52.1	51.7	51.8	52.0	52.3	52.0	51.6	51.4	51.5	51.5	51.9	52.0	52.2	52.5	52.8	52.8	53.1	53.4	53.6	52.47
12	53.6	53.6	53.8	53.7	53.9	54.1	54.3	54.7	55.2	55.4	55.5	55.6	55.8	56.1	56.3	56.5	56.9	57.0	57.2	57.4	57.8	57.4	57.4	57.5	55.68
13	57.2	57.1	57.1	57.0	56.9	56.8	56.9	57.2	57.4	57.9	58.0	57.9	57.9	57.9	58.0	58.1	58.4	58.4	58.6	58.6	58.8	59.0	59.2	59.2	57.90
14	59.3	59.4	59.3	59.4	59.4	59.7	59.9	60.2	60.5	60.7	61.0	61.1	61.1	61.4	61.5	61.7	62.0	61.8	61.7	61.8	61.7	61.7	61.7	61.6	60.82
15	61.3	61.1	60.9	60.5	60.2	59.9	60.1	60.2	60.3	60.5	60.4	60.1	59.9	59.6	59.3	58.8	58.8	59.2	59.5	59.6	59.8	59.9	59.8	59.9	59.98
16	60.3	60.5	60.6	60.4	60.3	60.6	60.9	61.3	63.4	61.7	61.7	61.6	61.5	61.6	61.8	62.0	62.3	62.6	63.0	63.4	63.8	63.6	64.0	64.1	61.94
17	64.2	64.3	64.4	64.5	64.8	65.1	65.2	65.7	66.0	66.3	66.3	66.4	66.3	66.4	66.8	66.9	67.2	67.3	67.3	67.4	67.6	67.6	68.0	68.0	66.25
18	67.9	68.0	68.1	68.0	67.9	67.8	67.8	68.1	68.4	68.6	68.4	68.2	67.9	67.6	67.8	67.8	67.6	67.8	67.8	67.8	67.7	67.8	67.9	67.6	67.94
19	67.5	67.5	67.5	67.2	67.0	67.0	67.1	67.1	67.1	67.1	67.0	66.7	66.7	66.7	66.6	66.4	66.1	66.0	66.0	65.7	65.3	65.0	64.3	63.6	66.42
20	63.2	63.0	62.7	62.1	61.5	61.2	60.6	60.4	59.9	59.4	58.9	58.4	57.8	57.0	57.5	58.0	57.1	57.5	58.8	58.7	58.7	59.0	58.6	58.8	59.51
21	58.8	58.9	58.8	58.1	57.7	57.5	56.8	56.6	56.2	56.0	55.2	54.8	53.6	54.2	53.0	52.1	51.5	51.3	51.1	51.4	50.7	51.1	50.9	51.5	54.49
22	52.8	53.8	54.5	55.9	56.7	57.1	57.9	58.2	58.8	58.8	59.0	58.7	58.5	58.4	58.9	58.6	58.4	58.2	57.5	56.6	55.5	53.1	52.4	52.7	56.69
23	53.0	52.6	51.5	51.4	51.0	50.4	50.4	51.2	52.0	52.3	52.8	53.4	54.4	56.1	58.4	59.5	60.2	60.9	61.7	62.0	62.3	62.4	62.4	62.4	56.08
24	62.2	62.4	62.4	62.3	62.0	62.0	61.8	61.7	62.0	61.8	61.8	61.4	61.2	61.0	61.0	61.0	60.6	60.8	60.5	60.4	59.9	60.0	59.5	59.1	61.20
25	58.8	58.4	58.1	57.1	56.8	56.1	55.5	54.9	54.6	54.1	53.8	53.0	51.8	51.9	51.9	52.1	52.7	53.1	53.5	53.4	53.7	54.0	54.2	54.4	54.48
26	54.5	54.7	54.9	54.8	55.0	55.2	55.5	56.1	56.1	56.4	56.3	56.4	56.6	56.8	57.0	57.3	57.3	57.3	57.1	57.2	56.9	56.6	55.5	54.9	56.10
27	53.7	53.2	53.0	52.5	52.5	52.4	52.1	52.2	52.4	52.3	52.5	53.1	53.6	54.8	55.0	55.5	56.0	56.2	56.5	56.8	57.2	57.6	57.8	58.1	54.44
28	58.6	59.8	59.7	59.9	60.1	60.4	60.6	60.8	61.1	61.6	61.6	61.6	61.6	61.9	62.8	62.6	62.8	62.9	63.2	63.2	63.0	63.0	62.9	62.4	61.55
29	62.7	63.1	63.0	63.4	63.2	63.0	63.2	64.0	63.2	63.1	62.7	62.6	62.5	62.4	62.9	63.4	63.5	64.0	64.2	64.2	64.3	64.3	64.5	64.4	63.41
30	64.6	64.6	64.8	64.8	64.8	65.2	65.4	65.6	65.6	65.6	65.6	65.4	65.1	65.0	65.0	65.0	65.0	65.0	64.8	64.5	64.1	63.6	63.5	63.4	64.88
31	63.5	64.0	64.0	63.7	63.5	63.7	63.7	64.1	64.2	64.4	64.3	64.2	64.5	64.6	64.8	65.2	65.4	65.7	65.9	66.0	66.0	65.9	65.8	65.9	64.71
M.	60.12	60.16	60.10	59.96	59.86	59.86	59.85	60.00	60.12	60.13	60.05	59.89	59.77	59.85	60.02	60.11	60.16	60.26	60.33	60.35	60.26	60.25	60.17	60.14	60.07

1911. **Tägliche Maxima und Minima der Barometerstände.** Säntis.

Tag	Januar		Februar		März		April		Mai		Juni		Juli		August		September		Oktober		November		Dezember	
	Max.	Min.	Max.	Min.	Max.	Min.	Max.	Min.	Max.	Min.	Max.	Min.	Max.	Min.	Max.	Min.	Max.	Min.	Max.	Min.	Max.	Min.	Max.	Min.
1	62.1	55.2	66.2	64.8	65.2	58.8	62.6	62.0	63.3	**56.7**	67.0	62.9	—	—	70.6	67.8	73.5	70.2	57.2	54.3	65.5	64.7	66.0	63.0
2	54.6	49.5	66.1	62.0	**66.4**	61.4	61.8	57.4	63.0	62.6	68.1	66.7	—	—	71.6	70.4	74.7	73.4	58.2	56.4	64.5	63.8	63.5	62.7
3	49.5	**48.6**	62.3	59.1	64.9	62.7	57.2	51.5	64.2	62.2	67.7	66.2	—	—	71.2	70.2	**74.8**	73.8	53.0	57.4	66.0	63.7	63.4	61.8
4	52.0	48.7	64.6	62.3	64.7	60.0	51.1	48.5	63.6	60.9	69.0	66.1	—	—	69.8	68.6	74.0	72.4	59.7	58.9	67.2	65.7	61.9	61.2
5	55.1	52.0	64.4	62.0	59.8	57.9	48.3	**46.9**	63.6	60.3	70.3	68.8	—	—	68.6	68.2	73.2	71.9	61.9	59.6	66.7	62.8	61.3	59.1
6	60.5	55.3	64.1	61.5	57.6	55.7	54.9	48.9	63.8	63.0	71.1	69.0	—	—	71.0	68.4	73.8	72.4	65.1	62.3	63.0	61.6	64.9	60.8
7	64.8	60.5	64.4	63.2	57.8	56.1	55.0	54.1	62.7	60.7	72.3	70.7	—	—	73.0	70.5	73.5	72.7	66.1	61.6	64.1	62.9	64.6	57.9
8	68.5	65.0	63.8	62.0	58.4	57.5	55.9	52.7	61.5	60.2	70.9	67.2	—		**73.1**	72.4	72.5	70.0	67.0	63.0	63.1	59.6	57.7	55.
9	68.6	64.9	64.1	62.8	59.4	57.8	56.2	54.2	61.0	60.0	67.0	60.4	—	—	72.6	70.7	69.8	68.3	67.0	65.4	59.3	56.3	58.7	53.8
10	64.3	61.9	62.7	61.6	60.4	59.7	54.7	52.0	61.3	60.2	60.6	59.0	—	—	70.4	69.2	68.9	67.3	69.8	65.5	59.3	57.1	58.7	54.7
11	63.0	55.0	62.3	61.7	59.9	58.6	60.2	55.1	61.8	60.9	62.0	59.4	—	—	69.2	67.8	69.4	68.2	**71.7**	69.9	61.5	59.3	54.3	51.4
12	54.5	49.8	62.9	62.3	58.6	54.4	61.8	59.8	62.6	61.4	61.4	60.4	—	—	68.8	67.6	71.2	69.0	71.6	69.5	61.5	59.6	57.5	53.6
13	54.9	50.4	65.6	62.1	54.0	46.8	60.8	58.0	61.8	59.4	60.3	**56.3**	—	—	69.7	68.4	71.8	70.4	69.3	66.3	66.0	59.1	59.2	56.8
14	60.4	54.9	67.3	65.8	48.6	47.5	63.6	60.5	60.5	59.7	61.1	57.0	—	—	69.5	67.6	70.0	64.0	67.2	65.9	68.9	66.2	62.0	59.3
15	63.5	60.4	68.7	67.4	48.0	46.2	66.0	63.6	60.5	59.4	65.5	60.6	—	—	67.5	65.2	63.8	62.5	67.8	67.0	68.0	61.2	61.3	58.8
16	70.2	63.6	**69.6**	67.5	53.0	48.0	65.7	64.2	61.0	59.3	68.0	65.7	—	—	66.8	64.4	64.5	63.9	67.7	67.1	61.5	60.5	64.1	60.3
17	**72.6**	70.4	67.3	64.6	56.0	53.0	64.2	62.7	60.6	59.3	67.5	66.6	—	—	68.5	66.2	66.0	63.7	67.9	60.5	60.7	53.5	08.0	64.2
18	**72.6**	70.9	66.0	60.2	58.5	56.1	64.0	62.3	59.0	57.3	66.6	64.6	—	—	69.9	66.8	68.9	66.0	68.7	67.6	53.0	43.1	**68.6**	67.6
19	70.8	69.8	59.9	53.3	58.6	57.5	62.1	60.5	58.2	57.1	65.7	62.6	—	—	66.5	65.9	69.0	66.4	68.6	67.6	45.6	**41.6**	67.5	63.6
20	70.4	68.6	58.4	54.0	58.4	56.5	68.3	60.6	59.0	57.3	65.8	62.4	—	—	66.4	65.2	66.3	61.0	68.3	67.2	52.5	44.7	63.2	57.0
21	68.3	65.4	63.1	58.2	60.5	58.7	**73.1**	68.5	61.2	58.9	69.0	65.6	—	—	64.8	**63.2**	60.7	57.2	67.0	61.0	53.0	51.2	58.9	50.7
22	65.8	64.8	64.5	60.9	61.0	60.2	72.7	70.6	62.3	60.7	68.9	68.2			64.4	**63.2**	57.8	56.6	61.4	60.2	54.8	50.8	59.0	52.4
23	66.2	65.3	63.9	56.1	60.8	58.9	70.2	66.4	63.6	61.6	67.8	64.4	—	—	64.8	63.4	59.3	56.3	61.8	60.3	55.8	52.5	62.4	**50.4**
24	64.9	63.1	57.3	53.5	58.7	53.5	66.0	63.9	**66.3**	63.2	65.1	62.9	—	—	66.2	64.0	65.2	59.6	61.2	58.7	56.2	53.8	62.4	59.1
25	67.0	63.8	58.0	54.8	53.0	46.2	63.6	62.7	66.0	63.0	64.9	64.2	—	—	68.2	66.1	68.5	65.2	58.7	**51.9**	56.3	54.8	58.8	51.8
26	70.4	67.0	58.0	**51.9**	52.7	**45.4**	62.5	60.8	63.1	61.9	66.2	64.3	—	—	69.9	67.6	70.0	68.1	55.8	53.4	60.0	55.2	57.3	54.5
27	71.1	69.9	60.1	58.0	58.6	53.0	62.0	56.0	65.8	63.1	69.0	65.2	—	—	71.1	69.8	70.5	69.7	55.7	52.7	65.9	60.6	58.1	52.1
28	69.8	66.6	60.6	58.4	61.5	58.8	58.0	54.7	66.2	65.3	**72.5**	69.1	—	—	71.2	70.1	69.9	67.4	58.7	52.0	68.6	65.8	63.2	58.6
29	66.6	63.3			61.3	57.2	57.3	54.2	65.1	63.5	72.2	71.0	—	—	72.0	70.6	67.0	65.4	66.0	58.7	**69.9**	68.6	64.5	62.4
30	63.2	59.8			60.6	56.8	56.6	53.1	63.7	63.2	70.6	64.7	—	—	71.5	68.5	64.9	**56.0**	67.8	66.2	69.6	66.2	65.6	63.4
31	64.7	59.8			62.4	60.6			63.2	62.6			—	—	70.3	68.4			66.7	65.2			66.0	63.5
Mittl. Max.	64.22		63.44		58.69		61.21		62.56		67.14		—		69.26		68.78		64.56		61.62		62.02	
Mittl. Min.	60.78		60.43		55.53		58.21		60.80		64.17		—		67.63		66.30		61.98		58.22		58.12	
Differenz	3.44		3.01		3.16		3.00		1.76		2.97		—		1.63		2.48		2.58		3.40		3.90	
Abs. Max.	72.6		69.6		66.4		73.1		66.3		72.5		—		73.1		74.8		71.7		69.9		68.6	
Abs. Min.	48.6		51.9		45.4		46.9		56.7		56.3		—		63.2		56.0		51.9		41.6		50.4	
Differenz	24.0		17.7		21.0		26.2		9.6		16.2		—		9.9		18.8		19.8		28.3		18.2	

1911. **Übersicht über den täglichen Gang des Luftdruckes.** Säntis.

Abweichungen vom Monatsmittel.

	Mittel 500 +	1^{30}a	2^{30}	3^{30}	4^{30}	5^{30}	6^{30}	7^{30}	8^{30}	9^{30}	10^{30}	11^{30}	12^{30}p	1^{30}	2^{30}	3^{30}	4^{30}	5^{30}	6^{30}	7^{30}	8^{30}	9^{30}	10^{30}	11^{30}	12^{30}a	Amplitude
Januar	62.45	.00	.01	−.14	−.27	**−.34**	−.29	−.28	−.15	.00	.15	.11	.01	−.07	−.14	−.11	−.05	.03	.13	.22	**.25**	.23	.22	.20	.18	.59
Februar	61.96	**.27**	.25	.08	−.04	−.04	−.02	.00	.03	.09	.16	.18	.05	−.22	**−.34**	**−.34**	−.32	−.30	−.09	−.02	.00	.10	.10	.11	.18	.61
März	57.03	.08	.02	−.16	−.22	−.28	**−.31**	**−.31**	−.22	−.13	−.05	.00	.08	.01	−.04	−.07	−.07	−.05	.09	.24	**.28**	.27	**.28**	.26	.20	.59
April	59.70	.13	−.03	−.15	−.27	**−.33**	−.27	−.23	−.14	−.02	.03	.04	.03	.05	.05	.01	.02	−.03	−.03	.06	**.24**	.23	.23	.16	.1	57
Mai	61.70	−.12	−.28	−.39	**−.45**	−.44	−.35	−.20	−.17	−.08	.00	.03	.08	.15	.13	.13	.12	.08	.10	.12	.26	.30	**.37**	.33	.23	.82
Juni	65.80	−.09	−.24	−.35	**−.38**	**−.38**	−.30	−.17	−.10	−.01	.06	.05	.15	.22	.20	.11	.11	.05	.03	.07	.15	.24	**.27**	.22	.13	.65
Juli	—	—	—	—	—	—	—	—	—	—	—	—	—	—	—	—	—	—	—	—	—	—	—	—	—	—
August	68.51	−.06	−.25	−.34	**−.44**	**−.44**	−.40	−.34	−.21	−.07	.05	.13	.19	**.26**	.24	.20	.10	.12	.08	.14	.22	.22	**.26**	.21	.13	7
Septbr.	67.66	.09	−.08	−.22	−.33	**−.34**	−.25	−.14	.00	.16	.27	**.30**	.28	.23	.11	.06	.03	.02	−.02	.03	.06	.04	−.01	−.15	−.25	.64
Oktober	63.31	−.13	−.29	−.38	−.41	**−.48**	−.44	−.23	−.08	.05	.19	.21	.12	.06	.04	.05	.07	.03	.13	.18	.22	**.33**	.31	.20	.2	.81
Novbr.	59.87	−.01	−.05	−.20	−.28	**−.30**	−.28	−.20	.02	.09	.16	.14	−.01	−.06	−.14	−.07	−.04	.05	.11	.13	.17	.17	.18	**.23**	.2	.53
Dezbr.	60.07	.05	.09	.03	−.11	−.21	−.21	−.22	−.07	.05	.06	−.02	−.18	**−.30**	−.22	−.05	.04	.09	.19	.26	**.28**	.19	.18	.16	.07	58

Januar 1911. $h_a = 6{,}0^m$. **Stündliche Aufzeichnungen des Anemometers.**

Tag	Mittel	0^{30}–1^{30} a	1^{30}–2^{30}	2^{30}–3^{30}	3^{30}–4^{30}	4^{30}–5^{30}	5^{30}–6^{30}	6^{30}–7^{30}	7^{30}–8^{30}	8^{30}–9^{30}	9^{30}–10^{30}	10^{30}–11^{30}	11^{30}–12^{30} p
1	28.5	NE 14	NE 16	NE 14	NE 10	ENE 10	ENE 16	ENE 14	ENE 19	ENE 33	ENE 26	ENE 26	NE 30
2	17.3	WSW 54	WSW 53	WSW 57	WSW 38	WSW 42	WSW 40	WSW 29	WSW 14	W 9	WNW 9	NW 4	W 9
3	31.0	NNE 10	NNE 11	NNE 12	NNE 11	NNE 12	NNE 8	NNE 10	NNE 22	NNE 29	NNW 27	NNW 24	WNW 30
4	21.0	ENE 48	E 39	S 40	E 36	ENE 38	ENE 40	ENE 34	E 22	WNW 17	WNW 11	ENE 10	NE 4
5	13.8	SSE 13	SSE 1	SSE 4	SSE 13	SSE 21	SSE 28	NNE 32	NNE 24	NE 29	NE 17	NE 5	NE 1
6	33.5	SSE 25	SSE 27	SSE 29	SSE 34	SSE 28	SSE 30	SSE 28	SSE 36	SSE 40	SSE 43	SSW 35	SSW 26
7	17.9	SSW 24	SSW 22	SSW 30	SSW 25	S 21	S 26	SSW 19	SSW 19	SW 14	SW 14	SW 20	SW 24
8	14.7	E 16	ESE 17	ESE 17	ESE 16	ESE 20	ESE 24	NE 23	ENE 20	ENE 23	ENE 27	ENE 27	NE 16
9	18.0	NNE 9	N 9	NNW 13	NW 17	NW 22	NW 23	NW 19	NNW 22	N 20	N 19	N 16	N 7
10	14.6	NNE 21	NNE 26	NNE 26	NNE 30	NNE 24	NNE 22	W 24	W 24	WNW 17	WNW 17	NW 10	NNE 12
11	14.0	NNE 9	NNE 10	NNE 10	NNE 12	NE 14	ENE 18	ENE 17	ENE 21	ENE 26	ENE 24	ENE 19	E 13
12	20.6	SW 20	SW 26	SW 32	SW 34	SW 34	SW 32	SW 28	SW 24	SW 18	SW 12	SW 10	SSW 14
13	15.5	WNW 31	W 36	W 34	WSW 38	WSW 24	WSW 24	WSW 22	WSW 21	WSW 19	WNW 16	WNW 20	W 18
14	20.1	W 10	W 15	W 17	NE 23	ENE 33	ENE 33	ENE 38	ENE 28	ENE 28	ENE 30	E 18	SE 14
15	30.6	ENE 39	ENE 40	ENE 34	ENE 30	ENE 30	ENE 35	ENE 39	ENE 45	NW 43	NNW 36	NNE 33	NNE 29
16	38.3	ENE 30	NE 20	NNE 16	N 20	N 26	NNE 30	NNE 34	NNE 38	NNE 43	NNE 43	NNE 43	NNE 41
17	29.1	NE 44	W 38	WNW 34	WNW 38	WNW 32	W 34	NE 38	NE 34	NE 29	NE 29	NE 26	NE 24
18	27.2	NE 35	NE 32	NE 27	NE 34	NE 36	NE 36	NE 34	NNE 26	NNE 26	NNE 24	NNE 24	N 24
19	33.3	NNE 24	NNE 32	NNE 32	NNE 34	NNE 32	NNE 31	NNE 31	NNE 28	NNE 32	NNE 38	NNE 40	NNE 46
20	31.2	WNW 32	WSW 24	WSW 26	WSW 26	WSW 29	WSW 31	NE 28	ENE 30	ENE 28	ENE 23	ENE 22	NE 25
21	20.1	NE 40	NE 39	NE 35	ENE 32	ENE 36	ENE 36	NE 36	NE 28	NE 28	NE 28	NE 19	NNE 8
22	45.3	SSW 19	SW 30	WSW 37	SW 41	WSW 52	WSW 54	WSW 50	WSW 42	WSW 45	WSW 47	WSW 41	WSW 63
23	17.5	WNW 23	NW 25	NNW 24	NNW 22	NNW 18	NNW 16	ENE 16	ENE 22	ENE 24	ENE 24	ENE 21	ENE 17
24	33.4	ENE 13	E 10	SE 11	S 17	S 32	S 38	WSW 46	WSW 42	WSW 46	WSW 51	WSW 47	WSW 40
25	23.2	NNW 17	NNW 14	NNW 19	NNW 19	NNW 16	NNW 21	NNE 21	NNE 24	NNE 22	NNE 20	NNE 16	NNE 15
26	36.5	WSW 38	WNW 39	WNW 35	W 30	WSW 36	WSW 42	WSW 32	WSW 24	WSW 33	WSW 35	WSW 40	WSW 42
27	22.6	NNW 32	NW 29	WNW 22	WSW 15	SW 19	W 16	WSW 19	SW 20	WNW 22	NW 30	NW 28	NW 25
28	38.5	WSW 30	WSW 36	WSW 42	WSW 50	WSW 56	WSW 62	WSW 60	WSW 50	WSW 48	WSW 50	WSW 56	WSW 52
29	26.1	NE 20	NE 18	NE 18	NE 18	NE 16	NE 16	N 20	NNE 22	NNE 22	NNE 25	NNE 25	NE 26
30	33.0	ENE 43	ENE 40	NNE 49	NNE 53	NNE 48	NNE 36	NNE 30	NE 37	NE 35	NE 38	NE 31	NE 33
31	26.0	NE 30	NE 30	NE 34	NE 28	NE 29	NE 32	ENE 37	ENE 38	ENE 38	NE 30	NE 26	NE 23

Februar.

Tag	Mittel	0^{30}–1^{30} a	1^{30}–2^{30}	2^{30}–3^{30}	3^{30}–4^{30}	4^{30}–5^{30}	5^{30}–6^{30}	6^{30}–7^{30}	7^{30}–8^{30}	8^{30}–9^{30}	9^{30}–10^{30}	10^{30}–11^{30}	11^{30}–12^{30} p
1	22.3	NE 31	NE 29	NE 22	NE 24	NE 20	NE 31	NE 34	NE 37	NNE 34	NNE 26	NNE 24	NNE 19
2	30.3	ENE 32	ENE 32	ENE 30	NE 30	NE 24	NE 27	ENE 28	ENE 25	NE 23	NNE 21	NNE 26	NNE 20
3	22.9	WSW 62	WSW 61	SW 62	SW 61	SW 48	WSW 40	W 38	W 28	W 15	WNW 7	NE 10	NE 8
4	28.0	E 23	E 20	E 20	WSW 20	SW 24	SSE 26	NE 36	E 35	ENE 37	NE 39	ENE 48	ENE 31
5	20.0	NE 12	NE 0	NE 12	NE 25	NNE 20	NNE 17	WNW 16	NW 22	NW 24	WNW 28	W 23	W 20
6	21.0	NW 18	NW 18	NW 9	NNW 9	N 13	NNE 21	NNE 36	NNE 24	ENE 34	NE 34	NE 30	NE 22
7	33.8	NNE 48	NNE 50	NNE 42	NNE 38	NNE 34	NNE 34	NNE 28	NNE 26	NW 20	WNW 40	WNW 32	W 26
8	12.6	WNW 20	WSW 26	WSW 30	WSW 24	WSW 9	W 7	W 6	WSW 10	W 3	W 2	W 3	W 4
9	23.4	NNW 30	NNW 28	N 28	N 24	N 26	N 28	NE 42	NE 28	NE 34	NE 28	NE 30	NNE 24
10	40.7	WSW 31	WSW 35	W 30	W 27	W 23	W 18	WSW 20	WSW 25	WSW 35	WSW 30	SW 27	WSW 25
11	37.2	WSW 58	WSW 53	WSW 55	WSW 42	WSW 40	WSW 33	WSW 35	WSW 27	WSW 25	WSW 26	WSW 29	WSW 31
12	16.8	WSW 22	WSW 22	WSW 22	WSW 22	WSW 22	WSW 16	WSW 16	WSW 22	WSW 20	SW 22	SW 18	SW 11
13	15.4	SW 13	SW 4	SW 8	SW 5	SW 20	SW 23	ENE 27	ENE 22	ENE 19	E 8	E 6	ENE 25
14	17.3	NE 13	NE 13	NNE 24	NNE 18	NNE 27	NNE 26	NNE 31	NNE 30	NNE 28	NNE 27	NNE 23	NNE 18
15	31.0	NE 25	NE 26	NE 17	NE 9	NE 20	NE 36	WNW 36	WNW 39	WNW 37	NW 24	NW 17	WSW 19
16	38.4	WSW 26	WSW 22	WSW 19	WSW 14	WSW 6	WSW 4	WSW 7	WSW 14	SW 23	SW 17	SW 25	SW 28
17	93.7	SSW 87	SSW 86	SSW 105	SSW 102	SSW 102	SSW 108	WSW 108	WSW 70	WSW 120	WSW 110	WSW 95	WSW 103
18	44.8	WSW 52	WSW 48	WSW 56	WSW 61	WSW 85	WSW 70	WSW 64	WSW 65	WSW 57	WSW 46	WSW 44	WSW 47
19	39.5	WSW 17	WSW 16	WSW 15	WSW 24	WSW 33	WSW 39	WSW 44	WSW 50	SW 64	SW 55	WSW 53	WSW 48
20	28.2	WSW 28	NNW 28	NNW 29	NNW 30	NNW 28	NNW 23	WSW 33	WSW 34	WSW 41	WSW 31	WSW 28	WSW 21
21	39.2	WSW 29	WSW 27	WSW 25	WSW 26	WSW 23	WSW 22	WSW 20	WSW 22	WSW 24	WSW 25	SW 14	WSW 17
22	73.4	WSW 65	WSW 63	WSW 60	WSW 62	WSW 64	WSW 56	WSW 58	WSW 84	WSW 76	WSW 79	WSW 77	WSW 72
23	70.3	WSW 72	WSW 69	SW 55	W 54	W 48	W 51	WSW 43	WSW 44	WSW 50	WSW 56	WSW 46	WSW 54
24	57.7	SW 80	WNW 70	W 62	WNW 64	W 58	W 52	W 44	WSW 44	W 46	WSW 42	W 52	WSW 45
25	53.7	WNW 63	WNW 77	WNW 76	WNW 68	WNW 62	WNW 57	WSW 59	W 46	WSW 44	WSW 46	WSW 41	WSW 39
26	46.4	WSW 81	WSW 99	WSW 83	WNW 89	W 108	W 90	WSW 76	WSW 60	WSW 52	WSW 46	WSW 44	WSW 42
27	18.7	NNW 13	ENE 20	NE 24	NE 25	NE 19	NE 19	WSW 20	WSW 19	WSW 20	WSW 18	WSW 23	W 15
28	40.5	WSW 25	WSW 28	WSW 30	WSW 28	WSW 23	WSW 21	WSW 21	WSW 23	WSW 28	WSW 18	WSW 18	WSW 24

Windrichtung und Geschwindigkeit (Kilometer pro Stunde). Januar. Säntis.

Tag	12^{30}-1^{30}	1^{30}-2^{30}	2^{30}-3^{30}	3^{30}-4^{30}	4^{30}-5^{30}	5^{30}-6^{30}	6^{30}-7^{30}	7^{30}-8^{30}	8^{30}-9^{30}	9^{30}-10^{30}	10^{30}-11^{30}	11^{30}-12^{30} a.	S…
1	NE 29	NE 23	NNE 14	NNW 18	WNW 23	WSW 35	SSW 34	SSW 46	SW 52	WSW 62	WSW 68	WSW 52	684
2	WNW 4	W 2	W 4	SW 6	W 1	NW 0	NNW 4	NNW 6	NNW 8	NNW 6	NNE 7	NNE 9	415
3	NE 28	NE 34	NE 34	ENE 37	ENE 46	NE 51	NE 54	NE 52	NNE 53	NNE 51	NNE 46	NNE 53	745
4	NE 6	NE 3	NE 1	NE 6	ENE 12	SE 22	S 18	S 16	SSE 20	SSE 22	SSE 22	SSE 18	505
5	NE 8	NE 10	NNE 7	NE 9	NE 11	NE 12	NE 13	NE 16	E 15	E 11	E 12	E 19	331
6	SSW 34	SSW 45	SSW 39	SSW 35	SSW 37	SSW 35	SSW 35	SSW 34	SSW 40	SSW 34	SSW 30	SSW 26	805
7	WSW 23	WSW 20	WSW 20	WSW 5	SW 1	ESE 5	ESE 7	ESE 15	ESE 22	ESE 18	ESE 20	E 16	430
8	NE 11	NE 7	NE 4	NE 1	NE 8	NE 13	NE 16	NE 14	NE 14	NNE 10	NNE 7	NNE 3	354
9	N 13	N 23	N 25	N 17	NNE 10	NNE 14	NNE 16	NNE 22	NNE 28	NNE 24	NNE 24	NNE 21	433
10	NNE 14	N 8	NNE 14	NNE 14	NNE 16	NNE 6	NNE 7	NNE 6	NNE 5	NNE 2	NNE 4	NNE 1	350
11	SE 20	SE 12	SE 2	SE 7	ESE 6	ESE 1	ESE 2	ESE 13	ESE 15	SSE 20	SW 23	SW 23	337
12	SW 17	SW 4	SW 3	SW 6	SW 16	SW 19	SW 21	SW 12	SW 18	WNW 32	WNW 32	WNW 31	495
13	W 18	W 16	W 9	W 8	W 7	W 8	W 2	W 0	W 0	W 0	W 1	W 0	372
14	SSE 18	S 13	S 5	S 1	S 0	S 1	SSE 16	ESE 18	ENE 24	ENE 30	ENE 36	ENE 33	482
15	NE 27	NE 23	NE 15	NE 12	NNE 19	NNE 22	NNE 24	NNE 30	NE 30	NE 34	ENE 34	ENE 32	735
16	NNE 43	NNE 45	NNE 46	NNE 44	NNE 46	NE 50	NE 42	NNE 44	NNE 45	NNE 47	NE 42	NE 40	918
17	ENE 19	NE 15	NE 18	NE 21	NE 26	NE 25	NE 24	NE 24	NE 28	NE 31	NE 33	NE 34	698
18	N 28	N 21	N 19	NNE 27	NNE 14	NNE 17	NNE 20	NNE 28	NNE 20	NNE 32	NNE 34	NNE 34	652
19	NNE 46	NNE 38	NE 36	ENE 28	ENE 28	ENE 32	ENE 28	ENE 36	NE 30	NE 34	NE 34	NW 30	800
20	NNE 26	NNE 29	NNE 31	NNE 34	NE 37	ENE 39	W 40	WSW 38	NE 37	NE 37	NE 42	NE 36	750
21	E 5	NNE 2	NNE 5	NNE 3	NE 8	NE 12	ENE 14	ESE 9	ESE 9	SE 18	SSE 18	S 15	483
22	WSW 62	WSW 62	WSW 62	WSW 64	WSW 60	WSW 50	WSW 44	WSW 44	WSW 36	WSW 34	WSW 27	W 21	1087
23	ENE 17	ENE 12	ENE 18	NNE 21	NE 25	ENE 25	ENE 19	NE 5	SE 6	ESE 4	E 8	NE 7	419
24	WSW 50	WSW 48	WSW 44	WSW 44	WSW 38	WSW 32	WSW 30	WSW 30	WSW 24	W 26	NW 23	NNW 20	802
25	N 13	NNW 16	NW 21	WNW 23	WNW 24	WSW 23	WSW 25	WSW 34	WSW 36	WSW 39	WSW 38	WSW 41	557
26	WSW 54	WSW 48	WSW 48	WSW 50	WSW 44	WSW 34	SW 36	SW 26	WNW 26	WNW 25	NNW 29	NNW 30	876
27	WNW 25	WNW 26	WNW 16	WSW 19	WSW 19	WNW 20	WNW 22	WNW 24	WNW 22	WNW 22	WNW 24	W 26	542
28	WSW 44	WSW 48	WSW 36	WSW 32	WSW 25	NNW 24	NNW 19	NNW 19	N 21	NNE 22	NNE 18	NNE 24	924
29	NE 31	NE 25	NE 21	NE 25	ENE 32	ENE 24	ENE 34	ENE 38	ENE 39	ENE 37	ENE 37	ENE 38	627
30	ENE 30	ENE 21	NE 4	NE 9	NE 26	NE 28	NE 30	NE 34	NE 33	NE 31	NE 38	NE 34	791
31	NE 26	NE 16	NE 16	ENE 13	ENE 18	ENE 22	ENE 28	ENE 14	NE 29	NE 11	NE 30	NE 26	624

Februar.

1	NE 14	NE 5	NE 2	NE 4	NNE 12	NE 12	NE 18	NNE 22	NNE 22	NE 28	NE 31	NE 35	536
2	NNE 18	NNE 21	NNE 30	NNW 33	NW 30	NW 32	W 35	WSW 30	WSW 36	WSW 37	SW 44	SW 64	728
3	NE 12	NE 13	ENE 14	ENE 12	ENE 10	ENE 8	ENE 7	ENE 4	ENE 6	ENE 4	E 6	ESE 13	549
4	NE 30	ENE 11	ENE 12	NE 17	NE 26	NE 30	NE 31	NE 31	NE 40	NE 36	NE 26	NE 22	671
5	WSW 21	WSW 28	WSW 32	WSW 18	W 22	W 30	WSW 18	WSW 17	WNW 14	WNW 23	NNW 23	NNW 15	480
6	ENE 21	ENE 15	ENE 10	ENE 11	NNE 10	NNE 4	NNE 11	NNE 19	NNE 35	NNE 30	NNE 36	NNE 34	504
7	W 28	SW 28	SSE 36	WSW 42	WSW 45	WSW 49	WSW 46	W 38	WNW 30	NNW 18	NW 16	WNW 18	812
8	NW 7	NW 9	NNW 6	NW 3	NNW 9	NNW 9	WNW 12	WNW 17	WNW 20	NW 20	NW 22	NW 24	302
9	NNE 28	NE 22	NE 5	NE 6	NNE 3	NNE 7	N 23	N 27	W 25	W 22	WSW 20	WSW 24	562
10	WSW 34	WSW 59	WSW 43	WSW 42	WSW 70	WSW 64	WSW 68	WSW 62	WSW 56	WSW 52	WSW 50	WSW 52	978
11	WSW 46	WSW 44	WSW 37	WSW 45	WSW 46	WSW 40	WSW 38	WSW 36	WSW 30	WSW 27	WSW 27	WSW 22	892
12	SW 13	SW 17	SW 13	SW 14	SW 14	SW 16	SW 20	SW 16	SW 13	SW 12	SW 8	SW 13	404
13	ENE 22	ENE 20	ESE 20	ESE 22	NE 8	NE 6	NE 12	NNE 21	NNE 17	NNE 11	NE 13	NE 18	370
14	ENE 14	ENE 6	ENE 7	NE 9	NE 10	NE 10	NE 4	NE 7	NE 19	NE 18	NE 15	NE 18	415
15	WSW 21	WSW 23	WSW 30	WSW 26	WSW 33	WSW 37	WSW 36	WSW 42	WSW 44	WSW 58	WSW 45	WSW 43	743
16	WSW 41	WSW 48	WSW 47	WSW 43	WSW 45	WSW 51	WSW 70	WSW 90	WSW 76	SW 76	SSW 60	SSW 70	922
17	WSW 112	WSW 102	WSW 104	WSW 112	WSW 108	WSW 94	WSW 84	WSW 78	WSW 70	WSW 70	WSW 58	WSW 60	2248
18	WSW 45	WSW 42	WSW 36	WSW 30	WSW 25	WSW 29	WSW 32	WSW 36	WSW 32	WSW 28	WSW 23	WSW 21	1074
19	WSW 50	WSW 58	WSW 58	WSW 52	WSW 50	WSW 39	WSW 33	WSW 34	WSW 35	WSW 21	WSW 32	WSW 28	948
20	WSW 20	WSW 14	WSW 16	WSW 15	WSW 27	WSW 30	WSW 30	WSW 31	WSW 39	WSW 36	WSW 36	WSW 28	676
21	WSW 22	WSW 34	WSW 45	WSW 47	WSW 48	WSW 56	WSW 58	WSW 68	WSW 70	WSW 74	WSW 80	WSW 64	940
22	WSW 88	WSW 102	WSW 108	WSW 96	WSW 72	WSW 68	WSW 54	WSW 65	WSW 65	WSW 71	WSW 73	WSW 84	1762
23	WSW 78	WSW 86	WSW 88	WSW 78	SW 88	SW 90	SW 82	SW 90	SW 102	SW 88	SW 82	SW 94	1688
24	WSW 43	WSW 48	WSW 40	W 43	W 43	WNW 53	WNW 61	WNW 67	WNW 73	WNW 89	WNW 85	WNW 82	1386
25	WSW 46	WSW 42	WSW 40	WSW 36	WSW 36	WSW 34	WSW 40	SW 44	SW 42	SW 66	SW 90	SW 94	1288
26	WSW 52	WSW 44	WSW 27	WSW 24	WSW 24	W 19	E 11	E 14	ESE 4	SW 4	SW 7	WNW 13	1113
27	WSW 20	WSW 21	WSW 17	WSW 18	WSW 16	W 13	WSW 17	WSW 18	W 16	WSW 17	WSW 21	W 19	448
28	WSW 26	WSW 38	WSW 41	WSW 39	WSW 34	WSW 48	WSW 48	WSW 58	WSW 72	WSW 111	WSW 95	WSW 74	971

März 1911. $h_a = 6.0^m$. **Stündliche Aufzeichnungen des Anemometers.**

Tag	Mittel	0^{30}–1^{30} a	1^{30}–2^{30}	2^{30}–3^{30}	3^{30}–4^{30}	4^{30}–5^{30}	5^{30}–6^{30}	6^{30}–7^{30}	7^{30}–8^{30}	8^{30}–9^{30}	9^{30}–10^{30}	10^{30}–11^{30}	11^{30}–12^{30} p
1	33.5	WSW 68	WSW 70	WSW 56	WSW 62	WSW 58	WSW 56	WSW 54	WSW 54	WSW 50	W 33	WSW 32	WSW 37
2	39.6	W 4	WNW 5	WNW 4	WNW 6	W 14	W 14	WSW 18	WSW 25	WSW 31	WSW 46	WSW 50	WSW 56
3	12.6	SE 24	ESE 23	ESE 23	ESE 20	SE 21	SW 21	ENE 19	ESE 11	ESE 11	ESE 9	SW 8	WSW 8
4	13.6	WSW 8	WSW 9	W 6	WNW 10	WNW 10	WNW 7	WNW 8	WNW 9	WNW 13	WNW 10	W 12	W 13
5	19.3	WSW 18	WSW 20	WSW 17	WSW 32	WSW 35	WSW 49	WSW 39	WSW 40	SW 32	SW 34	WSW 26	WSW 14
6	9.2	WSW 5	SW 11	SW 6	SW 7	SW 8	SW 7	WNW 8	NW 4	NNW 4	NW 6	NW 4	NW 7
7	15.7	NE 9	NE 5	NE 6	NE 4	NE 0	NE 0	NE 12	NE 12	NE 18	NE 16	ENE 9	ENE 2
8	24.4	WSW 40	WSW 37	WSW 37	SW 34	SW 31	SW 25	WSW 25	SSW 30	SSW 25	SW 24	WSW 17	W 9
9	13.3	WSW 7	WSW 9	SW 7	SW 6	SW 8	SW 5	SW 11	SW 14	SW 10	SW 5	S 5	S 2
10	11.2	WSW 12	W 12	W 10	W 10	W 7	W 5	WSW 4	WSW 6	WSW 8	SW 12	SW 16	WSW 17
11	24.0	SSW 18	SW 14	SW 11	SW 11	SW 14	W 22	WSW 28	WSW 30	WSW 26	WSW 25	WSW 33	WSW 16
12	22.6	WNW 21	WNW 19	WNW 20	WNW 16	WNW 14	WNW 18	WNW 19	WNW 15	WNW 14	WNW 13	WNW 23	W 30
13	47.3	SW 13	SW 16	SW 16	SSW 14	SSW 22	SSW 26	SW 34	SW 42	WSW 56	W 64	WSW 61	WSW 43
14	19.5	SSW 22	SSW 25	SW 25	SW 22	SW 26	SW 24	WSW 34	WSW 36	WSW 30	WSW 22	WSW 18	WSW 14
15	18.6	WNW 13	WNW 14	NW 12	WNW 6	WNW 8	NW 6	NW 9	NW 15	WNW 17	WNW 16	W 28	WSW 33
16	18.3	SW 14	SW 13	SW 16	SW 14	SW 21	WSW 26	WSW 22	SW 18	SW 14	SW 13	SW 19	SW 20
17	22.2	WSW 30	WSW 27	WSW 35	WSW 28	WSW 21	WSW 31	WSW 28	WSW 26	WSW 26	W 18	WSW 17	SW 13
18	28.3	WSW 18	W 24	W 26	W 30	WNW 38	W 32	W 30	SW 23	SW 18	SW 17	SW 10	SW 14
19	15.1	WSW 22	SW 21	WSW 18	SW 19	NW 10	NW 6	NE 8	NE 11	ENE 15	ENE 15	ESE 11	ENE 12
20	28.7	NNE 23	NNE 40	NNW 23	NNW 26	NNW 23	NNW 21	SSW 22	SSW 17	SSW 21	SSW 22	SSW 20	SSW 16
21	24.1	SW 29	SW 30	SW 28	SW 24	SSW 25	SW 23	SSW 20	SSW 18	SSW 13	SW 17	SSW 28	SSW 18
22	16.3	SSW 28	SSW 27	SSW 23	SSW 25	SSW 27	SSW 21	SSW 16	SSW 15	SSW 25	SSW 22	SSW 15	SSW 14
23	3.9	S 18	SSW 11	SSW 11	SSW 10	SSW 5	SSW 0	SW 2	SW 8	SW 0	SSW 0	SSW 0	SSW 0
24	12.4	SW 15	SW 18	W 18	NW 18	NW 18	NW 24	NW 25	NW 25	NW 18	NW 4	WSW 6	WSW 8
25	14.0	WNW 14	WSW 21	W 21	W 22	WSW 32	WSW 32	WSW 27	WSW 41	WSW 20	WSW 16	WSW 9	SW 4
26	18.7	NE 8	ENE 4	NW 1	S 4	S 3	E 8	E 9	S 14	SE 12	NE 15	S 11	ESE 18
27	46.2	SSW 26	SSW 34	SSW 36	SSW 34	SSW 42	SSW 46	SSW 54	S 60	S 38	SSW 50	SSW 54	SSW 48
28	48.9	E 70	S 66	SW 68	W 74	WNW 68	SE 51	SSE 43	SSE 62	SSW 66	SSW 58	SE 50	SE 44
29	38.7	NNW 32	WNW 50	W 40	S 48	S 52	S 58	S 49	S 41	S 40	E 42	SE 38	WSW 36
30	27.5	ENE 54	ENE 54	E 26	ESE 34	ESE 34	SE 34	SSE 28	SSW 36	SSW 30	SSW 20	SSW 28	SSW 34
31	18.8	S 13	S 22	SSW 24	SSW 16	SSW 4	SSW 6	E 16	E 15	SE 13	SSE 23	SW 23	SW 26

April.

1	6.2	WSW 18	WSW 16	WSW 16	W 3	W 1	W 6	WSW 7	SW 7	SW 4	SW 10	SW 6	SW 7
2	2.7	S 2	S 4	SSW 6	SW 5	WSW 2	WSW 1	WSW 0	SW 3	S 3	S 2	S 1	S 2
3	10.8	E 2	E 1	N 14	N 15	NNW 15	NNW 15	WNW 12	WNW 11	WNW 12	WNW 12	WNW 10	WNW 7
4	9.9	E 0	ENE 5	NE 4	NE 4	NE 6	ENE 6	NE 21	NE 20	NNE 18	NNE 14	NNE 9	NNE 11
5	17.1	E 3	SE 8	SE 6	SE 5	SE 8	SE 7	SW 7	SSW 14	SSW 24	SE 22	S 22	E 36
6	10.9	WSW 12	WSW 9	WSW 10	WSW 10	WSW 10	WSW 10	SE 11	SSE 12	SSE 7	ESE 10	ESE 10	SE 8
7	12.0	SW 11	SW 12	SW 8	SW 12	SW 12	SW 8	E 8	E 4	ESE 6	ESE 13	ESE 11	SSE 16
8	5.0	SE 20	SE 24	SE 14	SE 3	SE 3	SE 1	E 5	E 4	E 1	E 7	NE 7	NNE 0
9	6.2	NW 5	NW 5	NW 5	NW 5	NW 5	NW 5	NE 5	NE 18	NE 15	NE 15	NE 3	NE 0
10	25.3	ENE 5	ENE 0	ENE 0	ENE 0	SSE 14	SSE 15	SSE 20	SSE 22	SSW 34	SW 36	SW 38	WSW 38
11	7.6	SSE 17	SSE 17	SSE 9	SSE 6	SSE 14	SSE 13	SSW 12	SE 6	SE 7	NE 1	NE 0	NE 6
12	24.3	NW 7	NW 13	NW 10	NW 13	NW 14	NW 17	NNW 17	NNE 13	N 4	N 2	W 9	WNW 10
13	16.9	SW 44	S 29	S 28	SW 16	WSW 15	SW 17	W 9	WNW 11	NW 12	NW 14	NW 13	NW 9
14	14.9	NE 12	NE 10	NE 9	NNE 13	NNE 10	NNE 10	NE 8	NE 11	NE 15	ENE 13	ENE 12	NE 12
15	20.8	NNE 26	NNW 26	NNW 30	NW 27	NW 21	NW 16	NW 16	NW 18	NW 20	NW 22	W 12	WNW 22
16	44.6	SW 36	SW 40	WSW 56	WSW 50	WSW 53	WSW 57	WSW 50	WSW 44	WSW 48	WSW 52	WSW 50	SW 46
17	23.3	SW 22	SSW 14	SW 10	WSW 22	WSW 32	WSW 42	WSW 42	WSW 32	WSW 42	WSW 38	WSW 28	WSW 16
18	15.8	SW 12	SSW 9	S 9	SSE 2	SSE 4	SE 9	NE 11	ENE 6	ENE 6	E 5	ESE 9	ESE 21
19	27.2	SSE 21	SSE 24	S 29	S 30	S 21	SSW 23	SSE 19	SSE 20	SSE 39	S 24	SSE 24	SSE 21
20	13.0	SSW 24	SSE 18	SE 31	E 24	E 18	ENE 15	ENE 14	NE 4	ENE 9	ENE 7	NNE 1	NNE 0
21	18.9	NNE 18	NNE 15	NNE 13	NNE 12	ENE 9	ENE 14	ENE 21	NE 35	NE 28	NNE 31	NNE 51	NNE 30
22	15.9	NNE 26	NNE 28	NE 26	NW 26	NW 28	NW 26	NE 22	NE 22	NE 24	ENE 18	ENE 17	SE 9
23	18.1	SSE 10	S 12	SSW 8	SW 14	SSW 23	SW 24	SW 31	SW 33	WSW 23	WSW 26	WSW 18	W 14
24	10.8	WNW 15	W 17	WNW 22	WNW 21	WNW 19	WNW 10	WNW 12	WNW 24	WNW 18	WNW 3	W 1	WSW 0
25	22.8	SW 18	SW 15	SW 14	SSW 11	SSW 11	WSW 15	WSW 18	WSW 20	W 21	WSW 17	WSW 22	SW 22
26	29.6	WSW 33	WSW 25	WSW 20	W 19	W 15	W 14	WSW 10	W 19	WSW 29	WSW 34	W 48	WSW 23
27	26.9	WSW 25	SW 24	SW 17	SW 20	SW 22	SW 16	SW 26	WSW 24	WSW 22	WSW 19	WSW 25	WSW 34
28	35.8	WSW 32	WSW 28	WSW 28	SW 36	SW 28	SW 30	WSW 48	WSW 52	WSW 42	WSW 46	WSW 42	SSW 33
29	31.7	WSW 19	WSW 19	WSW 20	WSW 26	WSW 24	WSW 26	WSW 33	WSW 43	WSW 36	WSW 34	SW 16	SW 22
30	20.5	W 18	WNW 14	WNW 10	WNW 9	WNW 14	WNW 17	W 22	WSW 31	WSW 25	WSW 24	WSW 23	WSW 20

Windrichtung und Geschwindigkeit (Kilometer pro Stunde). März. Säntis.

Tag	12³⁰ p–1³⁰	1³⁰–2³⁰	2³⁰–3³⁰	3³⁰–4³⁰	4³⁰–5³⁰	5³⁰–6³⁰	6³⁰–7³⁰	7³⁰–8³⁰	8³⁰–9³⁰	9³⁰–10³⁰	10³⁰–11³⁰	11³⁰–12³⁰a	Summe
1	WSW 35	WSW 35	WSW 30	WSW 25	WNW 6	WNW 11	WNW 8	WNW 5	WNW 4	WNW 5	WNW 5	WNW 5	84
2	WSW 68	WSW 70	WSW 76	WSW 68	WSW 62	WSW 56	WSW 50	WSW 45	WSW 59	SW 46	S 38	SE 40	951
3	W 11	W 11	WSW 7	W 5	W 7	W 5	W 6	WSW 8	WSW 11	WSW 9	WSW 10	WSW 14	302
4	WSW 12	SW 12	SW 9	SW 13	SW 22	SW 19	WSW 18	WSW 20	SW 20	SW 23	WSW 23	WSW 20	326
5	SW 20	WSW 24	WSW 16	WSW 15	WSW 6	WSW 7	WSW 4	WSW 5	WSW 3	SW 2	SW 3	WSW 3	464
6	NW 4	NW 2	NW 9	NW 13	NW 12	N 12	N 10	N 16	NE 18	NE 18	NE 16	NE 14	221
7	E 6	E 6	ESE 11	SE 12	SSE 11	SSE 15	SSW 28	SSW 32	SSW 40	SSW 38	SSW 44	SW 40	370
8	WNW 14	W 18	W 28	W 38	W 38	WSW 32	WSW 28	W 20	W 11	W 9	W 5	WSW 10	585
9	SSE 12	SW 12	SW 12	SW 10	SW 18	SSW 16	SW 19	SW 21	SW 19	WSW 43	W 27	W 21	319
10	SW 15	SW 15	WSW 15	SW 12	SW 12	SW 13	SW 9	SSW 9	SW 12	SSW 10	SSW 13	SSW 16	270
11	WSW 26	WSW 26	WSW 28	SW 22	WSW 32	W 30	W 26	WNW 29	WNW 27	WNW 30	WNW 29	WNW 23	570
12	WSW 36	WSW 38	WSW 32	WSW 34	WSW 30	WSW 26	WSW 22	WSW 24	WSW 24	WSW 23	WSW 17	SW 15	543
13	WSW 56	WSW 46	WSW 36	WNW 100	W 98	SW 100	SW 91	WSW 67	WSW 52	SW 36	SW 23	SW 23	1135
14	WSW 14	WSW 10	WSW 12	WSW 8	W 2	WNW 15	WNW 22	WNW 22	WNW 21	WNW 13	WNW 15	WNW 15	417
15	WSW 28	WSW 26	WSW 19	W 16	WSW 31	WSW 30	WSW 22	WSW 24	WSW 20	WSW 20	SW 16	WSW 18	447
16	WSW 22	WSW 18	WSW 16	WSW 14	SW 13	SW 6	W 19	WSW 16	WSW 20	WSW 22	WSW 26	WSW 38	440
17	WSW 15	WSW 15	WSW 12	SW 13	SW 13	SSW 18	S 27	SW 27	SW 26	SSW 22	SSW 24	SW 20	532
18	WSW 38	WSW 50	W 43	W 43	WSW 44	WSW 27	WSW 25	WSW 26	WSW 24	WSW 24	WSW 26	SW 28	678
19	ENE 10	ENE 5	E 15	ESE 22	ESE 20	ESE 14	SW 16	WNW 15	NW 17	NW 10	NNW 22	NNE 28	362
20	SSW 17	SSW 16	SSW 21	SSE 24	SE 32	SSW 34	SSW 40	SSW 42	SSW 44	SSW 42	SSW 62	SSW 41	689
21	SSW 20	SSW 20	SSW 23	SSW 19	SSW 18	SSW 20	SSW 26	SSW 30	SSW 38	SSW 36	SSW 32	SSW 24	579
22	SSW 13	SSW 16	SSW 13	SSW 10	SW 6	S 3	SSW 11	SSE 11	SSE 16	SSE 9	ESE 10	E 16	392
23	S 2	SSW 0	SSW 2	SW 1	SW 0	SW 0	SW 0	SW 1	SW 4	SW 2	SW 5	SW 11	93
24	WSW 5	WSW 4	WSW 4	W 2	W 0	WNW 1	WNW 5	WNW 9	W 10	W 16	WNW 25	WNW 19	297
25	SW 4	SW 4	WSW 3	WSW 9	SW 4	SW 7	WSW 7	NW 9	NNW 7	NNW 9	NNE 8	NNE 7	337
26	SSW 34	SSW 28	SSW 20	SW 34	WSW 38	WSW 40	WSW 36	SW 26	SW 17	S 21	SSW 24	SSW 24	449
27	SSW 66	SSW 74	SSW 50	SSW 52	SSE 20	SSE 26	S 38	SW 36	WSW 50	ENE 54	ENE 58	ENE 62	1108
28	SSW 39	S 35	S 36	S 33	E 35	S 36	S 34	S 38	NW 44	NW 44	NNW 42	NNW 38	1174
29	SSW 24	SSE 24	ESE 26	SSE 22	SSE 19	SSW 27	WNW 35	WNW 42	WNW 42	WNW 51	S 46	S 44	928
30	SSW 36	SSE 32	SSW 24	SSW 20	SSE 14	SE 18	SE 18	SE 14	SE 15	S 25	SSW 18	SSW 15	661
31	WSW 27	SW 21	SW 17	SW 17	SW 22	SW 18	WSW 20	WSW 26	WSW 22	WSW 24	WSW 18	SW 18	451

April.

Tag	12³⁰ p–1³⁰	1³⁰–2³⁰	2³⁰–3³⁰	3³⁰–4³⁰	4³⁰–5³⁰	5³⁰–6³⁰	6³⁰–7³⁰	7³⁰–8³⁰	8³⁰–9³⁰	9³⁰–10³⁰	10³⁰–11³⁰	11³⁰–12³⁰a	Summe
1	ESE 5	SE 8	SE 5	SE 3	SW 2	SW 9	SW 1	SW 1	SW 4	SW 0	SW 3	S 6	148
2	S 3	S 3	S 7	SSW 4	SSW 3	SSW 2	SSW 0	SE 3	NE 2	NE 3	ENE 1	E 4	66
3	W 17	W 16	W 24	W 16	W 16	W 6	WNW 12	NW 11	WNW 5	NW 4	ENE 3	E 2	258
4	NNE 11	NNE 10	NNE 10	NNE 9	NNE 12	NNE 11	NNE 10	NNE 10	NNE 8	NNE 8	ENE 10	ENE 10	237
5	E 30	NE 16	WNW 24	WNW 22	W 26	S 24	SW 28	SW 25	SE 15	S 14	S 10	WSW 15	411
6	SW 7	SW 13	SW 12	SW 12	SW 12	SW 18	SW 18	SW 16	SW 13	SW 8	SW 7	SW 7	262
7	SSE 16	SSE 18	SE 16	SE 17	SE 13	SE 12	SE 17	SE 15	SE 10	SE 9	SE 12	SE 13	289
8	NNE 4	NNE 2	NNE 0	NW 0	NW 0	NW 0	NW 0	NW 5	NW 5	NW 5	NW 5	NW 5	120
9	NE 1	NE 4	ENE 1	NNE 0	NE 0	NE 0	NE 0	NE 0	ENE 13	ENE 13	ENE 20	ENE 12	150
10	WSW 36	SW 38	SW 42	WSW 44	WSW 42	WSW 37	WSW 34	WSW 31	WSW 22	WSW 24	SW 16	SSW 19	607
11	NW 9	WSW 11	SSW 5	S 6	S 2	N 0	N 1	NW 13	NW 16	NW 11	NW 0	NW 0	182
12	SW 14	SW 18	WNW 26	WSW 28	WSW 30	WSW 44	WSW 52	WSW 46	WSW 54	WSW 68	WSW 44	S 30	583
13	WNW 5	NNW 15	NNW 15	NW 11	NNE 11	NNE 20	NNE 18	NNE 28	NNE 16	NNE 20	NE 18	NE 12	406
14	ENE 19	ENE 16	NE 14	NNE 1	NE 7	NE 3	NE 3	ENE 32	NE 34	NE 30	NNE 34	NNE 30	358
15	WSW 16	WSW 15	WNW 18	NW 14	NW 15	NW 20	NW 23	W 17	W 16	WSW 26	WSW 32	WSW 32	500
16	SW 42	SSW 38	SW 44	SW 42	WSW 42	SW 42	SW 38	SW 39	SW 45	WSW 48	SW 38	SW 32	1079
17	SSW 7	SSW 15	SSW 19	SSW 17	SW 15	SW 17	SW 19	SW 19	WSW 26	WSW 24	WSW 22	WSW 19	559
18	SSE 22	SE 13	S 21	S 24	S 26	S 35	S 28	SE 25	SSE 22	SSE 13	SSE 26	S 20	378
19	SE 41	S 68	S 33	SSE 25	S 26	SSE 22	S 32	SSW 28	SSW 30	SSW 26	SSW 28	SSW 20	654
20	NNE 0	NNE 3	NNE 5	NNE 7	NNE 16	NNW 15	NNW 15	NNW 19	NNE 18	NNE 17	NNE 17	NNE 16	313
21	NE 28	NNE 18	NNE 12	NE 4	NE 5	NNE 9	NNE 10	NNE 9	NNE 15	NNE 17	NNE 26	NNE 24	454
22	SE 8	ESE 11	SE 3	SE 9	ESE 5	ESE 2	ESE 3	E 1	SE 9	SE 25	SE 18	SE 15	381
23	W 9	W 10	WSW 13	WSW 15	WSW 20	WSW 20	WSW 20	WNW 16	WNW 21	WNW 25	WNW 15	WNW 15	435
24	WSW 1	WSW 7	WSW 12	WSW 9	W 9	WNW 14	W 13	W 13	WSW 6	W 2	W 4	WSW 8	260
25	SW 11	SW 17	SW 20	SW 25	WSW 25	WSW 36	WSW 39	WSW 37	WSW 30	WSW 40	WSW 30	WSW 34	548
26	WSW 19	WSW 22	WSW 26	WSW 36	WSW 36	WSW 52	WSW 52	SW 50	WSW 34	WSW 38	WSW 32	WSW 24	710
27	WSW 40	WSW 38	WSW 32	WSW 30	WSW 24	WSW 28	WSW 30	WSW 33	WSW 33	WSW 24	WSW 32	WSW 28	646
28	WSW 35	WSW 38	WSW 30	W 30	W 50	WSW 43	WSW 39	WSW 40	WSW 34	WSW 30	WSW 24	WSW 22	860
29	WNW 34	W 44	WNW 50	W 54	WSW 49	WSW 45	WSW 36	W 37	W 31	W 27	W 19	W 16	760
30	WSW 15	SW 13	SW 12	WSW 15	WNW 15	WSW 21	W 18	WNW 17	WNW 23	WNW 68	WNW 26	WNW 22	402

Mai 1911. $h_a = 6.0^m$. **Stündliche Aufzeichnungen des Anemometers.**

Tag	Mittel	0^{30}–1^{30} a	1^{30}–2^{30}	2^{30}–3^{30}	3^{30}–4^{30}	4^{30}–5^{30}	5^{30}–6^{30}	6^{30}–7^{30}	7^{30}–8^{30}	8^{30}–9^{30}	9^{30}–10^{30}	10^{30}–11^{30}	11^{30}–12^{30} p
1	14.2	WSW 26	W 24	W 18	WSW 19	WSW 17	WSW 8	WSW 8	WSW 16	W 16	W 16	W 19	WNW 17
2	3.7	W 9	W 8	W 9	W 11	W 5	W 5	WSW 3	WSW 0	WSW 0	WSW 0	S 3	ENE 2
3	14.5	SE 2	SE 6	SE 10	SE 11	SE 18	SE 38	WNW 40	W 48	W 28	W 18	NW 8	NW 1
4	6.7	NW 18	NW 18	NW 19	NW 15	NW 8	NW 4	WNW 0	WNW 0	WNW 0	WNW 2	WNW 1	WSW 9
5	8.0	NE 9	NE 6	NE 2	NE 6	NE 12	NE 10	NE 15	NE 18	NE 12	NE 9	NE 5	NE 0
6	7.2	NW 12	NNW 13	NNW 15	NNW 15	N 12	N 12	NE 6	NNW 7	NW 10	NE 9	NE 2	NE 0
7	12.4	W 13	W 13	W 10	W 9	W 10	W 2	W 0	W 13	W 14	NNE 14	NNE 14	NNE 13
8	11.7	NE 7	ENE 4	ENE 2	ENE 0	ENE 1	NE 10	NE 9	ENE 8	E 14	ENE 10	ENE 16	WNW 14
9	12.0	NW 17	NW 17	NW 15	NW 11	NW 12	NW 11	SSE 11	SSE 15	SE 13	SSE 19	S 20	S 14
10	23.4	WSW 13	S 14	S 19	S 19	S 20	WSW 26	SW 24	WSW 20	SW 20	SW 18	WSW 18	WSW 18
11	20.8	WSW 30	WSW 25	WSW 27	WSW 23	WSW 27	WSW 28	WNW 20	WNW 18	WNW 18	WSW 28	WSW 34	WSW 22
12	14.3	SW 11	SW 12	SW 14	SW 9	SW 14	SW 12	SW 10	SW 12	SW 2	SSE 8	SSW 14	SSW 12
13	24.8	SW 19	SW 16	SW 21	SW 14	SW 5	S 8	SSW 16	SSE 20	SSE 13	SE 15	SE 32	ESE 26
14	18.2	SW 16	SW 16	SW 14	SSW 18	SSW 11	SE 14	SSE 19	ESE 27	SSW 24	S 21	S 22	SSE 18
15	13.2	SSW 12	S 10	SW 12	SSW 10	SW 18	SW 15	SW 13	SW 10	SSE 6	SSE 9	SSE 2	SSE 7
16	18.0	SE 26	ESE 26	SSW 26	SSW 14	SW 15	SSW 17	SSW 25	SSW 19	S 17	S 13	SSW 23	SSW 13
17	13.6	SSW 25	SSW 19	SSW 17	SSW 17	SSW 17	S 14	SE 20	SE 22	SE 20	SE 20	SE 11	SE 12
18	17.8	NNE 14	NNE 18	NE 11	NE 9	NNE 12	NNE 14	NE 18	NE 12	NE 13	NE 13	NE 13	NE 13
19	10.4	SSW 24	S 24	SSE 22	S 28	S 24	S 23	NE 23	NNE 16	NNE 8	NNW 7	NNE 3	NE 6
20	7.7	NW 0	NW 0	NW 0	NW 0	ENE 1	ENE 5	ENE 4	NE 4	NE 8	NE 8	NE 9	NE 7
21	9.7	NE 12	NE 13	NE 13	NE 13	NE 13	NE 12	NE 12	NE 19	NE 11	NE 7	NE 8	NE 8
22	19.6	W 22	W 20	W 22	W 23	W 18	W 16	WSW 16	WSW 31	WSW 28	WSW 26	WSW 27	WSW 21
23	17.8	W 21	W 23	W 22	W 20	W 22	W 20	WSW 12	SW 8	SW 7	WSW 6	WSW 20	WSW 15
24	20.5	SW 14	SW 15	SSW 20	SSW 28	SSW 26	SW 24	WSW 17	SW 27	S 18	S 16	WSW 17	WSW 9
25	18.2	W 29	NW 21	NNW 16	NW 20	NW 18	NNW 16	NNW 22	NNW 20	NW 14	NW 9	NW 8	NW 13
26	22.6	NW 22	NW 24	NW 22	NW 20	NW 17	WNW 19	WNW 23	WNW 19	WNW 22	WNW 20	WNW 21	W 43
27	26.0	WSW 33	W 27	WNW 26	W 28	W 27	W 33	W 26	W 31	WSW 19	WNW 20	W 28	WSW 24
28	13.0	WSW 25	WSW 23	WSW 22	WSW 22	SW 25	SW 23	WSW 18	WSW 21	WSW 10	WSW 14	WSW 10	WSW 16
29	12.8	SSW 16	SSW 16	SSW 15	SW 19	SW 13	SSW 11	SSE 9	S 16	S 15	SE 11	S 23	SSW 14
30	6.5	SE 12	SE 6	SSE 13	SE 5	E 11	ESE 1	ESE 0	SE 2	SE 5	SE 0	SE 0	SE 0
31	13.8	SE 15	SE 15	NE 16	NE 16	NE 21	NE 23	NE 22	NE 20	NE 9	NE 5	SW 6	NNE 18

Juni.

Tag	Mittel	0^{30}–1^{30} a	1^{30}–2^{30}	2^{30}–3^{30}	3^{30}–4^{30}	4^{30}–5^{30}	5^{30}–6^{30}	6^{30}–7^{30}	7^{30}–8^{30}	8^{30}–9^{30}	9^{30}–10^{30}	10^{30}–11^{30}	11^{30}–12^{30} p
1	6.7	NE 6	NE 5	NE 6	NE 12	ENE 17	ENE 12	ENE 14	ENE 23	ENE 10	E 8	E 3	ESE 2
2	12.8	SW 20	SW 20	SW 22	WSW 14	W 19	W 15	W 10	W 2	W 1	SE 6	SE 7	SSE 10
3	7.5	SW 15	SSW 24	SSW 21	S 13	SW 16	SW 7	SW 1	SW 1	SSE 3	S 4	S 4	S 1
4	11.5	S 8	SW 16	WSW 10	WNW 7	WNW 6	WNW 7	WNW 16	W 16	W 3	W 4	W 6	NNW 8
5	22.4	WSW 26	WSW 28	WSW 24	WSW 28	WSW 22	WSW 18	WSW 16	W 14	WSW 16	WSW 22	WSW 26	WSW 28
6	19.8	NE 19	NE 20	ENE 24	NE 23	NNE 21	NE 22	NE 25	NE 28	NE 17	NNE 16	NE 20	NE 14
7	13.2	E 18	NNW 21	NNW 27	NNW 26	E 28	NE 27	NNE 25	NE 15	ENE 9	E 5	E 1	SE 5
8	9.0	W 21	W 21	W 20	WNW 26	NW 17	NE 13	NE 12	ENE 9	NE 7	NE 3	SE 2	S 3
9	33.3	W 20	W 18	W 18	W 20	WSW 38	WSW 29	WSW 25	WSW 24	WSW 27	WSW 37	WSW 34	WSW 37
10	21.6	WSW 38	WSW 36	WSW 34	WSW 40	WSW 32	WSW 23	WSW 23	WSW 24	WSW 20	WSW 20	SW 14	SW 12
11	19.5	NW 16	WNW 10	W 14	W 16	W 16	W 14	W 14	W 20	WSW 26	WSW 18	WSW 20	WSW 24
12	15.2	SW 22	SW 27	SW 25	SW 30	SW 22	SW 14	SW 10	SW 4	SW 10	SW 15	WSW 19	WSW 11
13	20.4	SW 24	SW 25	SW 23	SW 27	SW 25	SW 22	WSW 24	SW 17	SW 3	S 13	SSW 23	SSW 18
14	25.0	NNW 18	NW 20	NW 21	NW 19	NW 20	NW 20	WSW 19	WSW 19	WSW 18	WSW 22	WSW 12	WSW 22
15	27.3	WSW 24	WSW 22	WSW 20	WSW 19	WSW 17	WSW 15	WSW 29	WSW 30	WSW 36	WSW 27	WSW 39	WSW 28
16	26.2	WSW 13	WSW 11	SW 9	SW 6	SW 1	SE 8	NE 20	NNE 26	NE 6	NE 0	ENE 14	SSW 22
17	43.0	WSW 50	WSW 48	WSW 50	WSW 50	WSW 52	WSW 45	WSW 47	WSW 58	WSW 35	WSW 37	WSW 32	WSW 34
18	36.1	WSW 36	SW 26	SW 20	SW 5	SW 4	SSW 15	SSW 26	SW 41	WSW 33	SW 31	WSW 28	S 11
19	46.9	SSW 44	SSW 35	SSW 38	SSW 23	SSW 30	SSW 42	SW 29	S 38	S 39	SSW 48	SSW 62	SSW 32
20	30.1	W 39	W 41	W 37	W 37	WNW 30	WNW 20	W 22	WNW 30	W 24	WNW 38	W 56	WSW 40
21	11.5	WSW 18	WSW 16	WSW 18	W 13	W 11	W 9	WSW 3	WSW 8	SW 9	WSW 10	WSW 13	WSW 18
22	8.7	SW 12	SSE 14	S 10	S 7	SW 13	SW 17	SW 18	SW 18	SW 8	SW 7	SW 9	SW 8
23	16.1	SW 10	SW 11	SW 15	SW 19	WSW 20	WSW 21	SW 17	SW 3	SSE 6	S 2	SSE 3	SSE 6
24	32.3	SSW 26	SSW 30	S 30	S 31	SSW 37	SSW 38	SSW 32	SSW 40	SSW 32	SSW 30	SSW 23	SSW 31
25	31.3	SSW 38	SW 36	SW 44	SW 46	SW 44	SW 41	SW 33	SSW 38	SSW 48	SW 50	SW 50	SSW 24
26	11.6	W 18	WSW 18	WSW 13	WSW 7	SW 3	SW 3	WSW 3	WSW 9	WSW 3	WSW 1	WSW 1	SW 3
27	19.5	WSW 9	W 13	WSW 18	W 17	W 26	W 22	W 24	WSW 32	WSW 27	W 27	WSW 31	WSW 31
28	24.4	W 10	W 11	W 9	W 5	W 5	W 7	W 11	WSW 18	SW 2	SW 8	WSW 17	SW 25
29	38.0	WSW 35	WSW 42	WSW 40	WSW 42	WSW 46	WSW 40	WSW 39	WSW 53	WSW 44	WSW 42	WSW 50	WSW 42
30	46.7	WSW 36	WSW 32	WSW 36	WSW 38	WSW 43	WSW 43	WSW 46	WSW 67	WSW 43	WSW 40	WSW 43	WSW 25

Windrichtung und Geschwindigkeit (Kilometer pro Stunde). Mai. Säntis.

Tag	12^{30} p-1^{30}		1^{30}–2^{30}		2^{30}–3^{30}		3^{30}–4^{30}		4^{30}–5^{30}		5^{30}–6^{30}		6^{30}–7^{30}		7^{30}–8^{30}		8^{30}–9^{30}		9^{30}–10^{30}		10^{30}–11^{30}		11^{30}–12^{30}		S
1	WNW	18	W	0	WNW	15	NW	7	W	4	WSW	7	W	16	W	16	W	14	W	16	W	11	W	4	341
2	ESE	5	E	2	E	2	E	4	ENE	7	NE	9	NE	4	NE	0	SE	0	SE	0	SE	0	SE	0	88
3	WNW	2	NW	0	NW	7	NW	16	WNW	17	NW	13	NW	11	NW	12	NW	8	NW	9	NW	7	NW	17	347
4	SW	7	SW	11	SW	14	SW	7	SW	1	NW	2	W	0	WNW	2	N	2	N	1	N	7	NE	12	160
5	NE	0	NE	0	NNW	10	NW	12	NW	12	NW	9	NW	11	NW	3	W	5	W	9	W	7	W	9	191
6	NE	1	NE	2	NNE	10	NNW	7	NNW	2	NW	0	WSW	0	WSW	0	W	10	W	2	W	12	W	13	172
7	NNE	5	NNE	13	NNE	20	NNE	20	NNE	24	NNE	18	NNE	14	NNE	15	NE	16	NE	11	NE	9	NE	8	298
8	NE	18	ENE	16	NE	13	NE	8	NE	9	NE	12	NW	20	NW	23	NNW	15	NE	18	NW	16	NW	17	280
9	S	9	SSW	7	SSW	13	E	6	E	4	ESE	3	SE	8	SSE	18	WSW	6	W	12	W	14	W	13	288
10	WSW	16	WSW	20	W	20	W	26	WSW	30	WNW	22	W	44	W	36	WSW	30	WSW	30	WSW	33	WSW	25	561
11	WSW	22	WSW	20	WSW	17	WSW	17	SW	9	SSW	11	SSE	14	SSE	12	SSW	18	SSW	20	SW	19	SW	21	500
12	SSW	12	SSW	18	SSW	17	SSW	15	SSW	20	SSW	10	SSW	18	SSW	21	SSW	18	SSW	21	SSW	22	SSW	21	343
13	SSE	24	SSW	26	SSW	38	SSE	30	SE	22	SSE	28	SSE	36	SSE	42	SSW	41	SSW	45	WSW	30	WSW	28	595
14	SSE	18	SSE	19	S	25	SSW	26	SSW	26	SSW	22	SSE	20	SSE	16	SE	11	SE	15	SSE	9	S	11	438
15	SSW	14	SSW	15	SSW	15	SSW	18	SSW	11	SSW	11	SE	8	ESE	10	SSE	16	SSE	19	SE	27	SE	28	316
16	SSW	14	WSW	15	SW	12	SW	15	SW	16	SW	12	SW	14	SSW	20	SW	17	SSW	21	SSE	18	S	23	431
17	SE	13	ESE	7	ESE	8	SE	7	SSE	10	ESE	14	ESE	14	ESE	11	ESE	5	NNE	7	NE	7	NE	10	327
18	NNE	16	NNE	14	NNE	18	NNE	20	NNE	22	NNE	26	NE	24	NE	20	NE	30	NW	27	W	25	WSW	24	426
19	NE	4	NNE	6	NNW	6	NNW	3	NNW	4	NNE	2	NE	1	NE	0	NNE	2	NNW	6	NNW	7	NW	1	250
20	ENE	7	NE	6	NE	9	NE	8	NE	8	NE	10	ENE	12	NE	14	NE	12	NE	10	NE	16	NE	16	184
21	NE	6	NE	2	SE	8	SE	7	SSE	3	S	1	ESE	9	NW	8	W	8	W	8	W	9	W	22	232
22	WSW	18	WSW	21	WNW	19	W	14	WNW	14	NW	13	WNW	14	NNW	19	W	16	W	20	W	15	W	17	470
23	WSW	18	SW	26	SW	17	SW	23	WSW	17	WSW	21	WSW	20	SW	18	WSW	22	WSW	18	WSW	16	SW	15	427
24	WSW	12	WSW	14	WSW	20	WNW	12	WNW	20	WNW	22	WNW	24	WNW	34	WNW	30	WNW	23	WNW	20	WNW	29	491
25	NW	11	WSW	17	WNW	16	NW	23	WNW	15	WNW	24	NW	20	NNW	18	NNW	24	NW	22	NW	22	NW	20	438
26	W	22	W	20	WNW	22	WNW	23	WNW	27	NW	24	NW	18	WNW	14	WNW	18	WSW	22	WSW	30	WSW	30	542
27	WSW	36	WSW	22	WSW	25	WSW	21	WSW	38	W	22	WSW	22	WNW	14	WNW	16	SW	27	WSW	31	WSW	27	623
28	SW	10	SW	12	SW	8	SW	6	SW	5	SW	1	SW	1	SW	0	SW	2	S	9	SSW	14	SSW	16	313
29	SSW	12	S	9	SSE	13	SSW	12	SSW	13	SSE	3	SSE	10	S	6	SSE	9	SSE	12	SSE	15	SE	16	308
30	SE	1	SE	1	SE	3	SSE	6	SSE	10	SE	11	SE	11	SE	10	SE	11	SE	11	SE	12	SE	14	156
31	NNE	14	NNE	11	NNE	7	NNE	8	NE	16	NNE	20	NNE	11	NNE	8	ENE	15	NE	17	NE	9	NE	8	330

Juni.

1	SE	2	SE	8	SE	3	SE	3	SE	0	SE	1	SE	0	SE	0	SE	3	SE	1	SE	5	SW	16	103
2	SSW	9	SSW	11	SSE	10	ESE	10	NW	32	NW	30	NW	8	WSW	6	SSW	13	SSW	17	SW	12	SW	3	307
3	SSE	1	SSW	11	SSW	11	SSW	9	SSW	9	S	2	ESE	7	E	4	SE	9	SSE	3	S	0	S	3	179
4	NW	4	WNW	9	W	10	W	12	NW	20	NW	9	WNW	9	W	6	W	18	WSW	22	WSW	23	WSW	27	276
5	WSW	31	WSW	24	WSW	19	WSW	20	NW	22	NNW	22	NNE	22	NNE	18	NNE	24	NNE	29	NNE	19	ENE	19	537
6	NE	16	NNE	14	NNE	11	NNE	14	NNE	18	NNE	16	NNE	17	NNE	22	NNE	30	NNE	28	NE	24	ENE	16	475
7	SSE	7	SSE	2	SW	1	SSW	3	SW	2	WSW	3	W	9	W	16	W	14	W	17	W	17	W	20	318
8	S	2	SW	1	SSW	2	NNE	4	NNE	1	NNE	4	NNE	1	NNE	1	NNE	1	NNE	6	W	15	W	23	215
9	WSW	30	WSW	35	WSW	26	WSW	37	WSW	19	WNW	28	WSW	40	WSW	60	WSW	60	WSW	56	WSW	37	WSW	43	798
10	WSW	17	WSW	11	WSW	22	W	24	W	18	W	17	W	14	WNW	20	WNW	20	W	8	WNW	15	NNW	16	518
11	WSW	28	WSW	28	WSW	22	WSW	18	WSW	15	WSW	17	WSW	16	WSW	22	WSW	25	SW	21	SW	22	SW	26	468
12	W	12	WNW	13	WNW	10	WNW	17	WNW	10	WSW	14	WNW	11	NW	11	NW	6	WNW	13	WSW	20	WSW	20	366
13	SSW	12	SSE	12	SSE	14	SSE	14	SSE	18	SSE	18	SSE	28	SSW	24	SSW	26	SSW	25	WSW	28	WSW	27	490
14	WSW	36	WSW	46	W	22	WSW	42	W	53	WSW	37	W	32	W	24	W	22	W	18	WSW	19	W	19	600
15	WSW	28	WSW	26	WSW	28	WSW	24	WSW	37	WSW	35	WSW	36	WSW	42	WSW	30	WSW	28	WSW	18	WSW	16	654
16	SW	25	SW	27	SW	30	WSW	33	WSW	47	WSW	48	WSW	52	WSW	50	WSW	46	WSW	44	WSW	40	WSW	50	628
17	WSW	24	WSW	28	WSW	54	WSW	48	WSW	60	SW	54	WSW	46	SW	54	SW	42	WSW	32	WSW	27	WSW	25	1032
18	SSW	19	SSW	19	SSW	24	W	32	WNW	48	W	49	WSW	41	SW	56	SW	66	SSW	110	SSW	66	SSW	60	866
19	SSW	21	SSE	23	SSW	32	W	32	WSW	46	WSW	69	WSW	75	WSW	84	WSW	84	WSW	94	WSW	62	W	46	1120
20	WSW	42	W	40	WSW	21	W	23	WSW	30	WSW	32	WSW	25	WSW	21	WSW	22	WSW	22	WSW	16	W	14	722
21	WSW	14	SW	11	SW	13	WSW	13	WSW	13	WSW	11	SW	9	WSW	6	SW	7	SW	11	SW	10	SW	11	275
22	SW	7	SSW	4	SSW	5	SSW	3	SW	1	SW	0	SW	3	SW	3	SW	6	SW	12	SW	10	SW	13	208
23	S	10	SSE	20	S	21	SSW	21	SSW	10	SSW	18	SSW	17	SW	17	SW	18	SSW	36	SSW	40	SSW	26	387
24	SSW	28	SE	19	SE	25	ESE	25	SSW	37	SW	38	SW	43	WSW	41	WSW	38	WSW	42	SW	30	WSW	30	776
25	SW	18	SSW	15	SSE	23	S	26	S	16	SSE	10	WNW	18	WSW	27	WSW	37	W	29	SW	18	WSW	23	752
26	SSW	4	S	2	S	8	SW	7	W	13	W	20	W	20	W	31	WNW	19	WNW	30	WSW	25	WNW	18	279
27	WSW	28	WSW	24	WSW	18	WSW	7	W	8	W	17	W	22	W	18	W	17	W	13	W	9	W	9	467
28	SW	32	WSW	42	WSW	34	WSW	38	WSW	38	WSW	38	WSW	42	WSW	42	WSW	36	WSW	41	WSW	37	WSW	37	585
29	WSW	40	WSW	38	WSW	37	WSW	39	WSW	26	W	28	W	24	W	26	WSW	36	WSW	36	WSW	36	WSW	32	913
30	WSW	30	WSW	27	WSW	23	WSW	31	WSW	49	WSW	46	WSW	62	WSW	62	WSW	70	WSW	94	WSW	72	WSW	64	1122

Juli 1911. $h_a = 6.0^m$. **Stündliche Aufzeichnungen des Anemometers.**

Tag	Mittel	0^{30}–1^{30} a	1^{30}–2^{30}	2^{30}–3^{30}	3^{30}–4^{30}	4^{30}–5^{30}	5^{30}–6^{30}	6^{30}–7^{30}	7^{30}–8^{30}	8^{30}–9^{30}	9^{30}–10^{30}	10^{30}–11^{30}	11^{30}–12^{30} p
1	67.3	WSW 70	WSW 76	SW 72	SW 87	WSW 87	WSW 80	WSW 70	WSW 85	SW 65	SSW 64	SSW 68	SW 72
2	39.7	WSW 44	WSW 38	WSW 46	WSW 56	WSW 44	WSW 44	SW 52	SW 52	SW 53	SW 50	SW 39	SW 34
3	30.0	W 20	W 21	WSW 23	SW 30	WSW 36	WSW 36	WSW 38	WSW 42	WSW 40	W 46	WSW 48	WSW 41
4	2.5	W 6	W 13	W 10	W 1	W 1	W 0	SW 0	SSW 5	SW 0	SW 0	SSW 3	SSW 1
5	1.8	S 8	SSE 1	SE 1	SE 0	E 6	ENE 5	NE 5	NE 0	NE 0	NE 0	NE 0	NE 0
6	11.4	ENE 8	E 14	E 17	ENE 21	ENE 31	NE 27	NE 14	NNE 19	NNE 24	NNE 14	NNE 9	NE 3
7	10.5	NE 12	NE 12	NE 9	NE 10	NE 19	NE 18	NE 20	ENE 20	ENE 12	ENE 12	ENE 7	ENE 5
8	11.7	NNE 13	NNE 13	NNE 13	NNE 14	NNE 15	NNE 19	NE 20	NE 12	NE 4	NE 3	NE 3	SW 0
9	23.4	WNW 19	WNW 20	WNW 20	WNW 22	WNW 28	WNW 26	WNW 24	W 26	W 19	WNW 23	WNW 26	WNW 24
10	14.7	WNW 36	WNW 30	WNW 30	WNW 24	NW 26	NW 21	NW 18	WNW 16	NW 2	N 4	ENE 7	ENE 7
11	18.2	E 22	E 18	E 18	E 18	E 26	ENE 20	ENE 22	ENE 32	NE 15	ENE 17	ENE 17	ENE 8
12	17.0	ENE 32	ENE 26	NW 29	NW 31	NW 33	NW 29	NE 32	NNE 21	NNE 16	ENE 9	E 9	NNE 6
13	12.1	E 10	E 9	E 6	E 2	E 0	E 1	NE 7	NE 4	NE 6	NE 2	ESE 0	E 2
14	18.6	NNE 18	NNE 24	NNE 24	NNE 26	NNE 20	NNE 20	NNE 16	NNE 24	NE 16	NE 11	ENE 19	ENE 6
15	12.6	ENE 17	ENE 23	ENE 21	ENE. 21	ENE 18	ENE 18	ENE 18	ENE 20	NE 6	NE 4	ENE 4	NNE 10
16	26.8	NNW 13	NW 13	NW 13	WNW 17	WSW 15	WSW 18	WSW 20	WSW 18	WSW 17	WSW 24	WSW 35	WSW 30
17	41.5	WSW 40	SW 46	SW 46	SW 50	SSW 50	SW 46	WSW 48	WSW 72	WSW 48	W 42	WSW 58	WSW 34
18	40.1	WSW 42	WSW 42	WSW 40	WSW 42	WSW 47	WSW 55	WSW 62	WSW 58	WSW 40	SSW 28	SW 40	WSW 34
19	20.3	WSW 42	WSW 38	WSW 38	WSW 42	WSW 40	WSW 42	WSW 42	WSW 42	WSW 29	SW 23	SSW 20	WSW 18
20	7.7	NNE 0	E 4	SSE 5	E 5	NE 8	NNE 5	NNE 4	NNE 1	NNE 1	NE 0	NE 1	ENE 1
21	10.9	E 16	E 15	E 17	ENE 18	ENE 24	ENE 30	ENE 25	ENE 31	ENE 18	E 17	ESE 10	SE 6
22	3.4	NNE 14	NNE 13	NE 8	ENE 7	ENE 6	ENE 5	ENE 4	ENE 7	ENE 0	ENE 0	ENE 0	ENE 1
23	12.8	SW 1	SW 0	SW 5	SW 12	W 16	W 16	W 20	W 26	W 13	W 8	SW 10	WSW 14
24	16.9	SW 14	SW 15	SW 13	SW 14	SW 16	SW 16	SW 20	WSW 17	WSW 0	WSW 0	WSW 1	WSW 0
25	15.2	WSW 54	SW 32	SSW 22	S 22	SW 26	SW 36	WSW 30	WSW 20	WSW 13	SW 3	SW 0	SSE 5
26	10.5	SE 23	SE 27	ESE 19	ESE 18	SSE 17	S 16	SW 9	SW 7	SW 0	SW 0	S 0	SSE 3
27	12.0	NE 15	ENE 10	ENE 7	E 3	E 8	ENE 11	ENE 11	NNE 17	NE 3	ENE 2	E 1	ESE 5
28	11.1	NE 8	SE 14	SSE 15	S 13	SE 18	ESE 8	ESE 10	SE 11	SE 14	SE 11	SE 10	SE 8
29	8.8	NW 7	NW 11	NW 11	NW 9	NW 8	ENE 9	ENE 3	ENE 5	NNE 1	NNE 1	NE 3	SE 8
30	10.8	W 15	W 18	WNW 18	WNW 17	WNW 20	WNW 29	WNW 17	WNW 19	WNW 11	W 4	W 2	SW 3
31	14.3	ESE 16	ESE 17	SE 12	SSE 3	NW 9	NW 0	SW 23	WSW 30	WSW 28	WSW 26	WSW 28	WSW 15

August.

1	13.7	NNW 33	NNW 35	NNW 32	NNE 28	NNE 21	NNE 18	NNE 12	NNE 3	N 1	NE 2	E 2	SE 5
2	12.4	NNW 16	NW 14	NNW 15	NW 21	WNW 19	WNW 21	WNW 24	WNW 20	WNW 19	WNW 12	WNW 5	WNW 3
3	7.5	NW 9	NNW 8	NW 5	NW 8	NW 15	NW 9	NW 2	NW 2	N 1	N 1	NW 1	NW 5
4	18.1	NW 13	NW 8	WSW 21	WNW 19	WNW 23	WNW 26	WNW 25	WNW 23	NW 24	WNW 15	W 10	WSW 9
5	20.3	NNW 13	NW 21	NW 18	NW 14	W 9	WSW 5	W 6	WNW 22	WNW 9	WSW 1	WSW 0	SSW 8
6	28.0	WSW 34	WSW 36	W 39	WSW 47	WSW 40	WSW 38	WSW 50	WSW 58	WSW 62	WSW 58	WSW 41	WSW 21
7	7.4	W 11	W 9	W 4	W 0	W 0	W 1	W 0	W 0	W 0	W 0	W 0	W 0
8	6.1	E 12	ESE 14	SE 14	ESE 13	ESE 6	ENE 10	NE 12	NNE 1	NE 1	ENE 0	E 2	SE 3
9	6.6	NE 0	NE 3	NE 0	NE 2	NNW 10	NW 16	NW 14	NW 2	NW 0	WNW 0	WSW 0	WSW 1
10	10.5	WNW 16	WNW 17	WNW 19	WNW 19	WNW 19	WNW 19	NW 15	NW 4	NNW 4	N 0	NNE 1	NE 6
11	8.3	NNE 11	NNE 17	NNE 12	NNW 14	NW 17	NW 11	NW 0	W 0	W 0	W 0	W 0	W 1
12	5.6	NNE 10	NNE 1	N 4	N 10	N 13	NE 4	NE 0	NE 0	NE 0	ENE 1	SSE 3	SSE 3
13	7.9	SSW 12	SSW 16	SSW 22	SW 25	SW 28	WSW 21	W 1	WNW 0	WNW 0	WNW 1	S 8	SSE 8
14	9.0	NE 4	NW 9	NW 14	NW 12	NW 10	N 12	NNE 10	NE 4	ENE 0	NE 0	SE 1	ESE 3
15	22.3	NNE 9	NNE 6	NNE 8	NNW 17	NNW 22	NNW 24	NW 15	W 12	SW 7	SSW 16	WSW 21	WSW 29
16	25.5	W 34	WSW 29	WSW 29	WSW 24	WSW 20	WSW 20	WSW 24	WSW 30	SSW 27	WSW 33	SW 39	WSW 41
17	28.9	WSW 22	WSW 29	WSW 27	W 22	WNW 17	WSW 23	WSW 29	WSW 29	WSW 18	SSW 22	SSW 30	WSW 25
18	36.2	WSW 50	WSW 54	WSW 52	WSW 48	WSW 37	WSW 45	WSW 44	WSW 40	WSW 38	WSW 34	WSW 34	WSW 34
19	37.0	WSW 42	WSW 43	WSW 41	WSW 40	WSW 40	WSW 44	WSW 42	WSW 34	WSW 40	WSW 40	WSW 36	SW 30
20	34.8	WSW 36	WSW 37	WSW 47	WSW 50	WSW 44	WSW 38	WSW 40	WSW 34	WSW 40	SSW 30	SW 22	SW 28
21	35.5	SSW 24	SSW 28	SSW 26	SSW 34	WSW 32	SW 14	WSW 44	WSW 58	WSW 45	WSW 41	WSW 26	SSW 16
22	24.8	WSW 66	WSW 48	WSW 34	WSW 40	WSW 30	SW 18	SSE 24	SSW 25	SW 27	SW 18	SW 16	SSW 20
23	23.1	SSE 21	SSW 24	SSW 29	SSW 28	SSW 28	SSW 37	SSW 31	WSW 35	SW 34	WSW 35	SW 36	SW 23
24	23.7	SW 32	SW 48	SW 56	SSW 44	SSW 40	SSW 44	SW 30	SW 26	SW 6	SW 0	SW 4	SSW 3
25	17.0	WSW 24	W 24	W 24	W 24	W 24	W 26	W 14	WSW 14	WSW 20	WSW 18	SW 20	SSW 14
26	17.3	WNW 26	WNW 24	WNW 21	WNW 14	WNW 15	WNW 19	WNW 25	WNW 30	WNW 24	WNW 13	WSW 17	W 24
27	8.4	W 10	W 9	W 4	W 1	W 0	W 0	W 0	W 0	W 0	W 1	W 1	W 4
28	23.3	WSW 17	WSW 20	WSW 28	SW 36	SW 36	WSW 40	SW 38	SW 36	SW 32	SW 28	SW 22	SSW 18
29	18.0	W 40	WSW 38	WSW 34	SW 38	SW 42	WSW 46	WSW 38	SSW 1	SSW 0	WSW 1	SW 0	S 1
30	31.8	W 25	W 22	W 27	W 27	W 30	W 34	W 32	WSW 32	WSW 34	WSW 30	WSW 33	WSW 23
31	13.6	SW 26	NW 26	NW 20	W 30	SW 24	WSW 20	W 16	W 14	WNW 16	WSW 21	W 15	W 3

Windrichtung und Geschwindigkeit (Kilometer pro Stunde). **Juli.** Säntis.

Tag	12^{30}p–1^{30}	1^{30}–2^{30}	2^{30}–3^{30}	3^{30}–4^{30}	4^{30}–5^{30}	5^{30}–6^{30}	6^{30}–7^{30}	7^{30}–8^{30}	8^{30}–9^{30}	9^{30}–10^{30}	10^{30}–11^{30}	11^{30}–12^{30}	S
1	WSW 66	WSW 70	WSW 62	WSW 54	SW 86	SSW 62	SSW 52	SSW 50	SW 46	SW 61	WSW 55	SW 50	1616
2	SW 40	SW 40	WSW 36	W 38	W 34	WNW 32	W 36	WNW 34	WNW 28	WNW 30	WNW 26	W 22	954
3	WSW 36	W 37	W 43	WNW 37	WNW 30	WNW 32	WNW 32	NNW 23	NNW 6	W 12	W 7	W 5	721
4	SSW 3	SW 3	SW 0	SW 4	SW 0	SW 3	SW 1	SW 1	SSW 1	NW 3	W 0	W 1	60
5	ENE 0	E 1	E 3	NE 2	SE 0	SSE 0	SSE 0	SSE 0	SSE 0	SSE 0	SSE 2	ENE 8	42
6	NE 0	NE 0	ENE 3	S 1	SSW 0	SSW 1	SW 3	ENE 10	ENE 12	NE 13	NE 13	NE 16	273
7	NE 2	NNE 8	NE 10	ENE 7	NE 9	NE 12	NE 3	NE 1	NE 7	NE 16	NE 13	NE 9	253
8	SW 2	W 7	WNW 7	W 10	WNW 9	W 9	WNW 9	WNW 17	WNW 20	WNW 22	WNW 22	WNW 17	280
9	WNW 21	W 20	WSW 17	WNW 16	W 19	NW 19	WNW 28	WNW 20	WNW 25	WNW 29	WNW 36	WNW 34	561
10	ENE 5	ENE 2	ENE 3	ENE 5	ENE 12	ENE 14	ENE 16	ENE 14	E 16	SE 10	ESE 12	E 22	352
11	NNE 9	NE 6	NNE 12	NNE 14	NNE 16	NE 14	NE 12	NE 15	NE 17	NE 30	NE 27	NE 31	436
12	NE 4	NE 4	NNW 4	NNW 9	NE 14	NE 14	NE 15	NNE 17	NNE 17	NNE 19	NE 14	E 5	409
13	NE 3	NNE 7	NNE 12	NNE 19	NNE 33	NNE 28	NNE 20	NNE 22	NNE 28	NNE 18	NNE 26	NNE 26	291
14	ENE 5	ENE 17	NE 19	NE 11	NE 17	ENE 14	ENE 22	ENE 25	ENE 24	ENE 32	ENE 19	ENE 17	446
15	NE 3	NNE 10	NNE 11	NW 15	NNW 12	NW 10	NW 10	NW 6	NNW 14	NNW 12	WNW 10	NNW 10	303
16	WSW 50	WSW 42	WSW 37	WSW 31	WSW 30	WSW 26	WSW 30	WSW 38	WSW 33	WSW 27	WSW 26	WSW 40	643
17	SW 30	SW 32	SW 30	WSW 28	WSW 30	WSW 30	WSW 30	WSW 39	WSW 37	WSW 44	WSW 42	WSW 44	996
18	WSW 26	WSW 34	WSW 32	WSW 32	WSW 32	WSW 32	WSW 36	WSW 45	WSW 39	WSW 52	WSW 36	WSW 36	962
19	WSW 16	W 15	W 11	WSW 10	SW 12	NNW 4	NW 1	NW 1	NW 1	NW 0	NNW 1	NNE 0	488
20	ENE 9	ENE 5	ENE 3	ENE 3	E 7	ENE 11	NE 11	ENE 16	ENE 18	ENE 28	E 22	ESE 16	184
21	SE 5	SE 4	ESE 2	SE 3	ENE 1	NE 1	NE 0	NE 0	NE 1	NE 2	NE 4	NE 12	262
22	ENE 1	ENE 3	E 0	E 2	SE 4	SE 0	SE 0	SE 2	SE 5	SSW 0	SW 0	SW 0	82
23	SW 17	SW 18	SSW 12	SSW 11	SW 13	SW 10	SW 13	W 15	WSW 16	WSW 18	WSW 12	WSW 12	308
24	WSW 3	SW 4	S 5	S 8	SW 30	WSW 34	SW 34	SSW 32	SSW 24	SSW 41	SW 25	SW 40	406
25	SSW 9	S 1	SE 1	SSE 6	SW 9	W 12	W 3	W 3	NNW 10	NE 15	ENE 19	E 13	364
26	SSE 4	SSE 13	SSE 10	S 14	WSW 10	WNW 11	WNW 2	WNW 3	NNW 9	NNW 8	NNE 14	NNE 14	251
27	SE 3	SE 3	SE 4	ESE 9	NNW 15	NNW 22	N 25	NNE 25	NNE 23	NNE 29	N 20	NNE 18	289
28	S 5	SSE 9	S 5	WSW 7	SW 7	WSW 10	W 27	W 14	W 7	SW 7	SW 14	WSW 14	266
29	SSE 10	SSE 12	SSE 4	SSE 9	SSE 14	W 11	W 11	W 11	WSW 13	WNW 15	WNW 12	W 13	211
30	SW 0	SW 1	NNE 13	NNE 9	NE 1	NE 7	NE 7	SE 11	ESE 8	SE 11	SE 8	ESE 10	259
31	W 15	WSW 1	SSW 2	W 4	NNW 4	NNW 3	NNE 10	NE 9	NNE 15	N 27	N 23	NNW 24	344

August.

1	SSE 4	SSE 2	SSE 1	S 5	SSW 8	SW 6	WSW 11	WNW 19	NNW 18	N 26	NNW 21	NNW 15	328
2	W 0	WSW 3	SSW 4	WSW 15	WSW 21	WSW 12	W 9	WNW 10	W 9	NNW 6	N 11	NNW 8	297
3	NNE 4	W 4	W 5	SW 5	W 6	W 7	WNW 12	NW 16	WNW 16	WNW 15	WNW 13	WNW 10	179
4	SW 11	SSW 23	SSW 22	WSW 22	W 17	W 17	WNW 22	WNW 14	WNW 23	W 13	WSW 18	WNW 16	434
5	SSW 17	SW 19	WSW 28	WSW 32	WSW 35	WSW 38	WSW 40	WSW 39	WSW 36	WSW 24	W 22	W 32	488
6	SW 5	SW 0	SSW 3	SW 11	W 11	W 10	WNW 14	WSW 26	WSW 26	SW 18	WSW 11	W 13	672
7	W 2	ENE 2	NE 7	NE 8	NE 10	NE 14	ENE 14	ENE 18	ENE 16	ENE 19	ENE 15	ENE 28	178
8	SSE 4	SSE 3	SSE 1	E 4	NE 3	NE 9	NE 8	NE 0	NE 4	NE 8	NE 10	NE 5	147
9	WSW 1	W 1	W 0	WNW 1	SW 1	SW 9	SW 9	WSW 13	W 21	WNW 24	WNW 15	WNW 16	159
10	NE 2	W 3	NE 1	NE 2	NNW 1	WNW 2	NNE 16	NE 14	NE 14	NE 18	NNE 22	NNE 18	252
11	WSW 3	W 4	NNW 4	NNE 2	NNE 7	NNE 15	NE 16	NNE 19	NE 6	NNE 17	N 18	NNE 6	200
12	SSE 0	ESE 1	ESE 1	ENE 2	NNW 1	NNW 13	NNW 14	NNW 13	N 3	NNW 7	SW 15	SW 15	134
13	SSW 6	S 3	SSW 9	SSW 4	SSW 4	S 1	ESE 9	NE 4	NE 3	NE 2	NE 1	NE 1	189
14	ESE 2	SE 3	SSE 2	NE 10	NE 15	NE 10	NE 15	WSW 10	WSW 17	WNW 15	NW 16	NNW 21	215
15	WSW 40	WSW 28	WSW 37	WSW 39	WSW 36	W 18	WNW 16	NW 16	NW 22	W 38	WSW 30	WSW 30	536
16	WSW 40	WSW 32	WSW 26	WSW 26	WSW 23	WSW 21	W 22	NW 14	NNW 12	W 16	WNW 18	WSW 12	612
17	WSW 29	WSW 18	W 34	W 34	W 26	WNW 26	WNW 28	WNW 38	WNW 36	WNW 40	WNW 38	W 54	694
18	WSW 39	WSW 34	WSW 33	W 30	WSW 22	W 21	W 21	WSW 24	W 20	WSW 33	WSW 41	WSW 40	868
19	SW 39	SSW 35	SW 32	WSW 34	WSW 32	WSW 34	WSW 32	WSW 34	WSW 37	WSW 35	WSW 40	WSW 32	888
20	SW 28	SW 27	WSW 27	WSW 24	WSW 22	WSW 44	WSW 64	WSW 38	WSW 38	WSW 30	SW 27	SW 21	836
21	SSW 12	SSW 17	S 20	SW 29	S 22	WSW 30	WNW 21	W 31	WSW 88	WSW 66	WSW 70	WSW 58	852
22	SSW 34	SSW 18	SSW 12	WSW 15	SW 9	WNW 16	SW 13	WSW 21	W 22	WSW 34	W 16	SSE 19	595
23	WSW 28	WSW 20	WNW 16	W 16	SSE 20	SSE 22	S 16	S 15	SE 9	SE 14	S 5	SSW 13	555
24	SSW 8	SW 11	W 19	WSW 31	WSW 28	W 22	W 20	W 18	W 16	SW 16	SW 24	SW 22	568
25	SSW 14	SSW 14	SSW 12	WSW 13	SW 10	WSW 12	WSW 11	SW 4	S 4	WSW 12	WNW 30	WNW 26	408
26	WSW 23	WSW 7	SW 4	SW 8	W 16	WSW 14	SW 17	WSW 16	SW 18	W 21	WSW 13	WSW 6	415
27	W 7	W 11	SSW 13	SW 14	SW 9	SW 15	SW 8	SW 9	SW 19	WSW 24	WSW 24	WSW 19	202
28	SSW 8	SSW 7	S 5	SSW 16	SW 16	SW 18	SW 18	SW 13	SW 17	W 27	W 28	W 35	559
29	SW 8	SW 9	SSW 4	WSW 10	W 14	W 10	WNW 14	NW 20	NW 15	NW 15	WNW 16	WNW 19	433
30	W 30	WSW 28	WSW 24	WSW 26	WSW 35	WNW 29	W 42	W 36	W 38	WSW 44	WSW 44	WSW 38	763
31	SW 7	SSW 7	SSW 6	SSW 6	SSW 7	SW 6	SW 4	SW 4	SW 10	SSW 15	S 10	S 14	327

September 1911. $h_a = 6.0^m$. **Stündliche Aufzeichnungen des Anemometers.**

Tag	Mittel	6^{30}–1^{30} a		1^{30}–2^{30}		2^{30}–3^{30}		3^{30}–4^{30}		4^{30}–5^{30}		5^{30}–6^{30}		6^{30}–7^{30}		7^{30}–8^{30}		8^{30}–9^{30}		9^{30}–10^{30}		10^{30}–11^{30}		11^{30}–12^{30} p	
1	19.8	S	9	S	7	SSW	6	NW	11	NW	13	WNW	19	WNW	12	WSW	13	SW	12	SW	10	SSW	8	SSW	10
2	10.3	WNW	20	WNW	19	WNW	23	WNW	24	WNW	23	WNW	20	WNW	18	W	15	W	4	SW	2	SW	6	SSW	8
3	12.2	NW	3	NW	3	NW	9	NW	11	NE	14	NE	15	NE	17	ENE	15	NE	15	ENE	10	E	4	ESE	3
4	13.7	NE	25	NE	27	NE	21	NNE	18	NNE	18	NNE	22	NE	14	NE	15	NE	10	NE	2	ENE	2	SE	3
5	20.1	WNW	25	WNW	24	W	21	WNW	20	NW	26	NNW	24	NNW	17	NW	23	N	2	NW	1	WNW	7	SSW	12
6	17.0	WNW	28	WNW	21	WNW	33	WNW	30	WSW	20	WSW	20	W	17	WNW	20	WNW	11	WSW	12	WSW	16	WSW	20
7	6.2	E	7	E	4	E	5	E	10	E	14	E	15	ENE	12	NE	0	NE	0	NE	0	E	3	ESE	3
8	18.8	E	7	NW	16	W	17	W	21	W	23	W	22	WNW	14	W	7	WSW	8	SW	10	SSW	13	SSW	14
9	34.1	WSW	38	WSW	44	WSW	44	WSW	42	WSW	50	WSW	46	WSW	38	WSW	37	WSW	46	WSW	40	SW	37	SSW	29
10	31.4	WSW	44	WSW	43	WSW	47	WSW	46	WSW	45	S	50	WSW	52	SW	60	WSW	37	WSW	35	SSW	25	SSW	29
11	25.0	W	22	WSW	27	WSW	30	WSW	31	WSW	25	W	28	WSW	22	WSW	28	SW	28	SSW	26	SSW	16	S	12
12	37.6	SW	38	SW	39	WSW	46	WSW	53	WSW	60	WSW	62	WSW	56	WSW	44	WSW	38	SW	36	SSW	43	SSW	29
13	23.9	WSW	40	WSW	42	WSW	48	WSW	41	WSW	36	WSW	35	WSW	38	WSW	38	WSW	24	SSW	16	S	11	S	11
14	18.8	W	8	SW	11	SSW	12	SW	7	SE	11	SW	25	WSW	28	WSW	20	WSW	22	SW	20	SSW	14	SSW	11
15	22.1	SSW	36	SSW	30	SSW	32	SSW	26	SSW	24	SSW	26	SW	24	SW	16	SW	11	SW	6	SW	4	W	13
16	22.1	WSW	27	WSW	36	WSW	28	WSW	14	WSW	18	SW	24	SW	20	WSW	23	WSW	22	WSW	19	WSW	17	WSW	17
17	8.8	W	5	W	8	W	12	W	11	W	8	W	6	W	4	W	0	W	1	W	2	W	0	W	3
18	16.1	NE	11	NE	12	NE	15	NE	15	NE	17	NE	19	NNE	10	NNE	10	NNE	10	NNE	7	NNE	15	NNW	8
19	16.5	N	18	N	12	N	20	WNW	22	W	25	WNW	28	NW	13	NNW	13	NE	23	ENE	14	ENE	12	E	11
20	27.7	WSW	27	WSW	31	W	37	W	45	W	56	WSW	46	WSW	50	WSW	46	WSW	49	WSW	41	WSW	38	WSW	22
21	21.5	S	23	SSW	20	SSW	25	SSW	27	WSW	20	WSW	15	SW	21	SW	20	SW	19	WSW	21	SW	12	SW	14
22	11.1	SW	17	SW	22	SW	19	SW	9	SW	8	SW	12	WSW	9	WSW	12	WSW	8	WSW	6	WSW	6	WSW	7
23	13.3	N	16	N	15	N	17	N	16	N	14	N	16	NNW	17	NW	23	NW	20	N	17	N	16	NNW	4
24	23.8	SW	20	SW	20	SW	20	SW	20	SW	22	SW	20	WSW	20	WSW	28	WSW	34	WSW	29	SW	23	SSW	13
25	12.5	WSW	13	WSW	11	WSW	15	WSW	18	WSW	22	WSW	24	WSW	20	WSW	18	WSW	14	WSW	27	W	3	WNW	0
26	19.4	N	6	N	8	N	14	NNW	18	NW	22	NW	28	NW	22	W	17	W	15	WSW	12	SW	18	SW	16
27	17.9	WNW	17	WNW	17	WNW	16	WNW	20	WNW	11	WNW	11	WNW	16	NW	12	NW	7	NW	2	NW	2	WNW	9
28	33.2	WSW	38	WSW	26	W	26	WSW	28	WSW	29	WSW	29	WSW	27	WSW	31	WSW	29	WSW	34	WSW	29	WSW	32
29	35.5	W	46	W	49	WSW	41	WSW	38	WSW	36	WSW	28	WSW	31	WSW	31	WSW	42	WSW	42	WSW	50	WSW	56
30	36.5	NW	21	NW	28	NW	30	NW	26	NW	25	NW	21	WSW	29	WSW	28	WSW	32	WSW	30	WSW	31	SW	31

Oktober.

1	22.7	WSW	34	WSW	36	WSW	44	WSW	38	WSW	32	WSW	32	WSW	47	WSW	38	WSW	37	WSW	28	WSW	25	WSW	15
2	6.9	NW	3	WNW	4	NW	5	NW	4	WNW	5	WNW	3	WSW	3	WNW	3	NE	3	NW	2	NW	3	WNW	5
3	23.1	W	6	W	6	W	7	W	8	W	10	W	9	WSW	17	WSW	18	WSW	17	WSW	19	SW	25	SW	26
4	38.3	SW	30	SSW	32	SW	34	SSW	28	SSW	33	SSW	35	SSW	30	SSW	32	SSW	34	SW	30	SW	40	SW	48
5	19.0	ESE	34	SE	36	SSE	32	SE	21	SE	14	SW	15	NE	5	ENE	6	NNE	13	NE	14	NE	15	E	35
6	34.1	NNE	24	NNE	20	NNE	14	NNE	27	NNE	30	NNE	31	SE	26	SE	28	SSE	26	SSE	36	S	43	S	45
7	34.2	SW	56	SE	41	E	51	S	38	S	42	SSW	34	SSE	24	SSW	25	SSW	31	SSW	26	SSW	18	SSW	28
8	33.8	SW	26	SW	30	SW	32	SW	27	SW	23	SW	24	SW	18	WSW	24	WSW	30	SW	24	SSW	17	SSW	16
9	28.7	WSW	41	WSW	29	WSW	22	WSW	17	WSW	18	SW	25	SW	17	SW	17	SSW	14	SSW	20	SSW	23	SSW	23
10	20.2	WSW	45	W	35	W	36	W	38	WSW	42	WSW	38	W	28	WNW	20	WNW	22	NW	27	NW	20	NNW	18
11	12.4	NNW	16	N	20	N	17	N	17	NNE	26	NE	16	NE	18	NE	20	ENE	17	ENE	15	ENE	14	ENE	16
12	12.2	WSW	25	W	14	W	4	W	5	WSW	12	SW	5	SW	0	SW	0	SW	3	SSW	11	SSE	8	S	8
13	5.4	SW	0	SW	0	SSE	2	E	0	E	0	E	0	E	6	NW	2	NW	1	NW	0	NW	0	NW	1
14	14.5	SSW	22	SSW	30	SSW	26	SW	23	SW	27	SW	26	WSW	18	WNW	20	NW	8	NW	1	NW	3	WSW	6
15	8.0	WNW	9	WNW	6	WNW	2	NNW	6	NNW	8	N	14	N	12	N	16	NE	10	E	4	ENE	2	ENE	1
16	10.1	SSE	24	S	24	S	22	SSW	15	W	2	W	1	SW	3	SW	4	SW	3	SW	7	S	11	S	14
17	14.9	SSW	16	WSW	13	SW	16	WSW	15	W	12	W	10	WSW	3	SW	0	SW	2	ESE	13	E	15	ENE	17
18	22.0	SE	14	SE	6	E	12	ESE	13	SE	16	SE	16	SW	22	SSW	26	SSW	31	SW	24	SSW	24	SSW	17
19	16.9	WSW	16	WSW	13	SW	10	SW	1	SW	0	SW	1	SSE	2	SSE	6	S	12	S	14	SSE	17	S	25
20	12.9	W	16	WNW	20	WNW	20	NW	20	NNW	18	N	19	NNW	13	NNW	10	NNW	6	NNE	7	NE	0	ENE	2
21	22.3	SW	23	SW	23	SW	27	SW	25	SW	24	SW	20	SW	16	SW	15	SW	13	SSW	12	SSW	16	SSW	15
22	28.5	SSW	37	SSW	35	SW	32	WSW	24	WSW	30	WSW	31	WSW	25	WSW	26	WSW	42	WSW	24	SSW	20	SW	12
23	42.7	WSW	40	WSW	50	WSW	54	WSW	56	WSW	54	WSW	45	WSW	54	WSW	51	WSW	46	WSW	48	WSW	38	WSW	44
24	17.5	W	26	W	24	W	14	W	14	W	9	W	0	W	2	W	8	W	10	W	12	W	5	WNW	16
25	38.3	SW	34	SW	30	SW	20	SSW	11	S	21	S	22	SW	20	SSW	28	SW	44	WSW	48	SW	36	SSW	38
26	39.6	SW	29	SW	26	SW	23	SW	29	SSW	24	SW	28	SW	26	SW	36	WSW	38	WSW	40	WSW	54	WSW	42
27	36.6	WSW	53	WSW	48	WSW	50	WSW	38	WSW	40	WSW	40	WSW	22	SSW	24	SSW	32	WSW	42	WSW	30	SSW	24
28	22.8	WSW	34	WSW	28	WSW	18	WSW	16	W	18	NW	15	WSW	14	W	21	WSW	28	WSW	28	WSW	29	WSW	25
29	14.0	WSW	20	WSW	18	WSW	15	SW	10	SSW	8	SSW	11	WSW	12	SW	20	WSW	24	WSW	30	WSW	28	WSW	22
30	17.1	SW	14	SW	14	SW	18	SW	18	SW	17	SW	19	WSW	20	WSW	30	SW	31	SW	19	SW	14	SW	15
31	32.8	S	34	S	36	S	38	S	40	S	34	S	36	SW	52	WSW	45	WSW	37	WSW	33	SW	25	SW	12

Windrichtung und Geschwindigkeit (Kilometer pro Stunde). **September.** Säntis.

Tag	12^{30} p–1^{30}		1^{30}–2^{30}		2^{30}–3^{30}		3^{30}–4^{30}		4^{30}–5^{30}		5^{30}–6^{30}		6^{30}–7^{30}		7^{30}–8^{30}		8^{30}–9^{30}		9^{30}–10^{30}		10^{30}–11^{30}		11^{30}–12^{30} a	Summe
1	SSW	13	WSW	22	WSW	31	WSW	37	SW	38	WNW	36	WNW	36	WNW	38	WNW	28	W	26	W	20	W	20	475
2	SSW	10	W	9	SSW	12	SSW	8	SW	7	SW	5	WSW	9	NW	6	NW	0	NW	0	NW	0	NW	0	248
3	SE	2	ESE	1	SSE	3	E	6	NE	9	NE	16	NNE	20	NNE	22	NNE	24	NE	25	NE	24	NE	22	293
4	SSW	6	SW	7	WSW	11	WNW	15	WNW	14	WNW	9	WNW	18	WNW	12	WNW	11	W	16	WNW	17	WNW	16	329
5	SW	17	WSW	17	WSW	17	W	15	SW	18	WSW	19	W	25	W	30	WNW	32	WNW	29	W	33	W	28	482
6	W	15	W	15	W	17	NNW	14	WNW	13	WNW	18	NW	18	NNE	11	NNE	11	NE	7	NE	11	ENE	10	408
7	E	3	SE	4	SE	3	SE	2	SE	2	ESE	7	E	9	E	15	E	14	E	7	E	5	E	6	150
8	WSW	13	WSW	13	WSW	16	WSW	21	W	27	WSW	36	WSW	32	SW	20	SW	20	SW	22	SW	28	WSW	32	452
9	SW	33	WSW	42	WSW	38	WSW	30	WSW	22	W	19	WSW	18	W	20	W	21	W	21	W	31	W	33	819
10	WSW	28	WSW	26	WSW	24	W	24	WSW	20	WNW	17	WNW	23	WNW	14	WNW	20	NW	19	NW	12	NW	14	754
11	SSW	10	SSW	18	SSW	16	SSW	14	SW	12	SW	14	SW	21	WSW	29	WSW	42	WSW	48	SW	38	SSW	36	599
12	WSW	32	NW	28	WNW	24	WSW	18	WSW	18	WNW	22	W	36	W	36	WSW	34	WSW	36	WSW	36	WSW	38	902
13	SSW	14	SSW	15	SW	9	WSW	11	WNW	13	WSW	16	WSW	20	W	19	W	18	WSW	19	WSW	20	W	20	574
14	SSW	13	SSW	20	SSW	24	SSW	25	SSW	23	S	22	SSW	22	SSW	24	SSW	16	SSW	23	SSE	21	SSE	30	452
15	NNW	25	WNW	25	WNW	30	W	20	WSW	32	WSW	28	WSW	16	W	17	SW	29	SW	18	SW	20	SW	23	531
16	SW	14	SW	13	WSW	26	WSW	39	WSW	34	WSW	28	WSW	26	WSW	25	W	18	W	17	W	12	W	14	531
17	W	2	W	3	NNE	4	NNE	15	NNE	14	NNE	24	NE	24	NE	18	NE	15	NE	13	NE	10	NE	9	211
18	NW	10	WNW	8	WNW	11	WNW	7	WNW	17	WNW	21	WNW	22	WNW	24	WNW	22	NW	35	NNW	31	N	30	387
19	SW	0	SW	9	SW	3	SW	6	SW	10	SW	11	SW	10	SW	15	WSW	22	W	32	W	28	WSW	30	396
20	SW	17	SW	14	SW	15	WSW	15	SW	14	WSW	19	WSW	24	W	20	W	15	WNW	7	NW	7	NW	10	665
21	WNW	30	WNW	44	WNW	50	WSW	36	WSW	30	WSW	22	WSW	16	WSW	12	WSW	9	SW	9	SW	10	SW	10	515
22	WSW	8	W	9	NW	9	NW	11	NNW	10	N	12	N	12	N	11	N	9	N	10	N	14	N	16	266
23	N	5	N	0	N	0	W	3	N	5	N	8	N	14	N	18	N	18	SW	17	SW	19	SW	20	318
24	WSW	17	WSW	30	WSW	33	WSW	27	WSW	28	WSW	34	WSW	30	WSW	28	WSW	25	WSW	17	WSW	16	WSW	17	571
25	WSW	6	WNW	19	WNW	10	WNW	12	WNW	16	NW	13	NNW	12	NNW	9	NNW	10	N	7	N	2	N	0	301
26	WSW	25	WSW	19	WSW	20	WSW	25	WSW	23	WSW	23	WSW	23	WSW	19	WSW	17	W	22	WNW	27	WNW	27	466
27	W	13	SW	17	WSW	22	WSW	19	WSW	14	WSW	23	WSW	24	WSW	30	SW	28	WSW	28	WSW	36	WSW	36	430
28	WSW	20	WSW	36	WSW	40	WSW	36	WSW	38	WSW	40	W	37	WSW	37	WSW	32	W	30	W	40	WSW	46	796
29	WSW	53	W	49	W	44	WSW	40	W	34	WNW	36	WNW	26	W	20	NW	19	NW	11	NW	14	NW	16	852
30	WSW	40	WSW	54	WSW	56	WSW	56	WSW	54	WSW	50	WSW	50	SW	39	WSW	39	WSW	42	WSW	34	SW	30	876

Oktober.

Tag																								
1	W	22	W	16	W	22	WNW	22	WNW	17	WNW	11	WNW	7	WNW	7	WNW	7	SW	2	SW	3	WSW	3	545
2	WNW	14	NNW	4	WNW	7	NE	7	NW	14	NW	14	WNW	18	W	7	W	9	W	8	W	10	W	11	166
3	SW	31	SW	32	SW	26	SW	30	SW	24	SW	28	SSW	37	SW	41	SW	38	SSW	38	SSW	33	SSW	29	555
4	SW	46	SW	40	SW	39	SSW	57	SSW	52	SSW	40	SSW	42	SSW	34	SSW	34	S	49	S	44	SE	46	920
5	ENE	21	ENE	15	SE	14	ESE	30	ESE	20	ESE	12	E	10	NNE	18	NNE	18	NNE	13	NNE	11	NNE	28	456
6	SSE	32	SE	26	SE	30	WNW	35	SE	27	NE	28	S	24	SW	36	SW	41	S	56	SW	75	WSW	58	818
7	SSW	38	SSW	32	SSW	44	SSW	44	SSW	46	SSW	32	SSW	30	SSW	26	SSW	20	SSW	32	SSW	32	SSW	32	822
8	SSW	27	SSW	36	SSW	44	SSW	44	SSW	64	SW	41	SW	45	SW	48	WSW	34	WSW	30	WSW	47	WSW	53	810
9	SW	24	SW	22	SW	21	SW	9	SW	16	WNW	28	NW	36	W	42	W	44	WSW	62	WSW	64	WSW	54	688
10	NNW	14	NW	6	NW	8	WNW	8	SW	17	SW	24	SW	23	SW	12	SW	0	SW	1	SW	0	NW	2	484
11	ENE	7	ESE	5	ENE	9	ENE	7	E	4	E	3	E	4	E	11	E	12	E	7	ESE	7	S	9	297
12	SSW	10	SW	14	SW	14	SW	17	SW	23	SW	26	SW	30	SW	25	SW	22	SW	12	SW	4	SW	2	294
13	NW	3	WSW	8	S	10	S	9	S	5	S	3	S	15	S	12	S	7	SSW	11	SW	17	SSW	17	129
14	SSW	8	SSW	12	SW	13	SW	12	SW	11	SW	13	SW	11	W	10	W	13	W	10	W	13	W	11	347
15	ESE	1	ESE	1	ESE	3	ESE	7	SSE	6	SSE	15	SE	6	SE	7	SE	7	SE	10	SSE	18	SSE	22	193
16	SSW	13	S	13	SSW	13	SSW	12	SW	11	SSW	8	S	11	S	2	S	1	S	7	S	6	SSW	12	242
17	ENE	14	ENE	18	ESE	22	ESE	22	ESE	21	ESE	15	ESE	24	ESE	32	ESE	22	E	0	ESE	14	SE	15	357
18	SSW	28	SSW	25	SW	23	WSW	28	SW	42	WSW	36	SW	25	WSW	25	WSW	19	WSW	21	SW	16	SW	20	529
19	SSW	37	SSW	36	SSW	37	SSW	33	SSW	22	SSW	24	SSW	21	SSW	17	SSW	16	SSW	22	SW	14	SW	10	406
20	ENE	0	ENE	3	SE	6	SSW	8	SW	5	SW	11	WSW	15	W	19	W	20	SW	28	SW	20	SW	24	310
21	SW	17	SW	22	SW	22	SW	20	SSW	22	SSW	18	S	24	SSW	22	SSW	28	SSW	36	SSW	37	SSW	39	536
22	SW	36	SSW	28	SW	30	WSW	26	SW	30	SW	26	SW	32	WSW	30	WSW	32	WSW	31	WSW	27	WSW	24	684
23	WSW	41	WSW	37	WSW	54	WSW	56	WSW	40	WSW	40	WSW	36	WSW	34	WSW	30	WSW	30	WSW	24	WSW	22	1024
24	WNW	21	WNW	25	W	20	WSW	24	WSW	26	SW	18	WSW	22	SW	20	SSW	20	SSW	16	SW	30	WSW	38	420
25	SSW	48	SW	46	SW	36	W	44	WSW	50	WSW	69	SW	69	SW	58	SW	42	WSW	36	SW	40	SW	29	919
26	WSW	42	WSW	28	WSW	27	WSW	31	WSW	30	WSW	40	WSW	50	WSW	65	WSW	62	WSW	53	WSW	70	WSW	57	950
27	SSW	36	SSW	38	SSW	38	SSW	45	SSW	55	SW	38	SW	16	SSE	19	SE	19	WSW	42	WSW	44	WSW	46	879
28	WSW	30	WSW	24	WSW	18	SW	16	WSW	34	WSW	32	WSW	27	SW	22	SW	21	SW	10	SW	16	WSW	18	548
29	WSW	17	WSW	15	SW	12	WSW	11	WSW	7	SW	5	SW	3	SW	7	WSW	8	WSW	8	SW	12	WSW	13	336
30	SW	13	SW	14	SW	12	SSW	13	SSW	17	S	20	S	20	S	14	SSW	9	S	7	S	14	S	28	410
31	SW	19	SW	15	SW	13	WSW	22	WSW	24	WSW	28	WSW	24	WSW	34	WSW	43	SW	57	SW	48	SW	48	788

November 1911. $h_a = 6.0^m$. **Stündliche Aufzeichnungen des Anemometers.**

Tag	Mittel	0^{30}–1^{30} a	1^{30}–2^{30}	2^{30}–3^{30}	3^{30}–4^{30}	4^{30}–5^{30}	5^{30}–6^{30}	6^{30}–7^{30}	7^{30}–8^{30}	8^{30}–9^{30}	9^{30}–10^{30}	10^{30}–11^{30}	11^{30}–12^{30} p
1	27.2	SW 44	SW 46	WSW 44	WSW 42	WSW 36	WSW 27	WSW 25	SW 20	SW 23	SW 25	WSW 30	WSW 24
2	34.1	WSW 26	WSW 26	WSW 30	WSW 29	WSW 29	WSW 28	WSW 32	WSW 30	WSW 32	SW 31	WSW 44	WSW 36
3	46.6	WSW 40	WSW 58	WSW 60	WSW 64	WSW 58	WSW 44	WSW 46	WSW 40	WSW 40	WSW 44	WSW 52	WSW 40
4	55.8	WSW 50	WSW 62	WSW 60	WSW 61	WSW 61	WSW 60	WSW 60	WSW 55	WSW 57	WSW 52	WSW 55	WSW 49
5	66.8	WSW 58	WSW 56	WSW 60	WSW 62	WSW 64	WSW 68	WSW 65	WSW 59	WSW 64	WSW 76	WSW 83	WSW 59
6	39.1	SW 84	WSW 86	WSW 88	SW 82	WSW 57	WSW 49	WSW 36	WSW 27	WSW 37	WSW 36	WSW 44	WSW 33
7	15.0	WSW 15	WSW 11	WSW 15	WSW 19	WSW 18	WSW 18	WSW 24	WSW 22	WSW 28	WSW 24	WSW 18	WSW 14
8	19.0	SW 13	SW 17	SW 21	SW 24	SW 22	SW 26	SW 24	WSW 20	SW 16	SW 13	SSW 15	SSW 14
9	41.7	SW 32	WSW 25	SW 12	SW 15	SW 24	SW 24	SSW 34	SSW 38	SSW 70	SSW 60	SSW 53	SSW 50
10	14.4	SSW 27	SSW 23	SSW 21	SSW 19	SSW 20	SSW 19	SSW 25	SSW 23	SSW 19	SSW 18	SSW 18	SSW 16
11	28.3	WSW 7	W 8	W 7	WSW 10	WNW 12	W 12	WSW 13	WSW 18	WSW 26	WSW 33	WSW 23	WSW 20
12	14.3	WSW 40	WSW 34	WSW 32	SW 24	SW 17	SW 7	SW 11	SW 12	SW 11	SW 2	SSW 7	SW 6
13	5.8	SW 22	SSW 24	SSW 22	SSW 26	SSW 17	SSW 4	SSW 2	SW 3	WSW 8	WSW 4	W 2	WNW 4
14	6.0	NNE 0	NNE 0	NNE 2	NNE 0	NNE 0	NNE 1	NE 10	SW 1	NNE 3	NE 3	E 13	WSW 15
15	39.4	NE 19	NE 17	NE 10	NE 8	ENE 8	SE 9	SE 9	SE 12	SW 21	SW 26	WSW 37	WSW 38
16	48.7	WSW 80	WSW 88	WSW 72	WSW 70	WSW 68	WSW 40	WSW 32	WSW 42	WSW 35	WSW 37	WSW 42	WSW 42
17	26.2	WSW 40	WSW 36	WSW 32	WSW 32	WSW 28	SW 24	SW 26	SW 24	SW 23	SW 25	SW 22	SSW 22
18	43.3	S 38	S 40	SSW 44	SSW 45	SSW 47	SSW 41	S 27	S 36	SSW 32	WSW 29	WSW 29	WSW 33
19	34.7	SW 74	SW 64	SW 50	SW 34	SW 31	SW 36	WSW 33	WSW 24	WSW 24	WSW 24	WSW 33	WSW 35
20	37.8	WSW 32	WSW 40	WSW 42	WSW 40	WSW 44	WSW 38	WSW 38	WSW 32	WSW 36	WSW 38	WSW 34	WSW 40
21	36.5	WSW 27	WSW 25	WSW 24	WSW 25	WSW 22	WSW 18	WSW 25	WSW 29	WSW 41	WSW 57	WSW 36	WSW 30
22	48.8	SW 52	WSW 48	WSW 45	SW 51	SW 48	SW 42	SW 45	WSW 49	WSW 54	WSW 46	SW 37	SSW 37
23	41.1	E 24	S 34	WSW 59	WSW 45	W 36	W 58	SSW 44	SSE 34	S 40	SSE 44	SE 35	SSE 27
24	23.4	SSE 28	ESE 34	WNW 30	W 35	E 31	NE 31	SE 29	NW 22	NW 31	NW 27	SE 24	SSW 22
25	14.9	W 13	W 15	W 11	WNW 11	WNW 8	W 5	WSW 3	W 10	WSW 12	WSW 13	WSW 11	SW 16
26	12.9	SW 14	SW 10	SW 12	SW 7	SW 0	SW 0	SW 0	SW 1	SW 9	SW 15	SSE 17	SSE 13
27	13.6	SW 14	SW 11	SW 9	SW 3	SW 3	SW 11	NE 15	NE 12	NE 1	NNE 0	NE 0	NE 0
28	32.0	NW 36	NW 42	NNW 38	NNW 38	NNW 32	NNW 31	SW 32	SW 25	SSW 36	SSW 40	SSW 56	SSW 40
29	5.6	W 12	W 12	SW 11	SE 13	S 16	S 17	S 14	S 6	S 0	S 0	S 0	S 0
30	7.6	NE 16	NE 15	NE 14	NE 16	NE 12	N 12	NNE 11	NNE 10	NNE 0	NNE 0	NNE 0	NNE 0

Dezember.

1	24.1	WSW 0	WSW 0	W 18	W 18	W 18	W 18	WNW 22	WNW 29	WNW 13	WNW 24	WNW 26	WNW 19
2	42.9	WSW 52	WSW 56	WSW 57	WSW 47	WSW 35	SW 33	WSW 40	WSW 67	WSW 39	WSW 40	WSW 40	WSW 42
3	27.1	WSW 33	WSW 33	WSW 28	WSW 27	WSW 33	WSW 33	WSW 32	W 29	WSW 23	WSW 23	WSW 32	WSW 26
4	21.6	WSW 28	WSW 24	WSW 24	W 26	W 24	WNW 25	WSW 27	WSW 28	SW 24	SSW 20	SW 20	SSW 8
5	22.3	WSW 14	W 11	WSW 11	SW 20	SW 21	SW 22	SSE 8	SSE 12	S 17	SSW 19	SW 22	SW 24
6	19.0	SW 12	SSW 16	SSE 16	SSE 18	SSE 19	SSE 21	SSE 34	SE 25	SE 26	SE 24	SSE 25	SSE 18
7	41.7	WSW 21	WSW 18	WSW 12	SW 20	SSW 22	SSW 26	SW 33	SSW 39	SSW 33	SW 38	SW 41	SW 43
8	35.4	WSW 36	WSW 42	WSW 44	WSW 46	WSW 40	WSW 36	SW 32	SSW 27	SSW 31	SSW 34	SSW 30	SSW 34
9	30.1	SW 38	WSW 34	SW 30	SW 26	SW 21	SW 24	SW 29	SSW 16	SSW 8	WNW 38	WNW 56	WNW 48
10	10.4	SW 0	SW 0	SW 0	SW 0	SW 0	SW 0	SW 0	SW 0	SSW 0	S 0	S 5	SSW 18
11	24.8	S 3	SW 16	SW 20	SSW 26	SW 25	WSW 31	WSW 31	WSW 37	WSW 26	SW 22	WSW 31	WSW 31
12	12.7	NE 12	NE 17	ENE 25	SW 25	SW 20	SW 20	ENE 13	W 13	SSW 27	SW 12	SW 16	NW 17
13	17.5	SW 7	SW 7	SW 6	WSW 7	WSW 7	WSW 7	WSW 10	WSW 20	WSW 9	SW 5	SSW 11	SW 11
14	27.5	SW 13	SSW 12	SSW 28	WSW 28	WSW 30	WSW 38	WSW 38	WSW 30	WSW 43	WSW 45	WSW 36	WSW 26
15	20.6	SW 12	SSW 13	SSW 16	SSW 17	SSW 30	S 30	SSW 18	SSW 6	SSW 1	SW 3	SW 6	WSW 13
16	11.0	WNW 18	WNW 1	W 1	WNW 6	NW 21	NW 17	NW 16	WNW 14	WNW 16	WNW 13	WNW 9	W 5
17	16.2	NW 4	NW 13	NW 19	NW 18	NW 22	NW 26	NW 14	NW 7	NW 0	WNW 1	NW 3	NW 12
18	21.5	SW 47	SW 47	WSW 39	WSW 33	WSW 34	SW 39	SW 37	SW 48	SW 33	SW 26	WSW 19	WSW 20
19	22.8	WSW 28	WSW 24	WSW 28	WSW 27	WSW 25	WSW 26	WSW 26	WSW 25	SW 15	SSE 14	ESE 15	E 15
20	39.8	S 30	SSW 30	SW 32	SW 28	SW 24	SW 14	S 17	S 39	S 30	SW 32	SW 36	S 24
21	74.6	SSW 33	SSW 37	SSW 34	SSW 36	SSW 35	SSW 37	SW 52	SW 64	WSW 68	WSW 72	SW 83	WSW 79
22	45.6	W 82	W 68	W 62	WNW 59	WNW 47	WNW 36	WSW 28	WSW 35	WSW 45	W 49	WNW 37	WNW 35
23	28.6	WSW 58	WSW 45	WSW 44	WSW 41	WSW 35	WSW 45	WSW 47	WSW 52	W 41	W 33	W 52	SW 44
24	47.1	NNW 7	NW 5	NW 0	NNW 12	NNW 13	NNW 20	WSW 26	WSW 50	WSW 46	WSW 50	WSW 54	WSW 56
25	38.2	SW 58	SW 52	SW 43	WSW 37	WSW 34	WSW 35	WSW 21	WSW 40	WSW 50	SW 42	WSW 34	WSW 14
26	28.3	N 20	N 18	N 16	N 16	NE 17	ENE 21	WSW 29	WSW 44	WSW 47	SW 41	SW 45	WSW 32
27	25.8	WSW 38	W 52	WSW 48	W 44	W 42	W 33	WSW 43	W 70	W 49	WSW 45	SW 27	S 24
28	32.8	ENE 4	ENE 10	NE 9	NE 5	ENE 6	ENE 9	WSW 4	SW 21	SSW 28	WSW 25	WSW 24	WSW 29
29	27.5	WSW 34	WSW 35	WSW 28	SW 27	SW 22	SW 32	WSW 34	WSW 36	WSW 46	WSW 32	WSW 24	WSW 20
30	30.2	SW 15	SW 21	SW 23	SW 20	WSW 19	WSW 26	WSW 23	WSW 32	W 25	WSW 23	WSW 24	WSW 27
31	27.6	S 38	ENE 41	ENE 32	NE 27	NE 24	ENE 22	NE 20	ENE 28	ENE 36	ENE 30	NE 30	ENE 25

Windrichtung und Geschwindigkeit (Kilometer pro Stunde). November. Säntis.

Tag	12^{30} p–1^{30}	1^{30}–2^{30}	2^{30}–3^{30}	3^{30}–4^{30}	4^{30}–5^{30}	5^{30}–6^{30}	6^{30}–7^{30}	7^{30}–8^{30}	8^{30}–9^{30}	9^{30}–10^{30}	10^{30}–11^{30}	11^{30}–12^{30} a	Summe
1	WSW 28	WSW 29	WSW 25	WSW 17	WSW 23	WSW 25	WSW 20	WSW 17	WSW 17	WSW 18	WSW 23	WSW 26	654
2	WSW 37	WSW 32	WSW 34	WSW 34	WSW 38	WSW 41	WSW 41	WSW 32	WSW 34	WSW 38	WSW 40	WSW 44	818
3	WSW 52	WSW 49	WSW 43	WSW 40	WSW 40	WSW 40	WSW 38	WSW 41	WSW 47	WSW 52	WSW 47	WSW 43	1118
4	WSW 44	WSW 42	WSW 46	WSW 50	WSW 46	WSW 49	WSW 59	WSW 58	WSW 64	WSW 78	WSW 60	WSW 60	1338
5	SW 68	WSW 56	SW 60	SW 72	WSW 60	SW 68	SW 70	SW 70	WSW 70	WSW 78	SW 83	WSW 75	1604
6	WSW 31	WSW 37	WSW 33	WSW 31	WSW 23	WSW 27	WSW 17	WSW 13	WSW 14	WSW 15	WSW 20	WSW 18	938
7	SW 19	SW 14	SW 15	SW 16	SW 20	SW 16	SW 8	SW 5	SW 1	SW 7	SW 6	SW 8	361
8	SSW 14	SSW 16	SSW 17	SSW 21	SW 20	SW 22	SW 22	SW 21	SW 19	SW 19	SW 17	SW 24	457
9	SSW 59	SSW 48	SSW 52	SSW 48	SSW 46	SSW 48	SSW 44	SSW 52	SSW 45	SSW 39	SSW 44	SSW 38	1000
10	WSW 28	WSW 21	SW 2	SW 1	W 6	NW 12	NW 1	WNW 1	WSW 15	WSW 4	W 1	WSW 5	345
11	WSW 28	WSW 32	WSW 32	WSW 40	WSW 48	WSW 52	WSW 48	WSW 44	WSW 46	WSW 48	WSW 40	WSW 32	679
12	SW 6	SSW 6	S 7	SW 6	SSW 6	SSW 4	SSW 7	SSW 17	SSW 17	SW 16	SW 21	SW 28	344
13	WNW 1	WNW 0	WNW 0	WNW 0	WSW 0	W 0	NW 0	NW 0	NW 0	NW 0	NNW 0	N 0	139
14	WNW 10	NW 11	NW 2	NW 5	NW 8	NW 1	NW 4	NW 8	E 8	NE 8	NE 16	NE 14	143
15	WSW 48	WSW 46	WSW 46	WSW 48	WSW 46	WSW 40	WSW 46	WSW 90	WSW 92	WSW 84	WSW 72	WSW 74	946
16	WSW 44	WSW 43	WSW 47	WSW 50	WSW 43	WSW 47	WSW 43	WSW 38	WSW 41	WSW 39	WSW 43	WSW 42	1168
17	SW 24	SSW 22	SSW 30	WSW 28	WSW 21	SSW 11	SE 18	S 22	S 20	S 26	SE 37	S 37	630
18	SW 57	SW 48	SW 54	SW 54	SW 50	SSW 50	S 52	S 54	S 46	SSE 48	S 34	SW 50	1038
19	WSW 40	WSW 34	WSW 29	WSW 29	WSW 30	WSW 30	WSW 24	WSW 24	WSW 30	WSW 34	WSW 38	W 28	832
20	WSW 36	WSW 54	WSW 44	WSW 39	WSW 37	WSW 36	WSW 38	WSW 40	WSW 46	WSW 29	WSW 27	WSW 27	907
21	WSW 42	WSW 52	WSW 50	WSW 54	WSW 36	WSW 33	SW 31	WSW 36	WSW 40	WSW 56	WSW 42	SW 44	875
22	SSW 47	SSW 53	SSW 56	SW 60	SSW 58	SW 58	SW 58	SSW 56	SSW 48	SE 55	ESE 35	ESE 34	1172
23	S 48	SSE 53	SSE 59	SSE 50	SSE 50	SSE 40	SSE 39	SSE 41	SE 28	S 28	S 38	SE 32	986
24	WSW 36	S 34	SSW 19	SSW 17	W 20	W 17	W 3	SW 16	SW 17	WSW 19	W 10	W 10	562
25	WSW 18	WSW 22	WSW 20	WSW 24	WSW 22	WSW 22	WSW 20	WSW 12	WSW 18	SW 16	SW 20	SW 16	358
26	SSW 18	SSW 26	SW 24	SW 30	SW 25	SW 24	SW 19	SW 16	SW 6	SW 8	SW 8	SW 8	310
27	W 0	W 0	W 0	E 7	S 28	W 24	WNW 34	NW 35	NW 33	NW 28	NW 32	NW 26	326
28	SSW 38	SSW 36	SSW 32	SSW 36	WSW 28	WSW 25	WSW 28	SW 29	W 24	WSW 16	W 18	WNW 12	768
29	S 0	SSE 0	SSE 4	SE 1	SE 4	SE 3	SE 4	SE 8	E 0	ENE 0	NE 0	NE 10	135
30	SSW 2	SSE 3	S 5	SSW 4	SSW 4	SSW 10	SSW 5	NW 6	W 0	WSW 9	SW 15	WSW 14	183

Dezember.

1	WNW 25	WSW 11	WSW 23	WSW 22	WSW 40	WSW 34	WSW 30	WSW 37	SW 37	WSW 37	WSW 37	WSW 40	578
2	WSW 39	WSW 43	WSW 40	WSW 40	WSW 43	WSW 40	WSW 47	WSW 38	WSW 40	WSW 40	WSW 36	WSW 35	1029
3	WSW 23	WSW 24	WSW 32	WSW 26	WSW 30	WSW 26	WSW 26	WSW 26	W 22	W 23	W 20	WSW 21	651
4	SSW 2	SSW 14	SW 16	SW 18	WSW 25	WSW 21	WSW 16	W 20	WSW 34	WSW 40	WSW 18	WSW 17	519
5	SW 25	SW 21	SW 20	WSW 30	WSW 28	WSW 35	W 35	WSW 36	WSW 37	W 29	W 20	W 18	535
6	SW 22	SW 24	SW 26	SW 22	SW 10	WSW 6	SW 3	SE 11	SSE 13	SSW 19	SSW 22	WSW 25	457
7	SW 52	SW 37	SW 47	SW 53	SW 48	SW 68	SW 93	WSW 65	WSW 60	WSW 48	WSW 44	WSW 40	1001
8	SW 34	WSW 33	SW 30	SSW 11	WSW 42	WSW 42	WSW 42	WSW 34	WSW 34	SW 36	SW 39	SW 41	850
9	WNW 69	WNW 65	WNW 46	W 45	WSW 35	WSW 28	WSW 22	WSW 20	WSW 12	WSW 7	WSW 3	WSW 2	722
10	SW 25	SW 27	SW 18	SSW 23	SSW 30	SSW 21	SSW 21	SSW 23	SW 15	WSW 13	SW 10	SSW 0	249
11	WSW 20	WSW 22	WNW 42	WNW 52	WNW 34	WNW 20	NNW 22	NNW 15	NNW 19	NNW 16	NNW 18	NW 16	595
12	NW 10	NW 3	NW 4	WSW 12	WSW 9	WSW 11	WSW 10	WSW 6	WSW 3	WSW 6	SW 6	SW 8	305
13	WSW 24	SW 18	WSW 22	WSW 36	WSW 53	WSW 29	WSW 26	WSW 28	WSW 24	SSW 18	SSW 20	SW 15	420
14	WSW 11	SW 23	WSW 37	WSW 25	SW 20	WSW 29	WSW 33	WSW 20	WSW 20	SW 24	SW 30	WSW 22	661
15	SSW 3	ENE 2	E 14	SE 32	S 40	SW 40	SW 30	WSW 31	WNW 33	W 38	W 33	WNW 33	494
16	W 5	W 5	WSW 11	W 15	NW 15	NW 14	NW 18	NW 15	NW 8	NW 7	NW 12	NW 2	264
17	NW 2	NNW 0	N 0	N 0	SW 7	WSW 20	W 26	W 28	W 36	WSW 54	SW 38	SW 40	390
18	SW 14	SW 12	WSW 12	W 14	WNW 15	W 4	W 0	W 0	W 0	W 0	SW 7	SW 16	516
19	SE 13	SE 9	SSW 28	SW 36	WSW 38	WSW 30	WSW 15	W 25	WSW 22	SW 16	S 16	SSE 30	546
20	S 25	SSW 37	SSW 34	SSW 42	WSW 84	WSW 86	WSW 64	WSW 62	SW 48	SSW 52	SSW 44	SSW 42	956
21	WSW 73	WSW 127	WNW 92	W 106	WSW 100	WSW 92	WSW 102	WSW 104	WSW 98	W 96	W 80	W 90	1790
22	WSW 33	WSW 30	WSW 28	WSW 27	WSW 34	WSW 39	WSW 33	WSW 39	WSW 42	WSW 58	WSW 78	WSW 71	1095
23	SW 32	W 23	W 5	NW 8	W 9	W 10	NW 10	NW 10	NNW 10	NNW 10	NNW 11	NNW 11	686
24	WSW 40	WSW 62	WSW 64	WSW 63	WSW 73	WSW 74	WSW 70	WSW 72	WSW 78	WSW 72	WSW 62	WSW 62	1131
25	W 28	WNW 66	NNW 58	NNW 58	NNW 62	NNW 32	NNW 33	NNE 34	NNE 32	NNE 22	NNE 17	NNE 16	918
26	WSW 16	WSW 26	WSW 24	WSW 22	WSW 32	WSW 34	WSW 32	WSW 31	WSW 29	WSW 26	WSW 30	WSW 32	684
27	WSW 24	WSW 18	WNW 8	WSW 2	NW 11	NE 8	NE 8	NE 6	NE 8	NE 3	NE 4	E 3	618
28	WSW 25	WSW 28	WSW 35	WSW 33	WSW 44	WSW 52	WSW 57	WSW 59	WSW 66	WSW 80	WSW 84	WSW 51	788
29	W 23	E 17	SE 23	WSW 17	W 38	W 33	WNW 29	NW 25	WNW 25	W 21	SW 17	SW 22	660
30	SW 25	WSW 30	WSW 31	WSW 36	WSW 34	SW 32	SW 35	SW 41	SW 40	SW 47	SW 55	S 42	726
31	ENE 30	NNE 31	NE 30	ENE 24	NE 26	NE 23	NE 29	NE 28	NE 28	NE 22	NE 20	NE 18	662

1911. **Häufigkeit der 16 Windrichtungen** (in Stunden). **Säntis.**

	N	NNE	NE	ENE	E	ESE	SE	SSE	S	SSW	SW	WSW	W	WNW	NW	NNW	Calmen	Summe
Januar	19	129	144	93	14	20	9	24	13	24	35	106	29	36	15	28	6	744
Februar	7	51	77	33	9	4	—	2	—	8	54	318	42	33	17	16	1	672
März	3	5	16	14	12	16	16	18	33	114	133	194	55	64	28	11	12	744
April	5	57	44	28	17	12	44	32	35	29	89	163	43	44	42	10	26	720
Mai	5	37	90	15	7	14	47	41	31	67	65	88	79	45	60	21	32	744
Juni	—	25	23	11	7	4	16	21	24	66	110	262	95	27	16	7	6	720
Juli	5	62	77	86	33	14	27	18	11	22	68	121	51	54	25	19	51	744
August	11	26	37	10	4	8	7	15	14	60	83	199	93	70	39	27	41	744
September	32	17	31	7	18	4	7	3	8	49	87	231	81	75	43	14	13	720
Oktober	7	14	10	17	14	20	22	16	45	113	174	167	49	28	22	10	16	744
November	1	5	19	1	5	3	17	16	25	85	133	313	25	10	20	4	38	720
Dezember	4	6	24	17	4	1	8	12	15	56	131	296	58	39	33	18	22	744
Summe	99	434	592	332	144	120	220	218	254	693	1162	2458	700	525	360	185	264	8760
id. in %	1.1	4.9	6.8	3.8	1.6	1.4	2.5	2.5	2.9	7.9	13.3	28.1	8.0	6.0	4.1	2.1	3.0	100.0

Mittlere Windgeschwindigkeit (Meter pro Sekunde).

	N	NNE	NE	ENE	E	ESE	SE	SSE	S	SSW	SW	WSW	W	WNW	NW	NNW	Mittel
Januar 31 Tage	5.1	6.8	6.8	7.8	4.8	3.6	3.5	6.4	5.2	8.5	5.3	11.0	4.8	6.7	6.5	5.3	—
Februar 28 »	6.7	6.8	5.9	5.3	4.4	4.1	—	8.6	—	25.0	11.1	12.3	8.9	12.9	5.1	5.7	—
März 31 »	3.5	5.9	3.3	7.4	6.1	5.2	7.6	6.3	8.4	7.4	5.1	7.7	6.0	5.2	3.7	6.2	—
April 30 »	2.0	4.2	3.5	3.3	2.8	2.4	3.4	4.6	5.1	4.8	5.6	8.1	5.1	5.0	3.6	5.1	—
Mai 31 »	1.2	3.7	3.1	2.0	1.7	3.3	3.6	4.2	4.4	5.1	3.8	5.8	4.8	5.2	3.9	3.3	—
Juni 30 »	—	4.3	4.3	4.2	2.7	3.1	1.9	3.3	3.5	7.4	5.2	8.8	5.3	5.1	4.8	5.5	—
Juli 31 »	5.5	4.4	2.9	3.7	3.0	3.2	2.4	2.2	2.5	7.1	7.4	10.0	4.4	6.1	3.7	3.0	—
August 31 »	2.5	3.1	1.9	3.5	1.4	1.7	1.9	2.5	2.6	5.0	5.5	8.6	5.1	5.3	3.6	4.1	—
Septemb. 30 »	3.5	4.2	4.4	3.0	2.2	1.0	1.1	5.0	5.0	5.4	5.1	8.2	5.8	5.7	4.3	4.2	—
Oktober 31 »	4.6	5.6	3.8	3.0	3.7	4.4	5.4	5.0	5.9	7.6	6.4	9.0	4.3	3.8	2.5	3.1	—
Novemb. 30 »	3.3	1.5	3.6	2.2	4.6	9.5	5.2	9.5	8.3	8.3	7.2	10.6	4.4	3.4	5.1	9.6	—
Dezemb. 31 »	4.9	7.0	4.9	5.8	3.4	4.2	5.7	5.3	7.0	6.8	7.8	10.0	9.1	8.9	3.4	6.6	—
Mittel	3.6	4.8	4.0	4.3	3.4	3.8	3.5	5.2	4.8	8.2	6.3	9.2	5.7	6.1	4.2	5.1	—

Monatsmittel der Windgeschwindigkeit (in Kilometern pro Stunde).

	1a	2	3	4	5	6	7	8	9	10	11	12	1p	2	3	4	5	6	7	8	9	10	11	12	Mittel
Januar 31 Tage	26.2	25.9	26.8	27.2	28.6	30.0	29.3	27.9	28.6	27.8	25.2	24.2	25.5	23.1	20.5	20.6	22.0	22.6	23.4	24.1	25.3	26.0	27.1	25.6	25.6
Febr. 28 »	38.4	38.2	37.5	36.6	36.7	35.5	36.6	34.8	36.9	34.0	32.4	30.6	34.7	35.7	34.4	33.5	34.4	34.9	35.7	38.6	39.4	41.0	40.1	40.9	36.8
März 31 »	22.5	24.2	21.8	22.1	22.5	22.7	23.8	24.9	23.0	22.2	22.0	20.2	23.5	23.0	21.5	23.4	22.1	22.0	23.2	23.1	23.8	23.7	23.5	22.9	22.8
April 30 »	17.1	16.0	16.1	15.8	15.7	16.2	17.9	19.4	19.1	19.0	17.9	16.5	16.8	18.6	18.4	17.6	18.5	20.2	20.8	21.2	20.8	22.2	19.1	17.0	18.2
Mai 31 »	16.9	15.9	15.8	15.2	15.2	15.8	14.9	16.7	13.4	12.6	14.1	13.1	12.4	12.8	14.4	13.8	14.1	13.0	14.5	14.2	14.4	16.1	15.9	16.6	14.6
Juni 30 »	23.0	23.2	23.2	22.2	22.7	21.0	21.1	24.2	18.8	19.7	22.1	19.2	19.2	19.7	19.8	21.0	23.9	24.4	25.0	27.1	28.1	31.8	25.7	25.1	22.9
Juli 31 »	21.1	21.1	20.8	21.1	23.2	22.8	22.7	24.5	16.6	14.5	15.4	13.0	13.2	14.0	13.3	13.8	16.5	15.7	16.1	16.7	16.8	20.4	18.1	18.7	17.9
Aug. 31 »	22.5	23.1	23.4	24.2	22.9	22.7	21.2	19.0	17.1	15.2	14.4	13.3	14.7	12.7	13.8	15.9	15.7	16.8	18.6	18.3	20.4	22.8	22.0	21.4	18.8
Sept. 30 »	21.8	22.4	24.3	23.9	24.5	25.2	22.9	22.1	19.8	17.6	16.0	15.0	17.2	19.5	20.6	20.2	20.3	21.6	22.4	21.3	20.6	20.4	20.5	21.3	20.9
Okt. 31 »	25.8	24.1	23.1	20.7	20.9	20.0	18.5	20.0	21.5	21.2	19.9	20.4	22.4	21.2	22.2	24.2	25.2	24.1	24.6	24.4	22.5	24.3	26.2	26.5	22.7
Nov. 30 »	32.6	33.6	32.6	31.7	29.0	26.7	26.3	24.5	27.6	28.1	29.0	25.8	30.8	30.6	29.6	30.4	29.5	29.2	28.0	30.1	29.5	30.5	29.6	29.3	29.4
Dez. 31 »	25.6	25.7	25.6	25.4	24.7	25.9	25.9	31.7	28.9	28.2	29.5	27.0	25.5	28.6	29.0	30.6	35.8	33.8	32.8	31.9	31.4	31.6	30.0	28.5	28.9
Mittel d. 365 Tage	24.3	24.5	24.2	23.8	23.9	23.7	23.4	24.1	22.6	21.7	21.6	19.9	21.3	21.6	21.4	22.1	23.2	23.2	22.9	24.3	24.4	25.8	24.8	24.8	23.2

1911. **Weg in Kilometern.** Säntis.

	N	NNE	NE	ENE	E	ESE	SE	SSE	S	SSW	SW	WSW	W	WNW	NW	NNW	Summe
Januar	349	3166	3553	2612	240	258	112	554	243	737	735	4207	503	866	349	539	19023
Februar	169	1255	1631	624	143	59	—	62	—	720	2151	14060	1352	1538	315	331	24410
März	38	106	190	373	264	297	436	411	1000	3039	2452	5340	1193	1194	376	247	16956
April	30	871	558	327	155	106	536	528	636	507	1779	4756	788	788	544	182	13097
Mai	34	495	1010	110	43	166	616	621	494	1231	889	1838	1379	843	845	252	10866
Juni	—	388	360	167	67	44	107	245	304	1767	2049	8274	1816	498	275	138	16499
Juli	99	977	806	1141	355	160	237	142	98	561	1824	4376	815	1182	336	203	13312
August	100	294	258	125	20	49	49	137	129	1075	1632	6188	1699	1323	508	397	13983
September	401	255	490	75	145	14	27	54	145	948	1587	6795	1687	1544	670	212	15049
Oktober	115	280	136	184	186	318	431	289	963	3078	4034	5394	761	382	198	113	16862
November	12	27	247	8	83	103	321	550	747	2556	3467	11984	397	123	370	139	21134
Dezember	70	152	422	358	49	15	163	228	380	1362	3688	10622	1906	1246	404	427	21492
Summe	1423	8266	9661	6104	1750	1589	3035	3821	5139	17581	26287	83834	14296	11527	5190	3180	202683
id. in Prozenten	0.7	4.1	4.8	3.0	0.9	0.8	1.5	1.9	2.5	8.7	13.0	41.4	7.0	5.7	2.6	1.6	100.0

Maximale Geschwindigkeit (Meter pro Sekunde).

		N	NNE	NE	ENE	E	ESE	SE	SSE	S	SSW	SW	WSW	W	WNW	NW	NNW	Mittel
Januar	31 Tage	7.8	14.7	15.0	13.3	10.8	6.7	6.1	11.9	11.1	12.8	14.4	17.8	11.1	10.8	11.9	10.0	—
Februar	28 »	7.8	13.9	11.7	13.3	9.7	6.1	—	10.0	—	30.0	28.3	33.3	30.0	24.7	8.9	9.2	—
März	31 »	4.4	11.1	5.0	17.2	19.4	9.4	14.2	17.2	18.3	20.6	27.8	21.1	27.2	27.8	12.2	11.7	—
April	30 »	4.2	14.2	9.7	8.9	10.0	5.8	11.4	7.2	18.9	10.6	13.9	18.9	15.0	18.9	7.8	8.3	-
Mai	31 »	3.3	7.2	8.3	4.4	3.9	7.5	10.6	11.7	6.9	12.5	7.5	10.6	13.3	11.1	7.5	6.1	—
Juni	30 »	—	8.3	7.8	6.7	7.8	6.9	6.9	7.8	10.8	30.6	18.3	26.1	15.6	13.3	8.9	7.5	—
Juli	31 »	7.5	9.2	8.9	8.9	7.2	5.3	7.5	4.7	6.1	17.8	24.2	24.2	12.8	10.3	9.2	6.7	—
August	31 »	7.2	7.8	5.0	7.8	3.3	3.9	3.9	6.7	6.1	12.2	15.6	24.4	15.0	11.1	7.2	9.7	—
Septemb.	30 »	8.3	6.7	7.5	4.2	4.2	1.9	3.1	8.3	13.9	11.9	16.7	17.2	15.6	13.9	9.7	8.6	—
Oktober	31 »	5.6	8.6	7.8	5.8	14.2	9.4	12.8	10.0	15.6	17.8	20.8	19.4	12.2	9.7	10.0	5.0	—
Novemb.	30 »	3.3	3.1	8.6	2.2	8.6	9.7	15.3	16.4	15.0	19.4	23.3	25.6	16.1	9.4	11.7	10.6	-
Dezemb.	31 »	5.6	9.4	8.3	11.4	4.7	4.2	8.9	9.4	11.7	14.4	23.1	35.3	29.5	25.6	7.2	17.2	—
	Jahr	8.3	14.7	15.0	17.2	19.4	9.7	15.3	17.2	18.9	30.6	28.3	**35.3**	30.0	27.8	12.2	17.2	—

Monatsmittel der Windgeschwindigkeit (in Metern pro Sekunde).

		1 a	2	3	4	5	6	7	8	9	10	11	12	1 p	2	3	4	5	6	7	8	9	10	11	12	Mittel
Januar	31 Tage	7.3	7.2	7.4	7.6	7.9	8.3	8.1	7.7	7.9	7.7	7.0	6.7	7.1	6.4	5.7	5.7	6.1	6.3	6.5	6.7	7.0	7.2	7.5	7.1	7.1
Febr.	28 »	10.7	10.6	10.4	10.2	10.2	9.9	10.2	9.7	10.2	9.4	9.0	8.5	9.6	9.9	9.6	9.8	9.6	9.7	9.9	10.7	10.9	11.4	11.1	11.4	10.1
März	31 »	6.2	6.7	6.0	6.1	6.2	6.8	6.5	6.9	6.4	6.2	6.1	5.6	6.5	6.4	6.0	6.5	6.1	6.1	6.4	6.4	6.6	6.6	6.5	6.4	6.3
April	30 »	4.7	4.4	4.5	4.2	4.4	4.5	5.0	5.4	5.3	5.3	5.0	4.6	4.7	5.2	5.1	4.9	5.1	5.6	5.6	5.9	5.6	6.2	5.3	4.7	5.1
Mai	31 »	4.7	4.4	4.4	4.2	4.2	4.2	4.1	4.6	3.7	3.5	3.9	3.6	3.4	3.4	4.0	3.8	3.9	3.6	4.0	3.9	4.0	4.5	4.4	4.6	4.1
Juni	30 »	6.4	6.4	6.4	6.2	6.8	5.8	5.9	6.7	5.2	5.5	6.1	5.8	5.8	5.5	5.4	5.8	6.6	6.8	6.9	7.5	7.8	8.7	7.1	7.0	6.4
Juli	31 »	5.9	5.9	5.6	5.9	6.4	6.8	6.8	6.8	4.6	4.0	4.8	3.6	3.7	3.9	3.7	3.8	4.6	4.4	4.5	4.6	4.7	5.7	5.0	5.2	5.0
Aug.	31 »	6.2	6.4	6.5	6.7	6.4	6.8	5.9	5.8	4.7	4.2	4.0	3.7	4.1	3.5	3.7	4.4	4.4	4.7	5.2	5.1	5.7	6.2	6.1	5.9	5.2
Sept.	30 »	6.1	6.2	6.7	6.6	6.8	7.0	6.4	6.1	5.5	4.9	4.4	4.2	4.8	5.4	5.7	5.6	5.6	6.0	6.2	5.9	5.7	5.7	5.7	5.9	5.8
Okt.	31 »	7.2	6.7	6.4	5.7	5.8	5.6	5.1	5.6	6.0	5.9	5.5	5.7	6.2	5.9	6.2	6.7	7.0	6.7	6.8	6.8	6.2	6.7	7.3	7.4	6.3
Nov.	30 »	9.1	9.3	9.1	8.8	8.1	7.4	7.3	6.8	7.7	7.8	8.1	7.2	8.6	8.5	8.2	8.4	8.2	8.1	7.8	8.4	8.2	8.5	8.2	8.1	8.2
Dez.	31 »	7.1	7.1	7.1	7.1	6.9	7.2	7.2	8.8	8.0	7.8	8.2	7.5	7.1	7.9	8.1	8.5	9.9	9.2	9.1	8.9	8.7	8.8	8.3	7.9	8.0
Mittel d.	365 Tage	6.8	6.8	6.7	6.6	6.7	6.6	6.5	6.7	6.3	6.0	6.0	5.5	5.9	6.0	6.0	6.1	6.4	6.4	6.6	6.7	6.8	7.2	6.9	6.8	6.5

Übersicht über den täglichen Gang des Luftdrucks.

1911. Abweichungen vom Monatsmittel. Bern.

	Mittel 7h0+	1h30a	2h30	3h30	4h30	5h30	6h30	7h30	8h30	9h30	10h30	11h30	12h30p	1h30	2h30	3h30	4h30	5h30	6h30	7h30	8h30	9h30	10h30	11h30	12h30a	Amplitude
Januar	17.19	.04	−.01	−.12	−.25	**−.33**	−.31	−.20	−.08	.08	.27	.29	.06	−.22	−.30	−.29	−.26	−.11	.05	.18	.29	**.35**	.32	.30	**.25**	0.68
Februar	17.45	**.51**	.50	.28	.13	.16	.16	.22	.31	.30	.24	.19	−.09	−.46	−.60	−.64	**−.66**	−.61	−.36	−.14	−.07	.12	.20	.13	.13	1.17
März	8.80	.25	.15	−.05	−.15	−.19	−.18	−.09	.00	.12	.19	.17	.02	−.22	−.35	−.35	**−.40**	−.36	−.13	.07	.17	.31	**.37**	**.37**	.33	0.77
April	11.03	.22	.10	.05	−.03	−.05	.10	.24	.24	.28	**.30**	.22	.02	−.16	−.31	−.45	**−.51**	−.45	−.38	−.22	.04	.17	.18	.18	.16	0.81
Mai	10.04	.19	.11	.02	.01	.11	.26	.34	.33	.29	.16	.03	−.14	−.33	−.43	−.53	**−.58**	−.54	−.41	−.23	.04	.25	.35	**.40**	.34	0.98
Juni	13.61	.18	.06	−.03	−.02	.07	.18	.26	.26	.14	.08	−.01	−.18	−.38	−.45	−.48	**−.52**	−.47	−.32	−.15	.10	.40	.43	**.44**	.33	0.96
Juli	15.59	.30	.20	.16	.21	.27	.36	.47	**.48**	.38	.27	.07	−.18	−.44	−.57	−.59	−.64	**−.68**	−.61	−.43	−.20	.13	.28	.39	.38	1.16
August	13.38	.06	.07	.11	.14	.26	.37	**.46**	**.46**	.39	.27	.10	−.07	−.32	−.53	**−.66**	−.56	−.51	−.51	−.33	−.05	.09	.18	.23	.29	1.12
Septbr.	14.56	.41	.30	.22	.19	.18	.30	.40	.46	**.49**	.38	.17	−.06	−.31	−.50	−.60	**−.62**	−.61	−.51	−.30	−.10	−.01	.05	.02	.04	1.11
Oktober	12.30	.00	−.08	−.12	−.10	−1.1	−.10	.08	.24	.30	.31	.21	−.07	−.39	−.46	**−.49**	−.43	−.33	−.11	.07	.21	.32	**.34**	.30	.31	0.83
Novbr.	10.06	.04	.01	−.16	−.21	−.18	−.12	.05	.21	.34	**.45**	.35	.02	−.29	−.40	**−.41**	−.34	−.26	−.11	.02	.10	.21	.24	.29	.26	0.86
Dezbr.	12.43	.09	.07	−.08	−.25	−.30	**−.33**	−.26	−.17	.02	.05	−.08	−.27	**−.33**	−.23	−.12	−.02	.15	.18	.28	.36	**.39**	.35	.29	.18	0.72

Extreme des Luftdrucks.

1911. Bern.

	Jan.	Febr.	März	April	Mai	Juni	Juli	Aug.	Sept.	Okt.	Nov.	Dez.
Absolutes Maximum	27.4	26.5	24.8	24.4	16.1	22.7	20.7	18.1	19.4	21.3	21.8	20.4
Absolutes Minimum	0.0	4.9	−2.8	0.5	4.7	5.6	8.6	4.0	4.3	−0.5	−10.2	−0.4
Differenz	27.4	21.6	27.6	23.9	11.4	17.1	12.1	14.1	15.1	21.8	32.0	20.8
Mittleres Maximum	19.38	19.38	10.79	12.90	11.29	15.50	16.89	14.57	16.01	13.89	12.29	14.97
Mittleres Minimum	15.16	15.80	7.11	9.25	8.82	11.91	14.60	12.14	13.21	10.58	7.95	9.74
Differenz	4.22	3.58	3.68	3.65	2.47	3.59	2.29	2.43	2.80	3.41	4.34	5.23

Übersicht über den täglichen Gang der Temperatur.

1911. Abweichungen vom Monatsmittel. Bern.

	Mittel	1h30a	2h30	3h30	4h30	5h30	6h30	7h30	8h30	9h30	10h30	11h30	12h30p	1h30	2h30	3h30	4h30	5h30	6h30	7h30	8h30	9h30	10h30	11h30	12h30a
Jan.	−5.15	−1.20	−1.45	−1.63	−1.76	−1.68	−1.80	−1.80	**−1.83**	−1.01	−0.06	0.97	1.98	2.59	2.90	**3.27**	2.50	1.62	0.96	0.46	0.05	−0.30	−0.69	−0.87	−1.15
Febr.	−0.01	−1.71	−2.05	−2.22	−2.54	−2.75	−2.91	**−2.93**	−2.33	−0.88	0.44	1.85	2.39	2.71	3.24	**3.66**	3.19	2.19	1.45	0.94	0.50	0.07	−0.44	−0.78	−1.08
März	3.86	−2.48	−2.74	−2.99	−3.21	−3.28	**−3.31**	−2.88	−1.36	0.37	1.60	2.76	3.33	3.49	**3.78**	3.75	3.45	2.79	1.70	0.71	0.00	−0.62	−1.25	−1.61	−2.02
April	6.98	−3.03	−3.47	−3.85	−4.17	**−4.51**	−4.11	−2.36	−0.32	1.26	2.24	3.02	3.37	3.84	4.03	**4.10**	3.86	3.25	2.52	1.28	0.15	−0.75	−1.57	−2.08	−2.60
Mai	12.50	−3.44	−3.86	−4.22	**−4.54**	−4.47	−3.63	−2.04	0.06	1.95	2.88	3.60	4.03	**4.13**	3.93	3.72	3.44	2.83	1.98	0.80	−0.19	−0.79	−1.51	−2.06	−2.68
Juni	15.24	−3.71	−4.11	−4.41	**−4.71**	−4.26	−3.11	−1.32	0.62	1.99	3.04	3.72	3.90	**4.00**	3.77	3.60	3.46	2.92	2.36	1.34	−0.08	−1.11	−1.99	−2.66	−3.17
Juli	20.62	−5.20	−5.80	−6.39	**−6.95**	−6.80	−5.16	−2.70	0.16	2.39	4.19	5.18	**5.86**	5.65	5.47	5.36	4.80	4.55	3.70	2.45	0.30	−1.14	−2.23	−3.35	−4.24
Aug.	20.55	−4.86	−5.60	−6.15	−6.59	**−6.91**	−5.76	−3.26	−0.24	2.30	4.36	5.74	**6.33**	6.17	5.75	5.40	4.91	4.26	3.31	1.70	0.15	−1.17	−2.35	−3.31	−4.23
Sept.	15.91	−3.65	−4.01	−4.42	−4.69	**−4.99**	−4.87	−3.56	−1.18	1.32	3.09	4.49	**5.15**	**5.15**	5.06	5.10	4.78	3.93	2.53	0.94	−0.35	−1.43	−2.22	−2.78	−3.38
Okt.	8.66	−1.73	−1.93	−2.09	−2.13	−2.25	**−2.33**	−2.11	−1.30	−0.09	0.99	2.12	2.63	3.07	**3.46**	**3.46**	2.93	1.63	0.72	0.10	−0.38	−0.72	−1.08	−1.41	−1.53
Nov.	4.95	−1.14	−1.35	−1.51	−1.55	−1.56	−1.72	**−1.74**	−1.32	−0.61	0.34	1.34	1.00	2.52	2.88	**3.12**	2.24	1.26	0.61	0.20	−0.22	−0.57	−0.95	−1.12	−1.18
Dez.	2.05	−0.92	−0.91	−0.95	**−1.13**	−1.06	−1.07	−1.04	−0.89	−0.46	0.07	0.74	1.43	2.00	**2.03**	1.99	1.45	0.96	0.54	0.20	−0.17	−0.41	−0.67	−0.89	−0.85

Extreme der Temperatur.

1911. Bern.

	Jan.	Febr.	März	April	Mai	Juni	Juli	Aug.	Sept.	Okt.	Nov.	Dez.
Absolutes Maximum	3.6	11.5	15.7	22.8	22.8	26.0	33.3	31.1	29.7	17.7	17.1	12.2
Absolutes Minimum	−12.4	−15.2	−7.7	−4.8	2.2	5.1	9.2	9.1	5.0	−0.8	−2.5	−4.0
Differenz	16.0	26.7	23.4	27.6	20.6	20.9	24.1	22.0	24.7	18.5	1.96	16.2
Mittleres Maximum	−1.58	4.61	8.62	11.85	17.26	20.29	26.84	27.35	21.59	12.65	8.41	4.79
Mittleres Minimum	−8.27	−4.04	−0.25	1.92	7.71	10.93	13.48	13.46	10.40	5.36	2.21	−0.17
Differenz	6.69	8.65	6.87	9.93	9.55	10.26	13.36	13.89	11.19	7.29	6.20	4.96

Stündliche Mittel der relativen Feuchtigkeit.

1911. Registrierungen eines Haarhygrometers. Bern.

	Mittel	1h a	2h	3h	4h	5h	6h	7h	8h	9h	10h	11h	12h	1h p	2h	3h	4h	5h	6h	7h	8h	9h	10h	11h	12h
Januar	88.0	93.0	92.4	92.3	92.4	92.7	92.1	92.2	91.9	90.4	88.8	86.1	82.3	79.2	77.3	76.1	77.8	83.1	86.3	88.8	90.4	91.7	91.7	91.8	92.3
Februar	76.5	83.6	85.8	85.6	87.2	87.5	88.1	88.0	85.1	79.2	73.6	66.4	63.9	62.8	60.5	59.2	61.0	64.7	69.9	74.7	77.2	80.6	83.1	83.3	84.3
März	76.7	89.2	90.0	91.4	91.9	92.3	92.9	91.4	83.1	74.5	69.4	62.6	60.0	58.7	57.5	56.1	56.9	60.0	66.2	74.5	79.5	82.0	84.9	86.7	88.2
April	70.9	86.4	88.0	88.5	89.8	91.1	91.5	83.9	73.8	66.9	61.2	58.5	55.0	52.2	50.1	49.2	51.3	55.1	56.9	62.1	69.1	74.8	79.0	82.8	84.6
Mai	76.0	93.6	94.5	94.8	95.5	95.1	91.4	84.3	75.8	67.5	63.4	57.8	54.5	53.6	53.8	56.2	57.8	62.7	68.0	73.0	78.9	83.0	87.5	89.6	91.8
Juni	75.9	95.1	95.3	96.4	96.6	94.8	90.0	81.4	73.4	67.2	62.9	58.4	57.5	55.4	55.7	57.5	57.3	59.0	63.6	69.1	76.5	83.3	89.4	91.8	94.1
Juli	61.7	83.5	86.2	88.2	90.1	89.8	82.5	72.6	63.1	55.3	49.7	44.8	40.4	39.1	38.5	37.6	39.8	41.2	43.5	48.4	57.7	64.6	70.3	74.5	79.0
August	63.0	85.5	88.4	90.6	91.2	92.0	87.1	76.4	64.7	54.9	48.3	42.3	38.8	36.8	37.4	39.0	41.0	43.6	47.1	53.3	58.8	66.3	72.0	76.3	81.2
September	74.7	91.7	92.9	94.0	94.2	94.7	94.6	89.2	80.0	70.2	62.9	57.5	54.2	52.0	50.0	49.6	51.1	55.4	63.3	70.3	76.9	82.5	86.2	88.7	90.1
Oktober	87.8	95.8	96.1	95.6	95.4	95.5	95.8	95.3	93.4	87.9	81.5	77.5	74.3	71.9	70.9	71.6	74.9	81.6	87.4	90.9	93.0	94.6	95.2	95.9	96.2
November	88.9	94.0	94.8	95.6	94.8	95.1	96.5	96.6	95.5	92.0	86.7	81.0	77.7	74.0	73.0	72.5	78.3	85.6	89.4	90.9	92.9	93.5	94.6	94.7	94.3
Dezember	91.1	95.0	93.9	94.7	95.6	95.7	95.9	94.9	94.7	93.0	89.9	86.9	83.5	80.7	80.7	80.0	83.6	87.8	90.8	91.6	94.1	94.5	95.6	96.2	95.7
Mittel	77.6	90.5	91.5	92.3	92.9	93.0	91.5	87.2	81.2	74.9	69.8	65.0	61.8	59.7	58.8	58.7	60.9	65.0	69.4	73.9	78.7	82.7	85.9	87.7	89.4

Übersicht über den täglichen Gang der Temperatur.

1911. Abweichungen vom Monatsmittel. Buus.

	Mittel	1h30a	2h30	3h30	4h30	5h30	6h30	7h30	8h30	9h30	10h30	11h30	12h30p	1h30	2h30	3h30	4h30	5h30	6h30	7h30	8h30	9h30	10h30	11h30	12h30a
Jan.	−3.36	−0.77	−0.99	−0.94	−0.94	−0.99	−1.11	−1.15	**−1.26**	−0.79	0.21	0.99	1.93	2.50	**2.72**	2.36	1.42	0.49	−0.04	−0.33	−0.60	−0.60	−0.63	−0.67	−0.70
Febr.	0.88	−1.31	−1.14	−1.28	−1.52	−1.63	−1.98	**−2.01**	−1.96	−1.27	1.79	1.54	2.28	2.76	**3.05**	2.93	2.43	1.44	0.49	−0.15	−0.49	−0.55	−0.57	−0.52	−0.65
März	4.59	−2.17	−2.25	−2.48	−2.62	−2.64	**−2.76**	−2.53	−1.30	−0.49	1.24	2.28	3.16	3.76	**4.12**	4.10	3.80	3.07	1.35	0.03	−0.81	−1.24	−1.56	−1.85	−2.10
April	7.07	−3.04	−3.32	−3.57	−3.91	**−4.14**	−4.01	−2.60	−0.90	1.03	2.38	2.99	3.64	4.27	4.37	**4.51**	4.20	3.79	2.87	0.65	−0.64	−1.41	−1.93	−2.34	−2.78
Mai	12.96	−3.70	−3.97	−4.18	−4.38	**−4.49**	−3.59	−1.97	−0.53	1.12	2.41	3.24	4.09	4.31	4.45	**4.75**	4.14	3.42	3.31	1.25	−0.53	−1.44	−2.03	−2.50	−2.98
Juni	15.37	−3.59	−3.95	−4.24	**−4.45**	−4.37	−3.43	−1.36	−0.04	1.38	2.38	2.89	3.45	3.81	4.09	**4.38**	4.11	3.65	3.19	1.91	−0.18	−1.47	−2.18	−2.67	−3.20
Juli	20.44	−5.35	−5.88	−6.36	−6.70	**−6.79**	−5.59	−2.71	−0.30	2.02	3.37	4.64	5.54	6.49	6.46	**6.50**	6.19	5.15	4.62	3.13	−0.46	−2.30	−3.24	−3.89	−4.62
Aug.	20.32	−4.44	−4.88	−5.48	−5.89	**−6.11**	−5.61	−3.91	−1.52	1.27	3.25	4.74	5.82	6.44	**6.93**	6.70	5.85	5.03	4.18	1.51	−0.99	−2.10	−2.92	−3.53	−4.28
Sept.	15.68	−3.24	−3.46	−3.60	−3.89	−4.13	**−4.24**	−3.18	−1.88	0.21	1.97	3.45	4.53	5.42	5.69	**5.72**	5.24	4.38	2.17	0.00	−1.11	−1.84	−2.40	−2.77	−3.12
Okt.	9.14	−1.59	−1.80	**−1.99**	−1.93	−1.78	−1.80	−1.46	−1.07	−0.22	1.00	2.01	2.86	3.61	**3.70**	3.38	2.49	1.17	0.19	−0.48	−0.89	−1.02	−1.32	−1.54	−1.61
Nov.	5.17	−1.08	−1.44	−1.41	−1.53	−1.59	**−1.70**	−1.61	−1.37	−0.53	0.61	1.65	2.91	3.23	**3.40**	2.66	1.65	0.64	0.09	−0.16	−0.53	−0.76	−1.05	−1.02	−0.96
Dez.	3.29	−0.53	−0.46	−0.46	−0.51	−0.75	−0.70	−0.74	−0.71	−0.35	0.38	1.03	1.46	**1.96**	1.92	1.63	0.78	0.06	−0.21	−0.28	−0.47	−0.64	−0.84	−0.78	**−0.79**

Nr. 3.

Ergebnisse der Niederschlagsmessungen auf den meteor. Stationen I.–III. Ordnung im Jahre 1911.

Die Änderungen im Netze der Meteorologischen und Regenmesstationen finden sich in der Einleitung Pag. IV dieses Bandes angegeben.

Monats- und Jahressummen

der Niederschlagsmessungen sämtlicher meteor. Stationen I.—III. Ordnung im Jahre 1911.

Bei Zählung der Niederschlagstage sind in dieser Tabelle nur die Tage mit mindestens 1,0 mm berücksichtigt worden.

Die mit * bezeichneten Summen sind nach den Nachbarstationen interpoliert.

Stationen:	Höhe üb. Meer	Jan.	Febr.	März	April	Mai	Juni	Juli	Aug.	Sept.	Okt.	Nov.	Dez.	Jahr	Maxima		Zahl d. Tage
A. Rheingebiet																	
I. Quellgebiet bis Bodensee.																	
Tavetsch (Sedrun)	ca 1401	5	64	97	42	51	143	45	84	94	162	108	120	1015	60	6. X.	108
Platta (Medels)	1378	7	63	120	50	42	162	15	99	141	215	136	101	1151	80	25. VI.	112
Surrhein	ca 892	7	68	78	31	34	118	25	80	118	157	88	156	960	55	25. VI. / 21. IX.	84
Panix	ca 1300	6	79	109	53	48	125	42	82	109	147	74	143	1017	45	25. VI.	117
Vrin	ca 1454	8	48	92	53	42	157	11	105	224	184	154	140	1218	81	6. X.	89
Vals	ca 1248	8	28	80	42	46	140	18	66	160	198	111	105	1002	75	6. X.	101
Ilanz	ca 704	5	61	66	44	23	124	21	99	139	157	87	107	933	52	6. X.	92
Flims	ca 1102	8	90	99	62	62	141	34	94	160	146	74	166	1136	70	21. IX.	115
Safienplatz	ca 1270	10	54	75	51	49	160	24	72	155	206	84	138	1078	90	6. X.	110
Bernhardin-Pass	2073	18	48	231	96	127	312	16	225	125	502	415	158	2273	114	25. VI.	120
Hinterrhein	ca 1624	16	54	180	61	91	257	15	184	191	360	273	169	1851	102	25. VI.	123
Splügen (Dorf)	1467	6	48	91	40	48	195	27	161	211	296	169	115	1407	110	21. IX.	108
Avers-Cresta	ca 1949	10	54	66	57	94	207	50	203	151	172	116	117	1297	87	21. VIII.	110
Andeer	ca 980	6	—	—	—	—	—	—	—	—	—	—	83	—	—	—	—
Thusis	ca 711	2	54	74	28	41	128	44	59	134	168	83	102	917	64	6. X.	90
Julier	2237	4	? 27	52	23	58	230	70	150	110	? 192	? 128	? 63	? 1107	105	6. X.	70
Stalla (Bivio)	ca 1780	21	67	97	97	123	208	26	172	162	232	146	154	1505	73	21. VIII. / 21. IX.	127
Mühlen	ca 1461	12	42	29	36	71	165	35	135	? 65	101	59	82	832	49	21. VIII.	90
Savognin	ca 1213	11	63	59	50	41	164	28	113	147	145	101	111	1033	58	21. IX.	104
Latsch	ca 1580	9	61	67	61	68	157	38	143	109	127	104	98	1042	50	6. X.	103
Filisur	ca 1040	9	52	56	47	43	143	28	99	106	130	97	108	918	51	6. X.	96
Davos-Platz	1560	9	75	50	64	43	144	47	101	114	89	63	139	938	34	21. IX.	120
Davos (Schatzalp)	1868	12	73	76	54	50	158	59	111	114	112	69	156	1044	31	25. VI. / 10. XI.	129
Nisellas (Alvaschein)	ca 890	7	50	53	37	43	142	14	84	143	148	88	104	913	58	21. IX.	98
Lenzerheide	ca 1477	14	82	78	53	55	170	19	102	138	152	78	134	1075	60	6. X.	122
Tomils	ca 823	5	57	58	33	39	120	11	51	147	150	67	87	825	67	6. X.	96
Reichenau	604	5	72	58	52	34	130	17	75	135	166	57	147	948	70	6. X.	104
Arosa	1854	10	88	82	51	62	203	47	114	160	188	96	188	1289	79	6. X.	117
Tschiertschen	1350	8	90	72	43	39	169	27	79	131	173	75	141	1047	67	6. X.	110
Langwies	ca 1377	1	96	67	56	62	156	28	52	100	155	81	168	1022	69	6. X.	106
Chur	610	2	71	44	38	44	123	14	72	115	139	68	100	830	56	6. X.	97
Klosters	ca 1207	9	118	84	82	46	?	?	?	?	?	?	159	—	—	—	—
St. Antönien	ca 1460	10	96	71	51	56	183	24	77	99	115	46	161	989	36	25. VI.	129
Schiers	ca 660	7	78	55	41	42	120	21	81	124	96	50	122	837	47	21. IX.	110
Seewis	954	12	100	79	61	55	152	30	92	142	113	53	186	1075	59	21. IX.	131
Plantahof (Landquart)	ca 530	12	85	47	54	20	127	36	83	143	125	67	116	915	58	21. IX.	113
Vättis	951	8	82	50	48	31	147	27	86	129	135	53	93	889	61	21. IX.	116
Valens	ca 920	23	84	81	68	57	173	56	116	152	136	54	146	1146	59	6. X.	115
Ragaz	517	21	87	45	60	37	124	36	88	164	145	55	105	967	68	21. IX.	110
Sargans	507	20	79	88	78	84	163	68	99	153	122	45	111	1110	58	21. IX.	128
Sevelen	464	3	35	33	59	66	145	33	103	153	89	33	58	810	55	21. IX.	105
Haag	448	11	45	63	90	77	201	69	111	214	98	49	121	1149	79	21. IX.	118
Altstätten	449	27	71	44	72	112	172	7	91	140	74	41	91	942	52	17. V.	123
St. Margrethen	ca 406	56	38	41	70	45	182	30	—	—	—	—	—	—	—	—	—
Heiden	797	49	57	59	118	80	195	24	91	156	75	49	97	1050	42	21. IX.	121

Stationen:		Höhe üb. Meer	Jan.	Febr.	März	April	Mai	Juni	Juli	Aug.	Sept.	Okt.	Nov.	Dez	Jahr	Maxima		Zahl d. Tage
II. Bodensee bis Basel.																		
Rorschach		455	34	38	46	68	62	180	23	84	129	50	53	69	836	29	15. IX.	113
St. Gallen		703	38	54	50	94	111	185	13	90	144	64	48	76	967	36	18. V.	124
Arbon	ca	409	25	35	36	47	100	129	13	71	97	50	45	70	718	37	16. V.	110
Amriswil	ca	455	18	30	41	47	65	126	20	62	93	54	42	54	652	28	25. VI.	101
Romanshorn	ca	400	24	36	36	49	68	124	18	57	87	49	46	75	669	26	25. VI.	111
Altnau	ca	458	26	47	34	37	73	138	14	54	99	46	38	86	692	26	25. VI.	108
Kreuzlingen		420	17	37	33	28	55	156	18	60	124	48	39	75	690	42	15. IX.	102
Haidenhaus		694	17	38	33	34	113	127	20	53	112	47	44	71	709	35	17. V.	103
Steckborn	ca	400	18	46	32	25	80	112	18	33	93	49	41	76	623	30	17. V.	99
Eschenz	ca	417	23	34	26	20	53	89	3	35	104	50	43	106	586	31	15. IX.	92
Buch (Schaffhausen)	ca	430	22	40	31	16	71	102	7	42	119	52	46	93	641	45	15. IX.	97
Diessenhofen	ca	410	20	50	33	31	68	106	5	42	103	62	46	101	667	26	15. IX.	100
Lohn		633	19	72	31	23	60	85	22	48	89	63	62	91	665	21	26. II. / 25. VI.	100
Schaffhausen		448	18	36	29	20	61	78	11	45	79	60	48	93	578	21	23. IX.	103
Rheinau	ca	361	13	47	38	25	59	80	10	30	70	60	49	95	576	33	18. V.	92
Wil (bei Rafz)	ca	410	14	62	59	31	68	80	23	26	73	59	45	121	661	31	18. V.	98
Kaiserstuhl	ca	342	11	63	52	41	76	114	7	25	83	67	48	111	698	25	18. V.	108
Unter-Hallau		450	6	51	42	23	64	84	39	42	78	61	51	114	655	20	13. VI.	105
Wilchingen	ca	472	15	58	43	21	57	77	30	36	74	67	48	108	633	20	13. VI.	108
Schleitheim	ca	490	8	65	41	21	52	67	16	51	83	59	51	123	637	19	25. II.	103
Wittnau	ca	415	28	55	50	24	93	95	5	34	86	72	54	80	676	26	15. V.	108
Mohlin	ca	332	27	52	43	39	107	*100	13	59	91	77	81	09	758	37	18. V.	108
Buus		450	32	53	51	38	90	119	31	60	90	81	72	73	790	28	13. VI.	117
Rheinfelden		280	31	40	36	32	86	111	23	54	89	70	85	63	720	28	13. VI.	109
Kilchberg	ca	582	29	51	57	43	106	117	2	42	94	61	50	65	717	26	13. VI.	112
Gelterkinden	ca	415	29	45	55	28	105	116	12	38	88	68	60	61	705	34	15. V.	114
Böckten	ca	385	29	40	50	28	94	110	20	42	83	68	58	53	675	32	15. V.	114
Eptingen	ca	571	30	59	61	33	89	99	47	49	99	62	55	83	766	47	31. VIII.	121
Diegten	ca	500	29	37	46	22	74	112	19	45	88	59	52	63	646	28	18. V.	110
Bennwil	ca	526	29	50	51	24	71	131	14	43	93	61	56	75	698	28	13. VI.	107
Langenbruck	ca	706	36	57	72	27	113	140	10	55	114	62	64	107	857	28	18. V.	127
Waldenburg	ca	533	29	53	51	31	80	122	8	50	87	58	64	83	723	26	13. VI.	114
Lampenberg	ca	404	29	41	40	28	83	140	12	39	79	66	58	62	677	33	3. VI.	108
Reigoldswil	ca	497	32	48	51	38	80	119	55	48	82	71	69	88	781	52	31. VIII.	115
Liestal		325	30	47	36	24	97	138	13	53	81	87	78	69	753	32	13. VI.	110
Arisdorf	ca	430	45	36	40	31	102	114	26	48	87	79	79	51	742	31	13. VI.	114
Basel-Augst	ca	275	35	32	34	24	83	130	9	56	84	79	78	50	694	28	13. VI.	105
Chomdez		405	24	55	85	42	70	138	32	107	94	59	45	76	822	31	13. VI.	120
Mervelier	ca	500	30	56	93	63	105	122	24	79	115	67	77	69	900	28	25. III.	119
Bellelay	ca	930	27	74	118	71	124	145	29	77	130	89	76	127	1087	32	14. IX.	131
Moutier		534	—	—	—	—	—	—	—	—	101	72	60	95	?	—	—	—
Chaluet près Court		825	—	—	—	—	—	—	—	—	120	77	108	100	?	—	—	—
Delemont	ca	435	20	59	65	31	59	141	23	70	83	66	55	62	734	24	19. VI. / 21. VIII.	107
Seewen	ca	551	33	30	37	37	135	142	44	59	73	79	69	52	790	37	31. VIII.	114
Grellingen	ca	328	29	44	61	34	98	144	10	71	82	73	68	49	763	31	13. VI.	119
Pfeffingen	ca	394	34	40	47	21	66	128	2	98	88	70	78	57	729	33	13. VI.	104
Neue Welt	ca	267	31	32	32	37	51	91	11	65	82	69	73	51	625	25	13. VI.	114
Therwil	ca	310	25	36	39	33	73	106	6	64	80	66	71	54	653	25	13. VI.	117
Binningen	ca	286	31	34	40	36	53	97	12	57	75	61	70	53	619	22	13. VI.	110
Basel		277	31	36	41	33	48	108	13	48	72	64	74	56	624	21	13. VI.	114
III. Thur.																		
Wildhaus	ca	1115	34	91	94	104	135	224	74	111	164	79	33	147	1290	48	18. V.	136
Starkenbach	ca	894	34	108	105	107	121	234	111	124	152	115	46	179	1436	48	18. V.	113
Nesslau	ca	753	22	98	81	88	179	224	39	100	135	94	52	138	1250	68	18. V.	113
Ebnat		649	29	85	71	121	148	222	19	110	161	99	66	144	1275	48	17. V.	121
Ricken	ca	790	29	83	65	109	134	186	28	118	134	96	56	115	1153	58	17. V.	113
Lichtensteig	ca	617	22	68	62	99	121	175	8	104	136	59	55	101	1010	44	18. V.	109
Peterzell	ca	705	37	80	75	85	124	194	9	97	136	69	51	94	1051	44	18. V.	113

Stationen:	Höhe üb. Meer	Jan.	Febr.	März	April	Mai	Juni	Juli	Aug.	Sept.	Okt.	Nov.	Dez.	Jahr	Maxima		Zahl d. Tage
Wil (St. Gallen)	ca 584	29	44	41	45	89	164	23	71	109	43	47	70	775	35	25. VI.	108
Nollen	ca 740	24	41	45	53	70	168	34	61	120	49	60	75	800	36	25. VI.	107
Herisau	ca 777	38	39	44	101	114	176	14	95	112	55	32	68	888	33	18. VI.	115
Degersheim	ca 814	41	58	61	92	113	160	2	93	134	70	58	86	968	38	26. VI.	123
Flawil	ca 616	31	60	56	73	90	174	7	117	126	65	61	98	958	60	25. VIII.	115
Bischofszell	ca 502	26	42	45	48	84	154	12	89	114	44	33	63	754	32	25. VIII.	109
Schwäbrig	1152	18	17	40	94	113	175	5	91	146	71	36	79	885	45	21. IX.	117
Säntis	2500	49	239	115	205	95	331	42	136	191	187	80	359	2029	72	1. X.	148
Appenzell	ca 781	32	73	47	110	109	248	41	112	153	80	46	94	1145	50	9. VI.	127
Urnäsch	ca 837	34	50	55	109	130	246	17	92	140	90	44	93	1100	57	18. V.	116
Teufen	ca 853	43	60	49	120	127	187	17	90	146	68	49	77	1033	62	18. V.	115
Sulgen	ca 483	20	39	36	47	69	134	10	58	89	44	40	73	659	30	25. VI.	104
Weinfelden	ca 446	25	46	39	44	60	145	13	56	86	41	37	85	677	30	25. VI.	107
Raperswilen	ca 590	24	42	33	31	80	143	?	?	?	?	45	97	?	—	—	—
Müllheim	ca 415	16	45	34	24	77	147	4	46	108	31	45	75	652	34	15. IX.	99
Dussnang	ca 595	34	82	62	66	111	196	14	73	150	69	59	116	1032	36	25. V.	110
Eschlikon	ca 562	22	34	26	60	121	179	10	80	115	42	51	108	848	57	17. V.	104
Wängi	ca 430	22	46	37	29	120	173	6	48	100	29	30	88	728	32	17. V.	100
Aadorf	ca 538	23	60	42	42	136	158	6	51	104	48	42	102	814	40	17. V.	113
Affeltrangen	ca 495	29	37	41	44	110	157	14	66	90	41	41	80	750	39	17. V.	105
Thundorf	ca 560	26	44	40	42	94	148	5	49	97	53	46	82	726	31	17. V.	113
Frauenfeld	425	25	41	35	31	97	134	9	50	98	42	45	85	692	26	13. VI.	105
Kalchrain	ca 585	22	32	34	35	99	106	6	41	105	41	36	60	617	42	17. V.	100
Nieder-Neunforn	ca 446	21	34	31	25	81	103	3	65	113	49	42	77	644	43	15. IX.	91
Andelfingen	370	19	38	38	23	58	85	3	34	83	54	40	86	561	20	13. VI.	100

IV. Töss.

Bauma	ca 643	31	75	60	73	104	187	44	122	128	67	63	108	1062	36	18. V.	124
Sternenberg	ca 880	22	49	47	64	68	195	18	86	135	55	68	58	865	36	25. VI.	110
Kollbrunn	ca 495	29	75	56	42	133	135	8	55	111	51	44	106	845	37	18. V.	113
Fehraltorf	ca 536	24	52	49	49	88	139	13	78	116	52	50	71	781	29	25. V.	107
Winterthur	445	26	62	52	35	103	140	6	61	104	48	45	95	777	38	18. V.	110

V. Glatt.

Grüningen	ca 488	19	51	46	50	70	180	14	76	89	62	63	80	800	29	25. VI.	109
Pfäffikon	ca 550	30	55	51	47	89	149	27	90	105	58	51	74	826	30	18. V.	107
Uster	ca 466	26	57	49	38	86	143	17	72	103	55	44	73	763	29	25. VI. / 30. VIII.	111
Dübendorf	ca 440	26	63	49	31	90	120	11	56	96	56	46	81	725	26	30. VIII.	106
Niederhasli	ca 425	17	48	43	18	81	108	13	40	85	52	40	75	620	22	22. V.	104
Hochfelden	ca 401	18	69	50	29	59	107	13	41	82	51	43	75	637	25	18. V.	103

VI. Limmat.

Weisstannen	ca 1006	29	97	72	81	82	188	78	129	154	157	62	119	1248	48	25. III.	141
Walenstadt	ca 430	18	70	50	82	128	206	86	102	145	83	38	94	1102	76	18. V.	124
Obstalden	ca 690	27	76	86	94	88	228	90	112	114	127	39	89	1170	44	1. X.	118
Weesen	ca 430	32	65	56	54	72	122	47	77	105	72	33	88	823	33	18. V.	105
Elm	958	23	104	98	77	97	182	66	106	156	171	73	135	1288	69	6. X.	132
Auen (Linthtal)	821	16	126	140	104	86	181	68	108	141	171	57	183	1381	60	2. III.	132
Glarus	477	24	86	82	80	88	173	64	128	115	91	44	119	1094	42	25. VI.	119
Klönthal	ca 838	*25	94	97	96	117	199	82	114	153	126	37	129	1269	47	25. VI.	119
Oberkirch (b. Uznach)	ca 468	31	68	73	81	119	192	17	92	119	79	54	80	1005	51	25. VIII.	112
Vorder-Wäggithal	ca 740	22	101	112	133	146	260	56	97	158	116	59	132	1392	48	18. V.	126
Lachen	ca 410	33	55	67	85	63	178	11	100	118	64	51	69	894	43	25. VIII.	115
Wald (Sanatorium)	910	42	82	74	73	172	294	39	124	134	93	61	100	1288	91	2. VI.	122
Bachtel	ca 1119	38	64	73	94	105	179	13	95	131	77	53	103	1025	42	25. VI.	125
Wernetshausen	ca 730	35	56	59	84	95	174	8	96	120	68	55	86	936	45	25. VI.	113

Stationen:	Höhe üb. Meer	Jan.	Febr.	März	April	Mai	Juni	Juli	Aug.	Sept.	Okt.	Nov.	Dez.	Jahr	Maxima		Zahl d. Tage
Rapperswil	ca 412	29	51	63	59	52	173	16	107	99	59	47	56	811	52	25. VIII.	102
Stäfa	560	21	68	50	75	102	174	15	83	92	44	62	77	863	37	25. VI.	108
Wädenswil (Dorf)	ca 420	26	68	61	66	83	178	12	52	102	66	74	99	887	39	17. V.	100
Schönenberg (Waldhalde)	ca 700	35	53	80	84	93	192	13	89	126	78	71	114	1028	32	25. VI.	118
Küsnacht (Zürich)	ca 427	26	60	50	42	66	152	16	54	108	50	45	74	743	29	25. VI.	105
Thalwil	ca 425	—	—	—	—	—	—	—	—	—	—	48	93	—	—	—	—
Oberiberg	1090	12	104	128	127	123	235	61	115	159	117	55	150	1386	52	25. VI.	135
Euthal	ca 895	38	90	107	114	111	255	25	89	134	99	48	120	1230	50	25. VI.	135
Einsiedeln	914	33	84	82	113	100	241	50	102	132	83	59	115	1194	47	18. V. / 25. VI.	122
Albisborn	915	24	39	?49	?49	63	?152	15	58	109	50	51	?57	?716	30	25. VI.	104
Sihlwald	493	37	61	60	44	64	159	19	67	118	52	55	111	847	29	25. VI.	115
Zürich (Epilep. Anst.)	ca 460	27	60	50	33	69	125	21	51	98	51	46	72	703	26	25. II.	112
Zürich (Meteor. C.-A.)	493	28	59	54	44	68	116	40	57	100	54	45	71	736	32	24. VII.	119
Schlieren	ca 400	16	63	57	28	52	96	4	44	97	51	42	80	630	26	25. II.	98
Dietikon	ca 392	26	59	66	22	67	128	2	51	79	74	58	100	732	23	3. VI. / 27. X.	112
Boppelsen	ca 525	23	65	68	29	69	128	8	36	97	51	48	85	707	32	3. VI.	108
Baden	385	25	64	61	20	102	96	8	35	91	55	66	100	723	29	15. XII.	97
VII. Reuss.																	
Andermatt	1446	17	112	192	61	78	153	17	90	135	177	121	132	1285	64	6. X.	121
Altkirch (Kaserne)	ca 1450	21	117	213	84	91	186	27	100	162	180	115	131	1427	72	3. III.	125
Göschenenalp	1715	—	—	—	—	—	—	—	68	144	148	72	85	—	—	—	—
Göschenen	1107	32	96	168	79	65	165	34	78	154	200	148	137	1356	57	25. VI.	126
Färnigen b. Wasen	ca 1460	—	—	—	—	—	—	—	71	119	133	69	221	—	—	—	—
Gurtnellen	742	13	65	126	58	39	142	39	66	114	131	70	104	967	56	6. X.	106
Lungenstutz b. Amsteg	ca 1097	—	—	—	—	—	—	—	104	130	195	79	148	—	—	—	—
Unterschächen	ca 1050	23	72	100	68	—	—	—	—	—	—	—	—	—	—	—	—
Altdorf	456	19	56	94	62	77	186	59	104	109	89	59	63	977	48	25. VI.	107
Isenthal	ca 778	25	76	132	71	86	205	37	86	148	127	53	122	1168	50	1. X.	132
Bisisthal	ca 900	29	123	138	101	96	223	125	136	147	123	58	140	1439	59	24. VII.	126
Sattel	ca 832	40	70	95	102	95	203	60	111	145	89	52	119	1181	45	25. VIII.	127
Gersau	442	39	59	113	92	77	224	48	57	152	152	70	94	1177	53	1. X.	128
Vitznau	440	49	54	88	83	123	178	72	76	143	78	52	76	1072	51	18. V.	112
Rigi-Kulm	1787	35	41	102	107	127	271	48	141	198	118	52	65	1305	53	25. VI.	123
Küssnacht (Schwyz)	ca 440	37	37	68	69	109	165	30	95	112	66	48	80	916	40	25. VIII.	111
Weggis	450	34	46	82	84	115	159	35	84	135	67	46	74	961	40	18. V.	118
Engelberg	1018	31	90	125	102	137	228	48	101	144	111	52	113	1282	48	18. VI.	127
Stans	ca 456	9	13	44	80	123	195	35	91	117	79	35	61	882	44	25. VIII.	102
Lungern	ca 726	27	115	114	72	123	188	29	99	117	89	67	172	1212	63	18. V.	126
Sarnen	487	20	44	71	50	116	141	34	66	108	73	45	77	845	42	18. V.	110
Pilatus-Kulm	2068	62	103	135	133	175	191	37	114	138	95	30	110	?1323	48	25. VIII.	139
Luzern	453	32	39	81	67	147	205	47	91	126	62	58	76	1031	64	17. V.	112
Flühli	ca 893	39	78	101	80	142	210	39	104	157	109	82	139	1280	52	25. VIII.	123
Entlebuch	ca 722	22	65	86	77	164	185	22	96	111	66	67	123	1084	65	18. V.	122
Buchsteg (Eigental)	ca 1050	45	65	100	143	189	203	31	138	131	83	48	134	1310	68	25. VIII.	129
Unter-Aegeri	ca 735	19	47	76	103	98	176	17	104	115	80	65	109	1009	45	18. V.	109
Walchwil	426	34	45	83	81	88	156	30	100	105	74	43	84	923	40	18. V.	115
Zug	ca 429	27	36	62	65	89	161	17	61	97	56	51	76	798	36	18. V.	85
Cham	ca 425	28	40	54	43	135	151	16	58	86	72	58	76	817	63	17. V.	116
Mettmenstetten	ca 483	26	47	49	44	107	137	26	66	81	36	55	65	739	21	18. V. / 21. VI.	111
Hausen a./Albis	ca 603	36	54	59	54	77	149	14	68	109	54	59	81	814	28	25. VI.	104
Bremgarten	ca 371	22	59	53	30	90	103	15	51	113	57	50	69	712	30	15. IX.	111
VIII. Aare.																	
Guttannen	1055	47	115	262	115	89	202	31	103	130	163	135	134	1526	67	25. III.	135
Gadmen	393	—	—	—	—	—	—	—	86	135	92	66	104	—	—	—	—
Meiringen	605	26	65	130	67	89	203	48	99	116	99	64	110	1116	38	2. III.	120
Brienz	ca 575	20	74	126	37	90	?84	35	52	106	53	47	60	784	44	25. III.	96
Eigergletscher	2323	37	104	173	115	145	242	59	108	178	219	139	259	1778	61	4. X.	139
Grindelwald	1050	22	50	?55	50	92	186	31	61	128	97	75	103	950	34	25. VI.	106
Lauterbrunnen	ca 810	24	70	95	41	77	166	64	100	132	69	62	95	995	34	25. II.	118

Stationen:	Höhe üb. Meer	Jan.	Febr.	März	April	Mai	Juni	Juli	Aug.	Sept.	Okt.	Nov.	Dez.	Jahr	Maxima		Zahl d. Tage
Interlaken	592	26	80	102	55	78	169	48	57	129	88	57	96	985	47	25. II.	118
Beatenberg	1148	32	72	141	70	104	188	59	92	146	112	66	109	1191	41	16. IX.	139
Kandersteg	ca 1170	24	59	123	59	84	151	43	83	124	68	61	100	979	34	16. IX.	120
Adelboden	ca 1365	22	48	126	70	86	134	37	93	132	77	53	95	973	46	3. III.	129
Frutigen	ca 820	18	54	134	42	68	121	32	70	112	62	46	92	851	35	16. IX.	117
Kienthal	ca 970	24	65	135	65	110	175	44	82	150	85	60	102	1097	48	18. V.	127
Lenk	ca 1071	15	79	116	49	80	132	66	58	117	82	64	159	1017	43	3. III.	121
Zweisimmen	ca 960	12	96	105	50	103	143	34	67	112	101	59	142	1024	41	25. II.	118
Boltigen	ca 830	14	96	94	55	92	136	25	70	118	96	54	150	1000	41	25. II.	123
Wimmis	ca 640	20	65	95	53	100	160	19	64	125	87	55	86	929	47	18. V.	126
Heiligenschwendi	ca 1125	26	41	80	64	121	142	11	82	117	81	39	72	876	31	27. V.	114
Thun	565	19	40	73	48	97	128	17	147	106	61	40	57	833	80	6. VIII.	113
Schwarzenegg	ca 910	26	34	102	66	129	168	11	106	124	75	51	75	967	36	25. III.	120
Grosshöchstetten	ca 750	30	43	87	37	138	161	30	90	93	61	54	89	913	31	30. VIII.	119
Belp	ca 525	15	48	75	45	157	137	11	75	80	85	67	113	908	45	31. V.	111
Bern	572	16	50	68	40	124	117	1	45	71	66	65	105	768	32	9. V.	107
Lauenen	ca 1260	15	90	?	40	60	152	48	56	68	115	?19	?	?	?	?	?
Gsteig bei Saanen	ca 1180	10	86	103	56	76	157	43	82	101	112	68	147	1041	38	3. III.	125
Saanen	ca 1030	11	68	106	54	99	114	68	63	118	104	57	108	970	46	3. III.	113
Château d'Oex	ca 961	14	88	105	59	76	144	34	58	64	135	63	132	972	50	{ 3. III. 1. X.	112
Jaun	ca 1030	27	75	127	66	119	189	40	107	131	142	85	154	1262	38	3. III.	123
La Valsainte	ca 1032	32	50	127	82	129	174	17	64	141	120	65	112	1113	39	18. V.	106
Marsens	727	15	54	92	65	105	167	12	34	82	105	103	167	1001	35	18. V.	116
La Roche	ca 770	21	46	99	50	139	171	13	55	98	63	98	119	972	41	18. V.	119
Romont	ca 764	12	47	85	46	70	169	5	56	86	101	109	120	906	44	9. XI.	118
Freiburg	ca 650	17	35	84	54	102	157	8	52	64	73	78	100	824	31	25. III.	112
Plaffeyen	ca 850	8	22	60	49	141	167	66	66	81	93	80	107	940	30	25. VII.	108
Schwarzenburg	ca 800	26	47	128	65	117	145	9	67	99	80	78	115	976	37	25. III.	113
Aarberg	ca 465	9	55	64	25	83	109	4	45	82	45	41	91	653	26	9. XI.	91
Lyss	ca 450	?	—	—	—	—	—	—	?	—	?	?	?	?	?	?	?
Palézieux	ca 633	13	70	86	68	71	161	5	48	121	174	137	178	1132	39	9. XI.	113
Moudon	ca 515	7	54	80	39	61	123	13	65	80	114	137	139	912	56	9. XI.	101
Corcelles	ca 560	4	32	55	24	49	129	43	55	73	91	96	96	747	50	9. XI.	98
Yverdon	ca 440	3	39	54	29	65	139	32	79	98	80	94	104	816	34	9. XI.	100
Payerne	ca 445	10	41	58	30	83	162	10	43	77	90	104	103	811	49	9. XI.	105
Murten	ca 460	9	42	78	30	70	169	10	49	111	66	91	89	814	35	9. XI.	114
La Cure	ca 1165	12	89	116	66	93	168	37	88	97	167	163	230	1326	43	25. II.	130
Le Sentier	ca 1024	18	89	96	68	92	176	75	60	88	161	103	203	1229	47	25. II.	137
Le Solliat	ca 1050	16	125	114	82	86	169	78	55	98	161	125	246	1355	61	25. II.	136
Montchérand	565	9	52	72	36	91	141	30	86	64	107	86	147	921	46	18. V.	113
Vaulion	ca 339	15	90	94	84	119	185	37	73	92	153	109	243	1294	46	18. V	130
Valleyres-sous-Rances	505	5	68	76	36	72	136	28	77	85	89	76	152	900	37	25. II.	101
Baulmes	ca 634	13	90	121	68	91	199	39	53	107	138	94	228	1241	47	2. VI.	100
Limasse	ca 1128	0	73	108	84	129	187	48	100	96	121	111	131	1188	42	21. VIII.	120
St-Sulpice	ca 760	11	104	131	72	158	174	35	60	94	174	107	201	1321	57	25. XII.	126
Couvet	ca 750	8	91	120	57	101	141	41	64	90	138	89	181	1121	42	25. IV.	129
Brot-Dessous	ca 868	10	61	93	47	98	136	25	76	77	120	132	142	1017	40	9. XI.	118
Boudry	ca 409	—	80	100	43	?	?	?	?	?	?	?	?	?	?	?	?
Chambrelien	ca 743	5	68	104	41	94	151	31	103	73	127	128	179	1104	40	9. XI.	119
La Brévine	1070	18	85	100	60	130	155	52	52	102	137	117	187	1195	39	24. VII.	124
Les Ponts	1020	25	89	154	67	113	163	20	93	109	122	92	178	1225	59	25. II.	113
Chaumont	1127	13	63	74	35	67	153	18	174	93	102	100	107	999	69	6. VIII.	117
Dombresson	740	13	72	112	37	66	137	24	117	89	90	90	139	986	46	20. VIII.	123
Cernier	800	?	?	131	55	80	153	31	111	79	129	92	187	?	50	20. VIII.	?
Hauts-Geneveys	ca 870	21	102	148	81	102	164	34	127	130	145	108	217	1379	49	3. III.	140
Serrières	ca 470	10	50	*80	13	87	161	18	119	51	84	97	101	871	40	9. XI.	?79
Malvilliers	ca 860	12	74	116	60	102	185	24	155	110	141	93	174	1246	66	20. VIII.	100
Valangin	ca 655	10	74	89	30	91	164	25	140	82	99	101	117	1022	50	20. VIII.	118
Neuenburg	488	7	58	77	26	72	161	15	101	95	90	104	112	918	41	9. XI.	114
Champ-Fahy (s. Neuveville)	ca 800	21	68	93	32	99	161	14	104	94	84	100	112	982	34	9. XI.	125
Biel	ca 440	14	82	83	33	56	164	9	65	116	76	102	120	920	41	25. II.	115

Stationen:	Höhe üb. Meer	Jan.	Febr.	März	April	Mai	Juni	Juli	Aug.	Sept.	Okt.	Nov.	Dez.	Jahr	Maxima		Zahl d. Tage
Evilard	ca 700	13	87	84	39	60	151	17	60	114	77	90	141	933	38	25. II.	110
Solothurn	ca 442	18	75	72	28	87	138	2	63	120	72	89	128	892	39	25. II.	110
Mont-Soleil	ca 1250	42	121	77	90	124	172	32	64	113	117	93	160	?1205	39	18. V.	126
St. Imier	ca 814	26	91	139	80	86	165	21	82	130	112	196	194	1322	39	24. XI.	113
Weissenstein	1283	18	73	58	52	108	143	3	77	89	68	110	136	935	28	17. V. / 30. VIII.	115
Feldbrunnen	ca 455	20	79	77	27	92	137	2	73	115	65	81	137	905	40	25. II.	108
Herbetswil	ca 526	20	98	81	37	56	136	2	94	99	79	87	136	925	42	2. VIII.	115
Balsthal	503	24	57	67	23	83	121	11	54	82	61	54	93	730	25	21. XII.	113
Schangnau	ca 930	38	66	126	92	192	207	10	120	148	88	69	117	1273	43	18. V.	124
Eggiwil	ca 820	35	51	94	54	133	171	30	85	125	77	47	89	991	36	18. V.	111
Marbach	ca 875	37	75	133	84	157	225	29	128	138	85	74	126	1291	49	18. V.	132
Escholzmatt	ca 853	40	59	133	72	152	170	57	110	137	78	76	126	1210	54	18. V.	122
Langnau	ca 685	31	58	85	48	115	158	12	83	104	64	52	112	922	40	18. V.	115
Wasen	ca 755	27	56	99	47	120	154	28	50	117	70	61	108	937	44	18. V.	121
Affoltern i/E.	795	27	57	90	43	96	138	36	49	107	81	63	94	881	38	18. V.	129
Burgdorf	ca 535	16	54	78	26	87	109	8	45	87	69	69	98	746	33	25. III.	111
Herzogenbuchsee	ca 475	21	62	65	22	86	115	3	50	104	67	62	105	762	23	25. II. / 31. V.	109
St. Urban	ca 452	18	65	64	33	91	110	7	43	116	55	54	120	776	25	25. II.	112
Luthern	ca 778	30	73	86	61	155	154	22	71	124	74	70	137	1057	44	18. V.	125
Willisau	ca 560	20	58	89	35	116	135	5	*50	105	62	56	76	807	43	25. III.	122
Zofingen	ca 436	20	46	54	22	84	109	12	53	115	57	48	90	710	26	18. V.	118
Olten	ca 400	26	68	57	26	96	146	12	54	102	74	59	123	843	33	19. VI.	119
Triengen	ca 523	20	52	71	31	98	146	62	57	117	52	49	91	846	58	24. VII.	103
Kölliken	ca 431	20	64	69	24	106	106	5	49	112	58	53	112	778	28	18. V.	108
Münster	ca 656	23	51	73	35	124	180	20	54	114	57	72	101	904	40	15. V.	124
Unter-Kulm	ca 470	21	49	55	25	188	103	5	37	121	61	55	97	817	83	15. V.	93
Aarau	406	21	65	54	21	151	131	8	69	116	54	48	84	822	33	18. V.	111
Hitzkirch	ca 520	21	58	57	45	107	161	18	62	97	50	65	82	823	27	25. III.	121
Muri	483	25	60	54	26	121	134	23	55	88	48	62	77	773	52	17. V.	102
Brugg	ca 356	18	65	41	—	—	—	—	—	—	—	—	—	—	—	—	—
Schöfflisdorf	ca 476	16	65	58	28	68	121	9	36	88	57	41	97	684	32	3. VI.	105
Böttstein	360	13	86	60	37	109	87	6	29	94	78	56	116	771	48	25. II.	97
Burg	ca 625	21	56	62	42	125	135	29	68	117	62	63	106	886	30	17. V.	116

B. Rhonegebiet.

I. Rhone und Genfersee.

Furka (Galenhütten)	ca 2406	48	29	88	50	29	101	10	47	46	89	75	37	?649	35	10. I.	86
Gletsch	ca 1760	24	127	184	66	64	124	16	54	107	195	179	206	1346	55	23. X.	126
Oberwald	ca 1370	30	96	181	42	40	141	13	52	137	140	144	*130	1146	64	22. XI.	87
Reckingen	1349	6	60	152	40	14	92	12	38	122	115	116	112	873	58	6. X.	88
Fiesch	ca 1080	7	65	167	32	18	54	14	25	109	96	135	109	831	57	26. III.	85
Binn	ca 1390	18	47	161	?	?	?	?	60	121	145	150	63	?	—	—	—
Simplon (Dorf)	ca 1480	20	40	208	37	106	87	12	41	58	75	110	41	835	39	9. XI.	93
Saas-Tannmatten	ca 1562	35	49	138	19	38	57	5	39	88	86	151	72	777	60	22. XI.	73
Saas-Fee	1800	18	59	137	42	45	83	4	47	78	105	127	?32	777	63	6. X.	88
Zermatt	1613	24	41	85	16	47	68	3	49	66	81	83	110	673	40	25. II.	76
Grächen	1629	18	34	63	13	32	?	?	23	59	40	85	40	—	—	—	—
Kippel	ca 1376	15	67	98	32	25	77	20	37	64	76	63	140	714	34	25. II.	111
Leukerbad	1415	14	70	71	26	39	99	11	23	96	46	73	112	680	44	2. III.	72
Varen bei Leuk	ca 750	13	48	62	25	30	52	19	17	61	35	45	58	465	34	3. III.	81
Siders	551	14	46	38	14	29	53	13	21	57	38	38	87	448	25	25. II.	81
Zinal	ca 1678	17	64	103	6	15	67	6	58	70	58	117	162	743	25	2. II. / 22. XII.	82
Vissoye	ca 1260	9	39	60	18	25	53	16	38	65	35	41	60	459	19	25. II.	69
Nax	ca 1300	6	56	58	23	28	43	9	24	73	40	43	93	496	31	25. II.	82
Hérémence	ca 1240	5	57	53	28	31	64	29	52	84	41	41	73	558	28	25. II.	92
Sion	540	6	57	43	16	18	48	10	24	54	34	36	82	428	36	25. II.	85
Bagnes (Chable)	ca 836	14	68	99	25	46	51	6	44	94	49	49	131	676	48	25. XII.	88
St. Bernhard	2475	32	99	146	52	94	185	25	43	132	141	166	162	1277	38	13. VI.	125
Bourg St-Pierre	ca 1633	13	34	107	20	53	69	21	45	111	57	66	57	653	42	3. III.	97
Praz de Fort		-	-	-	—	—	—	—	—	—	—	39	99	—	—	—	—
Orsières	ca 890	8	25	48	17	29	39	6	34	86	50	41	114	497	27	22. XII.	67

Stationen:	Höhe üb. Meer	Jan.	Febr.	März	April	Mai	Juni	Juli	Aug.	Sept.	Okt.	Nov.	Dez.	Jahr	Maxima		Zahl d. Tage
Martigny-Ville	ca 480	18	61	60	18	12	58	42	36	56	56	66	151	634	25	5. XII.	96
Lavey	440	13	64	111	39	40	117	53	67	107	87	50	115	863	31	25. II. 25. III.	111
Gryon	ca 1130	26	105	154	62	69	127	77	62	178	121	76	254	1311	54	22. IX.	105
Dailly	ca 1253	23	58	146	76	61	108	60	70	127	96	49	105	979	40	25. III.	106
Aiguille	1446	26	68	157	78	59	105	54	69	121	98	58	108	1001	38	25. III.	120
Savatan	671	14	62	128	52	40	107	56	69	119	83	44	106	880	35	3. III.	100
Champéry	ca 1052	37	46	43	40	49	67	27	88	82	78	75	119	751	41	11. XII.	85
Rochers de Naye	1971	18	77	150	69	123	207	39	74	220	159	—	—	—	—	—	—
Clarens	376	14	52	112	47	54	113	37	88	135	92	55	105	904	36	15. IX.	105
Lausanne	553	13	37	90	48	59	151	15	69	84	132	118	124	940	56	9. XI.	108
Cossonay	ca 575	5	37	55	21	48	145	31	54	51	129	112	120	814	42	9. XI.	103
Morges	380	7	48	55	44	57	137	11	48	72	108	134	137	858	50	9. XI.	99
Longirod	ca 900	—	84	81	56	68	191	13	80	70	128	114	168	1053	37	25. II.	109
St. Cergues	ca 1050	8	95	58	83	66	207	12	119	67	188	168	219	1290	48	4. X.	125
Les Rouges s/Chéserex	ca 717	4	105	93	71	47	213	13	67	96	180	138	239	1266	44	25. II.	112
Nyon	ca 405	2	51	60	36	47	109	42	72	61	120	132	144	876	55	9. XI.	103
Céligny	ca 435	3	54	57	37	60	125	4	83	65	128	135	145	896	54	9. XI.	107
Collex	ca 440	3	56	63	37	50	96	3	74	53	143	128	140	846	58	9. XI.	106
Chambésy	ca 400	3	44	54	47	46	89	5	83	66	140	130	126	833	61	9. XI.	107
Genf	405	2	39	50	47	40	83	5	79	59	138	136	120	798	67	9. XI.	101
Châtelaine	ca 430	2	38	52	47	44	80	6	81	58	138	130	115	791	60	9. XI.	101
Hermance	ca 380	0	49	53	40	49	124	6	64	67	135	132	125	844	65	9. XI.	87
Cologny	ca 450	4	41	54	44	56	81	4	90	59	132	128	114	807	58	9. XI.	110
Jussy	ca 475	6	41	63	50	69	124	3	88	70	128	129	120	891	63	9. XI.	100
Puplinge	ca 435	3	38	53	39	55	111	2	72	70	124	115	114	796	60	9. XI.	?
Veyrier	ca 425	0	50	54	30	55	93	5	88	73	123	123	119	813	58	9. XI.	87
Compesières	ca 476	1	42	49	36	59	90	4	69	65	120	130	114	779	61	9. XI.	90
Satigny	ca 460	2	73	71	33	25	97	2	71	43	152	125	147	841	55	9. XI.	93
Athenaz	ca 430	3	47	50	39	23	73	2	80	58	144	123	118	760	52	9. XI.	107
II. Doubs.																	
Les Brenets	878	17	56	95	69	127	152	33	74	100	126	81	174	1104	39	18. V.	134
La Chaux-de-Fonds	886	37	77	112	80	99	174	42	62	113	136	84	193	1209	39	3. III.	135
Saignelégier	ca 985	35	84	102	71	182	170	10	98	99	107	76	186	1220	56	21. VIII.	147
Mormont	ca 550	29	63	65	55	114	113	18	44	85	80	74	105	845	28	21. VIII.	116
C. Pogebiet.																	
I. Tessin.																	
Gotthard	2103	21	75	130	73	111	277	10	151	215	280	185	129	1657	90	25. VI.	148
Airolo	1143	6	61	122	42	79	218	4	200	112	343	295	115	1597	116	6. X.	110
Faido	759	3	35	105	36	79	150	2	68	110	261	?219	86	1154	89	6. X.	94
Olivone	ca 893	—	49	115	27	88	175	12	92	130	264	247	108	1307	90	6. X.	76
Comprovasco	544	3	33	89	38	93	181	6	93	106	254	219	99	1214	80	25. VI.	101
Biasca	ca 300	7	30	101	40	93	228	5	305	141	358	254	114	1676	104	22. VIII.	101
Braggio	1313	10	23	93	58	111	353	32	342	173	247	243	115	1800	178	21. VIII.	108
Misox	ca 785	3	22	128	53	97	246	30	259	128	255	210	135	1566	116	21. VIII.	106
Grono	335	6	24	100	56	106	268	31	269	144	255	210	96	1565	121	21. VIII.	99
Bellinzona	237	10	20	109	56	85	322	11	234	144	253	252	103	1599	145	21. VIII.	99
Sonogno	ca 910	3	34	161	149	127	281	35	204	169	354	281	94	1892	126	6. X.	108
Locarno	239	4	18	114	58	110	282	5	254	179	311	269	92	1696	131	21. VIII.	99
Fusio	ca 1285	5	26	154	45	105	224	9	75	139	206	211	86	1285	105	25. VI.	84
Cevio	ca 430	6	30	163	58	110	187	28	50	139	314	315	88	1488	119	6. X.	101
Mosogno	ca 790	6	22	152	47	107	280	60	163	183	390	306	63	1779	159	6. X.	85
Borgnone	ca 710	17	9	188	90	138	233	31	197	209	399	285	50	1846	143	6. X.	94
Brissago	ca 210	7	17	39	160	135	278	19	242	189	420	311	110	1927	110	6. X.	93
Rivera-Bironico	475	21	14	103	24	88	327	22	293	219	304	264	109	1788	150	21. VIII.	100
Crana-Torricella	1010	14	19	126	72	114	410	21	316	248	352	315	113	2120	163	21. VIII.	127
Lugano	276	16	17	107	89	103	323	37	405	228	240	265	100	1930	263	21. VIII.	117
Monte Generoso	1610	43	24	133	71	177	307	44	157	261	198	240	144	1799	113	21. IX.	122
Ponte Tresa	ca 280	14	15	85	100	109	348	62	374	243	326	301	96	2073	239	21. VIII.	117

Stationen:	Höhe üb. Meer	Jan.	Febr.	März	April	Mai	Juni	Juli	Aug.	Sept.	Okt.	Nov.	Dez.	Jahr	Maxima		Zahl d. Tage
II. Adda.																	
Bernina	2340	—	56	197	82	85	234	20	186	114	266	259	160	1659	76	6. X.	
Cavaglia	ca 1701	—	17	79	56	77	159	25	201	79	262	219	122	1296	70	21. VIII.	
Le Prese (Poschiavo)	ca 960	9	8	62	14	82	150	34	163	79	270	175	77	1123	101	21. VIII.	84
Brusio	ca 755	9	10	56	41	95	101	37	140	67	217	124	78	975	100	21. VIII.	82
Vicosoprano	1087	—	—	—	—	—	—	—	—	—	—	255	104	—	—		
Soglio	ca 1090	4	17	79	73	105	255	19	168	103	274	181	105	1383	95	21. VIII.	98
Castasegna	700	3	16	74	67	115	276	17	180	129	248	193	106	1424	101	21. VIII.	90
D. Donaugebiet.																	
Inn.																	
Sils-Maria	1814	4	39	93	48	—	—	60	142	97	214	153	147	—	—	—	—
St. Moritz	1840	4	36	95	51	41	136	30	132	96	213	158	94	1086	74	6. X.	104
Pontresina	ca 1805	8	25	65	38	44	123	23	122	82	169	110	94	903	79	6. X.	98
Bevers	1713	6	38	70	45	43	148	57	126	80	163	155	119	1050	52	10. XI.	101
Süs	ca 1440	0	38	70	39	42	117	29	117	77	130	117	115	891	58	6. X.	90
Remüs	1237	7	47	33	37	31	142	26	116	73	87	64	97	760	50	20. VI.	86
Martinsbruck	1040	4	65	29	41	36	134	14	98	70	83	50	113	737	37	6. X.	81
E. Etschgebiet.																	
Sta. Maria	1410	8	9	43	29	55	123	23	163	82	161	104	72	872	62	27. X.	89

Monats- und Jahresmengen im Jahre 1911, ausgedrückt in Prozenten der Normalmengen.

Stationen	Höhe über Meer	Jan.	Febr.	März	April	Mai	Juni	Juli	Aug.	Sept.	Okt.	Nov.	Dez.	Jahr
Platta	1378	17	140	171	59	35	133	12	65	104	126	156	155	94
Bernhardin	2073	19	66	149	46	54	170	8	102	49	157	205	139	101
Splügen	1467	8	123	120	36	31	127	15	94	123	167	148	174	96
Davos	1560	19	136	91	116	74	141	37	80	120	131	112	221	103
Reichenau	604	9	118	83	67	39	120	13	58	120	158	78	216	88
Chur	610	5	173	95	73	66	154	13	69	131	178	128	192	103
Altstätten	449	47	109	56	71	102	105	4	59	113	69	52	117	73
St. Gallen	703	66	82	56	87	83	103	8	58	106	56	64	105	71
Kreuzlingen	420	41	82	65	39	64	161	19	58	141	65	78	144	81
Lohn	633	47	184	63	37	72	88	25	49	114	78	108	170	81
Basel	277	84	92	80	50	58	103	15	56	92	78	119	108	75
Glarus	477	36	105	97	78	83	109	32	70	90	75	51	131	77
Einsiedeln	914	45	94	73	91	67	124	25	53	95	63	62	119	74
Zürich	493	57	104	73	46	60	87	30	43	110	52	63	96	64
Rigi-Kulm	1787	70	68	143	91	77	112	18	58	104	95	73	90	78
Engelberg	1018	45	120	129	83	90	106	19	42	88	72	56	128	75
Luzern	453	74	85	119	74	125	137	30	60	111	65	94	138	90
Guttannen	1055	48	110	214	86	66	138	19	61	104	109	116	123	100
Beatenberg	1148	42	89	129	59	81	106	34	54	125	93	73	116	82
Bern	572	36	102	113	57	148	112	1	43	85	69	97	178	83
Chaumont	1127	25	126	119	48	76	139	17	164	103	94	133	162	101
Neuenburg	488	13	111	124	37	88	159	16	103	113	87	141	164	100
Affoltern	795	44	89	108	44	81	96	28	37	105	75	84	125	74
Olten	400	51	117	88	37	105	126	11	46	116	77	80	175	84
Muri	483	50	109	81	31	118	105	19	47	85	51	94	117	74
Reckingen	1349	7	80	197	45	14	111	15	45	123	81	99	124	80
St. Bernhard	2475	44	135	185	49	70	168	24	37	111	94	150	184	101
Sion	540	14	124	89	42	42	107	16	32	102	51	63	139	67
Clarens	376	26	85	145	59	51	97	30	70	136	73	72	150	82
Lausanne	553	25	71	132	67	63	160	10	66	86	113	147	182	95
Genf	405	5	86	93	72	49	111	6	88	74	122	52	214	93
Lugano	276	24	31	105	56	57	174	23	221	117	115	192	130	113
Sils-Maria	1814	9	122	170	67	—	—	53	122	85	204	204	267	—
Bevers	1713	17	146	171	80	65	172	52	115	75	185	250	259	120

Mittlere Niederschlagsmengen der Periode 1864—1900.

Die in der folgenden Tabelle gegebenen Normalmittel der monatlichen Niederschlagsmengen sind teilweise etwas verschieden von den 1901—1905 an dieser Stelle publizierten Werten, indem sie einer Revision und definitiven Bereinigung unterzogen wurden.

Stationen	Höhe über Meer	Jan.	Febr.	März	April	Mai	Juni	Juli	Aug.	Sept.	Okt.	Nov.	Dez.	Jahr
Platta	1379	46	45	70	85	118	122	125	153	135	170	87	65	1221
Bernhardin	2070	94	72	155	207	233	183	198	220	256	320	202	114	2254
Splügen[1])	1471	55	39	76	111	156	153	174	172	171	177	114	66	1464
Davos[2])	1567	46	55	55	55	58	102	124	126	95	68	56	63	903
Reichenau	597	54	61	70	77	86	108	129	130	112	105	73	68	1073
Chur[3])	610	39	41	46	52	66	79	104	105	88	78	53	52	803
Altstätten	470	57	65	78	101	118	164	168	154	124	107	79	78	1293
St. Gallen	703	57	66	89	108	133	179	167	155	136	113	75	72	1350
Kreuzlingen[4])	425	41	45	51	71	86	97	96	104	88	74	50	52	855
Lohn	633	40	39	49	62	83	97	89	98	78	81	57	53	826
Basel[5])	278	37	39	52	66	82	105	88	86	78	82	62	52	829
Glarus[6])	482	67	82	84	103	106	160	202	182	127	121	87	91	1412
Einsiedeln	910	73	89	112	124	150	193	202	193	139	131	95	98	1599
Zürich	480	49	57	74	96	114	134	132	133	110	103	71	74	1147
Rigi-Kulm[7])	1787	50	59	71	117	164	241	265	242	190	124	71	72	1666
Engelberg	1021	68	75	97	121	153	216	245	240	164	154	92	89	1714
Luzern[8])	453	43	46	68	91	117	149	157	153	113	95	62	55	1149
Guttannen[9])	1070	96	105	122	134	134	146	160	170	125	149	116	109	1566
Beatenberg	1150	75	81	109	119	129	177	172	170	117	120	90	94	1453
Bern	572	44	49	60	70	84	104	102	105	83	95	67	59	922
Chaumont	1128	52	50	62	72	88	110	102	106	90	109	75	66	982
Neuenburg	488	51	52	62	70	82	101	93	98	84	103	74	68	938
Affoltern i./E.	795	61	64	83	98	118	144	125	133	102	108	75	75	1186
Olten	ca 400	51	58	65	71	91	116	110	117	88	96	74	70	1007
Muri	483	50	55	67	85	102	128	122	118	94	94	66	68	1049
Reckingen[10])	1349	79	75	77	89	97	83	81	84	85	142	111	90	1093
St. Bernhard	2475	73	73	79	105	134	110	102	115	119	149	111	88	1258
Sion	540	43	46	48	38	43	45	61	75	53	66	59	59	636
Clarens[11])	380	54	61	77	79	106	117	122	126	99	126	76	66	1109
Lausanne[12])	553	52	52	68	72	93	95	94	105	98	116	80	68	993
Genf	405	42	45	54	65	81	75	79	90	80	113	79	56	859
Lugano	275	67	55	101	159	179	185	159	183	194	209	138	72	1701
Castasegna	700	46	32	69	115	158	149	161	173	186	188	111	52	1440
Sils-Maria	1811	45	32	55	72	87	91	113	116	114	105	75	55	960
Bevers	1709	35	26	41	56	66	86	109	109	106	88	62	46	830

[1]) Splügen: Mittel der 31 Jahre (1864—1883) + (1889—1900) auf die 37-jährige Periode reduziert nach den Daten von Platta. — [2]) Davos: Mittel der 30 Jahre: (1864—1870) + 1874 + (1876—1900). — [3]) Chur: Mittel der 28 Jahre (1864—1878) + (1888—1900) auf die 37-jährige Periode nach den Daten von Reichenau reduziert. — [4]) Kreuzlingen: Mittel der 21 Jahre 1880—1900 auf die 37-jährige Periode reduziert nach Lohn. — [5]) Basel: Bei der Bildung dieser 37-jährigen Mittel wurden für die Jahre 1875—1888 nicht die beobachteten, sondern die von A. Riggenbach «reduzierten» Messungen benützt. — [6]) Glarus: 37-jährige Mittel; die Jahre 1868—1870 sind interpoliert. — [7]) Rigi-Kulm: Mittel der 20 Jahre 1881—1900. — [8]) Luzern: Mittel aus den Beobachtungen an der Station Musegg aus den Jahren 1881—1900, reduziert auf die 40-jährige Periode 1861—1900 nach den Beobachtungen im Kantonsschulgebäude. — [9]) Guttannen: Mittel der Jahre 1877—1900 reduziert auf die 37-jährige Periode nach den Daten von Beatenberg. — [10]) Reckingen: Mittel der 20 Jahre 1881—1900 reduziert auf die 37-jährige Periode nach den Daten von Sion. — [11]) Clarens: Mittel der 30 Jahre: (1864—1875) + (1883—1900). — [12]) Lausanne: Mittel der 27 Jahre 1874—1900 auf die 37-jährige Periode reduziert nach den Daten von Genf.

Das Jahr 1911 ein Trockenjahr. — Die Trockenperiode im Sommer 1911. Einzelne bemerkenswerte Niederschläge.

Ausserordentliche Niederschlagsarmut in Verbindung mit ungewöhnlicher Wärme und Helligkeit macht das Jahr 1911 zu den denkwürdigsten unserer ganzen beinahe 50jährigen Beobachtungsreihe.

Die Tabelle auf pag. 9 gibt für eine grössere Anzahl von Stationen die Monats- und Jahressummen der Niederschläge ausgedrückt in Prozenten der Normale. Darnach war die Trockenheit relativ am grössten in der Nordostschweiz; in Zürich fielen nur 736 mm oder 64 % der normalen Jahresmenge. Dies ist die überhaupt kleinste beobachtete Jahressumme für Zürich; von den auf pag. 9 mitgeteilten langjährigen Stationen sind es noch folgende, welche in diesem Jahre die kleinste Jahresmenge beobachteten:

Station	Beobachtungs-periode	1911	Nächst kleinste Jahresmenge	
		mm	mm	im Jahre
Altstätten	1864—1911	942	1001	1865
Säntis	1883—1911	2029	2077	1893
St. Gallen	1864—1911	967	967	1864
Glarus	1864—1911	1094	1128	1894
Zürich	1864—1911	736	737	1865
Einsiedeln	1864—1911	1194	1210	1884
Rigi-Kulm	1881—1911	1305	1311	1895

Schon Januar und in geringerem Masse März, dann besonders aber April und Mai brachten, wie die Tabelle auf pag. 9 zeigt, zu wenig Niederschlag, einzig Juni lieferte im allgemeinen ein Plus. Die eigentliche Trockenperiode aber setzte erst Ende Juni ein.

Die Trockenperiode im Sommer 1911.

Es gibt wohl nicht viele Ereignisse in unserer Witterungsgeschichte, die sich dem Gedächtnis auch des Laien so nachhaltig einprägen, wie die Trockenheit des Sommers 1911, zumal mit derselben eine nicht weniger exzessive Hitzeperiode verbunden war. Vom 28. Juni bis zum 14. September, also während mehr als 2½ Monaten, gab es keinen einzigen Regentag schlechthin; der gefallene Niederschlag stammte ausschliesslich von (meist lokalen) Gewittern und blieb weit hinter dem Normalbetrage zurück. Nebenstehende Tabelle gibt die in der genannten Zeit gefallenen Niederschlagssummen in mm und in % des Normale,[1] sowie die Anzahl der Niederschlagstage.

Station	1911 Niederschlag 28. VI.–13. IX.		Anzahl der Niederschlagstage 28. VI.–13. IX.		Station	1911 Niederschlag 28. VI.–13. IX.		Anzahl der Niederschlagstage 28. VI.–13. IX.	
	in mm	in % d. Norm.	1911	Normal		in mm	in % d. Norm.	1911	Normal
Platta	129	37	22	33	Engelberg . .	153	27	22	40
Bernhardin . .	247	46	17	35	Beatenberg . .	154	38	27	42
Bevers	188	69	27	33	Bern	53	21	10	31
Chur	86	34	18	31	Chaumont . .	196	77	16	30
Altstätten . .	99	26	16	37	Neuenburg . .	119	51	15	29
St. Gallen . .	148	38	18	37	Olten	70	26	19	33
Kreuzlingen .	87	36	15	32	St. Bernhard .	68	24	11	22 ?
Lohn	70	31	13	31	Sion	34	21	13	22
Basel	61	29	11	29	Lausanne . .	85	34	14	27
Einsiedeln . .	154	32	20	35	Genf	84	40	11	25
Zürich	102	31	18	35	Lugano . . .	444	101	18	27
Rigi-Kulm . .	189	31	20	34	Castasegna . .	198	46	17	29

[1]) Als Normale wurde genommen VII + VIII + (1/3) IX.

Daraus ist ersichtlich, dass im schweizerischen Mittelland während dieser 2½ Monate durchschnittlich nur etwa 30% der normalen Mengen fielen. Um die Bedeutung dieses Ausfalles ganz zu würdigen, muss man sich vergegenwärtigen, dass schon die vorangegangenen Monate des Jahres ein erhebliches Defizit aufwiesen, und sodann, dass diese beinahe regenlose Periode gerade in die Jahreszeit fiel, die normalerweise in unserem Lande am meisten Regen hat.

In Bern fiel beispielsweise vom 30. Juni bis 20. August absolut kein Niederschlag mit Ausnahme von zwei Gewitterregen am 24. Juli und 6. August, die je einen Millimeter ergaben und für den ausgetrockneten Boden natürlich von gar keiner Bedeutung waren. In die erste Hälfte der 3. Augustdekade fällt dann der kurze Unterbruch der Trockenzeit durch wolkige und gewitterhafte Witterung, die bis zum 25. ganze 30 Millimeter brachte. Daran schloss sich noch einmal eine ganz regenlose Periode bis Mitte September, nur unterbrochen von einem Gewitterregen (14 $^{m}/_{m}$) in der Nacht vom 30./31. August.

Infolge der erwähnten Unterbrüche durch Gewitterregen hat diese Trockenperiode, wenn man nur absolute Regenlosigkeit als Trockenperiode gelten lassen will, nicht überall die längste je vorgekommene Dauer; diejenige vom März/Mai 1893 übertrifft sie an Zahl der ununterbrochen aufeinanderfolgenden regenlosen Tage (bis über 50 in einzelnen Landesgegenden). Aber wie schon bemerkt, die Wirkung der vereinzelten kurzen Gewitterregen — auch wo diese etwas ergiebiger waren als in Bern — auf den durch die beispiellose Hitze ausgetrockneten Boden, war so wenig nachhaltig, dass man ohne Übertreibung von einer zusammenhängenden, von Ende Juni bis Mitte September dauernden Trockenperiode sprechen darf. Fasst man den Begriff „Trockenperiode" noch etwas weiter, so müsste man das ganze Jahr 1911 als solche bezeichnen.

Es war von vornherein anzunehmen, dass so exzessive Anomalien in Temperatur und Niederschlag nicht lokaler Natur sein konnten, sondern sich über ein sehr grosses Gebiet erstrecken mussten. In der Tat traten sie denn auch beinahe über dem ganzen Kontinent auf, am extremsten allerdings über Frankreich, Deutschland und der Schweiz. Fragen wir nach ihren Ursachen, so werden wir in erster Linie die Luftdruckverteilung ins Auge fassen wollen.

Mit einer für die Sommermonate noch nie beobachteten Persistenz lagerte im Juli und August Hochdruck über dem Kontinent. Von den beiden untenstehenden Isobarenkärtchen gibt das erste die normale Druckverteilung

Normal.

Juliisobaren.

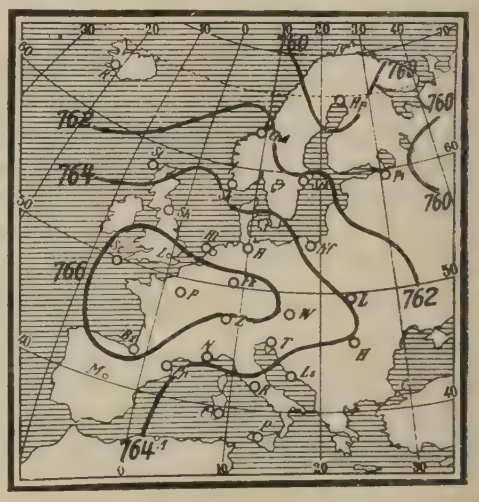

1911.

im Juli über Zentraleuropa, das zweite diejenige im Juli 1911. Der in den Normalisobaren vom subtropischen Luftdruckmaximum über dem atlantischen Ozean an den SWrand des Kontinentes heranreichende Hochdruckkeil hat sich im Juli 1911 über ganz Zentraleuropa vorgeschoben, so dass die Isobare 764 $^{m}/_{m}$ ungefähr denselben Verlauf hat wie normal diejenige von 760 $^{m}/_{m}$.

In dieser Verlagerung des sog. Azorenmaximums nach NE wurde allgemein die Ursache für die anormale Witterung des Sommers 1911 erblickt. Cl. Hess formuliert dies folgendermassen:[1]) „eine nördliche Verschiebung des subtropischen Luftdruckmaximums um etwa 12° und eine östliche um 15° vom atlantischen Ozean her über das europäische Festland hat also ausgereicht, um unter dem Regiment eines föhnartigen Fallwindes die Luft ab-

[1]) Cl. Hess, Die beiden Juli 1910 und 1911, Met. Z., Okt. 1911.

normal zu erwärmen, auszutrocknen, zu klären und die Intensität der Insolation zu erhöhen, kurzum der Schweiz, ganz Frankreich und Deutschland bis hinauf an die Nord- und Ostsee subtropisches Klima zu verleihen." Das antizyklonale Regime manifestierte sich nebenbei bemerkt sehr schön in den Beobachtungen in der freien Atmosphäre; nach A. Peppler[1]) zeigten die Beobachtungen des Aeronautischen Observatoriums in Lindenberg eine mit der Höhe sehr gleichmässig verlaufende Zustandskurve der Temperatur (also keine durch Kondensationsniveaus hervorgerufene Unstetigkeiten), ein antizyklonales Verhalten der relativen Feuchtigkeit in der Vertikalen (am feuchtesten die Bodenschichten, starke Abnahme in den mittleren Schichten von 2—3,5 km, in denen sonst starke Wolkenetagen vorzukommen pflegen) und das Fehlen von Schichten mit Verlangsamung der Windgeschwindigkeitszunahme mit der Höhe (welche Schichten Kondensationsniveaus entsprechen).

So lassen sich zwar die abnormen Witterungsverhältnisse des Sommers 1911 auf die abnorme Druckverteilung zurückführen; ihre primäre Ursache aber, d. h. die Ursache für die nördliche Verlagerung des Azorenmaximums kennen wir nicht. In der zitierten Abhandlung versucht A. Peppler nachzuweisen, dass die Trockenperiode 1911 sich nicht auf Zentraleuropa beschränkt, sondern „wie ein Gürtel die ganze Nordhalbkugel in der gemässigten Breite umfasst" mit besonders ausgeprägten Trockenzentren an den Ost- und Westrändern der Kontinente Nordamerika und Eurasien, während es sehr wahrscheinlich sei, dass „in der ungefähren Breite des subtropischen Wüstengürtels die Niederschläge die normalen Mengen überschritten haben", dass also mit andern Worten die Breitenlage der Trocken- und Regengebiete nordwärts verschoben war.

Das würde auf eine allgemeine Verlagerung des subtropischen Hochdruckgürtels schliessen lassen. Was eine solche veranlasst haben könnte, darüber können wir blosse Vermutungen äussern. Die interessanteste derselben — weil von den bisherigen gerade entgegengesetzten Voraussetzungen ausgehend — ist wohl diejenige, welche die Trockenperiode 1911 auf die in diesem Jahre einem Minimum entgegengehende Sonnenfleckenperiode zurückführen möchte. Während man bis jetzt annahm, dass die Strahlungsintensität der Sonne zur Zeit der Fleckenmaxima am grössten sei, fragen sich jetzt gewisse Forscher (besonders Abbot und Humphreys), ob nicht Sonnenflecken Zonen geringerer Strahlung sind, so dass also die Sonne zu Zeiten der Sonnenfleckenminima am meisten Wärme strahle. Hievon ausgehend möchte es R. Henning[2]) wahrscheinlich machen, dass die geschilderte nördliche Verlagerung des subtropischen Luftdruckmaximums und die daraus resultierende Trockenperiode im zentralen Europa auf das gleichzeitige Sonnenfleckenminimum zurückzuführen sei. — Ohne dazu Stellung zu nehmen, sei aber an den überaus feuchten Sommer 1912 erinnert, welcher nach den bis jetzt veröffentlichten Sonnenfleckenrelativzahlen dem Fleckenminimum noch näher liegt.

Einzelne bemerkenswerte Niederschläge.

Wolkenbruchartiger Platzregen am Schwarzenberg ob Wald (Kt. Zürich) am 2. Juni. Dieser Tag (barometr. Maximum über Südskandinavien und der Ostsee, flache Tiefdruckrinne über Frankreich) zeigte bei stark wolkigem Himmel (Zürich 2 p Ci-Str $S_{35}W$, Ni cuf. $S_{40}W$) Neigung zu lokalen Gewittern (vergl. Anhang Nr. 4). Ein solches brach gegen $2^1/_2$ p auch aus in der Gegend von Wald. Die Station Sanatorium Hittenberg notierte: Gewitter von $2^1/_2$—$5^1/_2$ p und mass am folgenden Morgen 90.5 mm Niederschlag. Da dieser in gar keinem Verhältnis steht zu den Messungen der Nachbarstationen (Wernetshausen in 6 km Distanz 2.7 mm, Bachtelkulm in 4 km Distanz 2.5 mm, Rapperswil in 10 km 2.5 mm und Riken in 8 km 3.9 mm), so wurde zunächst ein Messungsfehler vermutet. Der Beobachter schrieb aber dann auf eine Anfrage: „Die Angabe des Niederschlags am 2. Juni ist ganz richtig. In Wald (Dorf) regnete es kaum und während dort die Jona trockenen Fusses überschritten werden konnte, wälzte der von Osten (Schwarzenberg) kommende Schmittenbach ungeheure Wassermengen in dieselbe. Über die Gegend der Scheidegg, Schwarzenberg und Laupen fiel ca. 2 Stunden lang ein noch nie erlebter Wolkenbruch; an letzterem Orte ertrank ein Arbeiter beim Öffnen einer Schleuse."

Es handelt sich also um einen ganz lokalen, ungewöhnlich intensiven Platzregen am Westhange des das obere Jonatal und das Goldingertälchen scheidenden Schwarzenberges (1296 m).

Gewitter vom 21./22. August im Tessin mit enormen Niederschlägen am Luganersee. Die Wetterkarte des 21. August zeigt eine westliche Depression mit Teilminimum über Südfrankreich, also die typische Druckverteilung für grosse Niederschläge im Tessin[3]). Die dadurch bedingte südöstliche Luftströmung ist aus den Beobachtungen der Talstationen nicht ersichtlich, wohl aber auf dem Monte Generoso, der den ganzen Tag starken, am Abend stürmischen SE (4) hatte.

[1]) A. Peppler, Die Trockenperiode 1911, „Das Wetter", Januar 1912.
[2]) R. Henning, Sonnenflecken und Witterung, „Das Wetter", Januar 1912.
[3]) Vergl. darüber meine Ausführungen in „Klima der Schweiz" Bd. I. pag. 253.

Schon am Abend des 20. und in der Nacht vom 20./21. waren am Südfusse der Alpen unter Gewittererscheinungen Niederschläge gefallen mit Maximalbeträgen südwärts des Monte Cenere (Crana-Toricella und Lugano je 80 mm). Am 21. regnete es vormittags in Lugano nur schwach; nachmittags gingen intermittierend Gewitterregen nieder. Ein eigentliches Gewitter notierte der Beobachter von $8^1/_2{}^h$ abends an mit Hagel und darauffolgendem sehr starkem Regen, der bis morgens 5^h anhielt. Der Gesamtniederschlag vom 21. betrug 263 mm und ist nicht nur weitaus die grösste Tagessumme von Lugano seit Bestehen der Station (1864), sondern auch die grösste vorgekommene Tagessumme aller schweizerischen Talstationen überhaupt.[1])

Aus den Zwischenmessungen am 21. von mittags und abends ergibt sich

Lugano, Niederschlag vom	21.	$7^1/_2$ a—	$1^1/_2$ p	1.1 mm
„ „	21.	$1^1/_2$ p—	$9^1/_2$ p	58.7 „
„ „	21.	$9^1/_2$ p—22.	5 a	203.0 „
			Total	262.8 mm

In den 7 Stunden zwischen $9^1/_2{}^h$ p und 5^h a fielen also 203 mm oder 29 mm pro Stunde. Die Kanalisation der Stadt vermochte diese gewaltigen Wassermengen nicht zu fassen; auch der Cassarate trat über, da sich dieser wolkenbruchartige Regen nicht nur auf Lugano beschränkte, sondern ein grösseres Gebiet umfasste. Es meldeten nämlich Ponte Tresa 239, Braggio 178, Crana-Toricella 165, Rivera-Bironico 150, Bellinzona 145 und Locarno 131 mm; dagegen fielen im Cento Valli und Val Onsernone, welche beiden Täler bei grossen Regenfällen im Tessin sonst oft die Maximalbeträge aufweisen, nur relativ kleine Mengen (Borgnone 40, Mosogno 48 mm). Darin kommt wohl die Gewitternatur dieses ungewöhnlich intensiven Niederschlages zum Ausdruck.

Die Niederschläge vom 6. Oktober in der Süd- und Südostschweiz. Als echter Geländeregen charakterisiert sich dagegen derjenige vom 6. Oktober, der für die Stationen des obern Tessin und für viele Bündnerstationen die grössten Tagesmengen des Jahres brachte. Das Wetterkärtchen von diesem Tage lässt uns die für

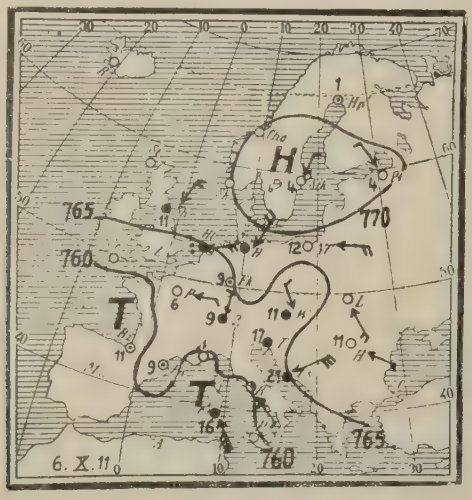

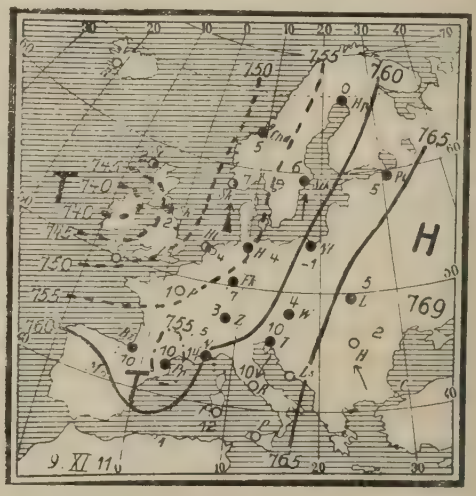

diesen Fall typische Depression über dem westlichen Mittelmeer erkennen, und Monte Generoso konstatierte den anhaltenden SEwind, der seinen Wasserdampf am Südhang der Alpen niederschlägt. An diesem Tage finden wir denn auch wieder die eben erwähnte Verteilung der Regenmengen: Maximum 159 mm Mosogno und 143 mm Borgnone. Über 100 mm weisen noch auf Sonogno 126, Cevio 119, Airolo 116, Brissago 110, Grono 108 und die Stationen im Rheinwaldtal: Bernhardinberg 108, Hinterrhein 115 und Splügen 106 mm.

Erwähnenswert ist auch noch der Regenfall vom 9. November, der in Genf den dort nicht oft erreichten Tagesbetrag von 67 mm lieferte, sich aber in dieser Intensität auf den untersten Teil des Genferseebeckens beschränkte; sonst hatte nur noch das Tessin an diesem Tage stärkere Niederschläge. Die Druckverteilung zeigt eine Hauptdepression über den britischen Inseln, eine Teildepression über Südfrankreich.

Dr. R. Billwiller.

[1]) Einzig der St. Gotthard hat eine noch etwas grössere, nämlich 280 mm am 27. Sept. 1868.

Nr. 4.

Gewitterbeobachtungen im Jahre 1911.

(Mit 6 Tafeln.)

Die Gewitterbeobachtungen wurden in gewohnter Weise fortgesetzt. Die Anzahl der eingegangenen Rapportkarten (im Berichtsjahre von 37 meteorologischen, 33 Regenmessungs- und 3 speziellen Gewittermeldestationen) ist nur bei ca. fünfzig derselben eine nennenswerte. Dagegen zeichnen nicht wenige Beobachter sich durch fleissige Notierungen in die Tabellen aus, während andere, worunter auch solche meteorologischer Stationen, hievon Umgang nehmen. Zur Vervollständigung des aus den Gewitterkarten und den Tabellen gewonnenen Materials ist, wie früher, das Verzeichnis der von Hagel betroffenen Gemeinden, sowie eine Anzahl zuverlässiger Zeitungsberichte benutzt worden; ausserdem fanden, wie bisher, auch die uns in verdankenswerter Weise zur Verfügung gestellten Notizen der Schwarzwaldstation Höchenschwand ihre Verwertung. Das nachstehende Verzeichnis gibt, alphabetisch nach Kantonen und nach dem Wohnsitz geordnet, die Namen derjenigen HH. Beobachter, welche durch Einsendung von entsprechend ausgefüllten Gewitterkarten, eventuell auch durch briefliche Mitteilung über eine grössere Anzahl von Gewittern speziell berichtet oder die betreffenden Aufzeichnungen in den Monatstabellen durch genaue Zeitangaben verwertbar gemacht haben.

1. Kanton Aargau.

Aarau — H. Amsler, Werkführer.
Böttstein — Joh. Hauser, Mech. Stickerei.
Kölliken — J. Haller, Pfarrer.
Möhlin — X. Stocker, Pfarrer.
Muri — Gebr. Ruepp, Handlung.
Rheinfelden — Frau A. Hoffmann.
Zurzach — J. Eichenberger, Lehrer.

2. Kanton Appenzell.

Appenzell — Bertha Lehner.
Heiden — J. J. Niederer, Lehrer.
Säntis — J. Bommer.
Teufen — J. Tanner, Lehrer.

3. Kanton Basel.

Basel — G. Bührer und Walter Mörikofer, Assistenten.
Binningen — Wilhelm Denz, Pfarrer.
Buus — W. Bührer, Pfarrer.
Eptingen — A. Madörin, Lehrer.
Gelterkinden — E. Denger-Rudolf, Kaufmann.
Lampenberg — Emil Vögelin.
Langenbruck — Traugott Bieder, Sigrist.
Liestal — H. Pfaff, Aufseher.
Reigoldswil — H. Plattner, Sigrist.
Pfeffingen — Mathias Tschudy, Lehrer.
Therwil — Adolf Stehlin, Bezirkslehrer.

4. Kanton Bern.

Beatenberg — G. Buchmüller und H. Bay, Pfarrer.
Bellelay — César Winkelmann, Portier.
Bern — Tellur. Observatorium.
Biel — Ed. Wartmann, Apotheker.
Champ-Fahy-sur-Neuveville — Louis Grosjean, instituteur.
Grosshöchstetten — E. Borel-Wanzenried, Lehrerin.
Gsteig b. Saanen — W. Häberli, Pfarrer.
Guttannen — Kath. Fischer, Gemeindeschreiber's.
Heiligenschwendi — Sanatorium.
Herzogenbuchsee — Bertha Moser, Part.
St-Imier — C. Mœschler, instituteur.
Langnau — J. U. Zbinden, Sekundarlehrer.
Lauterbrunnen — Fr. Gammeter, Sekundarlehrer.
Lyss — Fritz Bürgi, Coiffeur.
Zweisimmen — D. Gempeler-Schletti, alt Sekundarlehrer.

5. Kanton Freiburg.

Freiburg — Dr. A. Gockel.
Marsens — Amédée Charrière, concierge.
Murten — Sam. Müller, Gutsverwalter.

6. Kanton St. Gallen.

Altstätten — Johannes Haltner, Lehrer.
Degersheim — Jakob Roth.
St. Gallen — J. G. Kessler, Bankbeamter.

7. Kanton Genf.

Genf — Observatorium.

8. Kanton Glarus.

Auen-Linthal — Lorenz Curt, Lehrer.
Elm — J. Weiss, Lehrer.
Glarus — J. Gehring, Waisenvater.
Obstalden — Peter Felix, Pfarrer.

9. Kanton Graubünden.

Arosa — Neuendorff, Sanatorium.
Bernhardin — Stoffel-Bellig.
Bevers — J. Camenisch, Lehrer.
Braggio — C. Berera, Förster.
Cavaglia — Kraftwerke Brusio.
Davos-Platz — W. Fuhrmann (Kurverein Davos).
Platta-Medels — Ths. J. Berther, Pfarrer.
Schiers — J. R. Schläpfer-Colb, Seminarlehrer.
Splügen — Chr. Lorez, Zolleinnehmer.
S^{ta} Maria — Simeon Tuffli, Zolleinnehmer.

10. Kanton Luzern.

Entlebuch — Hans Ackermann-Vogel.
Hitzkirch — Frau Prof. Achermann-Lang.
Luzern — Nina Arnet, Lehrerin.
Münster — A. Schmid, Bez.-Lehrer.
Triengen — C. Fischer, Ger.-Schreiber.
St. Urban — J. Schwyzer, Portier.
Vitznau — E. Bärri, Arzt.
Weggis — Johannes Naef, Arzt.

11. Kanton Neuenburg.

Les Brenets — R. Ducommun.
La Brévine — J. Matthey de l'Etang, part.
Chaumont — Rosa Thiébaud, Edith Houriet, institutrices.
La Chaux-de-Fonds — Léon Leuba, dessinateur.
Dombresson — Paul Favre, directeur.
Neuenburg — Observatorium.
Les Ponts — Armand Erb, horloger.
S^{t} Sulpice — Fabriques de pâtes de bois.

12. Kanton Schaffhausen.

Lohn — Hanna Brühlmann, Posthalterin.
Schaffhausen — G. Meyer, Lehrer.
Schleitheim — J. G. Neck, Reallehrer.
Stein — J. Guhl, Apotheker.
Unter-Hallau — J. C. Gasser, Reallehrer.
Wilchingen — John Gysel, Oberlehrer.

13. Kanton Schwyz.

Gersau — A. Müller.
Küsnach — Oscar Trutmann.
Lachen — Hug, Droguist.
Oberiberg — Xaver Holdener, Gemeindeschreiber.

14. Kanton Solothurn.

Balsthal — E. Heutschi, Lehrer.
Solothurn — Robert Glutz-Graff, Kreisoberförster.

15. Kanton Tessin.

Bellinzona — Alfred Lienhard, Postbeamter.
Crana-Torricella — P. Patrocchi, guardiano.
Locarno — Giuseppe Mariani, Schulinspektor.
Lugano — Giovanni Belletti, Professor.

16. Kanton Thurgau.

Aadorf — Johann Nater, Lehrer.
Diessenhofen — J. G. Mäder, alt Sek.-Lehrer.
Frauenfeld — Dr. Hess, Professor.
Haidenhaus b. Steckborn — C. Herzog, Staatsförster.
Steckborn — C. Pischl-Hartmann.
Weinfelden — F. Graf, Sek.-Lehrer.

17. Kanton Unterwalden.

Engelberg — Pater Nicol. Kaeser.
Lungern — J. Renggli, Arzt.
Sarnen — H. Felderer, Professor.

18. Kanton Uri.

Altdorf — Heinrika Nager.
Isenthal — Ferdinand Aschwanden, Schreiner.

19. Kanton Waadt.

Baulmes — A. Grin.
Clarens — C. Bührer, pharmacien.
Cossonay — Paul Huber, maître secondaire.
Lausanne — D. Valet, concierge au Champ de l'air.
Montcherand — M. Moreillon, inspecteur-forestier.
Nyon — Poste de police.
Payerne — Paul Cruchet, maître de sciences naturelles.
Les Rouges s./Chéserex — Bignens, forestier cantonal.
Le Sentier — Dr. Sam. Aubert, professeur.
Veytaux — Dr. H. Schardt, professeur.
Yverdon — Dr. P. Jomini, professeur.

20. Kanton Wallis.

Sierre — François de Courten, curé.
Sion — Pater Florentin Landolt.

21. Kanton Zürich.

Bachtel — J. A. Hohl.
Mettmenstetten — R. Ganz, Lehrer.
Rheinau — Pflegeanstalt.
Schlieren — C. Kunz, Sekundarlehrer.
Uster — H. Weber-Schellenberg, Industrieller.
Wädenswil-Dorf — H. Baumann, Lehrer.
Wädenswil-Weinbauschule — Dr. Hofer, Lehrer für Naturk.
Wernetshausen — Ed. Benz, Lehrer.
Winterthur — Fr. Krebs, Professor.
Wil (Rafz) — D. Angst, Friedensrichter.
Zollikon — J. Fausch, Verwalter der Schweiz. Anstalt für Epileptische b/Zollikon.
Zürich — Meteorolog. Centralanstalt.

22. Kanton Zug.

Cham — Xaver Roth, alt Badmeister, G. Roos.
Walchwil — F. Ziegler.

Die Summe der zur Verfügung gestandenen Notizen, nämlich 5980, wovon 4991 aus den Tabellen der meteorologischen und Regenmess-Stationen ausgezogen, 903 den Gewitterrapportkarten und brieflichen Mitteilungen entnommen und die übrigen aus Zeitungen gewonnen sind, verteilt sich auf die 146 Tage mit Gewittererscheinungen wie folgt:

Jan.	1.	1	April	25.	2	Mai	29.	59	Juni	20.	54	Juli	23.	65	Aug.	14.	81	Sept.	14.	31
			„	26.	1	„	30.	132	„	21.	2	„	24.	193	„	15.	5	„	15.	28
Febr.	17.	1	„	28.	2	„	30./31.	17	„	22.	3	„	25.	66	„	16.	3	„	16.	3
„	19.	3	„	30.	71	„	31.	75	„	23.	39	„	26.	19	„	19.	1	„	20.	3
„	23.	1							„	25.	23	„	27.	24	„	20.	192	„	21.	8
„	24.	5	Mai	1.	2	Juni	1.	18	„	26.	3	„	28.	92	„	21.	284	„	30.	2
„	26.	21	„	4.	4	„	2.	96	„	30.	15	„	29.	23	„	21./22.	13			
			„	6.	1	„	3.	124				„	30.	56	„	22.	141	Okt.	2.	1
März	3.	1	„	7.	24	„	4.	23	Juli	1.	54	„	30./31.	5	„	23.	75	„	7.	2
„	13.	7	„	9.	96	„	5.	76	„	2.	94	„	31.	106	„	24.	34	„	9.	194
„	22.	1	„	10.	71	„	7.	1	„	3.	2				„	25.	107	„	22.	1
„	23.	15	„	11.	65	„	8.	10	„	4.	1	Aug.	1.	8	„	26.	30	„	25.	1
„	24.	112	„	12.	74	„	8./9.	2	„	9.	6	„	2.	91	„	29.	24	„	27.	1
„	25.	15	„	13.	2	„	9.	230	„	10.	1	„	3.	29	„	30.	49	Nov.	13.	1
„	26.	2	„	15.	61	„	10.	4	„	13.	165	„	3./4.	13	„	30./31	183	„	16.	3
„	29.	1	„	16.	53	„	11.	1	„	14.	126	„	4.	36	„	31.	40	„	17.	4
„	30.	104	„	17.	78	„	12.	2	„	15.	89	„	6.	143				„	19.	1
„	31.	5	„	18.	1	„	14.	131	„	16.	32	„	7.	20	Sept.	5.	24	„	22.	1
			„	20.	2	„	15.	2	„	18.	5	„	8.	2	„	8.	47	„	23.	18
April	1.	27	„	23.	2	„	16.	1	„	19.	38	„	9.	1	„	9.	48			
„	2.	53	„	26.	61	„	17.	29	„	20.	4	„	11.	6	„	10.	6	Dez.	21.	6
„	3.	1	„	27.	94	„	18.	75	„	21.	2	„	12.	13	„	11.	2	„	22.	1
„	19.	1	„	28.	21	„	19.	206	„	22.	4	„	13.	20	„	13.	7	„	23.	1
„	24.	1																		

so dass auf die einzelnen Monate folgende Summen entfallen: Januar 1, Februar 31, März 263, April 159, Mai 995, Juni 1170, Juli 1272, August 1644, September 209, Oktober 200, November 28, Dezember 8.

Die zu unserer Kenntnis gelangten Hagelschläge sind, abgesehen von den ganz vereinzelten, in der folgenden Tabelle zusammengestellt, welche für jeden Tag die Anzahl der in den einzelnen Kantonen betroffenen Gemeinden gibt.

	Mai									Juni									Juli									August						Okt.	Total
Kantone	*9.*	*11.*	*12.*	*15.*	*17.*	*27.*	*29.*	*30.*	*31.*	*2.*	*3.*	*5.*	*9.*	*14.*	*18.*	*19.*	*20.*	*23.*	*2.*	*13.*	*14.*	*15.*	*24.*	*25.*	*28.*	*30.*	*31.*	*2.*	*6.*	*20.*	*21.*	*22.*	*30.*	*9.*	
Aargau	.	.	3	.	.	.	.	7	.	.	.	.	.	2	.	65	6	1	.	.	2	.	5	.	.	2	14	.	.	.	1	.	.	7	115
Appenzell	.	.	.	.	1	.	.	.	.	.	5	.	11	2	1	.	.	.	3	.	.	.	.	.	.	.	.	.	.	.	.	.	.	.	.	23
Basel	.	.	2	.	.	.	2	.	.	.	1	.	3	1	.	.	.	.	.	.	.	.	.	13	.	.	7	.	1	2	.	.	.	4	36
Bern	7	3	14	2	3	7	6	1	.	.	17	.	5	1	.	41	.	11	1	4	1	.	10	3	.	7	2	2	9	7	13	1	.	1	179
Freiburg	1	.	1	.	.	.	3	3	5	.	6	14	.	.	.	1	.	.	.	.	.	.	6	.	.	.	.	.	.	.	1	.	3	.	44
St. Gallen	1	.	.	.	1	1	.	2	.	1	1	.	2	.	1	4	1	.	10	1	.	2	6	.	.	.	.	.	.	.	.	.	.	.	34
Genf	.	.	5	.	.	.	.	.	.	.	.	.	.	.	.	.	.	.	.	.	.	.	.	.	.	.	.	.	4	.	18	13	.	.	40
Glarus	.	.	.	.	.	.	.	1	.	.	.	.	6	.	.	.	.	.	.	.	.	.	.	.	.	.	.	.	.	.	.	.	.	.	7
Graubünden	1	.	.	.	.	.	.	.	.	.	.	.	1	.	.	.	.	.	.	.	.	.	.	.	.	.	.	.	.	.	.	.	.	.	2
Luzern	1	4	4	6	3	.	.	10	.	2	12	.	.	.	3	17	4	2	.	2	.	1	23	.	.	.	.	7	.	7	.	.	2	110
Neuenburg	.	2	.	.	.	.	1	.	.	.	.	.	9	1	.	2	1	.	.	.	.	3	1	.	.	.	2	7	18	21	14	.	1	4	87
Schaffhausen	.	.	.	.	.	.	.	.	.	.	.	.	3	1	.	1	.	.	.	.	4	.	.	.	.	1	.	.	.	.	.	1	.	1	12
Schwyz	.	.	.	.	.	.	.	.	.	2	1	.	3	.	.	3	.	.	1	.	1	.	4	.	.	.	.	.	.	.	.	.	.	1	16
Solothurn	3	.	10	.	.	.	1	3	.	.	.	.	7	.	.	43	.	.	.	.	.	1	.	4	.	.	6	6	.	.	2	.	.	3	89
Tessin	.	.	.	.	.	.	.	.	.	.	.	.	.	.	2	.	.	.	.	.	.	.	.	.	.	.	.	.	.	.	.	.	.	.	2
Thurgau	.	.	.	.	1	.	.	7	.	.	.	.	.	1	.	.	.	3	.	1	.	.	1	.	.	.	.	.	.	.	.	.	.	2	16
Unterwalden	.	.	.	.	.	.	.	.	.	.	.	.	1	.	.	4	.	.	.	.	.	.	.	.	1	.	.	.	.	.	1	.	1	.	8
Uri	.	.	.	.	.	.	.	.	.	.	.	.	1	.	.	.	.	.	.	.	.	.	.	.	.	.	.	.	.	.	.	.	.	.	1
Waadt	4	.	.	.	2	3	.	.	.	3	1	3	.	1	.	1	.	.	.	.	.	.	.	25	.	1	12	10	1	42	4	.	4	117
Wallis	.	.	.	.	.	.	.	.	.	.	.	.	2	.	.	.	.	.	.	.	.	.	.	2	.	.	2	.	.	1	.	1	.	8
Zürich	2	.	1	.	1	2	.	.	.	.	1	.	5	2	10	2	1	.	.	.	.	.	24	.	.	.	1	.	.	.	.	.	.	6	58
Zug	2	.	.	.	1	.	.	.	.	.	2	.	1	.	2	1	1	.	.	.	.	.	.	.	.	.	.	.	.	.	.	.	.	.	10
Total	22	9	40	8	13	13	13	34	5	6	48	18	52	18	9	193	17	18	15	8	8	7	80	20	28	10	33	29	49	31	100	19	6	35	1014

Die Zahl der Tage mit erheblichem Hagelschlag beträgt 34, die Summe der betroffenen Gemeinden 1014, welche sich auf 375 Bezirke verteilen. Ferner wurde Hagel konstatiert in drei Gemeinden des Kantons Bern und je einer der Kantone Aargau und Neuenburg am 10. Mai, in drei Gemeinden des Kantons Schaffhausen und je einer der Kantone Luzern und Zürich am 4. Juni; in zwei Gemeinden des Kantons Neuenburg und je einer der Kantone Freiburg, Tessin und Zürich am 30. April, in zwei Gemeinden des Kantons Luzern und je einer der Kantone Schwyz und Zug am 16. Juli, in zwei Gemeinden des Kantons Waadt und je einer der Kantone Aargau, Genf und Luzern am 23. August; in zwei Gemeinden des Kantons Bern und einer des Kantons Schwyz am 16. Mai, in zwei Gemeinden des Kantons Luzern und einer des Kantons Bern am 19. Juli, in zwei Gemeinden des Kantons Schaffhausen am 14. August; in je einer Gemeinde der Kantone Bern, Neuenburg und Unterwalden am 26. Mai, Glarus und St. Gallen am 15. Juni, Luzern und Thurgau am 26. August; ferner in einer einzigen Gemeinde der nachstehenden Kantone (in Klammer) an folgenden Tagen: März 26. (Tessin), April 2. (Basel), 28. (Freiburg), Juni 12. (Graubünden) Juli 1. (Bern), 26. (Unterwalden), August 9. (Neuenburg), 24. (Basel), 25. (Luzern), November 23. (Freiburg), Dezember 21. (Bern). Ganz vereinzelte Hagelfälle, meist nur eine oder zwei Gemeinden treffend, kamen also an 22 Tagen in zusammen 50 Gemeinden vor.

Beschreibung der Gewitter und Hagelschläge.

In der tabellarischen Zusammenstellung sind die an jedem Gewittertage aufgetretenen elektrischen Erscheinungen, nach Zügen und Gruppen geordnet, in gedrängter Kürze möglichst vollständig behandelt. Aus Kolonne 3 ersieht man den mittleren, auf Meer reduzierten Barometerstand, aus Kolonne 4 die mittlere, mit Ausnahme der Bergstationen, auf die Höhe des schweizerischen Mittellandes (ca. 500 m über Meer) reduzierte Temperatur im Gewitterbiet. Beide meteorologischen Elemente beziehen sich auf den dem Gewitterausbruch nächst vorangegangenen Beobachtungstermin $7^1/_2{}^h$ a, $1^1/_2{}^h$ p oder $9^1/_2{}^h$ p (M. E. Z.). Nur wenn die elektrischen Vorgänge kurz vor einem dieser Termine einsetzten und längere Zeit nach demselben andauerten, so entsprechen die genannten Daten diesem Zeitpunkt. Bei den Zeitangaben bedeutet a vormittags und morgens, p nachmittags und abends, n nachts, 0^h mitternachts, 12^h mittags. Der in Kolonne 8 notierte Weg des Gewitters in km pro Stunde ergibt sich nicht aus Kolonne 5, sondern aus den Isobronten der kartographischen Darstellung. Kolonne 9 stellt durch die bekannten Symbole (✳ Schnee, △ Graupeln oder Riesel, vereinzelte oder sehr kleine Hagelkörner, ▲ Hagel, ● Regen) die Art der Niederschläge, sowie deren Intensität dar. Das Zeichen ⇱ bedeutet Gewitter, ↯ Blitzschlag. In der Rubrik „Betroffene Gegend" folgen manchmal auf den die Bezeichnung der Zugsrichtung abschliessenden Doppelpunkt einzelne direkt vom ⇱ überzogene Orte, oft sind aber auch nur die Grenzpunkte der Gewitterzone angemerkt; beigefügt sind gewöhnlich (von den Stationen der ⇱-Zone durch Semikolon getrennt) auch einzelne Orte ausserhalb des Gewittergebiets, von welchen aus noch elektrische Erscheinungen beobachtet wurden. Die im Text teils in Klammer, teils sonst beigefügten, mit dem Masszeichen $^m/_m$ versehenen Zahlen geben, sofern nichts weiteres bemerkt ist, den Tagesbetrag des Niederschlags auf der betreffenden Station an. Leider wird nur auf sehr wenigen Stationen der während eines Gewitters gefallene Niederschlag gemessen. Der Kürze halber wurde anstatt „Basel-Augst", „Buch (Schaffhausen)", „Champ-Fahy s/Neuveville", „Crana-Torricella (Trinkwasserversorgung von Lugano)", „Davos-Stille (Basler Heilstätte bei Davos-Dorf)", „Glatt, Zufluss der Thur", „Gsteig b/Saanen", „Unterhallau", „Unterkulm", „Kilchberg (Baselland)", „Küsnacht (Zürich)", „Küsnacht (Schwyz)", „Langnau (Bern)", „Marbach (Luzern)", „Münster (Luzern)", „Muri (Aargau)", „Ober-Iberg", „Hof Oberkirch (Kaltbrunn)", „Pfäffikon (Zürich)", „Les Rouges s/Chéserex", „Santa Maria im bündner. Münstertal", „Splügen (Dorf)", „Stein a/Rhein", „Varen b/Leuk", „Waldhalde (Schönenberg, Kt. Zürich)", „Wald (Zürcher Sanatorium)", „Wil (St. Gallen)", „Schweizerische Anstalt für Epileptische b/Zollikon" gesetzt: Augst, Buch, Champ-Fahy, Crana, Davos-Stille, Thurglatt, Gsteig, Hallau, Kulm, Kilchberg, Küsnacht, Küsnach, Langnau, Marbach, Münster, Muri, Iberg, Oberkirch, Pfäffikon, Les Rouges, Santa Maria, Splügen, Stein, Varen, Waldhalde, Wald, Wil, Zollikon.

Zur Vervollständigung des Gewitterbildes einzelner Tage dienen die Ergänzungen, indem darin ausser weiteren „Bemerkungen" über die betreffenden Witterungsvorgänge noch die grössern Hagelschläge festgelegt wurden, welche aus dem uns von der Direktion der Schweizerischen Hagelversicherungsgesellschaft gütigst zur Verfügung gestellten Verzeichnis der Schadenersatzmeldungen ersichtlich sind. Die hagelbeschädigten Gemeinden wurden, soweit möglich, nach ihrer topographischen Lage im betreffenden Zuge geordnet; die in Klammer beigefügten Kantonsnamen gelten für alle vorangehenden Gemeinden. In den Nachträgen fanden die lokalen Gewitter, sowie sporadisch auftretende elektr. Erscheinungen in solchen Gegenden oder an solchen Tagen Aufnahme, welche nicht in der tabellarischen Uebersicht figurieren. Die in Letzterer nur durch das Symbol ↯ angedeuteten Blitzschläge wurden, nach den üblichen Kategorien geordnet, in einem besondern Verzeichnis kurz beschrieben. Als Beigabe folgen für einige interessante Gewittertage oder Vortage von Gewittern noch die entsprechenden synoptischen Wetterkarten.

Anmerkung. Die auffallende Tatsache, dass in den ungewöhnlich trockenen Monaten Juli und August die gesamte Gewitterlätigkeit derjenigen in den gleichen Monaten früherer Jahre nur wenig (im August gar nicht) nachstand, erklärt sich aus dem Umstande, dass, wenn auch im Mittellande, insbesondere in der Nordostschweiz die elektrischen Erscheinungen sich nur auf wenige Tage beschränkten, in den Höhenlagen, namentlich der Alpen, lokale Gewitter keine Seltenheit waren, wie dies schon aus der kartographischen Darstellung deutlich hervorgeht.

Errata.

Zu streichen: Seite 6, **Mai 9.**, litt. b, Kolonne 9, das Symbol ▲; Seite 13, **Juni 14.**, litt. a: Wollerau ▲, Freienbach ▲.
„ 32, Zeile 12 u. 11 v. unt. (Mai): **25.** Lugano 2^{15}–4^{15} p, schwach; S. 35, Titel c, Juni, nach Crana 10 p: **12.** Vals
Zu setzen: „ 6, **Mai 10.**, unterstes Alinea, Kolonne 9, anstatt ▲: △. [p (Bernhardin 12^{10}–12^{15} p ▲).
„ 9, **Mai 30.**, litt. c, Kolonne 9, anstatt ●▲²: ●² ▲.
„ 26, Zeile 3, anstatt Alpen Grenze; : Alpen; Grenze.
„ 31, **Mai 9.**, litt. c, nach Rüttenen, anstatt Kt. Bern: Kt. Solothurn.
Einzuschalten: „ 18, **Juli 26.**, in Kolonne 9 und nach dem Worte Sarnen: ▲.
„ 20, **August 2.**, Alinea vor litt. a, Kolonne 9, das Symbol ▲ und nach dem Worte Clarens: Tannay u. Coppet ▲.
„ 31, **Mai 9.**, litt. c, nach dem Worte Radelfingen: Kt. Bern.
„ 36, Zeile 19 (Juni) nach „Buus 5^{03} p: **15.** Avers p. **16.** Langenbruck p.

Tabellarische Zusammenstellung der Gewitterzüge und Hagelschläge.

Datum	Bezeichnung des Zuges od. d. Gruppe	Mittlerer Luftdruck	Mittlere Temperatur	Zeit des hörbaren Donners	Richtung der K oder des Zuges		Zurückgelegter Weg in km	Weg in km. pro Stunde	Art der Niederschläge	Betroffene Gegend und weitere Bemerkungen
Febr. 26	a	759	5	1^{30}–2^{05} p	.		.	.	✳ ☩ ● △	Von heftigem Sturm begleitete K zwischen Heitersberg, Lägern und Bachtel: Dietikon, Zürich (1^{37} p ein starker Donner), Uster, Fehraltorf △, Bachtel ☩, ∠ *). Ebenso K im Appenzellerland (Teufen ∠) und im Rheintal (Altstätten zweimal Blitz und Donner, △). Im übrigen vide Ergänzungen a.
	b	758	5	4^{15}–4^{45} p	.		.	.	● ✳ △	K im Appenzeller Mittelland und am Ruppen: Teufen ∠, Gais ∠; Blitz und Donner: Altstätten, Urnäsch; Donner: Romanshorn, Heiden △, St. Gallen, Degersheim.
März 13	.	751	2	2^{40}–3 p	.		.	.	☩² ●	Sporadisch auftretende K zwischen Pfannenstiel und Nollen: Wernetshausen ∠, Bachtel (☩²), Batzenheid ∠; Donner: Wädenswil, Rapperswil.
» 23	.	762	14	4^{20}–5^{20} p	versch.		.	.	●	K zwischen Chasseral und Frienisberg: St. Imier (2 km im S vorbei, Entladungen fast alle Minuten über La Combe, Grède und Chasseral), Champ-Fahy ∠; Donner: Neuchâtel, Bellelay, Lyss, Murten.
» 24	.	757	12	1–3 p	.		.	.	●	Vereinzelte K über Baulmes, Yverdon, Murten; Donner: Freiburg, La Roche, Payerne, Moudon, Palézieux. Ebenso K über Jaun und Plaffeien; Blitz u. Donner: Marsens.
	a	757	12	1–3^{30} p	.		.	.	●	K-Gruppe innerhalb der Stationen: Grosshöchstetten, Schangnau, Luthern, Wasen; Blitz und Donner: Affoltern i./E.; Donner: Heiligenschwendi (dreimal, im NE).
	b	757	12	1^{50}–3 p	.		.	.	●² △	K im obern St. Immertal u. in den Franches-Montagnes: St. Imier △ („toutes les minutes coups de tonnerre écrasants"), Mont Soleil, Bellelay △, ∠ (25.2 m/m); Donner: Dombresson, Les Brenets.
	.	756	12	2^{30}–4^{30} p	.		.	.	●	Vereinzelte K über Delémont, Choindez, Mervelier, Herbetswil, Balsthal, Waldenburg, Lampenberg, Bennwil; Donner: Mormont. Vide auch Ergänzungen a.
	.	757	12	2^{45}–4^{45} p	W	E	.	.	●	K über Willisau, Hitzkirch, Bettwil ∠; Blitz und Donner: Aarau, Zofingen, St. Urban, Triengen; Donner: Mettmenstetten, Muri, Kulm, Kölliken; Blitze: Zürich 4^{45} p.
	c	757	12	3^{40}–4^{30} p	W	E	.	.	●	K am Chasseral (St. Imier, Champ-Fahy) und im Neuenburger Bergland (La Chaux-de-Fonds, Cernier; Donner: Les Ponts).
	d	756	14	4^{25}–6 p	.		.	.	●	K zwischen Ergolz und Aare: Diegten, Eptingen, Gelterkinden, Augst, Brugg ∠; Blitz und Donner: Pfeffingen, Liestal.
	e	758	12	$3^{1}/_{2}$–4 p	.		.	.	●	K zwischen Urnäsch und Thur: Degersheim, Peterzell (17.5 m/m); Blitz und Donner: Ebnat; Donner: Teufen, Flawil, Lichtensteig.
	f 758 14 3^{50}–5 p g 758 12 4^{30}–5^{30} p				W	E	.	.	●	K, f, am Untersee (Stein a./Rh., Eschenz, Steckborn; Donner: Lohn, Weinfelden) und g, im obern Murgtal (Dussnang, Schurten ∠, Aadorf; Blitz u. Donner: Bachtel; Donner: Bauma, Eschlikon).
» 25	.	748	12	2–5^{15} p	.		.	.	●²	K zwischen Lago Maggiore und Ceresio: Locarno, Rivera, Crana, Lugano; Donner: Sonogno (36.4 m/m), Grono, Braggio.
» 30	a	758	15	5^{30}–7^{30} p	WSW	ENE	55	44	●	Vom Chaumont und von der Tête de Ran K zum Weissenstein ziehend: Malvilliers, Champ-Fahy ∠, Aarberg, Solothurn; Blitz und Donner: La Chaux-de-Fonds, Neuchâtel; Donner: Mont Soleil; Blitze: Bern.
	b	758	15	5^{15}–6^{45} p	NW	SE	.	.	●	Andeutung eines K-Zuges vom Vully gegen die Berra: Murten, Freiburg (el. Entladungen zeitweise fast ununterbrochen), La Roche, Plaffeien; Blitze u. Wetterleuchten: Payerne, Langnau.
	c	755	10	8–9^{30} p	WSW	ENE	60	40	●	Vom Passwang K über Aare und Lägern ziehend: Reigoldswil, Diegten, Olten, Aarau, Schlieren, Schöfflisdorf, Hochfelden; Blitz und Donner: Therwil, Liestal, Zofingen, Kulm; Donner: Lampenberg, Triengen, Wilchingen; Blitze: Bachtel, Zürich, Winterthur, Schaffhausen, Lohn; Wetterleuchten: Neuchâtel, Bellelay, Heiligenschwendi, Luzern, Uster, St. Gallen.
April 1	a	763	18	3–4 p	.		.	.	●	K am Passwang und Hauenstein: Waldenburg, Lampenberg; Blitz u. Donner: Therwil, Arisdorf; Donner: Pfeffingen, Liestal, Gelterkinden, Kilchberg.

*) Das Symbol ∠ verweist auf das Verzeichnis der Blitzschläge.

Datum		Bezeichnung des Zuges od. d. Gruppe	Mittlerer Luftdruck	Mittlere Temperatur	Zeit des hörbaren Donners	Richtung der ↖ oder des Zuges		Zurückgelegt. Weg in km.	Weg in km. pro Stunde	Art der Niederschläge	Betroffene Gegend und weitere Bemerkungen
April	1	b	763	18	5^{45}–6 p	SE	NW	.	.	●	↖ zwischen Zürichberg und Reppischmündung: Zollikon, Zürich (Zenith 5^{54} und 5^{59} p), Schlieren; Blitz und Donner: Küsnacht, Muri; Donner: Uster, Horgen, Sihlwald.
»	2	.	760	16	1^{10}–2 p		.	.	.	●	↖ zwischen Passwang und Balsthaler Klus: Balsthal, Waldenburg, Reigoldswil; Donner: Langenbruck, Solothurn (1^{50}–2 p zehnmal).
			760	16	3^{30}–4^{30} p	E	W	.	.	●	Heftiges ↖ im Zugersee- u. mittleren Reussgebiet: Walchwil, Mettmenstetten, Cham, Küsnach, Muri; Blitz u. Donner: Weggis, Vitznau; Donner: Wernetshausen, Zürich, Luzern, Hitzkirch, Triengen.
		.	.	.	.		.	.	.	.	Vide Nachträge a, lokale ↖.
»	30	.	754	11	1^{10}–2^{25} p		.	.	.	●△	Leichtes ↖ zwischen östl. Quellgebiet der Ergolz und Wigger- und Suhrmündung: Kilchberg △, Zofingen, Aarau; Blitz u. Donner: Waldenburg △, Affoltern i./E.; Donner: Möhlin, Pfeffingen, Buus, Langenbruck △, Böttstein, Hallau.
		.	755	14	2^{15}–3^{15} p	N	S	.	.	●△	↖ durch das Glattal hinauf gegen die Mythen ziehend: Uster △, Stäfa, Lachen, Waldhalde, Einsiedeln; Blitz u. Donner: Wernetshausen, Wädenswil; Donner: Zürich.
		.	754	14	4–5^{10} p		.	.	.	●△	Schwaches ↖ am nordwestl. Vierwaldstättersee: Küsnach, Luzern 4^{55} p △; Donner: Weggis, Vitznau.
		.	755	14	4^{35}–5^{15} p	NW	SE	.	.	●▲	↖ im Knonauer Amt: Hedingen, Mettmenstetten ▲; Blitz u. Donner: Zürich 4^{37} p, 4^{45} p und sehr stark 4^{50} p, Cham; Donner: Winterthur, Wernetshausen, Schlieren, Muri.
Mai	7	.	764	12	1–2^{30} p		.	.	.	●	↖ zwischen Bünz und Reppisch: Dietikon, Mettmenstetten, Muri; Donner: Wädenswil.
»	9	a	759	15	2^{35}–3^{50} p	E	W	30	30	●△▲	Vom Säntis her ↖ gegen den Bachtel ziehend: Säntis △, Wildhaus, Lichtensteig, Wattwil (auf der Laad ▲ wie Haselnüsse, den Boden bedeckend), Wald; Blitz und Donner: Urnäsch, Wernetshausen, Grüningen; Donner: Wädenswil, Aadorf, Zürich; ↖-Regen: Glarus, Obstalden. **T** I, 1. *.
		b	758	18	3–5^{30} p	SW	NE	60	40	●▲	Vom Neuenburger Jura ↖-Zug in die Franches-Montagnes: La Brévine, St. Imier ↙, Bellelay; Blitz u. Donner: Biel; Donner: Montcherand, Yverdon, St. Sulpice, Valangin, Chasseral. **T** I, 1.
		c	759	17	3^{55}–5^{10} p	ESE	WNW	.	.	●▲	Vom Etzel ↖ zum Lindenberg ziehend: Waldhalde (▲ 13 Minuten lang), Mettmenstetten, Muri; Donner: Wädenswil (4^{38} p 5 km im SW). Hagel: Menzingen, Neuheim, Ottenbach. **T** I, 1.
		d	758	18	4–6 p	SSW	NNE	36	48	●²▲	↖ im Aaretal zwischen dem Mündungsgebiet der Sense und der Gr. Emme: Aarberg, Lyss, Solothurn (9^{30} p: 25.3 m/m). Hagel: vide Ergänzungen a u. b. **T** I, 1.
		e	758	18	4^{15}–7 p	SW	NE	.	.	●²▲	↖ zwischen Gurten und Napfkette: Bern (31.9 m/m, 4^{55}–5^{08} p ▲ wie Erbsen), Grosshöchstetten, Wasen ▲; Donner: Langnau. Hagel: Vechigen, Lützelflüh, Sumiswald, Affoltern i./E. **T** I, 1.
		.	758 759	18 18	4^{15}–6 p 5^{15}–7 p		. .	. .	. .	●△▲ ●	↖ an der mittlern Saane und obern Sense 4^{15}–6 p (Plaffeien, Freiburg △; Donner: Payerne, La Roche; Hagel: Avry s./Matran) und im Quellgebiet der Broye 5^{15}–7 p (Palézieux, Moudon; Blitz u. Donner: Marsens; ↖-Regen: Romont; Blitze sichtbar in Champ-Fahy). **T** I, 1.
		.	758 758	15 16	5^{30}–6^{10} p 5^{40}–7^{15} p		. .	. .	. .	●▲ ●	↖ am nordwestl. Leman 5^{30}–6^{10} p (Nyon 5^{30} p; Blitz u. Donner: Le Sentier, Lausanne; Donner: Cossonay; Hagel: Gilly, Tartegnin, Essertines, Mont) und im Neuenburger Jura 5^{40}–7^{15} p (Les Ponts, Les Brenets). **T** I, 1.
		.	758	18	6^{40}–9^{30} p		.	.	.	●	Vereinzelte ↖ im Basler Jura (Liestal 8^{30} p, Gelterkinden [8^{15}–8^{30} p Störung der elektr. Beleuchtung, ebenso 0^{15}–0^{30} a des 10.]; Blitz u. Donner: Augst, Waldenburg) und im bad. Grenzgebiet (Möhlin 6^{45}–6^{55} p Blitz und Donner im W nach N). **T** I, 1.
»	10	.	759	16	2–5 p	SW	NE	40	40	●▲	Aus dem Neuenburger Jura in die Franches-Montagnes ziehende heftige ↖: La Brévine ↙ („dès 2 p violents coups de tonnerre"), Les Ponts, La Chaux-de-Fonds, Chaumont, Cernier ▲, Champ-Fahy, St. Imier, Mont Soleil ▲, Saignelégier ▲; Donner: Neuchâtel, Solothurn, Mormont.
		.	759	19	4^{20}–6 p	SW	NE	.	.	●△	↖ zwischen Reppisch und Pfäffikersee: Mettmenstetten, Sihlwald, Zollikon, Dübendorf, Uster, Grüningen, Pfäffikon; Blitz u. Donner: Zürich (5^{12}–5^{30} p sechsmal, ganz nahe im E 5^{03} p, △), Richterswil; Donner: Zürich 4^{47}, 5^{24} u. 5^{25} p.
		.	759	17	4^{30}–7^{32} p	W	E	.	.	●▲	↖ zwischen Säntis, Nollen und oberem Bodan: Appenzell, Teufen, St. Gallen, Heiden, Bischofszell, Arbon, Romanshorn △, ↙; Donner: Altstätten, Weinfelden.

*) Ein T mit nachfolgender römischer und arabischer Ziffer verweist auf Tafel und Kärtchen der graphischen Darstellung.

Datum	Bezeichnung des Zuges auf d. Übersichtskarte	Mittlerer Luftdruck	Mittlere Temperatur	Zeit des hörbaren Donners	Richtung der ↖	Richtung des Zuges	Zurückgelegter Weg in km	Weg in km pro Stunde	Art der Niederschläge	Betroffene Gegend und weitere Bemerkungen
Mai 10	.	759	15	$5–5^{30}$ p		.	.	.	● ▲	↖ an der Napfkette: Luthern, Wasen, Sumiswald ▲.
	.	759	19	$5^{30}–6^{25}$ p	SW	NE	38	76	● ▲	Andeutung eines schmalen Striches rasch verlaufender ↖ zwischen Geissfluh und Irchel: Aarau, Baden, Hochfelden; Donner: Möhlin, Böttstein, Buus, Bennwil. Hagel: Brugg.
» 11	.	758	18	$1^{15}–2^{45}$ p	W	E	.	.	●	↖ in der Nordwestecke des Landes: Basel, Liestal, Rheinfelden; Blitz und Donner: Therwil, Waldenburg, Möhlin; Donner: Buus, Wittnau. **T** I, 2.
	a	759	19	$1^{45}–3^{30}$ p	W	E	48	48	● ▲	Schmaler ↖-Zug vom Gurten gegen den Pilatus: Bern (erbsengrosse ▲-Körner im Regen), Sumiswald ▲, Wasen ▲, Luthern ▲, Entlebuch. **T** I, 2.
	b	759	18	$2^{30}–4$ p	NE	SW	.	.	●	↖ zwischen Rothbach und Oenzbach. St. Urban, Herzogenbuchsee. **T** I, 2.
	c	759	20	$2^{30}–6^{30}$ p	SW	NE	112	32	● ▲	Aus dem obern Wiggergebiet ↖ in zunehmender Breite zum Bodensee ziehend: Schötz, Münster, Muri, dann innerhalb der Grenzlinien Zürich, Frauenfeld, Romanshorn im N und Horgen, Lichtensteig, Degersheim, Arbon im S; Blitz u. Donner: Triengen, Schlieren, Bachtel, Winterthur, Ebnat; Donner: Aarau, Säntis, St. Gallen, Heiden. Hagel: Wauwil, Buchs (Luzern), Mauensee. Vide Ergänzungen a. **T** I, 2.
	d e	759 759	18 21	$3^{30}–5^{35}$ p 5—6 p	SW W	NE E	.	.	●	Zwei kleine ↖, d, vom Kronberg zum Kaien (Appenzell, Heiden; Donner: Säntis, Altstätten) und e, am Untersee (Stein, Steckborn, Haidenhaus; Blitz und Donner: Diessenhofen, Buch). **T** I, 2.
» 12	a	759	20	$1^{30}–3$ p		.	.	.	● ▲	↖ zwischen Kiesen- und Worblenbach: Grosshöchstetten ($2^{25}–2^{40}$ p haselnussgrosse ▲-Körner); Hagel: Kiesen, Oppligen, Herbligen, Oberdiesbach, Häutligen, Freimettigen. **T** I, 3.
	b	758	20	$2^{20}–4^{55}$ p	W	E bis SE	70	40	● ▲	Aus dem Quellgebiet des Birsig ↖ mit viel ▲, in variabler Breitenausdehnung innerhalb nachfolgender Grenzen zur Reppischmündung ziehend, im S: Kleinlützel, Balsthal, St. Urban, Kölliken, Dietikon, im N: Binningen, Buus, Windisch, Baden. Blitz und Donner: Basel ($2^1/_2$ km südlich), Schlieren (im W); Donner: Wittnau, Cham, Zürich, Uster. Vereinzelte Hagelkörner, nur im Anfang: Gelterkinden und Buus. Hagel, vide Ergänzungen b. **T** I. 3.
	.	758	19	ca. 4 p		.	.	.	● △ ▲	↖ zwischen dem jurassischen Münstertal und dem Pruntrut: Choindez, Bellelay △; Donner: La Chaux-de-Fonds. Hagel: Epiquerez, Porrentruy, Epauvilliers, Seleute, St. Ursanne, Montenol, Montmelon. **T** I, 3.
	.	759	19	$3^{30}–5^{30}$ p		.	.	.	● ▲	Drei aufeinanderfolgende ↖ im linksufrigen Genfergebiet: Genf; Donner: Nyon, Lausanne, Clarens. Hagel: Bernex, Meinier, Jussy, Présinges, Puplinge, ebenso in Ville-la-Grand (France). **T** I, 3.
	c	759	22	5–6 p	W	E	30	30	●	Kleiner ↖-Zug vom untern Lorzegebiet zum Bachtel: Mettmenstetten, Sihlwald, Horgen, Grüningen, Wald; Blitz und Donner: Zürich, Wädenswil, Uster, Wernetshausen. **T** I, 3.
	.	759	22	$6–6^{40}$ p		.	.	.	● ▲	↖ im Mündungsgebiet der Kleinen Emme und am Luzernerbecken: Luzern (2–3 km im W); Donner: Stans, Weggis, Vitznau. Hagel: Malters, Littau, Emmen, Luzern. **T** I, 3.
	d	759	20	$6^{30}–8^{45}$ p	SW	NE	42	24	● ▲ [10]	Vom Aubrig ↖-Zug gegen den Tannenberg innerhalb der Grenzlinie: Vorderthal, Peterzell, Degersheim, Flawil, Dussnang, Wald 7^{30} p ▲, Lachen; Blitz und Donner: Aadorf, Ebnat; Donner: Iberg, Wernetshausen, Säntis, Weinfelden. **T** I, 3.
» 15	a	756	20	zw. 7 u. 8 p		.	.	.	● [3] ▲	↖ mit Wolkenbruch und Hagel am Nordfuss des Pilatus: Buchsteg; Donner: Luzern, Weggis, Vitznau; Blitze: Winterthur. Hagel: Schwarzenberg, Malters, Littau, Kriens, Emmen. Im übrigen vide Ergänzungen a.
	b	755	19	$7–8^{30}$ p	N	S	.	.	● ▲	Von der Ilfis ↖ gegen den Zulgbach ziehend: Langnau, Eggiwil, Schwarzenegg; Blitz und Donner: Heiligenschwendi. Hagel: Freimettigen, Herbligen, Marbach.
	c d	756 756	20 21	$7^{30}—8^{30}$ p $8^{30}—10$ p	S W	N E	.	.	● ●	Zwei kleine ↖, c, zwischen Venoge und Orbe (Cossonay, Montcherand; Blitz u. Donner: Le Sentier, Lausanne; Blitze: Neuchâtel) und d, zwischen Sempachersee und Lindenberg (Münster, Hitzkirch; Blitz u. Donner: Mettmenstetten; Blitze: Schlieren, Triengen; Wetterleuchten: Zürich, hinter Uto $8^{30}–9^{15}$ p).
	e	755	16	$10^{30}–11^{45}$ p		.	.	.	● [2]	↖ im Baselland und untern Aargau: Waldenburg, Gelterkinden (33.9 m/m, Störung der elektr. Beleuchtung), Böckten, Buus, Liestal, Rheinfelden; Donner: Möhlin, Basel, Solothurn; Wetterleuchten: Lauterbrunnen, Zürich.
» 16	a	755	16	$1–2^{45}$ a	SSW	NNE	33	22	●	Langsam fortschreitendes heftiges ↖ von der Reuss- und Limmatmündung gegen den Schwarzwald und ins Wutachtal ziehend: Baden, Böttstein, Leuggern ↖, Zurzach, Höchenschwand, Schleitheim; Blitz und Donner: Hallau.

Datum	Bezeichnung des Zuges od. d. Gruppe	Mittlerer Luftdruck	Mittlere Temperatur	Zeit des hörbaren Donners	Richtung der ↖ oder des Zuges	Zurückgelegt. Weg in km.	Weg in km. pro Stunde	Art der Niederschläge	Betroffene Gegend und weitere Bemerkungen
Mai 16	b	750	18	2^{30}–3^{30} p	W	.	.	●	Drei kleine ↖, b, von Raimeux gegen die Klus (Choindez, Mervelier, Balsthal; Donner: Reigoldswil), c, in der Nordwestecke des Landes (Basel [2 km im S nach E], Therwil, Liestal; Donner: Buus, Wittnau) und d, vom Etzel gegen den Pfannenstiel (Wollerau ▲, Grüningen; Blitz u. Donner: Wernetshausen, Wädenswil; Donner: Zürich [4^{20} p aus Cumulus im SSE]; Blitze: Cham).
	c	750	19	2^{45} 4 p	W	.	.	●	
	d	757	20	4^{10}–4^{30} p	S	.	.	●▲	
	e	756	20	7–7^{30} p	SW	NE	.	.	●	Zwei leichte ↖, e, zwischen Tannenberg und Bodensee (St. Gallen, Arbon, Romanshorn; Blitz u. Donner: Weinfelden, Heiden, Teufen, Säntis; Blitze: Urnäsch) und f, zwischen Necker und mittl. Sitter (Degersheim, Herisau; Blitz und Donner: St. Gallen; Donner: Bischofszell).
	f	756	20	8–8^{50} p					
	g	757	16	8^{30}–10^{45} p	SW	NE	.	.	●▲	↖ über Chaumont und Chasseral: Chaumont 9^{30} p, Champ-Fahy 10^{30} p („décharges électr. chaque minute, à 10^{30} p un terrible éclair bleu"); Blitz und Donner: Cernier; Blitze: Neuchâtel, La Chaux-de-Fonds. Hagel: Ligerz, Twann.
» 17	a	750	20	4–6^{30} p	NW	SE	.	.	●^{2}△▲	Zwei kleine ↖, a, im Appenzeller Vorderland und untern Rheintal (Heiden, Altstätten [4^{45}–5^{50} p = 50.7 $^{m}/_{m}$ Niederschlag, 4^{45}–5 p ▲ mit Schaden in Gärten und an Obstbäumen]; Donner: Schwäbrig [mehrmals ▲], Teufen, St. Gallen, Säntis [32mal, mit △]) und e, zwischen Bachtel, Allmann und Pfannenstiel (Wernetshausen, Fehraltorf, Uster [„im S nach SE und von E wieder zurück"]). **T** I, 4.
	e	757	20	5^{35}–9^{20} p	SE	NW	.	.	●	
	b	757	21	4–7^{15} p	W	E / SE	50	28	●^{2}▲	Von der Wutachmündung ↖-Zug in den mittl. Thurgau; Grenzlinie: Kaiserstuhl, Wilchingen, Schaffhausen, Steckborn (30.1 $^{m}/_{m}$), Eschlikon, Aadorf (40.0 $^{m}/_{m}$), Winterthur, Eglisau. Blitz und Donner: Schöfflisdorf. Hagel: Neftenbach, Aadorf. **T** I, 4.
	c	757	20	4^{50}–6^{10} p	SE	NW	.	.	●▲	↖, c, vom Rigi zum Rotsee und zur Reuss (Vitznau, Weggis, Küsnach; Hagel: Udligenswil, Root, Dierikon) und f, aus dem untern Lorzegebiet bis zur Suhrmündung (Mettmenstetten, Muri [„Entladungen häufig und teilweise sehr stark"], Aarau [„im Osten bleibend"]; Donner: Hitzkirch; Wetterleuchten: Buus). **T** I, 4.
	f	757	20	7–9^{45} p	SE	NW	30	40	●	
	d	757	20	5^{20}–9^{05} p	SE	NW	55	24	●	↖-Zug vom Schänniserberg und Hirzli durch das Zürichsee- und Limmattal: Oberkirch, Vorderthal, Lachen, Wädenswil (häufige und heftige Entladungen), Zürich (von 7^{24}–8^{20} p sieben nahe elektr. Entladungen, im SE und SW, Donner im W 8^{50}, 9 und 9^{05} p), Baden; Wetterleuchten: Uster, Hallau. **T** I, 4.
» 26	a	760	14	12–12^{30} p	W	E	.	.	●△	↖ zwischen Arosa- und Flüela-Weisshorn: Arosa, Davos („einzelne Hagelkörner im Regen"). **T** I, 2.
	.	758	20	zw. 1 u. 4 p			.	.	●▲	↖-Gruppe zwischen Chaumont und Tête-de-Ran: Chaumont, Cernier, Valangin ▲; Blitz und Donner: Neuchâtel, Champ-Fahy. **T** I, 2.
	b	758	19	5–7 p	SW	NE	39	26	●	Vom Gerihorn ↖ zum Brünig ziehend; Kienthal, Interlaken, Lauterbrunnen, Grindelwald, Meiringen, Lungern; Donner: Beatenberg, Göschenen 6 u. 6^{45} p; Blitze: Bern. **T** I, 2.
» 27	a	760	16	3–4 a	W	E	.	.	●	Zwei kleine ↖, a, zwischen Baldeggersee und Wigger (Dagmersellen, Münster; Donner: Zofingen, Aarau, Hitzkirch, Mettmenstetten, Zürich [zwischen 3 u. 4 a alle 2 Minuten im W u. SW]; Blitze: Zürich 3^{45} a, fern, im SW) und b, vom Klausen gegen den Kärpfstock (Linthal 5^{30} a; Blitz und Donner im N: Gurtnellen 5 a; Donner: Platta 5^{20} a, Elm, Glarus, Sargans). **T** I, 5.
	b	760	16	4^{30}–5^{30} a					
	.	760	16	zw. 3^{15} u. 5^{15} a			.	.	●	↖ in der Zentralschweiz: Entlebuch 4 a, Sarnen 4–5^{15} a, Vitznau und Gersau 3^{15}–3^{45} und 4–4^{30} a, Walchwil 4^{15} a, Iberg 5 a. **T** I, 5.
	c	762	21	2^{30}–4^{20} p	NW	SE	40	40	●▲	Von der Lägern her ↖-Zug durchs Glattal ins Zürcher Oberland: Schöfflisdorf und Niederhasli ▲, Dübendorf, Uster, Fehraltorf, Pfäffikon, Wernetshausen („2 km westlich nach S"), Grüningen; Blitz u. Donner: Wilchingen, Winterthur („8 km im W vorbei"), Wädenswil, Bachtel; Donner: Zürich (6mal, fern im NE nach SE), Wil-Rafz; Blitze abends im SE: Zürich. **T** I, 5.
	d	762	19	4–5^{45} p	S	S / SW	.	.	●▲	Zwei kleine ↖, d, vom mittlern Bodensee gegen das Appenzeller Vorderland und den Gäbris (Romanshorn, Arbon, Heiden, Teufen, Schwäbrig; Blitz und Donner: St. Gallen [„5^{20}–5^{24} p ▲ wie Erbsen, anfangs ziemlich dicht"], Säntis) und e, zwischen Brünig und Surenen (Lungern, Engelberg). **T** I, 5.
	e	762	20	4^{40}–6 p	WSW	SSE	.	.	●	
	f	761	23	4^{40}–6^{10} p	W	E	.	.	●▲	↖-Zug vom Chaumont und Chasseral zum Grossen Moos: Chaumont, Champ-Fahy, Murten, Aarberg (▲ in Bargen); Blitz und Donner: Cernier, Bern; Donner: Payerne, Neuchâtel, Lyss. Vide Ergänzungen a. **T** I, 5.

Datum	Bezeichnung des Tages od. d. Gruppe	Mittlerer Luftdruck	Mittlere Temperatur	Zeit des hörbaren Donners	Richtung der ↯ oder des Zuges		Zurückgelegt. Weg in km.	Weg in km. pro Stunde	Art der Niederschläge	Betroffene Gegend und weitere Bemerkungen
Mai 27	g	761	22	6–8^{30} p	NW	SE	27	18	● △ ▲	↯ am Thunersee, mit Fortsetzung gegen das Jungfraumassiv: Wimmis, Heiligenschwendi, Beatenberg, Interlaken (vereinzelte Hagelkörner), Lauterbrunnen, Grindelwald; Blitz und Donner: Kienthal; Donner: Freiburg. Hagel: Stocken, Sigriswil, Oberhofen. **T** I, 5.
	h	761	22	8–9 p	SW	NE	.	.	● ▲	↯ im Quellgebiet der Grossen Emme: Schangnau ▲, Eggiwil ▲, Escholzmatt. **T** I, 5.
» 28	.	762	22	6–9^{20} p		.	.	.	●	↯ an der Maienfelder Furka, im Prätigau und im Illtal: Arosa, Davos 6^{30} p, Schiers; Blitz u. Donner: Seewis, Walenstadt; Donner: Sargans, Altstätten (im SE). **T** I, 5.
» 29	a	759	23	4–6 p		.	.	.	● ▲	↯-Gruppe über dem Gr. Moos und Umgelände: Champ-Fahy, Lyss, Murten; Blitz und Donner: Chaumont, Payerne; Donner: Biel. Hagel: Haut- und Bas-Vully, Murten.
	b	760	21	4^{45}–7^{15} p		.	.	.	● ▲	↯-Gruppe über Hauenstein und Geissfluh: Kilchberg, Diegten, Gelterkinden; Blitz und Donner: Aarau; Donner: Liestal, Buus, Langenbruck. Hagel: Stüsslingen (Solothurn), Rünenberg, Kilchberg (Baselland).
	.	760	23	5^{15}–6^{45} p	E	W	.	.	●	↯ mit spärlichen Entladungen zwischen Albishorn und Lindenberg: Sihlwald, Mettmenstetten, Muri; Blitze: Zürich.
	c	760	23	6^{30}–10 p	SW	NE	40	16	● ▲	Von der Zulgbachmündung ↯-Zug ins Entlebuch: Heiligenschwendi ▲, Schwarzenegg, Schangnau, Marbach, Luthern, Escholzmatt, Entlebuch; Blitz u. Donner: Affoltern i./E. Hagel: Buchholterberg, Unterlangenegg, Wachseldorn, Röthenbach, Schangnau.
	.	760	22	9–10 p		.	.	.	●	↯ zwischen Weissenstein u. Langeten: St. Urban, Herzogenbuchsee, Weissenstein; Donner: Bern.
» 30	a	759	22	3^{50}–7 p	SE	NW	45	26	● ▲	Aus dem Mündungsgebiet der Langeten, Wigger und Suhr ↯ gegen das Oberelsass ziehend; Grenze im NE und N: Küttigen, Wittnau, Möhlin, Riehen, Basel, im SW und S: Zofingen, St. Urban, Herzogenbuchsee, Herbetswil, Kleinlützel. Blitz und Donner im NE: Cernier. Weitere Bemerkungen und Hagel, vide Ergänzungen a und b. **T** I, 6.
	b	759	23	4–7 p	W	{E / SE}	{45 / 80}	{36 / 40}	● ▲	↯-Zug aus dem Gebiet zwischen Lägern und Rhein teils ins mittlere Thurgebiet, teils gegen Churfirsten und Alpstein. Grenze im N: Kaiserstuhl, Steckborn, im SW und S: Buchs (Zürich), Dübendorf, Lachen, Vorderthal, Obstalden, Gonzen; Südrand des ostwärts gerichteten Astes: Kollbrun, Wil; Nordrand des südostwärts gerichteten Zweiges: Pfäffikon, Bachtel, Ebnat, Wildhaus. Blitz und Donner: Glarus, Lohn, Weinfelden; Donner: Schleitheim. Weitere Bemerkungen und Hagel, vide Ergänzungen a u. b. **T** I, 6.
	c	759	24	5–7 p	WNW	ESE	.	.	● ▲^{2}	Aus dem Quellgebiet der Wigger ↯ mit Wolkenbruch gegen den Vierwaldstättersee ziehend: Wolhusen, Luzern, Pilatus. Hagel: Willisau, Menznau, Ruswil, Wolhusen, Werthenstein, Malters. Bemerkungen über Wasserschaden, vide Ergänzungen a. **T** I, 6.
	d	759	24	5–7^{15} p	ESE	WNW	.	.	● ▲	Vom Höhenzug zwischen Reuss und Zugersee ↯-Zug zum Lindenberg: Cham, Root ▲, Mettmenstetten, Muri, Hitzkirch, Münster. **T** I, 6.
	e	759	22	6–7^{10} p	SE	NW	25	50	● ▲	↯-Zug vom Hohgant gegen Bantiger und Gurten: Schwarzenegg, Schangnau, Marbach ▲, Eggiwil, Grosshöchstetten, Langnau, Bern, Lützelflüh; Blitz u. Donner: Heiligenschwendi; Donner: Lyss. **T** I, 6.
	f	759	23	7–10^{30} p	NW	SE	.	.	● ▲	↯ von der Napfkette zum Schimberg ziehend: Wasen, Luthern, Escholzmatt ▲, Doppleschwand ▲, Entlebuch; Donner: Weggis, Vitznau. **T** I, 6.
	g	759	21	7^{25}–8^{15} p	NW	SE	.	.	● ▲	Vom Mont Vully ↯-Zug gegen die Berra: Murten, Freiburg, La Roche; Donner: Neuchâtel, Cernier. Hagel: Bösingen, Düdingen, Wünnerswil. **T** I, 6.
» 30/31	.	760	16	10^{30} p–0^{45} a	NW	SE	80	46	●	Von der untern Aare und Limmat ↯-Zug zwischen Töss und Zürichsee aufwärts zum Säntis innerhalb den Grenzen, im NE u. N: Hochfelden, Winterthur, Sternenberg, Lichtensteig, Urnäsch, im SW und S: Baden, Zürich, Grüningen, Nesslau. Blitz und Donner aus dem ↯-Gebiet: Zurzach, Vorderthal, Frauenfeld („nur einmaliger, aber kolossal starker Donnerschlag"), Appenzell, Wildhaus; Donner: Teufen; Blitze: Schleitheim 10^{30} p, Heiden; Wetterleuchten aus S: St. Gallen, nach 0^{h}.
» 31	a	760	14	7^{20}–10^{20} a	NNE	SSW	38	38	●	Andeutung eines ↯-Zuges aus den Franches-Montagnes zum Murtensee: Bellelay, Champ-Fahy, Murten; Blitz und Donner: La Chaux-de-Fonds; Donner: Mormont, Solothurn, Neuchâtel, Bern. **T** II, 1.
	b	760	16	12^{h}–2^{50} p	ENE	WSW	36	36	●	↯ über Reiath und Randen gegen den Schwarzwald: Lohn, Hallau, Höchenschwand; Donner: Schaffhausen, Schleitheim 1^{40} p und 2^{45} p. **T** II, 1.

Datum		Bezeichnung des Zuges od. d. Gruppe	Mittlerer Luftdruck	Mittlere Temperatur	Zeit des hörbaren Donners	Richtung der K oder des Zuges		Zurückgelegt. Weg in km.	Weg in km. pro Stunde	Art der Niederschläge	Betroffene Gegend und weitere Bemerkungen
Mai	31	c	759	21	3^{05}–4^{30} p	N	S	30	60	● ▲	Vom Murtensee K zur Saane und gegen Gibloux und Berra ziehend: Murten, Liebistorf ▲, Freiburg ▲ (kirschgross), Sales ▲, Vaulruz ▲, Marsens, Cerniat ▲; Donner: Lausanne. **T** II, 1.
		d	759	21	4–5^{30} p	NE	SW	45	45	●	K-Zug von der Suhrmündung aareaufwärts zur Emmenmündung: Aarau, Kölliken, Zofingen, Herzogenbuchsee, Solothurn. **T** II, 1.
		e	757	23	4–5^{30} p	ENE	WSW	36	48	●	K am unt. Tessin und obern Langensee: Grono, Braggio, Bellinzona, Locarno, Brissago, Borgnone; Donner: Crana. **T** II, 1.
		.	759	21	6^{10}–8^{15} p	N	S	.	.	●	Zweites K am Murtensee und im Saanegebiet: Murten, Freiburg, La Roche; Donner: Neuchâtel.
Juni	2	a	764	15	2^{30}–4 a	E	W	.	.	●[1]	Lose zusammenhängende K im Oberemmental u. Entlebuch: Luthern, Escholzmatt (Regen vom 1./2. = 20.2 $^{m}/_{m}$), Grosshöchstetten. Hagel: Schüpfheim, Romoos. Ueber Wasserschaden vide Ergänzungen a.
		b	764	15	2^{30}–4^{15} a	SW	NE	.	.	●[1]	K im Grossen Moos: Murten (1./2. = 20.6 $^{m}/_{m}$), Lyss.
		c	765	21	2^{30}–3 p	W	E	.	.	●	Zwei kleine K, c, zwischen Rooterberg und Zugerberg (Küsnach, Walchwil; Donner: Weggis, Vitznau) und e, mit Wolkenbruch am Frundsberg (Wernetshausen [10 Entladungen, Regen nur 2.6 $^{m}/_{m}$], Hittenberg [Wald] 90.5 $^{m}/_{m}$!?; Blitz und Donner: Wädenswil).
		e	765	21	3–5 p			.	.	●[2]	
		d	764	22	2^{50}–3 p			.	.	● ▲	Einzelne K, d, zwischen Kronberg und Rheinmündung (Appenzell 3 p, Heiden 3 p, St. Margrethen ▲; Donner: Altstätten) und g, K-Gruppe zwischen Ergolz und Sisseln (Möhlin [I. 5^{45}–6^{30} p, E nach W, II. 10 km westlich 6^{10}–6^{30} p], Liestal, Böcktén; Donner: Buus, Langenbruck).
		g	764	21	5^{45}–6^{55} p			.	.	●	
		f	764	20	4^{15}–5^{30} p			.	.	●[2]	K-Gruppe zwischen Alpstein und Gonzen: Walenstadt (22.2 $^{m}/_{m}$), Starkenbach, Wildhaus, Säntis (39 elektr. Entladungen); Donner: Altstätten, St. Gallen („wenig und sehr schwach"); K-Regen: Heiden.
		h	765	16	6^{30}–10 p	SW	NE	82	30	●[1]	Vom Chasseron und vom Gibloux her K gegen das Grosse Moos und dann vereint der Ostflanke des Jura entlang bis zur Klus und Langetenmündung ziehend: Chambrelien, Valangin, Cernier, Champ-Fahy („alle 2 Min. Donner, worunter mehrere sehr starke"), Biel (24.5 $^{m}/_{m}$), Payerne, Murten, Aarberg, Lyss, Grenchen, Solothurn (ca. 20mal Donner, kräftig), Choindez, Mervelier, Balsthal, St. Urban; Blitz und Donner: Baulmes, St. Sulpice, La Chaux-de-Fonds, Freiburg.
"	3	a	765	15	11^{30}a–12^{50}p	SW	NE	.	.	●[2] ▲	K-Gruppe zwischen Hundwilerhöhe und Tannenberg: Teufen (12^{35} p ●[2] u. ▲), St. Gallen (ziemlich stark, aber ohne Blitzschläge, ▲ nur im Westquartier); Blitz und Donner aus NW: Heiden; Donner: Altstätten, Rorschach. Hagel: Urnäsch, Waldstatt, Hundwil, Gonten, Schlatt-Hasle, St. Margrethen. Ebenso K in Wil 12–12^{30} p (Affeltrangen Blitz und Donner). **T** II, 2.
		b	763	21	1^{05}–4^{50} p	W	E	42	14	● ▲[2]	Hagelfall, stellenweise mit elektr. Entladungen, zwischen dem mittl. Saanegebiet und dem Quellgebiet der Grossen Emme: Freiburg, Schwarzenegg; Donner im NE: Clarens 3^{30} p. Hagel, vide Ergänzungen b. **T** II, 2.
		c	763	21	2^{30}–4^{30} p			.	.	● ▲[2]	K in den Franches-Montagnes: Saignelégier, Choindez; Blitz und Donner: Champ-Fahy; Donner: Chaumont. Hagel: Bémont, Les Enfers, St. Brais, Montfavergier, Montfaucon, Glovelier. **T** II, 2.
		d	763	22	3–7 p	SW	NE	78	21	● ▲[2]	Aus dem Ilfisgebiet K-Zug gegen den Pfannenstiel; Grenze im NW: Langnau, Sursee, Münster, Mettmenstetten, Sihlwald, Uster; im SE: Eggiwil, Buchsteg, Emmenbrücke, Cham, Wädenswil, Grüningen. Blitz und Donner aus dem K-Gebiet: Muri, Zollikon; Donner: Zürich. Weitere Bemerkungen und Hagel, vide Ergänzungen a und b. **T** II, 2.
		.	763	23	3^{45}–5^{45} p			.	.	● ▲	Kleines K zwischen Wiese und Rhein: Riehen ▲, Möhlin (von W 5 km nördl. nach E vorbei); Donner: Basel, Buus. **T** II, 2.
		e	763	22	4^{45}–5 p			.	.	● △	K-Gruppe zwischen Ergolz und Langetenmündung: Liestal K (einzelne Hagelkörner), Lampenberg, Bennwil, Waldenburg, Langenbruck, Balsthal, St. Urban; Blitz und Donner: Gelterkinden; Donner: Aarau. **T** II, 2.
		.	763	23	4^{15}–5^{10} p			.	.	●	K am Zürcher Obersee: Lachen, Rapperswil; Blitz und Donner: Wädenswil, Wernetshausen („ca. 6mal, mittelstark, SE im S nach W"); Donner: Obstalden. **T** II, 2.
		f	763	23	5^{50}–9^{20} p	SW	NE	40	20	● ▲	Von der Suhrmündung K ins Rafzerfeld ziehend; Grenze: Aarau, Böttstein, Wilchingen, Eglisau, Niederhasli, Mellingen, Lenzburg. Wil-Rafz K; Blitz und Donner aus dem K-Gebiet: Gelterkinden, Hallau; Donner: Buus. Hagel: Neerach. Im übrigen, vide Ergänzungen a. **T** II, 2.

[1] Juni 1., vide Nachträge a, lokale Gewitter.

Datum	Bezeichnung des Zuges od. d. Gruppe	Mittlerer Luftdruck	Mittlere Temperatur	Zeit des hörbaren Donners	Richtung der ↖ oder des Zuges		Zurückgelegt. Weg in km.	Weg in km. pro Stunde	Art der Niederschläge	Betroffene Gegend und weitere Bemerkungen
Juni 3	.	763	21	$6–7^{30}$ p	.		.	.	●▲	Vereinzelte ↖ im Waadtland: Cossonay, Morges, Nyon ↙, Commugny ↙, St. Cergue abends, Carrouge près Ecublens ▲; Blitz u. Donner: Marsens. **T** II, 2.
	.	764	22	$6^{30}–8^{30}$ p	.		.	.	●△	↖ längs der Feuerstein-Pilatuskette: Sarnen (S nach N), Pilatus △, Luzern („8^{12} p ein heftiger Schlag"). **T** II, 2.
	.	763	23	$6^{45}–8^{40}$ p	S	N	.	.	●▲	Vom Wäggital ↖ zum Zürcher Obersee ziehend: Vorderthal, Altendorf ▲, Lachen ▲ (10 Min. lang); Blitz u. Donner: Wernetshausen. **T** II, 2.
	g	763	22	$6^{45}–9^{45}$ p	SW	NE	.	.	●	Vom Lindenberg ↖-Zug ins Murggebiet; Grenze im NW: Muri, Höngg, Kollbrunn, Aadorf; im S u. SE: Mettmenstetten, Wädenswil, Dussnang. Blitz und Donner aus dem ↖-Gebiet: Schlieren; Blitze: Heiden, Weinfelden (im W). Im übrigen, vide Ergänzungen a. **T** II, 2.
	h	763	21	8–10 p	S	N	.	.	●	Andeutung eines ↖-Zuges von der Berra zum Mont Vully: La Roche, Freiburg, Murten. **T** II, 2.
» 4	.	765	22	$4–5^{30}$ p	.		.	.	●▲	↖ zwischen Reiath und Untersee: Herblingen ▲, Thayngen ▲, Diessenhofen, Eschenz; Blitz und Donner im SE und E: Lohn, Schaffhausen.
	.	765	22	$4^{30}–7$ p	NW	SE	42	28	●△▲	Vom Schwarzwald (Höchenschwand $4^{30}–5^{55}$ p) und vom Hohen Randen her ↖ innerhalb folgender Grenzen ins Murgtal ziehend, im W und SW: Höchenschwand, Kaiserstuhl, Hochdorf, Winterthur („$5^{20}–6^{20}$ p, im Zenith 6 p, 6 p einzelne Hagelkörner, Regen $5^{40}–7$ p, während 6 Minuten wolkenbruchartig, in Gärten, auf den Strassen und dem Turnplatz ganze Seen"), Aadorf, im NE: Schaffhausen, Andelfingen, Thundorf. Blitz und Donner: Schöfflisdorf; Donner: Weinfelden. Hagel: Unterhallau, Seuzach.
» 5	.	767	21	$4–6^{15}$ p	NE	SW	.	.	●	Zusammenhängend mit solchen vom Schwarzwald, ↖ im untern Klettgau und anstossenden Wutachtal: Hallau („Hauptgewitter eine Stunde westlich"), Wilchingen, Höchenschwand; Donner: Schleitheim.
	.	767	21	$5–7^{45}$ p	versch.		.	.	●	↖ zwischen Thur und Untersee: Niederneunforn, Eschenz, Steckborn, Weinfelden; Blitz und Donner: Schaffhausen, Winterthur.
	a	767	23	$6^{45}–8$ p	N	S	30	40	●▲	Hagelstrich mit elektr. Entladungen zwischen Broye und Saane: Murten, Payerne, La Roche; Blitz u. Donner: Neuchâtel, Marsens. Weitere Bemerkungen und Hagel, vide Ergänzungen a und b. **T** II, 4.
	.	767	22	7–8 p	.		.	.	●	↖ im Murggebiet: Aadorf, Frauenfeld, Thundorf; Blitz und Donner: Winterthur, Hochfelden.
	b} c}	767	22	8–9^{30} p	{N NW}	{S SE}	.	.	●	Vom Sigriswilergrat ↖, b, zur Jungfrau ziehend (Beatenberg, Interlaken, Lauterbrunnen) und c, im Haslital (Meiringen, Guttannen). **T** II, 4.
	d	768	24	$8^{10}–9^{25}$ p	NNW	SSE	.	.	●	Vom Rigi her ↖ gegen die Windgällen: Vitznau, Isenthal, Altdorf. **T** II, 4.
	.	766	23	$8^{10}–9$ p	NE	SW	.	.	●	↖ im Calancatal und Misox: Braggio, Grono, Bellinzona.
	.	767	23	$8^{30}–9^{30}$ p	.		.	.	●▲°	↖ im obern Sihl- und im Wäggital, sowie im Linth- und Walenseegebiet: Einsiedeln ▲°, Vorderthal, Lachen, Glarus (von W), Elm (N u. S), Obstalden, Walenstadt. Blitz und Donner: Wädenswil, Wald, Iberg; Donner: Sargans.
» 9	.	760	16	{10—10^{30} a 11 a—12^{h}}	N	S	.	.	●	Schwaches ↖, 10–10^{30} a, zwischen Rigi und Stanserhorn (Vitznau, Stans; Donner: Luzern) und 11 a–12^{h} im Linthtal (Glarus, Linthal; Donner: Säntis, Sargans). **T** II, 3.
	.	760	19	11^{30} a–1^{30} p	.		.	.	●	↖ im untern Misox: Bellinzona, Grono. **T** II, 3.
	.	759	17	$12^{h}–1^{15}$ p.	.		.	.	●▲	↖ zwischen Rötifluh und Hauenstein: Balsthal (schwach), Eptingen, Rünenberg ▲, Kilchberg ▲ („Körner bis 1 ‰ im Durchmesser"); Blitz u. Donner: Liestal; Donner: Solothurn ($12^{55}–1^{15}$ p ca. 15 mal), Langenbruck, Buus.
	a	757	20	$12^{h}–2^{30}$ p	SW	NE	40	32	●▲	Vom Piz Beverin ↖-Zug über die Aroser Berge ins Quellgebiet des Landwassers: Thusis ▲, Tomils, Lenzerhaide, Arosa, Tschiertschen, Davos-Platz, Davos-Stille. **T** II, 3.
	b	757	25	3–5 p	SSW	NNE	40	32	●▲	↖-Zug von der untern Broye zum Gr. Moos und zum Frienisberg: Payerne, Murten, Ins ▲, Aarberg, Lyss ↙. **T** II, 3.
	.	{758 758 757}	{23 23 26}	{$1^{30}–2^{30}$ p $2^{30}–4^{15}$ p zw. 3 u. 3^{30} p}	.		.	.	{●² ● ●▲}	↖, $1^{30}–2^{30}$ p, zwischen Venoge u. Neuenburgersee (Cossonay 29.4 m/m, Yverdon 30.2 m/m; Blitz u. Donner: Montcherand), $2^{50}–4^{15}$ p, zwischen Mont Chasseron und Orbe (Montcherand, Baulmes), 3–3^{30} p, zwischen Raimeux und Birsmündung (Mervelier, Therwil; Donner: Mormont; Hagel: Beinwil, Bärschwil, Meltigen, Zullwil). **T** II, 3.
	c	756	26	3–6 p	W	E	95	38	●²▲	Aus den Franches-Montagnes ↖ in schmalem Striche zum Albis ziehend: Bellelay ↙, Choindez, Herbetswil, Weissenstein ▲, Solothurn ↙, Feldbrunnen (20.7 m/m). Attiswil ↙, Wiedlisbach ▲, Kestenholz ▲, Schwarzbäusern ▲, Wolfwil ▲, St. Urban, Zofingen, Münster, Hitzkirch, Muri, Mettmenstetten, Sihlwald, Neuheim ▲; Donner: Zürich. **T** II, 3.

Datum	Bezeichnung des Zuges od. d. Gruppe	Mittlerer Luftdruck	Mittlere Temperatur	Zeit des hörbaren Donners	Richtung der ↖ oder des Zuges		Zurückgelegt. Weg in km.	Weg in km. pro Stunde	Art der Niederschläge	Betroffene Gegend und weitere Bemerkungen
Juni 9	d	757	25	3–4 p	NE	SW	.	.	●△	Aus dem Reiath ↖ zum Seerücken ziehend: Buch, Diessenhofen, Eschenz, Steckborn, Haidenhaus; Blitz und Donner: Schaffhausen △. **T** II, 3.
	.	757	26	1^{30}–3^{45} p			.	.	●	Vereinzelte ↖ zwischen Passwang und Geissfluh: Aarau (5 km nördlich), Lampenberg, Böckten.
	e	757	25	3^{20}–4^{30} p	NW	SE	.	.	●▲	↖ im obern Sitter- und Thurgebiet: Degersheim, Urnäsch, Säntis; Blitz und Donner: Lichtensteig, St. Gallen („grosse Regentropfen 3^{20} u. 4^{12} p"). Hagel: Degersheim, Herisau, Schwellbrunn, Waldstatt, Hundwil, Gonten, Appenzell, Rüte, Schwende. **T** II, 3.
	f	756	26	3^{45}–5 p	SW	NE	.	.	●▲	Andeutung eines ↖-Zuges von den Dents du Midi ins Quellgebiet der Saane: Monthey ▲, Savatan, Gsteig, Lauenen. **T** II, 3.
	g	757	25	zw. 4 u. 5 p			.	.	●▲	↖ im Appenzeller Vorderland und im Rheintal: Altstätten 5 km nordöstl. (4^{20}–4^{30} p ● mit etwas ▲). Hagel: Diepoldsau, Widnau, Rebstein, Balgach, Oberegg, Reute, Berneck, Au, und in der vorarlberg. Gemeinde Lustenau. **T** II, 3.
	h	757	24	4–6 p	WSW	ENE	50	40	●△▲	Vom Chasseron ↖ zum Chasseral ziehend: La Brévine ▲, Les Ponts, La Chaux-de-Fonds (im SE streifend), Valangin, Malvilliers, Neuchâtel, Chaumont, Champ-Fahy △; Blitz u. Donner: St. Sulpice, Les Brenets. Hagel: Boudry, Colombier, Auvernier, Corcelles-Cormondrèche, Peseux, Neuchâtel, Cressier, Port (Bezirk Nidau). **T** II, 3.
	i	756	26	4^{55}–8 p	W	E	81	36	●	Schmaler ↖-Zug vom Passwang zum Hörnli: Langenbruck, Olten, Aarau („lang anhaltend, mit starkem Regen"), Dietikon, Schlieren, Zürich ↙. Küsnacht, Dübendorf, Uster, Fehraltorf, Wernetshausen („zwei Donner per Min., kräftig"), Bauma; Blitz u. Donner: Buus, Gelterkinden („nach 6 p kurze Störung der elektr. Beleuchtung"), Winterthur; Donner: Hallau, Wädenswil. **T** II, 3.
	k	757	24	5–6^{50} p	N	S	40	40	●▲	Vom Rigi ↖ durch das Reusstal hinauf ziehend: Gersau, Beckenried ▲, Isenthal, Altdorf ▲ (dreimal, am heftigsten 5^{45}–5^{58} p), Gurtnellen, Göschenen ↙; Donner: Engelberg. **T** II, 3.
	l	756	26	5^{40}–8 p	SW	NE / E	45	30	●△▲	Aus dem Gebiet zwischen Surb und Rhein ↖-Zug teils zum Höhgau, teils gegen Nollen und Ottenberg; Grenze im NW u. N: Unt. Wutach, Hallau, Lohn, im S: Bachs, Hochfelden, Henggart, Aadorf, Affeltrangen; Südgrenze des nördl. Zweiges: Thayngen; Nordrand des südl. Zweiges: Niederneunforn, Müllheim. Blitz und Donner aus der ↖-Gegend: Winterthur, Weinfelden △. Hagel: Unterhallau, Wilchingen, Herblingen. **T** II, 3.
	.	757 / 756	22 / 27	4–6 p / zw. 6 u. 7 p			.	.	●▲	Kleine ↖, 4–6 p, zu beiden Seiten des Brünigpasses (Meiringen 4–5 p, Lungern 5–6 p; Donner: Engelberg) und zwischen 6 u. 7 p im Ergolzgebiet (Waldenburg ▲, Böckten, Liestal, Arisdorf, Rheinfelden; Donner: Pfeffingen).
	m	758	23	5^{40}–7 p	S	N	.	.	●▲	Von der Rhonemündung ↖ zum Jorat ziehend: Port Valais ▲. Clarens 5^{45} p, Palézieux (24.2 mm). Ebenso ↖ über Champ-Fahy 6–6^{50} p. **T** II, 3.
	n	757	22	5^{45}–6^{50} p	N	SSE	24	32	●	Vom Speer und Schänniserberg ↖-Zug zum Hausstock: Wesen, Glarus, Elm („viele Entladungen, stark"). **T** II, 4.
	o	759	23	5^{45}–7^{40} p	SW	NE	42	28	●	↖-Zug von der Tresa ins Calancatal und ins Misox: Ponte Tresa, Lugano ↙, Bellinzona, Grono (25.5 mm), Braggio. **T** II, 4.
	p	757	23	6^{15}–8 p	NNW	SSE	30	20	●	Aus dem Gebiet zwischen Necker und Sitter ↖ gegen den Gonzen ziehend: Degersheim Urnäsch, Appenzell, Starkenbach, Wildhaus, Walenstadt; Blitz und Donner: Teufen (über Alpstein u. Rheintal, stark"), St. Gallen; Donner: Altstätten. **T** II, 4.
	q	757	25	7–8 p	W	NE / SE	.	.	●	Von der Limmat- und Reussmündung ↖ teils in den Klettgau, teils gegen die mittlere Glatt ziehend; Grenze im S: Baden, Dietikon, Zürich ↙; im N: Böttstein (im E vorbei), Hallau („häufige elektr. Entladungen, mittelstark"); Südrand des Nordzweiges: Schöfflisdorf, Wil-Rafz, Nordrand des Südzweiges: Regensberg, Niederhasli. **T** II, 4.
	.	756 / 757	25 / 22	5^{40}–6^{10} p / zw. 6 u. 8 p			.	.	●	Kleine ↖, 5^{40}–6^{10} p, in der Gegend der Balsthaler Klus (Balsthal 6 p, Mümliswil ↙, Egerkingen ↙) und, zwischen 6 u. 8 p, an der Plessur (Chur, Tschiertschen; Blitz und Donner: Arosa).
» 10	.	754	20	4^{40}–5^{45} p	SSE	NNW	.	.	●	↖ am Ceresio: Ponte Tresa, Lugano; Donner: Crana.
» 14	.	758 / 758	10 / 11	8^{30}–9^{30} a / 8^{45}–10^{15} a			.	.	●	Gewittergruppe, 8^{30}–9^{30} a, in den Franches-Montagnes (Bellelay, Saignelégier; Blitz und Donner: La Chaux-de-Fonds; Donnerrollen: La Brévine) und 8^{45}–10^{15} a, zwischen Suchet und Orbemündung (Baulmes, Yverdon). **T** II, 5.
	.	757 / 758	12 / 11	9^{45} a–12^{h} / 11 a–12^{h}			.	.	●▲	↖-Gruppe, 9^{45} a–12^{h}, nördlich vom Passwang und an der Geissfluh (Pfeffingen, Liestal, Lampenberg, Waldenburg, Buus ▲, Aarau; Blitz und Donner: Möhlin; Donner: Basel, Gelterkinden) und 11 a–12^{h}, zwischen Pilatus u. Zugerberg (Pilatus, Rigi ▲, Küsnach, Walchwil). **T** II, 5.

Datum	Ausdehnung des Zuges od. d. Gruppe	Mittlerer Luftdruck	Mittlere Temperatur	Zeit des hörbaren Donners	Richtung der K oder des Zuges		Zurückgelegt. Weg in km.	Weg in km. pro Stunde	Art der Niederschläge	Betroffene Gegend und weitere Bemerkungen
Juni 14	a	757	10	$10–11^{40}$ a	NW	SE	.	.	● ▲	K von der Limmatmündung zum Zürichsee hinauf ziehend: Baden, Schlieren, Zürich < (7 mal Blitz und Donner), Meilen ▲, Uetikon ▲, Wollerau ▲, Freienbach ▲, Rapperswil; Blitz und Donner: Mettmenstetten, Wernetshausen (4 km im W). **T** II, 5.
	b	757	10	$11^{a}–12^{45}$ p	W	E	.	.	●	Aus dem Schwarzwald K gegen Reiath und Kohlfirst ziehend: Höchenschwand, Zurzach, Wilchingen, Hallau, Schleitheim, Rheinau, Schaffhausen, Lohn; Blitz und Donner: Winterthur, Wil-Rafz („von 10 a an Donner mit Pausen, von 11^{50} a an fortwährend"); Donner: Uster, Hochfelden. **T** II, 5.
	c g h	757 759 759	10 10 10	11^{30} a–12^{45} p $6^{45}–7^{15}$ p $7^{40}–8^{30}$ p	W W NW	E E SE	. . .	. . .	● ▲ ● ●	Drei kleine K, c, vom Schauenberg zum Nollen und Ottenberg (Aadorf ▲, Frauenfeld, Weinfelden), g, zwischen Langeten u. Suhr (St. Urban, Kölliken; Donner: Hitzkirch) und h, vom Sigriswilergrat zum Jungfraumassiv (Beatenberg, Lauterbrunnen, Grindelwald). **T** II, 5.
	.	759	12	$2^{45}–4^{50}$ p	.		.	.	● ▲	Drei kleine K, $2^{45}–4^{30}$ p, zwischen Eulach und Murg (Winterthur, Aadorf), 3–3^{20} p, zwischen Ergolz und Sisseln (Arisdorf, Möhlin, Eiken ▲, Kaisten ▲; Donner: Basel, Buus) und $3^{10}–4^{50}$ p, vom Schwarzwald über den Hohen Randen zum Kohlfirst ziehend (Höchenschwand, Schleitheim, Schaffhausen; Donner: Hochfelden, Hallau).
	d	759	11	$5^{30}–7$ p	W	E	50	40	● ▲	Von der untern Limmat K zur Murg ziehend: Dietikon, Dübendorf ▲, Volketswil ▲, Winterthur (▲ ohne Schaden), Aadorf, Affeltrangen; Blitz u. Donner: Zürich, Frauenfeld. **T** II, 5.
	e	759	12	$5^{40}–7$ p	W	E	.	.	● ▲	K vom Schwarzwald zum Randen und Reiath: Höchenschwand, Schleitheim, Hallau („$6^{10}–6^{15}$ p ▲, reichlich, aber mit Regen vermischt"), Diessenhofen, Lohn, Eschenz. Hagel: Unter- und Oberhallau, Gächlingen, Neunkirch, Buchthalen, Dörflingen und in den badischen Gemeinden Büsingen und Gailingen. **T** II, 5.
	f	759	11	$5^{50}–7^{45}$ p	W	E	38	38	●² △ ▲	Vom Etzel K-Zug zum Kerenzerberg: Wollerau ▲, Freienbach ▲, Einsiedeln △, Waldhalde, Vorderthal, Obstalden (21.8 m/m); Blitz u. Donner: Wernetshausen, Wädenswil 5 km (SE nach E); Donner: Vitznau, Sargans. **T** II, 5.
	i	759	11	7–8 p	NW	SE	.	.	● ✳ △ ▲	Vom Necker K über die Alpsteinkette ins Rheintal ziehend: Degersheim, Urnäsch ▲, Appenzell, Schwäbrig ✳ u. ▲, Altstätten <; Blitz u. Donner: Säntis; Donner: St. Gallen und Teufen 7^{22} und 7^{26} p heftig. **T** II, 5.
» 17	.	760	21	$7^{20}–8$ p	W	E	.	.	●	Zwei kleine K, $7^{20}–7^{40}$ p, vom Schwarzwald zum Randen (Höchenschwand, Schleitheim) und $7^{30}–8$ p, aus dem Oberelsass gegen die untere Birs (Therwil, Binningen; Donner: Buus).
	.	762 760	22 21	8–9^{30} p $8^{50}–9^{45}$ p	W	E	.	.	●	Ein K, 8–9^{30} p, zwischen Lägern und Irchel (Niederhasli, Hochfelden; Blitz und Donner: Zürich; Donner: Wil-Rafz), ein anderes, $8^{50}–9^{45}$ p, an der Ergolz (Liestal, Buus; Blitz und Donner: Gelterkinden; heftiger Donner: Balsthal, Langenbruck, Pfeffingen).
» 17 18	.	761	15	11^{43} p–0^{07} a	NE	SW	.	.	●	K am Zürichberg: Dübendorf, Zollikon, Zürich; Blitz und Donner: Uster.
» 18	.	760	17	$10^{45}–11^{05}$ a	W	E	.	.	●	Vom Schwarzwald K zum Randen: Höchenschwand, Schleitheim; Donner: Zürich 10^{45} a, im N; Blitz und Donner: Cham, sehr viele Blitze.
	1a 1b	760 760	25 23	$2^{45}–4$ p 4–5^{30} p	W W	E E	45 30	36 40	●² ▲	Zwei fast zusammenhängende K, a, vom Lindenberg zum Bachtel (Muri, Bremgarten <, Mettmenstetten, Baar ▲, Menzingen ▲, Zürich <, Zollikon, Meilen ▲, Wädenswil ▲ $3^{40}–3^{41}$ p, Uster, Lachen, Wald) und b, von der Kreuzegg ins Oberrheintal (Oberkirch 24.9 m/m, Ebnat, Nesslau ▲, Starkenbach 28.8 m/m, Wildhaus, Haag, K-Regen = 21.8 m/m; Blitz und Donner: Wernetshausen, 3 km im SW vorbei).
	c	760	23	$3^{40}–4^{30}$ p	SW	NE	25	25	●² ▲	Aus dem Quellgebiet der Sitter K zur Rheinmündung ziehend: Säntis, Urnäsch ▲, Appenzell, St. Gallen („sehr viele, aber schwache Entladungen, $3^{25}–4^{08}$ p sintflutartiger Regen"), Schwäbrig, Altstätten <, Rorschach <; Donner: Weinfelden.
	d	759	26	$4^{15}–5$ p	SW	NE	.	.	●	K im mittleren Wallis: Sitten, Siders, Varen; Donner: Hérémence.
	.	759 759	22 24	4–8^{40} p zw. 8 u. 9 p	NW	SE	.	.	●	K im Haslital 4–8^{40} p (Meiringen 27.0 m/m, Lauterbrunnen) und zwischen Broye und Saane (Freiburg 10 km westlich, Murten).
	e f	759 759	22 22	8–9 p 8–10 p			.	.	●	Zwei kleine K, e, vom Sigriswilergrat zur Jungfrau (Beatenberg, Lauterbrunnen) und f, im Neuenburger Jura (La Brévine, Chaumont, Neuchâtel).
» 19	.	759	15	$8^{45}–11^{50}$ a	W	E	.	.	● ▲	K vom Südfuss des Schwarzwalds zum Randen: Höchenschwand, Zurzach $9^{30}–9^{35}$ a ▲, Schleitheim.
	a	759	16	$8^{45}–9$ a	S	N	.	.	●	Vom Passwang her K ins Wiesental ziehend: Liestal, Basel, Möhlin; Blitz und Donner: Therwil, Pfeffingen, Gelterkinden. **T** III, 1.

Datum	Bezeichnung des Zuges od. d. Gruppe	Mittlerer Luftdruck	Mittlere Temperatur	Zeit des hörbaren Donners	Richtung der ↖ oder des Zuges		Zurückgelegt. Weg in km.	Weg in km. pro Stunde	Art der Niederschläge	Betroffene Gegend und weitere Bemerkungen
Juni 19	b	759	15	9a–12h	W	E	193	70	●² ▲³	Aus der Franche-Comté ↖-Zug mit starkem, weit verbreitetem Hagelschlag am rechtsseitigen Rande und strichweise orkanartigen Winden; Grenzen, im N: Delle, Basel, Hallau, Steckborn, Amriswil, im S: La Brévine, Aarberg, Muri, Wernetshausen, Lichtensteig, Bischofszell. Hagneck ↙. Im übrigen, sowie Hagel, vide Ergänzungen a und b. **T** III, 1.
	.	759	14	11⁴⁵a–12h	.	.	.	.	●² ▲⁰	Von obigem Zuge ausgelöst, ↖ im Appenzeller Vorderland: Heiden (19.8 m/m), St. Antoni (Gemeinde Oberegg) gegen 12h Platzregen mit einigen Hagelkörnern; Donner im N: Altstätten. **T** III, 1.
	c	759	18	12³⁰–2⁵⁰ p	SW	NE	60	60	●	Aus dem Orbegebiet ↖-Zug über den Neuenburger- u. Murtensee zur mittl. Aare; Grenze im NW: Ste Croix, Champ-Fahy, Lyss ↙; im SE: Cossonay, Freiburg, Frauenkappelen. Blitz und Donner: Baulmes, La Chaux-de-Fonds. **T** III, 1.
	d	760	18	1–4 p	SW	NE	100	57	● ▲	Von der Faucille ↖ zwischen Leman und Jura ins mittlere und untere Saanegebiet ziehend; Grenze im NW: La Cure, Ste Croix, St Sulpice ▲, Murten; im SE: Genf, Morges, Cerniat ▲. Montcherand ↙. **T** III, 2.
	e	759	16	2–4³⁰ p	W	E	66	44	● ▲	↖-Zug vom Weissenstein und aus der Balsthaler Klus gegen Irchel u. Albis; Grenze im N: Waldenburg, Hochfelden; im S: Aarwangen, Unterägeri; Nordrand des südl. Zweiges: Bremgarten, Wädenswil; Südrand des nördl. Zweiges: Bremgarten, Höngg. Blitz u. Donner aus dem ↖-Gebiet: Binningen, Pfeffingen, Arisdorf, Buus, Gelterkinden, Zürich (nahe Zenith). Hagel: Mettmenstetten. **T** III, 2.
	f	760	17	2¹⁵–4⁴⁵ p	SW / W	NE / E	110	55	●² ▲	Vom Brünig her ↖ zu den Wäggitaler Alpen und zum Pfannenstiel, dann über die Churfirstengegend in die Lichtensteiner Berge ziehend; Grenze im W und N: Lungern, Werthenstein ↙, Cham, Uster ↙, Lichtensteig, Haag; im SE und S: Engelberg, Iberg, Glarus, Sargans. Blitz und Donner im S und E: Zürich; ↖-Regen: Heiden. Weitere Bemerkungen und Hagel, vide Ergänzungen a und b. **T** III, 2.
	g	760	18	2¹⁵–4⁵⁰ p	W	E	50	50	●	↖ von der Lägern gegen den Bodensee: Kloten, Winterthur („Zenith 3¹⁴ p"), Veltheim ↙, Aadorf, Frauenfeld, Thundorf, Weinfelden; Blitz und Donner: Haidenhaus, St. Gallen („4¹⁶ p dröhnender, die Fenster stark und lang erzittern machender Donner"), Rorschach; Donner: Schleitheim, Hallau. **T** III, 2.
» 20	a	759	17	12³⁰–2¹⁰ p	S	N	.	.	● ▲	↖ im Sottoceneri: Riva San Vittale ▲, Capolago ▲, Lugano, Rivera. **T** II, 6.
	b	763	15	2⁴⁵—3 p	NW	SE	.	.	●	Ein kleines ↖, b, an der Murg (Frauenfeld, Aadorf, Wängi), ein anderes, 3–3⁴⁵ p, zwischen Vierwaldstättersee und Zugerberg (Weggis, Vitznau, Rigi-Scheidegg, Walchwil; Hagel: Küsnach, Adligenswil, Gisikon, Meierskappel). **T** II, 6.
	.	762	19	3—3⁴⁵ p	.	.	.	.	● ▲	
	c	762	16	2³⁰–3 p	W	E	.	.	● ▲	Aus dem Knonauer Amt ↖ ins obere Glattal ziehend: Mettmenstetten, Menzingen ▲, Sihlwald, Waldhalde ▲, Uster ▲. Grüningen; Blitz u. Donner: Wernetshausen, Zürich; Donner: Schlieren, Winterthur. **T** II, 6.
	d	762	15	4¹⁵–6 p	WNW	ESE	84	56	●² ▲	Von der Balsthaler Klus her ↖-Zug zum obern Zürichsee und ins Wäggital: St. Urban, Olten, Aarau, Kölliken, Triengen, Münster, Cham, Einsiedeln, Wernetshausen („im S vorbei"), Vorderthal (23.8 m/m); Blitz und Donner: Zürich, Küsnacht, Uster. Hagel: Brittnau, Staffelbach, Kirchleerau, Seon, Egliswil, Seengen. **T** II, 6.
» 23	a	761	23	zw. 3 u. 5 p	SW	NE	40	40	● ▲	↖ von der Stockhorngruppe zum Napf und Feuerstein: Blumenstein, Thun, Grosshöchstetten (24.3 m/m), Wasen, Flühli; Blitz und Donner: Wimmis. Hagel: Wattenwil, Gerzensee, Gelterfingen, Münsingen, Buchholterberg, Fahrni, Innerbirrmoos, Wachseldorn, Oberlangenegg, Röthenbach, Eggiwil, Marbach, Flühli. **T** III, 3.
	b	761	25	4³⁰—5³⁰ p	SW	NE	.	.	● ▲	Drei kleine ↖, b, zwischen der obern Suhr und dem Quellgebiet der Reppisch (Münster, Hitzkirch, Mettmenstetten; Donner: Sihlwald, Zürich; Hagel: Reitnau), c, vom Pilatus zum Stanserhorn (Pilatus, Stans; Blitz u. Donner: Sarnen [„im N nach NE"]) und d, vom Hauenstein gegen das Rafzerfeld (Aarau, Brugg, Zurzach; Blitz und Donner: Böttstein, Hochfelden; Donner: Wilchingen, Schleitheim). **T** III, 3.
	c	761	25	5–6 p	W	E	.	.	●	
	d	761	24	5²⁵–8 p	SW	NE	25	50	●	
	e	761	25	6¹⁵–7³⁰ p	SW	NE	20	40	● ▲	↖, e, zwischen Allmann und Nollen (Kollbrunn, Aadorf, Wil, Thundorf, Weinfelden; Blitz u. Donner: Wernetshausen [„ca. 6 km im N nach NE"], Diessenhofen, Haidenhaus; Donner: Uster; Hagel: Sternenberg, Au, Fischingen, Dussnang) und kleines ↖, f, zwischen Ergolz und Rhein (Arisdorf, Rheinfelden, Möhlin; Blitz und Donner: Mervelier, Pfeffingen, Liestal, Gelterkinden. **T** III, 3.
	f	760	24	6³⁰–7³⁰ p	SW	NE	.	.	●	

Datum		Bezeichnung des Zuges od. d. Gruppe	Mittlerer Luftdruck	Mittlere Temperatur	Zeit des hörbaren Donners	Richtung der K oder des Zuges		Zurückgelegter Weg in km.	Weg in km. pro Stunde	Art der Niederschläge	Betroffene Gegend und weitere Bemerkungen
Juni	25	.	764	17	12^{20}–2^{25} p			.	.	●	K im Sottoceneri: Lugano (87.3 m/m), Rivera (105.3 m/m); Blitz und Donner: Braggio (85.3 m/m).
			763	16	1^{30}–2 p	.		.	.	●	K, 1^{30}–2 p, im Quellgebiet der Reuss (Göschenen, Gurtnellen 47.6 m/m) und
			762	16	4–5 p						4–5 p, im Landwasser- und Plessurgebiet (Thusis, Arosa, Savognin 48.7 m/m).
»	30	.	761	24	6–7 p	.		.	.	●	K-Gruppe zwischen Birs, Dünnern und Ergolz: Choindez, Herbetswil, Reigoldswil, Lampenberg; Donner: Bellelay, Mormont, Langenbruck, Pfeffingen.
		.	762	25	7^{25}–8^{35} p	W	E	.	.	●	Schwaches K vom Tannenberg zum Kaien: St. Gallen, Heiden.
Juli	1	a	759	21	6^{32}–11 p	WSW	ENE	54	72	●▲	Schmaler Zug von der untern Saane gegen den Napf (Freiburg, Belp ▲, Grosshöchstetten, Langnau; Blitz und Donner: Bern) und kleines K, c, zwischen
		c	759	21	7^{45}–8^{35} p	SW	NE	.	.	●	Pilatus und Rossberg (Pilatus, Luzern, Vitznau, Gersau, Rigi-Scheidegg, Küsnach, Walchwil; Blitz und Donner: Sarnen; Blitze: Cham, Einsiedeln, Iberg; Donner: Wädenswil). **T** III, 4.
		.	759	27	7^{45}–9^{35} p	NW	SE	.	.	●	K in der Richtung Lausanne nach Dents-du-Midi über den Leman ziehend; Donner: Clarens („7^{45} p Donner aus grossem, später den Himmel teilweise bedeckendem Cumulus, K zog über den See, 8^{03} p einige Regentropfen"). **T** III, 4.
		b	759	24	7^{25}–9 p	W	E	105	84	●	Vom Mont Suchet K-Zug zur Grossen Scheidegg: Montcherand, Yverdon, Marsens, Freiburg, La Roche, Jaun, Boltigen, Wimmis, Frutigen, Beatenberg, Lauterbrunnen, Grindelwald; Blitze: Clarens („hinter Jaman"); Donner: Lausanne, Nyon, Neuchâtel. **T** III, 4.
		d	759	21	7^{55}–10 p	WSW	ENE	95	76	●	Vom Brünig her K in die Glarner und St. Galler Hochalpen ziehend: Lungern Engelberg, Altdorf, Linthal, Elm, Vättis; Blitz und Donner: Platta, Obstalden („nahe im S"), Säntis; Donner: Isenthal, Sargans, Haag (K-Regen); Blitze: Zürich, Uster; Wetterleuchten: St. Gallen. **T** III, 4.
»	2	.	760	16	2–4 a	.		.	.	●	Schwache K, 2–4 a, in der Zentralschweiz (Vitznau 2 a, Sarnen 3^{30}–4 a) und
			759	21	10^{10}–10^{35} a						an der Saane, 10^{10}–10^{35} a (Freiburg, La Roche, Marsens; Donner: Biel 10^{30} a). **T** III, 5.
		a	760	18	10^{55}–11^{30} a	W	E	.	.	●	K im Mittelwallis: Sion, Siders, Vissoye, Varen. **T** III, 5.
		.	760	18	11 a–12^{h}	.		.	.	●	K zwischen Pilatus und Rigi-Scheidegg: Pilatus, Vitznau; Blitz und Donner: Sarnen; Donner; Luzern, Isenthal. **T** III, 5.
		b	760	17	11^{40} a–12^{20} p	N	S	.	.	●	Zwei kleine K b, das Reusstal hinauf (Altdorf, Göschenen, Andermatt; Donner: Platta) und c, vom Klausen zum Segnes ziehend (Linthal, Elm; Blitz und Donner: Ilanz). **T** III, 5.
		c	760	16	12^{h}–12^{40} p	W	E				
		d	760	12	1–2 p	W	E	50	50	●	Andeutung eines schmalen Zuges vom Bernhardin ins Oberengadin: Bernhardin, Splügen, Savognin, Bevers; Blitz und Donner: Thusis. **T** III, 5.
		.	760	24	2^{55}–4^{45} p	.		.	.	●▲	K-Gruppe zwischen Titlis und Mythen: Engelberg, Isenthal, Altdorf, Rigi-Scheidegg, Schwyz ▲; Blitz und Donner: Iberg. **T** III, 5.
		.	760	22	1–1^{30} p	.		.	.	●	K im Calancatal und an der Mesolcinamündung, 1–1^{30} p (Braggio, Bellinzona;
		e	760	22	2^{20}–3 p	S	N				Blitz und Donner: Locarno; Donner: Crana, Sonogno) und e, im Puschlav (Brusio, Le Prese, Cavaglia). **T** III, 5.
		f	760	23	2^{20}–4^{10} p	W	E	33	44	●▲	Aus dem Untertoggenburg K gegen die Rheinmündung ziehend: Flawil, St. Gallen, Heiden („3 p zwei Minuten lang ▲, 30 Gramm schwere, zackige Eisklumpen — aneinander geschmolzene Körner"); Donner: Altstätten, Weinfelden. Hagel, vide Ergänzungen b. **T** III, 5.
		g	760	25	3^{30}–5 p	SW	SE	16	16	●	K, g, im Maggia- und Centovallital (Cevio, Mosogno, Borgnone; Blitz und
		i	761	20	9^{30}–11 p	SW	NE	20	40	●	Donner: Locarno) und i, zwischen Lago Maggiore und Ceresio (Brissago, Lugano, Locarno, Crana, Rivera). **T** III, 5.
		.	760	21	3^{50}–6 p	.		.	.	●	Kleine K, 3^{50}–6 p, im Rheinwaldtal (Bernhardin, Hinterrhein, Splügen) und
			759	22	5–6^{30} p	.		.	.	●▲	5–6^{30} p, im Haslital (Meiringen 5 p kurze Zeit ▲, Guttannen 5 u. 6^{30} p). **T** III, 5.
		h	760	23	3–6 p	WSW	ENE	.	.	●▲	Vom Säntis K gegen die Illmündung ziehend: Säntis (inkl. das lokale K 2^{20}–3 p vierzig elektr. Entladungen, 2^{28}–2^{32} p ▲); Blitz und Donner: Altstätten (im S und SE); Donner: St. Gallen („dem Alpstein nach gegen das Rheintal"). **T** III, 5.
»	13	.	765	25	1^{h} 1^{40} p			.	.	●	K an der Südwestabdachung des Schwarzwalds 1–1^{40} p (Blitz und Donner aus
					2 4 p	ENE	WNW				N: Möhlin; Donner aus NE und N: Basel, Buus, aus W: Schleitheim) und aus dem Höhgau zum Südrand des Schwarzwalds 2–4 p (Diessenhofen, Lohn, Schleitheim, Hallau, Wilchingen; Blitz und Donner: Wil-Rafz, Zurzach).
		a	765	26	2–6 p	NE	SW	72	24	●▲	Ziemlich breiter K-Zug vom Pruntrut und den Franches-Montagnes in das Quellgebiet des Doubs: Porrentruy ▲, Courtedoux <, Bellelay, Champ-Fahy, St. Imier, Les Brenets, La Chaux-de-Fonds, Cernier, Baulmes; Blitz u. Donner: Neuchâtel (NE nach NW); Donner: Yverdon, Le Sentier. **T** III, 6.

Datum	Bezeichnung des Tages od. d. Gruppe	Mittlerer Luftdruck	Mittlere Temperatur	Zeit des hörbaren Donners	Richtung der ↖ oder des Zuges		Zurückgelegt. Weg in km.	Weg in km. pro Stunde	Art der Niederschläge	Betroffene Gegend und weitere Bemerkungen
Juli 13	b	765	27	3^{50}–6^{30} p	NW	SE	36	24	●	Vom Lindenberg ↖ dem Albis und Hohen Ronen entlang ins Wäggital ziehend: Muri, Mettmenstetten, Waldhalde, Vorderthal; Blitz und Donner: Zürich, Kilchberg b./Zürich; Donner: Schlieren, Wernetshausen. **T** III, 6.
	c	765	26	4–6 p	NW	SE	.	.	●	Aus dem Quellgebiet der Sihl ↖-Zug zu demjenigen der Linth: Iberg, Linthal; Donner: Platta. **T** III, 6.
	.	765 766	24 27	3^{30}–5^{40} p 6–7 p	.	.	.	.	●	↖, 3^{30}–5^{40} p, zwischen Sigriswilergrat u. Jungfrau (Beatenberg, Lauterbrunnen) und 6-7 p, in der Umgebung des Surenenpasses (Altdorf, Engelberg; Donner: Isenthal). **T** III, 6.
	d	765	24	4^{15}–5 p	NE	SW	.	.	●△▲	↖ im Alpstein- u. Churfirstengebiet: Urnäsch, Säntis (52 elektr. Entladungen) △, Wildhaus ▲, ↙, Starkenbach, Walenstadt, Obstalden, Wesen; Blitz u. Donner: Heiden, Ebnat; Donner: St. Gallen, Teufen, Altstätten. **T** III, 6.
	e	766	27	4^{30}–5^{30} p	SW	NE	.	.	●▲	Vom Pilatus ↖ zum Rossberg: Pilatus ▲, Vitznau, Rigi-Scheidegg, Walchwil; Donner: Einsiedeln, Sarnen. **T** III, 6.
	f	765	26	4^{30}–5^{30} p	W	E	.	.	●▲	Von der obern Langeten ↖ zum Quellgebiet der Suhr ziehend: Rohrbach ↙, Wasen ▲, Rüegsau ↙, Wyssachen ▲, Willisauland ↙, Luthern, Menznau, Nottwil ▲; Blitz u. Donner: Entlebuch, Escholzmatt; Donner: Luzern. **T** III, 6.
	g	765	26	5^{20}–6 p	WNW	ESE	25	50	●▲	Von der mittl. Saane ↖ zur Simmen und Gürbe ziehend: Freiburg, La Roche, Jaun, Boltigen, Burgistein ▲. **T** III, 6.
	h	764	27	5^{30}–8 p	NNE	SSW	43	17	●	Aus dem Misox und Calanca ↖ in den Sottoceneri: Braggio, Grono, Bellinzona, Lugano, Ponte Tresa; Blitz und Donner: Locarno, Rivera; Donner: Crana. **T** III, 6.
	i	765	25	5^{40}–8 p	ENE	WSW	76	38	●	↖-Zug vom Reiath gegen das Oberelsass: Schaffhausen, Schleitheim, Hallau, Höchenschwand, Basel, Binningen; Blitz und Donner: Wil-Rafz, Liestal, Pfeffingen, Therwil. **T** III, 6.
	.	766	27	6^{20}–7^{15} p	N	S	.	.	●	Kleines ↖ zwischen Zugerberg und Stanserhorn: Cham, Küsnach, Stans; Donner: Zürich, Weggis, Lungern.
	k	765	27	6^{20}–9 p	NE	SW	63	42	●	Vom mittleren Bodensee ↖ zum Albis ziehend: Arbon, Bischofszell, Wil, Pfäffikon, Uster, Zürich („nahe im S vorbei"), Küsnacht, Adliswil; Blitz u. Donner: Degersheim, Aadorf, Wernetshausen („3 km im NW vorbei"), Grüningen. **T** III, 6.
» 14	a .	766 766	17 24	12 h–1^{30} p 2^{40}–3^{30} p	NE	SW	.	.	●	Ein kleines ↖, a, zwischen Rigi, Pilatus und Stanserhorn (Rigi-Scheidegg, Vitznau, Pilatus, Stans; Donner: Altdorf, Isenthal, Luzern) und ein anderes, 2^{40}–3^{30} p, zwischen Langeten und Wiggermündung (Zofingen, St. Urban; Donner: Biel, St. Imier). **T** IV, 1.
	b	766	20	12 h–3 p	NE	SW	30	20	●▲	Vom Hohen Randen ↖-Zug gegen den Südfuss des Schwarzwalds und zur Aaremündung: Schleitheim, Hallau, Wilchingen, Zurzach, Höchenschwand, Böttstein; Blitz u. Donner: Schaffhausen; Donner: Langenbruck. Hagel: Gächlingen, Neunkirch, Ober- und Unterhallau (Schaffhausen), Wil (Aargau). **T** IV, 1.
	c	765	22	1^{15}–4^{30} p	E	W	40	32	●▲	↖-Zug von der Geissfluh gegen das Oberelsass: Aarau (4 km im N nach W), Buus, Zuzgen ▲, Gelterkinden, Möhlin, Liestal, Rheinfelden, Therwil, Basel; Blitz u. Donner: Lampenberg, Waldenburg, Reigoldswil; Donner: Diegten. **T** IV, 1.
	.	766	19	3^{30}–4^{15} p	.	.	.	.	●	↖ im nördl. und westl. Napfgebiet (Luthern, Affoltern i./E. ↙). **T** IV, 1.
	.	766	20	3^{10}–4 p	E	W	.	.	●	↖ zwischen oberem Zimmerberg und Zugersee: Waldhalde, Mettmenstetten, Cham; Donner aus S: Zürich (3^{12}–3^{42} p 7mal), Sihlwald, Uster 3^{42} p, im W: Wädenswil 3^{10}–3^{35} p. **T** IV, 1.
	.	766	25	4^{55}–5^{50} p	.	.	.	.	●	↖ zwischen Bachtel und Etzel: Wernetshausen (4 km südlich), Lachen; Blitz und Donner: Grüningen, Wädenswil. **T** IV, 1.
	.	763	27	4–5 p	.	.	.	.	●	↖ am untern Tessin und an der Tresa: Bellinzona, Locarno, Ponte Tresa; Donner: Crana. **T** IV, 1.
	d	766	26	5^{30}–7^{30} p	SW	NE	.	.	●	Kleines ↖ von der Kyburger Höhe gegen den Ottenberg: Fehraltorf, Kollbrunn, Aadorf, Frauenfeld, Thundorf; Blitz und Donner: Winterthur (4 km südlich nach E; 6^{22}–7^{25} p [!] prächtiger Regenbogen); Donner: Weinfelden. **T** IV, 1.
	e	766	26	5^{35}–7^{45} p	E	W	.	.	●	Kleiner Zug vom Greifensee gegen den nördlichen Albis: Uster, Küsnacht, Zollikon; Blitz und Donner: Zürich (7^{15}–7^{45} p im SSW), Wädenswil (5 km im N). **T** IV, 1.
	.	766	20	5^{30}–6^{30} p	.	.	.	.	●	↖ zwischen Reiath und Untersee: Buch, Diessenhofen, Steckborn. **T** IV, 1.
	.	766	19	6–7 p	.	.	.	.	●▲	↖ am Rigi: Rigi-Scheidegg, Gersau ▲, Vitznau, einige Hagelkörner.

Datum	Bezeichnung des Zuges vel. d. Gruppe	Mittlerer Luftdruck	Mittlere Temperatur	Zeit des hörbaren Donners	Richtung der K$_A$ oder des Zuges		Zurückgelegt. Weg in km	Weg in km. pro Stunde	Art der Niederschläge	Betroffene Gegend und weitere Bemerkungen
VI. 15	.	764	14	11 a–2 p	.		.	.	●	Vereinzelte K$_A$ zwischen Randen und Untersee: Schaffhausen 12^h (von E), Haidenhaus und Steckborn 1–2 p (von N u. SW); Blitz und Donner: Lohn, Schleitheim, Wilchingen; Donner: Wil-Rafz.
	a	764	10	11^{55} a–1^{05} p	.	.	.	.	●▲	Sporadisch auftretende K$_A$ in der Aaregegend zwischen Wigger und Suhr: Zofingen 12^{40} p (N nach S), Walterswil ▲, Schinznach; Blitz und Donner: Aarau (5 km nördlich, von NE nach SW), Kölliken; Donner: Langenbruck, Bennwil, Diegten, Gelterkinden, Böttstein.
	b	703	24	zw. 1 u. 4 p	NE	SW	.	.	●	K$_A$ ohne merklichen Zusammenhang in den Franches-Montagnes und im nordöstl. Neuenburger Jura: Bellelay (Mormont Donner), Champ-Fahy 1^{15} p („alle drei Minuten Donner, mehrere sehr stark"), Chaumont, Valangin (Neuchâtel und Cernier Blitz und Donner 12^{30}–2 p), Serrières, Brot; Donner: S^t Sulpice, Murten, Bern, Biel.
	c	704	25	2–2^{40} p	E	W	.	.	●▲	Zwei kleine K$_A$, c, zwischen Allmann und Pfannenstiel (Wernetshausen [„12 kräftige Donner"], Uster; Blitz und Donner: Bachtel, Wädenswil; Donner: Aadorf) und d, an den Churfirsten (Starkenbach, Stein ▲, Nesslau ▲, Walenstadt, Wesen; Donner: Oberkirch und Obstalden).
	d	704	25	3–5 p			.	.		
	.	703	24	2^{30}–5 p	.		.	.	●▲	K$_A$, 2^{30}–5 p, zwischen Dôle und Mont Risoux (Solliat 4^{30} p, La Cure) und, 2^{45} bis 3^{50} p, im Val de Ruz (Malvilliers [„ein sehr heftiger Blitzschlag"], Cernier; Blitz und Donner: La Chaux-de-Fonds; Donner: La Brévine, Biel; Hagel: Chézard-S^t Martin, Engollon, Montagne de Cernier).
	.	704	24	2^{45}–3^{50} p	.		.	.		
	e	763	26	3^{35}–4 p	N	S	.	.	●	K$_A$ in der Nordwestecke des Landes: Basel, Therwil.
	f	703	20	4–5^{30} p	SW	NE	.	.	●▲	Ein kleines K$_A$, f, an der Strelakette (Davos-Platz, Davos-Stille), ein anderes, g, zwischen Pilatus und Napf (Pilatus, Entlebuch, Romoos ▲).
	g	704	26	4–5^{30} p	.		.	.		
	b	703	25	5–6 p	W	E	.	.	●	Vom Niesen zum Jungfraumassiv ziehendes K$_A$: Frutigen, Kienthal, Lauterbrunnen.
	.	703	26	5–6 p	.		.	.	●	K$_A$ am westlichen Leman: Genf, Nyon.
		701	27	5^{30}–7^{30} p	.		.	.	●	K$_A$ am obern Langensee, im untern Misox und an der Tresa: Locarno 6 p, Grono 7–7^{30} p, Ponte Tresa; Donner: Crana 5^{30} p; Blitze: Braggio 6^{55} p.
VI. 16	.	761	23	1^{45}–4 p	.		.	.	●	K$_A$ im obern Sihlgebiet und am Zürcher Obersee: Waldhalde, Lachen, Euthal, Iberg; Blitz und Donner: Wädenswil; Donner: Uster, Wernetshausen („10 bis 12 km im S nach SE").
	.	702	23	1^{45}–4^{30} p	NW	SE	63	36	●▲	Aus dem mittleren Suhr- und Wynengebiet K$_A$-Zug gegen die Windgällen: Triengen, Gunzwil ▲, Münster ▲, Hitzkirch, Walchwil ▲, Küsnach ▲, Luzern ⊲$_A$, Weggis, Vitznau, Gersau, Isenthal, Altdorf („NW nach SE, 3–4 sehr heftige Entladungen").
VI. 19	.	704	26	4–5^{30} p	.		.	.	●	K$_A$ im Lütschinen- und Kandergebiet: Eigergletscher, Lauterbrunnen, Frutigen.
	.	704	28	5^{15}–8 p	W	E	60	30	●▲	Andeutung eines K$_A$-Zuges von der untern Emme zum Vierwaldstättersee: Wynigen ▲, Wasen, Luthern, Menznau ▲, Malters ▲, Luzern ⊲$_A$, Weggis; Blitz und Donner: St. Urban; Donner: Bern, Iberg.
	.	704	29	6^{30}–7^{30} p	.		.	.	●	K$_A$ zwischen Rossberg und südlichem Zimmerberg: Unterägeri, Horgen; Blitz und Donner: Küsnacht, Zollikon („K$_A$-Regen im S, machte über dem See halt").
VI. 23	a	706	32	3^{30}–5^{30} p	SW	NE	30	20	●^{2}	Kleiner K$_A$-Zug im westlichen Neuenburger Bergland und obern St. Immertal: La Brévine, Les Brenets, Cernier, S^t Imier („K$_A$ éclaté soudain, avec forte pluie. 5^{07}–5^{45} p = 7 $^m/_m$"); Blitz u. Donner: Champ-Fahy; Donner: Yverdon, Payerne, Neuchâtel, Biel, Bellelay.
	b	706	30	6–7^{30} p	W	E	.	.	●	Von der Schächentaler Windgälle K$_A$ zum Hausstock ziehend: Linthal, Elm; Blitz und Donner im S: Iberg.
	.	705	28	6–8^{25} p	.		.	.	●	K$_A$ im Davoser Tal und am Piz Kesch: Davos-Stille, Davos-Platz („unzählige Donner an der Maienfelder Furka"); Blitz und Donner im N: Bevers.
	.	709	27	9–10 p	.		.	.	●	K$_A$ westlich von der Dôle und in den Savoyer Alpen; Blitz und Donner im W, SW und S: Lausanne und Clarens.
VI. 24	.	703	20	10^{45} a–2^{45} p	.		.	.	●	K$_A$ am Randen u. im Reiath: Schleitheim, Lohn; Donner: Hallau, Haidenhaus.
	.	703	30	12^{30}–4 p	.		.	.	●^{2}	Mit wolkenbruchartigem Regen begleitetes K$_A$ zwischen Schilthorn u. Schwarzem Mönch: Lauterbrunnen (K$_A$-Regen = 17.7 $^m/_m$), vide Ergänzungen a. **T** IV, 2.
	.	704	29	2^{30}–3^{30} p	.		.	.	●▲	Vereinzelte K$_A$, 2^{30}–3^{30} p, im Neuenburger Bergland (Brot, Les Brenets, Valangin) und zwischen 2 u. 4 p, in der Gegend vom Pilatus und Stanserhorn (Malters ▲, Pilatus, Stans, Sarnen). **T** IV, 2.
	.	704	33	zw. 2 u. 4 p	.		.	.		
	a	701	31	2^{30}–4^{45} p	.		.	.	■▲	K$_A$, a, im Urner Reusstal (Altdorf, Gurtnellen, Göschenen; Donner: Isenthal) und c, zwischen Rigi und Zugerberg (Küsnach, Walchwil; Blitz u. Donner im NE: Weggis; Donner: Luzern; Hagel: Küsnach, Steinerberg, Lowerz). **T** IV, 2.
	c	704	34	3 4^{45} p	.		.	.		

Datum	Bezeichnung des Zuges evtl. d. Gruppe	Mittlerer Luftdruck	Mittlere Temperatur	Zeit des hörbaren Donners	Richtung der K_4 oder des Zuges		Zurückgelegt. Weg in km.	Weg in km. pro Stunde	Art der Niederschläge	Betroffene Gegend und weitere Bemerkungen
Juli 24	b	764	34	2^{30}–5^{30} p	S E	N W	50	28	● ▲	Aus dem obern Sihlgebiet K_4-Zug gegen Pfannenstiel und Albis, dann gegen den Lindenberg: Einsiedeln, Vorderthal, Lachen, Wald, Wernetshausen, Uster, Wädenswil, Zollikon, Zürich, Cham, Mettmenstetten, Muri, Hitzkirch; Blitz und Donner: Winterthur; Donner: Säntis. Weitere Bemerkungen und Hagel, vide Ergänzungen a und b. **T** IV, 2.
	d	764	33	3^{30}–5 p	NE	SW S	40	40	● ▲	Vom Hallwiler- und Baldeggersee her K_4 zur Grossen Emme ziehend; Grenze im NW und W: Kölliken, St. Urban, Burgdorf, im E: Sursee, Escholzmatt, Marbach. Reussbühl $<_4$, Bern Donner. Weitere Bemerkungen und Hagel, vide Ergänzungen a und b. **T** IV, 2.
	e	763	32	3^{25}–6^{15} p	W	E	92	41	●	Vom Passwang K_4-Zug über das Limmat-, Glatt-, Töss- und Murggebiet zur mittleren Thur; Grenze im N: Reigoldswil, Böttstein, Wilchingen, Andelfingen, Wil, im S: Langenbruck, Olten, Hallwil, Zürich (5^{05}–5^{42} = 6.7 $^m/_m$), Uster, Lichtensteig; Blitz und Donner aus dem K_4-Gebiet: Hallau („eine Stunde südlich nach E"), Aadorf; Donner: Liestal, Buus, Gelterkinden, Wädenswil, Schaffhausen, Diessenhofen. Weitere Bemerkungen u. Hagel, vide Ergänzungen a und b. **T** IV, 2.
	f g	764 763	29 30	5–6^{30} p 6^{15}–8 p	W SW	E NE	. .	. .	●▲" ●	Andeutung eines kleinen K_4-Zuges, f, vom Achselberg zum Segnes (Bisisthal ▲, Linthal, Elm; Blitz und Donner: Glarus; Donner: Sargans) und eines andern, g, vom Engpass von St Maurice ins Quellgebiet der Saane (Gryon, Gsteig, Lauenen; Donner: Clarens, von 6^{15} p an). **T** IV, 2.
	h	763	32	7^{30}–10 p	S SW	N NE	60	34	● ▲	Von der Dent-d'Oche (Savoyen) K_4 gegen den Jorat, dann über Gibloux und Berra ins Quellgebiet der Sense ziehend; Grenze im W u. N: St Gingolph, Vevey, Palézieux, Romont, Schwarzenburg, im E u. SE: Clarens („prächtige Blitze"), Marsens, Jaun, Boltigen. Blitz und Donner aus dem K_4-Gebiet: Veytaux, 5–6mal in 30 Min.; Donner: Freiburg. Hagel: Giffers, St. Ursen, Rechthalten, Alterswil, Oberschrot, Plaffeien. **T** IV, 2.
	i	764	29	8–10^{30} p	SW	NE	70	48	● ▲	Aus der Vallée de Joux K_4-Zug zum Neuenburgersee: Le Brassus $<_4$, Le Sentier, Ballens $<_4$, Vaulion, Baulmes, Montcherand („alle Minuten Blitz u. Donner"), Yverdon, Couvet (▲ am Creux du Van) Neuchâtel; Blitz u. Donner: Lausanne, Payerne; Blitze: Freiburg. Vide Ergänzungen a. **T** IV, 2.
	k	765	23	0–11^{30} p	SW	NE	65	44	●	K_4 im nördl. Neuenburger Jura und im obern Birsgebiet, sich ostwärts bis zur Aare erstreckend; Grenze im NW: Les Brenets, La Chaux-de-Fonds, St Imier, Choindez, im SE: Malvilliers, Chaumont, Aarberg, Grenchen, Gänsbrunnen. Donner aus dem K_4-Gebiet: Mormont. Im übrigen, vide Ergänzungen a. **T** IV, 2.
" 25	.	761	30	1^{30}–3^{20} p	SW	NE	.	.	● ▲	K_4 in der Nordwestecke des Landes und im Wiesental; Grenze im NW: Therwil, Basel, Möhlin, im SE: Moutier, Waldenburg, Wittnau; Donner: Bennwil, Diegten. Im übrigen, sowie Hagel, vide Ergänz. a u. b. **T** IV, 3.
	.	763 762	27 26	2^{30}–3^{40} p 8–10 p			.	.	●	Kleine K_4, 2^{30}–3^{40} p, an der Spillgerten- u. Niesenkette (Zweisimmen, Frutigen) und 8–10 p, über dem östl. Leman und seinem südl. Ufergebiet (Blitz und Donner: Clarens, vide Ergänzungen a). **T** IV, 3.
	b	763	30	2^{30}–4^{30} p	WSW	ENE	40	32	●	K_4 zwischen Pilatus und Fluhbrig: Pilatus, Vitznau, Rigi-Scheidegg, Walchwil (im S gestreift), Iberg; Donner: Sarnen, Luzern, Isenthal. **T** IV, 3.
	c	763	29	3^{15}–5^{30} p	SW	NE	54	36	●	Vom Neuenburger Bergland K_4 zu den Franches-Montagnes ziehend: Les Brenets, La Chaux-de-Fonds, St Imier („alle 1–5 Min. Donner"), Bellelay $<_4$, Choindez, Delémont; Donner: Waldenburg, Langenbruck, Balsthal, Liestal. **T** IV, 3.
	.	762	28	5–5^{40} p			.	.	●	K_4 im Appenzeller Mittelland: Herisau, Appenzell; Donner: Teufen, Degersheim, Sargans, St. Gallen („wenig und schwach, in der Richtung Hundwilerhöhe—Kronberg"). **T** IV, 3.
	.	761	30	5^{45}–6^{35} p			.	.	●	K_4-Zug vom südl. Wiesental dem Südhang des Schwarzwalds entlang: Möhlin („am nächsten 6^{21} p, im NW nach NE"), Höchenschwand; Donner im N: Gelterkinden.
" 26	.	763	30	8^{15}–9^{30} p			.	.	●	K_4 an der Pilatuskette: Sarnen, Pilatus.
27	.	764	22	9^{30}–11^{30} p			.	.	●	K_4 an der Dôle: Les Rouges, La Cure; Donner: Yverdon; Blitze: Champ-Fahy, Clarens, Genf.
" 28	a	765	31	3^{30}–6^{10} p	SW	NE	70	40	● ▲	Vom Giswilerstock K_4-Zug gegen den Bachtel: Giswil ▲, Buchsteg, Pilatus, Stans, Weggis, Vitznau, Walchwil, Rapperswil; Blitz und Donner: Muri, Cham, Mettmenstetten, Wädenswil („3 km im S nach E"), Wernetshausen; Donner: Entlebuch, Luzern, Isenthal, Iberg, Zürich, Uster; Blitze: Zürich. Hagel: Sachseln, Kerns, Sarnen, Beckenried, Gersau, Rigi-Scheidegg, Schwyz, Feusisberg, Freienbach. **T** IV, 4.

Datum	Bezeichnung des Zuges od. d. Gruppe	Mittlerer Luftdruck	Mittlere Temperatur	Zeit des hörbaren Donners	Richtung der ↖ oder des Zuges		Zurückgelegt. Weg in km.	Weg in km. pro Stunde	Art der Niederschläge	Betroffene Gegend und weitere Bemerkungen
Juli 28	b	705	29	4–7 p	W	E	58	46	●▲	↖-Zug vom westlichen Walliser Grenzwall ins Mittelwallis: Troistorrents ▲, Monthey ▲, Dailly, Savatan, Sion, Siders, Varen; ebenso ↖ in Orsières; Donner: Clarens, Hérémence. **T** IV, 4.
	c	705	31	5^{10}–6^{30} p	SW	NE	.	.	●▲	Zwei kleine ↖, c, in der Gegend des Mont Suchet (Baulmes, Montcherand; Blitz und Donner: St Sulpice, La Chaux-de-Fonds. Hagel zwischen Lignerolle und Baulmes 6^{15}–6^{25} p) und g, im Neuenburger Bergland (La Brévine, Chaumont, Dombresson). **T** IV, 4.
	g	705	29	7^{30}–11 p	SW	NE	.	.	●	
	d	765	32	5^{15}–7^{10} p	SE	NW	.	.	●△	Vom Altmann ↖ zum Tannenberg ziehend: Appenzell, Hundwil, Bischofszell („im SE stehen bleibend"); Blitz und Donner: Säntis, Heiden, Schwäbrig, St. Gallen; Donner: Haag (↖-Regen), Altstätten, Teufen; Riesel: Säntis. **T** IV, 4.
	e	765	28	6–10 p	SW	NE	70	23	●	Von dem Gebirge am östl. Leman ↖-Zug gegen den Brienzergrat; Grenze im NW: Rochers de Naye, La Valsainte, Heiligenschwendi, Beatenberg, im Südosten: Leysin, Gsteig, Kandersteg, Interlaken. Blitz und Donner aus dem ↖-Gebiet: La Roche, Freiburg; Blitze: Langnau. **T** IV, 4.
	f	765	27	6^{30}–8^{15} p	SW	NE	102	68	●▲[2]	Aus der Südwestecke des Landes — wahrscheinlich aus der Provence — ↖ über das Gros-de-Vaud zum Gr. Moos ziehend; Grenze im NW: Les Rouges, Orbe, Murten, im SE: Genf, Lausanne, Freiburg („nahe im W vorbei"). Weitere Bemerkungen und Hagel, vide Ergänzungen a und b. **T** IV, 4.
» 29	.	763	23	7^{50}–9^{15} p			.	.	●	↖ an der Albulakette; Blitz und Donner: Davos-Platz („häufig, aber meist nur starkes Blitzen"), Davos-Stille, Bevers.
» 30	a	762	30	1^{25}–3 a	SW	NE	.	.	●▲	Andeutung eines Zuges, a, von der Dent de Vaulion gegen Tête de Ran und Mont d'Amin (Vaulion, Baulmes, Montcherand, St Sulpice, La Chaux-de-Fonds; Blitze: Genf) und ↖, c, zwischen Aare und Quellgebiet der Grossen Emme (Grosshöchstetten; Hagel: Tägertschi, Niederwichtrach, Stalden, Niederhünigen, Gysenstein, Münsingen, Oberthal). **T** IV, 5.
	c	762	33	2–3^{15} p	S	N	.	.		
	b	762	10[*]	12h 2 p	SW	NE	.	.	●▲	↖, b, vom Südosthang des Schwarzwalds gegen den Höhgau, den Randen im N streifend (Höchenschwand; Blitz u. Donner: Schleitheim; Donner: Hallau, Lohn; Hagel: Füetzen [Ghz. Baden], Beggingen [Schaffhausen]) und d, am Hauenstein und Bötzberg (Aarau Blitz und Donner 6 km im W nach N; Hagel: Densbüren, Herznach). **T** IV, 5.
	d	761	32	3^{55} 4^{50} p	W	E				
	.	762	27	4–5 p zw. 5 u. 6 p zw. 6 u. 7 p	.		.	.	●	Drei ↖-Gruppen, 4–5 p, im Puschlav (Cavaglia, Le Prese), zwischen 5 u. 6 p in der Strelagegend und in den Zügen (Arosa 5 p, Davos-Platz 5^{15} p, Filisur) und 6–7 p, am Hinterrhein (Splügen 6^{30} p, Thusis 6^{45} p). **T** IV, 5.
» 30 31	.	762	30	11^{30}p–1 a	W	E	.		●	Von den Rochers de Naye ↖ zur Gemmi ziehend: Château-d'Oex, Saanen, Gsteig, Lauenen, Leukerbad; Blitz u. Donner: Clarens; Donner: Hérémence. **T** IV, 5.
» 31	.	760	31	11^{05}a–4^{40}p	W	E	.	.	●	↖ von der Südostabdachung des Schwarzwalds, den Randen streifend, ostwärts ziehend: Höchenschwand, Schleitheim 1^{45} p; Donner: Wil-Rafz, Hallau 12^{h}, 1^{45} und 2^{15} p, Hochfelden 2–2^{30} p. **T** IV, 6.
	.	761	20	1^{15}–3 p			.	.	●	↖ zwischen Plessurquelle und Albulamündung: Arosa, Strelapass, Filisur; Blitz und Donner: Davos-Platz, 3 km nordwestlich. **T** IV, 6.
	a	760	31	3^{30}–5^{30} p	NE	SW	68	40	●▲	Vom Schwarzwald her ↖ der Aare entlang zum Weissenstein ziehend: Böttstein, Aarau, Kölliken, Zofingen, Balsthal, St. Urban, Feldbrunnen, Solothurn; Donner: Biel. Hagel, vide Ergänzungen b. **T** IV, 6.
	b	760	24	3–6^{30} p	W	E	.	.	●[2]▲	↖ am Passwang u. Hauenstein: Mervelier, Reigoldswil („↖-Regen = 40.3 m/m, nachher noch 12.0 m/m, Hagelkörner Hasel- bis Baumnussgrösse, Getreide stellenweise fast ganz vernichtet"), Liestal, Langenbruck, Lampenberg, Diegten, Böckten, Gelterkinden, Kilchberg. Hagel, vide Ergänzungen b. **T** IV, 6.
	.	760	28	zw. 4 u. 5 p			.	.	●	↖ zwischen 4 und 5 p im Calancatal und am Bernhardin (Braggio 4 p, Bernhardin 5 p; Donner: Platta) und 6–8 p, in der Viamalagegend (Thusis, Zillis). **T** IV, 6.
		761	25	6–8 p						
	c	760	31	5–6 p	SW	NE	.	.	●▲	Zwei kleine ↖, c, zwischen Ergolz und Sisseln (Augst, Rheinfelden, Buus, Möhlin [„vor dem ↖ 32°, nachher 21°]; Blitz und Donner: Basel; Donner: Binningen; Hagel: Rheinfelden, Möhlin, Zeiningen, Oberwallbach) und d, vom Spitzberg [beim Chasseral] ostwärts ziehend (Biel, Busswil ▲, Diesbach ▲). **T** IV, 6.
	d	761	24	5^{30}–6^{30} p	W	E				
	.	761	30	zw. 5 u. 6 p	.		.	.	●	↖ zwischen Tête de Ran und Doubs: Les Brenets, La Chaux-de-Fonds; Donner im NW: Neuchâtel. **T** IV, 6.

*) Morgentemperatur! Vide Seite 4, Zeile 5–7.

Datum	Bezeichnung des Zuges od. d. Gruppe	Mittlerer Luftdruck	Mittlere Temperatur	Zeit des hörbaren Donners	Richtung der K oder des Zuges	Zurückgelegt. Weg in km.	Weg in km. pro Stunde	Art der Niederschläge	Betroffene Gegend und weitere Bemerkungen
Juli 31	.	761	32	8–9 p	.	.	.	●▲	K am mittleren Zürichsee zwischen Albis und Pfannenstiel: Horgen, Herrliberg ▲; Blitz u. Donner: Zürich, Küsnacht, Wädenswil, Walchwil; Donner: Iberg, Mettmenstetten, Uster, Frauenfeld, Winterthur.
	e	760	30	8–11 p	N	S	40	18	● Aus dem Schwarzwald K mit abnehmender Geschwindigkeit gegen den Hauenstein ziehend: Höchenschwand, Böttstein, Aarau; Blitz und Donner im E: Möhlin, Gelterkinden, Basel, im NW und N: Zürich, Wädenswil, Luzern, Weggis. **T** IV, 6.
Aug. 1	.	762	28	1–3 p	.	.	.	.	● K in der Südwestecke des Landes: Genf, St Cergue, Les Rouges.
» 2	.	764	18	6–7 a	.	.	.	.	● K am westlichen Leman: Genf, Les Rouges; Donner aus W: Clarens.
	a	766	28	2–5 p	SW	NE E	72	36	●▲ Vom Chaumont und aus den Franches-Montagnes K zuerst nordöstlich über den Berner und Solothurner Jura, dann in verzögertem Tempo ostwärts zur Wiggermündung ziehend; Grenze im W u. N: Saignelégier, Zullwil, Waldenburg, Olten, Zofingen, im E u. S: Landeron, Solothurn, Reiden. In Balsthal K. Blitz u. Donner aus der K-Gegend: Lampenberg, Aarau, Kölliken; Donner: Biel, Gelterkinden, Buus. Hagel: Cressier, Landeron (Neuchâtel), Mervelier (Bern), Meltingen, Beinwil, Zullwil, Herbetswil, Balm, Niederwil (Solothurn). **T** V, 1.
	.	765	26	3–5 p	W	E	.	.	● Aus dem Schwarzwald K im N des Randen vorbei: Höchenschwand; Blitz u. Donner im N nach E: Schleitheim, Hallau, Lohn, im NE: Basel; Donner im N: Schaffhausen. **T** V, 1.
	.	766 766	27 25	5 6^{45} p 9^{30} 10^{30} p	.	.	.	.	● Zwei kleine K, 5–6^{45} p, im Hasli- und Gadmental (Meiringen, Gadmen, Guttannen; Donner: Göschenen) und 9^{30}–10^{30} p, zwischen Achselberg und Kärpfstock (Bisisthal, Linthal; Blitz u. Donner im NE: Altdorf 9^{45} p). **T** V, 1.
	b	766	28	5–7 p	NE	SW	40	40	●▲[2] K zwischen Neuenburger Jura u. Broye; Grenze im W: Chambrelien, Couvet, Montcherand, Cossonay, im E: Payerne, Moudon, Crissier (nordwestlich von Lausanne). Blitz und Donner aus dem K-Gebiet: Brot, Lausanne. Hagel, vide Ergänzungen b. **T** V, 1.
	.	766	28	zw. 5 u. 6 p	N	S	.	.	●▲ Von Zug b ausgelöst, K im Quellgebiet der Broye und Glâne, sich bis zum östlichen Leman und bis in die untere Rhoneebene erstreckend: Romont, Palézieux, Clarens; Donner: Freiburg. Hagel: Port Valais, Monthey. **T** V, 1.
	.	766	26	5^{30}–6^{30} p	.	.	.	.	●△ K zwischen Tête de Ran und Chaumont: Cernier und Chaumont (einige Hagelkörner), Valangin; Donner: La Chaux-de-Fonds, Neuchâtel, Biel. **T** V, 1.
	c d	766 766	26 25	8–10 p 9–11 p	W NW	E SE	.	.	● Zwei kleine K, c, aus dem Wäggital ins Churfirstengebiet (Vorderthal, Wesen, Starkenbach, Walenstadt; Blitz und Donner: Lachen, Glarus, Sargans) und d, vom Calanda zu den Aroser Bergen (Plantahof, Chur, Tschiertschen, Arosa; Blitze im S: Heiden). **T** V, 1.
» 3	.	765 765	27 28	8^{30}–9 p 8^{30}–10 p	NW NE	NE SW	.	.	● Ein K, 8^{30}–9 p, zwischen Sigriswilergrat u. Jungfrau (Beatenberg, Lauterbrunnen, Eigergletscher) und 8^{30}–10 p, lose zusammenhängende K zwischen Rigi und Brünig (Gersau, Vitznau, Stans, Sarnen, Lungern; Blitz u. Donner: Weggis).
3/4	.	765 765	21 20	11 p–1 a 11^{45} p–2 a	W	E	.	.	●[2] K, 11 p–1 a, im Linthkanal- u. Walenseegebiet (Lachen, Wesen, Walenstadt; Blitze: Winterthur) und, 11^{45} p–2 a, am Kärpfstock und Glärnisch (Glarus 22.6 m/m, Linthal, Elm; Donner: Platta).
» 4	.	765	20	1–3 a	.	.	.	.	● K am Bachtel u. Alpstein: Wald, Wildhaus, Säntis, Haag; Blitz u. Donner: St. Gallen, Appenzell, Teufen; Blitze: Zürich.
	.	765 764	21 27	2–4 a 7–8^{30} p	.	.	.	.	● Zwei kleine K, 2–4 a, am oberen und mittleren Bodan (Rorschach, Arbon, Romanshorn) und 7–8^{30} p, zwischen Reiath und Untersee (Diessenhofen, Steckborn, Haidenhaus; Blitz und Donner: Weinfelden; Donner: Schaffhausen, Frauenfeld).
	.	764 764	25 27	6^{30}–7^{45} p 8^{15}–9^{30} p	.	.	.	.	● Zwei kleine K, 6^{30}–7^{45} p, zwischen Achselberg und Kärpfstock (Bisisthal, Linthal) und 8^{15}–9^{30} p, am oberen und mittleren Bodan (Rorschach, Arbon, Romanshorn; Blitz und Donner: St. Gallen, Schwäbrig).
» 6	a	764	30	1^{30}–2^{10} p	SW	NE	.	.	●▲ K aus dem Quellgebiet der Venoge zum Neuenburgersee: Bière, Cossonay, Montcherand („1^{50}–1^{52} p einige erbsengrosse Hagelkörner"), Yverdon; Blitz und Donner: Lausanne. Hagel: Montricher, Mauraz, L'Isle, Arnex. **T** V, 2.
	b	764	29	1^{40}–2^{20} p	SW	NE	.	.	●▲ Von der Perte du Rhône kleiner K-Zug gegen den Leman: Genf, Versoix. Hagel: Pougny (France), Avusy, Avully, Puplinge, Présinges (Genf), Ville-la-Grand und St Cergues (France). T V, 2.
	c	764	30	1^{45}–4 p	SW	NE	45	30	●▲ K am Neuenburger-, Bieler- und Murtensee: Concise, Yvonand, Neuchâtel, Murten, Champ-Fahy, Aarberg. Donner: La Chaux-de-Fonds. Hagel: vide Ergänzungen b. **T** V, 2.

Datum		Bezeichnung des Zugs od. d. Gruppe	Mittlerer Luftdruck	Mittlere Temperatur	Zeit des hörbaren Donners	Richtung der ☇ oder des Zuges		Zurückgelegt. Weg in km	Weg in km. p/o Stunde	Art der Niederschläge	Betroffene Gegend und weitere Bemerkungen
Aug.	6	d	764	30	2^{05}–3^{30} p	WSW	ENE	.	.	● ▲	Kleiner Zug von der „Source de l'Orbe“ und der Dent de Vaulion gegen Neuenburgersee und Mentue: Vaulion, Vallorbe, Baulmes, Montcherand, Yverdon, Pailly; Hagel: Agiez, Orbe, Treycovagnes, Chamblon, Yverdon, Grandson. **T** V, 2.
		e	764	29	3^{30}–6 p	SW	NE	36	24	● ▲	Vom Napf her ☇ zum Rigi ziehend: Escholzmatt, Entlebuch, Pilatus, Weggis, Vitznau; Donner: Engelberg, Einsiedeln. Hagel: Hasle, Romoos, Doppleschwand, Entlebuch, Wolhusen. **T** V, 2.
		f	764	27	3^{30}–5^{15} p	W	E	.	.	●²	Vom Niesen ☇-Zug zum Jungfraumassiv: Frutigen, Kienthal, Lauterbrunnen 27.5 $^{m}/_{m}$ („von 3 p an sehr starker Regen, die „weisse“ Lütschine ein dunkler, reissender Strom, der Staubbach riesig angeschwollen und schwarz von fortgeschwemmter Erde“), Eigergletscher. **T** V, 2.
		g	764	28	4–6 p	W	E	.	.	● ▲	☇ an der Nordabdachung von Passwang und Hauenstein: Laufen ▲, Therwil, Pfeffingen ▲, Neuewelt, Liestal, Lampenberg, Gelterkinden; Donner: Buus, Reigoldswil, Langenbruck. **T** V, 2.
		h	764	27	4–6 p	SW	NE	43	43	● ▲	Von den Gastlosen ☇ gegen den Napf ziehend: Boltigen, Wimmis, Thun, Eggiwil, Grosshöchstetten, Langnau; Blitz und Donner: Wasen; Donner: Bern. Hagel: Oberstocken, Höfen, Uebeschi, Thierachern, Uetendorf, Thun, Buchholterberg. **T** V, 2.
		i	764	28	4^{15}–6^{30} p	SW	NE	54	36	●²	Aus dem nördlichen Neuenburger Jura schmaler ☇-Zug in die Franches-Montagnes: La Chaux-de-Fonds, Cernier, Dombresson, St Imier, Bellelay, Choindez (23.7 $^{m}/_{m}$), Delémont, Mervelier; Blitz und Donner: La Brévine, Les Ponts, Champ-Fahy; Donner: Biel. **T** V, 2.
		k	764	28	5–8 p	SW	NE	96	48	●² ▲	☇-Zug von der Emmenmündung gegen den Allmann; Grenze im NW: Solothurn, Balsthal, Aarau (21.4 $^{m}/_{m}$), Hochfelden, Bauma, im SE: Kriegstetten, Wasen, Hitzkirch, Wernetshausen („nahe im N vorbei“). In Zürich Temperatur vor dem ☇ 30.4°, nachher 19.0°, von 6^{47}–7^{22} p ca. 20 elektr. Entladungen (7^{12} p nur 1 km entfernt, ebenso 7^{08}–7^{14} p fünf ganz nahe, dann 7^{16}–7^{21} p vier weitere Entladungen mehr im NE und E), Regen 7^{05}–9 p, 7^{10} bis 7^{30} p = 6 $^{m}/_{m}$. Blitz u. Donner: Wädenswil („im N nach E“). Hagel: Willisauland und Hergiswil (Luzern). **T** V, 2.
		l	764	23	5^{30}–7^{30} p	SW	NE	30	40	●	☇ vom Stätzer- und Lenzerhorn zum Madriserhorn ziehend: Lenzerhaide, Arosa, Tschiertschen, Maienfeld, Klosters; Blitz u. Donner: Schiers, Davos-Stille, Schatzalp, Wildhaus, Säntis; Donner: Sargans. **T** V, 2.
		m	764	24	5^{45}–7^{50} p	SW	NE	.	.	●	☇ am Hinterrhein: Bernhardin, Splügen, Zillis („alle 5 Minuten 1–2mal mittelstarker Donner“), Thusis, Tomils; Blitz und Donner: Safien-Platz (☇-Regen), Platta, Avers-Cresta (☇-Regen). **T** V, 2.
		n	764	28	6^{30}–8^{15} p	SW	NE	.	.	●	Schwaches ☇ in der nordwestl. Landesecke und im Wiesental: Therwil, Basel, Liestal, Buus, Möhlin. Blitz und Donner im W: Höchenschwand. **T** V, 2.
		o	762	29	8–10 p	SW	NE	50	40	●	Von der Pointe d'Orny ☇-Zug ins Mittelwallis: Orsières, Châble, Hérémence, Sion, Sierre, Varen; ebenso ☇ über Dailly 8 p. **T** V, 2.
»	7	a b	764 764	30 30	6^{50}—9^{30} p 9–10 p	NE	SW	.	.	●	☇, a, am Ceresio (Lugano ☇, Ponte Tresa; Donner: Crana) und b, am Verbano (Locarno, Brissago, Borgnone (36.1 $^{m}/_{m}$); Blitz u. Donner: Mosogno (27.7 $^{m}/_{m}$). **T** V, 2.
»	12	.	762	27	7^{30}–9^{10} p	SW	NE	.	.	●	Kleines ☇ im Sopraceneri: Rivera, Bellinzona, Grono; Blitz und Donner im E und NE: Locarno; Donner: Crana. Ebenso ☇ in Biasca.
»	13	.	762	28	7^{10}–8^{20} p	SW	NE	.	.	●	Schwaches ☇ im Sopraceneri: Bellinzona, Grono; Donner: Crana.
»	14	a	763	29	1^{40}–4^{30} p	NNW SE	SSE SW	60	40	● ▲	Vom Osthang des Schwarzwalds ☇ in das untere Glatt-, Töss- und Thurgebiet ziehend, mit Abzweigung nach E gegen den Ottenberg, nach W gegen den Hauenstein; Grenze im W: Höchenschwand, Zurzach, Baden, Aarau, im E: Lohn ☇, Steckborn; östl. und südl. Rand des westl. Zweiges: Andelfingen, Effretikon, Dietikon, Kölliken; westl. Rand des östl. Zweiges: Niederneunforn, Kalchrain. Blitz und Donner aus dem ☇-Gebiet: Zürich, Küsnacht, Winterthur, Kollbrunn, Eptingen; Donner: Frauenfeld, Weinfelden, Uster. Hagel: Hofen, Altorf (Schaffhausen). Im weitern, vide Ergänzungen a.
		b	762	29	2^{15}–4^{30} p	ENE	WSW	.	.	●	Kleines ☇ in der nordwestl. Landesecke und im Wiesental: Möhlin, Rheinfelden, Neuewelt, Binningen, Therwil; Blitz und Donner: Buus („1 Stunde nördlich“); Donner: Gelterkinden, Liestal, Pfeffingen.
		c	763	28	6–7 p	NNW	SSE	30	40	●	☇ am obern Bodensee und im Sittergebiet: Bischofszell, Arbon, St. Gallen, Herisau, Schwäbrig, Appenzell; Blitz und Donner: Säntis (21 mal, nahe im NE und E); Donner: Teufen, Heiden.

Datum	Bezeichnung des Zugs od. d. Gruppe	Mittlerer Luftdruck	Mittlere Temperatur	Zeit des hörbaren Donners	Richtung der ⊼ oder des Zuges		Zurückgelegt. Weg in km.	Weg in km. pro Stunde	Art der Niederschläge	Betroffene Gegend und weitere Bemerkungen
Aug. 20	.	760	12	11^{45} a–12^{15} p		.	.	.	●	⊼-Gruppe zwischen dem Arosa-Weisshorn und dem Flüela-Weisshorn: Arosa, Davos-Platz (11 elektr. Entladungen), Davos-Stille; ⊼-Regen: Tschiertschen. **T** V, 3.
	a	758	26	1^{30}–3 p	SW	NE	30	40	● ▲	⊼ im westl. Neuenburger Bergland: La Brévine, Les Ponts („Regen mit kleinem Hagel vermischt"), St Imier; ⊼-Regen mit etwas Hagel: Fontainemelon; Blitz und Donner: St Sulpice. **T** V, 3.
	b	758	26	1^{40}–5^{30} p	SW	NE	108	48	● ▲	Von der Dent de Vaulion Zug heftiger ⊼ über den östl. Neuenburger und Berner Jura, sowie über die Seen und den Unterlauf der Grossen Emme zur Langeten; Grenze im NW: Vallorbe, Baulmes, La Chaux-de-Fonds, Delémont, im SE: Vaulion, Payerne („⊼ die Station im W kaum noch streifend"), Burgdorf, Affoltern i./E.; nordwestlicher Rand des östl. Zweiges: Biel, Aarwangen, Ostrand des westl. Zweiges: Tavannes, Grandval (Moutier). Blitz und Donner aus dem ⊼-Gebiet: Lausanne, Wasen; Donner im W und E: Solothurn; ⊼-Regen: Weissenstein. Bellelay ⊀. Weitere Bemerkungen und Hagel, vide Ergänzungen a und b. **T** V, 3.
	c	758	28	2^{40}—3^{30} p	W	E	.	.	●	Zwei kleine ⊼, c, von der Dent de Vaulion gegen das Quellgebiet der Mentue (Baulmes, Montcherand [„quelques grêlons comme des pois"], Cossonay) und e, von der Pierre à Voir durch das Mittelwallis zur Gemmi (Sion, Siders, Leukerbad; Donner: Châble). **T** V, 3.
	e	760	27	3^{45}—6 p	SW	NE / N	.	.	●	
	d	756	30	2^{40}–5^{50} p	W / E	E / NE / W	.	.	● △ ▲	Sich im Kreise drehendes ⊼ zwischen Passwang, Hauenstein, Bötzberg und Rhein; äussere Grenze: Therwil, Seewen, Langenbruck, Olten, Wittnau, Möhlin („⊼ von S nach N"), Basel („4^{15} p ⊼ aus E"). Blitz und Donner aus dem ⊼-Gebiet: Aarau („nahe im W nach N"). Hagel: Grellingen, Duggingen (Bern), Aesch, Pfeffingen (Baselland); Riesel: Liestal. **T** V, 3.
	.	760	25	zw. 3^{30} u. 4 p		.	.	.	●	⊼ zwischen Dents du Midi und Diablerets: St Triphon („erster Donner: über Dents du Midi, nach zwei Minuten zweiter Donner: über Grand Muveran, letzter Donner: über Diablerets"). **T** V, 3.
	.	758	28	zw. 3^{30} u. 6 p		.	.	.	●	Vereinzelte ⊼ ohne merklichen Zusammenhang im Gros de Vaud, am Leman und im Saanegebiet: Cossonay, Clarens 4^{10} p, Palézieux, La Roche, Marsens, Jaun; Donner: St Triphon. **T** V, 3.
	f	758	27	4–6 p	SW	NE	60	48	●	Von den Diablerets ⊼-Zug zum Sigriswilergrat und Faulhorn: Gsteig, Lauenen, Zweisimmen, Adelboden, Wimmis, Frutigen, Kienthal, Lauterbrunnen, Beatenberg (⊼-Regen 3.4 mm, Tagessumme 6.5 mm); Blitz und Donner: Boltigen, Eigergletscher. **T** V, 3.
	g	758	29	4^{15}–6^{15} p	W	E	42	28	●	⊼-Zug vom Gurten zur Feuerstein-Pilatuskette: Bern, Grosshöchstetten, Eggiwil, Luthern, Entlebuch, Flühli. **T** V, 3.
	h	758	29	4^{30}–6^{30} p	NW	S / E	44	29	●	Von Pilatus und Rigi ⊼ über das Urirotstockgebiet zum Gotthard ziehend mit Abzweigung gegen den Kärpfstock: Pilatus, Weggis, Vitznau, Stans, Engelberg, Altdorf, Linthal, Göschenen, Andermatt; Blitz und Donner: Luzern; Donner: Platta. **T** V, 3.
	.	759	27	4^{40}–8^{30} p	NNE	SSW	.	.	●	⊼ am Ceresio: Lugano 8 p (⊼-Regen = 6.7 mm), Ponte Tresa, **T** V, 3.
	.	759	24	6^{30}—8^{30} p			.	.	●[2]	⊼-Gruppe (6^{30}–8^{30} p) im Plessurgebiet (Lenzerhaide, Arosa, Tschiertschen, Chur; Blitz und Donner: Seewis, Davos-Stille) und vereinzelte ⊼ (7–8 p) am Hinterrhein (Splügen, Avers-Cresta 18.0 mm); ebenso ⊼ in Vals und Savognin. **T** V, 3.
		759	24	7–8 p						
	.	758	27	9–11 p	W	E	.	.	●	Andeutung eines ⊼-Zuges vom mittl. Simmental zum Jungfraumassiv: Boltigen, Frutigen, Lauterbrunnen, Eigergletscher; Blitz u. Donner: Heiligenschwendi.
	i	759	27	9^{30}–11^{40} p	SW	NE	.	.	●[3]	Vom Lago Maggiore ⊼ mit heftigem Regen, die ganze Nacht hindurch, ins Misox ziehend: Locarno (17.4 mm), Bellinzona (34.1 mm), Grono (1^{30} p des 20. bis 7^{30} a des 21. = 32.3 mm). ⊼-Regen im Sottoceneri: Lugano (9^{30} p des 20. bis 7^{30} a des 21. = 73.0 mm); grosse Tagessummen: Rivera 47.2 mm, Crana 79.5 mm, Ponte Tresa 72.5 mm. **T** V, 3.
	.	.	.	a u. p		.	.	.	.	Vide Nachträge a, lokale ⊼.
» 21	.	757	19	zw. 1 u. 2 a		.	.	.	● ▲	⊼ zwischen Dôle und westl. Leman: La Cure, Les Rouges, Genf. Hagel: St Cergue, Luins, Signy, Eysins. **T** V, 3.
	.	757	19	0^{30}—2 a		.	.	.	●	Ein ⊼, 0^{30}–2 a, im Baselland (Liestal, Therwil, Pfeffingen, Reigoldswil, Waldenburg, Arisdorf, Binningen) ein anderes, 1^{50}–2^{45} a, zwischen Tête de Ran, Chasseral und Mont Soleil (Chaumont, Cernier 50.0 mm [20./21.], Dombresson 45.8 mm [20./21.], St Imier („alle 2 Minuten eine starke Entladung"); Blitz und Donner: La Chaux-de-Fonds); ebenso ⊼ in Freiburg 2^{30}–4 a und Lyss 2^{45} a (SW nach NE).
		757	17	1^{50}—2^{45} a						

Datum	Bezeichnung des Zuges od. d. Gruppe	Mittlerer Luftdruck	Mittlere Temperatur	Zeit des hörbaren Donners	Richtung der ↯ oder des Zuges	Zurückgelegt. Weg in km	Weg in km. pro Stunde	Art der Niederschläge	Betroffene Gegend und weitere Bemerkungen
Aug. 21	.	{757 757	19 17	$2-2^{30}$ a $4-6^{30}$ a	.	.	.	●	Zwei kleine ↯, $2-2^{30}$ a, zwischen Hohenklingen und Kohlfirst (Schaffhausen, Diessenhofen) und $4-6^{30}$ a, im Quellgebiet der Saane und Simme (Château-d'Oex, Gsteig, Zweisimmen).
	.	757	18	10^{45} a–12^{15} p	SW	NE	42	56	●	↯ vom Neuenburger Bergland in die Franches-Montagnes ziehend: Les Ponts, Chaumont, La Chaux-de-Fonds ≺ („averse de grêle et de pluie"), St Imier, Bellelay ≺; Blitz und Donner im N: Neuchâtel, Champ-Fahy. Gleichzeitig ↯ in Payerne und Murten.
	.	756	25	$1^{45}-2^{30}$ p	SW	NE	.	.	●	Kleines ↯ von Vallorbe nach Yverdon: Baulmes, Montcherand, Yverdon.
	a	756	26	2–4 p	SW	NE	75	75	●▲	Rasch fortschreitendes heftiges ↯ vom Chasseral zum Kestenberg; Grenze im NW: Champ-Fahy, Herbetswil, Küttigen, im SE: Lyss, St. Urban, Unterkulm; Donner: Triengen. Ebenso ↯ in Münster und Muri 4 p. Hagel: Belmund, Meinisberg, Lengnau, Wiedlisbach, Oberbipp (Bern), Biberist, Zuchwil (Solothurn), Küttigen (Aargau). **T** V, 4.
	b	755	24	$2^{30}-3^{20}$ p	SW	NE	.	.	●²▲	Kleines ↯, stellenweise mit heftigem Regen, in den Franches-Montagnes: Saignelégier (55.8 $^{m}/_{m}$), Bellelay, Delémont („pendant 10 minutes éclairs chaque seconde avec bruit ininterrompu du tonnerre"). Hagel: Les Pomerats, Saignelégier, Montfaucon, St Brais, Saulcy, Undervelier. **T** V, 4.
	c	756	24	3–4 p	SW	NE	30	40	●²▲	Starkes ↯ zwischen Neuenburgersee und Doubs: La Brévine („ouragan, quelques arbres cassés"), Les Ponts, Chambrelien, Serrières, Valangin, Cernier (24.6 $^{m}/_{m}$), La Chaux-de-Fonds, Dombresson (27.0 $^{m}/_{m}$), St Imier („alle 1–2 Min. elektrische Entladungen, $3^{47}-3^{49}$ p wolkenbruchartiger Regen mit dichtem ▲"). Hagel, vide Ergänzungen b. **T** V, 4.
	d	756	28	3–4 p	W	E	.	.	●▲	↯ zwischen Pilatus und Rigi: Pilatus, Kriens ▲, Luzern ▲, Meggen ▲, Weggis. **T** V, 4.
	e	754	26	$3-4^{20}$ p	SW	NE	.	.	●	↯ in der Nordwestecke des Landes innerhalb der Grenzen, im NW: Binningen, Möhlin, im SE: Seewen, Lampenberg, Kilchberg. Donner aus S: Basel, aus N: Bennwil. Pfeffingen ≺. **T** V, 4.
	f	755	25	$3^{15}-4^{15}$ p	W	E	.	.	●▲	↯ aus dem Ifisgebiet ins Entlebuch ziehend: Langnau, Escholzmatt ▲, Flühli ▲, Hasle ▲, Entlebuch ▲; Donner: Wasen (↯-Regen). **T** V, 4.
	g h	756 755	27 27	$3^{15}-5$ p 3^{20} 5^{30} p	SW WSW	NE ENE	42 .	56 .	●	Zwei ↯-Züge, g, vom mittleren Albis zum Ottenberg (Sihlwald, Zürich [„3^{28} bis 3^{47} p viermal, $4^{01}-4^{06}$ p dreimal Donner, 3^{49} p starker Donner mit grellem Blitz, 3^{54} p ≺"]. Fehraltorf, Winterthur, Frauenfeld, Thundorf; Blitz und Donner: Wädenswil, Uster) und h, vom Rafzerfeld zum Hohenklingen (Wil-Rafz, Wilchingen, Schaffhausen, Andelfingen, Diessenhofen, Stein a./Rhein ≺, Eschenz; Blitz und Donner: Hallau [„eine Stunde südlich"], Lohn, Winterthur). **T** V, 4.
	.	756	24	$3^{45}-5^{50}$ p	.	.	.	.	●²▲	↯ im Neuenburger Bergland: Les Brenets 4 p, Cernier 5 p, La Chaux-de-Fonds 36.0 $^{m}/_{m}$ („$3^{45}-4^{15}$ p forte averse de grêle et de pluie avec W4–6"). **T** V, 5.
	i	755	28	$4-5^{40}$ p	WSW	ENE	.	.	●[1]	↯ zwischen Dünnern, Aare und Rhein; Grenze im N: Liestal („mehrere aufeinanderfolgende ↯"), Möhlin (20.4 $^{m}/_{m}$), Laufenburg, im S: Balsthal, Aarau („majestätisches ↯ $4^{30}-5^{40}$ p, $4^{50}-5^{20}$ p starker Regen bei Ws"). **T** V, 5.
	k	755	28	$4-5^{20}$ p	SW	NE	.	.	●²▲	↯-Zug von der Sorne zum Birsig: Bellelay ≺ (25.8 $^{m}/_{m}$, „einige nussgrosse ▲-Körner"), Delémont (24.3 $^{m}/_{m}$, „pluie torrentielle, grêle mêlée de pluie, grosseur pois à noisette"), Therwil 5 p („S nach N"); Donner: Mormont. **T** V, 5.
	l	756	26	$4^{15}-5^{10}$ p	WSW	ENE	.	.	●△▲	Zweites ↯ von der Dent de Vaulion nach dem Neuenburgersee: Vallorbe, Baulmes, Montcherand („einige kleine Hagelkörner mit viel Regen"), Yverdon ▲, Grandson ▲. **T** V, 4.
	m	756	23	$4^{15}-6$ p	SW	NE	90	72	●▲[2]	Von der Perte du Rhône ↯ mit viel Hagel über den Genfersee ins Quellgebiet der Broye ziehend; Grenze im SE: Mont Salève, Evian, Vevey, Palézieux, im NW: Mont Reculet, St Cergue, La Saraz, Moudon; Donner: Clarens. Hagel, vide Ergänzungen b. **T** V, 4.
	.	756	26	5–8 p	SW	NE	.	.	●	Drittes ↯ von der Dent de Vaulion zum Neuenburgersee: Baulmes 5^{45} p, Vallorbe, Montcherand, Yverdon („↯-Regen bis 10 p").
	n	755	24	$6^{15}-7^{45}$ p	WSW	ENE	42	56	●▲	Vom östlichen Leman ↯ ins Simmental ziehend: Veytaux, Château-d'Oex, Gsteig, Jaun, Zweisimmen, Adelboden; Donner: Clarens. Hagel: Port Valais, Bex. **T** V, 4.
	.	755	23	zw. 7 u. 8 p	.	.	.	.	●	Vielleicht ausgelöst durch litt. n, ↯ zwischen Stockhorn, Sigriswilergat und Jungfraumassiv: Wimmis, Beatenberg, Lauterbrunnen, Grindelwald. **T** V, 4.

Datum	Bezeichnung des Zuges od. d. Gruppe	Mittlerer Luftdruck	Mittlere Temperatur	Zeit des hörbaren Donners	Richtung der ↖ oder des Zuges		Zurückgelegt. Weg in km.	Weg in km. pro Stunde	Art der Niederschläge	Betroffene Gegend und weitere Bemerkungen
Aug. 21	o	755	28	6^{40}–9 p	SW	NE	36	24	● ▲	Vom Brünig und Brienzer Rothorn her ↖ gegen die Rigikette: Lungern, Sarnen ▲, Stans, Weggis; Blitze und Donner: Rigi-Scheidegg, Isenthal; Blitze: Luzern, Engelberg. **T** V, 5.
	p	756	28	7^{15}–8^{45} p	SW	NE	27	18	●	Andeutung eines ↖-Zuges von der Forch zum Hörnli: Uster, Wernetshausen („2 km im N vorbei"), Sternenberg; Blitz und Donner: Zürich, Wädenswil, Bachtel. **T** V, 5.
	q	755	25	7^{20}–8^{15} p	SW	NE	.	.	●	↖ am östlichen Leman: Meillerie, Vevey ∠, Clarens, Veytaux („alle 2 Min. sehr starker Donner"). **T** V, 4.
	r	756	28	8–8^{30} p	WSW	ENE	.	.	●	Kleines ↖ vom Lindenberg zum Zürichberg ziehend: Muri, Mettmenstetten, Zürich; Blitz und Donner: Winterthur; Donner in der Ferne: St. Gallen. **T** V, 5.
	.	757	18	p	.		.	.	●	↖ ohne merklichen Zusammenhang im Kt. Graubünden: Savognin (50.2 mm), Vals 3–4 p (Platta Blitz und Donner), Santa Maria, Pontresina, Lenzerhaide, Davos-Stille 7^{15} p, Davos-Platz („fast ununterbrochen Blitz und Donner"), Arosa 9 p, Avers-Cresta, Brusio. **T** V, 4.
» 21/22	.	758	20	p u. n	.		.	.	●	↖ mit kolossalem Regen im Sopra- u. Sottoceneri, Bergell und Avers. Blitz und Donner aus dem ↖-Gebiet: Gotthard, Comprovasco; Blitze: Sonogno; Donner: Borgnone. Niederschlagssummen und sonstige Bemerkungen vide Ergänzungen a. **T** V, 5.
» 22	.	756	20	0^h–2^{30} a, 3–4 a	.		.	.	●	↖, 0^h–2^{30} a, am westlichen Leman (Genf, Les Rouges) und 3–4 a, ↖-Zug vom östlichen Leman ins obere Saanetal (Veytaux [„alle 4 Minuten eine starke Entladung"], Château-d'Oex; Blitz und Donner: Clarens).
	a	756	23	4^{30}–7^{15} p	SW	NE	.	.	● ▲	↖ zwischen Perte du Rhône, Dôle und westlichem Leman: Genf, La Cure, St Cergue. Grosser Hagelschaden im Kt. Genf und in der franz. Grenzzone, speziell in Mornex. Hagelgemeinden vide Ergänzungen b. **T** V, 6.
	b	757	22	6^{15}–8 p	SW	NE	42	56	●	Vom Mont La Tourne ↖ in die Franches-Montagnes ziehend: Brot, Valangin, Chaumont, La Chaux-de-Fonds, Cernier, St Imier („Entladungen alle 1–3 Sek., sehr stark"), Bellelay; Blitz und Donner: Neuchâtel; Donner: St Sulpice, Biel. **T** V, 6.
	c	756	23	6^{40}–8 p	SW	NE	39	52	● ▲	↖ vom östl. savoy. Lemanufer gegen die Berra ziehend: St Gingolph, Clarens ▲, Veytaux (7^{35}–7^{38} p ▲), Palézieux, Marsens; Blitz und Donner: Lausanne. Im übrigen, vide Ergänzungen a. **T** V, 6.
	d	754	24	7^{15}–9 p	SW	NE	40	40	●	Vom Weissenstein schmaler ↖-Zug dem Jura entlang, Aare-abwärts bis zum Kestenberg: Weissenstein, Chaluet-Court, Herbetswil, Balsthal, Eptingen, Olten, Aarau; Blitz und Donner: Reigoldswil, Waldenburg, Lampenberg, Diegten. **T** V, 6.
	e f	750 750	24 25	7^{20}–8 p 7^{30}–8 p	SSW SW	NNE NE	. .	. .	● ▲ ●	Zwei kleine ↖, e, aus dem Grossen Moos zum Weissenstein (Lyss, Lengnau ▲) und f, vom Schauenberg zum Seerücken (Frauenfeld, Haidenhaus, Steckborn). **T** V, 6.
	g	754	26	7^{50}–9^{15} p	WSW	ENE	.	.	●	↖ aus dem Birsigtal und untern Birstal gegen Sisseln und badische Murg: Pfeffingen, Therwil, Binningen, Liestal, Rheinfelden, Möhlin ∠; Blitz und Donner: Gelterkinden („Störung der elektr. Beleuchtung"), Buus („eine Stunde nördlich, Blitze sehr zahlreich, Brandröte im NE"). **T** V, 6.
	h/i	756	25	7^{55}–8^{25} p	SW/W	NE/E	.	.	●	Zwei kleine ↖, h, vom Uto gegen die Kyburger Höhe (Schlieren ∠, Zürich 7^{55}–8^{10} p im Zenith, 8^{10} p ∠; Blitz und Donner: Wädenswil, Winterthur) und i, vom nödlichen Zugersee zum Hohen Ronen (Cham, Menzingen; Blitz und Donner: Einsiedeln, Wädenswil). **T** V, 6.
	k	754	26	8–9^{15} p	W	E	30	30	● ▲	Heftiges ↖ vom Südostfuss des Schwarzwalds zum Randen und Reiath: Höchenschwand, Zurzach („im Schwarzwald zwei Feuersbrünste"), Schleitheim, Hallau, Wilchingen („zwei Minuten ▲, mit viel Regen vermischt"), Wil-Rafz, Schaffhausen, Lohn, Diessenhofen. **T** V, 6.
	.	750	25	8–9^{30} p	.		.	.	●	↖ im Appenzellerland und am mittleren Bodan: Heiden 8^{15} p, Arbon, Romanshorn; Blitz u. Donner: Nollen; Donner: Altstätten, St. Gallen, Weinfelden. **T** V, 6.
	.	757	21	p u. n	.		.	.	●	Vereinzelte ↖ im Tessin: Olivone p, Comprovasco p, Locarno, Generoso und Ponte Tresa n; Donnerrollen: Crana. **T** V, 6.
» 23	.	757	16	10^{15}–11^{10} a	E	W	.	.	●	↖ zwischen Hohenklingen und Kohlfirst: Stein 10^{20} a, Schaffhausen; Donner: Hallau. **T** VI, 1.
	a	759	16	10^{15} a–12^{30} p	SW	NE	30	24	●	Von der Tête de Ran ↖ in die Franches-Montagnes ziehend: La Chaux-de-Fonds, St Imier, Bellelay; Donner: Neuchâtel, Weissenstein. **T** VI, 1.

Datum	Bezeichnung des Zuges od. d. Gruppe	Mittlerer Luftdruck	Mittlere Temperatur	Zeit des hörbaren Donners	Richtung der ↖ oder des Zuges		Zurückgelegt. Weg in km.	Weg in km. pro Stunde	Art der Niederschläge	Betroffene Gegend und weitere Bemerkungen
Aug. 23	b	758	18	11^{50}a–1 p	WSW	ENE	24	32	●² ▲	Aus dem Birsiggebiet kleiner Zug gegen die Sisseln, sich nördlich bis zum Schwarzwald ausdehnend, im N: vom Südhang des Schwarzwalds, im S: von Pfeffingen, Lampenberg und Buus begrenzt; Rheinfelden ▲, Liestal 10 Minuten lang Platzregen. Blitz und Donner aus dem ↖-Gebiet: Reigoldswil; Donner: Langenbruck. **T** VI, 1.
	c	757	16	12^{30}–2 p	SW	NE	.	.	●	Zwei kleine ↖, c, von der Kyburg gegen den Seerücken (Winterthur △, Frauenfeld, Thundorf, Steckborn; Donner: Weinfelden, Lohn) und d, vom Pilatus zum Rossberg (Pilatus, Weggis, Rigi-Scheidegg, Sattel; Blitz und Donner: Luzern, Wädenswil, Zürich; Hagel: Werthenstein). **T** VI, 1.
	d	758	18	1–2^{30} p	SW	NE	.	.	●▲	
	.	759	18	1–2^{20} p	.		.	.	●	Vereinzelte ↖, 1–2^{20} p, zwischen östlichem Leman und Berra (Clarens und Veytaux 1^{45} p, Palézieux, Château-d'Oex, Marsens, La Roche; Blitz u. Donner: Freiburg) und 9^{30}–11 p, ↖ mit Sturm zwischen Dôle und Vallée de Joux (La Cure, Le Sentier [„violente et courte bourrasque, arbres cassés"]).
		759	14	9^{30}–11 p						
	e	759	18	2–3 p	.		.	.	●	Andeutung eines ↖-Zuges vom Alpstein zum Bodensee: Appenzell (33.2 $^m/_m$), Schwäbrig, Heiden (17.3 $^m/_m$), Wittenbach; Blitz u. Donner: Säntis (36.1 $^m/_m$), St. Gallen; Donner: Altstätten (22.4 $^m/_m$). **T** VI, 1.
	.	.	.	a u. p	.		.	.	.	Vide Nachträge a, lokale ↖.
» 24	.	761	23	6^{30}–6^{55} p	.		.	.	●	Zerstreute ↖ im obern Thurgau: Nollen, Romanshorn, Arbon; Blitz u. Donner: St. Gallen (schwach); Donner: Weinfelden.
» 25	.	762	24	abends	.		.	.	●▲	Vereinzelte ↖ zwischen Quellgebiet der Grossen Emme und Wigger, sich östlich bis ins Entlebuch erstreckend: Eggiwil, Marbach ▲, Escholzmatt, Entlebuch, Luthern, Wasen; Blitze: Langenbruck, Aarau. **T** VI, 2.
	a	762	22	7–8 p	WNW	ESE	22	44	●	Vom Stockhorn ↖ zum Brienzergrat und Jungfraumassiv: Wimmis, Beatenberg (7–8 p = 25.0 $^m/_m$, dann noch 11.3 $^m/_m$), Interlaken (25.0 $^m/_m$), Kienthal, Lauterbrunnen; Blitz und Donner: Freiburg. **T** VI, 2.
	b	762	25	8^{10}–9^{55} p	SW	NE	72	48	●	↖-Zug vom Brienzer Rothorn und Brünig gegen Bachtel und Kreuzegg: Lungern, Sarnen, Pilatus; Grenze des weitern Verlaufs, im NW: Buchsteg, Mettmenstetten, Horgen, Wernetshausen (2 km südlich vorbei), im SE: Stans, Vitznau, Einsiedeln, Uznach. Blitz und Donner aus dem ↖-Gebiet: Hitzkirch; Donner: Luzern, Isenthal, Schlieren ↖. Ebenso ↖ in Engelberg 8^{30} p. Grosse Tagesniederschläge und sonstige Bemerkungen, vide Erg. a. **T** VI, 2.
	.	762	24	8–9 p 9–10 p	.		.	.	●²	Kleine ↖, 8–9 p, an der mittleren Saane (La Roche, Freiburg; Blitz u. Donner: Marsens; Blitze: Bern), 9–10 p, zwischen Alpstein und Churfirsten (Starkenbach 33.5 $^m/_m$, Wildhaus 29.0 $^m/_m$; Blitz und Donner: Obstalden 26.7 $^m/_m$, Walenstadt 26.5 $^m/_m$; Blitze: Sargans, Chur; Wetterleuchten: Tschiertschen, Seewis) und gleichzeitig ↖ zwischen Thurglatt und Rheinmündung (Degersheim, St. Gallen, Teufen, Heiden).
	c	762	24	9^{20}–10^{20} p	WSW	ENE	33	44	●	Von litt. b ausgelöst, ↖ von der Kreuzegg über Hohenkasten und Kamor ins Rheintal ziehend: Lichtensteig, Ebnat (44.2 $^m/_m$), Peterzell (36.4 $^m/_m$), Urnäsch, Appenzell, Säntis („80 elektr. Entladungen"), Schwäbrig, Altstätten. **T** VI, 2.
» 26	a	764	18	2^{55}–5 a	SW	NE	40	30	●	↖, a, vom östlichen Leman ins ↖-Gebiet der Saane und Simmen ziehend (Clarens, Château-d'Oex, Gsteig, Saanen, Zweisimmen) und b, im Gros de Vaud und an der mittleren Saane (Morges, Cossonay, Moudon, Marsens; Blitz und Donner: Freiburg). **T** VI, 4.
	b	764	18	3^{30}–5 a	SW	NE	.	.		
	.	764	18	3^{40}–5 a	W	E	57	76	●▲	Andeutung eines schmalen Striches rasch verlaufender ↖ vom Vully ins Quellgebiet der Grossen Emme: Murten, Bern, Grosshöchstetten, Langnau, Marbach ▲; Blitz und Donner: Lyss.
	.	.	.	a u. p	.		.	.	.	Vide Nachträge a, lokale ↖.
» 29	a	764	28	3^{20}–5^{30} p	SW	NE	35	35	●	Zwei kleine, parallel laufende ↖-Züge, a, vom Weissenstein gegen den Bötzberg (Balsthal, Waldenburg, Langenbruck, Eptingen, Diegten, Kilchberg; Blitz und Donner: Aarau, Gelterkinden; Donner: Bennwil, Herzogenbuchsee) und b, vom Mont Moron durch das Birs- und Ergolzgebiet zum Rhein (Chaluet-Court, Moutier, Mervelier, Reigoldswil, Liestal, Buus „im NW vorbei", Möhlin; Donner: Pfeffingen).
	b	764	28	3^{45}–5^{50} p	SW	NE	40	32		
» 30	a	765	23	6–7 a	W	E	.	.	●	Zwei kleine ↖, a, am Randen (Hallau, Schleitheim, Beggingen; Blitz und Donner: Wilchingen; Donner: Schaffhausen) und b, vom Hauenstein zum Kestenberg (Kilchberg, Aarau; Blitz und Donner: Olten; Donner: Liestal).
	b	765	18	7–7^{50} a						
	c	765	26	8^{30}–9^{15} p	NW	SE	.	.	●△	Kleines ↖, c, von der Sittermündung ins Appenzeller Vorderland (Bischofszell, St. Gallen [„8^{37} p einige erbsengrosse Hagelsteine"], Schwäbrig, Heiden; Donner: Säntis, Altstätten) und d, vom Uto gegen den Irchel (Zürich [„10^{20} bis 10^{52} p fünf elektr. Entladungen, 10^{40}–10^{50} p = 4½ $^m/_m$ Regen"], Andelfingen; Blitz und Donner: Winterthur, im W und NW).
	d	766	26	10^{20}–11^{10} p	SW	NE	.	.	●²	

Datum	Bezeichnung des Zuges od. d. Gruppe	Mittlerer Luftdruck	Mittlere Temperatur	Zeit des hörbaren Donners	Richtung der ↖ oder des Zuges		Zurückgelegt. Weg in km.	Weg in km. pro Stunde	Art der Niederschläge	Betroffene Gegend und weitere Bemerkungen
Aug. 30/31	.	765	20	10 p – 3 a	W	E	270	72	● ▲	Aus der Franche-Comté ↖-Zug über den Jura und das schweiz. Mittelland bis ins bairische und östreichische Grenzgebiet und gegen die nordwestl. Engadiner Alpen Grenze; im NW, N und NE: Doubslinie, Südhang des Schwarzwalds, Randen, Bodensee, Illmündung, Silvretta, im S: Cossonay, Jaun, Beatenberg, Sarnen, Engelberg, Altdorf, Glarus, Elm, Arosa, Bergün. Hagel: Chaumont, Villarimboud, Chavannes-sous-Orsonnens, La Roche, Engelberg. Weitere Bemerkungen, vide Ergänzungen a. **T** VI, 3.
	.	765	18	2^{30}–3 a	W	E	.	.	●	↖ vom Schächental über den Klausenpass: Altdorf 2^{30} a, Linthal 2^{45} a; Donner: Platta. **T** VI, 3.
» 31	a	764	16	0^{h}–2 a	W	E	50	40	●	Andeutung eines Zuges vom Schilthorn über die Kleine und Grosse Scheidegg und über die Sustengruppe zum Oberalppass: Lauterbrunnen, Guttannen, Gadmen, Göschenen, Göschener Alp, Andermatt. **T** VI, 3.
	b	764	22	1–1^{30} a	W	E	.	.	●	Zwei lose zusammenhängende ↖-Züge, b, von der Dôle zum mittleren Leman (La Cure, Nyon, Morges) und d, vom Jorat und östlichen Leman gegen Spillgerten und Albristhorn (Palézieux, Clarens, Château-d'Oex Gsteig, Lauenen, Saanen, Zweisimmen; Blitz u. Donner: Freiburg, Marsens, Lausanne, Adelboden). **T** VI, 3.
	d	764	18	1^{45}–3^{45} a	W	E	51	68	●	
	c	765	22	1–3 a	SW	NE	50	50	●	Vom Col de Balme ↖ ins Mittelwallis hinaufziehend, an der Gemmi mit litt. d zusammentreffend: Orsières, Sion, Siders, Vissoye, Varen, Leukerbad; Donner: Hérémence. **T** VI, 3.
	.	762	22	zw. 0^{h} u. 5 a	.	.	.	.	●	Vereinzelte ↖ im Tessin (Cevio, Bellinzona, Braggio 5 a) und e, im Puschlav (Cavaglia, Le Prese). **T** VI, 3.
	e	762	20	6 7 a	N	S				
Sept. 5	.	768	27	5–6 p	.	.	.	.	●	↖ im Murgtal: Aadorf, Fischingen; Blitz u. Donner: Wernetshausen; Donner: Uster, Winterthur, Frauenfeld, Weinfelden.
	.	768	28	6–7 p	.	.	.	.	●	↖ zwischen oberem Sihlgebiet und Zürichsee: Waldhalde, Wädenswil („Wind meist SW1 u. SSW1"), Einsiedeln, Lachen; Donner: Wernetshausen, Iberg.
» 8	a	765	28	4–5^{15} p	W	E	.	.	●	↖ zwischen Mont Suchet und Neuenburgersee: Baulmes („orage le plus violent de la saison"), Yverdon; Blitz und Donner: Cossonay, Montcherand 4^{50} p („3 km im N"); Donner: St Sulpice.
	b	765	26	5–6 p	SW	NE	.	.	●	↖-Zug von der Tête de Ran zum Mont Soleil: La Chaux-de-Fonds, St Imier; Blitz und Donner: Valangin, Chaumont, Bellelay; Donner: Neuchâtel, Champ-Fahy.
	c	765	22	7–8^{15} p	W	E	.	.	●	Vom Calanda und Lenzerhorn ↖ gegen den Flüelapass ziehend: Lenzerhaide, Tschiertschen, Arosa, Davos-Platz; Blitz und Donner: Vättis.
	.	765	22	3^{05}–5^{40} p	.	.	.	.	●	↖, 3^{05}–5^{40} p, am Gotthardmassiv und im Medels (Gotthard, Platta) und 7–9 p vereinzelte ↖ längs der Berner Alpen (Gsteig 7–7^{15} p, Kandersteg 8–9 p; Lauterbrunnen 8–9 p; Blitz und Donner: Kienthal, Beatenberg).
	.	765	27	7–9 p						
» 9	a	764	20	0^{h}–1^{30} a	W	E	.	.	●	↖ im Appenzeller Vorderland und an der Rheinmündung: Herisau, St. Gallen, Teufen ↙, Schwäbrig ↙, Heiden, Altstätten, St. Margrethen; Blitz u. Donner: Appenzell; Blitze: Schleitheim. Im weitern, vide Ergänzungen a. **T** VI, 4.
	.	765	20	4^{20}–5 a	.	.	.	.	●	↖ zwischen Vully und Berra: Murten („nur einige Tropfen Regen"), Freiburg; Blitz und Donner: Champ-Fahy, Marsens, Romont, Neuchâtel. **T** VI, 4.
	b	762	28	1^{45}–3^{30} p	W	E	.	.	●	Aus dem Schwarzwald ↖, b, gegen Kohlfirst und Irchel (Kaiserstuhl [„im N vorbei"], Hallau, Schaffhausen, Andelfingen; Blitz u. Donner: Schleitheim; Donner: Weinfelden, Wil-Rafz, Lohn) und vom Tannenberg ↖, c, zum Bodensee ziehend (Bischofszell, St. Gallen [„im N vorbei"], Arbon; Blitz u. Donner: Teufen). **T** VI, 4.
	c	764	28	3^{30}–5^{30} p						
» 10/11	.	.	.	.	.	.	.	.	.	Vide Nachträge a, lokale ↖.
» 14	.	765	22	zw. 1 u. 2^{30}a	.	.	.	.	●	Vereinzelte ↖ zwischen der mittleren Saane und dem Quellgebiet der Grossen Emme: Freiburg, Bern, Langnau, Wasen, Escholzmatt.
	.	765	23	7–10 p	WSW	ENE	.	.	●[2]	Vom Lago Maggiore ↖ gegen das Misox und Calanca ziehend: Locarno (22.8 m/m), Bellinzona (36.4 m/m), Braggio (19.8 m/m), Grono (23.8 m/m). **T** VI, 4.
	.	760	18	11 p–0^{h}	.	.	.	.	●	Sporadisch auftretende ↖ zwischen Broye und Doubs: Cossonay (Montcherand Donner), Yverdon, Murten, La Brévine (St Sulpice Donner).
» 15	a	758	19	1^{45}–3^{45} p	.	.	.	.	●	Aus dem Höhgau ↖, a, zum Seerücken (Haidenhaus [„↖ von N kommend"]; Donner: Wil-Rafz, Schaffhausen, Lohn, Weinfelden), ebenso ↖, b, zwischen Thur und Hohenklingen (Niederneunforn, Diessenhofen, Stein a./Rhein; Donner: Winterthur [„dreimal, schwach"]).
	b	758	20	3^{45}–4^{30} p						
» 21	.	754	14	9–10^{30} p	N	S	.	.	●[2]	Vom untern Tessin niederschlagsreiche ↖ zum Ceresio ziehend: Bellinzona (54.8 m/m), Rivera (60.0 m/m), Crana (92.9 m/m), Lugano (98.8 m/m, wovon 64.5 m/m zwischen 9^{30} p des 21. und 7^{30} a des 22.), Ponte Tresa (116.7 m/m). Blitz u. Donner: Braggio. **T** VI, 5.

Datum	Bezeichnung des Zugs od. d. Gruppe	Mittlerer Luftdruck	Mittlere Temperatur	Zeit des hörbaren Donners	Richtung der ⊼ oder des Zuges		Zurückgelegt. Weg in km.	Weg in km. pro Stunde	Art der Niederschläge	Betroffene Gegend und weitere Bemerkungen
Okt. 9	.	764	11	3^{30}–5^{05} a	.		.	.	●	⊼ in der nordwestl. Landesecke mit Ausdehnung zum Schwarzwald: Therwil, Pfeffingen, Binningen, Basel, Augst, Arisdorf, Rheinfelden; Donner: Mormont. ⊼ in Höchenschwand 4^{50}–5^{05} a.
	a	762	15	1^{20}–3 p	SW	NE	60	60	● △ ▲	Aus dem Clos du Doubs ⊼-Zug gegen die Sisseln; Grenze im NW: Porrentruy, Basel, Möhlin, im SE: Bellelay, Chaluet-Court, Waldenburg, Wittnau. Donner im N: Biel; im E: Mormont, im W: Böttstein; △ in Pfeffingen. Hagel: Waldenburg, Liestal, Lampenberg, Diegten. **T** VI, 5.
	b	763	12	2^{50}–4^{40} p	SW	NE	68	68	● ▲	Von der Dent de Vaulion ⊼ ins St. Immertal und ins Grosse Moos ziehend; Grenze im NW: Ste Croix, St Sulpice, Les Brenets, Sonceboz, im SE: Chavornay, Vully, Lyss; Blitz u. Donner aus der ⊼-Gegend: Payerne; Donner: Cossonay („fine grêle"). Hagel: Serrières, Malvilliers, Valangin, Chaumont. **T** VI, 5.
	c f	763 763	15 14	2^{40}–5^{30} p 3^{30}–5 p	W NW	E SE	39 .	52 .	● ▲	Kurzes aber heftiges ⊼, c, aus dem Dünnerntal gegen die Hallwiler Aa (Herbetswil, Balsthal ▲, Langenbruck, Zofingen ▲, Aarau, Kölliken [„2 Min. lang ▲"], Kulm; Blitz und Donner: Eptingen, Buus; Donner: Binningen, Basel) und kleines ⊼, f, vom Weissenstein ins Gebiet zwischen Emme und Langeten ziehend (Solothurn ▲, Herzogenbuchsee). **T** VI, 5.
	d	763	16	2^{50}–5 p	W	E	48	48	● ▲	Vom Schwarzwald (Höchenschwand 2^{50}–4^{50} p) her ⊼-Zug gegen den Seerücken: Wil-Rafz, Hallau, Schleitheim, Rheinau, Schaffhausen, Diessenhofen, Andelfingen ▲, Niederneunforn ▲, Stein a./Rhein („eine Minute lang ▲ mit Regen vermischt"), Eschenz ▲; Blitz u. Donner im S: Lohn, im N: Frauenfeld. Im übrigen, vide Ergänzungen a. **T** VI, 5.
	e	763	16	3–5^{30} p	NW	SE	39	52	● ▲^{2}	Aus dem untern Wutachtal ⊼ ins Zürcher Oberland ziehend; südwestliche Grenze: Zurzach, Schöfflisdorf, Dietikon, Pfannenstiel, nordöstliche: Wilchingen, Eglisau, Pfäffikon. In Zürich acht starke elektr. Entladungen, 4^{45}–4^{48} p ▲ von 8–15 $^m/_m$ im Durchmesser; ebenso Hagel in Dietikon, Schlieren, Zollikon und Dübendorf. **T** VI, 5.
	g h	764 764	10 17	4^{30}–6 p 4^{45}–6 p	SW NW	NE SE	. .	. .	●	⊼, g, zwischen Hörnli u. Ottenberg (Eschlikon, Nollen, Thundorf, Weinfelden) und Zug h, vom Nollen ins Rheintal (Bischofszell, Degersheim, Arbon, St. Gallen [„Donner 5^{21}–5^{37} p, besonders kräftig 5^{31} p"], Appenzell, Heiden, Altstätten [„aus NW"]). **T** VI, 5 und 6.
	i	764	15	4^{55}–6^{30} p	SW	NE	48	64	●^{2} ▲	Vom Rigi und Rooter Berg her ⊼-Zug ins Murggebiet; Grenze im NW: Küsnach, Cham, Zürich (im Zenith 5^{48}–5^{48} p), Winterthur, Aadorf, im SE: Lowerz, Einsiedeln, Rapperswil, Mosnang. Rigi-Kulm ▲ (38.9 $^m/_m$), in Cham von 5^{10}–5^{35} p = 8.8 $^m/_m$ Regen, in Wernetshausen zwischen 4^{55} u. 6 p 15 kräftige elektr. Entladungen. Blitz u. Donner aus dem ⊼-Gebiet: Weggis (21.5 $^m/_m$); Donner: Altdorf. **T** VI, 6.
	k	763	15	5–7^{20} p	SW	NE	100	80	●^{2} ▲	Rasch fortschreitendes, lokal niederschlagsreiches ⊼ aus der Südwestecke gegen Broye und untere Saane; Grenze im SE: Genf, Lausanne, Palézieux, Freiburg („wenige Linien- aber viele Flächenblitze"), im NW: Mont Reculet, Mont Risoux, Yverdon, Murten. Solliat ≺. Donner aus dem ⊼-Gebiet: Les Ponts, Neuchâtel. Blitze: Genf 7 p. Hagel: Aubonne, Lausanne, Lutry, Palézieux, ganz schwach auch in Morges. Im übrigen, vide Ergänzungen a. **T** VI, 6.
	l	763	14	5^{30}–7 p	NW	SE	33	44	● ▲	Vom Weissenstein heftiges ⊼ Emmental-aufwärts, sich im SW und W bis zur Aare ausdehnend; Grenze im SW: Grenchen, Bern ▲, ≺, Belp, im NE: Solothurn ▲, Wasen, Langnau. Vide Ergänzungen a. **T** VI, 6.
	m	764	14	5^{40}–8^{05} p	SW	NE	70	56	● ▲	⊼-Zug aus dem Napfgebiet gegen die Lägern: Escholzmatt, Luthern, Entlebuch, Grosswangen ▲, Triengen, Münster, Hitzkirch, Birrwil ▲, Boniswil ▲, Seengen ▲, Villmergen ▲, Bremgarten ▲, Schöfflisdorf, Oerlikon; Blitze: Wernetshausen 7 p. In Schlieren 6^{40}–6^{47} p dreimal und 7^{45}–8^{15} p viermal Blitz und Donner. Zürich wurde von diesem dritten ⊼ (vide e und i) im NW gestreift. Im übrigen, vide Ergänzungen a. **T** VI, 6.
	n o	764 763	14 14	6^{30}–8^{20} p 6^{30}–7^{15} p	SW NW	NE SE	42 27	21 36	● ▲ ●	Vom Brünig und Brienzer Rothorn ⊼, n, zum Rossberg (Lungern, Sarnen, Pilatus ▲, Luzern, Vitznau, Gersau, Küsnach, Walchwil; Donner: Isenthal) und vom östlichen Thunersee ⊼, o, ins Haslital ziehend (Beatenberg, Interlaken, Meiringen, Guttannen). **T** VI, 5.
	p	763	14	6^{30}–9 p	SW	NE	80	64	●^{2}	Vom östlichen Leman Zug heftiger ⊼ zum Sigriswiler und Brienzergrat; Grenze im NW: Clarens, Jaun, Boltigen, Thun, im SE: Leysin, Gsteig, Adelboden, Kandersteg, Lauterbrunnen. Zweisimmen meldet: „Grösstes Sommergewitter! Tagessumme, in der Hauptsache ⊼-Regen, = 25.2 $^m/_m$". Blitz und Donner aus dem ⊼-Gebiet: Heiligenschwendi. **T** VI, 6.

Datum	Bezeichnung des Zugs od. Gruppe	Mittlerer Luftdruck	Mittlere Temperatur	Zeit des hörbaren Donners	Richtung der ↖ oder des Zuges	Zurückgelegter Weg in km. pro Stunde		Art der Niederschläge	Betroffene Gegend und weitere Bemerkungen
Nov. 23	.	753	9	9 a–12^{35} p	W	{ NE SE	. .	●^{2} ▲^{0}	Von der Maggiamündung heftiges ↖, sowohl ins Misox, als auch an den Ceresio ziehend: Locarno (73.0 $^{m}/_{m}$), Bellinzona ▲^{0} (64.8 $^{m}/_{m}$), Grono (60.5 $^{m}/_{m}$), Braggio (80.0 $^{m}/_{m}$), Lugano (7^{30} a–1^{30} p = 20.1 $^{m}/_{m}$, Tagessumme 68.2 $^{m}/_{m}$); Blitz und Donner: Brissago (71.0 $^{m}/_{m}$), Sonogno (73.8 $^{m}/_{m}$); Donner: Borgnone, Crana, Ponte Tresa, Castasegna 12^{35} p. **T** VI, 6.
.		754	8	2 p bis abends	.	.	.	●^{3}	Vereinzelte ↖ im Tessin: Olivone (51.5 $^{m}/_{m}$), Locarno, Ponte Tresa (83.6 $^{m}/_{m}$); Donner: Bellinzona.
Dez. 21	.	757	10	3^{50}–6^{40} p	SW	NE	. .	● ▲^{0}	↖ längs des Chasseral: Champ-Fahy, im Zenith 5^{40} p, 3^{05}–3^{10} p kleiner mit Regen vermischter Hagel, intermittierender, von Sturm gepeitschter Platzregen 11 a–11^{50} p = 19.0 $^{m}/_{m}$ (Tagessumme = 19.4 $^{m}/_{m}$).
» 21/22	.	758	6	n	.	.	.	.	Blitze beobachtet in Champ-Fahy bis lange nach Mitternacht, z. B. um 2 a sehr starker Blitz, den ganzen Himmel rötend. Sturm, vide Anhang.

Ergänzungen zu der tabellarischen Uebersicht.

a) Weitere Bemerkungen:

Februar 26. Litt. a. Der Anemograph Dyne in Zürich registrierte im Maximum 21 m pro Sekunde. Der heftige Südwest entwurzelte in der Umgegend von Dietikon mehrere Bäume und beschädigte Dächer und Kamine. Wernetshausen meldet: „In der Nähe etliche ältere Bäume umgelegt und ein Schopf umgestürzt, im Schulhause die schwere Kamindeckplatte heruntergeworfen, laut „Volksblatt am Bachtel" in Krinnen–Wald eine alte Scheune eingedrückt, laut dem „Freisinnigen" im Sanatorium Wald ein Kamin heruntergeworfen. Ziegel flogen zu Dutzenden von den Dächern, ungezählte Baumäste brachen ab". Litt. b. St. Gallen. „Der Blitz erfolgte jedesmal bei gleichzeitigem Schneefall und schwerem Sturm."

März 24. Alinea nach litt. b. Delémont meldet: „Cet orage s'est formé dans la vallée et a été d'une violence extraordinaire en ce qui concerne les éclairs et le tonnerre."

Mai 9. Litt. d. Solothurn: Laut Mitteilung der meteorologischen Station und „Journal de Genève" fiel nachmittags 4^{h} im Lebernbezirk der Hagel eine Viertelstunde lang; Körner haselnussgross, Wiesen von Rüttenen um 6^{h} noch weiss, Blütenschmuck vernichtet. **11.** Litt. c. Zürich: „Von 3^{35} p an Donner, 3^{47}, 3^{56}, 3^{59}, 4 und 4^{01} p im Zenith, 3^{49}, 3^{52}, 3^{55} und 3^{58} p in 1½–2 km östl. Entfernung, dann von 4^{15} p an noch 6 Donner in 3–5 km östl. Distanz, im ganzen ca. 20 Entladungen; Regen 3^{52}–4^{30} p = 2.8 $^{m}/_{m}$. Uster meldet: „Donner 4^{03}–4^{45} p, im Zenith 4^{10} p, Regen stark mit Hagel vermischt, Telephon mehrmals angeklingelt." Degersheim: „Regen mit Riesel." Bischofszell: „Drei heftige Schläge von NW". **12.** Alinea vor litt. c. Genève: „Vendredi, 12 mai, vers 5^{h} après-midi une colonne de grêle s'est abattue du côté de Meinier. On a observé trois chutes successives, à la première c'était plutôt du grésil, à la deuxième des grêlons moyens et la troisième était composée de grêlons de la grosseur de gros pois. Le vignoble a souffert dans plusieurs endroits." (Journal de Genève.) **15.** Litt. a. Kriens–Obernau. „Am Abhang des Schwarzenbergs gegen Kriens ist am Montag abend, 15. Mai, ein starker Wolkenbruch mit Hagelschlag niedergegangen. Die Zuflüsse zum obern Krienbach, namentlich Fischernbach, Eibach und Schürhofbach riesig angeschwollen; die Strasse von Schürhof abwärts auf weite Strecken zerstört, die Blattighöfe mit Sand, Kies und Steinen bis zu Ofengrösse überdeckt; Tannen- und Sägehölzer liegen weit und breit zerstreut. Verschiedene Anwohner mussten aus Haus und Scheune flüchten. Am 16., vormittags, vom Dorfe Kriens aus noch die weissen Streifen des gestrigen Hagelfalles am Lehn- und Schürhofabhang sichtbar". (N. Z. Ztg.) Einer andern Zeitungsnotiz entnehmen wir, dass auf der kleinen Liegenschaft Houlochweidli etwa 10 Erdschlipfe in die Tiefe gegangen sind. Der Wolkenbruch scheint ganz lokal gewesen zu sein, denn die zunächstliegende Regenmessstation Buchsteg meldet für diesen Tag nur 3.9 $^{m}/_{m}$ und auch im Dorfe Kriens selbst soll nur wenig Regen gefallen sein. Am 17. und 18., wo allgemein in der Zentralschweiz grosse Niederschläge fielen, mussten die Bewohner der Häuser im Houlochweidli und im Houloch sich neuerdings aus den Wohnungen flüchten. Nachfolgend die Tagessummen einzelner Stationen der Umgegend; Entlebuch: am 17. = 13.8 $^{m}/_{m}$, am 18. = 65.4 $^{m}/_{m}$, Buchsteg: am 17. = 24.0 $^{m}/_{m}$, am 18. = 57.5 $^{m}/_{m}$, Luzern: am 17. = 63.9 $^{m}/_{m}$, am 18. = 34.8 $^{m}/_{m}$. **16.** Litt. e und f. St. Gallen meldet: „Das Gewitter (e) begann etwas nordwestwärts, am Tannenberg, zog dann nordostwärts gegen den Bodensee (Arbon); dann tauchte ein neues (f) auf, mehr gegen Südwesten, das dann hauptsächlich dort blieb und zum Schluss, 8^{h}50^{m} in einem starken Donnerrollen sich über den ganzen Horizont verbreitete". **27.** Litt. f. Champ-Fahy meldet: „Le village et vignoble de Cressier ravinés, l'eau entrait dans les caves, décharges électriques chaque minute, quelques-unes très fortes". **30.** Litt. a. Aarau meldet: „Sehr starkes ↖ mit Hagel von Haselnussgrösse und wolkenbruchartigem Regen, Hagel- und Schwemmschaden, zahlreiche Blitzschläge ohne Zündung". Litt b. Winterthur meldet: „Das Gewitter kam aus Westen, war 5^{20} p über uns, um bald nachher, vereint mit einer andern Komponente, zurückzukehren". Nach 11 p neuerdings Gewitter (vide tabell. Uebersicht 30./31. Mai); den ganzen Abend starkes Blitzen. Lohn: „Den ganzen Nachmittag Gewitter ringsum". Litt. c. Malters: (Zeitungsnotiz) „Ein schweres Gewitter ging Dienstag, 30. Mai, zwischen 6 und 7^{h} abends über unsere Ortschaft nieder. Alle am Schwarzenberg entspringenden Wasserläufe hoch angeschwollen; durch den Kesselbach wurde die Ettisbühlermatte, durch den Neumattergraben die Widachermatte überschwemmt; der mittlere Dorfbach ergoss sich über die Kantonsstrasse und setzte die Bahnstation unter Wasser, ebenso trat der untere Dorfbach und das Bühlacherbächlein über die Ufer. Die Bahnlinie von Wolhusen nach Malters war ganz unterbrochen." Ruswil: (Zeitungsnotiz) „Die Berglehne, welche sich von

Werthenstein gegen Malters hinzieht, der Emmenberg, war am Dienstag, 30. Mai, der Schauplatz eines sehr heftigen Gewitters. Im Gra[illegible]baum, 840 m, lag am Mittwoch nachmittag unter der Dachtraufe der Hagel noch in Haufen. In der Liegenschaft Brenten gingen [illegible] weniger denn 9 grosse Erdschlipfe nieder. Der Wald bei Obermuffenhaus ist abgestürzt, den Baumgarten und das meiste Wiesland zudeckend. Die Liegenschaften Langnau, Steghüsli, Ringgei und Wandeln sind z. T. mit Geröll bedeckt." Leider sind in diesem Ueberschwemmungsgebiet keine Regenstationen; die zunächstliegenden Buchsteg mit 15.2 $^m/_m$ und Luzern mit nur 7.6 $^m/_m$ Tagessumme zeigen, dass auch dieser Wolkenbruch wie der vom 15. ds. M. mehr lokaler Natur war.

Juni 2. Litt. a. Luthern. (Zeitungsnotiz.) „Den 2. Juni morgens früh entlud sich über die Gehöfte Waldsburg und Rüderswil (Gemeinde Luthern) ein schweres Gewitter mit Wolkenbruch. Die von Girstock und Rüderswil nach Waldsburg führenden Strässchen verwandelten sich in Wildbäche, welche eine Unmasse Geröll und Sand ins Tal führten. Ein Viehstall und ein Käsekeller wurden überschwemmt." Auf der Regenstation Luthern betrug die Messung am Morgen des 2. = 13.0 $^m/_m$. **3.** Litt. d. (Zeitungsnotizen). Sempach: „Am Samstag, 3. Juni, abends gegen 6^h entlud sich über Sempach ein starkes Gewitter mit Wolkenbruch und Hagelschlag (Körner erbs- bis haselnussgross); Dächer, Gärten und Wiesen bald weiss, Strassen in Bäche verwandelt, Kulturen und Wege schwer geschädigt." Hasle: „Von 4–5^h nachmittags Unwetter von seltener Heftigkeit. Der strömende Regen eine Zeit lang stark mit Hagel gemischt, der im Dorfe, noch mehr aber an den beiden Berghalden (Heiligkreuz, Schwendi, Hochwald, Ennetegg und Kriesbaumen) Schaden anrichtete. Der Biberbach riss ein halbes Dutzend Brücken und im Dorfe lange Strecken der Dammauern fort." Schüpfheim. „Am stärksten haben die Höfe auf der Grenze gegen Hasle und der Höhenzug Schwändi gelitten. Die Felder waren dort dicht mit Hagel bedeckt. Erdschlipfe, Versandungen, Wiesen mit Baumstämmen, Holz und Steinen übersät, Kantonsstrasse und Bahndamm unterbrochen." Litt. f. Wil-Rafz meldet: „Abends heftiges Blitzen und Donnern im W, ca. 10 km entfernt, eine Stunde anhaltend, um 5^h etwas Regen, nachher Spaltung des Gewitters am Kaltwangen, nördlich über Hundsrück, südlich über Weiach–Höri." Litt. g. Zürich: „7^{10} p Blitz und Donner 3 km im WSW, hoch, 7^{13}–7^{16} p 4mal Donner, 7^{19} und 7^{21} p Donner in 3 km im W, hoch, dann alle 2–3 Min., 8–9 p noch zeitweise. **5.** Litt. a. Payerne meldet: „De 7^h25 à 7^h35 forte averse de grêle venant du N et accompagnée d'un vent très violent. Le centre de la colonne paraît avoir passé sur le centre de la ville. Des grêlons de la grosseur d'une grosse noisette ont cassé quelques vitres et ravagé les jardins et les plantages qui se trouvaient sur le passage du centre de la colonne; sur les bords la grêle était accompagnée de pluie." **19.** Litt. b. St Imier meldet: „Décharges électriques très fortes, nuit profonde, grêlons forme de la fève au pois (grains plats, puis ronds), pluie diluvienne, chemins ravinés; ouragan, branches d'arbre cassées." Champ-Fahy: „Décharges électriques toutes les demi-minutes, très violentes, comme des décharges d'artillerie, de 9^h50 à 9^h55 du matin 8 $^m/_m$ de pluie, chemins ravinés, récoltes couchées, un peu de grêle à Diesse." Zofingen: „Hagelschaden bis zu 30 %." Kölliken: „Hagel anfangs wie Baumnüsse, nachher kleiner, mit Regen." Hitzkirch: „Zehn bis fünfzehn Minuten unheimliche Finsternis." Muri: „Taubeneigrosse Schlossen." Schlieren: „Innerhalb 10 Minuten 7.3 $^m/_m$ Regen." Wil-Rafz: „Im Norden der Gemeinde, an der badischen Grenze Hagelwetter, Steine bis 1 $^m/_m$ im Durchmesser." Zürich: „Gewitterböe, sehr dunkel; starke Barometerschwankungen: 10^{30} a = 714.2 $^m/_m$, 11 a = 713.4 $^m/_m$, 11^{20} a = 716.5 $^m/_m$, 11^{30} a = 715.2 $^m/_m$, 12^{20} p = 717.5 $^m/_m$, 2^{55} p = 715.5 $^m/_m$; der Anemograph Dyne registrierte um 11 a = 20.5 $^m/_s$; Niederschlag 11^{17}–11^{22} a = 3.5 $^m/_m$." Uster: „Vereinzelte Hagelkörner wie Taubeneier, die andern wie Erbsen." Bachtel: „Gewitter äusserst heftig, es wurde fast Nacht." Frauenfeld: „Sehr dunkel, um 10^{20}–10^{25} a kaum möglich zu lesen." Zeitungsberichten entnehmen wir Nachstehendes. Le Locle: „Le cyclone qui s'est abattu le 19 juin vers 9^h et demie du matin c'est annoncé tout d'abord par une sorte de crépuscule qui obligea les ateliers et les magasins à allumer les lampes électriques; puis la rafale passa en tourmente; la pluie, mêlée de grêle, tombait en cataracte. En même temps une trombe capricieuse passait sur la ville et les environs. Au chantier Seebacher, d'énormes madriers ont été enlevés à côté de tas de planches qui n'ont pas bougé. La vaste tente du cinéma a été enlevée comme un fagot; un char de planches et de poutres a été renversé. La partie sud de la ménagerie H. a eu son toit décapité et les tréteaux de l'entrée arrachés. La vitrine de l'Usine électrique a été enfoncée. A l'Argilat, un arbre de 25 centimètres de diamètre a été brisé; sur la route du Col, les branches jonchent le sol." La Chaux-de-Fonds: „Le 19 juin, à 9^h du matin, une véritable trombe de pluie et de grêle est tombée sur la contrée, transformant les rues en torrents. La rue Léopold Robert a été inabordable en un certain moment. Des caves, en certains endroits, ont été envahies par l'eau." Biel: „Ein starkes Gewitter, verbunden mit Hagelschlag, ging am Morgen des 19. ds. M. um 10 Uhr über die Gegend von Orpund und Safnern bis gegen Büren nieder und richtete grossen Schaden an den Kulturen an. Stellenweise lag der Hagel bis zu fünf Centimeter hoch." Reutte, 19. Juni: „Ein furchtbarer Hagelschlag hat in der Umgebung grossen Schaden angerichtet. Die bis zu 7 Centimeter im Durchmesser haltenden Hagelkörner durchlöcherten eine Anzahl Blechdächer. Mehrere Personen wurden schwer verletzt." Bern, 20. Juni: „Das heftige Gewitter, das gestern vormittag zwischen 9 u. 10 Uhr vom Seeland gegen den Oberaargau zog, hat durch reichlichen Hagel grossen Schaden angerichtet. In Arch-Rüti und Büren ist die Ernte nahezu vernichtet und nicht nur Bäume, sondern auch Häuser litten Schaden." Aehnlich lauten die Berichte aus Nidau und Büren an der Aare. Wetzikon: „Nach 11 Uhr kam ein Gewittersturm von solcher Heftigkeit, dass die Fenster klirrten und Schulkinder umgeworfen wurden. Eine stattliche Linde wurde entwurzelt, Obstbäume geknickt oder zerrissen, zahlreiche Bäume im Walde umgeweht." Grüningen: „35 Obstbäume entwurzelt, Fenster eingedrückt oder herausgeworfen, Ziegel fortgefegt, einzelne Dächer teilweise abgedeckt." Bäretswil: „In Fehrenwaldsberg und auf Ghöch grosse Bäume entwurzelt und Dächer beschädigt; selten noch ist um diese Tageszeit eine so tiefe Dunkelheit beobachtet worden." Fischenthal: „Nach hellem Sonnenschein folgte eine Verfinsterung des Himmels, wie noch selten; dann kam von der Allmannkette her ein Orkan, der vom Schmittenbach durchs Seitental der Töss nach Ohrrüti die schönsten Obstbäume, prächtige Linden und wetterstarke Eichen ihrer Krone beraubte, andere Bäume entwurzelte. Dächer halb abdeckte, Fenster eindrückte, Fensterladen forttrug." Wattwil: „Im Alttoggenburg erreichte der Gewittersturm eine solche Wucht, dass eine Unmasse Bäume entwurzelt, Häuser und Scheunen vielfach beschädigt wurden, Gärten und Fluren stark litten." Grosse Tagessummen des Niederschlags, litt. b: Les Brenets 31.4 $^m/_m$, La Chaux-de-Fonds 29.9 $^m/_m$, St Imier 29.0 $^m/_m$, Solothurn 24.5 $^m/_m$, Olten 33.1 $^m/_m$. Litt. f. Lungern 40.0 $^m/_m$, Gersau 24.4 $^m/_m$, Rigi-Scheidegg 35.5 $^m/_m$, Vorderthal 31.6 $^m/_m$, Ebnat 28.5 $^m/_m$.

Juli 2. Litt. f. St. Gallen meldet: „Donner 2^{21}–3^{05} p, im Zenith der Station 2^{50} p, Regen 2^{38}–2^{41} p und von 2^{53} p bis abends. 2^{41}–2^{42} p Hagel in der Grösse kleiner Zwetschgen, teils schön rund mit eingeschlossenem, weissem Kern, teils mit eckigen Rändern, nachher mässiger bis leichter Regen. Gartenobst z. T. mit Zweigen abgeschlagen, Schaden aber nicht gross." **24.** Litt. b. Zürich: „3^{05}–3^{28} p 12mal Donner im Süden, 3^{42}–4^{15} p 16mal Blitz und Donner; nachher noch alle 2–3 Minuten, 4^{12}–4^{30} p Platzregen = 24.3 $^m/_m$ vom Wind von Südosten her gepeitscht. Tagessumme 32.1 $^m/_m$)." Litt. d. Luzern: „Am 24. Juli, nachmittags, ging über einen Teil unseres Kantons ein schweres Unwetter mit Hagelschlag nieder, das besonders in der Gegend von Dagmersellen und Reiden grossen Schaden anrichtete; die Getreidefelder sind zerstört." (N. Z. Ztg.) Litt. e. Zürich: „4^m–5^{32} p Donner zuerst alle $\frac{1}{2}$–1 Minuten. 5^{10}–5^{17} p drei ganz nahe Blitzschläge, ebenso Schlag in nächster Nähe um 5^{34} p und 5mal in 2–3 km östl. und südöstl. Entfernung von 5^{35}–5^{39} p, dann noch 5^{57} p Blitz in 6 km im S, sehr stark; 6^{24} p wieder Blitz und Donner im SW, stark." Der „Neuen Zürcher Zeitung" wurde berichtet: Steinmaur. „Ein furchtbares Hagelwetter ging ca. 5 Uhr, vom Furttal her über Regensberg–Dielsdorf hinziehend, über unsere Gegend nieder. Walnüsse und

hühnereigrosse (?) Hagelkörner prasselten ½ Stunde (?) lang auf die Kulturen nieder. Die oberen Partien der Bäume sind kahl; Blätter, Fruchtzweige und Obst liegen in dichter Schicht am Boden; Vögel erschlagen, Fensterscheiben zertrümmert." Ober-Hittnau: „Montag nachmittag, 24. Juli, wurde die Gemarkung von Hittnau, insbesondere Unter-Hittnau, Hasel, Schönau und Dürstelen von einem verheerenden Hagelwetter heimgesucht. Es fielen baumnussgrosse Hagelkörner." Litt. i. Dem „Journal de Genève" entnehmen wir: Neuchâtel. „L'orage de lundi soir, 24 juillet, a causé de grands dégâts dans la région de la Tourne et du Creux du Van. Plusieurs personnes ont été blessées par des grêlons de la grosseur d'œufs de pigeon." Litt. k. St Imier meldet: „Orage sur Franches-Montagnes parallèle avec celui sur Chasseral; pluie intermittente très forte, éclairs blafards, tonnerre écrasant." Champ-Fahy: „Décharges électriques chaque minute, plusieurs coups très violents." Ueber den Wolkenbruch im Staubbachgebiet berichtet Lauterbrunnen: „Lang andauerndes Gewitter, von 12^{55} p an fürchterlicher Regen im Einzugsgebiet des Staubbaches. Letzterer schwoll zu kaum je gesehener Grösse an, fortgeschwemmtes Erdreich und Steine mit sich führend." **25.** Litt. a. Liestal meldet leichten Hagel, Buus nur einzelne Körner, dagegen ¼ Stunde südlich vom Dorfe haselnussgrosse Schlossen in reichlichem Masse. Möhlin schreibt: „Temperatur vor dem Gewitter 32.6°, nachher 23.8°." Gelterkinden: „Seit 1^{45} p Donner aus dunkler Wolkenwand, starker Hagel zwischen 2^{18} und 2^{26} p, zuerst 4 Minuten ohne Regen, dann noch 4 Minuten lang mit etwas Regen vermischt. Die runden Hagelkörner hatten bis zu 35 $^{m}/_{m}$ im Durchmesser, die eckigen, „zusammengebackenen", scharfkantigen bis 45 $^{m}/_{m}$ grösster Länge und bis 30 $^{m}/_{m}$ grösster Breite; beim Aufschlagen auf Pflastersteine oder auf die harte Landstrasse zersprangen sie in Stücke. Einzelne Hagelsteine bildeten sechsstrahlige, flache Sterne, in der Mitte ein grosses rundes Korn, ringsum im Sechseck ankristallisiert sechs kleinere runde oder eckige Körner aufweisend, ähnlich grossen Schneekristallen." Ueber das Gewitter zwischen 8 und 10 p am savoyischen Ufer des Leman berichtet Clarens: „Von 8 bis nach 10 p Donner im Südwesten, später ganz in der Nähe; Wind 7^{45} p St, gegen 9 p SW2. Regenmenge 22.8 $^{m}/_{m}$. Die elektr. Entladungen waren äusserst heftig; zwischen 7^{45} und 9 p waren die prächtigsten Blitze, mit zahlreichen Verästelungen sichtbar. Gegen 8^{15} p fuhr einer fast senkrecht zur Erde, scheinbar auf St Gingolph; eine Viertelstunde später ähnlicher Blitz, in derselben Richtung; um 8^{48} p sah ich, gerade über dem Grammont, einen aufsteigenden Blitz, der sich in drei Aeste gabelte, deren mittlerer mit Richtung nach dem Zenith, etwas später einen zweiten solchen, mehr zurück und viel kleiner. Zwischen 9 und 10^{h} war das Blitzen fast ununterbrochen, da noch andere Gewitter am Horizont sichtbar waren, im S, SW und NE." **28.** Litt. f. Dem „Journal de Genève" entnehmen wir: Nyon: „Vendredi soir (28 juillet) entre six et sept heures un orage épouvantable accompagné d'une trombe de grêle s'est abattu sur Nyon et la région environnante. Enormes dégâts aux jardins, arbres fruitiers et surtout à la vigne. Les vignobles du Viez, de Calèves, de Plantaz, de Chantemerle, de Culet et de la Banderolle sont en grande partie anéantis. Précédés d'une formidable averse de pluie les grêlons, dont quelques-uns étaient gros comme des noix, sont tombés drus pendant plusieurs minutes, fauchant tout sur leur passage. Dans les rues de la ville on les ramassait à la pelle. L'eau a également causé des ravages, les rues étant transformées en véritables torrents; plusieurs caves étaient envahies par l'eau."

August 14. Litt. a. Lohn berichtet: „Donner 1^{30}–3^{15} p, im Zenith 3 p, Regen 2^{15}–3^{30} p. Nach Beginn desselben folgte plötzlich Blitz auf Blitz und Schlag auf Schlag. Um 3 p traf der Blitz die Starkstrom- und die Telephonleitung, überall starken Ozongeruch verbreitend." Im übrigen, vide Titel Blitzschläge. Dietikon: „Nach 3 p Himmel verfinstert, Staubböe." Aarau: „Die sich im N und NE ballenden Gewitterwolken blies ein heftiger NE-Wind auseinander und brachte sehr wenig Regen, dem dann eine einzige elektr. Entladung folgte." **20.** Litt. b. St Imier meldet: „2^{05}–5 p orage divisé en trois parties: I 2^{10} p (voir litt. a), II 3^{15} p, III 4^{30} p, tonnerre toutes les 1 à 5 minutes." Cernier: „Orage très fort." Champ-Fahy: „Plusieurs décharges très violentes." Grosse Tagessummen des Niederschlags: Malvilliers 66.0 $^{m}/_{m}$, Hauts-Geneveys 48.8 $^{m}/_{m}$, Valangin 50.1 $^{m}/_{m}$, Chaumont 44.4 $^{m}/_{m}$, Cernier 50.0 $^{m}/_{m}$, Dombresson 45.8 $^{m}/_{m}$, Neuchâtel 30.1 $^{m}/_{m}$, Champ-Fahy 29.4 $^{m}/_{m}$. **21./22.** Grosse Tagessummen des Niederschlags, vom 21. auf den 22., grösstenteils abends und in der Nacht gefallen: Biasca 55.7 $^{m}/_{m}$, Grono 121.4 $^{m}/_{m}$ („Bahnlinie Mesocco–Bellinzona, Telegraphen- und Telephonleitung unterbrochen, Brücken und Strassen demoliert"), Braggio 178.4 $^{m}/_{m}$ (wovon 110.0 $^{m}/_{m}$ allein bis 9^{30} p), Bellinzona 144.6 $^{m}/_{m}$, Locarno 131.1 $^{m}/_{m}$, Castasegna 101.3 $^{m}/_{m}$, Lugano 262.8 $^{m}/_{m}$, Ponte Tresa 239.4 $^{m}/_{m}$, Crana 162.7 $^{m}/_{m}$, Generoso 92.0 $^{m}/_{m}$. Avers-Cresta schreibt am 22. August: „Vom 20. August 7 Uhr abends bis jetzt, 22. August 11 Uhr vormittags ein ununterbrochenes (?) Gewitter, grösserenteils sehr heftig, begleitet von sich wiederholenden wolkenbruchartigen Platzregen; am 21. fiel zwischen 7^{30} a und 9^{30} p ein Betrag von 64.0 $^{m}/_{m}$, in der Nacht 21./22. noch 22.9 $^{m}/_{m}$ und am 23. noch 38.3 $^{m}/_{m}$." **22.** Litt. c. Veytaux meldet: Ein Gewitter kam aus der Gegend von Meillerie-Evian gegen La Tour-de-Peilz, ein zweites hatte sich im Creux de Novel sur Gingolph gebildet; fast unausgesetztes Donnerrollen, man sah den Hagelstrich von ferne und schon 5 Minuten vor dessen Ankunft in Veytaux hörte man deutlich das Geräusch, welches durch das in den See fallen der Schlossen erzeugt wurde; das Gewitter zog in weniger denn 10 Minuten über den See, was einer Geschwindigkeit von 60 km per Stunde gleichkommt. Clarens: „Während den ersten Minuten waren die Hagelkörner vereinzelt und gross, bis 25 $^{m}/_{m}$ im Durchmesser und durchschnittlich 3,6 Gramm schwer, nachher reichlich, aber nur bis erbsengross, mit konzentrischen Ringen, Form abgeflacht, Umfang ziemlich rund." **25.** Litt. b. Zürich notierte: „Von $7^{3}/_{4}$ p an Wetterleuchten im SW nach SE (alle 1–2 Minuten), 8^{40} p Blitz gegen Rigi-Kulm, Entladungen z. T. sehr stark, ganze Lichtsäulen, 8^{55} p bogenförmiger Blitz über dem Kanton Zug, 9^{04} p Blitzschlag über Menzingen, 9^{05} p Blitzschlag zwischen Menzingen und Hütten, 9^{08} p bei Gubel, 9^{06} p bei Neuheim, 9^{08} p hinter Albislücke, 9^{10}–9^{16} p dreimal in der Gegend des Gottschalkenbergs, 9^{25} p hinter dem Gottschalkenberg." Grosse Tagessummen des Niederschlags: Stans 43.5 $^{m}/_{m}$, Weggis 33.0 $^{m}/_{m}$, Küsnach 39.7 $^{m}/_{m}$, Rigi-Kulm 45.0 $^{m}/_{m}$, Walchwil 38.8 $^{m}/_{m}$, Rapperswil 52.2, Wald 54.0 $^{m}/_{m}$, Wernetshausen 28.1 $^{m}/_{m}$. **30./31.** Neuchâtel schreibt: „Schon nach 9 p Blitze im NW." Payerne: „11^{45}–0^{h} unaufhörlich Blitze und Donner." St Imier: „11–11^{50} p tonnerre ininterrompu, éclairs embrasants." Champ-Fahy: „Éclairs continus de 10 p à 1 a, coups formidables aux environs de minuit." Freiburg: „11^{45} p–0^{25} a Blitzen ohne die geringste Unterbrechung." Lyss: „11 p–0^{30} a Blitz u. Donner ohne Unterbrechung, äusserst stark." Marsens: „Une forte colonne de grêle a passé à l'ouest de la station à une heure de distance" (vide tabell. Uebersicht Seite 26). Langenbruck: „Entladungen häufig und stark." Gelterkinden: „Kürzere und längere Störungen der elektr. Beleuchtung." Engelberg: „Ein kräftiger Blitz und Donnerschlag weckte um 1^{10} a alles auf. Bald folgte Hagel in der Grösse von Erbsen, dann Regen bis gegen 1^{40} a; um 2^{30} a setzte noch einmal starker Regen ein; Wetterleuchten." Hallau: „Zirka 1 a Entladungen häufig, Wind NW3–4." Zürich: „Donner 0^{40}–1^{30} a, 1–1^{20} a sehr stark (⊼ über der Stadt), in 2–3 km von der meteor. Station mehrere Blitzschläge; Regen 0^{50}–1^{30} a = 10.0 $^{m}/_{m}$ und 2^{10}–4^{30} a = 7.5 $^{m}/_{m}$." Elm: „Viele Blitzschläge von seltener Stärke." Seewis: „Gewitter ringsum". Schatzalp: „Zwischen 2 und 3 a heftige Blitze." Aus Bern wurde der „Neuen Zürcher Zeitung" gemeldet: „Ein überaus heftiges Gewitter ging in der Nacht vom 30. auf den 31. August zwischen 12 u. 1 Uhr über die Stadt und Umgebung nieder; eine halbe Stunde lang zuckten die Blitze ununterbrochen. Eine Anzahl Telephonleitungen unterbrochen. In Zimmerwald und Köniz Blitzschlag." (Vide Verzeichnis.) Weitere Zeitungsnotizen: Langnau: „Vergangene Nacht (30./31.) zwischen 12 u. 3 Uhr tobte ein gewaltiges Gewitter auch über dem Emmental und dem angrenzenden Luzernbiet. Blitze so häufig, dass der Himmel minutenlang in einer einzigen Glut flammte. Brandröte aus der Gegend von Schüpfheim." (Vide Verzeichnis der Blitzschläge.) Grosse Regenmengen (Tagessummen): Weissenstein 28.0 $^{m}/_{m}$, Grosshöchstetten 31.3 $^{m}/_{m}$, Escholzmatt 26.9 $^{m}/_{m}$, Zürich 22.9 $^{m}/_{m}$, Pfäffikon 23.7 $^{m}/_{m}$, St. Gallen 27.4 $^{m}/_{m}$, Sargans 20.6 $^{m}/_{m}$.

September 9. St. Gallen meldet: „Von 0^{30} a viele und sehr starke elektr. Entladungen; Blitzschläge mit Zündung in Waldegg, Teufenegg, Berg und Lochersebene." Teufen: „Seit 0^{00} a Donner, Blitzschlag in ein Gebäude auf dem Hohenzug zwischen Teufen und Speicher." Einer Zeitungsnotiz entnehmen wir Nachstehendes. St. Gallen: „Bald nach halb ein Uhr brach diese Nacht ein kurzes, aber schweres Gewitter über unsere Gegend und das Appenzellerland herein mit wolkenbruchartigem Regen, grellen Blitzen und krachenden Donnerschlägen. Mehrere Brände infolge Blitzschlags." (Vide Verzeichnis.)

Oktober 9. Litt. d. Wil-Rafz meldet: „Gewaltiges Gewitter, bis 5 p beständig Blitz und Donnerkrachen, Blitze bis 7 p; hier das schwerste Gewitter in diesem Jahre, stellenweise etwas Hagel im Rafzerfeld." Litt. k. Aus Lausanne wird dem „Nouvelliste vaudois" berichtet: „Pendant trois ou quatre minutes l'ondée fut supportable, mais tout d'un coup, sous l'entrecroisement des éclairs et dans le fracas des coups de tonnerre les ‚bondes des cieux' s'ouvrirent en véritables cataractes; graves dégâts par la masse d'eau tombée et la grêle qui l'a accompagnée. Les rues transformées en torrents (23.5 $^{m}/_{m}$ d'eau en moins d'une demi-heure), égouts sautés sous la pression de l'eau, inondation d'un rez-de-chaussée et de quelques caves dans la région de St Martin-Couvaloup. Sur certains points la grêle est tombée en telle quantité, qu'elle a arrêté des chars et même, à Montherod sur Aubonne, le train de la voie étroite. Au couchant de Lausanne la vigne n'a été à peine touchée, dans les Hauts de Lutry en revanche, dès les Bannerettes et au dessus tout est abîmé. La grêle a donné jusqu'à Mézières." Vorbeschriebener Wolkenbruch war bloss lokal, die Tagessumme in Morges betrug nur 8.6 $^{m}/_{m}$, in Clarens 10.2 $^{m}/_{m}$. Im weitern wurde der „Neuen Zürcher Zeitung" gemeldet: Litt. l. Bern: „Ein für diese Jahreszeit sehr heftiges Gewitter entlud sich, von Hagel begleitet, gegen 6 Uhr abends über Bern." Blitzschlag, vide Verzeichnis. Litt. m. Birrwil: „Ein starkes Gewitter ging heute (9. Oktober) nachmittag über das Seetal nieder. Hagelkörner bis zu Eigrösse; dem Obst wurde nicht unbedeutender Schaden zugefügt."

b) Verzeichnis der in der tabell. Uebersicht nicht erwähnten hagelbeschädigten Gemeinden:

Mai 9. Litt. c. Frauenkappelen, Mühleberg, Wileroltingen, Golaten, Radelfingen, Langendorf, Feldbrunnen, Rüttenen (Kt. Bern). **12.** Litt. b. Rodersdorf, Kleinlützel, Hochwald, Büren, Seewen, Olten, Niedergösgen, Däniken, Gretzenbach, Schönenwerd (Kt. Solothurn); Röschenz, Laufen, Dittingen, Zwingen, Wahlen, Brislach, Nenzlingen (Kt. Bern); Lupsigen, Bubendorf, Ziefen, Reigoldswil, Waldenburg, Langenbruck, Diegten (Baselland); Ober- und Unterentfelden, Aarau (Aargau). **30.** Litt. a. Strengelbach, Rothrist, Murgenthal (Aargau); Roggwil (Kt. Bern); Wolfwil, Bonigen, Neuendorf (Kt. Solothurn); Hellikon, Zuzgen, Ober- und Niedermumpf (Aargau). Litt. b. Aadorf, Frauenfeld, Matzingen, Stettfurt, Bichelsee, Tannegg, Dussnang (Thurgau); Tuggen, Ebnat (Kt. St. Gallen); Obstalden (Kt. Glarus).

Juni 3. Litt. b. St. Ursen, Rechthalten, Plasselb., Oberschrot, St. Antoni, Alterswil (Kt. Freiburg); Guggisberg, Höfen, Uebeschi, Thierachern, Uetendorf, Gerzensee, Mühledorf, Kirchdorf, Jaberg, Thun, Wachseldorn (Kt. Bern). Litt. d. Schüpfheim, Romoos, Doppleschwand, Entlebuch, Hasle, Grosswangen, Menznau, Wolhusen, Malters, Sempach, Hildisrieden, Neudorf (Kt. Luzern); Hünenberg, Cham (Kt. Zug). **5.** Litt. a. Grandcour, Payerne, Corcelles (Waadt); Montagny-les-Monts, Middes, Torny-le-Grand, Villarimboud, Villaz-St Pierre, Maconnens, Chavannes-sous-Orsonnens, Estevenens, Grangettes, Romanens, Vuadens, Maules, Vaulruz, Bulle (Kt. Freiburg).

19. Litt. b. La Chaux-de-Fonds (Kt. Neuenburg); St Imier, Belmund, Jens, Port, Orpund, Evilard, Brügg, Safneren, Scheuren, Schwadernau, Meinisberg, Meienried, Büren, Oberwil, Reiben b./Büren, Rüthi b./Büren, Dotzigen, Lengnau, Arch, Leuzigen, Bätterkinden, Attiswil, Inkwil, Heimenhausen, Wangenried, Wangen a./Aare, Röthenbach, Ober- und Niederbipp, Wiedlisbach, Wolfisberg, Walliswil-Bipp, Walliswil-Wangen, Berken, Graben, Thunstetten, Aarwangen, Langenthal, Schwarzhäusern, Wynau, Roggwil (Kt. Bern); Grenchen, Selzach, Bellach, Solothurn, Gosliwil, Hessigkofen, Bibern, Tscheppach, Mühledorf, Ichertswil, Lüterkofen, Lüsslingen, Nennigkofen, Lohn, Biberist, Ammansegg, Zuchwil, Feldbrunnen-St. Niklaus, Derendingen, Niedergerlafingen, Halten, Kriegstetten, Luterbach, Recherswil, Horriwil, Etziken, Bolken, Hüniken, Oekingen, Subingen, Deitingen, Riedholz, Flumenthal, Welschenrohr, Oensingen, Kestenholz, Wolfwil, Ober- und Niederbuchsiten, Neuendorf, Fulenbach, Bonigen, Walterswil (Kt. Solothurn); Vordemwald, Rothrist, Aarburg, Oftringen, Strengelbach, Brittnau, Zofingen, Bottenwil, Mühlethal, Uerkheim, Staffelbach, Safenwil, Bottenwil, Wiliberg, Attelwil, Kirchleerau, Reitnau, Moosleerau, Muhen, Kölliken, Holziken, Schöftland, Schmidrued, Schlossrued, Teufenthal, Unter- und Oberkulm, Zetzwil, Gontenschwil, Reinach, Menziken, Dürrenäsch, Leutwil, Niederhallwil, Boniswil, Birrwil, Beinwil, Seon, Staufen, Egliswil, Seengen, Villmergen, Hilfikon, Sarmenstorf, Büttikon, Uezwil, Meisterschwanden, Fahrwangen, Wohlen, Muri, Aristau b./Muri, Bettwil, Besenbüren, Bottenschwil, Kallern, Waldhäusern, Bünzen, Boswil, Niederwil, Fischbach-Göslikon, Berikon, Oberwil, Ober- und Unterlunkhofen (Aargau); Roggliswil, Pfaffnau, Richenthal, Langnau, Dagmersellen, Reiden, Wikon, Triengen, Kulmerau, Pfeffikon, Aesch, Altwies, Schongau, Hunzikon, Müswangen (Kt. Luzern); Affoltern a./Albis, Bonnstetten, Wettswil, Langnau, Adliswil, Thalwil, Erlenbach, Küsnacht, Uster (Kt. Zürich); Mosnang, Kirchberg, Jonschwil, Oberuzwil (Kt. St. Gallen); Unter-Hallau (Kt. Schaffhausen). Litt. f. Lungern, Alpnach, Stans, Beckenried (Unterwalden); Weggis, Meierskappel (Kt. Luzern); Küsnach, Rigi-Kulm und -Scheidegg (Kt. Schwyz); Zug.

Juli 2. Litt. f. Gaiserwald, Waldkirch, Wittenbach, Tablat, Mörschwil, Untereggen, Goldach, Rorschach, Rorschacherberg, Thal (Kt. St. Gallen); Walzenhausen (Kt. Appenzell).

24. Litt. b. Ernetschwil, St. Gallenkappel, Eschenbach, Goldingen (Kt. St. Gallen); Horgen, Oberrieden (Kt. Zürich). Litt. d. Münster, Gunzwil, Rickenbach, Büron, Triengen, Winikon, Buchs, Schlierbach, Wikon, Reiden, Uffikon, Dagmersellen, Langnau, Richenthal, Altishofen, Menznau, Hergiswil, Luthern, Wilihof, Romoos, Escholzmatt, Marbach (Kt. Luzern); Bottenwil, Reitnau, Brittnau (Aargau); Gondiswil, Melchnau, Reisiswil, Madiswil, Auswil, Trub, Winigen, Lützelflüh, Oberburg, Krauchthal (Kt. Bern). Litt. e. Egliswil, Niederhallwil (Aargau); Buchs, Regensberg, Dielsdorf, Steinmaur, Weiach, Wasterkingen, Regensdorf, Affoltern b. Zürich, Niederhasli, Neerach, Glattfelden, Rümlang, Dübendorf, Wangen, Nürensdorf, Lindau, Volketswil, Illnau, Pfäffikon, Hittnau, Bauma, Fischenthal (Kt. Zürich); Au (Thurgau); Kirchberg, Mosnang (Kt. St. Gallen).

25. Mervelier (Kt. Bern); Erschwil, Meltigen, Zullwil, Nunnigen (Kt. Solothurn); Ziefen, Bubendorf, Lausen, Ramlinsburg, Hölstein, Sissach, Böckten, Zunzgen, Thürnen, Buus, Gelterkinden, Ormalingen, Hemmiken (Baselland). **28.** Litt. f. Coppet, Crans, Eysins, Borex, Grens, Signy, Nyon, Duillier, Prangins, Coinsins, Vich, Bégnin, Gland, Luins, Rolle, Etoy, Yens, Villars-sous-Yens, Lavigny, Lussy, Lully, Tolochenaz, Denens, Vufflens (Waadt). **31.** Litt. a. Tegerfelden, Ober- und Unterendingen, Würenlingen, Villigen, Schinznach, Unterbötzberg, Effingen, Erlinsbach, Oberentfelden (Aargau); Günsberg (Kt. Solothurn). Litt. b. Hochwald, Seewen, Büren, St Pantaleon, Nuglar (Kt. Solothurn); Bretzwil, Lauwil, Reigoldswil, Titterten, Liedertswil, Eptingen, Hersberg (Baselland).

August 2. Litt. b. Cortaillod, Bevaix, St. Aubin-Sauges, Vaumarcus (Kt. Neuenburg); Cuarny, Cronay, Molondin, Donneloye, Mezery, Pomy, Pailly, Rueyres, Echallens, Crissier (Waadt). **6.** Litt. e. Fresens, St Aubin, Gorgier, Bevaix, Cortaillod, Boudry, Colombier, Auvernier, Corcelles-Cormondreche, Peseux, Valangin, Neuchâtel, Hauterive, La Coudre, St Blaise, Cornaux, Cressier, Landeron (Kt. Neuenburg); Diesse (Kt. Bern). **20.** Litt. b. Grandcour (Waadt); St Aubin-Sauges, Gorgier, Bevaix, Cortaillod, Boudry, Colombier, Rochefort

Montmollin, Auvernier, Corcelles-Cormondrèches, Peseux, Geneveys s./Coffrane, Coffrane, Boudevilliers, Malvilliers, Valangin, Fontaines, Engollon, Cernier, Chézard-St Martin (Kt. Neuenburg); Gals, Tschugg, Vinelz, Erlach (Kt. Bern).

21. Litt. c. St Aubin-Sauges, Gorgier, Bevaix, Cortaillod, Geneveys s./Coffrane, Boudevilliers, Malvilliers, Fontaines, Engollon, Fontainemelon, Cernier, Dombresson, Paquier (Kt. Neuenburg); Sonvillier (Kt. Bern). Litt. m. Avusy, Avully, Cartigny, Russin, Dardagny, Satigny, Bernex, Confignon, Plan-les-Ouates, Meyrin, Grand- et Petit-Saconnex, Bellevue, Collex-Bossy, Genthod, Meinier, Jussy, Céligny (Kt. Genf); Tannay, Mies, Commugny, Coppet, Founex, Crans, Eysins, Prangins, St Cergue, Coinsins, Béguin, Luins, Gland, Allaman, Etoy, St Prex, Yens, Villars-sous-Yens, Lussy, Lully, Tolochenaz, Vufflens-le-Château, Chigny, Denges, Lonay, Bremblens, Bussigny, Echandens, Morges, Préverenges, St Sulpice, Crissier, La Sarraz, Lutry, Ecublens (Waadt).

22. Litt. a. Dardagny, Laconnex, Bernex, Confignon, Perly-Certoux, Bardonnex, Veyrier, Troinex, Grand- et Petit-Saconnex, Prégny, Plan-les-Ouates, Meinier (Kt. Genf); Tannay, Eysins (Waadt); ferner die savoyischen Gemeinden: Archamp, Collonge-sous-Salève, Etrembières und Mornex.

c) Hagel ohne bekannt gewordene elektrische Erscheinungen.

Mai 17. Burgistein und Bolligen (Kt. Bern); Romont und Lovattens (Waadt).

Juni 4. Romoos (Kt. Luzern). **15.** Linthal 7 a (Kt. Glarus); Mosnang (Kt. St. Gallen). **18.** Hitzkirch „4^{30} p ziemlich grosse Hagelkörner, 1–2 Minuten lang", Meierskappel (Kt. Luzern).

Juli 25. Burgistein, Wattenwil (Kt. Bern).

August 9. Colombier (Kt. Neuenburg). **23.** Bex (Waadt). **26.** Kreuzlingen (Thurgau).

September 5. Prangins (Waadt).

Nachträge.

a) Lokale Gewitter.

März 24. Binningen und Neuewelt 3 p (Pfeffingen Donner), Romanshorn 3^{30} p (Nollen und Bischofszell Donner), Balsthal 4 p (Langenbruck, Reigoldswil und Therwil Donner), Solothurn 4–5 p (Lyss und Biel Donner), Zurzach 5–5^{30} p („im S nach SE"), Basel und Binningen 7^{15}–7^{40} p (Therwil und Buus Donner), Lampenberg 7 p „von W". **25.** Cham 10^{25}–10^{45} a, mit Schneefall, Tagessumme 20.5 $^{m}/_{m}$ Wasser (Küsnach und Weggis Donner), Locarno 7^{30}–9^{30} p (Brissago und Borgnone Donner, Sonogno Blitze). **26.** Locarno 10^{30}–11 p. **29.** Sonogno 4^{30}–5 p, ▲. **30.** Arisdorf 2^{26}–2^{30} p (Langenbruck, Gelterkinden, Buus und Möhlin Donner), Reigoldswil 7 p (Mervelier und Pfeffingen Donner), Diessenhofen zwischen 7^{30} und 8^{30} p (Schaffhausen und Haidenhaus Donner, Muri Blitze), Delémont 8^{15} p, Kaiserstuhl 8^{15} p (Hallau Blitz und Donner, Schleitheim Blitze), Rheinfelden 8^{45} p (Binningen und Gelterkinden Blitz u. Donner, Buus Donner). **31.** Kalchrain 4^{30} p (Frauenfeld und Weinfelden Donner), Zürich 6^{47}–6^{55} p, 2 km im NW (Mettmenstetten Blitz und Donner).

April 2. Möhlin und Arisdorf 2^{20} p (Therwil, Neuewelt und Buus Blitz und Donner), an der Wasserfluh (Aarau 2^{25}–3^{10} p Blitz u. Donner 4–5 km im N, St. Urban, Zofingen, Lampenberg, Gelterkinden, Pfeffingen Donner, Augst ⊼-Regen mit ▲), Aarberg 2^{30}–3 p (Lyss, Champ-Fahy Blitz und Donner, Solothurn und Neuchâtel Donner), Freiburg 3^{30} p (Bern und Murten Donner), Zürich 3–3^{30} p, 4mal Donner nahe im N (Uster und Winterthur Donner), Degersheim 4 p (Urnäsch Donner und Hagel, Flawil ⊼-Regen), Palézieux abends (⊼-Regen mit ▲). **30.** Lugano 1^{45}–3 p (2^{01}–2^{02} p ▲, „ebenso nachmittags mehrere kleine Gewitter", Appenzell (△) und Schwäbrig 4^{30}–5 p (Teufen und Säntis Blitz und Donner, Altstätten Donner, Heiden ⊼-Regen), auf dem Pfannenstiel 6–6^{50} p (Aadorf, Winterthur, Zürich, Wädenswil, Uster und Wernetshausen Donner), Romanshorn 6 p (Sulgen ⊼-Regen), Brissago 6^{30} p ▲, Crana 7^{30} p, Cham 8 p.

Mai 1. Winterthur 11^{29} a, „ein ziemlich starker Donner im Zenith". **7.** Cham 1^{15} p △, am Pfannenstiel 1^{25}–1^{40} p (Wernetshausen, Lachen, Wädenswil Donner), Münster 2^{15} p mit Graupeln, Frauenfeld 2^{30} p (Zürich und Lohn Donner, Wil-Rafz ⊼-Regen), Möhlin 2–2^{16} p, N nach S (Kilchberg Blitz und Donner, Basel, Liestal, Buus Donner), Aarau 3^{20}–3^{35} p, 3^{40}–3^{45} p ▲. **9.** Genf 2^{45}–3^{30} p, Entlebuch 4^{30} p (Romoos ▲, Luzern Donner, Champ-Fahy Blitze [„über der Zentralschweiz, seit 4^{20} p"]), Stans 4^{30} p (Vitznau und Weggis Donner), Walchwil 4–5 p (Cham Donner), Grindelwald p, Davos 5^{30} p, 5^{28}–5^{40} p ▲, Binningen 7^{40}–9 p (Basel, Therwil und Waldenburg Blitz und Donner, Reigoldswil, Langenbruck, Buus, Möhlin Donner). **10.** Herzogenbuchsee 3–4 p, Choindez 3^{30}–4 p, St Sulpice 5 p ▲ (Montcherand Donner). Muri 4^{50}–5 p, aus SW, Aadorf und Frauenfeld zwischen 6 und 7 p (Winterthur [6^{22}–6^{25} p kleine Hagelkörner] und Wil-Rafz Blitz u. Donner, Schaffhausen Donner), Binningen 10^{20} p (Basel im S Blitz und Donner), Rheinfelden 11 p (Waldenburg Blitze), am Kärpfstock (Elm 7^{30} bis 7^{45} p 2mal Donner). **11.** Schleitheim 2–3^{50} p, im Zenith 3^{30} p (Hallau und Schaffhausen Blitz und Donner), Saignelégier abends (Mormont Donner), Locarno „den ganzen Nachmittag ⊼ ringsum". **12.** Jaun 1^{30}–2^{10} p (Marsens und La Roche Donner), Payerne 2^{30}–3 p, am Frienisberg 3^{30} p (Lyss und Aarberg Hagel), La Valsainte 6^{10} p „6^{05}–6^{15} p ▲ wie kleine Erbsen" (Lausanne und Kienthal Donner), Cossonay 5–7^{15} p (Yverdon Donner). **15.** Genf 5 p, Palézieux p, Langnau 6 p (Solothurn Blitze), Romanshorn 6^{30} p (St. Gallen Donner), Aarau 9^{45}–10 p (Basel Blitze), St Imier 10^{15}–10^{10} p, „alle Minuten Donner, sehr stark" (Neuchâtel, Bellelay und Bern Blitze). **16.** St. Gallen 2^{45}–2^{57} p, im Zenith 2^{51} p, von S nach N (Säntis Blitz und Donner, Heiden Donner), Genf 3 p, Wimmis 11 p (Heiligenschwendi Blitz). **17.** Bolligen ▲ (Bern Blitz und Donner 2^{30}–3^{15} p), Genf 5^{30} p, Champ-Fahy 3^{40}–6^{15} p, „orage marchait du Chaumont sur le Chasseral, puis sur Neuchâtel et fut renvoyé sur la contrée par la bise, décharges chaque minute, très violentes" (Biel und Lyss Donner), Bellelay 5^{30}–6 p, aus NW (Neuchâtel Donner), Cham 7^{20} p ∠, „E nach W, 7^{20}–8 p = 40.2 $^{m}/_{m}$ Regen", Luzern 7^{35} p, Donner 6–8^{30} p, Linthal ca. 8 p. **25.** Lugano 2^{15}–4^{15} p, schwach. **26.** Walenstadt 11^{30} a (Sargans Donner), Plantahof, Lauterbrunnen und Grindelwald von 2^{15} p an, „sehr heftig", Lungern 2^{35} bis 2^{45} p, „mit ▲ aus E", Murten 3^{15}–4^{10} p, Payerne 4–5 p, 4^{30} und 4^{55} p grosse Hagelkörner (La Roche, Neuchâtel und Romont Donner), Burg b./Menziken 3^{20}–4 p (Triengen Donner), Davos-Platz 4^{30} p, Luthern 5 p, Escholzmatt p, Herbetswil abends (Biel Donner), Guttannen 4–6^{10} p, 4^{15}–4^{22} p ▲, Linthal 4–5^{30} p (Glarus Blitz und Donner, Vättis Donner), Engelberg 5^{31} p, Stans 7^{20} p (Gurtnellen Blitz und Donner, Vitznau, Isenthal und Engelberg Donner), Pilatus n. Platta 6^{15} p, 2mal Blitz und Donner. **27.** Säntis 3^{30} p, Steckborn 4^{15} p (Schaffhausen Haidenhaus und Lohn Donner), Freiburg 3^{45}–5 p, „W nach E" (La Roche schwacher Blitz und Donner, Bern Blitze), Guttannen 3^{45} p (▲ 4^{15}–4^{22} p) und 6^{45} p, Genf 4–4^{30} p und 6^{45} p, Cossonay 5 p, Nyon 7^{30} p (▲ in Féchy und Aubonne), Villeneuve 10 p (Clarens 9–11 p Donner im S von W nach E), Montcherand zwischen 10 und 10^{50} p (Hagel in Lignerolle, ⊼-Regen in Clées). **28.** Grindelwald abends (Eigergletscher ⊼-Regen), Bernhardin 4–5 p, Varen-Leuk 5 p, „Wolkenbruch, 7 Minuten lang ganz kleiner Riesel" (Leysin Blitz und Donner), Bellinzona 6 p (Castasegna Donner), Elm 6^{45} p, von S nach N. **29.** Les Brenets 1 p (La Brévine Donner und Hagelschauer), Grosshöchstetten 2^{30} p, ∠ (Bern Donner), Cernier 3 p (La Chaux-de-Fonds und Bellelay Blitz und Donner), Cossonay 3^{30} p (Yverdon Donner), Marsens 4–6 p

La Roche und Romont Donner und ⛆-Regen), Les Brenets 6 p, Genf 6^{30} p, Kaiserstuhl 7 p (Wilchingen Blitz und Donner, Böttstein Donner); zwischen Sempachersee und Reuss (Vitznau und Luzern Blitz und Donner im W), Zürich und Zollikon 6^{45}–7 p (Uster Donner). **30.** Cheindez vormittags, Les Brenets 5 p (Neuchâtel und La Chaux-de-Fonds Donner), Linthal 6^{30} p, von W, Genf 7^{15} p, Romanshorn [illegible], Tschiertschen 9–9^{30} p (Thusis, Arosa und Vättis Blitz und Donner, Tomils Donner) und zwischen 10 u. 11 p, Vals 10 p, Basel 9 p u. [illegible] (Buus 10^{30} p Donner im NW, Waldenburg Blitze, in Gelterkinden zwischen 6^{10} und 10^{30} p Störung der elektr. Beleuchtung). **30. 31.** Aarau 8^{45} p–1^{45} a ⛆ ringsum, mit sehr zahlreichen Blitzen, im Zenith 1 a. **31.** Bernhardin 2–3^{30} p, St. Urban 1^{h}–2 p, von N nach S (Bei Donner), Clarens 1^{25}–5^{17} p, 1^{25} p im Zenith, Grosshöchstetten 2^{10} p (Bern Donner, Heiligenschwendi Blitze, Langnau kurzer, starker ⛆-Regen, Hagel in Worb), Delémont 2^{45} p, „quelques grêlons dans la pluie“ (Hagel in Châtillon), Luthern abends und nachts, zwischen Albishorn und Pfannenstiel 4^{20}–5^{10} p (Wernetshausen, Uster, Zürich, Wädenswil und Mettmenstetten Donner), Leysin 4 p (Lausanne Donner im E u. SE), am obern Bodensee 4^{26}–4^{40} p (St. Gallen [im E nach SE], Säntis [4^{30}–4^{50} p △] und Teufen Donner), Bisisthal 6 p, Lugano 6^{25} p, Donner 5^{30} bis 7^{50} p, sehr schwach.

Juni 1. Bellelay 1^{30}–3 a, aus E (Gelterkinden Donner) und 11^{30} a bis 12^{h}, ⛆ (Cernier einige Donner), St. Urban 4–5^{30} a, Cossonay 2^{15} p, Aarberg p, Affoltern i./E. 4^{30} p (Langnau und Wasen ⛆-Regen), Herbetswil und Balsthal 4^{30}–5 p (Diegten und Waldenburg Donner), Boltigen p und n, Valangin abends (Yverdon Donner), Genf 7^{45} p. **2.** Reigoldswil 5–6 a (Liestal und Pfeffingen Blitz und Donner, Buus Donner), Lungern 6^{45} a, Küsnach 6^{30}–7^{15} a (Luzern Donner). La Brévine 10 a, Payerne 10 a (Aumont und Granges-de-Vesin ▲), Genf 12^{15} p und 4^{45} p, Lampenberg zwischen 1 und 1^{40} p (Langenbruck, Gelterkinden, Buus, Pfeffingen Donner), Flüelapass 2^{18}–2^{30} p (Davos Blitz und Donner), Therwil 5 p, Orbe 5^{15}–6^{05} p (Baulmes Blitz u. Donner, Ropraz ▲). Sion 5^{30}–6 p (Gsteig von 5 p an ⛆-Regen, Tagessumme 24.3 mm). St Cergue, Affoltern i./E. und Romanshorn abends, Brissago 8 p (Crana Blitz und Donner, 52.6 mm). Lugano 9^{30}–11^{10} p, „im Zenith 1–1 p, vor dem ⛆ häufig Blitze im SW, W und NW“, Basel 10^{35} p (Rheinfelden ⛆-Regen, Buus Donner, Aarau Blitze). **3.** Degersheim 9^{30} a (Säntis Donner), Langnau 12–12^{30} p, Murten 2^{10}–2^{30} p (Liebistorf und Grandcour Hagel), Aarberg p, Genf 3^{30}–4^{30} p, Le Sentier 4^{30}–5^{15} p („heftige horizontale Blitze“), Mervelier 9 p (Cernier und La Brévine Blitze, Mormont Donner), Bachtel 9^{50} p (Zürich Blitze), Walenstadt und Herisau n. **5.** Feldbrunnen 3^{15}–4 p (St. Urban ⛆-Regen), Linthal 4^{30}–5^{15} p (Platta und Elm Donner), Plantahof 5–6 p (Chur u. Seewis Blitz und Donner), Tschiertschen 5^{30}–6^{30} p, Avers-Cresta 6 p, Buchsteg p (Sarnen Blitz und Donner), Altmann 7 p–n (Säntis Blitz und Donner, 7^{54}–8^{14} p △), Cavaglia 7–7^{30} p, „aus N“, Davos 8^{30} p, SW nach NE (Platta Donner), Andermatt 9^{50} p (Platta Donner). **8.** Bisisthal p (Platta 5^{38} p Donner). **8./9.** Ponte Tresa und Grono. **9.** Rivera 3–5 a (Crana Donner), Bevers 11^{50} a–12^{10} p, Regen 11^{55} a–12^{20} p, 11^{50} a ⛆, „besonders heftige Entladung, so dass infolge der Erschütterung sich von zwei Kaminen Steine ablösten“, Schleitheim 11^{45} a–3 p, Richtung W nach N und E, Hagel im N (Schaffhausen Blitz u. Donner, Hallau Donner), Castasegna 12^{13}–1^{10} p, am Hohen Ronen 1–1^{15} p (Wädenswil Blitz und Donner, Uster und Sihlwald Donner), Arbon und Romanshorn 1^{25}–1^{40} p (St. Gallen [▲ bis zu Kirschsteingrösse] und Rorschach Donner), Neuchâtel zwischen 1^{30} und 2 p, 1^{40}–1^{42} p ▲. Altstätten 2^{25} p (Teufen Blitz und Donner), Le Sentier 2–3^{45} p, „S nach N“, Linthal 2^{50}–3^{10} p (Platta Donner), Guttannen 2^{40}–4^{45} p, ▲ 3^{15}–3^{18} p, Obstalden und Vättis 3^{15} p, Kienthal und Frutigen 3^{30} p, Lauterbrunnen 3^{45} p (Beatenberg Blitz und Donner), Andermatt 4^{30} p, Linthal 5–5^{20} p „sehr heftig, von W nach E, 5 p ▲“ (Platta Donner), Delémont 5^{25}–6^{15} p „5 p etwas ▲ aus N, kein Schaden“, Genf 5^{37} p, St Cergue 5^{45} p, Morges 6 p (Lausanne Donner), Bourg-St Pierre 6 p, Sion, von 6 p an (Hérémence Donner), Thusis, Avers-Cresta und Vals p, Bisisthal 6 p, ⛆. **12.** Vals p (Bernhardin 12^{10}–12^{15} p ▲). **14.** Biel 9 a, Buus 9^{30} a, 9^{27}–9^{28} a ▲° mit Regen gemischt (Kilchberg und Möhlin Blitz und Donner), Payerne 10^{45} a und 1^{45} p, Aadorf 12^{30} p, Saignelégier zwischen 3 und 5 p (La Chaux-de-Fonds 3^{05}–3^{10} p und 4–4^{12} p ▲), Savatan 4–5 p (Châble Blitz und Donner), Bellinzona 4^{45} p (Crana Donner), Solothurn p (Bätterkinden ▲), Montcherand p, ⛆ (im NW von Ste Croix ▲), Entlebuch, Sarnen und Pilatus zwischen 6 und 7 p (Luzern 6^{20} p und Weggis Blitz und Donner, Lungern Donner), Avers abends, Lampenberg 7 p △ (Liestal und Langenbruck Donner), Altdorf 8^{20}–8^{45} p, von NW (Göschenen und Iberg Blitz und Donner, Engelberg und Isenthal Donner), Heiden 9^{45}–10 p (Altstätten Blitz und Donner). **17.** St Cergue a und p, Boltigen p, Aarau 8–9^{35} p, W nach E, Mettmenstetten abends. **18.** Basel 10^{25}–10^{45} a (Liestal Donner), St. Gallen 12^{40}–12^{55} p „wolkenbruchartiger Regen, sehr wenige elektr. Entladungen“, Heiden 2^{40} p (St. Gallen und Teufen Donner), Engelberg zwischen 4^{15} u. 5^{40} p, „Donner I. um 4^{15} p, II. um 4^{40} p, III. um 5^{37} p, jedesmal ca. 6 Schläge“ (Isenthal Donner), Rigi-Scheidegg und Vitznau 4^{30}–5 p (Luzern und Iberg Donner), Meierskappel 4^{30} p, ▲ (Cham Donner im S), Wimmis und Lauterbrunnen 5 p, La Roche 6^{05} p (Marsens Blitz und Donner), Yverdon 8 p, Andermatt 9 p (Göschenen 2mal Donner), Kienthal 11 p–0^{h}. **19.** Veytaux 5^{05}–5^{30} a, ▲ 5^{14} bis 5^{17} a, „la grêle tombait drue pendant une minute environ à 5^{15} a, puis fortement mélangée de pluie jusqu'à 5^{25} a (Clarens Blitz und Donner, Lausanne Donner), La Roche, morgens früh, Schleitheim 11^{50} a–3 p, im Zenith 2^{30} p (Hallau Blitz und Donner), Veytaux 2^{05}–2^{30} p (Clarens Donner), Biel 4 p (vide auch litt. d, tabell. Uebersicht, Seite 14), Lauterbrunnen 4^{30} p, Bourg-St Pierre, Châble und Sion p (Hérémence Donner), Appenzell 7 p, Avers-Cresta n, Tagessumme 60.7 mm. **20.** Dietikon a, Braggio 1–9 a, Regenmessung 7^{30} a = 120.9 mm, Waldenburg zwischen 12 und 2 p (Buus Donner), Bernina 1–6 p (Cavaglia Blitz u. Donner), Murten 2^{20}–2^{40} p (Freiburg Donner), Steckborn 3–3^{15} p (Haidenhaus Blitz und Donner im N), Heiden 4 p (Thal ▲, Altstätten Donner), St Sulpice 4 p, ▲, Haidenhaus 5^{30} p. **21.** Marsens abends. **22.** Lauenen abends. **23.** Savatan 3^{50}–4^{30} p, Beatenberg 4^{30} p, Vorderthal 5 p, schwach. **25.** Braggio 1^{30} p–n, Tagessumme 85.3 mm, Olivone p, 76.5 mm, Rivera 7–9 p, 105.5 mm (Crana Blitz und Donner, 101.0 mm). Plantahof 7 p (Sargans, Chur, Seewis Donner), Platta 8 p (79.5 mm), Davos 8 p, Bevers 9^{30} p, in 3 km Distanz. **26.** Linthal 1^{30} a, „von W nach E“, Tagessumme 25./26. = 50.0 mm. **30.** Aarau 4^{30} bis 5^{05} p, schwach, St Sulpice 8 p–n (La Brévine Blitz und Donner), Bisisthal 10 p, kurz.

Juli 1. Davos 10 p (Seewis Blitz und Donner), Luzern 11^{30} p–0^{h}, 11^{40} p ein sehr heftiger Schlag (Weggis Donner). **2.** Am Urirotstock, zwischen 5^{30} und 6 a (Engelberg [2mal], Isenthal und Altdorf Donner), Iberg 5 a, kurz, Glarus und Obstalden 5 a (Säntis Blitz u. Donner), Dailly 10^{40} a (Clarens Donner), Lauterbrunnen 11^{30} a und von 2^{45} p an, Guttannen 12^{h}, 1 p und 3 p, Davos 1^{30}–2^{45} p (hauptsächlich am Strelapass), Obstalden 3 p, 34.0 mm (Glarus Blitz und Donner), Ste Maria 3^{30} p „kurze Zeit SW“, Airolo 3^{26}–5 p, Braggio 4^{30}–5 p, am Strela 5–6 p (Davos 1 km westlich Blitz und Donner), am Hochwang p (Fürstenalp ⛆), Guttannen 10^{15} p. **4.** Borgnone a. **9.** Heiden 3 bis 3^{30} a (St. Gallen, Appenzell, Altstätten Donner). **13.** Bevers 12^{40} p, Cernier 1^{30}–2 p, Basel 2^{10} p (Buus 2–3^{30} p Donner im NW), Elm 2^{45} p (Säntis Donner), Gsteig 2–2^{30} p, Cernier 2^{45}–3 p (La Chaux-de-Fonds und La Brévine Donner, Fontainemelon einige Hagelkörner), Clarens 3^{10} p, Schleitheim 4–4^{20} p, W nach E, Winterthur 4^{45} p. Davos 5 und 9 p. Châble p, Grindelwald 7 p, Baden 7^{30} p, Weinfelden $8^{..}$ p, ▲ (Affeltrangen Blitz und Donner, Frauenfeld Donner, Lohn Blitze), Basel 11^{30} p. **14.** Baulmes 11^{10} a–12^{h} (Neuchâtel Donner) und 3–3^{40} p (Yverdon Donner), Walenstadt 2^{30}–2^{40} p (Säntis, Sargans und Wesen Donner), Savatan und Dailly 3^{40}–5^{30} p, Châble p (Hérémence Donner), Alp Schwefelberg zwischen 3 und 4 p, ▲ und ⛆ (Freiburg Donner), Lauterbrunnen 3^{30} p (Beatenberg Donner), Guttannen 3^{45} p, Arbon p (Degersheim Donner), Altdorf 5^{00}–6 p (Isenthal Donner), Hitzkirch 7^{50} p (Luzern Donner im NW). **15.** Baulmes und Montcherand 1^{50}–2^{30} p (Yverdon Donner), Appenzell 2^{30} p (Säntis [50mal], Teufen, Haag und Sargans Donner, Schwäbrig Blitze), Stafelegg 2^{35}–4^{15} p (Aarau Blitz und Donner 5 km im N nach W, Buus Donner im SE), Montcherand 3^{05}–5^{15} p „Richtung Ste Croix-Jougne“, Elm 3^{40}–4^{25} p „Richtung N nach S“, Savatan und Dailly 4^{30} p, St. Urban 4^{15}–5^{30} p, Münster 5 p (Muri, Mettmenstetten und Luzern Donner), Sierre 5^{30} p, Cavaglia 5 bis

5^{30} p, Splügen 5^{50}–6 p, Oberkirch und Walenstadt n (15./16.). **16.** Furna 9–9^{15} a (Schiers Blitz und Donner 4 km im S nach SE), Luthern 3 p, Elm 4^{10} p, N nach S, Andermatt 4^{50}–5^{20} p (Altdorf Donner), Kienthal 5^{15} p (Lauterbrunnen ⚿-Regen = 7.5 mm). **18.** Aarau, Donner 2^{25}–2^{35} p, Regen 2^{45}–2^{50} p, „es bildete sich im E eine ⚿-Wolke, die vom Wind nach allen Richtungen auseinander getrieben wurde", Splügen 8–8^{30} p, Avers 9–9^{45} p. **19.** Dailly und Savatan zwischen 2 und 3 p, am Dieppen 3^{20}–5 p (Altdorf Blitz u. Donner, Isenthal Donner), Elm 5^{30} p, W nach E, Ilanz 5^{30}–6 p (Platta Donner), Thierfehd b./Linthal 6^{30} p. **20.** Schiers 3^{05}–4^{10} p, SE nach NW (Seewis Blitz u. Donner). **22.** Châble a, Gsteig 2^{30} p „von Lauenen her, vom Westwind wieder dorthin zurückgetrieben" (Sierre Blitz und Donner im NW), Eigergletscher 4^{02}–5^{30} p. **23.** Frutigen 5 p (Lauterbrunnen und Bern Donner), Remüs p (Schwäbrig, Winterthur und Säntis Blitze im SE), Thusis p, Plantahof 9^{30} p (Schiers 8^{10}–11^{20} p 3 km im W nach S Blitz und Donner, Zürich, Schleitheim, Lohn, Heiden, Seewis, Tschiertschen und Platta Wetterleuchten), Varen-Leuk 11^{30} p (Sierre Blitz und Donner, Hérémence und Vissoye Donner), Dailly 9–10 p (Nyon Blitz u. Donner auf den Alpen, Freiburg und Marsens Blitze im S). **24.** Murten 10^{10} a, Kulm und Vättis a, Linthal 12^{15} p (Platta Donner), La Brévine, zwischen 12^{h} und 1 p, ⚿ (La Chaux-de-Fonds Donner), Tschiertschen und Arosa 11^{30}–12^{05} p (Davos sehr häufiger Donner), Appenzell 1 p (St. Gallen, Heiden und Altstätten Donner). Bellelay 1^{30}–2^{30} p, Bevers 2^{15} p, „2^{30}–2^{50} p Hagelkörner wie kleine Haselnüsse, die elektr. Entladungen folgten äusserst rasch aufeinander", Montcherand 2^{45}–5 p (Yverdon Donner), Cavaglia 2–5 p, Morges 3^{30} p, St^{a} Maria 3^{45} p, Bourg-St^{t} Pierre 4 p (Hérémence Donner), Sils-Maria 5 p, Genf 5^{30} p (Clarens Donner im SW), Plantahof abends, Olivone 8^{15} p (Platta Blitz und Donner), Guttannen 6^{30} p, „vor dem ⚿ schon Donner aus grosser Ferne hörbar", Le Solliat 7^{20} p (Nyon Donner), Veytaux 9^{45} p, „Donner 9^{30}–10^{50} p, Regen 9^{40}–11^{10} p, Richtung SW nach NE, 1–2 elektr. Entladungen alle 20 Minuten" (Sierre Blitze), Montcherand 10^{05} p, „suite à l'orage précédent", vide tabell. Uebersicht, Seite 18, litt. i, Walenstadt n (^{24}/$_{25}$.). **25.** Am Suchet 3^{20}–4^{10} p (Montcherand und Baulmes Blitz und Donner, Les Rouges Donner), am Etzel 3^{30}–4 p (Wädenswil, Lachen und Wernetshausen Blitz und Donner, Obstalden Donner, Cham Blitze), am Pischahorn 4^{30}–5 p (Davos-Platz Blitz und Donner 4 km im NE von S nach N), am Pfannenstiel 5^{17}–5^{45} p (Wädenswil 1 mal Donner in ca. 15 km nördlicher Distanz). **26.** Genf 8–10 p (Nyon Donner, Clarens und Lausanne Blitze), Jaun 10 p (Freiburg Blitze). **27.** Am Zugersee 3–4 p (Cham Blitz u. Donner im S, Iberg Donner im N), Appenzell 5–6 p (Säntis, St. Gallen, Heiden, Altstätten, Sargans Donner), Davos-Platz 7^{15} p (Seewis Blitz und Donner), im Klöntal 8 p (Glarus Blitz und Donner im W, Luzern Donner, fern). **28.** Thundorf und Affeltrangen 6^{30}–7 p (Hochfelden und Weinfelden Blitz und Donner). **29.** Baden 3^{30} a, Nollen 11 a (Appenzell Donner), Frutigen zwischen 3^{10} und 4 p (Freiburg Donner), Vals und Vrin zwischen 5 u. 7 p (Platta 5^{35} p Donner, Braggio Blitze im N), Guttannen 6^{20}–6^{50} p, W nach E (Engelberg Blitz und Donner über Trübsee), Mosogno p. **30.** Matt 4–4^{30} p (Elm Blitz und Donner nahe im N), Binningen 4^{15} p (Liestal und Lampenberg Donner), am Piz Muraigl 4–5 p (Bevers und Pontresina Blitz u. Donner), Frutigen 6 p, Walenstadt 10 p, Locarno 11^{30} p (Crana Donner), Morges 11^{45} p (Clarens und Lausanne Blitz u. Donner). **31.** Dailly 6 a, Kulm 10 a (Hallau sehr schwacher Donner), Coppet 2 p, ▲ (Les Rouges Blitz und Donner 1–3 p), Cernier 2^{30} p, 2^{35}–2^{40} p ▲ (Fontainemelon ▲), Bellelay 5^{30} p, „aus E", Brissago 6 p (Bellinzona Blitz u. Donner, Crana Donner), Guttannen 6 p (Gadmen ⚿-Regen), Genf 6^{30} p, Beatenberg 7^{30} p, Altdorf 8^{42} p, Küsnacht 10^{15} p.

August 1. La Cure 6 p (St^{t} Sulpice Blitz und Donner). **2.** Yverdon, kurz nach Mitternacht, La Chaux-de-Fonds 3^{45}–4 a, ▲^{0}, Möhlin 6^{55} a, Baulmes 3^{45} p, am Sanetschpass 6^{30} p, „Wolkenbruch mit ▲" (Gsteig Blitz u. Donner mit ⚿-Regen, Adelboden Donner). **3.** Eptingen 7^{15}–7^{50} p (Aarau Blitz und Donner, 5 km westlich, Lampenberg Donner), Guttannen 8^{05}–9^{15} p, „SW nach E", Altdorf 11 p (Iberg Blitz und Donner, Engelberg Donner). **4.** Degersheim und Herisau 3 a, Sarnen morgens früh, Heiden 1^{35}–2^{45} p (Altstätten Blitz und Donner), Ebnat p. **6.** Dailly 5 a und 3 p, Yverdon 2 p, Château-d'Oex 3 p, an der Rhonemündung 3^{30}–4^{15} p (Clarens Blitz und Donner 5 km im S von W nach E), Lungern 3^{20} p, „aus SW", Gsteig 3^{45} und 4^{30} p, Yverdon 4 und 5 p, Tagessumme 30.2 mm (St^{t} Sulpice Donner), Palézieux p, Airolo 7 p, Gsteig und Lauenen 8^{30} p (Clarens und Adelboden Blitz und Donner), Sevelen 8^{50}–9^{10} p (Schwäbrig Blitz u. Donner, Altstätten, Heiden und St. Gallen Donner, Haag ⚿-Regen), Thundorf 9 p (schwach), Fribourg 10 p (La Roche Blitz u. Donner), Cevio n ^{6}/$_{7}$. **7.** Lugano 1 bis 1^{30} a, Cavaglia 2–2^{30} p, Avers-Cresta 3^{30}–4 p (Bevers 3 mal Donner), an der Rhonemündung (Clarens 5^{32}–5^{50} p Blitz und Donner 6–10 km im SE), Braggio und Grono 7–8 p (Biasca Blitz u. Donner). **8.** Château-d'Oex ca. 1^{30} p, Airolo 4^{40}–5^{30} p ⚿-Regen, „ca. 5 Minuten lang Riesel wie Heidelbeeren". **9.** Splügen 7 p. **11.** Locarno 7^{20} p (Crana und Brissago Donner), St^{a} Maria 7^{30}–9 p. **12.** Genf 7^{15} p, Lugano 8^{20}–9^{10} p (Crana Blitz und Donner). **13.** Les Rouges 2–3^{30} p (Genf Blitz und Donner), Eigergletscher 4 p, Cevio 5 p (Sonogno Blitz und Donner), Adelboden, Frutigen, Göschener Alp und Biasca abends, Guttannen 6 p. **14.** Elm 2^{30}–3 p, Vrin 5^{10} p (Platta Donner), Göschener Alp abends. **15.** Arosa 6 p (Chur Blitz und Donner), Göschener Alp p, schwach. **20.** Waldenburg, morgens früh (Lampenberg Blitz und Donner, Pfeffingen Donner), Genf 5^{30}–6 a, Clarens und Veytaux 7^{05}–7^{50} a, Richtung St^{t} Gingolph–Rochers de Naye, über Clarens 7^{40} a zwei sehr starke Entladungen, Lungern 7^{50} a, „aus SE", Eigergletscher 9 a (Lauterbrunnen Donnerrollen), Cavaglia 10–11 a, Bevers 10^{20}–11^{45} a, Grono 11 a, ⚿-Regen 10^{57} a–12^{h} = 23.7 mm (Locarno Blitz u. Donner, Crana Donner), St^{a} Maria 12^{15} p u. 8^{30} p (S nach N), am Etzel I. ca. 5 p (Zürich und Uster im S, Wädenswil u. Wernetshausen im SW Donner), Lugano 4–5 p (Crana Donner), Sonogno 5 p (75.9 mm), Bellinzona 5–8 p, Lungern 5^{20} p, „aus SW", am Etzel, II., 5^{57}–6^{10} p (Wernetshausen, Wädenswil und Cham Blitz u. Donner), Walenstadt 6 p (Sargans Blitz u. Donner, Schwäbrig und Säntis Blitze), Olivone 7^{45} p (Platta Blitz und Donner aus S), Biasca p, Château-d'Oex 8 p, Bernhardin 9^{05}–9^{30} p, Pontresina n (20./21.) (Bevers Blitz und Donner). **21.** Cossonay 2^{30} a, Yverdon und St^{t} Sulpice 4 a, Freiburg 4^{30}–5 a, Clarens und Veytaux 4–5^{15} a, SW nach NE, in Veytaux 4^{45} a starkes Zittern des elektr. Lichtes, dann Auslöschen desselben, Guttannen 5^{45} a „SW nach E", Beatenberg 5–6 a, Siders 6–7^{15} a (Hérémence Donner), Bernhardin 6^{50}–7 a, Vals, Savognin und Pontresina a, Biasca a (Crana Blitz u. Donner), Altdorf 6^{50}–7^{08} a (Isenthal Donner), Genf 9^{45}–10 a [mit starkem Regen] und 1 p, Clarens 10^{23}–11 a, Yverdon 12^{h}, Le Sentier 1^{45} p, „den ganzen Nachmittag ⚿-Regen mit heftigen Donnerschlägen", Cossonay 2 p, Veytaux 2^{05} p (Clarens Donner), Payerne 2^{25} p, Murten 2^{20}–2^{50} p, mit ▲. Cernier 2^{30} p, sehr stark (La Chaux-de-Fonds Blitz und Donner, Neuchâtel Donner im NW), Schleitheim 3^{15} und 4^{30} p, Lyss und Murten 3^{40}–4^{15} p, Wernetshausen 3^{45}–4^{35} p, „1–2 km südwestlich, Temperatur vor dem ⚿ 22.5°, nach demselben 17.0°", Romanshorn 4^{35}–4^{50} p (St. Gallen Blitz und Donner, Teufen Donner), Schaffhausen 5 p, Veytaux 4^{30}–6 p „grêle serrée avec passablement de pluie 5^{30}–5^{34} p, puis après un court répit gros grêlons [1½–2 cm de diamètre] avec peu de pluie, beaucoup de mal à la vigne et aux arbres fruitiers", Sion 5 bis 7 p (Hérémence Donner), Bern 5^{50} p, Göschener Alp abends, Grosshöchstetten 7^{10} p (Eggiwil und Wasen ⚿-Regen), Murten 7^{10} p–n (La Chaux-de-Fonds, „averse de pluie presque continue avec éclairs, côté E et roulement de tonnerre"), Lachen 8 p (Wädenswil Donner), Linthal 8^{30} p (Glarus, Elm, Einsiedeln und Sargans Blitze), La Brévine 9^{30} p, Baulmes 11^{30}–11^{50} p, Clarens, Freiburg und Jaun n (21./22.). **22.** St^{a} Maria 0^{30} a, „Donnerschlag von furchtbarer Heftigkeit", Pontresina 1 a, Dailly 1^{20} a, Sierre 2 a, Bevers a, „⚿-Regen bis 11^{15} a", Bischofszell a, Yverdon 11^{15} a, Thundorf 1^{15} p, Heiden 3^{30}–4 p (Altstätten 3^{50} p Donner), Yverdon 5 p, Murten 5^{30} p, Orsières p, Avers 8^{30} p (Davos-Platz Blitz u. Donner im SW), Genf 9 p. **23.** Yverdon 4 a, Les Rouges 5^{45} a (▲ in Gland), Genf 11^{30} a (▲ in Anières), Schleitheim 11^{30} a–1^{15} p (Schaffhausen Donner), Aarau 12^{30} p, W nach E (Böttstein Donner), Muri 1^{40} p, Murten 1^{40}–2^{20} p, Langnau 2^{15}–2^{45} p, schwach (Bern 2 mal Donner, Wasen und Eggiwil ⚿-Regen), Bevers 5 p, Olivone und Comprovasco n (23./24.). **24.** Lugano 2 a, Locarno 3 a (Sonogno Donner), Möhlin 12^{20}–12^{45} p, „W nach E", Locarno 1–2 p (Sonogno und Crana Donner), Heiligenschwendi 1^{30} p, Heiden 2^{15} p (Altstätten Donner), Langnau 4^{45}–5^{30} p (Walkringen ▲), Steckborn 7^{50}–8 p (Frauenfeld Donner). **25.** Veytaux 1^{40}–2^{20} p, „SW nach NE", La Chaux-de-Fonds 6^{30}

bis 7^{50} p St. Sulpice und Dombresson Blitz u. Donner), Therwil 7^{20}–7^{50} p (Liestal Blitz u. Donner, Pfeffingen und Buus Donner, Les Brenets 10 p (Neuchâtel Blitze), Neuchâtel 11 p, Châble n (^{25}–^{26}). **26.** Herzogenbuchsee 4^{30} a, Pilatus 5 a, Muri 5^{00} a, Bernhardin 5^{00} a, Beatenberg 5 a, Cavaglia 8^{30} a, Sierre 8^{45} a, Locarno 9^{00} a, Andelfingen 4^{15} p (Winterthur heftiger K-Regen), Lungern 6 p, aus SW. **29.** Chaumont 4 p (Neuchâtel Donner), Buchsteg p. **30.** Champéry 4 p, ▲, Châble p, Eigergletscher 4^{30} p, Göschenen 5^{00} p, ein heftiger Donnerschlag (Isenthal Donner), Linthal 5^{30} p, Vrin 5^{45} p. **30. 31.** Lungern 1^{20} a, Langnau 2 a (St. Urban Blitz und Donner), Genf 2^{00} a, Romont, Weggis und Degersheim 3 a.

September 5. Hohenkasten 5 p (Säntis Blitz und Donner, Heiden und Teufen Donner), Wittenbach 5^{00} p (St. Gallen Blitz und Donner, Bischofszell K-Regen), Schwäbrig 6^{30} p (Altstätten Donner), Ebnat 8^{30}–9 p (Zürich Blitze im SE). **8.** Morges p, Engelberg 3^{00} p (Rigi-Scheidegg Blitz und Donner), Les Brenets 6 p, Aarau 7^{15}–7^{50} p (Zürich Blitze), Göschenen 9^{00} p (Andermatt K-Regen), Châble und Vissoye n (Sierre Blitz und Donner, Hérémence Donner). **9.** Yverdon 2 a, Cavaglia 2^{30} a, Lungenstutz im Maderanertal 4 a, Escholzmatt 5 a, Aadorf 2 p, Schwäbrig 5^{15}–5^{30} p (Altstätten Donner), Martinsbruck p. **10.** Boltigen und Heiligenschwendi zwischen 2 und 3 a (Bern Donner), Zurzach 3–4 a (Hallau Donner). **11.** La Chaux-de-Fonds 0^{h}–1 a (La Brévine Blitz u. Donner). **14.** Therwil 7 p (Basel Blitz u. Donner), Uster 8 p (Wädenswil u. Zürich Blitz u. Donner), Boltigen, abends, Avers–Cresta und Vals zwischen 8 u. 9 p, Generoso 9 p (Crana Donner, Rivera Blitze), St Imier 10 p (Weissenstein K-Regen). **15.** Südlich vom Bachtel 12^{10} p (Wernetshausen Blitz u. Donner, 1 mal, 4 km im S), am Etzel 12^{55}–1 p (Wädenswil 2 mal Blitz und Donner 5 km im S nach E, Uster Donner), am Tannenberg 12^{28}–1 p (St. Gallen Blitz und Donner), Appenzell 1 p (Säntis Blitz u. Donner, Altstätten Donner 12^{40}–12^{55} p), Aadorf 1–1^{30} p (Frauenfeld Blitz u. Donner im S), Appenzell 2 p, Aarau 2^{40}–3^{20} p, „W nach E" (Kölliken Blitz u. Donner, Triengen u. Zürich Donner), Herzogenbuchsee 4 p, Weggis 6 p (Luzern Donner).

Oktober 7. Platta 4 a, Regenmessung 7^{30} a = 70.3 $^{m}/_{m}$, Braggio 4 a, Messung 7^{30} a = 57.6 $^{m}/_{m}$. **9.** La Chaux-de-Fonds 2^{30}–3^{15} a, Leukerbad 5^{30}–6 p, Glarus 8 p, schwach, Engelberg 8^{30} p. **25.** Locarno 8^{20} p (57.5 $^{m}/_{m}$).

Dezember 23. Linthal, gegen 6 a, „W nach E".

b) Tage mit einzelnen gleichzeitigen Gewittererscheinungen verschiedener Art, z. T. in der gleichen Gegend:

Februar 24. Blitz u. Donner: Marsens 4 a, Glarus 5 a; Donner: Clarens 4^{50} a, Weinfelden morgens früh; Wetterleuchten: Romanshorn 4 a.

März 24. Blitz und Donner: Zurzach 2^{15}–3 p; Donner: Schleitheim, Hallau, Wil-Rafz.

April 30. Blitz u. Donner: Champ-Fahy 11^{30} a–12^{h}; Donner: Murten 12^{30}–1 p. mit ▲; Hagel: Fontainemelon u. La Brévine.

Mai 9. Blitz und Donner: Schleitheim 4^{10}–5^{30} p; Donner: Wilchingen, Hallau, Schaffhausen. **10.** Blitz u. Donner: Heiden 4 p; Donner: St. Gallen 3^{50} p. **11.** Blitz und Donner: Heiden 11 a, im W; Donner: Teufen 11^{15} a, im E, Altstätten 11^{25} a. **17.** Blitz und Donner: Iberg 4 p; Blitze: Einsiedeln 4 p (Menzingen ▲).

Juni 9. Blitz und Donner: Walchwil 8 p, im W; Donner: Weggis 8^{30} p, im W. **14.** Blitz und Donner: Freiburg 10^{21}–10^{40} a und 11^{20}–11^{35} a, im E; Donner: Marsens 10 und 11^{h} a.

Juli 13. Blitz und Donner: Säntis, von 7^{50} p bis n, 38 mal im SSE nach E; Donner: Altstätten. **14.** Blitz und Donner: Säntis 10^{50} a, im NW, Buus 8^{58}–9^{10} p, im E; Donner: Appenzell 10 a, Ebnat und Hallau 8^{28} p, im NW; Wetterleuchten: Schaffhausen, Lohn (K in Höchenschwand 8^{30}–9^{30} p). **15.** Blitz und Donner: Schleitheim 2^{15} p, im N u. E; Donner: Hallau 3 p, im NE. **19.** Blitz und Donner: Crana und Bellinzona 9^{30} p; Blitze: Lugano 9^{30} p, im SSW, Rivera, Braggio. **24./25.** Blitz und Donner: Wilchingen n, im W und N; Blitze: Basel, Buus seit 9 p im W, Gelterkinden und Aarau, im NW, Baden 11 p. **30.** Blitz und Donner: Les Rouges 2–3 p, Locarno 2^{30} p, Hochfelden 3–3^{30} p; Donner: Yverdon, St Sulpice, Crana 2^{30} p, Zürich 3–3^{30} p, im W nach N, Winterthur ca. 3 p, im NW und W, Muri 5 p; Blitze: Chaumont, im S und W.

August 14. Blitz und Donner: Plantahof 6–7 p, Chur; Donner: Sargans 7 p. **20.** Blitz und Donner: Locarno mittags, im SW, Lohn 5 p; Donner: Borgnone, Rivera, Wil-Rafz 4 p, Schleitheim 4^{15} p (Höchenschwand K 3^{50}–5 p). **21.** Blitz und Donner: Möhlin 3–4 a; Donner: Hallau (Höchenschwand K 3^{10}–3^{55} a). **30.** Blitz und Donner: Davos-Stille 7^{30} p, Sta Maria 8^{30}–9 p; Donner: Bevers nach 7 p, 4 mal, fern.

September 14. Blitz und Donner: Lausanne nach 0^{h}; Donner: Clarens 0^{30} a, einigemal.

c) Blitz und Donner ohne gleichzeitige weitere Gewittererscheinungen in der betreffenden Gegend:

März 31. Wil-Rafz 9^{15}–10^{15} p (Höchenschwand K).

Mai 13. Cossonay 6 p. **16.** Clarens, ca. 9 p, im W und SW, ein sehr starker Donner im W 9^{07} p. **17.** Säntis 7^{10} p, im E. **26.** Marsens 3–4 p, im W, Lungern 3–4 p, im SW, Gsteig 10 p, im N. **30.** Möhlin 12^{35}–1 p, im N, Wernetshausen 12^{15}–1^{10} p, aus N, 3–4 km im E vorbei nach S. **31.** Säntis 10^{25} a, La Chaux-de-Fonds 11^{45} a–12^{h}, Möhlin, 1^{15} p, nahe im N nach NE, Wilchingen abends.

Juni 3. Zürich 9^{36} und 9^{40} p, im SSW, Lohn die ganze n des $^{3}/_{4}$. **5.** Säntis 11^{40} a–12^{55} p, 4 km im SE nach S, Buus 12^{30}–2^{30} p, im N nach E (Höchenschwand K), Wimmis 8 p, im Kandertal. **8.** Braggio 10 p, im NW. **9.** Cavaglia 2–3 p; im S, Clarens 8^{17} p, im S, Sta Maria, abends. **10.** Crana 10 p. **12.** Vals p (Bernhardin 12^{10}–12^{15} p ▲). **19.** La Chaux-de-Fonds 7^{38} a, im NW.

Juli 1. Wil-Rafz, abends. **2.** Bern 2^{45}–3 p, im S, Sion 2^{30}–2^{45} p. **13.** Altdorf 10^{30}–11^{15} p. **14.** Sarnen 7^{30}–8 p, im SE, Augst und Neuewelt abends. **23.** Nyon 2–4 p, „sur Jura", Bevers 8–9 p, ringsum. **24.** Säntis 6^{45} a. **25.** Gelterkinden, zwischen 3 und 3^{20} p, im NW nach NE. **28.** Flawil n (^{28}/$_{29}$.). **29./30.** Les Rouges. **31.** Nyon 1 a, „sur Jura", Clarens ca. 2^{30} a, Marsens 9^{30} p, Platta n Juli 31. u. Aug., „in der Ferne".

August 4. Haidenhaus 0^{30} a. **13.** Genf 3^{30} p. **14.** Crana 10 p. **20.** Lausanne, von 7^{10} a an, im S, Heiden 9^{30} p, im S. **22.** St Imier 11 p („K sur Morteau et Doubs"). **24.** Linthal zwischen 9 und 10 p. **25.** Varen 6^{30} a, La Chaux-de-Fonds 9^{45}–10^{15} a.

September 8. Cossonay 10^{30} p, „vers la Sarraz". **9.** Sonogno, nach 0^{h}, Sta Maria p, „im E von S nach N". **16.** Locarno p. 20. Clarens 5^{40} p, „3 mal am Grammont".

Dezember 21. Marsens 4–6 a, im S.

d) Donner ohne gleichzeitige weitere Gewittererscheinungen in der betreffenden Gegend:

Februar 17. Hitzkirch 3^{15} a, 2 mal. **23.** Buus ca. 5 p und ca. 11^{30} p. **26.** Weggis 3 p, Mormont p.

März 22. Wädenswil 6^{20} p, 1 mal, im SE, 5 km. **23.** Les Ponts 1^{45} p, 2 mal, Dombresson p, Mettmenstetten 4 p, Wil-Rafz 3^{30}–4 p, im NW, ca. 20 mal, stark, Hallau, Wilchingen und Lohn zwischen 3^{30} u. 4 p, Schleitheim 6 p, im NW. **24.** Champ-Fahy 11 a u. 12^{h}, stark.

ebenso 1 p, 2 p und 4 p, Biel 12^h, im N, La Chaux-de-Fonds 11^{30} a und 1^{45} p, St. Urban n (24./25.). **25.** Cham 1 p, 1 mal. **30.** Lampenberg 4 p, im N, Yverdon 4 p, Clarens 4^{20} p, im SW, Marsens 4^{30} p, im S, Lausanne 4^{20} p und 5^{45} p, im S, Crana 4^{30} p, im S, Nyon 6 und 6^{30} p, im E. **31.** La Brévine abends.

April 1. Liestal 1 p, Freiburg 3 p. **2.** Säntis 11^{50} a, im W, Schleitheim, Wilchingen und Wil-Rafz 12^{30}–1 p, im N. **3.** Crana 4 p, einigemal. **24.** Crana 4^{30} p, 1 mal. **25.** Sonogno 3 p. **26.** Castasegna 11^{12} a und 2^{48} p. **28.** Murten 10^{40} a, mit ▲, Wil-Rafz 12^{40} p, 3 mal stark. **30.** Schleitheim, Lohn △ und Diessenhofen zwischen 2^{45} und 4 p.

Mai 1. Clarens 2^{45} und 2^{50} p. **4.** Bellinzona und Borgnone 8 p und n. **7.** Wimmis 12^h, im W, Davos 2 p, Mormont p. **9.** Locarno 1^{30} p, im NE, Freiburg 1^{40}–1^{50} p, La Chaux-de-Fonds 4^{10} p, im NW, Winterthur 5–6 p, mehrmals, im SE. **10.** Langenbruck 12–1 p, im SW, Seewis 1 p, im NE, Altstätten 3 p, im W, Cham 6^{45} p. **11.** Schaffhausen und Hallau zwischen 12^h u. 12^{15} p, im NW u. N. **12.** St Sulpice p, Uster 3^{41} p. **13.** Crana 3 p, 1 mal. **15.** Freiburg und La Roche 3–4 p, Möhlin 4^{46} p. **16.** Altstätten 10^{50}–10^{55} a, Freiburg, Marsens und Yverdon zwischen 4 u. 5 p, Wil-Rafz, abends. **20.** Buus 1^{45} p, im N, Buus u. Liestal 5 p, im NW. **23.** Avers-Cresta, nach 4 p. **26.** Cham 4 a, 6 mal, Elm 2^{40} p, Sierre 4^{30} p, im NE, Gsteig 5 p, im S. **27.** Balsthal 2^{30} a, St. Gallen u. Teufen 4^{25}–4^{30} a, Baulmes 4^{35} p, Isenthal 8^{30} p, mit Regen und △. **29.** Nyon 2 p, Clarens 2^{30} p, im NE und 4^{03} p, im SW, Lausanne, seit 5 p, im NW, Zürich 8–8^{15} p. **30.** Hallau und Schleitheim 2^{30}–3 p, im N, Lausanne 3 p, im NW und N, Luthern 5 p. **31.** La Chaux-de-Fonds 12^{30}–3 p, Neuchâtel 2–2^{30} p, im N, Luzern 2^{25} p, Basel, Buus und Wittnau 3^{20}–4^{40} p, St Imier 7^{30} p.

Juni 2. Crana 7^{30} a, Basel 4^{45}–5 p, Mormont p, Lausanne von 6 p an, im S und SW, Wil-Rafz, Schleitheim und Lohn 6–6^{30} p, im N und NW. **3.** Schleitheim 12^{10} p, im W, Altstätten 6 p, im SE, Buus 9^{59}–10^{02} p, im N. **4.** Schleitheim und Schaffhausen 12^h, im NW (Höchenschwand ⛈ 11^{25} a–12^h), Altstätten 3^{50} p, im S. **5.** Schleitheim 11 a, Hallau, Schleitheim und Lohn 1^{15}–1^{30} p, im N u. W (Höchenschwand 11^{15} a–2 p ⛈), Clarens 8^{50} p, im SW, Chur 10 p. **8.** Schleitheim 2 p, im SW. **14.** Clarens 11^{06} a, aus W, Basel und Buus 5^{02} p. **17.** Schleitheim und Lohn 5 p, Altstätten 11 p. **18.** Lausanne und Clarens 7^{45}–8 p, 4–5 km südlich, Clarens 9 p, im N, Wil-Rafz u. Schaffhausen ca. 10^{45} p, im NW und W. **19.** Buus 11^{20}–11^{40} a, im W, und 4^{24} p, Liestal, Buus und Neuewelt 8^{43}–9^{18} p, im N. **20.** Altstätten 4 p, im N, Guttannen 2^{50}–9^{15} p, zeitweise, fern im NW. **21.** Nyon p, „sur Jura". **23.** Freiburg 5^{15} p, ca. 6 starke Böen, ohne Regen. **25.** Vättis seit 12^h, Platta 3^{40} p, Lauterbrunnen, abends, mehrmals. **26.** Crana 5 p. **30.** Wilchingen p, im W.

Juli 2. Lausanne 9^{50} a, im N und NW, Borgnone a, Zürich 2^{30} p. **3.** Bevers 5 p, 2 mal, fern. **10.** Crana 1^{30} p. **13.** Isenthal, Liestal und Lampenberg 2 p, Biel 2^{30} p, Therwil und Pfeffingen 2–3 p, Sargans, seit 3 p, Clarens 4^{31}–4^{56} p („über dem See") und 6^{40}–7^{50} p („in der Rhoneebene"), St Imier, abends. **14.** Buus, Möhlin und Basel 10^{54} a–12^{40} p, im N, St. Gallen 4^{05} p, fern, aus S. **15.** Möhlin, Buus und Hallau 9^{30}–11^{40} a, im NE und NW (⛈ in Höchenschwand). **16.** Lauterbrunnen 3^{45} p, mehrmals, Altdorf 5^{36}–6 p, Seewis p, zeitweise, Säntis 7^{28} p, im SE. **19.** La Roche, abends. **20.** Isenthal 1^{30} p. **21.** Luzern 3^{30} p, fern. **23.** Platta 3^{17} p, Engelberg p, 2 mal, Isenthal 10 p. **23./24.** Schaffhausen 11 p–2 a, im NW und W. **24.** Zürich 1^{15} a, im W, Buus 2 a, Clarens 2^{30} p, im S, 5^{25} p, im SW und 6^{15}–6^{25} p, nahe, Obstalden 3 p, im NE, Säntis 4^{50}–6^{55} p, fern, im W, Platta 11^{30} p, im W, Weinfelden n (24./25.), im E. **25.** Wädenswil 3^{20} p, im W, Basel 5^{15} p, aus SW, Mormont 6 p, Weinfelden p, im N, Hérémence, abends. **26.** Pfeffingen n (26./27.). **27.** Frauenfeld 8 p, im S. **30.** La Chaux-de-Fonds 12^{30} p, im NW, Appenzell und Säntis zwischen 1 und 2^{15} p, Uster 2^{30} p, im W. **31.** Bevers 11^{50} a, 2 mal, fern, Säntis 3 p, 5 mal, im S, Lungern und Isenthal zwischen 5 und 5^{30} p (etwas Regen), Neuchâtel 6 p, fern im S, Säntis 6^{22} p, fern im E.

August 2. Brissago 2^{20} p, Weinfelden, abends, im SE, Hérémence, abends. **3.** Schaffhausen 4^{10}–4^{15} p, im N und NW (Höchenschwand ⛈), Langenbruck 4 p, im SW. **4.** Wädenswil 4–4^{30} a, fern im SW, Weinfelden 12^h, im E, St. Gallen 12^{51} und 12^{52} p, im NW, Altstätten 2^{30}–2^{40} p, im S, Weggis 6^{30}–7 p, aus N (⛈-Regen), Isenthal 9 u. 11^{45} p, mit Regen. **6.** Crana 7^{20} p. **7.** Isenthal 3 p. **14.** Möhlin und Buus 5^{13}–5^{40} p (Höchenschwand ⛈), Crana 6 p. **15.** Bevers 7^{10} p, im W, 1 mal. **20.** Marsens, morgens, im W, Hérémence a, Altdorf 7 a, Engelberg 9^{25} a, Neuchâtel, seit 12^{30} p, im NW. **21.** Montcherand zwischen 3 und 3^{20} p, Clarens 1^{30}–2 p und 3^{30}–3^{45} p, im S, Sonogno p (22.5 mm). **22.** Platta, morgens früh, Davos-Platz a, Heiden 7^{10} a, im S, Sonogno p. **23.** Sonogno a, Crana 7^{30} p. **24.** Hitzkirch p, Pfeffingen und Arisdorf 5 p. **25.** Schleitheim 11^{50} a und 1^{40} p je einmal, im NW. **26.** Crana 8^{30} a, Sonogno a. **30.** Schaffhausen und Hallau 4–4^{30} a, im NW (Höchenschwand ⛈), Schaffhausen n, im N. **31.** Isenthal 1^{15} a, Braggio 8 p.

September 5. Säntis 4^{06} p. **8.** Montcherand 3^{20}–4 p (4 km im N). **15.** Cham 6 p (⛈-Regen), Wädenswil, zwischen 7 und 8 p, 1 mal. **16.** Lausanne 3^{15} p, im S. **20.** Hallau 8^{20} p, Appenzell p. **30.** Lugano 1 p.

Oktober 2. Clarens 3^{37} p, im S, hier einige Minuten lang Graupeln. **27.** Morges p, einigemal.

November 22. La Brévine 4 p, einigemal. **23.** Platta 10^{32} a (52.1 mm), Crana 11 p, einigemal (63.4 mm).

e) Blitze ohne gleichzeitige weitere Gewittererscheinungen in der betreffenden Gegend:

Januar 1. Wil-Rafz, ca. 3 a, mehrmals, bei W2.

Februar 19. Wasen, abends, mehrmals, (Schneefall).

März 3. Braggio 9^{30} p, im W. **24.** Braggio 9^{05}–9^{20} p, im SW.

April 19. Locarno, von 6 p an, im S. **25.** Sonogno, abends. **30.** Clarens 10^{30} p, im E und SE.

Mai 4. Braggio 8^{30} p, im SW. **6.** Locarno 9^{30} p, im SE. **16.** Lohn 9^{30} p, im N. **17.** Säntis 8^{27} p. **18.** St Sulpice, abends, mehrmals. **23.** Sonogno n (23./24.), im S. **26.** Neuchâtel und La Brévine zwischen 8 und 9 p, Cossonay, Clarens (im E) und Marsens 9^{15}–9^{20} p. **27.** Freiburg 2^{50}–3 p, Gsteig 4^{30} p, im S, Clarens von 8^{30} p an, im N und NW, La Chaux-de-Fonds, La Brévine, Cernier und Neuchâtel von 8^{30}–11 p im W und SW, Marsens 9^{30} p, im N und S, Genf und Buus seit 10 p. **28.** Zürich, abends, fern, im W, Champ-Fahy ca. 9 p. **30.** Cossonay und Yverdon 3^{30} p, Champ-Fahy ca. 9 p, am Horizont. **31.** Lugano, spät abends, im SW.

Juni 2. Basel 9^{15} p, im S. **3.** Zürich 9^{25} p, im SE, Basel ca. 9^{30} p, im NE. **5.** Clarens n (5./6.). **9.** Gelterkinden 11 p (Störung der elektr. Beleuchtung). **17.** La Brévine, abends, im NW. **26.** Pontresina 9^{30} p. **30.** Cham 8 p, im N.

Juli 1. Mettmenstetten, abends, im N und NW. **14.** La Brévine, abends, im NE. **19.** Braggio 2 p. **23.** Buus 9 p, im S, Cham 10 p, im SW, Bern 11^{30} p, im SE. **24.** Zürich 8^{35} p, über den Mythen. **26.** La Brévine, abends, im SW, Zürich (im SE), Säntis, Sargans (im E) und Altstätten (im S) 9–10 p. **27.** Buus 10^{30} p, im N, Lohn, im E, n 27./28. **28.** Buus und Aarau 9^{30}–10 p, Altstätten 9^{30} p, im SE und E, Wernetshausen (im W und NW) und Guttannen n (28./29). **29.** La Chaux-de-Fonds, seit 9^{30} p, im SW, Säntis 9^{30} p, im SE, Cham n (29./30.). **30.** Genf 9 p, im S und SW, Bern ca. 9^{30} p, ringsum, Guttannen und Freiburg (im S und E) n (30./31.). **31.** Zürich, abends, im W, NW und N, Freiburg 8 p, im W und SW, Lohn 9^{30} p, im W, Genf 10 p.

August 1. Buus 10^{45} p, im W, Lohn (im SW) und Basel n (1./2.). **2.** Buus (im NE) und Aarau (im SE) 9–9^{30} p. **3.** Neuchâtel und Chaumont von 8^{15} p an, im S und SE, Gelterkinden und Buus seit 9 p, im SE und E, Clarens 10 p, im SE. **4.** Buus 9 p, im E. **6.** Genf 10 p. **7.** Platta n (7./8.). **12.** Säntis 8^{20}–8^{50} p, im SSE, Clarens 10 p, fern im SW. **13.** Neuchâtel und Chaumont 8^{30} p im SW und S,

Säntis 8^{15}–8^{30} p, im S, Bern 9^{30} p, im S. **14.** Säntis 9^{30} p, oft, im SW, Solothurn 9^{20} p, im S, Freiburg n (14./15.), im S. **16.** Sonogno n (16./17.), im S. **20.** Bern n (20./21.) ringsum. **21.** Zürich, im N 1 a und im S 3–4 a, Rivera, den ganzen Nachmittag. Lungern 9–10 p im SE („mächtige Feuergarben, welche die Grenzen des Horizonts hell beleuchteten, am stärksten bis 9^{30} p, die ganze Zeit über nicht der leiseste Donner hörbar"). Solothurn 9^{30} p, im S, Romont, Bern (ringsum), Aarau (im N) und Lohn n (21./22). **22.** Solothurn 9^{50} p, im SE. **23.** Locarno n (23./24.), im SE, Solothurn ca. 9^{30} p, im NW. **24.** Buus seit 8^{30} p, Lohn (im SE), Sargans, Locarno (im N u. S) und Generoso n (24./25.). **25.** Gelterkinden, anfangs der Nacht, im NW und E, Basel, Buus und Solothurn (im N, W und SW) ca. 9^{30} p. Freiburg 10 p, im S, Luzern (im SW), Davos-Stille (im W), Braggio (im N), Locarno (im W) und Sonogno n. **26.** Glarus 6^{40}–7 a. **29.** Lohn n, im NE. **30.** Solothurn und Aarau 9^{30} p, im N, Lohn (im SW), Locarno (im NE) und Platta n. **31.** S^{ta} Maria, bald nach Mitternacht, Sargans 6 bis 6^{20} p, Locarno n, im SE.

September 8. Bern 7 p, im E, Freiburg 8 p (im N und E), Platta 5^{20} p, Buus und Waldenburg 8–8^{30} p (im W). **13.** Lausanne (im W und N) und La Brévine (im N und NW) abends, Bern (im NW und N) und Aarau (im SW) ca. 9^{30} p. **16.** Braggio 9^{30} p, im S. **21.** Lampenberg p, im S. **30.** La Brévine 9^{30} p.

Oktober 9. Sargans 7 p. **22.** Lugano 9^{30} p, im WNW.

November 13. Aarau n, im SW. **16.** Degersheim 9 p, Lohn 10 p, im S, mehrmals, Gersau n, einmal stark, während des Erdbebens 10^{26} p. **17.** Glarus 9 p, stark, im SE. **19.** La Brévine abends, im S. **23.** La Brévine abends, im S, Lohn 9^{30} p, im SE, Lugano n, im SW.

Dezember 21. Heiden 6^{25} p, mehrmals, Raperswilen zwischen 6 u. 6^{30} p, 2 mal, Cossonay 7^{30} p, Degersheim zw. 8^{30} u. 9 p, 3 mal.

f) Wetterleuchten ohne gleichzeitige weitere Gewittererscheinungen in der betreffenden Gegend:

Februar 19. Liestal 6^{35} p (Höchenschwand K$_1$).

März 31. Wil-Rafz 11 p.

Mai 4. Bellinzona. **12.** Schaffhausen, im E, St. Gallen, im W und E. **15.** Lohn, im S, Schaffhausen 8–9 p, im S, Schleitheim 10^{15} p, im S, Cham 10^{30} p–0^{h}, Uster. **16.** Lauterbrunnen 9^{30} p, im S. **28.** Uster, im SW. **29.** Schleitheim 10^{15} p, Uster, Heiden. **30** Schaffhausen 8^{30} p, im E, S und W, St. Gallen, im NE, Seewis, Davos-Schatzalp und Schleitheim.

Juni 1. Schaffhausen, Lohn. **2.** Bellelay 8^{30} p, gegen S und N. **5.** Kienthal. **7.** Uster 2–3 a. **11.** Davos, im W. **22.** Vitznau, im W, Uster, im S.

Juli 1. Schleitheim 11 p, im SW, Schaffhausen, Lohn. **3.** Bevers 11 p. **9.** Uster. **13.** Lyss, im S, St. Gallen 9^{30} p, Hallau 11 p, im NW. **18.** Lohn, Schaffhausen 10 p, im SE. **19.** Lohn, Schaffhausen, im E, Schatzalp. **20.** Lohn. **23.** Lauterbrunnen, nach 9 p, Schaffhausen (im W u. SW) und Hallau (im SW), 9–10^{30} p, Beatenberg 10 p, Zürich 10–11 p, im SSW u. WSW, Liestal, Luzern, im S, S^{ta} Maria. **24.** Altdorf 8^{45} p, Schleitheim (im W) und Schaffhausen 9^{15} p, Rheinfelden, Liestal, Langnau (im W u. SW), St. Gallen, im S. **25.** Hallau, im NW, Schaffhausen 10 p, im E, Schatzalp, Uster. **26.** Schaffhausen, im E, Lohn und Hallau, im SE, Haidenhaus, im S u. W, St. Gallen vormitternachts, im SE, Seewis, ringsum. **27.** St. Gallen 9 p, im S, Schaffhausen 10–11 p, im NW. **28.** Schatzalp, Seewis, St. Gallen, im S, Schaffhausen 10 p, im S und E, Lohn, Gotthard. **29.** Mettmenstetten, im S, Schaffhausen (ringsum), Lohn, Arosa. **30.** Bellinzona 8 p, St. Gallen vormitternachts, gegen SW, Zürich, gegen Mitternacht, im SW, Langnau, im E, Beatenberg, im SE. **31.** Schaffhausen 7–8 p, im SW und W, Sarnen 9^{30} p, St. Gallen, im W, Bern, im N, Langnau, gegen E, Rivera, im S, stark.

August 2. Schleitheim 9 p, im W nach S, Schaffhausen 9–10 p, im S u. SE, Hallau, Lohn u. Haidenhaus, im S, Uster, St. Gallen, im SW, stark, Wildhaus, Seewis, im E, Schatzalp, Langnau und Beatenberg gegen 0^{h}. **3.** Liestal, Hallau, im S. **3./4.** Haidenhaus 0^{30} a. **4.** Schaffhausen, im E. **6.** St. Gallen, nach 9^{07} p, im E, Lauterbrunnen 10 p, im S. **7.** Langnau, im E, stark. **11.** Beatenberg, im S, Hallau, im S. **12.** Hallau und Lohn, im S. **13.** Zürich 8^{30}–9 p, im S, Schaffhausen, im SE, Schatzalp. **14.** Lauterbrunnen 10 p, Beatenberg, stark, im S, Schatzalp, Bellinzona. **15.** Schaffhausen, im SW. **16.** Cham. **19.** Schaffhausen, im SW. **20.** Hallau 7^{30} p–1^{40} a (21.), im S, Schaffhausen und Lohn 8–10 p, im, S SE und W, Sarnen 8^{30} p, St. Gallen 8^{30} p, im SW, „dann langsam ostwärts und nordostwärts bis in die Nacht", Beatenberg, im SE. **21.** Hallau, im S, St. Urban, Château-d'Oex, im SE, Göschenen, Splügen. **22.** Säntis, von 7^{25} p an, „am Horizont von E nach W", Hallau 8–11^{30} p, im W, Muri, Zollikon (im NW) und Uster 9 p, Ebnat, im W und NW, Wildhaus, St. Gallen, im S, Château-d'Oex, Lungern, Sarnen, Göschenen, Schatzalp, Splügen, stark. **23.** Cham, Hallau, im NE, Splügen. **24.** Hallau und Schaffhausen 8 p, im E, Seewis, Splügen. **25.** Splügen, Schatzalp, Château-d'Oex, Cossonay. **30.** Sarnen 8^{30} p, Lauterbrunnen, seit 9 p, Hallau, Schaffhausen, Wildhaus, Vättis, im ENE, Splügen. **31.** Uster, Hallau, bis 1^{30} a des 1. September.

September 8. Sarnen 8 p, Engelberg, Vitznau, im SW, Uster, Seewis. **9.** St. Gallen 9^{30} p, fern. **13.** Buus und Liestal 9^{30} p. **21.** Bellelay 8–9 p, im W.

Oktober 9. Saanen, Altdorf, Obstalden.

November 17. Göschenen 8^{50} p, im W, Seewis, im SE.

Verzeichnis der bekannt gewordenen Blitzschläge.

In Gebäude.

a) Mit Zündung:

Juni 3. Litt. f.*) In Wil-Rafz, abends, ein Haus eingeäschert. **9.** Litt. c. In Flumenthal b./Solothurn ein Bauernhaus eingeäschert. Lokale K$_1$. In Bisisthal um 6 p in einen Stall, Heu entzündet, Brand gelöscht. **18.** Litt. a. In Bremgarten eine Baracke für den Bau der Mutschellenbahn eingeäschert, eine Akkumulatorenanlage demoliert. Litt. c. Rorschach. Um 4 p in die Textildruckerei Blumenegg: die Rouleaux-Druckerei eingeäschert, die übrigen Gebäude durch die Feuerwehr gerettet. **19.** Litt. g. Veltheim. 3^{40} p in das alte Schulhaus, Brand durch die Feuerwehr gelöscht.

Juli 13. Litt. a. Courtedoux b./Porrentruy. Ein Haus nahe bei der Kirche eingeäschert. Blitzstrahl durch das Kamin in die Küche (vide Rubrik „Personen a"); fast die ganze Fahrhabe ein Raub der Flammen, nur das Vieh gerettet. Litt. f. Rohrbach n. Ein Wohnhaus mit Stall eingeäschert; nur die „Lebware" konnte gerettet werden. Menznau. Auf der nahen Tweregg ein Doppelwohnhaus samt Scheune eingeäschert. Willisauland. Im Hinterwellberg eine grosse Scheune eingeäschert. Neuegg b. Ruegsau.

*) Die auf das Datum folgenden Bezeichnungen, z. B. „litt. f", „erstes Alinea" etc., verweisen auf die tabellarische Uebersicht der Ausdruck „Lokale K$_1$" bezieht sich auf den entsprechenden Untertitel in den Nachträgen.

Ein Wohnstöcklein eingeäschert (vide „Personen b“). **24.** Litt. d. Reussbühl. Ein Haus samt Scheune in Asche gelegt. Mobiliar und Fahrhabe nur teilweise gerettet. Litt. i. In Ballens, am Fusse des Mont Tendre ein grosses Bauernhaus mit Mobiliar und Fahrhabe eingeäschert. Le Brassus. Ein Haus eingeäschert („vide Personen c“).

August 21. Litt. e. Pfeffingen. In die Wohnung des Niederschlagsbeobachters, Feuer sofort gelöscht. **30./31.** In Köniz ein Gebäude, in Zimmerwald ob Belp Haus und Scheune eingeäschert (nur das Vieh gerettet), in Weissenbach b./Schüpfheim um 1^{30} a eine Scheune samt Vorräten in Asche gelegt.

b) Mit teilweiser Demolition:

Mai 16. Litt. a. Hagenfirst b./Leuggern. 1^{15} a in ein Haus. Eintritt des Blitzstrahls beim Dachfirst, einen dicken Balken spaltend, durch den Windenboden in die Schlafkammer, einen Tisch zertrümmernd, durch den Kammerboden in die Wohnstube, eine Lampe zerschmetternd und an einem Ordonnanzgewehr den Kolben vollständig abspaltend, dann in die Wand, ein tiefes Loch schlagend, und durch einen Schrank in die Nebenstube, ein dort schlafendes Kind unberührt lassend, schliesslich durch den Fussboden in den Keller: starker Ozongeruch. **29.** Lokale ⛥. Grosshöchstetten. In dem $^1/_2$ Stunde südöstlich gelegenen Martisegg in Haus und Scheune (vide die Rubriken „Personen“ und „Tiere“).

Juli 14. Lokale ⛥. Auf der Alp Schwefelberg (zwischen Ganterist und Ochsen) gegen 4 p in eine Sennhütte (vide „Personen“ und „Tiere“). Alinea nach litt. c. Affoltern i./E. Zirka 4 p in ein Haus im Dorfe; eine Zimmerwand (Mauer) beschädigt und ein Spiegel zersplittert, stellenweise kleine Balkenstücke weggerissen.

August 14. Litt. a. Lohn. In die neue Ziegelfabrik; ein Balken, einige Lampen und Fenster zertrümmert und den Zementboden aufgerissen. **30./31.** St. Gallen. Nach Mitternacht in ein Haus auf Rotmonten, 500 m von der meteorol. Station entfernt; Kamin beschädigt, Ziegel vom Dache geschleudert.

c) Ohne nennenswerten Materialschaden:

Februar 26. Litt. b. Gais. In den Kirchturm.

März 13. Batzenheid. Bei heftigem Schneesturm in den Kirchturm um 2^{55} p, Turmuhr stark beschädigt. **24.** Alinea vor c. Bettwil. In ein Haus (vide Rubrik „Personen“).

Mai 10. Erstes Alinea. La Brévine. In einen Bauernhof 1 km südsüdöstlich von der Station; Dach leicht beschädigt. **15.** Litt. a. In ein Kirchtürmchen in Kriens.

Juni 9. Alinea nach litt. q. In Mümliswil in ein Haus, in Egerkingen in das Stationsgebäude. **18.** Litt. c. Altstätten. In eine Scheune am Kornberg (vide Rubrik „Tiere“). **19.** Litt. a. Möhlin. In ein Haus im Unterdorf.

Juli 13. Litt. d. Wildhaus. Blitzschlag in zwei ca. 300 m voneinander und ebensoviel von der meteorol. Station entfernte Ställe.

August 21. Viertes Alinea. La Chaux-de-Fonds. Gegen 11^{30} a in das Kamin eines Hauses in der rue du Progrès.

In Blitzableiter.

Februar 26. Litt. b. Gais. In den Ableiter des Kirchturms.

Mai 10. Drittes Alinea. Romanshorn. In den Ableiter des neuen Kirchturms 6^{45} p.

Juni 9. Litt. c. Solothurn. In den Blitzableiter des städtischen Museums.

August 2. Litt. a. Balsthal. In den Ableiter eines Fabrikkamins.

In Bäume.

Februar 26. Litt. a. In der Nähe von Wernetshausen Bäume vom Blitz gespalten.

Mai 16. Litt. a. Hagenfirst b./Leuggern. Ein Blitzstrahl fuhr einem beim getroffenen Hause (Rubrik „Gebäude b“) stehenden Baum entlang in die Erde. **17.** Lokale ⛥. Cham. In einen Baum nördlich von Cham 7^{20} p.

Juni 9. Lokale ⛥. Um 11^{50} a in einen Baum im Walde gegenüber Bevers. Litt. b. Um 4^{45} p in den Wald südlich von Lyss. Litt. c. Zwischen Solothurn und Wangen a./Aare in einen Baum, worunter drei Streckenarbeiter des Elektrizitätswerkes Wangen a./A. Schutz suchten. In Attiswil in einen Baum, worunter zwei Personen Schutz gesucht. **19.** Litt. d. Solliat près Sentier. „A 2^{35} p, un sapin frappé par la foudre, fendu à jour; gros éclats de bois projetés tout autour, une grosse racine arrachée.“

Juli 13. Litt. f. Rohrbach. Mehrere Bäume der Umgegend getroffen und z. T. zersplittert. **16.** Zweites Alinea. Luzern. In einen Baum im alten Kirchhof.

August 20. Lokale ⛥. Caux. 7^{50} a Blitzschlag mit Zündung in eine Tanne.

In Fabrikschornsteine.

Juni 19. Litt. c. Um 2 p in ein 40 m hohes Kamin in Lyss.

August 2. Litt. a. In ein Fabrikkamin in Balsthal.

In sonstige hohe Gegenstände.

Juni 3. Alinea nach litt. f. Nyon. Um 6 p in das Schiff „Général Dufour“. Vom Knauf des Mastes ein Stück abgesprengt und den Kompass zerstört. In der Küche die Servierplatten aus den Fächern herausgeworfen.

In Telephon-, Telegraphen- und andere Schwachstromleitungen.

Februar 26. Litt. a. Telephonleitung Bachtel-Hinwil durch den Blitz unterbrochen.

Juni 3. Alinea nach litt. f. Commugny. „Samedi, 3 juin, entre 5 et 6^h de l'après-midi la foudre est tombée ici sur un poteau téléphonique, en a fondu les fils, a passé par la station publique où elle a brisé les lampes électriques, puis a traversé un mur d'un mètre d'épaisseur pour aller se perdre dans le sol en suivant une conduite d'eau“ (Gazette de Lausanne). **14.** Litt. a. Zürich.

Um 10^{45} a Schlag in eine Telephonleitung. Eine bedienende Telephonistin der Zentrale erhielt eine starke Entladung, deren Folgen andauernde Schreikrämpfe, dann tiefe Ohnmacht, nachher starke Kopfschmerzen und lange dauernde Dienstunfähigkeit waren. **18.** Litt. i. Zürich. Eine bedienende Telephonistin der gleichen Zentrale durch eine Blitzentladung des Gehörs beraubt. **19.** Litt. d. Montcherand. „A 3 p foudre tombée sur fil téléphonique."

Juli 13. Litt f. Rohrbach. Mehrere Telephonstangen zerschmettert.

August 14. Litt. a. Lohn. Um 3 p Blitzschlag in die Telephonleitung. Auf der Sprechstation die Sicherungsröhre herausgeschlagen. **20.** Litt. b. Bellelay. Blitzschlag in die Telephonleitung. **21.** Litt. k. Bellelay. Mehrere Blitzschläge in Telephonleitungen ohne zu schaden.

In elektrische Starkstromleitungen.

Februar 26. Litt. b. Teufen. „Um 4^{30} p in den Transformator oder in die offene elektrische Leitung und durch die Ableitung in das Wohnhaus zum Weiher, Dorf, ohne zu zünden; erhebliche Beschädigung an der Lichtleitung im Hause" (Regenmesstation).

März 13. Batzenheid. Kurz vor 3 p in die elektrische Leitung nahe der Kirche; alle Sicherungen und viele elektr. Lampen zerstört. **24.** Litt. b. Bellelay. In die elektr. Leitung. **30.** Litt. c. Gelterkinden. Störung der elektr. Beleuchtung von 8–8^{30} p.

Juni 18. Litt. c. Altstätten. Um 4^{15} p in die Tramleitung. **19.** Litt b. Hagneck. Zwischen 9 und 10 a in die Leitung Hagneck–Nidau, so dass Nidau am Abend ohne elektr. Beleuchtung war.

Juli 19. Zweites Alinea. Luzern. „Um 7^{20} p in die ca. 100 m von der meteorol. Station entfernte Transformatorenstation; Kabel eine Strecke weit zerstört, elektrisches Licht ausgelöscht." (Meteorol. Station.) **24.** Lokale ⊼. La Brévine. „La foudre est tombée, entre midi et 1^{h} sur 5 poteaux de la ligne électrique à 50 m de la station; les poteaux ont été endommagés, le fluide est entré dans les habitations causant quelques dégâts aux installations électriques." (Meteorol. Station.)

August 14. Litt. a. Lohn meldet: „Um 3 p in die Starkstromleitung; in verschiedenen Häusern die Sicherungen demoliert, den Hausleitungen entlang stellenweise Feuer wahrgenommen, das Wasser in einem Waschzuber zischend in die Höhe gesprungen" (vide die Rubriken „Gebäude, b" und „Personen, c"). **21.** Litt. h. Stein a./Rhein. Um 4 p in den Transformator; Wickelung verbrannt. **30./31.** Mettmenstetten. In die elektr. Lichtleitung, dann, 1^{25} a, ins Transformatorenhäuschen in Weissenbach.

September 8. Litt. c. Davos–Platz. Zwischen 7^{45} und 8 p verschiedenemal in die elektr. Leitung.

In Personen.

a) Mit Tötung:

März 24. Alinea vor c. Laut Notiz der Regenmesstation Hitzkirch, in Bettwil ca. 3 p eine Frau am Feuerherd erschlagen.

Juni 9. Litt. c. Zwischen Solothurn und Wangen a./Aare drei Elektromonteurs unter einem Baume getroffen, wovon einer getötet, während die andern sich bald erholten. In Attiswil von zwei unter einem Baume Schutz suchenden Personen eine erschlagen, die andere nur leichte Schürfungen erleidend. **19.** Litt. f. In der Nähe von Werthenstein, zwischen 2 und 3 p, von zwei vom Felde heimkehrenden Brüdern der eine erschlagen, der andere betäubt.

Juli 13. Litt. a. Courtedoux b./Porrentruy. Von drei sich in der Küche befindenden Personen eine, die Tochter, erschlagen, während Mutter und Sohn unversehrt blieben (vide Rubrik „Gebäude, a").

b) Mit zeitweiliger Betäubung oder starker Verletzung:

Juli 13. Litt. f. Neuegg b./Rüegsau. Ein Knabe vom Blitz gelähmt und stellenweise verbrannt (vide Rubrik „Gebäude, a").

c) Mit momentaner Betäubung oder leichter Verletzung:

Mai 10. Erstes Alinea. La Brévine. Bei einer vom Blitz getroffenen Scheune ein Knabe umgeworfen.

Juni 9. Litt. c. Wangen a./Aare und Attiswil, vide oben, a; ebenso **19.** Litt. f. Werthenstein.

Juli 14. Lokale ⊼. Auf der Alp Schwefelberg ein Senne in der Hütte vom Blitz zu Boden geworfen, seinem Gefährten die Holzschuhe gespalten. **24.** Litt. i. Le Brassus. Zwölf um einen Tisch versammelte Personen stark erschüttert (vide „Gebäude, a").

August 14. Litt. a. Lohn. Mehrere in der Schmiede beschäftigte Personen seitwärts bewegt, einzelne derselben Schmerzen in den Gliedern spürend.

In Tiere.

Mai 10. Erstes Alinea. La Brévine. Eine Kuh vom Blitz umgeworfen, ohne Schaden zu nehmen. **29.** Lokale ⊼. In Martisegg b./Signau sechs Kühe, ein Rind und eine Ziege im Stalle erschlagen.

Juni 14. Lokale ⊼. Montcherand. Nachmittags am Suchet unter einem Baume drei Kühe erschlagen. **18.** Litt c. Altstätten. Am Kornberg eine Kuh im Stalle erschlagen.

Juli 2. Lokale ⊼. Fürstenalp, Gemeinde Trimmis. Sechs Stück Rindvieh, die unter einer Tanne Schutz gesucht, vom Blitz erschlagen. **24.** Litt. i. Le Brassus. Eine Viertelstunde vom Dorfe zwei Kühe auf der Weide erschlagen.

In den Erdboden oder in Gewässer.

März 23. Champ-Fahy. Um 4^{30} p in die Wiesen zwischen Lignières und Nods.

August 21. Litt. h. Stein a./Rhein. Ca. 4 p in den Rhein.

In nicht ermittelte Objekte.

Februar 26. Litt. a. Um 2 p in Teufen.

März 13. Um 2^{45} p in Wernetshausen. **24.** Litt. b. Bellelay. Zwischen 2 und 3 p mehrmals in der Nähe. Litt. d. Brugg. zwischen 4^{25} u. 5^{13} p mehrmals. Litt. g. Um 5 p in Schurten b./Dussnang. **30.** Litt. a. Champ-Fahy. „6^{40} p formidable décharge électrique près d'ici."

Mai 9. Litt. b. St Imier. „4^{30} p foudre tombée sur Chasseral." Bellelay. Zwischen 5 und 5^{30} p mehrmals. **30.** Litt. a. Aarau. „3^{30}–4^{15} p zahlreiche Blitzschläge ohne Zündung."

Juni 1. Lokale K. Bellelay. Blitzschlag in der Nähe. **3.** Litt. e. Liestal. „Viele Blitzschläge 4^{45}–5 p." Litt. g. Zürich. 7^{30} p Blitzschlag in der Richtung gegen Ringlikon. **9.** Alinea nach litt. b. Yverdon. Zwischen 2 und 2^{30} p dreimal. Litt. c. Bellelay. Ca. 3^{15} p Schlag in der Nähe. Solothurn. An verschiedenen Stellen in der Umgebung. Litt. k. Göschenen. Um 6 p einigemal. Litt. o. Lugano. Um 6 p zweimal in der Nähe der Stadt. Litt. q. Zürich. Um 7^{56} p in der Nähe des Eidg. Physikgebäudes.

Juli 25. Litt. c. Bellelay. 4^{30}–5^{30} p mehrmals.

August 2. Litt. a. Nachmittags zweimal auf den Höhen bei Balsthal. **7.** Litt. a. Lugano. „Alle ore 6^{53} p un fulmine è scoppiato a breve distanza dall' osservatorio, Liceo cantonale." **21.** Viertes Alinea. Bellelay. Zwischen 11^{45} a und 12^{h} mehrmals. Litt. g. Zürich. 3^{54} p Blitzschlag. **22.** Litt. g. Möhlin. Um 8^{30} p einigemal in der Nähe. Litt. h. Zürich. 8^{10} p Blitzschlag im N. **30./31.** Zürich. 1–1^{30} a mehrere Blitzschläge in der Stadt ca. 3 km von der Meteorol. Zentralanstalt entfernt. Lachen. 1^{30} a ein sehr starker Blitzschlag.

Kugelblitze.

Februar 26. Zwischen 4 und 5 p in Teufen (laut Aussage von Drittpersonen).

August 21. Litt. q. Vevey. Laut Zeitungsnotiz um 8 p Blitzschlag in Form eines Rosenkranzes in das Konsumgebäude; eine Kugel fuhr in die Küche und ging hart an einem Mädchen vorbei, drang dann in die Mehlkammer im Soussol und verschwand, eine funkensprühende Furche ziehend, der Kanalisation entlang; eine andere Kugel wurde im Norden der Theaterstrasse, eine dritte über dem Hause Perroudon und eine vierte in der rue de Lausanne beobachtet.

Anhang.

Weststurm in der Nacht 21./22. Dezember: Champ-Fahy meldet: „A minuit le vent soufflait déjà en tempête du SW, puis a 1 heure il a tourné au NW avec une telle furie, que dans les forêts on trouve des pans de sapins entiers comme fauchés. Vergers dévastés, cheminées abattues, pans de toit enlevés." Zeitungsberichten entnehmen wir: Neuchâtel. „On estime à 10000 le nombre des plantes abattues par le vent dans les forêts de Peseux; dans celles du Valangin dégâts jusqu'à 50000 frs.; dans celles du Landeron et du Jolimont 6 à 8000 plantes dont été déracinées." Montreux. „A la suite de l'ouragan et des vagues qu'il a soulevées, le quai de Bocherex, à Territet, a été emporté sans laisser de traces sur une longueur de 15 mètres." — In Zürich trat nach den Aufzeichnungen des Anemographen Dyne das Intensitätsmaximum des Sturmes, der bereits am 20. Dezember eingesetzt hatte und in zeitweise bedeutend verminderter Stärke bis über die Weihnachtstage anhielt, früher auf, nämlich schon 8^{45} p des 21., mit 29.2 m/s. Die zweitgrösste Geschwindigkeit, mit 28.2 m/s, wurde sogar schon um 3^{30} p des 21. registriert, die drittgrösste um 5^{30} und 7^{15} p, mit 27.5 m/s; in der Nacht 21./22. wurde dagegen als höchste Windstärke nur 18 m/s (zwischen 0^{45} und 2 a) konstatiert. Weitere starke Stösse waren: 22 m/s am 23. um 4^{15} a, 15 m/s am 24. um 11 a, 20 m/s am 25. um 2^{15} p.

Meteorerscheinungen:

Juli 8. Nyon. „3^{43} a bolide, avec grande trainée de feu pendant 5 à 6 secondes de N à S."

November 17. Schaffhausen. „7^{20} p prachtvolles Meteor mit langem Schweif, explodierend."

Anmerkung: Von dem in Sizilien und Calabrien am 10. April um 7^{h} p beobachteten prachtvollen Meteor wurde in der Schweiz nichts wahrgenommen.

J. Mettler.

Erklärung zu den Tafeln.

Die am Schlusse beigefügten Kärtchen sollen die Tage mit den meisten Gewitterzügen und Gewittergruppen zur Anschauung bringen; sofern aber der Raum es gestattete, wurden auch noch solche eines andern Tages eingezeichnet. Das Symbol ▲ markiert die Lage der einzelnen hagelbeschädigten Gemeinden oder Orte, nur grössere zusammenhängende Hagelstriche sind durch Schraffierung bezeichnet. Die Pfeile geben die Richtung des Gewitters; konnte dieselbe nicht ermittelt werden, so deutet ein Punkt die Gegend der elektrischen Entladungen an. Die Kurven verbinden die Stationen mit gleichzeitigem Eintritt des Gewitters im Zenith des Beobachters. Die Ziffern bezeichnen die Zeit in Stunden und Viertelstunden (0^{h} = Mitternacht; 12^{h} = Mittag). Die hinter den Ziffern stehenden kleinen Lettern a und p bedeuten ante meridiem und post meridiem, die grössern neben oder in dem Zuge stehenden beziehen sich auf Kolonne 2 der tabellarischen Zusammenstellung. Auf Tafel III, Kärtchen 2, ist bei Clarens die Dezimale 1 (eine Viertelstunde) bei Pfeil 2.1 undeutlich; Tafel IV, Kärtchen 6, Zug e, fehlt die Uhrbezeichnung 8 bei Bogen 8.3 und bei Zug d sind zwischen den Bogen 6 und 6.1 die Symbole ▲ für Busswil und Diesbach zu ergänzen; Tafel V, Kärtchen 3, Zug h, ist die Dezimale 1 bei Bogen 5.1 undeutlich und auf Kärtchen 6, Zug d, die Dezimale 1 bei Bogen 7.1 weggelassen.

Synoptische Wetterkarten

für einzelne Hauptgewittertage des Jahres 1911.

Symbole: ○ hell, ◑ wolkig, ● bedeckt, : Regen, ⟶ Sturm.

24. März.

9. Mai.

27. Mai.

30. Mai.

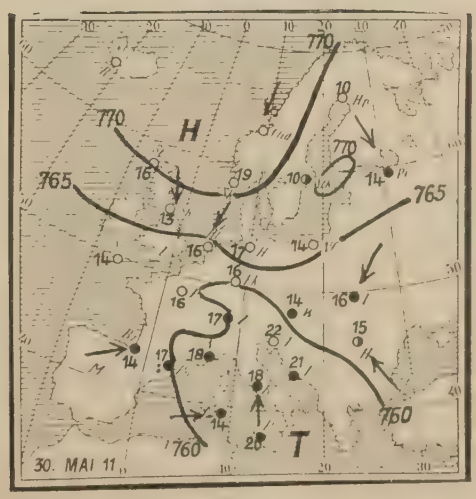

Anmerkung: Die eingezeichneten Kurven (Isobaren) verbinden die Orte mit gleichem um 7 resp. 8 Uhr morgens abgelesenem (auf das Meeresniveau reduziertem) Barometerstand; durch die Worte „Hoch" und „Tief" werden barometrische Maxima und Minima bezeichnet. Die Zahlen neben den Stationen geben für vorgenannte Zeit die Temperatur in Graden (Celsius); die Windrichtung ist durch Pfeile markiert.

3. Juni.

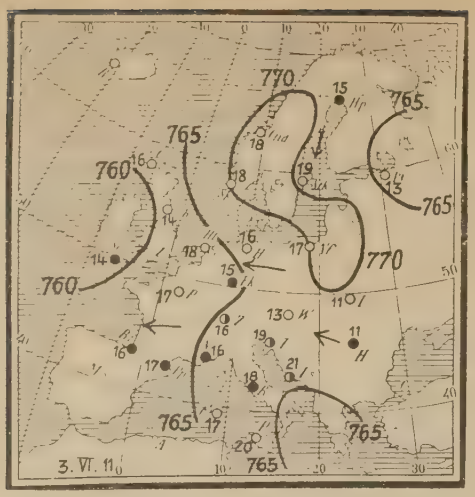

9. Juni.

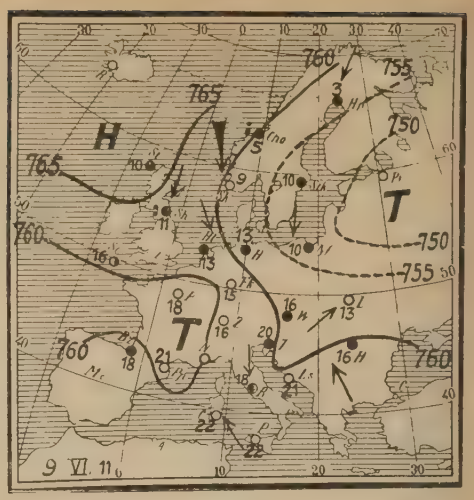

14. Juni.

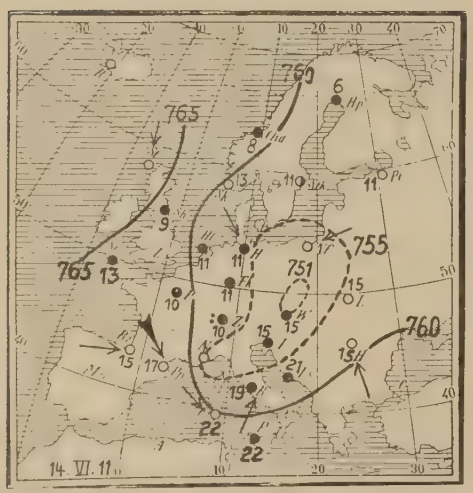

19. Juni.

1. Juli. Vortag der K_4 vom 2.

13. Juli.

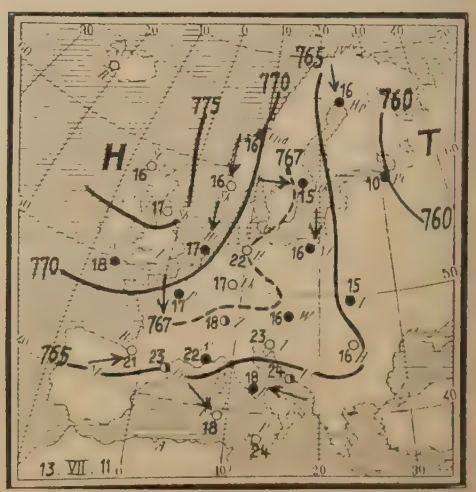

14. Juli.

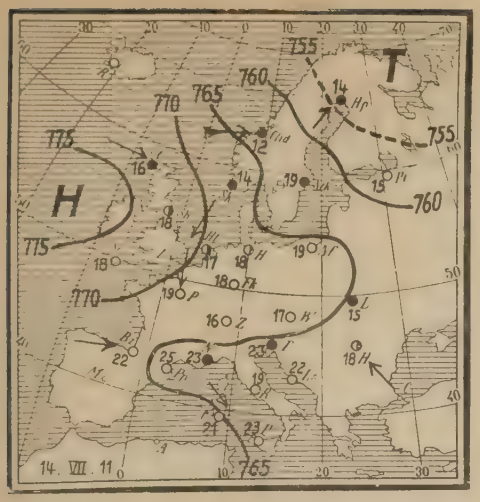

24. Juli.

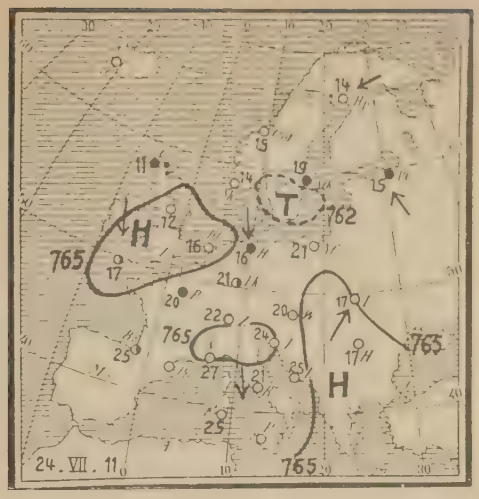

28. Juli.

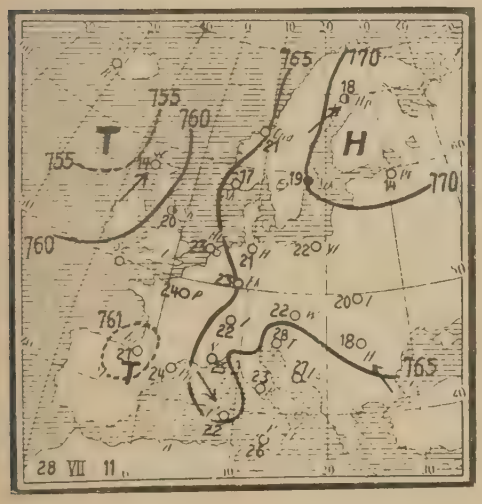

31. Juli.

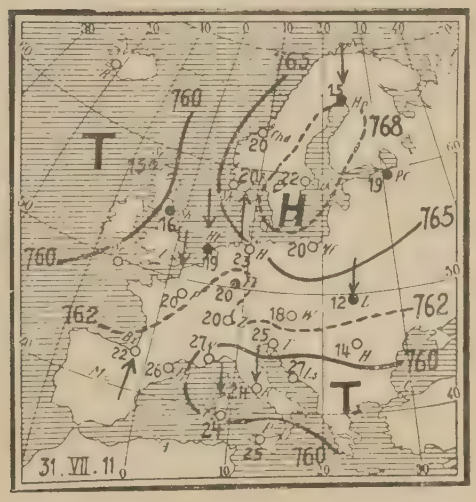

2 August.

5. August, Vortag der K_1 vom 6.

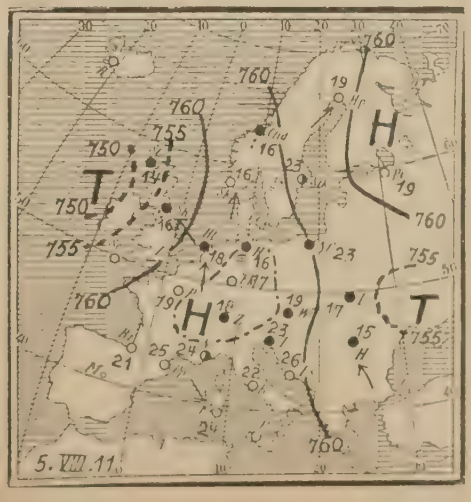

19. August, Vortag der K vom 20.

21. August.

22. August.

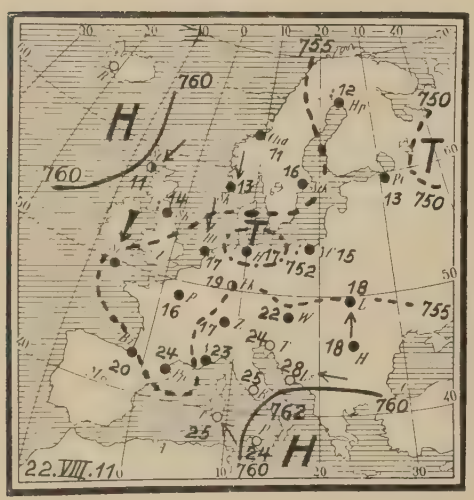

25. August.

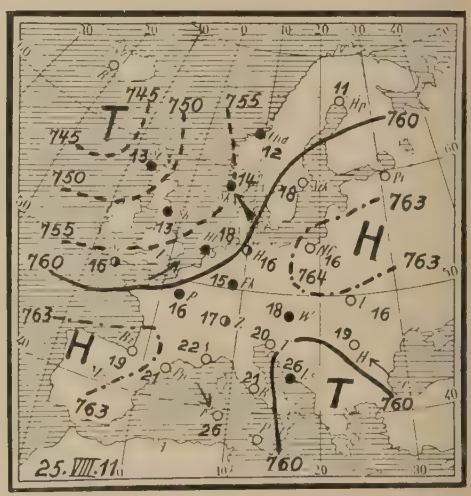

30. August.

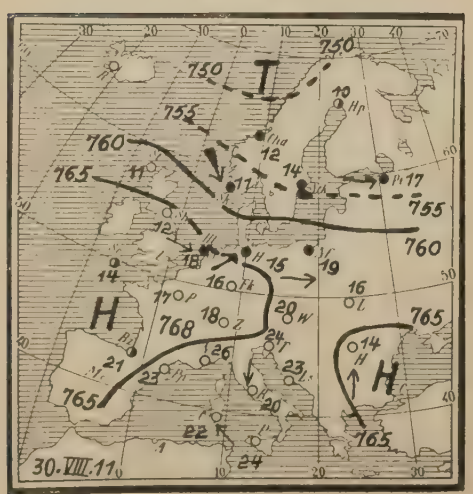

9. Oktober.

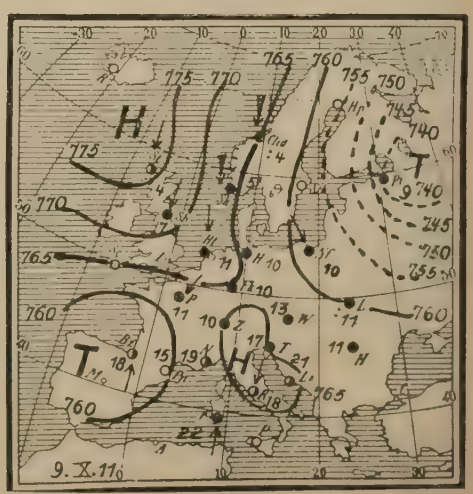

Graphische Darstellung der Hauptgewittertage im Jahre 1911.

26. Mai
p.m.

28. Mai
p.m.

Graphische Darstellung der Hauptgewittertage im Jahre 1911.

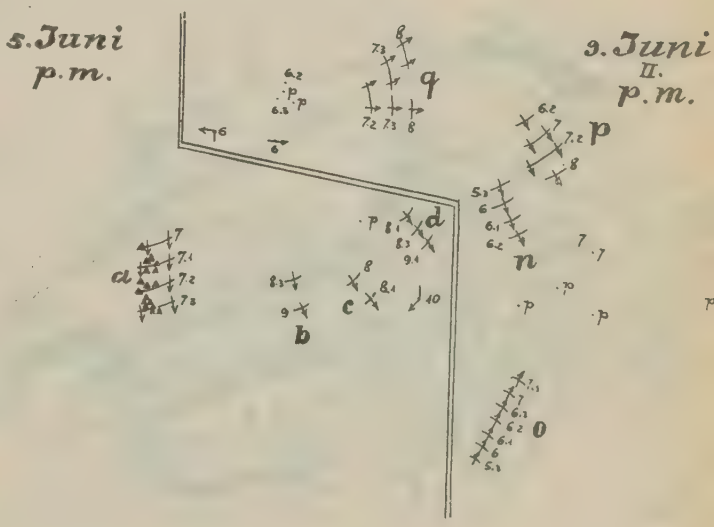

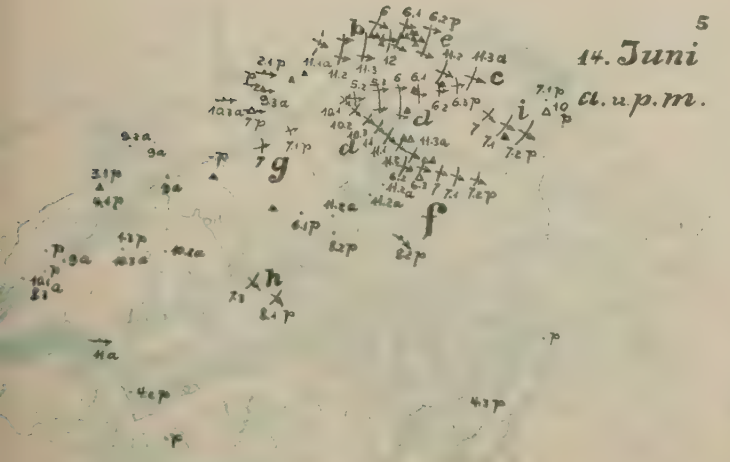

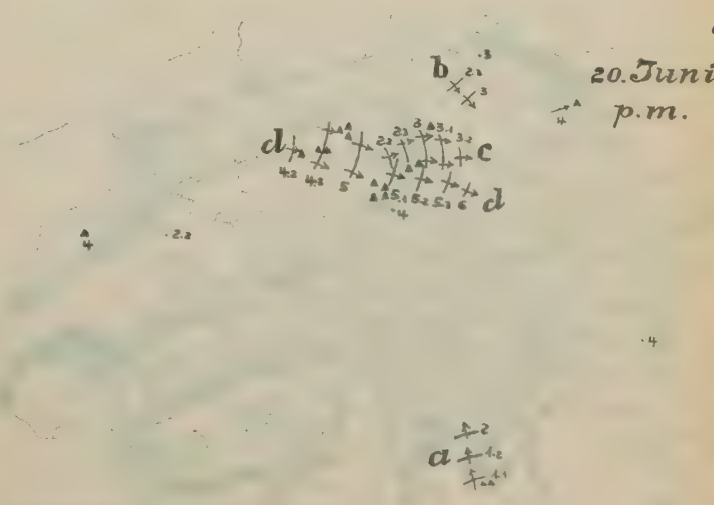

ANSTALT GEBRUDER FREY, ZÜRICH

Graphische Darstellung der Hauptgewittertage im Jahre 1911.

1

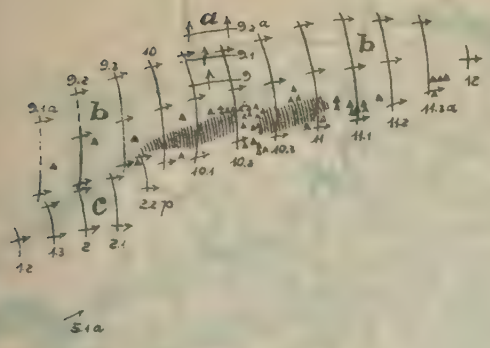

19. Juni
I.
a. u. p. m.

2

19. Juni
II
p. m.

3

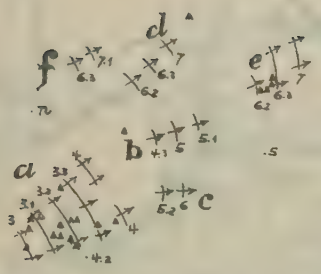

23. Juni
p. m.

4

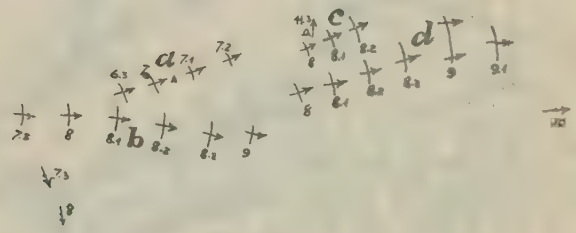

1. Juli
p. m.

5

2. Juli
a. u. p. m.

6

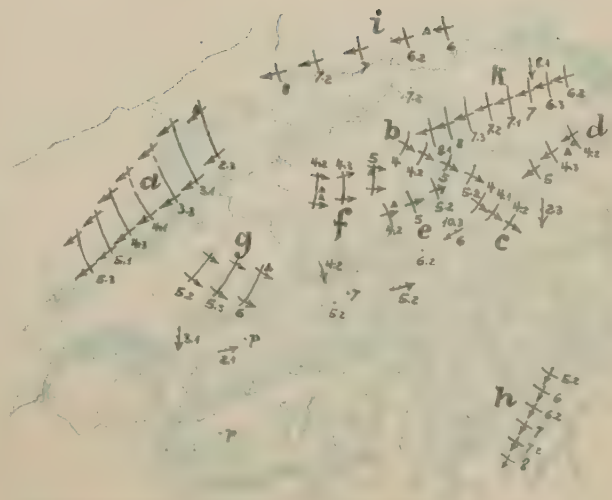

13. Juli
p. m.

GEBRUDER FREY, ZÜRICH I.

Graphische Darstellung der Hauptgewittertage im Jahre 1911.

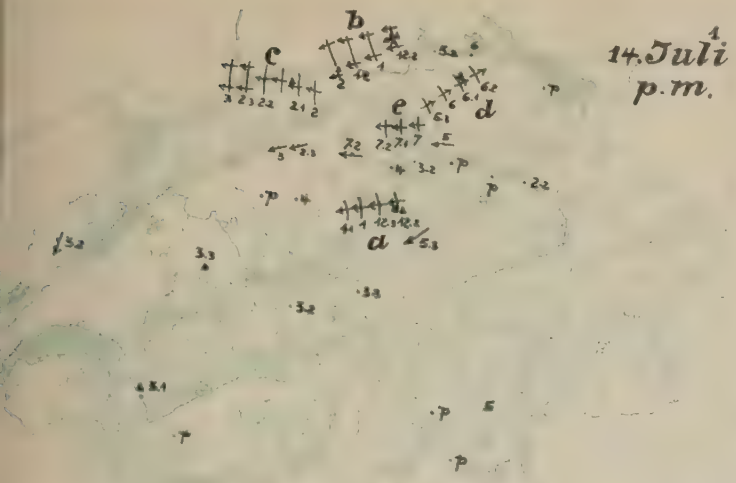

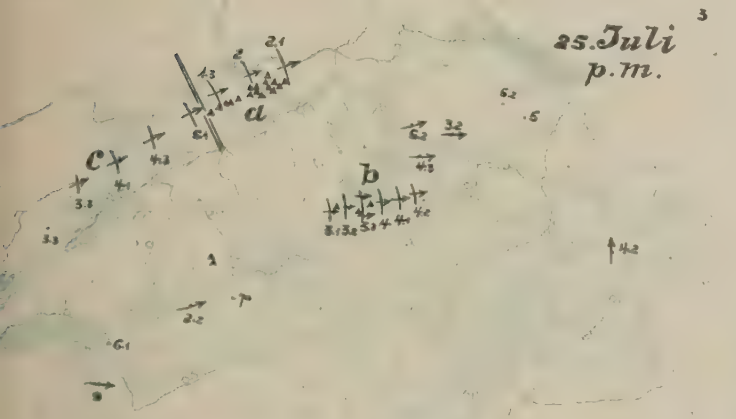

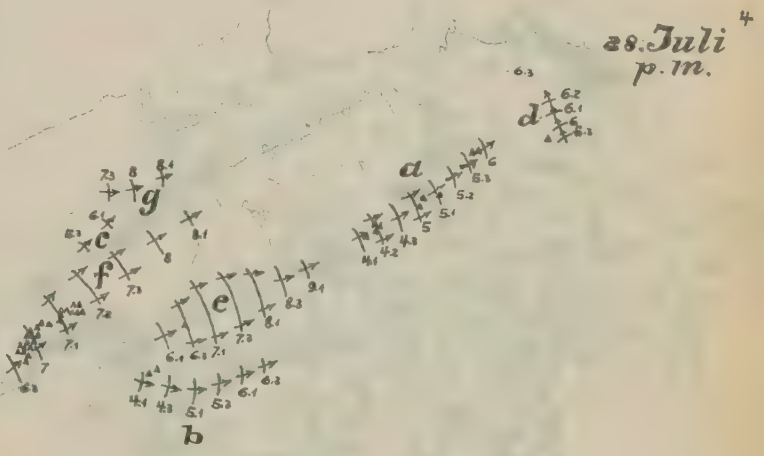

ANSTALT GEBRÜDER FREY, ZÜRICH I.

Graphische Darstellung der Hauptgewittertage im Jahre 1911.

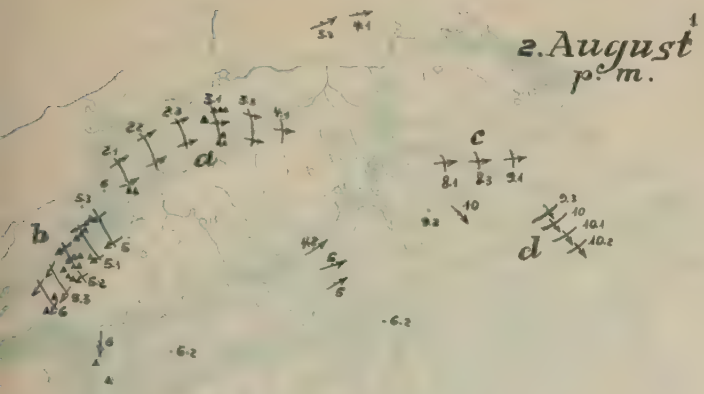

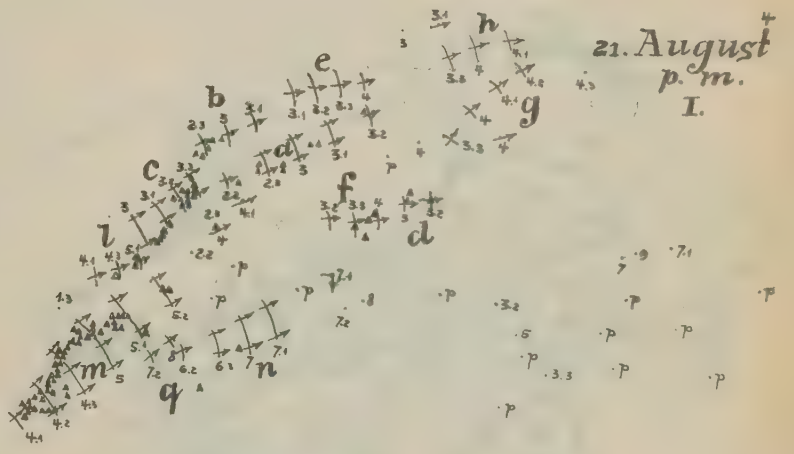

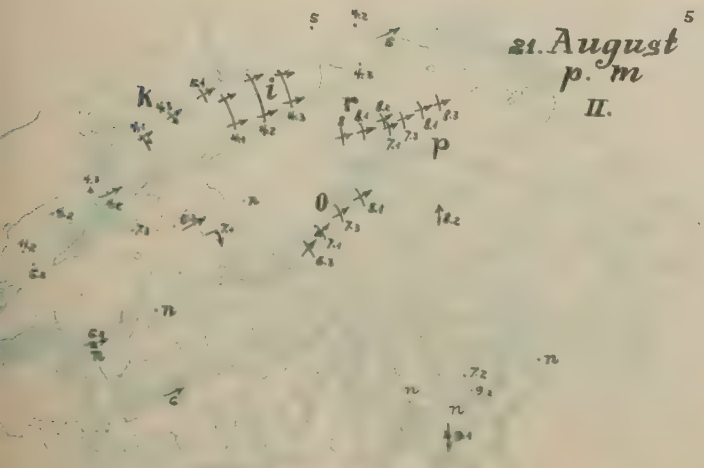

ANSTALT GEBRUDER FREY, ZÜRICH I

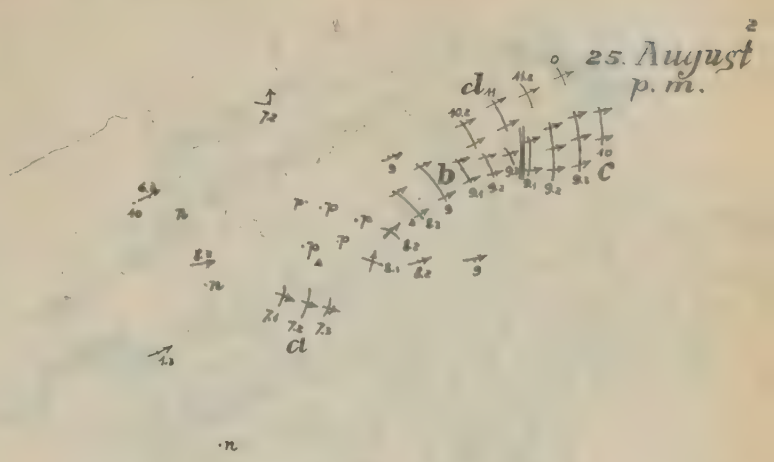

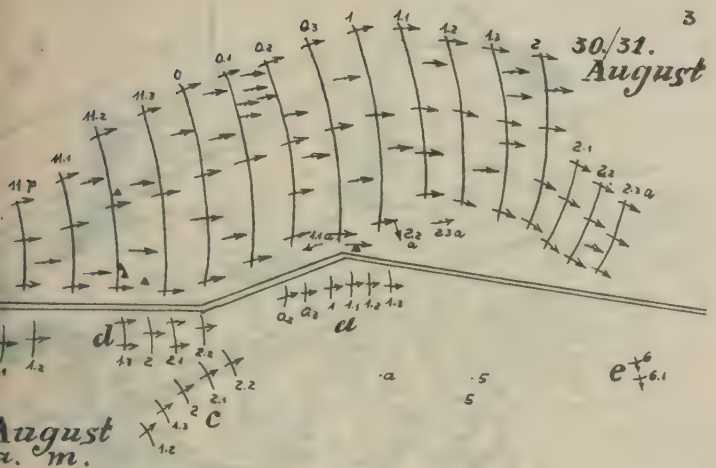

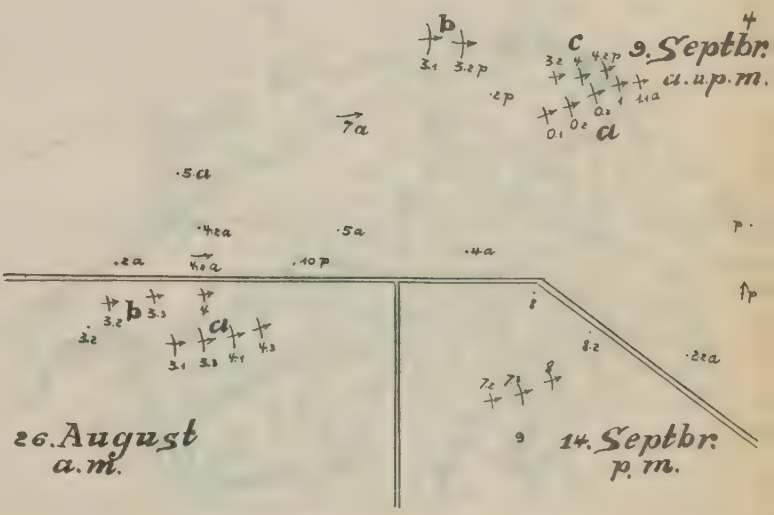

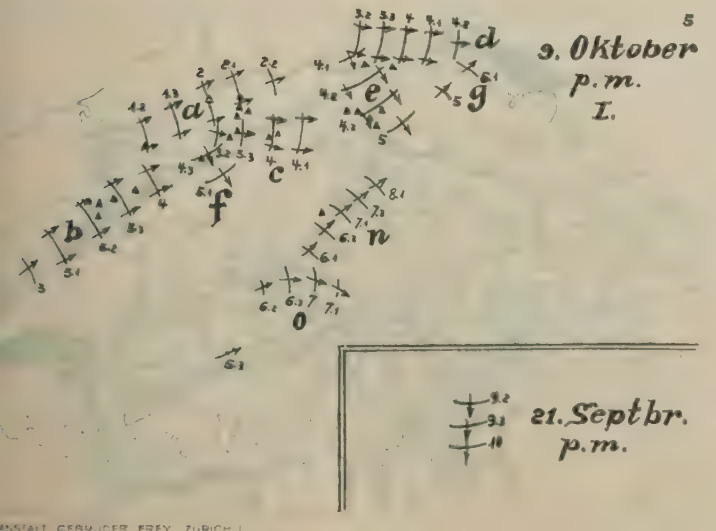

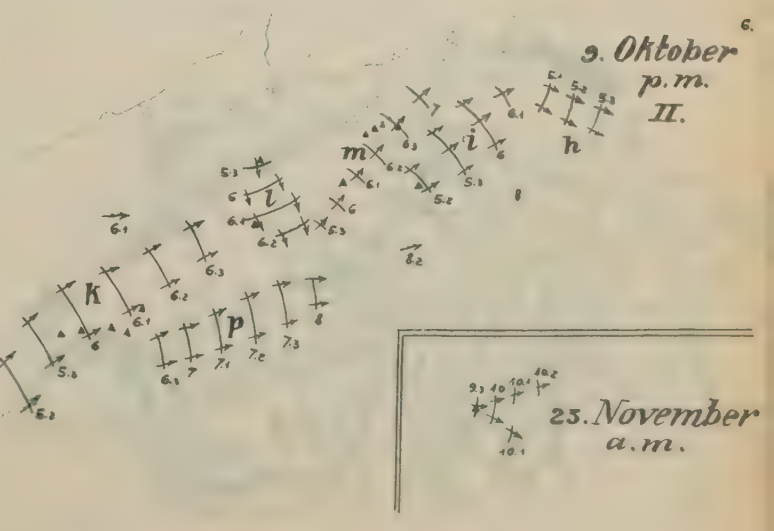

ANSTALT GEBRUDER FREY, ZURICH

Nr. 5.

Ergebnisse der Registrierungen des Sonnenscheinautographen im Jahr 1911

auf den Stationen:

Lugano, Genf*), Lausanne*), Clarens, Siders, Chaux-de-Fonds, Neuenburg, Bern, Luzern, Basel*), Buus, Plantahof, Hallau, Zürich, Haidenhaus, Wald (Sanatorium), Davos, Arosa, St. Moritz und Säntis.

*) Basel (Bernoullianum) besitzt seit Januar 1908 einen neuen Sonnenscheinautographen (Modell Negretti & Zambra); Genf desgleichen seit 15. Januar 1909 und Lausanne seit Anfang Januar 1909; Luzern, an Stelle von Heiligenschwendi tretend, hat seit Beginn 1910 ebenfalls ersteres Modell erhalten.

Die nachstehenden Tabellen geben einerseits für jeden Tag des Jahres eine synoptische Uebersicht der Sonnenscheindauer an den verschiedenen Stationen, anderseits die Monats- u. Jahressummen für jede Tagesstunde in wahrer Ortszeit.

Tägliche Dauer des Sonnenscheins in Stunden. 1911.

Januar.

Tag	Lugano	Genf	Lausanne	Clarens	Siders	Chaux-de-Fonds	Neuenburg	Bern	Luzern	Basel	Buus	Plantahof	Hallau	Zürich	Haidenhaus	Wald	Davos	Arosa	St. Moritz	Säntis
1	6.8	6.3	7.0	6.5	6.0	2.0	2.5	1.5	3.4	0.0	0.0	3.5	0.1	2.8	0.0	7.1	5.0	5.8	5.6	7.7
2	0.0	1.5	2.7	0.0	0.0	0.0	2.5	2.0	0.0	3.4	1.9	0.0	1.9	0.0	0.0	0.0	0.0	0.0	0.0	0.0
3	0.0	0.0	0.0	0.0	0.0	0.0	0.0	0.0	0.0	0.0	0.0	1.6	0.0	0.0	0.0	0.0	4.1	2.5	0.0	3.1
4	0.3	0.0	0.9	4.5	1.8	0.0	0.0	0.0	0.0	0.0	0.0	3.9	0.0	0.0	0.0	0.0	5.0	4.9	0.7	3.4
5	0.0	0.0	0.0	2.8	4.0	0.0	0.0	0.0	0.0	0.0	0.0	0.0	0.0	0.0	0.0	0.0	1.1	0.9	0.0	4.6
6	0.0	6.8	7.6	6.6	5.1	5.4	3.7	6.4	7.1	5.2	4.8	3.3	4.0	7.1	6.5	7.7	5.5	2.9	0.0	7.2
7	5.6	4.3	3.7	3.8	2.7	0.0	0.0	1.4	3.8	0.1	0.7	3.7	0.0	1.5	2.1	7.7	5.6	6.0	5.6	8.3
8	7.1	4.7	7.6	6.5	4.9	3.8	0.0	4.6	0.0	7.4	4.9	4.5	2.1	2.0	7.2	4.4	5.7	6.3	5.6	7.5
9	7.2	0.0	3.6	3.5	1.4	0.0	0.0	0.3	0.6	0.7	0.0	5.5	0.0	0.0	2.6	5.4	5.6	6.4	5.7	6.7
10	2.0	0.0	0.6	0.6	1.9	0.0	1.0	0.0	0.0	3.3	1.9	0.0	2.7	0.0	1.1	0.0	0.0	0.0	0.0	0.0
11	7.1	6.6	5.2	6.6	5.2	5.9	0.0	1.4	0.5	6.6	4.8	5.7	2.9	4.4	2.5	6.3	5.7	6.4	5.7	8.4
12	5.8	1.7	1.7	0.0	0.5	0.4	0.0	0.0	1.2	0.0	0.0	2.4	0.0	0.0	0.0	0.0	4.2	2.8	3.9	1.3
13	5.2	4.4	4.8	3.9	3.7	0.0	0.0	0.2	1.7	0.0	0.0	2.2	0.0	0.0	0.0	0.0	3.8	0.1	4.3	0.7
14	0.0	0.0	5.3	0.0	6.0	0.0	0.0	0.0	0.0	1.0	0.0	2.1	0.0	0.0	0.0	0.0	5.6	4.8	2.1	5.8
15	0.8	0.0	0.0	0.0	4.9	4.6	0.0	0.0	0.0	2.9	5.9	2.1	7.5	0.0	4.8	0.0	5.8	6.6	5.2	8.6
16	7.3	0.0	0.0	0.0	3.4	5.5	3.0	0.0	0.0	7.6	5.1	0.0	6.3	0.1	3.5	0.0	5.8	6.5	5.9	8.1
17	7.4	7.3	7.9	1.6	3.8	6.9	7.3	4.9	0.0	6.3	5.8	2.8	5.7	5.7	6.2	7.6	5.8	6.7	5.9	8.8
18	6.5	5.9	7.6	5.8	5.8	7.4	3.9	5.2	0.0	6.7	5.5	2.9	2.8	2.5	6.8	3.2	5.3	4.7	2.7	7.7
19	6.2	0.0	4.2	1.2	2.8	0.7	0.5	1.8	0.0	0.0	0.5	0.0	0.0	0.0	0.0	0.0	0.0	0.0	0.0	0.0
20	7.5	0.0	0.0	5.0	6.0	7.6	0.0	3.1	0.0	0.0	0.0	4.4	0.0	0.0	0.0	8.2	5.9	7.0	5.7	8.9
21	7.5	0.0	0.0	0.7	6.5	7.1	0.0	0.0	0.0	0.6	0.0	0.0	0.0	0.0	0.0	3.2	5.9	6.9	6.1	9.1
22	7.6	0.0	0.7	4.1	6.2	7.8	0.0	3.3	2.3	0.0	0.0	3.7	0.0	2.8	3.9	5.0	5.9	7.0	6.2	8.2
23	7.5	0.0	0.0	0.0	0.0	0.0	0.0	0.0	0.0	0.0	0.0	0.0	0.0	0.0	0.0	0.0	6.1	7.0	6.5	9.1
24	0.0	0.0	0.0	0.0	0.0	0.0	0.0	0.0	0.0	0.0	0.0	0.0	0.0	0.0	0.0	0.0	6.1	7.0	6.6	8.6
25	5.3	0.0	4.1	3.7	3.3	2.0	0.0	0.6	0.0	2.7	0.8	3.8	0.0	0.3	0.0	2.1	4.9	5.2	4.3	4.1
26	0.8	4.1	5.6	2.5	0.2	0.0	5.6	6.4	4.4	0.9	0.0	2.9	0.0	2.2	0.1	8.7	1.3	0.2	0.5	1.3
27	7.8	1.1	4.4	6.8	5.8	6.0	0.0	5.9	5.0	5.1	5.7	6.3	0.0	6.1	7.2	8.3	6.2	7.1	6.9	9.0
28	7.4	0.0	0.0	0.6	6.3	7.8	0.5	4.9	0.0	0.6	0.0	2.1	0.0	0.0	0.0	8.8	6.3	7.2	6.8	7.6
29	8.1	0.0	2.0	0.0	0.0	7.7	4.3	3.3	0.5	3.8	5.2	6.4	5.3	3.7	4.5	8.3	6.4	7.1	7.4	9.6
30	0.0	2.2	2.3	1.6	0.1	7.6	8.1	5.9	0.0	7.9	6.2	0.9	8.6	6.2	7.5	8.8	6.4	7.1	3.6	9.5
31	6.1	3.4	8.2	7.3	5.7	8.4	8.7	8.7	6.2	8.6	6.4	5.5	8.8	8.4	8.1	8.9	6.4	7.1	6.5	9.5
Mittel	4.2	1.9	3.1	2.8	3.4	3.4	1.7	2.3	1.2	2.6	2.1	2.6	1.9	1.8	2.4	3.9	4.7	4.8	4.1	6.2

Februar.

Tag	Lugano	Genf	Lausanne	Clarens	Siders	Chaux-de-Fonds	Neuenburg	Bern	Luzern	Basel	Buus	Plantahof	Hallau	Zürich	Haidenhaus	Wald	Davos	Arosa	St. Moritz	Säntis
1	8.1	5.8	8.4	5.2	5.0	8.4	8.4	7.1	4.2	8.2	6.3	6.2	7.8	8.4	6.7	8.5	6.5	7.2	7.6	8.6
2	6.2	8.6	8.5	6.5	6.1	7.2	8.3	8.3	5.6	5.9	6.1	5.8	6.9	7.8	6.2	7.8	6.5	7.1	7.5	7.7
3	8.4	5.0	4.7	5.1	5.6	0.0	2.3	1.4	0.0	0.0	0.0	0.0	0.3	0.0	8.0	0.0	0.0	0.0	0.0	0.0
4	7.5	4.3	7.6	7.6	5.3	7.4	7.4	6.5	2.4	4.2	6.2	6.8	8.7	7.5	0.0	8.8	6.6	7.5	7.1	9.6
5	6.7	6.9	2.7	5.5	6.1	6.1	0.0	2.0	0.0	0.2	0.0	0.0	0.0	0.4	0.0	1.4	6.6	7.2	6.8	8.3
6	8.6	5.3	8.3	7.2	3.2	5.9	5.7	7.0	7.4	6.9	4.0	5.9	1.6	7.3	3.2	7.9	6.1	5.9	6.7	7.7
7	2.0	7.5	8.6	8.0	5.1	6.2	8.8	6.9	2.0	3.0	4.8	1.4	2.9	1.0	1.5	1.9	6.5	6.4	7.7	2.7
8	8.8	6.9	3.3	4.2	7.2	0.0	1.2	1.6	2.0	2.8	2.1	0.0	2.9	0.2	3.2	0.0	0.0	0.0	0.0	0.0
9	1.1	7.9	8.7	6.9	6.4	7.3	8.9	8.2	3.7	9.0	7.2	6.2	9.2	7.9	6.8	8.3	6.8	7.7	8.1	9.4
10	0.0	6.5	6.6	8.1	6.8	8.4	4.9	6.2	4.4	8.7	7.0	6.3	6.7	5.1	7.9	9.3	6.8	7.6	8.2	9.7
11	0.0	6.3	6.2	5.9	6.4	1.5	2.3	3.2	6.8	3.8	3.2	5.8	2.2	4.3	1.4	4.4	6.4	6.1	5.6	0.4
12	0.3	0.0	0.0	0.0	0.9	0.0	0.0	0.1	2.3	0.0	0.0	3.8	0.5	0.2	0.5	2.7	3.6	1.7	1.6	1.0
13	0.0	0.0	0.7	0.7	2.3	1.0	0.0	0.0	0.0	0.0	0.0	5.5	0.0	0.0	0.0	0.0	6.8	7.5	3.8	1.5
14	8.9	0.0	1.8	1.6	6.9	8.2	0.0	0.0	0.0	2.2	0.0	0.6	0.0	0.0	0.0	0.0	6.9	8.0	8.2	9.8
15	5.0	3.6	1.5	4.9	5.0	2.1	1.7	1.6	3.4	4.3	2.6	5.5	1.8	3.7	1.6	5.5	5.9	6.0	3.9	6.8
16	4.9	4.5	2.4	3.7	5.9	3.5	2.8	3.2	3.1	3.8	3.0	5.2	2.6	2.9	2.1	2.5	6.3	4.8	6.6	2.5
17	6.9	3.4	3.6	1.9	0.7	1.6	2.3	0.4	0.6	2.9	0.0	0.4	0.0	0.6	0.1	0.0	0.8	0.9	6.5	0.0
18	7.3	7.8	6.5	6.0	6.5	0.6	2.6	2.8	3.7	0.3	0.0	3.6	2.2	3.1	0.6	0.0	3.3	4.6	4.1	0.0
19	0.4	1.5	1.8	1.4	2.1	0.0	0.8	1.9	4.4	1.4	0.0	4.1	1.6	2.8	1.9	0.3	4.9	4.7	2.5	3.3
20	8.8	4.0	4.7	5.4	5.7	1.9	7.3	4.9	5.2	5.3	2.1	6.9	8.2	6.5	8.5	3.2	5.9	5.5	8.7	0.0
21	9.4	9.1	9.5	8.5	0.0	5.9	8.2	8.6	7.2	8.3	5.9	6.7	5.7	6.7	4.2	6.0	5.5	0.0	7.3	3.6
22	8.1	1.6	1.2	0.0	0.1	1.0	1.3	1.4	1.6	1.3	0.7	0.4	2.1	0.8	2.2	0.1	2.7	0.0	4.4	0.0
23	3.8	8.4	7.9	8.2	7.0	7.3	6.7	7.8	9.2	7.1	6.8	7.9	7.8	8.5	8.1	8.4	7.0	8.0	7.5	9.3
24	6.9	4.5	2.2	0.7	1.0	0.5	2.3	3.6	4.7	3.7	0.8	0.9	1.5	5.5	1.8	0.0	2.8	1.7	4.3	0.0
25	2.4	0.0	0.0	0.0	0.0	0.0	0.0	0.0	0.0	0.0	0.0	0.0	0.0	0.0	0.0	0.0	0.0	0.0	0.0	0.0
26	7.3	6.7	3.0	2.4	0.2	2.1	3.0	3.0	4.2	3.2	1.2	0.0	2.7	4.1	2.7	0.0	0.8	0.0	0.0	0.0
27	10.0	9.7	7.5	6.5	5.9	8.4	8.9	7.3	5.9	4.5	3.2	2.3	5.4	5.1	1.3	1.3	1.4	0.0	6.1	0.0
28	8.4	4.5	4.6	2.9	3.8	2.8	2.8	3.4	4.6	0.0	3.5	5.6	0.1	2.0	0.5	6.7	4.6	5.5	6.2	2.3
Mittel	5.6	5.0	4.7	4.5	4.2	4.1	3.9	3.9	3.5	3.6	2.7	3.7	3.3	3.7	2.9	3.4	4.6	4.3	5.2	3.7

1911. **Tägliche Dauer des Sonnenscheins in Stunden.**

März.

Tag	Lugano	Genf	Lausanne	Clarens	Siders	Chaux-de-Fonds	Neuenburg	Bern	Luzern	Basel	Buus	Plantahof	Hallau	Zürich	Haldenhaus	Wald	Davos	Arosa	St. Moritz	Säntis
1	9.6	2.7	4.3	1.1	3.0	1.4	2.3	1.9	2.5	2.4	2.4	0.4	3.6	2.6	1.9	2.6	0.7	0.3	3.1	0.0
2	7.8	2.2	1.5	1.5	2.6	0.0	0.9	0.9	2.4	0.7	0.0	2.8	0.0	2.0	0.0	0.0	3.6	3.4	5.7	2.7
3	9.3	0.0	0.0	0.0	0.0	0.0	0.0	0.0	0.0	0.0	0.0	0.0	0.0	0.0	0.0	0.0	0.0	0.0	0.0	0.0
4	0.0	3.7	3.6	5.2	1.6	0.0	0.0	0.3	0.0	0.0	0.0	0.0	0.0	0.0	0.0	0.0	0.0	0.0	3.1	0.0
5	4.1	2.3	0.5	0.3	0.5	0.0	0.0	0.0	0.0	0.0	0.0	0.3	1.4	0.1	0.5	0.0	0.0	0.0	3.8	0.2
6	9.7	9.0	9.0	8.4	8.1	6.2	8.1	10.1	7.4	6.0	4.9	8.2	10.0	8.8	7.4	10.4	8.4	8.8	9.4	10.0
7	4.1	6.3	5.1	4.1	8.1	7.0	8.2	6.8	8.3	9.1	7.8	8.5	8.6	9.1	7.6	9.8	8.4	8.9	9.1	10.0
8	5.6	5.5	4.2	1.6	7.3	1.3	2.3	0.0	0.0	3.8	3.2	4.7	1.7	0.4	1.0	0.0	6.6	4.5	8.5	0.0
9	5.4	6.5	9.1	8.6	8.4	4.4	8.9	8.0	5.5	7.7	7.4	8.6	9.4	9.3	9.3	7.5	8.7	9.4	9.2	10.4
10	2.7	0.3	0.0	0.0	6.1	0.0	0.0	0.6	0.4	1.8	0.1	6.2	0.0	0.5	0.9	0.0	6.4	5.5	4.9	4.1
11	3.1	5.7	6.5	7.4	8.6	7.4	6.2	6.5	8.2	8.4	7.6	6.3	7.1	8.5	5.1	8.5	6.7	8.4	7.0	9.2
12	8.6	5.3	5.8	5.1	7.7	7.0	4.8	4.5	3.2	8.4	5.0	4.7	6.0	5.9	5.6	1.8	2.3	6.0	8.1	0.0
13	3.9	0.6	0.0	0.1	0.0	0.0	0.0	0.4	0.2	0.7	0.0	0.8	0.0	0.2	0.0	1.2	1.9	1.8	0.0	0.7
14	0.0	5.9	4.9	4.1	6.2	3.7	2.0	4.0	5.2	4.9	2.5	6.1	5.7	6.4	6.5	5.6	5.8	5.9	5.3	5.0
15	3.0	0.8	0.5	0.0	3.8	0.2	0.4	1.9	2.9	0.6	0.0	0.3	0.2	2.9	1.8	0.0	0.1	0.0	0.9	0.1
16	4.8	4.0	3.0	3.8	3.5	3.9	3.3	6.0	7.0	4.6	3.3	7.3	3.6	7.1	5.4	7.7	4.9	5.5	6.5	9.4
17	9.0	8.0	7.6	7.5	8.9	6.0	8.0	8.1	8.4	4.7	5.0	8.8	3.1	8.1	4.6	4.1	9.3	9.9	9.4	7.9
18	7.7	4.5	4.0	4.6	3.0	2.7	3.0	2.3	3.5	3.3	3.1	0.8	2.0	1.9	2.2	0.2	2.5	4.0	3.1	0.2
19	3.3	5.9	7.0	5.7	6.1	4.0	5.6	7.2	8.5	8.2	7.7	7.5	9.1	8.6	8.7	8.6	8.0	8.0	6.4	8.1
20	0.4	1.7	1.1	1.5	3.2	1.0	1.4	3.9	6.8	3.7	4.1	3.4	5.1	5.1	5.0	6.2	2.8	3.3	0.0	5.1
21	0.0	8.0	8.4	8.1	7.6	9.1	8.7	9.5	9.8	9.3	8.4	6.4	8.9	9.4	8.8	9.3	8.1	9.4	6.8	8.2
22	1.2	2.6	4.0	3.7	5.7	6.5	6.9	6.9	10.2	8.1	8.2	9.2	10.2	10.1	10.1	8.8	7.6	8.0	5.4	10.0
23	0.0	7.4	8.0	8.0	6.3	5.6	6.8	8.8	8.8	5.4	2.9	4.2	5.5	6.9	4.8	6.7	1.5	1.7	0.0	0.0
24	4.5	4.1	5.1	4.2	3.8	1.6	1.4	3.6	3.9	6.6	4.7	2.9	5.5	5.2	6.6	4.1	0.6	0.0	4.7	2.4
25	2.2	0.7	0.0	0.0	0.9	0.0	0.0	0.0	1.4	0.0	0.0	4.1	0.0	0.5	0.0	1.1	4.5	3.0	6.0	0.0
26	1.7	0.9	1.0	0.0	5.8	0.0	0.0	2.4	2.5	0.6	0.1	0.0	0.8	2.7	0.0	0.0	0.0	0.0	0.0	0.5
27	0.0	0.0	0.0	0.0	1.8	0.0	0.7	1.3	4.4	2.6	1.4	3.6	4.1	4.8	2.9	2.7	3.6	2.5	0.0	1.9
28	0.0	6.1	5.1	3.6	4.1	2.7	2.8	1.0	0.0	2.8	0.5	8.5	0.5	0.5	0.0	0.1	8.2	8.9	8.6	0.0
29	2.5	1.7	0.0	0.0	4.3	0.0	0.0	0.0	1.3	0.4	1.5	4.0	4.8	3.7	3.7	2.4	5.4	5.8	6.6	2.2
30	1.7	8.1	4.2	5.5	7.3	2.5	2.3	1.3	6.0	6.6	5.0	2.5	7.0	4.7	7.9	4.9	0.3	0.9	1.7	6.2
31	5.4	8.0	8.4	8.8	8.0	4.5	7.8	9.5	10.1	6.3	6.2	8.4	6.3	10.2	8.4	8.5	9.1	9.3	10.0	7.5
Mittel	3.9	4.1	3.9	3.6	4.9	2.9	3.3	3.8	4.5	4.1	3.3	4.5	4.2	4.7	4.1	3.6	4.4	4.6	4.9	4.2

April.

1	0.7	6.9	4.2	4.7	0.0	3.0	5.5	3.2	7.6	5.3	3.2	9.6	8.1	7.7	8.9	7.0	8.9	8.2	9.2	7.4
2	7.3	3.6	6.8	6.0	7.6	1.6	9.0	4.6	6.5	6.8	4.2	1.2	3.2	4.6	4.8	5.1	0.6	0.0	2.7	2.6
3	0.0	0.1	0.0	0.0	1.9	0.0	7.4	0.0	0.0	0.0	0.0	0.1	0.0	0.0	0.0	0.0	0.1	0.0	3.3	0.0
4	3.3	1.9	6.3	2.9	7.0	0.5	3.7	1.9	0.0	2.3	1.2	1.5	2.0	3.8	0.6	1.8	2.8	0.0	2.9	0.0
5	1.1	0.8	4.4	0.0	0.1	0.0	0.0	0.1	0.0	0.0	0.0	3.4	0.0	0.0	0.0	0.0	4.1	3.1	0.0	4.9
6	0.0	2.1	0.6	0.0	6.2	0.0	0.0	0.1	0.0	0.0	0.0	5.3	0.0	0.0	0.0	1.1	6.6	0.0	0.8	9.7
7	9.9	9.0	13.0	9.3	10.6	8.7	8.2	7.7	0.0	1.4	2.1	9.0	0.3	2.7	3.5	7.2	10.6	10.8	10.1	0.4
8	8.7	2.5	0.9	0.0	3.6	0.0	0.1	0.2	0.0	0.0	0.0	3.8	0.0	0.3	0.0	1.0	4.2	0.2	9.9	0.0
9	11.8	1.7	3.7	1.7	9.7	2.6	1.8	3.5	0.0	1.6	1.7	0.0	0.0	0.7	0.5	0.0	3.4	0.0	10.5	7.3
10	2.8	8.1	10.3	2.8	9.5	5.4	7.8	4.1	0.2	1.4	3.6	8.8	6.5	5.1	5.9	1.6	9.1	9.8	10.4	11.8
11	4.9	10.8	12.7	9.7	10.2	11.7	10.8	11.5	11.5	9.5	10.5	9.7	10.6	11.8	9.7	9.4	9.1	9.6	10.7	8.1
12	10.7	11.0	13.0	9.9	11.4	11.6	11.2	11.9	12.0	10.7	11.2	10.3	10.8	11.7	10.7	10.1	10.8	11.4	10.8	12.4
13	11.8	12.2	12.9	8.9	9.2	8.0	11.4	10.0	3.9	9.7	5.8	2.6	6.4	7.5	4.9	2.2	5.5	3.0	7.0	0.9
14	12.1	12.9	13.8	10.5	11.9	12.2	12.1	11.5	11.2	9.4	9.8	8.0	8.1	10.2	9.4	9.5	9.5	5.4	11.0	5.0
15	12.1	13.0	13.6	10.2	11.7	12.1	12.2	13.0	12.6	12.0	12.4	10.4	10.9	12.1	10.8	10.5	10.2	11.1	10.4	12.5
16	12.0	13.0	13.7	10.7	12.0	12.3	12.3	13.0	12.8	12.5	12.4	10.6	12.7	12.9	12.1	10.4	11.3	11.5	11.4	12.0
17	8.7	12.4	13.3	10.6	7.5	12.2	11.6	12.2	12.2	11.5	12.1	10.5	12.0	12.6	12.4	10.0	9.9	11.0	8.0	9.9
18	12.1	12.9	13.5	10.7	11.8	12.2	12.1	12.7	12.8	12.1	12.4	10.8	12.7	12.7	12.2	10.5	11.2	11.5	11.3	12.5
19	5.6	0.0	0.3	0.0	2.0	0.0	1.8	3.4	6.9	4.2	5.2	9.0	7.9	7.9	9.1	8.0	10.1	10.5	6.3	9.4
20	3.8	0.0	0.0	0.0	2.6	1.3	0.0	0.0	0.0	0.0	0.0	3.5	0.0	0.0	0.0	0.0	4.9	0.6	1.8	2.9
21	12.3	13.1	13.6	10.6	10.9	8.3	8.4	10.3	6.2	8.8	6.8	8.2	7.2	10.6	8.9	6.8	8.2	4.9	11.2	8.3
22	12.3	13.0	13.4	10.8	12.0	12.1	11.3	13.0	12.2	12.2	10.8	11.0	11.8	12.0	12.1	11.5	10.9	12.2	11.4	12.8
23	11.9	10.2	12.1	8.6	9.6	8.5	8.4	10.6	11.3	11.6	10.2	10.6	9.0	10.2	8.6	10.3	11.5	11.6	11.5	11.6
24	10.0	9.9	9.2	6.8	5.1	5.4	7.4	8.8	2.9	8.3	6.4	2.2	3.2	7.2	3.4	3.7	3.1	2.1	10.0	2.9
25	12.3	13.2	13.2	11.4	11.8	9.9	12.3	11.8	12.0	12.4	12.4	10.8	12.6	12.3	12.8	10.8	10.8	11.9	11.5	11.0
26	1.0	2.3	0.5	0.4	1.0	1.0	1.1	0.8	0.5	2.8	0.3	1.5	0.1	0.0	0.0	0.0	4.2	2.9	2.6	0.0
27	4.7	0.0	0.0	0.0	0.0	0.0	0.0	0.0	0.0	0.2	0.0	0.0	0.7	0.5	1.0	0.0	0.0	0.0	1.2	0.0
28	12.4	7.6	5.9	2.2	3.6	2.0	0.5	4.1	7.3	5.0	3.9	4.0	5.2	4.9	5.3	1.0	5.2	6.5	6.0	0.0
29	3.2	0.0	0.0	0.0	0.0	0.0	0.0	0.0	0.5	0.0	0.0	1.6	0.2	0.0	0.0	0.0	2.7	2.5	2.2	1.1
30	7.7	8.3	7.6	7.2	8.5	4.8	5.3	9.8	7.8	4.6	5.1	6.6	9.2	9.2	8.6	7.0	1.8	2.6	2.0	7.2
Mittel	7.0	7.1	7.7	5.0	7.0	5.0	6.2	6.5	5.7	6.1	5.5	6.2	5.7	6.4	5.9	5.2	6.7	5.9	7.3	6.5

Tägliche Dauer des Sonnenscheins in Stunden. 1911.

Mai.

Tag	Lugano	Genf	Lausanne	Clarens	Siders	Chaux-de-Fonds	Neuenburg	Bern	Luzern	Basel	Buus	Plantahof	Hallau	Zürich	Haidenhaus	Wald	Davos	Arosa	St. Moritz	Säntis
1	9.1	7.8	6.5	2.9	7.3	6.0	8.6	4.1	3.4	7.7	8.9	5.4	8.6	5.5	4.0	2.0	4.5	1.6	6.1	1.4
2	12.5	13.3	13.7	11.1	12.1	12.4	12.9	13.2	13.2	13.1	12.5	11.0	12.1	12.8	10.1	7.8	11.1	12.1	11.8	8.2
3	12.4	12.3	11.7	9.7	9.2	7.1	9.9	11.9	12.6	12.0	11.7	11.2	12.1	13.2	13.1	12.8	11.5	11.8	11.7	10.7
4	10.5	9.9	8.8	5.6	8.0	1.5	8.0	9.3	10.3	4.1	7.8	11.7	10.6	11.1	11.5	10.8	10.2	10.6	10.5	9.5
5	5.2	0.0	0.0	0.0	0.1	0.0	0.0	0.0	0.0	0.0	0.0	0.0	0.0	0.0	0.0	0.0	0.0	0.0	1.2	0.0
6	10.1	8.3	6.6	4.3	2.9	2.9	4.2	0.0	0.0	3.1	0.5	1.3	0.6	0.0	0.0	0.0	0.9	0.0	4.1	0.0
7	9.1	9.3	11.7	7.6	4.2	3.3	4.7	7.6	2.6	4.5	2.6	2.2	1.3	4.1	1.5	0.0	5.1	1.6	3.1	0.9
8	0.0	4.9	6.2	4.5	5.7	0.0	0.0	0.0	0.0	0.9	0.3	5.7	0.2	0.1	0.2	5.3	6.8	2.6	0.0	10.4
9	2.2	9.3	9.7	8.4	4.6	6.2	7.7	8.3	8.4	7.3	6.7	5.9	4.2	5.2	3.7	4.2	3.5	5.7	2.5	7.2
10	9.6	11.1	6.2	5.4	0.0	2.2	2.4	6.2	3.2	6.3	5.0	7.5	11.6	7.6	11.7	7.6	4.1	4.8	3.5	1.9
11	3.5	4.1	7.0	3.3	8.0	5.1	8.0	7.1	5.0	5.3	4.9	3.3	6.5	7.7	6.0	4.8	4.6	3.6	8.9	2.9
12	3.7	10.1	6.3	6.5	3.3	4.1	5.9	5.4	5.8	5.5	4.8	6.3	4.1	5.3	4.1	5.1	4.9	5.9	3.4	5.0
13	2.0	4.1	4.6	1.4	7.9	2.9	4.5	5.6	7.4	6.7	6.8	6.6	6.4	7.0	7.3	5.8	6.6	6.6	5.0	6.9
14	0.0	2.8	0.0	0.0	2.1	1.9	0.0	0.3	2.8	0.0	0.6	2.2	1.2	1.5	2.2	1.8	4.9	0.3	1.9	3.8
15	0.0	8.1	12.0	9.2	7.1	8.3	9.6	7.5	6.6	9.7	9.0	4.5	7.0	6.7	7.0	2.7	4.5	2.2	2.0	5.5
16	1.7	4.5	6.0	6.2	3.0	5.3	5.7	3.5	5.5	7.5	5.0	8.7	8.3	7.3	6.4	5.8	8.1	6.8	2.3	5.6
17	0.0	6.9	6.2	2.6	4.1	3.4	5.9	4.5	8.9	5.2	9.4	3.5	5.9	7.7	6.8	2.3	2.7	1.8	0.5	4.8
18	0.2	0.9	0.0	0.0	0.0	0.0	0.0	0.0	0.0	0.0	0.0	0.0	0.0	0.0	0.0	6.1	0.1	0.0	0.5	0.0
19	1.3	10.0	12.0	5.0	7.6	4.7	3.3	2.0	1.8	6.0	0.4	0.1	7.0	1.5	2.6	0.0	0.5	0.0	1.0	0.0
20	10.1	11.9	13.5	2.2	9.2	2.2	7.7	7.4	7.9	4.0	4.5	1.7	3.4	5.9	1.7	2.0	2.4	0.0	4.1	0.0
21	6.7	8.3	13.5	4.8	7.8	6.4	11.7	8.5	0.9	3.6	7.0	7.5	8.6	8.3	10.2	10.0	6.5	5.2	7.3	4.0
22	11.0	14.2	14.9	11.4	6.7	10.9	11.4	10.5	12.3	14.4	13.1	10.0	12.7	11.5	12.6	10.6	9.5	9.7	12.3	5.3
23	8.6	9.6	8.6	4.4	4.0	1.9	6.2	6.7	5.6	1.8	0.9	7.4	0.7	5.0	2.1	3.4	7.9	4.0	5.4	0.2
24	9.6	10.8	8.7	5.7	0.0	6.8	5.5	5.3	2.0	5.9	4.8	1.9	2.7	1.6	0.5	1.4	2.5	1.1	1.9	0.0
25	12.7	10.6	13.9	9.2	8.2	11.7	12.5	13.3	13.3	12.4	9.9	5.5	4.8	7.2	3.3	5.6	2.8	2.2	5.8	1.1
26	0.0	11.4	9.7	9.0	7.5	7.8	5.9	7.9	6.4	9.9	9.3	3.9	9.9	8.1	9.1	3.0	4.4	5.3	2.7	1.2
27	11.1	8.8	9.6	6.5	6.2	8.5	8.4	7.2	7.8	12.6	10.2	6.1	11.4	11.3	10.5	8.8	6.7	5.3	6.2	1.5
28	7.1	9.9	9.8	5.9	6.5	11.4	13.0	12.1	12.9	13.4	12.9	9.9	11.6	14.1	12.4	9.9	8.0	7.6	7.2	7.8
29	0.0	8.4	7.6	7.0	4.0	5.3	8.5	7.8	8.5	7.9	11.4	4.2	9.7	7.2	7.0	7.2	3.7	2.8	0.4	7.1
30	5.1	8.5	6.1	1.0	8.0	2.9	4.6	5.3	10.0	5.7	6.0	10.7	5.8	9.3	6.5	5.3	6.7	6.2	5.6	7.1
31	7.1	9.6	6.4	2.2	4.7	0.8	3.4	4.1	4.8	4.7	4.2	4.7	6.0	3.3	3.1	2.0	4.5	2.4	2.4	2.3
Mittel	5.9	8.4	8.3	5.3	5.5	5.0	6.4	6.2	6.1	6.5	6.2	3.5	6.3	6.4	5.7	5.0	5.2	4.2	4.6	4.0

Juni.

1	4.2	7.4	6.6	5.3	2.1	5.4	7.9	6.2	3.9	6.7	6.7	3.9	4.4	3.1	3.6	1.1	0.8	1.0	1.1	8.7
2	1.9	4.5	4.1	1.9	0.0	3.5	4.0	4.7	3.7	3.8	3.6	4.5	3.2	4.2	2.2	2.6	4.2	2.7	2.4	2.6
3	0.3	7.3	8.8	8.6	4.7	6.1	6.2	7.7	7.8	7.3	6.5	7.9	5.3	7.7	8.3	12.4	4.3	6.3	2.6	7.7
4	13.0	13.6	9.4	10.3	9.9	7.6	6.0	5.5	8.7	7.7	7.6	4.5	8.1	5.4	2.1	6.4	0.5	0.2	2.8	2.1
5	11.7	12.5	14.8	11.3	10.3	11.6	11.1	12.5	10.5	9.6	8.3	3.0	7.0	8.2	6.8	8.3	2.4	3.3	5.4	1.4
6	12.2	14.1	14.2	10.8	11.1	14.0	14.0	14.7	14.6	13.2	13.4	11.6	13.5	14.3	12.6	12.3	11.3	9.6	9.1	6.8
7	13.2	14.3	15.6	12.3	13.2	14.2	14.0	15.0	14.9	14.6	13.9	13.1	13.7	14.5	13.4	13.1	12.1	13.4	12.7	13.2
8	13.3	14.5	14.2	12.1	12.3	12.8	12.6	13.6	14.7	13.9	13.4	12.3	9.2	13.6	12.9	13.0	11.7	12.1	11.4	10.6
9	8.4	7.6	8.0	5.5	8.8	8.3	7.6	7.8	9.8	10.8	9.1	8.0	10.8	10.0	10.5	9.4	6.4	5.9	7.9	3.9
10	1.1	0.0	0.0	0.0	0.0	0.0	0.0	0.0	0.0	0.0	0.0	0.0	0.0	0.0	0.0	0.0	0.0	0.0	0.0	0.0
11	12.0	13.7	11.6	7.8	10.9	10.5	11.2	12.2	9.9	12.5	13.4	10.2	9.7	13.1	12.4	7.0	8.1	2.3	8.9	2.6
12	6.0	13.4	14.0	11.3	7.6	10.5	12.4	12.3	11.8	13.9	12.0	6.7	11.6	10.6	11.0	7.3	5.9	3.6	6.1	2.8
13	0.0	0.3	0.0	0.0	0.2	0.0	0.0	0.2	1.3	0.7	0.0	1.0	0.0	0.6	0.5	1.2	2.4	0.0	0.0	0.4
14	6.5	6.5	2.5	1.6	1.9	3.6	4.0	3.7	2.8	4.8	3.3	1.4	3.7	1.9	0.4	1.5	1.0	0.0	2.5	0.4
15	13.4	14.1	13.9	11.5	10.2	8.6	10.3	13.7	10.6	13.3	10.6	4.5	8.5	10.0	5.2	8.2	4.7	5.2	8.1	0.0
16	8.3	3.4	1.8	0.1	1.4	2.6	3.9	5.4	10.2	9.2	7.2	10.6	11.6	13.0	10.9	11.6	11.6	10.4	9.2	13.1
17	4.7	7.7	8.2	4.2	6.9	4.4	5.0	5.1	7.0	5.2	4.0	6.4	4.7	5.6	3.1	4.5	6.7	6.4	3.3	4.8
18	4.6	8.0	7.5	0.6	2.8	2.4	2.4	4.1	7.8	1.7	1.1	9.2	2.2	5.1	3.0	5.3	10.0	11.4	7.8	5.1
19	0.0	1.3	0.0	0.6	5.3	0.0	0.0	1.8	2.4	0.8	0.5	7.7	0.0	1.3	3.7	3.8	4.8	6.6	1.1	5.2
20	3.7	8.3	8.9	3.8	3.0	6.7	7.2	5.6	5.0	8.6	6.4	0.0	8.2	5.2	0.0	0.0	0.0	0.0	0.0	0.0
21	13.4	13.7	11.9	10.5	12.5	6.6	8.6	10.2	9.0	11.6	9.7	6.5	5.6	9.8	8.9	10.2	5.6	2.7	7.9	4.8
22	12.8	14.7	15.6	12.3	12.7	9.4	12.6	13.7	14.3	13.3	13.1	12.9	13.7	14.5	13.8	13.0	10.4	8.3	12.4	11.8
23	7.9	7.2	7.9	3.5	3.7	7.9	9.5	7.6	8.5	9.2	7.7	8.9	7.6	6.8	8.5	8.0	9.5	8.6	6.3	8.7
24	0.9	0.4	0.0	0.0	2.2	0.0	10.0	0.0	2.5	0.0	0.0	4.1	0.0	2.2	0.5	3.3	5.8	9.5	2.2	7.1
25	0.0	0.0	0.0	0.0	0.0	0.0	0.0	0.0	1.7	0.0	0.0	4.2	0.0	0.2	0.0	12.2	3.7	3.9	4.3	3.4
26	6.8	13.4	13.2	8.0	7.5	6.5	10.6	7.9	1.9	9.1	5.8	2.5	6.5	2.6	3.1	2.3	4.2	0.0	4.0	1.0
27	9.5	10.8	5.2	1.0	7.8	0.2	12.7	2.7	1.3	0.0	0.4	0.0	0.1	0.4	1.0	0.0	0.6	0.0	6.8	0.0
28	13.4	14.9	15.8	12.5	13.5	12.9	14.0	14.4	14.0	14.9	13.2	10.6	13.4	13.7	12.5	13.2	8.4	9.3	12.2	10.7
29	13.4	15.0	15.8	12.5	13.0	14.3	14.1	14.8	14.6	15.1	14.0	13.3	14.0	14.8	13.3	13.3	12.4	13.7	12.5	14.0
30	5.6	10.0	8.5	4.6	7.9	7.8	7.6	8.6	10.0	6.4	6.2	9.4	6.9	7.0	6.6	9.2	10.5	10.3	10.7	8.4
Mittel	7.4	9.1	8.6	6.2	6.8	6.6	7.3	7.7	7.8	7.9	7.0	6.6	6.8	7.3	6.4	7.1	6.0	5.6	6.1	5.4

Tägliche Dauer des Sonnenscheins in Stunden. 1911.

Juli.

Tag	Lugano	Genf	Lausanne	Clarens	Siders	Chaux-de-Fonds	Neuenburg	Bern	Luzern	Basel	Buus	Plantahof	Hallau	Zürich	Haldenhaus	Wald	Davos	Arosa	St. Moritz	Säntis
1	7.0	10.4	10.7	7.4	5.2	6.7	4.0	6.8	5.2	0.1	0.5	2.8	0.5	0.2	0.4	0.0	3.2	2.1	3.6	0.2
2	8.6	13.4	11.9	4.6	4.8	7.4	12.7	9.2	6.6	9.7	7.9	3.0	11.8	8.1	7.5	4.7	4.5	3.4	6.6	2.6
3	11.9	11.8	10.7	7.0	10.6	10.1	11.4	8.8	1.2	11.6	8.6	4.2	10.5	4.7	6.7	13.2	5.1	1.1	10.7	0.2
4	6.5	6.6	7.2	1.9	3.9	7.4	6.6	5.5	2.3	9.7	8.7	7.3	10.3	9.8	9.1	9.0	8.0	3.5	5.8	7.9
5	8.1	14.7	15.5	12.0	11.6	14.4	14.1	14.6	14.6	14.7	14.0	12.5	14.1	14.4	13.7	13.0	11.5	12.7	10.7	13.7
6	6.6	14.8	15.6	12.4	12.0	14.5	14.0	14.8	14.8	14.7	13.9	13.1	13.7	14.5	13.6	13.1	12.2	13.0	12.0	12.6
7	8.0	14.4	15.6	12.4	10.9	14.5	14.1	14.6	14.9	14.9	14.2	12.6	13.9	14.4	13.9	13.2	11.5	12.6	10.4	13.4
8	13.1	13.7	15.7	12.5	11.9	14.4	14.1	14.9	14.8	14.6	13.6	13.1	13.5	14.2	13.0	13.1	11.8	13.3	12.0	13.0
9	13.2	14.9	15.7	12.2	13.0	14.0	13.6	13.2	14.0	13.3	12.0	12.2	11.9	13.1	10.7	11.8	10.1	10.2	8.8	1.6
10	4.2	13.1	13.7	11.8	10.3	13.6	12.4	11.0	9.4	14.0	14.0	8.1	13.6	14.4	13.6	11.7	6.6	7.4	4.5	6.2
11	9.7	14.7	15.4	12.5	12.8	14.5	14.1	14.8	14.8	13.1	13.8	12.0	13.9	14.4	13.6	13.1	12.3	9.6	12.3	7.1
12	12.4	14.6	15.4	10.9	12.4	14.3	14.0	14.6	14.2	14.0	13.7	12.9	13.7	14.3	13.7	13.1	12.0	12.1	12.1	11.3
13	9.1	9.4	9.5	5.1	4.7	8.5	7.8	10.3	9.6	6.5	6.1	3.8	8.6	10.5	10.6	10.3	1.3	0.6	1.4	4.8
14	7.2	10.3	12.7	11.0	8.5	11.2	10.5	14.2	10.9	10.7	10.2	2.7	8.3	12.4	9.5	6.3	1.5	1.0	0.6	2.8
15	10.9	12.5	12.8	10.2	10.2	10.5	9.8	11.1	11.5	10.3	9.4	9.5	7.6	10.3	8.0	7.6	8.7	7.3	7.8	8.1
16	11.8	13.7	12.4	9.6	8.9	11.8	12.6	12.2	9.0	8.6	7.6	4.8	11.1	13.4	9.4	12.5	5.0	4.8	3.6	1.1
17	12.7	14.2	14.9	12.4	11.3	13.5	13.7	13.7	11.9	14.4	13.1	10.5	13.0	13.8	13.5	12.5	12.0	12.6	10.0	6.2
18	10.7	13.6	13.9	11.1	10.3	14.1	13.5	14.3	14.6	14.5	13.4	11.3	13.7	13.8	12.9	13.0	9.2	10.8	6.3	13.0
19	7.5	7.1	10.3	7.0	8.5	12.1	11.2	11.5	12.5	14.1	12.8	8.2	13.1	13.2	13.0	12.9	7.6	7.7	7.6	12.0
20	7.7	14.1	14.6	10.8	12.0	13.8	12.8	13.6	14.0	14.2	12.2	12.1	11.5	12.8	12.2	12.2	9.5	8.2	6.6	7.8
21	12.7	14.1	14.8	11.9	12.1	13.8	13.5	14.1	13.9	14.0	13.2	12.6	12.7	14.0	13.3	12.8	11.9	13.0	11.1	11.4
22	12.3	14.2	14.2	12.2	9.5	13.0	13.6	13.6	14.2	14.5	13.8	12.6	13.9	14.3	13.4	13.2	12.0	13.3	12.0	10.9
23	11.3	12.9	10.1	6.8	9.0	10.9	11.3	11.1	13.3	13.8	13.0	12.8	13.8	13.8	13.3	12.2	11.8	12.7	9.6	12.8
24	10.7	10.9	10.9	6.2	6.3	7.2	6.7	8.4	7.6	10.3	8.9	6.1	7.8	9.4	5.6	5.9	6.4	4.3	6.0	4.8
25	12.7	14.1	14.4	11.9	12.4	10.5	10.9	13.1	13.0	10.9	10.0	11.1	11.4	12.0	11.6	11.5	11.0	10.8	11.9	9.5
26	12.8	13.8	14.4	12.4	12.4	11.4	12.5	13.4	13.7	13.0	12.2	12.8	13.2	13.4	13.0	12.5	12.1	13.3	12.4	11.0
27	12.7	14.2	14.7	11.8	12.6	13.0	13.4	14.1	13.6	13.8	12.4	11.6	13.4	13.5	12.6	12.6	12.0	11.2	12.3	7.8
28	12.4	9.8	10.0	9.5	9.6	10.6	11.4	9.5	11.7	11.5	12.0	12.2	8.6	10.9	10.9	10.4	12.0	12.8	11.2	9.9
29	12.3	12.9	13.7	12.1	12.7	13.4	13.2	13.4	14.0	13.4	12.8	12.2	12.4	13.8	12.0	12.8	11.7	11.9	8.3	12.3
30	10.2	10.9	11.6	9.3	10.3	10.0	8.5	10.0	11.2	9.4	7.2	10.3	8.4	11.4	7.7	9.4	8.6	8.7	8.3	7.8
31	6.0	8.7	8.0	4.9	6.3	6.5	6.0	5.1	5.8	6.7	6.5	5.5	7.1	7.5	7.7	2.4	4.6	4.8	6.0	5.0
Mittel	10.1	9.3	12.9	9.8	9.9	11.6	11.5	11.9	11.2	11.9	11.0	9.6	11.3	12.0	11.0	10.7	9.0	8.7	8.5	8.0

August.

1	11.6	10.2	8.5	7.9	9.8	11.8	11.6	12.1	12.7	7.4	10.9	12.7	13.1	13.1	13.3	12.8	11.7	13.1	5.8	13.2
2	10.3	10.2	8.9	6.9	3.6	5.6	5.7	5.8	5.0	6.4	4.7	6.6	5.8	6.0	8.5	4.3	8.1	5.5	9.1	5.2
3	12.3	13.3	11.6	11.7	10.8	10.6	10.5	13.0	12.2	11.1	9.6	8.9	10.1	12.5	11.4	11.3	9.9	8.0	9.4	5.9
4	9.0	12.6	12.4	9.1	5.8	9.3	11.1	8.4	6.6	10.9	11.1	1.7	6.5	8.7	7.4	6.9	4.5	3.1	5.1	2.2
5	10.0	13.8	13.8	11.3	10.7	10.6	10.7	10.5	11.0	11.1	6.3	7.6	10.3	10.3	10.9	8.8	8.3	8.9	10.3	7.1
6	8.9	8.4	7.9	7.0	6.2	5.6	5.2	4.3	5.0	6.7	9.8	6.9	6.8	6.0	7.1	6.2	7.4	8.5	7.1	5.4
7	9.6	10.6	12.0	8.1	7.9	12.1	12.7	12.5	11.5	12.4	11.9	9.9	11.2	11.5	11.3	9.1	5.3	5.8	6.9	4.1
8	12.4	13.5	14.5	12.1	10.9	13.4	13.4	13.4	13.8	13.6	12.7	12.5	13.2	13.5	13.2	12.5	11.6	11.5	11.2	12.8
9	12.3	13.3	14.5	11.8	11.9	13.4	13.3	13.4	13.7	13.7	13.2	12.3	13.6	13.6	12.9	12.6	11.2	12.7	11.9	10.6
10	11.5	13.5	14.5	11.9	12.3	13.1	13.2	13.7	13.6	13.5	12.8	12.3	13.5	13.3	12.8	12.5	11.8	12.7	11.4	12.2
11	11.5	13.6	14.5	11.8	12.1	13.2	13.0	13.3	13.4	13.3	12.8	12.1	13.0	13.3	12.9	12.5	11.5	11.6	11.0	10.8
12	11.8	11.5	14.4	11.7	10.9	13.4	13.2	13.6	13.6	13.5	12.9	11.9	12.6	13.5	12.9	12.6	11.2	11.2	9.7	10.4
13	10.4	10.8	10.7	10.0	8.6	10.3	12.7	13.2	13.5	13.0	12.0	12.0	11.9	12.9	12.3	12.5	11.6	12.7	10.0	10.8
14	10.9	11.2	13.1	10.0	10.2	10.4	10.5	12.2	11.4	10.9	8.9	9.5	10.5	8.7	8.9	9.0	9.4	7.1	8.5	7.6
15	11.0	11.5	10.8	5.4	6.4	9.1	10.0	10.0	10.4	10.2	9.0	7.9	7.9	8.6	7.3	7.2	7.4	6.8	6.1	6.4
16	12.0	13.3	13.7	11.7	9.8	12.8	12.9	12.8	9.8	11.1	11.1	9.1	9.8	12.1	11.8	10.2	8.9	6.9	10.1	3.2
17	12.3	13.4	13.9	10.4	11.8	12.7	12.6	13.0	12.8	12.8	12.1	11.3	12.2	13.0	11.0	11.9	11.2	11.8	11.5	11.3
18	10.8	13.4	13.7	10.2	11.5	12.5	12.2	13.0	12.6	12.5	11.6	10.4	11.2	12.0	10.2	10.9	11.3	11.4	11.5	12.0
19	11.7	13.4	13.5	10.5	11.6	12.4	12.6	12.9	13.0	13.1	12.5	11.3	12.8	13.0	12.7	12.0	11.5	12.3	11.5	12.9
20	4.6	7.6	6.2	5.6	5.0	4.7	5.1	7.1	7.1	6.6	5.8	4.2	6.4	5.7	5.8	5.7	6.4	3.9	5.5	4.3
21	0.4	5.0	4.8	3.4	2.4	3.8	4.2	4.4	4.9	4.6	4.5	3.4	5.2	5.1	4.3	4.2	2.6	3.2	0.0	3.0
22	1.4	3.6	2.1	1.0	2.8	3.8	2.5	2.7	4.2	5.5	4.1	0.7	3.5	4.2	3.8	4.6	1.7	0.5	1.7	2.5
23	2.8	1.5	0.0	0.0	0.8	8.1	0.0	0.0	3.6	0.8	0.2	2.4	0.1	1.3	0.4	2.4	2.4	1.7	1.3	2.8
24	5.9	12.4	10.3	6.4	8.7	6.9	4.8	8.2	6.6	9.7	8.4	3.4	8.8	8.5	9.0	6.6	6.0	4.5	4.8	1.8
25	12.1	12.9	12.7	9.1	11.3	6.1	8.6	11.7	11.2	9.6	8.2	5.8	8.3	11.2	10.1	9.9	6.5	5.8	4.7	4.0
26	5.0	9.8	6.9	4.7	5.1	3.9	4.6	6.6	5.5	8.9	6.6	0.7	4.0	6.3	3.1	0.0	1.2	0.9	1.5	1.6
27	12.1	13.1	13.7	10.4	11.7	12.6	12.0	13.2	12.7	13.2	11.9	10.8	12.5	12.7	11.6	11.6	11.1	11.6	11.2	10.5
28	12.1	12.9	13.3	10.2	11.8	11.3	12.3	12.8	12.7	13.2	12.0	10.6	12.9	12.8	11.9	11.5	11.1	11.5	10.9	12.7
29	11.9	12.9	13.4	10.5	11.6	11.5	10.0	12.2	12.1	10.8	9.5	10.5	11.4	11.0	11.2	10.0	11.0	11.4	10.1	11.2
30	12.0	12.1	11.6	10.1	10.9	7.9	11.2	11.3	9.4	9.7	9.4	9.8	7.2	11.0	6.6	8.2	10.0	10.3	9.7	5.2
31	9.3	11.8	12.4	6.4	10.3	12.4	11.2	12.2	8.3	11.0	11.1	5.9	10.8	9.4	10.6	6.8	6.9	5.7	8.0	4.0
Mittel	9.7	11.2	11.1	8.6	8.9	9.8	9.8	10.4	10.2	10.4	9.6	8.2	9.6	10.2	9.6	8.9	8.4	8.1	8.0	7.4

1911. **Tägliche Dauer des Sonnenscheins in Stunden.**

September.

Tag	Lugano	Genf	Lausanne	Clarens	Siders	Chaux-de-Fonds	Neuenburg	Bern	Luzern	Basel	Buus	Plantahof	Hallau	Zürich	Haidenhaus	Wald	Davos	Arosa	St. Moritz	Säntis
1	9.2	11.5	12.8	10.4	11.4	12.3	11.8	12.4	12.4	11.8	10.8	10.5	11.8	12.2	11.5	11.0	10.5	11.3	10.6	11.7
2	11.2	11.7	12.8	10.2	11.2	12.2	11.5	11.6	12.2	11.7	10.9	10.5	11.8	12.1	11.4	11.0	10.7	11.3	10.9	11.9
3	11.1	12.0	13.1	10.2	11.1	12.0	11.8	11.8	12.1	11.8	10.8	10.4	11.7	12.2	11.2	11.0	10.4	11.1	10.7	11.8
4	11.0	11.5	12.9	10.1	11.2	11.7	11.7	11.6	12.0	10.5	10.2	10.4	11.0	11.1	10.9	10.1	10.3	11.2	10.7	11.0
5	10.8	11.2	12.5	10.3	9.4	11.1	10.7	10.7	10.8	10.5	9.6	9.5	9.5	10.8	10.2	9.8	8.2	7.0	9.6	8.7
6	9.7	11.5	12.2	10.2	10.4	10.6	10.8	9.1	10.8	9.6	9.0	9.2	9.3	9.2	9.9	10.7	7.7	8.1	9.9	6.5
7	11.2	11.3	12.6	10.2	10.9	11.8	11.6	11.4	11.9	10.8	10.1	9.9	11.5	12.0	11.3	10.0	10.2	10.4	10.7	11.6
8	10.6	11.0	12.2	10.2	9.6	9.0	8.8	10.4	11.7	8.5	8.7	8.3	11.1	11.2	10.7	7.8	8.5	6.7	9.4	8.5
9	10.4	10.9	12.0	10.2	9.5	11.1	11.5	10.8	10.5	10.4	9.7	9.6	9.9	9.8	8.5	11.0	8.7	8.2	9.1	10.3
10	10.4	11.1	12.3	9.8	11.0	11.5	11.3	9.7	11.0	9.9	9.3	7.8	9.5	10.5	10.1	9.2	7.1	8.5	8.1	10.4
11	6.5	10.3	11.4	9.9	11.0	11.5	11.2	10.3	10.0	10.6	9.7	9.6	11.2	11.2	11.0	9.9	10.2	9.8	9.9	11.3
12	8.1	10.5	12.3	10.3	10.7	11.1	10.4	10.2	10.7	10.2	9.5	9.6	11.1	11.5	10.9	9.9	9.8	10.5	10.4	11.1
13	9.7	8.2	8.8	8.2	10.0	9.3	9.6	6.5	8.5	8.8	7.4	7.9	9.7	10.1	8.7	9.4	7.0	5.9	8.9	9.9
14	6.0	5.5	6.8	5.3	6.4	6.0	7.7	6.7	6.3	8.7	7.8	7.9	8.9	8.5	9.3	6.3	6.9	6.8	4.2	8.8
15	2.5	4.9	5.5	2.2	5.8	3.1	3.3	3.2	0.3	0.0	0.0	0.0	0.7	0.4	0.0	0.0	0.1	0.0	0.7	0.1
16	1.6	0.0	2.1	0.0	0.0	0.0	0.0	0.0	0.0	0.0	0.0	0.0	0.0	0.0	0.0	0.0	0.0	0.0	0.0	0.0
17	5.6	1.2	0.0	0.0	0.0	4.7	4.3	1.6	1.0	6.6	4.9	1.4	6.3	4.0	5.4	0.3	2.9	0.4	0.4	0.0
18	10.3	10.9	12.0	9.3	10.1	10.5	9.7	10.0	10.2	9.9	8.9	6.8	6.7	8.8	5.9	6.6	4.4	2.5	7.5	2.3
19	10.1	10.1	11.4	8.5	9.6	10.3	9.8	9.0	10.2	9.6	8.6	8.7	10.1	10.7	10.2	9.4	8.7	9.1	8.8	10.1
20	4.4	6.4	7.7	6.2	5.2	5.9	5.3	5.8	5.5	5.7	5.5	4.8	6.1	5.8	3.4	4.4	4.7	4.3	4.4	5.3
21	0.0	0.0	0.0	0.0	0.0	0.0	0.0	0.0	1.5	0.0	0.1	2.7	0.2	0.7	1.2	0.0	1.8	3.1	0.0	3.5
22	0.0	0.0	0.0	0.0	0.0	0.0	0.0	0.0	0.0	0.1	0.0	0.0	0.0	0.0	0.0	0.0	0.0	0.0	0.0	0.0
23	0.0	0.0	0.0	0.0	0.0	0.0	0.0	0.0	0.0	0.0	0.0	0.0	0.0	0.0	0.0	0.0	0.0	0.0	0.0	0.0
24	10.0	2.8	0.0	0.0	2.0	0.0	0.6	0.7	0.6	0.2	0.3	2.0	0.2	0.6	0.0	0.0	1.7	2.0	8.0	0.0
25	10.2	9.6	10.5	7.8	8.0	1.1	4.8	6.3	6.4	0.4	0.3	1.5	1.9	6.3	7.3	7.1	4.1	1.7	4.2	2.9
26	10.4	9.6	9.4	9.2	9.3	9.5	7.8	8.0	1.1	6.2	5.6	9.0	3.6	4.0	4.9	9.1	9.3	10.1	9.8	10.5
27	10.4	9.9	11.3	9.5	9.2	6.9	7.5	8.6	9.1	9.5	7.3	8.8	9.4	7.7	8.8	9.1	9.6	10.2	9.7	10.7
28	8.8	7.8	7.6	4.0	5.1	2.3	4.6	3.5	2.0	3.4	1.8	1.5	2.0	0.7	0.6	0.0	1.8	3.3	8.4	0.0
29	7.6	0.0	0.0	0.0	1.3	0.0	0.0	0.0	0.0	0.1	0.0	0.0	1.3	0.2	0.6	0.0	0.0	0.0	2.8	0.0
30	2.5	2.9	0.0	0.0	0.5	0.0	0.0	0.0	0.1	0.1	0.6	0.0	1.1	1.5	0.0	0.0	0.5	0.6	1.7	0.4
Mittel	7.7	7.5	8.1	6.4	7.0	6.9	6.9	6.7	6.6	6.5	5.9	5.9	6.6	6.8	6.5	6.1	5.9	5.8	6.6	6.3

Oktober.

Tag	Lugano	Genf	Lausanne	Clarens	Siders	Chaux-de-Fonds	Neuenburg	Bern	Luzern	Basel	Buus	Plantahof	Hallau	Zürich	Haidenhaus	Wald	Davos	Arosa	St. Moritz	Säntis
1	0.2	0.0	0.0	0.0	0.0	0.0	0.0	0.2	0.0	0.2	0.1	0.0	0.0	0.0	0.0	0.0	0.0	0.0	0.0	0.0
2	8.9	6.6	8.3	0.9	5.9	3.0	6.1	5.4	0.0	2.8	1.5	0.0	0.9	0.2	1.1	0.0	0.1	0.0	0.0	0.0
3	0.0	7.9	9.8	6.3	0.4	7.2	5.5	6.8	9.0	6.6	5.5	7.0	7.1	9.6	8.2	8.5	6.7	6.1	1.7	8.9
4	0.0	0.0	0.0	0.0	0.0	0.0	0.0	0.0	0.1	0.0	0.0	2.9	0.1	0.0	0.1	0.0	2.8	1.7	0.0	0.0
5	0.0	0.3	0.0	0.0	0.0	0.6	0.0	0.3	0.0	0.0	0.1	0.0	0.0	0.0	0.0	0.0	0.0	0.0	0.0	0.0
6	0.0	0.0	0.0	2.7	0.2	5.3	0.0	0.0	0.0	0.1	0.1	4.4	0.4	0.0	0.0	0.0	1.8	1.7	0.0	0.2
7	3.4	7.6	8.7	7.2	7.0	8.0	7.1	5.5	2.6	6.8	4.7	7.5	4.5	3.1	3.7	2.1	7.5	5.0	4.8	6.2
8	1.7	1.2	0.2	0.9	2.2	0.0	0.0	0.2	2.6	0.1	0.4	4.7	0.5	1.2	0.9	2.6	3.5	4.0	2.8	5.3
9	2.6	3.0	2.8	3.0	7.2	5.4	0.0	3.1	1.4	2.5	4.8	8.0	3.9	2.0	5.9	6.8	7.3	7.9	6.6	8.4
10	9.9	6.1	5.4	2.5	6.1	0.0	0.0	0.1	0.0	0.0	0.0	0.0	0.0	0.0	0.0	0.0	0.4	0.0	4.5	0.3
11	0.0	0.0	0.0	0.0	8.5	10.0	1.2	0.0	0.0	7.3	8.3	8.2	10.4	6.6	8.9	7.6	8.2	8.6	6.9	10.4
12	5.7	0.0	0.0	0.0	8.0	9.4	0.0	3.1	3.3	9.4	7.5	8.1	1.3	5.3	4.0	8.0	8.0	8.6	9.4	10.5
13	9.6	0.0	0.5	3.2	7.2	7.6	2.7	4.0	0.0	8.9	6.6	8.2	0.0	0.1	1.9	0.1	7.8	8.5	9.2	10.6
14	9.4	2.9	0.9	1.9	6.8	0.6	0.6	3.4	3.1	1.0	1.8	8.0	3.0	1.7	1.1	1.1	7.8	8.4	9.3	7.7
15	8.3	5.2	4.4	6.1	8.4	8.0	5.1	9.3	6.8	1.9	5.4	7.9	7.5	7.0	6.9	5.3	7.9	8.3	9.2	9.7
16	7.1	4.9	9.3	7.9	5.9	8.3	2.8	7.2	1.9	1.3	1.2	7.8	0.2	0.9	0.0	3.4	7.7	8.4	8.9	10.5
17	2.3	1.6	1.5	1.7	7.5	8.4	0.0	0.0	0.0	4.2	0.0	7.8	0.6	2.3	0.0	4.4	7.7	8.2	1.2	10.3
18	7.0	4.9	9.2	5.8	8.1	9.7	3.2	6.9	3.7	9.0	7.4	7.7	5.5	6.1	4.8	6.8	7.7	8.2	7.2	10.1
19	5.3	0.4	3.4	2.5	5.3	5.1	2.0	5.7	5.5	4.5	5.8	7.7	4.5	7.2	8.6	6.4	7.6	7.7	8.0	10.4
20	1.9	5.5	6.0	3.5	2.6	4.5	2.0	3.1	1.0	4.0	1.9	0.6	1.0	0.4	0.0	0.0	0.1	0.3	1.1	0.0
21	8.4	5.3	6.0	4.9	6.7	6.9	0.5	8.0	5.6	7.0	6.1	7.4	3.5	5.7	6.0	6.3	7.5	8.1	8.6	9.0
22	0.0	4.2	2.5	1.8	1.0	5.2	3.6	2.2	1.0	4.1	4.7	4.8	5.0	3.2	2.7	0.2	1.9	3.1	0.0	2.7
23	5.4	7.1	8.1	3.6	7.6	4.6	5.4	7.6	8.6	4.0	2.5	7.3	6.3	8.3	5.1	1.0	7.3	8.0	7.3	7.4
24	3.5	6.3	4.7	4.4	3.6	1.9	1.4	2.0	1.5	1.0	0.3	0.0	2.1	2.5	1.0	0.0	0.0	0.0	0.0	0.0
25	0.0	0.6	2.7	0.0	2.0	1.9	0.2	3.5	2.5	2.5	2.0	4.3	0.9	1.0	4.1	3.0	5.7	4.5	4.5	2.9
26	8.8	6.6	5.4	7.2	7.2	5.4	4.8	7.7	8.8	7.8	6.8	7.1	7.4	9.1	7.4	6.1	7.1	8.1	7.2	8.1
27	0.0	2.1	0.0	1.1	5.9	0.0	0.7	2.0	6.6	0.2	0.0	4.8	1.1	4.1	3.3	3.4	3.4	3.6	0.0	6.2
28	7.6	2.4	3.1	1.6	6.1	0.0	2.3	4.6	2.5	1.6	0.5	1.5	0.2	0.8	0.1	0.0	2.6	3.5	3.1	0.0
29	2.9	0.5	3.9	4.2	5.3	0.0	1.0	1.8	0.1	0.0	0.0	1.8	0.0	0.0	0.0	0.0	3.8	6.6	4.3	0.1
30	8.8	7.4	8.4	6.3	7.5	9.3	8.6	6.9	5.7	8.3	7.1	7.1	6.6	4.8	3.1	4.4	7.0	7.9	8.1	9.7
31	8.6	5.9	6.9	4.8	4.7	3.4	0.0	3.0	5.9	2.4	3.1	6.9	0.6	4.5	5.3	4.8	6.9	7.7	8.3	7.7
Mittel	4.4	3.4	3.9	3.1	5.0	4.5	2.2	3.7	2.9	3.5	3.1	5.1	2.7	3.2	3.0	3.0	5.0	5.2	4.6	5.6

Tägliche Dauer des Sonnenscheins in Stunden. 1911.

November.

Tag	Lugano	Genf	Lausanne	Clarens	Siders	Chaux-de-Fonds	Neuenburg	Bern	Luzern	Basel	Buus	Plantahof	Hallau	Zürich	Haldenhaus	Wald	Davos	Arosa	St. Moritz	Säntis
1	1.3	7.5	7.3	6.8	5.6	1.4	3.5	6.0	4.9	3.9	1.9	4.8	3.2	3.5	1.8	6.2	1.8	2.1	2.5	7.0
2	1.3	5.1	7.9	8.2	7.2	9.1	0.4	2.4	0.0	4.4	2.2	7.0	4.8	2.8	2.5	6.7	6.9	7.7	8.2	9.7
3	8.8	0.0	1.7	4.7	6.7	8.8	0.0	0.0	0.0	4.1	6.1	6.9	4.7	5.3	4.7	4.3	6.7	7.0	8.1	7.4
4	7.1	4.5	4.4	5.4	5.4	6.6	4.0	4.6	3.1	6.6	4.9	6.1	4.3	4.0	4.8	7.5	6.2	7.1	6.6	8.4
5	7.9	5.6	5.4	5.6	6.8	5.7	3.6	3.0	5.4	4.6	3.6	4.3	4.2	6.2	0.7	4.4	4.7	5.1	4.4	3.2
6	3.2	4.2	3.2	0.4	2.4	3.8	3.4	2.3	0.6	4.7	4.2	0.0	3.8	2.5	1.2	0.0	1.2	0.7	4.1	0.0
7	8.5	8.8	8.9	7.8	6.5	7.6	8.4	8.7	7.5	7.9	6.0	6.5	7.8	8.9	7.7	8.6	6.3	6.3	7.8	9.4
8	3.4	6.2	6.8	4.6	6.1	6.2	1.4	7.0	4.8	8.0	6.6	6.5	5.9	4.7	2.7	8.7	6.8	7.4	7.7	9.3
9	0.0	0.0	0.0	0.0	0.0	0.0	0.0	0.0	0.0	0.0	0.0	4.1	0.0	0.0	0.0	0.0	3.7	1.2	0.0	0.0
10	0.0	0.0	0.0	0.0	0.0	0.0	0.0	0.0	0.0	0.0	0.0	0.0	0.0	0.0	0.0	0.0	0.0	0.0	0.0	0.0
11	1.9	4.6	5.9	5.2	2.7	7.1	6.2	5.0	3.9	7.3	5.9	0.0	4.1	5.1	3.1	3.1	0.0	0.0	2.2	2.3
12	2.4	0.2	0.0	0.0	0.0	0.0	0.0	0.0	0.0	0.0	0.0	1.5	0.0	0.1	0.1	1.5	2.6	1.6	2.5	1.2
13	0.0	0.0	0.0	0.0	0.0	0.0	0.0	0.0	0.0	0.0	0.0	6.2	0.0	0.0	0.0	0.0	0.0	0.0	0.0	0.0
14	7.7	0.6	6.8	7.5	0.0	0.0	0.0	1.1	1.4	0.1	0.0	6.3	0.8	0.0	0.0	2.8	6.3	5.9	4.7	7.6
15	0.0	6.3	4.8	6.8	6.4	7.6	3.8	5.2	5.0	8.1	6.1	0.0	2.2	3.4	3.6	7.5	6.3	7.0	7.1	9.0
16	7.6	6.8	2.5	3.4	6.1	0.2	1.9	4.9	3.1	2.0	0.7	4.8	2.2	4.4	2.1	2.5	5.7	6.1	6.1	1.3
17	4.4	2.6	3.0	2.1	2.7	1.0	0.4	3.9	5.0	3.0	2.9	4.4	2.3	5.3	4.0	5.2	4.9	4.4	4.9	5.3
18	0.0	3.7	3.0	1.4	3.3	3.3	2.5	1.7	2.0	3.1	2.5	0.0	1.6	1.5	1.7	0.0	0.0	0.0	0.0	1.6
19	7.4	1.8	1.2	0.0	1.0	0.0	1.3	4.4	5.3	2.6	1.5	0.3	2.1	5.2	2.6	4.0	2.7	2.9	4.0	0.0
20	7.6	1.0	0.4	0.0	0.0	4.1	0.3	3.2	5.3	5.5	2.6	2.0	2.1	5.1	4.5	1.3	1.4	1.2	2.3	0.0
21	1.8	1.3	0.7	1.1	2.3	0.0	0.0	0.7	1.2	0.0	0.0	4.9	0.0	0.0	0.0	0.2	2.9	2.5	0.5	1.0
22	0.0	1.4	2.4	3.3	4.5	1.9	2.1	4.5	6.4	0.0	2.8	5.1	4.7	7.3	4.9	5.9	5.8	4.1	4.4	5.1
23	0.0	2.4	2.5	0.5	1.9	1.1	0.0	1.8	3.3	0.0	0.0	0.4	0.0	1.0	0.8	1.4	0.0	0.0	0.0	2.2
24	0.0	0.0	0.0	0.0	0.0	1.3	0.0	0.0	0.0	0.0	0.0	0.0	0.0	0.0	0.0	0.0	0.9	0.4	0.0	0.0
25	6.1	0.0	0.0	0.3	6.5	4.3	0.0	0.0	0.0	0.0	0.0	4.1	0.0	1.0	0.0	6.3	3.7	3.0	5.8	3.0
26	0.4	7.9	7.9	5.8	6.0	3.1	3.6	6.4	3.7	0.6	0.8	4.7	0.0	3.6	0.0	5.9	4.8	5.5	2.9	5.8
27	0.0	0.0	0.4	0.8	5.0	0.0	0.0	1.0	1.5	0.0	0.1	3.3	0.3	2.2	0.0	4.8	4.9	3.8	2.0	7.2
28	0.0	1.7	0.0	0.9	2.0	0.3	0.0	1.0	0.0	0.1	0.7	4.3	0.1	0.0	1.3	0.0	1.4	2.0	0.0	3.3
29	1.1	2.2	2.0	0.0	4.7	3.3	0.0	2.7	0.0	5.5	5.1	2.6	0.0	0.0	6.3	7.5	3.1	2.6	3.9	7.9
30	7.2	0.0	0.0	1.3	6.5	7.8	0.0	0.0	0.0	0.8	0.0	4.0	0.6	0.0	0.4	2.6	5.8	6.6	6.0	8.5
Mittel	3.2	2.9	3.0	2.8	3.6	3.2	1.2	2.7	2.4	2.8	2.2	3.5	2.1	2.8	2.1	3.6	3.6	3.5	3.6	4.2

Dezember.

Tag																				
1	1.9	0.0	0.0	2.8	6.1	6.6	0.0	0.0	0.0	0.0	0.0	5.0	0.0	0.0	0.0	0.0	5.7	6.4	4.7	8.5
2	0.0	0.0	4.7	6.6	5.8	6.4	0.0	0.0	0.0	7.3	5.1	5.5	1.9	4.8	3.7	7.4	5.7	6.5	5.8	8.6
3	7.1	1.7	2.8	6.4	6.8	6.0	0.0	4.4	3.9	5.3	4.3	5.6	1.9	5.2	4.0	7.7	5.7	5.9	5.8	7.6
4	0.0	0.0	0.0	0.0	0.0	0.0	0.0	0.0	0.3	0.0	0.0	2.5	0.0	0.0	0.0	0.5	3.5	3.9	3.6	3.3
5	0.0	0.9	0.6	1.2	2.1	0.7	0.0	1.1	0.1	5.1	1.2	5.4	0.0	0.6	2.9	0.0	5.6	6.3	3.1	7.2
6	0.0	0.4	0.8	1.7	3.4	0.9	0.0	2.5	0.0	2.1	2.0	2.6	1.6	3.3	2.3	5.3	2.9	3.0	3.6	4.3
7	0.0	0.0	3.2	2.1	4.3	1.8	0.0	0.8	0.0	4.4	3.4	5.0	0.0	0.1	0.0	6.6	3.4	2.7	0.0	7.2
8	0.0	5.6	2.9	0.0	2.7	2.3	2.1	0.0	0.0	2.4	0.0	0.0	0.0	0.0	0.0	0.0	0.0	0.0	0.0	1.1
9	0.0	2.5	3.5	0.3	2.4	0.0	0.7	3.0	0.0	1.2	0.8	0.0	0.0	0.2	0.0	0.0	0.2	0.0	0.0	0.4
10	4.4	0.0	0.0	1.0	0.0	1.1	0.0	2.0	3.1	2.2	1.2	3.1	3.2	3.2	3.3	3.7	2.9	4.0	3.1	4.5
11	0.0	0.0	0.0	0.0	0.0	0.0	0.0	0.0	0.0	0.0	0.0	0.0	0.0	0.0	0.0	0.0	0.0	0.0	0.0	0.0
12	6.9	2.5	0.0	0.4	1.5	0.0	0.0	0.2	0.2	1.1	0.3	0.0	0.1	0.2	0.0	0.0	0.5	0.0	0.0	0.0
13	0.0	0.1	1.3	0.9	1.3	0.0	0.0	0.0	0.4	0.0	0.0	0.5	0.0	0.0	0.0	0.0	0.3	0.0	0.0	0.0
14	3.9	3.6	1.8	0.4	4.3	3.4	0.0	1.0	2.4	1.7	1.6	4.5	1.0	2.2	1.0	2.7	5.4	5.7	4.8	1.9
15	0.0	0.0	0.0	0.6	0.6	0.0	0.0	0.0	0.0	0.4	0.0	0.5	0.0	0.0	0.6	1.6	1.1	0.0	0.0	3.8
16	3.7	2.7	6.0	5.4	6.2	6.0	5.0	5.3	3.7	5.9	4.4	0.0	2.6	3.3	1.2	5.6	0.0	0.9	0.0	0.4
17	6.9	6.9	7.9	6.5	6.7	6.0	1.5	6.4	0.0	7.4	5.1	5.2	0.0	1.3	0.0	7.2	4.9	5.7	4.7	7.2
18	6.8	0.0	0.0	0.6	6.8	7.1	0.0	6.1	0.0	6.5	3.8	5.0	0.0	0.0	0.0	6.8	5.3	5.7	2.8	7.3
19	6.3	0.0	0.0	0.0	0.0	0.0	0.0	0.0	0.0	0.2	0.0	3.9	0.0	0.0	1.0	4.8	4.6	5.3	3.7	4.8
20	0.0	0.2	0.6	0.0	0.0	0.0	0.0	0.3	1.8	0.3	0.0	2.8	0.0	1.0	0.2	0.0	1.9	2.2	0.0	2.0
21	0.0	3.6	1.6	1.4	0.0	0.0	0.0	2.2	2.1	2.0	2.2	2.9	1.1	3.7	1.3	4.2	4.4	3.7	3.4	1.6
22	6.4	1.6	1.0	0.4	0.0	1.3	0.7	2.7	2.3	4.6	1.9	0.3	0.0	1.4	0.0	0.0	1.2	0.0	2.2	0.0
23	6.5	1.5	0.3	0.0	0.0	0.0	1.1	0.3	0.3	0.5	0.0	0.0	0.0	0.0	0.0	0.0	0.0	0.0	0.0	0.0
24	5.7	0.1	0.0	0.0	0.0	0.0	0.0	0.0	0.3	0.3	0.7	3.7	0.0	0.4	1.5	3.0	3.0	4.5	3.7	2.7
25	0.0	0.0	0.0	0.0	0.0	0.0	0.0	0.0	0.0	0.3	0.1	0.0	0.0	0.1	0.0	0.0	0.0	0.0	0.0	0.0
26	6.7	0.7	0.0	0.0	0.0	0.0	0.0	1.4	3.4	1.5	2.5	0.0	0.6	4.5	0.9	0.2	0.0	0.0	0.0	0.0
27	0.0	0.0	0.0	0.0	0.0	0.0	0.0	0.0	0.0	0.0	0.0	0.0	0.1	0.0	1.0	0.0	0.0	0.0	0.0	0.0
28	6.9	0.9	0.0	0.0	0.0	0.0	0.0	0.0	0.0	0.6	0.4	0.0	0.0	0.0	0.0	0.0	2.1	1.3	5.2	0.0
29	1.3	6.9	6.6	0.0	0.0	0.0	0.4	0.1	0.0	0.0	0.0	0.0	0.0	0.0	0.0	0.0	0.0	0.0	0.0	0.0
30	2.4	0.0	0.0	1.7	5.9	6.5	0.0	0.0	0.0	0.0	0.0	5.2	0.0	0.0	0.0	4.0	5.4	4.4	5.4	7.3
31	6.9	0.0	0.0	0.0	0.0	2.6	0.0	0.0	0.0	1.7	1.9	1.1	3.6	3.5	2.9	2.3	1.6	0.0	5.5	7.8
Mittel	2.9	1.4	1.5	1.3	2.2	1.9	0.4	1.3	0.8	2.1	1.4	2.3	0.6	1.3	0.9	2.4	2.5	2.5	2.3	3.2

Täglicher Gang der Sonnenscheindauer.

1911.

Lugano.

	4–5ª	5–6ª	6–7ª	7–8ª	8–9ª	9–10ª	10–11ª	11–12ª	12ª–1ᵖ	1–2ᵖ	2–3ᵖ	3–4ᵖ	4–5ᵖ	5–6ᵖ	6–7ᵖ	7–8ᵖ	Monats-Summe
Januar	—	—	—	—	2.5	15.6	19.5	19.8	19.4	19.4	19.9	19.2	5.6	—	—	—	140.9
Februar	—	—	—	3.5	16.3	15.9	17.2	17.7	18.2	17.4	17.9	17.4	13.5	1.2	—	—	156.2
März	—	—	—	5.6	11.6	13.9	12.5	11.9	11.9	12.6	13.9	16.2	10.6	0.6	—	—	121.3
April	—	—	11.1	17.7	19.2	20.2	20.5	21.5	20.9	21.0	19.4	18.9	18.2	14.9	4.2	—	227.7
Mai	—	—	9.7	12.5	15.5	15.5	14.8	16.9	15.0	16.0	17.3	15.5	15.4	13.2	4.9	—	182.2
Juni	—	2.0	13.7	16.0	16.3	18.9	18.4	18.9	15.9	16.5	19.3	17.7	17.5	15.7	12.9	2.5	222.2
Juli	—	0.6	19.5	23.7	26.1	26.3	26.8	28.4	27.5	26.7	26.7	25.5	24.0	19.6	11.5	0.1	313.0
August	—	—	16.2	24.5	24.8	26.8	25.8	27.0	27.1	27.3	27.0	23.8	24.2	19.6	5.8	—	299.9
September	—	—	3.9	17.7	19.5	22.0	22.7	24.2	23.0	22.0	22.4	21.9	22.8	8.2	—	—	230.3
Oktober	—	—	—	3.6	12.5	14.2	13.9	14.6	14.3	17.2	17.6	17.7	11.3	0.3	—	—	137.2
November	—	—	—	—	5.6	11.9	12.4	13.2	12.2	12.2	12.6	11.8	5.3	—	—	—	97.2
Dezember	—	—	—	—	—	10.4	13.2	12.8	12.2	13.0	14.1	13.3	1.7	—	—	—	90.7
Jahres-Summe	—	2.8	74.1	124.8	169.9	211.6	217.7	226.9	217.6	221.3	228.1	218.9	169.9	93.3	39.3	2.6	2218.8

Genf.

Januar	—	—	—	—	1.7	6.5	6.5	8.0	8.0	9.8	9.6	9.6	0.6	—	—	—	60.3
Februar	—	—	—	3.9	10.4	14.7	17.3	17.1	19.1	17.9	16.4	15.0	8.1	0.4	—	—	140.3
März	—	—	0.5	4.1	10.1	13.7	14.8	16.0	17.4	15.0	14.5	13.4	8.8	0.2	—	—	128.5
April	—	3.4	12.8	15.7	17.2	17.3	19.4	19.5	20.1	19.8	16.2	15.7	15.6	13.2	6.6	—	212.5
Mai	0.3	6.3	14.5	16.1	21.9	23.2	24.1	24.0	25.0	22.8	21.4	18.3	17.1	14.9	9.1	0.7	259.7
Juni	4.1	14.5	19.1	21.9	21.7	21.4	20.9	21.7	19.9	17.7	19.7	17.7	16.2	16.0	14.7	5.4	272.6
Juli	3.0	24.8	27.9	28.1	28.4	27.8	29.0	28.7	29.4	27.9	27.2	25.8	24.9	25.1	22.9	7.6	388.5
August	0.1	13.2	23.6	27.1	30.0	29.2	29.8	29.4	27.5	27.6	25.2	25.7	22.7	21.4	14.5	0.1	347.1
September	—	—	6.5	19.1	21.5	23.7	22.4	22.6	22.6	20.1	19.1	19.4	17.0	10.0	0.3	—	224.3
Oktober	—	—	—	2.6	5.7	8.2	10.6	12.3	16.3	16.9	14.0	12.0	7.5	0.4	—	—	106.5
November	—	—	—	0.4	4.1	9.2	9.2	11.7	13.5	13.0	11.4	10.2	3.3	0.4	—	—	86.4
Dezember	—	—	—	—	0.6	3.0	5.1	7.4	7.3	8.5	5.9	3.9	0.6	—	—	—	42.3
Jahres-Summe	7.5	62.2	104.9	139.0	173.3	197.9	209.1	218.4	226.1	217.0	200.6	186.7	142.4	102.0	68.1	13.8	2269.0

Lausanne.

Januar	—	—	—	7.1	13.3	15.0	13.7	13.3	11.5	12.5	9.7	1.4	—	—	—	—	97.5
Februar	—	—	—	3.8	12.3	14.0	16.0	15.2	14.5	16.7	16.7	15.5	7.8	0.1	—	—	132.6
März	—	—	0.1	4.2	9.3	14.0	15.1	16.6	16.2	15.6	12.2	10.8	7.7	0.1	—	—	121.9
April	—	12.0	15.7	14.3	16.8	18.8	19.4	21.0	19.3	17.7	17.4	18.0	17.2	14.7	10.3	—	232.6
Mai	2.5	12.7	16.2	19.8	18.4	19.9	21.5	21.9	21.9	21.1	20.3	20.4	16.6	13.7	8.6	1.9	257.4
Juni	8.5	13.8	14.9	16.2	18.4	20.6	18.5	19.7	19.7	17.9	17.5	17.1	16.7	14.4	14.5	9.7	258.1
Juli	11.8	25.6	27.3	26.8	28.3	29.5	29.4	28.6	29.2	28.1	25.4	27.7	25.6	24.5	21.7	11.5	401.0
August	2.2	17.2	22.5	22.8	26.4	28.9	29.7	29.2	28.2	27.0	23.2	23.4	23.6	21.6	16.4	2.0	344.3
September	—	2.9	15.5	18.6	21.0	20.5	21.4	21.6	21.6	20.9	20.4	19.5	17.2	16.7	4.3	—	242.1
Oktober	—	—	1.4	7.0	10.0	11.5	10.6	11.9	13.1	15.4	15.4	13.5	10.3	2.1	—	—	122.2
November	—	—	—	1.6	5.4	8.1	8.3	11.0	13.1	13.4	12.6	10.6	4.9	0.1	—	—	89.1
Dezember	—	—	—	—	2.6	4.0	5.6	8.1	6.4	7.7	6.3	4.3	0.7	—	—	—	45.7
Jahres-Summe	25.0	84.2	113.6	142.2	182.2	204.8	209.2	218.1	214.7	214.0	197.1	182.2	148.3	108.0	75.8	25.1	2344.5

Clarens.

Januar	—	—	—	—	2.0	12.6	15.5	17.1	12.2	10.9	11.7	4.2	—	—	—	—	86.2
Februar	—	—	—	0.3	11.2	15.8	18.0	17.4	16.6	14.6	14.9	12.5	3.7	—	—	—	125.0
März	—	—	—	1.4	12.2	12.6	14.6	15.4	15.9	12.1	11.7	10.3	6.0	0.3	—	—	112.5
April	—	—	1.1	9.8	15.7	17.7	19.4	16.7	15.9	16.4	15.7	14.3	13.8	10.1	0.1	—	166.7
Mai	—	—	9.8	7.8	17.3	17.8	19.1	16.9	16.4	15.8	16.0	11.3	7.7	6.2	0.8	—	162.9
Juni	—	—	10.8	12.7	15.7	17.1	15.9	17.5	16.2	14.3	15.9	14.3	14.9	14.0	5.2	—	184.5
Juli	—	—	23.8	25.7	27.5	28.4	28.8	28.8	25.8	24.0	24.5	22.8	20.7	17.9	5.1	—	303.8
August	—	—	9.1	15.9	22.8	26.9	27.0	27.1	27.3	25.3	21.6	22.5	22.4	17.2	2.3	—	267.4
September	—	—	—	9.2	17.8	19.7	21.6	21.6	21.4	19.0	18.9	18.4	16.1	8.4	—	—	192.1
Oktober	—	—	—	0.3	10.6	11.6	12.8	14.5	14.3	6.5	12.1	8.1	5.2	—	—	—	96.0
November	—	—	—	—	4.9	11.0	12.5	13.3	13.4	8.1	10.4	8.8	1.6	—	—	—	84.0
Dezember	—	—	—	—	—	5.5	8.5	7.3	7.1	4.6	4.5	2.5	0.3	—	—	—	40.3
Jahres-Summe	—	—	54.6	83.1	157.7	196.7	213.7	213.6	202.5	171.6	177.9	150.0	112.4	74.1	13.5	—	1821.4

Täglicher Gang der Sonnenscheindauer.

Siders.

1911.

	4–5ª	5–6ª	6–7ª	7–8ª	8–9ª	9–10ª	10–11ª	11–12ª	12ª–1P	1–2P	2–3P	3–4P	4–5P	5–6P	6–7P	7–8P	Monats-Summe
Januar	—	—	—	—	—	3.4	13.1	19.1	18.9	19.2	18.6	11.6	0.1	—	—	—	104.0
Februar	—	—	—	—	1.2	10.7	18.1	20.1	19.9	19.6	17.9	13.8	3.9	—	—	—	125.2
März	—	—	—	1.7	11.0	17.3	19.9	19.9	23.5	21.0	14.4	13.8	9.3	0.6	—	—	152.4
April	—	—	9.2	16.6	17.5	18.5	21.8	20.8	20.1	20.5	20.0	17.6	15.6	10.7	0.1	—	209.0
Mai	—	—	9.7	15.2	18.1	18.4	19.0	15.2	16.6	15.5	11.8	13.3	8.5	7.3	1.4	—	170.0
Juni	—	3.7	9.7	12.8	14.6	17.6	19.2	17.9	19.7	20.0	16.6	17.1	14.9	11.9	7.7	—	203.4
Juli	—	3.9	18.6	26.2	27.0	27.4	26.4	27.6	26.8	25.7	25.1	24.1	21.4	19.7	7.1	—	307.0
August	—	1.7	13.7	21.6	24.4	25.6	26.4	26.5	25.9	26.5	24.1	21.7	20.4	16.1	0.6	—	275.2
September	—	—	5.4	15.3	19.8	21.3	22.2	22.0	21.2	21.9	20.2	18.0	16.1	6.5	—	—	209.9
Oktober	—	—	—	—	4.0	18.1	19.7	20.6	22.3	21.7	20.1	17.9	10.5	—	—	—	154.9
November	—	—	—	—	0.4	12.0	15.1	15.7	17.3	16.8	17.4	13.2	0.4	—	—	—	108.3
Dezember	—	—	—	—	—	6.0	10.7	10.9	11.6	10.2	10.4	7.0	—	—	—	—	66.8
Jahres-Summe	—	9.3	66.3	109.4	138.0	196.3	231.6	236.3	243.8	238.6	216.6	189.1	121.1	72.8	16.9	—	2086.1

Chaux-de-Fonds.

Januar	—	—	—	0.3	5.5	9.9	12.9	15.7	16.6	15.7	15.0	12.1	0.9	—	—	—	104.6
Februar	—	—	—	0.8	6.8	12.8	14.5	14.0	14.8	13.3	14.2	10.9	3.2	—	—	—	105.3
März	—	—	1.0	5.4	9.1	10.0	11.7	11.0	12.0	9.8	8.5	6.2	4.0	—	—	—	88.7
April	—	—	12.7	13.5	15.1	16.5	16.1	14.3	12.7	13.1	13.4	14.1	13.3	11.5	1.2	—	167.5
Mai	—	3.7	6.8	10.5	13.6	14.9	14.2	15.4	12.9	14.0	13.1	11.5	12.5	7.5	3.2	—	153.8
Juni	2.0	11.2	14.6	16.5	15.6	14.6	12.8	16.2	14.9	14.4	15.0	14.5	13.3	11.7	11.0	0.2	198.5
Juli	4.6	23.0	26.6	29.1	28.1	28.4	28.1	28.6	27.6	25.9	23.1	22.5	23.4	24.0	18.6	0.1	361.7
August	—	9.7	21.9	24.1	27.3	28.7	26.8	27.8	25.7	22.9	23.4	23.0	21.0	16.0	7.0	—	305.3
September	—	0.9	10.1	18.2	20.0	20.0	19.1	19.2	17.7	19.3	19.5	16.6	15.3	9.6	—	—	205.5
Oktober	—	—	0.1	8.0	15.3	16.7	16.1	15.6	16.3	15.8	14.7	12.3	8.6	0.1	—	—	139.6
November	—	—	—	1.1	6.4	10.6	12.3	13.8	14.9	13.2	11.3	9.6	2.5	—	—	—	95.7
Dezember	—	—	—	—	1.8	6.2	8.1	10.0	8.9	8.9	8.6	6.2	—	—	—	—	58.7
Jahres-Summe	6.6	48.5	93.8	127.5	164.6	189.3	192.7	201.6	195.0	186.3	179.8	159.5	118.0	80.4	41.0	0.3	1984.9

Neuenburg.

Januar	—	—	—	0.2	2.4	3.2	5.2	6.7	8.6	10.0	8.3	5.4	1.6	—	—	—	51.6
Februar	—	—	—	2.3	7.5	11.9	13.5	14.1	14.2	13.6	12.2	11.8	7.7	0.1	—	—	108.9
März	—	—	0.2	6.9	9.7	11.1	13.0	12.9	11.7	13.3	11.3	8.8	3.8	—	—	—	102.7
April	—	0.2	9.4	16.2	15.2	18.5	17.1	16.7	16.1	16.5	16.0	15.5	13.8	11.8	1.7	—	184.7
Mai	—	2.9	8.6	13.3	15.6	18.2	21.7	21.0	19.2	19.3	18.0	14.8	12.9	9.6	5.0	—	200.1
Juni	—	10.6	15.2	16.7	16.6	17.5	16.2	19.1	18.9	16.2	15.3	14.9	14.9	14.7	11.5	1.2	219.5
Juli	0.1	15.2	25.5	27.0	28.5	28.9	29.8	30.0	28.8	26.0	24.5	23.9	23.2	23.4	22.5	0.7	358.0
August	—	6.5	22.0	25.0	26.5	28.4	28.7	27.9	26.5	24.2	20.6	21.6	19.9	17.5	8.3	—	303.6
September	—	—	6.8	15.1	18.4	19.5	22.1	20.5	20.7	20.4	20.7	18.8	13.8	10.7	—	—	207.5
Oktober	—	—	—	0.9	3.3	4.4	5.1	6.5	8.8	10.6	11.2	9.9	6.0	0.1	—	—	66.8
November	—	—	—	0.2	2.3	4.3	4.8	6.2	9.5	7.5	6.1	4.5	1.3	—	—	—	46.7
Dezember	—	—	—	—	0.6	0.5	0.4	3.0	2.1	2.6	2.2	0.2	—	—	—	—	11.6
Jahres-Summe	0.1	35.4	87.7	123.8	146.6	166.4	177.6	184.6	185.1	180.2	166.4	150.1	118.9	87.9	49.0	1.9	1861.7

Bern.

Januar	—	—	—	0.4	1.1	2.6	6.3	10.6	11.7	13.8	13.8	10.4	1.1	—	—	—	71.8
Februar	—	—	—	2.3	5.5	9.6	14.1	14.4	15.5	14.6	12.9	13.8	5.7	—	—	—	108.4
März	—	—	0.8	4.7	12.1	14.8	14.6	13.1	13.6	14.2	13.8	9.4	6.4	0.1	—	—	117.6
April	—	2.7	10.5	16.1	17.4	16.6	18.6	16.7	16.2	16.0	16.3	14.6	13.9	13.1	4.9	0.3	193.9
Mai	—	4.1	8.8	12.6	18.0	20.0	19.5	19.9	18.2	14.8	16.1	12.6	10.3	10.4	6.9	0.4	192.6
Juni	2.1	10.7	16.1	16.8	17.8	19.1	17.6	15.7	17.8	15.8	15.6	17.7	16.7	15.7	12.2	4.3	231.7
Juli	2.9	19.7	24.4	26.0	27.2	29.2	28.5	30.1	29.6	27.0	26.9	24.7	25.0	24.1	19.4	4.8	369.5
August	—	10.9	22.9	24.4	26.1	27.8	28.5	28.8	28.4	27.5	24.0	22.9	21.4	19.3	10.6	—	323.5
September	—	—	4.9	12.9	18.3	19.2	20.2	20.2	21.5	20.9	19.5	17.5	15.9	8.4	0.5	—	199.9
Oktober	—	—	3.4	8.8	10.2	11.4	12.3	13.7	17.3	15.7	11.9	8.7	0.3	—	—	—	113.7
November	—	—	—	0.9	5.1	6.5	9.0	10.7	13.4	12.0	11.8	9.8	2.3	—	—	—	81.5
Dezember	—	—	—	—	1.1	3.2	7.0	6.1	7.3	5.6	5.4	4.1	—	—	—	—	39.8
Jahres-Summe	5.0	48.1	91.8	125.9	159.9	180.0	196.2	200.0	210.5	197.9	188.0	166.2	120.0	91.1	54.5	9.8	2043.9

Täglicher Gang der Sonnenscheindauer.

1911.

Luzern.

	4–5ª	5–6ª	6–7ª	7–8ª	8–9ª	9–10ª	10–11ª	11–12ª	12ª–1ᵖ	1–2ᵖ	2–3ᵖ	3–4ᵖ	4–5ᵖ	5–6ᵖ	6–7ᵖ	7–8ᵖ	Monats-Summe
Januar	—	—	—	—	1.2	1.7	4.4	6.4	7.2	6.8	5.9	3.1	—			—	36.7
Februar	—	—	—	3.1	7.3	9.1	11.5	12.5	14.7	14.0	12.7	11.9	1.8	—	—		98.6
März	—	—	4.0	9.7	15.6	16.8	18.5	15.0	14.2	13.0	13.5	10.2	6.2	2.1	—	—	138.8
April	—	3.1	12.3	13.5	15.4	15.2	15.3	16.8	15.9	14.2	13.1	13.9	11.8	9.5	0.9	—	170.9
Mai	—	5.0	8.0	11.6	14.7	16.7	18.3	18.4	17.7	18.9	17.8	16.6	13.0	8.3	4.9	—	198.9
Juni	3.1	13.7	13.9	15.4	19.2	19.6	19.6	18.2	18.8	18.2	18.0	16.0	13.7	13.2	11.8	2.8	235.2
Juli	3.1	20.3	25.1	26.5	26.2	26.7	27.4	27.6	26.3	26.7	23.5	24.1	22.8	21.8	19.9	4.9	352.9
August	—	12.8	20.8	22.6	25.2	26.5	27.6	26.9	26.9	26.3	25.6	26.0	21.8	18.2	7.6	—	314.8
September		0.9	8.1	14.7	17.5	18.8	18.6	19.0	19.3	19.4	19.3	17.7	15.7	9.8	0.1	—	189.9
Oktober	—	-	—	3.6	5.0	7.1	9.4	11.0	10.6	12.8	12.1	12.9	5.3	—	—	—	89.8
November	—	—	—	0.4	2.1	7.1	10.2	10.9	11.6	12.0	11.2	7.3	0.6	—	—	—	73.4
Dezember	—	—	-	—	1.6	2.9	3.9	4.3	4.3	4.5	2.3	1.3	—	—	—	—	24.2
Jahres-Summe	6.2	55.8	92.2	121.1	151.0	168.2	183.8	187.0	187.5	186.8	175.0	161.0	112.7	82.9	45.2	7.7	1924.1

Basel.

Januar	—	—	—	0.5	3.6	7.9	10.0	12.0	12.6	13.8	12.1	8.5	0.4	—	—	—	81.4
Februar	—	—	—	2.8	7.5	9.0	11.8	12.7	14.3	14.8	13.6	10.0	4.5	—	—	—	101.0
März	—	—	0.3	4.3	11.9	13.5	14.5	14.2	15.8	16.1	15.1	13.1	8.6	0.3	—	—	127.7
April	—	0.4	8.4	14.5	19.2	17.7	17.4	17.0	14.2	14.0	15.5	16.5	13.8	11.0	2.7	—	182.3
Mai	0.6	6.8	9.0	14.9	15.1	17.6	17.6	18.5	15.0	20.3	15.9	13.6	13.8	13.9	7.6	1.0	201.2
Juni	2.8	12.9	15.4	16.1	17.1	18.5	18.4	20.3	17.1	16.5	17.9	16.6	16.4	14.8	12.8	4.3	237.9
Juli	3.7	21.7	25.0	27.2	26.5	27.6	28.6	28.1	28.3	28.4	26.7	24.2	23.3	23.5	20.1	6.1	369.0
August	—	9.8	20.9	24.1	26.4	27.2	27.7	27.3	28.1	26.8	25.0	23.4	22.3	20.4	11.4	—	320.8
September	—	—	6.6	16.2	16.9	17.9	19.6	20.7	20.6	20.8	19.2	18.7	13.9	4.1	0.4	—	195.0
Oktober	—	—	0.2	4.2	7.7	10.8	13.0	14.1	13.2	13.2	14.2	12.0	6.7	0.2	—	—	109.5
November	—	—	—	1.0	5.5	6.2	9.1	9.8	13.2	13.6	12.3	9.9	2.3	—	—	—	82.9
Dezember	—	—	—	—	5.7	8.7	9.6	10.8	9.1	7.5	8.2	5.4	- -	—	—	—	65.0
Jahres-Summe	7.1	51.6	85.8	125.8	163.1	182.6	197.3	205.5	201.5	205.8	195.7	171.9	126.0	88.2	55.0	11.4	2074.3

Buus.

Januar	—	—	—	—	0.4	4.9	11.6	12.1	12.4	12.6	10.9	1.2	—	—	—	—	66.1
Februar	—	—	—	—	3.2	9.4	11.3	14.2	13.1	11.7	10.0	3.8	—	—	—	—	76.7
März	—	—	—	2.4	11.1	14.1	13.5	11.3	13.7	13.7	11.8	9.4	2.1	—	—	—	103.1
April	—	2.6	10.4	13.4	17.5	17.2	14.8	14.2	15.0	14.8	13.0	12.3	10.7	7.8	—	—	163.7
Mai	—	5.5	9.9	14.2	17.5	18.6	18.7	16.2	17.4	17.6	13.9	13.6	12.4	12.5	3.1	—	191.1
Juni	0.4	9.0	13.6	15.0	16.6	18.1	17.9	16.3	16.0	15.1	18.5	18.7	15.0	11.9	8.8	0.2	211.1
Juli	0.8	18.3	25.6	26.8	26.2	26.3	26.3	27.7	27.9	27.1	25.7	24.1	23.6	22.8	11.5	—	340.7
August	—	8.6	21.3	24.2	26.9	27.0	27.6	26.4	27.2	26.8	24.5	21.9	20.1	14.3	0.8	—	297.6
September	—	—	1.5	12.2	16.9	18.1	18.2	19.9	20.2	20.1	19.7	16.9	12.1	1.6	—	—	177.4
Oktober	—	—	—	—	4.7	11.8	13.0	13.3	13.3	14.3	13.4	10.7	1.7	—	—	—	96.2
November	—	—	—	—	1.0	7.2	10.0	10.4	11.6	10.8	10.7	5.5	—	—	—	—	67.2
Dezember	—	—	—	—	—	4.7	8.6	7.6	7.7	7.1	7.2	—	—	—	—	—	42.9
Jahres-Summe	1.2	44.0	82.3	108.2	142.0	177.4	191.5	189.6	195.5	191.7	179.3	138.1	97.7	70.9	24.2	0.2	1833.8

Plantahof b. Landquart.

Januar	—	—	—	—	0.2	5.5	9.4	15.7	19.3	16.9	14.2	1.1	—	—	—	—	82.3
Februar	—	—	—	—	2.7	11.3	16.3	16.7	17.0	15.1	15.6	9.2	0.4	—	—	—	104.3
März	—	—	—	4.9	17.2	20.0	19.6	16.9	18.2	14.6	12.1	11.2	4.8	—	—	—	139.5
April	—	—	1.7	12.7	14.0	17.6	18.3	20.9	20.1	19.7	19.3	19.0	14.7	6.5	—	—	184.5
Mai	—	1.5	8.7	13.8	16.3	18.8	18.8	18.1	14.8	12.6	11.2	13.8	12.4	9.7	0.1	—	170.6
Juni	—	8.4	13.4	14.2	17.9	17.6	16.7	19.2	16.9	15.1	15.2	16.1	15.2	10.2	2.8	—	198.9
Juli	—	10.4	21.4	23.2	23.4	25.0	25.6	26.9	25.9	24.7	24.8	21.7	20.1	19.8	3.6	—	290.5
August	—	3.4	13.6	19.7	20.8	22.3	22.6	23.9	26.0	23.3	24.4	24.3	18.9	11.9	—	—	255.1
September	—	—	0.8	13.8	18.4	18.6	19.1	19.2	20.5	19.4	17.8	16.9	12.8	1.0	—	—	178.3
Oktober	—	—	—	0.3	13.1	20.6	20.6	21.6	21.1	20.8	20.6	18.7	2.1	—	—	—	159.5
November	—	—	—	—	1.9	13.5	18.2	17.3	16.2	18.3	15.4	4.3	—	—	—	—	105.1
Dezember	—		—	—	—	8.9	14.3	12.3	13.9	12.8	8.4	—	—			—	70.3
Jahres-Summe	—	23.7	59.6	102.6	145.9	199.7	219.5	228.7	229.6	213.3	199.0	156.3	101.4	59.1	6.5	- -	1944.9

Täglicher Gang der Sonnenscheindauer.

Hallau.

1911.

	4–5ª	5–6ª	6–7ª	7–8ª	8–9ª	9–10ª	10–11ª	11–12ª	12ª–1ᵖ	1–2ᵖ	2–3ᵖ	3–4ᵖ	4–5ᵖ	5–6ᵖ	6–7ᵖ	7–8ᵖ	Monats-Summe
Januar	—	—	—	0.8	2.7	3.6	6.4	7.7	9.5	10.1	10.4	6.6	0.8	—	—	—	58.6
Februar	—	—	—	3.7	8.1	9.6	11.4	12.8	14.0	12.1	9.9	6.8	2.9	—	—	—	91.3
März	—	—	1.5	7.9	11.7	15.3	14.2	13.8	13.2	13.9	12.7	14.5	10.8	0.6	—	—	130.1
April	—	4.5	11.4	12.7	14.2	16.3	16.0	15.8	16.0	15.3	13.0	13.4	13.1	9.5	0.2	—	171.4
Mai	—	8.4	13.3	11.6	15.0	15.3	18.6	19.3	18.3	17.9	17.1	14.7	12.9	9.2	3.4	—	195.0
Juni	0.2	10.4	15.2	15.4	17.0	18.5	17.9	16.6	15.3	15.5	14.5	13.7	14.9	11.9	6.2	—	203.2
Juli	1.0	19.8	27.0	28.3	28.6	29.0	28.2	27.2	26.0	24.7	24.4	25.6	23.7	22.8	13.3	0.5	350.1
August	0.7	14.9	21.4	24.0	26.4	26.0	27.4	24.1	24.3	25.9	23.8	21.2	18.5	16.6	1.9	—	297.1
September	—	—	8.7	15.1	17.1	17.8	18.5	18.6	18.9	20.2	19.5	17.6	18.8	6.8	—	—	197.6
Oktober	—	—	0.1	1.6	3.3	4.7	7.5	8.9	12.2	13.6	12.6	12.2	8.0	0.4	—	—	85.1
November	—	—	—	—	2.1	5.7	7.1	7.8	9.3	10.3	9.2	8.0	2.3	—	—	—	61.8
Dezember	—	—	—	—	0.9	1.1	1.6	1.0	2.9	2.5	4.9	2.8	—	—	—	—	17.7
Jahres-Summe	1.9	58.0	98.6	121.1	147.1	162.9	174.8	173.6	179.9	182.0	172.0	157.1	126.7	77.8	25.0	0.5	1859.0

Zürich.

Januar	—	—	—	0.2	1.9	4.0	6.0	7.3	10.9	10.8	9.2	5.0	0.5	—	—	—	55.8
Februar	—	—	0.2	3.4	8.6	11.7	11.6	12.5	15.3	13.7	12.6	9.2	3.7	—	—	—	102.5
März	—	—	2.3	9.6	14.8	15.1	16.8	16.3	14.3	15.5	14.4	14.8	10.2	2.1	—	—	146.2
April	—	2.7	12.5	13.6	13.5	15.3	17.2	18.9	19.2	17.9	16.0	14.7	14.7	11.2	3.8	—	191.2
Mai	—	5.0	10.6	13.7	13.1	16.7	16.8	19.2	19.2	18.3	17.0	13.7	14.2	12.6	6.9	0.1	197.1
Juni	1.0	12.4	15.3	16.1	15.8	17.6	17.6	19.4	19.2	15.5	15.3	14.4	13.0	12.1	11.9	2.8	219.4
Juli	0.1	20.4	26.2	27.6	28.6	28.2	27.0	28.7	29.9	28.8	27.6	24.4	23.5	24.0	21.3	4.3	370.6
August	—	8.9	20.6	22.7	25.0	25.8	26.7	27.4	26.5	27.4	26.4	24.7	20.6	20.8	11.3	—	314.8
September	—	—	10.5	14.8	16.0	17.2	18.9	18.5	18.2	19.7	21.0	20.6	18.3	9.2	0.9	—	203.8
Oktober	—	—	0.3	2.2	4.9	5.8	7.8	11.6	14.4	14.4	15.5	12.0	8.6	0.3	—	—	97.8
November	—	—	—	0.8	2.4	5.1	8.9	10.2	13.3	15.2	12.6	11.0	3.7	—	—	—	83.2
Dezember	—	—	—	0.1	1.3	4.3	5.2	3.6	5.9	7.0	6.4	5.3	—	—	—	—	39.1
Jahres-Summe	1.1	49.4	98.5	124.8	145.9	166.8	180.5	193.6	206.3	204.2	194.0	169.8	131.0	92.3	56.1	7.2	2021.5

Haidenhaus.

Januar	—	—	—	—	2.4	6.8	7.3	10.1	11.4	12.3	13.0	10.0	1.3	—	—	—	74.6
Februar	—	—	—	0.6	6.3	7.9	8.9	10.1	11.8	13.4	11.3	8.5	2.2	—	—	—	81.0
März	—	—	1.5	8.8	11.6	12.5	15.4	15.2	14.1	13.7	14.1	12.1	7.2	0.4	—	—	126.6
April	—	3.2	10.1	12.1	12.5	14.3	14.2	16.7	17.5	18.6	16.7	14.5	15.0	10.4	0.5	—	176.3
Mai	—	4.3	9.9	10.2	11.0	13.2	17.1	16.5	18.0	17.1	15.8	15.3	13.8	11.3	3.7	—	177.2
Juni	—	5.1	14.0	14.7	14.2	16.4	15.9	18.9	15.1	14.4	14.3	13.0	13.9	12.5	8.1	0.3	190.8
Juli	—	12.2	25.1	27.6	27.8	28.4	28.2	27.7	26.9	25.7	26.4	23.7	24.2	21.6	14.2	—	339.7
August	—	6.1	18.5	23.0	25.4	26.1	26.2	26.9	24.8	25.4	26.2	24.3	21.6	18.2	4.4	—	297.1
September	—	—	5.4	15.3	15.8	18.5	19.0	18.0	18.3	19.6	19.8	19.7	17.1	7.5	—	—	194.0
Oktober	—	—	—	1.0	5.8	7.7	9.8	10.5	11.2	14.5	14.1	11.6	8.0	—	—	—	94.2
November	—	—	—	—	2.0	4.0	5.4	7.3	7.7	10.1	10.5	10.9	3.7	—	—	—	61.6
Dezember	—	—	—	—	0.5	2.2	2.8	3.1	3.2	4.4	5.3	6.0	0.3	—	—	—	27.8
Jahres-Summe	—	30.9	84.5	113.3	135.3	158.0	170.2	181.0	180.0	189.2	187.5	169.6	128.3	81.9	30.9	0.3	1840.9

Wald.

Januar	—	—	—	—	1.9	13.1	14.0	16.0	16.3	14.8	15.6	13.2	11.4	3.4	—	—	119.7
Februar	—	—	—	2.6	11.4	11.9	11.8	11.7	12.4	11.0	10.3	9.1	2.8	—	—	—	95.0
März	—	—	2.8	11.3	15.4	15.1	15.9	14.9	13.1	9.9	10.6	8.5	4.3	1.1	—	—	122.9
April	—	—	5.1	13.8	16.3	15.5	15.4	16.2	16.4	16.3	14.1	12.5	12.3	3.0	0.2	—	157.1
Mai	—	2.1	9.5	12.1	12.1	12.8	15.7	16.0	17.0	14.9	12.9	10.8	8.5	7.8	1.9	—	154.1
Juni	—	8.1	16.2	16.2	18.4	18.4	20.9	20.3	18.5	16.6	14.2	13.9	13.3	13.1	5.5	—	213.6
Juli	—	10.8	24.7	27.6	28.4	28.3	27.1	27.6	26.5	26.9	26.1	24.0	21.9	22.0	10.1	—	332.0
August	—	1.4	13.4	22.5	24.2	24.7	24.5	25.5	25.1	24.0	24.0	23.0	20.9	10.9	5.0	—	279.0
September	—	—	1.5	16.2	18.1	17.8	18.3	18.9	19.6	19.0	19.4	17.7	11.6	5.0	—	—	183.1
Oktober	—	—	—	2.8	11.1	13.2	13.6	13.9	12.8	9.0	8.4	5.9	1.6	—	—	—	92.3
November	—	—	—	1.7	7.8	13.0	13.5	16.2	16.2	13.6	12.6	10.2	4.1	—	—	—	108.9
Dezember	—	—	—	—	5.6	10.7	12.2	10.2	7.6	9.0	8.8	8.5	1.1	—	—	—	73.7
Jahres-Summe	—	22.4	73.2	126.8	170.7	194.5	202.9	207.4	201.5	185.0	177.9	157.3	113.8	72.3	23.3	—	1929.0

Täglicher Gang der Sonnenscheindauer.

1911.

Davos.

	4–5a	5–6a	6–7a	7–8a	8–9a	9–10a	10–11a	11–12a	12a–1p	1–2p	2–3p	3–4p	4–5p	5–6p	6–7p	7–8p	Monats-Summe
Januar	—	—	—	—	0.1	12.3	24.5	24.7	25.7	26.3	25.1	8.8	—	—	—	—	147.5
Februar	—	—	—	—	3.2	16.9	19.3	20.4	20.0	18.9	18.4	10.9	—	—	—	—	128.0
März	—	—	1.0	9.9	16.6	17.5	17.4	15.6	16.3	14.7	11.1	11.7	4.2	—	—	—	136.0
April	—	2.7	13.3	18.1	21.9	21.1	21.6	18.8	20.0	19.9	17.5	13.8	12.4	0.2	—	—	201.3
Mai	—	6.8	11.3	16.6	17.8	15.5	14.6	12.7	10.8	13.1	12.2	13.2	12.5	2.8	0.2	—	160.1
Juni	—	11.8	15.3	18.9	15.0	17.2	16.2	16.6	13.9	13.7	13.8	12.0	11.5	4.2	—	—	180.1
Juli	—	15.3	22.0	23.4	23.4	24.8	25.7	25.3	24.2	23.9	24.3	21.9	18.7	4.9	—	—	277.8
August	—	8.3	19.2	23.0	22.0	22.2	23.1	22.1	23.9	24.6	24.4	24.6	22.1	1.2	—	—	260.7
September	—	—	4.6	15.1	17.2	18.3	17.8	19.0	18.6	19.7	18.6	16.7	10.2	—	—	—	175.8
Oktober	—	—	—	1.7	14.1	20.8	21.7	21.7	20.4	18.8	18.5	15.7	0.4	—	—	—	153.8
November	—	—	—	—	0.9	13.5	17.3	16.9	18.5	17.4	16.4	6.6	—	—	—	—	107.5
Dezember	—	—	—	—	0.1	4.6	17.8	16.1	12.9	11.7	11.5	2.7	—	—	—	—	77.4
Jahres-Summe	—	44.9	86.7	126.7	152.3	204.7	237.0	229.9	225.2	222.7	211.8	158.6	92.0	13.3	0.2	—	2006.0

Arosa.

Januar	—	—	—	—	10.6	21.9	23.1	23.0	23.1	22.8	20.6	5.0	—	—	—	—	150.1
Februar	—	—	—	0.2	11.3	14.7	16.7	18.3	18.3	15.5	15.5	10.9	0.2	—	—	—	121.6
März	—	—	1.1	9.7	15.3	18.2	17.6	16.9	16.8	15.4	13.1	11.0	7.2	0.8	—	—	143.1
April	—	1.5	12.6	15.9	15.6	16.2	15.5	15.1	16.6	17.6	15.3	13.3	13.6	6.7	—	—	175.5
Mai	—	4.5	9.5	15.0	14.1	11.8	9.7	9.5	7.5	9.3	10.9	7.2	10.0	8.7	2.1	—	129.8
Juni	0.3	12.0	13.4	15.9	14.7	14.2	12.8	12.5	10.6	10.2	11.5	12.2	11.2	10.6	4.6	—	166.7
Juli	—	12.6	21.6	23.5	22.7	22.6	22.7	18.8	18.8	19.8	20.7	20.0	19.0	18.6	9.4	—	270.8
August	—	5.5	15.5	20.7	22.0	19.1	20.4	22.7	21.6	21.7	22.5	23.7	20.0	15.1	2.1	—	252.6
September	—	—	6.8	14.0	15.2	16.9	16.2	16.3	17.8	18.9	19.3	17.1	12.2	3.5	—	—	174.2
Oktober	—	—	—	1.6	17.6	20.5	20.1	22.6	21.8	19.5	17.5	17.5	4.1	—	—	—	162.8
November	—	—	—	—	7.6	14.5	15.3	16.5	16.4	15.4	11.9	6.6	—	—	—	—	104.2
Dezember	—	—	—	—	4.1	13.6	14.8	14.7	12.7	10.9	7.3	—	—	—	—	—	78.1
Jahres-Summe	0.3	36.1	80.5	116.5	170.8	204.2	204.9	206.9	202.0	197.0	186.1	144.5	97.5	64.0	18.2	—	1929.5

St. Moritz.

Januar	—	—	—	—	0.7	5.5	15.4	20.1	20.2	20.6	20.3	20.4	2.8	—	—	—	126.0
Februar	—	—	—	1.2	13.1	17.0	17.9	21.3	19.3	18.1	16.3	16.9	5.9	—	—	—	147.0
März	—	—	0.2	6.2	14.3	17.3	17.1	15.0	16.3	19.0	17.7	17.1	11.9	1.2	—	—	153.3
April	—	0.2	7.3	21.0	22.9	21.4	21.9	20.4	19.7	19.8	19.7	18.8	16.3	9.3	—	—	218.7
Mai	—	0.8	10.9	11.9	14.4	13.6	14.0	9.8	8.4	9.3	11.3	12.4	15.0	9.3	0.3	—	141.4
Juni	—	2.5	11.5	15.3	16.7	17.7	14.1	13.8	15.4	15.7	16.5	14.8	14.6	10.6	2.5	—	181.7
Juli	—	2.8	16.4	23.4	25.9	24.5	24.7	24.6	21.7	19.6	20.0	20.0	16.7	18.1	4.1	—	262.5
August	—	0.6	11.0	19.4	22.5	21.5	22.8	22.5	23.9	22.3	22.8	21.0	20.1	17.0	0.2	—	247.6
September	—	—	1.3	14.4	18.8	19.8	20.7	19.9	20.9	19.7	18.9	19.3	18.8	6.0	—	—	198.5
Oktober	—	—	—	3.1	12.7	16.6	18.0	18.2	16.8	16.0	15.4	17.1	8.4	—	—	—	142.3
November	—	—	—	—	4.9	9.3	14.9	15.2	15.1	15.9	15.5	15.1	2.8	—	—	—	108.7
Dezember	—	—	—	—	—	7.6	14.1	14.2	12.8	10.1	11.4	0.9	—	—	—	—	71.1
Jahres-Summe	—	6.9	58.6	115.9	166.9	191.8	215.6	215.0	210.5	206.1	205.8	193.8	133.3	71.5	7.1	—	1998.8

Säntis.

Januar	—	—	—	7.1	18.8	22.6	23.7	24.0	23.8	21.9	21.9	18.9	9.7	—	—	—	192.4
Februar	—	—	—	8.4	11.3	11.9	12.5	12.0	11.7	12.4	10.8	8.8	4.4	—	—	—	104.2
März	—	—	1.6	12.3	15.7	16.2	17.0	14.1	13.7	11.8	10.1	8.1	6.8	1.6	—	—	129.0
April	—	2.5	10.8	15.8	18.2	20.8	19.2	20.1	18.3	17.5	15.2	12.2	13.1	10.1	1.8	—	195.6
Mai	—	3.9	9.2	12.4	14.3	13.9	12.4	12.4	9.2	7.8	8.9	8.3	5.3	2.8	1.5	—	122.3
Juni	—	7.1	11.8	11.7	15.1	14.5	14.0	15.3	12.7	12.1	10.8	9.3	8.7	9.8	7 5	1.0	161.4
Juli	—	11.2	19.4	22.6	22.6	23.6	22.5	20.1	18.0	17.9	15.9	14.0	13.6	16.1	11.4	—	248.9
August	—	7.3	16.6	17.4	19.3	21.9	20.1	19.6	18.0	18.1	16.7	16.9	14.5	14.0	7.4	—	227.8
September	—	—	8.5	17.5	17.8	18.0	18.2	18.1	17.8	18.2	17.5	15.9	14.7	7.1	—	—	189.3
Oktober	—	—	2.5	14.3	16.6	18 4	18.5	17.2	17.9	18.9	19.3	16.6	11.8	1.3	—	—	173.3
November	—	—	0.1	7.0	11.8	13.2	16.7	17.0	15.0	14.4	14.1	12.2	5.3	—	—	—	126.8
Dezember	—	—	—	2.1	10.2	13.2	15.8	14.3	12.4	10.3	11.2	9.3	0.8	—	—	—	99.6
Jahres-Summe	—	32.0	80.5	148.6	191.7	208.2	210.6	204.2	188.5	181.3	172.4	150.5	108.7	62.8	29.6	1.0	1970.6

Nr. 6.

Uebersicht über die im Jahre 1911 von der Meteorologischen Zentralanstalt ausgeführten aërologischen Arbeiten (Registrier- und Pilotaufstiege)

von *Dr. A. de Quervain.*

Die Registrieraufstiege und auch die meisten Pilotanvisierungen dieses Jahres dienten der Untersuchung des Föhns; dieselben hatten schon im vorhergehenden Jahr begonnen und sollten nun auch in einem Föhntal selbst gleichzeitig mit Aufstiegen in Zürich stattfinden.

Die Notwendigkeit, unser Ballonmaterial und unsere Registrierinstrumente für den Augenblick, wo ein typischer Föhn eintreten würde, bereitzuhalten, musste bei unsern beschränkten Zeit- und Personalmitteln die Teilnahme an den internationalen Aufstiegen in den Hintergrund treten lassen.

Als typisches Föhntal wurde das Reusstal gewählt, und als Aufstiegsort Erstfeld, 9 km südlich von Altdorf gelegen, noch ungefähr in gleicher Höhe mit diesem, am südlichen Ende der Alluvialebene der Reuss. Dieser Ort konnte auf telegraphische Föhnmeldung unserer Station Altdorf hin mit dem Vormittagsschnellzug von Zürich aus in weniger als drei Stunden erreicht werden, und der ganze Aufstieg musste noch innerhalb des Föhngebiets verlaufen.

Von den drei in Altdorf aufgestiegenen Registrierballons wurde bis heute leider nur einer wiedergefunden, derjenige vom 22. März 1911. Er gab eine höchst bemerkenswerte Registrierung, über die Dr. Billwiller und ich eine vorläufige Mitteilung in der Meteor. Zeitschrift vom Mai 1912 veröffentlicht haben.

Es ist dies bisher überhaupt die erste Sondierung der Föhnströmung in einem Föhntale selbst.

Auch ausser dieser einen erhaltenen Registrierung wurde durch Anvisierungen von Pilotballons, sowie der beiden verlorenen Registrierballons, ebensowie durch gleichzeitige analoge Veranstaltungen in Zürich wertvolles Material gesammelt.

Die Messungen vom 21. und 22. März in Erstfeld ergaben u. a. die Notwendigkeit, die Anvisierungen von zwei Punkten aus vorzunehmen, da die Voraussetzung konstanter Steiggeschwindigkeit bei den Pilotvisierungen unter diesen Umständen nicht mehr zutrifft. Die Wiedergabe dieser Pilotaufstiege geschehe mit allem Vorbehalt. Da für die Doppelvisierungen vom 27. Oktober ausser dem Abwart Gamper niemand vom Personal der Anstalt mobil gemacht werden konnte (da Direktor Maurer und Dr. Billwiller die Aufstiege in Zürich besorgten, einmal unterstützt von Herrn C. Kunz), sprang Frau Dr. A. de Quervain als Beobachterin ein, ebenso Sekundarlehrer Götz in Erstfeld. Diese Doppelvisierungen werden, wie das Folgende zeigt, unbedingt wieder aufgenommen werden müssen; auf die Resultate denken wir an anderer Stelle noch einzugehen. Hier sei nur der Nachweis erheblicher Vertikalkomponenten der Föhnströmung, sowie die Richtungsänderung oberhalb der Berggipfel hervorgehoben.

Nähere Umstände der einzelnen Aufstiege und Besonderheiten der Registrierung und der Flugbahn.

Föhnaufstiege vom 21. und 22. März.

Wetterlage. Nachdem schon in den Vortagen im obern Reusstal ganz leichte Föhnerscheinungen (verursacht durch eine Depression, die sich abnormerweise von der Nordsee südwestwärts bewegt hatte) aufgetreten waren, wurden in der Nacht vom 17./18. dieselben allgemein sogar bis auf die Sohle des Reusstals. Hier (in Altdorf) gehen sie im Verlauf des 18. noch einmal zurück, um erst am 19. mit Annäherung der westlichen Depression an die iberische Halbinsel und Frankreich — und zwar diesmal stärker — wieder aufzutreten. Die Druckverteilung blieb stabil; der S–N gradient nahm infolge der Ausbreitung der Depression nach Mitteleuropa einerseits, und Verlegung des hohen Drucks von NE nach SE anderseits, noch zu; so erreichte der Föhn am 20. und 21. seine grösste — übrigens eine ausserordentliche — Stärke. Am Morgen des 22. war in Altdorf am Erdboden zur Zeit des Registrieraufstiegs Föhnpause. Bei abnehmendem Gradient trat ein allgemeiner Rückgang der Föhnerscheinungen bis zum Morgen des 23. ein.

a) Aufstiege in Erstfeld.

Beobachtungen unterwegs nach Erstfeld. Zwischen 12^h und $12^h 30$ Anfang des Windes talabwärts, noch schwach, zwischen Steinen und Schwyz. In Brunnen: Urner See stark bewegt, mit weissen Wellenkämmen, Wind S_{2-3}. — In Flüelen S_{2-3}.

Beobachtungen in Erstfeld. $2^h 30$ p: Wind SSE_{2-3}. Temperatur 15.0°. Relative Feuchtigkeit 26 %. Bewölkung 6 Ci-Str aus SW. Schwache Föhnmauer im SW, rechts vom Bristenstock.

$3^h 30$ p Aufstieg eines Registrierballons (Tandem) mit Instrument 449. Freier Auftrieb 3,5 kg. Temperatur beim Aufstieg 16.0°. Relative Feuchtigkeit 26 %. Dieser Ballon wurde mit dem Theodoliten während $26^m 46^s$ verfolgt; dann verschwand er hinter der Talwand rechts. Er wurde nicht wiedergefunden; die Flugbahn (siehe Tabelle II) wurde mit der mittleren Steiggeschwindigkeit bis zu 6000 m des Aufstiegs des folgenden Tages, = 4.25 m, berechnet. Beobachtungen nach dem Aufstieg: $3^h 55$ p 15.5°, 28 %. Wind 6–7 m per Sekunde. Gegen S dichte Ci aus ca. S 20 W, darunter Cu, Fr-Cu in relativ grosser Höhe, bis ca. 45° am Himmel hinaufreichend, aus

SW ziehend. Nach Norden hell. — Besonderheiten der Flugbahn. Auffallend ist die grosse, bis 27 m ansteigende Horizontalgeschwindigkeit von 1265–2030 m; vermutlich ist sie nicht völlig reell, sondern zum Teil durch eine erheblich absteigende Komponente des Windes bedingt. Ebenso auffallend ist das Zurückkehren des Ballons von 2540–2795 m, der dann bis 3305 m fast stille zu stehen scheint. Auch dies ist vermutlich nicht reell, sondern wenigstens zum Teil hervorgerufen durch eine erheblich aufsteigende Komponente der Luftbewegung. Oberhalb der Störungszone (welche ungefähr in der Höhe der benachbarten Berggipfel liegt, in Wirklichkeit wohl ein wenig tiefer, als die Berechnung mit konstanter Steiggeschwindigkeit angibt), und durch diese eingeleitet, setzt eine mässige stetige Südwestströmung ein.

Pilotaufstieg um 5^h 15 p. Das im Tal liegende Stück der Flugbahn hat sich ein wenig nach rechts gedreht. Die Schicht mit scheinbar viel grösserer Geschwindigkeit findet sich in etwas tieferer Lage wieder, von 1000–1500 m reichend; ebenso findet sich wieder das Zurückkehren des Ballons, zwischen 2000 und 2500 m; er geht dabei stark von rechts nach links, statt umgekehrt, wie beim vorhergehenden Aufstieg. An die Störungszone schliesst sich auch hier wieder die Drehung des Windes nach SW in den obern Schichten. Erstfeld 9^h 30 p: 13.0°, 30 %.

22. März. Erstfeld 7^h 30 a: 12.6°, Relat. Feucht. 35 %. Im N feine Ci, über uns wirblige Föhn-Cu, aus ca. SSW ziehend. 8 a: Registrieraufstieg, Tandem, Auftrieb 3,5 kg, Instrument 442. Ballon mit Theodolit verfolgt während 31 Minuten. Landung in Schmerikon am obern Zürichsee, Richtung N 30 E, Entfernung 50 km, mittlere Horizontalgeschwindigkeit 9,7 m. Besonderheiten der Registrierung: Von 460–620 m Temperatur 12.6° bis 12.4°, also nahezu isotherm. In 800 m 11.7°, Beginn stärkerer Temperaturabnahme; in 1010 m 10,4°, erst jetzt Beginn adiabat. Temperaturabnahme; in 2000 m beginnt eine Abnahme der Vertikalgeschwindigkeit (von 5,7 m auf 5,0 m); in 2300 m, -2.3°, wird Abnahme der Vertikalgeschwindigkeit sehr ausgesprochen (1,6 m); in 2400, 2440, 2480 sind Temperaturen -3.5, -3.6, -3.5°, also Isothermie und leichte Inversion. Vertikalgeschwindigkeit: 1,4 m, sinkt bei 2480 m bis auf 0,5 m, steigt bis 2730 m wieder auf 2,9 m; 2560 m -3.2°, 2740 m -4.6°, 3290 m -8.3°, 3840 m -13.0°, Gradient wird kleiner, 3960 m -13.7°, Gradient wird noch kleiner; Vertikalgeschwindigkeit sinkt auf 2,4 m; 10 080 m -61.1°, Beginn vorläufiger Inversion; 10 520 m -60.8°, sekundäres Maximum; 10920 m -61.1°, eigentlicher Beginn der grossen Inversion; 12 310 m -54.2°, Maximum; 14 320 m -55.5°, grösste Höhe. Ergebnis der Anvisierung: Noch ziemlich starke, gleichmässige Föhnströmung. Eine Flugbahnberechnung mit konstanter Aufstiegsgeschwindigkeit würde in die Höhe von 2490–3060 m sehr starke Horizontalgeschwindigkeiten bis zu 31 m verlegt haben, welche an ähnliche Erscheinungen in tiefern Schichten am Vortag erinnern; die Berechnung mit den aufs allersorgfältigste ausgemittelten, ausgeglichenen, wirklichen Vertikalgeschwindigkeiten lässt diese abnormen Horizontalgeschwindigkeiten verschwinden, mit Ausnahme der Schicht 2400–2480 m, welcher auch die sehr geringe Vertikalgeschwindigkeit von 1,4 m entspricht; doch ist die geringe Höhendifferenz zu beachten.

Eine Verschiedenheit in der Auffassung der Barographenkurve um je 0,1 $^m/_m$ würde genügen, um auch diese Unregelmässigkeit auszugleichen. Ein Zurückkehren und ein stärkeres Links- oder Rechtsabweichen in dieser Höhe findet diesmal nicht statt, wohl aber in der Höhe von 3576–3840 m, in geringerem Betrage, unmittelbar unter einer Schicht mit geringer Vertikalgeschwindigkeit. Es ist beachtenswert, dass in höheren Schichten jetzt keine erhebliche Rechtsdrehung eintritt; das, was davon übrig geblieben ist, schliesst sich aber auch hier wieder an die „Störungsschicht" von 3510–3840 m an. —

Pilotaufstieg 9^h 40 a. Zeigt ungefähr den Verlauf der vorhergehenden Registrierballon-Anvisierung. Im Föhntal Geschwindigkeiten von 10–15 m, bei 3500 m scheinbare Verzögerung bis auf 3 m, darüber bis 6000 m unter 10 m bleibend.

Pilotaufstieg 12^h 30 p. Die Richtungen bleiben dieselben; im Föhntal wieder stärkerer, scheinbarer Wechsel der Geschwindigkeiten (von 24 m in 2000 m auf 6 m in 2500 m herab; absteigende Komponente?). In grössern Höhen, 3500–6500 m, geringe Geschwindigkeiten.

Pilotaufstieg 2^h 10 p. Im Föhntal: Grössere Geschwindigheiten bis 3500 m.

Weitere Beobachtungen in Erstfeld und auf der Rückreise. 9^h 45 a: Wind am Erdboden 5-6 m im Mittel. Bewölkung: 2, A-Cu? im S (der Föhnmauer entsprechend) ca. 40° hoch steigend; Bristenstock reicht hinein. Links über Talwänden (Gaisberg) bilden sich immer wieder wirblige Cu (später schnell aus SSW ziehende Fr-Cu auch über rechter Talwand); auch ein stehendes kleines Cu über der Talmitte nach N, unter ca. 50°. Die A-Cu steigen von S her zeitweilig bis ca. 70° hoch, in zerissenen Platten. 2^h 38: Die Föhnmauer ist auf die Höhe des Bristenstocks zurückgegangen; darüber ein Streifen Blau bis Bristenstockhöhe, noch höher eine Decke von dichter Ci-Str. Rückreise: 3 p in Altdorf noch S_{2-3}. Urner See weniger wellig als am 21. In Brunnen noch S_1; in Schwyz nichts mehr.

b) Aufstiege in Zürich vom 21. und 22. März.

Der geplante Registrieraufstieg am 21. kann nicht stattfinden, da der Ballon beim Füllen platzt.

Pilotaufstiege vom 20.–22. März. Allen ist gemeinsam, dass sie eine mässige Südostströmung in den untern und mittlern Schichten aufweisen, welche dann ziemlich plötzlich in eine mässige SWströmung übergeht. Die Höhe des Uebergangs liegt am 20. März 4^h p bei 4000 m, sinkt am folgenden Tag, 21. März 10^h a bis 3000 m, um 1^h 45 p bis ca. 2500 m. Hier ist übrigens zunächst ein kurzes Umkehren aus NW vorhanden, welches aber nur scheinbar wäre, falls von 2000–2500 m eine absteigende Komponente bestanden hätte. Abends 5^h p liegt die Wendung bei 3000 m, am folgenden Tag, 22. März, um 10^h a wie um 3^h 45 p, wieder bei 3500 m.

Föhnaufstiege vom 27. Oktober.

Wetterlage. Nachdem schon eine Föhnperiode vorangegangen, die mit Regen abgeschlossen hatte, stellte sich am 26. mit Erscheinen eines neuen Depressionszentrums über Irland wieder Föhn ein, welcher von Mittag (Göschenen) bis am Abend (Altdorf) sukzessive ins Tal hinabstieg; am 27. wehte er sehr stark und verschwand dann am Abend wieder (Ende in Altdorf 6^h 15 p, in Erstfeld 7^h 35 p, in Göschenen 8^h 40 p), gefolgt von Regen.

a) Aufstiege in Erstfeld.

Beobachtungen auf der Hinreise: In Zürich eine A-Cu-Decke; ihre Grenze 11^h 15 a bei Zug. Um 11^h 55 a bei Steinen schon Föhn S_{2-3}. Auf dem Urner See stürmischer Föhn. Der Wellenschaum wird von einzelnen Böen als Wasserstaubsäule hoch durch die Luft getragen. In Erstfeld 1^h 50 p: 14.6°, Relat. Feuchtigkeit 39 %; um 2^h 45 p: 14.8°, Relat. Feuchtigkeit 38 %.

Registrieraufstieg um 3^h p. Tandem. Auftrieb 3,5 kg. Nicht wieder gefunden. Anvisierung mit Theodolit von zwei Stationen aus; die erste am Aufstiegsort, die andere an dem linken Talhang, in der Richtung nach N 45° W, 2125 m entfernt und 200 m höher, auf dem Sackberg. Dort beobachtete ich mit meiner Frau, während auf der Station Erstfeld Abwart Gamper zusammen mit Herrn Sekundarlehrer Götz funktionierte. Während 12 Minuten konnte der Ballon alle Minuten von beiden Stationen aus beobachtet werden; dann verschwand er für Station I (Erstfeld) hinter einer Wolke, und wurde noch 9 Minuten länger von Station II aus beobachtet, bis er ebenfalls verschwand.

Tab. I. Uebersicht der Registrier-Aufstiege.

Luftdruck, Temperatur und relative Feuchtigkeit nach Stufen von 500 und 1000 Metern.

Höhe üb. Meer	Erstfeld. 22. März.			Zürich. 27. Oktober.			Zürich. 7. Dezember.			Höhe üb. Meer
	Luftdruck	Temperat.	R. Feucht.	Luftdruck	Temperat.	R. Feucht.	Luftdruck	Temperat.	R. Feucht.	
m	mm	C°	%	mm	C°	%	mm	C°	%	m
480	719	12.6	37	708	14.3	57	718	0.4	94	480
1 000	674	10.5	36	665	8.9	63	673	3.6	38	1 000
1 500	634	5.8	37	626	6.4	58	633	3.5	31	1 500
2 000	596	1.0	38	590	4.3	50	594	1.1	27	2 000
2 500	560	-3.2	44	553	0.7	54	558	-1.2	20	2 500
3 000	526	-5.7	42	519	-3.7	64	524	-5.0	17	3 000
4 000	462	-13.8	43	457	-11.1	92	461	-12.4	19	4 000
5 000	404	-20.6	41	400	-16.5	96	404	-18.9	17	5 000
6 000	351	-29.3	.	350	-23.5	82	352	-24.1	12	6 000
7 000	305	-37.5	.	304	-30.7	.	306	-30.6	.	7 000
8 000	265	-45.5	.	264	-39.2	.	266	-37.9	.	8 000
9 000	226	-53.5	.	227	-47.3	.	229	-45.4	.	9 000
10 000	193	-60.8	.	195	-54.7	.	197	-54.0	.	10 000
11 000	164	-60.9	.	.	.	.	168	-60.0	.	11 000
12 000	140	-55.2	.	.	.	.	143	-59.8	.	12 000
13 000	119	-54.8	.	.	.	.	122	-59.6	.	13 000
14 000	102	-55.7	.	.	.	.	104	-58.6	.	14 000
15 000	.	.	.	.	.	.	89	-58.5	.	15 000
	Grösste Höhe 14 320 m Minimum -61.1 in 10 080 m			Grösste Höhe 10 820 m Minimum -55.8 in 10 250 m			Grösste Höhe 15 120 m Minimum -60.0 in 10 710 m			

Die Ergebnisse der Doppelvisierung sind folgende:

Zeit	Höhe über dem Talboden		Höhe üb. Meer	Vertikalgeschw.	Richtung aus	Geschwindigkeit
Min.	nach Stat. I	nach Stat. II	m	m		m
0	0 m	0 m	460	—	—	—
—	—	—	—	3,2	S 21 E	15,6
1	192	192	652	—	—	—
—	—	—	—	3,8	S 17 E	20,0
2	427	412	880	—	—	—
—	—	—	—	3,5	S 2 E	19,8
3	635	630	1092	—	—	—
—	—	—	—	2,5	S 1 W	14,4
4	789	768	1240	—	—	—
—	—	—	—	12,8 (8,2)	S 11 E (S 18 E)	37,3 (19,8)
5	1520 (1272)	1575 (1270)	2010 (1730)	—	—	—
—	—	—	—	4,3 (9,0)	E 13 S (S 18 E)	5,3 (19,3)
6	1774	1846	2370	—	—	—
—	—	—	—	6,1	S 0	22,7
7	2155	2195	2635	—	—	—
—	—	—	—	5,0	W 36 S	8,3
8	2500	2450	2935	—	—	—
—	—	—	—	8,1	S 32 W	10,3
9	2980	2940	3420	—	—	—
—	—	—	—	5,5	W 42 S	15,7
12m 10s	4030	3985	4465			

Was die Differenzen zwischen den Höhen I und II betrifft, sind die Umstände der Messung namentlich auf Station II zu berücksichtigen. Diese war den heftigsten Föhnstössen ausgesetzt, sodass der Beobachter mit seiner Gehilfin und dem Theodolit immer wieder in Gefahr war, selbdritt den steilen Abhang hinunterzufliegen. Doch genügt die Uebereinstimmung zur Ableitung der annähernden Vertikalgeschwindigkeiten.

Höchst überraschend ist die sehr grosse aufsteigende Komponente zwischen Minute 4 und 5, mit darauffolgender Richtungsänderung. Nimmt man für den Punkt 5 eine Konjektur an (eingeklammerte Zahlen), bei welcher die Höhendifferenz zwischen I und II verschwindet, und die Horizontalgeschwindigkeiten ausgeglichen werden, so bleibt dennoch für die Höhenschicht 1240–2370 m eine Vertikalgeschwindigkeit von 8–9 m übrig, einer aufsteigenden Vertikalkomponente von 3–4 m entsprechend, während bis 1240 m eine absteigende Komponente von 2–3 m vorhanden war.

Auf den Gegensatz zu den frühern, allerdings nicht eindeutigen Anvisierungen, welche in den Höhen von 1000–2000 m eine absteigende Komponente, und erst darüber eine aufsteigende Bewegung vermuten liessen, sei ausdrücklich hingewiesen; aber auch darauf, dass auch in diesem Fall an die Störungszone sich nach oben eine ganz ausgesprochene Richtungsänderung anschliesst, die mit der Gipfelhöhe der umgebenden Berge anfängt.

Tab. II. Anvisierungen von Registrierballons. 21. März bis 7. Dezember.

Höhe m über Meer	Richtung aus	Geschw. m
Erstfeld. 21. März 3h 30 p		
460— 625	S 12 E	10.0
625— 755	S 10 E	12.5
755— 800	S 20 E	5.8
800—1010	S 20 E	13.4
1010—1265	S 18 E	15.8
1265—1520	S 18 E	20.0
1520—1775	S 12 E	27.5
1775—2030	S 8 E	20.8
2030—2285	S 0	10.8
2285—2540	S 22 W	7.5
2540—2795	N 40 W!	4.2
2795—3050	S 20 W	2.9
3050—3305	S 20 W	1.2
3305—3560	S 0	5.0
3560—3815	W 30 S	6.7
3815—4070	W 20 S	6.7
4070—4325	W 45 S	7.5
4325—4580	W 40 S	13.4
4580—4835	W 35 S	12.5
4835—5090	W 22 S	8.3
5090—5345	W 42 S	8.3
5345—7320	S 16 W	8.6
Erstfeld. 27. Oktober 4h 30 p (Pilot). Andere Berechnung s. im Text		
460— 660	S 18 E	6.0
660— 860	S 10 E	9.7
860—1060	S 17 E	16.7
1060—1260	S 16 E	19.0
1260—1460	S 6 E	9.2
1460—1660	W 13 S	3.7
1660—1860	W 13 N	7.0
1860—2060	S 26 W	5.8
2060—2260	W 44 S	9.2
2260—2430	S 37 W	13.3

Höhe m über Meer	Richtung aus	Geschw. m
Erstfeld. 22. März 7h 55 a		
460— 600	S 28 E	10.8
600— 720	S 10 E	13.4
720— 850	S 10 E	12.4
850—1010	S 8 E	13.4
1010—1350	S 10 E	13.8
1350—1660	S 7 E	12.1
1660—2000	S 3 W	10.1
2000—2300	S 1 E	12.6
2300—2400	S 1 W	8.2
2400—2480	S 10 W	17.5
2480—2560	S 14 W	10.8
2560—2730	S 31 W	9.2
2730—3010	S 30 W	4.8
3010—3290	S 5 W	4.8
3290—3570	S 30 E	5.0
3570—3840	W 30 N!	1.9
3840—4050	S 4 W	9.4
4050—4260	S 45 W	5.4
4260—4570	W 30 S	6.2
4570—4850	S 23 W	5.5
4850—5150	S 24 W	5.0
5150—5460	S 18 W	10.3
5460—5780	S 11 W	7.3
5780—6090	S 12 W	10.4
6090—6440	S 6 W	9.3
6440—6970	S 12 W	10.1
6970—7160	S 20 W	13.0
7160—7530	S 28 W	12.4
7530—7900	S 31 W	10.0
7900—8280	S 29 W	14.9
8280—8620	S 27 W	14.6
8620—8960	S 32 W	10.8
8960—9300	S 35 W	20.8

Höhe m über Meer	Richtung aus	Geschw. m
Zürich. 27. Oktober 2h 45 p		
480— 570	W 7 N	4.0
570— 670	W 1 S	5.0
670— 890	W 25 N	4.6
890—1100	W 15 N	5.7
1100—1260	N 2 W	0.8
1260—1430	S 3 W	4.6
1430—1580	S 4 W	5.8
1580—1760	S 5 W	10.4
1760—1970	S 10 W	8.7
1970—2150	S 23 W	7.1
2150—2420	S 37 W	9.6
2420—2620	W 36 S	12.9
2620—2830	W 44 S	13.7
2830—3010	W 37 S	16.7
3010—3210	W 43 S	22.9
3210—3410	W 40 S	21.3
3410—3570	W 35 S	24.2
Erstfeld. 27. Oktober 3h 15 p Doppelvisierung		
460— 652	S 21 E	15.6
652— 880	S 17 E	20.0
880—1092	S 2 E	19.8
1092—1240	S 1 W	14.4
1240—2010	S 11 E	37.3
2010—2370	E 13 S	5.3
2370—2635	S 0	22.7
2635—2935	W 36 S	8.3
2935—3420	S 32 W	10.3
3420—(3750)	W 41 S	15.8
(3750)—(4080)	W 32 S	17.5
(4080)—4465	W 44 S	14.2

Höhe m über Meer	Richtung aus	Geschw. m
Zürich. 7. Dezember 3h 15 p		
—	—	—
—	—	—
990—1290	S 33 W	6.1
1290—1680	S 20 W	8.3
1680—2070	S 9 E	11.5
2070—2460	S 10 W	9.6
2460—2900	S 30 W	7.7
2900—3280	S 42 W	11.2
3280—3670	S 44 W	13.9
3670—4090	W 43 S	15.2
4090—4500	S 42 W	18.7
4500—4880	S 40 W	18.7
4880—5270	S 43 W	20.0
5270—5700	S 36 W	15.4
5700—6140	W 39 S	10.2
6140—6620	W 19 S	17.7
6620—7030	W 43 S	12.7
7030—7460	S 41 W	18.5
7460—7940	S 42 W	13.7
7940—8420	W 25 S	9.3
8420—8890	W 12 S	14.2
Erstfeld. 27. Okt. 3h 15 p (Forts.) Einfache Visierung		
4410—4740	S 44 W	18.4
4740—5070	W 44 S	28.5
5070—5400	W 27 S	25.9
5400—5730	W 25 S	33.5
5730—6060	W 30 S	36.8
6060—6390	W 33 S	31.8
6390—6720	W 33 S	22.6
6720—7050	W 26 S	25.9
7050—7380	W 38 S	21.8

Pilotanvisierung 4h 30 p. Nur von Station I aus während 10 Minuten. Der Aufstieg ist doppelt berechnet, einmal mit konstanter Aufstiegsgeschwindigkeit von 3,33 m per Sekunde, dann auch auf Grund der vorhergehenden Doppelvisierung und mit Berücksichtigung des Ganges der Höhenwinkel, so dass von 200–500 m relativer Höhe (660–960 m abs. Höhe) eine absteigende Komponente von 1,65 m, dagegen von 700–1500 m relativer Höhe (also 1160–1960 m abs. Höhe) eine aufsteigende Komponente von 3,3 m angenommen wurde.

Die beiden Zahlenreihen folgen nebeneinander. Die zweite Berechnungsart, welche jedenfalls der Wirklichkeit näher kommt, lässt die ganz unvermittelnd einsetzende W- und WNW richtung wegfallen und ersetzt sie durch einen allmählichen Uebergang der Richtung.

Pilotaufstieg vom 27. Oktober 4h 31 p in zweifacher Berechnung.

Abs. Höhe m	Vertikalgeschw. m	Richtung aus	Geschwindigkeit m
460— 660	3,3	S 18 E	6,0
660— 860	3,3	S 10 E	9,7
860—1060	3,3	S 17 E	16,7
1060—1260	3,3	S 16 E	19,0
1260—1460	3,3	S 6 E	9,2
1460—1660	3,3	W 13 S	3,7
1660—1860	3,3	W 13 N	7,0
1860—2060	3,3	S 26 W	5,8
2060—2260	3,3	W 44 S	9,2
2260—2430	3,3	S 37 W	13,3

Abs. Höhe m	Vertikalgeschw. m	Richtung aus	Geschwindigkeit m
460— 660	3,3	S 18 E	6,0
660— 760	1,65	S 10 E	5,7
760— 860	1,65	S 17 E	10,5
860— 960	1,65	S 18 E	10,7
960—1160	3,3	S 8 E	9,8
1160—1560	6,7	S 1 W	13,4
1560—1960	6,7	S 36 W	9,7
1960—2160	3,3	S 30 W	5,7
2160—2360	3,3	W 42 S	9,7
2360—2560	3,3	S 42 W	11,5

Beachtenswert ist bei diesem Aufstieg, dass die obere wirkliche Strömung hier schon viel tiefer hinabgesunken ist, und zugleich die Stärke des Föhns sehr abgenommen hat; er ging denn auch seinem Ende entgegen.

Tab. III. Pilotballon-Anvisierungen in Erstfeld und Zürich vom 21. März bis 20. Dezember.

Höhe m über Meer	Erstfeld 21. März 5h 15 p		Erstfeld 22. März 9h 40 a		Erstfeld 22. März 12h 30 p		Erstfeld 22. März 2h 10 p		Zürich 17. ? Nov. 3h 40 p		Zürich 20. Dez. 10h 27 a		Höhe m über Meer
	Richtung aus	Geschw. m	Richtung aus	Geschw. m	Richtung aus	Geschw. m	Richtung aus	Geschw. m	Richtung aus	Geschw. m	Richtung aus	Geschw. m	
500— 600	S 10 E	6.8	S 30 E	10.0	S 30 E	7.0	S 22 E	6.7	—	0	W 45 N	1.7	500— 600
600— 700			S 22 E	15.0	S 22 E	10.0	S 10 E	10.0	—	0	W 24 S	1.0	600— 700
700—1000	S 11 E	8.9	S 22 E	13.4	S 21 E S 4 W	9.3 15.0	S 12 E	12.2	W 25 S	2.9	S 38 E	5.1	700—1000
1000—1500	S 10 E	22.0	S 3 W S 6 E	9.4 15.1	S 6 E	14.4	S 12 E	15.7	W 27 S	9.5	S 1 W	4.3	1000—1500
1500—2000	S 1 W	7.7	S 10 E	12.3	S 10 E	24.1	S 9 E	24.0	W 18 S	9.7	W 37 S	8.3	1500—2000
2000—2500	E 30 N!	2.8	S 6 W	11.5	S 8 W	6.6	S 4 E	15.0	W 24 S	12.2	W 33 S	10.7	2000—2500
2500—3000	S 20 E S 40 W	5.0 5.0	S 18 W	12.7	S 18 W	10.4	S 9 E	19.1	W 22 S	15.2	W 26 S	17.8	2500—3000
3000—3500	W 35 S	7.8	S 20 W S 10 E	6.1 3.2	S 20 W	8.1	S 10 E W 20 N	11.4 4.7	W 22 S	14.2	W 24 S	20.4	3000—3500
3500—4000	W 41 S	9.3	S 10 W	6.2	S 6 W	8.7	wird unsichtbar		W 22 S	12.0	verschwindet in A-Str		3500—4000
4000—4500	W 35 S	13.0	S 17 W	4.5	S 36 W	4.2	—	—	W 19 S	15.3	—	—	4000—4500
4500—5000	hint. Berg rechts verschw.		S 25 W	5.0	S 38 W	3.8	—	—	W 23 S	16.7	—	—	4500—5000
5000—5500	—	—	S 24 W	8.0	W 10 S	4.5	—	—	—	—	—	—	5000—5500
5500—6000	—	—	S 14 W	10.7	S 19 W	8.1	—	—	—	—	—	—	5500—6000
6000—6500	—	—	S 10 W	8.3	S 15 W	12.2	—	—	—	—	—	—	6000—6500
6500—7000	—	—	S 19 W	8.8	S 15 W	12.7	—	—	—	—	—	—	6500—7000
7000—7500	—	—	S 30 W	11.0	S 28 W	14.5	—	—	—	—	—	—	7000—7500
7500—8000	—	—	S 25 W	15.3	—	—	—	—	—	—	—	—	7500—8000

Schlussbeobachtungen in Erstfeld und auf der Rückreise. Um 4h p: Die Föhnmauer steht in der Lücke links vom Bristenstock; dieser ist verhüllt; von ihm aus zieht sich eine Wolkenfahne nach links (talaufwärts gesehen) über das ganze Tal. A-Cu Centicularis über Roffuin und Hintergrund des Schächentals. Ueber Schächental schwebend auch Föhn-Cu, in welchem der Registrierballon verschwand.

Um ca. 5 p stehen die A-Str am Talausgang ca. 7° hoch; um 5h 15 ca. 21° hoch; um 5h 45 wieder nur 7° hoch. Bei der Heimkehr geht 6h 24 in Erstfeld noch deutlicher Föhn. Um 6h 35 ist es in Altdorf schon zweifelhaft, und in Flüelen weht gleich darauf schon ziemlich starker Nordwind, ebenso in Brunnen. Vor Arth-Goldau beginnt schon Regen.

b) Aufstiege in Zürich.

27. Oktober 10h 15 a. Pilotballon. Von 700 m an schon SSW wind, der bald in WSW übergeht. In 2450 m Höhe Wolken erreicht.

Registrieraufstieg 2h 45 p mit Soloballon. Auftrieb 2430 gr. Instrument 449. 16 Minuten anvisiert; geht dann in A-Str. Gefunden in Tannenweiler bei Aulendorf (Württemberg). Besonderheiten der Registrierung: Mehrere auffallende Wechsel in der Vertikalgeschwindigkeit: Von 480–1170 m v = 3,40 m; von 1170–2130 m = 2,88 m; von 2130–2320 m vorübergehende Zunahme bis auf 5,3 m!; von 2320–3070 m = 3,35 m; von 3070–3660 m = 3,00 m; von 3660–3860 m sinkt die Vertikalgeschwindigkeit auf 1,36 m. Darüber regelmässiger Verlauf. Temperatur: Bis 1000 m adiabat. Temperaturabnahme; 1560–1760 m = 3.0° und 1.9°, langsame Temperaturabnahme; in geringerem Masse schon von 1430 m an; starke Temperaturabnahme bis 4340 m; von 4340–4420 m –13.4° bis 12.6°, Temperaturinversion. In 10530 m –55.8°, Beginn der obern Inversion; in 10820 m –53.6°, grösste Höhe. Flugbahn des Ballons: Bis 1260 m eine mässige Strömung aus WNW; dann scharf einsetzend S wind, der oberhalb von 2000 m bis 3570 m allmählich nach SW dreht; in 3570 m verschwindet der Ballon im Altostratus. Die Schicht mit absteigender Komponente liegt also innerhalb des Altostratus, vielleicht sogar darüber, was allerdings eine unwahrscheinlich geringe Dicke des A-Str voraussetzen würde. Ob die Temperaturinversion von 4340 m bis 4420 m erst die obere Begrenzung des A-Str bedeutet, und nicht schon darüber liegt, ist auch eine offene Frage.

Registrieraufstieg am 7. Dezember. (International.)

Der Aufstieg findet bei einer nicht sehr ausgesprochenen Föhnlage statt, an deren Schlussphase.

Wetterlage: Zwischen zwei Hochdruckgebiete, die über Spanien und Osteuropa liegen, hat sich am Morgen von NW her eine tiefe Depression eingedrängt. Rigikulm hat um 1 p: S4.

Registrieraufstieg um 3h 15 p. Tandem. Instrument 378. Wegen des Nebels findet die Anvisierung vom Uetliberg aus statt. Die Entdeckung des aus dem Nebelmeer auftauchenden Ballons ist aus dieser Entfernung schwierig und gelang nur mit weiblicher Hülfe. Dauer der Anvisierung 40 Minuten. Ballon fällt in den Bodensee bei Langenargen. Besonderheiten der Registrierung: 720 m = 1.5°, 100 %, Beginn der Inversion oberhalb des Nebelmeers; 890–940 m 2.4°, kleine sekundäre Isothermie; in 1290 m 4.0°, 34 %, Maximum der Inversion; 2100–2390 m 0.1 bis 0.8°, schwächere Temperaturabnahme; 2900 m –4.3°, 16 %, Minimum der relat. Feuchtigkeit; 5270 bis 5700 m –20.6 bis –21.6°, Schicht mit geringerer Temperaturabnahme; in 10710 m –60.0°, Beginn der obern Inversion, die bis 13340 m isotherm bleibt; 13340–13480 m –59.6 bis 58.7°, kleine Temperaturzunahme; 15120 m –58.5°, grösste Höhe. Beim Abstieg findet sich die untere Grenze der obern Inversion in 9940 m.

Anvisierung: a) Pilotballon vom 6. Dezember 2h 45 p. Nach vollständiger Schleife mit schwacher Bewegung bis 2500 m nun merkwürdig konstanter SW wind bis zu sehr grosser Höhe.

b) Registrierballon vom 7. Dezember 3h 15 p. Unten SSW, höher wieder ziemlich konstant SW. Da die Sonne schon sehr tief stand, und der Himmel sich schnell mit Ci-Str überzog, wurde der Ballon nach 40 Minuten unsichtbar.

Tab. IV. Pilotballon-Anvisierungen in Zürich.

Höhe m über Meer	**20. März** 4h p		**21. März** 10h a		**21. März** 1h 45 p		**21. März** 5h p		**22. März** 10h a		**22. März** 3h 45 p		**15. April** 10h 15 a	
	Richtung aus	Geschw. m	Richtung aus	Geschw. m	Richtung aus	Geschw. m	Richtung aus	Geschw. m	Richtung aus	Geschw. m	Richtung aus	Geschw. m	Richtung aus	Geschw. m
500— 600	E 40 N	2.0	senkrecht	0	senkrecht	0	S 0	1.7					W 20 N	1.7
600— 700	E 30 N	5.4	„	0	S 6 W	1.2	S 2 E	1.7	E 17 N	1.5	E 16 S	0.7	S 19 E	1.2
700—1000	E 25 S	3.8	E 15 S	1.3	S 40 E	2.6	S 20 E	1.1					S 19 E	0.4
1000—1500	E 33 S	6.0	S 1 E	1.3	S 40 E	4.1	S 34 E	1.8	E 25 S	3.1	E 20 S	2.1		
1500—2000	S 19 E	5.0	S 35 E	2.8	S 31 E	4.3	E 30 S	2.7	S 20 E	4.9	S 30 E	3.8	W 6 S	2.3
2000—2500	S 34 E	5.7	S 39 E	3.5	S 18 E	13.3	S 40 E	4.0	S 3 E	3.6	S 30 E	4.8	N 19 W	4.5
2500—3000	E 25 S	3.8	S 27 E	3.3	N 43 W	5.3	S 5 E	3.4	E 30 S	2.7	S 11 E	4.9	N 5 W	9.7
3000—3500	S 40 E	2.8	S 32 W	6.2	S 38 W	4.6	S 30 W	1.5	E 1 S	3.9	S 20 E	2.4	N 2 W	12.3
3500—4000	S 5 E	2.5	S 38 W	10.0	S 40 W	10.7	W 31 S	6.3	E 41 S	3.5	S 21 W	3.8	N 0	17.2
4000—4500	W 43 S	3.2	S 36 W	13.3	S 41 W	8.8	—	—	S 43 W	4.7	S 28 W	7.6	N 0	20.3
4500—5000	S 43 W	6.2	S 35 W	11.7	platzt	—	—	—	S 32 W	7.7	S 19 W	6.7	N 2 E	22.7
5000—5500	S 29 W	8.9	S 21 W	12.3	—	—	—	—	S 26 W	9.3	S 25 W	6.5	—	—
5500—6000	S 12 W	6.5	S 30 W	13.1	—	—	—	—	S 15 W	8.5	S 22 W	8.3	—	—
6000—6500	S 9 W	7.3	S 30 W	15.5	—	—	—	—	S 28 W	10.4	S 21 W	9.4	—	—
6500—7000	S 23 W	9.0	S 24 W	16.3	—	—	—	—	S 19 W	9.9	S 28 W	11.3	—	—
7000—7500	verschwindet	—	S 31 W	17.3	—	—	—	—	S 24 W	9.9	S 30 W	13.3	—	—
7500—8000	—	—	S 35 W	13.9	—	—	—	—	S 25 W	11.2	W 43 S	12.7	—	—
8000—8500	—	—	S 19 W	14.5	—	—	—	—	S 22 W	12.4	W 30 S	13.6	—	—
8500—9000	—	—	S 8 W	20.3	—	—	—	—	S 25 W	13.3	W 34 S	23.3	—	—
9000—9500	—	—	wird unsichtb.	—	—	—	—	—	S 36 W	17.9	wird unsichtb.	—	—	—

Höhe m über Meer	**15. April** 3h p		**18. April** 4h 45 p		**10. Sept.** 11h a		**10. Sept.** 3h 30 p		**27. Okt.** 10h 15 a		**23. Nov.** 10h 35 a		**6. Dez.** 2h 45 p	
	Richtung aus	Geschw. m	Richtung aus	Geschw. m	Richtung aus	Geschw. m	Richtung aus	Geschw. m	Richtung aus	Geschw. m	Richtung aus	Geschw. m	Richtung aus	Geschw. m
500— 600	S 1 E	2.0	S 8 W	2.0	N 9 W	1.7	N 37 E	4.3	—	0	S 30 E	2.0	N 0	2.0
600— 700	S 0	1.0	S 9 W	4.0	N 10 E	1.7	N 30 E	4.0	W 12 N	1.5	E 10 S	1.0	N 10 E	1.8
700— 1000	S 43 W	1.1	S 0	3.7	N 0	4.1	N 25 W	2.5	S 25 W	4.9	E 39 S	5.5	E 29 S	2.9
1000— 1500	W 15 S	1.0	S 19 E	4.6	W 19 N	3.3	W 29 N	4.5	S 28 W	6.5	S 6 E	8.2	E 20 S	3.8
1500— 2000	N 21 W	3.3	S 16 E	4.3	W 16 N	5.3	W 17 N	6.3	W 26 S	13.5	S 20 W	7.3	E 5 S	2.3
2000— 2500	N 10 E	4.6	S 4 E	5.8	W 35 N	6.0	W 19 N	6.8	W 25 S	21.3	S 31 W	10.0	W 15 N	3.8
2500— 3000	N 18 W	7.7	platzt	—	W 31 N	5.0	W 20 N	8.7	—	—	S 19 W	15.2	W 36 S	5.8
3000— 3500	N 0	9.4	—	—	W 27 N	15.5	W 26 N	8.8	—	—	S 27 W	12.7	W 32 S	6.5
3500— 4000	N 16 W	12.3	—	—	W 26 N	12.7	N 42 W	7.5	—	—	S 27 W	14.7	S 39 W	6.3
4000— 4500	N 7 W	13.5	—	—	W 43 N	13.5	—	—	—	—	S 35 W	14.7	S 34 W	7.0
4500— 5000	N 5 W	17.2	—	—	—	—	—	—	—	—	S 32 W	14.0	W 15 S	4.0
5000— 5500	N 17 W	12.5	—	—	—	—	—	—	—	—	—	—	W 22 S	7.5
5500— 6000	N 14 W	22.7	—	—	—	—	—	—	—	—	—	—	W 40 S	10.7
6000— 6500	N 19 W	21.0	—	—	—	—	—	—	—	—	—	—	W 40 S	8.3
6500— 7000	N 21 W	23.3	—	—	—	—	—	—	—	—	—	—	W 38 S	10.7
7000— 7500	N 18 W	22.0	—	—	—	—	—	—	—	—	—	—	W 38 S	12.2
7500— 8000	N 24 W	21.5	—	—	—	—	—	—	—	—	—	—	W 40 S	13.3
8000— 8500	N 25 W	22.7	—	—	—	—	—	—	—	—	—	—	W 41 S	13.3
8500— 9000	N 27 W	23.3	—	—	—	—	—	—	—	—	—	—	W 44 S	14.2
9000— 9500	—	—	—	—	—	—	—	—	—	—	—	—	W 43 S	14.0
9500—10000	—	—	—	—	—	—	—	—	—	—	—	—	S 41 W	27.0?
10000—10500	—	—	—	—	—	—	—	—	—	—	—	—	S 42 W	12.5
10500—11000	—	—	—	—	—	—	—	—	—	—	—	—	S 43 W	24.4

Erdbeben der Schweiz im Jahre 1911.

Januar-April.

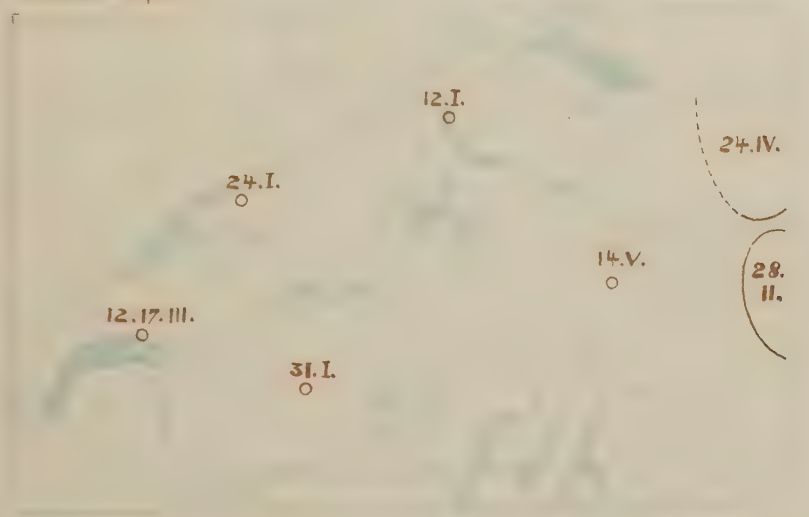

Mai-September.

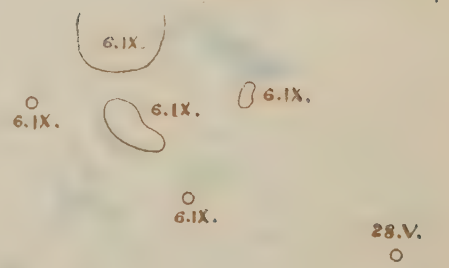

September & Oktober.

November & Dezember.

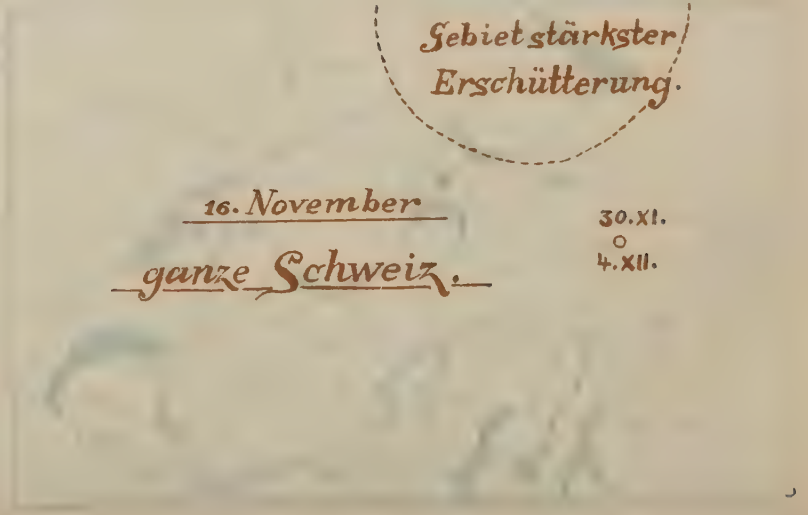

No. 7.

Die Erdbeben der Schweiz im Jahre 1911.

Nach den von der schweizerischen Erdbebenkommission gesammelten Berichten bearbeitet und ergänzt

von

Dr. A. de Quervain in Zürich.

(Mit einer Tafel.)

Mitglieder der schweiz. Erdbebenkommission pro 1911.

(1–4 zugleich Ortsausschuss.)

1. Hr. Prof. Dr. J. Früh in Zürich, Präsident.
2. » Prof. Dr. A. Heim in Zürich, Vizepräsident.
3. » Privatdozent Dr. A. de Quervain in Zürich, Schriftführer.
4. » Dr. J. Maurer, Direktor der meteor. Zentralanstalt in Zürich.
5. » Prof. Dr. A. Forster in Bern.
6. » Forstinspektor Ad. de Werra in Siders.
7. » Prof. Dr. Cl. Hess in Frauenfeld.
8. » Prof. Dr. A. Riggenbach in Basel.
9. » Apotheker C. Bührer in Clarens.
10. » Prof. Dr. H. Schardt in Neuchâtel.
11. » Prof. Dr. Ch. Tarnuzzer in Chur.
12. » Prof. Dr. Ch. Sarasin in Genf.
13. » Prof. Dr. F. A. Forel in Morges.
14. » Prof. J. Meister in Schaffhausen.
15. » Prof. Dr. Raym. de Girard in Freiburg.

Vorbemerkung. Zur Ergänzung des oben genannten Materials wurde benützt: 1. Die Erdbebenbeobachtungen der schweiz. meteorologischen Stationen, exzerpiert aus den Tabellen durch die Herren Mettler und Weber. 2. Der makroseismische und mikroseismische Erdbebenbericht der Hauptstation für Erdbebenforschung zu Strassburg, soweit vorliegend. 3. Auskünfte des Herrn Prof. J. Schorn in Innsbruck, ebenso die Erdbebenangaben des italien. meteorolog. Bulletins. 4. Eine Anzahl nachträglich durch den Berichterstatter bei den Beobachtern eingezogener Auskünfte. 5. Einige im Text genannte Publikationen.

Die Zeitangaben beziehen sich überall auf mitteleuropäische Zeit.

Intensitätsskala. Für die Beurteilung der Stärke der Erdstösse wurde wie früher die Rossi-Forel'sche oder italienisch-schweizerische Intensitätsskala zu Grunde gelegt. Sie lautet:

Nr. 1. Mikroseismische Bewegung, notiert von einem Seismographen oder von mehreren Instrumenten derselben Art, aber nicht im stande, Seismographen verschiedener Konstruktion in Funktion zu versetzen. Konstatiert von einem geübten Beobachter.

„ 2. Stoss, registriert von Seismographen verschiedenen Systems, konstatiert von einer kleinen Anzahl im Zustande der Ruhe befindlicher Beobachter.

„ 3. Erschütterung, beobachtet von mehreren Personen in der Ruhe; stark genug, dass Dauer oder Richtung geschätzt werden können.

„ 4. Erschütterung, beobachtet von Personen in Tätigkeit; Erschütterung beweglicher Objekte, der Fenster, Türen; Krachen der Dielen.

„ 5. Erschütterung allgemein von der ganzen Bevölkerung bemerkt; Erschütterung grösserer Gegenstände, der Möbel, Betten; Anschlagen einzelner Hausglocken.

„ 6. Allgemeines Erwachen der Schlafenden; allgemeines Anschlagen der Hausglocken, Schwanken der Kronleuchter, Stillstehen von Uhren, sichtbares Schwanken der Bäume und Gesträucher. Einzelne Personen verlassen erschreckt die Häuser.

„ 7. Umstürzen von beweglichen Gegenständen, Ablösen von Gipsstücken aus der Decke und von den Wänden, Anschlagen von Kirchenglocken, allgemeiner Schrecken, noch keine Beschädigung der Bauwerke.

„ 8. Herabstürzen von Kaminen, Risse in den Mauern von Gebäuden.

„ 9. Teilweise oder gänzliche Zerstörung einzelner Gebäude.

„ 10. Grosses Unglück. Ruinen, Umsturz von Erdschichten, Entstehen von Spalten in der Erdrinde, Bergstürze.

NB. Die neuerdings auch verwendete zwölfstufige Skala von Mercalli-Cancani unterscheidet sich in den vier ersten Stufen nicht wesentlich von der obigen; die über V hinausgehenden Grade stimmen nicht mehr überein. V bei Mercalli-Cancani ist bei Forel-Rossi schon nahezu VI. Die gleiche Differenz bleibt bis Forel IX. Forel X ist gleich IX bis XII Mercalli.

Erdbeben im Jahre 1911.

Im Jahre 1911 wurden im Gebiet der Schweiz 15 Erdstösse gespürt. Dieselben verteilen sich folgendermassen auf die Monate:

Jan.	Febr.	März	April	Mai	Juni	Juli	August	Sept.	Okt.	Nov.	Dez.
3	1	2	1	2	—	—	—	2	1	2	1

Von diesen 15 Erschütterungen fielen 7 in die Zeit der Ruhe 8 p bis 8 a, 8 in die Zeit der Tätigkeit.

Allgemeines.

Die Anzahl der Erschütterungen war also verhältnismässig klein; dagegen besitzen einige davon besondere Bedeutung: vor allem das *grosse Beben vom 16. November*, welches zwar seinen Herd in Süddeutschland hatte, aber doch auch im schweizerischen Gebiet überall und z. T. sehr heftig gespürt wurde; die stärkste Erdbebenerscheinung seit Jahren und Jahrzehnten. Interesse besitzen ferner die Erdbeben vom 6. und vom 21. September. Das erstere, weil es als ein Vorläuferbeben zu dem grossen Ereignis vom 16. November anzusehen ist. Das andere, weil hier zum ersten Male die durch die Bemühungen der Erdbebenkommission errichtete schweizerische Erdbebenwarte bei Zürich eine Aufzeichnung eines schweizerischen Nahebebens erhielt, zu deren Untersuchung sie errichtet worden ist.

Die Errichtung einer solchen Warte im Berichtsjahre konnte auch an dieser Stelle*) eine nähere Beschreibung ihrer Einrichtung erwarten lassen, deren instrumentelle Seite von uns besorgt wurde. Da aber bisher diese Berichte nicht einer Darstellung der Tätigkeit der Erdbebenkommission im allgemeinen, sondern nur der Erdbebenstatistik gedient haben, und da im gegenwärtigen Augenblick ein Uebergangszustand immer noch fortbesteht, wonach diese Arbeit der Erdbebenkommission im wesentlichen freiwillig von einzelnen Beamten der meteorologischen Zentralanstalt besorgt wird, muss vorläufig davon abgesehen werden.

Einzelne Berichte.

1. Am 12. Januar $9^h 35^m 50^s$ a bemerkte ein geübter Beobachter in Zürich V eine 4–5 Sekunden dauernde leichte, aber deutliche Erschütterung.

2. Am 24. Januar $10^h 53$ und $10^h 54\frac{1}{2}$ a wurde in Lyss (Kt. Bern) von einem einzigen Beobachter eine leichte Erschütterung bemerkt, welche die Türen erzittern machte. Weitere Nachfragen ergaben ein verneinendes Resultat.

3. Am 31. Januar um $8^h 10$ a wurde in Siders (Sierre, Kt. Wallis) ein ziemlich deutlicher Seitenstoss gespürt, scheinbar aus NW. Eine kranke Person wurde im Bett geschaukelt; ein schussartiges Geräusch begleitete den Stoss.

4. Am 28. Februar um $3^h 44^m 3^s$ p (nach der Telegraphenuhr) wurde in Santa Maria (Münstertal, Graubünden) allgemein ein seitlicher Erdstoss gespürt von etwa 2 Sekunden Dauer; die Fenster klirrten, Bilder schwankten, auch Hängelampen in der Schule und Blumen in einem Gewächshaus; dort selbst die aufgehängten Heizungsröhren, und zwar in der Richtung ESE–WSW. Der Stoss wurde deutlich auch in Remüs und dem benachbarten Manas (Unterengadin) gespürt. Angeblich soll schon in der Nacht vorher (um Mitternacht? um 3 und 5 Uhr früh?) ein Stoss gespürt worden sein: ein anderer schwächerer wurde 5–10 Minuten nach dem Hauptstoss gespürt, vielleicht auch ein um 5 Minuten vorhergehender. — Ostrand eines Erdbebenareals, dessen Mittelpunkt ca. 15 km östlich von Santa Maria im Vintschgau lag; dort Stärke III–V.

5. Am 12. März um $5^h 25$ p wurde in Lausanne von einigen Personen ein leichter Erdstoss gespürt.

6. Am 17. März um $11^h 20$ p wurde wiederum in Lausanne eine Erschütterung gespürt, angeblich in W–E-richtung. („forte" Zeitungsbericht; die in diesen beiden letzten Fällen von Herrn Bührer ausgesandten Fragebogen blieben unbeantwortet.)

Am 3. April um $4^h 46^m 50^s \pm 3^s$ p wurde in Basel die Horizontalkomponente des Seismoskops im Bernoullianum ausgelöst. Ob Erdbeben?

7. Am 24. April $6^h 18$ p wurde im Nordwesttirol und im benachbarten Vorarlberg ein Erdbeben gespürt, welches an seiner südlichen Peripherie auch die Nordostecke Graubündens erreichte; im Samnauntal wurde es in den Orten Compatsch und Loreth wahrgenommen; es verursachte ziemlich starkes Klirren der Fenster.

8. Am 14. Mai wurde um $0^h 57^m$ a von einem Beobachter in Pratval (Domleschg) ein wellenförmiges Erdbeben mit der Richtung W–E gemeldet. Trotz Aufforderung in der Presse gingen keine weiteren Meldungen ein.

9. Am 28. Mai wurde um $2^h 25$ p in Tarasp ein Erdstoss gespürt, der ungefähr $\frac{1}{2}$ Minute (?) dauerte und NW–SE richtung zu haben schien. (Zeitung.)

---

*) Ein allgemeiner Bericht darüber von Prof. J. Früh ist erschienen in den Verhandlungen der Schweiz. Nat. Gesellschaft in Solothurn 1911 unter dem Titel: „Ueber die 30jährige Tätigkeit der Schweiz. Erdbebenkommission (inkl. Erdbebenwarte)", mit Erdbebenkarte.

Am 4. Juli um $4^h 36^m 1^s$ p wurde in Basel vom selben Apparat ein Vertikalstoss angezeigt.

Am 6. Juli $7^h 52^a$ soll in Burgdorf eine 3–4 Minuten (!) dauernde Erderschütterung gespürt worden sein; der hingesandte Fragebogen blieb unbeantwortet.

Am 26. Juli um 1 a soll in Lyss (Kt. Bern) eine Erderschütterung gespürt worden sein; die isoliert gebliebene Angabe rührt von demselben seismophilen Beobachter her wie früher.

10. Am 6. September um $5^h 31^m 32{,}6^s$ a (nach der Erdbebenwarte in Zürich) wurde in der Nordostschweiz ein mässiges Erdbeben gespürt, das nach Angabe der Hohenheimer Erdbebenwarte auch in Württemberg, hauptsächlich im südlichen Teil des Landes, und in Hohenzollern gespürt wurde. Von Ebingen und Hechingen berichtet die Zeitung, dass dort die Erschütterung mindestens 6 Sekunden dauerte, dass sie in allen Häusern verspürt wurde, Gegenstände von ihren Plätzen fielen, Uhren stehen blieben und der Bevölkerung sich allgemeiner Schrecken bemächtigte.

In jener Gegend, ca. 100 km im NNE von Zürich, ist, wie auch die folgenden Angaben zeigen werden, das Epizentrum dieser Erschütterungen zu suchen, also nicht am Nordhang der Alpen, wie in den Nachrichten der Erdbebenwarte von Hohenheim angenommen wird. Um so mehr wird aber die dort ausgesprochene Ansicht bestätigt, dass das Erdbeben vom 6. September als Vorbeben für das grosse Erdbeben vom 16. November aufzufassen ist.

In der Schweiz liegen 24 Nachrichten vor, die sich eigentümlich auf drei getrennte Gebiete verteilen; zwischen hinein fehlen Nachrichten.

Diese Gebiete umfassen: Erstens die Gegend um Schaffhausen und östlich und südöstlich bis etwa Frauenfeld mit Nachrichten von Schleitheim, Unterhallau (N–S), Schaffhausen (3 Nachrichten, Richtung E–W), Stein a./Rh. (mit Zeitungsangaben betreffend die benachbarten Orte Eschenz, Oehningen, Wagenhausen), Steckborn, Frauenfeld (4 Nachrichten mit 4 Richtungsangaben S–N, N–S, SSE–NNW und NNE–SSW; die eine Angabe N–S ist objektiv, beobachtet an einer Hängelampe), Ossingen.

Zweitens die Gegend von St. Gallen, mit Nachrichten von St. Gallen selbst, von Teufen und Mörschwil.

Drittens am Zürichsee und im Gebiet des obern Glattals; es liegen direkte Nachrichten und Zeitungsberichte vor von Effretikon (SE–NW), Uster, Wetzikon, Grüningen, Rüti (SW–NE), Uznach (W–E); ferner von Zollikon, Männedorf (NW–SE), Lachen. Schliesslich sind auch vereinzelte Angaben gekommen von Lenzburg (S–N) und von Ennenda bei Glarus.

Die Stärke des Bebens betrug 3–4 Grade; nirgends ging es über das Klirren von Gefässen und Krachen der Wände hinaus; einige Personen erwachten an der Erschütterung. Deren Charakter wird z. T. als ein Stoss angegeben, von andern genauer als ein Rütteln, das aus 5–8 einzelnen kurzen Stössen mit Intervallen von höchstens einer Sekunde bestand; diese genaueren Angaben sind durch Schüler in Frauenfeld, auf Veranlassung von Hrn. Cl. Hess gemacht worden.

Bemerkungen, die ein Hervortreten der horizontalen Komponente anzeigen, finden sich mehr im südlichen Teil des erschütterten Gebiets; Uznach gibt an, das Schaukeln habe 10–15 Sekunden gedauert. Von Frauenfeld und verschiedenen Orten des südlichen Gebiets wird angegeben, dass nach 1–2 Minuten noch ein schwächerer Stoss erfolgt sei.

Was die Richtung der beobachteten Stösse betrifft, ist die Nordsüdrichtung vorwiegend. Dies gibt auch die einzige objektive Beobachtung in Frauenfeld an; es entspricht, beiläufig bemerkt, ungefähr der Richtung zum Epizentrum. Unterscheidungen wie die von Deeke beim Beben vom 16. November 1911 scheinen in unserem Gebiet schwer möglich. Dieses Erdbeben wurde, wie schon bemerkt, registriert von den beiden Komponenten des Mainkaschen Horizontalpendels der Erdbebenwarte in Zürich (W–E Vergr. 217, Dämpfung 2–3. N–S Vergr. 170, Dämpfung 3–8) nachträglich bestimmt. Von $5^h 21^m 32{,}6^s$ an wurden auf beiden Komponenten zuerst genau 12 Sekunden lang scharf einsetzende, äusserst feine Vorläuferwellen registriert, mit einer Periode von 0,4 Sekunden und einem Ausschlag von 0,2 $^m/_m$. Um $5^h 21^m 45^s$ kamen die Hauptwellen an; sie erreichten ihr Maximum um $5^h 22^m 0{,}2^s$ mit 7 $^m/_m$ Ausschlag (E–Wkomponente) resp. $22^m 0{,}1^s$, mit 3,3 $^m/_m$ Ausschlag (N–Skomponente). Die Hauptwellen dauerten 11 Sekunden, mit einer Periode von $0{,}5^s$ und klangen nach weitern 60 Sekunden unmerklich aus. Die Hauptwellen zeigen (durch Interferenz?) ein 4–5maliges stärkeres Anschwellen, mit Perioden von 1–2 Sekunden; dies mögen die einzelnen Stösse sein, die von verschiedenen Beobachtern empfunden wurden. Für die angeblich 1–2 Minuten nach dem „Hauptstoss" bemerkte Erschütterung findet sich in der Registrierung keine Bestätigung. — Das Beben wurde ausser in Zürich auch registriert in Biberach, Hohenheim (an diesen beiden Orten Beginn 3 Sekunden früher) und in Strassburg; dort eine Sekunde früher; an letzterm Orte, der von dem vermutlichen Epizentrum gleich weit entfernt ist wie Zürich, dauerte das Vorbeben ebenfalls 12 Sekunden, was eine Epizentraldistanz von ca. 103 km ergibt.

Am 10. September um 4^h a soll in St. Gallen von dem gleichen Beobachter wie 4 Tage früher, nochmals ein Erdstoss gespürt worden sein.

11. Am 21. September um $2^h 34^m 53{,}4^s$ p (Anfang der Registrierung auf der Erdbebenwarte in Zürich) wurde im Kanton Thurgau und einigen angrenzenden Gebieten von Zürich und St. Gallen ein Erdbeben gespürt.

Es liegen 25 schriftliche Mitteilungen und eine Anzahl Zeitungsmeldungen vor, denen zufolge die Erschütterung gespürt wurde in Frauenfeld (N–S objektiv, ferner NE–SW, NW–SE) (mehrere Mitteilungen) Müllheim (S–N), Steckborn, Ermatingen, Konstanz, Alterswilen, Weinfelden, Berg, Happerswil (W–E?), Bischofszell, Schönholzerswilen, mit den umliegenden Orten (Lachen, Gabris, Hosenruck, Mettlen, Buhwil), ferner Bussnang, Affeltrangen und Braunau. Ferner östlich

von St. Gallen (3mal S–N, ferner WSW–ENE, auch SE–NW) (mehrere Nachrichten) und einigen Punkten seiner Umgebung, von Abtwil, Gossau (W–E), Herisau (E–W), Flawil, Oberuzwil (W–E und SW–NE), Wil; ferner in der Gegend des obern und untern Toggenburg in Degersheim, Mogelsberg (S–N), Lichtensteig, Wattwil, Mossnang (NE–SW), Lütisburg, Batzenhaid (SW–NE); ferner gegen das Zürcher Oberland zu in Fischingen (NNE), Bichelsee, Bauma (W–E), Hittnau. Schliesslich liegen 3 Meldungen von den Enden des Zürichsees vor, eine von Uznach und zwei von Zürich (Zürichberg und Stadtmitte, dort SW–NE); überdies noch eine ganz vereinzelte aber völlig bestimmte Nachricht von dem weit im SW entfernten Zofingen.

Durch die Bemühungen von Prof. Hess in Frauenfeld ist es diesmal gelungen, wenigstens nach Norden die Grenze des Schüttergebiets auch durch zuverlässige negative Befunde (Nachfrage in den Schulen) festzulegen. Solche liegen vor von Diessenhofen und mehreren Orten der Umgebung, von Ober-Neunforn, Haidenhaus, Romanshorn, Amriswil, Arbon. Es hat also die fühlbare Erschütterung kaum die Linie des Bodensees erreicht.

Die Intensität der Erschütterung betrug fast im ganzen Gebiet, wo überhaupt etwas wahrgenommen wurde, $3^1/_2$ bis $4^1/_2$ der Skala. Es ist bezeichnend, dass zu dieser Tageszeit die Wahrnehmbarkeit mit Grad 3 abbricht. Das am stärksten erschütterte Gebiet scheint ungefähr im Mittelpunkt des Dreiecks Wil, Weinfelden, Bischofszell zu liegen; auf dieses Epizentrum führen die direkten Angaben aus Schönholzerswilen und Umgebung, und aus Braunau, wonach die Erschütterung dort ganz allgemein gespürt worden sein muss, und auch der Wirkung nach am stärksten-war (den schreibenden Schulkindern wurden die Hände geschüttelt und Bilder an der Wand bewegten sich); der Stoss war stark genug, dass die Leute von ihrer Beschäftigung wegliefen, um nachzusehen, was im Haus passiert sein möchte. Das genannte Gebiet liegt übrigens auch ziemlich genau im Schwerpunkt der fühlbar erschütterten Fläche; nur 2–3 km nördlich davon. Es ist der Intensitätsgrad 5 für diese Gegend anzunehmen, obschon die objektiven Wirkungen nicht ganz der Aufzählung der Skala entsprechen. Dies jedenfalls, weil die Skala in diesen Stärkegraden mehr für Horizontalstösse berechnet ist, welche ja eher äussere Wirkungen, wie Schwanken oder Umfallen beweglicher Gegenstände zur Folge haben. Hier aber scheint vorwiegend eine vertikale Komponente gewirkt zu haben, so dass kaum etwas anderes als ein Krachen des Gebälks beobachtet wurde.

Interessant ist die Uebereinstimmung über die Art der Erschütterung, in einigen genaueren Berichten, die 15 bis 40 km vom angenommenen Epizentrum abliegen. Es ist da (Bauma, Kurzdorf bei Frauenfeld, Frauenfeld selbst, Zürich Stadt) jeweilen die Rede von einem ersten vertikalen Stoss, eine Sekunde dauernd, dem etwa 2 Sekunden lang seitliche Schwankungen gefolgt seien. Ich werde darauf bei der Besprechung der Registrierung der Erdbebenwarte Zürich zurückkommen.

Zunächst sei noch darauf hingewiesen, dass in allen 22 Angaben über die Stossrichtung sich nur zwei finden, die eine NW–SErichtung nennen (und zwar die beiden im NW und SE des Gebiets). Alle andern verzeichnen W–E, SW–NE, bis N–S. Die N–Srichtung ist besonders durch Frauenfeld und St. Gallen vertreten, obschon in St. Gallen gerade der vermutlich sorgfältigste Beobachter WSW–ENE angibt. Die E–W und SW–NErichtungen finden sich vorwiegend in dem Gebiet südwestlich vom Epizentrum. So grossen Anlass man auch hat, diesem Punkt der Berichte kritisch gegenüber zu treten, insofern sie die Bewegungsrichtung des Bodens selbst angeben sollen, wollte ich doch diese Beobachtungen nicht unerwähnt lassen. Das Vorwiegen einer Bewegung in der Richtung SW–NE scheint jedenfalls Tatsache zu sein. Aber aus dem angeführten Schlusse zu ziehen auf die Tektonik, etwa wie es Deeke für das süddeutsche Beben vom 16. November 1911 getan hat, scheint mir für dieses Gebiet zu gewagt; zumal man weder weiss, auf welche Phase des Bebens die beobachteten Richtungen zu beziehen sind, noch auch mit Sicherheit, welche Bewegungsart und Richtung die Phasen überhaupt haben. Wie will man, wie es auch geschieht — bei einer angenommenen Herdtiefe —, aus der Ausbreitung der Erschütterungen auf die Tiefenerstreckung von Verwerfungen schliessen, wenn gar nicht ausgemacht, ja sogar sehr fraglich ist, ob das, was das verehrliche Publikum oben auf dem Erdboden verspürt hat, wirklich die für eine solche Ueberlegung allein in Betracht kommenden direkten Vorläuferwellen waren? Die Hauptwellen, welche wohl oft bei einem solchen Nahbeben allein wahrgenommen werden, werden ja als Oberflächenwellen gedeutet, und die Ausbreitung solcher Wellen ist offenbar für die Erörterung der Tiefenerstreckung schlecht zu verwenden. Denn wie tief gehen die Oberflächenwellen selbst hinab? Und bevor ausgemacht ist, ob diese Oberflächen- und Hauptwellen wirklich transversal oder anders schwingen, ist es auch delikat, Beziehungen zwischen der Richtung von Verwerfungen und der Stossrichtung nachweisen und zumal erklären zu wollen.

In diesem Zusammenhang sei nun noch besprochen die Registrierung unseres Erdbebens auf der Erdbebenwarte in Zürich.

Das interessante an dieser auf der Nord- und Ostkomponente des Mainkaschen Horizontalpendels sich findenden Registrierung ist die Tatsache, dass höchst feine Vorläuferwellen fünf Sekunden vor dem Beginn der Hauptwellen aufgezeichnet sind. Trotz der starken Vergrösserung und der verhältnismässig kleinen Eigenperiode des Pendels (E–W V = 210, N–S V = 170. Periode 5 Sekunden) weisen diese Wellen auf dem Diagramm nur Ausschläge von 0,05 bis höchstens 0,1 mm bei der N–Skomponente auf, dagegen 0,3 bis 0,4 mm bei der E–Wkomponente. Diese Vorläufer wären also bei einem kleinern Instrument sehr leicht der Feststellung völlig entgangen. Es konnte daraus eine Lage des Epizentrums im ENE oder WSW vermutet werden in der Voraussetzung, dass es sich bei Vorläufern um longitudinale Wellen handelt. Nach der von Conrad aus österreichischen Nahbeben empirisch abgeleiteten Formel für die Herddistanz

$\Delta = 5.8 - 8.09\ t - 0{,}009\ t^2$ (Beitr. zur Geophysik X Kl. Mitt. S. 145) ergäbe sich für die Entfernung aus der Zeitdifferenz t zwischen dem Einsetzen der Vorläufer und dem der Hauptwellen (4,8^s bei N–S, 5,3^s bei E–W; zu 5,0 im Mittel angenommen) $\Delta = 46$ km. Nach den makroseismischen Beobachtungen lag das Epizentrum in 42 km E 25° N von der Erdbebenwarte in Zürich.

Die Tatsache einer zuverlässigen Unterscheidungsmöglichkeit von Vorläufern und Hauptwellen so nahe dem Erdbebenherd legt die Frage nahe, ob nicht Schlüsse daraus auf die Natur dieser Wellen gezogen werden können. Die den herrschenden Anschauungen entsprechende Annahme ist die, dass die Vorläufer vom Hypozentrum auf direktem Wege angelangt sind, die Hauptwellen jedoch als Oberflächenwellen zu betrachten sind, die im Epizentrum erregt worden sind durch die Longitudinalwellen, die vom Hypozentrum senkrecht nach oben gingen.

Die Differenz t der Ankunftszeiten beider Wellen könnte einen Anhaltspunkt für die Herdtiefe bieten. Nimmt man an, dass beide Wellen gleiche Geschwindigkeit c haben, so ergibt sich für die Herdtiefe $H = {}^1/_2 \left(\frac{d^2}{(d - tc)} - d + tc\right)$, wobei d die Entfernung vom Epizentrum bedeutet. Wird c zu 3,3 km angenommen entsprechend der empirischen mittlern Geschwindigkeit der Oberflächenwellen, die man in den kompakten, kristallinen Schichten der Erdkruste laufend annimmt, so ergäbe sich hiernach eine Herdtiefe von 22 km. Wird c grösser angenommen, so wird auch die Herdtiefe grösser.

Die Annahme einer gleichen Geschwindigkeit beider Wellen widerspricht aber völlig der Erfahrung, dass auch bei Nahbeben die Differenz t nahezu der Herddistanz proportional ist, während sie bei obiger Annahme im wesentlichen nur von der Herdtiefe abhängig wäre.

Nimmt man dementsprechend für die Oberflächenwellen eine Geschwindigkeit c und für die Tiefenwellen eine grössere Geschwindigkeit c_1 an, so kommt man zu dem Ausdruck, der entsprechend verhältnismässig kleinern Werten von c bei gleichbleibendem c_1 zu immer kleineren Herdtiefen führt.

$$H = {}^1/_2 \left[\frac{d^2}{d \cdot \frac{c_1}{c} - tc_1} - \left(d\frac{c_1}{c} - tc_1\right)\right].$$

Die Werte für c und c_1 zu bestimmen, wäre empirisch mit Hülfe zweier Beobachtungsstationen möglich, wie etwa Zürich und Neuchâtel. Im vorliegenden Fall hat die Station in Neuchâtel noch nicht funktioniert. Wir wollen zur Orientierung doch vorläufig mit wahrscheinlichen Werten rechnen. Da der Herd nach dem oben Gesagten weniger tief als 22 km anzunehmen ist, wollen wir für die Tiefenwellen einen mittleren Wert von $c_1 = 3{,}3$ km beibehalten, in der Annahme, dass der Herd irgendwo in den Schichten liege, in welcher die Hauptwellen grosser Beben sich fortpflanzen. Aus den bekannten empirischen Beziehungen zwischen der Herddistanz und der Zeitdifferenz t würde für die Geschwindigkeit der Oberflächenwellen in diesem Fall folgen $c = 2{,}35$ km, wenn der Koeffizient der Formel von Conrad $K = 8{,}09$ angenommen wird. Allgemein ergibt sich $c = \frac{K}{\frac{K}{c_1} + 1}$. Mit diesen plausibeln Werten folgt aber für die Herdtiefe in unserm Fall ungefähr der Wert Null (genauer sogar −2,7 km). Dieser widerspricht aber der Tatsache des Auftretens zweier Wellenarten mit wesentlich verschiedener Geschwindigkeit, abgesehen davon, dass im Gebiete des Epizentrums nahe an der Oberfläche tektonische Dispositionen für die Auslösung eines Erdbebens soweit bekannt nicht gegeben sind (kaum disloziertes Tertiär ohne Verwerfungen). —

Man wird also zu dem Schluss geführt, dass der Erdbebenherd nicht ganz nahe an die Oberfläche, aber auch nicht tiefer verlegt werden darf, als bis an jene Grenze, welche das Auftreten zweier Wellenarten gerade eben möglich macht.

Nach den Vorstellungen der auf die Seismik angewandten Elastizitätstheorie (vergleiche z. B. E. Wiechert und K. Zöppritz „Ueber Erdbebenwellen, Göttingen 1907") wäre die erste Vorläuferwelle als Longitudinalwelle („a"-Welle) aufzufassen, und ihrer Geschwindigkeit c_1 in diesem Fall der Oberflächenwert 7.2 zu geben. (Der zweite Vorläufer, als Transversalwelle von etwa halber Geschwindigkeit des ersten Vorläufers gedeutet, tritt hier nicht auf.) Der erste Vorläufer, die Longitudinalwelle, hätte demnach von vorneherein eine mindestens doppelt so grosse Geschwindigkeit als die als komplizierte Oberflächenwelle gedeutete Hauptwelle c. Wenn wir nun letzterer als Maximalgeschwindigkeit 3,6 km geben (womit auch der aus oben angegebener Beziehung $c = \frac{K}{\frac{K}{c_1} + 1}$ abgeleitete Wert annähernd stimmt, wobei freilich die scheinbare und wahre Geschwindigkeit der „a"-Welle in roher Annäherung gleichgesetzt sind), so ergibt sich wiederum eine negative Herdtiefe. Das heisst also: Auch an einem dem Epizentrum verhältnismässig benachbarten Ort entfällt in der Verspätung der Hauptwelle gegen den Vorläufer scheinbar kein Anteil auf einen von ihr (infolge erheblicher Herdtiefe) zurückzulegenden längern Weg; die Zeitdifferenz erklärt sich vielmehr restlos aus denjenigen plausibeln Geschwindigkeiten, die auf Grund der Empirie für c und c_1 angenommen werden können. Einer Herdtiefe von ca. 40 km müsste unter den übrigen Voraussetzungen eine Dauer des Vorbebens von ca. 10 Sekunden (statt 5) entsprechen. Bei einem Herd in 100 km Epizentralentfernung und 100 km Herdtiefe (welche Tiefe angegeben wird für das Beben vom 16. November, dessen Epizentrum ca. 100 km entfernt war) müsste das Vorbeben ca. 20 Sekunden dauern; für Vor- und Nachbeben, die vermutlich vom gleichen Herd ausgingen, dauerte es aber tatsächlich immer nur 12 Sekunden usw.

Mehr als heuristischen Wert haben diese Ueberlegungen nicht, da sie vorläufig von sehr vereinfachten Annahmen ausgehen mussten, wie z. B. derjenigen von geraden Stosstrahlen mit mittleren Geschwindigkeiten, von einem punkt-

förmigen Hypozentrum, von einem punktförmigen Epizentrum als Ausgangsort der Oberflächenwellen. Von diesen vereinfachenden Annahmen sind die letztern für die Betrachtung der von sehr weitentfernten Erdbebenherden ausgehenden Wellen zulässig, werden aber bei Nahbeben bedenklicher, bei welchen dafür die erstern Annahmen in einer ersten Annäherung eher verwendet werden dürfen. Der vorliegende Versuch erinnert zunächst an die Seebachsche Methode der Herdtiefenbestimmung; diese, die ja verlassen worden ist, geht aber aus von den (oft nicht genau bestimmbaren) verschiedenen Ankunftszeiten der Hauptwellen an verschiedenen Orten mit bekannter, aber nicht allzugrosser Entfernung vom Epizentrum. Hier hingegen handelt es sich um die gewöhnlich sehr genau messbare Zeitdifferenz in der Registrierung der Ankunft der Vorläufer und der Hauptwellen, an einer Station, die dem Herd sehr nahe ist. —

Besitzt man solche Registrierungen von einer dem Erdbebenherd nahen, noch im makroseismischen Erschütterungsgebiet liegenden Station, so ist es recht interessant, die vom Apparat aufgezeichneten Bewegungen (die ja leider auch im besten Fall den wahren Bodenbewegungen nur recht indirekt entsprechen), mit den gefühlten Erschütterungen zu vergleichen. Wo diese im vorliegenden Fall genauer beschrieben worden, bestanden sie, wie oben angegeben, in einem ersten plötzlichen, als vertikal beschriebenen Stoss, etwa eine Sekunde dauernd, welchem dann etwa 2 Sekunden lang seitliche Wellen folgten. Bei oberflächlicher Betrachtung wäre man geneigt, den ersten Teil der Erschütterung den aus der Tiefe kommenden Vorläufern, den zweiten den Oberflächenwellen zuzuschreiben, und in den Beobachtungen eine schöne Uebereinstimmung mit den geläufigen Anschauungen und mit der tatsächlichen Registrierung zu sehen. Nun sind aber die Vorläufer so schwach registriert, dass sie jedenfalls an der Peripherie (Zürich) nicht mehr gespürt werden konnten, zum allermindesten nicht als ein Stoss, der an Intensität den folgenden Bewegungen gleich gekommen wäre. Auch waren die Vorläufer beim Einsetzen am stärksten, und klangen während 5 Sekunden fast völlig ab; erst dann kamen die Hauptwellen; diese dauerten mit einer Amplitude, die jene der Vorläufer vielmal übertraf, 6–10 Sekunden; gefühlt wurden sie nur nach übereinstimmender Schätzung 2–3 Sekunden lang; dies ist ein weiterer Grund dafür, dass nur die Hauptwellen gespürt worden sind. —

12. Am 25. Oktober, ungefähr $3^h 15$ a, wurde in Poschiavo (Graubünden) eine Erschütterung gespürt. Nähere Angaben fehlen.

13. Das süddeutsche Erdbeben vom 16. November.

Am 16. November, abends $10^h 26$ p, wurde ein grosser Teil von Mitteleuropa, darunter auch die ganze Schweiz, von einem bedeutenden Erdbeben erschüttert, welches im Gebiet grösster Intensität, wo der Grad 8 erreicht wurde, beinahe schon einen gefährlichen Charakter annahm.

Der Herd dieses Erdbebens liegt ausserhalb der Schweiz, welche nur einen kleinern Teil des gesamten erschütterten Gebietes ausmacht. Einige spezielle Untersuchungen für das meist erschütterte Gebiet sind von den betreffenden Stellen schon publiziert*). Eine umfassende und eingehende Bearbeitung der gesamten Beobachtungen hat die Hauptstation für Erdbebenforschung in Strassburg i. E. durchzuführen gewünscht, welcher dann auch zu diesem Zweck das gesamte schweizerische Material zur Verfügung gestellt worden ist. Diese Untersuchung wird demnächst erscheinen. Angesichts dieser Umstände schien es nicht rationell, dieselbe Untersuchung hier für das schweizerische Gebiet in aller Ausführlichkeit zu wiederholen, zumal Zeit und Hülfskräfte zu einer Ausdehnung der Arbeit fehlen.

Hingegen soll eine Uebersicht über die wesentlichen Tatsachen dieses Erdbebens, das auch auf schweizerischem Gebiet, wenn zwar kaum grösseres Unheil, so doch ziemlichen Schrecken verbreitet hat, hier Platz finden.

Lage des Herdes (Epizentrum). Auf Grund der registrierten Eintrittszeiten von Erdbebenstationen (unter diesen Zürich) berechnet A. v. Schmidt als Koordinaten des Epizentrums 48° 16′ N und 9° 10′ W. Also einen Punkt in der schwäbischen Alp, im Hohenzollerngebiet, zwischen den Orten Trachtelfingen und Ebingen, dessen Name in den Berichten über dieses Erdbeben am häufigsten wiederkehrt, und welches besonders auch von Nahbeben beunruhigt wurde. Ganz ähnliche Koordinaten, nämlich 48° 15′ und 8° 57′ E. Gr. leiten Lais und Sieberg aus den makroseismischen Intensitätsbeobachtungen ab und nehmen als Unsicherheit $\pm$ 15 bis 20 km an.

Schmidt nimmt an, dass durch die erste Erschütterung eine zweite im Bodenseegebiet ausgelöst worden sei, wo die Erscheinungen stellenweise ebenso stark waren, wie in der Ebinger Gegend; er spricht von einem Zwillingsbeben, wovon das primäre durch die säkulare Erosionsentlastung der Region der schwäbischen Alp erklärt werden könne, das sekundäre durch die säkulare Belastung des sowieso als Senkungsgebiet aufzufassenden Bodensees durch die Rheinschottermassen.

Deeke glaubt, dass die Haupterschütterung im „schweizerischen Molasseland“ ihren Ursprung nahm, und eine sekundäre Erschütterung in der Ebinger Gegend auslöste. Diese Ansicht ist aber direkt unvereinbar mit den Zeitangaben der Seismographen in Zürich, wonach der erste Stoss dort genau gleichzeitig wie in Strassburg, aber 7 Sekunden später als in Hohenheim bei Stuttgart ankam.

*) K. Mack: Nachrichten der Hohenheimer Erdbebenwarte 1912.
L. Neumann und W. Deeke: Das Erdbeben vom 16. November 1911 in Südbaden. S. A. Mitteilungen der Bad. Geol. Landesanstalt. VII. Band 1912.
R. Lais und A. Sieberg: Das mitteleuropäische Beben vom 16. November 1911 etc. Beitrag zur Geophysik Bd. XII. 1912.
A. v. Schmidt und K. Mack: Das süddeutsche Erdbeben vom 16. November 1911. Württemberg. Jahrb. für Statistik 1912.

Tatsache ist, dass die Intensitätsverteilung im Hauptschüttergebiet merkwürdig unregelmässig war, wie namentlich die Karte bei Lais und Sieberg zeigt. Intensitäten bis zu 8 kamen an manchen Orten vor, mit Einsturz zahlreicher Kamine, auch Fabrikschornsteine, ja mit ernstlichen Beschädigungen einzelner Gebäude (Würmlinger Kapelle, wo ein grosses Stück der festen Aussenmauer herausgesprengt wurde, einige kleine Kirchen im Oberamt Balingen, aber auch das Konstanzer Münster, wo u. a. die Kreuzblume herabstürzte, ebenso eine grosse steinerne Figur an der Post). Im meist betroffenen Oberamt Balingen entstand allein gegen ½ Million Mark an Schaden, abgesehen von 5 neu zu erstellenden Kirchen. In der Arbeit von Sieberg und Lais (vergl. die dortige Karte) wird gezeigt, dass das Auftreten der sekundären stärkeren Erschütterungszonen zwischen Schwarzwald und Bodensee geknüpft sei an das Vorhandensein von Verwerfungslinien, welche selbst zu sekundären Bebenherden würden. Auch die Verstärkung der Erschütterung bei Moor-Untergrund tritt hervor.

Herdtiefe. Die grosse Ausdehnung des stark erschütterten Gebiets macht eine erhebliche Herdtiefe wahrscheinlich. Auf Grund der scheinbaren Fortpflanzungsgeschwindigkeit der Vorläuferwellen an der Erdoberfläche berechnet Professor Schmidt eine Herdtiefe von 136 km. Bei diesem Resultat ist wesentlich die Voraussetzung, dass mit zunehmender Tiefe die Fortpflanzungsgeschwindigkeit linear zunehme. Eine plausible Modifikation dieser Annahme ergäbe nach Professor Pilgrim eine um ⅕ kleinere Herdtiefe.

Was die Stossrichtung betrifft, glaubt Deeke für das gleiche Gebiet nachgewiesen zu haben, dass sie ebenfalls von den Verwerfungen abhängig, und zwar diesen gleichgerichtet sei.

Die Ausdehnung des makroseismischen Gebiets wird nach Schmidt und Deeke gegeben durch die Orte Braunschweig, Berlin, Dresden, Prag, Wien, Salzburg, Bozen, Mailand, Turin, Genf, Besançon, Metz, Aachen, Dortmund. In Tagesblättern ist selbst noch Florenz und „ganz Belgien" erwähnt; doch kann eventuell die mikroseismische Registrierung gemeint sein. Das ganze Gebiet umfasst etwa 800 000 km², mit grösster Ausdehnung in N–Srichtung.

Es liegen aus der Schweiz von allen Landesgegenden Berichte vor. Im grössten Teil des Landes, vor allem in der Nord- und Ostschweiz, aber auch noch in der Mittelschweiz wurde das Erdbeben als sehr heftig empfunden; in der Bodenseegegend zwischen Grad 7 und 8 der Skala. Ueberall in diesem Gebiet ist noch von herabgestürzten Kaminen die Rede. In den Theatern von Basel, Winterthur und Zürich entstand eine Panik, und überall eilte ein Teil der Leute erschreckt auf die Strasse. Der Zürichsee (wie auch der Bodensee) zeigte ohne den geringten Wind „sehr starke" (Zeitung!) Wellen; an den Uferhalden des Bodensees kamen starke Rutschungen vor. Die Zeitungen jener Tage sind angefüllt von Berichten, welche, auch mit dem nötigen Abstrich, zeigen, dass das Ereignis einen sehr starken Eindruck auf die Bevölkerung gemacht hat. Auch noch im Wallis, ebenso wie im Neuenburger Jura war die Intensität jedenfalls 5. Dagegen teilte Prof. F. A. Forel selbst für die Ufer des Genfersees mit, dass die Stärke dort 3–4 betragen habe. Es ist nicht wahrscheinlich, dass Genf wirklich die Grenze der fühlbaren Erschütterungen angibt. — Nach Osten zu wird z. B. von Davos noch ausdrücklich die Intensität 4 gemeldet. — Es seien im Folgenden noch einige Angaben besonderer Art hervorgehoben.

Angaben der Erdbebenwarte in Zürich: Der Anfang des Erdbebens wurde von allen drei Komponenten übereinstimmend angezeigt wie folgt:

An der Vertikalkomponente (Vergr. 116), Apparat Wiechert-Spindler & Hoyer, Eintritt $10^h 26^m 10^s$ M. E. Z., mit einem Ausschlag von 20 mm im Hebungssinn, darauf Nullpunktsverschiebung. Die Registrierung dauert 110 Sekunden, während derer etwa 55 einzelne Schwingungen verzeichnet werden.

Am Horizontalpendel, Mainka-Bosch, registrierte die Ost-Westkomponente einen Anfangsstoss von E nach W, um $10^h 26^m 11^s$, mit einem Ausschlag von 25 mm. Darauf erfolgten während 30 Sekunden ganz lückenhafte Aufzeichnungen mit einer Amplitude von mindestens 110 mm; dann fiel die Schreibfeder ab. Die Nord-Südkomponente gab den Eintritt um $10^h 26^m 09^s$ an, mit einem Stoss von N nach S, der offenbar stärker war als bei E–W. Die Feder fliegt ohne weiteres fort; sogar bei der Dämpfung selbst wird die Stosstange der Masse ausgehoben.

Den wesentlichen Dienst haben die Instrumente also durch Registrierung der genauen Eintrittszeit getan; diese hat der mikroseismischen Herdbestimmung wesentliche Dienste geleistet. Dass die Instrumente, welche ausdrücklich für die Aufzeichnung der feinen Erschütterungen unserer alpinen Nahbeben bestimmt, und von uns entsprechend empfindlich eingestellt waren, diese gewaltigen Stösse nicht völlig registrieren konnten (wie auch in Strassburg nicht), ist selbstverständlich. Es liegt auch für die Zukunft kein Anlass vor, um einer solchen völligen Ausnahmeerscheinung willen durch eine Aenderung der Einstellung die übrigen Aufzeichnungen unbrauchbar zu machen!

Vergleich zwischen direkt beobachteter und registrierter Eintrittszeit. Es ist von allgemeinem Interesse, mit der registrierten Eintrittszeit die genaueren Zeitangaben aus dem Publikum zu vergleichen. Wir haben uns daher alle Mühe gegeben, solche Angaben nach Möglichkeit zu kontrollieren, durch möglichst baldige Vergleichung der Beobachtungsuhren mit genauer M. E. Z. Der Direktor der Sternwarte, Professor Wolfer, gibt nach völlig einwandfreier Bestimmung an: Beginn der wahrgenommenen ersten Erschütterung um $10^h 26^m 15^s$, Dauer etwa 4 Sekunden, dann Pause von 5 Sekunden, dann bedeutend stärkere Erschütterung von 5–6 Sekunden Dauer.

Die weiteren Beobachtungen rühren fast sämtlich her von Personen, die mit der meteorol. Zentralanstalt in Beziehung stehen.

Direktor Maurer: Eintritt des Hauptstosses $10^h\,26^m\,27^s \pm 10^s$. Die Phase, auf welche sich die Beobachtung bezog, und die Uhrkorrektion waren beide nachträglich nicht mehr mit Gewissheit festzustellen.

Dr. Billwiller: Beginn des ersten Stosses $10^h\,26^m\,18^s$ geschätzt ($26^m\,20^s$ beob.); Dauer etwa 7 Sekunden. Beginn der zweiten Erschütterung $10^h\,26^m\,29^s$; ihre Dauer 5 Sekunden.

Dr. A. de Quervain: Beginn des ersten Stosses $10^h\,26^m\,09^s$ geschätzt ($26^m\,14^s$ beob.); Dauer ca. 5 Sekunden. Beginn des zweiten Stosses $10^h\,26^m\,19^s$ (beob.); Dauer ca. 10 Sekunden.

Herr Schellenberg, durch Vermittlung der auf der meteorol. Zentralanstalt tätigen Frl. E. Schellenberg: Eintritt des ersten Stosses ca. $10^h\,26^m\,16$s (geschätzt), Dauer 5–6 Sekunden; dann Pause von 2–3 Sekunden. Eintritt des zweiten (Haupt-) Stosses $10^h\,26^m\,27^s$ (beobachtet).

Herr Armin Scholl, gewissermassen unser Spezialkorrespondent für genaue Erdbebenzeiten, gibt als Zeit des Hauptstosses: $10^h\,26^m\,30^s$.

Herr Ing. Steinbrüchel kommt nach eigener Vergleichung mit der Sternwarte auf $10^h\,26^m\,15^s$ für den Beginn des ersten Stosses.

Als Mittelzahl für den Beginn des ersten Stosses ergibt sich somit $10^h\,26^m\,15^s$, für den zweiten Stoss $10^h\,26^m\,23^s$.

Die Unsicherheit der Zeitreduktionen selbst beträgt wohl bei den einzelnen Fällen $\pm$ 2–3 Sekunden, mit Ausnahme der Bestimmung von Prof. Wolfer, deren Unsicherheit kleiner als eine Sekunde sein wird. Hingegen kann die Verschiedenheit der Erdbebenempfindlichkeit, und vor allem der Umstand, dass die Beobachter, weil an verschiedenen Orten, in verschiedenen Stockwerken befindlich, von vorneherein nicht genau dieselben Phasen des Phänomens wahrnehmen konnten, eine Differenz von mehreren Sekunden leicht erklären. Darauf dürfte auch die Differenz von 5 Sekunden zwischen dem wahrgenommenen und dem registrierten Beginn hauptsächlich zurückzuführen sein. Die Kleinheit dieser Differenz zeigt übrigens, dass es nicht illusorisch ist, sich um genaue Zeitbestimmungen aus dem Publikum zu bemühen!

Ich bin geneigt, den ersten gefühlten Stoss als einen Vorläufer, den zweiten ca. 8 Sekunden später einsetzenden stärkeren, als den Hauptstoss zu betrachten. Soweit das Diagramm des Vertikalapparates deutbar ist, ergäbe sich dort eine erste Reihe schwächerer Wellen von ca. 12 Sekunden Dauer. Nimmt man, wie oben, an, dass die Vorläufer einige Sekunden gebraucht haben, um die Gebäude so in Schwingung zu versetzen, dass die Menschen es merkten, so stimmen diese 12 Sekunden sehr wohl zu dem Wahrgenommenen und auch zu der Tatsache, dass die Vorläufer bei Beben des gleichen Epizentrums (6. September) ebenfalls um 12 Sekunden vorangingen. —

Von andern Orten der Schweiz liegt vor eine genaue Zeitangabe: Von Telegrapheninspektor Brodbeck in Chur, $10^h\,27^m$! 25–30^s. Eine Nachfrage lässt den Beobachter, der uns schon früher sehr genaue Angaben lieferte, an der Minutenzahl festhalten.

Aus Frauenfeld gibt Herr Prof. Hess nach 4 möglichst kontrollierten Angaben $10^h\,26^m\,17^s$ als wahrscheinlichsten Wert an.

Aus Genf meldet Herr F. Lecoultre $10^h\,27^m\,30^s \pm 5^s$ auf Grund sofortiger Kontrolle an der Sternwarte.

Die Sternwarte Neuchâtel hat eine vollständige Registrierung erhalten. Anfangszeit nicht angegeben.

Die Eintrittszeit von Erdbeben angezeigt durch das Stillstehen der Pendeluhren. Zur Frage der Zuverlässigkeit für Verwendbarkeit solcher Beobachtungen für die genaue Eintrittszeit ist von Zürich interessantes Material vorhanden, indem drei Pendeluhren stehen blieben, deren Stand auf die Sekunde genau bekannt war.

Folgendes sind die korrigierten Zeiten des Stillstehens:

Pendel Hipp	(Sternwarte)	E–W	schwingend:	$10^h\,26^m\,23^s$
„ Assoc. ouvrière	„	N–S	„	$10^h\,26^m\,27^s$
„ der Meteorol. Zentralanstalt		SE–NW	„	$10^h\,27^m\,00^s$

Die grösste Zeitdifferenz beträgt also volle 37 Sekunden.

Man sieht also, dass solche Angaben, auch wenn die Uhren kontrolliert waren, nur insofern als genau verwendet werden können, als daraus geschlossen werden kann, dass das Erdbeben jedenfalls nicht nach der frühsten Stillstandzeit eingetreten sein kann. Bei den Uhren der Sternwarte scheint der Hauptstoss durch Interferenz den Stillstand bewirkt zu haben, wobei die zufälligen Phasendifferenzen bei den verschiedenen Stillstandzeiten ebensosehr eine Rolle spielen, wie die verschiedene Lage zur Hauptstossrichtung, welche in der Sternwarte als ost–westlich empfunden wurde.

---

14. Am 30. November, ca. $11^h\,30$ p, wurde in Chur von einigen Personen ein leichter Erdstoss gespürt, scheinbar in N–Srichtung, begleitet von einem dumpfen Rollen. Die Wirkung beschränkte sich auf die Verschiebung kleiner Gegenstände.

15. Am 4. Dezember, ungefähr $5^h\,45$ a, wurde wiederum in Chur ein leichter Erdstoss gespürt; die Richtung sei SE–NW gewesen. Die Zeitangaben schwanken zwischen 5 ½ a und 6 ½ a.

Errata im Jahrgang 1911.

Säntis. Pag. 54. Temperatur. **9.** September, Mitt. 11.1, Tagesmittel 9.5, Abweichung vom Normalstand 6.4 und Monatsmittel $1^{30} = 6.2$.
Lugano. Pag. 71. Luftdruck. **31.** Dezember Ab. 746.1 und Monatsmittel $9^{30} = 739.2$.
Säntis. Pag. 72. Luftdruck. **14.** Dezember Ab. 561.7 und Monatsmittel $9^{30} = 560.3$.
Schatzalp. Pag. 113. Niederschlag. Jahressumme 1044.
Abhandlung No. 2. Pag. 28. Monatsmittel der Windgeschwindigkeit lies 1a, 1p etc. statt 1^{30} a, 1^{30} p usw.

Nachtrag:

Pontresina.

$\lambda = 9°54'$, $\beta = 46°30'$, $H = 1805^{m}$, $h_r = 2.2^{m}$. Beobachter: **C. Hosang.**

1911	Luft-Temperatur								Relative Feuchtigkeit						Bewölkung				Niederschlag			Zahl der Tage							
	7^{30}	1^{30}	9^{30}	Mittel	Minimum	Tag	Maximum	Tag	7^{30}	1^{30}	9^{30}	Mittel	Minimum	Tag	7^{30}	1^{30}	9^{30}	Mitt.	Summe	Maximum	Tag	●	●≦1.0	✳	▲	R	≡	helle	trübe
Jan.	—	—	—	—	—	—	—	—	—	—	—	—	—	—	—	—	—	—	8	6	2	3	2	3	—	—	0	—	—
Febr.	—	—	—	—	—	—	—	—	—	—	—	—	—	—	—	—	—	—	25	12	25	6	5	6	—	—	0	—	—
März	−6.4	1.6	−4.6	−3.5	−15.8	17	7.8	29	—	—	—	—	—	—	6.1	5.8	4.6	5.5	65	19	2	11	9	11	—	—	0	2	5
April	−3.1	4.8	−1.0	−0.1	−12.8	7	11.7	23	—	—	—	—	—	—	3.7	4.5	4.2	4.1	38	13	29	7	6	5	—	—	0	13	2
Mai	4.9	9.7	5.3	6.3	−3.1	1	15.9	31	—	—	—	—	—	—	6.2	6.6	6.7	6.5	44	16	18	10	9	1	1	—	0	1	6
Juni	7.6	12.7	8.0	9.1	0.9	15	18.5	30	—	—	—	—	—	—	5.6	5.7	5.6	5.6	123	30	19	13	12	3	—	1	0	4	4
Juli	8.2	18.6	12.8	13.1	2.4	11	23.0	27	—	—	—	—	—	—	3.5	4.9	4.5	4.3	23	11	13	7	4	—	—	2	2	3	0
Aug.	8.0	18.1	12.4	12.7	2.8	27	22.1	9	—	—	—	—	—	—	4.0	4.4	5.0	4.5	122	37	21	12	9	—	—	4	1	5	4
Sept.	4.1	14.0	7.6	8.3	−2.9	26	22.5	3	—	—	—	—	—	—	4.0	4.2	4.3	4.2	82	33	22	9	8	4	—	—	0	9	6
Okt.	−0.8	7.0	1.2	2.2	−9.5	30	14.2	12	—	—	—	—	—	—	4.6	4.9	3.5	4.3	169	79	6	15	11	9	—	—	2	9	5
Nov.	−4.6	2.5	−3.1	−2.1	−10.8	20	6.7	1	—	—	—	—	—	—	5.0	4.7	3.7	4.5	110	52	23	9	9	8	—	—	0	6	5
Dez.	−7.0	−1.4	−6.2	−5.2	−16.0	24	3.4	30	—	—	—	—	—	—	4.9	5.7	4.6	5.1	94	20	11	16	14	16	—	—	0	6	7
Jahr	—	—	—	—	—	—	23.0	VII	—	—	—	—	—	—	—	—	—	—	903	79	X	118	98	66	1	7	5	—	—

ANNALEN

der

SCHWEIZERISCHEN METEOROLOGISCHEN ZENTRAL-ANSTALT

1911.

„Der Schweizerischen meteorologischen Beobachtungen"

[48.]

Achtundvierzigster Jahrgang.

MAY

ZÜRICH

Druck von Zürcher & Furrer.

Kommission von Beer & Cie..

LIBRARY
WEATHER BUREAU
33[illegible]

NOAA CENTRAL LIBRARY
RC GC57.2.N4517
NH-MP-AR-SG
3 8398 0004 5801 2